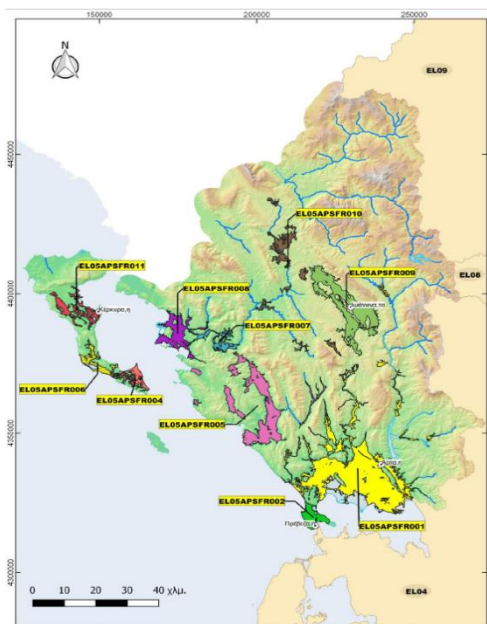




ΕΛΛΗΝΙΚΗ ΔΗΜΟΚΡΑΤΙΑ



**ΓΕΝΙΚΗ ΓΡΑΜΜΑΤΕΙΑ ΦΥΣΙΚΟΥ ΠΕΡΙΒΑΛΛΟΝΤΟΣ
ΚΑΙ ΥΔΑΤΩΝ
ΓΕΝΙΚΗ ΔΙΕΥΘΥΝΣΗ ΥΔΑΤΩΝ**



**1^η ΑΝΑΘΕΩΡΗΣΗ
ΣΧΕΔΙΟΥ ΔΙΑΧΕΙΡΙΣΗΣ ΚΙΝΔΥΝΩΝ ΠΛΗΜΜΥΡΑΣ
των Λεκανών Απορροής Ποταμών του
Υδατικού Διαμερίσματος Ηπείρου (EL05)**

Στάδιο 1 – Παραδοτέο 4

ΠΛΗΜΜΥΡΙΚΑ ΥΔΡΟΓΡΑΦΗΜΑΤΑ

Παράρτημα Π5.1

Υδρολογική Ανάλυση Λεκάνης ποταμού Καλαμά



Ευρωπαϊκή Ένωση
Ταμείο Συνοχής



Με τη συγχρηματοδότηση της Ελλάδας και της Ευρωπαϊκής Ένωσης

Περιεχόμενα

<u>1 ΜΟΝΤΕΛΟ ΥΔΡΟΛΟΓΙΚΗΣ ΠΡΟΣΟΜΟΙΩΣΗΣ ΔΕΚΑΝΗΣ ΑΠΟΡΡΟΗΣ</u>	<u>4</u>
<u>2 ΔΕΔΟΜΕΝΑ ΕΙΣΟΔΟΥ ΚΑΙ ΑΠΟΤΕΛΕΣΜΑΤΑ ΥΔΡΟΛΟΓΙΚΟΥ ΣΕΝΑΡΙΟΥ T=50</u>	<u>10</u>
2.1 ΑΠΟΤΕΛΕΣΜΑΤΑ, ΥΕΤΟΓΡΑΦΗΜΑΤΑ ΚΑΙ ΥΔΡΟΓΡΑΦΗΜΑΤΑ ΣΧΕΔΙΑΣΜΟΥ ΥΠΟΛΕΚΑΝΩΝ	11
2.2 ΔΕΔΟΜΕΝΑ ΚΑΙ ΥΔΡΟΓΡΑΦΗΜΑΤΑ ΣΧΕΔΙΑΣΜΟΥ ΚΛΑΔΩΝ ΥΔΡΟΓΡΑΦΙΚΟΥ ΔΙΚΤΥΟΥ	61
2.3 ΔΕΔΟΜΕΝΑ ΚΑΙ ΥΔΡΟΓΡΑΦΗΜΑΤΑ ΣΧΕΔΙΑΣΜΟΥ ΚΟΜΒΩΝ ΥΔΡΟΓΡΑΦΙΚΟΥ ΔΙΚΤΥΟΥ	90
<u>3 ΔΕΔΟΜΕΝΑ ΕΙΣΟΔΟΥ ΚΑΙ ΑΠΟΤΕΛΕΣΜΑΤΑ ΥΔΡΟΛΟΓΙΚΟΥ ΣΕΝΑΡΙΟΥ T=50L</u>	<u>121</u>
3.1 ΑΠΟΤΕΛΕΣΜΑΤΑ, ΥΕΤΟΓΡΑΦΗΜΑΤΑ ΚΑΙ ΥΔΡΟΓΡΑΦΗΜΑΤΑ ΣΧΕΔΙΑΣΜΟΥ ΥΠΟΛΕΚΑΝΩΝ	122
3.2 ΔΕΔΟΜΕΝΑ ΚΑΙ ΥΔΡΟΓΡΑΦΗΜΑΤΑ ΣΧΕΔΙΑΣΜΟΥ ΚΛΑΔΩΝ ΥΔΡΟΓΡΑΦΙΚΟΥ ΔΙΚΤΥΟΥ	172
3.3 ΔΕΔΟΜΕΝΑ ΚΑΙ ΥΔΡΟΓΡΑΦΗΜΑΤΑ ΣΧΕΔΙΑΣΜΟΥ ΚΟΜΒΩΝ ΥΔΡΟΓΡΑΦΙΚΟΥ ΔΙΚΤΥΟΥ	201
<u>4 ΔΕΔΟΜΕΝΑ ΕΙΣΟΔΟΥ ΚΑΙ ΑΠΟΤΕΛΕΣΜΑΤΑ ΥΔΡΟΛΟΓΙΚΟΥ ΣΕΝΑΡΙΟΥ T=50U</u>	<u>232</u>
4.1 ΑΠΟΤΕΛΕΣΜΑΤΑ, ΥΕΤΟΓΡΑΦΗΜΑΤΑ ΚΑΙ ΥΔΡΟΓΡΑΦΗΜΑΤΑ ΣΧΕΔΙΑΣΜΟΥ ΥΠΟΛΕΚΑΝΩΝ	233
4.2 ΔΕΔΟΜΕΝΑ ΚΑΙ ΥΔΡΟΓΡΑΦΗΜΑΤΑ ΣΧΕΔΙΑΣΜΟΥ ΚΛΑΔΩΝ ΥΔΡΟΓΡΑΦΙΚΟΥ ΔΙΚΤΥΟΥ	283
4.3 ΔΕΔΟΜΕΝΑ ΚΑΙ ΥΔΡΟΓΡΑΦΗΜΑΤΑ ΣΧΕΔΙΑΣΜΟΥ ΚΟΜΒΩΝ ΥΔΡΟΓΡΑΦΙΚΟΥ ΔΙΚΤΥΟΥ	312
<u>5 ΔΕΔΟΜΕΝΑ ΕΙΣΟΔΟΥ ΚΑΙ ΑΠΟΤΕΛΕΣΜΑΤΑ ΥΔΡΟΛΟΓΙΚΟΥ ΣΕΝΑΡΙΟΥ T=100</u>	<u>343</u>
5.1 ΑΠΟΤΕΛΕΣΜΑΤΑ, ΥΕΤΟΓΡΑΦΗΜΑΤΑ ΚΑΙ ΥΔΡΟΓΡΑΦΗΜΑΤΑ ΣΧΕΔΙΑΣΜΟΥ ΥΠΟΛΕΚΑΝΩΝ	344
5.2 ΔΕΔΟΜΕΝΑ ΚΑΙ ΥΔΡΟΓΡΑΦΗΜΑΤΑ ΣΧΕΔΙΑΣΜΟΥ ΚΛΑΔΩΝ ΥΔΡΟΓΡΑΦΙΚΟΥ ΔΙΚΤΥΟΥ	394
5.3 ΔΕΔΟΜΕΝΑ ΚΑΙ ΥΔΡΟΓΡΑΦΗΜΑΤΑ ΣΧΕΔΙΑΣΜΟΥ ΚΟΜΒΩΝ ΥΔΡΟΓΡΑΦΙΚΟΥ ΔΙΚΤΥΟΥ	423
<u>6 ΔΕΔΟΜΕΝΑ ΕΙΣΟΔΟΥ ΚΑΙ ΑΠΟΤΕΛΕΣΜΑΤΑ ΥΔΡΟΛΟΓΙΚΟΥ ΣΕΝΑΡΙΟΥ T=100L</u>	<u>454</u>
6.1 ΑΠΟΤΕΛΕΣΜΑΤΑ, ΥΕΤΟΓΡΑΦΗΜΑΤΑ ΚΑΙ ΥΔΡΟΓΡΑΦΗΜΑΤΑ ΣΧΕΔΙΑΣΜΟΥ ΥΠΟΛΕΚΑΝΩΝ	455
6.2 ΔΕΔΟΜΕΝΑ ΚΑΙ ΥΔΡΟΓΡΑΦΗΜΑΤΑ ΣΧΕΔΙΑΣΜΟΥ ΚΛΑΔΩΝ ΥΔΡΟΓΡΑΦΙΚΟΥ ΔΙΚΤΥΟΥ	510
6.3 ΔΕΔΟΜΕΝΑ ΚΑΙ ΥΔΡΟΓΡΑΦΗΜΑΤΑ ΣΧΕΔΙΑΣΜΟΥ ΚΟΜΒΩΝ ΥΔΡΟΓΡΑΦΙΚΟΥ ΔΙΚΤΥΟΥ	539
<u>7 ΔΕΔΟΜΕΝΑ ΕΙΣΟΔΟΥ ΚΑΙ ΑΠΟΤΕΛΕΣΜΑΤΑ ΥΔΡΟΛΟΓΙΚΟΥ ΣΕΝΑΡΙΟΥ T=100U</u>	<u>570</u>
7.1 ΑΠΟΤΕΛΕΣΜΑΤΑ, ΥΕΤΟΓΡΑΦΗΜΑΤΑ ΚΑΙ ΥΔΡΟΓΡΑΦΗΜΑΤΑ ΣΧΕΔΙΑΣΜΟΥ ΥΠΟΛΕΚΑΝΩΝ	571
7.2 ΔΕΔΟΜΕΝΑ ΚΑΙ ΥΔΡΟΓΡΑΦΗΜΑΤΑ ΣΧΕΔΙΑΣΜΟΥ ΚΛΑΔΩΝ ΥΔΡΟΓΡΑΦΙΚΟΥ ΔΙΚΤΥΟΥ	621
7.3 ΔΕΔΟΜΕΝΑ ΚΑΙ ΥΔΡΟΓΡΑΦΗΜΑΤΑ ΣΧΕΔΙΑΣΜΟΥ ΚΟΜΒΩΝ ΥΔΡΟΓΡΑΦΙΚΟΥ ΔΙΚΤΥΟΥ	650
<u>8 ΔΕΔΟΜΕΝΑ ΕΙΣΟΔΟΥ ΚΑΙ ΑΠΟΤΕΛΕΣΜΑΤΑ ΥΔΡΟΛΟΓΙΚΟΥ ΣΕΝΑΡΙΟΥ T=1000</u>	<u>681</u>

8.1	ΑΠΟΤΕΛΕΣΜΑΤΑ, ΥΕΤΟΓΡΑΦΗΜΑΤΑ ΚΑΙ ΥΔΡΟΓΡΑΦΗΜΑΤΑ ΣΧΕΔΙΑΣΜΟΥ ΥΠΟΛΕΚΑΝΩΝ	682
8.2	ΔΕΔΟΜΕΝΑ ΚΑΙ ΥΔΡΟΓΡΑΦΗΜΑΤΑ ΣΧΕΔΙΑΣΜΟΥ ΚΛΑΔΩΝ ΥΔΡΟΓΡΑΦΙΚΟΥ ΔΙΚΤΥΟΥ	732
8.3	ΔΕΔΟΜΕΝΑ ΚΑΙ ΥΔΡΟΓΡΑΦΗΜΑΤΑ ΣΧΕΔΙΑΣΜΟΥ ΚΟΜΒΩΝ ΥΔΡΟΓΡΑΦΙΚΟΥ ΔΙΚΤΥΟΥ	761

9 ΔΕΔΟΜΕΝΑ ΕΙΣΟΔΟΥ ΚΑΙ ΑΠΟΤΕΛΕΣΜΑΤΑ ΥΔΡΟΛΟΓΙΚΟΥ ΣΕΝΑΡΙΟΥ T=1000L792

9.1	ΑΠΟΤΕΛΕΣΜΑΤΑ, ΥΕΤΟΓΡΑΦΗΜΑΤΑ ΚΑΙ ΥΔΡΟΓΡΑΦΗΜΑΤΑ ΣΧΕΔΙΑΣΜΟΥ ΥΠΟΛΕΚΑΝΩΝ	793
9.2	ΔΕΔΟΜΕΝΑ ΚΑΙ ΥΔΡΟΓΡΑΦΗΜΑΤΑ ΣΧΕΔΙΑΣΜΟΥ ΚΛΑΔΩΝ ΥΔΡΟΓΡΑΦΙΚΟΥ ΔΙΚΤΥΟΥ	843
9.3	ΔΕΔΟΜΕΝΑ ΚΑΙ ΥΔΡΟΓΡΑΦΗΜΑΤΑ ΣΧΕΔΙΑΣΜΟΥ ΚΟΜΒΩΝ ΥΔΡΟΓΡΑΦΙΚΟΥ ΔΙΚΤΥΟΥ	872

10 ΔΕΔΟΜΕΝΑ ΕΙΣΟΔΟΥ ΚΑΙ ΑΠΟΤΕΛΕΣΜΑΤΑ ΥΔΡΟΛΟΓΙΚΟΥ ΣΕΝΑΡΙΟΥ T=1000U903

10.1	ΑΠΟΤΕΛΕΣΜΑΤΑ, ΥΕΤΟΓΡΑΦΗΜΑΤΑ ΚΑΙ ΥΔΡΟΓΡΑΦΗΜΑΤΑ ΣΧΕΔΙΑΣΜΟΥ ΥΠΟΛΕΚΑΝΩΝ	904
10.2	ΔΕΔΟΜΕΝΑ ΚΑΙ ΥΔΡΟΓΡΑΦΗΜΑΤΑ ΣΧΕΔΙΑΣΜΟΥ ΚΛΑΔΩΝ ΥΔΡΟΓΡΑΦΙΚΟΥ ΔΙΚΤΥΟΥ	954
10.3	ΔΕΔΟΜΕΝΑ ΚΑΙ ΥΔΡΟΓΡΑΦΗΜΑΤΑ ΣΧΕΔΙΑΣΜΟΥ ΚΟΜΒΩΝ ΥΔΡΟΓΡΑΦΙΚΟΥ ΔΙΚΤΥΟΥ	983

1 Μοντέλο Υδρολογικής Προσομοίωσης Λεκάνης Απορροής

Το μοντέλο υδρολογικής προσομοίωσης της λεκάνης απορροής του ποταμού Καλαμά περιλαμβάνει 49 υπολεκάνες, 31 κόμβους και 29 κλάδους του υδρογραφικού δικτύου. Στον κόμβο J3, ο κύριος κλάδος του Καλαμά διακλαδίζεται, καθώς μέρος της απορροής του εκτέπεται προς μια ανακουφιστική τάφρο, η οποία εκβάλλει στη θάλασσα. Η υπολεκάνη EL0512FR001003 την οποία διατρέχει η τάφρος (κλάδος R328) θεωρείται ανεξάρτητο σύστημα, καθώς το μοντέλο δεν έχει τη δυνατότητα αναπαράστασης έργων μερισμού. Συνεπώς, η απορροή όλων των υπολεκανών εκτός της EL0512FR001003 καταλήγει στον κόμβο εξόδου J1, ενώ η απορροή της EL0512FR001003 καταλήγει στον κόμβο J28.

Η σχηματοποίηση του υδρολογικού συστήματος απεικονίζεται στον χάρτη της Εικόνας Error! No text of specified style in document.-1.

Τα χαρακτηριστικά μεγέθη της λεκάνης είναι:

- Έκταση $A = 1769.91 \text{ km}^2$
- Μέσο υψόμετρο $z_m = 513.5 \text{ m}$
- Υψόμετρο κόμβου εξόδου $z_k = 0.0 \text{ m}$
- Μέγιστο μήκος ροής $L_{\max} = 158.3 \text{ km}$
- Χρόνος συγκέντρωσης $t_c = 24.9 \text{ h}$

Για την υδρολογική προσομοίωση επιλέγεται διάρκεια βροχής $D = 48 \text{ h}$ και χρονικό βήμα $\Delta t = 15 \text{ min}$.

Για την παραπάνω έκταση και διάρκεια προκύπτει συντελεστής επιφανειακής αναγωγής $\varphi = 0.896$.

Σημειώνεται, ακόμη, ότι ως μέσο υψόμετρο, το οποίο χρησιμοποιείται για την εκτίμηση του χρόνου συγκέντρωσης της λεκάνης, λαμβάνεται η διάμεσος τιμή και όχι ο μέσος όρος των υψομέτρων, δεδομένου ότι κατά μήκος του Καλαμά αναπτύσσονται μικρές σχετικά κλίσεις, και συνεπώς απαιτούνται σχετικά μεγάλοι χρόνοι ροής για τη διαδρομή από τον πλέον απομακρυσμένο σημείο του υδροκρίτη ως την έξοδο της λεκάνης.

Τα χαρακτηριστικά γεωμετρικά μεγέθη των κλάδων και υπολεκανών του υδρογραφικού δικτύου δίνονται στους Πίνακες 5-2 και 5-3, αντίστοιχα, ενώ τα συγκεντρωτικά αποτελέσματα της συνολικής λεκάνης απορροής δίνονται στον Πίνακα 5-4. Σημειώνεται ότι οι παροχές αιχμής των υδρογραφημάτων αναφέρονται στον κόμβο J1, που αποτελεί έξοδο του κύριου κλάδου του Καλαμά, ενώ οι όγκοι αναφέρονται στο σύνολο της απορροής των υπολεκανών του. Στο Παράρτημα Π1 δίνονται τα πλήρη δεδομένα εισόδου και εξόδου του μοντέλου προσομοίωσης για όλες τις συνιστώσες του δικτύου (υπολεκάνες, κόμβοι, κλάδοι), και τα αντίστοιχα γραφήματα.

Πίνακας Error! No text of specified style in document.-1 Χαρακτηριστικά μεγέθη κλάδων υδρογραφικού δικτύου (υδατορεύματα)

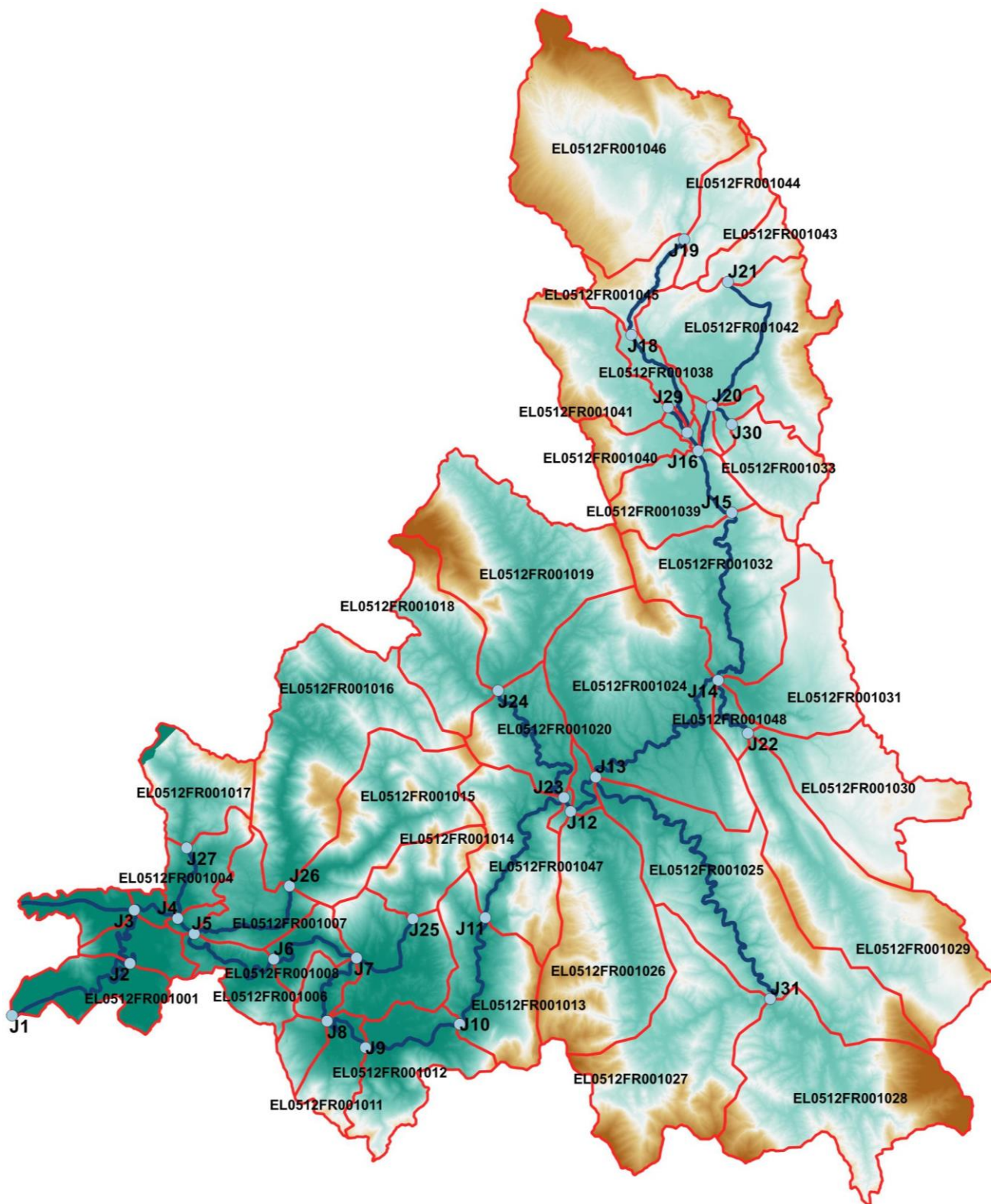
Κωδικός	Ονομασία	Ανάντη	Κατάντη	Μήκος (km)	Μέση κλίση
R21	Καλαμάς	J2	J1	11.171	0.0003
R32	Καλαμάς	J3	J2	6.986	0.0003
R43	Καλαμάς	J4	J3	3.315	0.0021
R54	Καλαμάς	J5	J4	1.403	0.0029
R65	Καλαμάς	J6	J5	8.324	0.0010
R76	Καλαμάς	J7	J6	6.833	0.0009
R87	Καλαμάς	J8	J7	5.463	0.0020
R98	Καλαμάς	J9	J8	4.695	0.0006
R109	Καλαμάς	J10	J9	6.689	0.0008
R1110	Καλαμάς	J11	J10	8.048	0.0019
R1223	Καλαμάς	J12	J23	1.218	0.0054
R1312	Καλαμάς	J13	J12	4.031	0.0002
R1413	Καλαμάς	J14	J13	14.681	0.0044
R1514	Καλαμάς	J15	J14	15.848	0.0127

Κωδικός	Ονομασία	Ανάντη	Κατάντη	Μήκος (km)	Μέση κλίση
R1615	Καλαμάς	J16	J15	4.710	0.0038
R1716	Καλαμάς	J17	J16	1.285	0.0034
R1817	Καλαμάς	J18	J17	7.461	0.0048
R1918	Καλαμάς	J19	J18	7.698	0.0067
R2016	Καλαμάς	J20	J16	2.932	0.0038
R2120		J21	J20	10.404	0.0095
R2214	Σμόλιτσας	J22	J14	5.745	0.0097
R2311	Καλαμάς	J23	J11	11.416	0.0020
R2423	Καλαμάς	J24	J23	13.809	0.0056
R257		J25	J7	6.046	0.0141
R265	Καλαμάς	J26	J5	8.885	0.0038
R274	Καλαμάς	J27	J4	5.305	0.0175
R2917		J29	J17	1.981	0.0124
R3020		J30	J20	1.661	0.0046
R3113	Τύρια	J31	J13	29.145	0.0063

Πίνακας Error! No text of specified style in document.-2 Χαρακτηριστικά μεγέθη υπολεκανών

Κωδικός	Λεκάνη απορροής	Κλάδος	Κόμβος εξόδου	Έκταση (km ²)	Μέσο υψόμετρο (m)	Υψόμετρο εξόδου (m)	Μέγιστο μήκος ροής (km)
EL0512FR001001	EL0512FR000001	R21	J1	25.056	21.6	0.0	8.1
EL0512FR001002	EL0512FR000001	R32	J2	13.382	44.3	0.0	6.6
EL0512FR001003	EL0512FR000001		J28	11.793	36.6	0.0	8.3
EL0512FR001004	EL0512FR000001	R274	J4	17.065	232.5	3.4	9.9
EL0512FR001005	EL0512FR000001	R54	J4	3.171	122.3	1.9	3.4
EL0512FR001006	EL0512FR000001	R65	J5	18.764	163.7	8.3	6.5
EL0512FR001007	EL0512FR000001	R265	J5	22.719	193.4	12.2	12.0
EL0512FR001008	EL0512FR000001	R76	J6	12.833	164.7	26.3	7.3
EL0512FR001009	EL0512FR000001	R87	J7	9.146	173.0	26.8	6.3
EL0512FR001010	EL0512FR000001	R257	J7	37.243	176.1	26.8	8.9
EL0512FR001011	EL0512FR000001	R98	J8	16.642	297.9	26.3	6.8
EL0512FR001012	EL0512FR000001	R109	J9	37.818	284.1	21.8	8.8
EL0512FR001013	EL0512FR000001	R1110	J10	42.556	427.6	33.3	12.5
EL0512FR001014	EL0512FR000001		J25	20.411	521.9	98.3	9.8
EL0512FR001015	EL0512FR000001		J26	55.38	487.0	48.2	18.0
EL0512FR001016	EL0512FR000001		J26	87.237	439.8	46.4	30.9
EL0512FR001017	EL0512FR000001		J27	29.085	459.1	102.2	10.2
EL0512FR001018	EL0512FR000001		J24	36.969	579.9	165.3	15.531
EL0512FR001019	EL0512FR000001		J24	88.246	575.4	162.8	26.153
EL0512FR001020	EL0512FR000001	R2423	J23	29.812	315.5	76.6	12.752
EL0512FR001021	EL0512FR000001	R1223	J23	1.648	281.2	78.3	2.001
EL0512FR001024	EL0512FR000001	R1413	J13	104.31	355.3	94.2	19.868
EL0512FR001025	EL0512FR000001	R3113	J13	99.972	482.2	93.1	26.899
EL0512FR001026	EL0512FR000001		J12	78.819	587.4	83.0	26.108
EL0512FR001027	EL0512FR000001		J31	79.87	695.3	278.1	20.96
EL0512FR001028	EL0512FR000001		J31	92.8	729.2	277.6	22.293
EL0512FR001029	EL0512FR000001		J22	88.684	628.9	213.9	31.93

Κωδικός	Λεκάνη απορροής	Κλάδος	Κόμβος εξόδου	Έκταση (km ²)	Μέσο υψόμετρο (m)	Υψόμετρο εξόδου (m)	Μέγιστο μήκος ροής (km)
EL0512FR001030	EL0512FR000001		J22	54.364	640.3	210.4	21.596
EL0512FR001031	EL0512FR000001		J14	44.831	527.9	155.0	17.681
EL0512FR001032	EL0512FR000001	R1514	J14	62.745	470.8	153.5	17.47
EL0512FR001033	EL0512FR000001		J30	25.852	601	386.4	11.48
EL0512FR001034	EL0512FR000001	R3020	J20	4.705	443	379.6	2.38
EL0512FR001035	EL0512FR000001	R2016	J16	3.146	427.7	375.4	4.381
EL0512FR001036	EL0512FR000001	R1716	J16	1.136	383.4	375.1	1.74
EL0512FR001037	EL0512FR000001	R2917	J17	1.46	388.7	381.1	2.279
EL0512FR001038	EL0512FR000001	R1817	J17	10.019	421.7	379.8	10.176
EL0512FR001039	EL0512FR000001	R1615	J15	30.28	493	363.9	8.92
EL0512FR001040	EL0512FR000001		J16	14.446	690.6	378.3	7.498
EL0512FR001041	EL0512FR000001		J29	37.27	639	387.0	15.794
EL0512FR001042	EL0512FR000001	R2120	J20	72.528	589.3	378.7	14.722
EL0512FR001043	EL0512FR000001		J21	13.209	658.4	480.1	6.823
EL0512FR001044	EL0512FR000001		J19	23.957	658.7	467.4	9.666
EL0512FR001045	EL0512FR000001	R1918	J18	15.217	679	418.8	8.016
EL0512FR001046	EL0512FR000001		J19	123.673	834.4	469.0	27.022
EL0512FR001047	EL0512FR000001	R2311	J11	46.405	499.6	43.6	10.481
EL0512FR001048	EL0512FR000001	R2214	J14	6.433	321.9	155.5	6.524
EL0512FR001049	EL0512FR000001	R1312	J12	4.804	160.8	82.9	1.905
EL0512FR001050	EL0512FR000001		J8	8.161	294.3	24.3	4.51
EL0512FR001051	EL0512FR000001	R43	J3	3.838	15.5	0.0	3.114

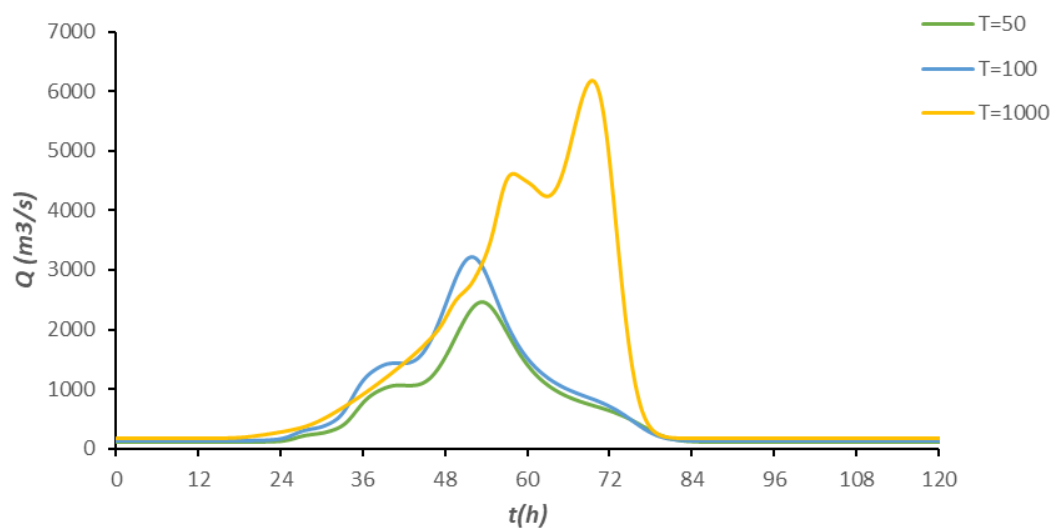


Εικόνα Error! No text of specified style in document.-1 Χάρτης περιοχής μελέτης, στον οποίο απεικονίζεται η σχηματοποίηση των κόμβων και κλάδων του υδρογραφικού δικτύου και των υπολεκανών

Πίνακας Error! No text of specified style in document.-3 Συγκεντρωτικά αποτελέσματα υδρολογικής προσομοίωσης περιοχής μελέτης

Χαρακτηριστικά μεγέθη λεκάνης απορροής Καλαμά			
Έκταση (km ²)	1769.91	Υψόμετρο εξόδου (m)	0.0
Αδιαπέρατη επιφάνεια (%)	0.00	Χρόνος συγκέντρωσης (h)	24.86
Μέγιστο μήκος ροής (km)	158.30	Διάρκεια βροχόπτωσης σχεδιασμού (h)	48.00
Μέσο υψόμετρο (m)	513.5	Χρονικό βήμα (h)	0.25
Συγκεντρωτικά αποτελέσματα υδρολογικής προσομοίωσης λεκάνης			
	Ευμενείς συνθήκες	Μέσες συνθήκες	Δυσμενείς συνθήκες
	Ολικό ύψος επιφανειακής βροχής (mm)		
T = 50	198.7	198.7	198.7
T = 100	232.6	232.6	232.6
T = 1000	381.0	381.0	381.0
	Ολικό ύψος πλημμυρικής απορροής (mm)		
T = 50	58.0	112.8	156.3
T = 100	77.4	141.2	188.5
T = 1000	180.9	274.6	332.9
	Συντελεστής απορροής		
T = 50	0.292	0.568	0.787
T = 100	0.333	0.607	0.810
T = 1000	0.475	0.721	0.874
	Πλημμυρική παροχή αιχμής (m³/s)		
T = 50	1054.8	2360.5	3282.7
T = 100	1545.9	3095	4087.1
T = 1000	4601.7	5993.1	6525.6
	Πλημμυρικός όγκος (hm³)		
T = 50	102.727	199.723	276.690
T = 100	137.063	249.876	333.643
T = 1000	320.101	485.958	589.237
	Συνολική παροχή αιχμής (m³/s)		
T = 50	1161	2466.7	3388.9
T = 100	1669.8	3218.9	4211.0
T = 1000	4778.7	6170.1	6702.6
	Συνολικός όγκος υδρογραφήματος (hm³)		
T = 50	221.612	318.675	395.696
T = 100	278.91	391.801	475.627
T = 1000	530.889	696.862	800.212

Υδρογραφήματα σχεδιασμού στον κόμβο εξόδου(μέσες συνθήκες)



2 Δεδομένα εισόδου και αποτελέσματα υδρολογικού σεναρίου T=50

2.1 Αποτελέσματα, υετογραφήματα και υδρογραφήματα σχεδιασμού υπολεκανών

Υπολεκάνη: EL0512FR1001

Έκταση (KM2) : 25.06

Κατάνη : J1

Μέθοδος Απωλειών: SCS

Ποσοστό αδιαπέρατης επιφάνειας	0
Αριθμός Καμπύλης Απορροής-CN	76.27
Αρχικές Απώλειες	15.81

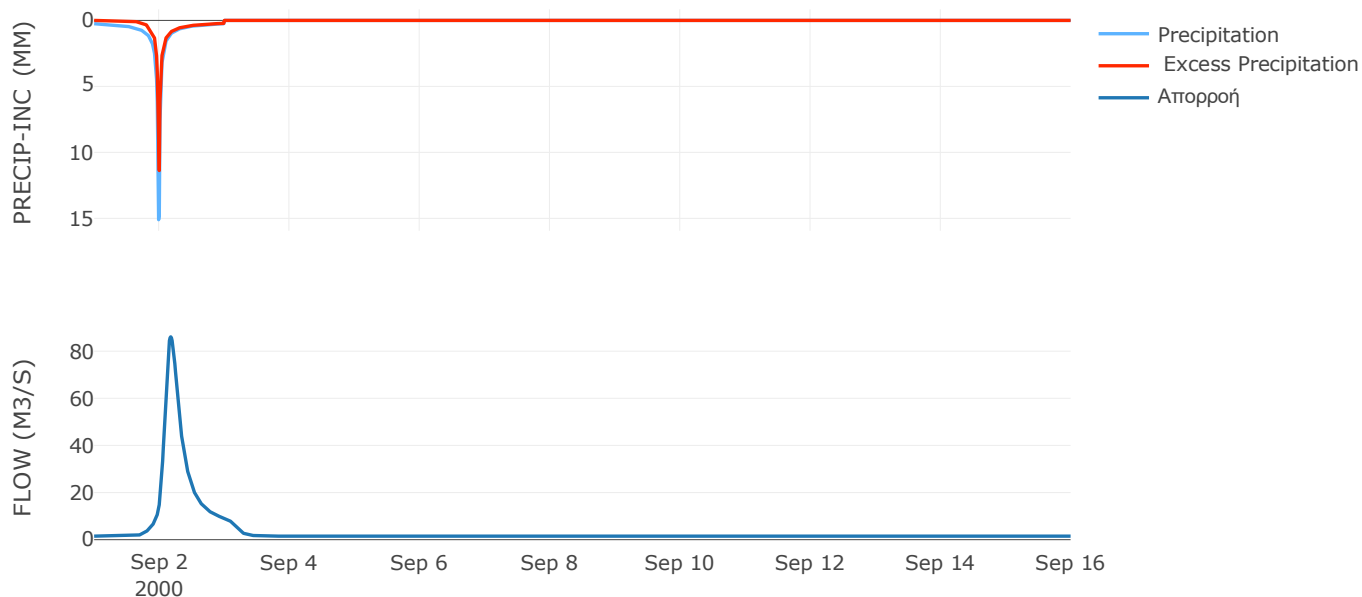
Μέθοδος
Μετασχηματισμού: SCS

Χρόνος Υστέρησης	233.98
------------------	--------

Αποτελέσματα:
EL0512FR1001

Παροχή αιχμής (M3/S)	86.08
Χρονική στιγμή αιχμής	02Sep2000, 04:15
Όγκος (MM)	193.67
Όγκος βροχόπτωσης (M3)	4.65E6
Όγκος απωλειών (M3)	1.75E6
Ενεργός Όγκος (M3)	2.9E6
Όγκος άμεσης απορροής (M3)	2.9E6
Όγκος βασικής απορροής (M3)	1.95E6

Βροχόπτωση και Απορροή



Υπολεκάνη: EL0512FR1002

Έκταση (KM2) : 13.38

Κατάντη : J2

Μέθοδος Απωλειών: SCS

Ποσοστό αδιαπέρατης επιφάνειας	0
Αριθμός Καμπύλης Απορροής-CN	70.83
Αρχικές Απώλειες	20.93

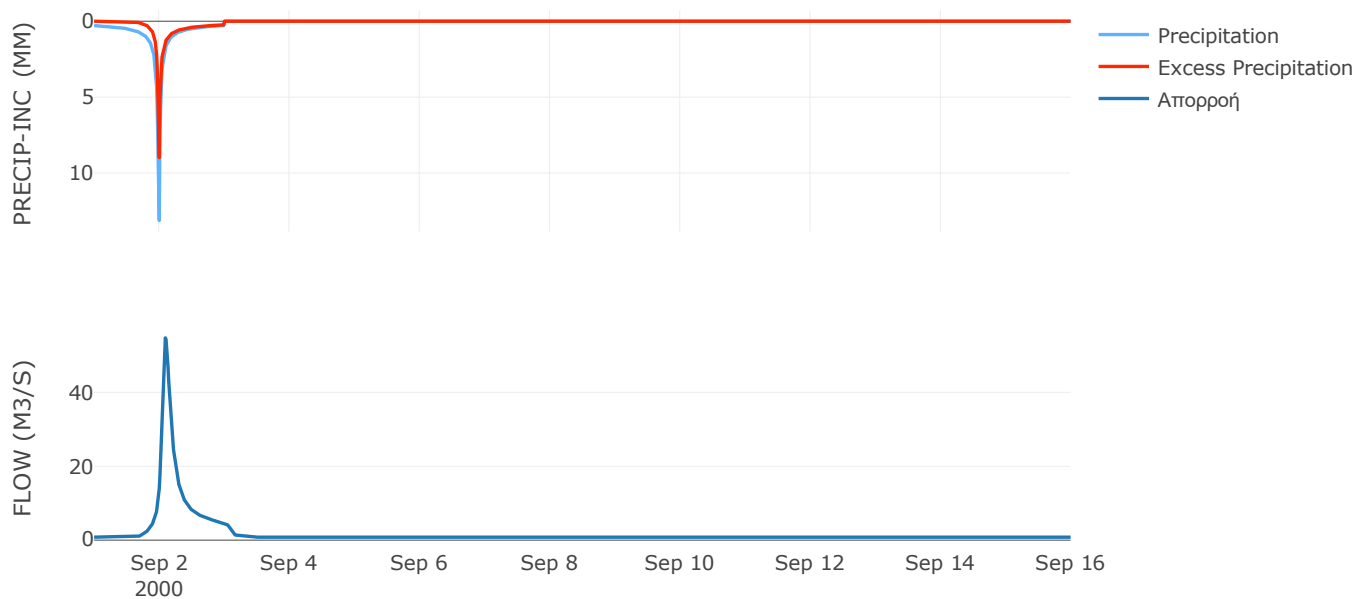
Μέθοδος
Μετασχηματισμού: SCS

Χρόνος Υστέρησης	124.51
------------------	--------

Αποτελέσματα:
EL0512FR1002

Παροχή αιχμής (M3/S)	54.74
Χρονική στιγμή αιχμής	02Sep2000, 02:15
Όγκος (MM)	179.76
Όγκος βροχόπτωσης (M3)	2.5E6
Όγκος απωλειών (M3)	1.14E6
Ενεργός Όγκος (M3)	1.36E6
Όγκος άμεσης απορροής (M3)	1.36E6
Όγκος βασικής απορροής (M3)	1.04E6

Βροχόπτωση και Απορροή



Υπολεκάνη: EL0512FR1003

Έκταση (KM2) : 11.79

Κατάντη : J28

Μέθοδος Απωλειών: SCS

Ποσοστό αδιαπέρατης επιφάνειας	0
Αριθμός Καμπύλης Απορροής-CN	70.25
Αρχικές Απώλειες	21.52

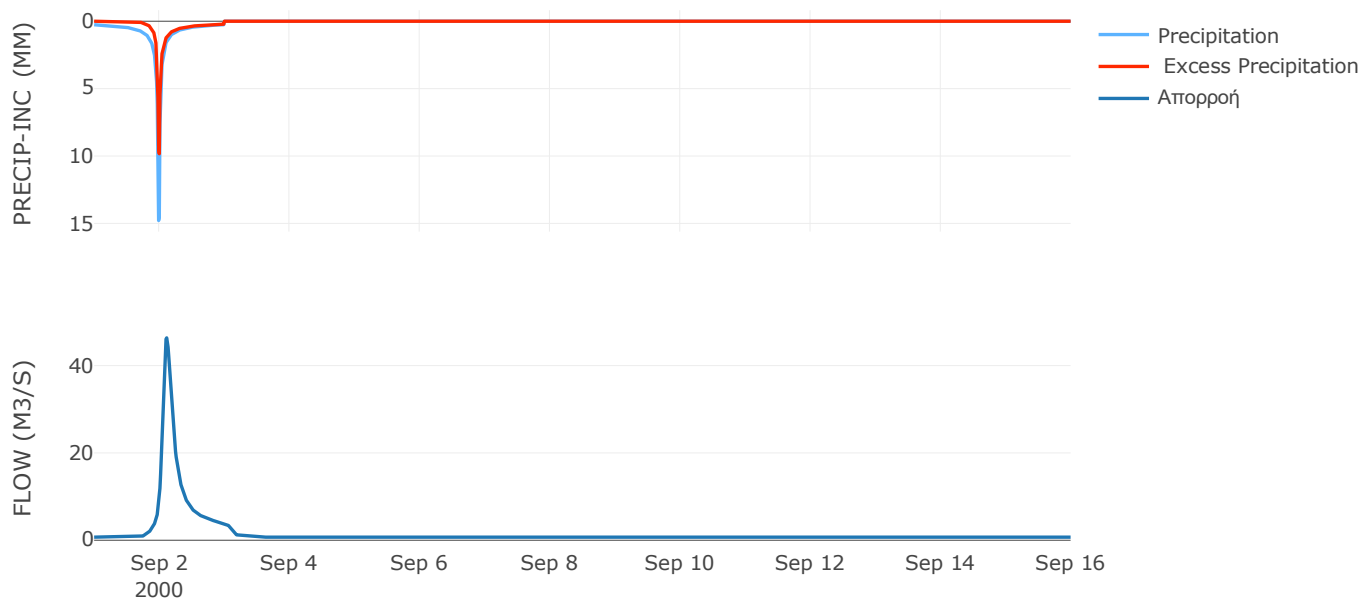
Μέθοδος
Μετασχηματισμού: SCS

Χρόνος Υστέρησης	145.95
------------------	--------

Αποτελέσματα:
EL0512FR1003

Παροχή αιχμής (M3/S)	46.35
Χρονική στιγμή αιχμής	02Sep2000, 02:45
Όγκος (MM)	178.49
Όγκος βροχόπτωσης (M3)	2.21E6
Όγκος απωλειών (M3)	1.02E6
Ενεργός Όγκος (M3)	1.19E6
Όγκος άμεσης απορροής (M3)	1.19E6
Όγκος βασικής απορροής (M3)	9.17E5

Βροχόπτωση και Απορροή



Υπολεκάνη: EL0512FR1004

Έκταση (KM2) : 17.07

Κατάντη : J4

Μέθοδος Απωλειών: SCS

Ποσοστό αδιαπέρατης επιφάνειας	0
Αριθμός Καμπύλης Απορροής-CN	66.83
Αρχικές Απώλειες	25.21

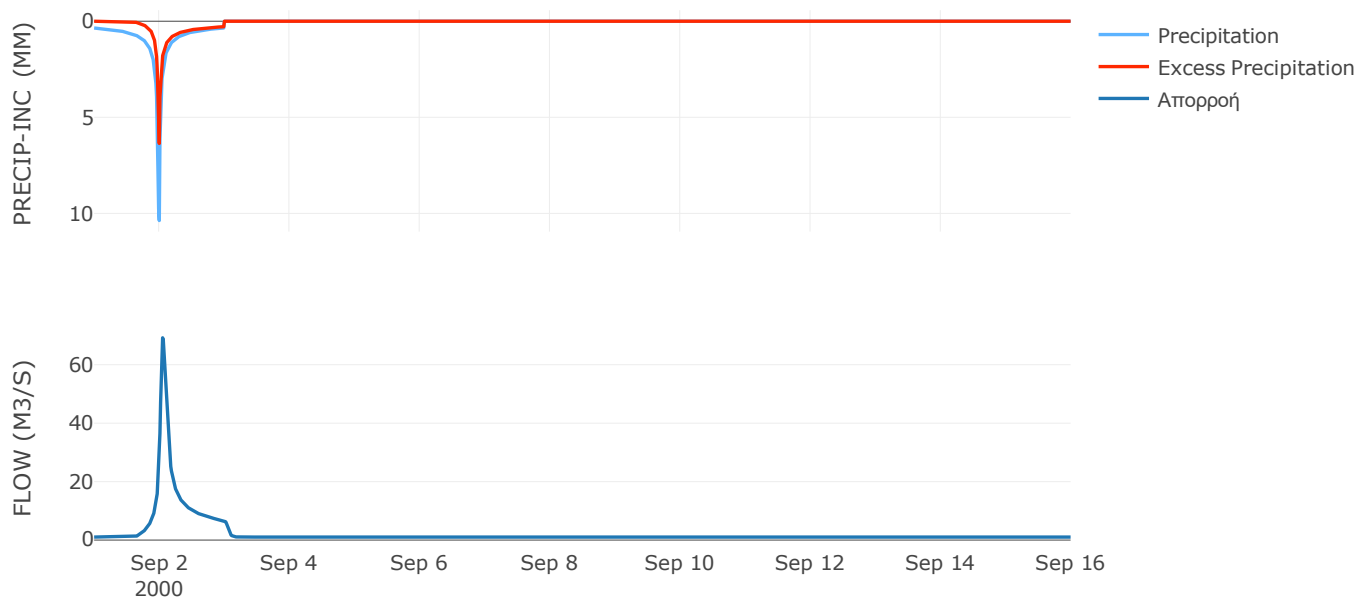
Μέθοδος
Μετασχηματισμού: SCS

Χρόνος Υστέρησης	70.19
------------------	-------

Αποτελέσματα:
EL0512FR1004

Παροχή αιχμής (M3/S)	69.22
Χρονική στιγμή αιχμής	02Sep2000, 01:15
Όγκος (MM)	171.08
Όγκος βροχόπτωσης (M3)	3.24E6
Όγκος απωλειών (M3)	1.65E6
Ενεργός Όγκος (M3)	1.59E6
Όγκος άμεσης απορροής (M3)	1.59E6
Όγκος βασικής απορροής (M3)	1.33E6

Βροχόπτωση και Απορροή



Υπολεκάνη: EL0512FR1005

Έκταση (KM2) : 3.17

Κατάντη : J4

Μέθοδος Απωλειών: SCS

Ποσοστό αδιαπέρατης επιφάνειας	0
Αριθμός Καμπύλης Απορροής-CN	64.33
Αρχικές Απώλειες	28.17

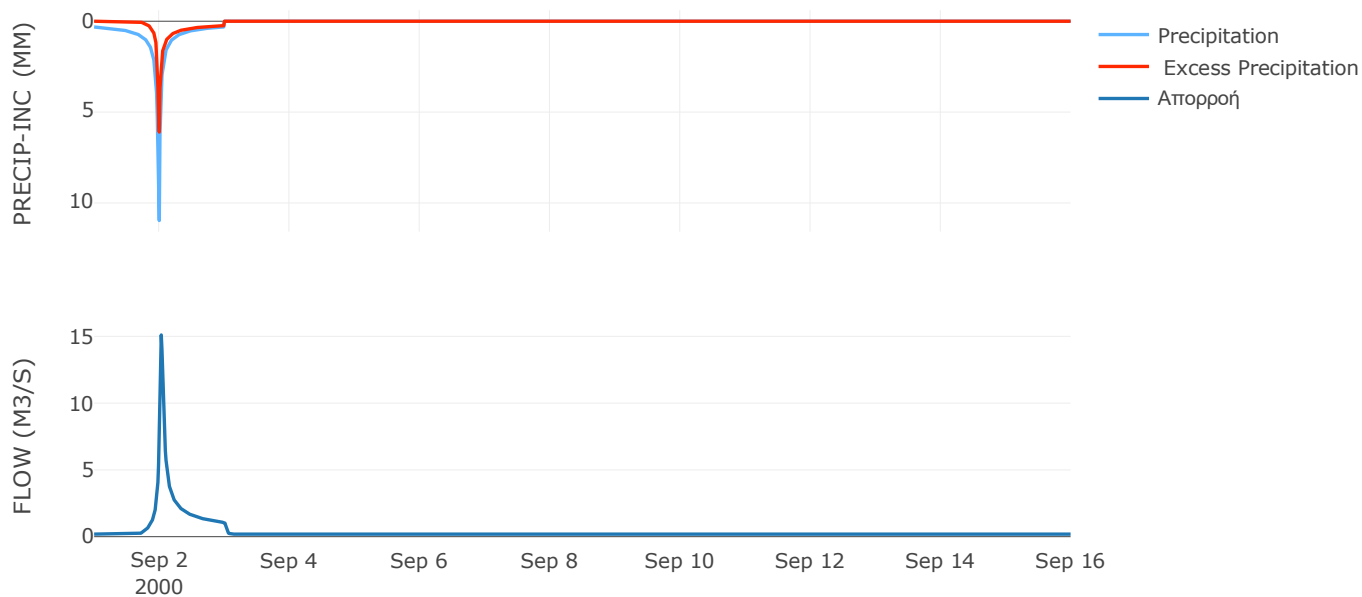
Μέθοδος
Μετασχηματισμού: SCS

Χρόνος Υστέρησης	37.45
------------------	-------

Αποτελέσματα:
EL0512FR1005

Παροχή αιχμής (M3/S)	15.11
Χρονική στιγμή αιχμής	02Sep2000, 00:45
Όγκος (MM)	158.6
Όγκος βροχόπτωσης (M3)	5.79E5
Όγκος απωλειών (M3)	3.23E5
Ενεργός Όγκος (M3)	2.56E5
Όγκος άμεσης απορροής (M3)	2.56E5
Όγκος βασικής απορροής (M3)	2.47E5

Βροχόπτωση και Απορροή



Υπολεκάνη: EL0512FR1006

Έκταση (KM2) : 18.76

Κατάντη : J5

Μέθοδος Απωλειών: SCS

Ποσοστό αδιαπέρατης επιφάνειας	0
Αριθμός Καμπύλης Απορροής-CN	66.68
Αρχικές Απώλειες	25.39

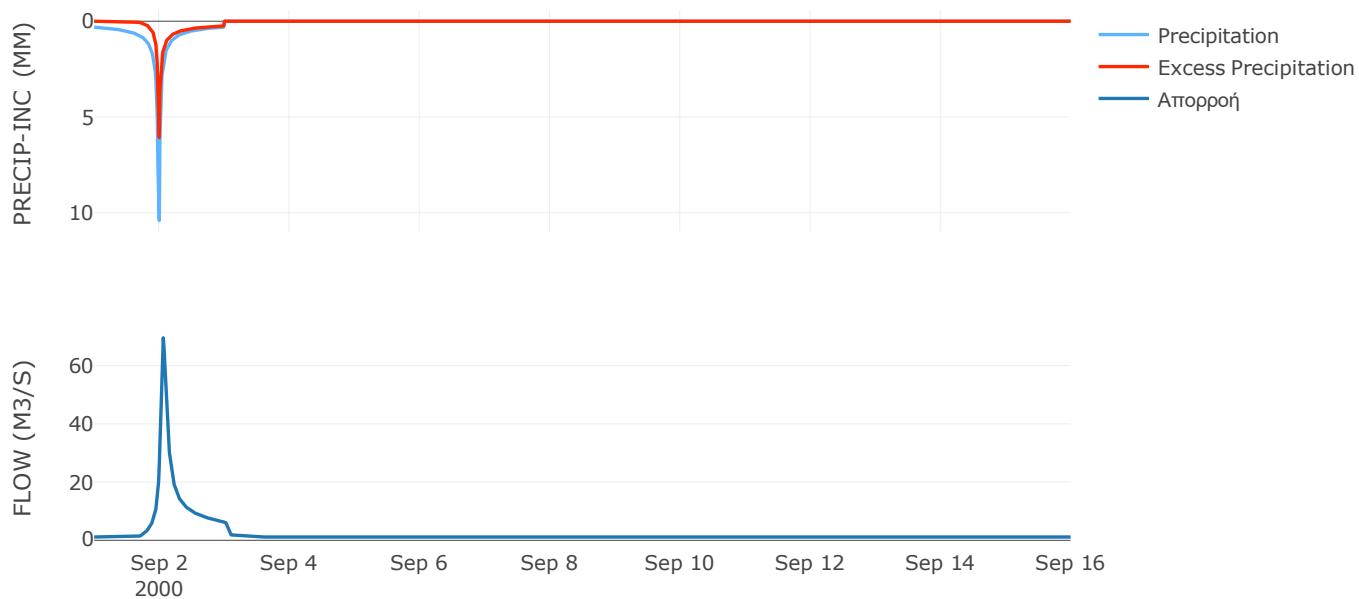
Μέθοδος
Μετασχηματισμού: SCS

Χρόνος Υστέρησης	73.33
------------------	-------

Αποτελέσματα:
EL0512FR1006

Παροχή αιχμής (M3/S)	69.55
Χρονική στιγμή αιχμής	02Sep2000, 01:30
Όγκος (MM)	159.73
Όγκος βροχόπτωσης (M3)	3.31E6
Όγκος απωλειών (M3)	1.77E6
Ενεργός Όγκος (M3)	1.54E6
Όγκος άμεσης απορροής (M3)	1.54E6
Όγκος βασικής απορροής (M3)	1.46E6

Βροχόπτωση και Απορροή



Υπολεκάνη: EL0512FR1007

Έκταση (KM2) : 22.72

Κατάντη : J5

Μέθοδος Απωλειών: SCS

Ποσοστό αδιαπέρατης επιφάνειας	0
Αριθμός Καμπύλης Απορροής-CN	67.42
Αρχικές Απώλειες	24.55

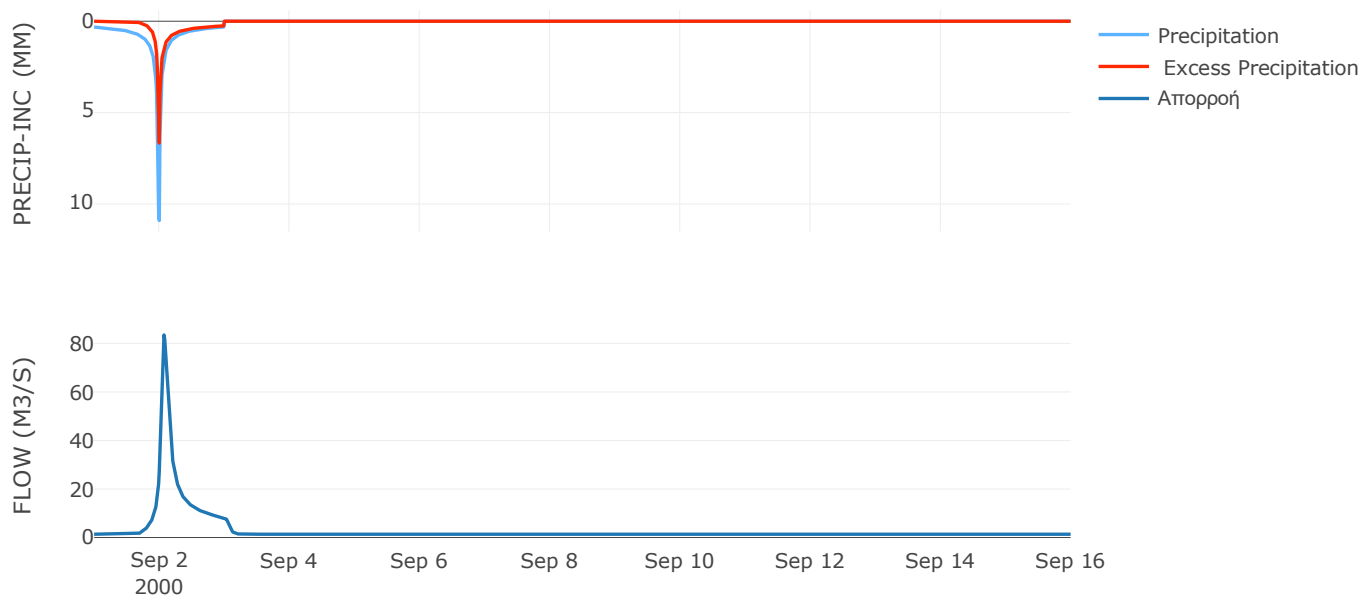
Μέθοδος
Μετασχηματισμού: SCS

Χρόνος Υστέρησης	93
------------------	----

Αποτελέσματα:
EL0512FR1007

Παροχή αιχμής (M3/S)	83.5
Χρονική στιγμή αιχμής	02Sep2000, 01:45
Όγκος (MM)	166.71
Όγκος βροχόπτωσης (M3)	4.15E6
Όγκος απωλειών (M3)	2.13E6
Ενεργός Όγκος (M3)	2.02E6
Όγκος άμεσης απορροής (M3)	2.02E6
Όγκος βασικής απορροής (M3)	1.77E6

Βροχόπτωση και Απορροή



Υπολεκάνη: EL0512FR1008

Έκταση (KM2) : 12.83

Κατάντη : J6

Μέθοδος Απωλειών: SCS

Ποσοστό αδιαπέρατης επιφάνειας	0
Αριθμός Καμπύλης Απορροής-CN	71.21
Αρχικές Απώλειες	20.54

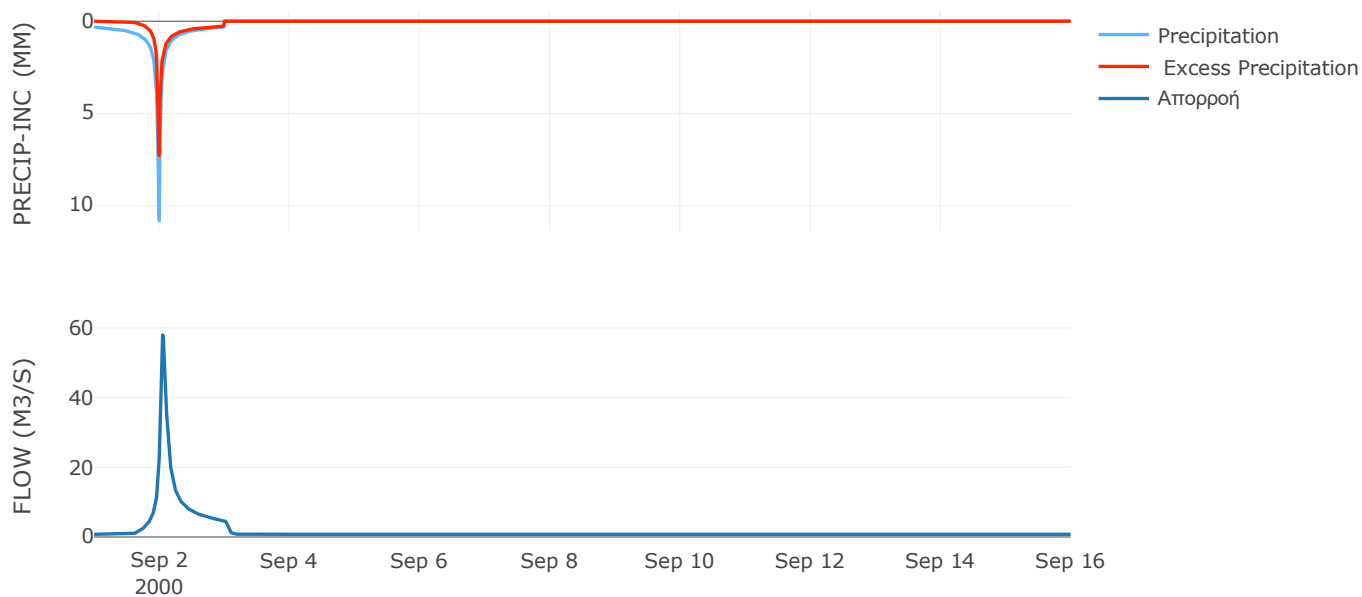
Μέθοδος
Μετασχηματισμού: SCS

Χρόνος Υστέρησης	72.48
------------------	-------

Αποτελέσματα:
EL0512FR1008

Παροχή αιχμής (M3/S)	57.95
Χρονική στιγμή αιχμής	02Sep2000, 01:15
Όγκος (MM)	175.57
Όγκος βροχόπτωσης (M3)	2.32E6
Όγκος απωλειών (M3)	1.07E6
Ενεργός Όγκος (M3)	1.26E6
Όγκος άμεσης απορροής (M3)	1.26E6
Όγκος βασικής απορροής (M3)	9.98E5

Βροχόπτωση και Απορροή



Υπολεκάνη: EL0512FR1009

Έκταση (KM2) : 9.15

Κατάντη : J7

Μέθοδος Απωλειών: SCS

Ποσοστό αδιαπέρατης επιφάνειας	0
Αριθμός Καμπύλης Απορροής-CN	71.39
Αρχικές Απώλειες	20.36

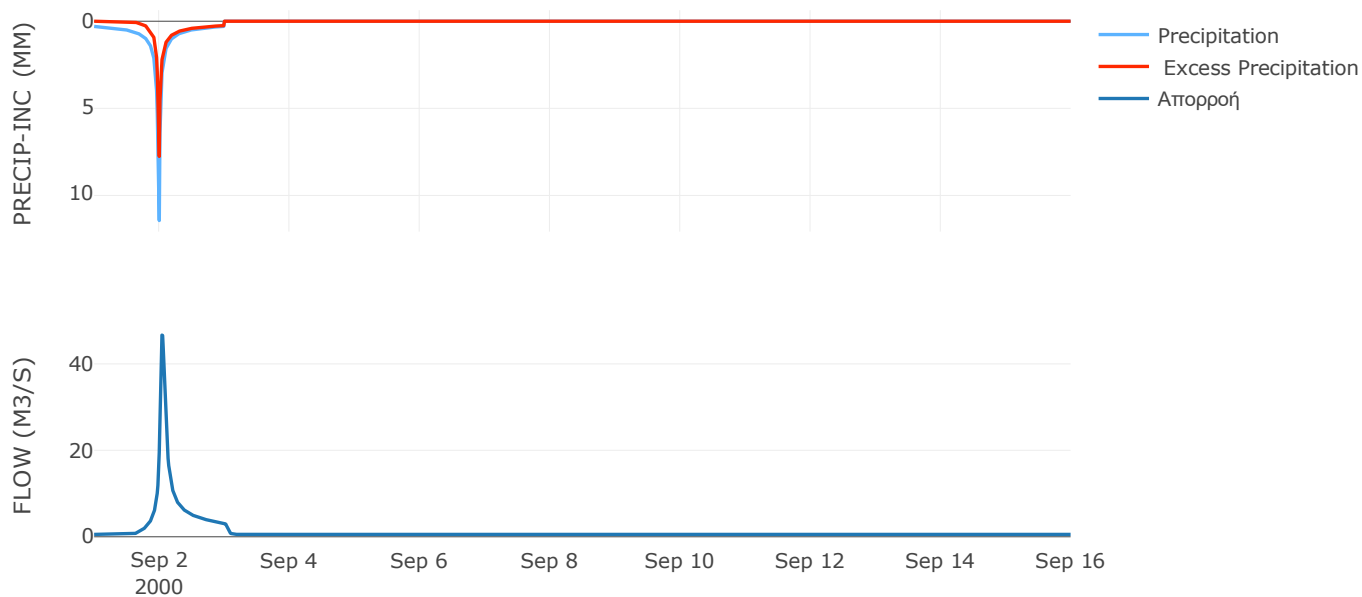
Μέθοδος
Μετασχηματισμού: SCS

Χρόνος Υστέρησης	60.38
------------------	-------

Αποτελέσματα:
EL0512FR1009

Παροχή αιχμής (M3/S)	46.66
Χρονική στιγμή αιχμής	02Sep2000, 01:00
Όγκος (MM)	175.72
Όγκος βροχόπτωσης (M3)	1.65E6
Όγκος απωλειών (M3)	7.56E5
Ενεργός Όγκος (M3)	8.96E5
Όγκος άμεσης απορροής (M3)	8.96E5
Όγκος βασικής απορροής (M3)	7.11E5

Βροχόπτωση και Απορροή



Υπολεκάνη: EL0512FR1010

Έκταση (KM2) : 37.24

Κατάντη : J7

Μέθοδος Απωλειών: SCS

Ποσοστό αδιαπέρατης επιφάνειας	0
Αριθμός Καμπύλης Απορροής-CN	77.26
Αρχικές Απώλειες	14.95

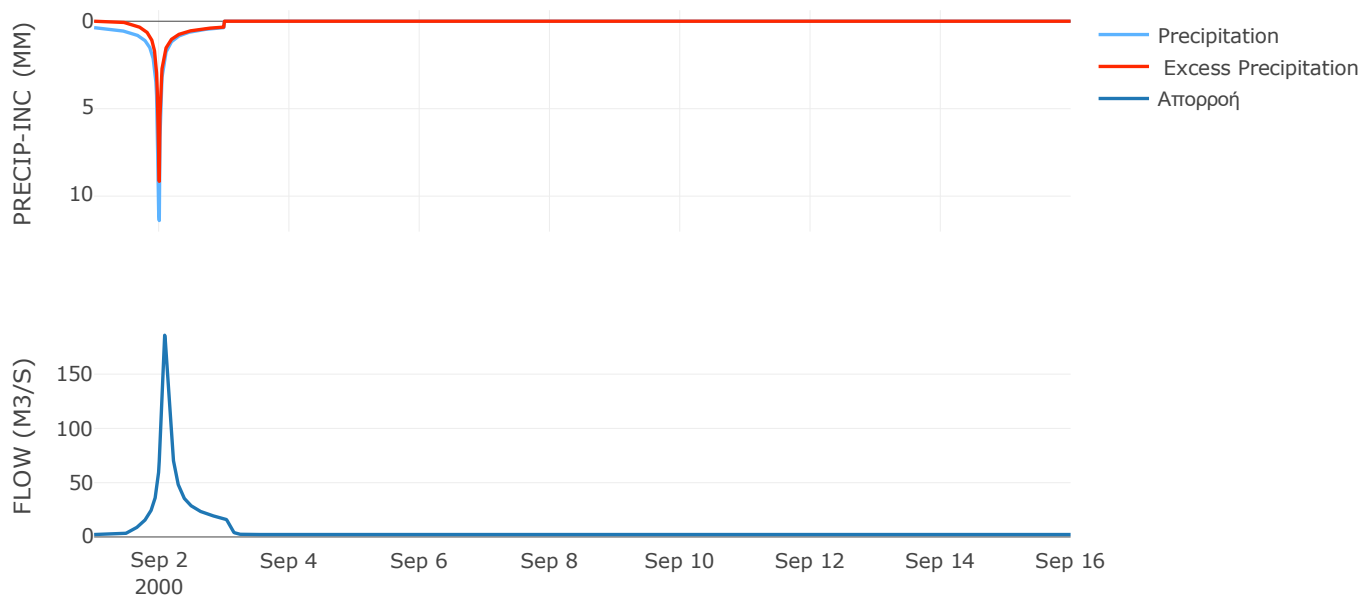
Μέθοδος
Μετασχηματισμού: SCS

Χρόνος Υστέρησης	104.39
------------------	--------

Αποτελέσματα:
EL0512FR1010

Παροχή αιχμής (M3/S)	185.88
Χρονική στιγμή αιχμής	02Sep2000, 02:00
Όγκος (MM)	211.78
Όγκος βροχόπτωσης (M3)	7.54E6
Όγκος απωλειών (M3)	2.55E6
Ενεργός Όγκος (M3)	4.99E6
Όγκος άμεσης απορροής (M3)	4.99E6
Όγκος βασικής απορροής (M3)	2.9E6

Βροχόπτωση και Απορροή



Υπολεκάνη: EL0512FR1011

Έκταση (KM2) : 16.64

Κατάντη : J8

Μέθοδος Απωλειών: SCS

Ποσοστό αδιαπέρατης επιφάνειας	0
Αριθμός Καμπύλης Απορροής-CN	66.04
Αρχικές Απώλειες	26.12

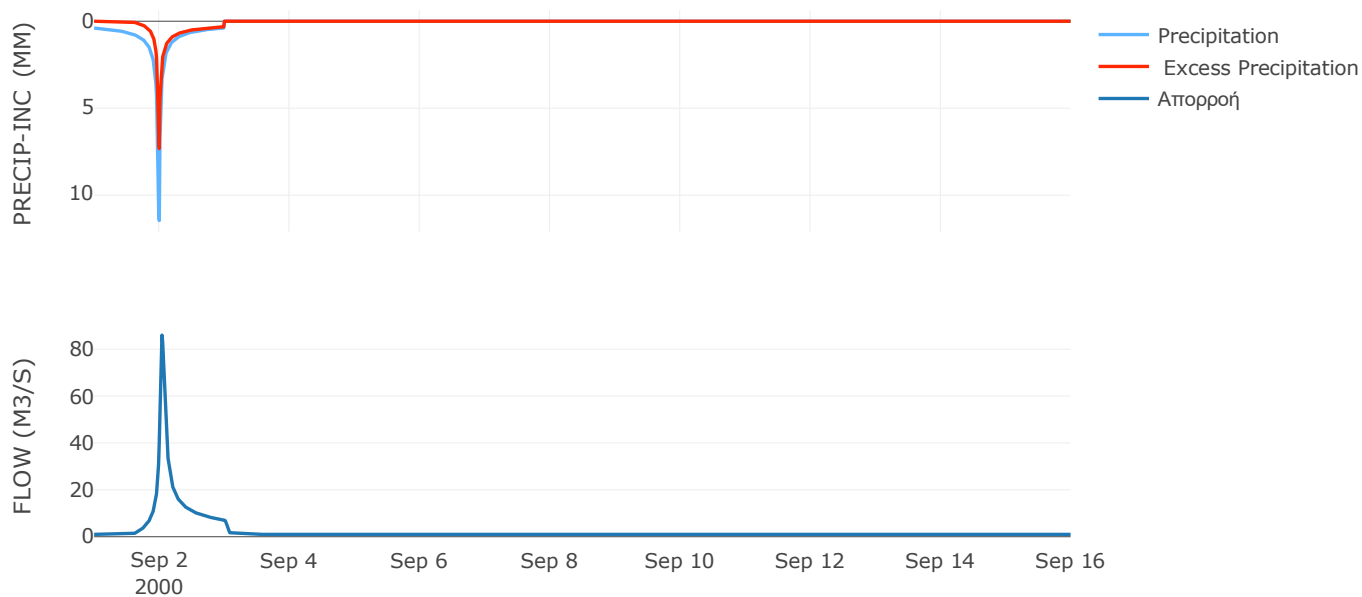
Μέθοδος
Μετασχηματισμού: SCS

Χρόνος Υστέρησης	54.49
------------------	-------

Αποτελέσματα:
EL0512FR1011

Παροχή αιχμής (M3/S)	85.99
Χρονική στιγμή αιχμής	02Sep2000, 01:00
Όγκος (MM)	185.62
Όγκος βροχόπτωσης (M3)	3.5E6
Όγκος απωλειών (M3)	1.71E6
Ενεργός Όγκος (M3)	1.79E6
Όγκος άμεσης απορροής (M3)	1.79E6
Όγκος βασικής απορροής (M3)	1.29E6

Βροχόπτωση και Απορροή



Υπολεκάνη: EL0512FR1012

Έκταση (KM2) : 37.82

Κατάντη : J9

Μέθοδος Απωλειών: SCS

Ποσοστό αδιαπέρατης επιφάνειας	0
Αριθμός Καμπύλης Απορροής-CN	65.34
Αρχικές Απώλειες	26.94

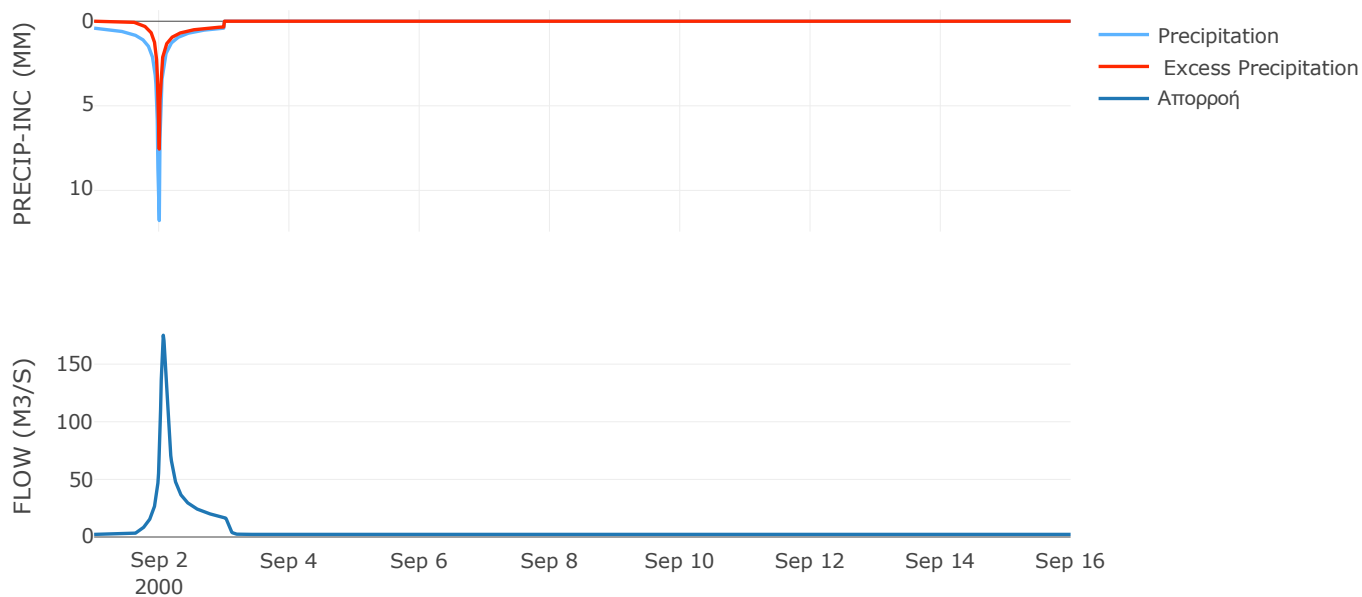
Μέθοδος
Μετασχηματισμού: SCS

Χρόνος Υστέρησης	78.93
------------------	-------

Αποτελέσματα:
EL0512FR1012

Παροχή αιχμής (M3/S)	175.1
Χρονική στιγμή αιχμής	02Sep2000, 01:30
Όγκος (MM)	190.58
Όγκος βροχόπτωσης (M3)	8.28E6
Όγκος απωλειών (M3)	4.01E6
Ενεργός Όγκος (M3)	4.27E6
Όγκος άμεσης απορροής (M3)	4.27E6
Όγκος βασικής απορροής (M3)	2.94E6

Βροχόπτωση και Απορροή



Υπολεκάνη: EL0512FR1013

Έκταση (KM2) : 42.56

Κατάντη : J10

Μέθοδος Απωλειών: SCS

Ποσοστό αδιαπέρατης επιφάνειας	0
Αριθμός Καμπύλης Απορροής-CN	70.31
Αρχικές Απώλειες	21.45

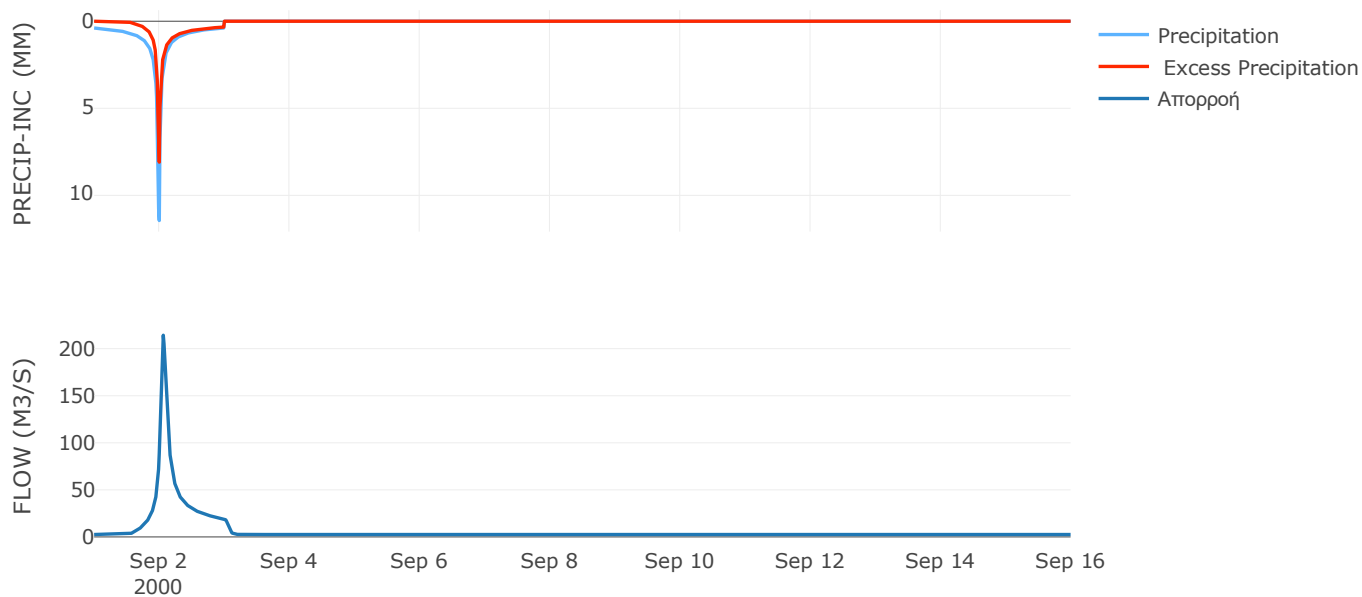
Μέθοδος
Μετασχηματισμού: SCS

Χρόνος Υστέρησης	76.36
------------------	-------

Αποτελέσματα:
EL0512FR1013

Παροχή αιχμής (M3/S)	214.31
Χρονική στιγμή αιχμής	02Sep2000, 01:30
Όγκος (MM)	197.54
Όγκος βροχόπτωσης (M3)	8.92E6
Όγκος απωλειών (M3)	3.82E6
Ενεργός Όγκος (M3)	5.1E6
Όγκος άμεσης απορροής (M3)	5.1E6
Όγκος βασικής απορροής (M3)	3.31E6

Βροχόπτωση και Απορροή



Υπολεκάνη: EL0512FR1014

Έκταση (KM2) : 20.41

Κατάντη : J25

Μέθοδος Απωλειών: SCS

Ποσοστό αδιαπέρατης επιφάνειας	0
Αριθμός Καμπύλης Απορροής-CN	69.15
Αρχικές Απώλειες	22.66

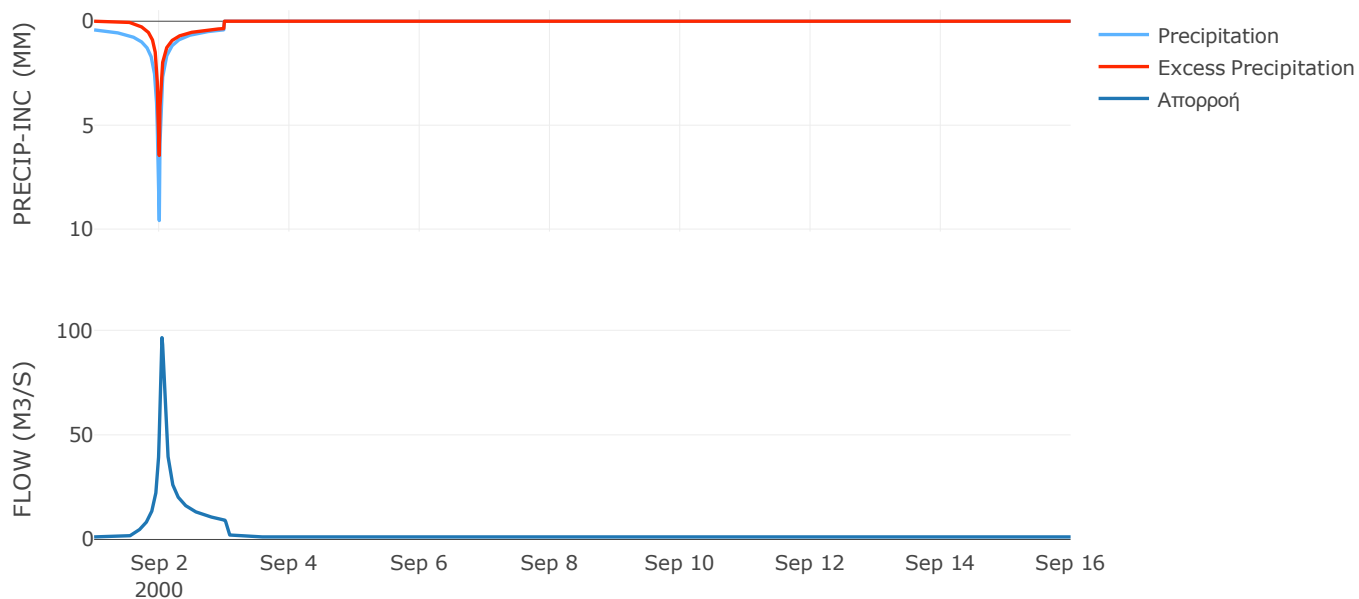
Μέθοδος
Μετασχηματισμού: SCS

Χρόνος Υστέρησης	53.77
------------------	-------

Αποτελέσματα:
EL0512FR1014

Παροχή αιχμής (M3/S)	96.5
Χρονική στιγμή αιχμής	02Sep2000, 01:00
Όγκος (MM)	188.42
Όγκος βροχόπτωσης (M3)	4.14E6
Όγκος απωλειών (M3)	1.88E6
Ενεργός Όγκος (M3)	2.26E6
Όγκος άμεσης απορροής (M3)	2.26E6
Όγκος βασικής απορροής (M3)	1.59E6

Βροχόπτωση και Απορροή



Υπολεκάνη: EL0512FR1015

Έκταση (KM2) : 55.38

Κατάντη : J26

Μέθοδος Απωλειών: SCS

Ποσοστό αδιαπέρατης επιφάνειας	0
Αριθμός Καμπύλης Απορροής-CN	68.76
Αρχικές Απώλειες	23.08

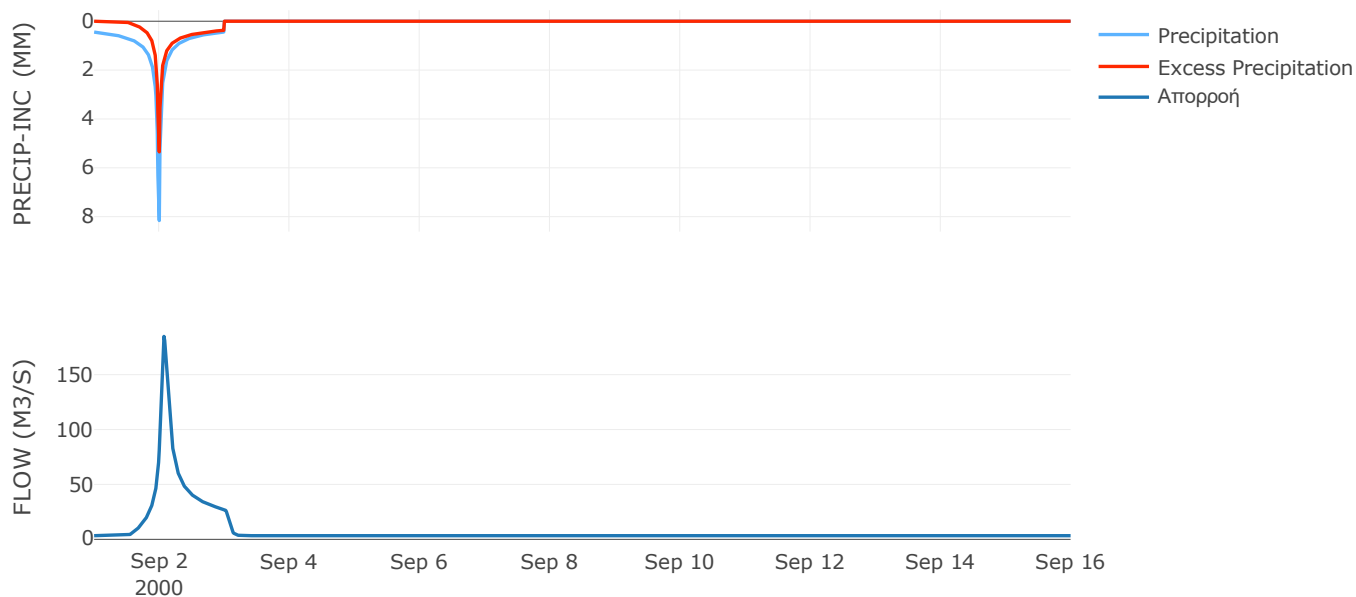
Μέθοδος
Μετασχηματισμού: SCS

Χρόνος Υστέρησης	91.66
------------------	-------

Αποτελέσματα:
EL0512FR1015

Παροχή αιχμής (M3/S)	184.85
Χρονική στιγμή αιχμής	02Sep2000, 01:45
Όγκος (MM)	183.3
Όγκος βροχόπτωσης (M3)	1.1E7
Όγκος απωλειών (M3)	5.13E6
Ενεργός Όγκος (M3)	5.84E6
Όγκος άμεσης απορροής (M3)	5.84E6
Όγκος βασικής απορροής (M3)	4.31E6

Βροχόπτωση και Απορροή



Υπολεκάνη: EL0512FR1016

Έκταση (KM2) : 87.24

Κατάντη : J26

Μέθοδος Απωλειών: SCS

Ποσοστό αδιαπέρατης επιφάνειας	0
Αριθμός Καμπύλης Απορροής-CN	73.07
Αρχικές Απώλειες	18.72

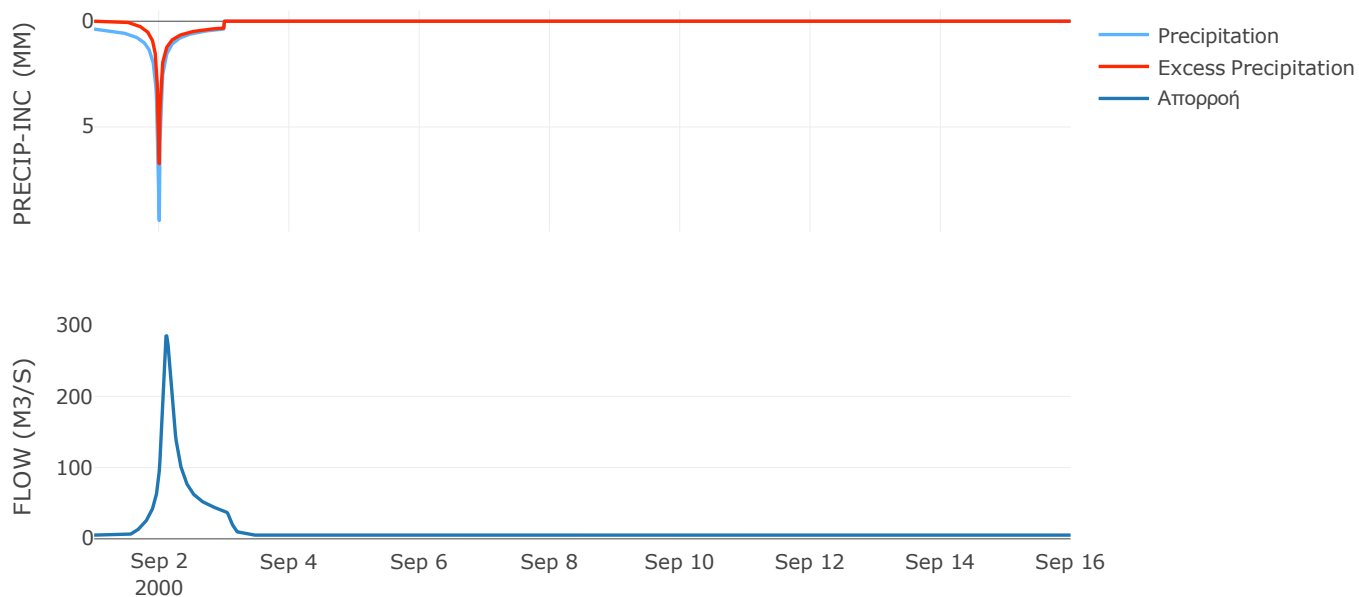
Μέθοδος
Μετασχηματισμού: SCS

Χρόνος Υστέρησης	142.8
------------------	-------

Αποτελέσματα:
EL0512FR1016

Παροχή αιχμής (M3/S)	284.86
Χρονική στιγμή αιχμής	02Sep2000, 02:45
Όγκος (MM)	187.15
Όγκος βροχόπτωσης (M3)	1.64E7
Όγκος απωλειών (M3)	6.9E6
Ενεργός Όγκος (M3)	9.54E6
Όγκος άμεσης απορροής (M3)	9.54E6
Όγκος βασικής απορροής (M3)	6.78E6

Βροχόπτωση και Απορροή



Υπολεκάνη: EL0512FR1017

Έκταση (KM2) : 29.09

Κατάντη : J27

Μέθοδος Απωλειών: SCS

Ποσοστό αδιαπέρατης επιφάνειας	0
Αριθμός Καμπύλης Απορροής-CN	66.49
Αρχικές Απώλειες	25.61

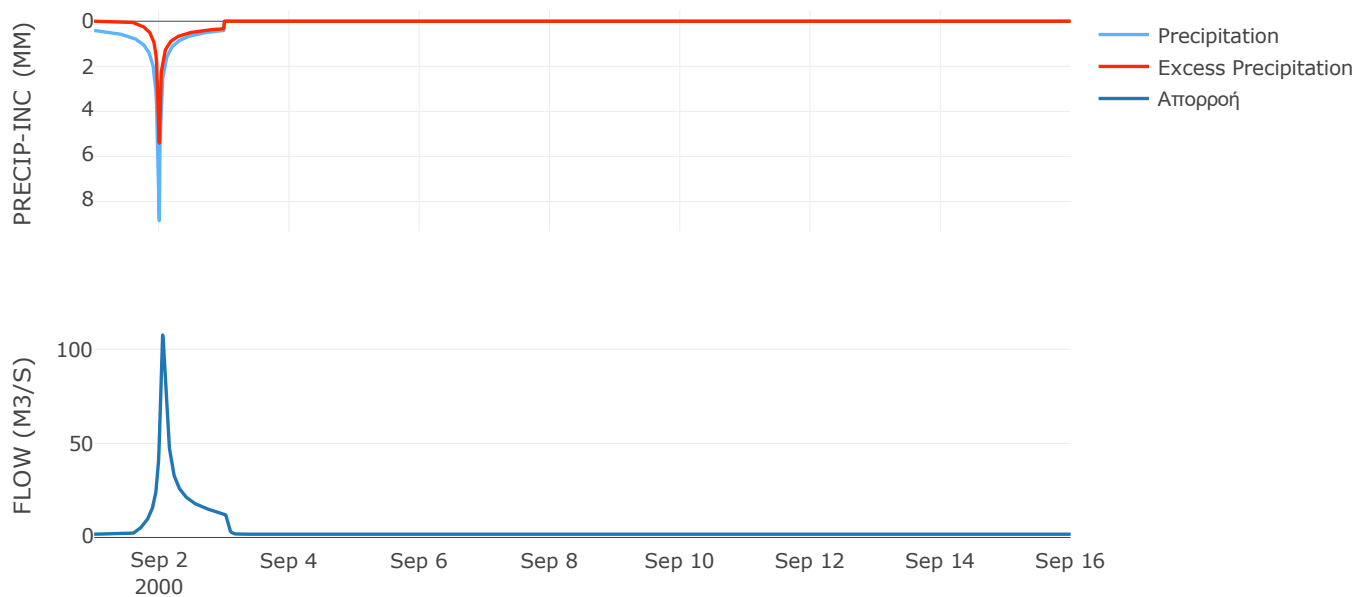
Μέθοδος
Μετασχηματισμού: SCS

Χρόνος Υστέρησης	66
------------------	----

Αποτελέσματα:
EL0512FR1017

Παροχή αιχμής (M3/S)	107.59
Χρονική στιγμή αιχμής	02Sep2000, 01:15
Όγκος (MM)	173.91
Όγκος βροχόπτωσης (M3)	5.66E6
Όγκος απωλειών (M3)	2.86E6
Ενεργός Όγκος (M3)	2.8E6
Όγκος άμεσης απορροής (M3)	2.8E6
Όγκος βασικής απορροής (M3)	2.26E6

Βροχόπτωση και Απορροή



Υπολεκάνη: EL0512FR1018

Έκταση (KM2) : 36.97

Κατάντη : J24

Μέθοδος Απωλειών: SCS

Ποσοστό αδιαπέρατης επιφάνειας	0
Αριθμός Καμπύλης Απορροής-CN	72.2
Αρχικές Απώλειες	19.56

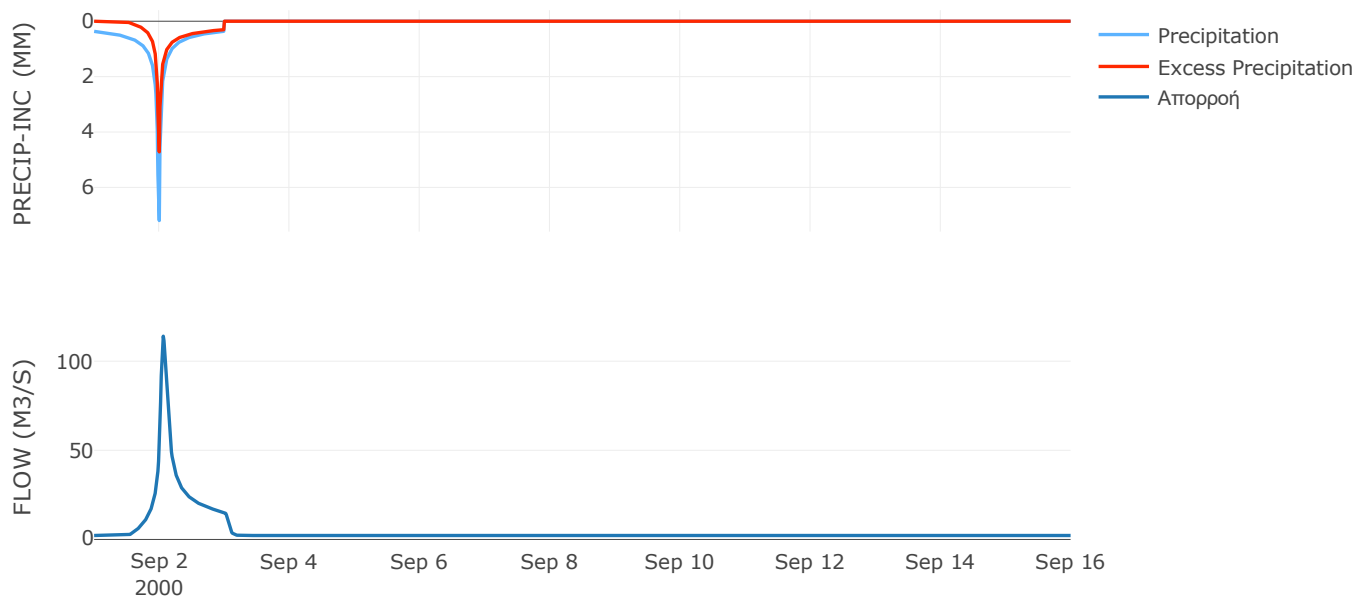
Μέθοδος
Μετασχηματισμού: SCS

Χρόνος Υστέρησης	79.11
------------------	-------

Αποτελέσματα:
EL0512FR1018

Παροχή αιχμής (M3/S)	114.02
Χρονική στιγμή αιχμής	02Sep2000, 01:30
Όγκος (MM)	166.85
Όγκος βροχόπτωσης (M3)	6.19E6
Όγκος απωλειών (M3)	2.9E6
Ενεργός Όγκος (M3)	3.29E6
Όγκος άμεσης απορροής (M3)	3.29E6
Όγκος βασικής απορροής (M3)	2.87E6

Βροχόπτωση και Απορροή



Υπολεκάνη: EL0512FR1019

Έκταση (KM2) : 88.25

Κατάντη : J24

Μέθοδος Απωλειών: SCS

Ποσοστό αδιαπέρατης επιφάνειας	0
Αριθμός Καμπύλης Απορροής-CN	71.07
Αρχικές Απώλειες	20.68

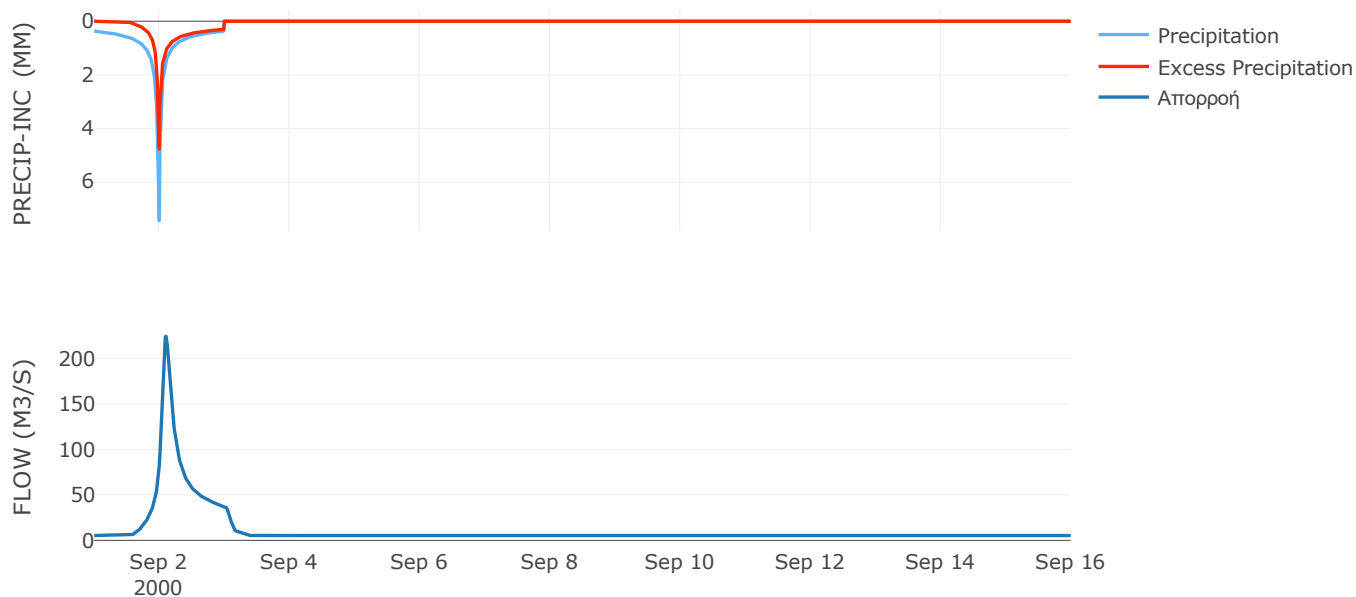
Μέθοδος
Μετασχηματισμού: SCS

Χρόνος Υστέρησης	127.92
------------------	--------

Αποτελέσματα:
EL0512FR1019

Παροχή αιχμής (M3/S)	224.28
Χρονική στιγμή αιχμής	02Sep2000, 02:30
Όγκος (MM)	166.06
Όγκος βροχόπτωσης (M3)	1.5E7
Όγκος απωλειών (M3)	7.22E6
Ενεργός Όγκος (M3)	7.79E6
Όγκος άμεσης απορροής (M3)	7.79E6
Όγκος βασικής απορροής (M3)	6.86E6

Βροχόπτωση και Απορροή



Υπολεκάνη: EL0512FR1020

Έκταση (KM2) : 29.81

Κατάντη : J23

Μέθοδος Απωλειών: SCS

Ποσοστό αδιαπέρατης επιφάνειας	0
Αριθμός Καμπύλης Απορροής-CN	69.78
Αρχικές Απώλειες	22

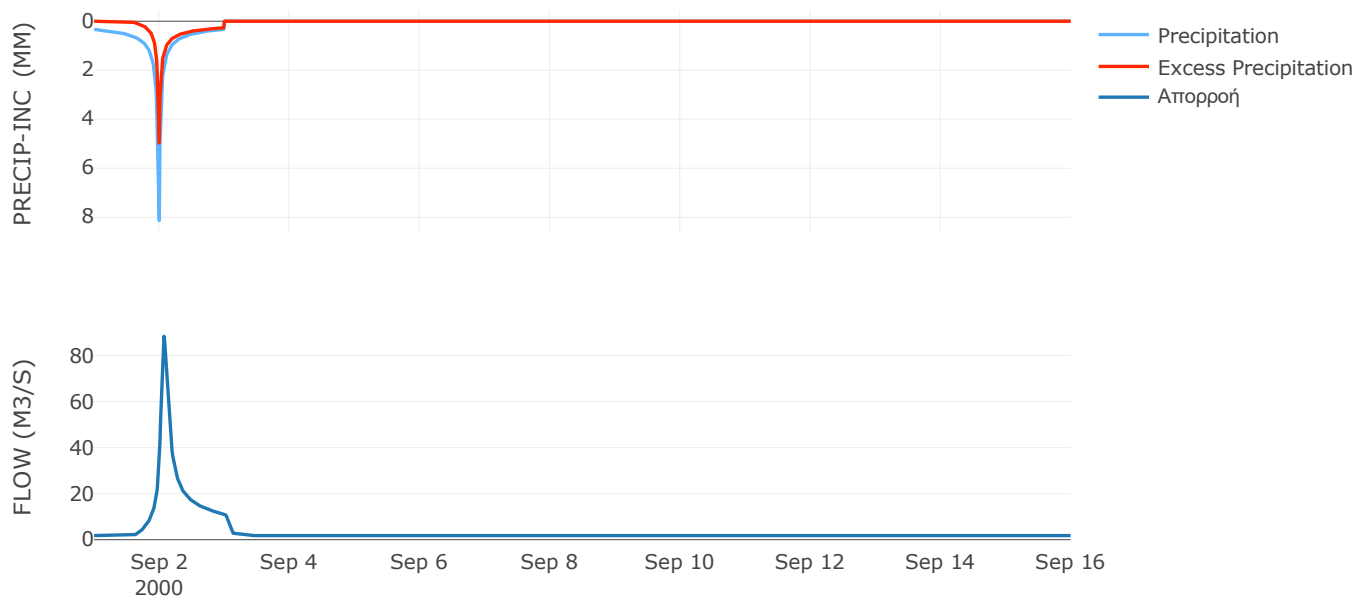
Μέθοδος
Μετασχηματισμού: SCS

Χρόνος Υστέρησης	89.67
------------------	-------

Αποτελέσματα:
EL0512FR1020

Παροχή αιχμής (M3/S)	88.33
Χρονική στιγμή αιχμής	02Sep2000, 01:45
Όγκος (MM)	159.33
Όγκος βροχόπτωσης (M3)	4.95E6
Όγκος απωλειών (M3)	2.51E6
Ενεργός Όγκος (M3)	2.43E6
Όγκος άμεσης απορροής (M3)	2.43E6
Όγκος βασικής απορροής (M3)	2.32E6

Βροχόπτωση και Απορροή



Υπολεκάνη: EL0512FR1021

Έκταση (KM2) : 1.65

Κατάντη : J23

Μέθοδος Απωλειών: SCS

Ποσοστό αδιαπέρατης επιφάνειας	0
Αριθμός Καμπύλης Απορροής-CN	53.33
Αρχικές Απώλειες	44.45

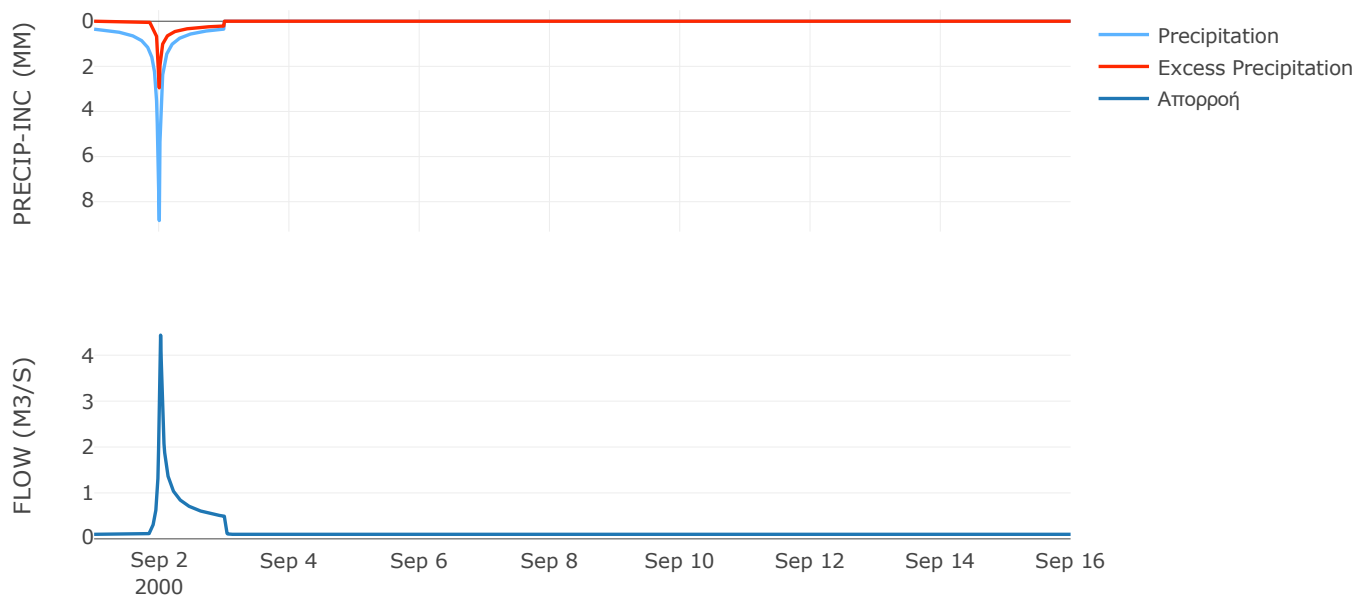
Μέθοδος
Μετασχηματισμού: SCS

Χρόνος Υστέρησης	19.32
------------------	-------

Αποτελέσματα:
EL0512FR1021

Παροχή αιχμής (M3/S)	4.44
Χρονική στιγμή αιχμής	02Sep2000, 00:30
Όγκος (MM)	127.61
Όγκος βροχόπτωσης (M3)	2.93E5
Όγκος απωλειών (M3)	2.1E5
Ενεργός Όγκος (M3)	82148.58
Όγκος άμεσης απορροής (M3)	82148.58
Όγκος βασικής απορροής (M3)	1.28E5

Βροχόπτωση και Απορροή



Υπολεκάνη: EL0512FR1024

Έκταση (KM2) : 104.31

Κατάντη : J13

Μέθοδος Απωλειών: SCS

Ποσοστό αδιαπέρατης επιφάνειας	0
Αριθμός Καμπύλης Απορροής-CN	75.83
Αρχικές Απώλειες	16.19

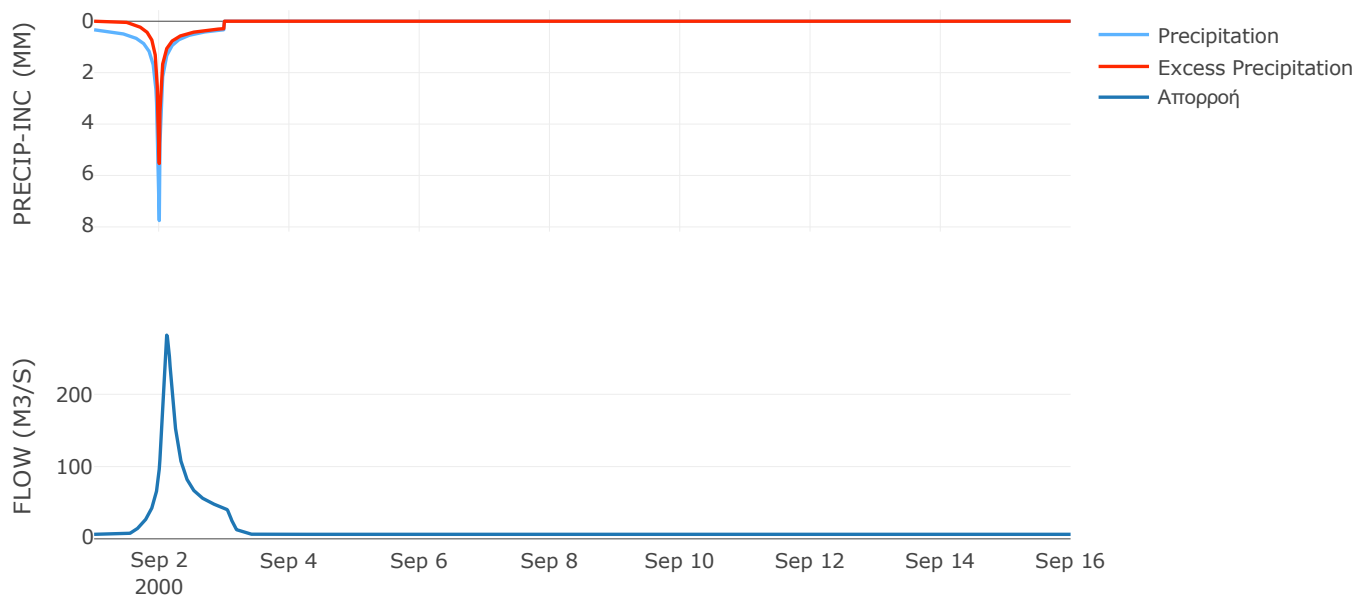
Μέθοδος
Μετασχηματισμού: SCS

Χρόνος Υστέρησης	147.99
------------------	--------

Αποτελέσματα:
EL0512FR1024

Παροχή αιχμής (M3/S)	281.87
Χρονική στιγμή αιχμής	02Sep2000, 02:45
Όγκος (MM)	172.4
Όγκος βροχόπτωσης (M3)	1.7E7
Όγκος απωλειών (M3)	7.13E6
Ενεργός Όγκος (M3)	9.87E6
Όγκος άμεσης απορροής (M3)	9.87E6
Όγκος βασικής απορροής (M3)	8.11E6

Βροχόπτωση και Απορροή



Υπολεκάνη: EL0512FR1025

Έκταση (KM2) : 99.97

Κατάντη : J13

Μέθοδος Απωλειών: SCS

Ποσοστό αδιαπέρατης επιφάνειας	0
Αριθμός Καμπύλης Απορροής-CN	74.06
Αρχικές Απώλειες	17.79

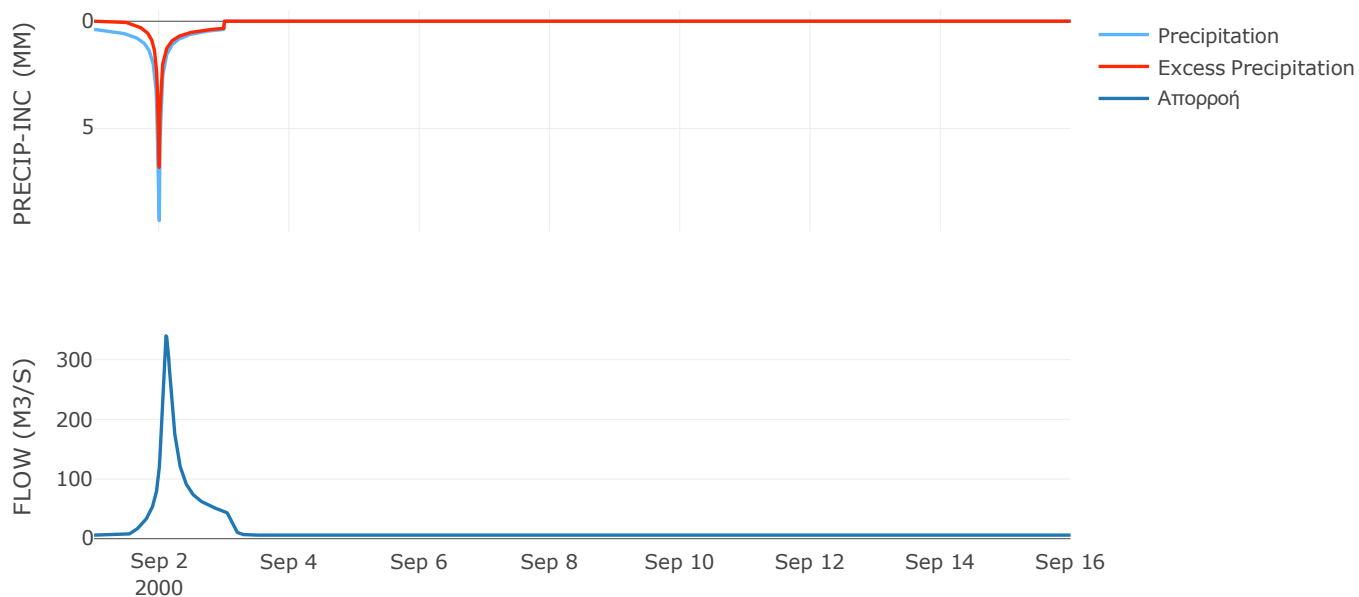
Μέθοδος
Μετασχηματισμού: SCS

Χρόνος Υστέρησης	137.65
------------------	--------

Αποτελέσματα:
EL0512FR1025

Παροχή αιχμής (M3/S)	339.89
Χρονική στιγμή αιχμής	02Sep2000, 02:30
Όγκος (MM)	191.23
Όγκος βροχόπτωσης (M3)	1.9E7
Όγκος απωλειών (M3)	7.64E6
Ενεργός Όγκος (M3)	1.13E7
Όγκος άμεσης απορροής (M3)	1.13E7
Όγκος βασικής απορροής (M3)	7.77E6

Βροχόπτωση και Απορροή



Υπολεκάνη: EL0512FR1026

Έκταση (KM2) : 78.82

Κατάντη : J12

Μέθοδος Απωλειών: SCS

Ποσοστό αδιαπέρατης επιφάνειας	0
Αριθμός Καμπύλης Απορροής-CN	64.62
Αρχικές Απώλειες	27.82

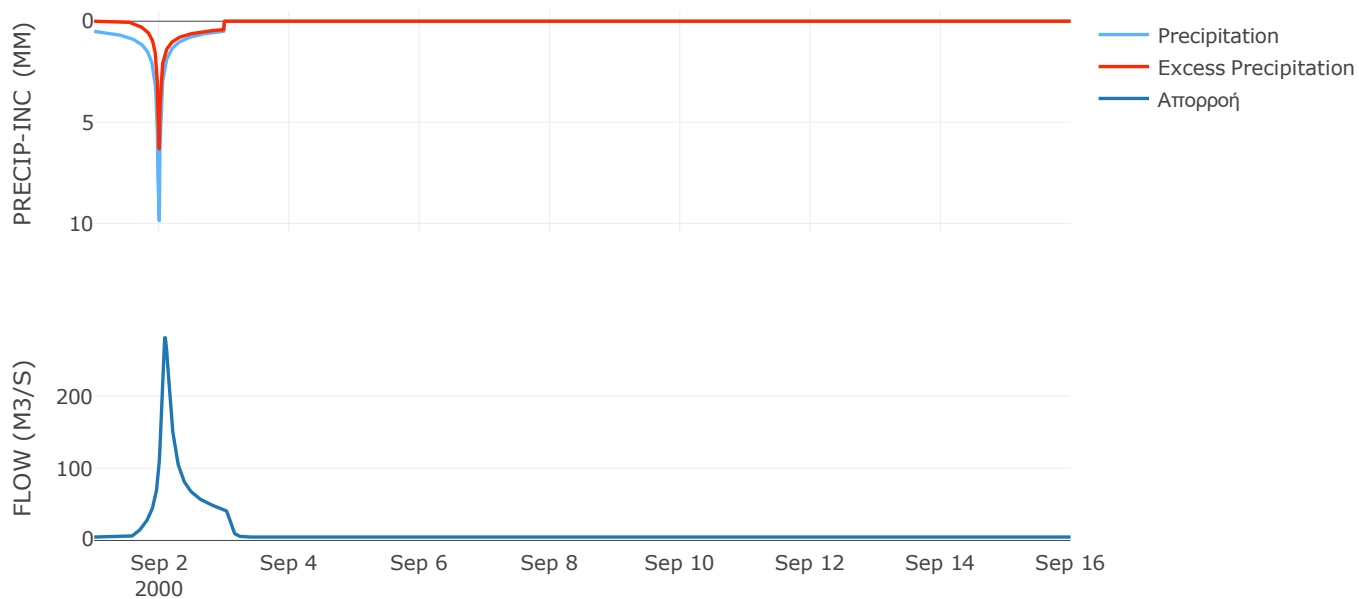
Μέθοδος
Μετασχηματισμού: SCS

Χρόνος Υστέρησης	112.37
------------------	--------

Αποτελέσματα:
EL0512FR1026

Παροχή αιχμής (M3/S)	280.76
Χρονική στιγμή αιχμής	02Sep2000, 02:00
Όγκος (MM)	196.9
Όγκος βροχόπτωσης (M3)	1.81E7
Όγκος απωλειών (M3)	8.68E6
Ενεργός Όγκος (M3)	9.39E6
Όγκος άμεσης απορροής (M3)	9.39E6
Όγκος βασικής απορροής (M3)	6.13E6

Βροχόπτωση και Απορροή



Υπολεκάνη: EL0512FR1027

Έκταση (KM2) : 79.87

Κατάντη : J31

Μέθοδος Απωλειών: SCS

Ποσοστό αδιαπέρατης επιφάνειας	0
Αριθμός Καμπύλης Απορροής-CN	65.3
Αρχικές Απώλειες	27

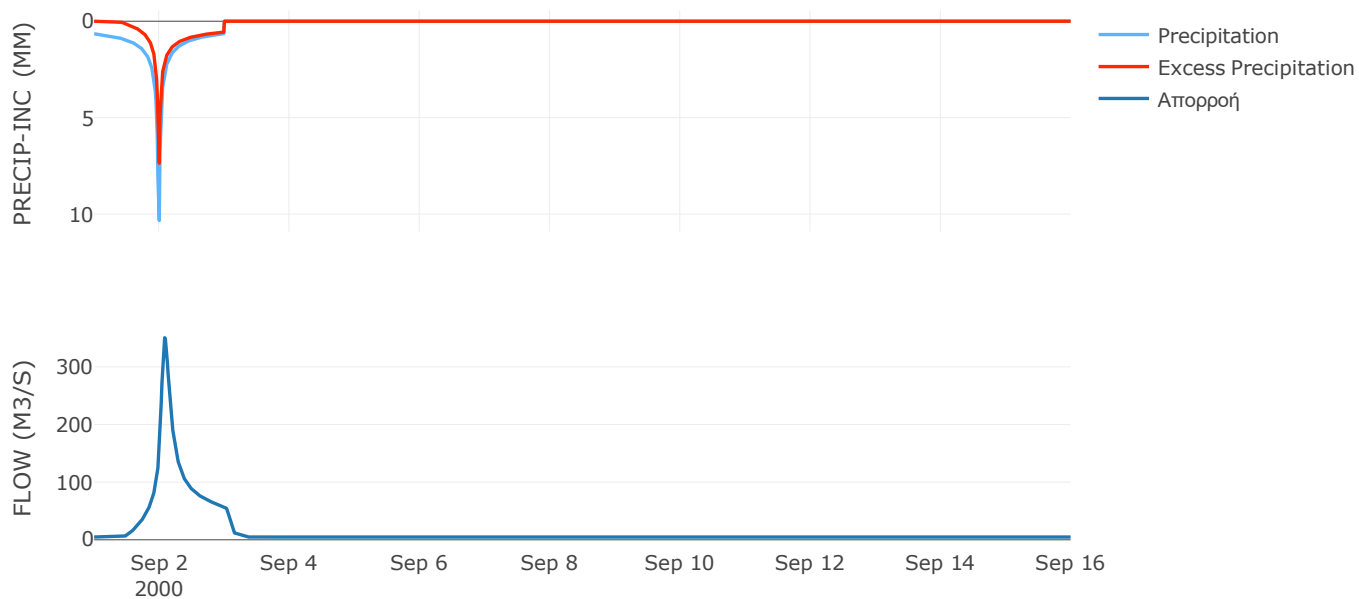
Μέθοδος
Μετασχηματισμού: SCS

Χρόνος Υστέρησης	111.05
------------------	--------

Αποτελέσματα:
EL0512FR1027

Παροχή αιχμής (M3/S)	350.55
Χρονική στιγμή αιχμής	02Sep2000, 02:00
Όγκος (MM)	238.17
Όγκος βροχόπτωσης (M3)	2.19E7
Όγκος απωλειών (M3)	9.14E6
Ενεργός Όγκος (M3)	1.28E7
Όγκος άμεσης απορροής (M3)	1.28E7
Όγκος βασικής απορροής (M3)	6.21E6

Βροχόπτωση και Απορροή



Υπολεκάνη: EL0512FR1028

Έκταση (KM2) : 92.8

Κατάντη : J31

Μέθοδος Απωλειών: SCS

Ποσοστό αδιαπέρατης επιφάνειας	0
Αριθμός Καμπύλης Απορροής-CN	73.1
Αρχικές Απώλειες	18.7

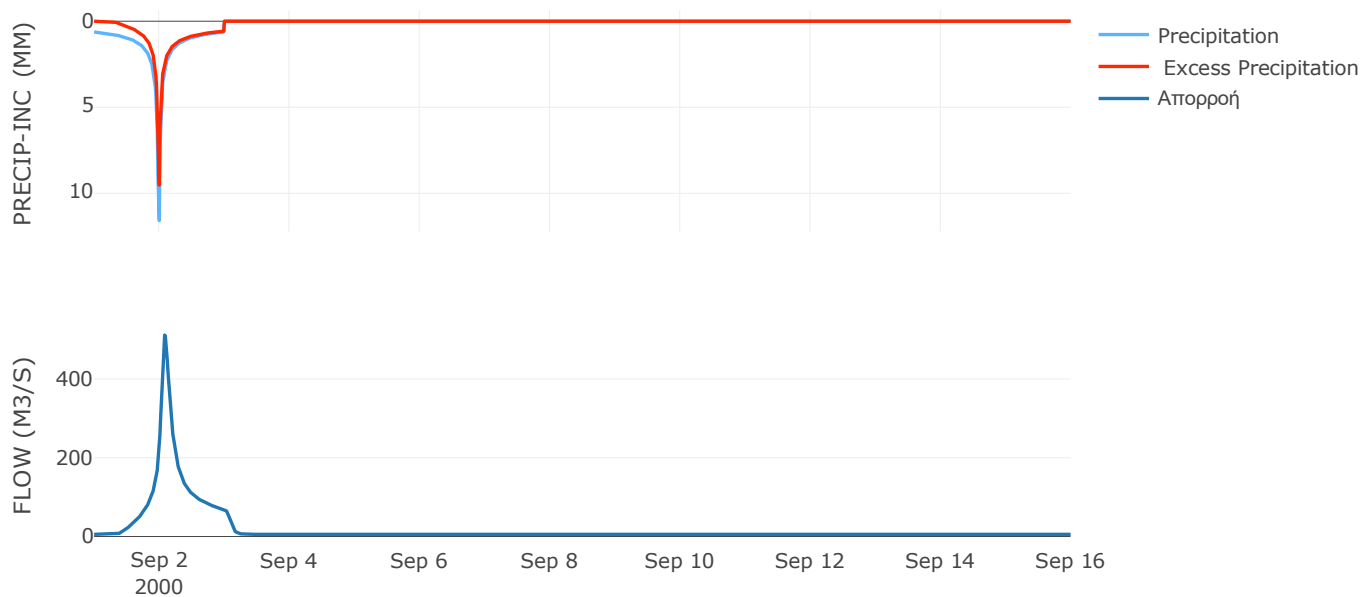
Μέθοδος
Μετασχηματισμού: SCS

Χρόνος Υστέρησης	113.69
------------------	--------

Αποτελέσματα:
EL0512FR1028

Παροχή αιχμής (M3/S)	511.53
Χρονική στιγμή αιχμής	02Sep2000, 02:00
Όγκος (MM)	269.51
Όγκος βροχόπτωσης (M3)	2.59E7
Όγκος απωλειών (M3)	8.12E6
Ενεργός Όγκος (M3)	1.78E7
Όγκος άμεσης απορροής (M3)	1.78E7
Όγκος βασικής απορροής (M3)	7.22E6

Βροχόπτωση και Απορροή



Υπολεκάνη: EL0512FR1029

Έκταση (KM2) : 88.68

Κατάντη : J22

Μέθοδος Απωλειών: SCS

Ποσοστό αδιαπέρατης επιφάνειας	0
Αριθμός Καμπύλης Απορροής-CN	67.31
Αρχικές Απώλειες	24.67

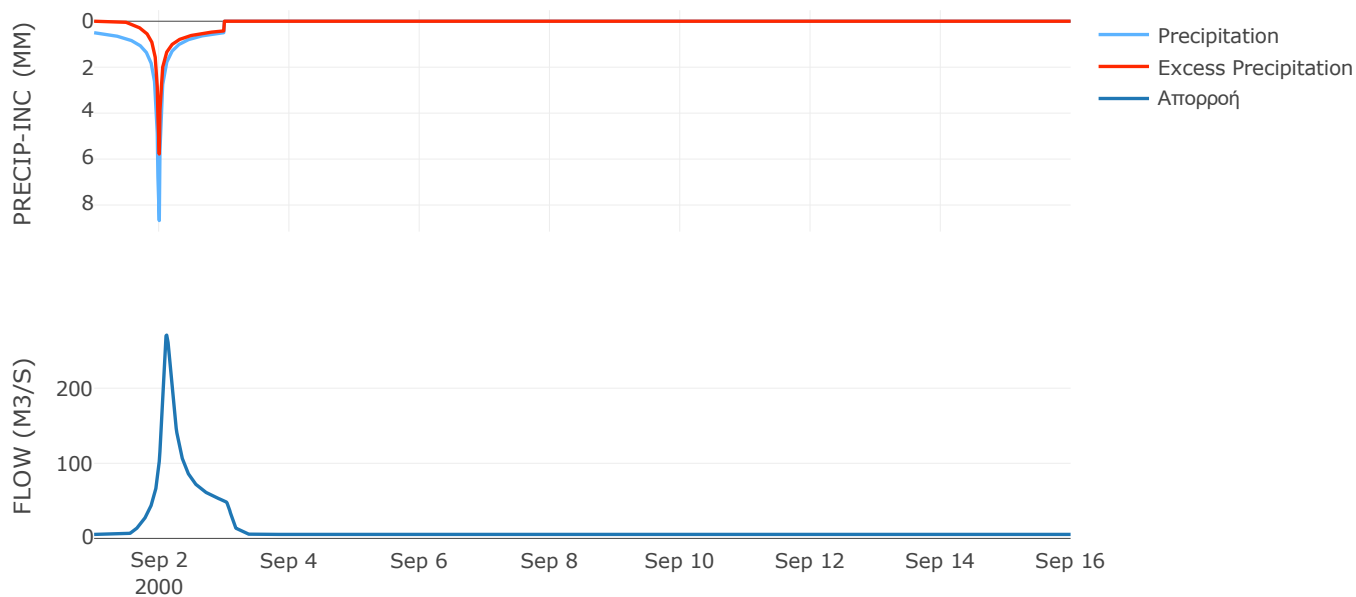
Μέθοδος
Μετασχηματισμού: SCS

Χρόνος Υστέρησης	142.04
------------------	--------

Αποτελέσματα:
EL0512FR1029

Παροχή αιχμής (M3/S)	270.71
Χρονική στιγμή αιχμής	02Sep2000, 02:45
Όγκος (MM)	196.31
Όγκος βροχόπτωσης (M3)	1.94E7
Όγκος απωλειών (M3)	8.87E6
Ενεργός Όγκος (M3)	1.05E7
Όγκος άμεσης απορροής (M3)	1.05E7
Όγκος βασικής απορροής (M3)	6.9E6

Βροχόπτωση και Απορροή



Υπολεκάνη: EL0512FR1030

Έκταση (KM2) : 54.36

Κατάντη : J22

Μέθοδος Απωλειών: SCS

Ποσοστό αδιαπέρατης επιφάνειας	0
Αριθμός Καμπύλης Απορροής-CN	53.41
Αρχικές Απώλειες	44.31

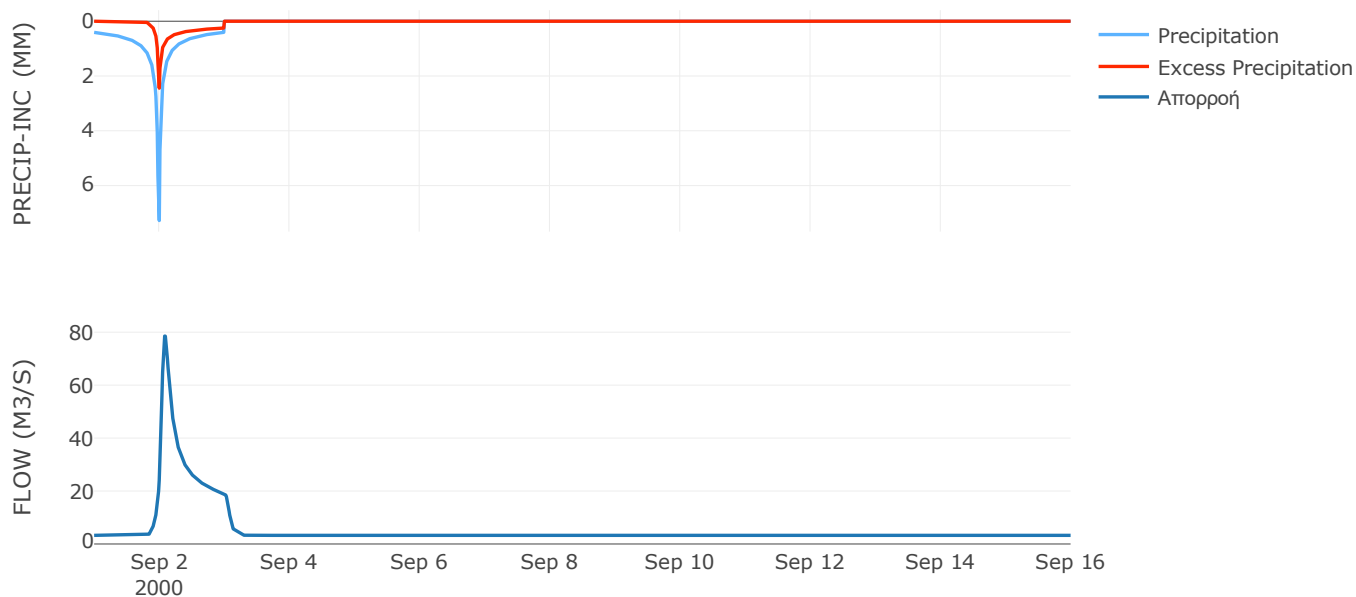
Μέθοδος
Μετασχηματισμού: SCS

Χρόνος Υστέρησης	100.99
------------------	--------

Αποτελέσματα:
EL0512FR1030

Παροχή αιχμής (M3/S)	78.54
Χρονική στιγμή αιχμής	02Sep2000, 02:00
Όγκος (MM)	129.26
Όγκος βροχόπτωσης (M3)	9.78E6
Όγκος απωλειών (M3)	6.98E6
Ενεργός Όγκος (M3)	2.8E6
Όγκος άμεσης απορροής (M3)	2.8E6
Όγκος βασικής απορροής (M3)	4.23E6

Βροχόπτωση και Απορροή



Υπολεκάνη: EL0512FR1031

Έκταση (KM2) : 44.83

Κατάντη : J14

Μέθοδος Απωλειών: SCS

Ποσοστό αδιαπέρατης επιφάνειας	0
Αριθμός Καμπύλης Απορροής-CN	62.5
Αρχικές Απώλειες	30.48

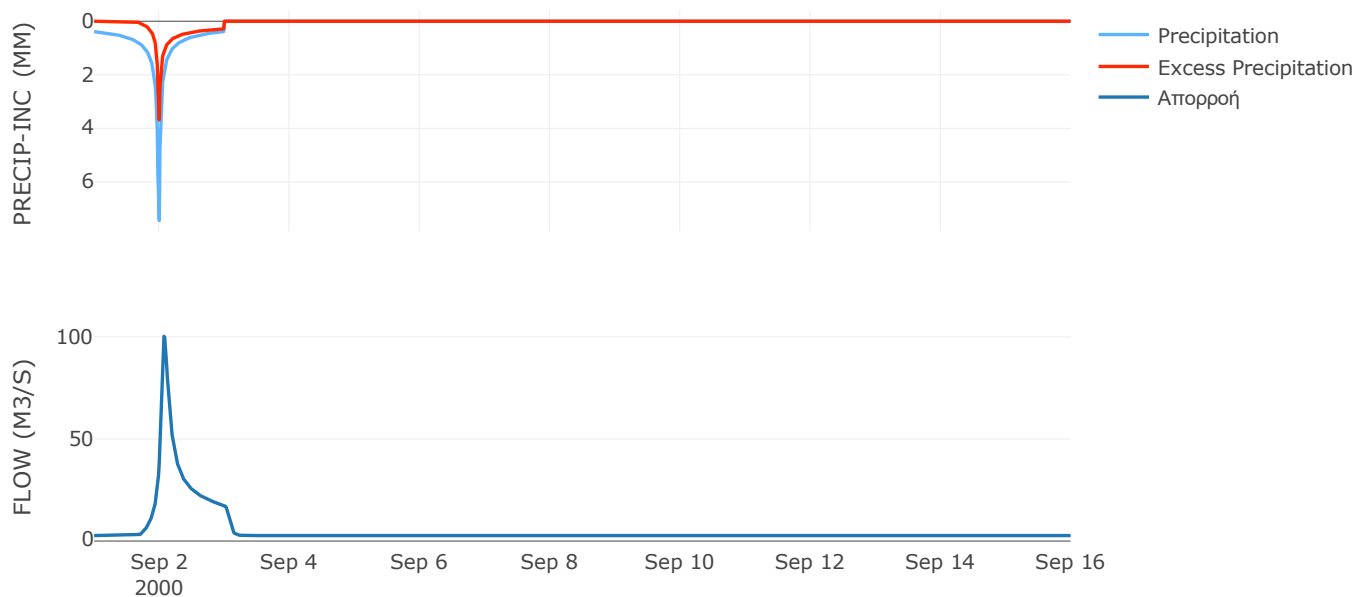
Μέθοδος
Μετασχηματισμού: SCS

Χρόνος Υστέρησης	93.45
------------------	-------

Αποτελέσματα:
EL0512FR1031

Παροχή αιχμής (M3/S)	100.3
Χρονική στιγμή αιχμής	02Sep2000, 01:45
Όγκος (MM)	148.71
Όγκος βροχόπτωσης (M3)	7.88E6
Όγκος απωλειών (M3)	4.7E6
Ενεργός Όγκος (M3)	3.18E6
Όγκος άμεσης απορροής (M3)	3.18E6
Όγκος βασικής απορροής (M3)	3.49E6

Βροχόπτωση και Απορροή



Υπολεκάνη: EL0512FR1032

Έκταση (KM2) : 62.74

Κατάντη : J14

Μέθοδος Απωλειών: SCS

Ποσοστό αδιαπέρατης επιφάνειας	0
Αριθμός Καμπύλης Απορροής-CN	64.28
Αρχικές Απώλειες	28.23

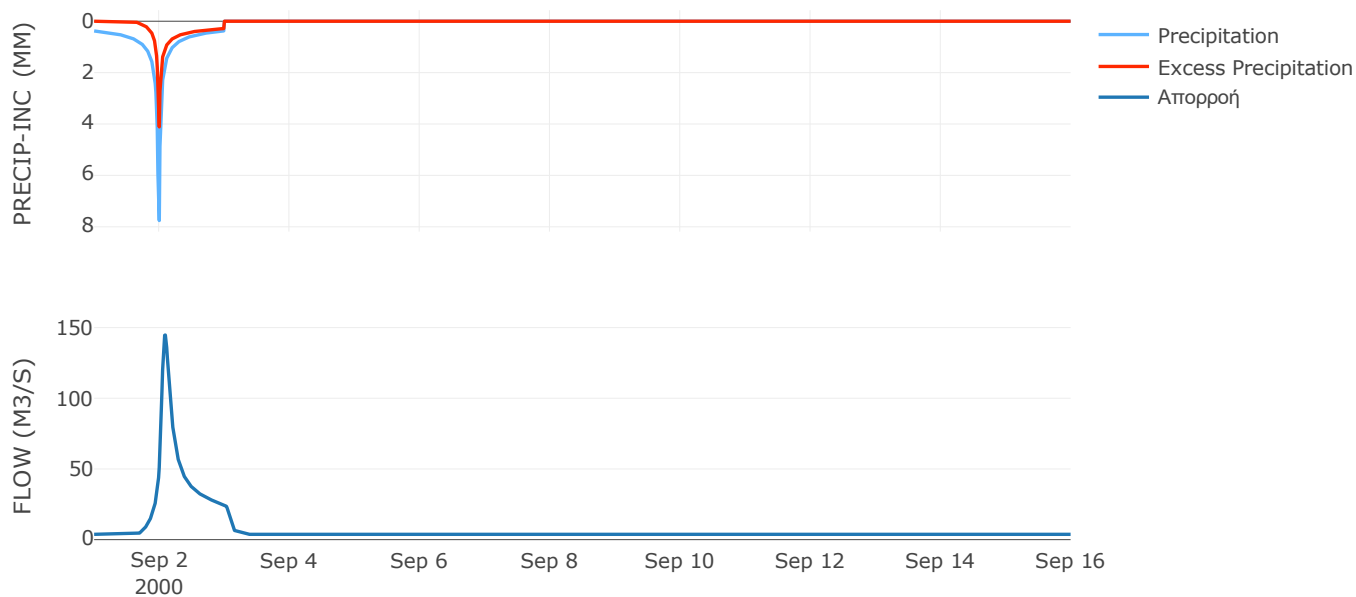
Μέθοδος
Μετασχηματισμού: SCS

Χρόνος Υστέρησης	109.99
------------------	--------

Αποτελέσματα:
EL0512FR1032

Παροχή αιχμής (M3/S)	144.73
Χρονική στιγμή αιχμής	02Sep2000, 02:15
Όγκος (MM)	153.32
Όγκος βροχόπτωσης (M3)	1.1E7
Όγκος απωλειών (M3)	6.3E6
Ενεργός Όγκος (M3)	4.74E6
Όγκος άμεσης απορροής (M3)	4.74E6
Όγκος βασικής απορροής (M3)	4.88E6

Βροχόπτωση και Απορροή



Υπολεκάνη: EL0512FR1033

Έκταση (KM2) : 25.85

Κατάντη : J30

Μέθοδος Απωλειών: SCS

Ποσοστό αδιαπέρατης επιφάνειας	0
Αριθμός Καμπύλης Απορροής-CN	62.61
Αρχικές Απώλειες	30.33

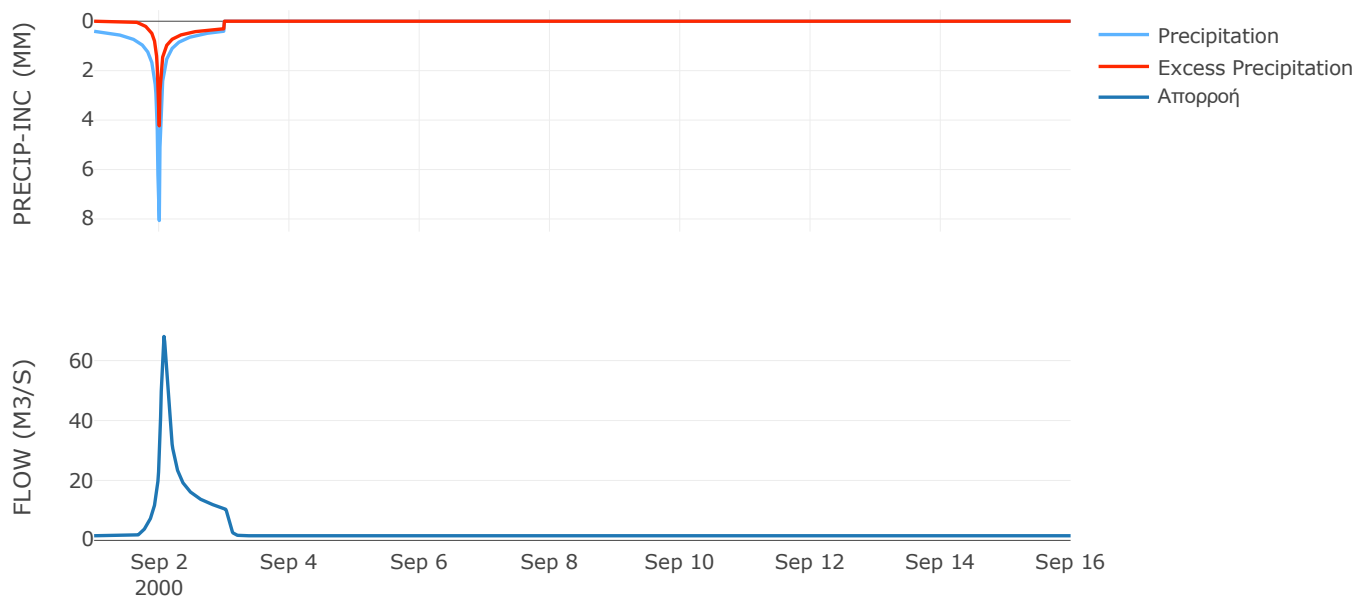
Μέθοδος
Μετασχηματισμού: SCS

Χρόνος Υστέρησης	86.8
------------------	------

Αποτελέσματα:
EL0512FR1033

Παροχή αιχμής (M3/S)	68.05
Χρονική στιγμή αιχμής	02Sep2000, 01:45
Όγκος (MM)	157.45
Όγκος βροχόπτωσης (M3)	4.84E6
Όγκος απωλειών (M3)	2.78E6
Ενεργός Όγκος (M3)	2.06E6
Όγκος άμεσης απορροής (M3)	2.06E6
Όγκος βασικής απορροής (M3)	2.01E6

Βροχόπτωση και Απορροή



Υπολεκάνη: EL0512FR1034

Έκταση (KM2) : 4.71

Κατάντη : J20

Μέθοδος Απωλειών: SCS

Ποσοστό αδιαπέρατης επιφάνειας	0
Αριθμός Καμπύλης Απορροής-CN	68.09
Αρχικές Απώλειες	23.8

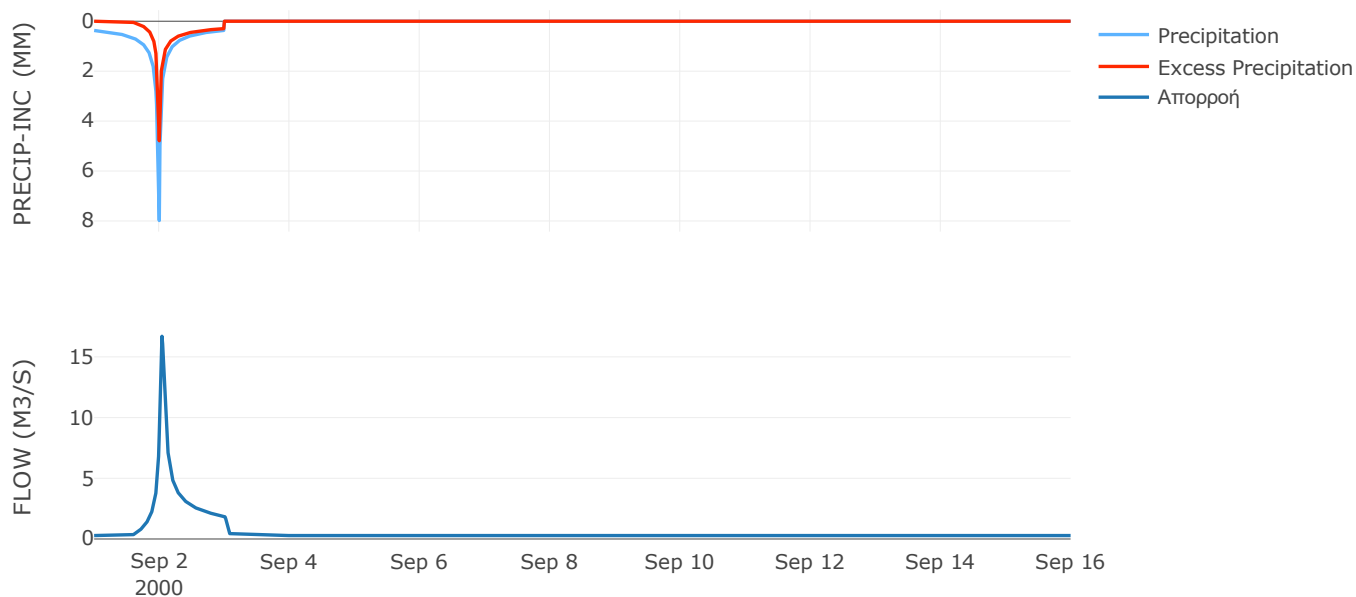
Μέθοδος
Μετασχηματισμού: SCS

Χρόνος Υστέρησης	52.06
------------------	-------

Αποτελέσματα:
EL0512FR1034

Παροχή αιχμής (M3/S)	16.7
Χρονική στιγμή αιχμής	02Sep2000, 01:00
Όγκος (MM)	162.79
Όγκος βροχόπτωσης (M3)	8.26E5
Όγκος απωλειών (M3)	4.26E5
Ενεργός Όγκος (M3)	4E5
Όγκος άμεσης απορροής (M3)	4E5
Όγκος βασικής απορροής (M3)	3.66E5

Βροχόπτωση και Απορροή



Υπολεκάνη: EL0512FR1035

Έκταση (KM2) : 3.15

Κατάντη : J16

Μέθοδος Απωλειών: SCS

Ποσοστό αδιαπέρατης επιφάνειας	0
Αριθμός Καμπύλης Απορροής-CN	72.22
Αρχικές Απώλειες	19.54

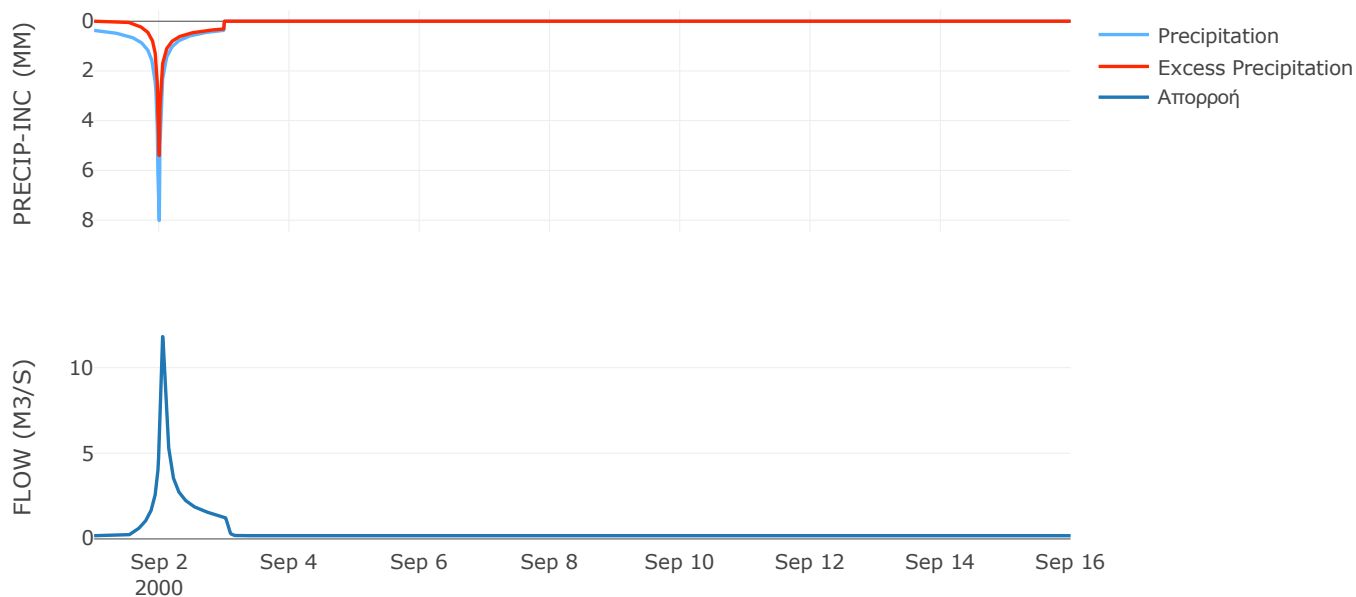
Μέθοδος
Μετασχηματισμού: SCS

Χρόνος Υστέρησης	64.02
------------------	-------

Αποτελέσματα:
EL0512FR1035

Παροχή αιχμής (M3/S)	11.81
Χρονική στιγμή αιχμής	02Sep2000, 01:15
Όγκος (MM)	173.68
Όγκος βροχόπτωσης (M3)	5.52E5
Όγκος απωλειών (M3)	2.5E5
Ενεργός Όγκος (M3)	3.02E5
Όγκος άμεσης απορροής (M3)	3.02E5
Όγκος βασικής απορροής (M3)	2.45E5

Βροχόπτωση και Απορροή



Υπολεκάνη: EL0512FR1036

Έκταση (KM2) : 1.14

Κατάντη : J16

Μέθοδος Απωλειών: SCS

Ποσοστό αδιαπέρατης επιφάνειας	0
Αριθμός Καμπύλης Απορροής-CN	79.34
Αρχικές Απώλειες	13.23

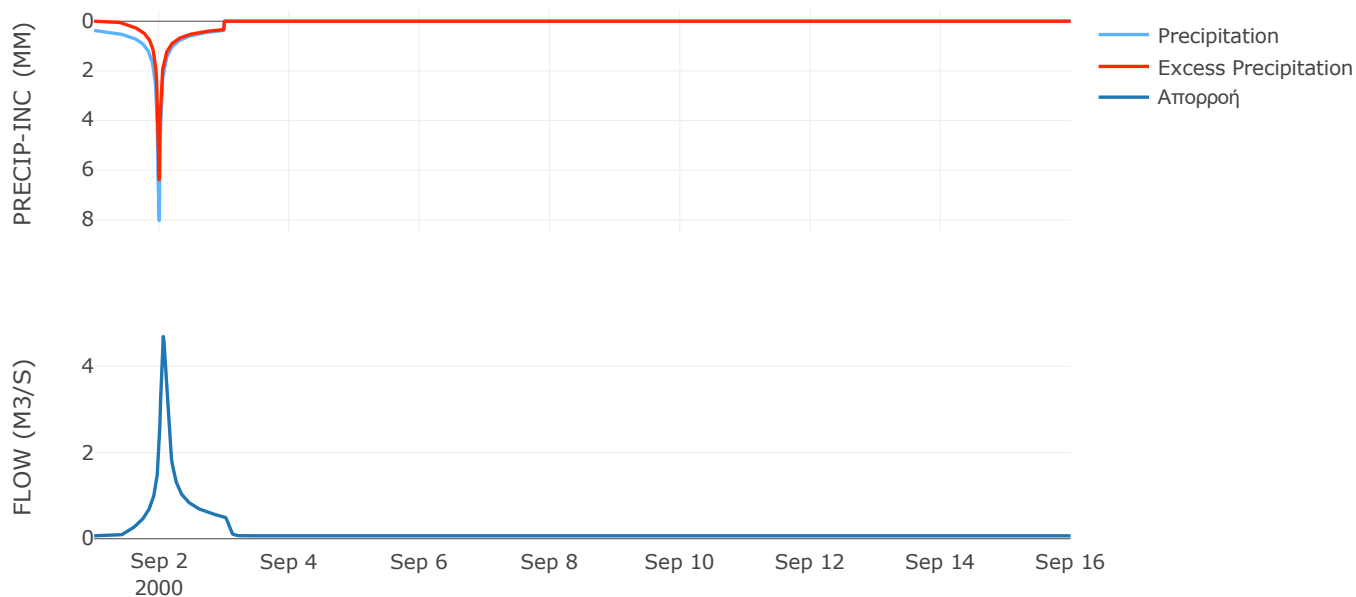
Μέθοδος
Μετασχηματισμού: SCS

Χρόνος Υστέρησης	80.84
------------------	-------

Αποτελέσματα:
EL0512FR1036

Παροχή αιχμής (M3/S)	4.69
Χρονική στιγμή αιχμής	02Sep2000, 01:30
Όγκος (MM)	193.62
Όγκος βροχόπτωσης (M3)	2E5
Όγκος απωλειών (M3)	68467.38
Ενεργός Όγκος (M3)	1.32E5
Όγκος άμεσης απορροής (M3)	1.32E5
Όγκος βασικής απορροής (M3)	88335.36

Βροχόπτωση και Απορροή



Υπολεκάνη: EL0512FR1037

Έκταση (KM2) : 1.46

Κατάντη : J17

Μέθοδος Απωλειών: SCS

Ποσοστό αδιαπέρατης επιφάνειας	0
Αριθμός Καμπύλης Απορροής-CN	79.56
Αρχικές Απώλειες	13.05

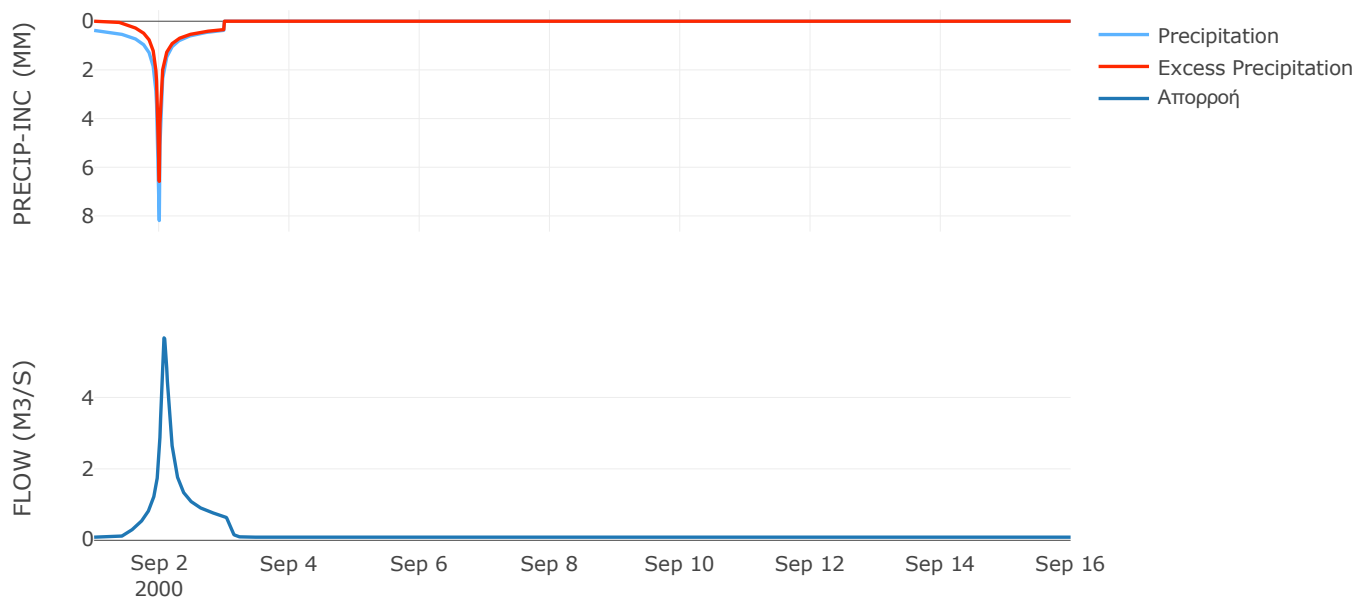
Μέθοδος
Μετασχηματισμού: SCS

Χρόνος Υστέρησης	101.61
------------------	--------

Αποτελέσματα:
EL0512FR1037

Παροχή αιχμής (M3/S)	5.67
Χρονική στιγμή αιχμής	02Sep2000, 01:45
Όγκος (MM)	197.3
Όγκος βροχόπτωσης (M3)	2.62E5
Όγκος απωλειών (M3)	87496.58
Ενεργός Όγκος (M3)	1.75E5
Όγκος άμεσης απορροής (M3)	1.75E5
Όγκος βασικής απορροής (M3)	1.14E5

Βροχόπτωση και Απορροή



Υπολεκάνη: EL0512FR1038

Έκταση (KM2) : 10.02

Κατάντη : J17

Μέθοδος Απωλειών: SCS

Ποσοστό αδιαπέρατης επιφάνειας	0
Αριθμός Καμπύλης Απορροής-CN	72.81
Αρχικές Απώλειες	18.97

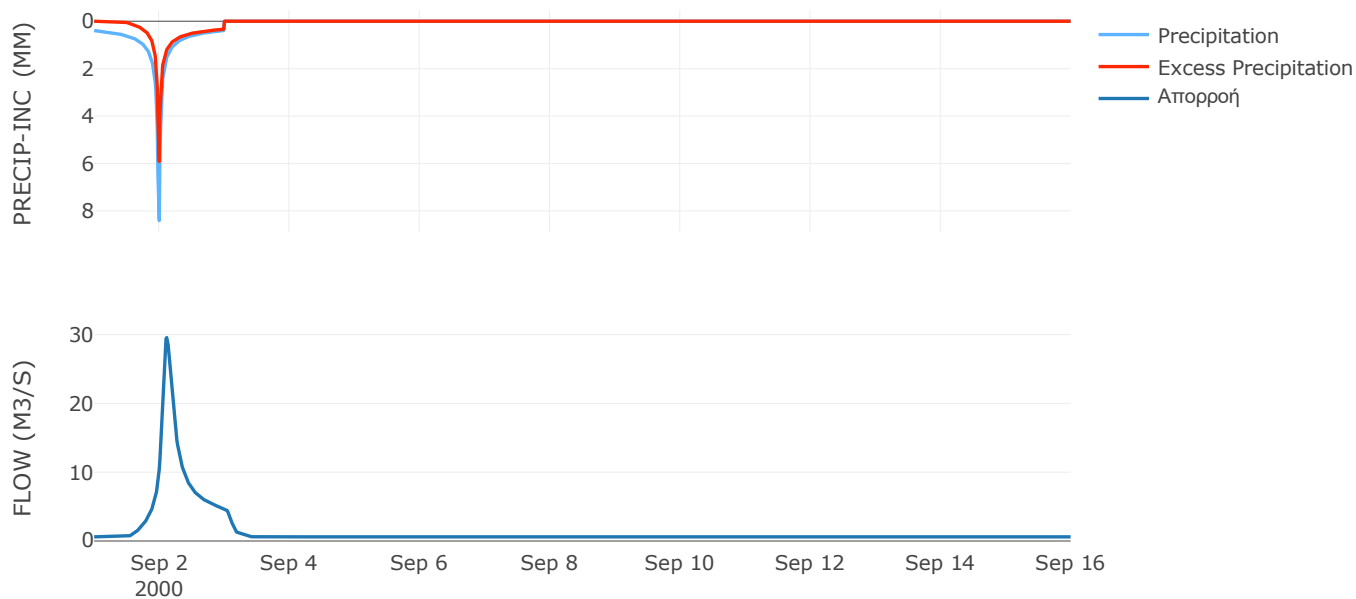
Μέθοδος
Μετασχηματισμού: SCS

Χρόνος Υστέρησης	145.96
------------------	--------

Αποτελέσματα:
EL0512FR1038

Παροχή αιχμής (M3/S)	29.58
Χρονική στιγμή αιχμής	02Sep2000, 02:45
Όγκος (MM)	184.09
Όγκος βροχόπτωσης (M3)	1.86E6
Όγκος απωλειών (M3)	7.96E5
Ενεργός Όγκος (M3)	1.07E6
Όγκος άμεσης απορροής (M3)	1.07E6
Όγκος βασικής απορροής (M3)	7.79E5

Βροχόπτωση και Απορροή



Υπολεκάνη: EL0512FR1039

Έκταση (KM2) : 30.28

Κατάντη : J15

Μέθοδος Απωλειών: SCS

Ποσοστό αδιαπέρατης επιφάνειας	0
Αριθμός Καμπύλης Απορροής-CN	66.79
Αρχικές Απώλειες	25.25

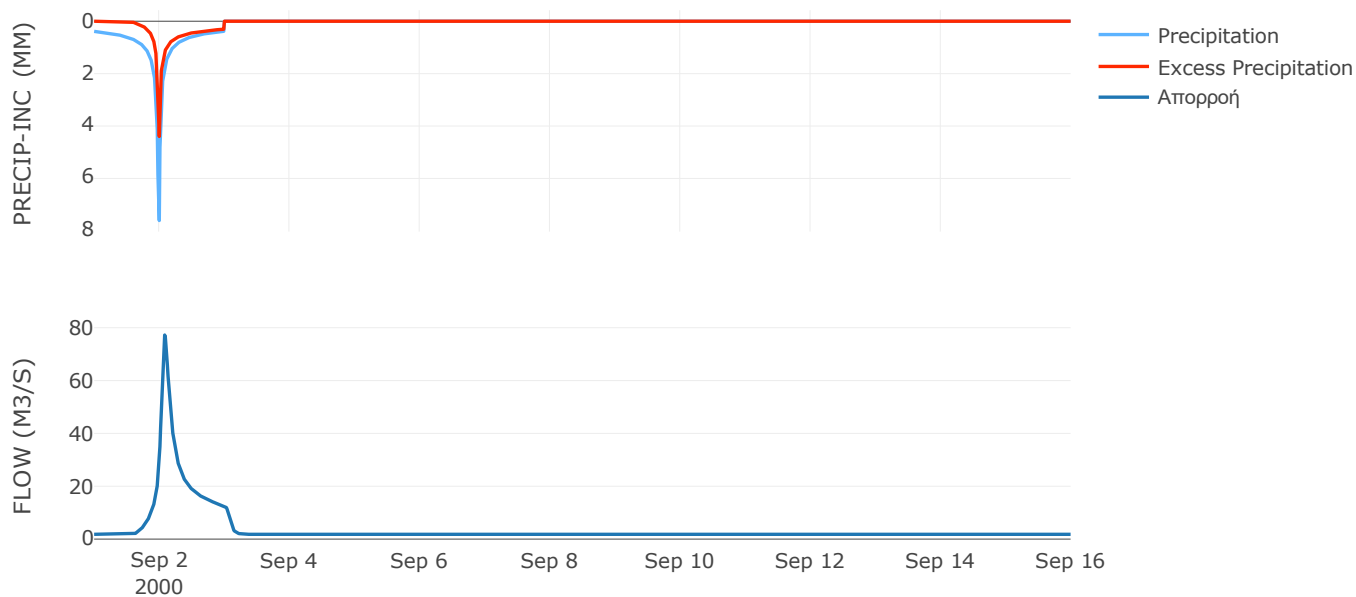
Μέθοδος
Μετασχηματισμού: SCS

Χρόνος Υστέρησης	105.41
------------------	--------

Αποτελέσματα:
EL0512FR1039

Παροχή αιχμής (M3/S)	77.24
Χρονική στιγμή αιχμής	02Sep2000, 02:00
Όγκος (MM)	160.62
Όγκος βροχόπτωσης (M3)	5.36E6
Όγκος απωλειών (M3)	2.85E6
Ενεργός Όγκος (M3)	2.51E6
Όγκος άμεσης απορροής (M3)	2.51E6
Όγκος βασικής απορροής (M3)	2.35E6

Βροχόπτωση και Απορροή



Υπολεκάνη: EL0512FR1040

Έκταση (KM2) : 14.45

Κατάντη : J16

Μέθοδος Απωλειών: SCS

Ποσοστό αδιαπέρατης επιφάνειας	0
Αριθμός Καμπύλης Απορροής-CN	64.06
Αρχικές Απώλειες	28.51

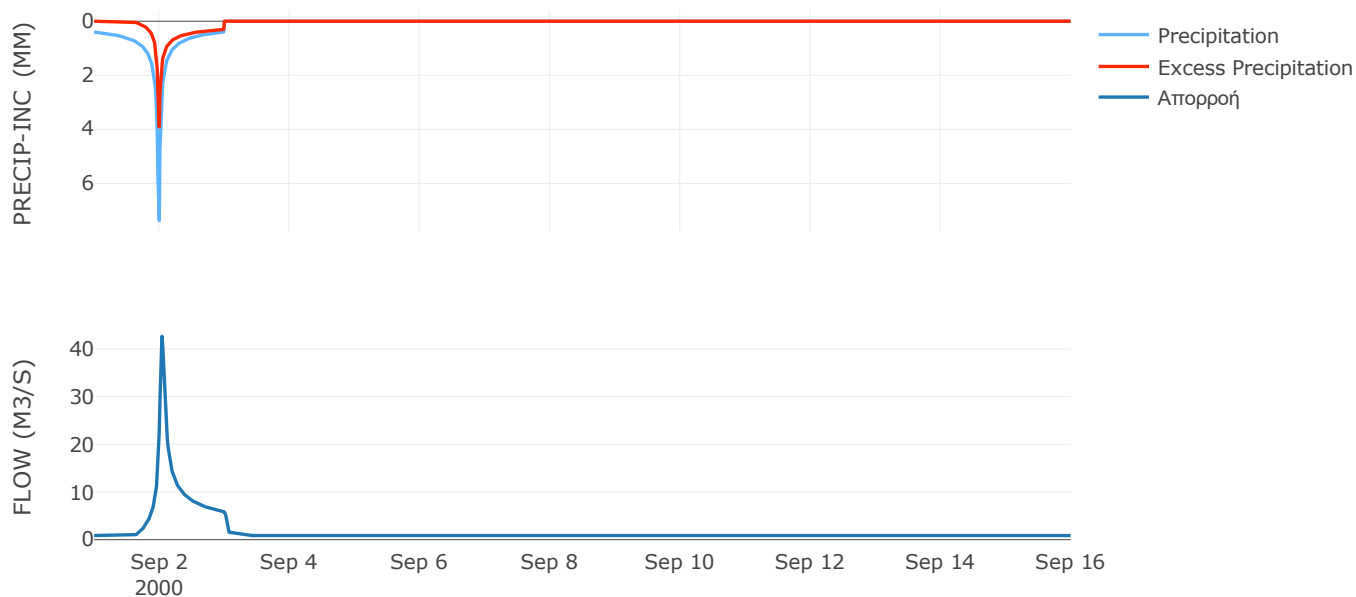
Μέθοδος
Μετασχηματισμού: SCS

Χρόνος Υστέρησης	50.65
------------------	-------

Αποτελέσματα:
EL0512FR1040

Παροχή αιχμής (M3/S)	42.67
Χρονική στιγμή αιχμής	02Sep2000, 01:00
Όγκος (MM)	154.42
Όγκος βροχόπτωσης (M3)	2.57E6
Όγκος απωλειών (M3)	1.47E6
Ενεργός Όγκος (M3)	1.11E6
Όγκος άμεσης απορροής (M3)	1.11E6
Όγκος βασικής απορροής (M3)	1.12E6

Βροχόπτωση και Απορροή



Υπολεκάνη: EL0512FR1041

Έκταση (KM2) : 37.27

Κατάντη : J29

Μέθοδος Απωλειών: SCS

Ποσοστό αδιαπέρατης επιφάνειας	0
Αριθμός Καμπύλης Απορροής-CN	64.1
Αρχικές Απώλειες	28.45

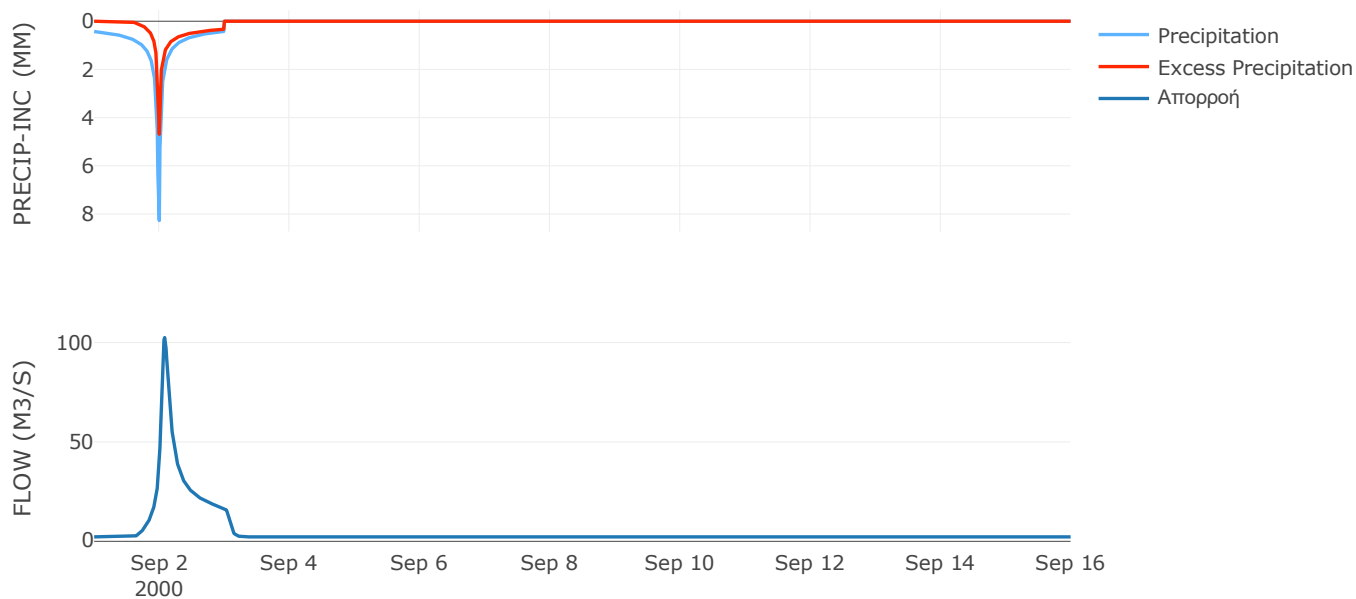
Μέθοδος
Μετασχηματισμού: SCS

Χρόνος Υστέρησης	102.57
------------------	--------

Αποτελέσματα:
EL0512FR1041

Παροχή αιχμής (M3/S)	102.51
Χρονική στιγμή αιχμής	02Sep2000, 02:00
Όγκος (MM)	166.95
Όγκος βροχόπτωσης (M3)	7.24E6
Όγκος απωλειών (M3)	3.91E6
Ενεργός Όγκος (M3)	3.32E6
Όγκος άμεσης απορροής (M3)	3.32E6
Όγκος βασικής απορροής (M3)	2.9E6

Βροχόπτωση και Απορροή



Υπολεκάνη: EL0512FR1042

Έκταση (KM2) : 72.53

Κατάντη : J20

Μέθοδος Απωλειών: SCS

Ποσοστό αδιαπέρατης επιφάνειας	0
Αριθμός Καμπύλης Απορροής-CN	59.69
Αρχικές Απώλειες	34.3

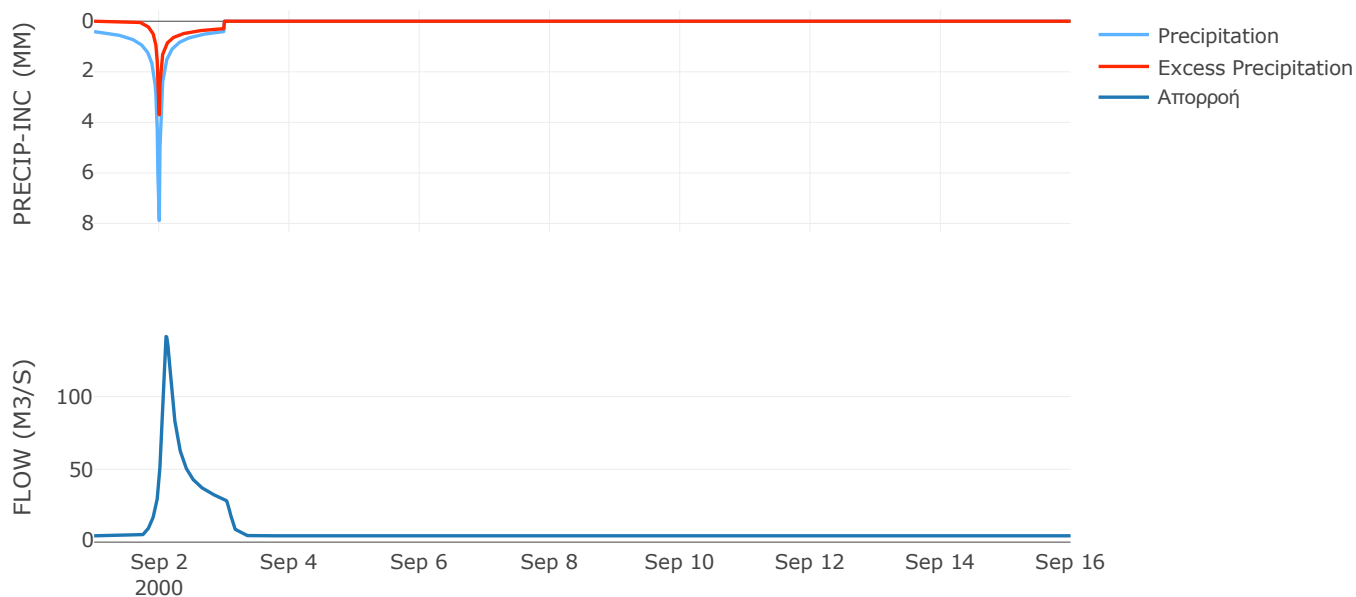
Μέθοδος
Μετασχηματισμού: SCS

Χρόνος Υστέρησης	130.98
------------------	--------

Αποτελέσματα:
EL0512FR1042

Παροχή αιχμής (M3/S)	141.29
Χρονική στιγμή αιχμής	02Sep2000, 02:30
Όγκος (MM)	149.27
Όγκος βροχόπτωσης (M3)	1.35E7
Όγκος απωλειών (M3)	8.33E6
Ενεργός Όγκος (M3)	5.19E6
Όγκος άμεσης απορροής (M3)	5.19E6
Όγκος βασικής απορροής (M3)	5.64E6

Βροχόπτωση και Απορροή



Υπολεκάνη: EL0512FR1043

Έκταση (KM2) : 13.21

Κατάντη : J21

Μέθοδος Απωλειών: SCS

Ποσοστό αδιαπέρατης επιφάνειας	0
Αριθμός Καμπύλης Απορροής-CN	54.63
Αρχικές Απώλειες	42.19

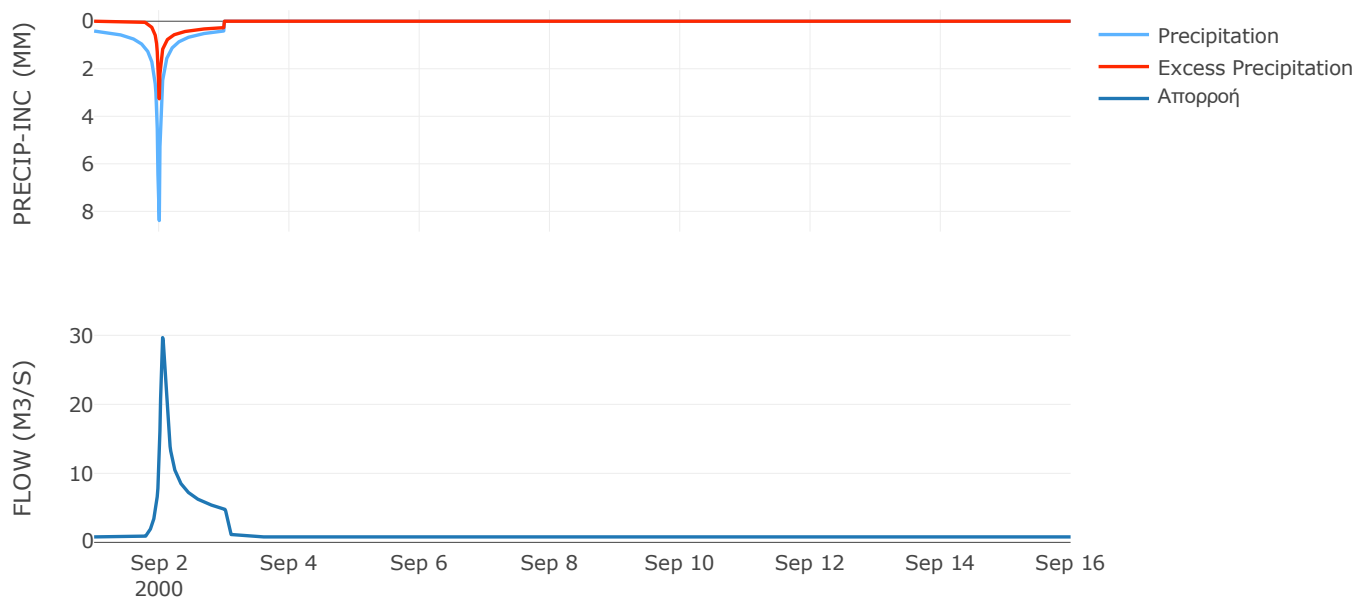
Μέθοδος
Μετασχηματισμού: SCS

Χρόνος Υστέρησης	62.78
------------------	-------

Αποτελέσματα:
EL0512FR1043

Παροχή αιχμής (M3/S)	29.67
Χρονική στιγμή αιχμής	02Sep2000, 01:15
Όγκος (MM)	139.65
Όγκος βροχόπτωσης (M3)	2.53E6
Όγκος απωλειών (M3)	1.71E6
Ενεργός Όγκος (M3)	8.17E5
Όγκος άμεσης απορροής (M3)	8.17E5
Όγκος βασικής απορροής (M3)	1.03E6

Βροχόπτωση και Απορροή



Υπολεκάνη: EL0512FR1044

Έκταση (KM2) : 23.96

Κατάντη : J19

Μέθοδος Απωλειών: SCS

Ποσοστό αδιαπέρατης επιφάνειας	0
Αριθμός Καμπύλης Απορροής-CN	55.6
Αρχικές Απώλειες	40.56

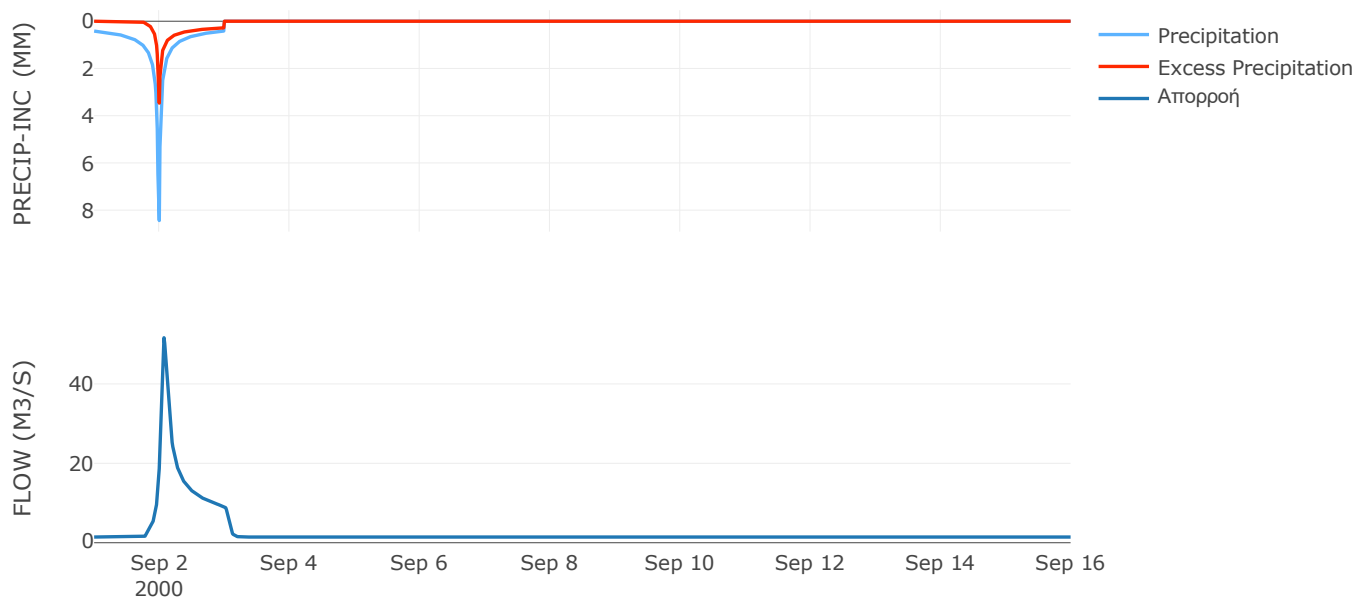
Μέθοδος
Μετασχηματισμού: SCS

Χρόνος Υστέρησης	83.39
------------------	-------

Αποτελέσματα:
EL0512FR1044

Παροχή αιχμής (M3/S)	51.63
Χρονική στιγμή αιχμής	02Sep2000, 01:45
Όγκος (MM)	143.23
Όγκος βροχόπτωσης (M3)	4.63E6
Όγκος απωλειών (M3)	3.06E6
Ενεργός Όγκος (M3)	1.57E6
Όγκος άμεσης απορροής (M3)	1.57E6
Όγκος βασικής απορροής (M3)	1.86E6

Βροχόπτωση και Απορροή



Υπολεκάνη: EL0512FR1045

Έκταση (KM2) : 15.22

Κατάντη : J18

Μέθοδος Απωλειών: SCS

Ποσοστό αδιαπέρατης επιφάνειας	0
Αριθμός Καμπύλης Απορροής-CN	52.28
Αρχικές Απώλειες	46.38

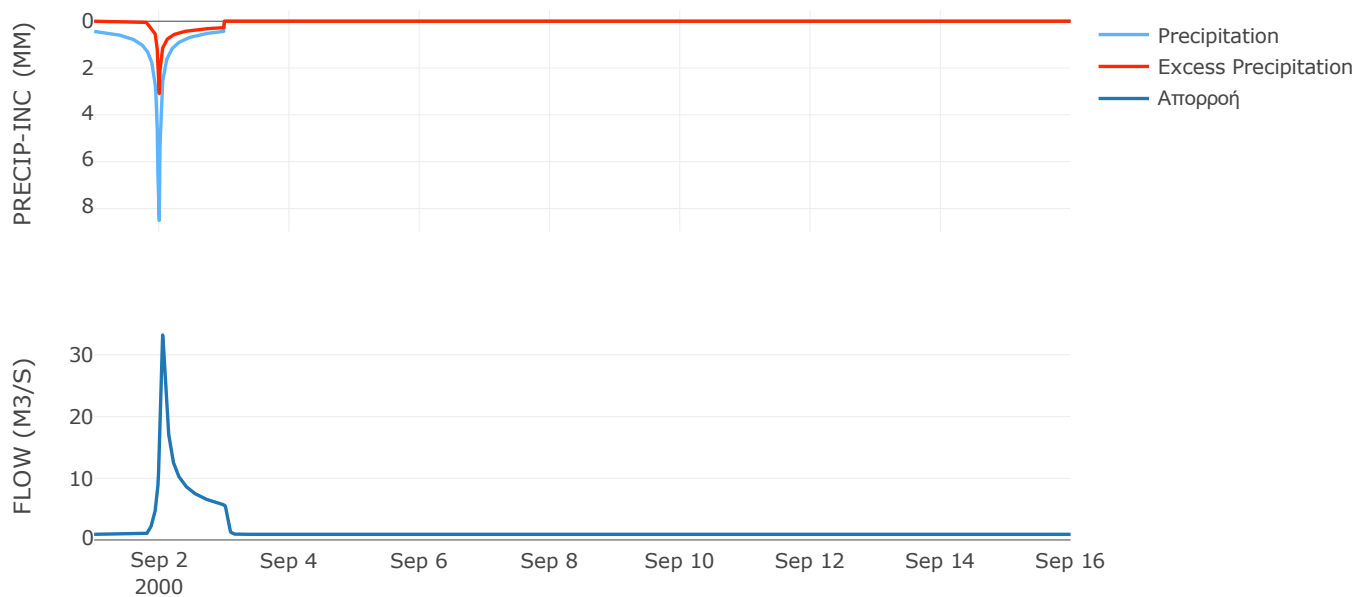
Μέθοδος
Μετασχηματισμού: SCS

Χρόνος Υστέρησης	57.98
------------------	-------

Αποτελέσματα:
EL0512FR1045

Παροχή αιχμής (M3/S)	33.21
Χρονική στιγμή αιχμής	02Sep2000, 01:15
Όγκος (MM)	138.22
Όγκος βροχόπτωσης (M3)	3.03E6
Όγκος απωλειών (M3)	2.11E6
Ενεργός Όγκος (M3)	9.2E5
Όγκος άμεσης απορροής (M3)	9.2E5
Όγκος βασικής απορροής (M3)	1.18E6

Βροχόπτωση και Απορροή



Υπολεκάνη: EL0512FR1046

Έκταση (KM2) : 123.67

Κατάντη : J19

Μέθοδος Απωλειών: SCS

Ποσοστό αδιαπέρατης επιφάνειας	0
Αριθμός Καμπύλης Απορροής-CN	61.47
Αρχικές Απώλειες	31.84

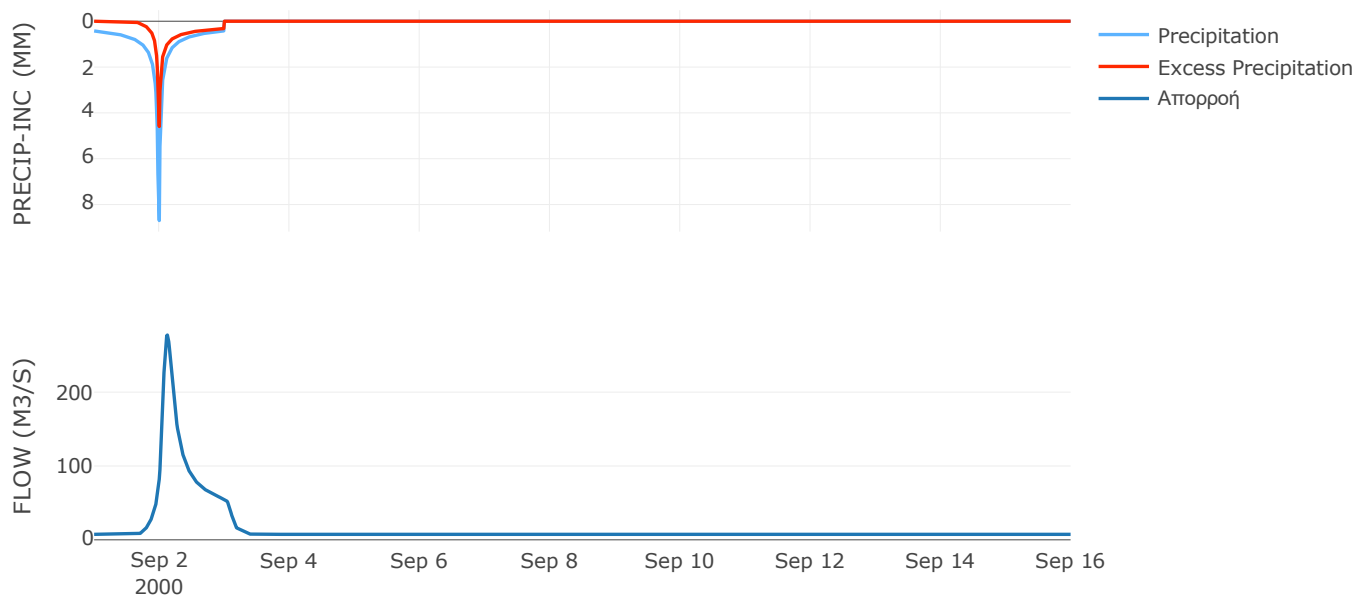
Μέθοδος
Μετασχηματισμού: SCS

Χρόνος Υστέρησης	150.57
------------------	--------

Αποτελέσματα:
EL0512FR1046

Παροχή αιχμής (M3/S)	277.36
Χρονική στιγμή αιχμής	02Sep2000, 03:00
Όγκος (MM)	162.29
Όγκος βροχόπτωσης (M3)	2.44E7
Όγκος απωλειών (M3)	1.4E7
Ενεργός Όγκος (M3)	1.05E7
Όγκος άμεσης απορροής (M3)	1.05E7
Όγκος βασικής απορροής (M3)	9.62E6

Βροχόπτωση και Απορροή



Υπολεκάνη: EL0512FR1047

Έκταση (KM2) : 46.41

Κατάνη : J11

Μέθοδος Απωλειών: SCS

Ποσοστό αδιαπέρατης επιφάνειας	0
Αριθμός Καμπύλης Απορροής-CN	57.99
Αρχικές Απώλειες	36.8

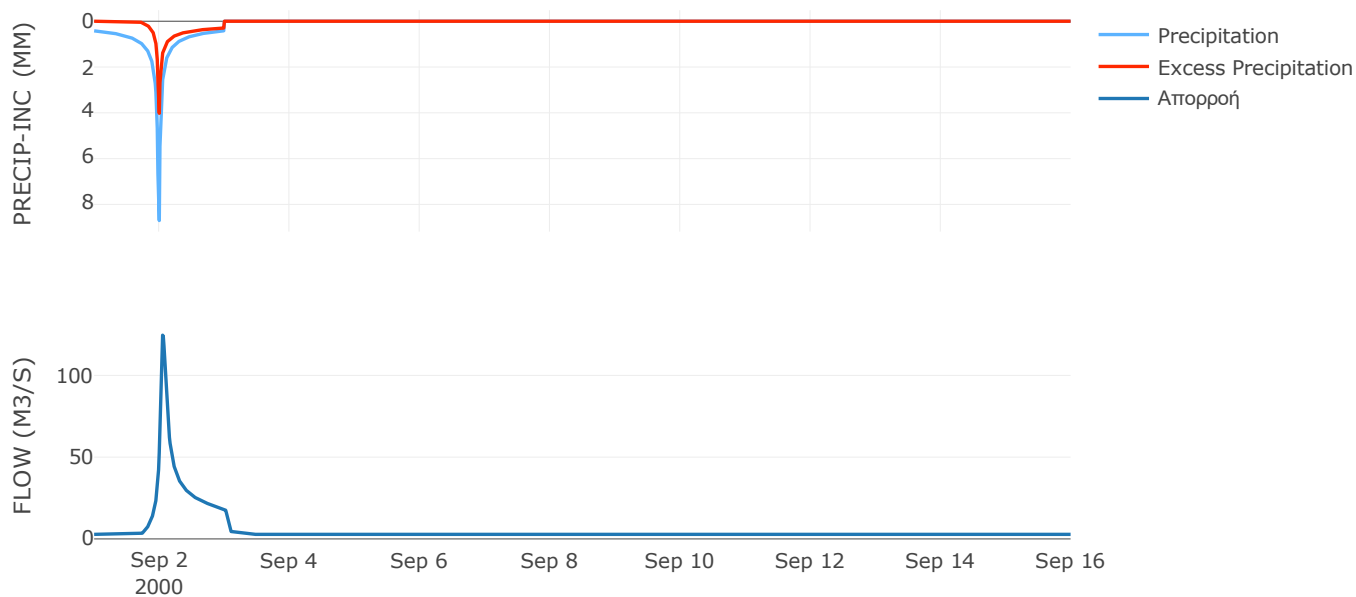
Μέθοδος
Μετασχηματισμού: SCS

Χρόνος Υστέρησης	68.04
------------------	-------

Αποτελέσματα:
EL0512FR1047

Παροχή αιχμής (M3/S)	124.6
Χρονική στιγμή αιχμής	02Sep2000, 01:15
Όγκος (MM)	151.65
Όγκος βροχόπτωσης (M3)	9.1E6
Όγκος απωλειών (M3)	5.67E6
Ενεργός Όγκος (M3)	3.43E6
Όγκος άμεσης απορροής (M3)	3.43E6
Όγκος βασικής απορροής (M3)	3.61E6

Βροχόπτωση και Απορροή



Υπολεκάνη: EL0512FR1048

Έκταση (KM2) : 6.43

Κατάντη : J14

Μέθοδος Απωλειών: SCS

Ποσοστό αδιαπέρατης επιφάνειας	0
Αριθμός Καμπύλης Απορροής-CN	64.89
Αρχικές Απώλειες	27.48

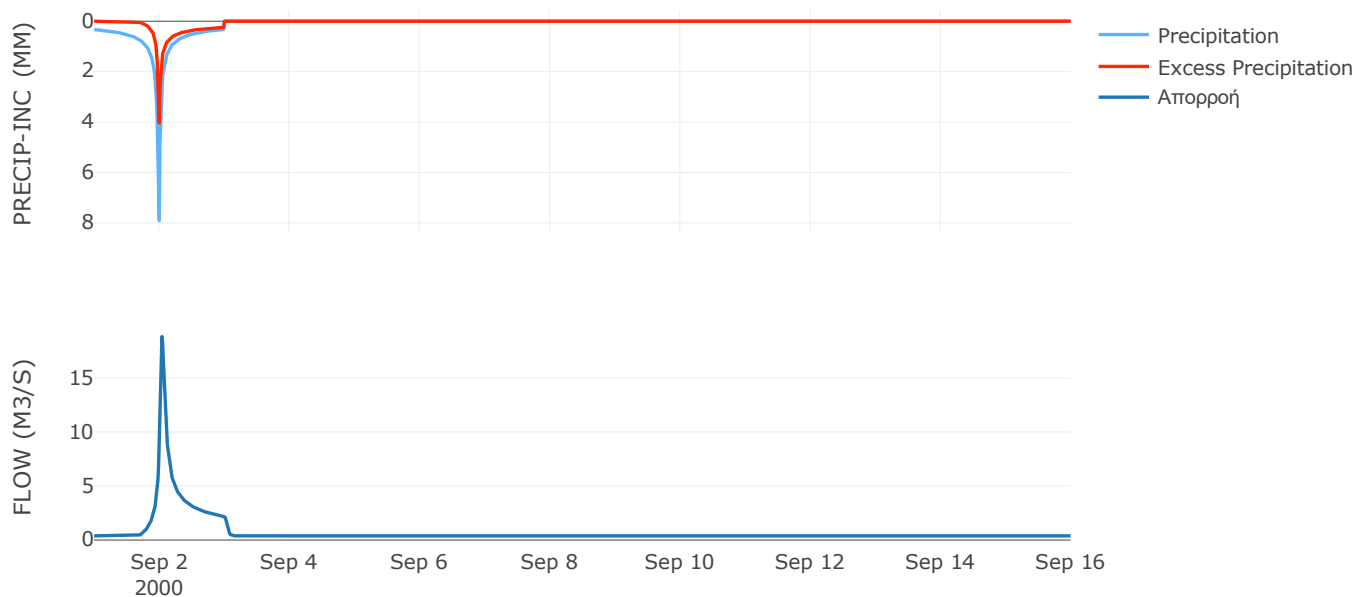
Μέθοδος
Μετασχηματισμού: SCS

Χρόνος Υστέρησης	52.3
------------------	------

Αποτελέσματα:
EL0512FR1048

Παροχή αιχμής (M3/S)	18.82
Χρονική στιγμή αιχμής	02Sep2000, 01:00
Όγκος (MM)	144.77
Όγκος βροχόπτωσης (M3)	1.05E6
Όγκος απωλειών (M3)	6.15E5
Ενεργός Όγκος (M3)	4.31E5
Όγκος άμεσης απορροής (M3)	4.31E5
Όγκος βασικής απορροής (M3)	5E5

Βροχόπτωση και Απορροή



Υπολεκάνη: EL0512FR1049

Έκταση (KM2) : 4.8

Κατάντη : J12

Μέθοδος Απωλειών: SCS

Ποσοστό αδιαπέρατης επιφάνειας	0
Αριθμός Καμπύλης Απορροής-CN	78.76
Αρχικές Απώλειες	13.7

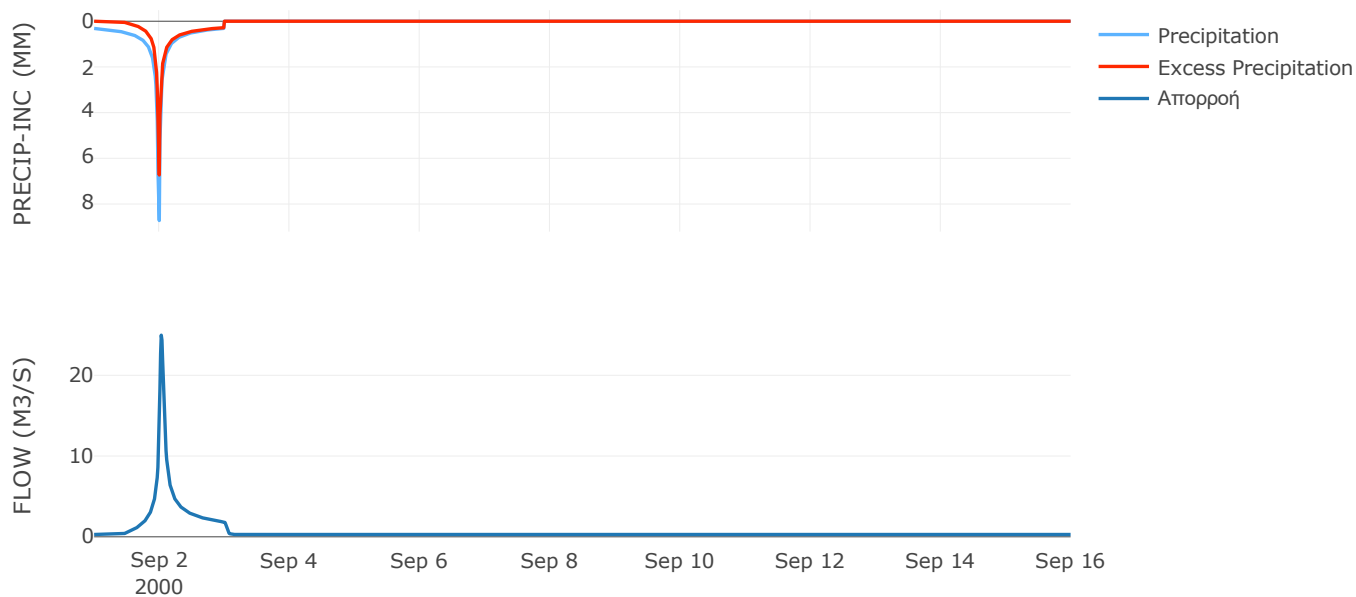
Μέθοδος
Μετασχηματισμού: SCS

Χρόνος Υστέρησης	44.56
------------------	-------

Αποτελέσματα:
EL0512FR1049

Παροχή αιχμής (M3/S)	24.97
Χρονική στιγμή αιχμής	02Sep2000, 00:45
Όγκος (MM)	182.34
Όγκος βροχόπτωσης (M3)	7.95E5
Όγκος απωλειών (M3)	2.93E5
Ενεργός Όγκος (M3)	5.02E5
Όγκος άμεσης απορροής (M3)	5.02E5
Όγκος βασικής απορροής (M3)	3.74E5

Βροχόπτωση και Απορροή



Υπολεκάνη: EL0512FR1050

Έκταση (KM2) : 8.16

Κατάντη : J8

Μέθοδος Απωλειών: SCS

Ποσοστό αδιαπέρατης επιφάνειας	0
Αριθμός Καμπύλης Απορροής-CN	53.79
Αρχικές Απώλειες	43.64

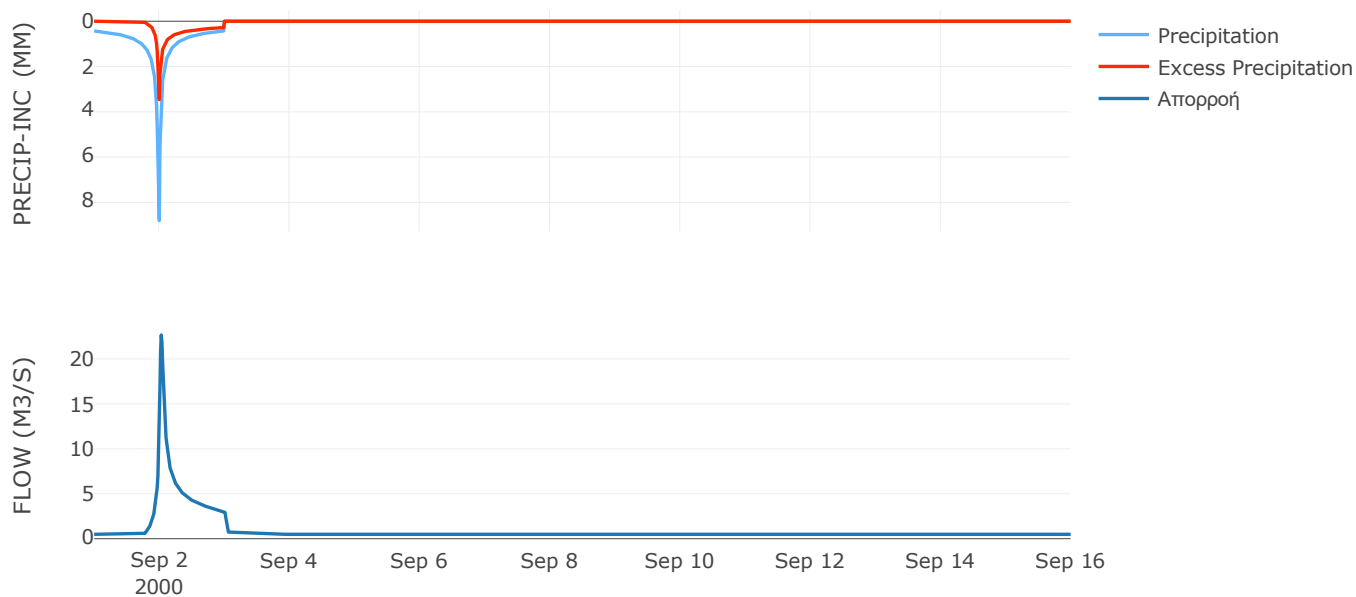
Μέθοδος
Μετασχηματισμού: SCS

Χρόνος Υστέρησης	37.43
------------------	-------

Αποτελέσματα:
EL0512FR1050

Παροχή αιχμής (M3/S)	22.67
Χρονική στιγμή αιχμής	02Sep2000, 00:45
Όγκος (MM)	142.8
Όγκος βροχόπτωσης (M3)	1.63E6
Όγκος απωλειών (M3)	1.1E6
Ενεργός Όγκος (M3)	5.31E5
Όγκος άμεσης απορροής (M3)	5.31E5
Όγκος βασικής απορροής (M3)	6.35E5

Βροχόπτωση και Απορροή



Υπολεκάνη: EL0512FR1051

Έκταση (KM2) : 3.84

Κατάντη : J3

Μέθοδος Απωλειών: SCS

Ποσοστό αδιαπέρατης επιφάνειας	0
Αριθμός Καμπύλης Απορροής-CN	78.83
Αρχικές Απώλειες	13.64

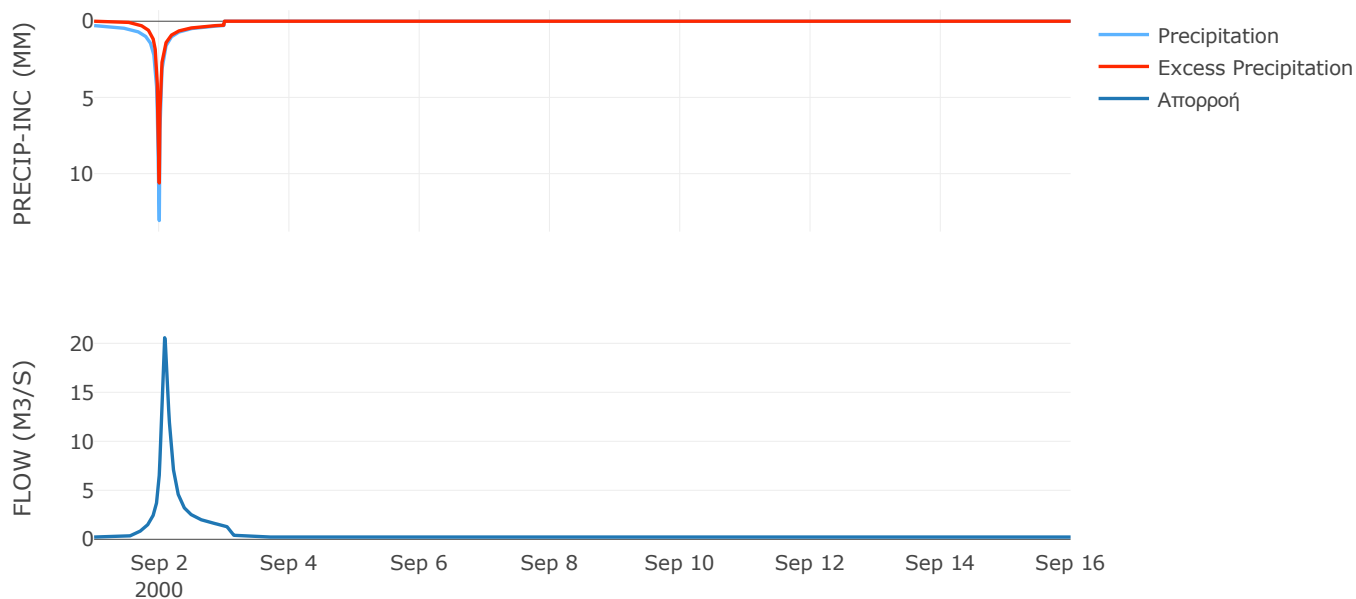
Μέθοδος
Μετασχηματισμού: SCS

Χρόνος Υστέρησης	107.54
------------------	--------

Αποτελέσματα:
EL0512FR1051

Παροχή αιχμής (M3/S)	20.57
Χρονική στιγμή αιχμής	02Sep2000, 02:00
Όγκος (MM)	202.45
Όγκος βροχόπτωσης (M3)	7.19E5
Όγκος απωλειών (M3)	2.4E5
Ενεργός Όγκος (M3)	4.79E5
Όγκος άμεσης απορροής (M3)	4.79E5
Όγκος βασικής απορροής (M3)	2.98E5

Βροχόπτωση και Απορροή



2.2 Δεδομένα και υδρογραφήματα σχεδιασμού Κλάδων υδρογραφικού δικτύου

Κλάδος: R21

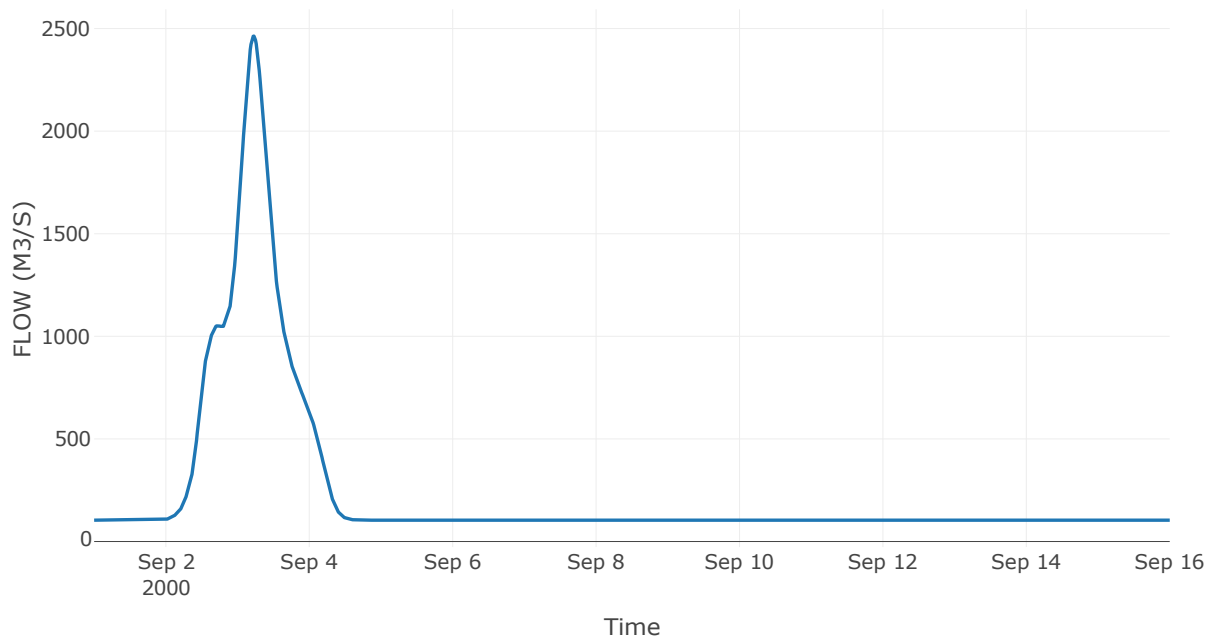
Κατάντη : J1

Μέθοδος Διόδευσης	Muskingum
Αρχική Μεταβλητή	Combined Inflow
Χρόνος Ροής K	5.87
Συντελεστής βάρους x	0.2
Πλήθος Υποκλάδων	23

Αποτελέσματα: R21

Παροχή Αιχμής (M3/S)	2462.84
Χρονική στιγμή αιχμής	03Sep2000, 05:30
Όγκος (MM)	179.87
Παροχή Αιχμής Εισόδου (M3/S)	2514.18
Όγκος Εισροής (M3)	3.12E8

Απορροή



Κλάδος: R32

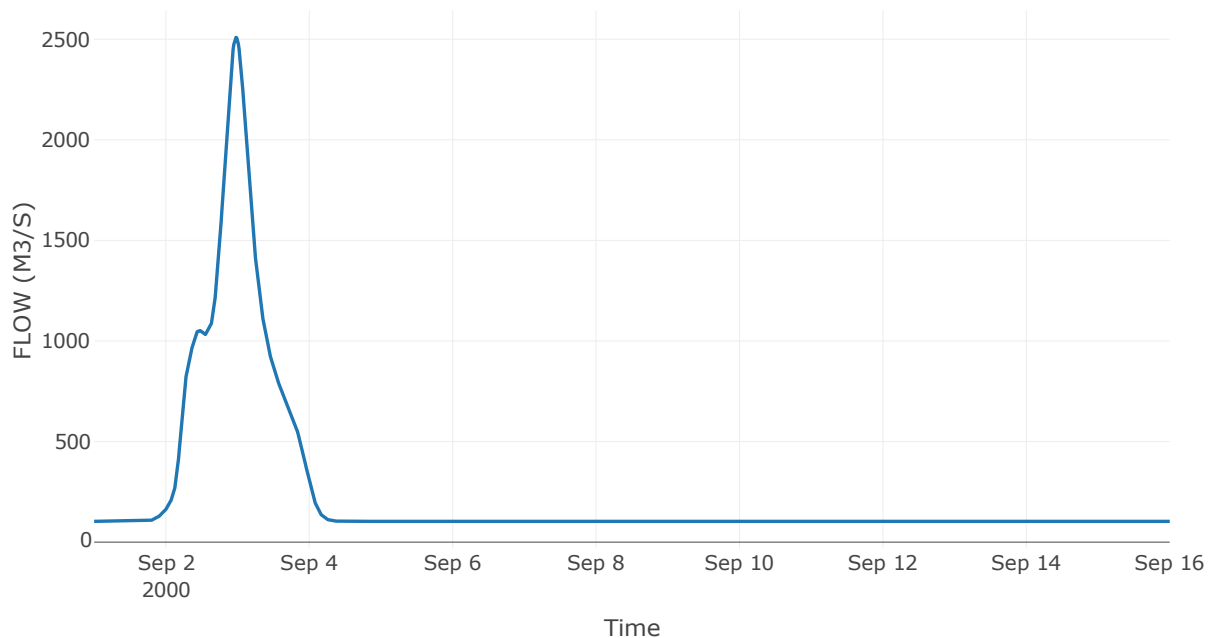
Κατάντη : J2

Μέθοδος Διόδευσης	Muskingum
Αρχική Μεταβλητή	Combined Inflow
Χρόνος Ροής K	3.56
Συντελεστής βάρους x	0.2
Πλήθος Υποκλάδων	14

Αποτελέσματα: R32

Παροχή Αιχμής (M3/S)	2509.4
Χρονική στιγμή αιχμής	02Sep2000, 23:30
Όγκος (MM)	179.87
Παροχή Αιχμής Εισόδου (M3/S)	2543.87
Όγκος Εισροής (M3)	3.09E8

Απορροή



Κλάδος: R43

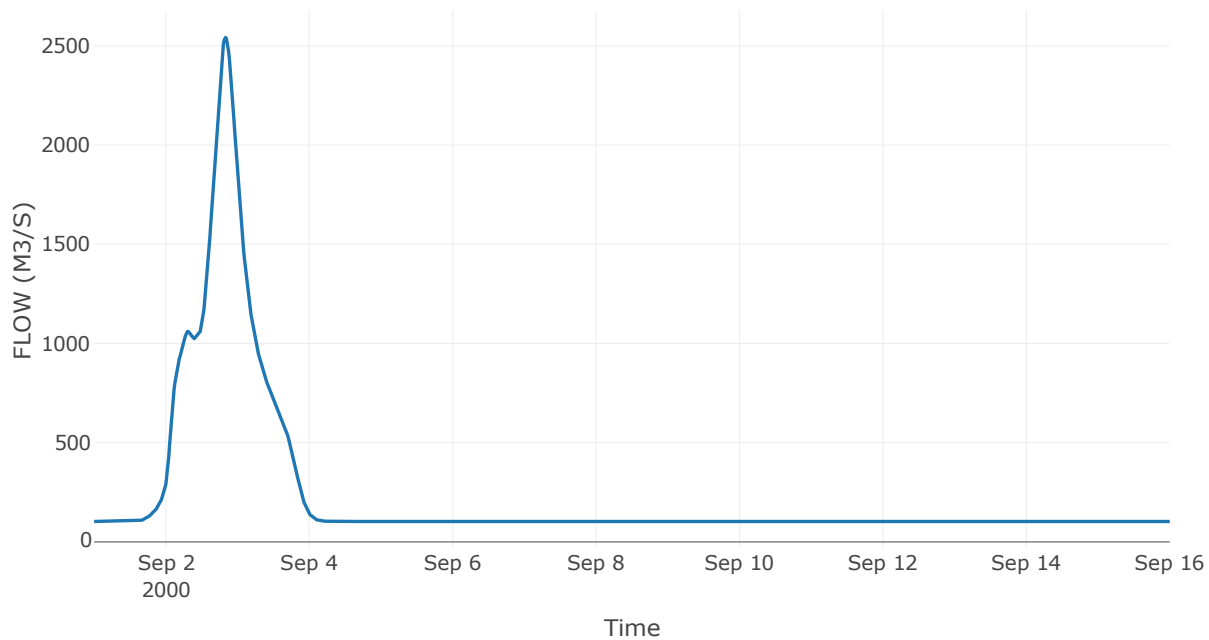
Κατάντη : J3

Μέθοδος Διόδευσης	Muskingum
Αρχική Μεταβλητή	Combined Inflow
Χρόνος Ροής K	0.62
Συντελεστής βάρους x	0.2
Πλήθος Υποκλάδων	2

Αποτελέσματα: R43

Παροχή Αιχμής (M3/S)	2542.24
Χρονική στιγμή αιχμής	02Sep2000, 20:00
Όγκος (MM)	179.82
Παροχή Αιχμής Εισόδου (M3/S)	2549.61
Όγκος Εισροής (M3)	3.09E8

Απορροή



Κλάδος: R54

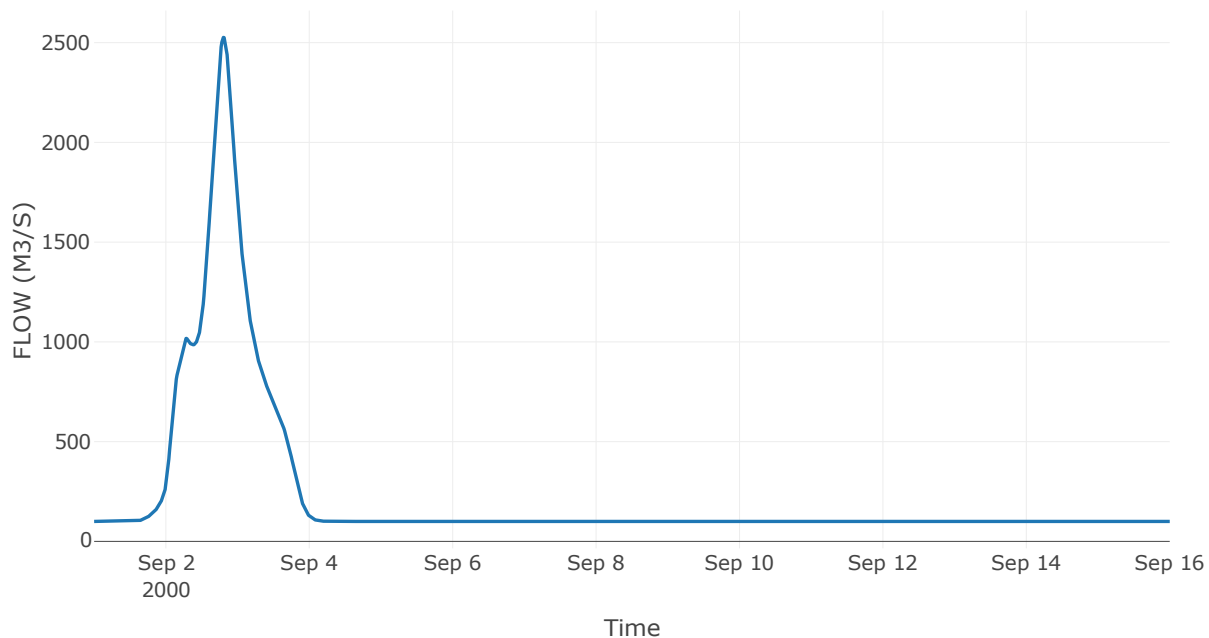
Κατάντη : J4

Μέθοδος Διόδευσης	Muskingum
Αρχική Μεταβλητή	Combined Inflow
Χρόνος Ροής K	0.23
Συντελεστής βάρους x	0.2
Πλήθος Υποκλάδων	1

Αποτελέσματα: R54

Παροχή Αιχμής (M3/S)	2526.18
Χρονική στιγμή αιχμής	02Sep2000, 19:15
Όγκος (MM)	180.05
Παροχή Αιχμής Εισόδου (M3/S)	2527.95
Όγκος Εισροής (M3)	3E8

Απορροή



Κλάδος: R65

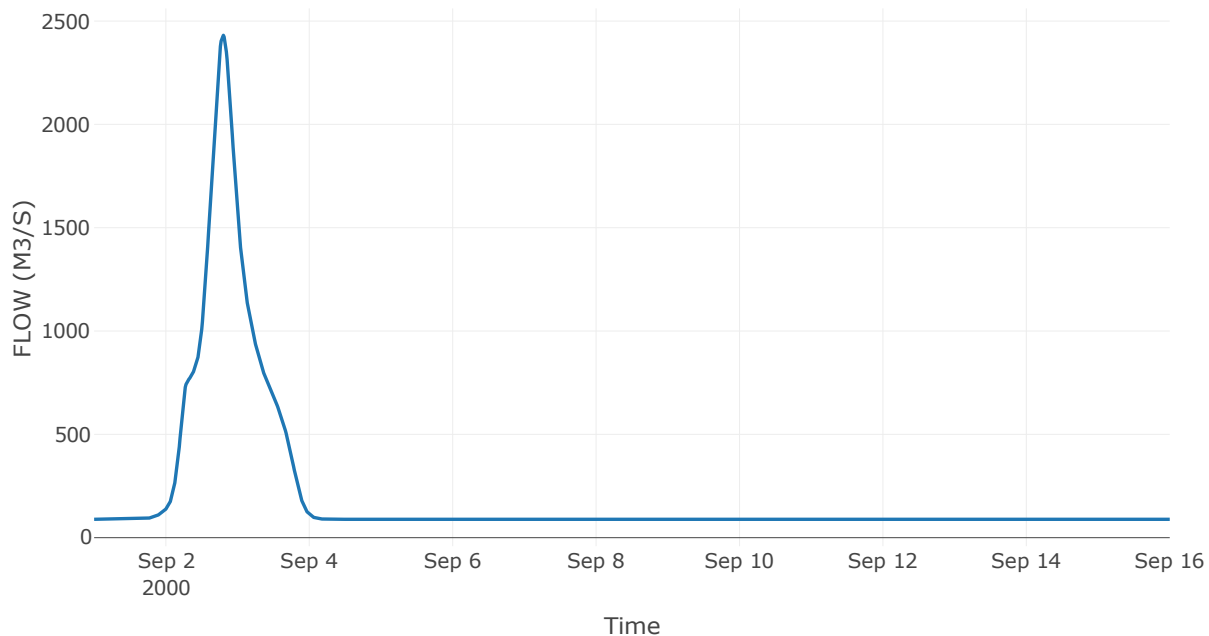
Κατάντη : J5

Μέθοδος Διόδευσης	Muskingum
Αρχική Μεταβλητή	Combined Inflow
Χρόνος Ροής K	2.31
Συντελεστής βάρους x	0.2
Πλήθος Υποκλάδων	9

Αποτελέσματα: R65

Παροχή Αιχμής (M3/S)	2431.16
Χρονική στιγμή αιχμής	02Sep2000, 19:15
Όγκος (MM)	179.97
Παροχή Αιχμής Εισόδου (M3/S)	2457.25
Όγκος Εισροής (M3)	2.67E8

Απορροή



Κλάδος: R76

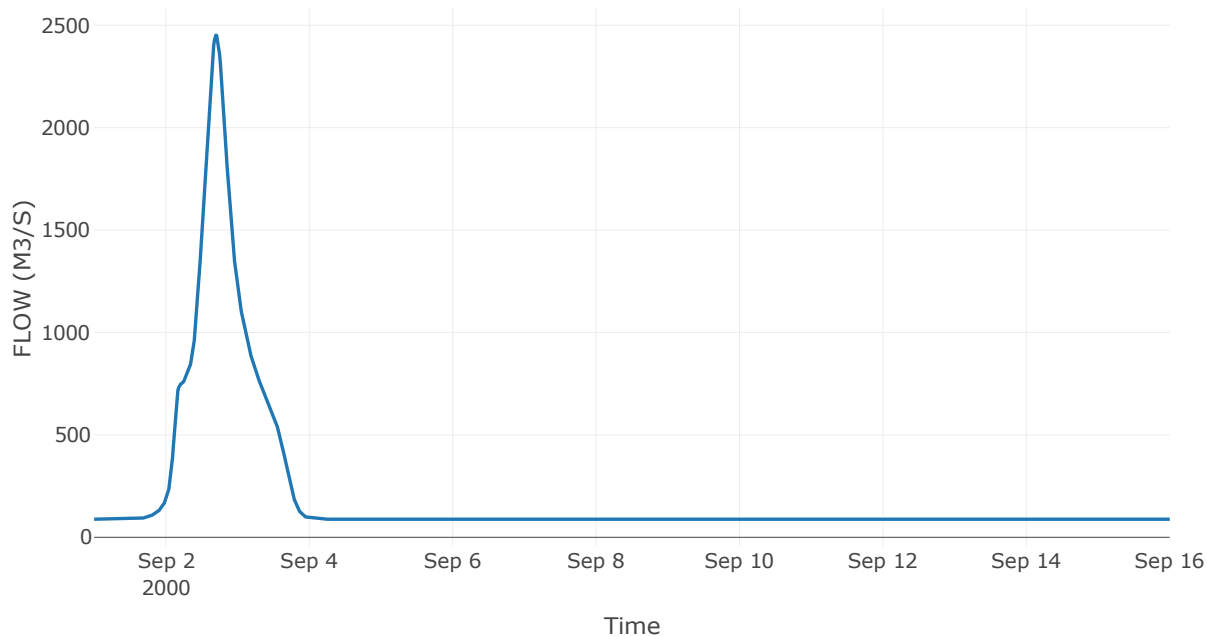
Κατάντη : J6

Μέθοδος Διόδευσης	Muskingum
Αρχική Μεταβλητή	Combined Inflow
Χρόνος Ροής K	1.99
Συντελεστής βάρους x	0.2
Πλήθος Υποκλάδων	8

Αποτελέσματα: R76

Παροχή Αιχμής (M3/S)	2451.32
Χρονική στιγμή αιχμής	02Sep2000, 16:45
Όγκος (MM)	180.01
Παροχή Αιχμής Εισόδου (M3/S)	2474.33
Όγκος Εισροής (M3)	2.65E8

Απορροή



Κλάδος: R87

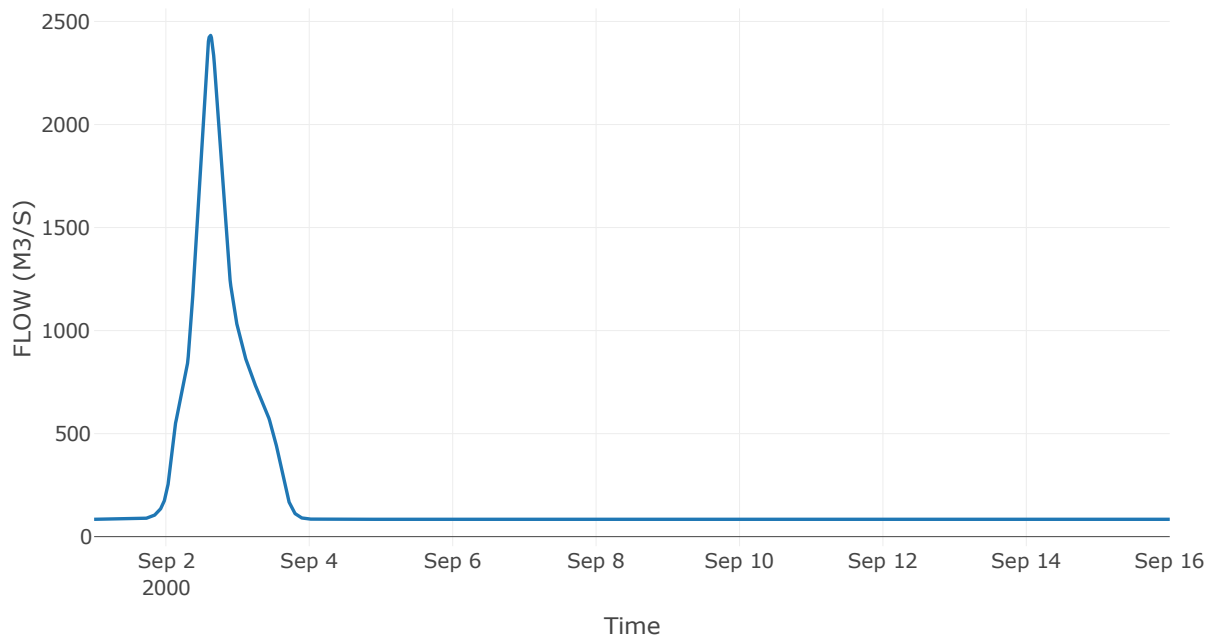
Κατάντη : J7

Μέθοδος Διόδευσης	Muskingum
Αρχική Μεταβλητή	Combined Inflow
Χρόνος Ροής K	1.06
Συντελεστής βάρους x	0.2
Πλήθος Υποκλάδων	4

Αποτελέσματα: R87

Παροχή Αιχμής (M3/S)	2433.13
Χρονική στιγμή αιχμής	02Sep2000, 14:45
Όγκος (MM)	179.07
Παροχή Αιχμής Εισόδου (M3/S)	2448.16
Όγκος Εισροής (M3)	2.51E8

Απορροή



Κλάδος: R98

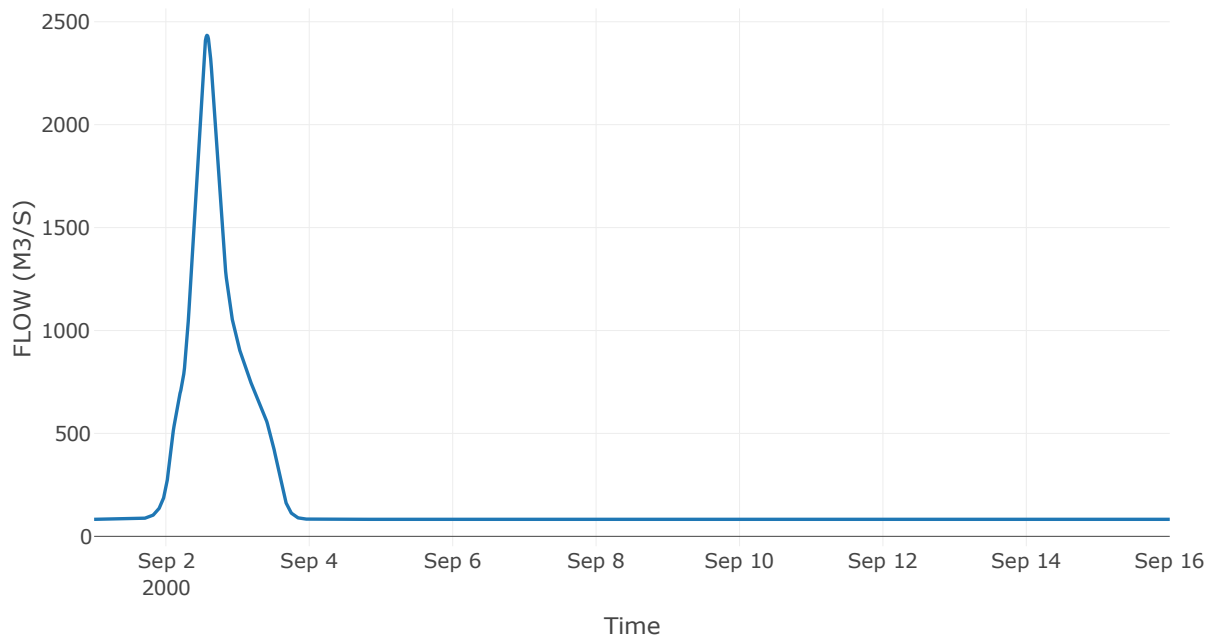
Κατάντη : J8

Μέθοδος Διόδευσης	Muskingum
Αρχική Μεταβλητή	Combined Inflow
Χρόνος Ροής Κ	0.44
Συντελεστής βάρους α	0.2
Πλήθος Υποκλάδων	2

Αποτελέσματα: R98

Παροχή Αιχμής (M3/S)	2434.1
Χρονική στιγμή αιχμής	02Sep2000, 13:45
Όγκος (MM)	179.21
Παροχή Αιχμής Εισόδου (M3/S)	2438.26
Όγκος Εισροής (M3)	2.47E8

Απορροή



Κλάδος: R109

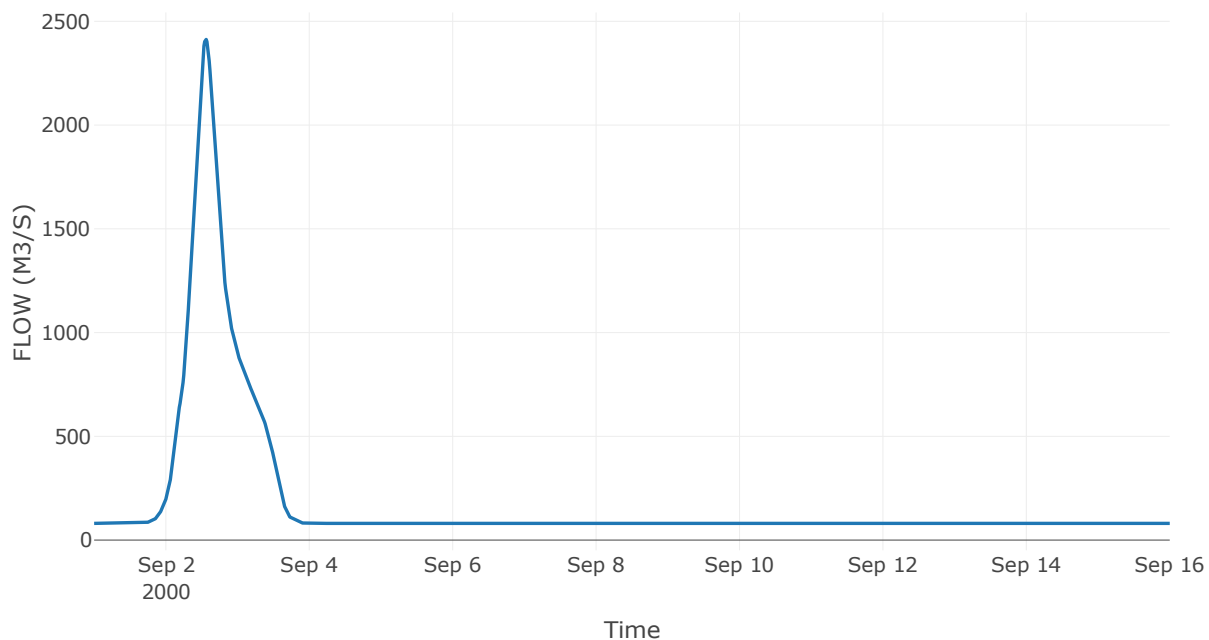
Κατάντη : J9

Μέθοδος Διόδευσης	Muskingum
Αρχική Μεταβλητή	Combined Inflow
Χρόνος Ροής K	1.99
Συντελεστής βάρους x	0.2
Πλήθος Υποκλάδων	8

Αποτελέσματα: R109

Παροχή Αιχμής (M3/S)	2413.11
Χρονική στιγμή αιχμής	02Sep2000, 13:15
Όγκος (MM)	178.89
Παροχή Αιχμής Εισόδου (M3/S)	2440.27
Όγκος Εισροής (M3)	2.4E8

Απορροή



Κλάδος: R1110

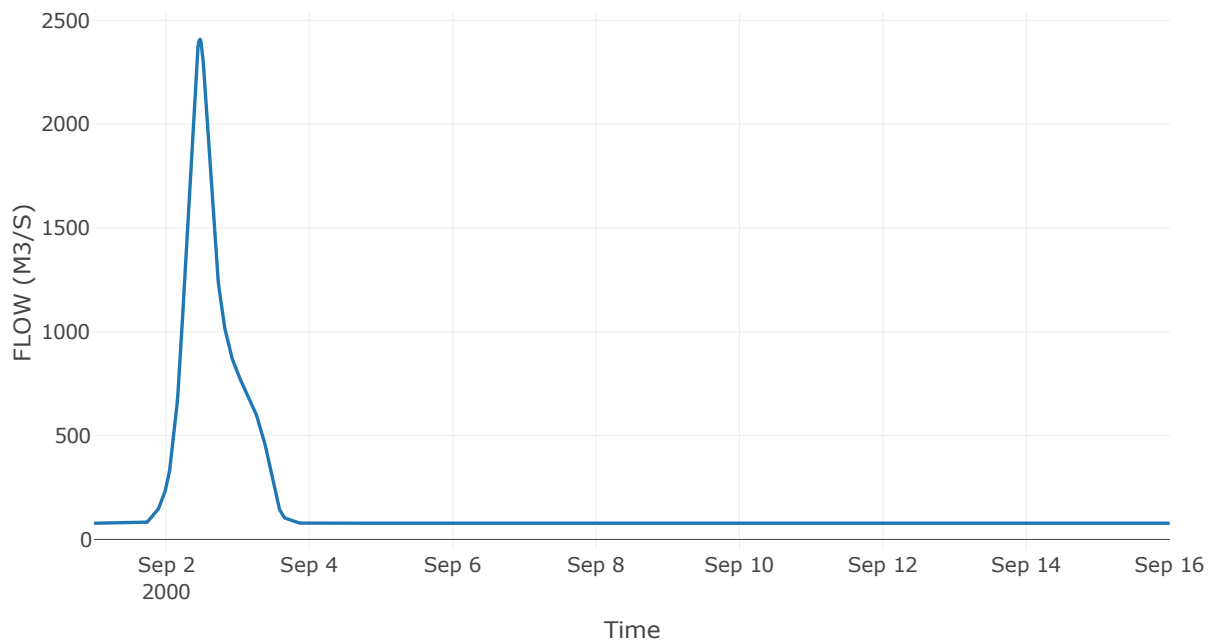
Κατάντη : J10

Μέθοδος Διόδευσης	Muskingum
Αρχική Μεταβλητή	Combined Inflow
Χρόνος Ροής K	1.61
Συντελεστής βάρους x	0.2
Πλήθος Υποκλάδων	6

Αποτελέσματα: R1110

Παροχή Αιχμής (M3/S)	2409.03
Χρονική στιγμή αιχμής	02Sep2000, 11:30
Όγκος (MM)	178.27
Παροχή Αιχμής Εισόδου (M3/S)	2436.55
Όγκος Εισροής (M3)	2.31E8

Απορροή



Κλάδος: R1223

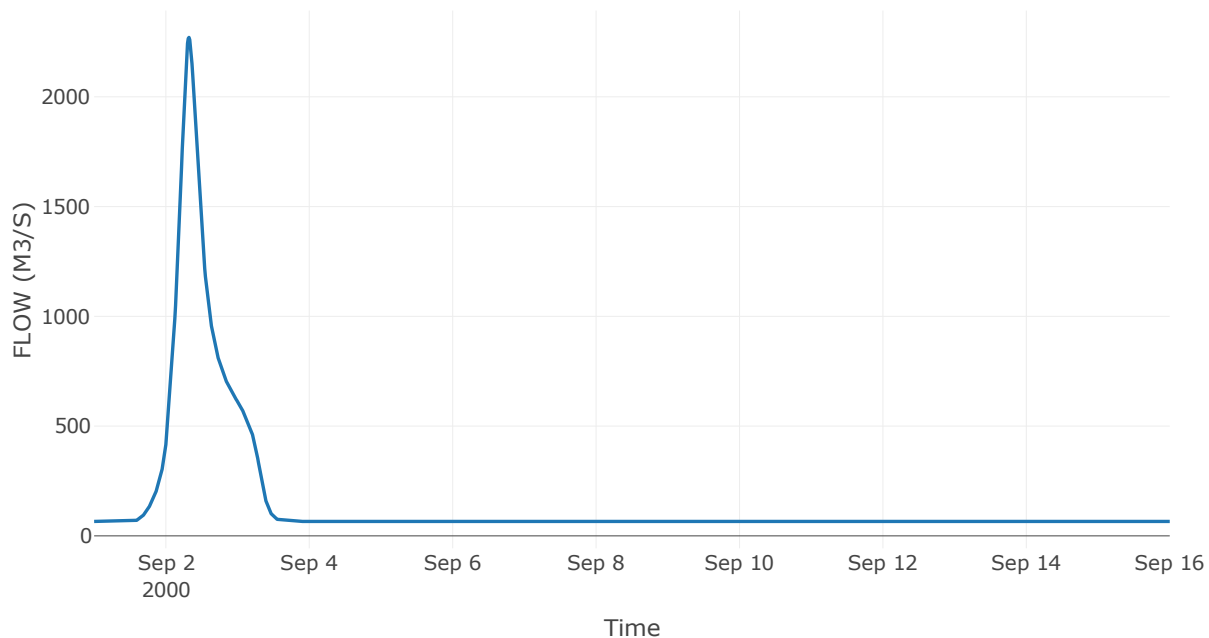
Κατάντη : J23

Μέθοδος Διόδευσης	Muskingum
Αρχική Μεταβλητή	Combined Inflow
Χρόνος Ροής Κ	0.14
Συντελεστής βάρους α	0.2
Πλήθος Υποκλάδων	1

Αποτελέσματα: R1223

Παροχή Αιχμής (M3/S)	2270.54
Χρονική στιγμή αιχμής	02Sep2000, 07:45
Όγκος (MM)	181.37
Παροχή Αιχμής Εισόδου (M3/S)	2271.93
Όγκος Εισροής (M3)	1.99E8

Απορροή



Κλάδος: R1312

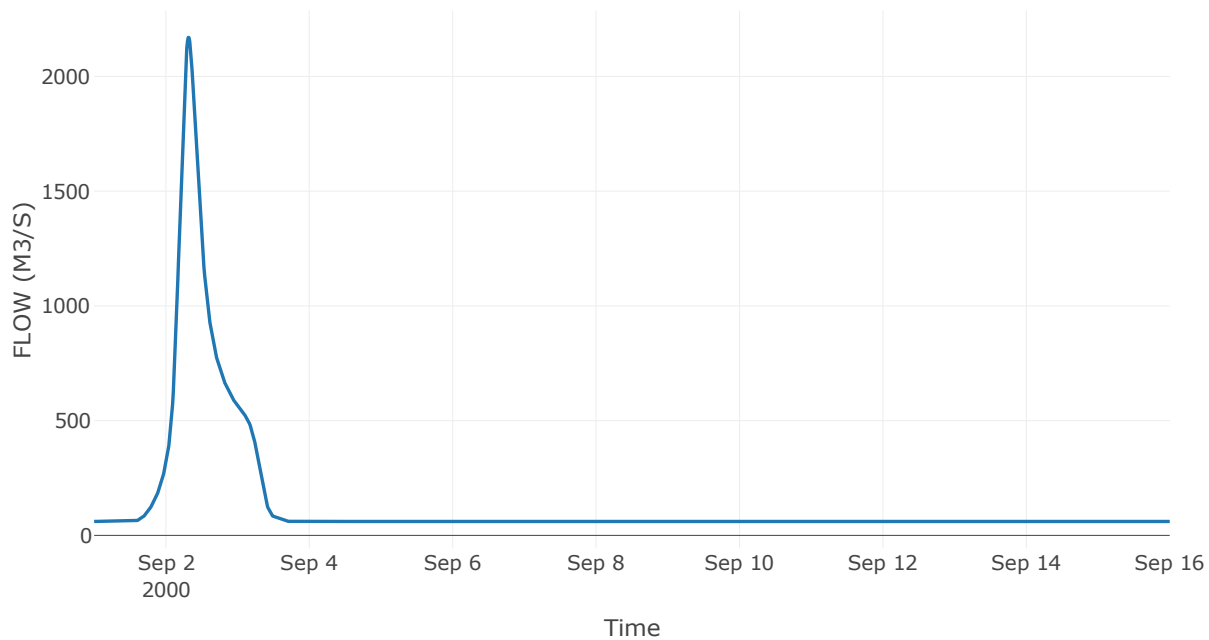
Κατάντη : J12

Μέθοδος Διόδευσης	Muskingum
Αρχική Μεταβλητή	Combined Inflow
Χρόνος Ροής Κ	2.21
Συντελεστής βάρους α	0.2
Πλήθος Υποκλάδων	9

Αποτελέσματα: R1312

Παροχή Αιχμής (M3/S)	2170.07
Χρονική στιγμή αιχμής	02Sep2000, 07:30
Όγκος (MM)	180.15
Παροχή Αιχμής Εισόδου (M3/S)	2216.2
Όγκος Εισροής (M3)	1.82E8

Απορροή



Κλάδος: R1413

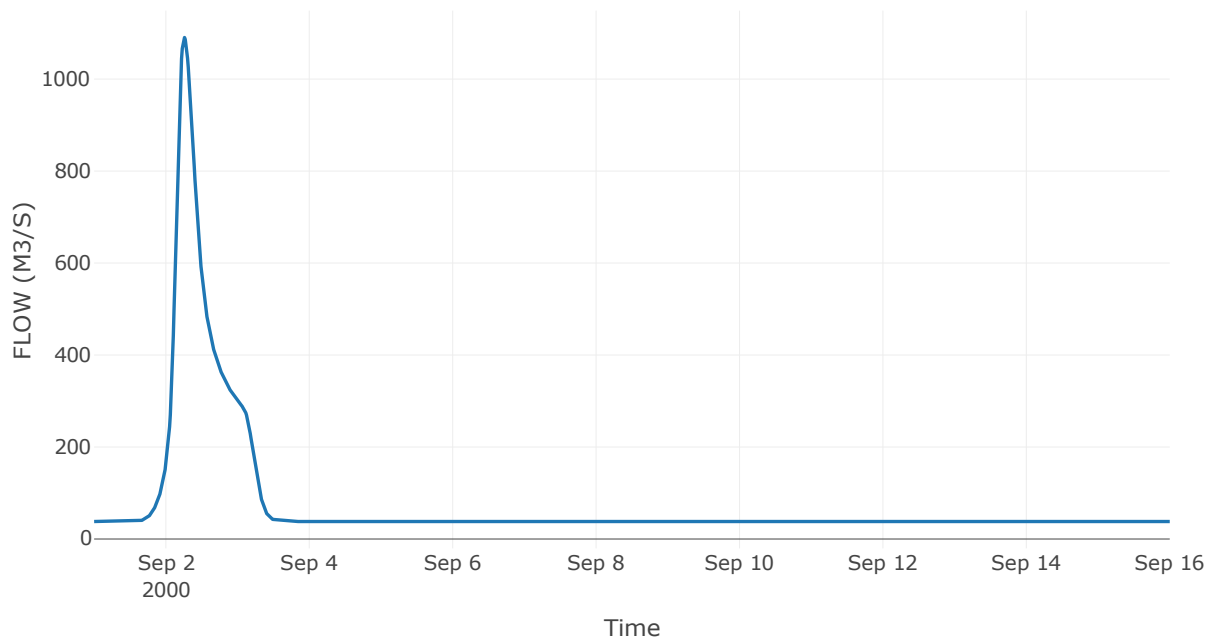
Κατάντη : J13

Μέθοδος Διόδευσης	Muskingum
Αρχική Μεταβλητή	Combined Inflow
Χρόνος Ροής Κ	1.91
Συντελεστής βάρους α	0.2
Πλήθος Υποκλάδων	8

Αποτελέσματα: R1413

Παροχή Αιχμής (M3/S)	1090.45
Χρονική στιγμή αιχμής	02Sep2000, 06:15
Όγκος (MM)	159.29
Παροχή Αιχμής Εισόδου (M3/S)	1105.21
Όγκος Εισροής (M3)	1.01E8

Απορροή



Κλάδος: R1514

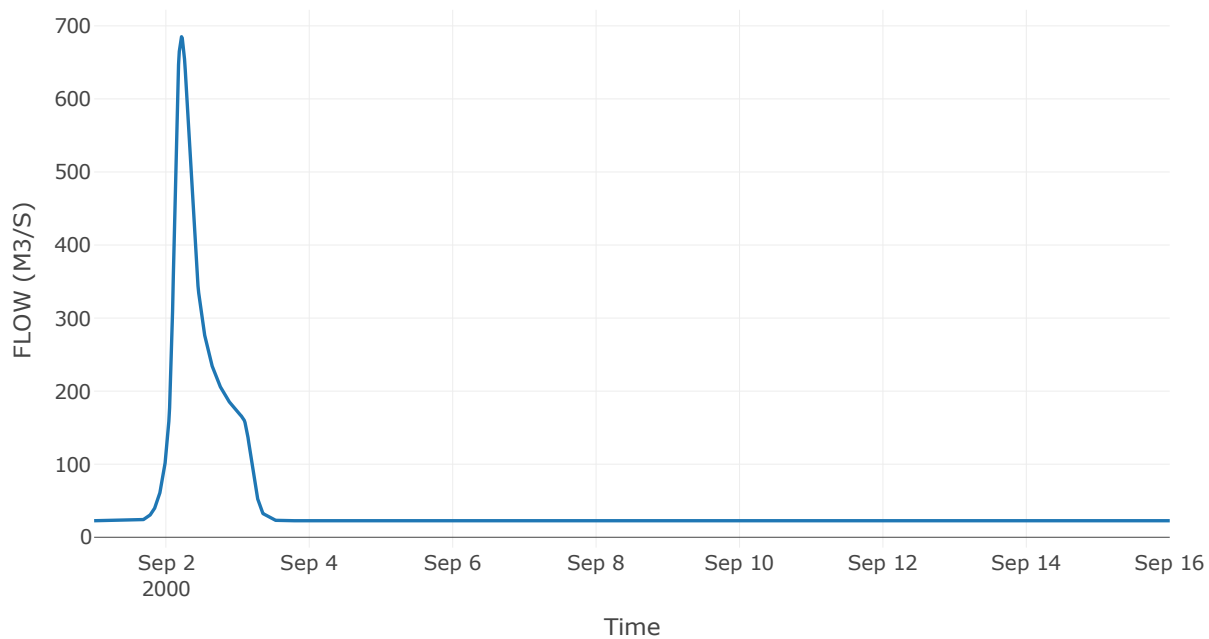
Κατάντη : J14

Μέθοδος Διόδευσης	Χρόνος
Αρχική Μεταβλητή	Combined Inflow
Χρόνος Υστέρησης	72.76

Αποτελέσματα: R1514

Παροχή Αιχμής (M3/S)	685.12
Χρονική στιγμή αιχμής	02Sep2000, 05:15
Όγκος (MM)	157.41
Παροχή Αιχμής Εισόδου (M3/S)	685.44
Όγκος Εισροής (M3)	5.93E7

Απορροή



Κλάδος: R1615

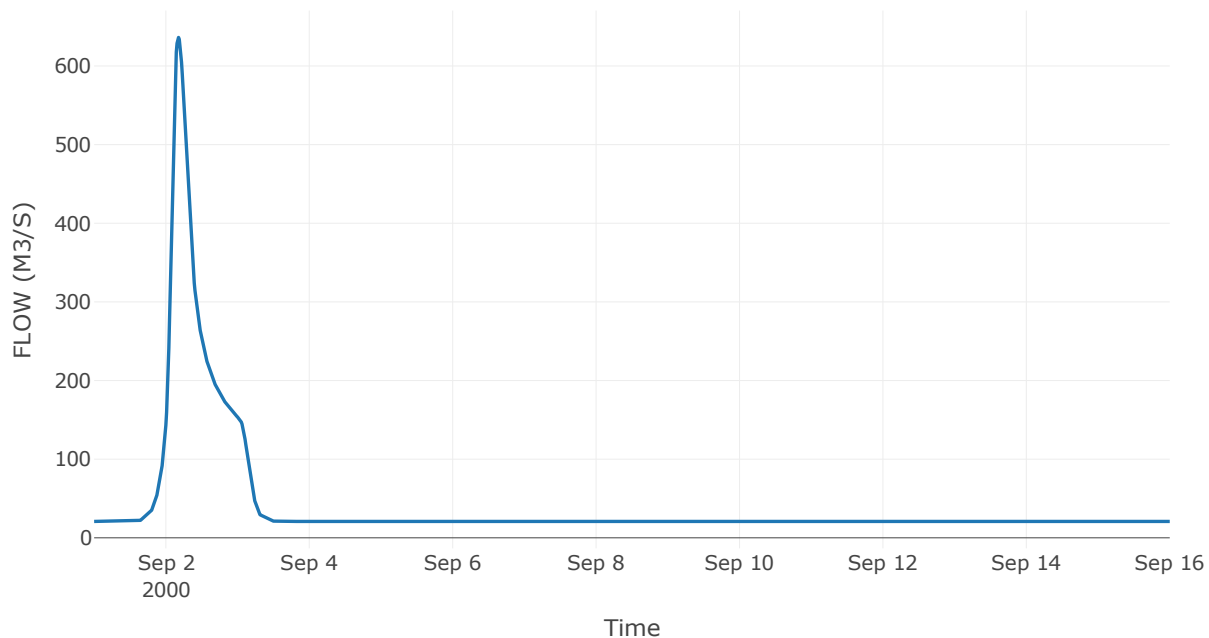
Κατάντη : J15

Μέθοδος Διόδευσης	Muskingum
Αρχική Μεταβλητή	Combined Inflow
Χρόνος Ροής K	0.65
Συντελεστής βάρους x	0.2
Πλήθος Υποκλάδων	3

Αποτελέσματα: R1615

Παροχή Αιχμής (M3/S)	636.31
Χρονική στιγμή αιχμής	02Sep2000, 04:15
Όγκος (MM)	157.13
Παροχή Αιχμής Εισόδου (M3/S)	639.18
Όγκος Εισροής (M3)	5.45E7

Απορροή



Κλάδος: R1716

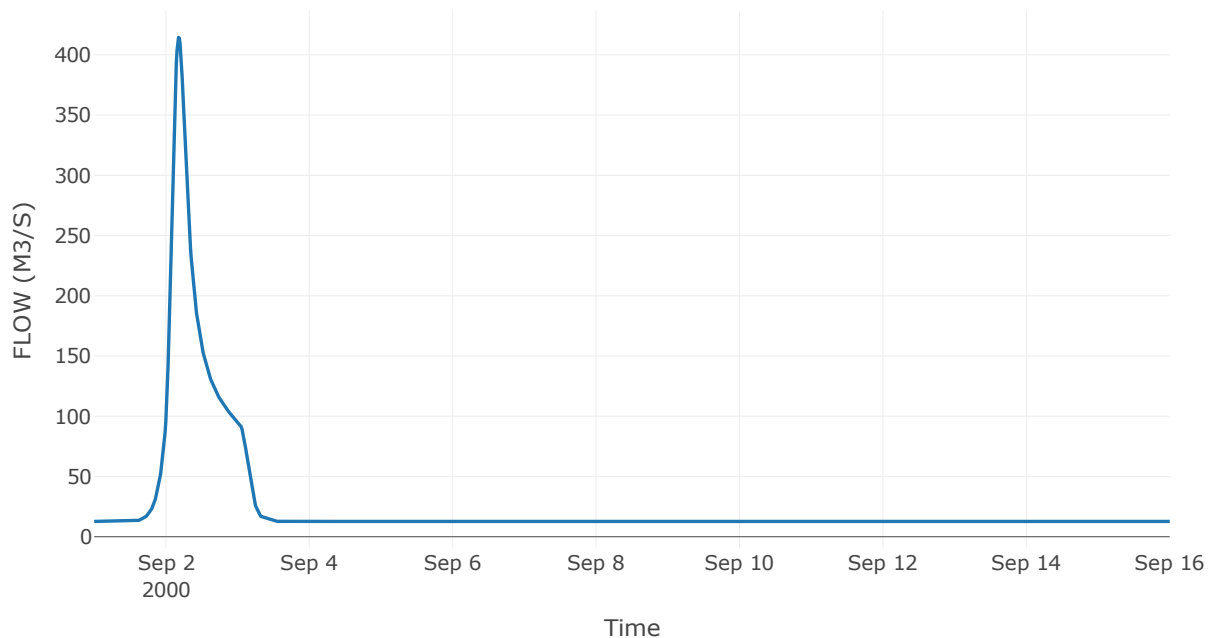
Κατάντη : J16

Μέθοδος Διόδευσης	Muskingum
Αρχική Μεταβλητή	Combined Inflow
Χρόνος Ροής K	0.19
Συντελεστής βάρους x	0.2
Πλήθος Υποκλάδων	1

Αποτελέσματα: R1 716

Παροχή Αιχμής (M3/S)	414.43
Χρονική στιγμή αιχμής	02Sep2000, 04:15
Όγκος (MM)	160.49
Παροχή Αιχμής Εισόδου (M3/S)	414.96
Όγκος Εισροής (M3)	3.4E7

Απορροή



Κλάδος: R1817

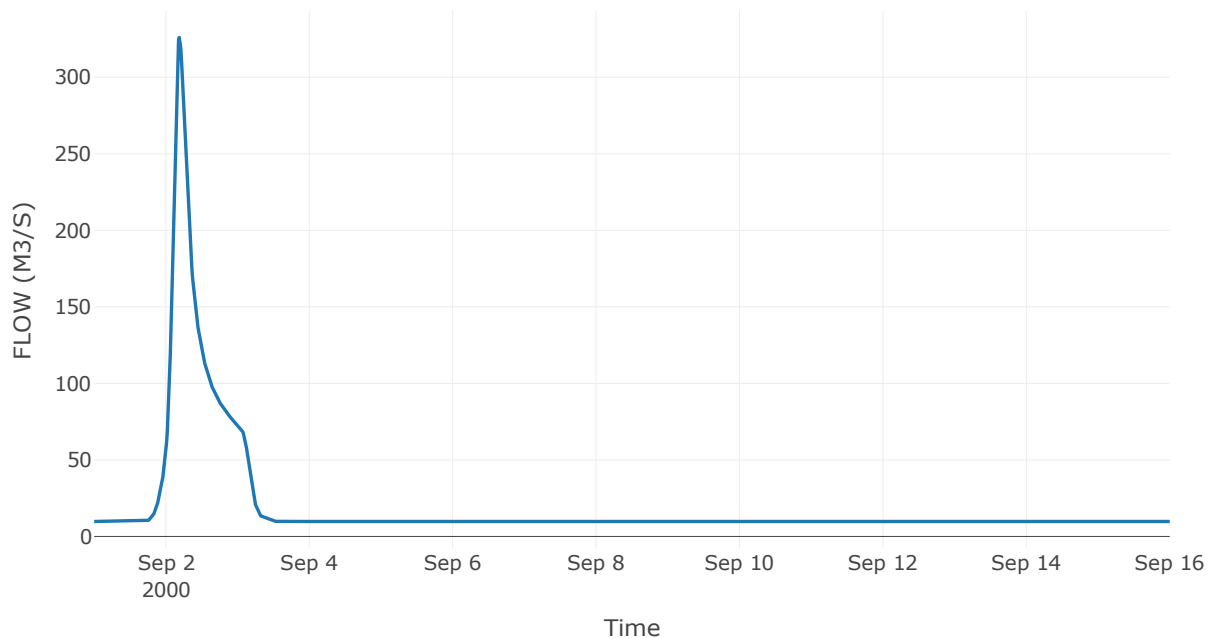
Κατάντη : J17

Μέθοδος Διόδευσης	Muskingum
Αρχική Μεταβλητή	Combined Inflow
Χρόνος Ροής Κ	0.92
Συντελεστής βάρους α	0.2
Πλήθος Υποκλάδων	4

Αποτελέσματα: R1817

Παροχή Αιχμής (M3/S)	325.99
Χρονική στιγμή αιχμής	02Sep2000, 04:30
Όγκος (MM)	157.23
Παροχή Αιχμής Εισόδου (M3/S)	330.06
Όγκος Εισροής (M3)	2.56E7

Απορροή



Κλάδος: R1918

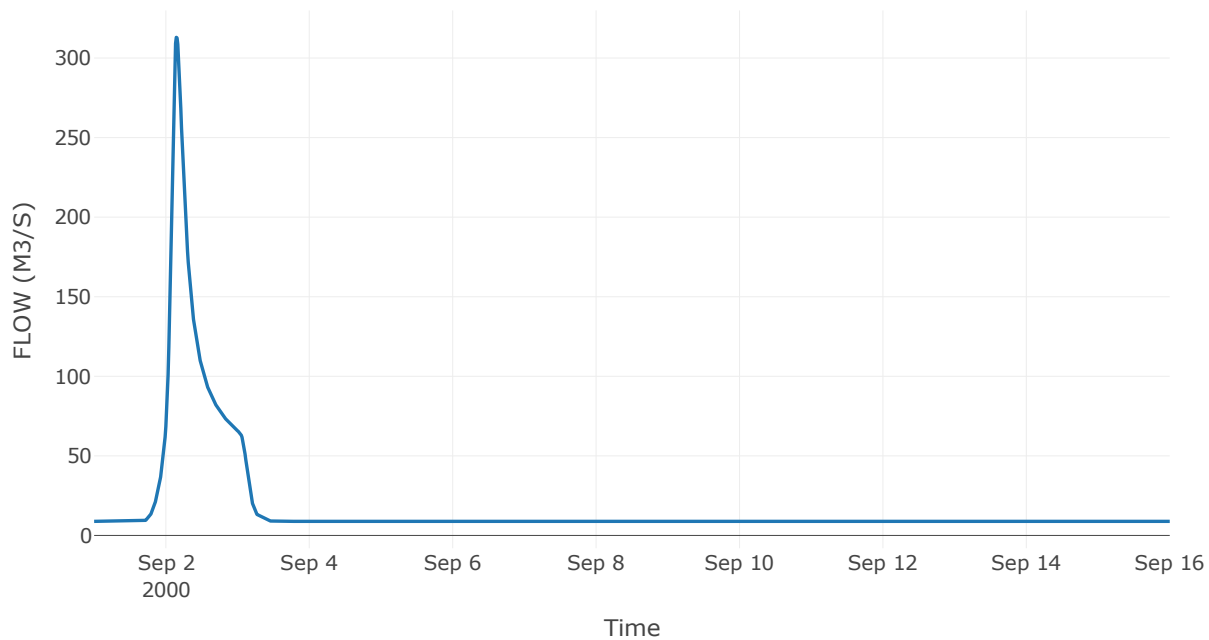
Κατάντη : J18

Μέθοδος Διόδευσης	Muskingum
Αρχική Μεταβλητή	Combined Inflow
Χρόνος Ροής K	0.81
Συντελεστής βάρους x	0.2
Πλήθος Υποκλάδων	3

Αποτελέσματα: R1918

Παροχή Αιχμής (M3/S)	313
Χρονική στιγμή αιχμής	02Sep2000, 03:30
Όγκος (MM)	159.19
Παροχή Αιχμής Εισόδου (M3/S)	317.82
Όγκος Εισροής (M3)	2.35E7

Απορροή



Κλάδος: R2016

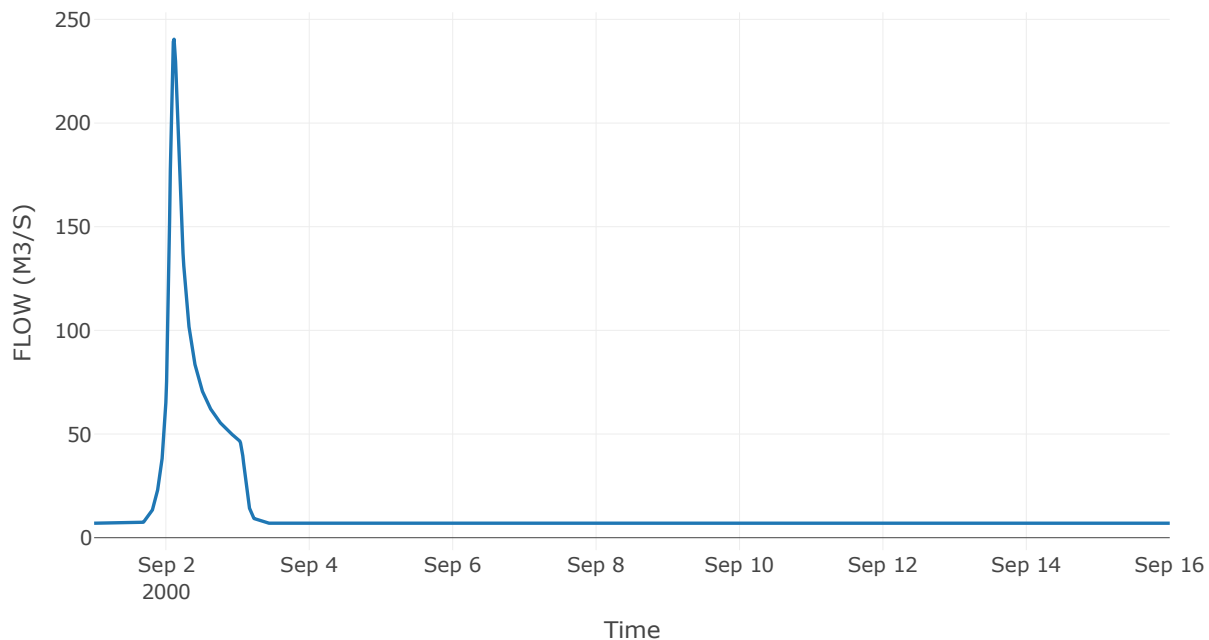
Κατάντη : J16

Μέθοδος Διόδευσης	Muskingum
Αρχική Μεταβλητή	Combined Inflow
Χρόνος Ροής K	0.41
Συντελεστής βάρους x	0.2
Πλήθος Υποκλάδων	2

Αποτελέσματα: R2016

Παροχή Αιχμής (M3/S)	240.44
Χρονική στιγμή αιχμής	02Sep2000, 02:45
Όγκος (MM)	150.54
Παροχή Αιχμής Εισόδου (M3/S)	242.84
Όγκος Εισροής (M3)	1.75E7

Απορροή



Κλάδος: R2120

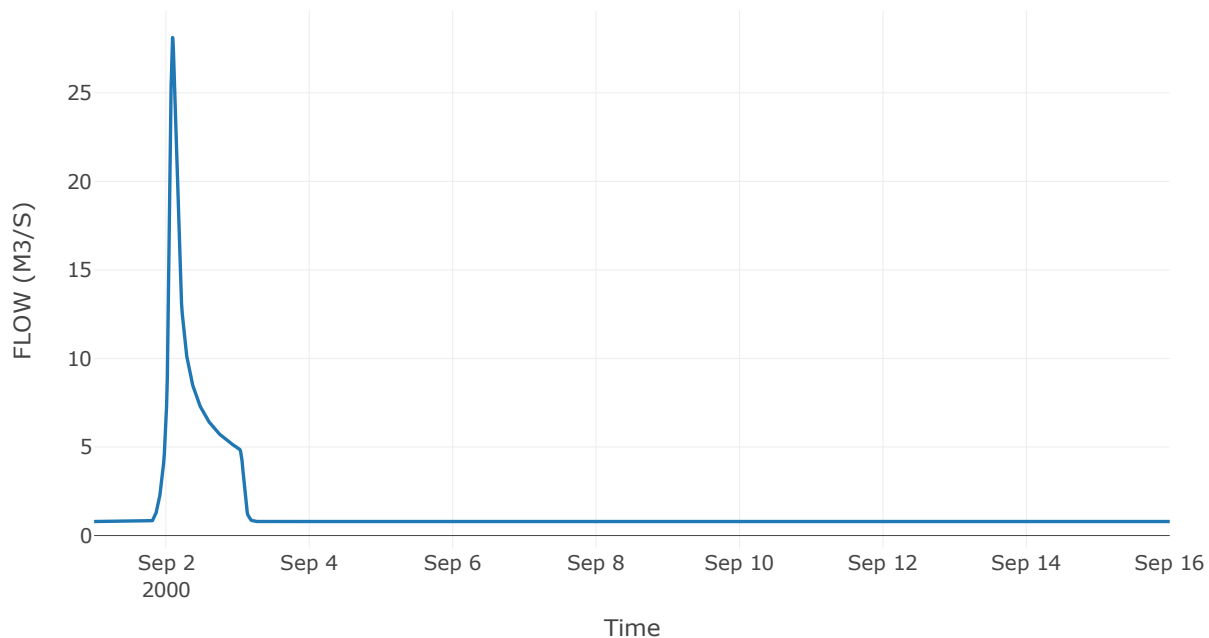
Κατάντη : J20

Μέθοδος Διόδευσης	Muskingum
Αρχική Μεταβλητή	Combined Inflow
Χρόνος Ροής Κ	0.92
Συντελεστής βάρους α	0.2
Πλήθος Υποκλάδων	4

Αποτελέσματα: R2120

Παροχή Αιχμής (M3/S)	28.12
Χρονική στιγμή αιχμής	02Sep2000, 02:15
Όγκος (MM)	139.65
Παροχή Αιχμής Εισόδου (M3/S)	29.67
Όγκος Εισροής (M3)	1.84E6

Απορροή



Κλάδος: R2214

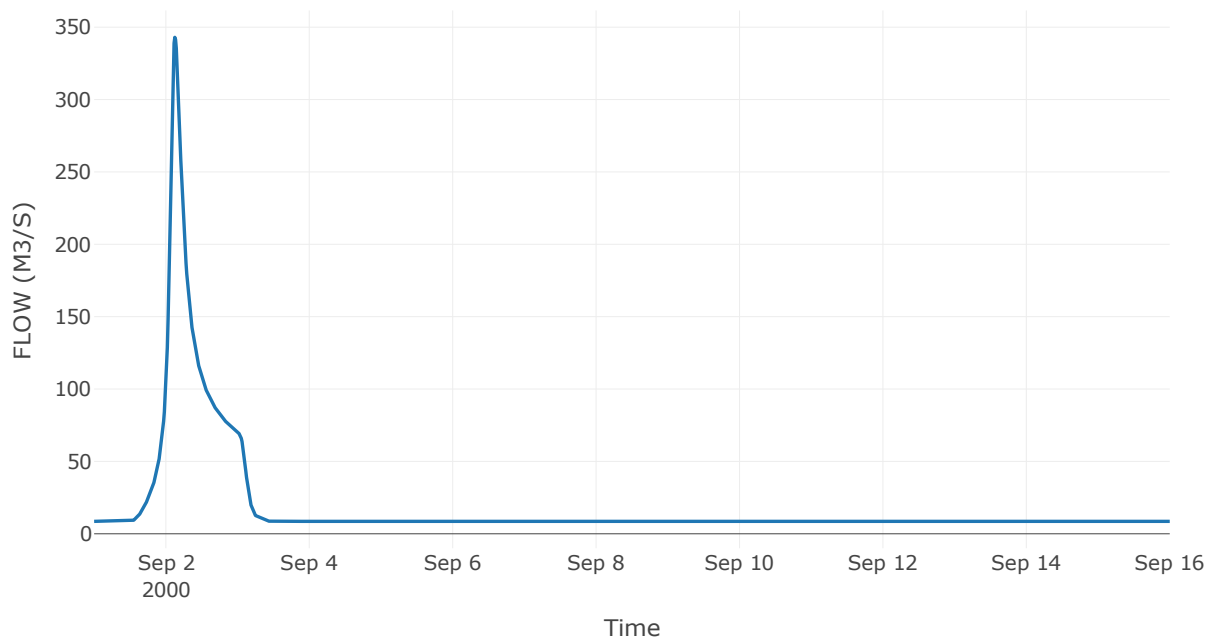
Κατάντη : J14

Μέθοδος Διόδευσης	Muskingum
Αρχική Μεταβλητή	Combined Inflow
Χρόνος Ροής K	0.5
Συντελεστής βάρους x	0.2
Πλήθος Υποκλάδων	2

Αποτελέσματα: R2214

Παροχή Αιχμής (M3/S)	342.98
Χρονική στιγμή αιχμής	02Sep2000, 03:00
Όγκος (MM)	170.83
Παροχή Αιχμής Εισόδου (M3/S)	346.57
Όγκος Εισροής (M3)	2.44E7

Απορροή



Κλάδος: R2311

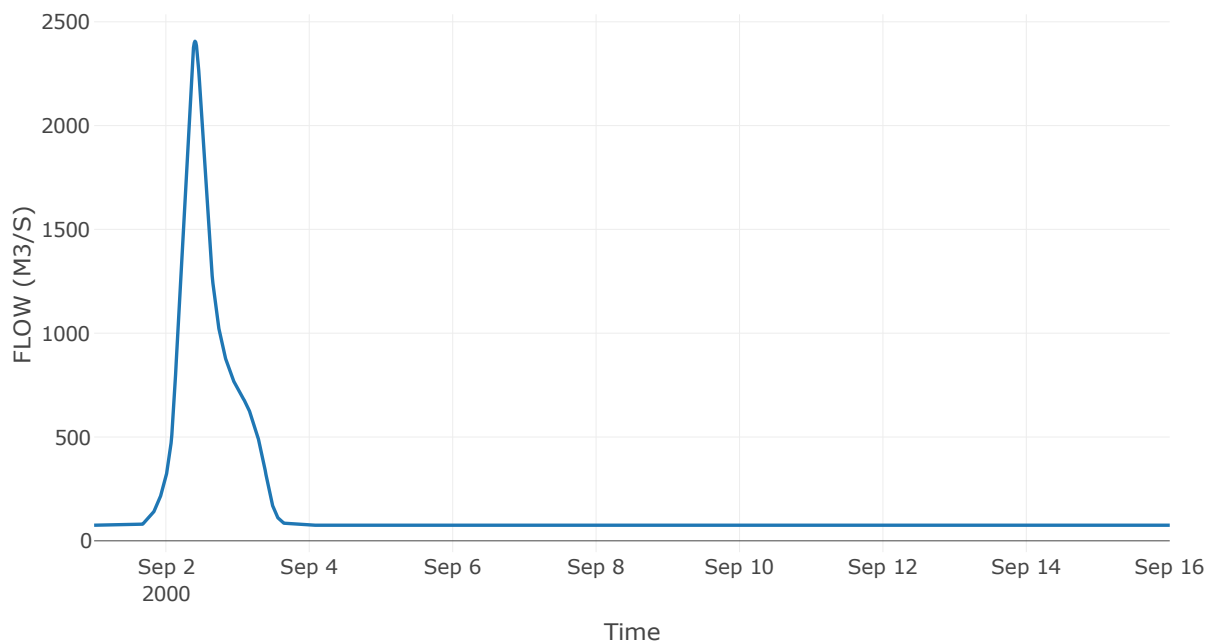
Κατάντη : J11

Μέθοδος Διόδευσης	Muskingum
Αρχική Μεταβλητή	Combined Inflow
Χρόνος Ροής K	2.19
Συντελεστής βάρους x	0.2
Πλήθος Υποκλάδων	9

Αποτελέσματα: R2311

Παροχή Αιχμής (M3/S)	2406.44
Χρονική στιγμή αιχμής	02Sep2000, 09:45
Όγκος (MM)	179.26
Παροχή Αιχμής Εισόδου (M3/S)	2442.75
Όγκος Εισροής (M3)	2.24E8

Απορροή



Κλάδος: R2423

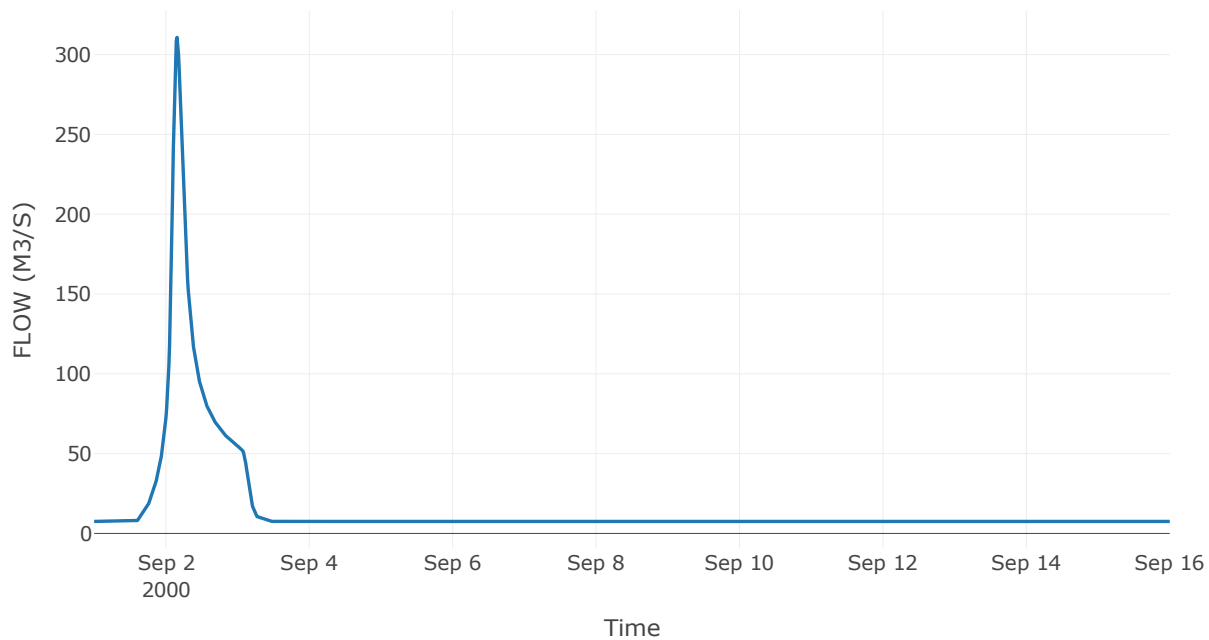
Κατάντη : J23

Μέθοδος Διόδευσης	Muskingum
Αρχική Μεταβλητή	Combined Inflow
Χρόνος Ροής Κ	1.59
Συντελεστής βάρους α	0.2
Πλήθος Υποκλάδων	6

Αποτελέσματα: R2423

Παροχή Αιχμής (M3/S)	310.75
Χρονική στιγμή αιχμής	02Sep2000, 03:45
Όγκος (MM)	166.29
Παροχή Αιχμής Εισόδου (M3/S)	323.71
Όγκος Εισροής (M3)	2.08E7

Απορροή



Κλάδος: R257

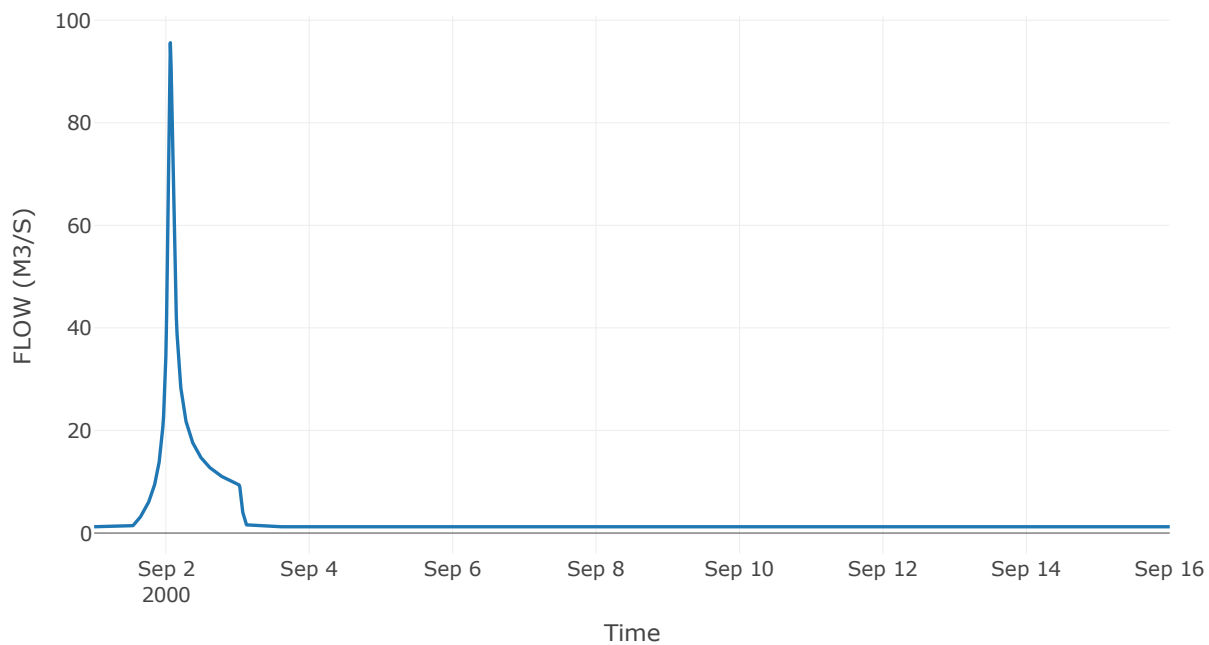
Κατάντη : J7

Μέθοδος Διόδευσης	Χρόνος
Αρχική Μεταβλητή	Combined Inflow
Χρόνος Υστέρησης	26.33

Αποτελέσματα: R257

Παροχή Αιχμής (M3/S)	95.6
Χρονική στιγμή αιχμής	02Sep2000, 01:30
Όγκος (MM)	188.42
Παροχή Αιχμής Εισόδου (M3/S)	96.5
Όγκος Εισροής (M3)	3.85E6

Απορροή



Κλάδος: R265

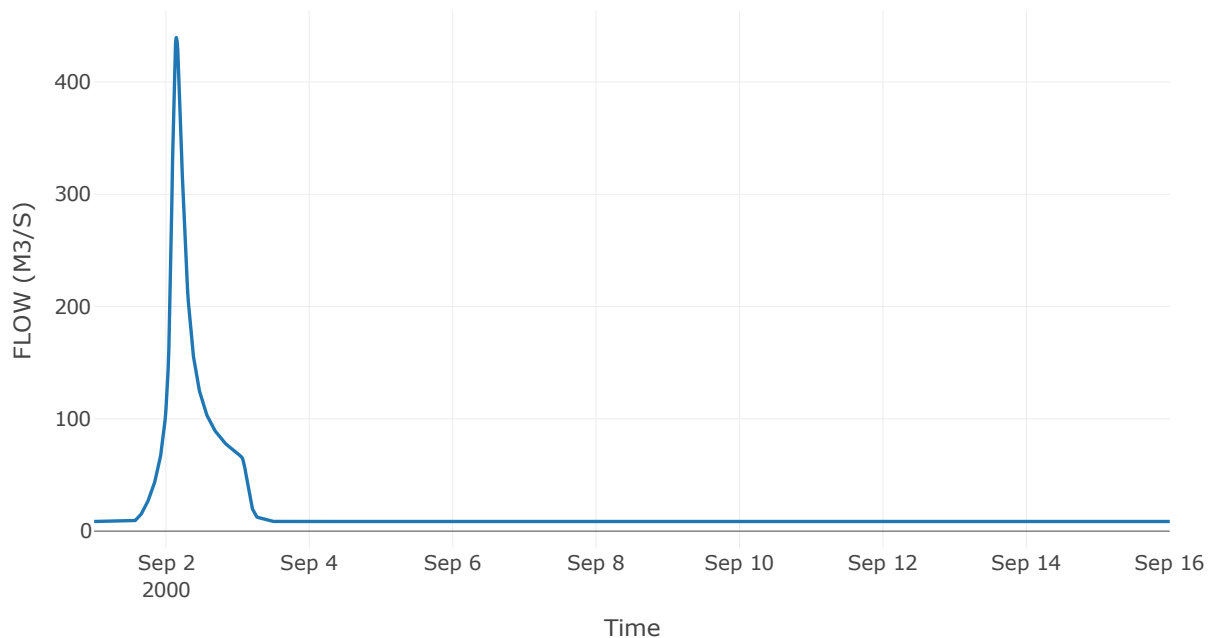
Κατάντη : J5

Μέθοδος Διόδευσης	Muskingum
Αρχική Μεταβλητή	Combined Inflow
Χρόνος Ροής K	1.24
Συντελεστής βάρους x	0.2
Πλήθος Υποκλάδων	5

Αποτελέσματα: R265

Παροχή Αιχμής (M3/S)	439.59
Χρονική στιγμή αιχμής	02Sep2000, 03:30
Όγκος (MM)	185.65
Παροχή Αιχμής Εισόδου (M3/S)	452.28
Όγκος Εισροής (M3)	2.65E7

Απορροή



Κλάδος: R274

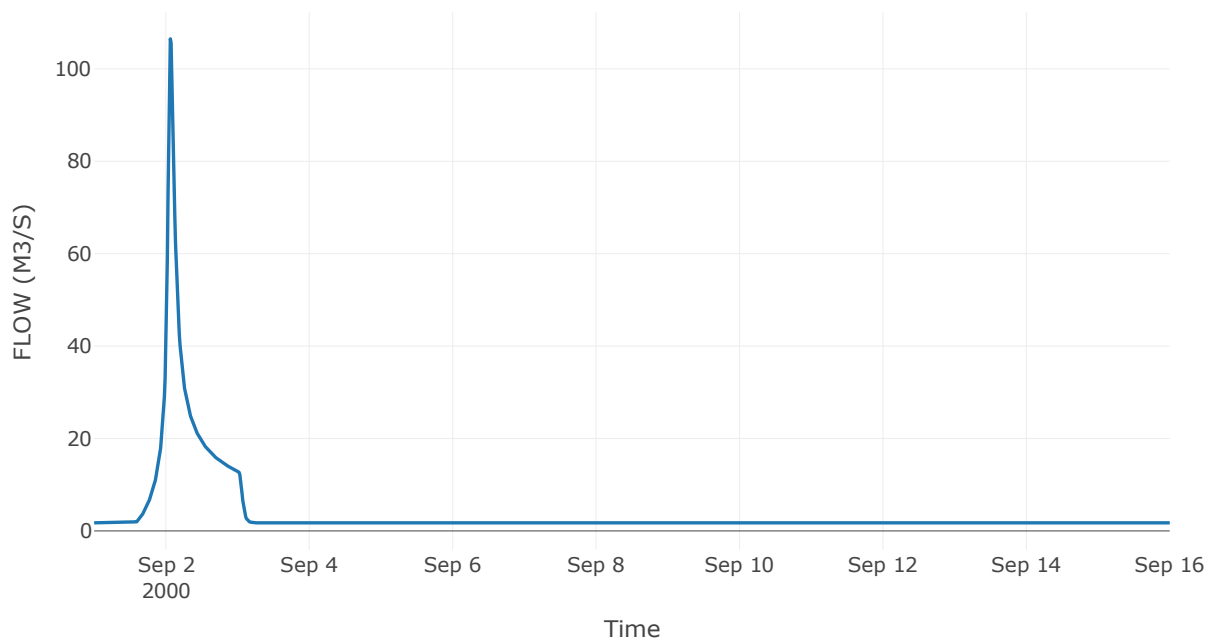
Κατάντη : J4

Μέθοδος Διόδευσης	Χρόνος
Αρχική Μεταβλητή	Combined Inflow
Χρόνος Υστέρησης	20.7

Αποτελέσματα: R274

Παροχή Αιχμής (M3/S)	106.5
Χρονική στιγμή αιχμής	02Sep2000, 01:30
Όγκος (MM)	173.91
Παροχή Αιχμής Εισόδου (M3/S)	107.59
Όγκος Εισροής (M3)	5.06E6

Απορροή



Κλάδος: R2917

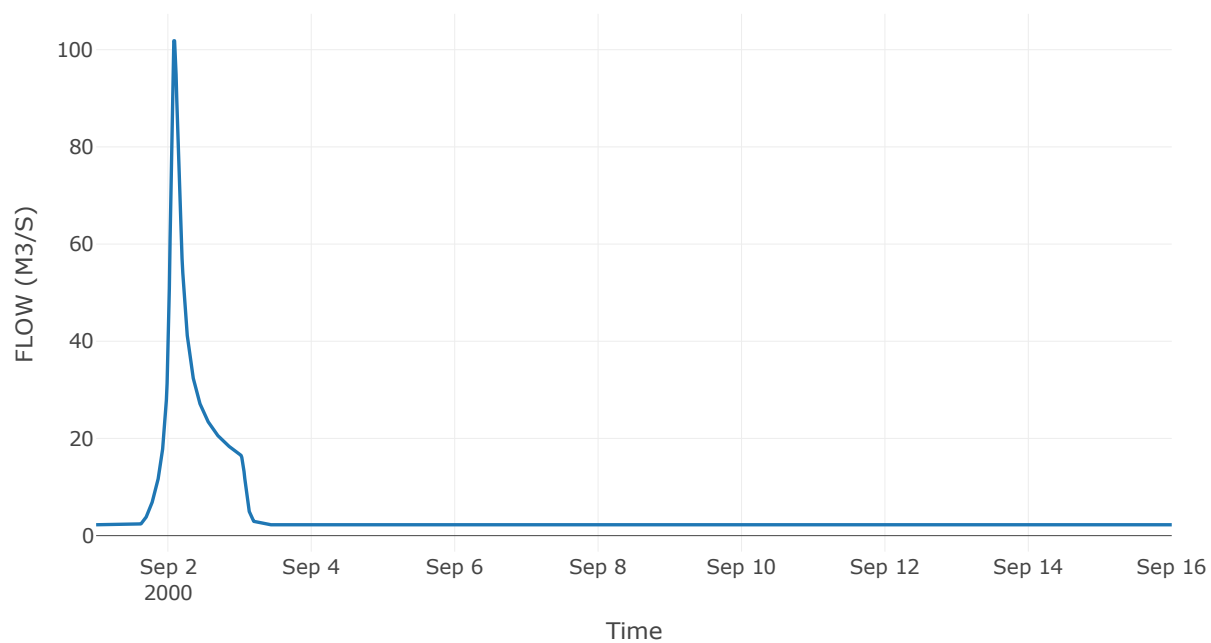
Κατάντη : J17

Μέθοδος Διόδευσης	Χρόνος
Αρχική Μεταβλητή	Combined Inflow
Χρόνος Υστέρησης	9.19

Αποτελέσματα: R2917

Παροχή Αιχμής (M3/S)	101.84
Χρονική στιγμή αιχμής	02Sep2000, 02:00
Όγκος (MM)	166.95
Παροχή Αιχμής Εισόδου (M3/S)	102.51
Όγκος Εισροής (M3)	6.22E6

Απορροή



Κλάδος: R3020

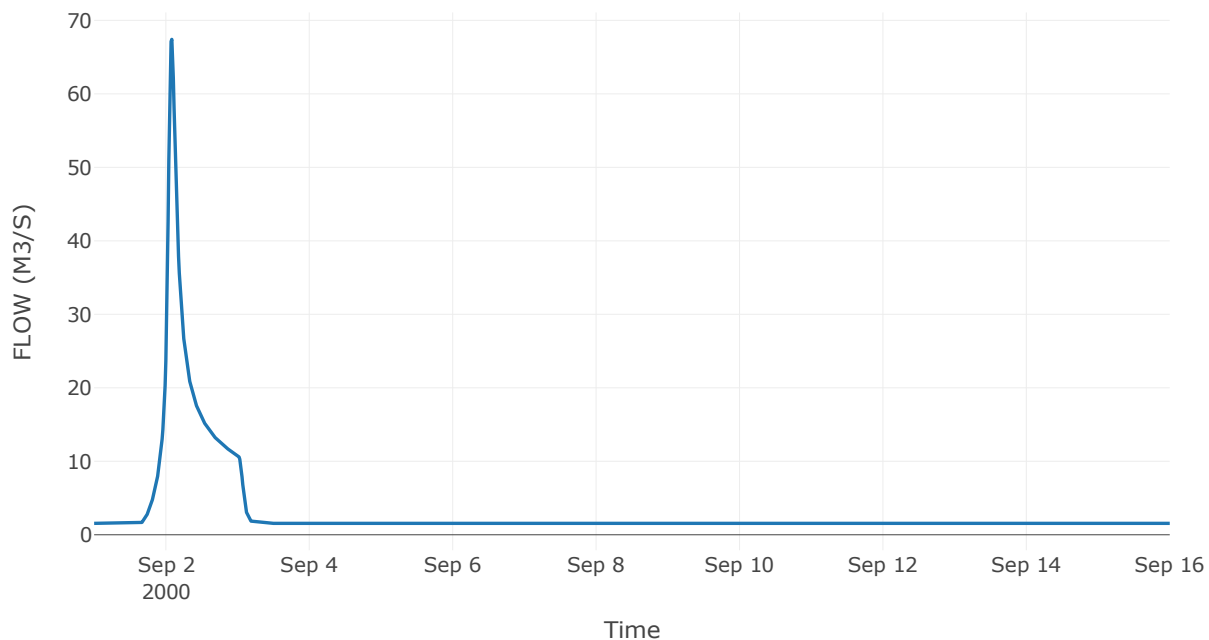
Κατάντη : J20

Μέθοδος Διόδευσης	Muskingum
Αρχική Μεταβλητή	Combined Inflow
Χρόνος Ροής Κ	0.21
Συντελεστής βάρους x	0.2
Πλήθος Υποκλάδων	1

Αποτελέσματα: R3020

Παροχή Αιχμής (M3/S)	67.42
Χρονική στιγμή αιχμής	02Sep2000, 02:00
Όγκος (MM)	157.45
Παροχή Αιχμής Εισόδου (M3/S)	68.05
Όγκος Εισροής (M3)	4.07E6

Απορροή



Κλάδος: R3113

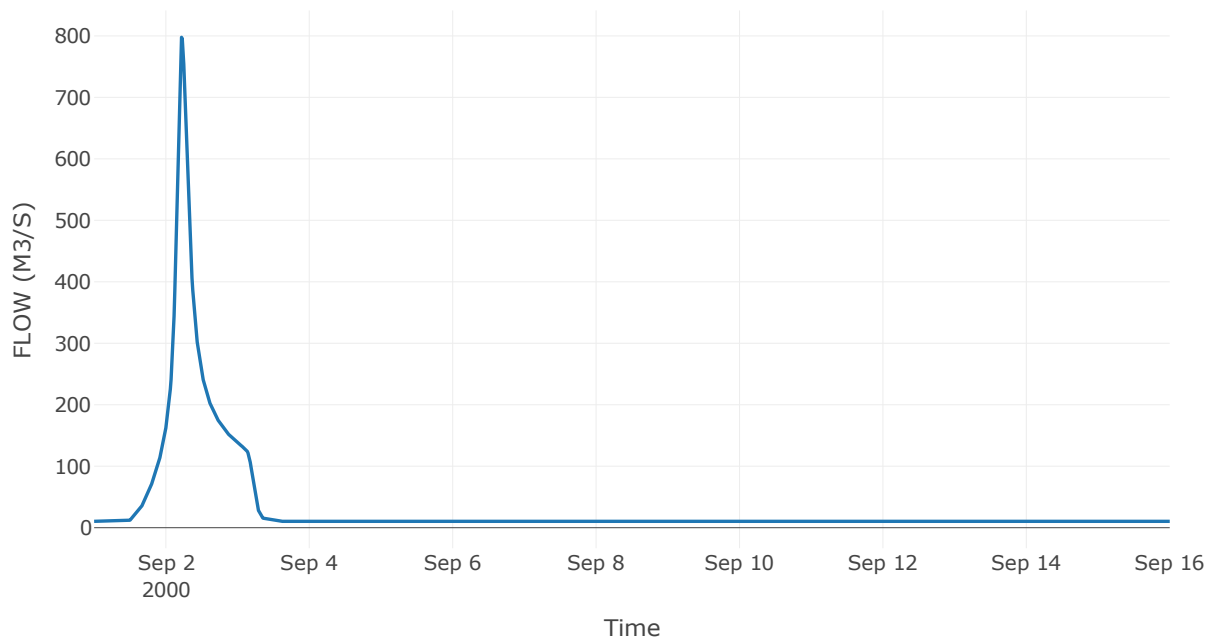
Κατάντη : J13

Μέθοδος Διόδευσης	Muskingum
Αρχική Μεταβλητή	Combined Inflow
Χρόνος Ροής K	3.17
Συντελεστής βάρους x	0.2
Πλήθος Υποκλάδων	13

Αποτελέσματα: R3113

Παροχή Αιχμής (M3/S)	797.74
Χρονική στιγμή αιχμής	02Sep2000, 05:15
Όγκος (MM)	255.01
Παροχή Αιχμής Εισόδου (M3/S)	862.08
Όγκος Εισροής (M3)	4.4E7

Απορροή



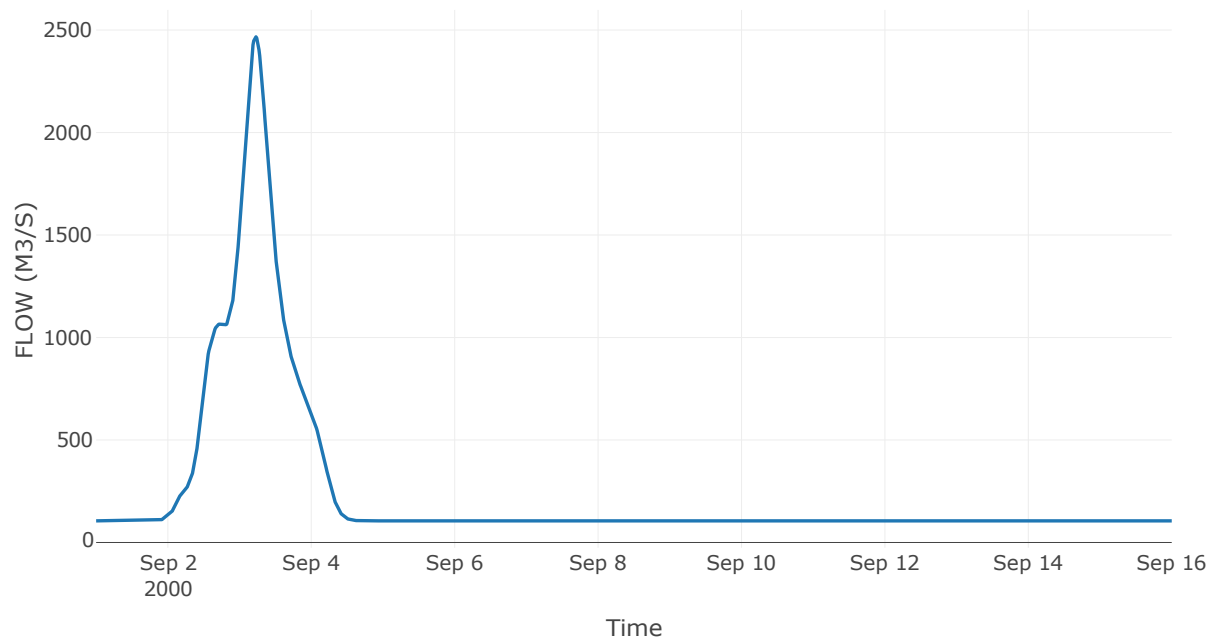
2.3 Δεδομένα και υδρογραφήματα σχεδιασμού Κόμβων υδρογραφικού δικτύου

Κόμβος εξόδου: J1

Αποτελέσμα
τα: J1

Παροχή αιχμής (M3/S)	2466.74
Χρονική στιγμή αιχμής	03Sep2000, 05:30
Όγκος (MM)	180.06

Απορροή



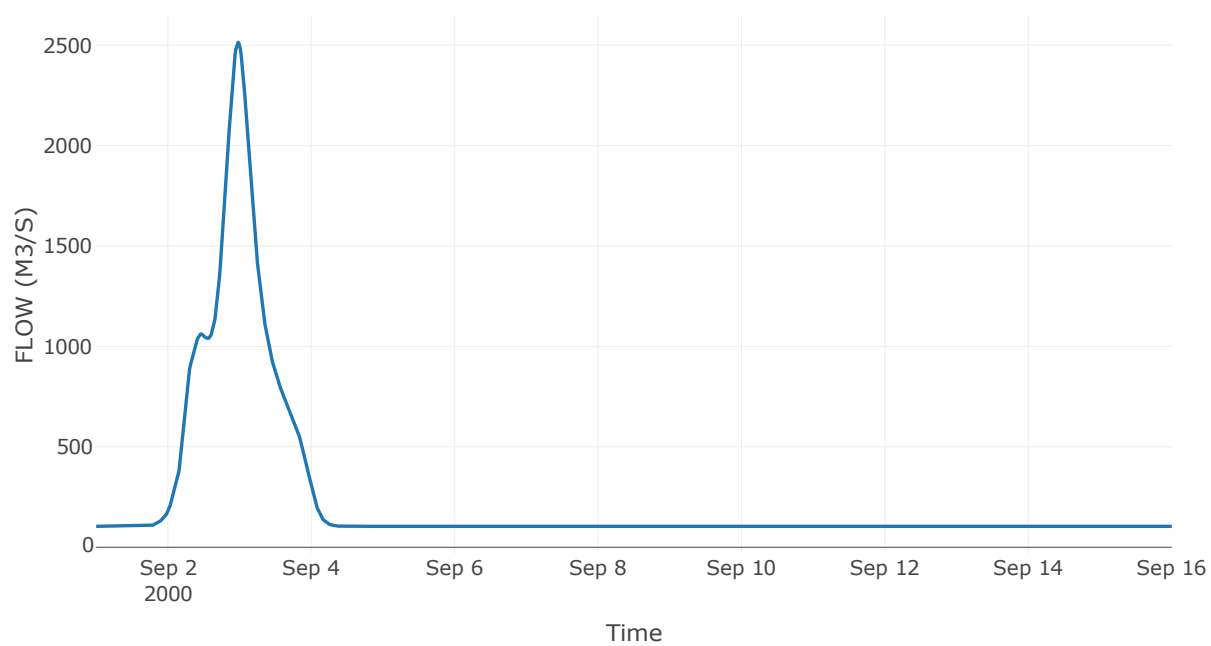
Κόμβος: J2

Κατάντη : R21

Αποτελέσματα: J2

Παροχή Αιχμής (M3/S)	2514.18
Χρονική στιγμή αιχμής	02Sep2000, 23:30
Όγκος (MM)	179.87

Απορροή



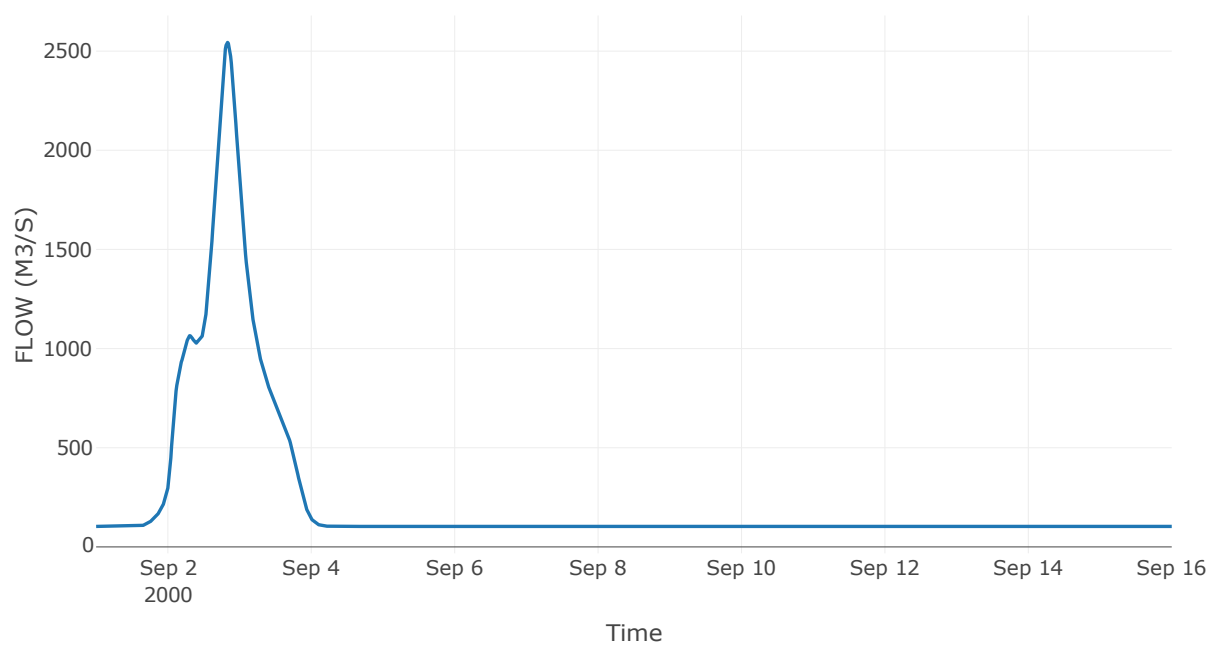
Κόμβος: J3

Κατάντη : R32

Αποτελέσματα: J3

Παροχή Αιχμής (M3/S)	2543.87
Χρονική στιγμή αιχμής	02Sep2000, 20:00
Όγκος (MM)	179.87

Απορροή



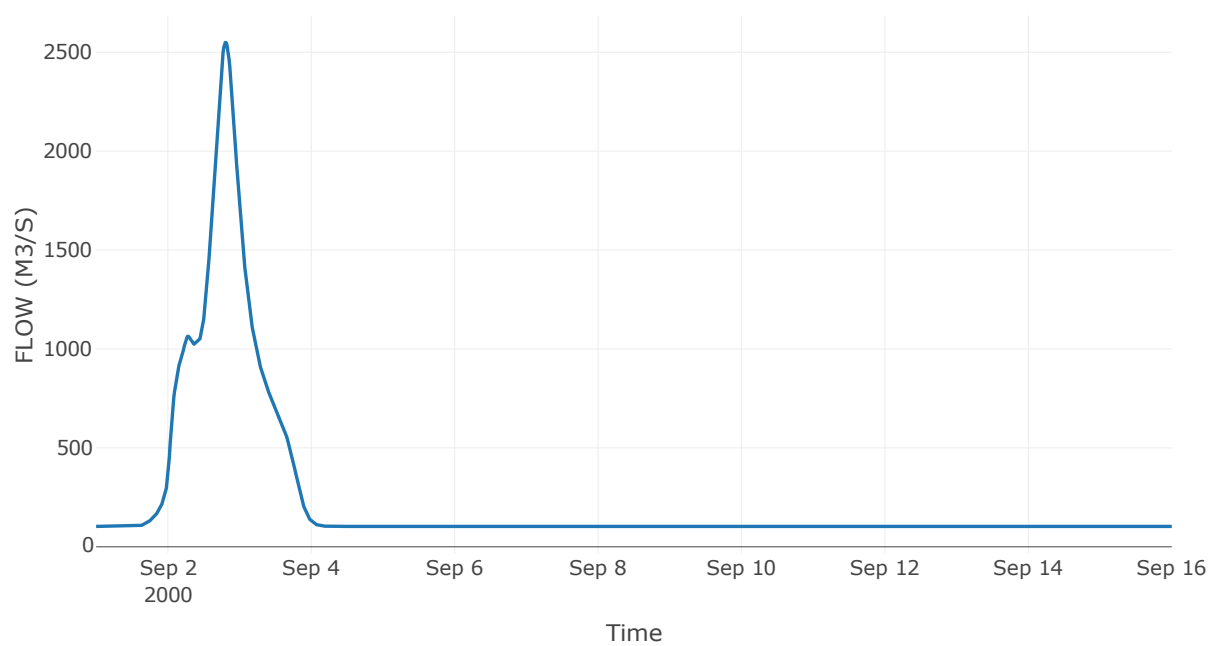
Κόμβος: J4

Κατάντη : R43

Αποτελέσματα: J4

Παροχή Αιχμής (M3/S)	2549.61
Χρονική στιγμή αιχμής	02Sep2000, 19:15
Όγκος (MM)	179.82

Απορροή



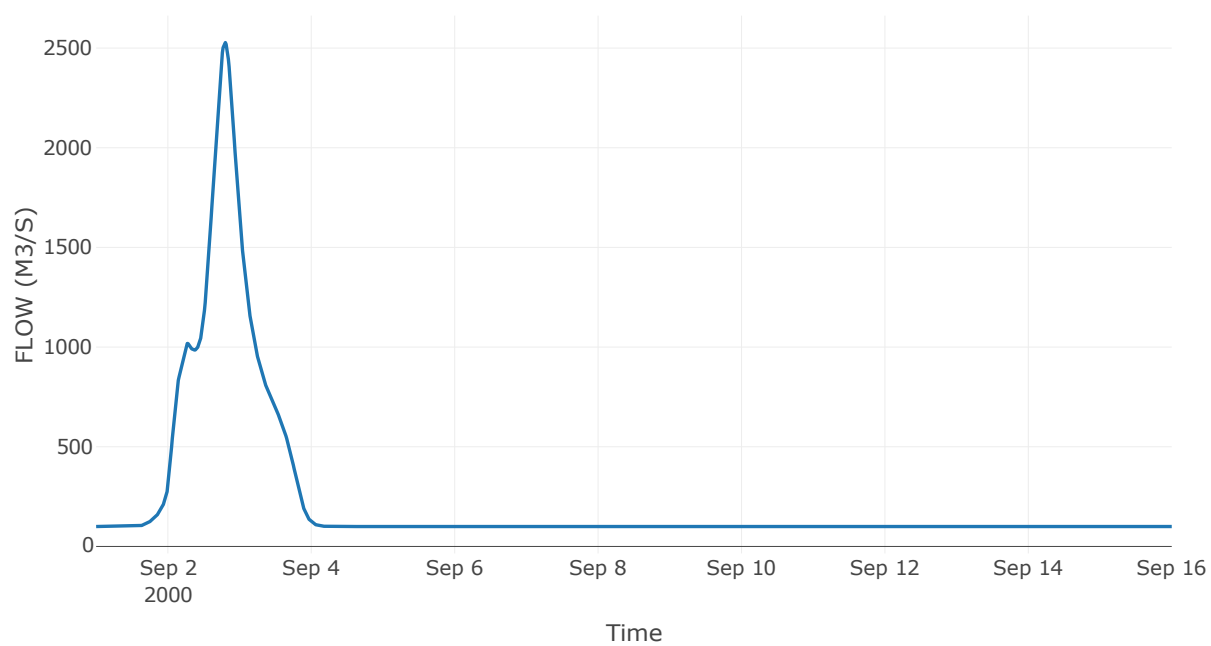
Κόμβος: J5

Κατάντη : R54

Αποτελέσματα: J5

Παροχή Αιχμής (M3/S)	2527.95
Χρονική στιγμή αιχμής	02Sep2000, 19:00
Όγκος (MM)	180.05

Απορροή



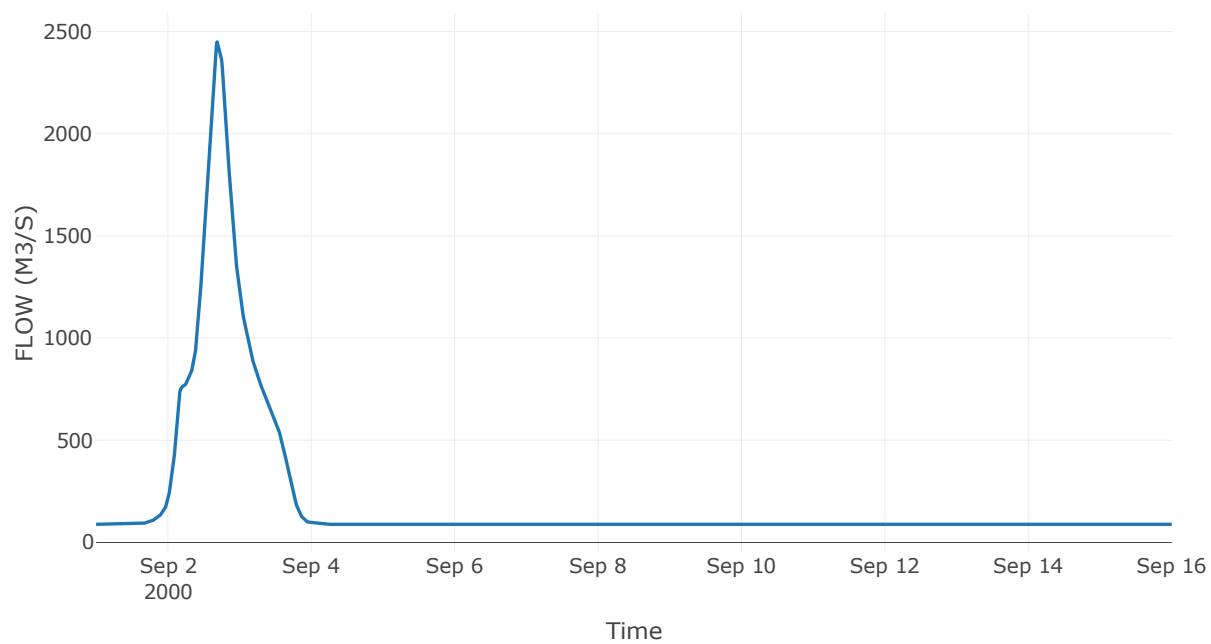
Κόμβος: J6

Κατάντη : R65

Αποτελέσματα: J6

Παροχή Αιχμής (M3/S)	2457.25
Χρονική στιγμή αιχμής	02Sep2000, 16:45
Όγκος (MM)	179.97

Απορροή



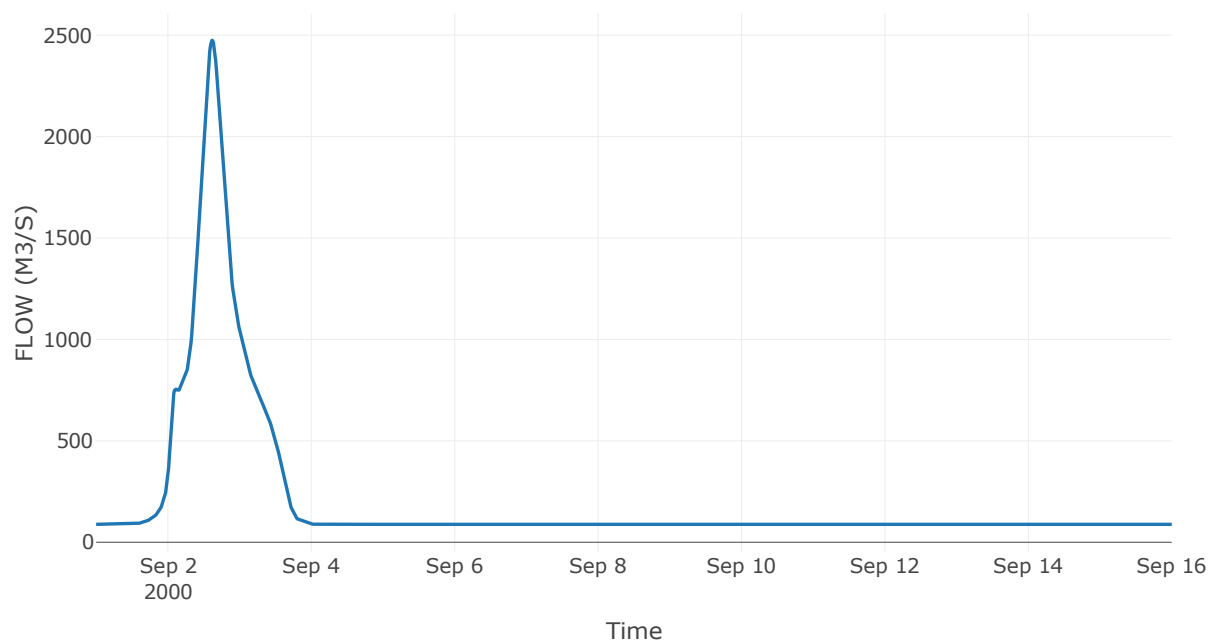
Κόμβος: J7

Κατάντη : R76

Αποτελέσματα: J7

Παροχή Αιχμής (M3/S)	2474.33
Χρονική στιγμή αιχμής	02Sep2000, 14:45
Όγκος (MM)	180.01

Απορροή



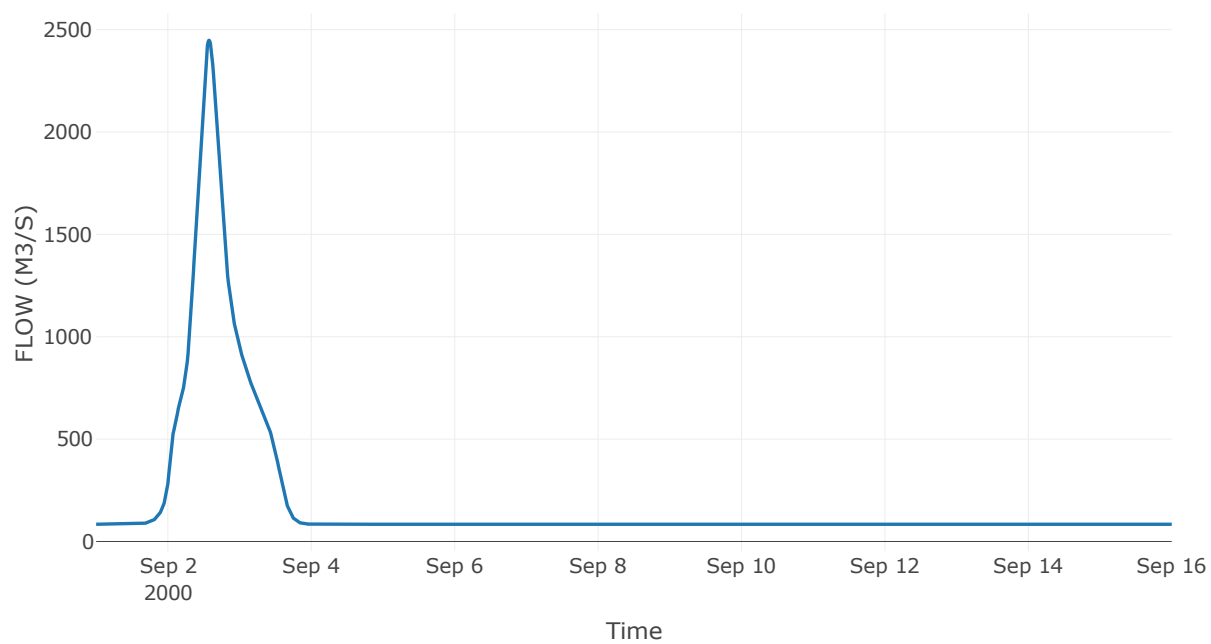
Κόμβος: J8

Κατάντη : R87

Αποτελέσματα: J8

Παροχή Αιχμής (M3/S)	2448.16
Χρονική στιγμή αιχμής	02Sep2000, 13:45
Όγκος (MM)	179.07

Απορροή



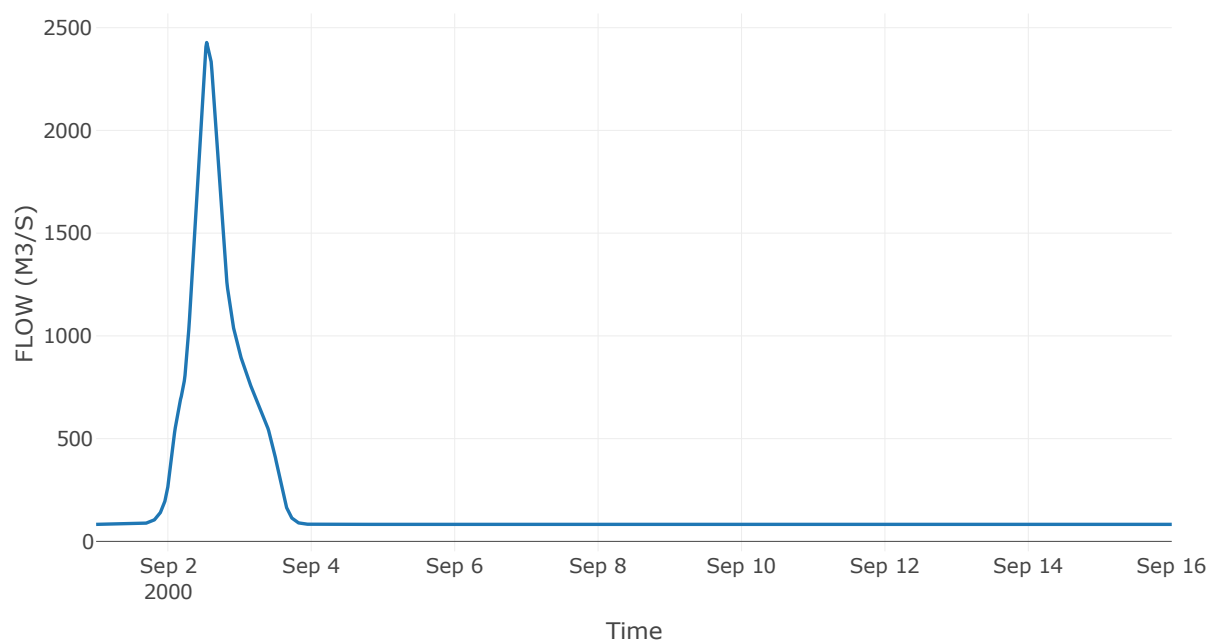
Κόμβος: J9

Κατάντη : R98

Αποτελέσματα: J9

Παροχή Αιχμής (M3/S)	2438.26
Χρονική στιγμή αιχμής	02Sep2000, 13:15
Όγκος (MM)	179.21

Απορροή



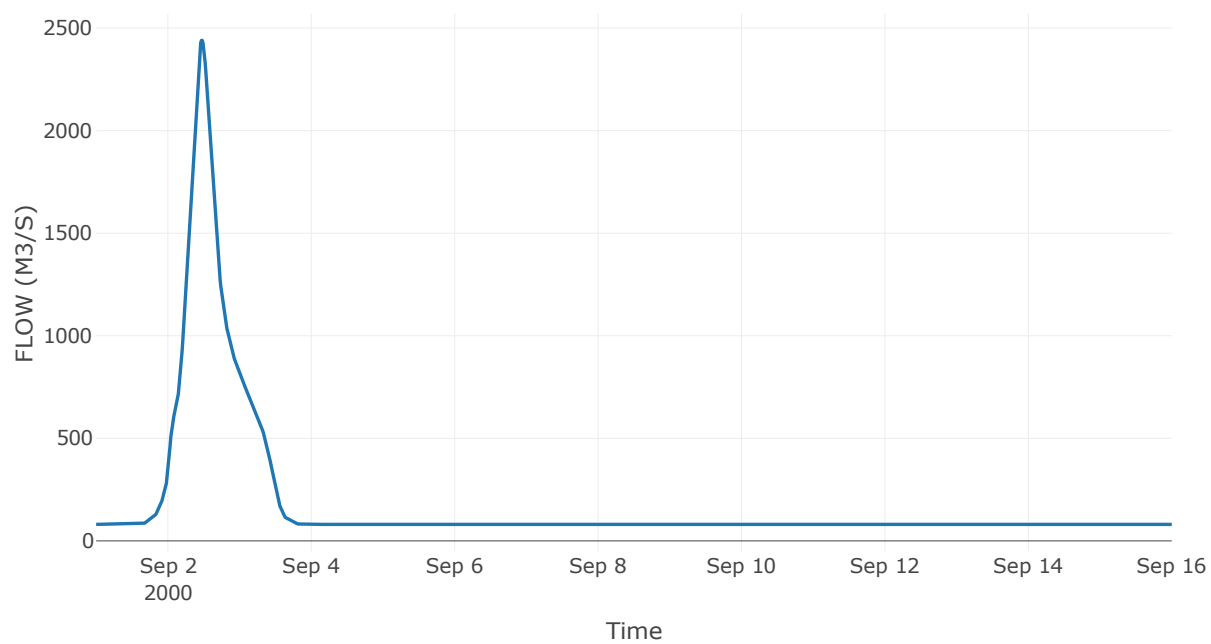
Κόμβος: J10

Κατάντη : R109

Αποτελέσματα: J10

Παροχή Αιχμής (M3/S)	2440.27
Χρονική στιγμή αιχμής	02Sep2000, 11:30
Όγκος (MM)	178.89

Απορροή



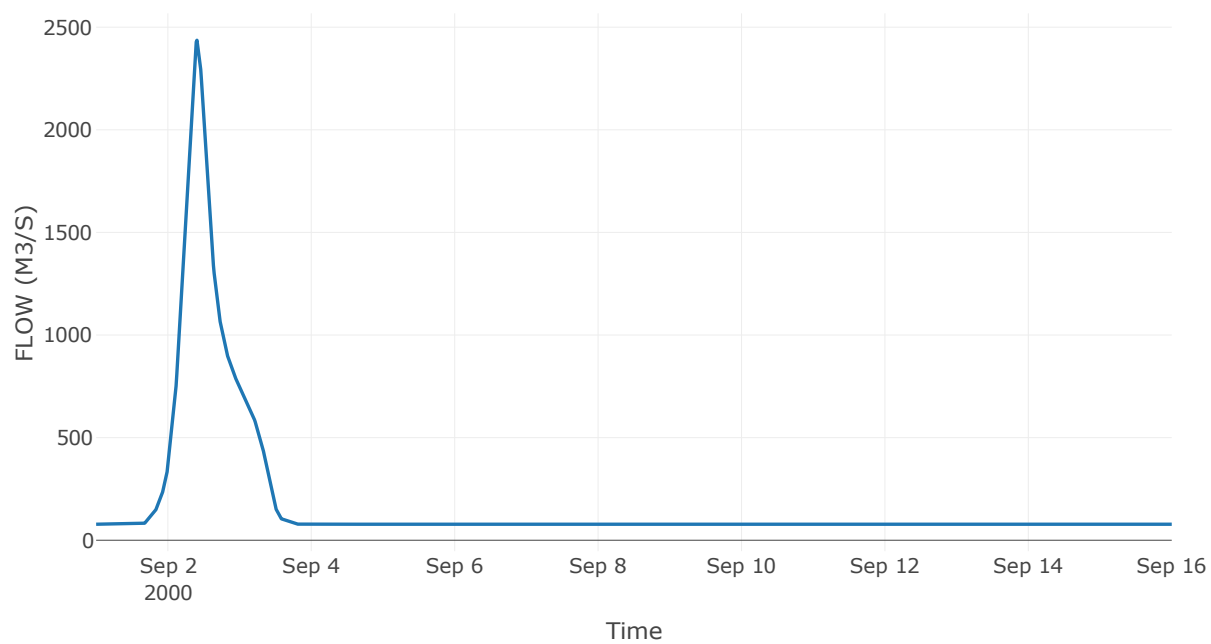
Κόμβος: J11

Κατάντη : R1110

Αποτελέσματα: J11

Παροχή Αιχμής (M3/S)	2436.55
Χρονική στιγμή αιχμής	02Sep2000, 09:45
Όγκος (MM)	178.27

Απορροή



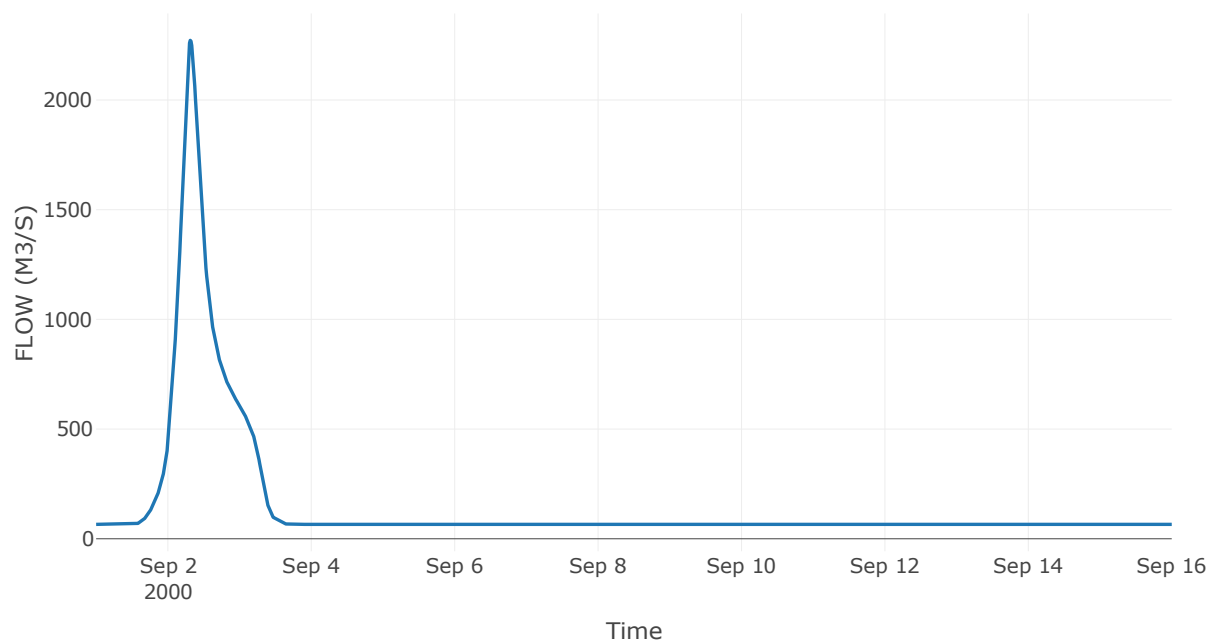
Κόμβος: J12

Κατάντη : R1223

Αποτελέσματα: J12

Παροχή Αιχμής (M3/S)	2271.93
Χρονική στιγμή αιχμής	02Sep2000, 07:30
Όγκος (MM)	181.37

Απορροή



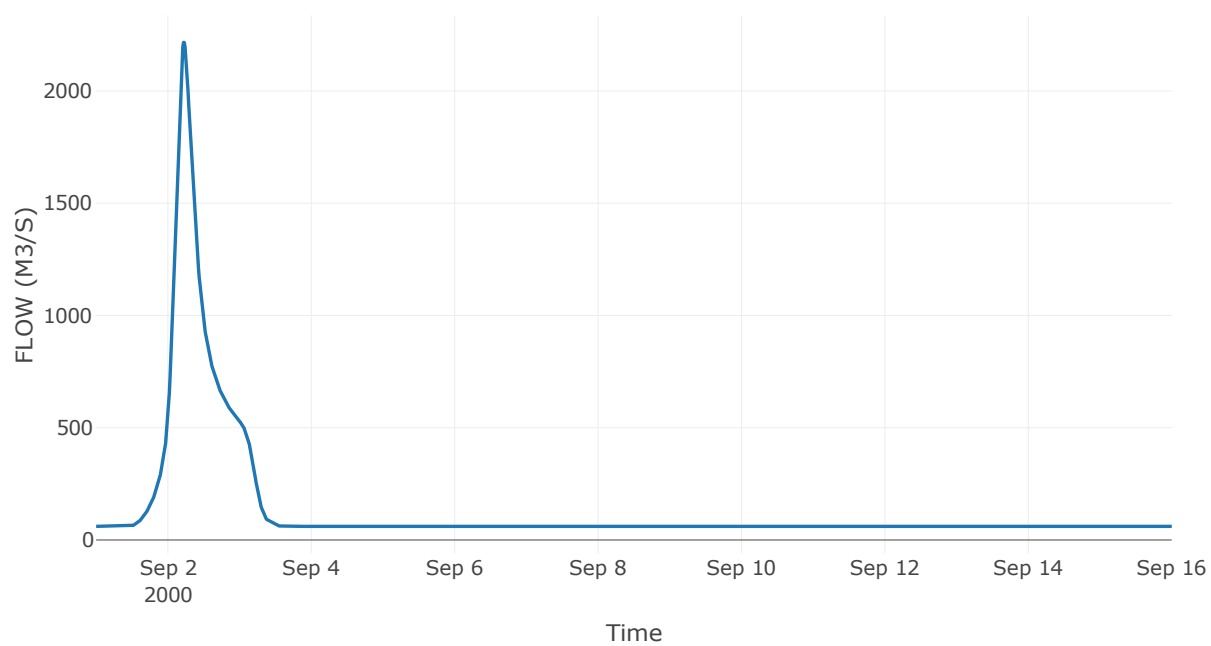
Κόμβος: J13

Κατάντη : R1312

Αποτελέσματα: J13

Παροχή Αιχμής (M3/S)	2216.2
Χρονική στιγμή αιχμής	02Sep2000, 05:15
Όγκος (MM)	180.15

Απορροή



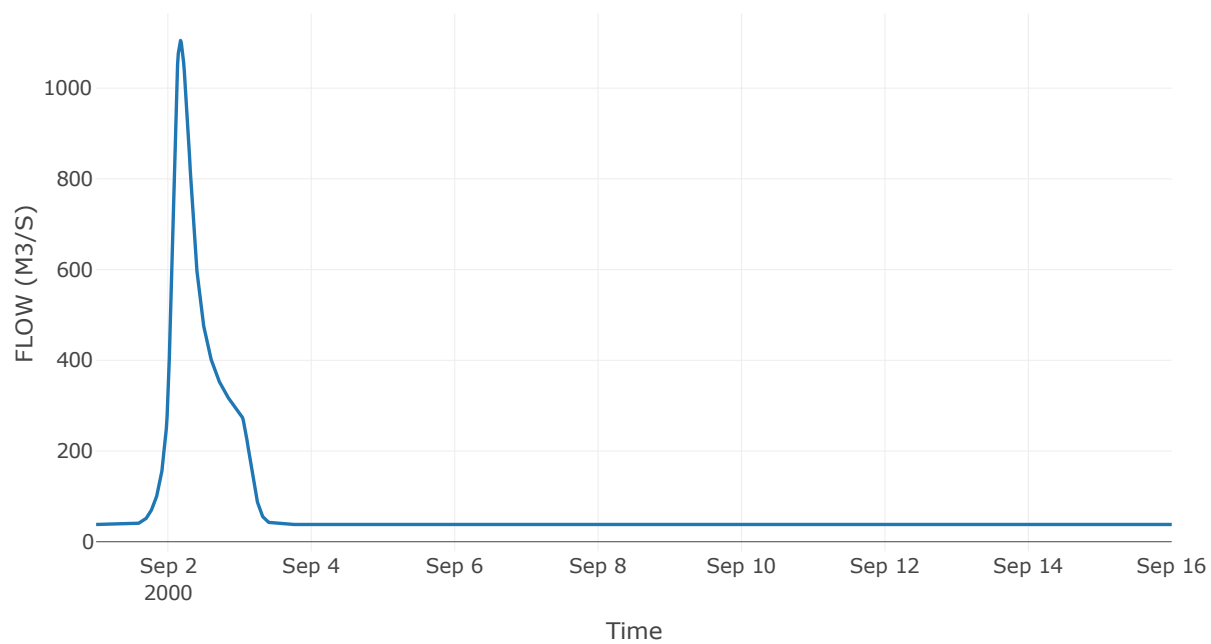
Κόμβος: J14

Κατάντη : R1413

Αποτελέσματα: J14

Παροχή Αιχμής (M3/S)	1105.21
Χρονική στιγμή αιχμής	02Sep2000, 04:15
Όγκος (MM)	159.29

Απορροή



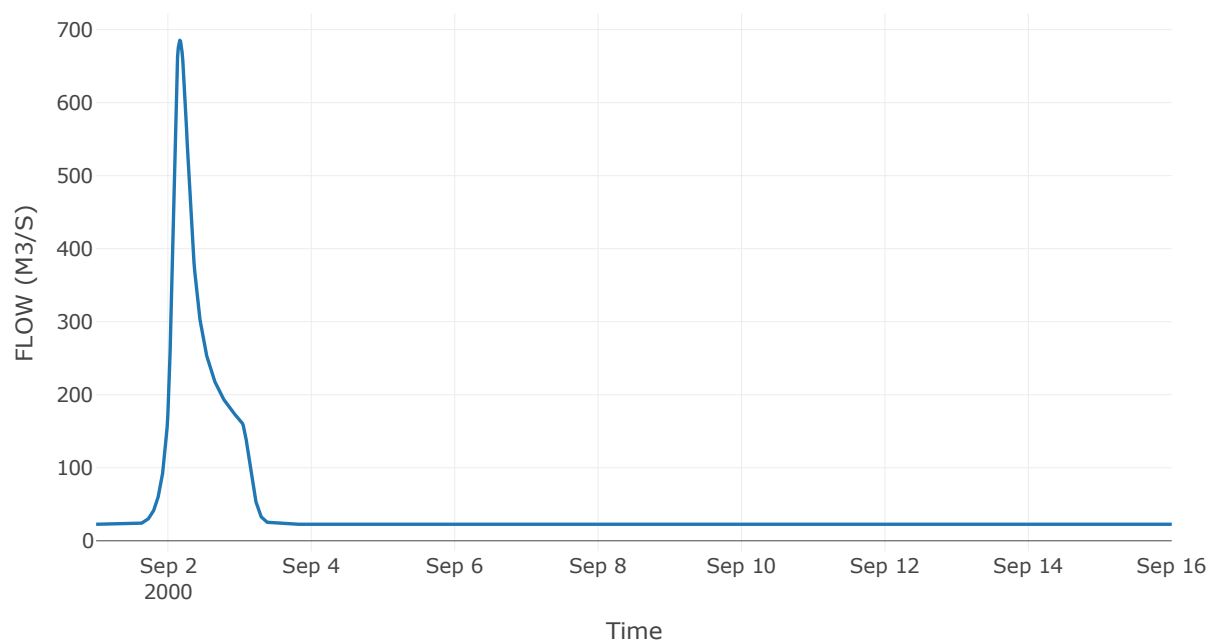
Κόμβος: J15

Κατάντη : R1514

Αποτελέσματα: J15

Παροχή Αιχμής (M3/S)	685.44
Χρονική στιγμή αιχμής	02Sep2000, 04:00
Όγκος (MM)	157.41

Απορροή



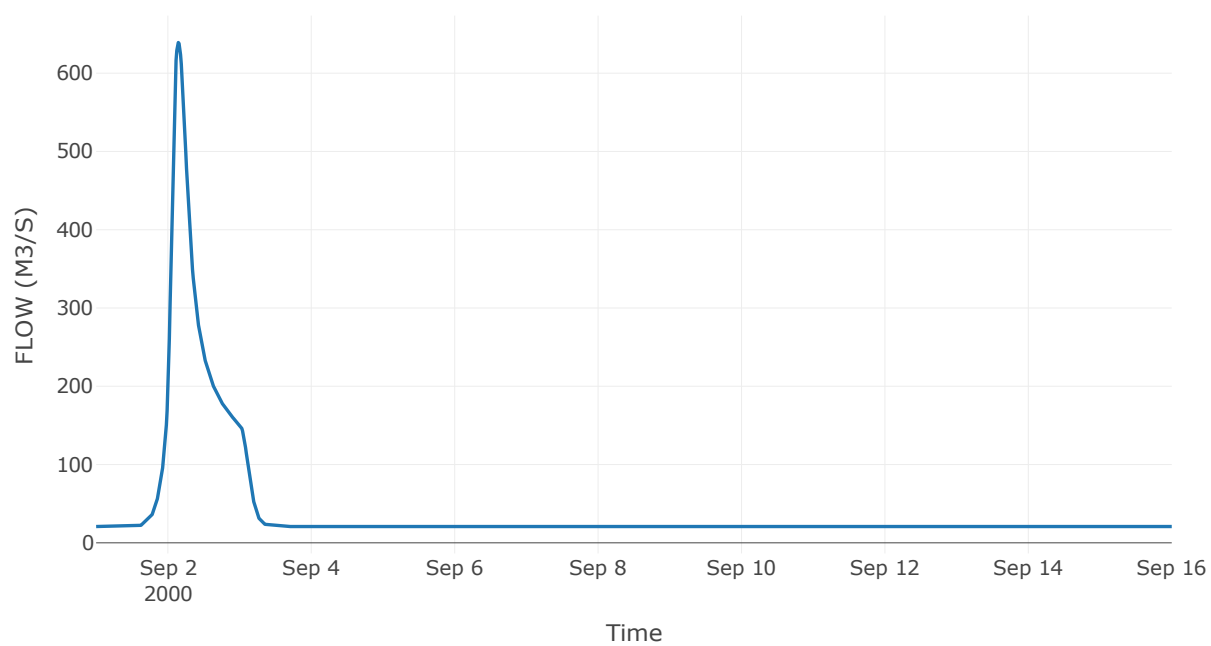
Κόμβος: J16

Κατάντη : R1615

Αποτελέσματα: J16

Παροχή Αιχμής (M3/S)	639.18
Χρονική στιγμή αιχμής	02Sep2000, 03:30
Όγκος (MM)	157.13

Απορροή



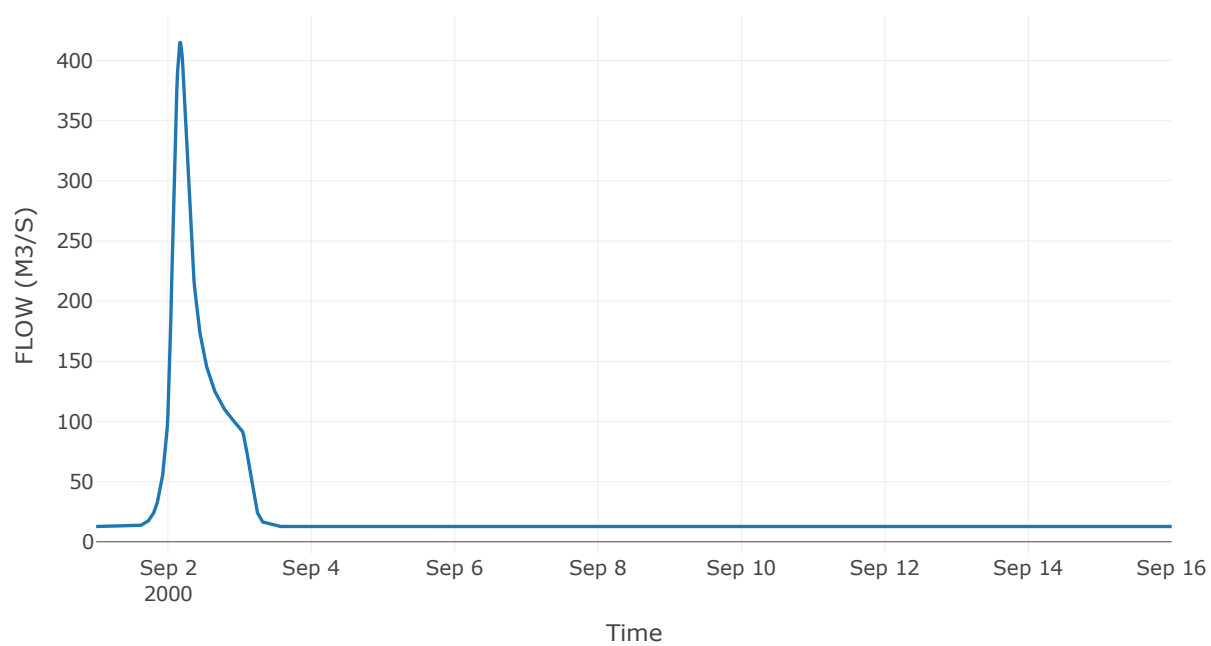
Κόμβος: J17

Κατάντη : R1716

Αποτελέσματα: J17

Παροχή Αιχμής (M3/S)	414.96
Χρονική στιγμή αιχμής	02Sep2000, 04:15
Όγκος (MM)	160.49

Απορροή



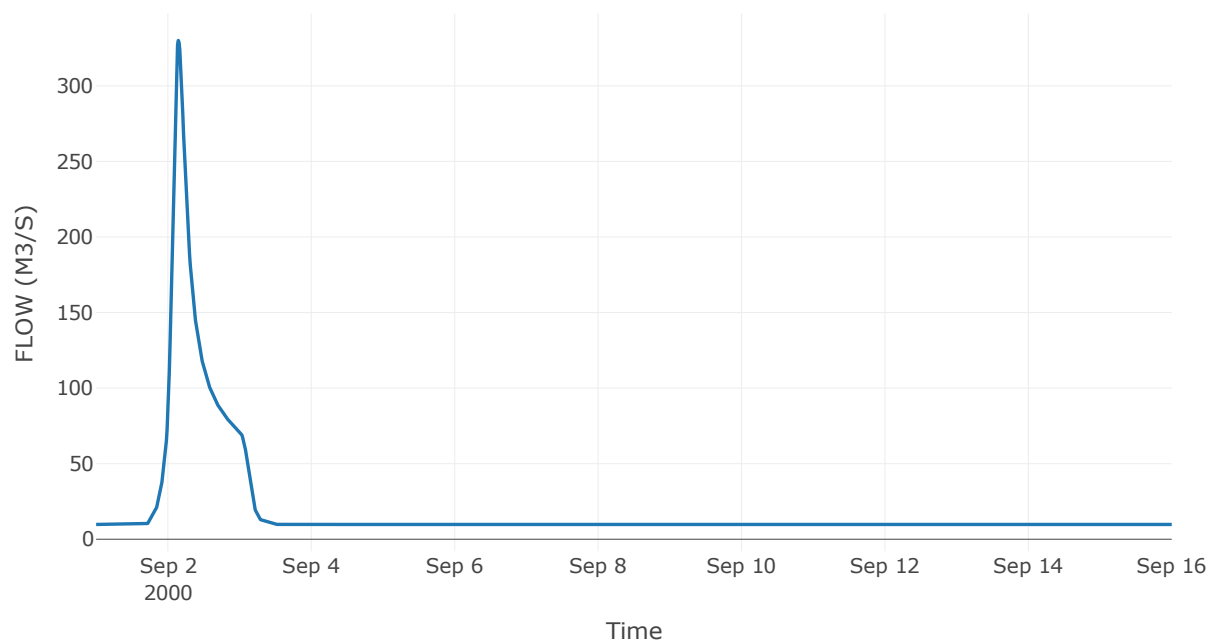
Κόμβος: J18

Κατάντη : R1817

Αποτελέσματα: J18

Παροχή Αιχμής (M3/S)	330.06
Χρονική στιγμή αιχμής	02Sep2000, 03:30
Όγκος (MM)	157.23

Απορροή



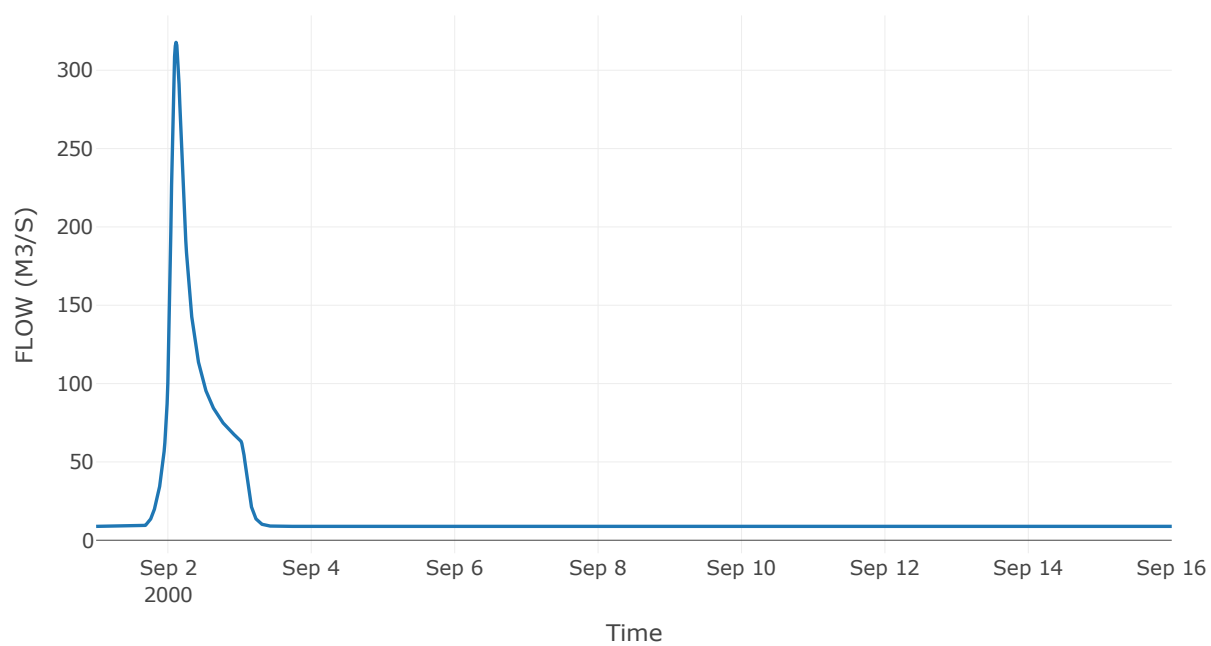
Κόμβος: J19

Κατάντη : R1918

Αποτελέσματα: J19

Παροχή Αιχμής (M3/S)	317.82
Χρονική στιγμή αιχμής	02Sep2000, 02:45
Όγκος (MM)	159.19

Απορροή



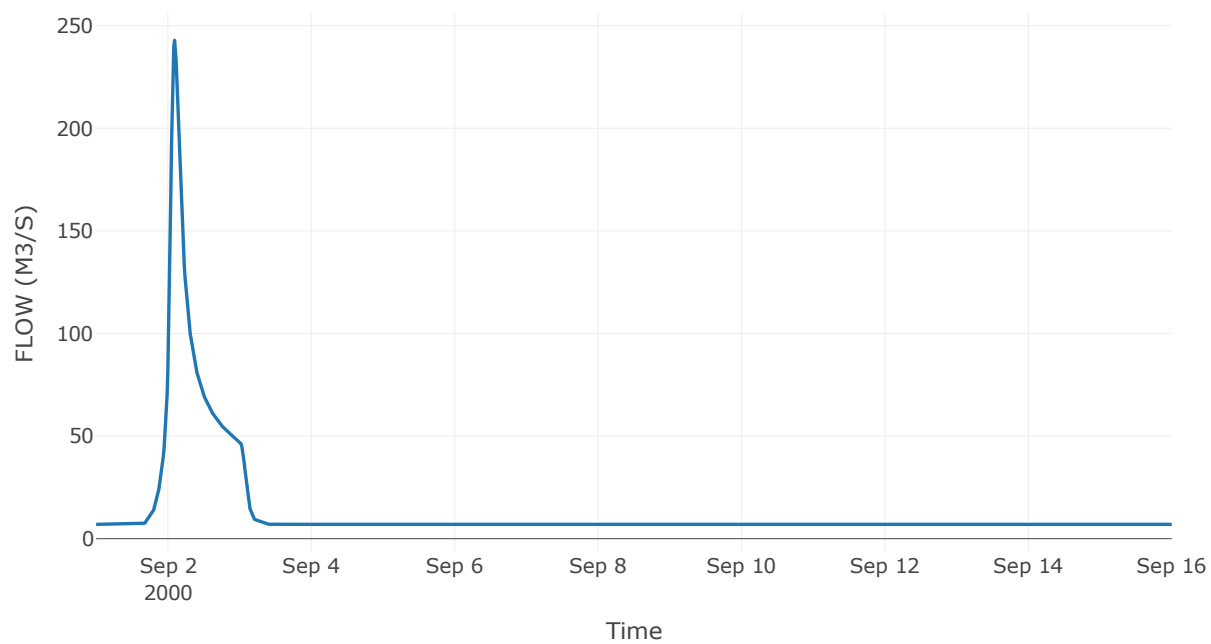
Κόμβος: J20

Κατάντη : R2016

Αποτελέσματα: J20

Παροχή Αιχμής (M3/S)	242.84
Χρονική στιγμή αιχμής	02Sep2000, 02:15
Όγκος (MM)	150.54

Απορροή



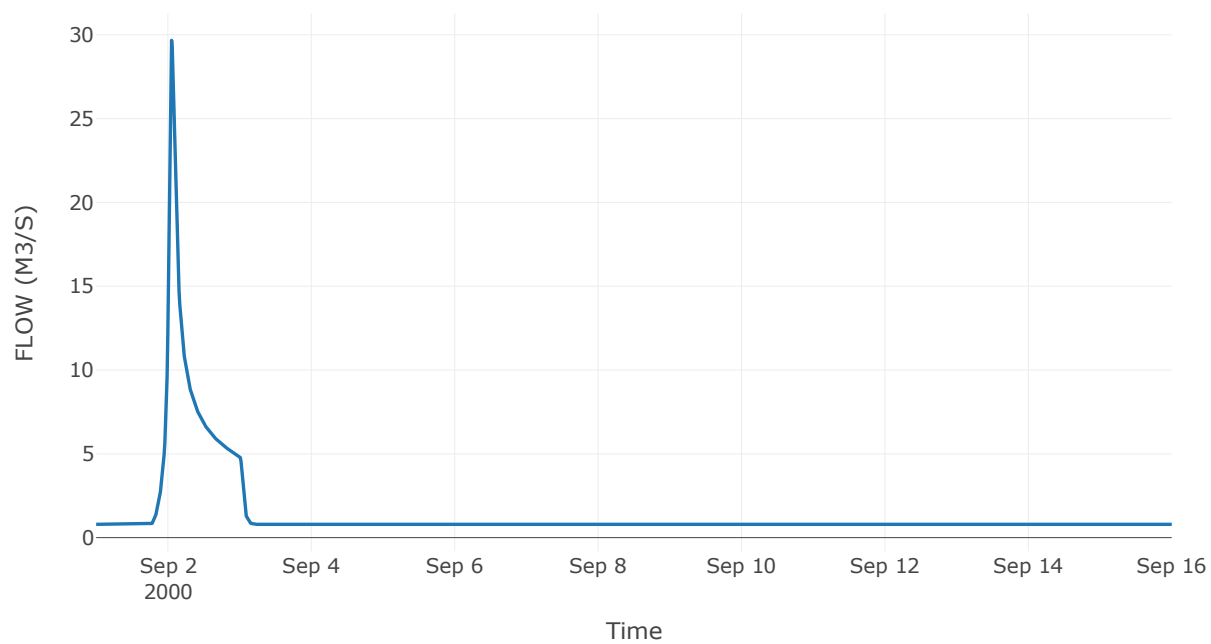
Κόμβος: J21

Κατάντη : R2120

Αποτελέσματα: J21

Παροχή Αιχμής (M3/S)	29.67
Χρονική στιγμή αιχμής	02Sep2000, 01:15
Όγκος (MM)	139.65

Απορροή



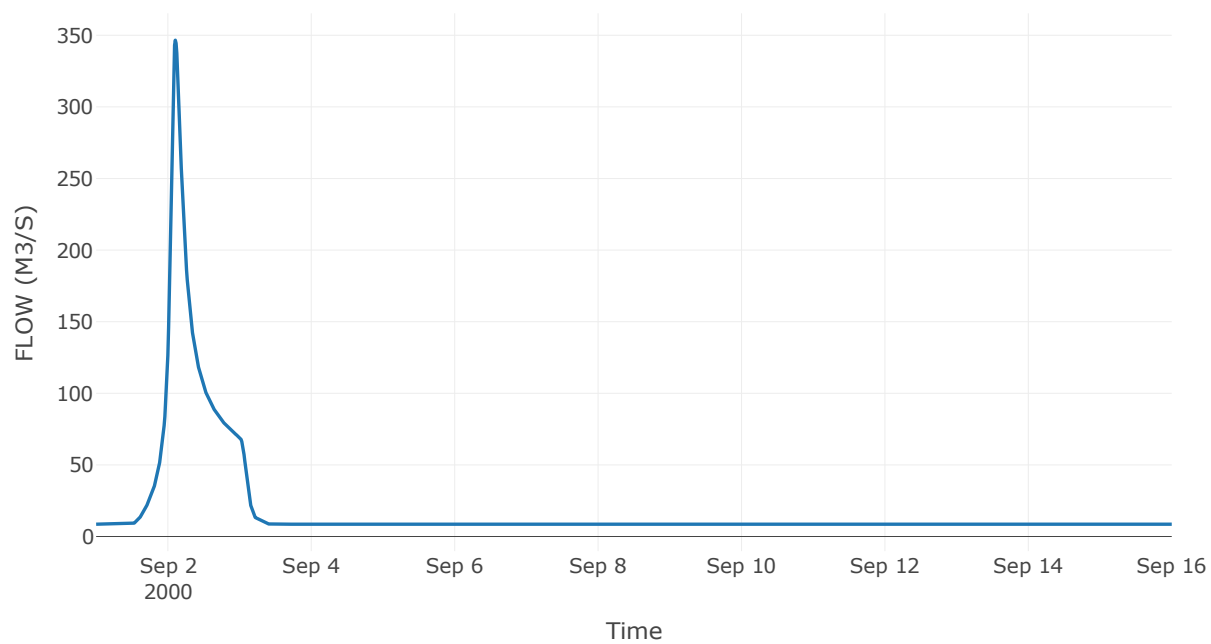
Κόμβος: J22

Κατάντη : R2214

Αποτελέσματα: J22

Παροχή Αιχμής (M3/S)	346.57
Χρονική στιγμή αιχμής	02Sep2000, 02:30
Όγκος (MM)	170.83

Απορροή



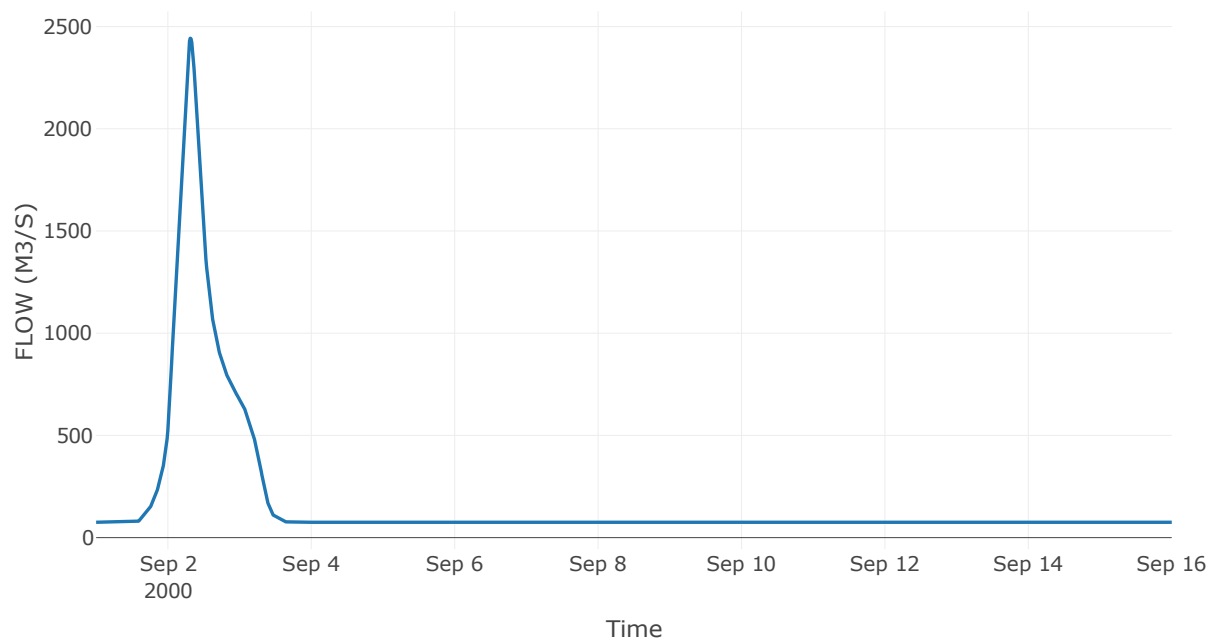
Κόμβος: J23

Κατάντη : R2311

Αποτελέσματα: J23

Παροχή Αιχμής (M3/S)	2442.75
Χρονική στιγμή αιχμής	02Sep2000, 07:30
Όγκος (MM)	179.26

Απορροή



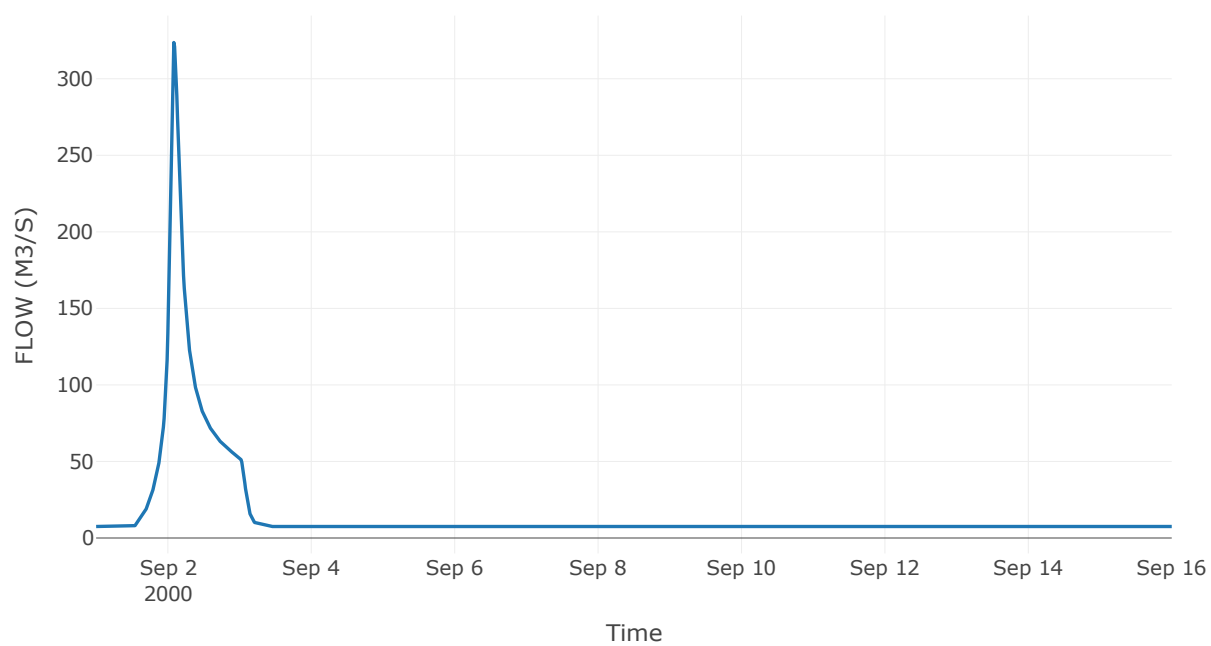
Κόμβος: J24

Κατάντη : R2423

Αποτελέσματα: J24

Παροχή Αιχμής (M3/S)	323.71
Χρονική στιγμή αιχμής	02Sep2000, 02:00
Όγκος (MM)	166.29

Απορροή



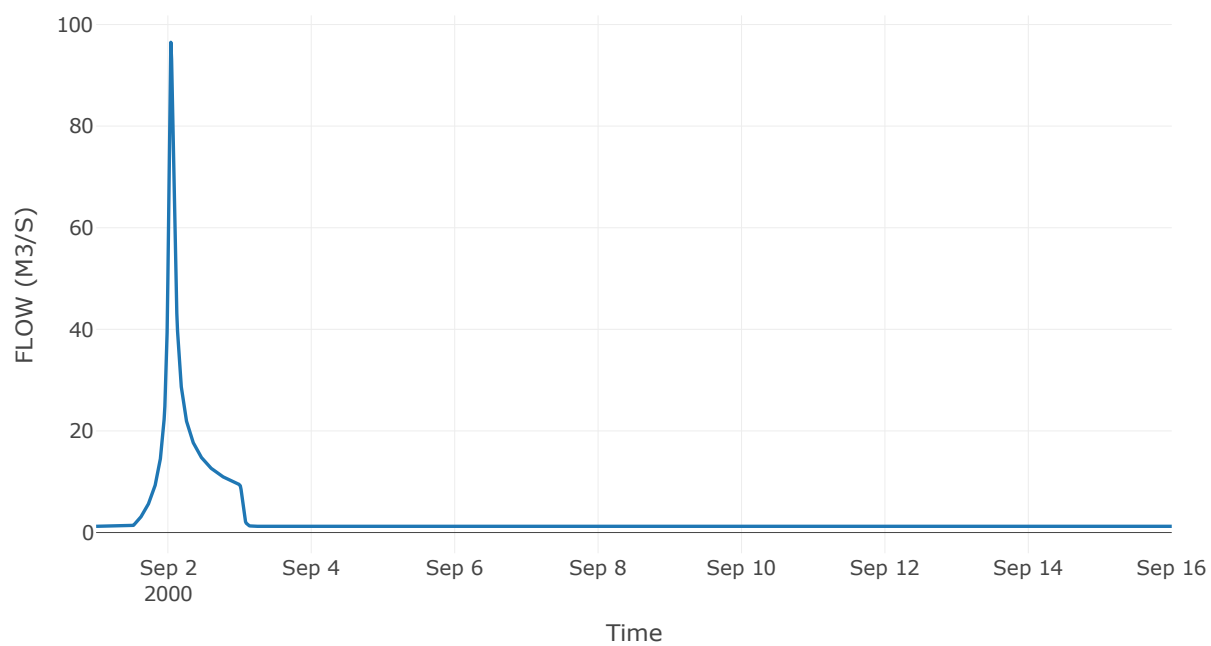
Κόμβος: J25

Κατάντη : R257

Αποτελέσματα: J25

Παροχή Αιχμής (M3/S)	96.5
Χρονική στιγμή αιχμής	02Sep2000, 01:00
Όγκος (MM)	188.42

Απορροή



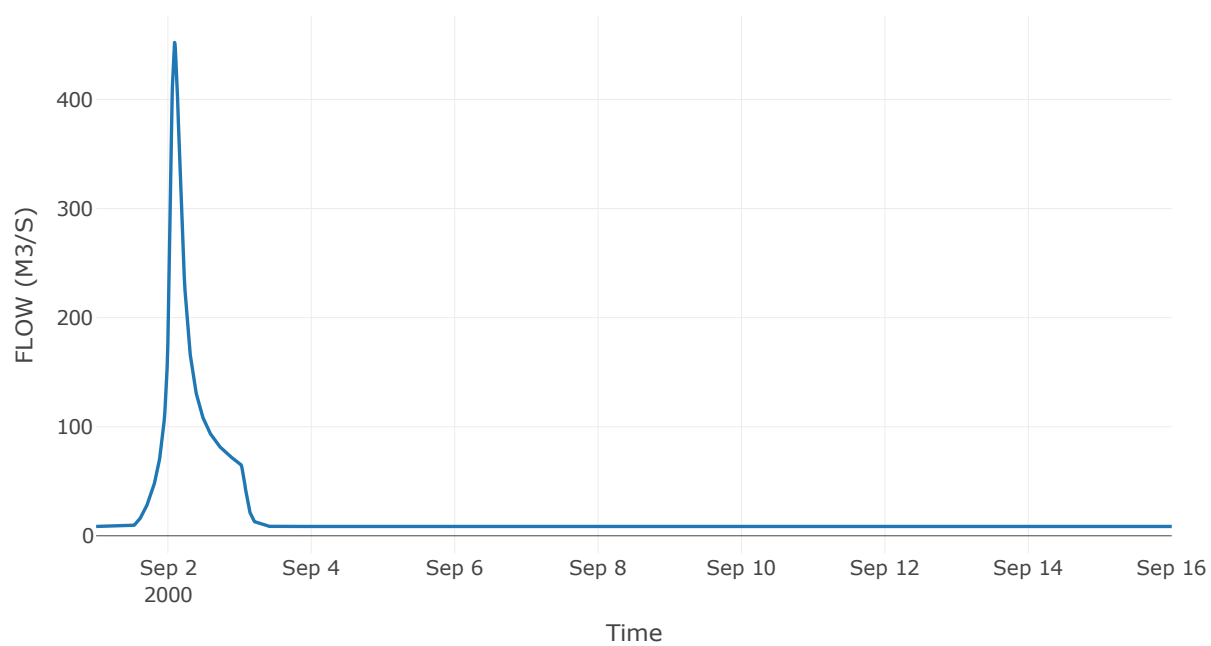
Κόμβος: J26

Κατάντη : R265

Αποτελέσματα: J26

Παροχή Αιχμής (M3/S)	452.28
Χρονική στιγμή αιχμής	02Sep2000, 02:15
Όγκος (MM)	185.65

Απορροή



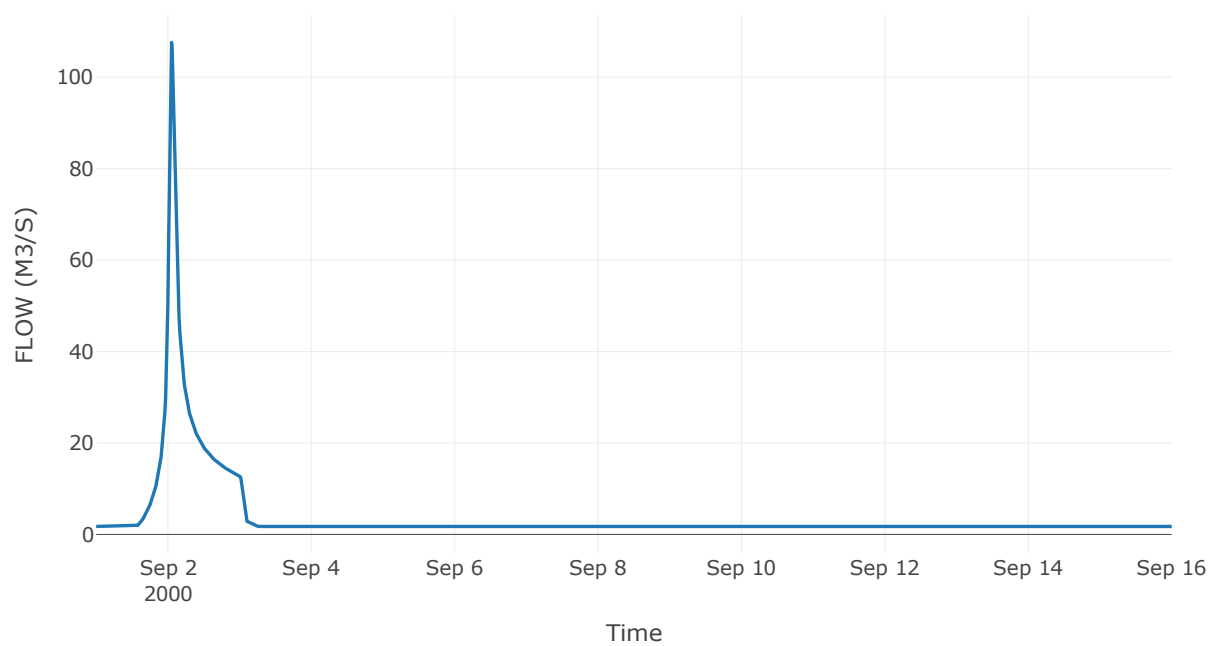
Κόμβος: J27

Κατάντη : R274

Αποτελέσματα: J27

Παροχή Αιχμής (M3/S)	107.59
Χρονική στιγμή αιχμής	02Sep2000, 01:15
Όγκος (MM)	173.91

Απορροή

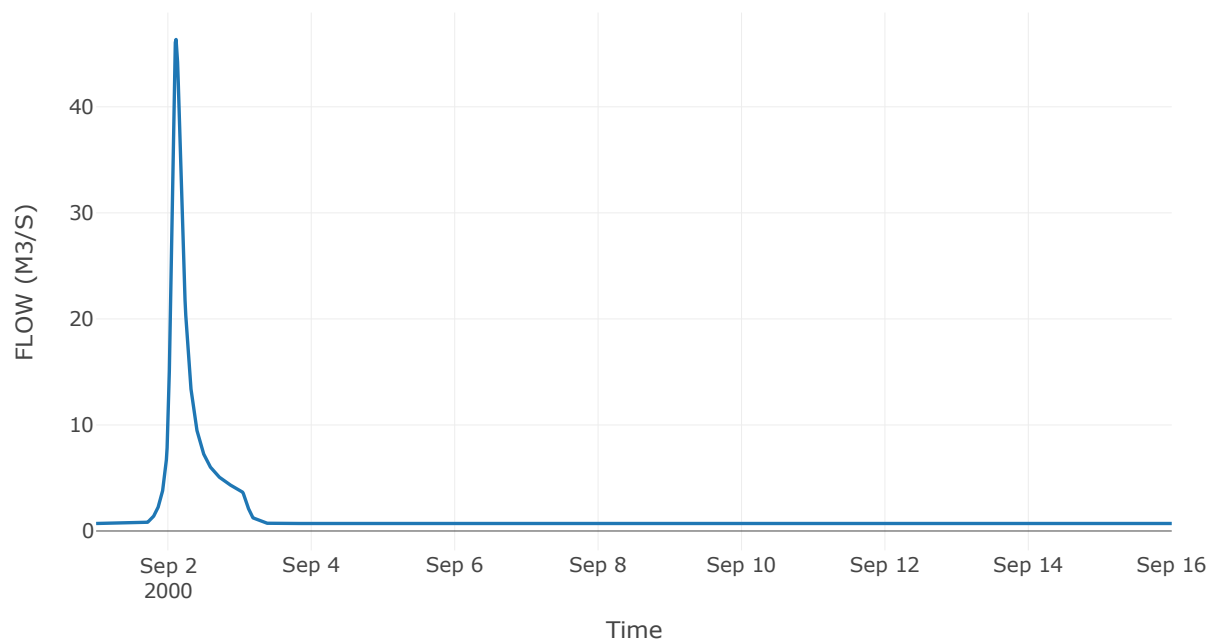


Κόμβος εξόδου: J28

Αποτελέσματ
α: J28

Παροχή αιχμής (M3/S)	46.35
Χρονική στιγμή αιχμής	02Sep2000, 02:45
Όγκος (MM)	178.49

Απορροή



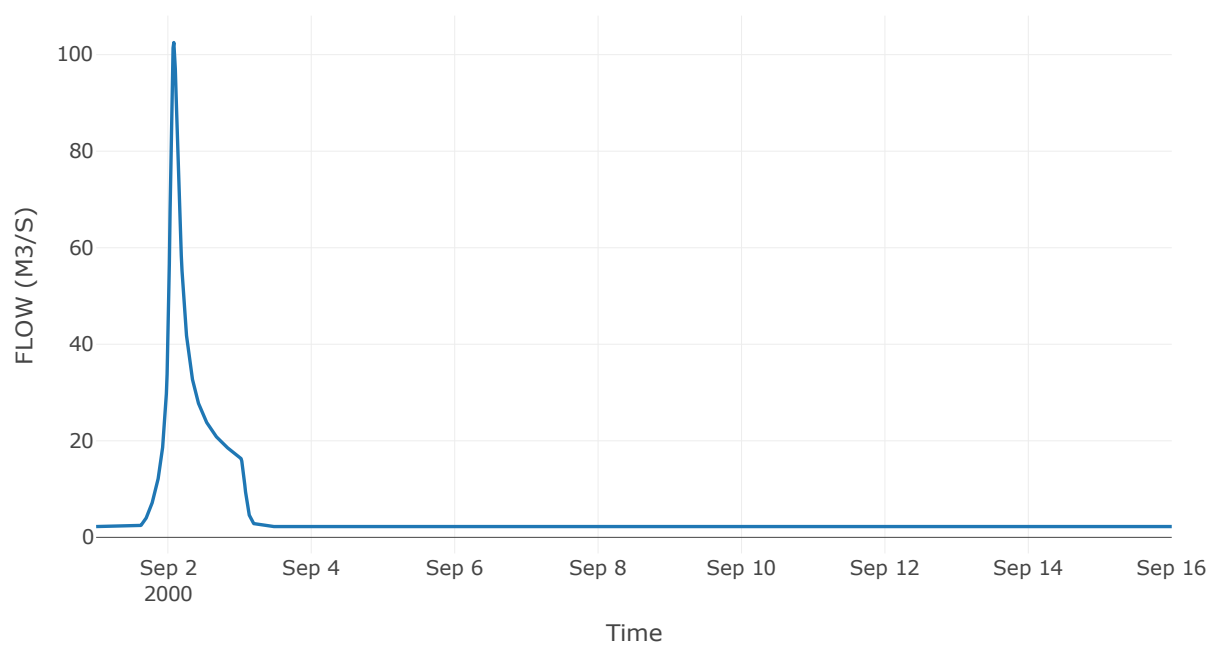
Κόμβος: J29

Κατάντη : R2917

Αποτελέσματα: J29

Παροχή Αιχμής (M3/S)	102.51
Χρονική στιγμή αιχμής	02Sep2000, 02:00
Όγκος (MM)	166.95

Απορροή



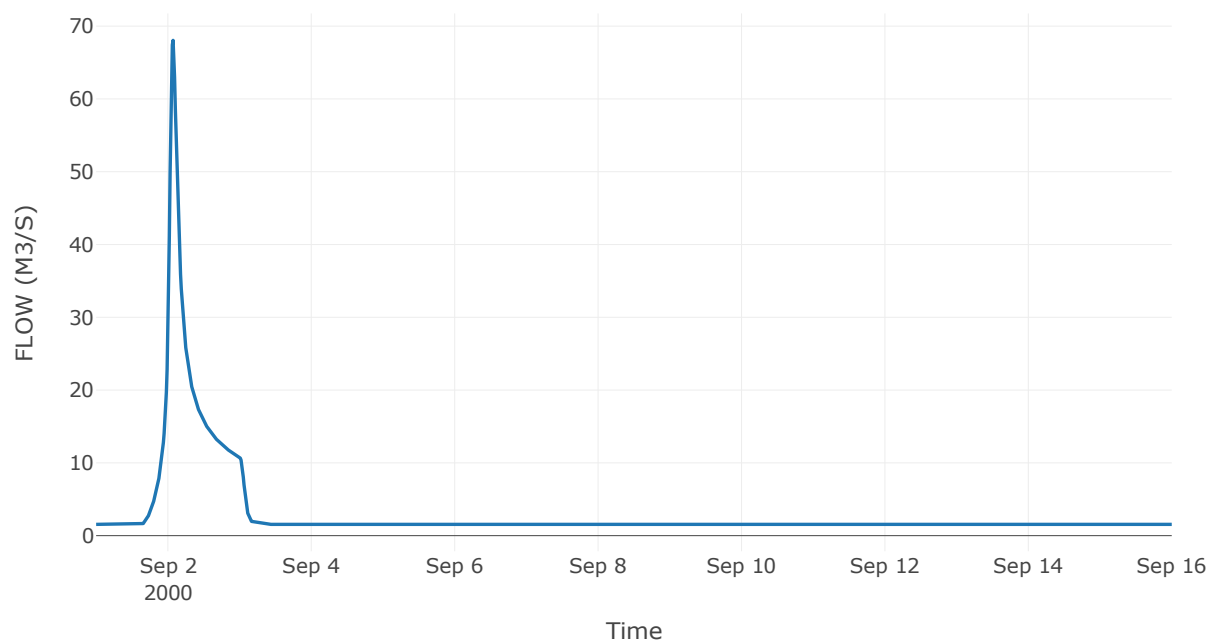
Κόμβος: J30

Κατάντη : R3020

Αποτελέσματα: J30

Παροχή Αιχμής (M3/S)	68.05
Χρονική στιγμή αιχμής	02Sep2000, 01:45
Όγκος (MM)	157.45

Απορροή



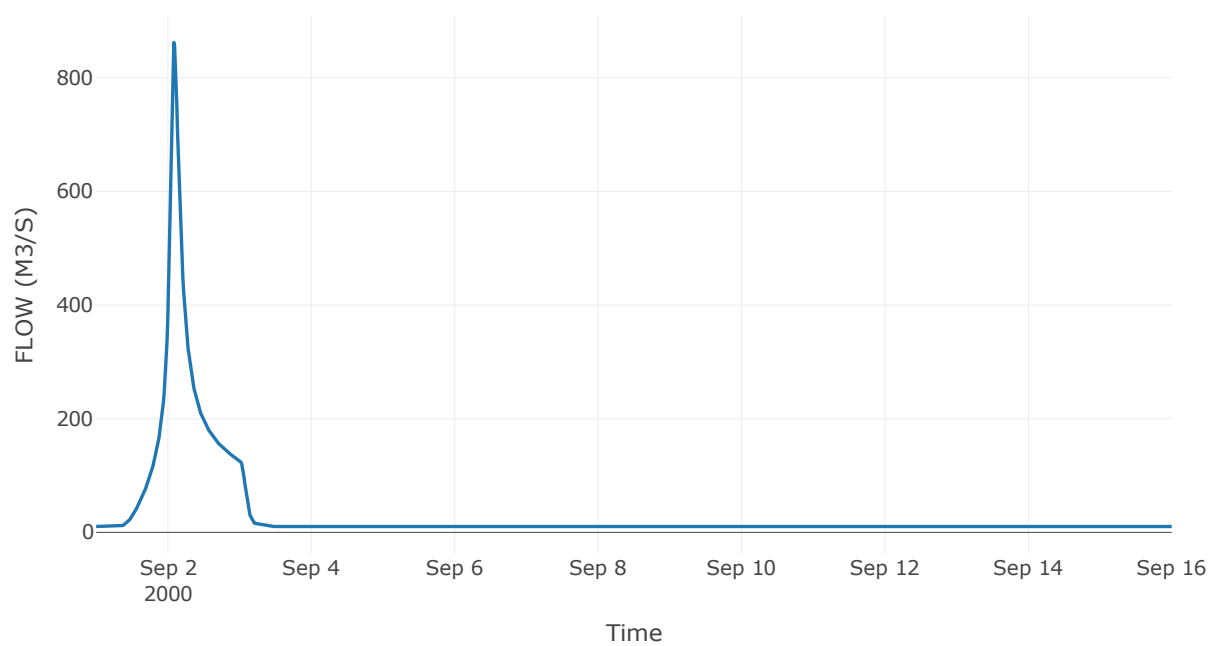
Κόμβος: J31

Κατάντη : R3113

Αποτελέσματα: J31

Παροχή Αιχμής (M3/S)	862.08
Χρονική στιγμή αιχμής	02Sep2000, 02:00
Όγκος (MM)	255.01

Απορροή



3 Δεδομένα εισόδου και αποτελέσματα υδρολογικού σεναρίου T=50L

3.1 Αποτελέσματα, υετογραφήματα και υδρογραφήματα σχεδιασμού υπολεκανών

Υπολεκάνη: EL0512FR1001

Έκταση (KM2) : 25.06

Κατάνη : J1

Μέθοδος Απωλειών: SCS

Ποσοστό αδιαπέρατης επιφάνειας	0
Αριθμός Καμπύλης Απορροής-CN	57.44
Αρχικές Απώλειες	37.64

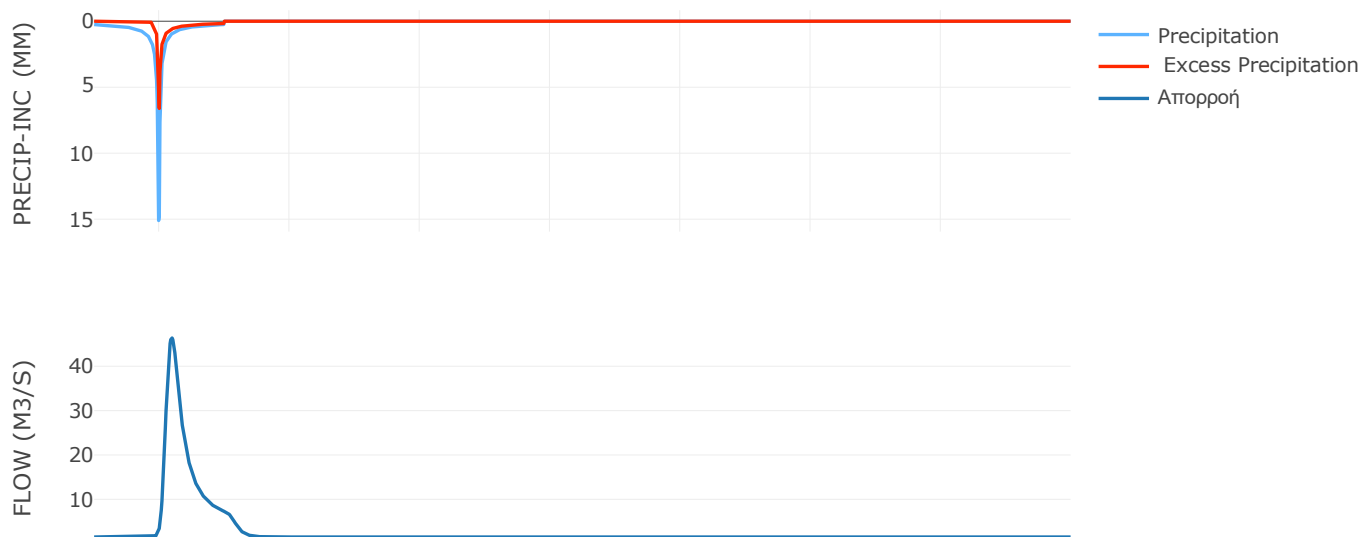
Μέθοδος
Μετασχηματισμού: SCS

Χρόνος Υστέρησης	233.98
------------------	--------

Αποτελέσματα:
EL0512FR1001

Παροχή αιχμής (M3/S)	46.41
Χρονική στιγμή αιχμής	02Sep2000, 04:30
Όγκος (MM)	142.93
Όγκος βροχόπτωσης (M3)	4.65E6
Όγκος απωλειών (M3)	3.02E6
Ενεργός Όγκος (M3)	1.63E6
Όγκος άμεσης απορροής (M3)	1.63E6
Όγκος βασικής απορροής (M3)	1.95E6

Βροχόπτωση και Απορροή



Υπολεκάνη: EL0512FR1002

Έκταση (KM2) : 13.38

Κατάντη : J2

Μέθοδος Απωλειών: SCS

Ποσοστό αδιαπέρατης επιφάνειας	0
Αριθμός Καμπύλης Απορροής-CN	50.48
Αρχικές Απώλειες	49.82

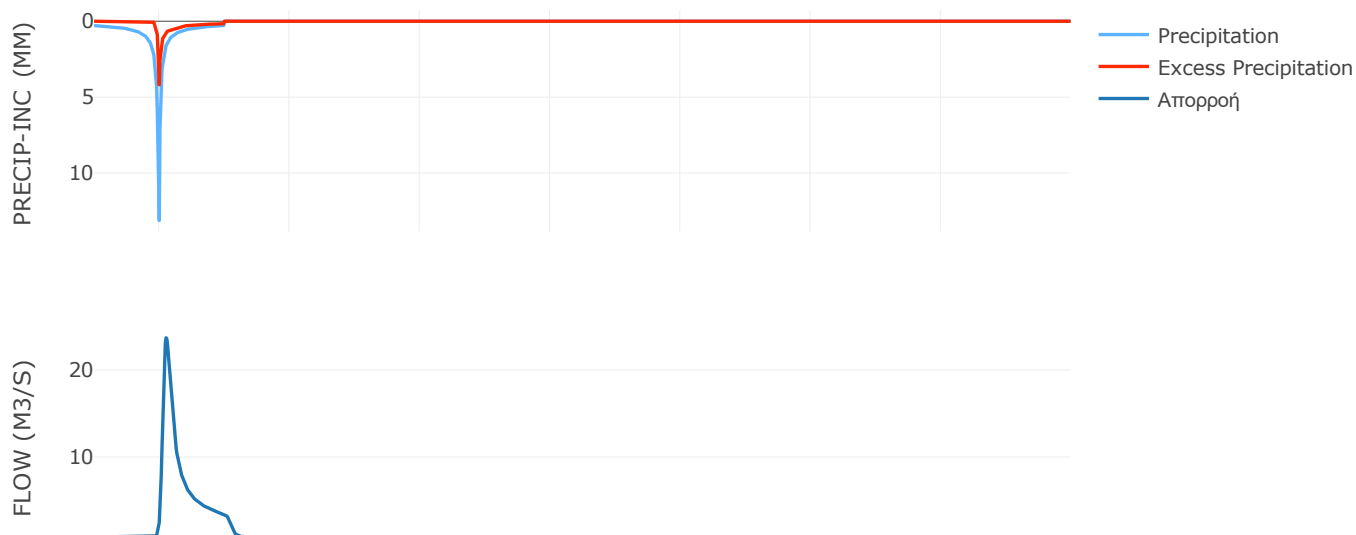
Μέθοδος
Μετασχηματισμού: SCS

Χρόνος Υστέρησης	124.51
------------------	--------

Αποτελέσματα:
EL0512FR1002

Παροχή αιχμής (M3/S)	23.7
Χρονική στιγμή αιχμής	02Sep2000, 02:30
Όγκος (MM)	126.55
Όγκος βροχόπτωσης (M3)	2.5E6
Όγκος απωλειών (M3)	1.85E6
Ενεργός Όγκος (M3)	6.53E5
Όγκος άμεσης απορροής (M3)	6.53E5
Όγκος βασικής απορροής (M3)	1.04E6

Βροχόπτωση και Απορροή



Υπολεκάνη: EL0512FR1003

Έκταση (KM2) : 11.79

Κατάντη : J28

Μέθοδος Απωλειών: SCS

Ποσοστό αδιαπέρατης επιφάνειας	0
Αριθμός Καμπύλης Απορροής-CN	49.79
Αρχικές Απώλειες	51.23

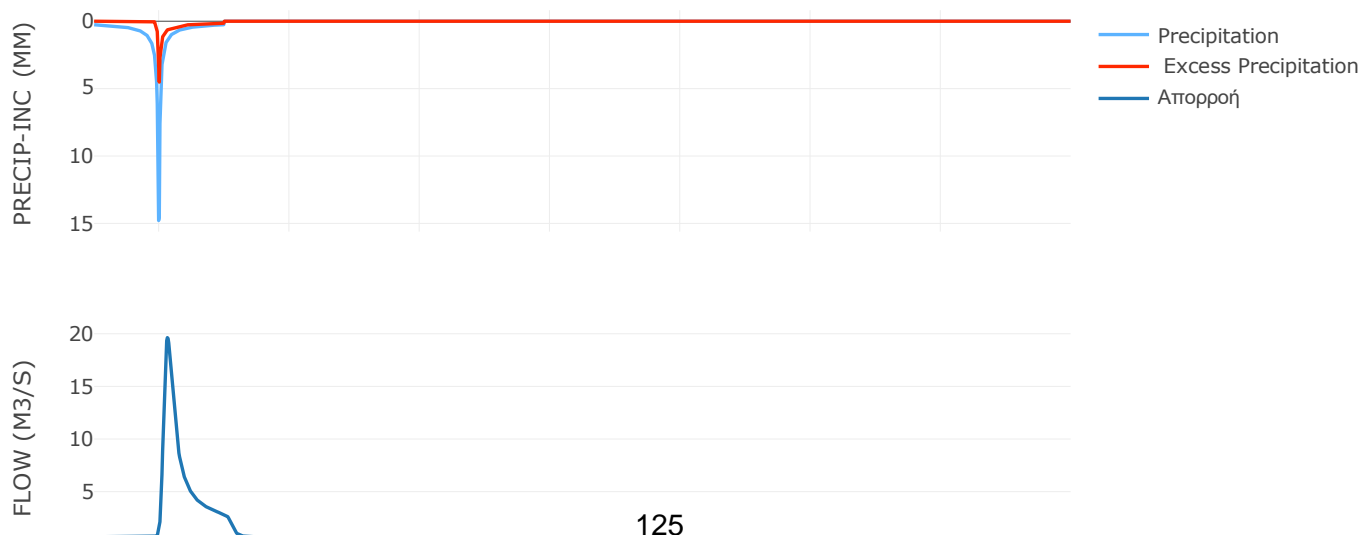
Μέθοδος
Μετασχηματισμού: SCS

Χρόνος Υστέρησης	145.95
------------------	--------

Αποτελέσματα:
EL0512FR1003

Παροχή αιχμής (M3/S)	19.63
Χρονική στιγμή αιχμής	02Sep2000, 03:00
Όγκος (MM)	125.1
Όγκος βροχόπτωσης (M3)	2.21E6
Όγκος απωλειών (M3)	1.65E6
Ενεργός Όγκος (M3)	5.58E5
Όγκος άμεσης απορροής (M3)	5.58E5
Όγκος βασικής απορροής (M3)	9.17E5

Βροχόπτωση και Απορροή



Υπολεκάνη: EL0512FR1004

Έκταση (KM2) : 17.07

Κατάντη : J4

Μέθοδος Απωλειών: SCS

Ποσοστό αδιαπέρατης επιφάνειας	0
Αριθμός Καμπύλης Απορροής-CN	45.84
Αρχικές Απώλειες	60.02

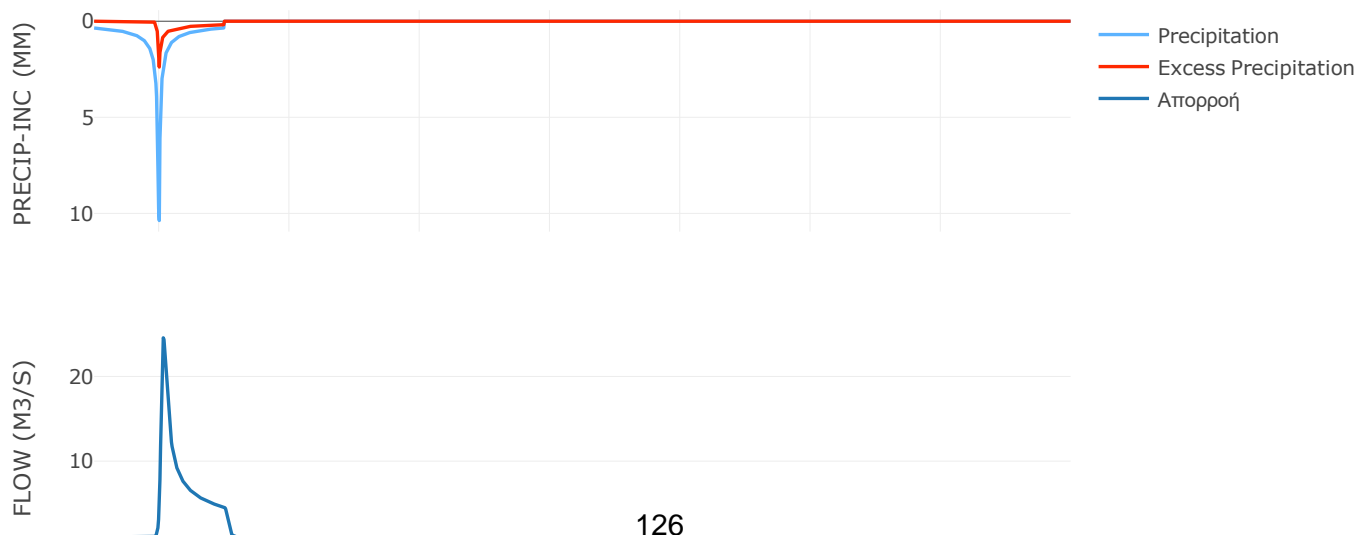
Μέθοδος
Μετασχηματισμού: SCS

Χρόνος Υστέρησης	70.19
------------------	-------

Αποτελέσματα:
EL0512FR1004

Παροχή αιχμής (M3/S)	24.57
Χρονική στιγμή αιχμής	02Sep2000, 01:30
Όγκος (MM)	117.01
Όγκος βροχόπτωσης (M3)	3.24E6
Όγκος απωλειών (M3)	2.57E6
Ενεργός Όγκος (M3)	6.7E5
Όγκος άμεσης απορροής (M3)	6.7E5
Όγκος βασικής απορροής (M3)	1.33E6

Βροχόπτωση και Απορροή



Υπολεκάνη: EL0512FR1005

Έκταση (KM2) : 3.17

Κατάντη : J4

Μέθοδος Απωλειών: SCS

Ποσοστό αδιαπέρατης επιφάνειας	0
Αριθμός Καμπύλης Απορροής-CN	43.1
Αρχικές Απώλειες	67.07

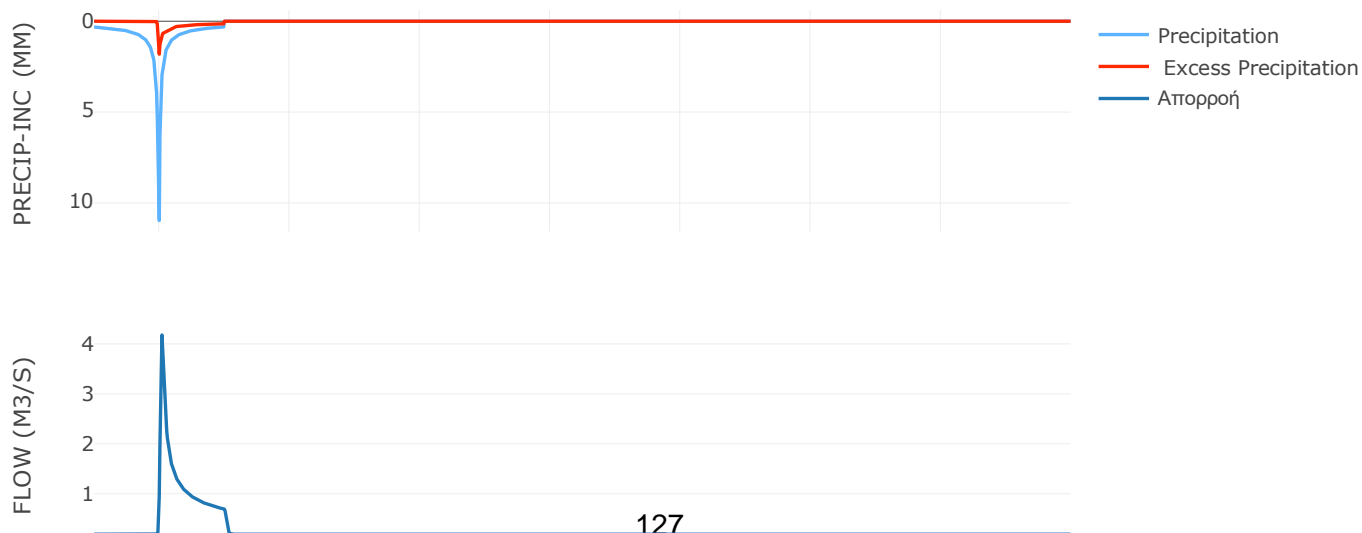
Μέθοδος
Μετασχηματισμού: SCS

Χρόνος Υστέρησης	37.45
------------------	-------

Αποτελέσματα:
EL0512FR1005

Παροχή αιχμής (M3/S)	4.18
Χρονική στιγμή αιχμής	02Sep2000, 01:00
Όγκος (MM)	107.41
Όγκος βροχόπτωσης (M3)	5.79E5
Όγκος απωλειών (M3)	4.85E5
Ενεργός Όγκος (M3)	94008.95
Όγκος άμεσης απορροής (M3)	94008.95
Όγκος βασικής απορροής (M3)	2.47E5

Βροχόπτωση και Απορροή



Υπολεκάνη: EL0512FR1006

Έκταση (KM2) : 18.76

Κατάντη : J5

Μέθοδος Απωλειών: SCS

Ποσοστό αδιαπέρατης επιφάνειας	0
Αριθμός Καμπύλης Απορροής-CN	45.67
Αρχικές Απώλειες	60.44

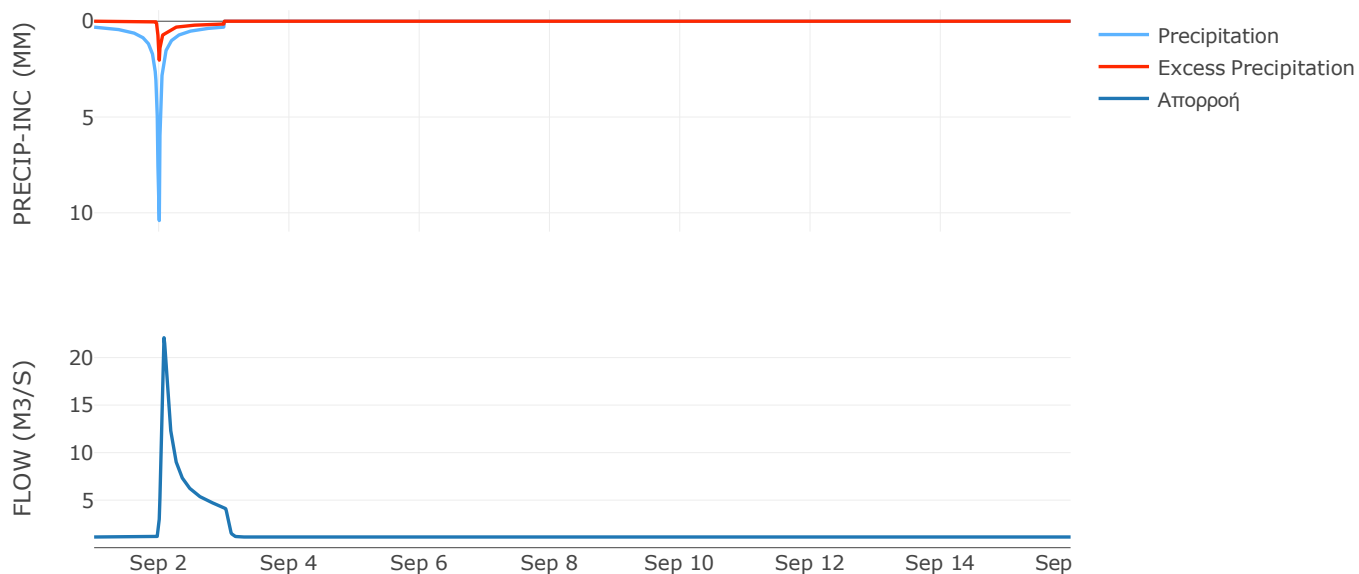
Μέθοδος
Μετασχηματισμού: SCS

Χρόνος Υστέρησης	73.33
------------------	-------

Αποτελέσματα:
EL0512FR1006

Παροχή αιχμής (M3/S)	22.09
Χρονική στιγμή αιχμής	02Sep2000, 01:45
Όγκος (MM)	109.87
Όγκος βροχόπτωσης (M3)	3.31E6
Όγκος απωλειών (M3)	2.71E6
Ενεργός Όγκος (M3)	6.02E5
Όγκος άμεσης απορροής (M3)	6.02E5
Όγκος βασικής απορροής (M3)	1.46E6

Βροχόπτωση και Απορροή



Υπολεκάνη: EL0512FR1007

Έκταση (KM2) : 22.72

Κατάντη : J5

Μέθοδος Απωλειών: SCS

Ποσοστό αδιαπέρατης επιφάνειας	0
Αριθμός Καμπύλης Απορροής-CN	46.5
Αρχικές Απώλειες	58.45

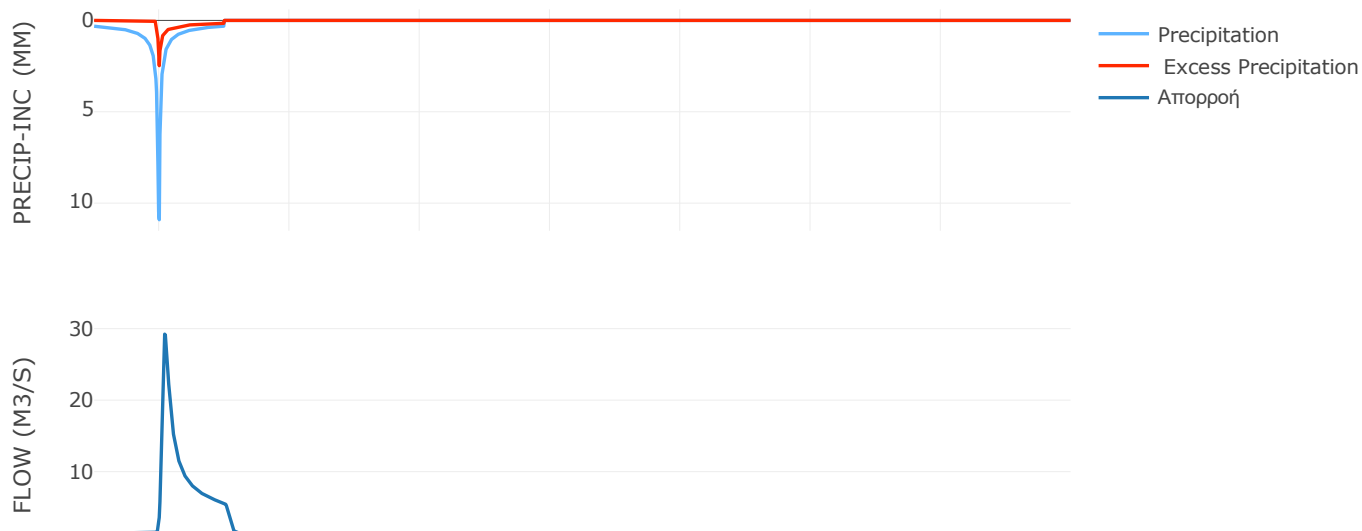
Μέθοδος
Μετασχηματισμού: SCS

Χρόνος Υστέρησης	93
------------------	----

Αποτελέσματα:
EL0512FR1007

Παροχή αιχμής (M3/S)	29.23
Χρονική στιγμή αιχμής	02Sep2000, 02:00
Όγκος (MM)	114.77
Όγκος βροχόπτωσης (M3)	4.15E6
Όγκος απωλειών (M3)	3.31E6
Ενεργός Όγκος (M3)	8.41E5
Όγκος άμεσης απορροής (M3)	8.41E5
Όγκος βασικής απορροής (M3)	1.77E6

Βροχόπτωση και Απορροή



Υπολεκάνη: EL0512FR1008

Έκταση (KM2) : 12.83

Κατάντη : J6

Μέθοδος Απωλειών: SCS

Ποσοστό αδιαπέρατης επιφάνειας	0
Αριθμός Καμπύλης Απορροής-CN	50.95
Αρχικές Απώλειες	48.91

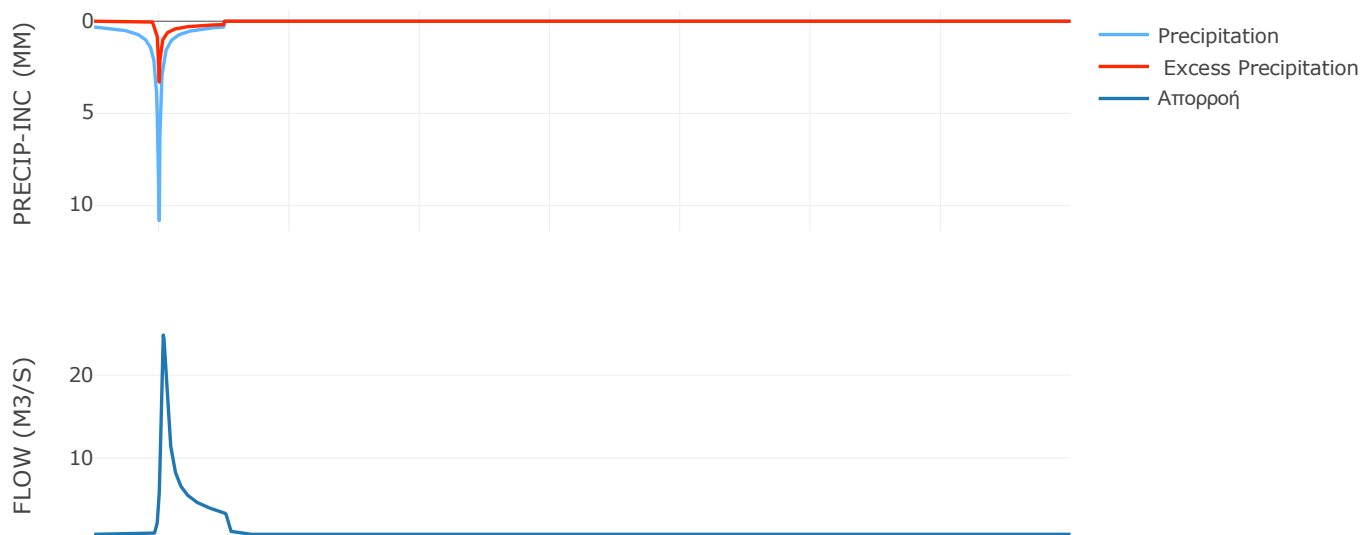
Μέθοδος
Μετασχηματισμού: SCS

Χρόνος Υστέρησης	72.48
------------------	-------

Αποτελέσματα:
EL0512FR1008

Παροχή αιχμής (M3/S)	24.84
Χρονική στιγμή αιχμής	02Sep2000, 01:30
Όγκος (MM)	124.07
Όγκος βροχόπτωσης (M3)	2.32E6
Όγκος απωλειών (M3)	1.73E6
Ενεργός Όγκος (M3)	5.94E5
Όγκος άμεσης απορροής (M3)	5.94E5
Όγκος βασικής απορροής (M3)	9.98E5

Βροχόπτωση και Απορροή



Υπολεκάνη: EL0512FR1009

Έκταση (KM2) : 9.15

Κατάντη : J7

Μέθοδος Απωλειών: SCS

Ποσοστό αδιαπέρατης επιφάνειας	0
Αριθμός Καμπύλης Απορροής-CN	51.17
Αρχικές Απώλειες	48.48

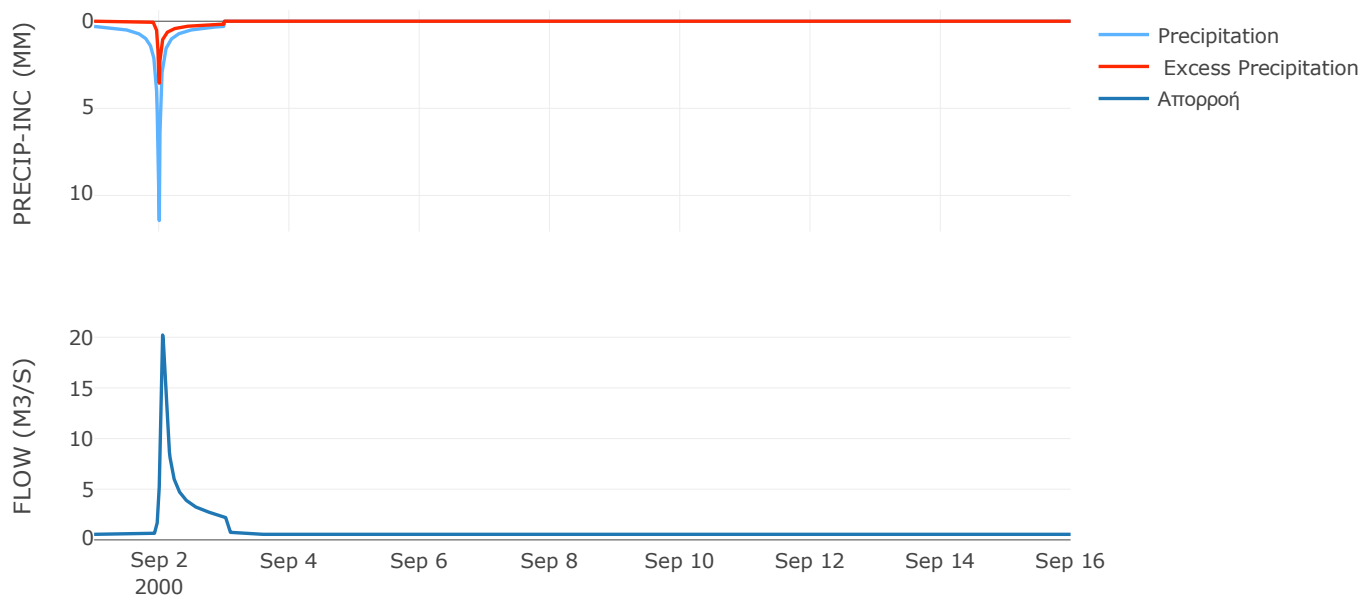
Μέθοδος
Μετασχηματισμού: SCS

Χρόνος Υστέρησης	60.38
------------------	-------

Αποτελέσματα:
EL0512FR1009

Παροχή αιχμής (M3/S)	20.22
Χρονική στιγμή αιχμής	02Sep2000, 01:15
Όγκος (MM)	124.35
Όγκος βροχόπτωσης (M3)	1.65E6
Όγκος απωλειών (M3)	1.23E6
Ενεργός Όγκος (M3)	4.26E5
Όγκος άμεσης απορροής (M3)	4.26E5
Όγκος βασικής απορροής (M3)	7.11E5

Βροχόπτωση και Απορροή



Υπολεκάνη: EL0512FR1010

Έκταση (KM2) : 37.24

Κατάντη : J7

Μέθοδος Απωλειών: SCS

Ποσοστό αδιαπέρατης επιφάνειας	0
Αριθμός Καμπύλης Απορροής-CN	58.79
Αρχικές Απώλειες	35.61

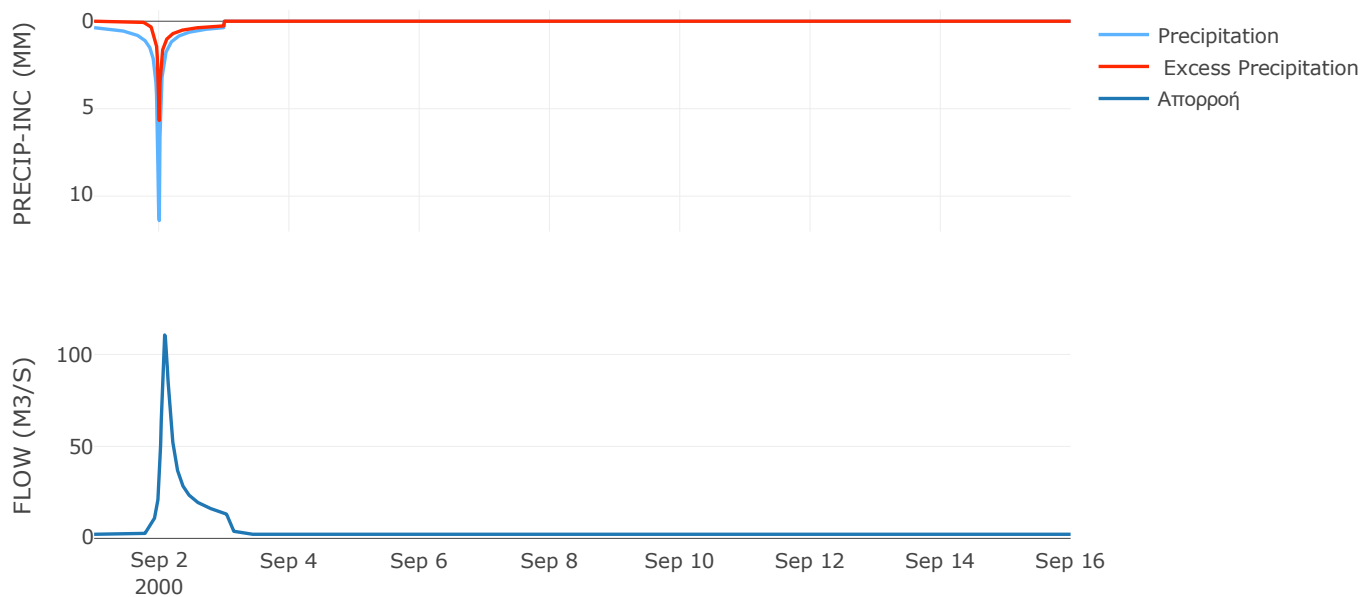
Μέθοδος
Μετασχηματισμού: SCS

Χρόνος Υστέρησης	104.39
------------------	--------

Αποτελέσματα:
EL0512FR1010

Παροχή αιχμής (M3/S)	110.57
Χρονική στιγμή αιχμής	02Sep2000, 02:00
Όγκος (MM)	158.46
Όγκος βροχόπτωσης (M3)	7.54E6
Όγκος απωλειών (M3)	4.53E6
Ενεργός Όγκος (M3)	3.01E6
Όγκος άμεσης απορροής (M3)	3.01E6
Όγκος βασικής απορροής (M3)	2.9E6

Βροχόπτωση και Απορροή



Υπολεκάνη: EL0512FR1011

Έκταση (KM2) : 16.64

Κατάντη : J8

Μέθοδος Απωλειών: SCS

Ποσοστό αδιαπέρατης επιφάνειας	0
Αριθμός Καμπύλης Απορροής-CN	44.96
Αρχικές Απώλειες	62.2

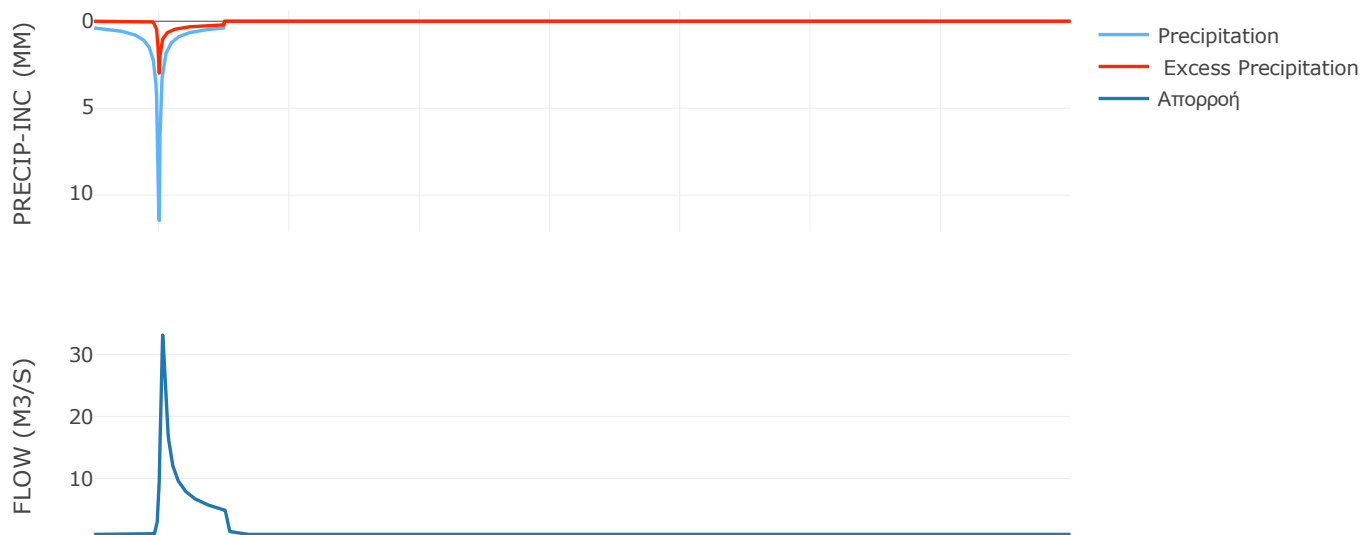
Μέθοδος
Μετασχηματισμού: SCS

Χρόνος Υστέρησης	54.49
------------------	-------

Αποτελέσματα:
EL0512FR1011

Παροχή αιχμής (M3/S)	33.1
Χρονική στιγμή αιχμής	02Sep2000, 01:15
Όγκος (MM)	125.6
Όγκος βροχόπτωσης (M3)	3.5E6
Όγκος απωλειών (M3)	2.71E6
Ενεργός Όγκος (M3)	7.96E5
Όγκος άμεσης απορροής (M3)	7.96E5
Όγκος βασικής απορροής (M3)	1.29E6

Βροχόπτωση και Απορροή



Υπολεκάνη: EL0512FR1012

Έκταση (KM2) : 37.82

Κατάντη : J9

Μέθοδος Απωλειών: SCS

Ποσοστό αδιαπέρατης επιφάνειας	0
Αριθμός Καμπύλης Απορροής-CN	44.19
Αρχικές Απώλειες	64.15

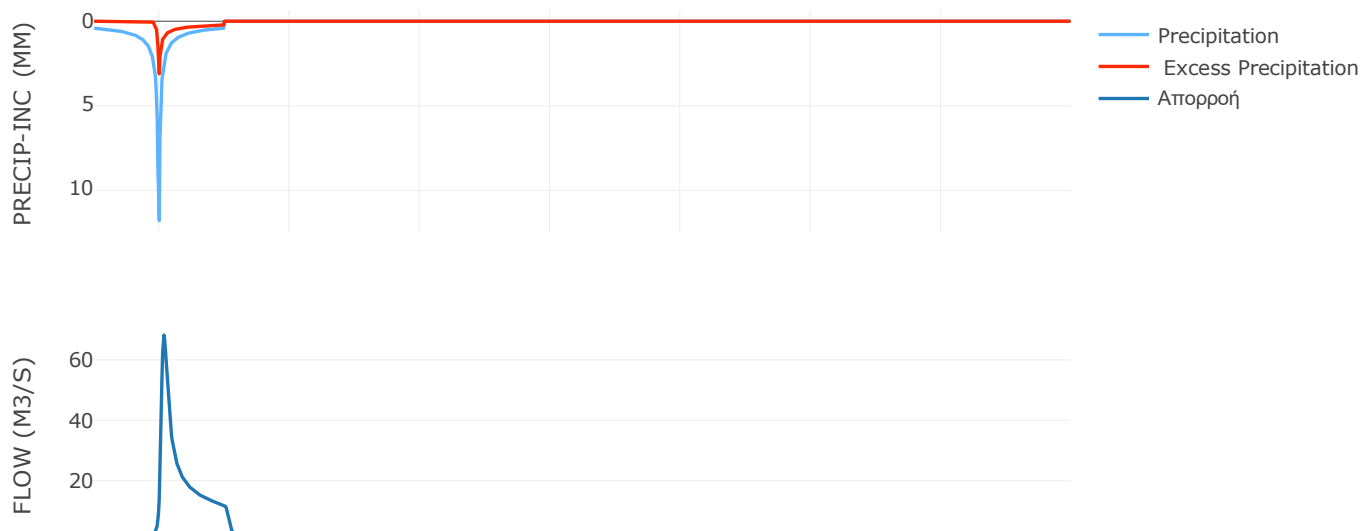
Μέθοδος
Μετασχηματισμού: SCS

Χρόνος Υστέρησης	78.93
------------------	-------

Αποτελέσματα:
EL0512FR1012

Παροχή αιχμής (M3/S)	68.22
Χρονική στιγμή αιχμής	02Sep2000, 01:45
Όγκος (MM)	128.14
Όγκος βροχόπτωσης (M3)	8.28E6
Όγκος απωλειών (M3)	6.37E6
Ενεργός Όγκος (M3)	1.91E6
Όγκος άμεσης απορροής (M3)	1.91E6
Όγκος βασικής απορροής (M3)	2.94E6

Βροχόπτωση και Απορροή



Υπολεκάνη: EL0512FR1013

Έκταση (KM2) : 42.56

Κατάντη : J10

Μέθοδος Απωλειών: SCS

Ποσοστό αδιαπέρατης επιφάνειας	0
Αριθμός Καμπύλης Απορροής-CN	49.87
Αρχικές Απώλειες	51.06

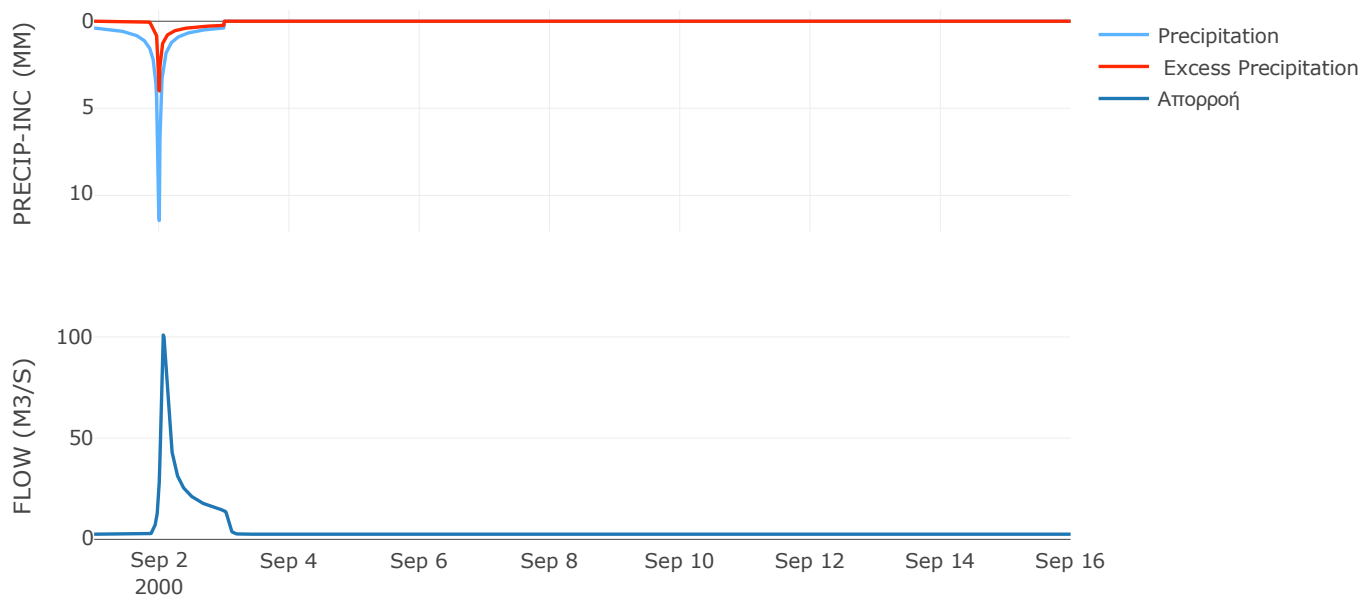
Μέθοδος
Μετασχηματισμού: SCS

Χρόνος Υστέρησης	76.36
------------------	-------

Αποτελέσματα:
EL0512FR1013

Παροχή αιχμής (M3/S)	100.96
Χρονική στιγμή αιχμής	02Sep2000, 01:30
Όγκος (MM)	138.44
Όγκος βροχόπτωσης (M3)	8.92E6
Όγκος απωλειών (M3)	6.33E6
Ενεργός Όγκος (M3)	2.58E6
Όγκος άμεσης απορροής (M3)	2.58E6
Όγκος βασικής απορροής (M3)	3.31E6

Βροχόπτωση και Απορροή



Υπολεκάνη: EL0512FR1014

Έκταση (KM2) : 20.41

Κατάντη : J25

Μέθοδος Απωλειών: SCS

Ποσοστό αδιαπέρατης επιφάνειας	0
Αριθμός Καμπύλης Απορροής-CN	48.5
Αρχικές Απώλειες	53.95

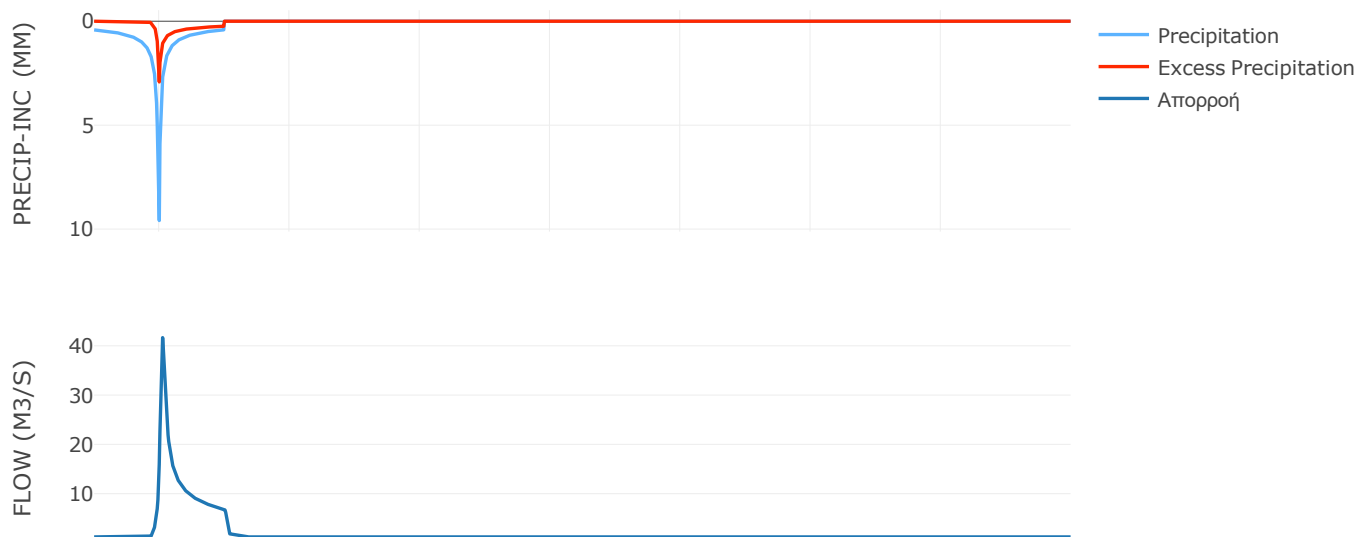
Μέθοδος
Μετασχηματισμού: SCS

Χρόνος Υστέρησης	53.77
------------------	-------

Αποτελέσματα:
EL0512FR1014

Παροχή αιχμής (M3/S)	41.66
Χρονική στιγμή αιχμής	02Sep2000, 01:15
Όγκος (MM)	130.74
Όγκος βροχόπτωσης (M3)	4.14E6
Όγκος απωλειών (M3)	3.06E6
Ενεργός Όγκος (M3)	1.08E6
Όγκος άμεσης απορροής (M3)	1.08E6
Όγκος βασικής απορροής (M3)	1.59E6

Βροχόπτωση και Απορροή



Υπολεκάνη: EL0512FR1015

Έκταση (KM2) : 55.38

Κατάντη : J26

Μέθοδος Απωλειών: SCS

Ποσοστό αδιαπέρατης επιφάνειας	0
Αριθμός Καμπύλης Απορροής-CN	48.04
Αρχικές Απώλειες	54.95

Μέθοδος
Μετασχηματισμού: SCS

Χρόνος Υστέρησης	91.66
------------------	-------

Αποτελέσματα:
EL0512FR1015

Παροχή αιχμής (M3/S)	77.19
Χρονική στιγμή αιχμής	02Sep2000, 02:00
Όγκος (MM)	126.83
Όγκος βροχόπτωσης (M3)	1.1E7
Όγκος απωλειών (M3)	8.26E6
Ενεργός Όγκος (M3)	2.72E6
Όγκος άμεσης απορροής (M3)	2.72E6
Όγκος βασικής απορροής (M3)	4.31E6

Βροχόπτωση και Απορροή



Υπολεκάνη: EL0512FR1016

Έκταση (KM2) : 87.24

Κατάντη : J26

Μέθοδος Απωλειών: SCS

Ποσοστό αδιαπέρατης επιφάνειας	0
Αριθμός Καμπύλης Απορροής-CN	53.27
Αρχικές Απώλειες	44.57

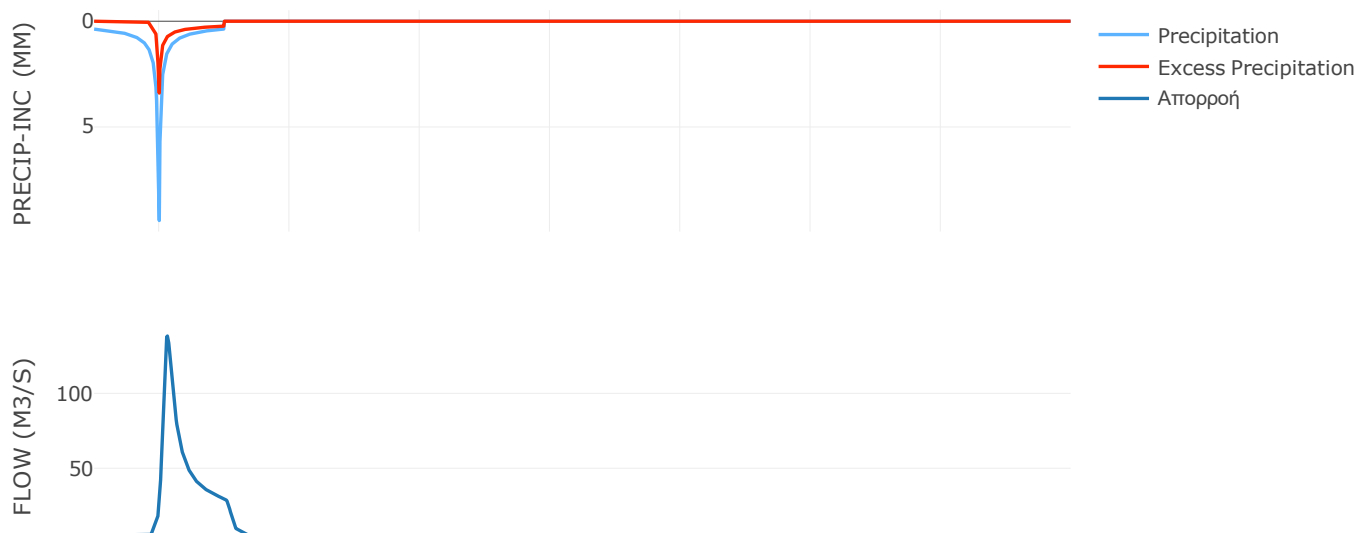
Μέθοδος
Μετασχηματισμού: SCS

Χρόνος Υστέρησης	142.8
------------------	-------

Αποτελέσματα:
EL0512FR1016

Παροχή αιχμής (M3/S)	138.28
Χρονική στιγμή αιχμής	02Sep2000, 03:00
Όγκος (MM)	134.2
Όγκος βροχόπτωσης (M3)	1.64E7
Όγκος απωλειών (M3)	1.15E7
Ενεργός Όγκος (M3)	4.92E6
Όγκος άμεσης απορροής (M3)	4.92E6
Όγκος βασικής απορροής (M3)	6.78E6

Βροχόπτωση και Απορροή



Υπολεκάνη: EL0512FR1017

Έκταση (KM2) : 29.09

Κατάντη : J27

Μέθοδος Απωλειών: SCS

Ποσοστό αδιαπέρατης επιφάνειας	0
Αριθμός Καμπύλης Απορροής-CN	45.45
Αρχικές Απώλειες	60.97

Μέθοδος
Μετασχηματισμού: SCS

Χρόνος Υστέρησης	66
------------------	----

Αποτελέσματα:
EL0512FR1017

Παροχή αιχμής (M3/S)	38.64
Χρονική στιγμή αιχμής	02Sep2000, 01:30
Όγκος (MM)	118.48
Όγκος βροχόπτωσης (M3)	5.66E6
Όγκος απωλειών (M3)	4.48E6
Ενεργός Όγκος (M3)	1.18E6
Όγκος άμεσης απορροής (M3)	1.18E6
Όγκος βασικής απορροής (M3)	2.26E6

Βροχόπτωση και Απορροή



Υπολεκάνη: EL0512FR1018

Έκταση (KM2) : 36.97

Κατάντη : J24

Μέθοδος Απωλειών: SCS

Ποσοστό αδιαπέρατης επιφάνειας	0
Αριθμός Καμπύλης Απορροής-CN	52.18
Αρχικές Απώλειες	46.56

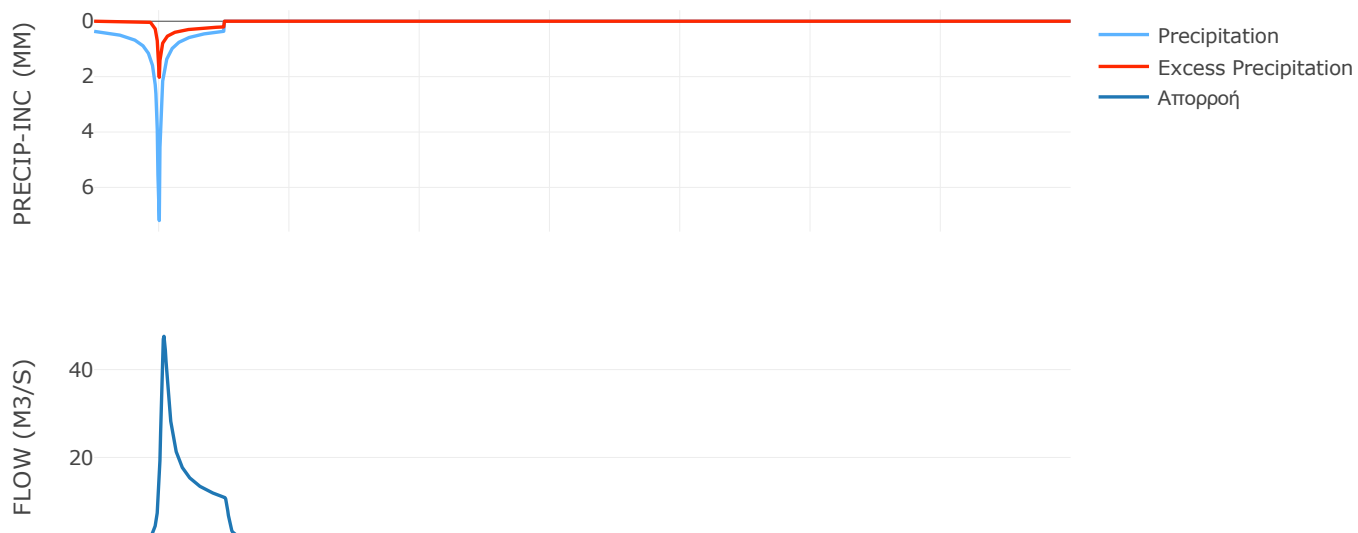
Μέθοδος
Μετασχηματισμού: SCS

Χρόνος Υστέρησης	79.11
------------------	-------

Αποτελέσματα:
EL0512FR1018

Παροχή αιχμής (M3/S)	47.57
Χρονική στιγμή αιχμής	02Sep2000, 01:45
Όγκος (MM)	119.12
Όγκος βροχόπτωσης (M3)	6.19E6
Όγκος απωλειών (M3)	4.66E6
Ενεργός Όγκος (M3)	1.53E6
Όγκος άμεσης απορροής (M3)	1.53E6
Όγκος βασικής απορροής (M3)	2.87E6

Βροχόπτωση και Απορροή



Υπολεκάνη: EL0512FR1019

Έκταση (KM2) : 88.25

Κατάντη : J24

Μέθοδος Απωλειών: SCS

Ποσοστό αδιαπέρατης επιφάνειας	0
Αριθμός Καμπύλης Απορροής-CN	50.78
Αρχικές Απώλειες	49.24

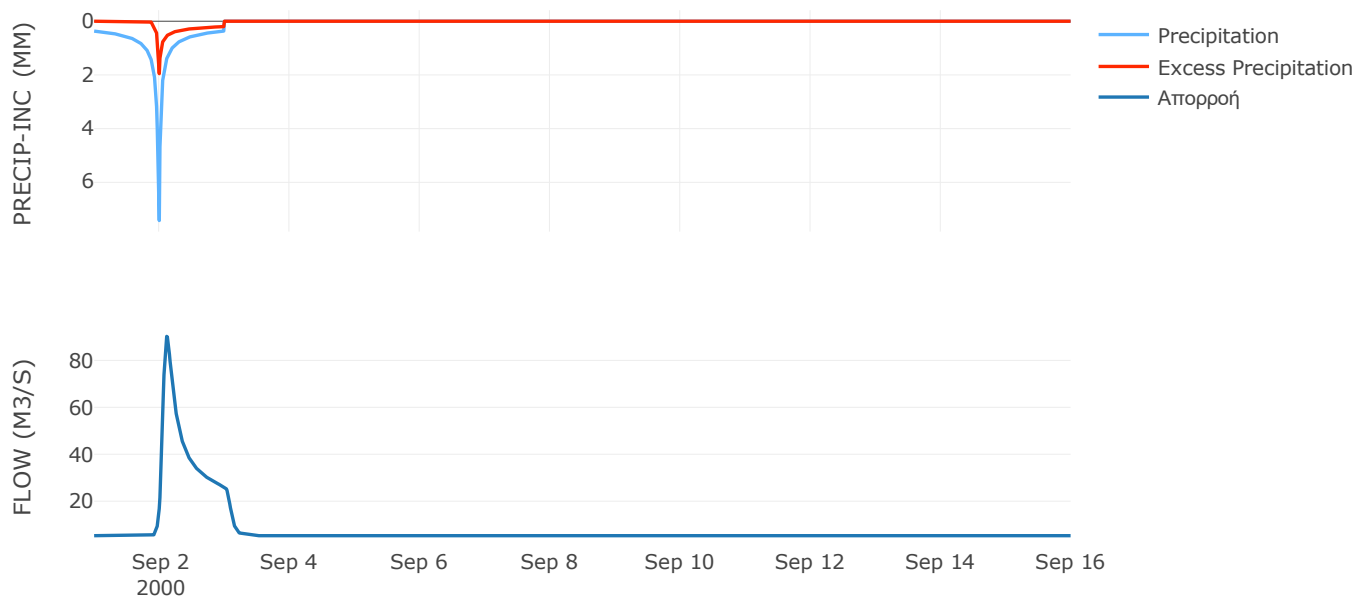
Μέθοδος
Μετασχηματισμού: SCS

Χρόνος Υστέρησης	127.92
------------------	--------

Αποτελέσματα:
EL0512FR1019

Παροχή αιχμής (M3/S)	90.24
Χρονική στιγμή αιχμής	02Sep2000, 02:45
Όγκος (MM)	117.55
Όγκος βροχόπτωσης (M3)	1.5E7
Όγκος απωλειών (M3)	1.15E7
Ενεργός Όγκος (M3)	3.51E6
Όγκος άμεσης απορροής (M3)	3.51E6
Όγκος βασικής απορροής (M3)	6.86E6

Βροχόπτωση και Απορροή



Υπολεκάνη: EL0512FR1020

Έκταση (KM2) : 29.81

Κατάντη : J23

Μέθοδος Απωλειών: SCS

Ποσοστό αδιαπέρατης επιφάνειας	0
Αριθμός Καμπύλης Απορροής-CN	49.24
Αρχικές Απώλειες	52.37

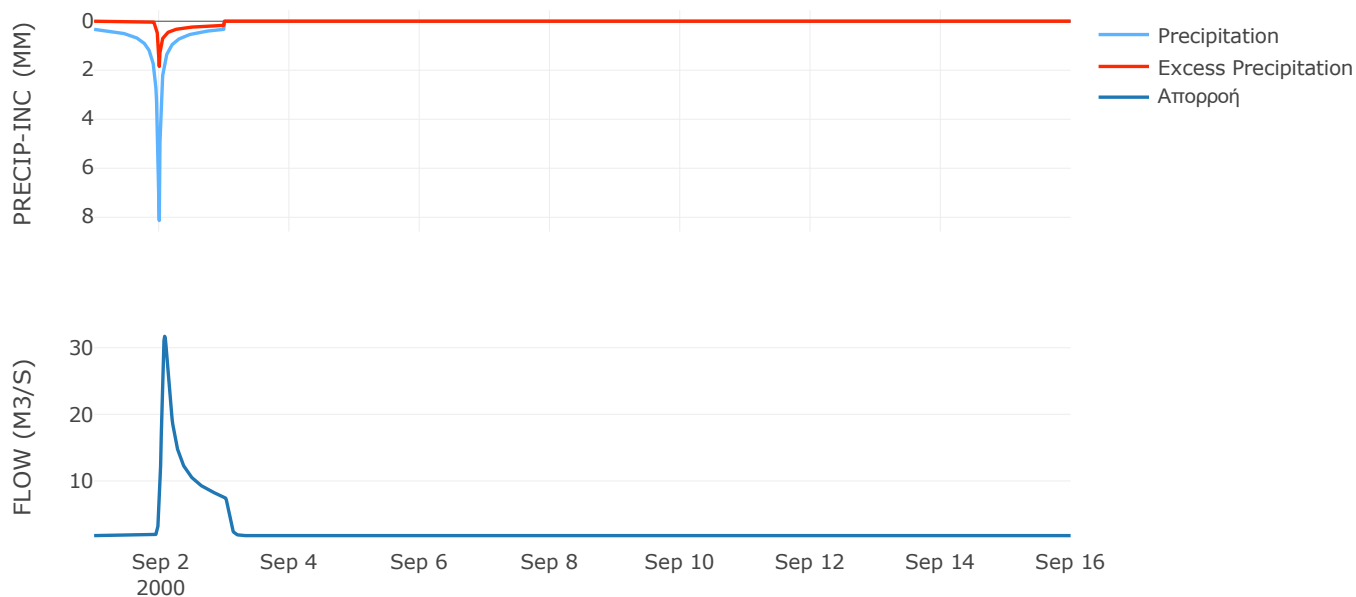
Μέθοδος
Μετασχηματισμού: SCS

Χρόνος Υστέρησης	89.67
------------------	-------

Αποτελέσματα:
EL0512FR1020

Παροχή αιχμής (M3/S)	31.72
Χρονική στιγμή αιχμής	02Sep2000, 02:00
Όγκος (MM)	112.1
Όγκος βροχόπτωσης (M3)	4.95E6
Όγκος απωλειών (M3)	3.92E6
Ενεργός Όγκος (M3)	1.02E6
Όγκος άμεσης απορροής (M3)	1.02E6
Όγκος βασικής απορροής (M3)	2.32E6

Βροχόπτωση και Απορροή



Υπολεκάνη: EL0512FR1021

Έκταση (KM2) : 1.65

Κατάντη : J23

Μέθοδος Απωλειών: SCS

Ποσοστό αδιαπέρατης επιφάνειας	0
Αριθμός Καμπύλης Απορροής-CN	32.43
Αρχικές Απώλειες	105.85

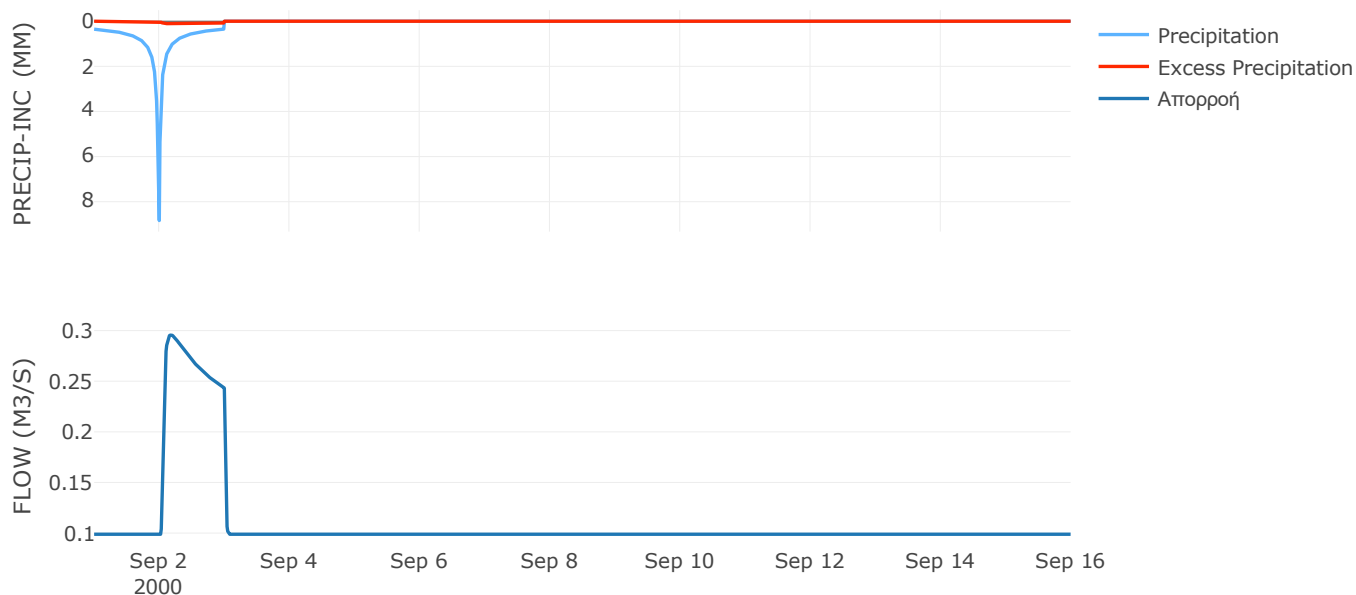
Μέθοδος
Μετασχηματισμού: SCS

Χρόνος Υστέρησης	19.32
------------------	-------

Αποτελέσματα:
EL0512FR1021

Παροχή αιχμής (M3/S)	0.3
Χρονική στιγμή αιχμής	02Sep2000, 04:15
Όγκος (MM)	86.32
Όγκος βροχόπτωσης (M3)	2.93E5
Όγκος απωλειών (M3)	2.79E5
Ενεργός Όγκος (M3)	14100.34
Όγκος άμεσης απορροής (M3)	14100.34
Όγκος βασικής απορροής (M3)	1.28E5

Βροχόπτωση και Απορροή



Υπολεκάνη: EL0512FR1024

Έκταση (KM2) : 104.31

Κατάντη : J13

Μέθοδος Απωλειών: SCS

Ποσοστό αδιαπέρατης επιφάνειας	0
Αριθμός Καμπύλης Απορροής-CN	56.86
Αρχικές Απώλειες	38.54

Μέθοδος
Μετασχηματισμού: SCS

Χρόνος Υστέρησης	147.99
------------------	--------

Αποτελέσματα:
EL0512FR1024

Παροχή αιχμής (M3/S)	137.19
Χρονική στιγμή αιχμής	02Sep2000, 03:00
Όγκος (MM)	126.6
Όγκος βροχόπτωσης (M3)	1.7E7
Όγκος απωλειών (M3)	1.19E7
Ενεργός Όγκος (M3)	5.09E6
Όγκος άμεσης απορροής (M3)	5.09E6
Όγκος βασικής απορροής (M3)	8.11E6

Βροχόπτωση και Απορροή



Υπολεκάνη: EL0512FR1025

Έκταση (KM2) : 99.97

Κατάντη : J13

Μέθοδος Απωλειών: SCS

Ποσοστό αδιαπέρατης επιφάνειας	0
Αριθμός Καμπύλης Απορροής-CN	54.53
Αρχικές Απώλειες	42.37

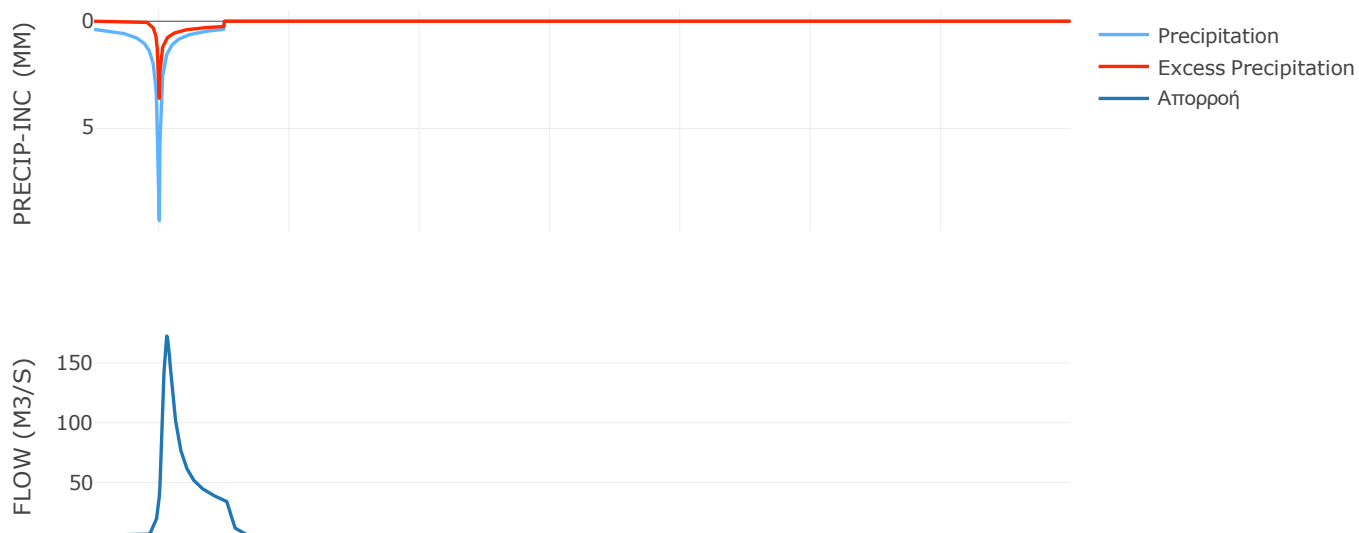
Μέθοδος
Μετασχηματισμού: SCS

Χρόνος Υστέρησης	137.65
------------------	--------

Αποτελέσματα:
EL0512FR1025

Παροχή αιχμής (M3/S)	172.48
Χρονική στιγμή αιχμής	02Sep2000, 02:45
Όγκος (MM)	138.34
Όγκος βροχόπτωσης (M3)	1.9E7
Όγκος απωλειών (M3)	1.29E7
Ενεργός Όγκος (M3)	6.06E6
Όγκος άμεσης απορροής (M3)	6.06E6
Όγκος βασικής απορροής (M3)	7.77E6

Βροχόπτωση και Απορροή



Υπολεκάνη: EL0512FR1026

Έκταση (KM2) : 78.82

Κατάντη : J12

Μέθοδος Απωλειών: SCS

Ποσοστό αδιαπέρατης επιφάνειας	0
Αριθμός Καμπύλης Απορροής-CN	43.41
Αρχικές Απώλειες	66.23

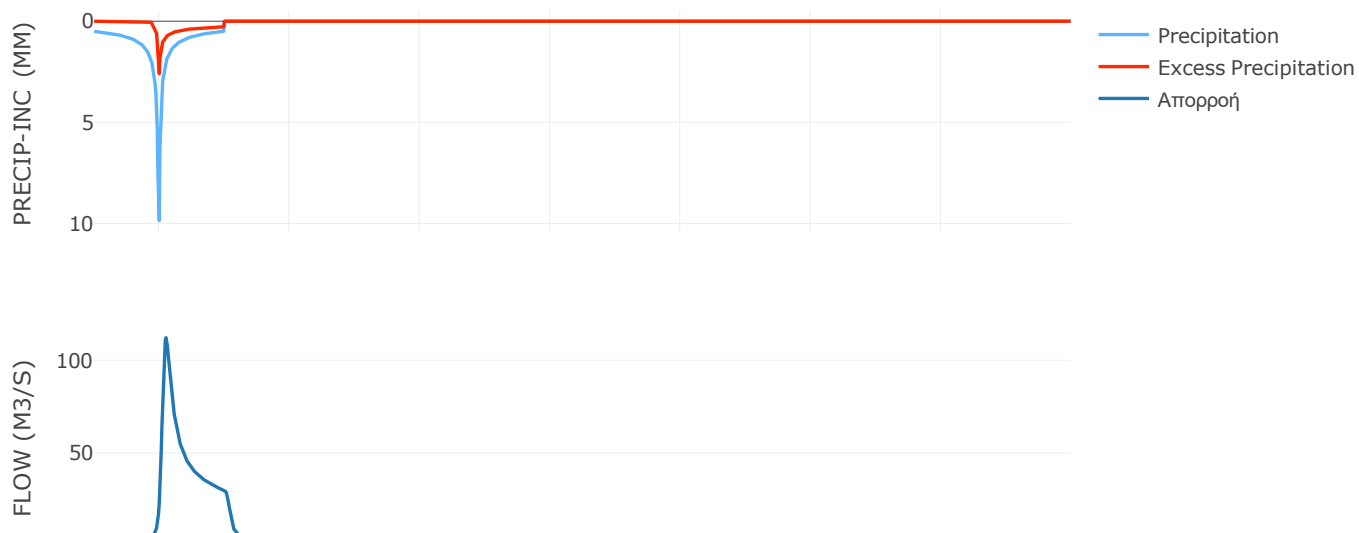
Μέθοδος
Μετασχηματισμού: SCS

Χρόνος Υστέρησης	112.37
------------------	--------

Αποτελέσματα:
EL0512FR1026

Παροχή αιχμής (M3/S)	112.18
Χρονική στιγμή αιχμής	02Sep2000, 02:30
Όγκος (MM)	131.52
Όγκος βροχόπτωσης (M3)	1.81E7
Όγκος απωλειών (M3)	1.38E7
Ενεργός Όγκος (M3)	4.24E6
Όγκος άμεσης απορροής (M3)	4.24E6
Όγκος βασικής απορροής (M3)	6.13E6

Βροχόπτωση και Απορροή



Υπολεκάνη: EL0512FR1027

Έκταση (KM2) : 79.87

Κατάντη : J31

Μέθοδος Απωλειών: SCS

Ποσοστό αδιαπέρατης επιφάνειας	0
Αριθμός Καμπύλης Απορροής-CN	44.14
Αρχικές Απώλειες	64.29

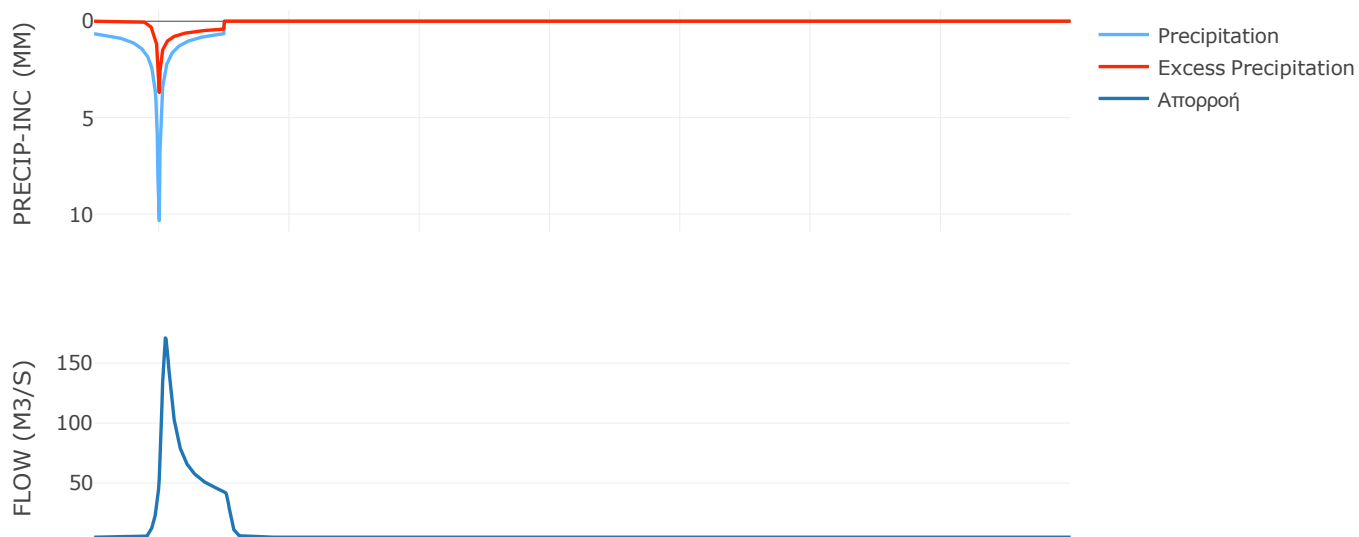
Μέθοδος
Μετασχηματισμού: SCS

Χρόνος Υστέρησης	111.05
------------------	--------

Αποτελέσματα:
EL0512FR1027

Παροχή αιχμής (M3/S)	171.04
Χρονική στιγμή αιχμής	02Sep2000, 02:15
Όγκος (MM)	161.07
Όγκος βροχόπτωσης (M3)	2.19E7
Όγκος απωλειών (M3)	1.53E7
Ενεργός Όγκος (M3)	6.65E6
Όγκος άμεσης απορροής (M3)	6.65E6
Όγκος βασικής απορροής (M3)	6.21E6

Βροχόπτωση και Απορροή



Υπολεκάνη: EL0512FR1028

Έκταση (KM2) : 92.8

Κατάντη : J31

Μέθοδος Απωλειών: SCS

Ποσοστό αδιαπέρατης επιφάνειας	0
Αριθμός Καμπύλης Απορροής-CN	53.3
Αρχικές Απώλειες	44.51

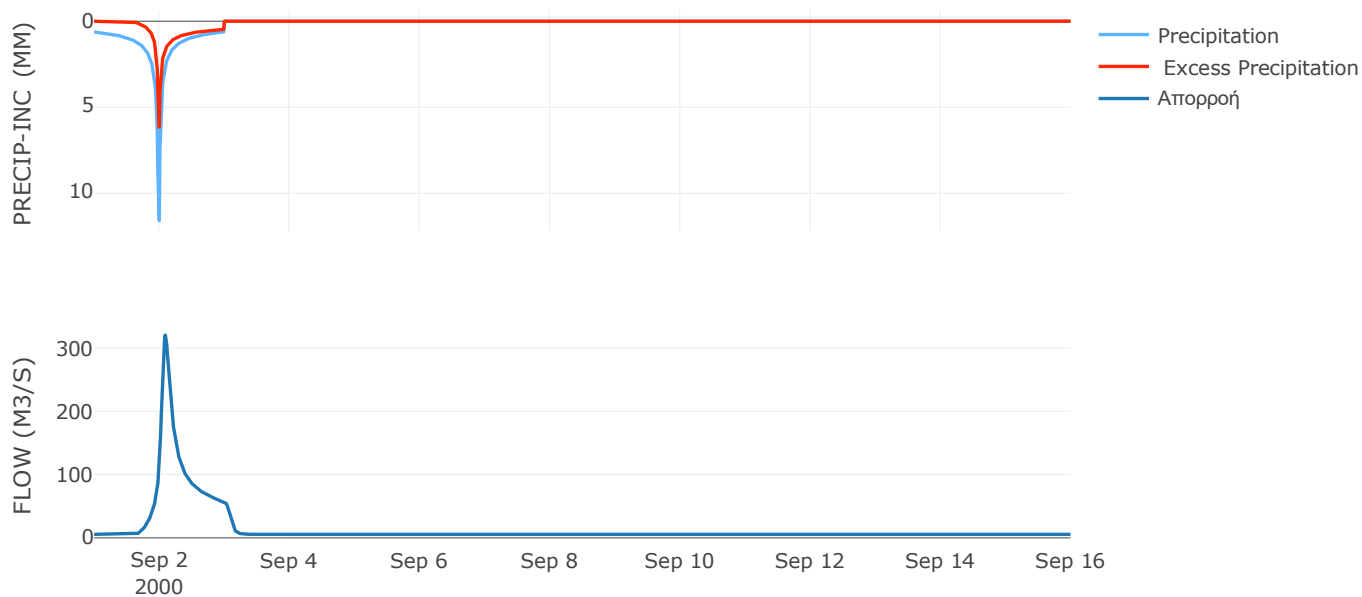
Μέθοδος
Μετασχηματισμού: SCS

Χρόνος Υστέρησης	113.69
------------------	--------

Αποτελέσματα:
EL0512FR1028

Παροχή αιχμής (M3/S)	320.56
Χρονική στιγμή αιχμής	02Sep2000, 02:15
Όγκος (MM)	198.25
Όγκος βροχόπτωσης (M3)	2.59E7
Όγκος απωλειών (M3)	1.47E7
Ενεργός Όγκος (M3)	1.12E7
Όγκος άμεσης απορροής (M3)	1.12E7
Όγκος βασικής απορροής (M3)	7.22E6

Βροχόπτωση και Απορροή



Υπολεκάνη: EL0512FR1029

Έκταση (KM2) : 88.68

Κατάντη : J22

Μέθοδος Απωλειών: SCS

Ποσοστό αδιαπέρατης επιφάνειας	0
Αριθμός Καμπύλης Απορροής-CN	46.38
Αρχικές Απώλειες	58.73

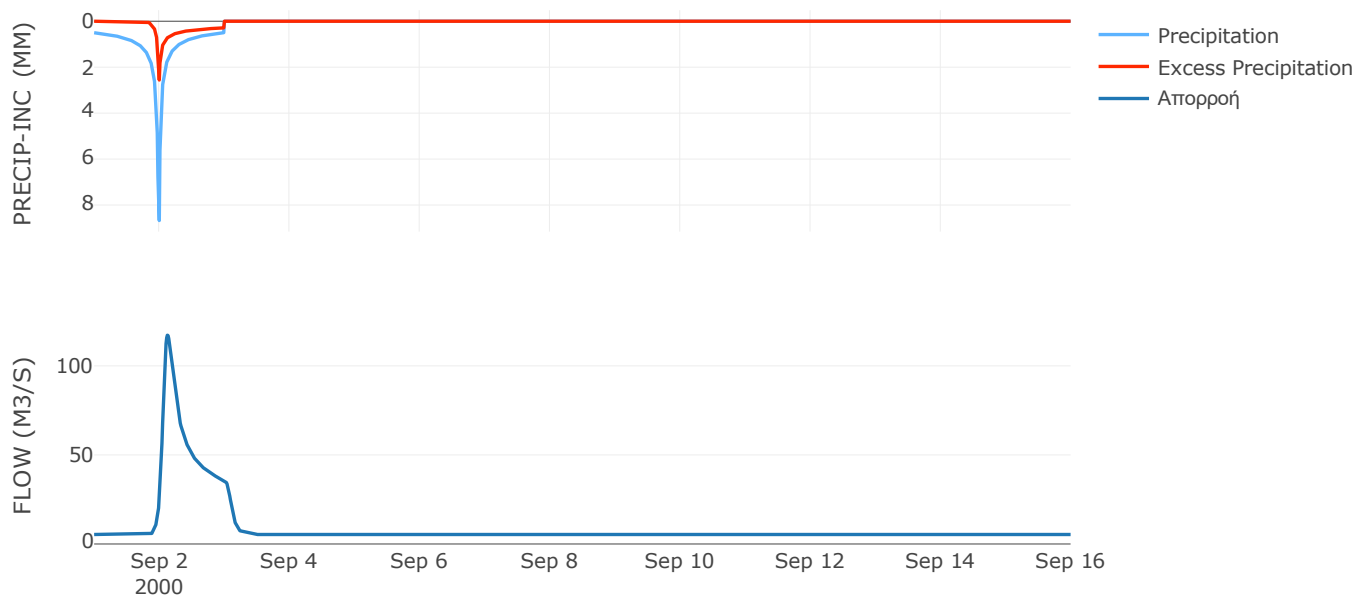
Μέθοδος
Μετασχηματισμού: SCS

Χρόνος Υστέρησης	142.04
------------------	--------

Αποτελέσματα:
EL0512FR1029

Παροχή αιχμής (M3/S)	117.23
Χρονική στιγμή αιχμής	02Sep2000, 03:00
Όγκος (MM)	134.12
Όγκος βροχόπτωσης (M3)	1.94E7
Όγκος απωλειών (M3)	1.44E7
Ενεργός Όγκος (M3)	5E6
Όγκος άμεσης απορροής (M3)	5E6
Όγκος βασικής απορροής (M3)	6.9E6

Βροχόπτωση και Απορροή



Υπολεκάνη: EL0512FR1030

Έκταση (KM2) : 54.36

Κατάντη : J22

Μέθοδος Απωλειών: SCS

Ποσοστό αδιαπέρατης επιφάνειας	0
Αριθμός Καμπύλης Απορροής-CN	32.5
Αρχικές Απώλειες	105.49

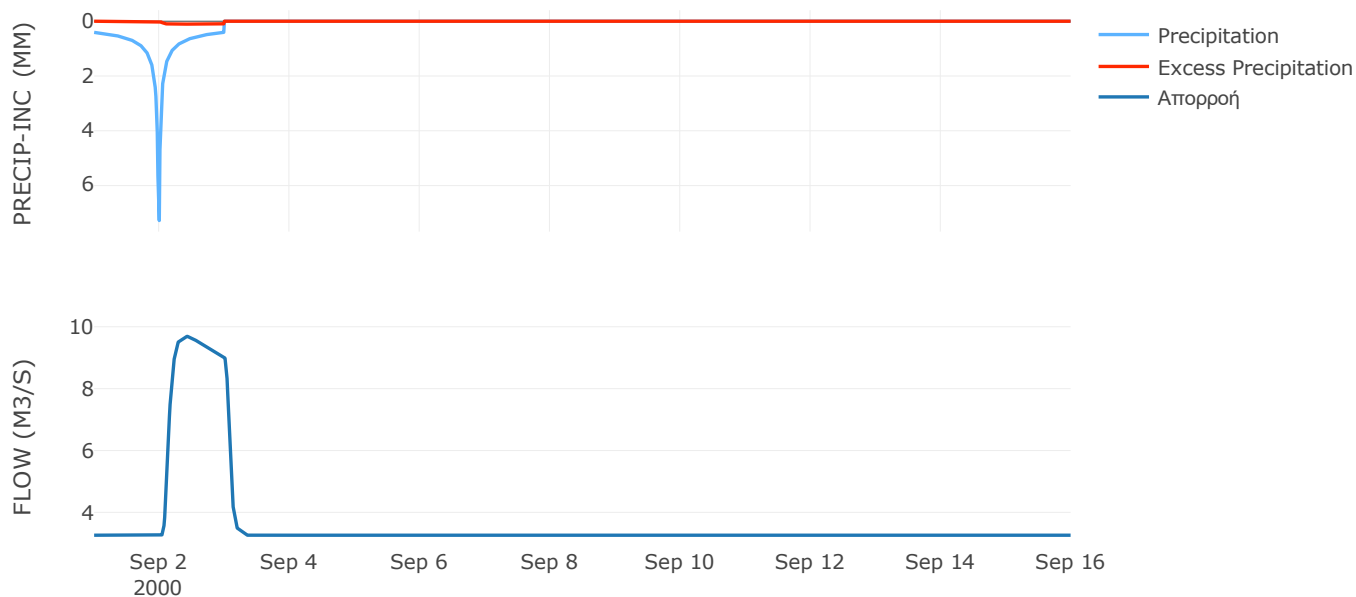
Μέθοδος
Μετασχηματισμού: SCS

Χρόνος Υστέρησης	100.99
------------------	--------

Αποτελέσματα:
EL0512FR1030

Παροχή αιχμής (M3/S)	9.7
Χρονική στιγμή αιχμής	02Sep2000, 09:30
Όγκος (MM)	86.97
Όγκος βροχόπτωσης (M3)	9.78E6
Όγκος απωλειών (M3)	9.28E6
Ενεργός Όγκος (M3)	5E5
Όγκος άμεσης απορροής (M3)	5E5
Όγκος βασικής απορροής (M3)	4.23E6

Βροχόπτωση και Απορροή



Υπολεκάνη: EL0512FR1031

Έκταση (KM2) : 44.83

Κατάντη : J14

Μέθοδος Απωλειών: SCS

Ποσοστό αδιαπέρατης επιφάνειας	0
Αριθμός Καμπύλης Απορροής-CN	41.18
Αρχικές Απώλειες	72.56

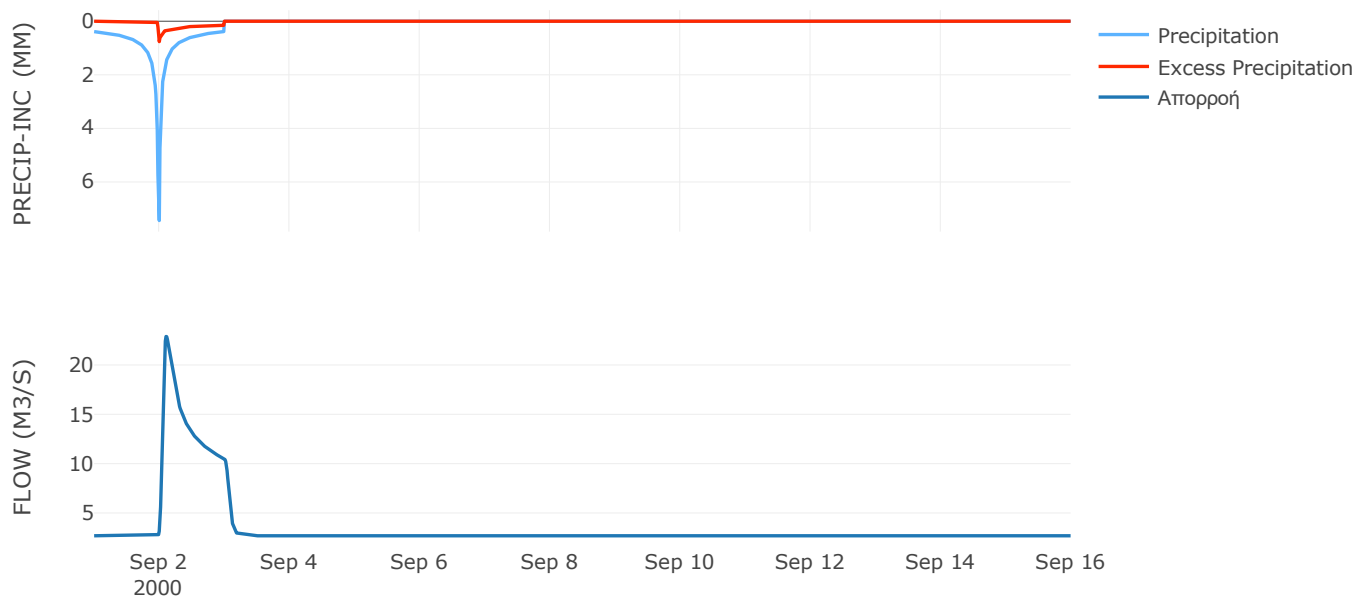
Μέθοδος
Μετασχηματισμού: SCS

Χρόνος Υστέρησης	93.45
------------------	-------

Αποτελέσματα:
EL0512FR1031

Παροχή αιχμής (M3/S)	22.89
Χρονική στιγμή αιχμής	02Sep2000, 02:30
Όγκος (MM)	100.63
Όγκος βροχόπτωσης (M3)	7.88E6
Όγκος απωλειών (M3)	6.86E6
Ενεργός Όγκος (M3)	1.03E6
Όγκος άμεσης απορροής (M3)	1.03E6
Όγκος βασικής απορροής (M3)	3.49E6

Βροχόπτωση και Απορροή



Υπολεκάνη: EL0512FR1032

Έκταση (KM2) : 62.74

Κατάντη : J14

Μέθοδος Απωλειών: SCS

Ποσοστό αδιαπέρατης επιφάνειας	0
Αριθμός Καμπύλης Απορροής-CN	43.05
Αρχικές Απώλειες	67.22

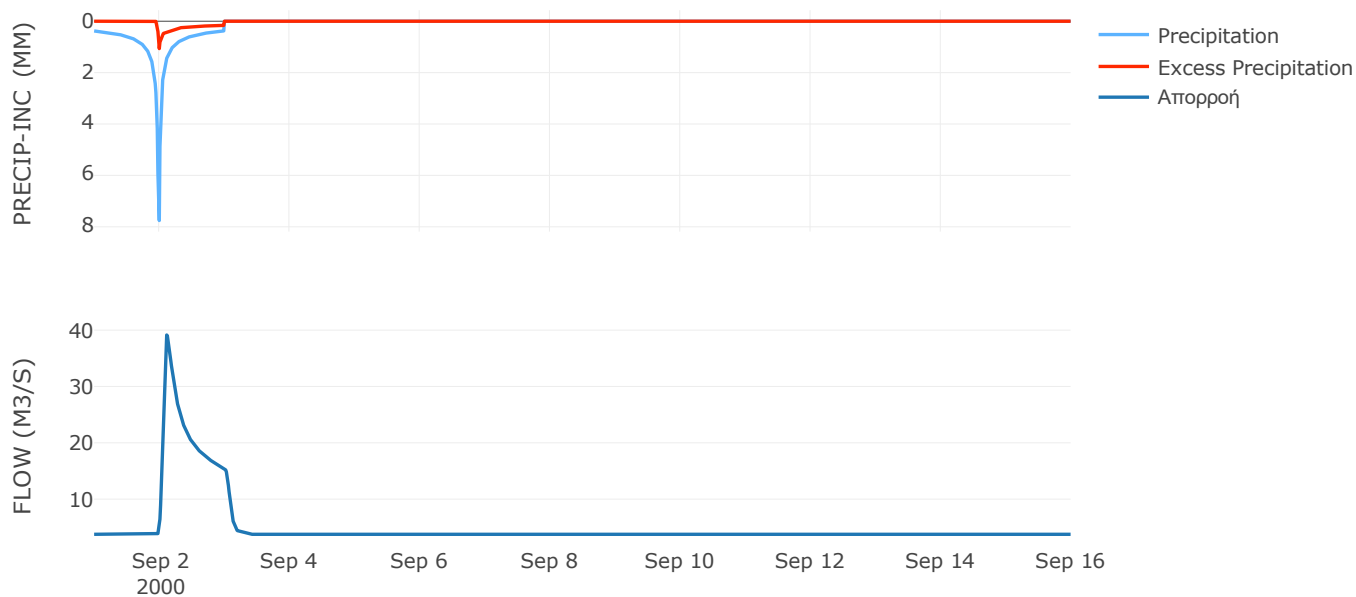
Μέθοδος
Μετασχηματισμού: SCS

Χρόνος Υστέρησης	109.99
------------------	--------

Αποτελέσματα:
EL0512FR1032

Παροχή αιχμής (M3/S)	39.14
Χρονική στιγμή αιχμής	02Sep2000, 02:45
Όγκος (MM)	104.35
Όγκος βροχόπτωσης (M3)	1.1E7
Όγκος απωλειών (M3)	9.37E6
Ενεργός Όγκος (M3)	1.67E6
Όγκος άμεσης απορροής (M3)	1.67E6
Όγκος βασικής απορροής (M3)	4.88E6

Βροχόπτωση και Απορροή



Υπολεκάνη: EL0512FR1033

Έκταση (KM2) : 25.85

Κατάντη : J30

Μέθοδος Απωλειών: SCS

Ποσοστό αδιαπέρατης επιφάνειας	0
Αριθμός Καμπύλης Απορροής-CN	41.29
Αρχικές Απώλειες	72.22

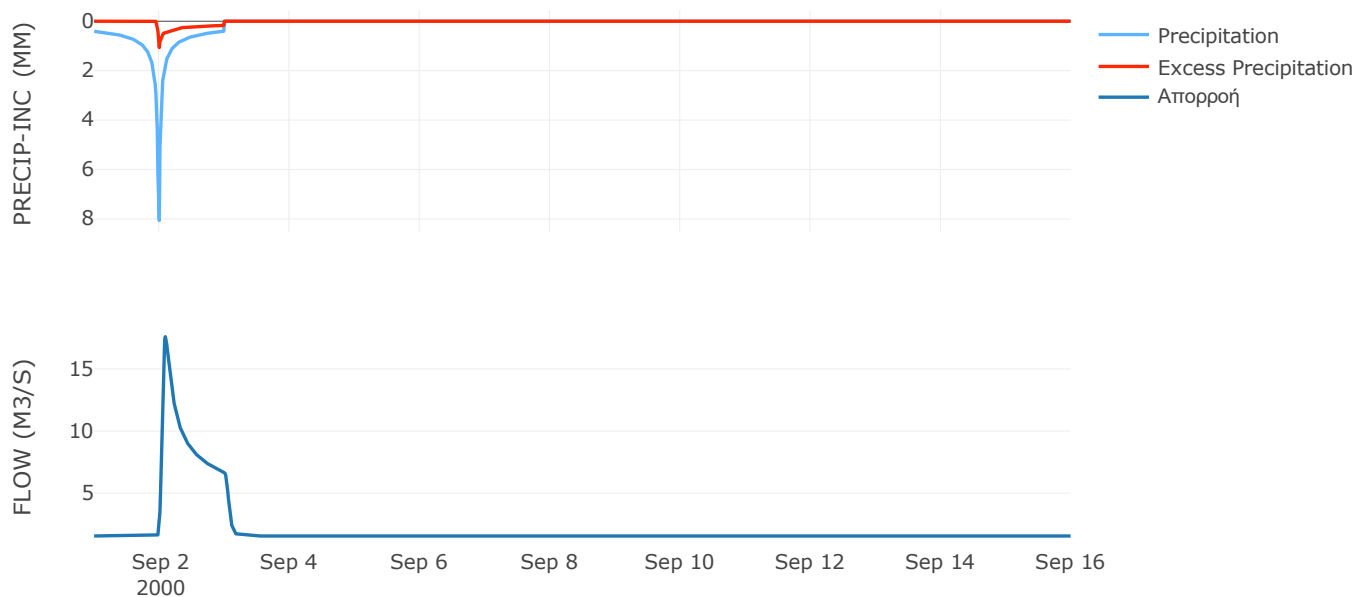
Μέθοδος
Μετασχηματισμού: SCS

Χρόνος Υστέρησης	86.8
------------------	------

Αποτελέσματα:
EL0512FR1033

Παροχή αιχμής (M3/S)	17.6
Χρονική στιγμή αιχμής	02Sep2000, 02:15
Όγκος (MM)	105.49
Όγκος βροχόπτωσης (M3)	4.84E6
Όγκος απωλειών (M3)	4.12E6
Ενεργός Όγκος (M3)	7.17E5
Όγκος άμεσης απορροής (M3)	7.17E5
Όγκος βασικής απορροής (M3)	2.01E6

Βροχόπτωση και Απορροή



Υπολεκάνη: EL0512FR1034

Έκταση (KM2) : 4.71

Κατάντη : J20

Μέθοδος Απωλειών: SCS

Ποσοστό αδιαπέρατης επιφάνειας	0
Αριθμός Καμπύλης Απορροής-CN	47.27
Αρχικές Απώλειες	56.68

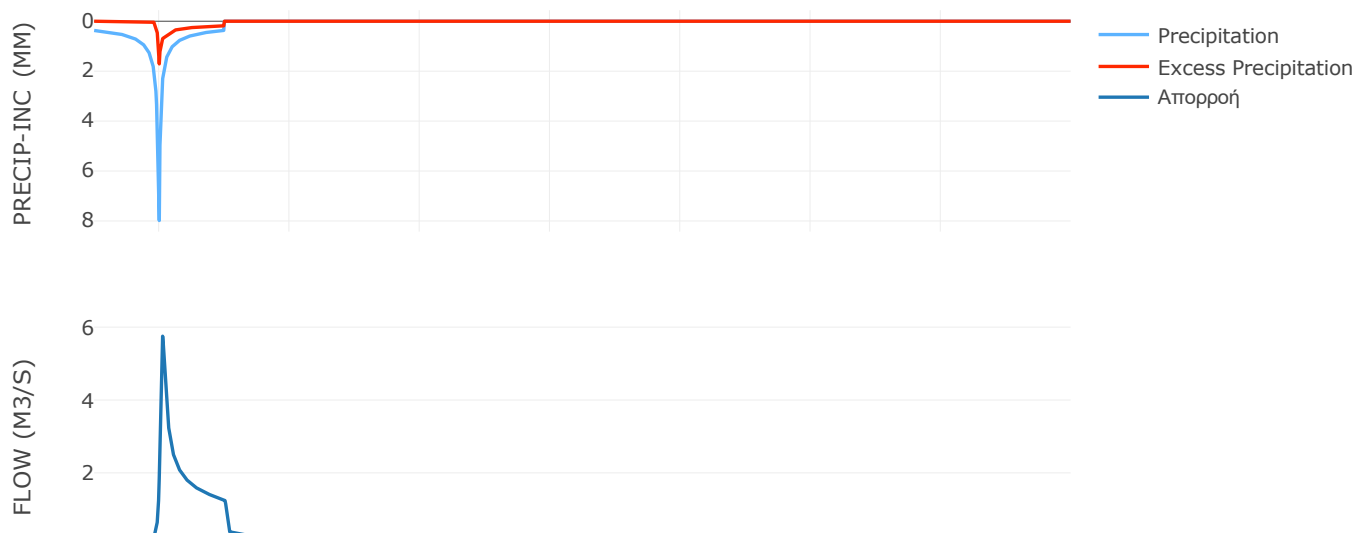
Μέθοδος
Μετασχηματισμού: SCS

Χρόνος Υστέρησης	52.06
------------------	-------

Αποτελέσματα:
EL0512FR1034

Παροχή αιχμής (M3/S)	5.75
Χρονική στιγμή αιχμής	02Sep2000, 01:15
Όγκος (MM)	112.88
Όγκος βροχόπτωσης (M3)	8.26E5
Όγκος απωλειών (M3)	6.61E5
Ενεργός Όγκος (M3)	1.65E5
Όγκος άμεσης απορροής (M3)	1.65E5
Όγκος βασικής απορροής (M3)	3.66E5

Βροχόπτωση και Απορροή



Υπολεκάνη: EL0512FR1035

Έκταση (KM2) : 3.15

Κατάντη : J16

Μέθοδος Απωλειών: SCS

Ποσοστό αδιαπέρατης επιφάνειας	0
Αριθμός Καμπύλης Απορροής-CN	52.2
Αρχικές Απώλειες	46.52

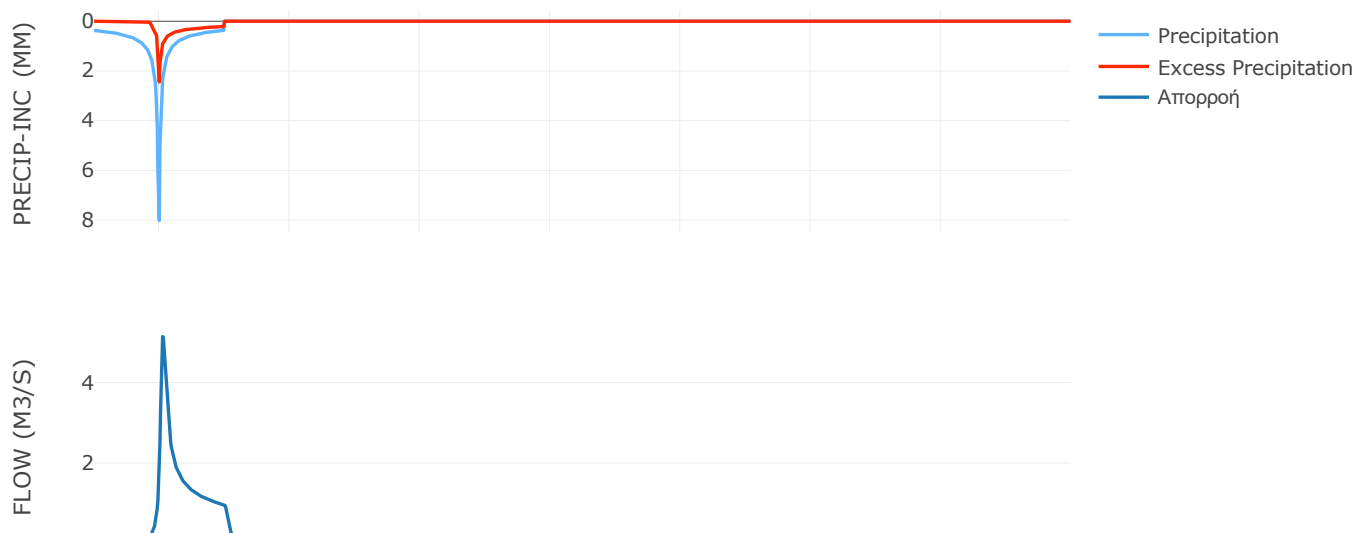
Μέθοδος
Μετασχηματισμού: SCS

Χρόνος Υστέρησης	64.02
------------------	-------

Αποτελέσματα:
EL0512FR1035

Παροχή αιχμής (M3/S)	5.14
Χρονική στιγμή αιχμής	02Sep2000, 01:15
Όγκος (MM)	123.79
Όγκος βροχόπτωσης (M3)	5.52E5
Όγκος απωλειών (M3)	4.07E5
Ενεργός Όγκος (M3)	1.45E5
Όγκος άμεσης απορροής (M3)	1.45E5
Όγκος βασικής απορροής (M3)	2.45E5

Βροχόπτωση και Απορροή



Υπολεκάνη: EL0512FR1036

Έκταση (KM2) : 1.14

Κατάντη : J16

Μέθοδος Απωλειών: SCS

Ποσοστό αδιαπέρατης επιφάνειας	0
Αριθμός Καμπύλης Απορροής-CN	61.73
Αρχικές Απώλειες	31.5

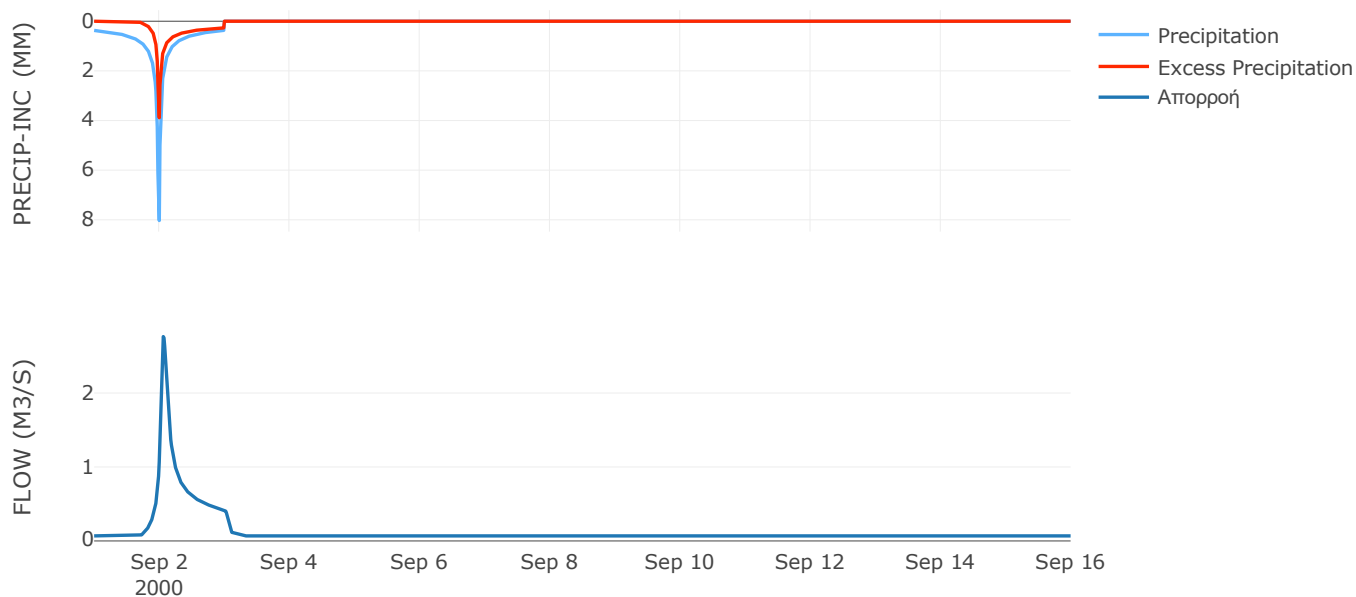
Μέθοδος
Μετασχηματισμού: SCS

Χρόνος Υστέρησης	80.84
------------------	-------

Αποτελέσματα:
EL0512FR1036

Παροχή αιχμής (M3/S)	2.76
Χρονική στιγμή αιχμής	02Sep2000, 01:30
Όγκος (MM)	147
Όγκος βροχόπτωσης (M3)	2E5
Όγκος απωλειών (M3)	1.21E5
Ενεργός Όγκος (M3)	78659.82
Όγκος άμεσης απορροής (M3)	78659.82
Όγκος βασικής απορροής (M3)	88335.36

Βροχόπτωση και Απορροή



Υπολεκάνη: EL0512FR1037

Έκταση (KM2) : 1.46

Κατάντη : J17

Μέθοδος Απωλειών: SCS

Ποσοστό αδιαπέρατης επιφάνειας	0
Αριθμός Καμπύλης Απορροής-CN	62.05
Αρχικές Απώλειες	31.08

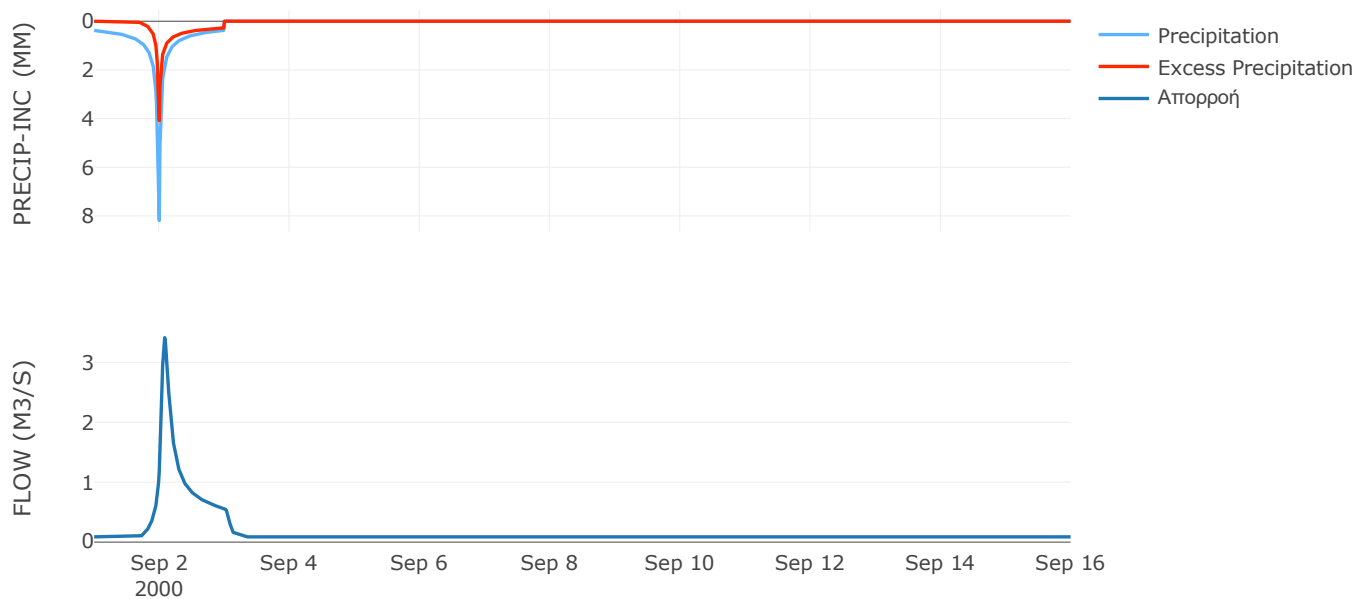
Μέθοδος
Μετασχηματισμού: SCS

Χρόνος Υστέρησης	101.61
------------------	--------

Αποτελέσματα:
EL0512FR1037

Παροχή αιχμής (M3/S)	3.41
Χρονική στιγμή αιχμής	02Sep2000, 02:00
Όγκος (MM)	150.25
Όγκος βροχόπτωσης (M3)	2.62E5
Όγκος απωλειών (M3)	1.56E5
Ενεργός Όγκος (M3)	1.06E5
Όγκος άμεσης απορροής (M3)	1.06E5
Όγκος βασικής απορροής (M3)	1.14E5

Βροχόπτωση και Απορροή



Υπολεκάνη: EL0512FR1038

Έκταση (KM2) : 10.02

Κατάντη : J17

Μέθοδος Απωλειών: SCS

Ποσοστό αδιαπέρατης επιφάνειας	0
Αριθμός Καμπύλης Απορροής-CN	52.93
Αρχικές Απώλειες	45.17

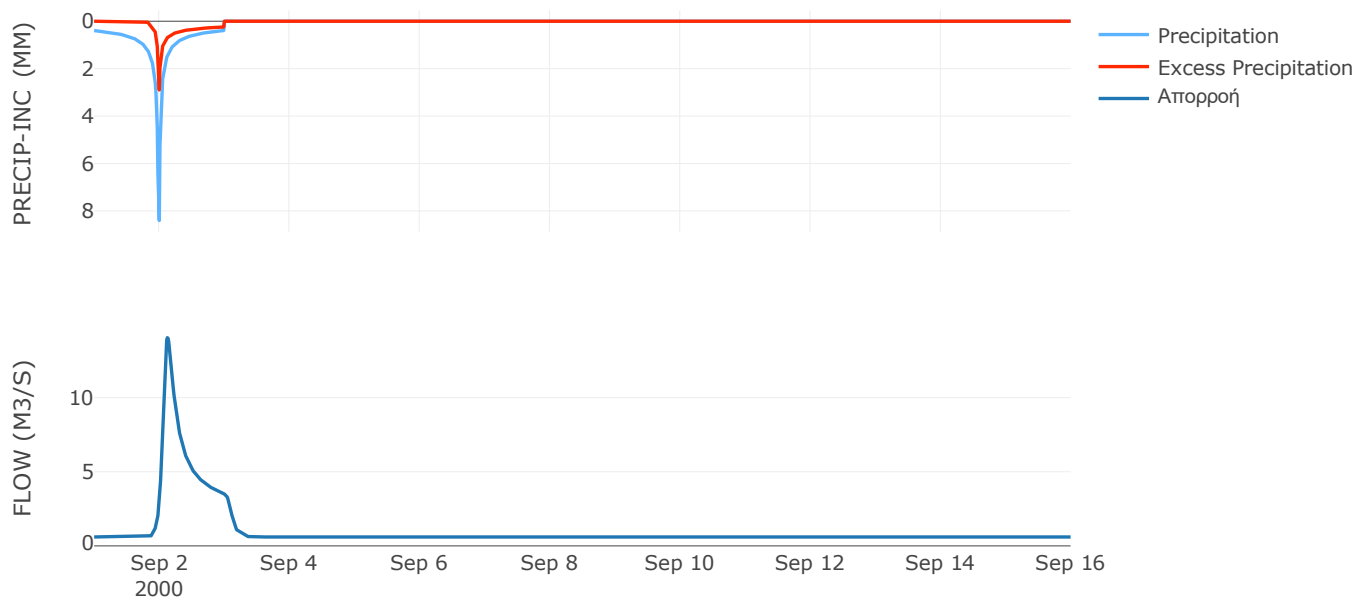
Μέθοδος
Μετασχηματισμού: SCS

Χρόνος Υστέρησης	145.96
------------------	--------

Αποτελέσματα:
EL0512FR1038

Παροχή αιχμής (M3/S)	14.05
Χρονική στιγμή αιχμής	02Sep2000, 03:00
Όγκος (MM)	131.7
Όγκος βροχόπτωσης (M3)	1.86E6
Όγκος απωλειών (M3)	1.32E6
Ενεργός Όγκος (M3)	5.4E5
Όγκος άμεσης απορροής (M3)	5.4E5
Όγκος βασικής απορροής (M3)	7.79E5

Βροχόπτωση και Απορροή



Υπολεκάνη: EL0512FR1039

Έκταση (KM2) : 30.28

Κατάντη : J15

Μέθοδος Απωλειών: SCS

Ποσοστό αδιαπέρατης επιφάνειας	0
Αριθμός Καμπύλης Απορροής-CN	45.8
Αρχικές Απώλειες	60.13

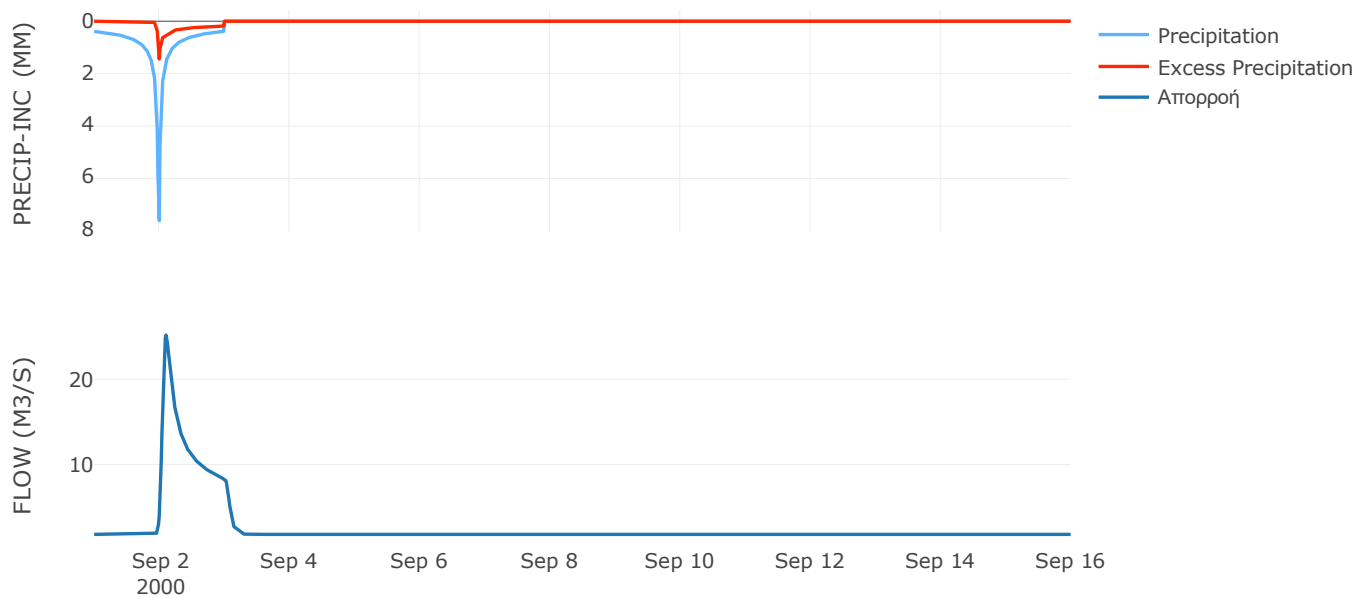
Μέθοδος
Μετασχηματισμού: SCS

Χρόνος Υστέρησης	105.41
------------------	--------

Αποτελέσματα:
EL0512FR1039

Παροχή αιχμής (M3/S)	25.16
Χρονική στιγμή αιχμής	02Sep2000, 02:30
Όγκος (MM)	110.5
Όγκος βροχόπτωσης (M3)	5.36E6
Όγκος απωλειών (M3)	4.37E6
Ενεργός Όγκος (M3)	9.91E5
Όγκος άμεσης απορροής (M3)	9.91E5
Όγκος βασικής απορροής (M3)	2.35E6

Βροχόπτωση και Απορροή



Υπολεκάνη: EL0512FR1040

Έκταση (KM2) : 14.45

Κατάνη : J16

Μέθοδος Απωλειών: SCS

Ποσοστό αδιαπέρατης επιφάνειας	0
Αριθμός Καμπύλης Απορροής-CN	42.81
Αρχικές Απώλειες	67.87

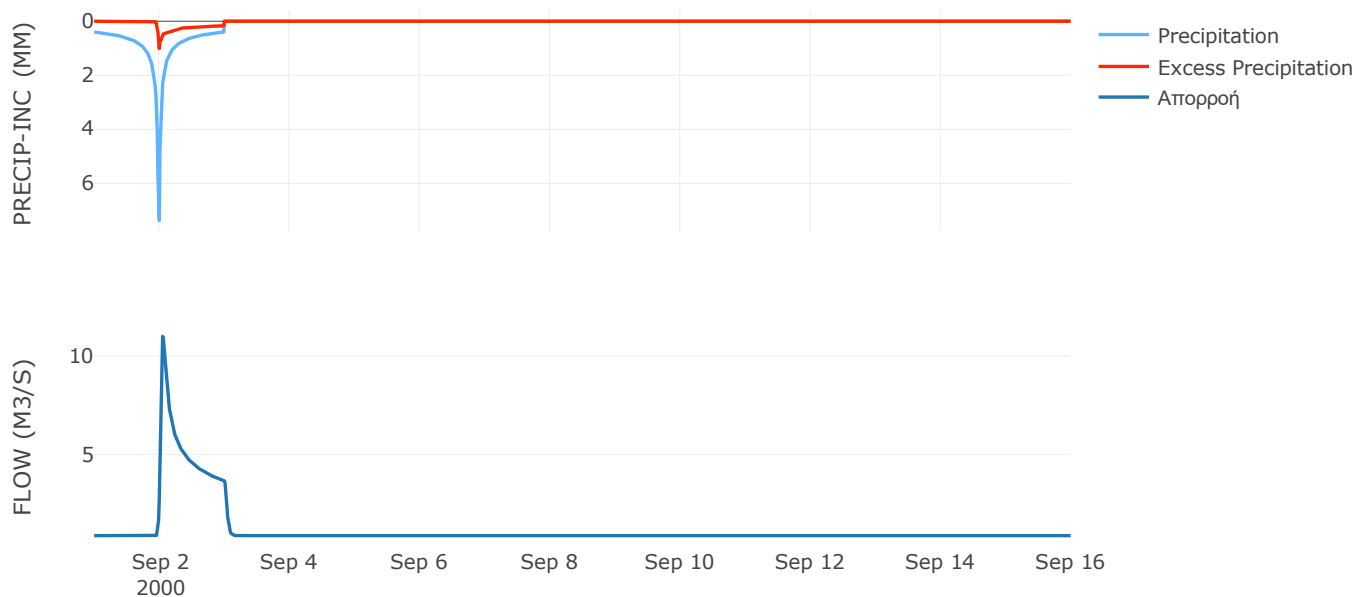
Μέθοδος
Μετασχηματισμού: SCS

Χρόνος Υστέρησης	50.65
------------------	-------

Αποτελέσματα:
EL0512FR1040

Παροχή αιχμής (M3/S)	10.99
Χρονική στιγμή αιχμής	02Sep2000, 01:15
Όγκος (MM)	104.82
Όγκος βροχόπτωσης (M3)	2.57E6
Όγκος απωλειών (M3)	2.18E6
Ενεργός Όγκος (M3)	3.91E5
Όγκος άμεσης απορροής (M3)	3.91E5
Όγκος βασικής απορροής (M3)	1.12E6

Βροχόπτωση και Απορροή



Υπολεκάνη: EL0512FR1041

Έκταση (KM2) : 37.27

Κατάντη : J29

Μέθοδος Απωλειών: SCS

Ποσοστό αδιαπέρατης επιφάνειας	0
Αριθμός Καμπύλης Απορροής-CN	42.85
Αρχικές Απώλειες	67.74

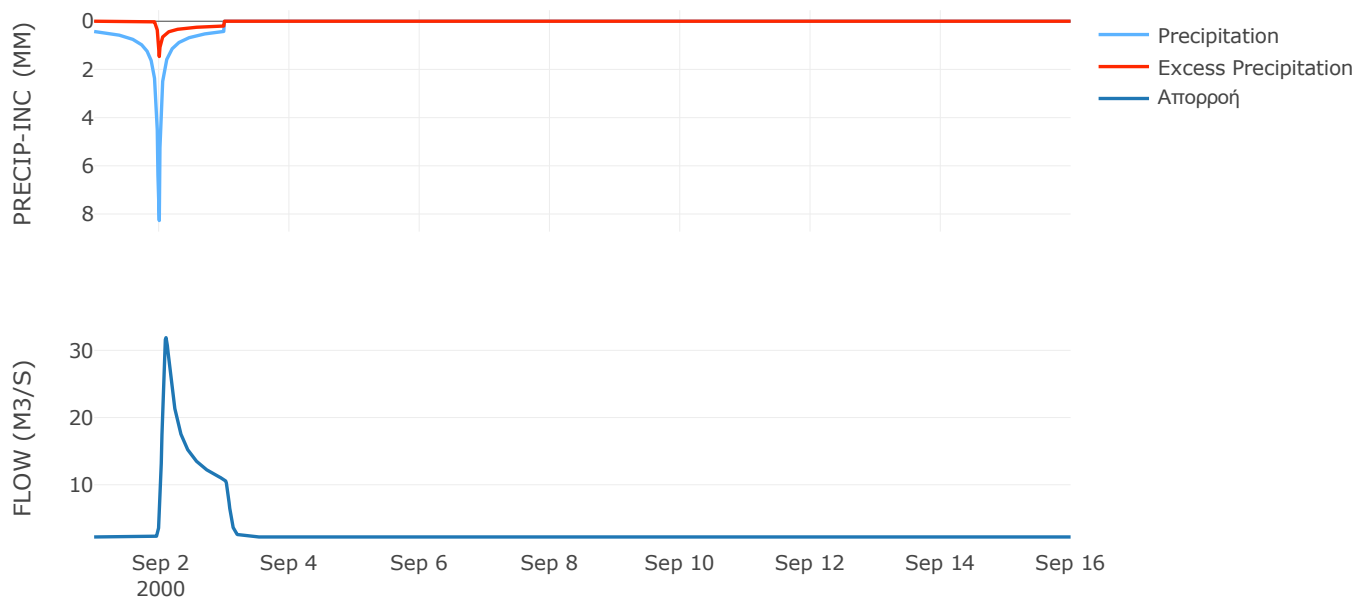
Μέθοδος
Μετασχηματισμού: SCS

Χρόνος Υστέρησης	102.57
------------------	--------

Αποτελέσματα:
EL0512FR1041

Παροχή αιχμής (M3/S)	31.88
Χρονική στιγμή αιχμής	02Sep2000, 02:30
Όγκος (MM)	112.14
Όγκος βροχόπτωσης (M3)	7.24E6
Όγκος απωλειών (M3)	5.96E6
Ενεργός Όγκος (M3)	1.28E6
Όγκος άμεσης απορροής (M3)	1.28E6
Όγκος βασικής απορροής (M3)	2.9E6

Βροχόπτωση και Απορροή



Υπολεκάνη: EL0512FR1042

Έκταση (KM2) : 72.53

Κατάντη : J20

Μέθοδος Απωλειών: SCS

Ποσοστό αδιαπέρατης επιφάνειας	0
Αριθμός Καμπύλης Απορροής-CN	38.35
Αρχικές Απώλειες	81.67

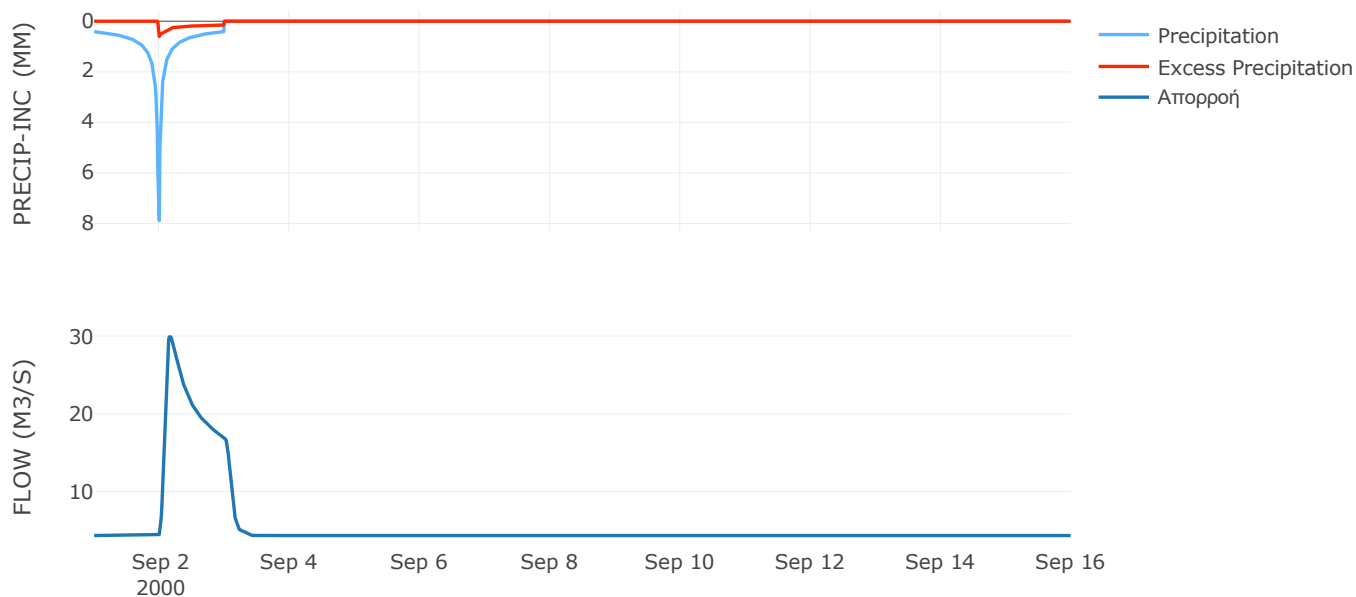
Μέθοδος
Μετασχηματισμού: SCS

Χρόνος Υστέρησης	130.98
------------------	--------

Αποτελέσματα:
EL0512FR1042

Παροχή αιχμής (M3/S)	29.97
Χρονική στιγμή αιχμής	02Sep2000, 04:00
Όγκος (MM)	99.15
Όγκος βροχόπτωσης (M3)	1.35E7
Όγκος απωλειών (M3)	1.2E7
Ενεργός Όγκος (M3)	1.55E6
Όγκος άμεσης απορροής (M3)	1.55E6
Όγκος βασικής απορροής (M3)	5.64E6

Βροχόπτωση και Απορροή



Υπολεκάνη: EL0512FR1043

Έκταση (KM2) : 13.21

Κατάντη : J21

Μέθοδος Απωλειών: SCS

Ποσοστό αδιαπέρατης επιφάνειας	0
Αριθμός Καμπύλης Απορροής-CN	33.59
Αρχικές Απώλειες	100.45

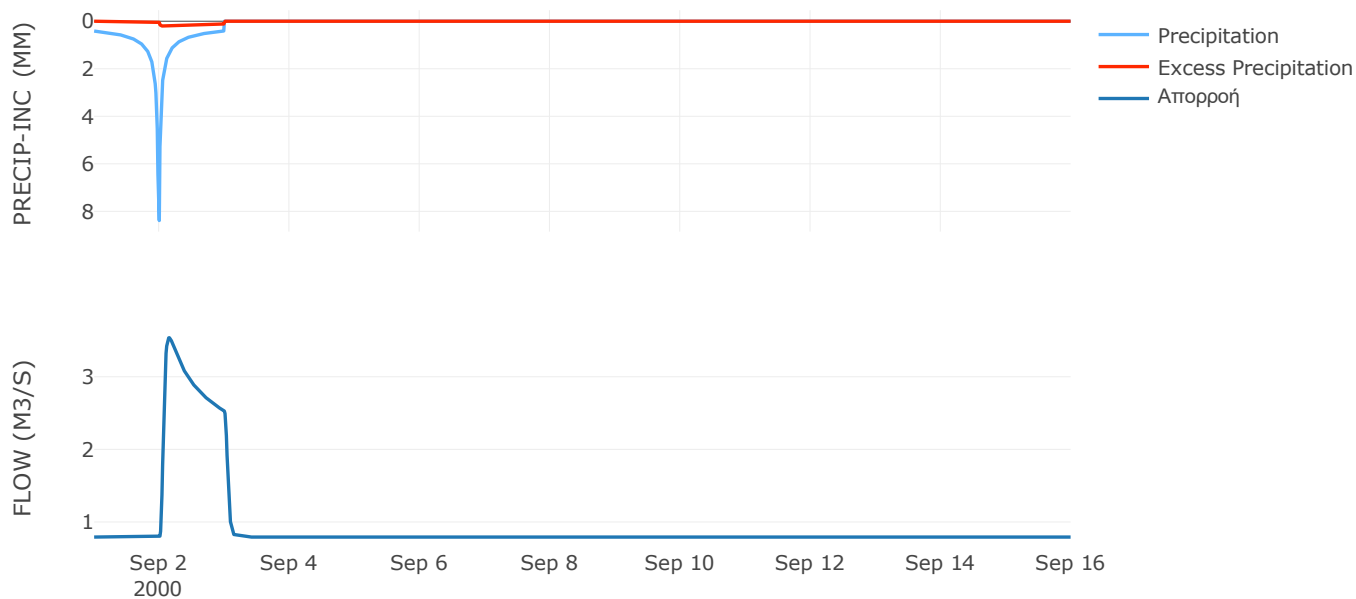
Μέθοδος
Μετασχηματισμού: SCS

Χρόνος Υστέρησης	62.78
------------------	-------

Αποτελέσματα:
EL0512FR1043

Παροχή αιχμής (M3/S)	3.54
Χρονική στιγμή αιχμής	02Sep2000, 03:45
Όγκος (MM)	91.74
Όγκος βροχόπτωσης (M3)	2.53E6
Όγκος απωλειών (M3)	2.34E6
Ενεργός Όγκος (M3)	1.85E5
Όγκος άμεσης απορροής (M3)	1.85E5
Όγκος βασικής απορροής (M3)	1.03E6

Βροχόπτωση και Απορροή



Υπολεκάνη: EL0512FR1044

Έκταση (KM2) : 23.96

Κατάντη : J19

Μέθοδος Απωλειών: SCS

Ποσοστό αδιαπέρατης επιφάνειας	0
Αριθμός Καμπύλης Απορροής-CN	34.47
Αρχικές Απώλειες	96.58

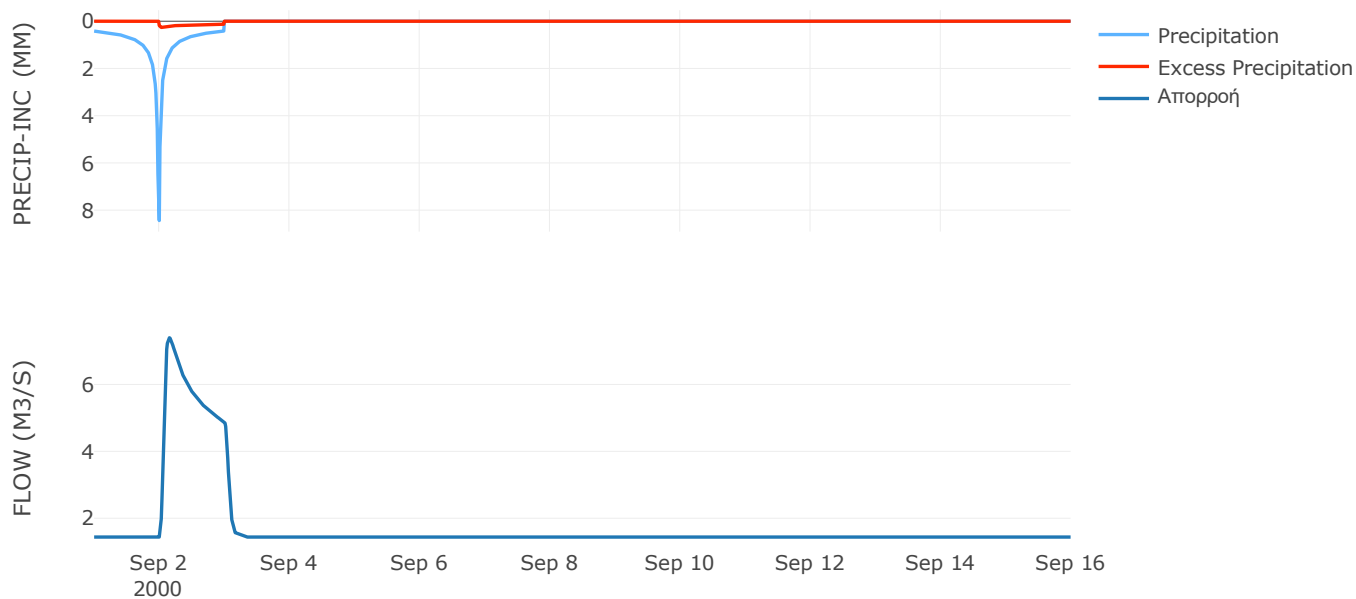
Μέθοδος
Μετασχηματισμού: SCS

Χρόνος Υστέρησης	83.39
------------------	-------

Αποτελέσματα:
EL0512FR1044

Παροχή αιχμής (M3/S)	7.4
Χρονική στιγμή αιχμής	02Sep2000, 03:45
Όγκος (MM)	93.84
Όγκος βροχόπτωσης (M3)	4.63E6
Όγκος απωλειών (M3)	4.24E6
Ενεργός Όγκος (M3)	3.85E5
Όγκος άμεσης απορροής (M3)	3.85E5
Όγκος βασικής απορροής (M3)	1.86E6

Βροχόπτωση και Απορροή



Υπολεκάνη: EL0512FR1045

Έκταση (KM2) : 15.22

Κατάντη : J18

Μέθοδος Απωλειών: SCS

Ποσοστό αδιαπέρατης επιφάνειας	0
Αριθμός Καμπύλης Απορροής-CN	31.51
Αρχικές Απώλειες	110.42

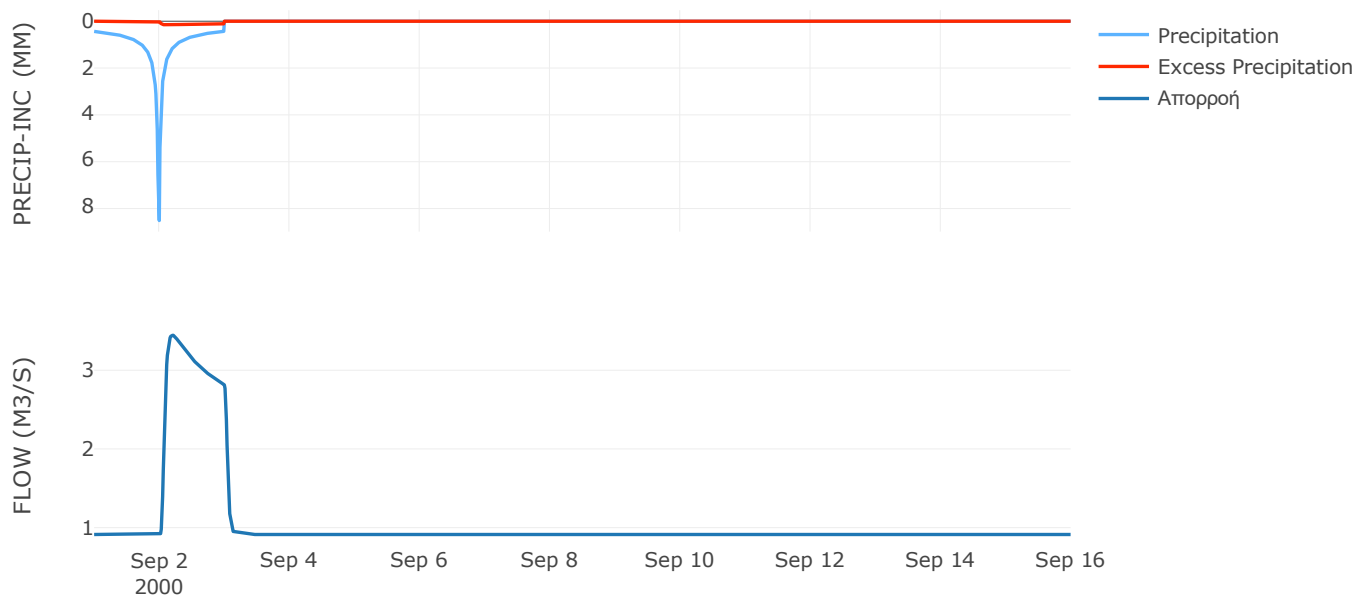
Μέθοδος
Μετασχηματισμού: SCS

Χρόνος Υστέρησης	57.98
------------------	-------

Αποτελέσματα:
EL0512FR1045

Παροχή αιχμής (M3/S)	3.45
Χρονική στιγμή αιχμής	02Sep2000, 04:45
Όγκος (MM)	89.96
Όγκος βροχόπτωσης (M3)	3.03E6
Όγκος απωλειών (M3)	2.84E6
Ενεργός Όγκος (M3)	1.86E5
Όγκος άμεσης απορροής (M3)	1.86E5
Όγκος βασικής απορροής (M3)	1.18E6

Βροχόπτωση και Απορροή



Υπολεκάνη: EL0512FR1046

Έκταση (KM2) : 123.67

Κατάντη : J19

Μέθοδος Απωλειών: SCS

Ποσοστό αδιαπέρατης επιφάνειας	0
Αριθμός Καμπύλης Απορροής-CN	40.12
Αρχικές Απώλειες	75.8

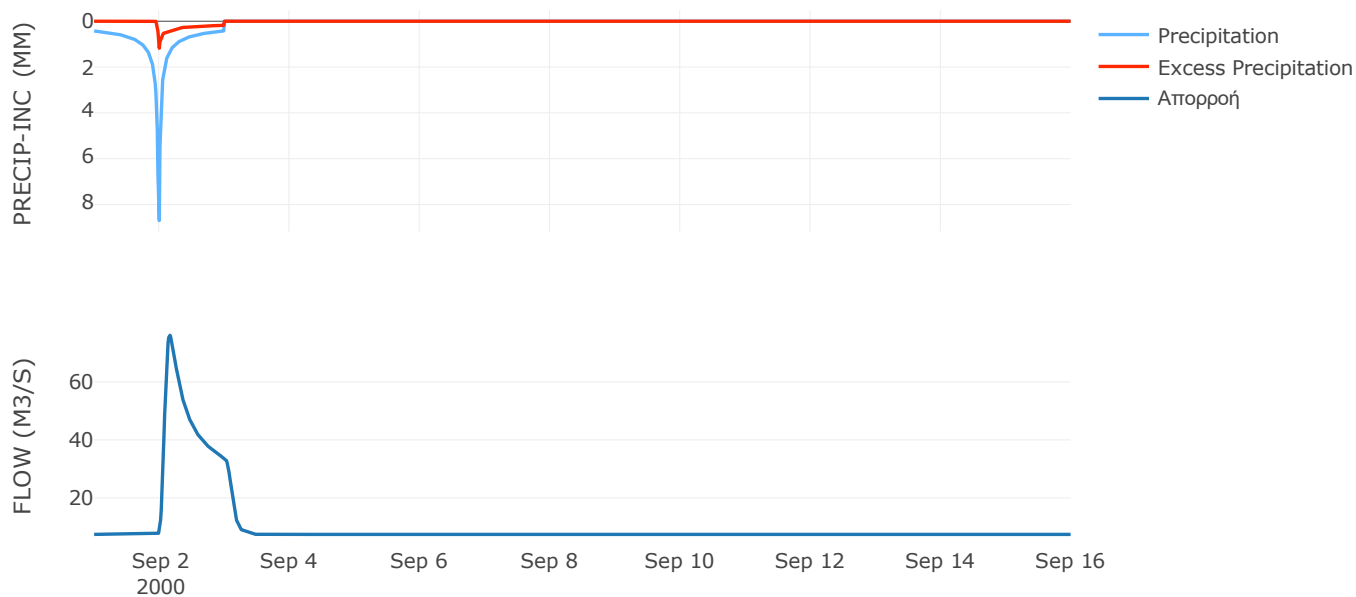
Μέθοδος
Μετασχηματισμού: SCS

Χρόνος Υστέρησης	150.57
------------------	--------

Αποτελέσματα:
EL0512FR1046

Παροχή αιχμής (M3/S)	76.13
Χρονική στιγμή αιχμής	02Sep2000, 03:45
Όγκος (MM)	107.36
Όγκος βροχόπτωσης (M3)	2.44E7
Όγκος απωλειών (M3)	2.08E7
Ενεργός Όγκος (M3)	3.66E6
Όγκος άμεσης απορροής (M3)	3.66E6
Όγκος βασικής απορροής (M3)	9.62E6

Βροχόπτωση και Απορροή



Υπολεκάνη: EL0512FR1047

Έκταση (KM2) : 46.41

Κατάνη : J11

Μέθοδος Απωλειών: SCS

Ποσοστό αδιαπέρατης επιφάνειας	0
Αριθμός Καμπύλης Απορροής-CN	36.7
Αρχικές Απώλειες	87.62

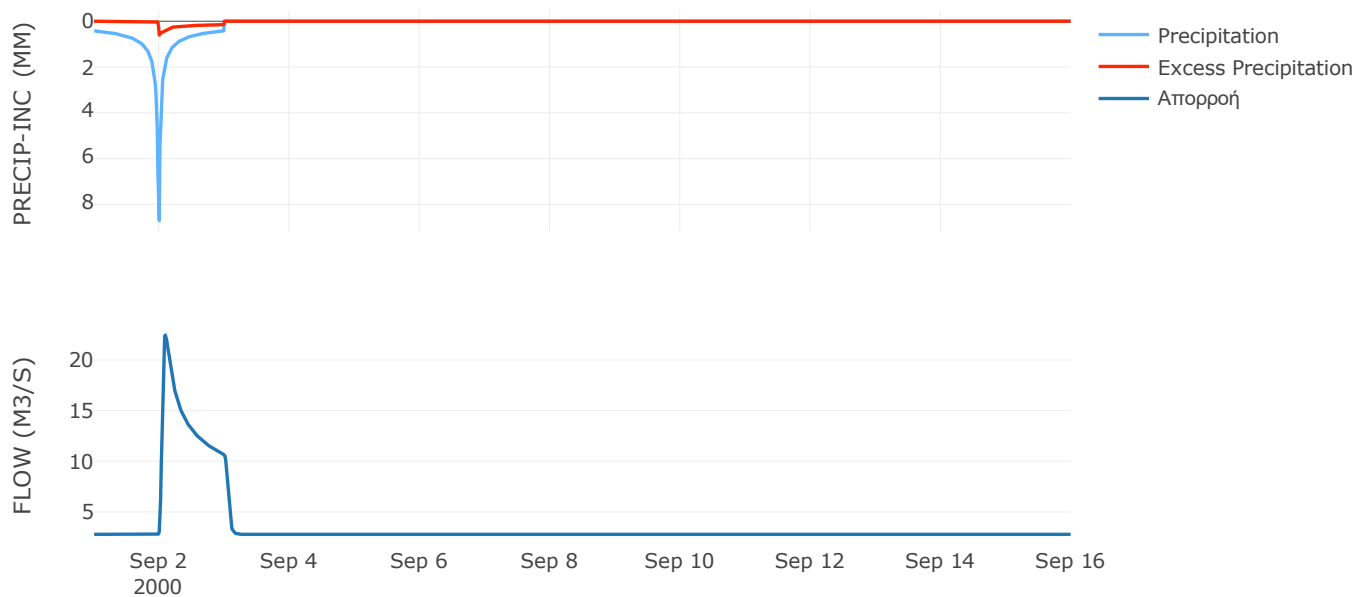
Μέθοδος
Μετασχηματισμού: SCS

Χρόνος Υστέρησης	68.04
------------------	-------

Αποτελέσματα:
EL0512FR1047

Παροχή αιχμής (M3/S)	22.47
Χρονική στιγμή αιχμής	02Sep2000, 02:15
Όγκος (MM)	99.28
Όγκος βροχόπτωσης (M3)	9.1E6
Όγκος απωλειών (M3)	8.1E6
Ενεργός Όγκος (M3)	9.98E5
Όγκος άμεσης απορροής (M3)	9.98E5
Όγκος βασικής απορροής (M3)	3.61E6

Βροχόπτωση και Απορροή



Υπολεκάνη: EL0512FR1048

Έκταση (KM2) : 6.43

Κατάντη : J14

Μέθοδος Απωλειών: SCS

Ποσοστό αδιαπέρατης επιφάνειας	0
Αριθμός Καμπύλης Απορροής-CN	43.71
Αρχικές Απώλειες	65.43

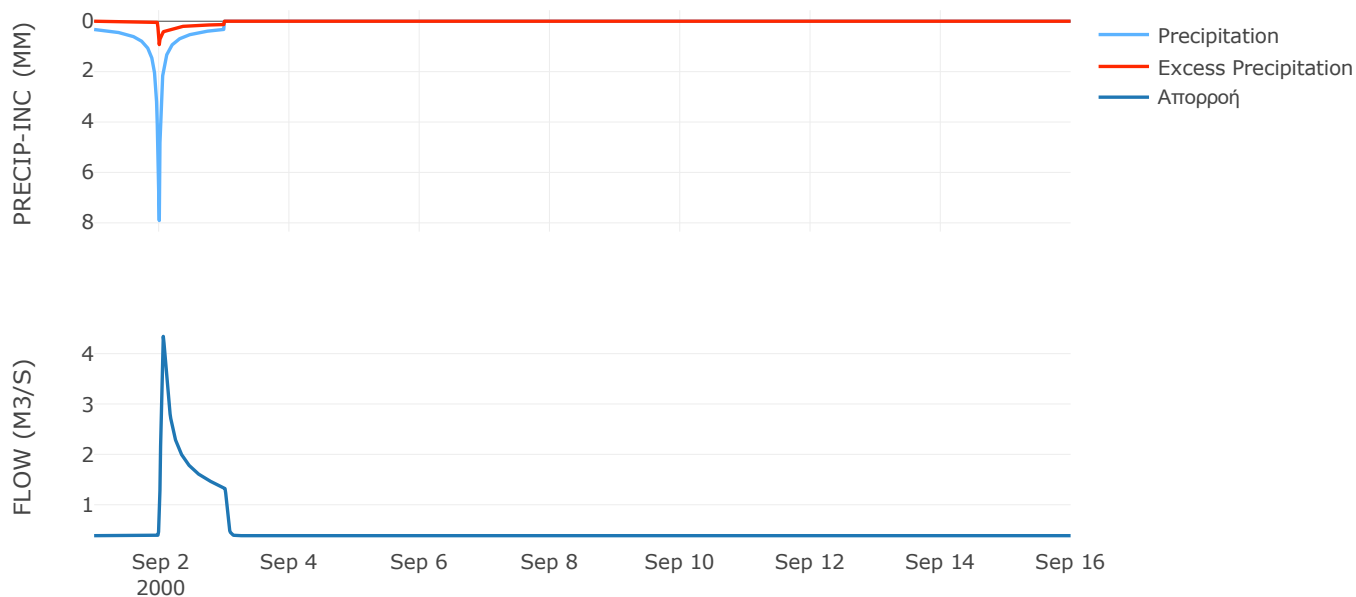
Μέθοδος
Μετασχηματισμού: SCS

Χρόνος Υστέρησης	52.3
------------------	------

Αποτελέσματα:
EL0512FR1048

Παροχή αιχμής (M3/S)	4.34
Χρονική στιγμή αιχμής	02Sep2000, 01:30
Όγκος (MM)	100.02
Όγκος βροχόπτωσης (M3)	1.05E6
Όγκος απωλειών (M3)	9.03E5
Ενεργός Όγκος (M3)	1.43E5
Όγκος άμεσης απορροής (M3)	1.43E5
Όγκος βασικής απορροής (M3)	5E5

Βροχόπτωση και Απορροή



Υπολεκάνη: EL0512FR1049

Έκταση (KM2) : 4.8

Κατάντη : J12

Μέθοδος Απωλειών: SCS

Ποσοστό αδιαπέρατης επιφάνειας	0
Αριθμός Καμπύλης Απορροής-CN	60.9
Αρχικές Απώλειες	32.62

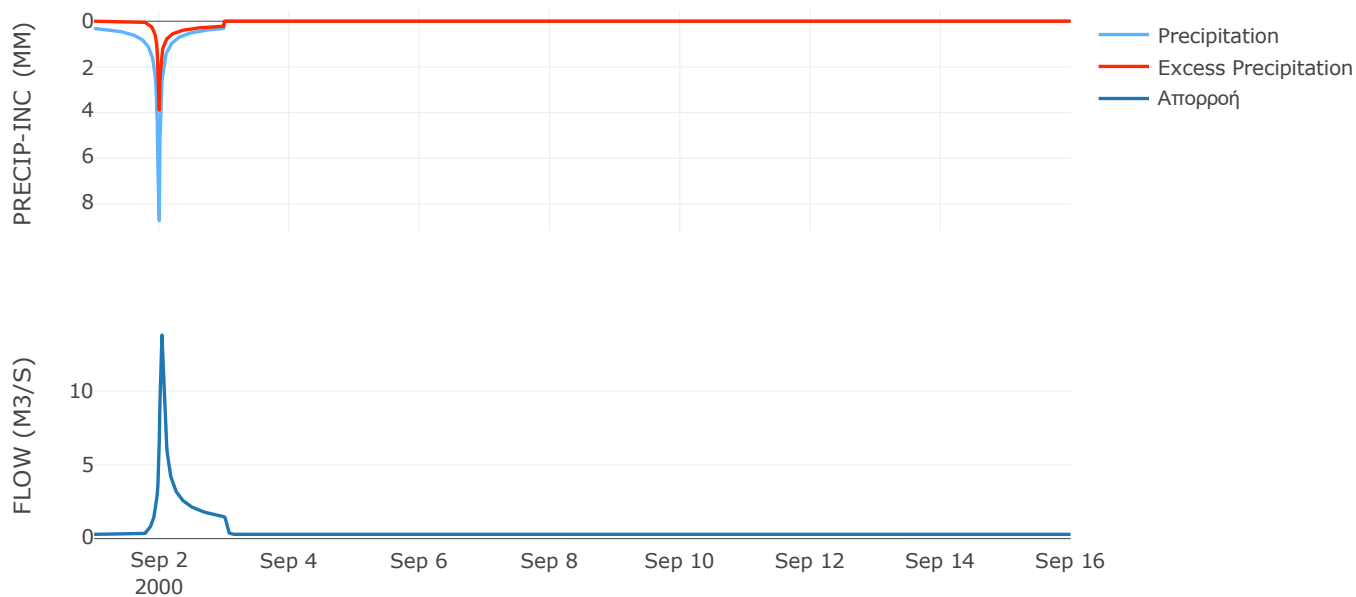
Μέθοδος
Μετασχηματισμού: SCS

Χρόνος Υστέρησης	44.56
------------------	-------

Αποτελέσματα:
EL0512FR1049

Παροχή αιχμής (M3/S)	13.8
Χρονική στιγμή αιχμής	02Sep2000, 01:00
Όγκος (MM)	137.41
Όγκος βροχόπτωσης (M3)	7.95E5
Όγκος απωλειών (M3)	5.08E5
Ενεργός Όγκος (M3)	2.87E5
Όγκος άμεσης απορροής (M3)	2.87E5
Όγκος βασικής απορροής (M3)	3.74E5

Βροχόπτωση και Απορροή



Υπολεκάνη: EL0512FR1050

Έκταση (KM2) : 8.16

Κατάντη : J8

Μέθοδος Απωλειών: SCS

Ποσοστό αδιαπέρατης επιφάνειας	0
Αριθμός Καμπύλης Απορροής-CN	32.84
Αρχικές Απώλειες	103.9

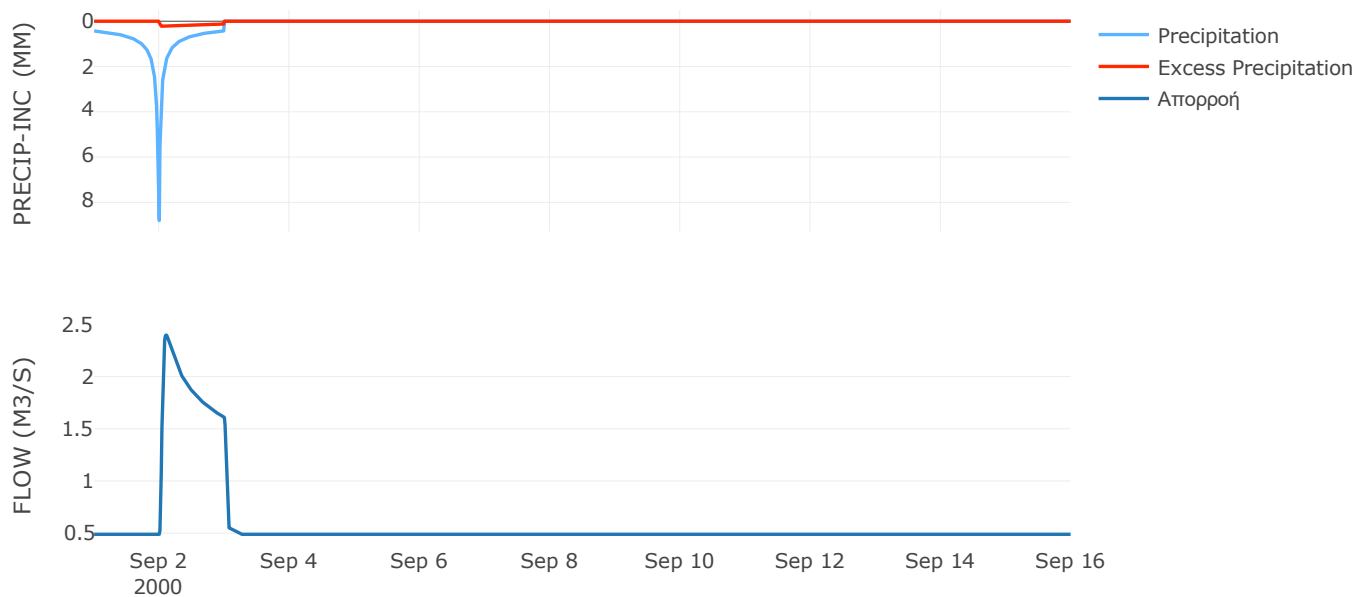
Μέθοδος
Μετασχηματισμού: SCS

Χρόνος Υστέρησης	37.43
------------------	-------

Αποτελέσματα:
EL0512FR1050

Παροχή αιχμής (M3/S)	2.4
Χρονική στιγμή αιχμής	02Sep2000, 02:30
Όγκος (MM)	92.66
Όγκος βροχόπτωσης (M3)	1.63E6
Όγκος απωλειών (M3)	1.51E6
Ενεργός Όγκος (M3)	1.22E5
Όγκος άμεσης απορροής (M3)	1.22E5
Όγκος βασικής απορροής (M3)	6.35E5

Βροχόπτωση και Απορροή



Υπολεκάνη: EL0512FR1051

Έκταση (KM2) : 3.84

Κατάντη : J3

Μέθοδος Απωλειών: SCS

Ποσοστό αδιαπέρατης επιφάνειας	0
Αριθμός Καμπύλης Απορροής-CN	61
Αρχικές Απώλειες	32.48

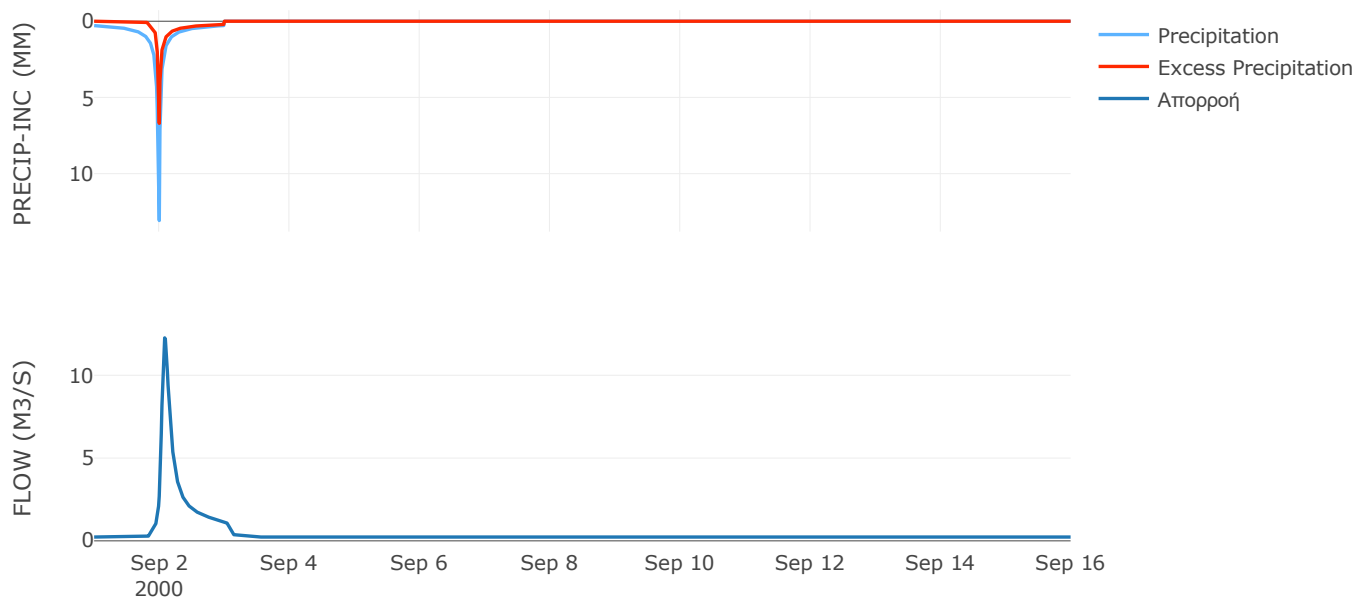
Μέθοδος
Μετασχηματισμού: SCS

Χρόνος Υστέρησης	107.54
------------------	--------

Αποτελέσματα:
EL0512FR1051

Παροχή αιχμής (M3/S)	12.26
Χρονική στιγμή αιχμής	02Sep2000, 02:00
Όγκος (MM)	153.32
Όγκος βροχόπτωσης (M3)	7.19E5
Όγκος απωλειών (M3)	4.29E5
Ενεργός Όγκος (M3)	2.9E5
Όγκος άμεσης απορροής (M3)	2.9E5
Όγκος βασικής απορροής (M3)	2.98E5

Βροχόπτωση και Απορροή



3.2 Δεδομένα και υδρογραφήματα σχεδιασμού Κλάδων υδρογραφικού δικτύου

Κλάδος: R21

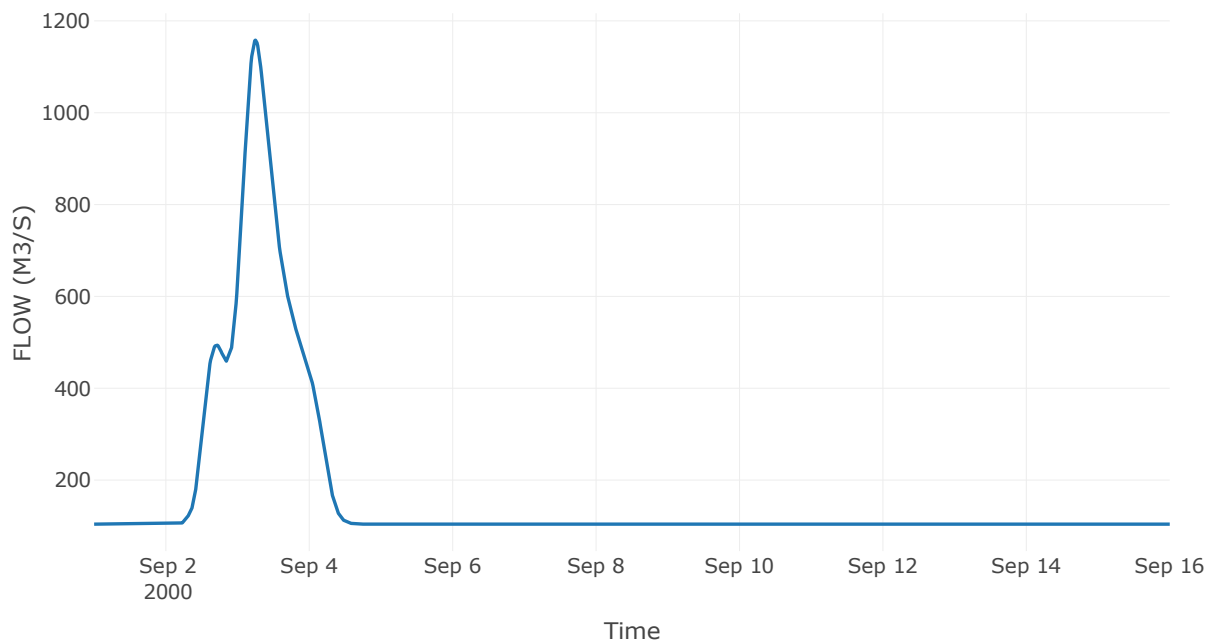
Κατάντη : J1

Μέθοδος Διόδευσης	Muskingum
Αρχική Μεταβλητή	Combined Inflow
Χρόνος Ροής Κ	5.87
Συντελεστής βάρους α	0.2
Πλήθος Υποκλάδων	23

Αποτελέσματα: R21

Παροχή Αιχμής (M3/S)	1158.06
Χρονική στιγμή αιχμής	03Sep2000, 06:00
Όγκος (MM)	124.96
Παροχή Αιχμής Εισόδου (M3/S)	1179.92
Όγκος Εισροής (M3)	2.17E8

Απορροή



Κλάδος: R32

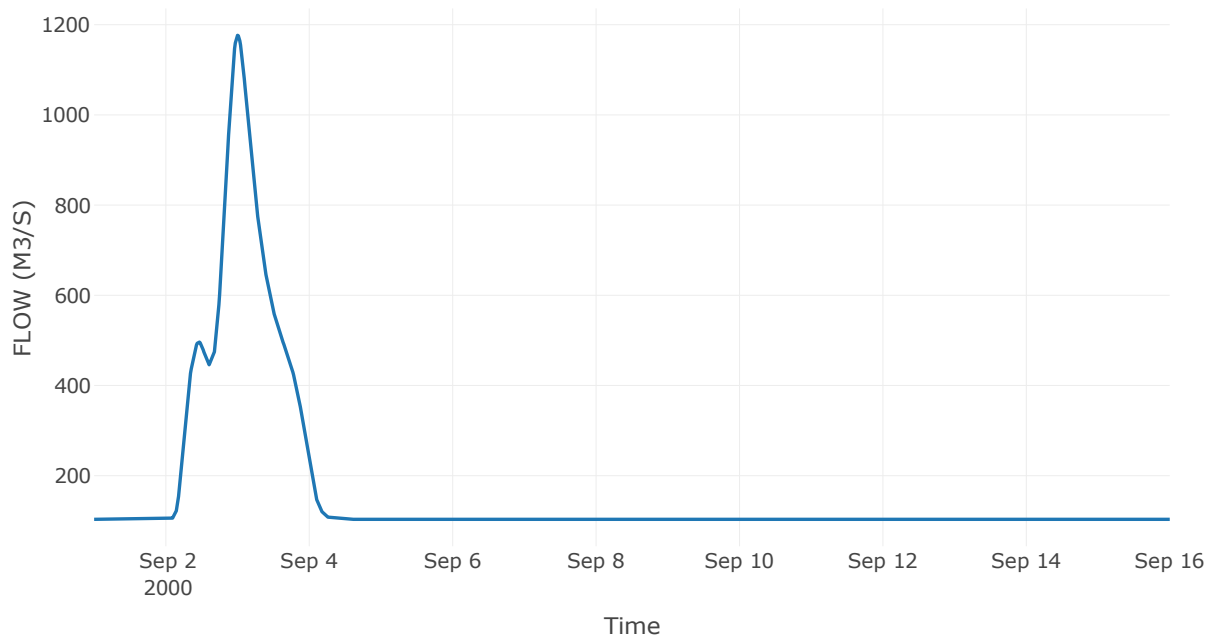
Κατάντη : J2

Μέθοδος Διόδευσης	Muskingum
Αρχική Μεταβλητή	Combined Inflow
Χρόνος Ροής Κ	3.56
Συντελεστής βάρους α	0.2
Πλήθος Υποκλάδων	14

Αποτελέσματα: R32

Παροχή Αιχμής (M3/S)	1176.46
Χρονική στιγμή αιχμής	02Sep2000, 24:00
Όγκος (MM)	124.94
Παροχή Αιχμής Εισόδου (M3/S)	1191.55
Όγκος Εισροής (M3)	2.15E8

Απορροή



Κλάδος: R43

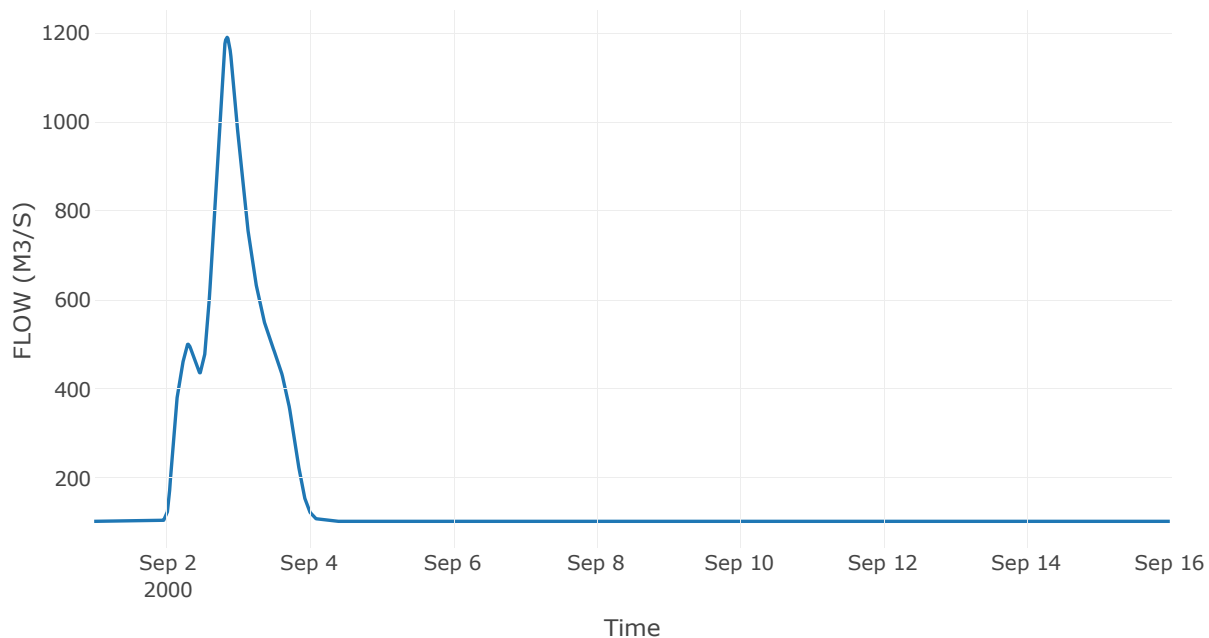
Κατάντη : J3

Μέθοδος Διόδευσης	Muskingum
Αρχική Μεταβλητή	Combined Inflow
Χρόνος Ροής Κ	0.62
Συντελεστής βάρους α	0.2
Πλήθος Υποκλάδων	2

Αποτελέσματα: R43

Παροχή Αιχμής (M3/S)	1190.23
Χρονική στιγμή αιχμής	02Sep2000, 20:30
Όγκος (MM)	124.88
Παροχή Αιχμής Εισόδου (M3/S)	1193.67
Όγκος Εισροής (M3)	2.14E8

Απορροή



Κλάδος: R54

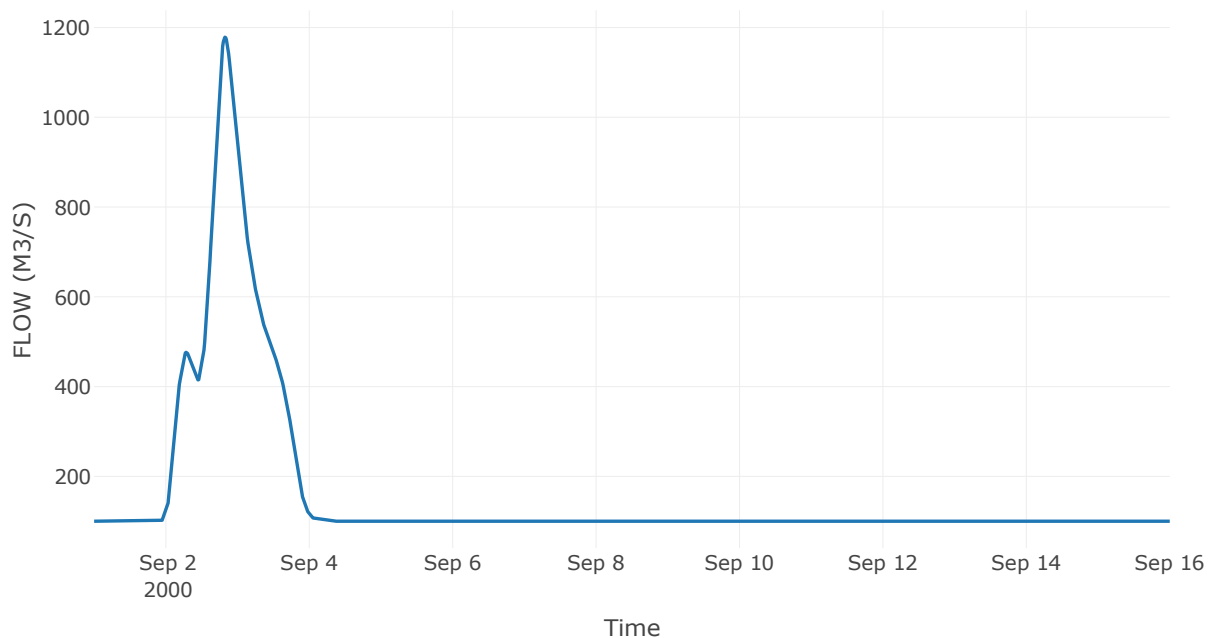
Κατάντη : J4

Μέθοδος Διόδευσης	Muskingum
Αρχική Μεταβλητή	Combined Inflow
Χρόνος Ροής K	0.23
Συντελεστής βάρους x	0.2
Πλήθος Υποκλάδων	1

Αποτελέσματα: R54

Παροχή Αιχμής (M3/S)	1178.39
Χρονική στιγμή αιχμής	02Sep2000, 19:45
Όγκος (MM)	125.11
Παροχή Αιχμής Εισόδου (M3/S)	1179.22
Όγκος Εισροής (M3)	2.08E8

Απορροή



Κλάδος: R65

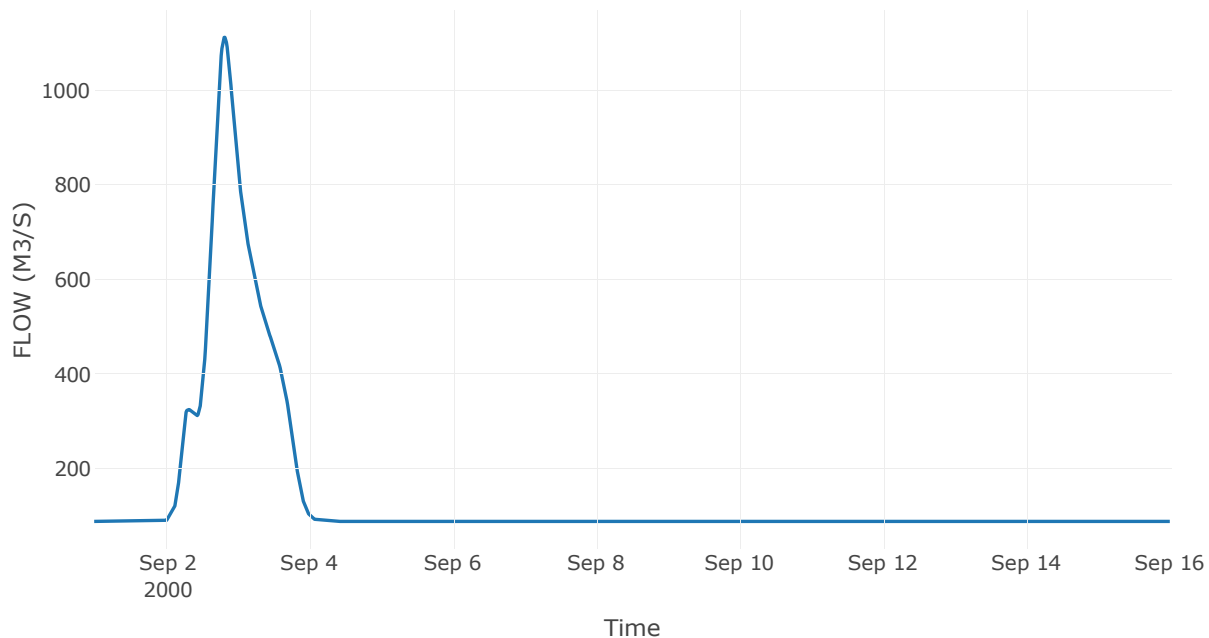
Κατάντη : J5

Μέθοδος Διόδευσης	Muskingum
Αρχική Μεταβλητή	Combined Inflow
Χρόνος Ροής Κ	2.31
Συντελεστής βάρους α	0.2
Πλήθος Υποκλάδων	9

Αποτελέσματα: R65

Παροχή Αιχμής (M3/S)	1111.91
Χρονική στιγμή αιχμής	02Sep2000, 19:30
Όγκος (MM)	124.86
Παροχή Αιχμής Εισόδου (M3/S)	1123.78
Όγκος Εισροής (M3)	1.85E8

Απορροή



Κλάδος: R76

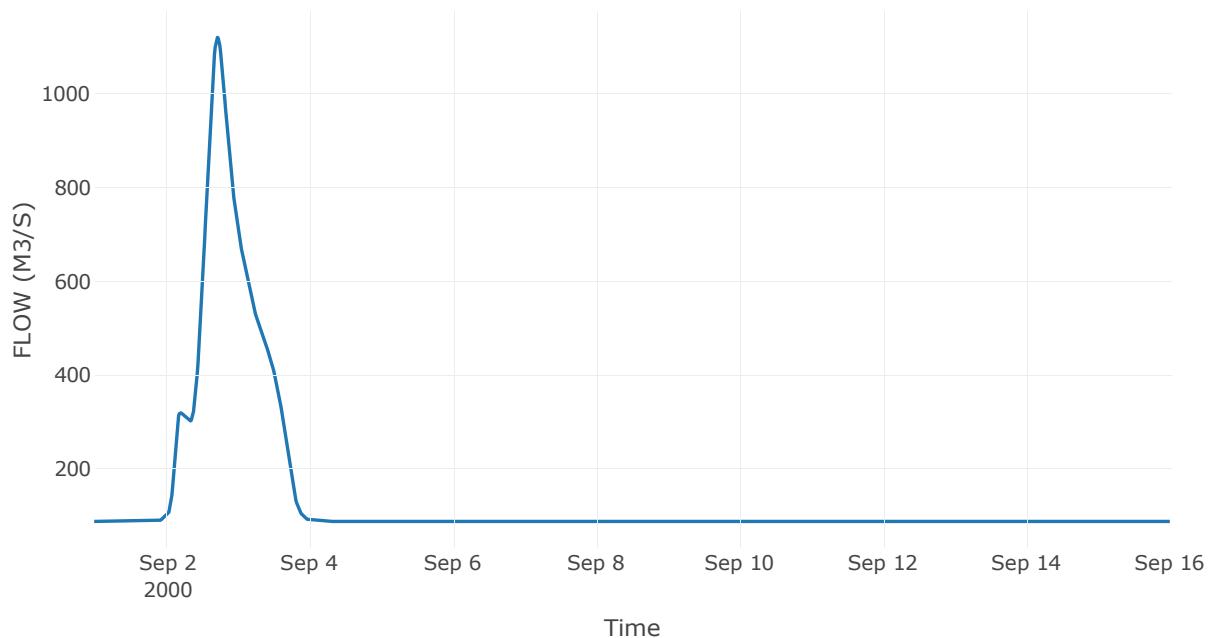
Κατάντη : J6

Μέθοδος Διόδευσης	Muskingum
Αρχική Μεταβλητή	Combined Inflow
Χρόνος Ροής Κ	1.99
Συντελεστής βάρους α	0.2
Πλήθος Υποκλάδων	8

Αποτελέσματα: R76

Παροχή Αιχμής (M3/S)	1119.68
Χρονική στιγμή αιχμής	02Sep2000, 17:15
Όγκος (MM)	124.86
Παροχή Αιχμής Εισόδου (M3/S)	1130.09
Όγκος Εισροής (M3)	1.83E8

Απορροή



Κλάδος: R87

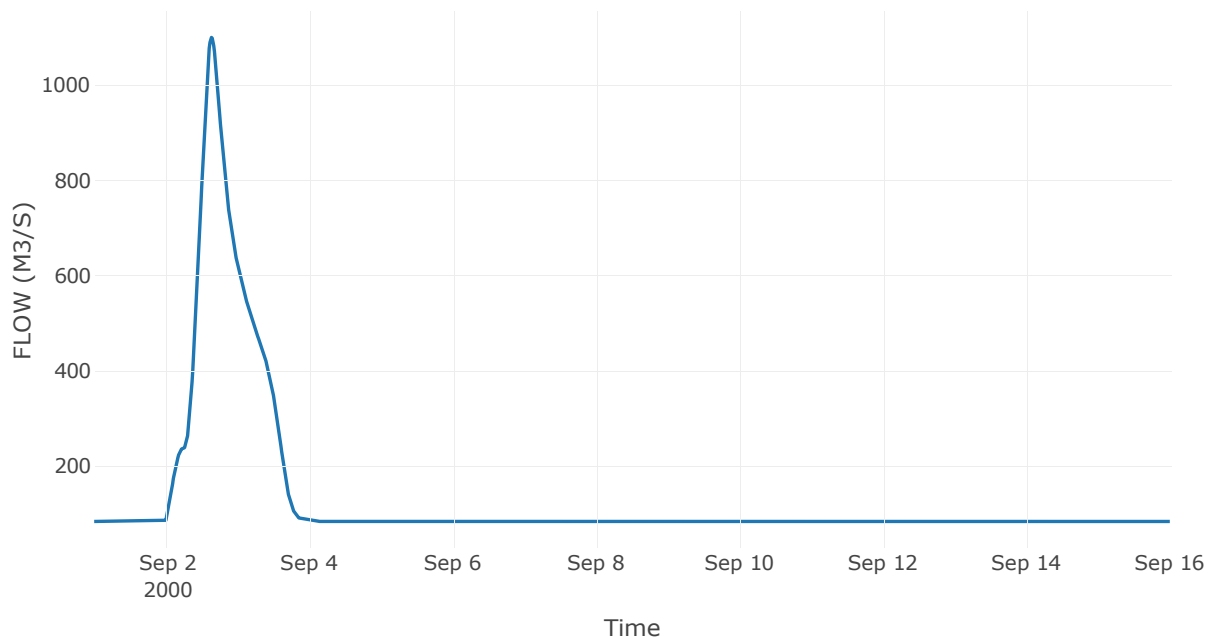
Κατάντη : J7

Μέθοδος Διόδευσης	Muskingum
Αρχική Μεταβλητή	Combined Inflow
Χρόνος Ροής K	1.06
Συντελεστής βάρους x	0.2
Πλήθος Υποκλάδων	4

Αποτελέσματα: R87

Παροχή Αιχμής (M3/S)	1099.84
Χρονική στιγμή αιχμής	02Sep2000, 15:15
Όγκος (MM)	123.89
Παροχή Αιχμής Εισόδου (M3/S)	1106.19
Όγκος Εισροής (M3)	1.74E8

Απορροή



Κλάδος: R98

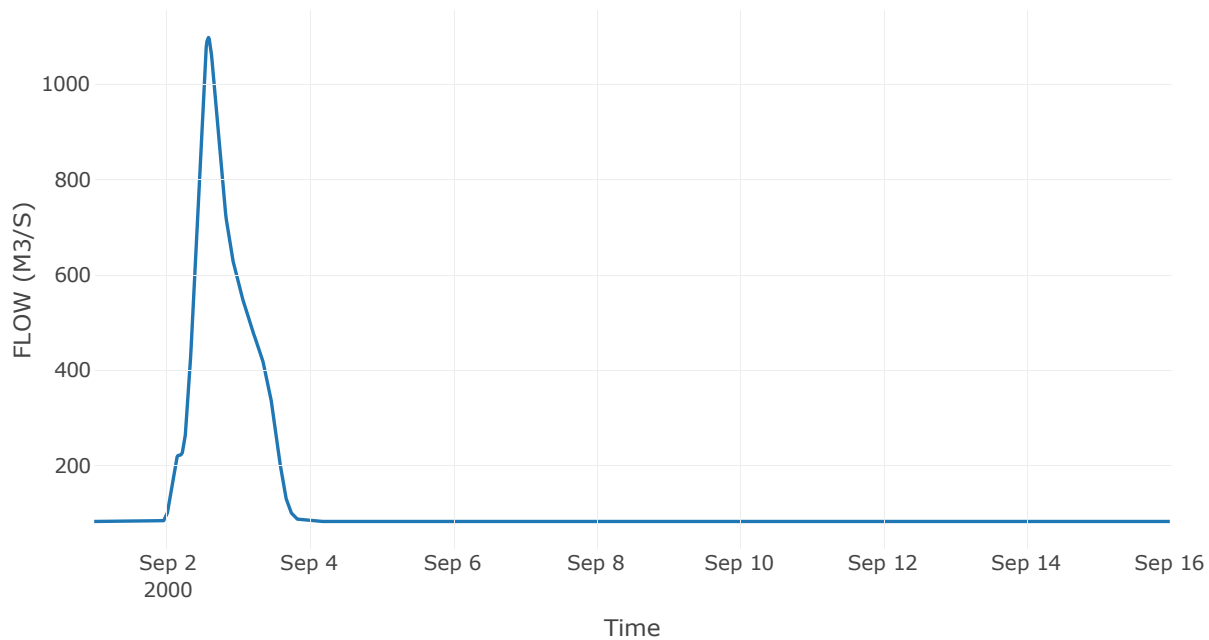
Κατάντη : J8

Μέθοδος Διόδευσης	Muskingum
Αρχική Μεταβλητή	Combined Inflow
Χρόνος Ροής K	0.44
Συντελεστής βάρους x	0.2
Πλήθος Υποκλάδων	2

Αποτελέσματα: R98

Παροχή Αιχμής (M3/S)	1097.93
Χρονική στιγμή αιχμής	02Sep2000, 14:15
Όγκος (MM)	124.05
Παροχή Αιχμής Εισόδου (M3/S)	1100.28
Όγκος Εισροής (M3)	1.71E8

Απορροή



Κλάδος: R109

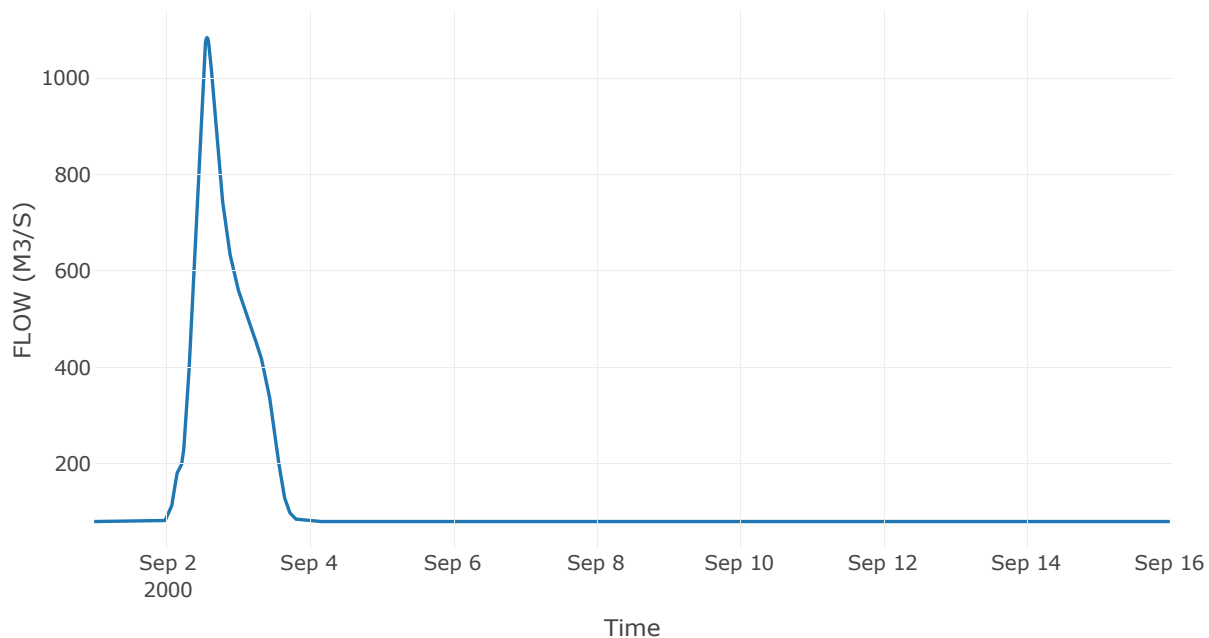
Κατάντη : J9

Μέθοδος Διόδευσης	Muskingum
Αρχική Μεταβλητή	Combined Inflow
Χρόνος Ροής K	1.99
Συντελεστής βάρους x	0.2
Πλήθος Υποκλάδων	8

Αποτελέσματα: R109

Παροχή Αιχμής (M3/S)	1084.28
Χρονική στιγμή αιχμής	02Sep2000, 13:45
Όγκος (MM)	123.94
Παροχή Αιχμής Εισόδου (M3/S)	1096.77
Όγκος Εισροής (M3)	1.66E8

Απορροή



Κλάδος: R1110

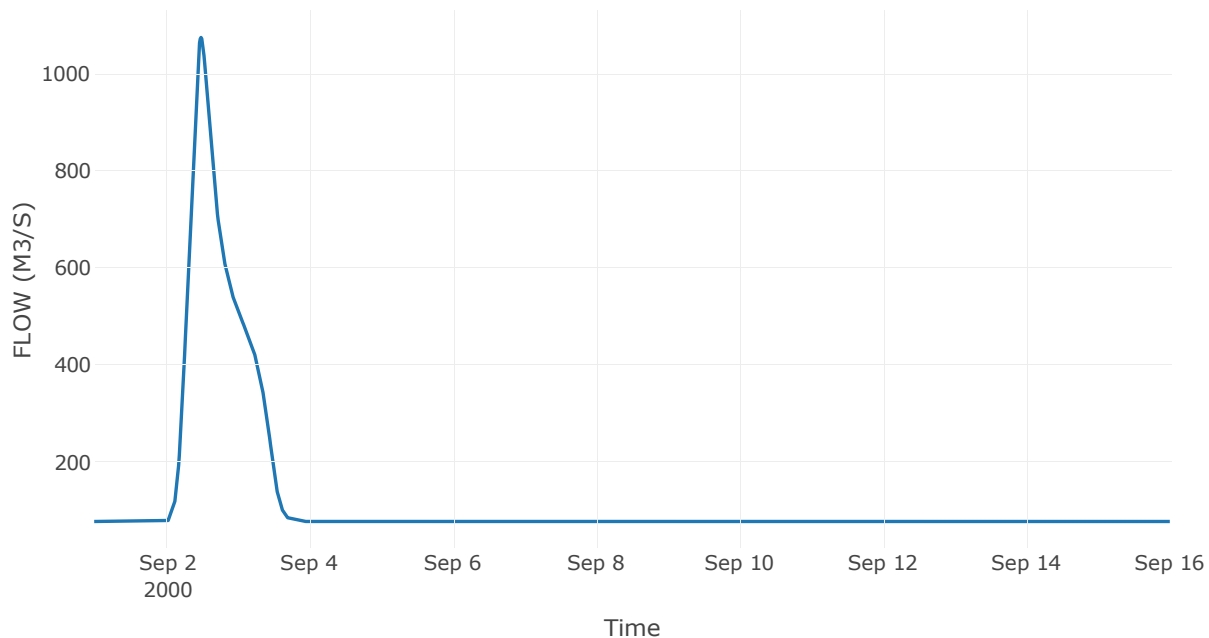
Κατάντη : J10

Μέθοδος Διόδευσης	Muskingum
Αρχική Μεταβλητή	Combined Inflow
Χρόνος Ροής Κ	1.61
Συντελεστής βάρους α	0.2
Πλήθος Υποκλάδων	6

Αποτελέσματα: R1110

Παροχή Αιχμής (M3/S)	1075.36
Χρονική στιγμή αιχμής	02Sep2000, 11:45
Όγκος (MM)	123.46
Παροχή Αιχμής Εισόδου (M3/S)	1086.97
Όγκος Εισροής (M3)	1.6E8

Απορροή



Κλάδος: R1223

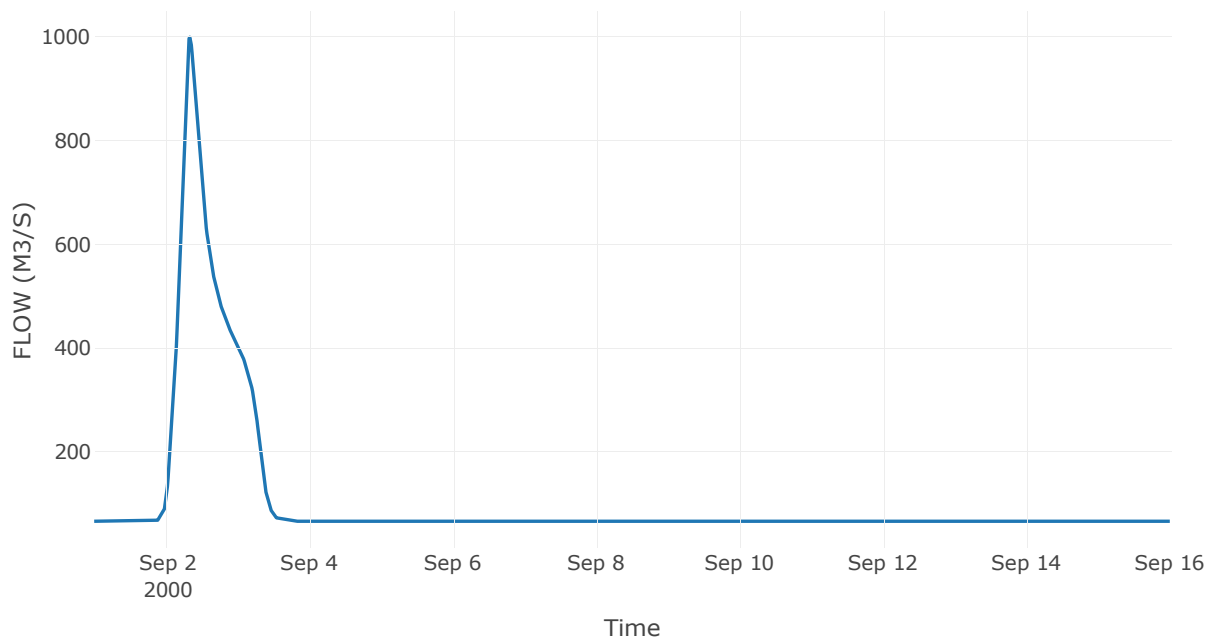
Κατάντη : J23

Μέθοδος Διόδευσης	Muskingum
Αρχική Μεταβλητή	Combined Inflow
Χρόνος Ροής K	0.14
Συντελεστής βάρους x	0.2
Πλήθος Υποκλάδων	1

Αποτελέσματα: R1223

Παροχή Αιχμής (M3/S)	999.3
Χρονική στιγμή αιχμής	02Sep2000, 08:00
Όγκος (MM)	125.48
Παροχή Αιχμής Εισόδου (M3/S)	999.82
Όγκος Εισροής (M3)	1.37E8

Απορροή



Κλάδος: R1312

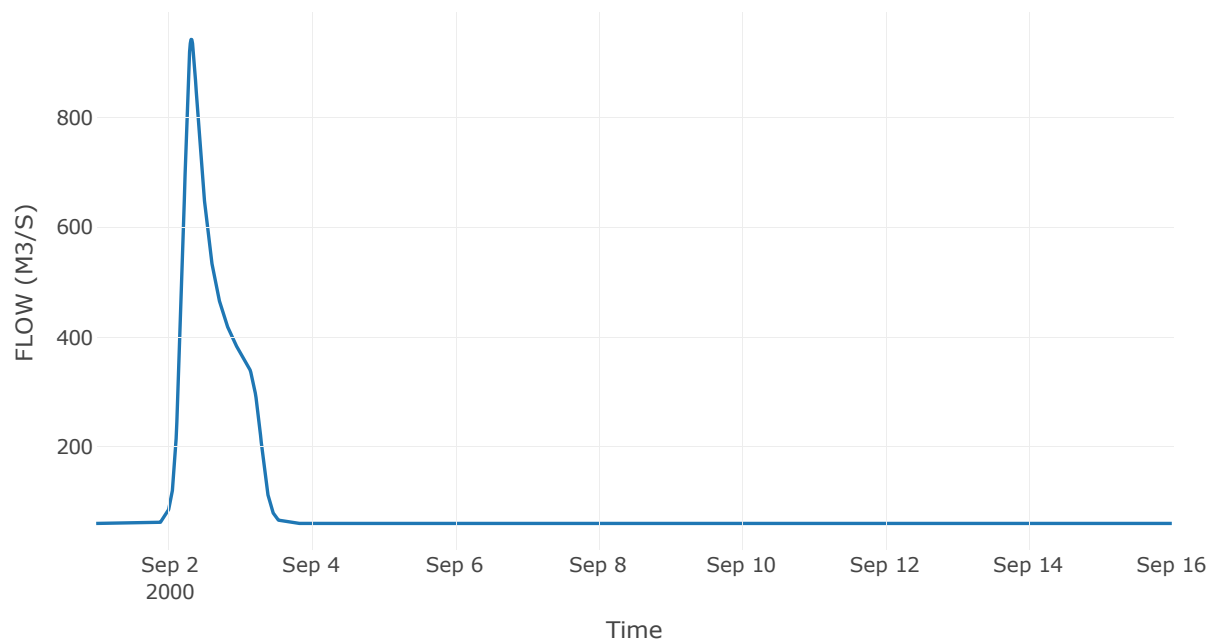
Κατάντη : J12

Μέθοδος Διόδευσης	Muskingum
Αρχική Μεταβλητή	Combined Inflow
Χρόνος Ροής Κ	2.21
Συντελεστής βάρους α	0.2
Πλήθος Υποκλάδων	9

Αποτελέσματα: R1312

Παροχή Αιχμής (M3/S)	942.19
Χρονική στιγμή αιχμής	02Sep2000, 07:45
Όγκος (MM)	124.95
Παροχή Αιχμής Εισόδου (M3/S)	964.15
Όγκος Εισροής (M3)	1.26E8

Απορροή



Κλάδος: R1413

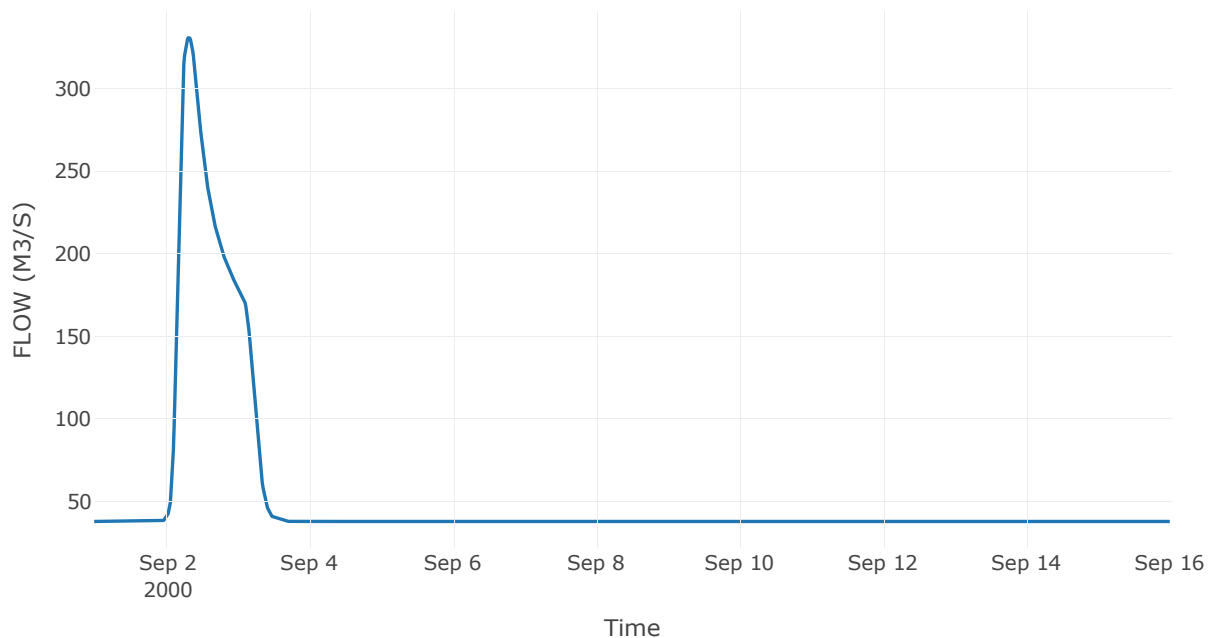
Κατάντη : J13

Μέθοδος Διόδευσης	Muskingum
Αρχική Μεταβλητή	Combined Inflow
Χρόνος Ροής Κ	1.91
Συντελεστής βάρους α	0.2
Πλήθος Υποκλάδων	8

Αποτελέσματα: R1413

Παροχή Αιχμής (M3/S)	330.97
Χρονική στιγμή αιχμής	02Sep2000, 07:45
Όγκος (MM)	107.29
Παροχή Αιχμής Εισόδου (M3/S)	332.22
Όγκος Εισροής (M3)	6.8E7

Απορροή



Κλάδος: R1514

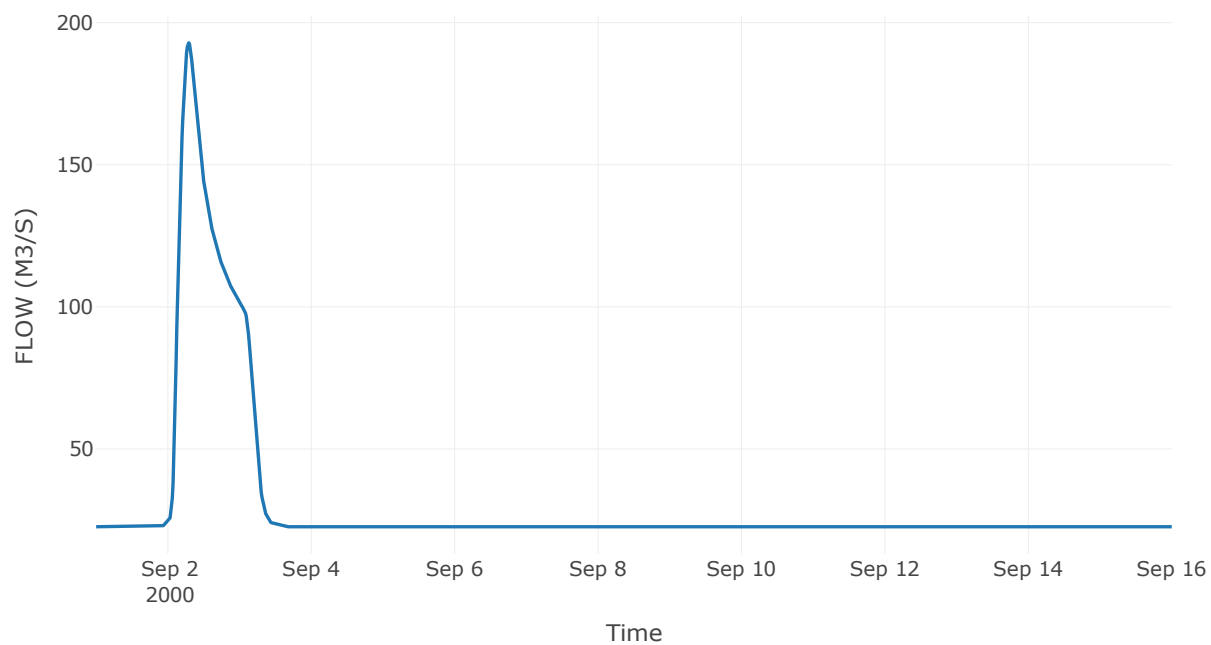
Κατάντη : J14

Μέθοδος Διόδευσης	Χρόνος
Αρχική Μεταβλητή	Combined Inflow
Χρόνος Υστέρησης	72.76

Αποτελέσματα: R1514

Παροχή Αιχμής (M3/S)	192.92
Χρονική στιγμή αιχμής	02Sep2000, 07:00
Όγκος (MM)	105.31
Παροχή Αιχμής Εισόδου (M3/S)	193
Όγκος Εισροής (M3)	3.97E7

Απορροή



Κλάδος: R1615

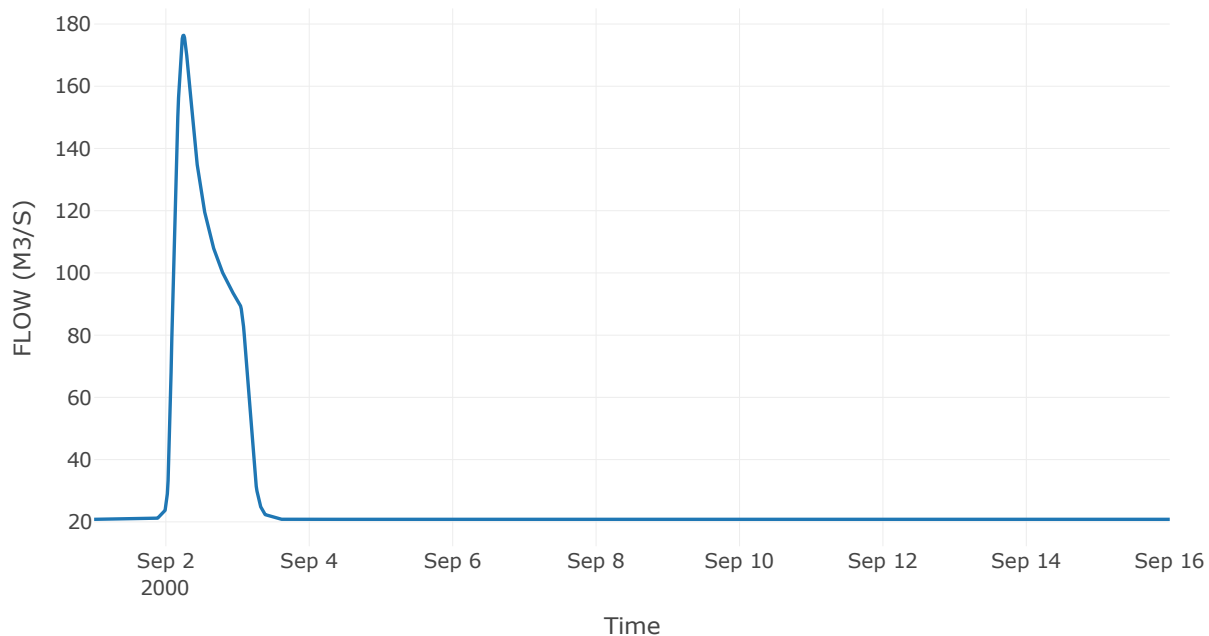
Κατάντη : J15

Μέθοδος Διόδευσης	Muskingum
Αρχική Μεταβλητή	Combined Inflow
Χρόνος Ροής K	0.65
Συντελεστής βάρους x	0.2
Πλήθος Υποκλάδων	3

Αποτελέσματα: R1615

Παροχή Αιχμής (M3/S)	176.38
Χρονική στιγμή αιχμής	02Sep2000, 06:00
Όγκος (MM)	104.86
Παροχή Αιχμής Εισόδου (M3/S)	177.06
Όγκος Εισροής (M3)	3.63E7

Απορροή



Κλάδος: R1716

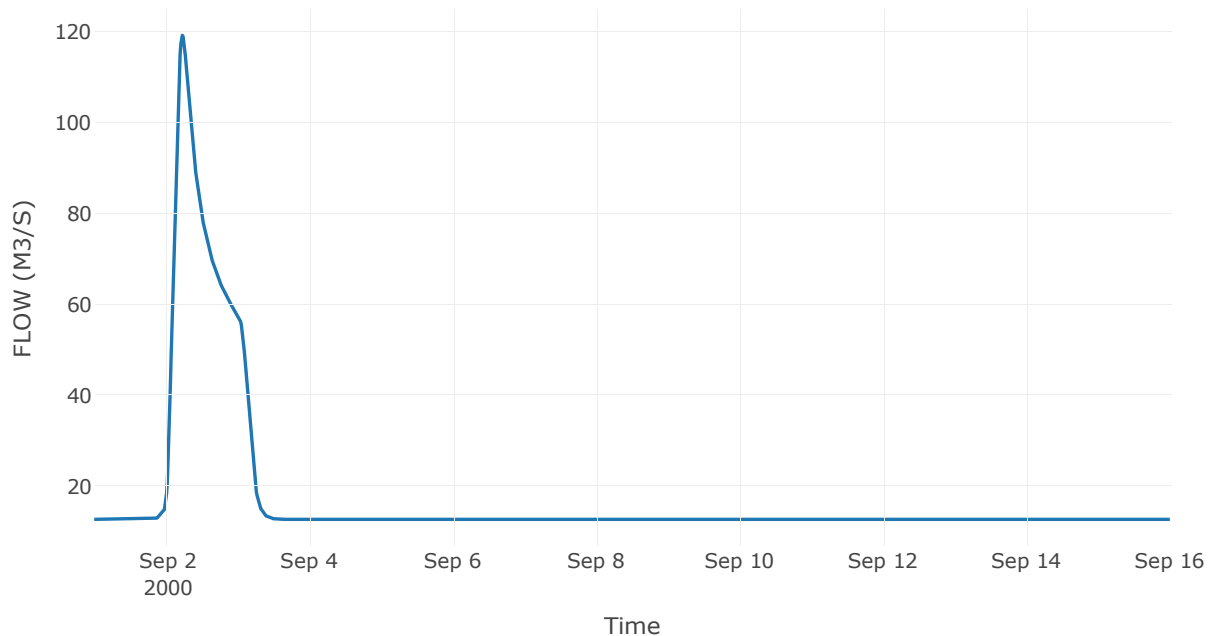
Κατάντη : J16

Μέθοδος Διόδευσης	Muskingum
Αρχική Μεταβλητή	Combined Inflow
Χρόνος Ροής Κ	0.19
Συντελεστής βάρους α	0.2
Πλήθος Υποκλάδων	1

Αποτελέσματα: R1716

Παροχή Αιχμής (M3/S)	119.18
Χρονική στιγμή αιχμής	02Sep2000, 05:30
Όγκος (MM)	106.87
Παροχή Αιχμής Εισόδου (M3/S)	119.28
Όγκος Εισροής (M3)	2.26E7

Απορροή



Κλάδος: R1817

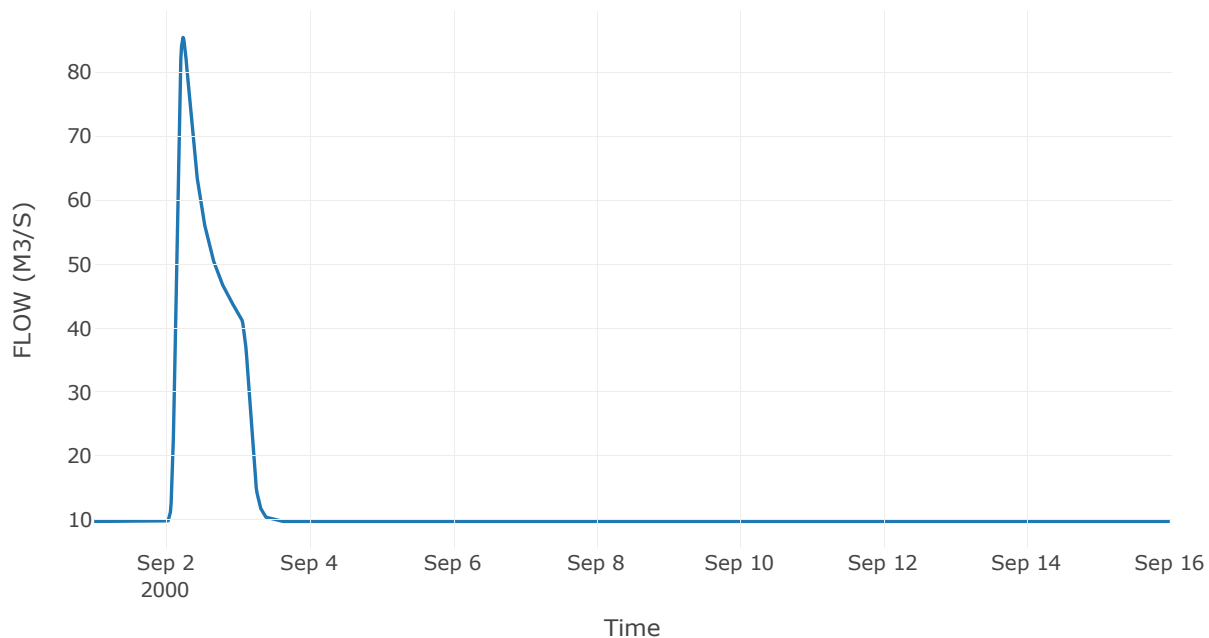
Κατάντη : J17

Μέθοδος Διόδευσης	Muskingum
Αρχική Μεταβλητή	Combined Inflow
Χρόνος Ροής Κ	0.92
Συντελεστής βάρους α	0.2
Πλήθος Υποκλάδων	4

Αποτελέσματα: R1817

Παροχή Αιχμής (M3/S)	85.44
Χρονική στιγμή αιχμής	02Sep2000, 05:45
Όγκος (MM)	103.75
Παροχή Αιχμής Εισόδου (M3/S)	86.16
Όγκος Εισροής (M3)	1.69E7

Απορροή



Κλάδος: R1918

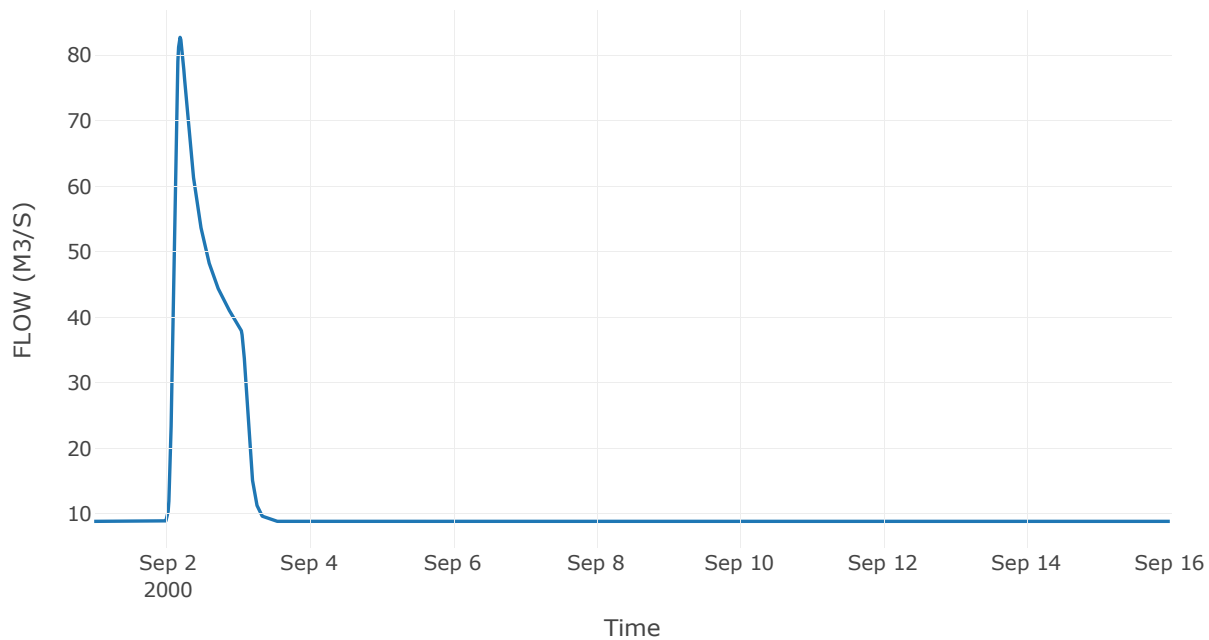
Κατάντη : J18

Μέθοδος Διόδευσης	Muskingum
Αρχική Μεταβλητή	Combined Inflow
Χρόνος Ροής K	0.81
Συντελεστής βάρους x	0.2
Πλήθος Υποκλάδων	3

Αποτελέσματα: R1918

Παροχή Αιχμής (M3/S)	82.71
Χρονική στιγμή αιχμής	02Sep2000, 04:45
Όγκος (MM)	105.17
Παροχή Αιχμής Εισόδου (M3/S)	83.53
Όγκος Εισροής (M3)	1.55E7

Απορροή



Κλάδος: R2016

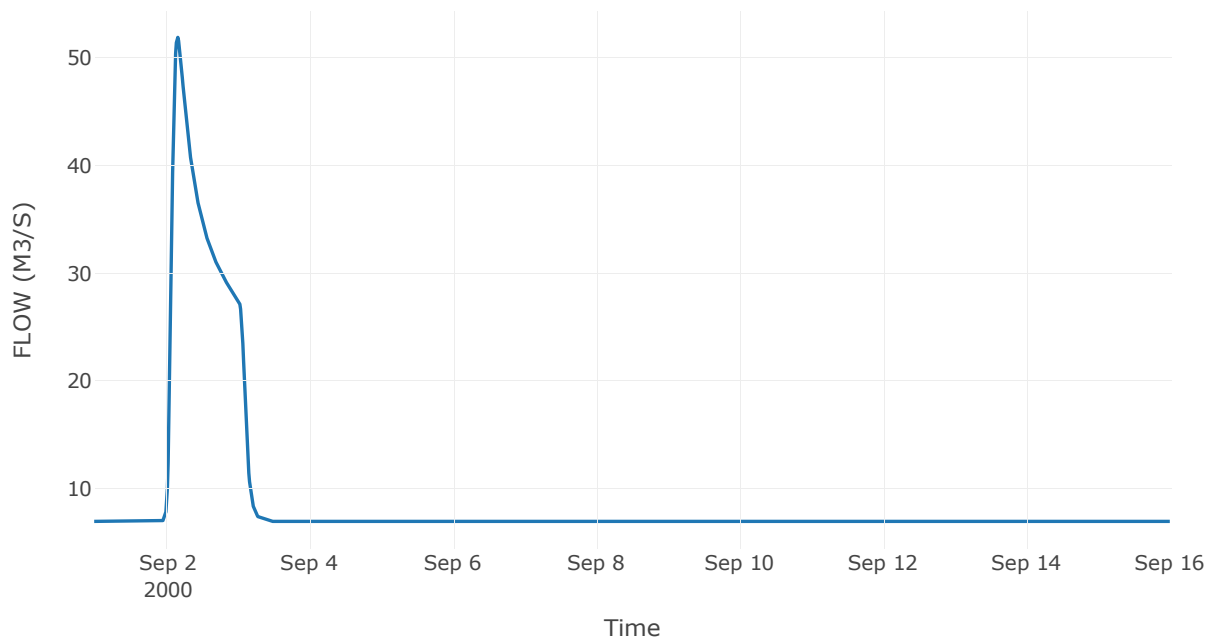
Κατάντη : J16

Μέθοδος Διόδευσης	Muskingum
Αρχική Μεταβλητή	Combined Inflow
Χρόνος Ροής K	0.41
Συντελεστής βάρους x	0.2
Πλήθος Υποκλάδων	2

Αποτελέσματα: R2016

Παροχή Αιχμής (M3/S)	51.89
Χρονική στιγμή αιχμής	02Sep2000, 04:00
Όγκος (MM)	100.27
Παροχή Αιχμής Εισόδου (M3/S)	52.1
Όγκος Εισροής (M3)	1.17E7

Απορροή



Κλάδος: R2120

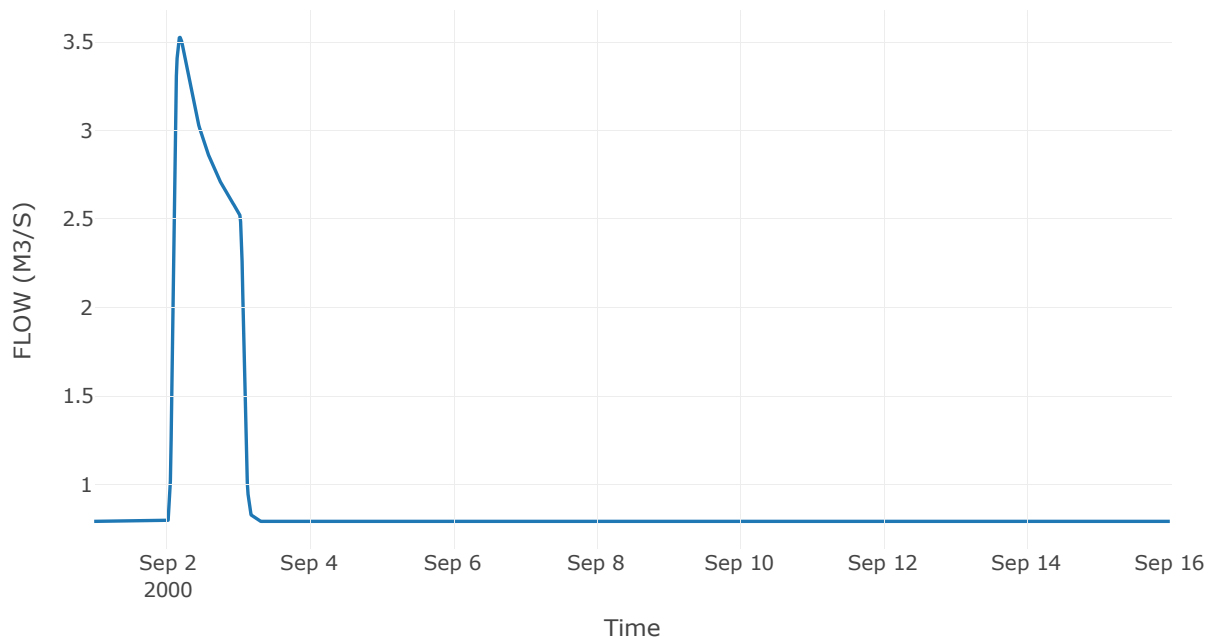
Κατάντη : J20

Μέθοδος Διόδευσης	Muskingum
Αρχική Μεταβλητή	Combined Inflow
Χρόνος Ροής K	0.92
Συντελεστής βάρους x	0.2
Πλήθος Υποκλάδων	4

Αποτελέσματα: R2120

Παροχή Αιχμής (M3/S)	3.52
Χρονική στιγμή αιχμής	02Sep2000, 04:45
Όγκος (MM)	91.74
Παροχή Αιχμής Εισόδου (M3/S)	3.54
Όγκος Εισροής (M3)	1.21E6

Απορροή



Κλάδος: R2214

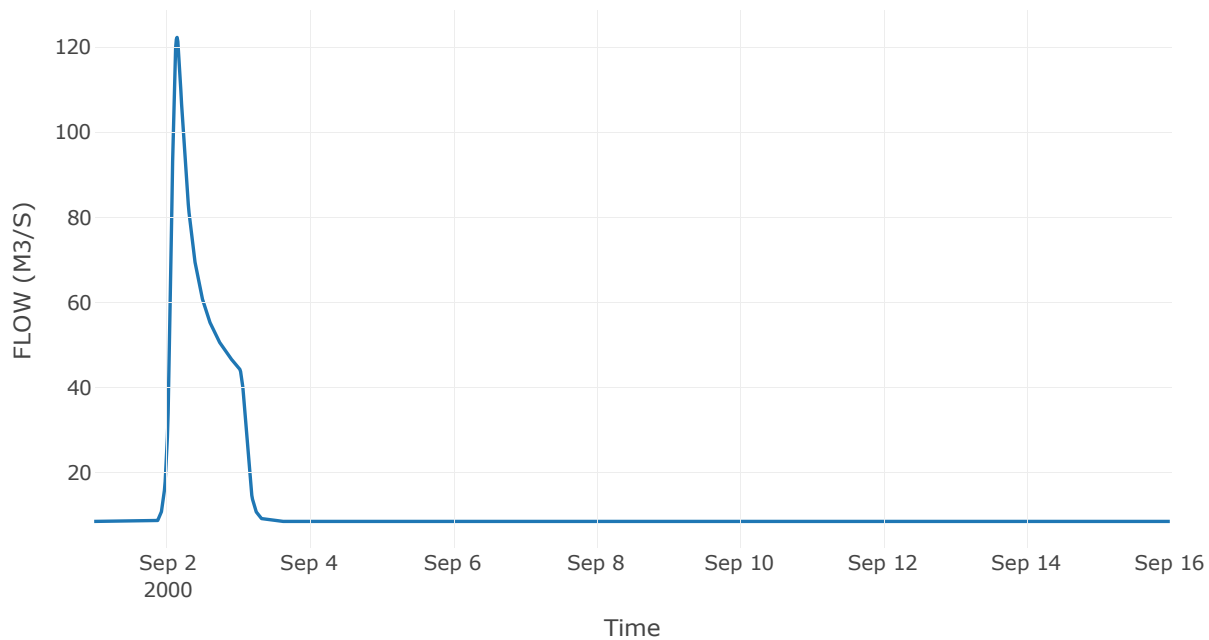
Κατάντη : J14

Μέθοδος Διόδευσης	Muskingum
Αρχική Μεταβλητή	Combined Inflow
Χρόνος Ροής K	0.5
Συντελεστής βάρους x	0.2
Πλήθος Υποκλάδων	2

Αποτελέσματα: R2214

Παροχή Αιχμής (M3/S)	122.27
Χρονική στιγμή αιχμής	02Sep2000, 03:45
Όγκος (MM)	116.2
Παροχή Αιχμής Εισόδου (M3/S)	123.18
Όγκος Εισροής (M3)	1.66E7

Απορροή



Κλάδος: R2311

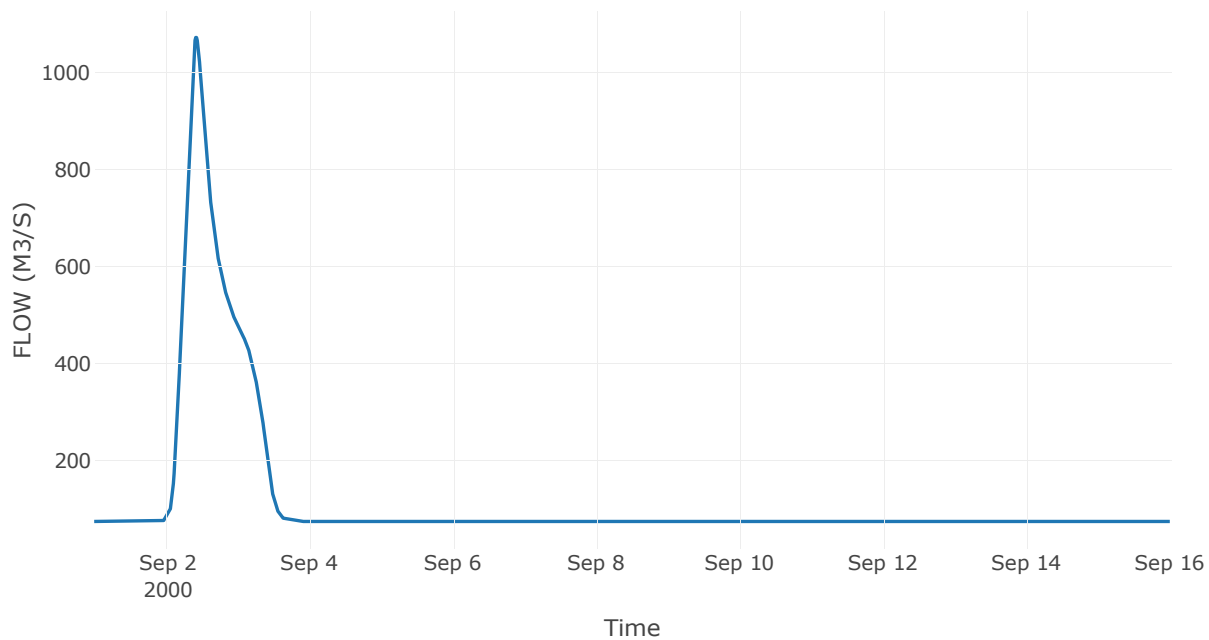
Κατάντη : J11

Μέθοδος Διόδευσης	Muskingum
Αρχική Μεταβλητή	Combined Inflow
Χρόνος Ροής K	2.19
Συντελεστής βάρους x	0.2
Πλήθος Υποκλάδων	9

Αποτελέσματα: R2311

Παροχή Αιχμής (M3/S)	1073.04
Χρονική στιγμή αιχμής	02Sep2000, 10:00
Όγκος (MM)	124.36
Παροχή Αιχμής Εισόδου (M3/S)	1090.27
Όγκος Εισροής (M3)	1.56E8

Απορροή



Κλάδος: R2423

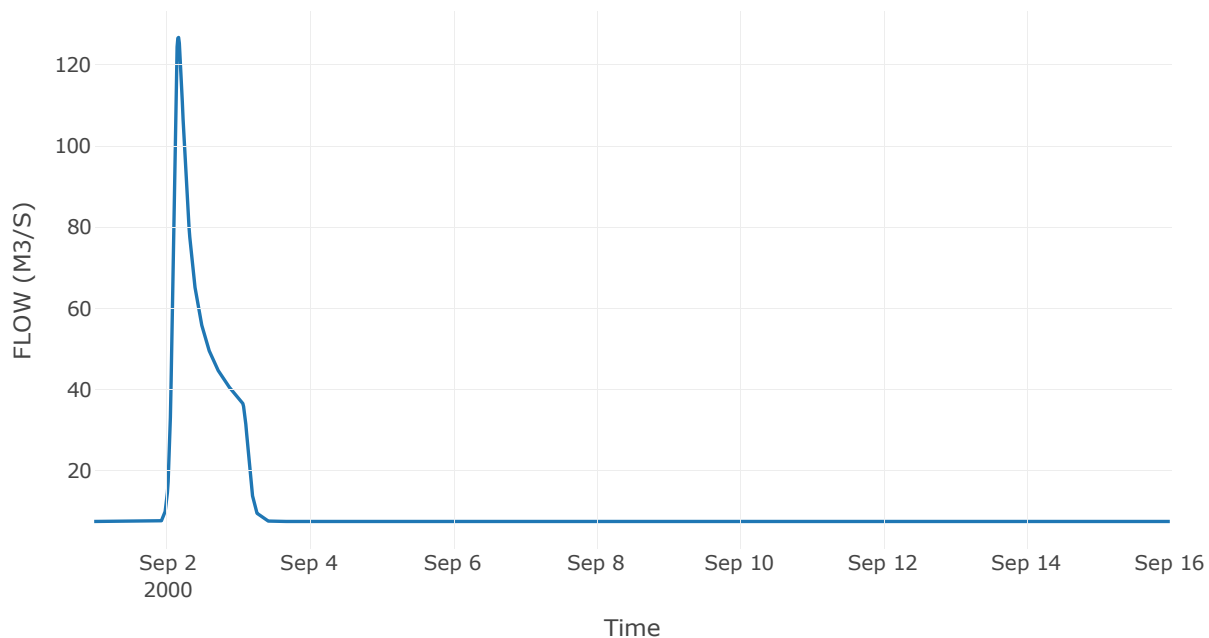
Κατάντη : J23

Μέθοδος Διόδευσης	Muskingum
Αρχική Μεταβλητή	Combined Inflow
Χρόνος Ροής Κ	1.59
Συντελεστής βάρους α	0.2
Πλήθος Υποκλάδων	6

Αποτελέσματα: R2423

Παροχή Αιχμής (M3/S)	126.71
Χρονική στιγμή αιχμής	02Sep2000, 04:15
Όγκος (MM)	118.01
Παροχή Αιχμής Εισόδου (M3/S)	130.82
Όγκος Εισροής (M3)	1.48E7

Απορροή



Κλάδος: R257

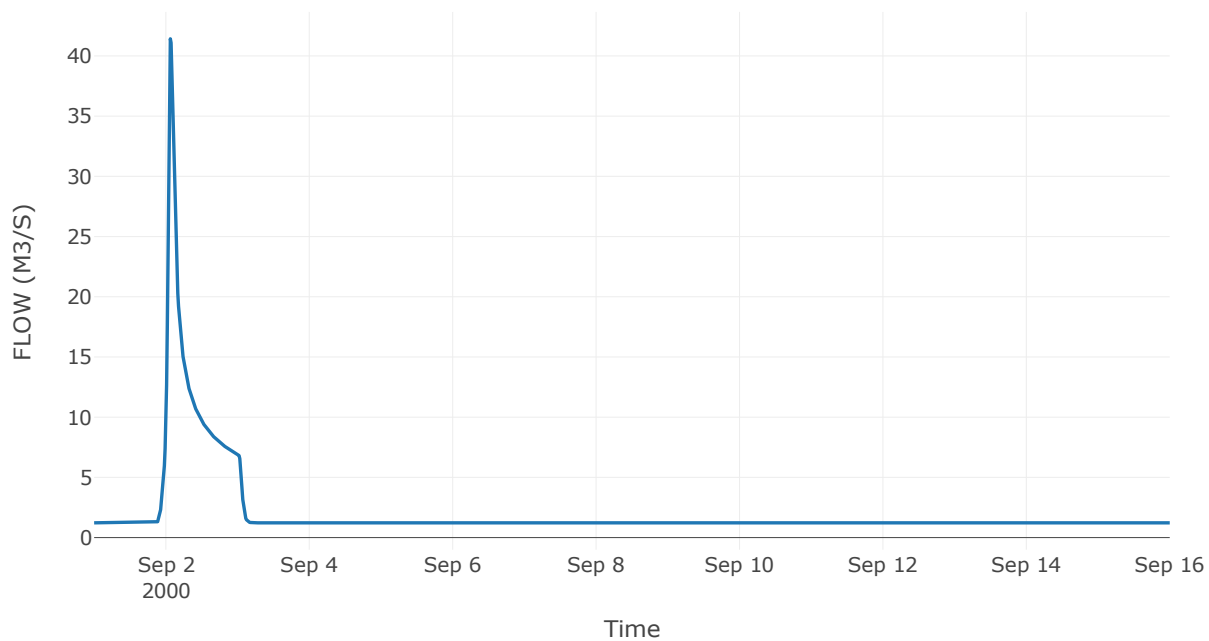
Κατάντη : J7

Μέθοδος Διόδευσης	Χρόνος
Αρχική Μεταβλητή	Combined Inflow
Χρόνος Υστέρησης	26.33

Αποτελέσματα: R257

Παροχή Αιχμής (M3/S)	41.42
Χρονική στιγμή αιχμής	02Sep2000, 01:30
Όγκος (MM)	130.74
Παροχή Αιχμής Εισόδου (M3/S)	41.66
Όγκος Εισροής (M3)	2.67E6

Απορροή



Κλάδος: R265

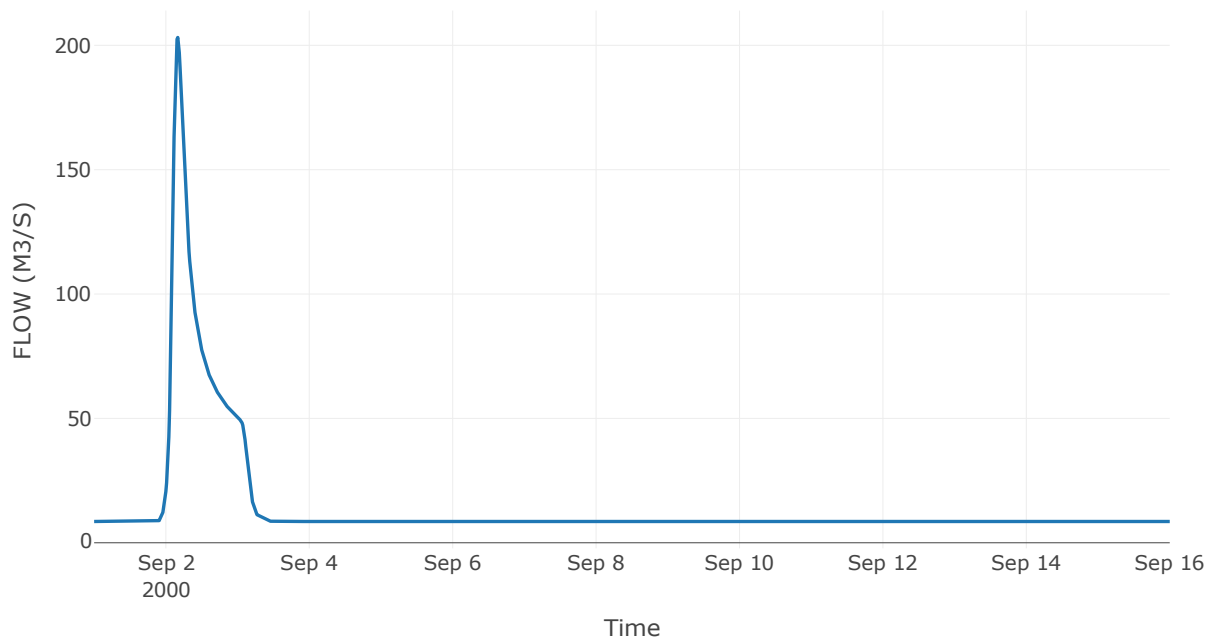
Κατάντη : J5

Μέθοδος Διόδευσης	Muskingum
Αρχική Μεταβλητή	Combined Inflow
Χρόνος Ροής K	1.24
Συντελεστής βάρους x	0.2
Πλήθος Υποκλάδων	5

Αποτελέσματα: R265

Παροχή Αιχμής (M3/S)	203.17
Χρονική στιγμή αιχμής	02Sep2000, 04:00
Όγκος (MM)	131.34
Παροχή Αιχμής Εισόδου (M3/S)	207.73
Όγκος Εισροής (M3)	1.87E7

Απορροή



Κλάδος: R274

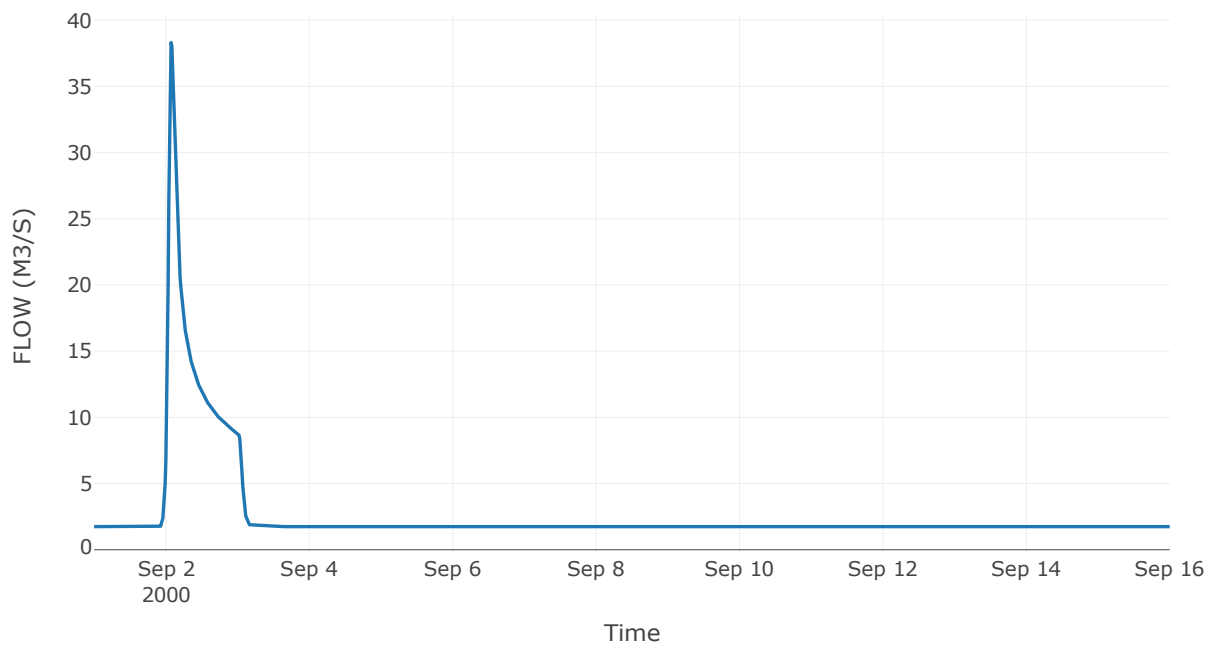
Κατάντη : J4

Μέθοδος Διόδευσης	Χρόνος
Αρχική Μεταβλητή	Combined Inflow
Χρόνος Υστέρησης	20.7

Αποτελέσματα: R274

Παροχή Αιχμής (M3/S)	38.31
Χρονική στιγμή αιχμής	02Sep2000, 01:45
Όγκος (MM)	118.48
Παροχή Αιχμής Εισόδου (M3/S)	38.64
Όγκος Εισροής (M3)	3.45E6

Απορροή



Κλάδος: R2917

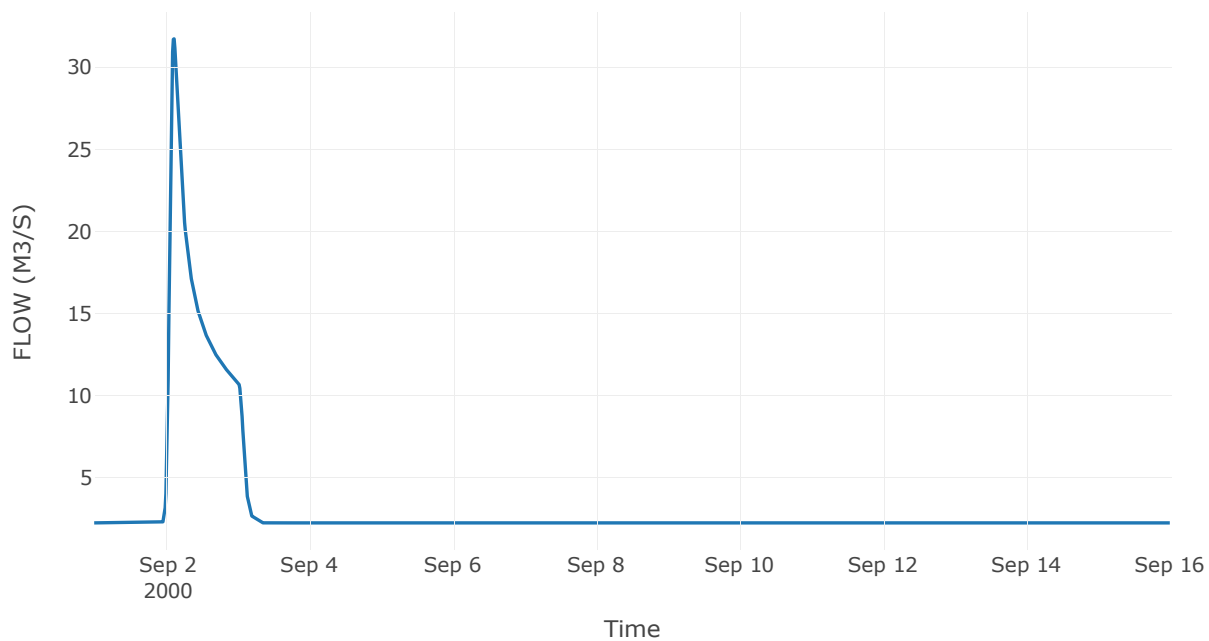
Κατάντη : J17

Μέθοδος Διόδευσης	Χρόνος
Αρχική Μεταβλητή	Combined Inflow
Χρόνος Υστέρησης	9.19

Αποτελέσματα: R2917

Παροχή Αιχμής (M3/S)	31.74
Χρονική στιγμή αιχμής	02Sep2000, 02:45
Όγκος (MM)	112.14
Παροχή Αιχμής Εισόδου (M3/S)	31.88
Όγκος Εισροής (M3)	4.18E6

Απορροή



Κλάδος: R3020

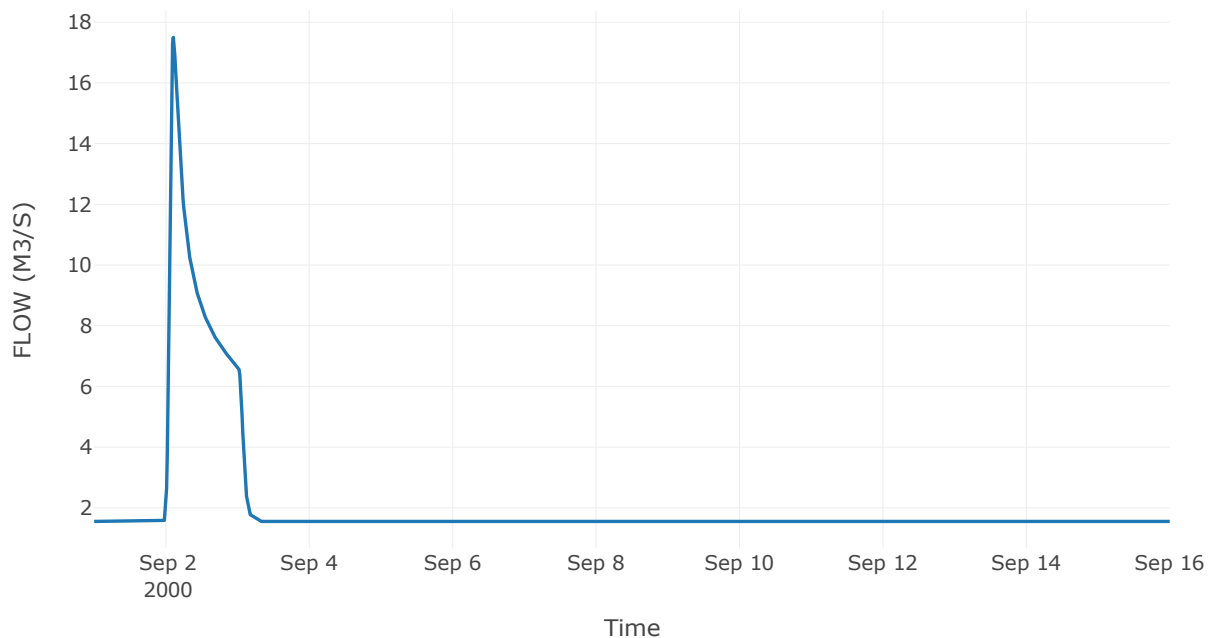
Κατάντη : J20

Μέθοδος Διόδευσης	Muskingum
Αρχική Μεταβλητή	Combined Inflow
Χρόνος Ροής Κ	0.21
Συντελεστής βάρους α	0.2
Πλήθος Υποκλάδων	1

Αποτελέσματα: R3020

Παροχή Αιχμής (M3/S)	17.5
Χρονική στιγμή αιχμής	02Sep2000, 02:30
Όγκος (MM)	105.49
Παροχή Αιχμής Εισόδου (M3/S)	17.6
Όγκος Εισροής (M3)	2.73E6

Απορροή



Κλάδος: R3113

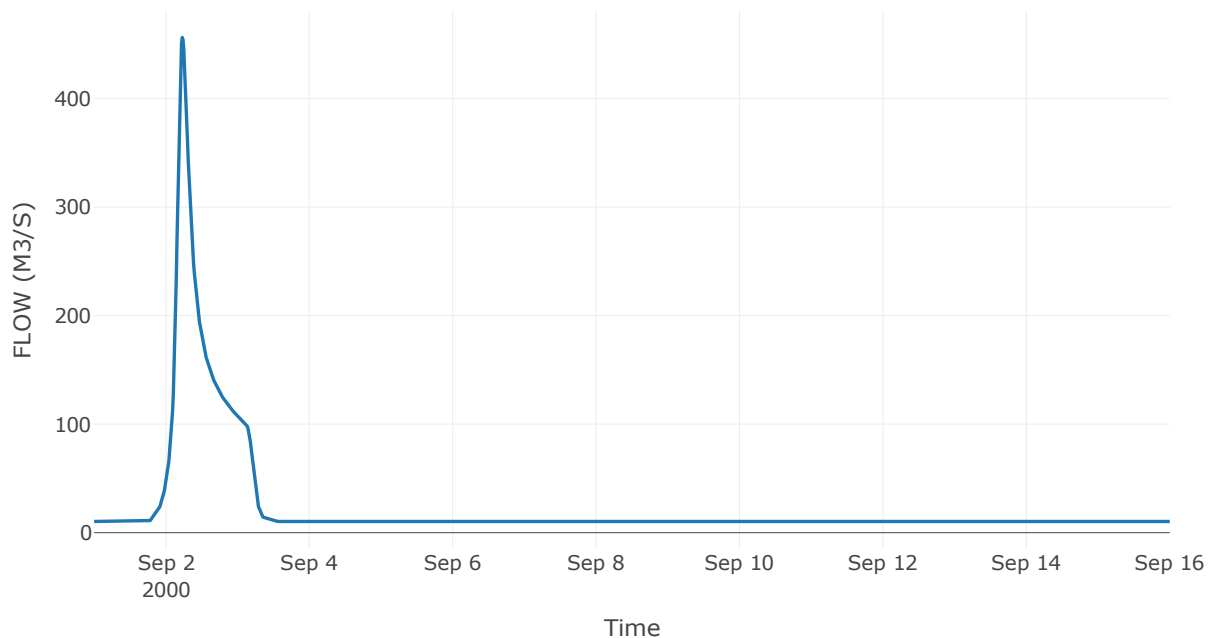
Κατάντη : J13

Μέθοδος Διόδευσης	Muskingum
Αρχική Μεταβλητή	Combined Inflow
Χρόνος Ροής K	3.17
Συντελεστής βάρους x	0.2
Πλήθος Υποκλάδων	13

Αποτελέσματα: R3113

Παροχή Αιχμής (M3/S)	456.41
Χρονική στιγμή αιχμής	02Sep2000, 05:30
Όγκος (MM)	181.05
Παροχή Αιχμής Εισόδου (M3/S)	491.6
Όγκος Εισροής (M3)	3.13E7

Απορροή



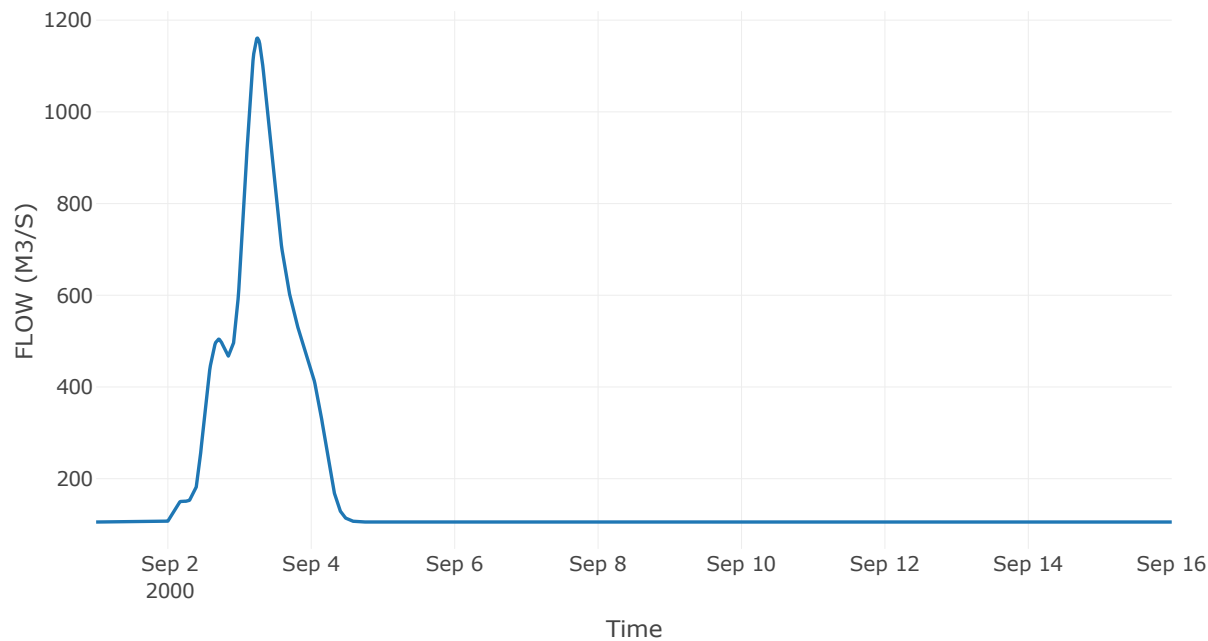
3.3 Δεδομένα και υδρογραφήματα σχεδιασμού Κόμβων υδρογραφικού δικτύου

Κόμβος εξόδου: J1

Αποτέλεσμα
τα: J1

Παροχή αιχμής (M3/S)	1161.03
Χρονική στιγμή αιχμής	03Sep2000, 06:00
Όγκος (MM)	125.21

Απορροή



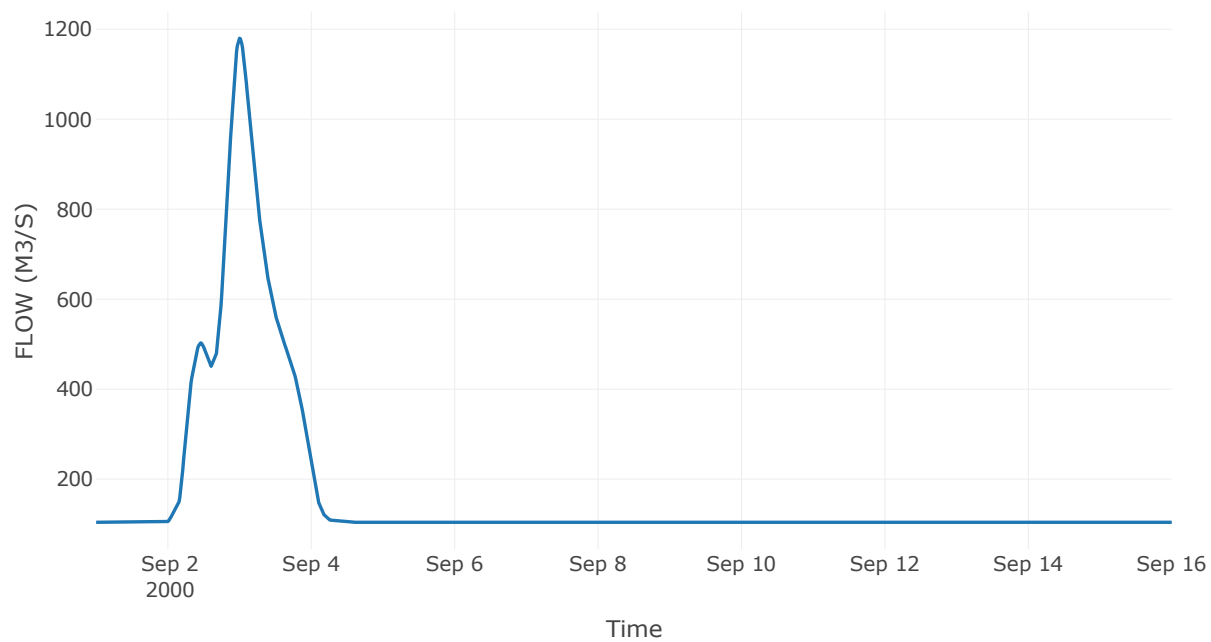
Κόμβος: J2

Κατάντη : R21

Αποτελέσματα: J2

Παροχή Αιχμής (M3/S)	1179.92
Χρονική στιγμή αιχμής	02Sep2000, 24:00
Όγκος (MM)	124.96

Απορροή



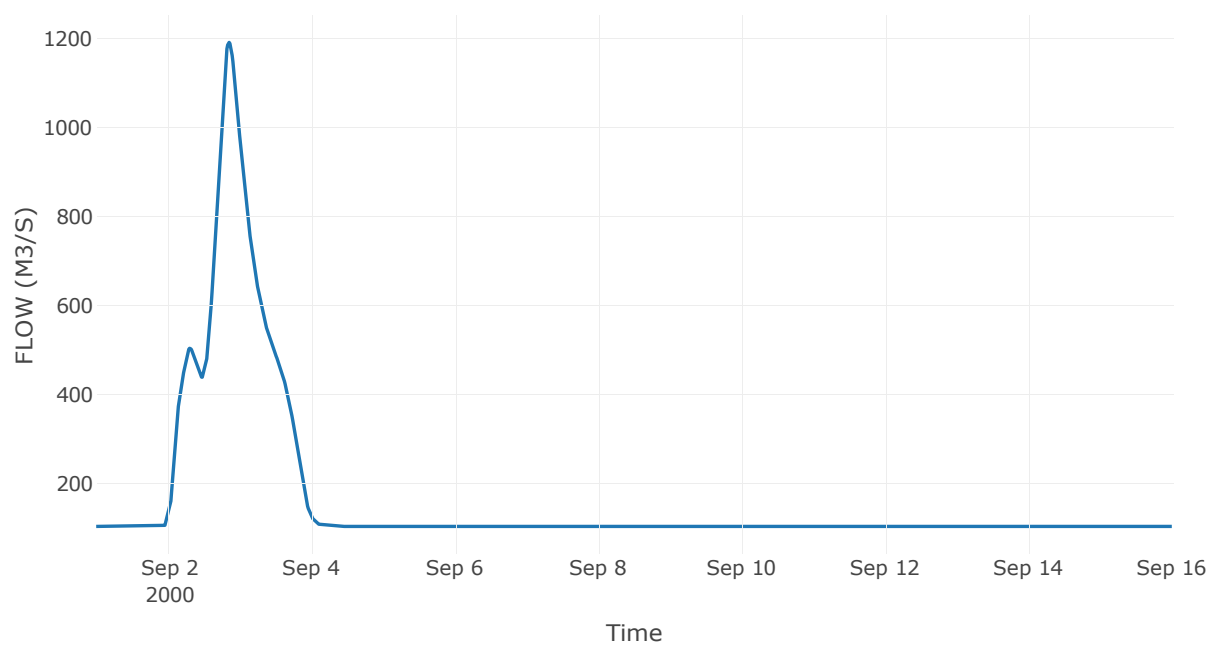
Κόμβος: J3

Κατάντη : R32

Αποτελέσματα: J3

Παροχή Αιχμής (M3/S)	1191.55
Χρονική στιγμή αιχμής	02Sep2000, 20:30
Όγκος (MM)	124.94

Απορροή



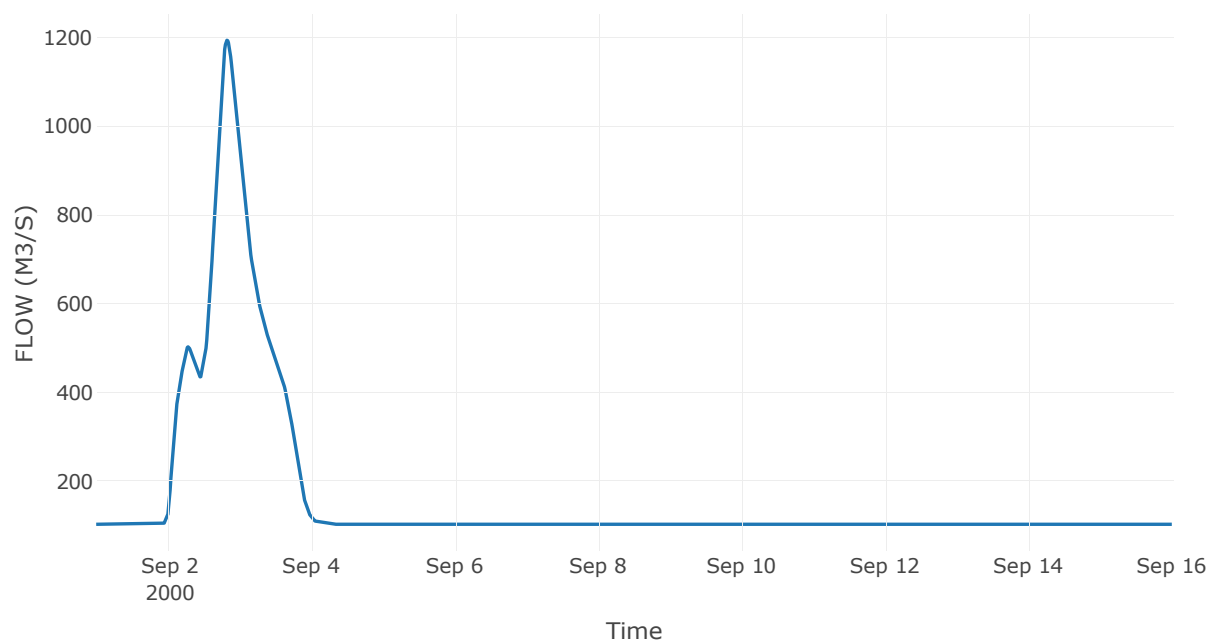
Κόμβος: J4

Κατάντη : R43

Αποτελέσματα: J4

Παροχή Αιχμής (M3/S)	1193.67
Χρονική στιγμή αιχμής	02Sep2000, 19:45
Όγκος (MM)	124.88

Απορροή



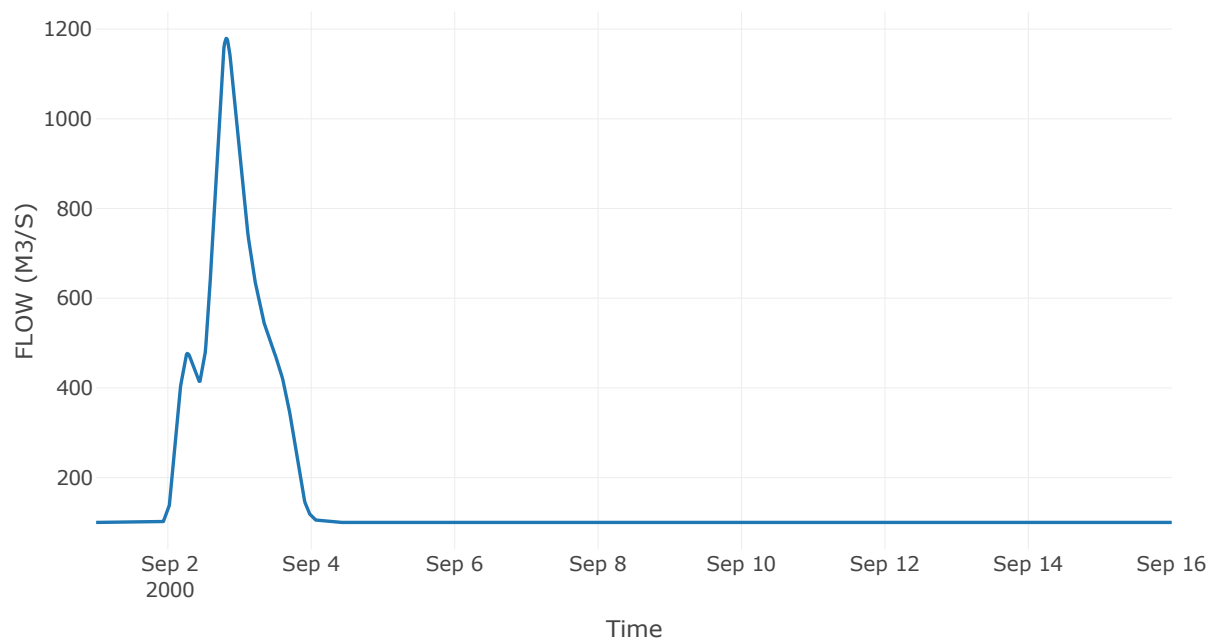
Κόμβος: J5

Κατάντη : R54

Αποτελέσματα: J5

Παροχή Αιχμής (M3/S)	1179.22
Χρονική στιγμή αιχμής	02Sep2000, 19:30
Όγκος (MM)	125.11

Απορροή



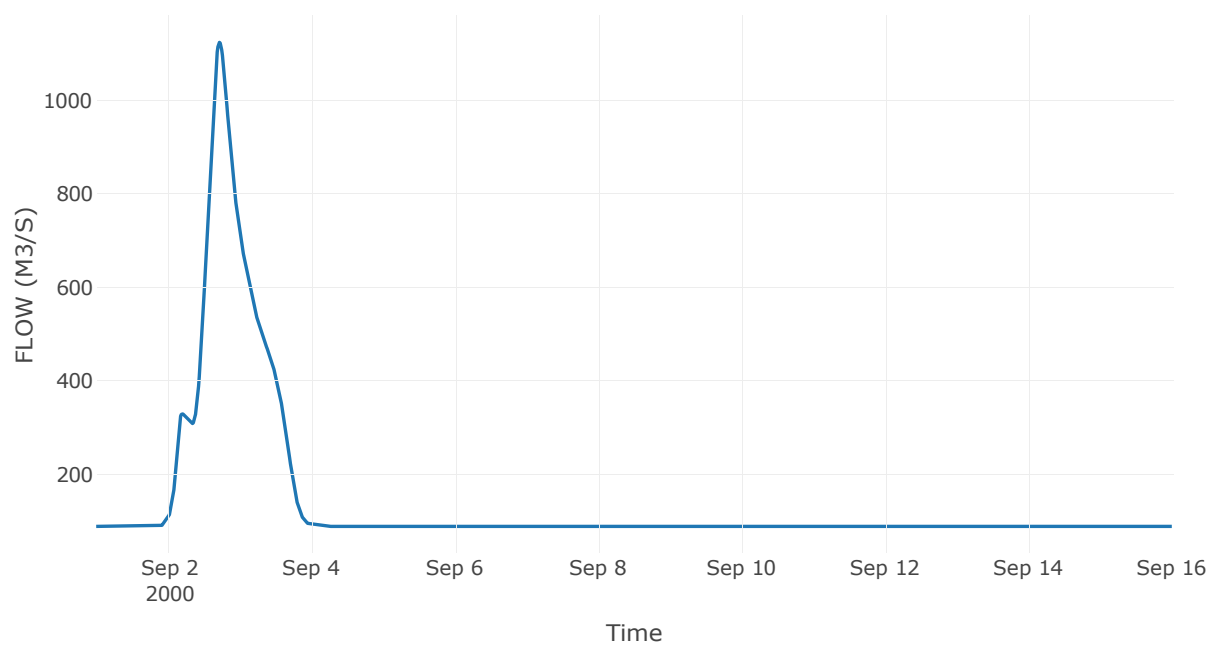
Κόμβος: J6

Κατάντη : R65

Αποτελέσματα: J6

Παροχή Αιχμής (M3/S)	1123.78
Χρονική στιγμή αιχμής	02Sep2000, 17:15
Όγκος (MM)	124.86

Απορροή



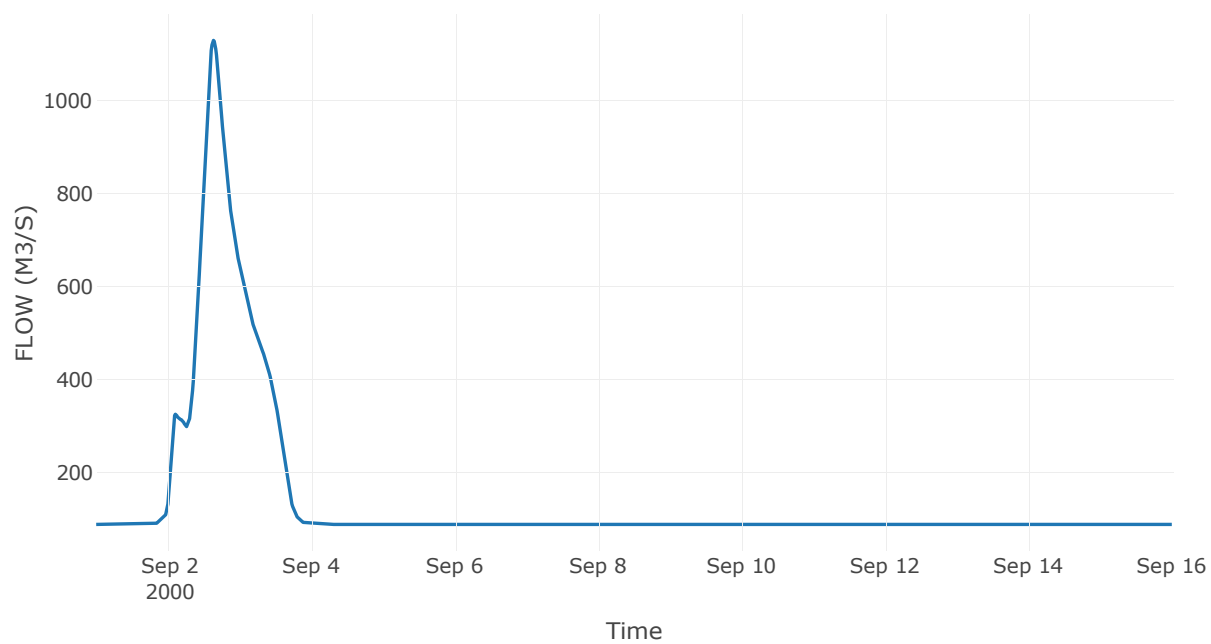
Κόμβος: J7

Κατάντη : R76

Αποτελέσματα: J7

Παροχή Αιχμής (M3/S)	1130.09
Χρονική στιγμή αιχμής	02Sep2000, 15:15
Όγκος (MM)	124.86

Απορροή



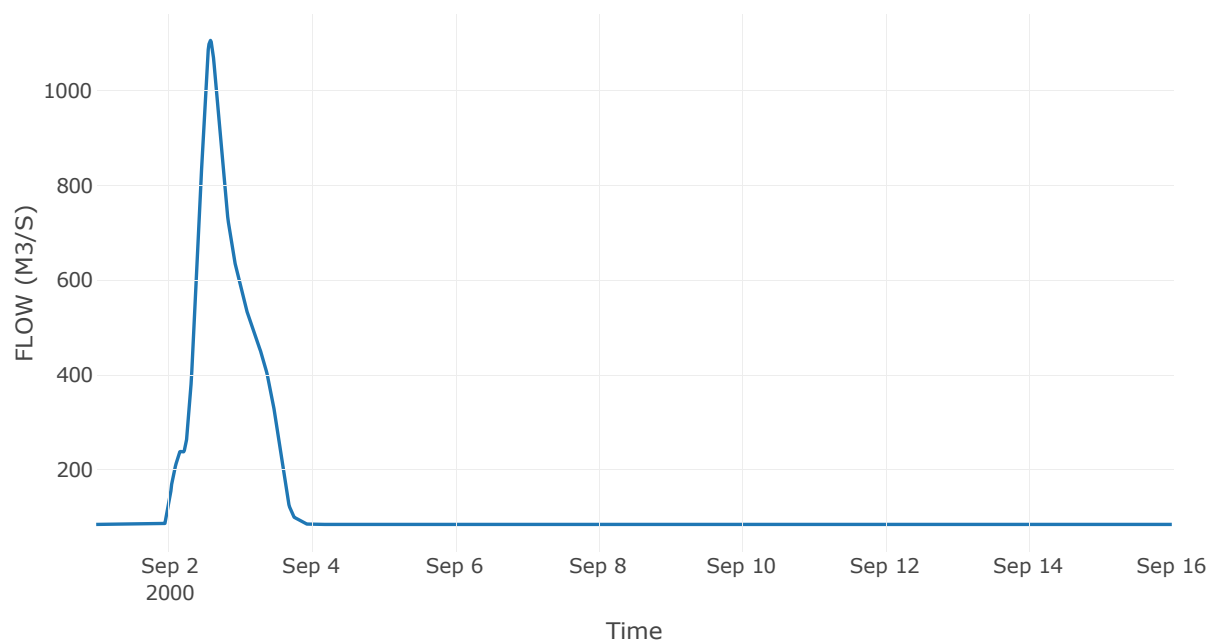
Κόμβος: J8

Κατάντη : R87

Αποτελέσματα: J8

Παροχή Αιχμής (M3/S)	1106.19
Χρονική στιγμή αιχμής	02Sep2000, 14:15
Όγκος (MM)	123.89

Απορροή



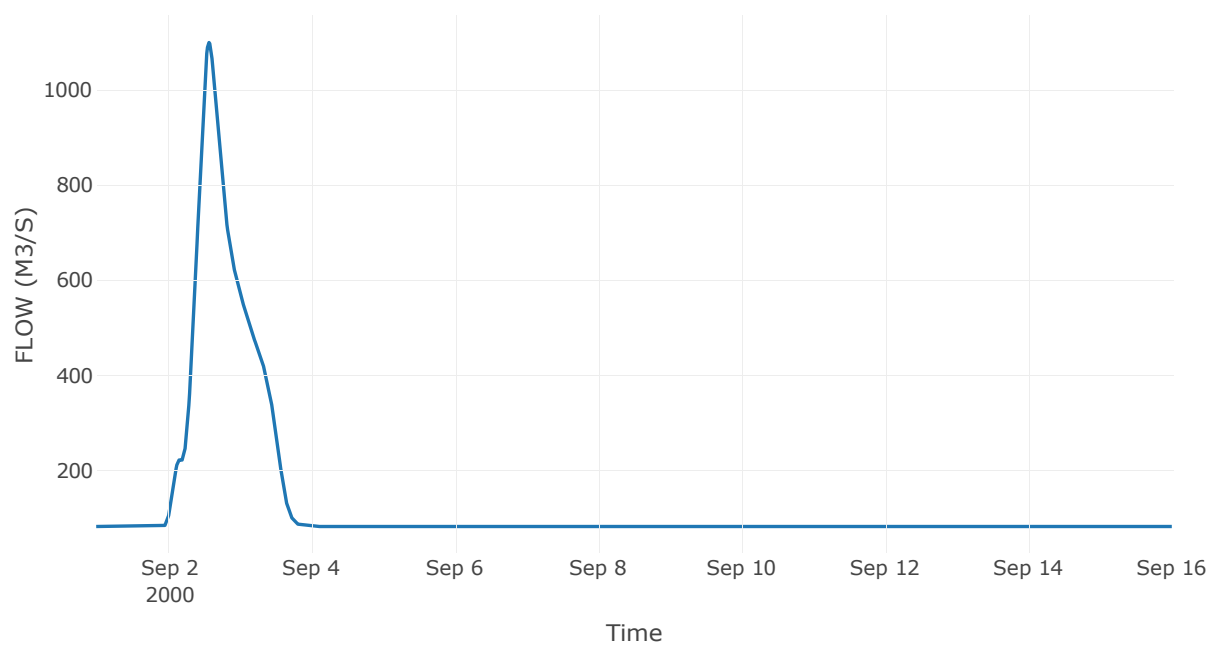
Κόμβος: J9

Κατάντη : R98

Αποτελέσματα: J9

Παροχή Αιχμής (M3/S)	1100.28
Χρονική στιγμή αιχμής	02Sep2000, 13:45
Όγκος (MM)	124.05

Απορροή



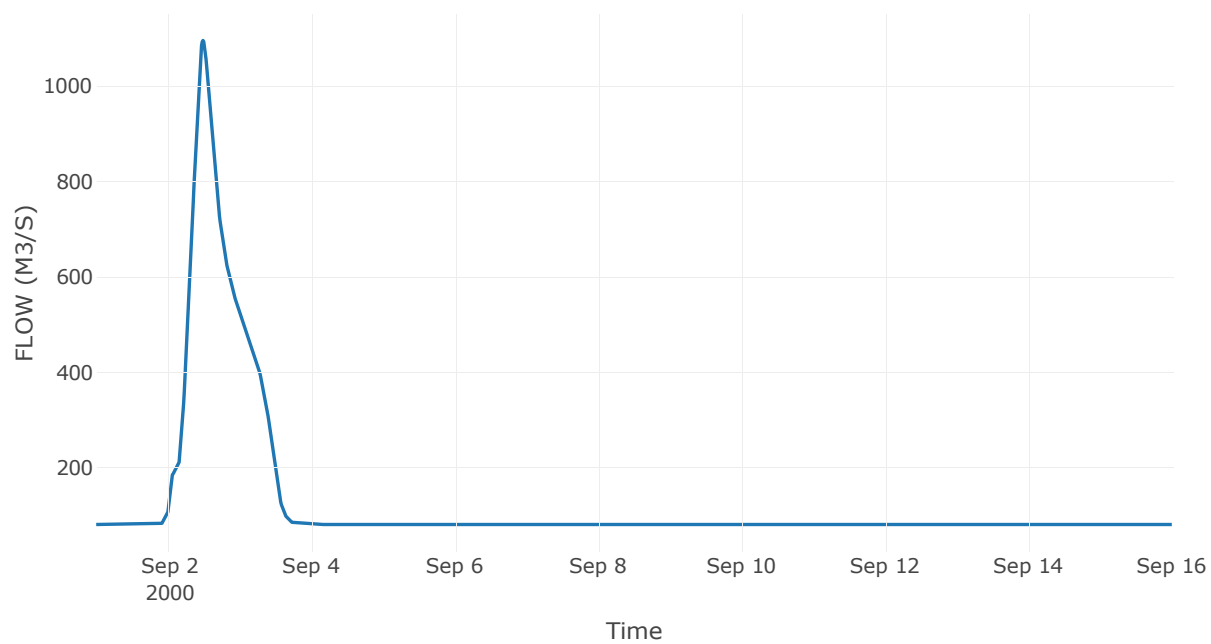
Κόμβος: J10

Κατάντη : R109

Αποτελέσματα: J10

Παροχή Αιχμής (M3/S)	1096.77
Χρονική στιγμή αιχμής	02Sep2000, 11:45
Όγκος (MM)	123.94

Απορροή



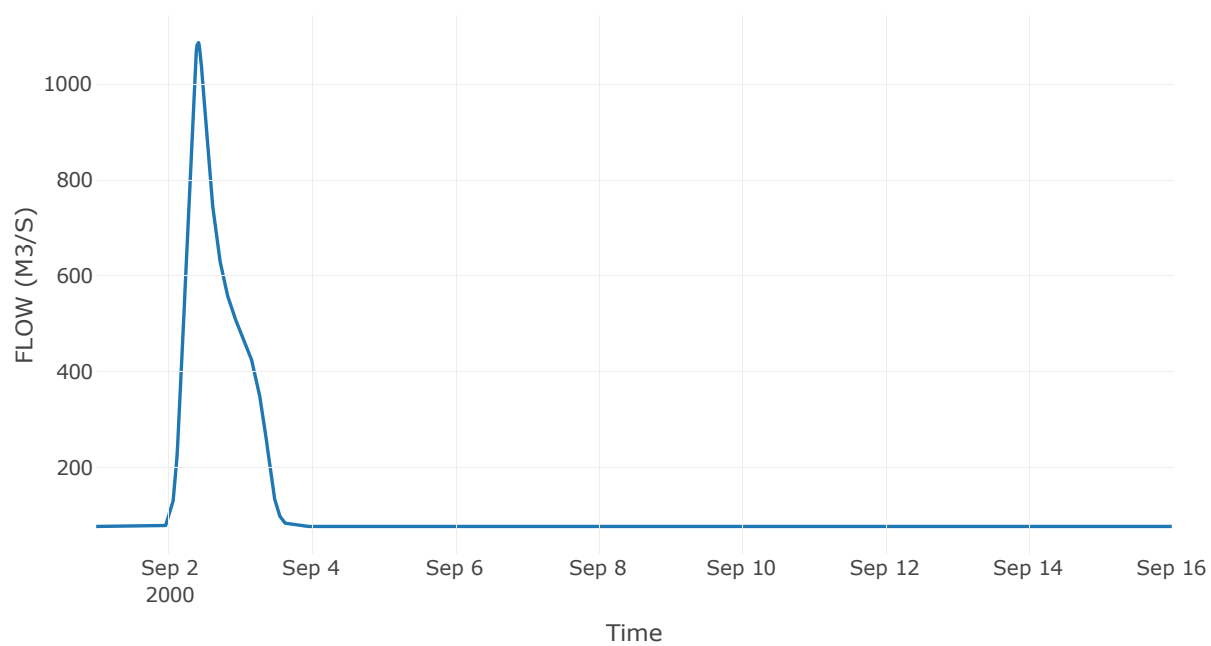
Κόμβος: J11

Κατάντη : R1110

Αποτελέσματα: J11

Παροχή Αιχμής (M3/S)	1086.97
Χρονική στιγμή αιχμής	02Sep2000, 10:00
Όγκος (MM)	123.46

Απορροή



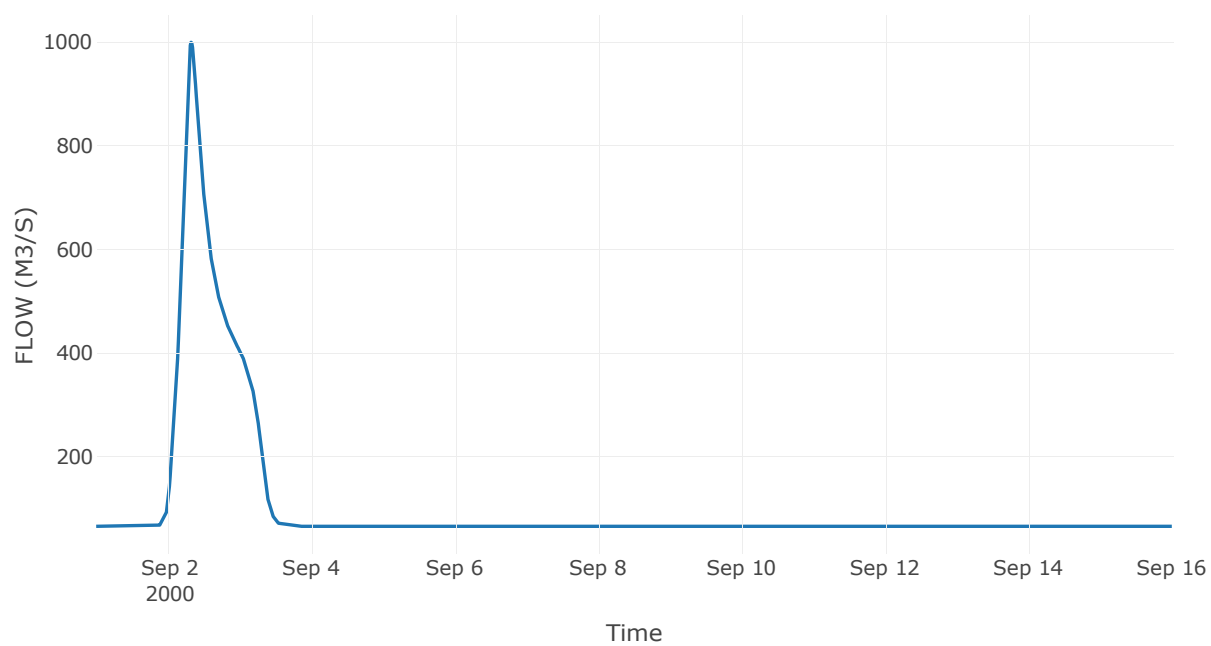
Κόμβος: J12

Κατάντη : R1223

Αποτελέσματα: J12

Παροχή Αιχμής (M3/S)	999.82
Χρονική στιγμή αιχμής	02Sep2000, 07:45
Όγκος (MM)	125.48

Απορροή



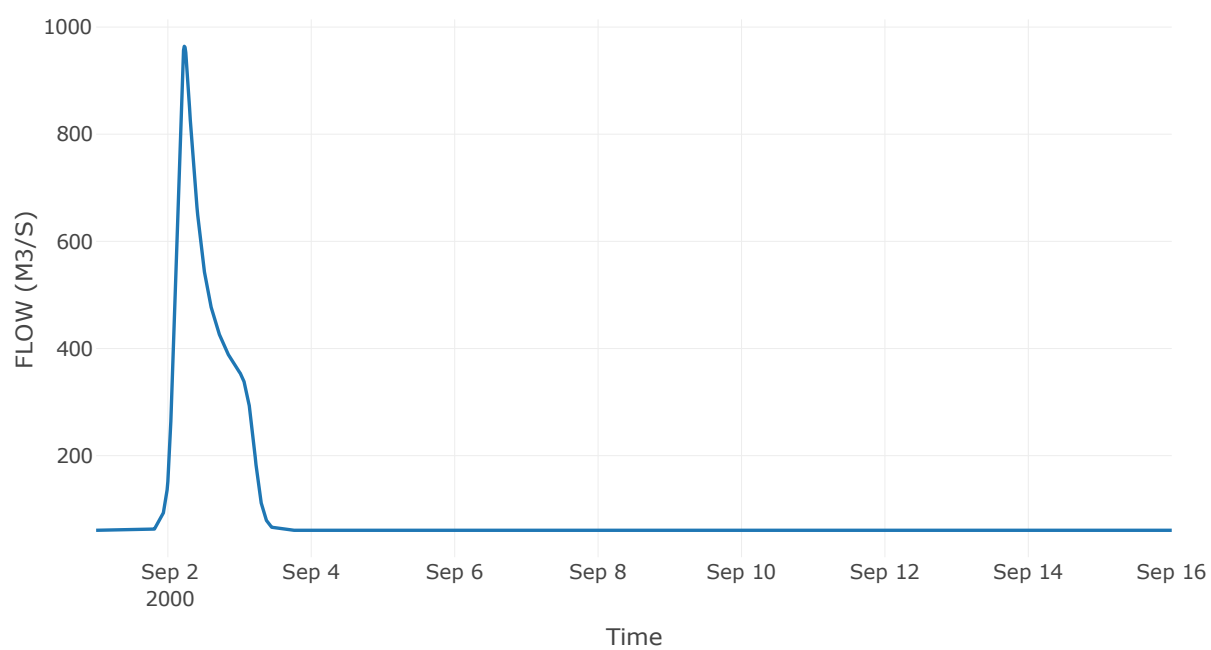
Κόμβος: J13

Κατάντη : R1312

Αποτελέσματα: J13

Παροχή Αιχμής (M3/S)	964.15
Χρονική στιγμή αιχμής	02Sep2000, 05:30
Όγκος (MM)	124.95

Απορροή



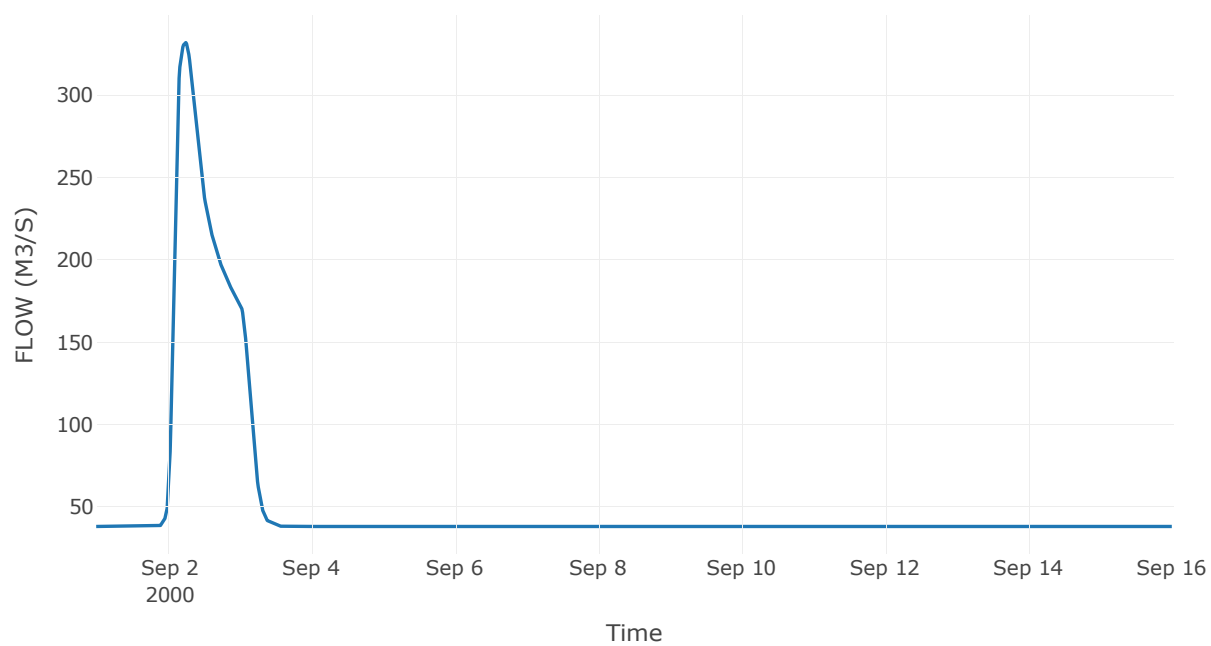
Κόμβος: J14

Κατάντη : R1413

Αποτελέσματα: J14

Παροχή Αιχμής (M3/S)	332.22
Χρονική στιγμή αιχμής	02Sep2000, 05:45
Όγκος (MM)	107.29

Απορροή



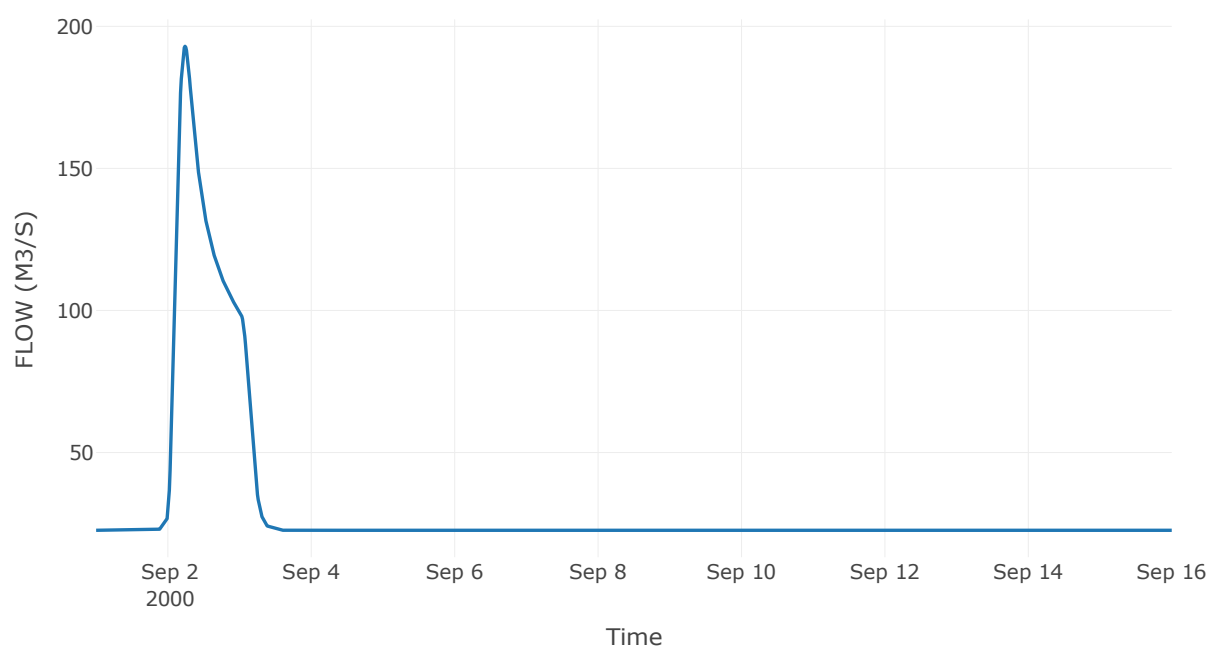
Κόμβος: J15

Κατάντη : R1514

Αποτελέσματα: J15

Παροχή Αιχμής (M3/S)	193
Χρονική στιγμή αιχμής	02Sep2000, 05:45
Όγκος (MM)	105.31

Απορροή



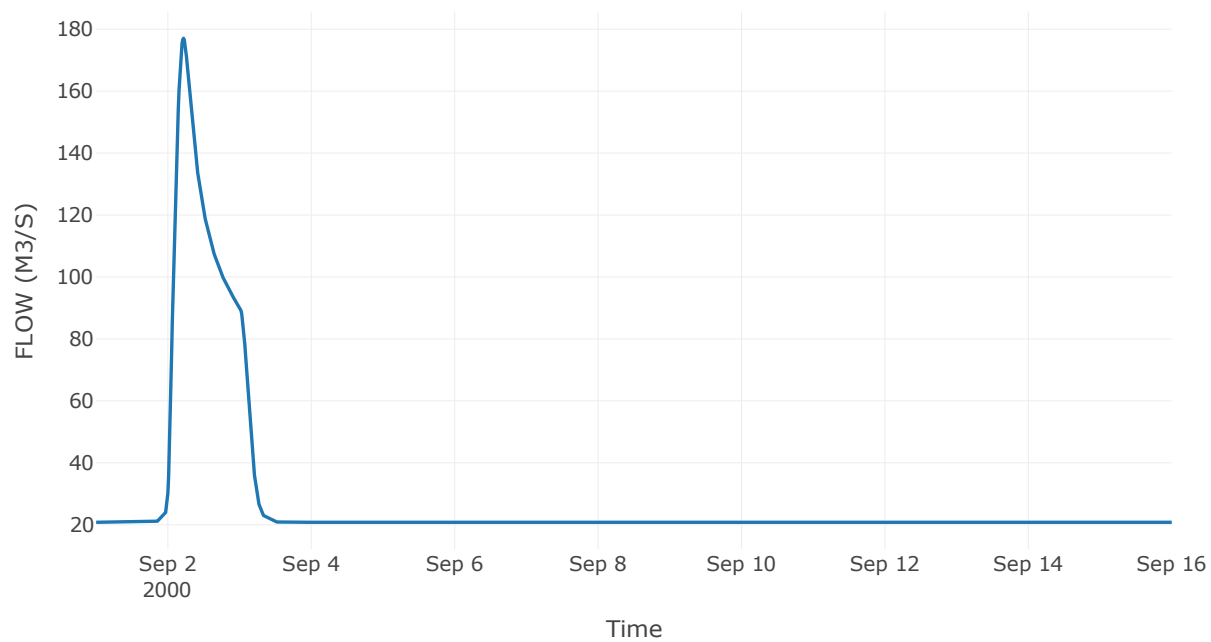
Κόμβος: J16

Κατάντη : R1615

Αποτελέσματα: J16

Παροχή Αιχμής (M3/S)	177.06
Χρονική στιγμή αιχμής	02Sep2000, 05:15
Όγκος (MM)	104.86

Απορροή



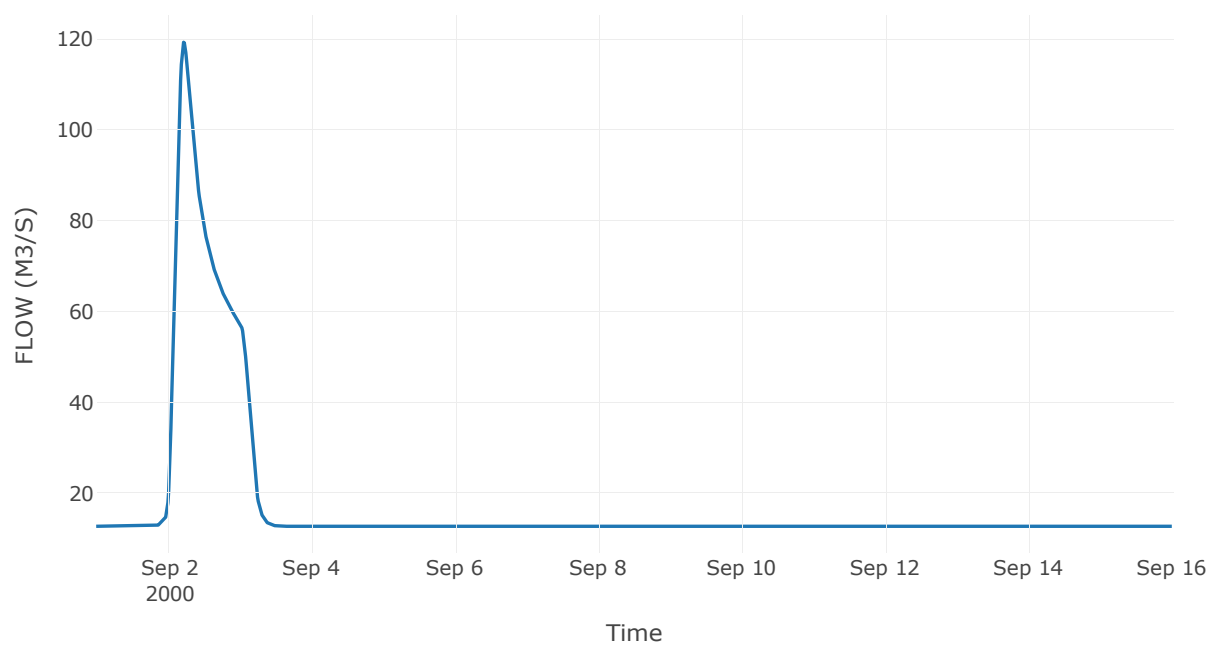
Κόμβος: J17

Κατάντη : R1716

Αποτελέσματα: J17

Παροχή Αιχμής (M3/S)	119.28
Χρονική στιγμή αιχμής	02Sep2000, 05:15
Όγκος (MM)	106.87

Απορροή



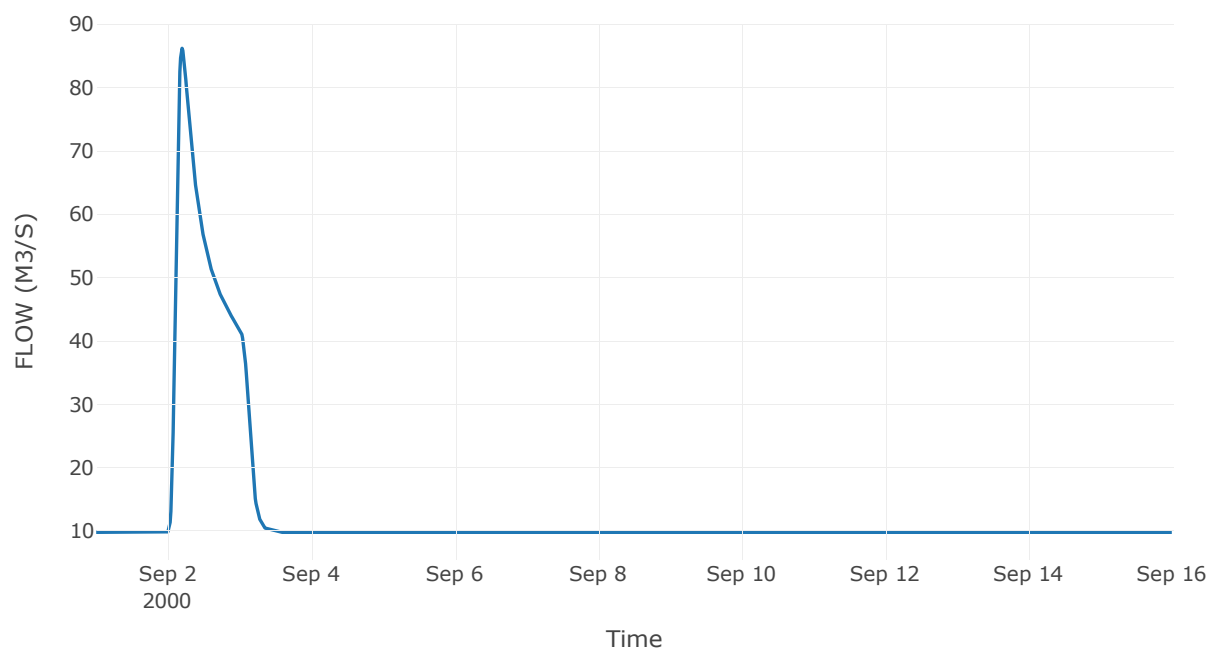
Κόμβος: J18

Κατάντη : R1817

Αποτελέσματα: J18

Παροχή Αιχμής (M3/S)	86.16
Χρονική στιγμή αιχμής	02Sep2000, 04:45
Όγκος (MM)	103.75

Απορροή



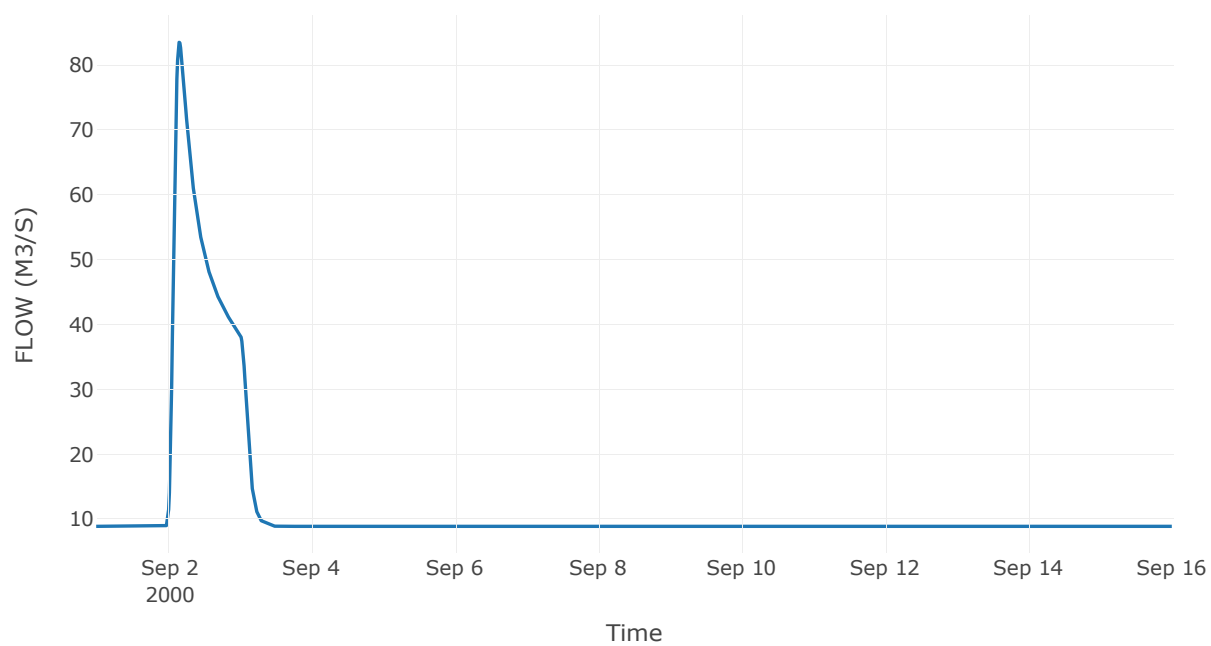
Κόμβος: J19

Κατάντη : R1918

Αποτελέσματα: J19

Παροχή Αιχμής (M3/S)	83.53
Χρονική στιγμή αιχμής	02Sep2000, 03:45
Όγκος (MM)	105.17

Απορροή



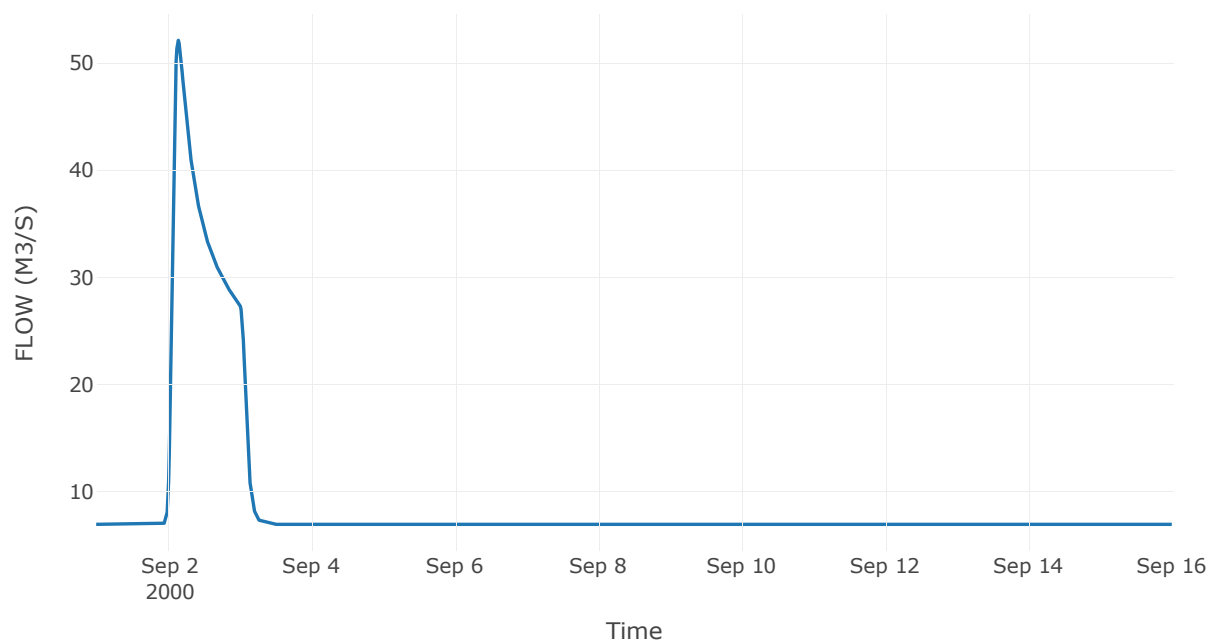
Κόμβος: J20

Κατάντη : R2016

Αποτελέσματα: J20

Παροχή Αιχμής (M3/S)	52.1
Χρονική στιγμή αιχμής	02Sep2000, 03:30
Όγκος (MM)	100.27

Απορροή



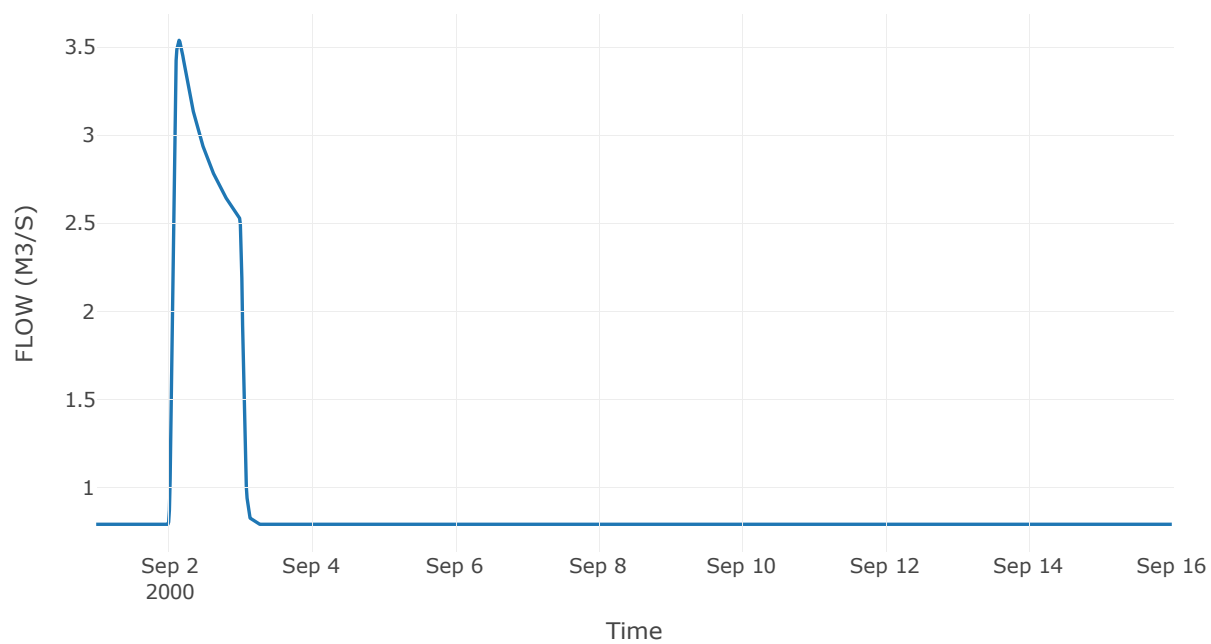
Κόμβος: J21

Κατάντη : R2120

Αποτελέσματα: J21

Παροχή Αιχμής (M3/S)	3.54
Χρονική στιγμή αιχμής	02Sep2000, 03:45
Όγκος (MM)	91.74

Απορροή



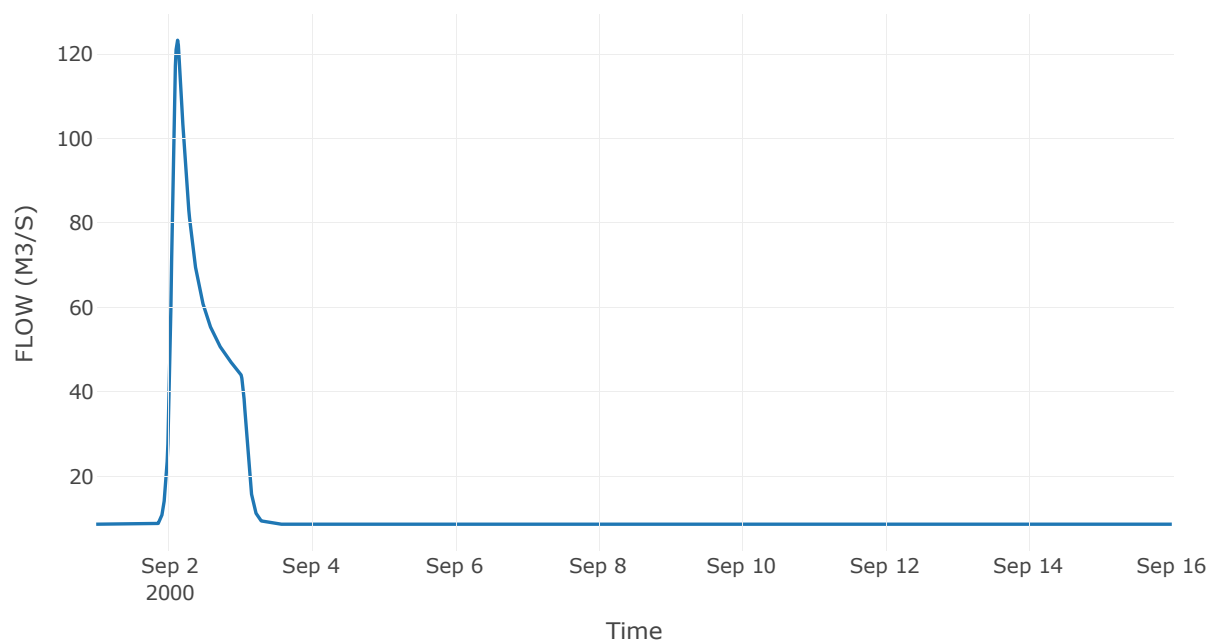
Κόμβος: J22

Κατάντη : R2214

Αποτελέσματα: J22

Παροχή Αιχμής (M3/S)	123.18
Χρονική στιγμή αιχμής	02Sep2000, 03:15
Όγκος (MM)	116.2

Απορροή



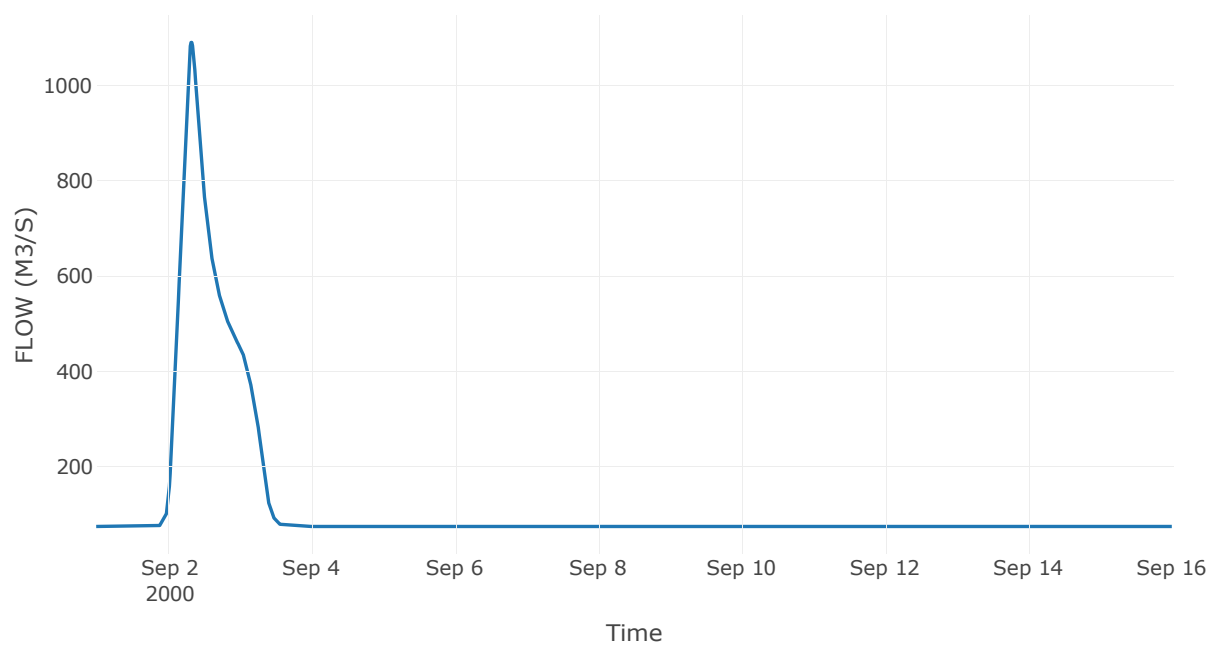
Κόμβος: J23

Κατάντη : R2311

Αποτελέσματα: J23

Παροχή Αιχμής (M3/S)	1090.27
Χρονική στιγμή αιχμής	02Sep2000, 07:45
Όγκος (MM)	124.36

Απορροή



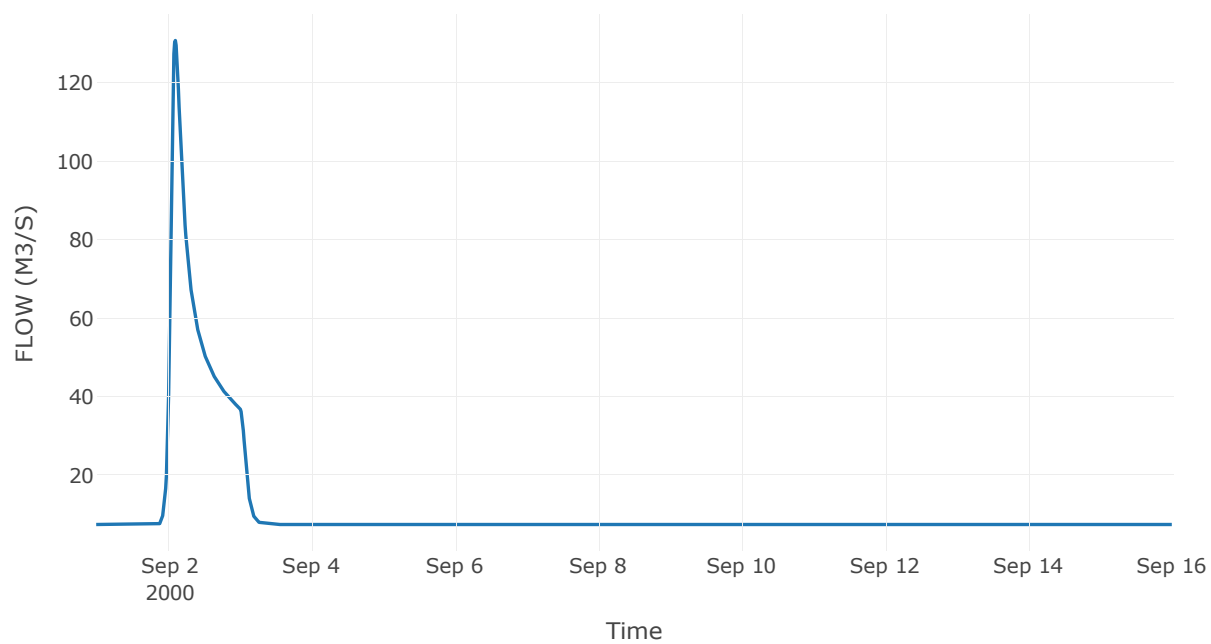
Κόμβος: J24

Κατάντη : R2423

Αποτελέσματα: J24

Παροχή Αιχμής (M3/S)	130.82
Χρονική στιγμή αιχμής	02Sep2000, 02:30
Όγκος (MM)	118.01

Απορροή



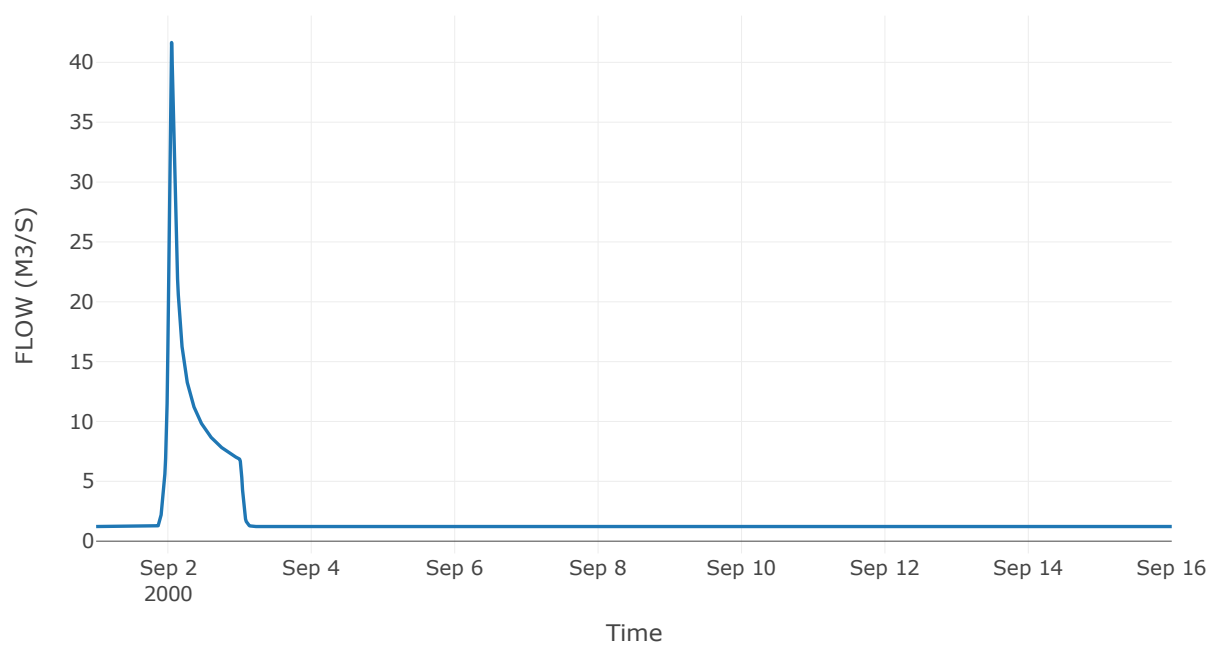
Κόμβος: J25

Κατάντη : R257

Αποτελέσματα: J25

Παροχή Αιχμής (M3/S)	41.66
Χρονική στιγμή αιχμής	02Sep2000, 01:15
Όγκος (MM)	130.74

Απορροή



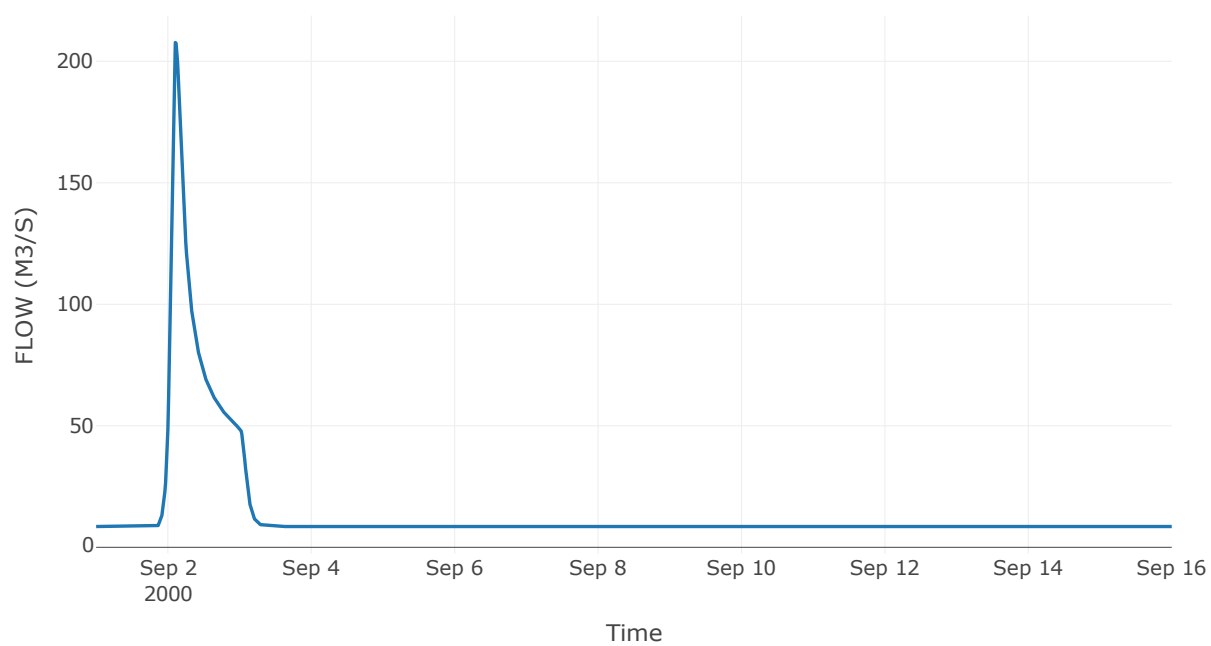
Κόμβος: J26

Κατάντη : R265

Αποτελέσματα: J26

Παροχή Αιχμής (M3/S)	207.73
Χρονική στιγμή αιχμής	02Sep2000, 02:30
Όγκος (MM)	131.34

Απορροή



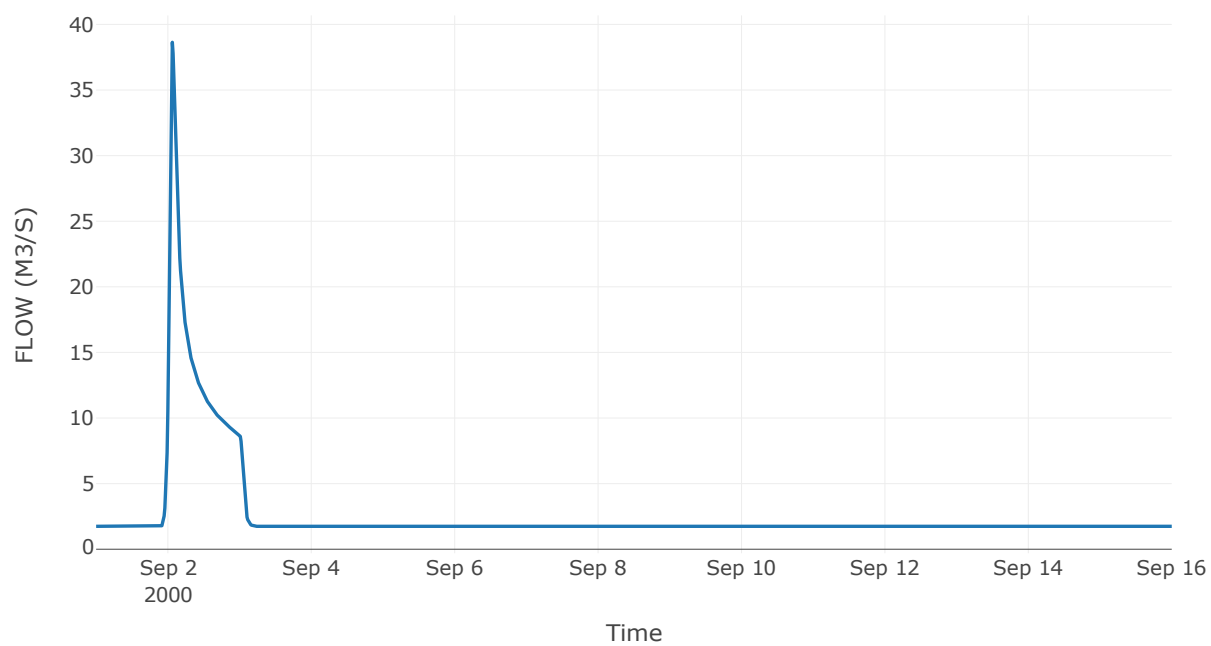
Κόμβος: J27

Κατάντη : R274

Αποτελέσματα: J27

Παροχή Αιχμής (M3/S)	38.64
Χρονική στιγμή αιχμής	02Sep2000, 01:30
Όγκος (MM)	118.48

Απορροή

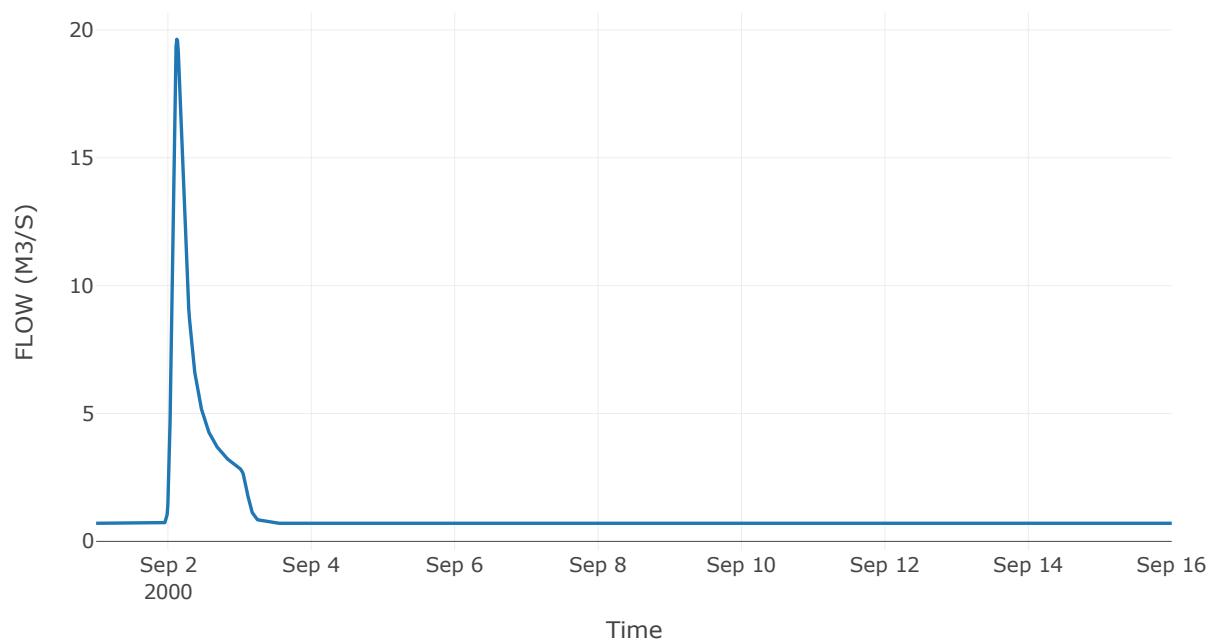


Κόμβος εξόδου: J28

Αποτελέσματ
α: J28

Παροχή αιχμής (M3/S)	19.63
Χρονική στιγμή αιχμής	02Sep2000, 03:00
Όγκος (MM)	125.1

Απορροή



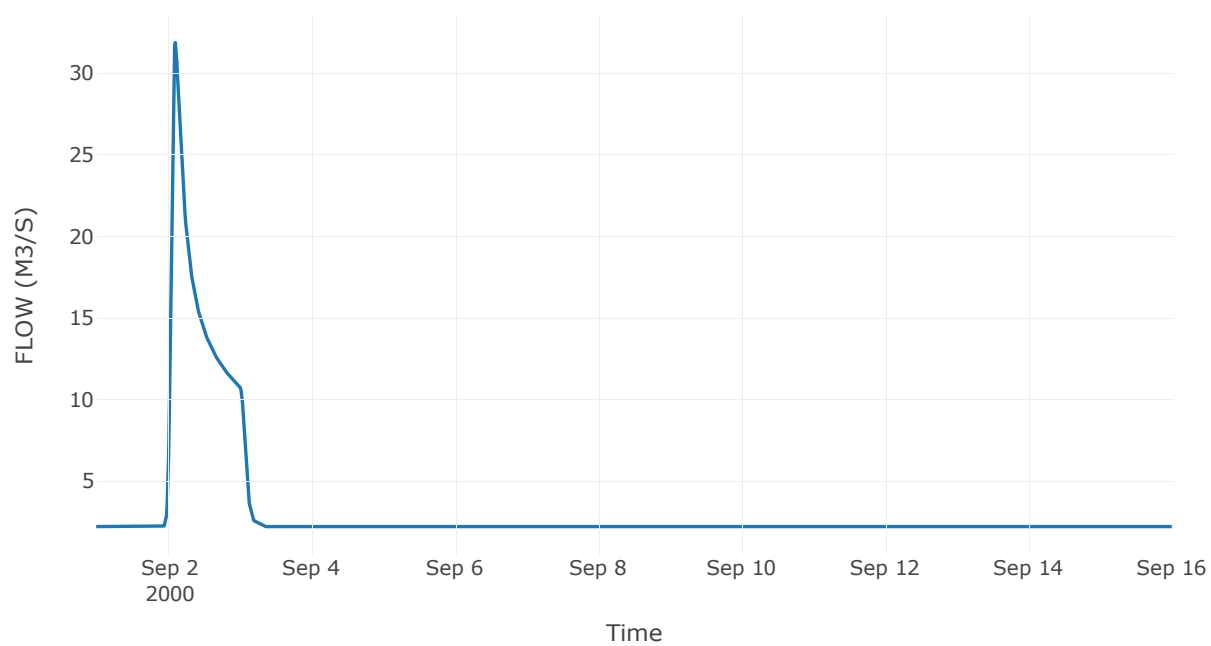
Κόμβος: J29

Κατάντη : R2917

Αποτελέσματα: J29

Παροχή Αιχμής (M3/S)	31.88
Χρονική στιγμή αιχμής	02Sep2000, 02:30
Όγκος (MM)	112.14

Απορροή



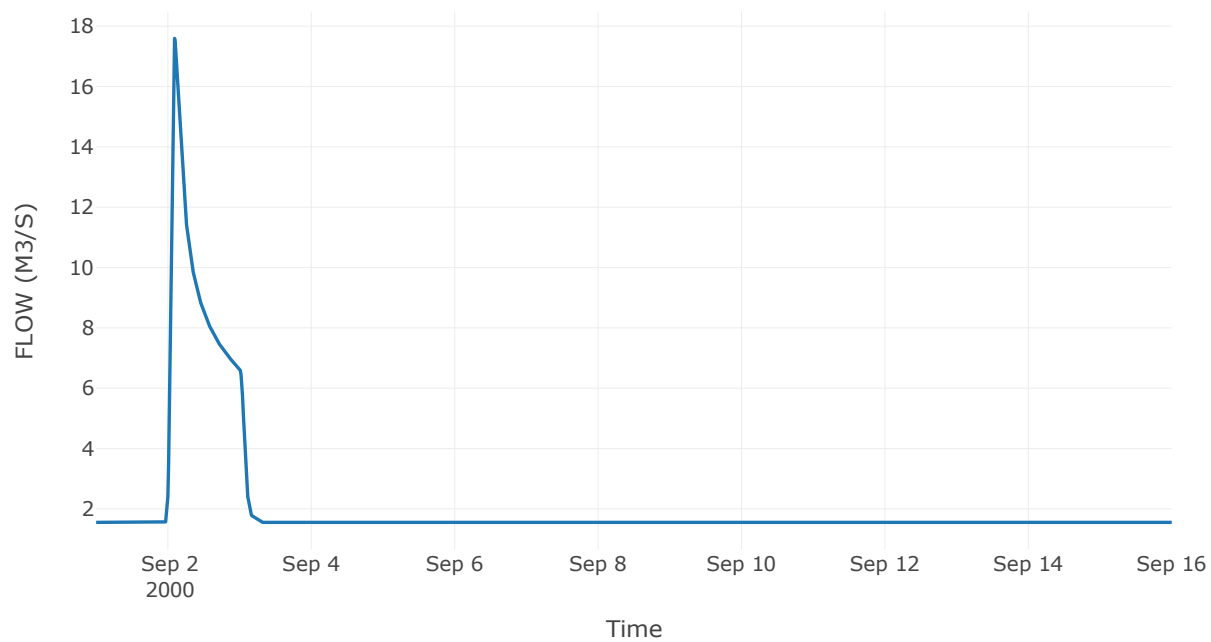
Κόμβος: J30

Κατάντη : R3020

Αποτελέσματα: J30

Παροχή Αιχμής (M3/S)	17.6
Χρονική στιγμή αιχμής	02Sep2000, 02:15
Όγκος (MM)	105.49

Απορροή



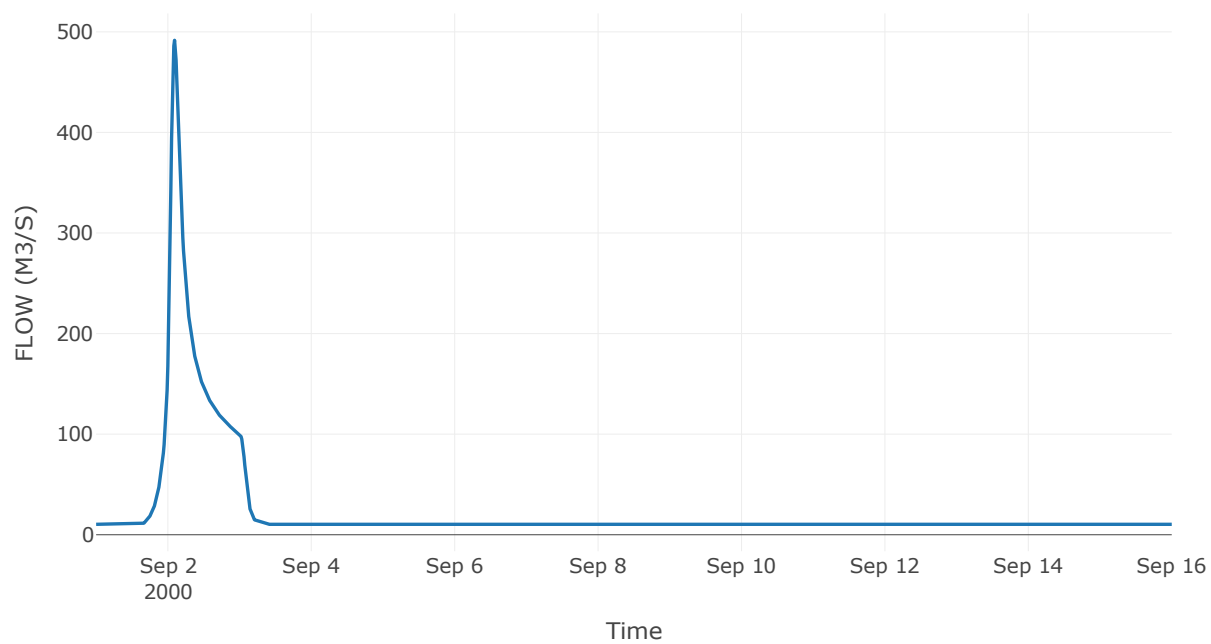
Κόμβος: J31

Κατάντη : R3113

Αποτελέσματα: J31

Παροχή Αιχμής (M3/S)	491.6
Χρονική στιγμή αιχμής	02Sep2000, 02:15
Όγκος (MM)	181.05

Απορροή



4 Δεδομένα εισόδου και αποτελέσματα υδρολογικού σεναρίου T=50U

4.1 Αποτελέσματα, υετογραφήματα και υδρογραφήματα σχεδιασμού υπολεκανών

Υπολεκάνη: EL0512FR1001

Έκταση (KM2) : 25.06

Κατάντη : J1

Μέθοδος Απωλειών: SCS

Ποσοστό αδιαπέρατης επιφάνειας	0
Αριθμός Καμπύλης Απορροής-CN	88.08
Αρχικές Απώλειες	6.87

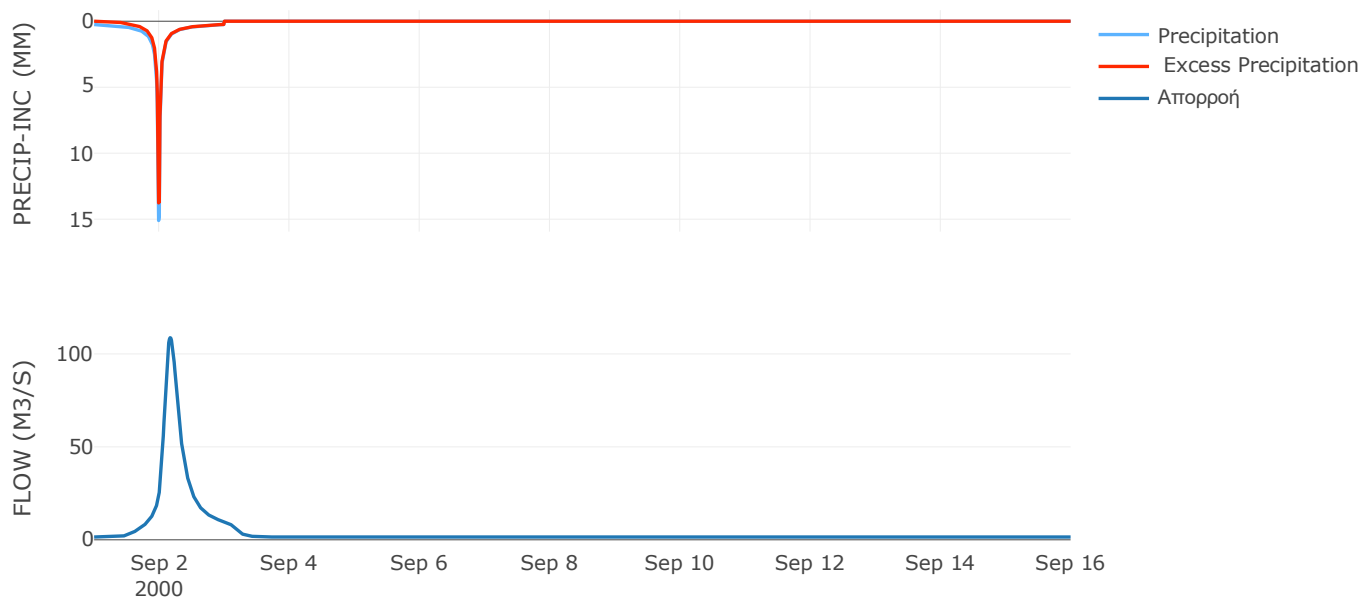
Μέθοδος
Μετασχηματισμού: SCS

Χρόνος Υστέρησης	233.98
------------------	--------

Αποτελέσματα:
EL0512FR1001

Παροχή αιχμής (M3/S)	108.72
Χρονική στιγμή αιχμής	02Sep2000, 04:00
Όγκος (MM)	227.72
Όγκος βροχόπτωσης (M3)	4.65E6
Όγκος απωλειών (M3)	8.94E5
Ενεργός Όγκος (M3)	3.76E6
Όγκος άμεσης απορροής (M3)	3.76E6
Όγκος βασικής απορροής (M3)	1.95E6

Βροχόπτωση και Απορροή



Υπολεκάνη: EL0512FR1002

Έκταση (KM2) : 13.38

Κατάντη : J2

Μέθοδος Απωλειών: SCS

Ποσοστό αδιαπέρατης επιφάνειας	0
Αριθμός Καμπύλης Απορροής-CN	84.81
Αρχικές Απώλειες	9.1

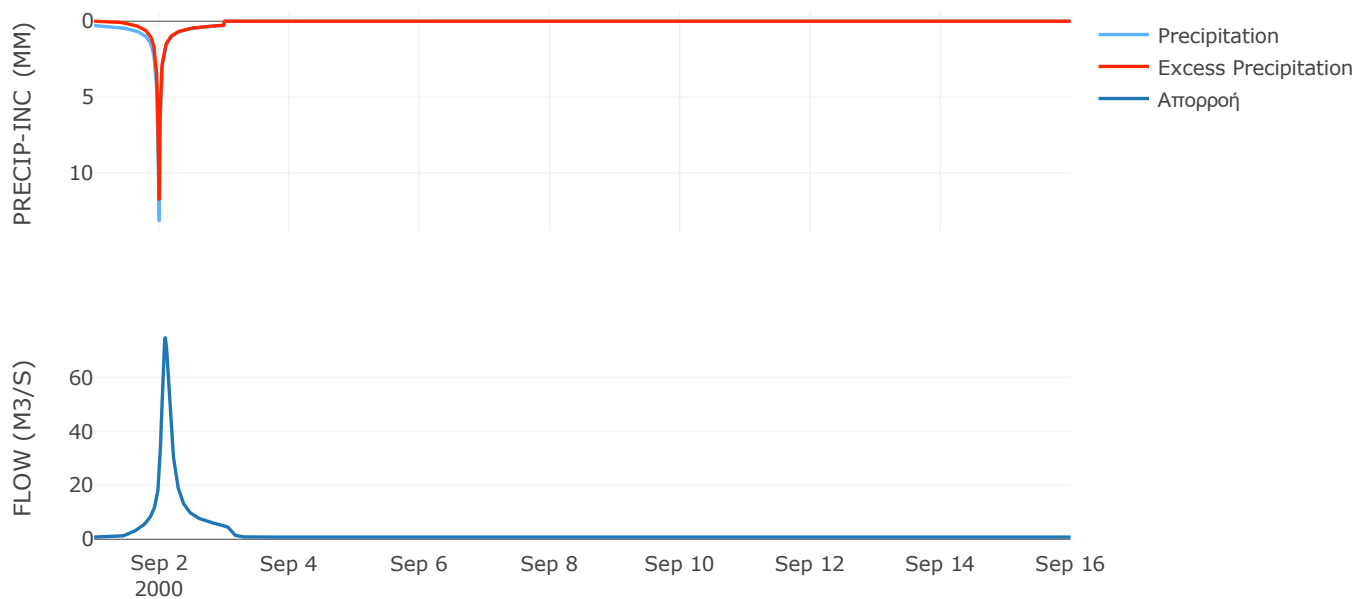
Μέθοδος
Μετασχηματισμού: SCS

Χρόνος Υστέρησης	124.51
------------------	--------

Αποτελέσματα:
EL0512FR1002

Παροχή αιχμής (M3/S)	74.64
Χρονική στιγμή αιχμής	02Sep2000, 02:15
Όγκος (MM)	219.56
Όγκος βροχόπτωσης (M3)	2.5E6
Όγκος απωλειών (M3)	6.07E5
Ενεργός Όγκος (M3)	1.9E6
Όγκος άμεσης απορροής (M3)	1.9E6
Όγκος βασικής απορροής (M3)	1.04E6

Βροχόπτωση και Απορροή



Υπολεκάνη: EL0512FR1003

Έκταση (KM2) : 11.79

Κατάντη : J28

Μέθοδος Απωλειών: SCS

Ποσοστό αδιαπέρατης επιφάνειας	0
Αριθμός Καμπύλης Απορροής-CN	84.45
Αρχικές Απώλειες	9.35

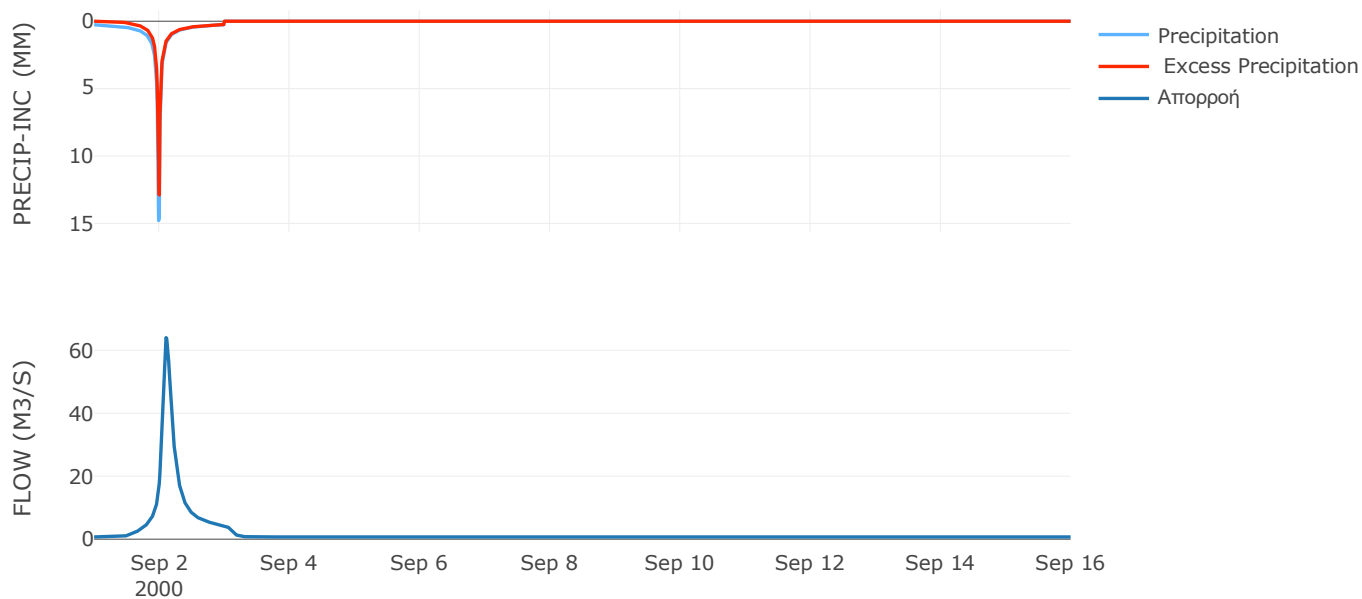
Μέθοδος
Μετασχηματισμού: SCS

Χρόνος Υστέρησης	145.95
------------------	--------

Αποτελέσματα:
EL0512FR1003

Παροχή αιχμής (M3/S)	64.01
Χρονική στιγμή αιχμής	02Sep2000, 02:30
Όγκος (MM)	218.88
Όγκος βροχόπτωσης (M3)	2.21E6
Όγκος απωλειών (M3)	5.47E5
Ενεργός Όγκος (M3)	1.66E6
Όγκος άμεσης απορροής (M3)	1.66E6
Όγκος βασικής απορροής (M3)	9.17E5

Βροχόπτωση και Απορροή



Υπολεκάνη: EL0512FR1004

Έκταση (KM2) : 17.07

Κατάντη : J4

Μέθοδος Απωλειών: SCS

Ποσοστό αδιαπέρατης επιφάνειας	0
Αριθμός Καμπύλης Απορροής-CN	82.25
Αρχικές Απώλειες	10.96

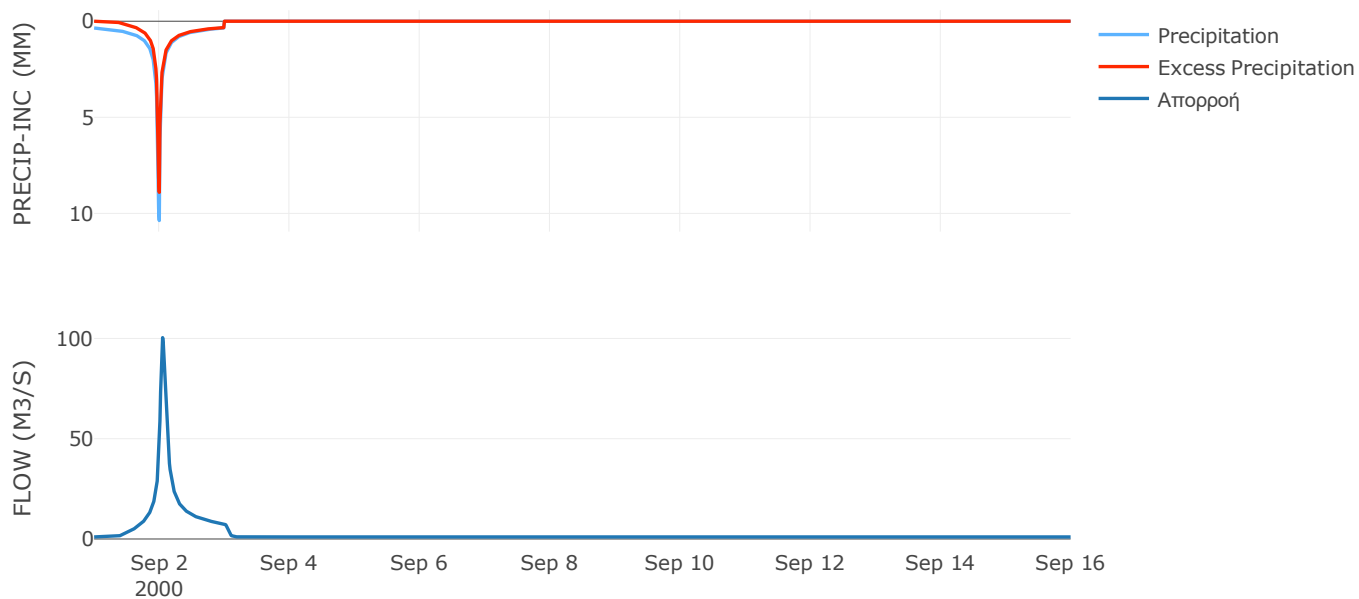
Μέθοδος
Μετασχηματισμού: SCS

Χρόνος Υστέρησης	70.19
------------------	-------

Αποτελέσματα:
EL0512FR1004

Παροχή αιχμής (M3/S)	100.42
Χρονική στιγμή αιχμής	02Sep2000, 01:15
Όγκος (MM)	214.78
Όγκος βροχόπτωσης (M3)	3.24E6
Όγκος απωλειών (M3)	9.03E5
Ενεργός Όγκος (M3)	2.34E6
Όγκος άμεσης απορροής (M3)	2.34E6
Όγκος βασικής απορροής (M3)	1.33E6

Βροχόπτωση και Απορροή



Υπολεκάνη: EL0512FR1005

Έκταση (KM2) : 3.17

Κατάνη : J4

Μέθοδος Απωλειών: SCS

Ποσοστό αδιαπέρατης επιφάνειας	0
Αριθμός Καμπύλης Απορροής-CN	80.58
Αρχικές Απώλειες	12.25

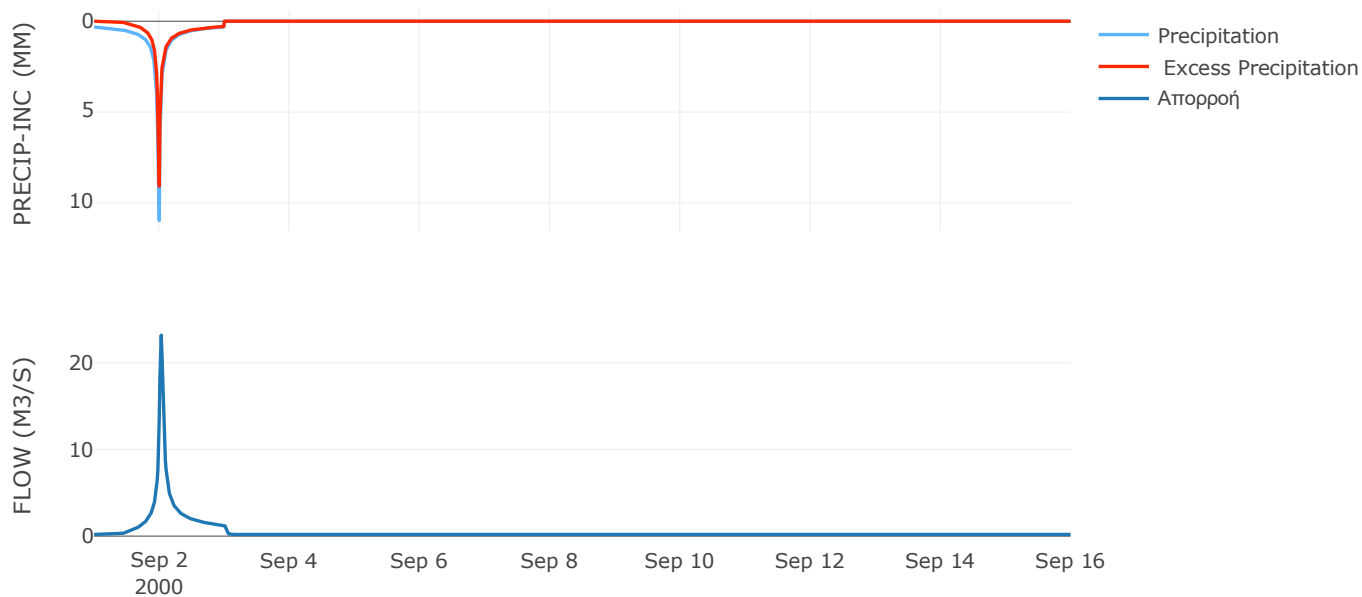
Μέθοδος
Μετασχηματισμού: SCS

Χρόνος Υστέρησης	37.45
------------------	-------

Αποτελέσματα:
EL0512FR1005

Παροχή αιχμής (M3/S)	23.19
Χρονική στιγμή αιχμής	02Sep2000, 00:45
Όγκος (MM)	203.16
Όγκος βροχόπτωσης (M3)	5.79E5
Όγκος απωλειών (M3)	1.82E5
Ενεργός Όγκος (M3)	3.98E5
Όγκος άμεσης απορροής (M3)	3.98E5
Όγκος βασικής απορροής (M3)	2.47E5

Βροχόπτωση και Απορροή



Υπολεκάνη: EL0512FR1006

Έκταση (KM2) : 18.76

Κατάντη : J5

Μέθοδος Απωλειών: SCS

Ποσοστό αδιαπέρατης επιφάνειας	0
Αριθμός Καμπύλης Απορροής-CN	82.15
Αρχικές Απώλειες	11.04

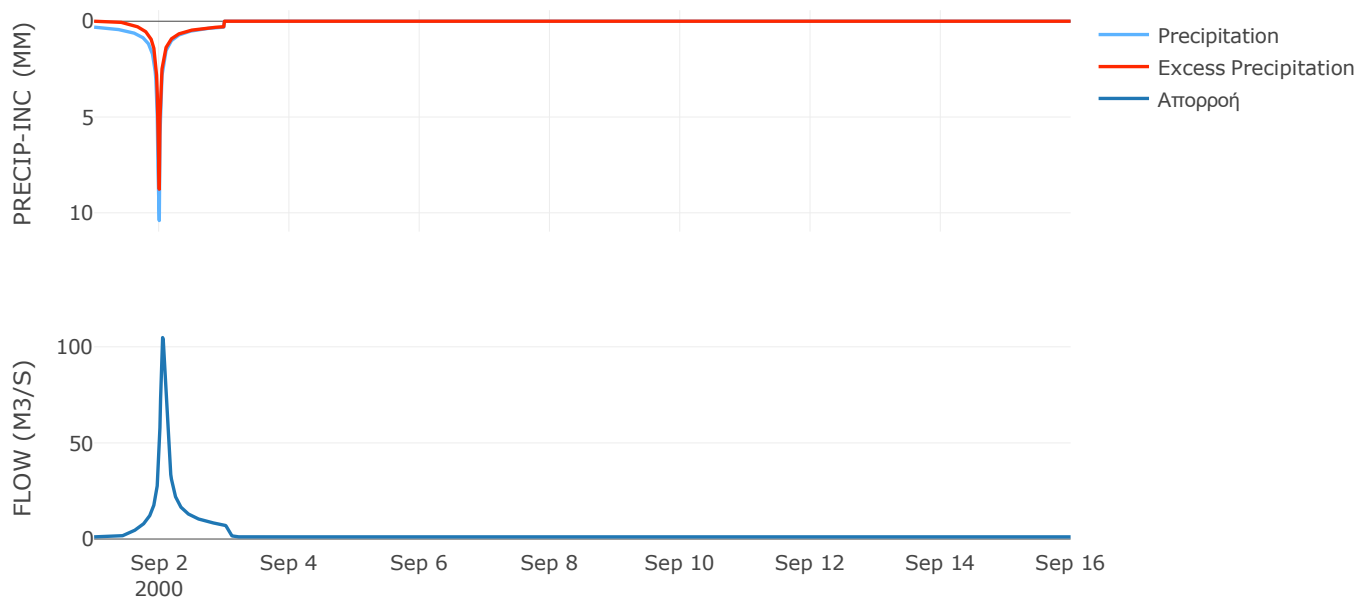
Μέθοδος
Μετασχηματισμού: SCS

Χρόνος Υστέρησης	73.33
------------------	-------

Αποτελέσματα:
EL0512FR1006

Παροχή αιχμής (M3/S)	104.81
Χρονική στιγμή αιχμής	02Sep2000, 01:15
Όγκος (MM)	201.65
Όγκος βροχόπτωσης (M3)	3.31E6
Όγκος απωλειών (M3)	9.83E5
Ενεργός Όγκος (M3)	2.32E6
Όγκος άμεσης απορροής (M3)	2.32E6
Όγκος βασικής απορροής (M3)	1.46E6

Βροχόπτωση και Απορροή



Υπολεκάνη: EL0512FR1007

Έκταση (KM2) : 22.72

Κατάντη : J5

Μέθοδος Απωλειών: SCS

Ποσοστό αδιαπέρατης επιφάνειας	0
Αριθμός Καμπύλης Απορροής-CN	82.64
Αρχικές Απώλειες	10.67

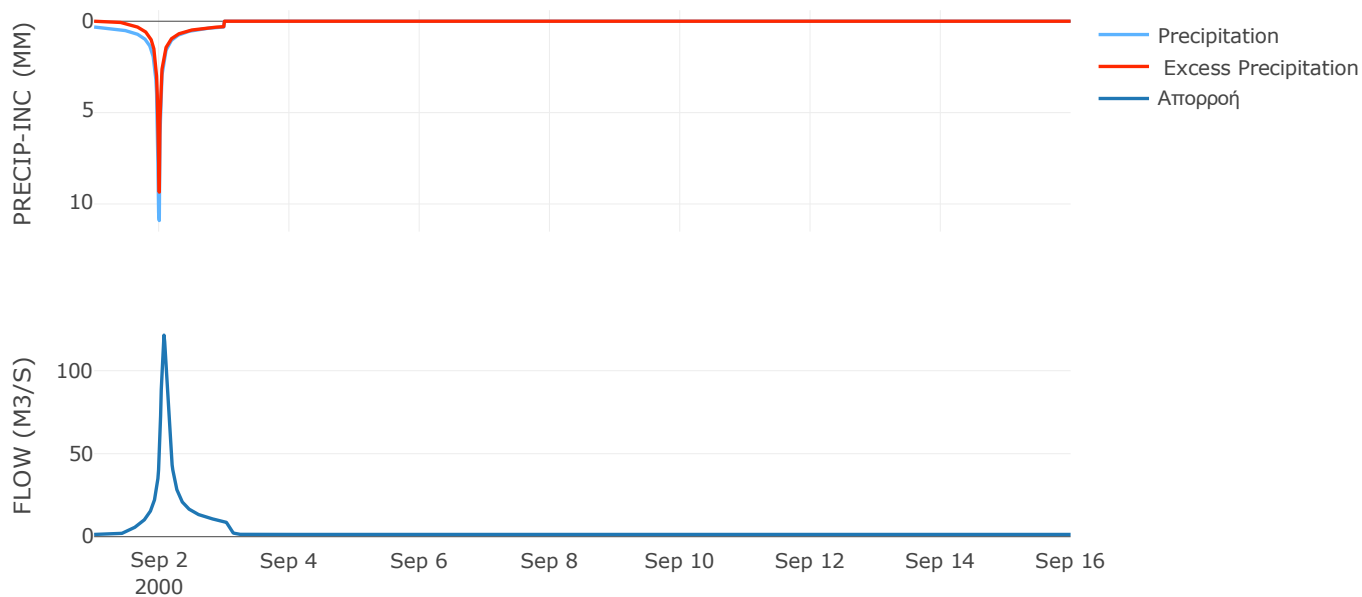
Μέθοδος
Μετασχηματισμού: SCS

Χρόνος Υστέρησης	93
------------------	----

Αποτελέσματα:
EL0512FR1007

Παροχή αιχμής (M3/S)	121.44
Χρονική στιγμή αιχμής	02Sep2000, 01:45
Όγκος (MM)	208.94
Όγκος βροχόπτωσης (M3)	4.15E6
Όγκος απωλειών (M3)	1.17E6
Ενεργός Όγκος (M3)	2.98E6
Όγκος άμεσης απορροής (M3)	2.98E6
Όγκος βασικής απορροής (M3)	1.77E6

Βροχόπτωση και Απορροή



Υπολεκάνη: EL0512FR1008

Έκταση (KM2) : 12.83

Κατάντη : J6

Μέθοδος Απωλειών: SCS

Ποσοστό αδιαπέρατης επιφάνειας	0
Αριθμός Καμπύλης Απορροής-CN	85.05
Αρχικές Απώλειες	8.93

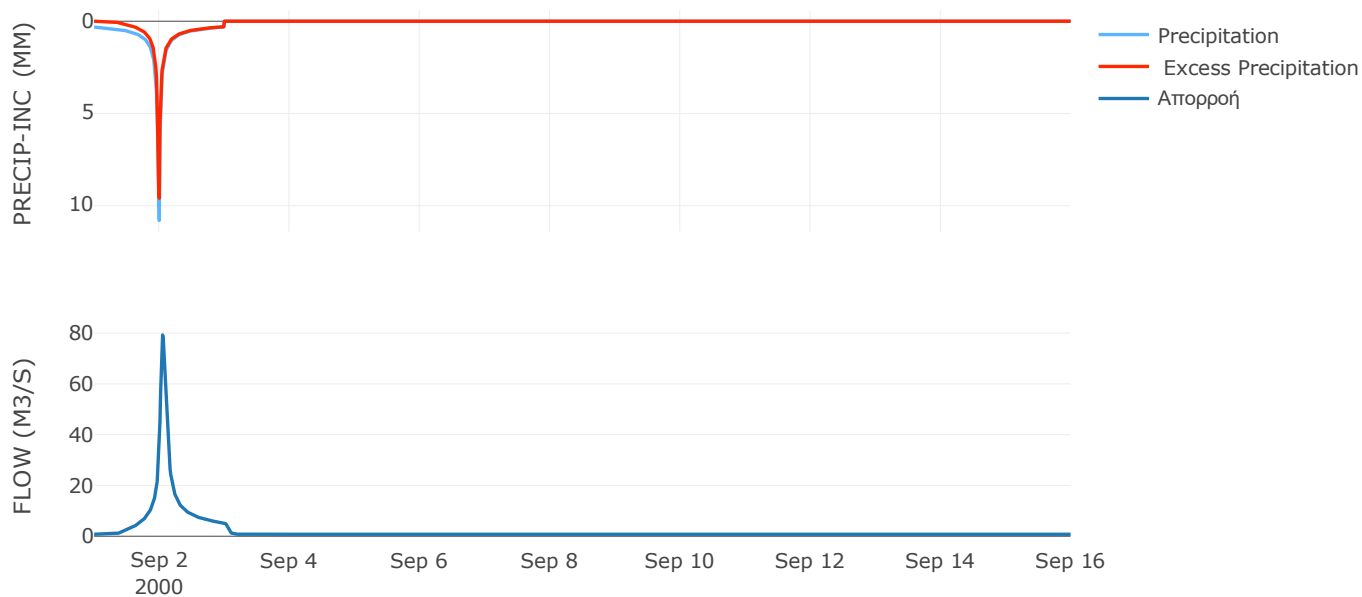
Μέθοδος
Μετασχηματισμού: SCS

Χρόνος Υστέρησης	72.48
------------------	-------

Αποτελέσματα:
EL0512FR1008

Παροχή αιχμής (M3/S)	79.26
Χρονική στιγμή αιχμής	02Sep2000, 01:15
Όγκος (MM)	214.34
Όγκος βροχόπτωσης (M3)	2.32E6
Όγκος απωλειών (M3)	5.7E5
Ενεργός Όγκος (M3)	1.75E6
Όγκος άμεσης απορροής (M3)	1.75E6
Όγκος βασικής απορροής (M3)	9.98E5

Βροχόπτωση και Απορροή



Υπολεκάνη: EL0512FR1009

Έκταση (KM2) : 9.15

Κατάντη : J7

Μέθοδος Απωλειών: SCS

Ποσοστό αδιαπέρατης επιφάνειας	0
Αριθμός Καμπύλης Απορροής-CN	85.16
Αρχικές Απώλειες	8.85

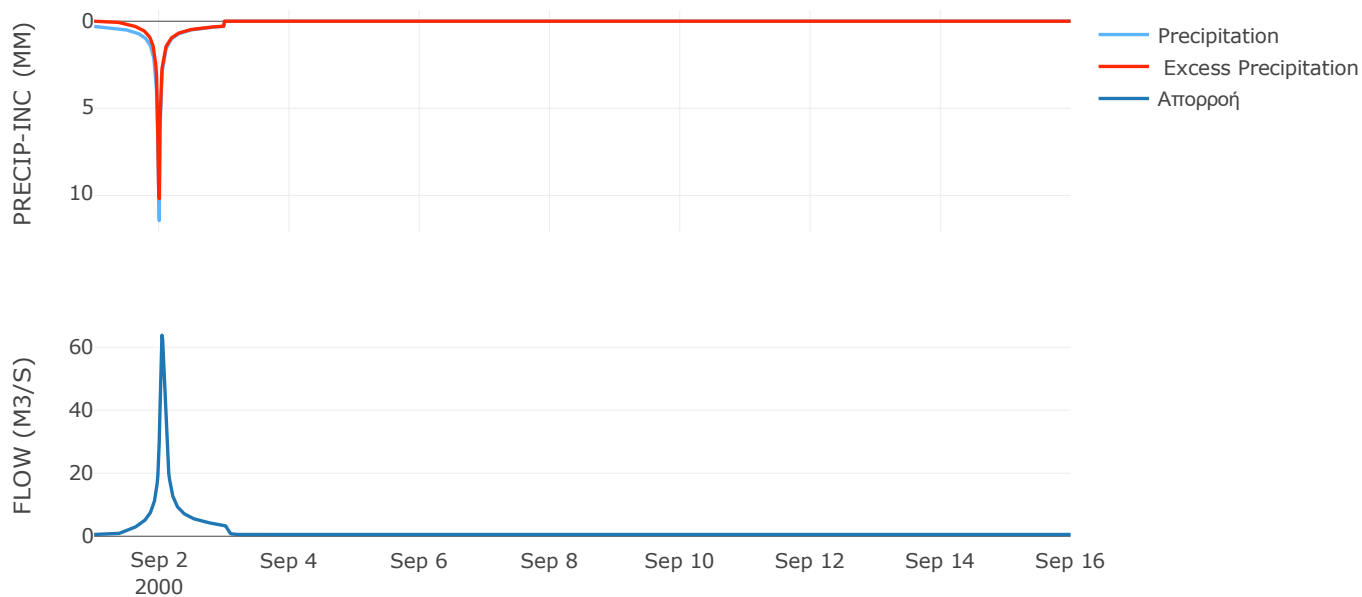
Μέθοδος
Μετασχηματισμού: SCS

Χρόνος Υστέρησης	60.38
------------------	-------

Αποτελέσματα:
EL0512FR1009

Παροχή αιχμής (M3/S)	63.8
Χρονική στιγμή αιχμής	02Sep2000, 01:00
Όγκος (MM)	214.29
Όγκος βροχόπτωσης (M3)	1.65E6
Όγκος απωλειών (M3)	4.03E5
Ενεργός Όγκος (M3)	1.25E6
Όγκος άμεσης απορροής (M3)	1.25E6
Όγκος βασικής απορροής (M3)	7.11E5

Βροχόπτωση και Απορροή



Υπολεκάνη: EL0512FR1010

Έκταση (KM2) : 37.24

Κατάντη : J7

Μέθοδος Απωλειών: SCS

Ποσοστό αδιαπέρατης επιφάνειας	0
Αριθμός Καμπύλης Απορροής-CN	88.65
Αρχικές Απώλειες	6.5

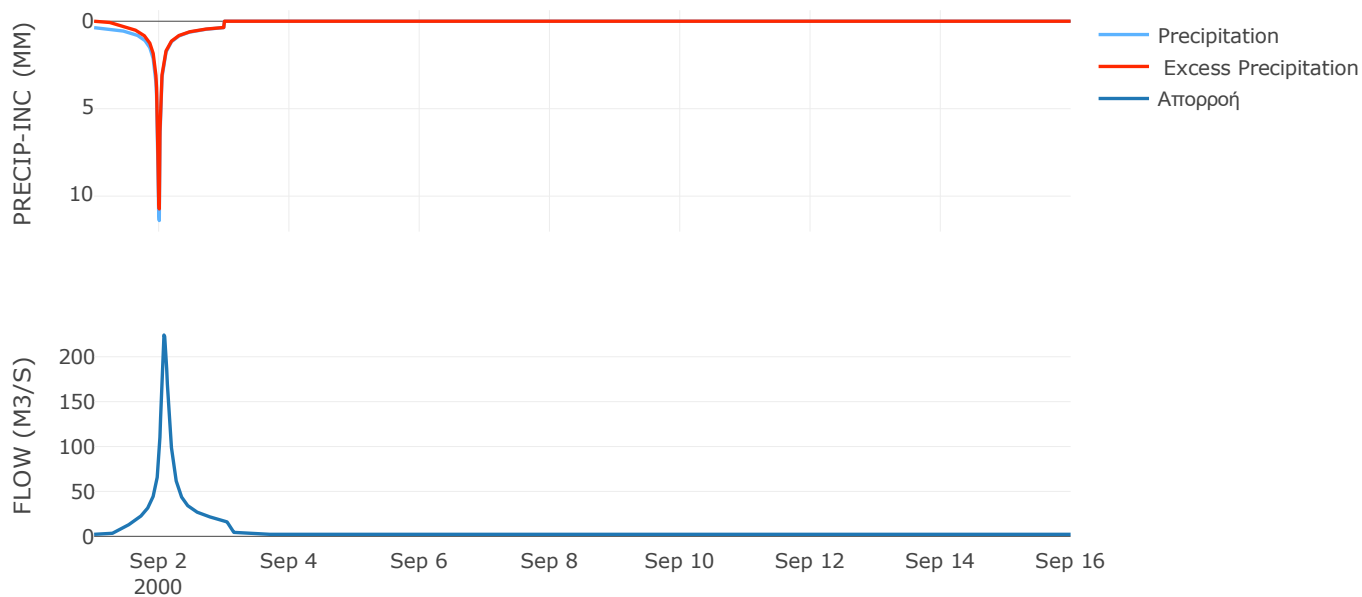
Μέθοδος
Μετασχηματισμού: SCS

Χρόνος Υστέρησης	104.39
------------------	--------

Αποτελέσματα:
EL0512FR1010

Παροχή αιχμής (M3/S)	224.19
Χρονική στιγμή αιχμής	02Sep2000, 01:45
Όγκος (MM)	245.81
Όγκος βροχόπτωσης (M3)	7.54E6
Όγκος απωλειών (M3)	1.28E6
Ενεργός Όγκος (M3)	6.26E6
Όγκος άμεσης απορροής (M3)	6.26E6
Όγκος βασικής απορροής (M3)	2.9E6

Βροχόπτωση και Απορροή



Υπολεκάνη: EL0512FR1011

Έκταση (KM2) : 16.64

Κατάντη : J8

Μέθοδος Απωλειών: SCS

Ποσοστό αδιαπέρατης επιφάνειας	0
Αριθμός Καμπύλης Απορροής-CN	81.73
Αρχικές Απώλειες	11.36

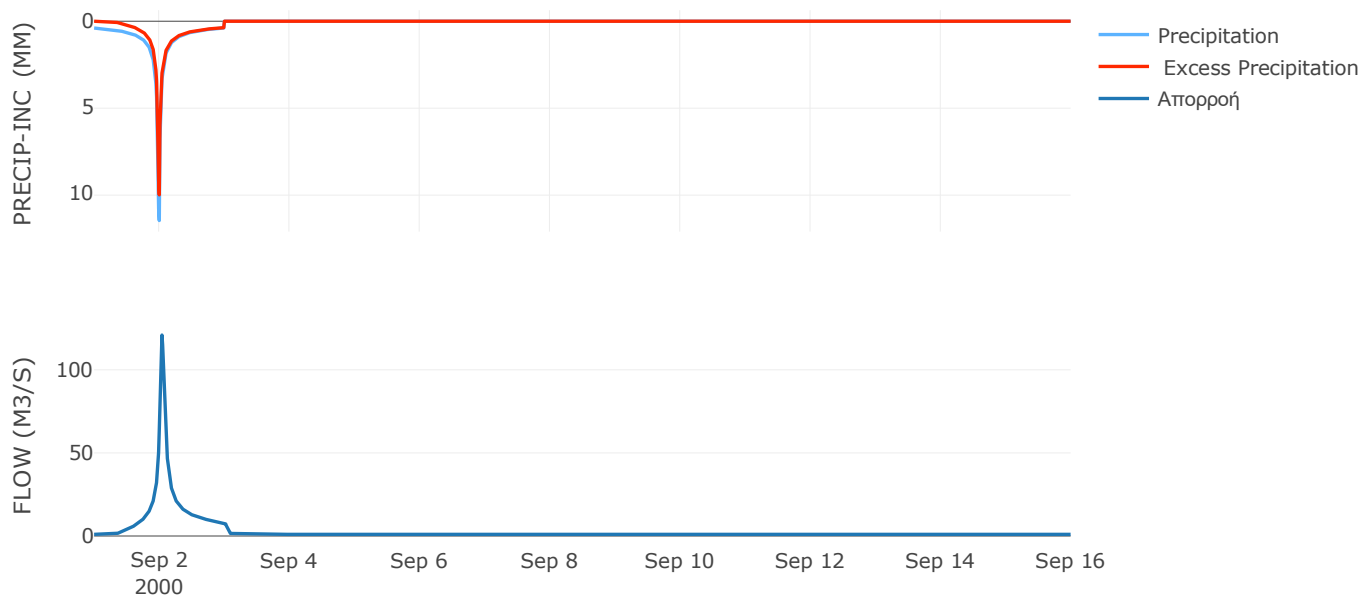
Μέθοδος
Μετασχηματισμού: SCS

Χρόνος Υστέρησης	54.49
------------------	-------

Αποτελέσματα:
EL0512FR1011

Παροχή αιχμής (M3/S)	120.9
Χρονική στιγμή αιχμής	02Sep2000, 01:00
Όγκος (MM)	232.64
Όγκος βροχόπτωσης (M3)	3.5E6
Όγκος απωλειών (M3)	9.24E5
Ενεργός Όγκος (M3)	2.58E6
Όγκος άμεσης απορροής (M3)	2.58E6
Όγκος βασικής απορροής (M3)	1.29E6

Βροχόπτωση και Απορροή



Υπολεκάνη: EL0512FR1012

Έκταση (KM2) : 37.82

Κατάντη : J9

Μέθοδος Απωλειών: SCS

Ποσοστό αδιαπέρατης επιφάνειας	0
Αριθμός Καμπύλης Απορροής-CN	81.26
Αρχικές Απώλειες	11.71

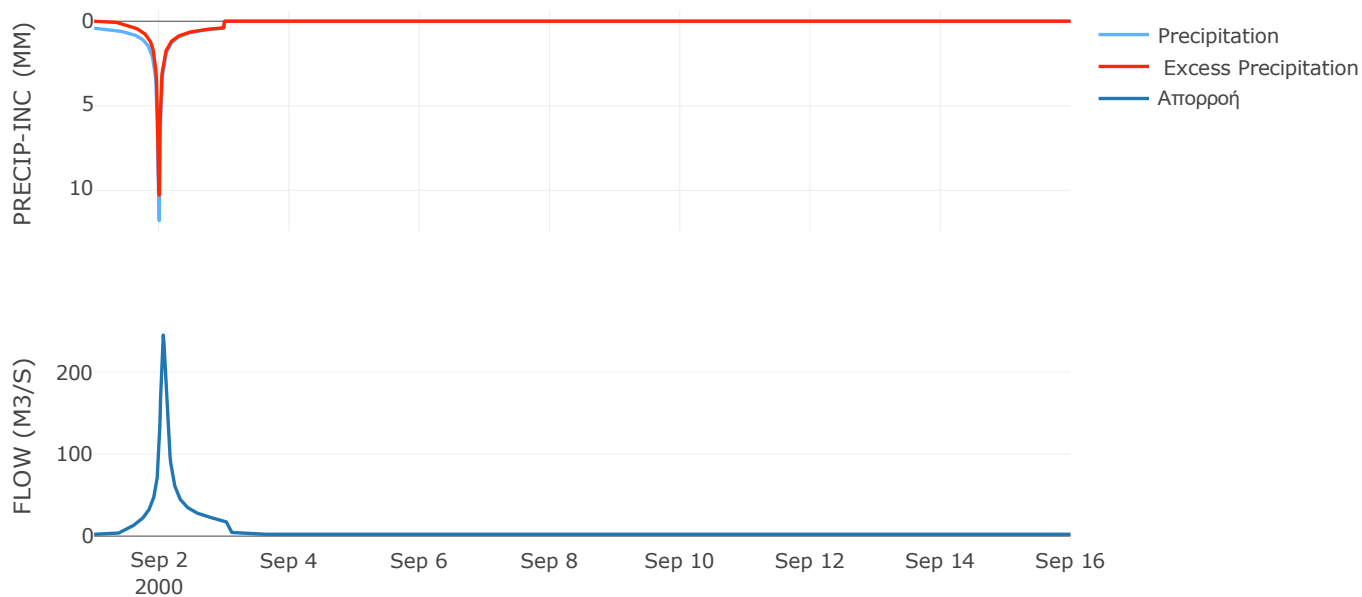
Μέθοδος
Μετασχηματισμού: SCS

Χρόνος Υστέρησης	78.93
------------------	-------

Αποτελέσματα:
EL0512FR1012

Παροχή αιχμής (M3/S)	245.08
Χρονική στιγμή αιχμής	02Sep2000, 01:30
Όγκος (MM)	239.32
Όγκος βροχόπτωσης (M3)	8.28E6
Όγκος απωλειών (M3)	2.17E6
Ενεργός Όγκος (M3)	6.11E6
Όγκος άμεσης απορροής (M3)	6.11E6
Όγκος βασικής απορροής (M3)	2.94E6

Βροχόπτωση και Απορροή



Υπολεκάνη: EL0512FR1013

Έκταση (KM2) : 42.56

Κατάντη : J10

Μέθοδος Απωλειών: SCS

Ποσοστό αδιαπέρατης επιφάνειας	0
Αριθμός Καμπύλης Απορροής-CN	84.49
Αρχικές Απώλειες	9.32

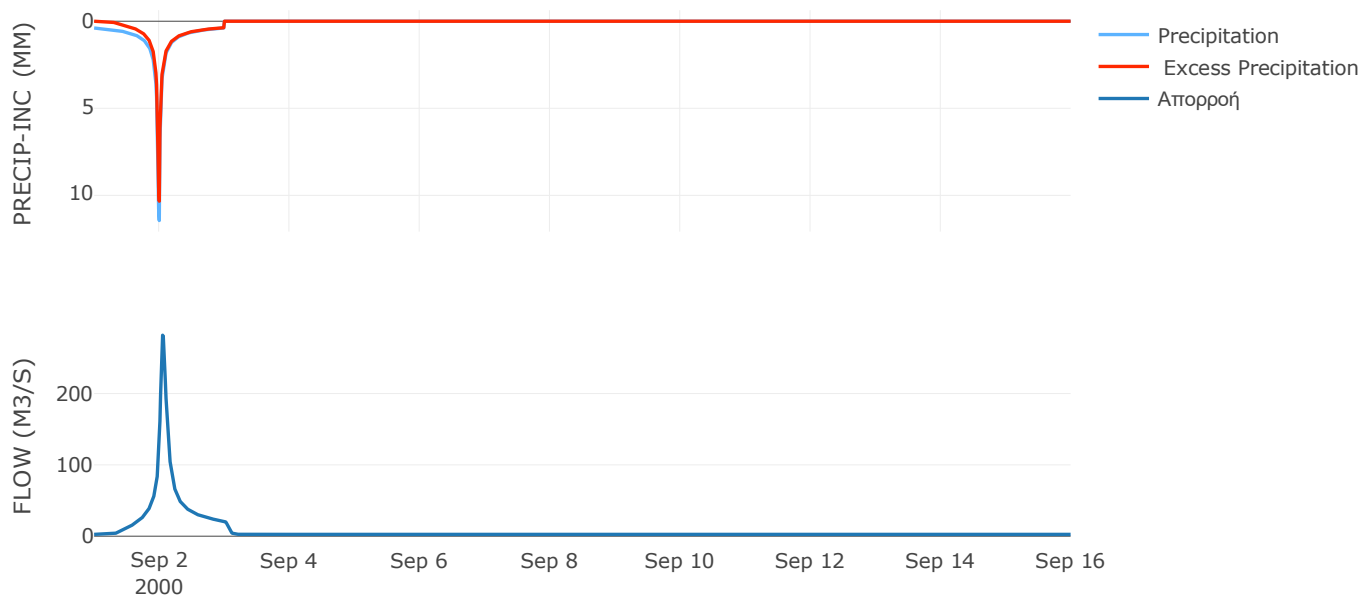
Μέθοδος
Μετασχηματισμού: SCS

Χρόνος Υστέρησης	76.36
------------------	-------

Αποτελέσματα:
EL0512FR1013

Παροχή αιχμής (M3/S)	281.8
Χρονική στιγμή αιχμής	02Sep2000, 01:15
Όγκος (MM)	240.13
Όγκος βροχόπτωσης (M3)	8.92E6
Όγκος απωλειών (M3)	2.01E6
Ενεργός Όγκος (M3)	6.91E6
Όγκος άμεσης απορροής (M3)	6.91E6
Όγκος βασικής απορροής (M3)	3.31E6

Βροχόπτωση και Απορροή



Υπολεκάνη: EL0512FR1014

Έκταση (KM2) : 20.41

Κατάντη : J25

Μέθοδος Απωλειών: SCS

Ποσοστό αδιαπέρατης επιφάνειας	0
Αριθμός Καμπύλης Απορροής-CN	83.76
Αρχικές Απώλειες	9.85

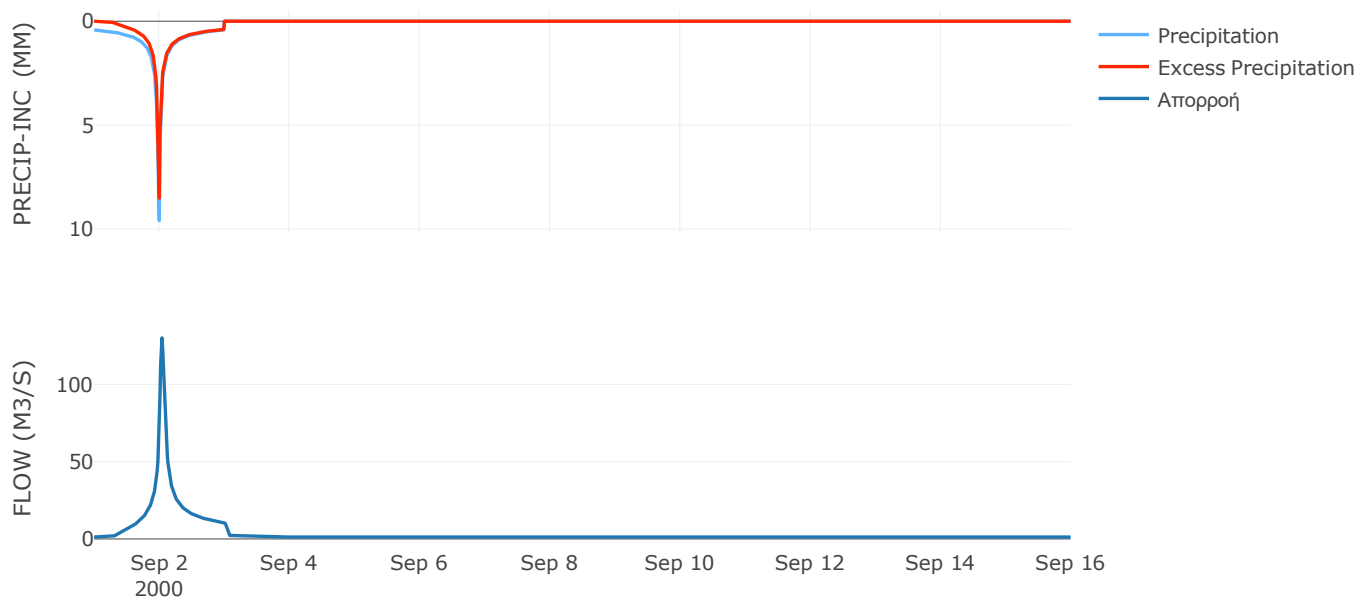
Μέθοδος
Μετασχηματισμού: SCS

Χρόνος Υστέρησης	53.77
------------------	-------

Αποτελέσματα:
EL0512FR1014

Παροχή αιχμής (M3/S)	130.08
Χρονική στιγμή αιχμής	02Sep2000, 01:00
Όγκος (MM)	231.54
Όγκος βροχόπτωσης (M3)	4.14E6
Όγκος απωλειών (M3)	1E6
Ενεργός Όγκος (M3)	3.14E6
Όγκος άμεσης απορροής (M3)	3.14E6
Όγκος βασικής απορροής (M3)	1.59E6

Βροχόπτωση και Απορροή



Υπολεκάνη: EL0512FR1015

Έκταση (KM2) : 55.38

Κατάντη : J26

Μέθοδος Απωλειών: SCS

Ποσοστό αδιαπέρατης επιφάνειας	0
Αριθμός Καμπύλης Απορροής-CN	83.5
Αρχικές Απώλειες	10.04

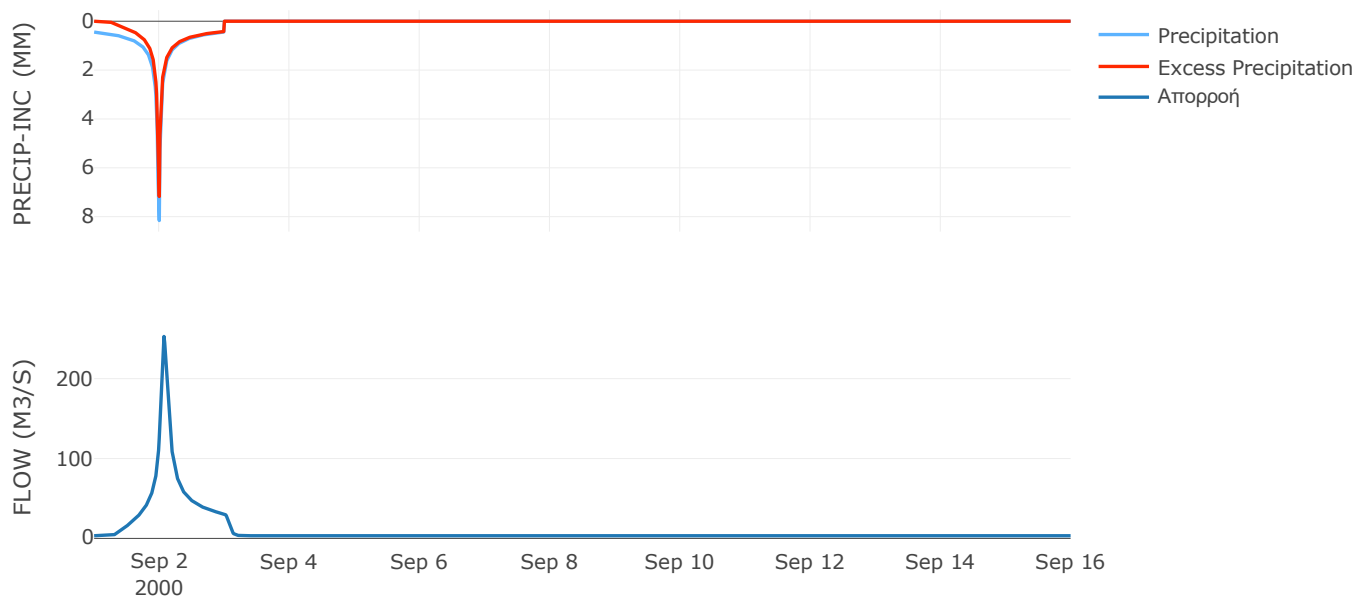
Μέθοδος
Μετασχηματισμού: SCS

Χρόνος Υστέρησης	91.66
------------------	-------

Αποτελέσματα:
EL0512FR1015

Παροχή αιχμής (M3/S)	252.86
Χρονική στιγμή αιχμής	02Sep2000, 01:45
Όγκος (MM)	226.29
Όγκος βροχόπτωσης (M3)	1.1E7
Όγκος απωλειών (M3)	2.75E6
Ενεργός Όγκος (M3)	8.23E6
Όγκος άμεσης απορροής (M3)	8.23E6
Όγκος βασικής απορροής (M3)	4.31E6

Βροχόπτωση και Απορροή



Υπολεκάνη: EL0512FR1016

Έκταση (KM2) : 87.24

Κατάντη : J26

Μέθοδος Απωλειών: SCS

Ποσοστό αδιαπέρατης επιφάνειας	0
Αριθμός Καμπύλης Απορροής-CN	86.19
Αρχικές Απώλειες	8.14

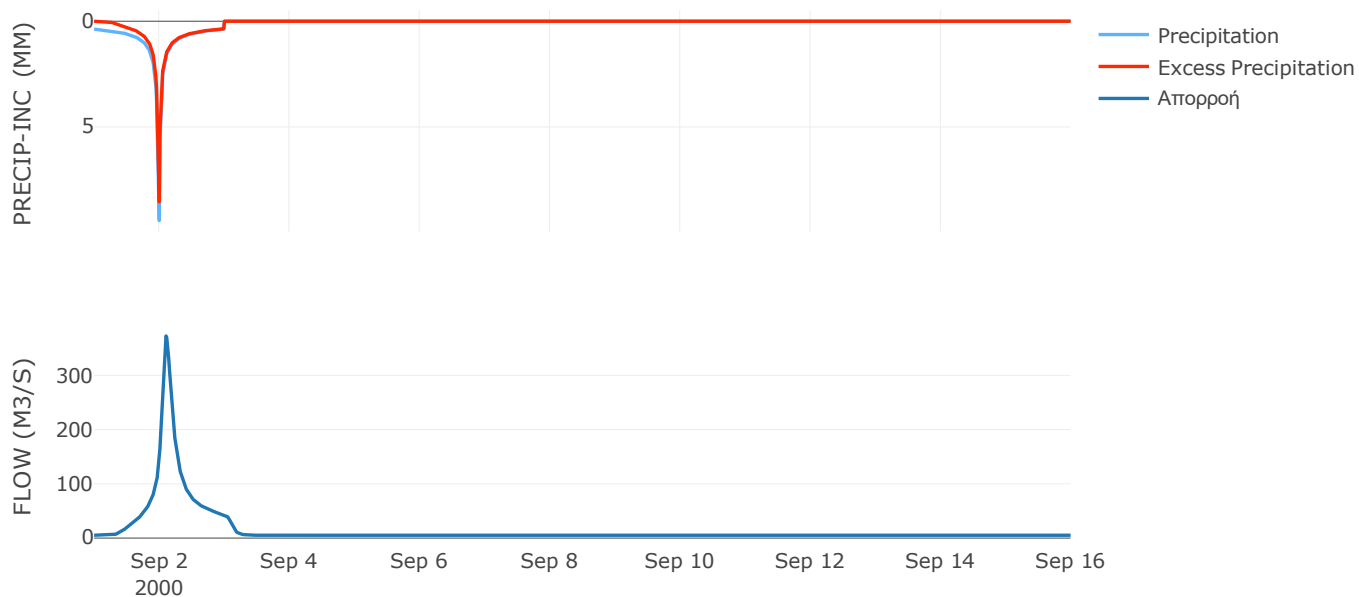
Μέθοδος
Μετασχηματισμού: SCS

Χρόνος Υστέρησης	142.8
------------------	-------

Αποτελέσματα:
EL0512FR1016

Παροχή αιχμής (M3/S)	372.7
Χρονική στιγμή αιχμής	02Sep2000, 02:30
Όγκος (MM)	224.85
Όγκος βροχόπτωσης (M3)	1.64E7
Όγκος απωλειών (M3)	3.61E6
Ενεργός Όγκος (M3)	1.28E7
Όγκος άμεσης απορροής (M3)	1.28E7
Όγκος βασικής απορροής (M3)	6.78E6

Βροχόπτωση και Απορροή



Υπολεκάνη: EL0512FR1017

Έκταση (KM2) : 29.09

Κατάντη : J27

Μέθοδος Απωλειών: SCS

Ποσοστό αδιαπέρατης επιφάνειας	0
Αριθμός Καμπύλης Απορροής-CN	82.02
Αρχικές Απώλειες	11.13

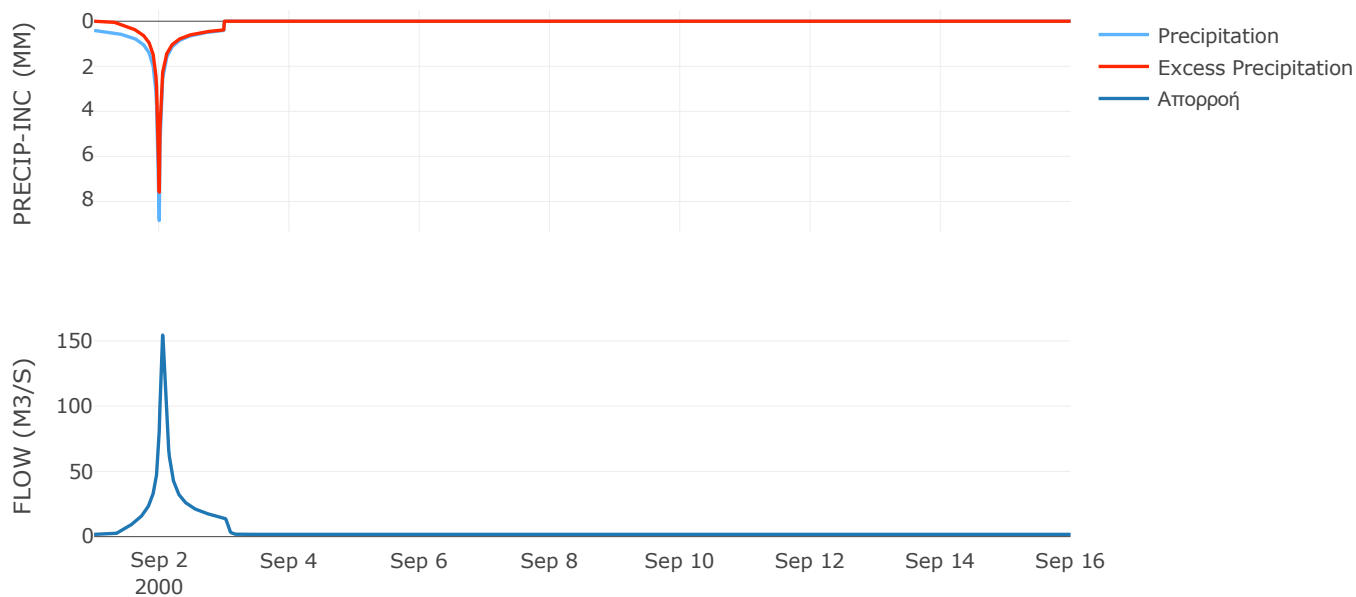
Μέθοδος
Μετασχηματισμού: SCS

Χρόνος Υστέρησης	66
------------------	----

Αποτελέσματα:
EL0512FR1017

Παροχή αιχμής (M3/S)	154.47
Χρονική στιγμή αιχμής	02Sep2000, 01:15
Όγκος (MM)	218.52
Όγκος βροχόπτωσης (M3)	5.66E6
Όγκος απωλειών (M3)	1.57E6
Ενεργός Όγκος (M3)	4.09E6
Όγκος άμεσης απορροής (M3)	4.09E6
Όγκος βασικής απορροής (M3)	2.26E6

Βροχόπτωση και Απορροή



Υπολεκάνη: EL0512FR1018

Έκταση (KM2) : 36.97

Κατάντη : J24

Μέθοδος Απωλειών: SCS

Ποσοστό αδιαπέρατης επιφάνειας	0
Αριθμός Καμπύλης Απορροής-CN	85.66
Αρχικές Απώλειες	8.5

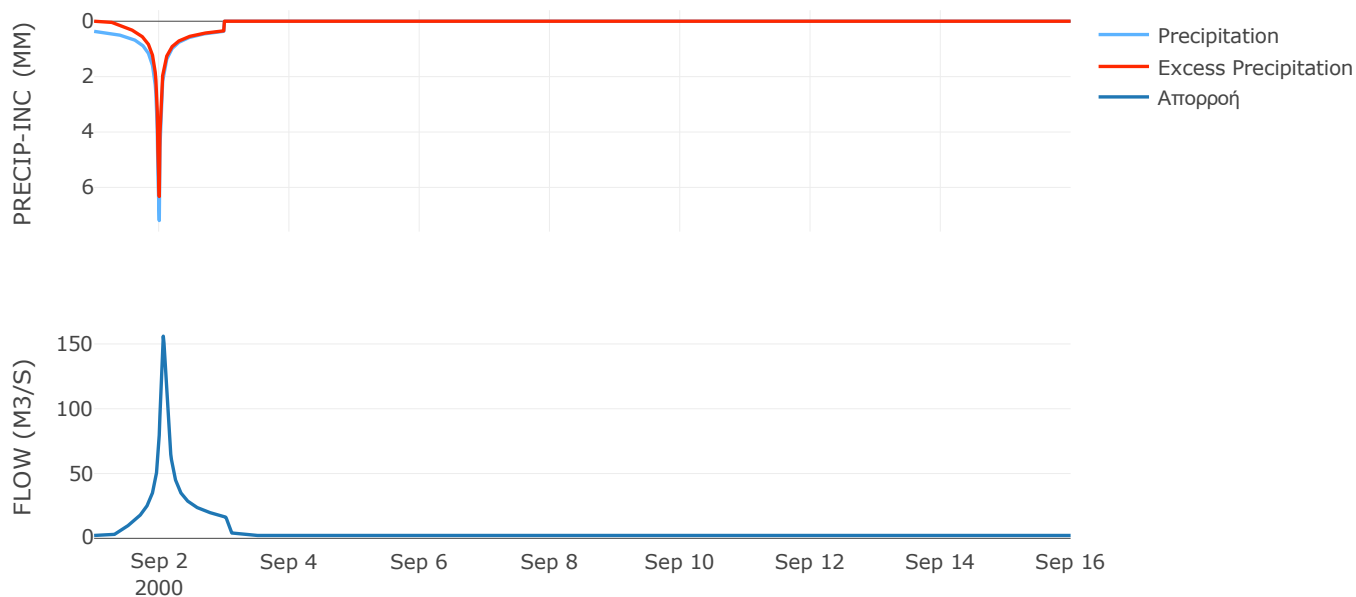
Μέθοδος
Μετασχηματισμού: SCS

Χρόνος Υστέρησης	79.11
------------------	-------

Αποτελέσματα:
EL0512FR1018

Παροχή αιχμής (M3/S)	156.02
Χρονική στιγμή αιχμής	02Sep2000, 01:30
Όγκος (MM)	203.23
Όγκος βροχόπτωσης (M3)	6.19E6
Όγκος απωλειών (M3)	1.55E6
Ενεργός Όγκος (M3)	4.64E6
Όγκος άμεσης απορροής (M3)	4.64E6
Όγκος βασικής απορροής (M3)	2.87E6

Βροχόπτωση και Απορροή



Υπολεκάνη: EL0512FR1019

Έκταση (KM2) : 88.25

Κατάντη : J24

Μέθοδος Απωλειών: SCS

Ποσοστό αδιαπέρατης επιφάνειας	0
Αριθμός Καμπύλης Απορροής-CN	84.96
Αρχικές Απώλειες	8.99

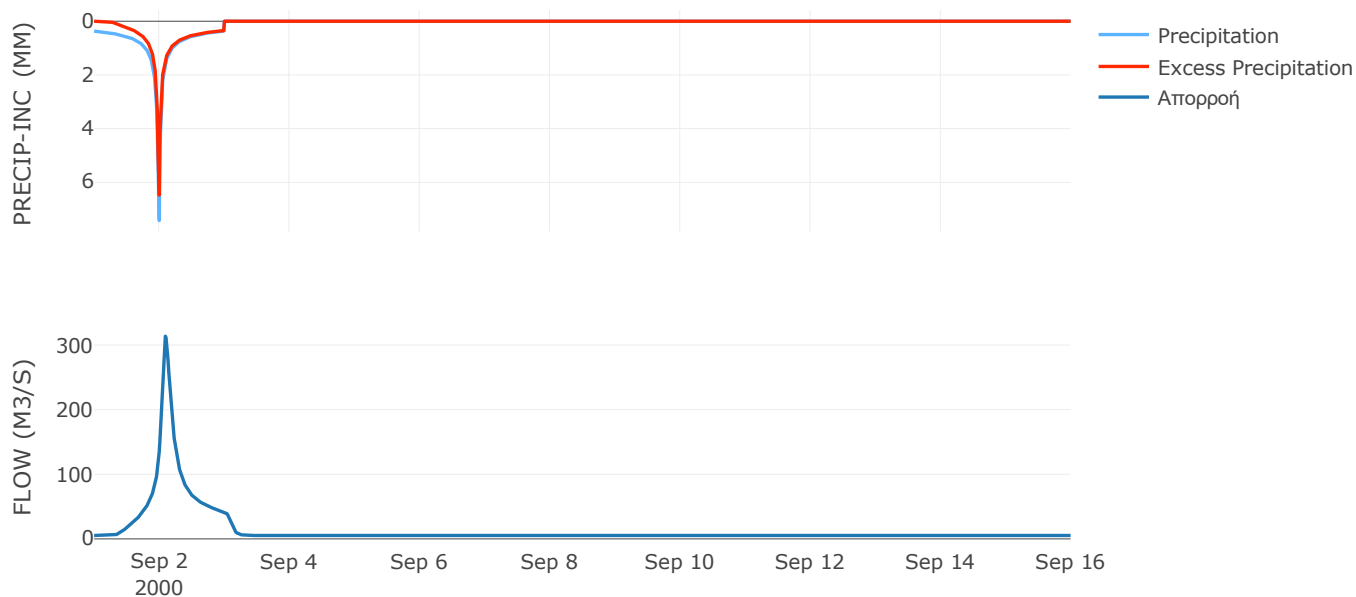
Μέθοδος
Μετασχηματισμού: SCS

Χρόνος Υστέρησης	127.92
------------------	--------

Αποτελέσματα:
EL0512FR1019

Παροχή αιχμής (M3/S)	313.7
Χρονική στιγμή αιχμής	02Sep2000, 02:15
Όγκος (MM)	203.71
Όγκος βροχόπτωσης (M3)	1.5E7
Όγκος απωλειών (M3)	3.9E6
Ενεργός Όγκος (M3)	1.11E7
Όγκος άμεσης απορροής (M3)	1.11E7
Όγκος βασικής απορροής (M3)	6.86E6

Βροχόπτωση και Απορροή



Υπολεκάνη: EL0512FR1020

Έκταση (KM2) : 29.81

Κατάντη : J23

Μέθοδος Απωλειών: SCS

Ποσοστό αδιαπέρατης επιφάνειας	0
Αριθμός Καμπύλης Απορροής-CN	84.16
Αρχικές Απώλειες	9.56

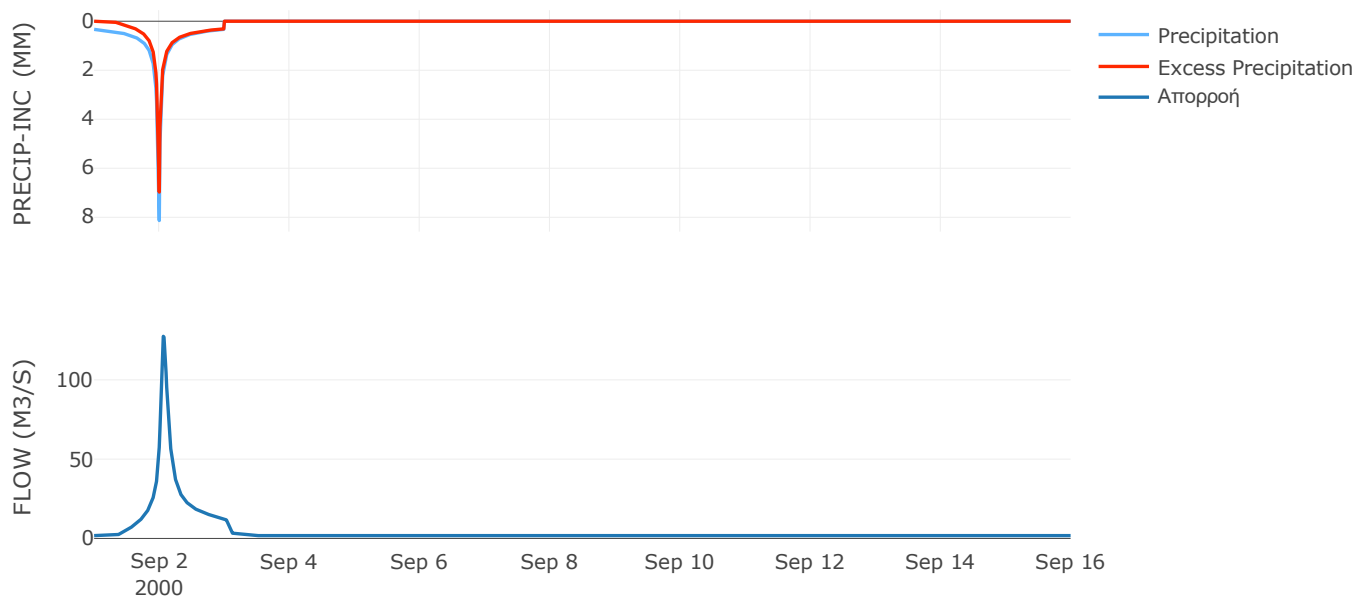
Μέθοδος
Μετασχηματισμού: SCS

Χρόνος Υστέρησης	89.67
------------------	-------

Αποτελέσματα:
EL0512FR1020

Παροχή αιχμής (M3/S)	127.45
Χρονική στιγμή αιχμής	02Sep2000, 01:30
Όγκος (MM)	197.49
Όγκος βροχόπτωσης (M3)	4.95E6
Όγκος απωλειών (M3)	1.38E6
Ενεργός Όγκος (M3)	3.57E6
Όγκος άμεσης απορροής (M3)	3.57E6
Όγκος βασικής απορροής (M3)	2.32E6

Βροχόπτωση και Απορροή



Υπολεκάνη: EL0512FR1021

Έκταση (KM2) : 1.65

Κατάντη : J23

Μέθοδος Απωλειών: SCS

Ποσοστό αδιαπέρατης επιφάνειας	0
Αριθμός Καμπύλης Απορροής-CN	72.44
Αρχικές Απώλειες	19.33

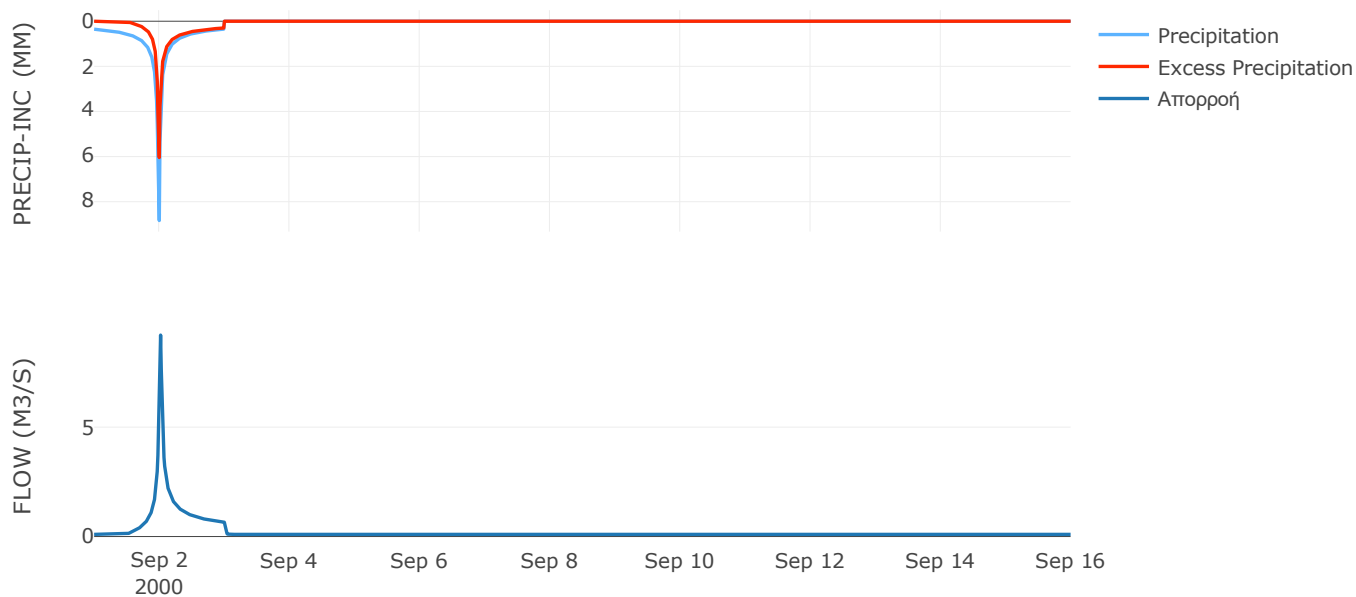
Μέθοδος
Μετασχηματισμού: SCS

Χρόνος Υστέρησης	19.32
------------------	-------

Αποτελέσματα:
EL0512FR1021

Παροχή αιχμής (M3/S)	9.21
Χρονική στιγμή αιχμής	02Sep2000, 00:30
Όγκος (MM)	175.99
Όγκος βροχόπτωσης (M3)	2.93E5
Όγκος απωλειών (M3)	1.31E5
Ενεργός Όγκος (M3)	1.62E5
Όγκος άμεσης απορροής (M3)	1.62E5
Όγκος βασικής απορροής (M3)	1.28E5

Βροχόπτωση και Απορροή



Υπολεκάνη: EL0512FR1024

Έκταση (KM2) : 104.31

Κατάντη : J13

Μέθοδος Απωλειών: SCS

Ποσοστό αδιαπέρατης επιφάνειας	0
Αριθμός Καμπύλης Απορροής-CN	87.83
Αρχικές Απώλειες	7.04

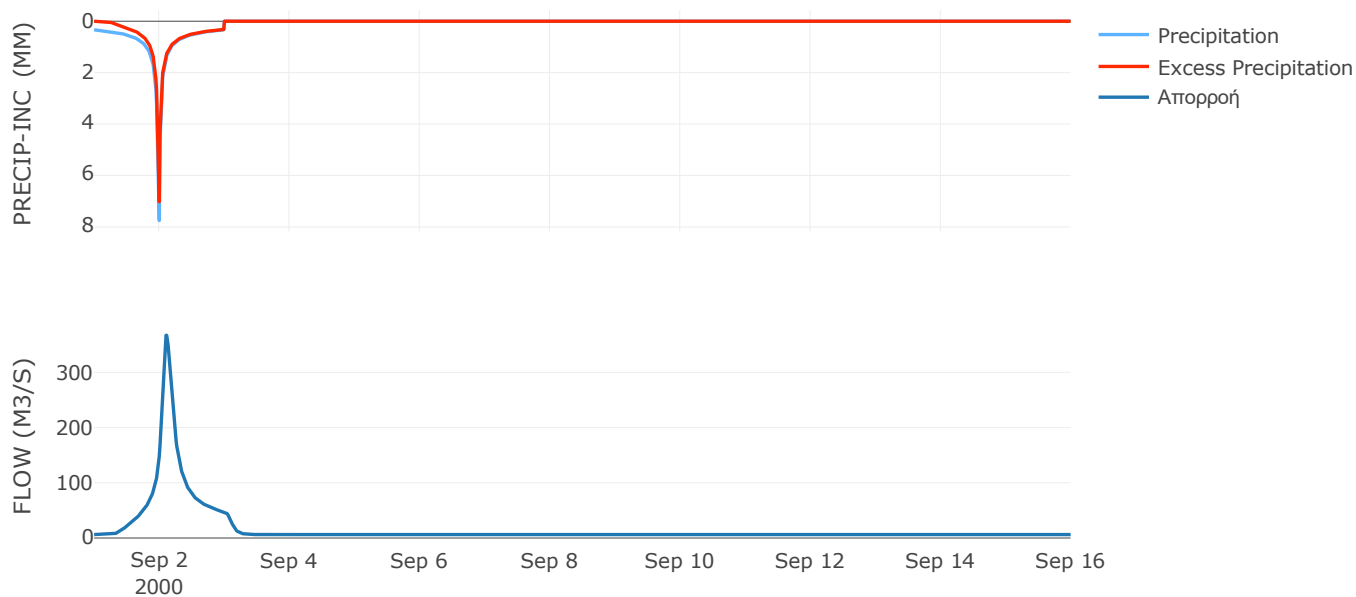
Μέθοδος
Μετασχηματισμού: SCS

Χρόνος Υστέρησης	147.99
------------------	--------

Αποτελέσματα:
EL0512FR1024

Παροχή αιχμής (M3/S)	367.13
Χρονική στιγμή αιχμής	02Sep2000, 02:30
Όγκος (MM)	205.01
Όγκος βροχόπτωσης (M3)	1.7E7
Όγκος απωλειών (M3)	3.73E6
Ενεργός Όγκος (M3)	1.33E7
Όγκος άμεσης απορροής (M3)	1.33E7
Όγκος βασικής απορροής (M3)	8.11E6

Βροχόπτωση και Απορροή



Υπολεκάνη: EL0512FR1025

Έκταση (KM2) : 99.97

Κατάνη : J13

Μέθοδος Απωλειών: SCS

Ποσοστό αδιαπέρατης επιφάνειας	0
Αριθμός Καμπύλης Απορροής-CN	86.78
Αρχικές Απώλειες	7.74

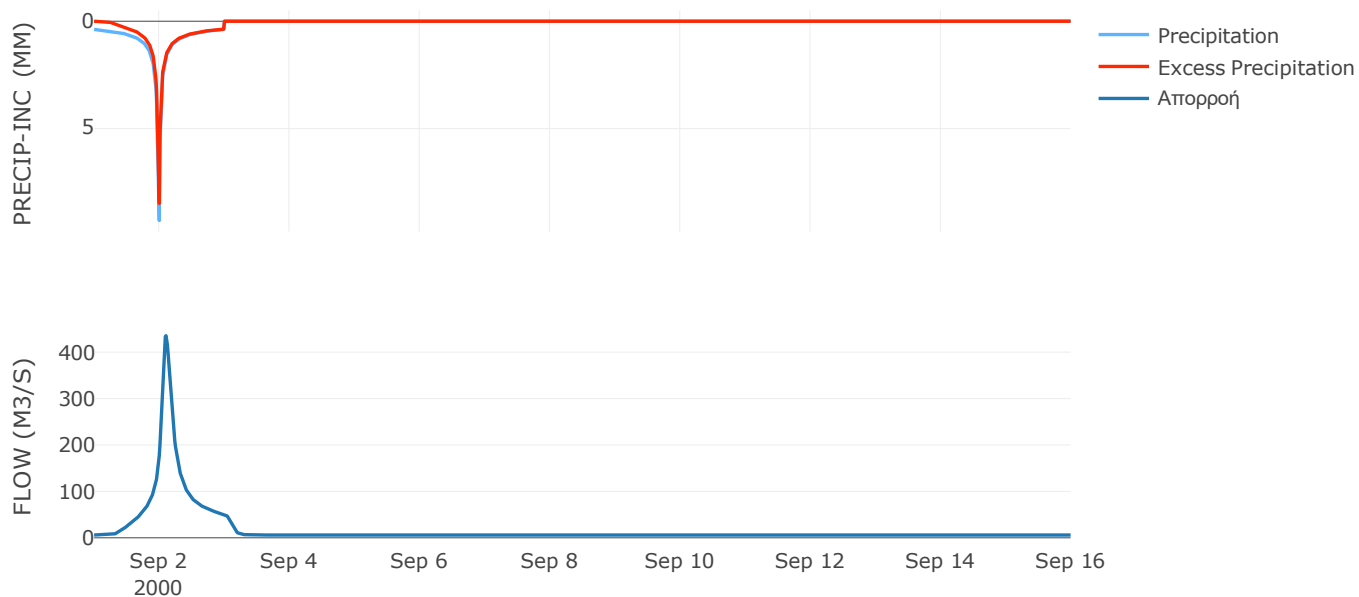
Μέθοδος
Μετασχηματισμού: SCS

Χρόνος Υστέρησης	137.65
------------------	--------

Αποτελέσματα:
EL0512FR1025

Παροχή αιχμής (M3/S)	435.44
Χρονική στιγμή αιχμής	02Sep2000, 02:30
Όγκος (MM)	228.03
Όγκος βροχόπτωσης (M3)	1.9E7
Όγκος απωλειών (M3)	3.96E6
Ενεργός Όγκος (M3)	1.5E7
Όγκος άμεσης απορροής (M3)	1.5E7
Όγκος βασικής απορροής (M3)	7.77E6

Βροχόπτωση και Απορροή



Υπολεκάνη: EL0512FR1026

Έκταση (KM2) : 78.82

Κατάντη : J12

Μέθοδος Απωλειών: SCS

Ποσοστό αδιαπέρατης επιφάνειας	0
Αριθμός Καμπύλης Απορροής-CN	80.77
Αρχικές Απώλειες	12.1

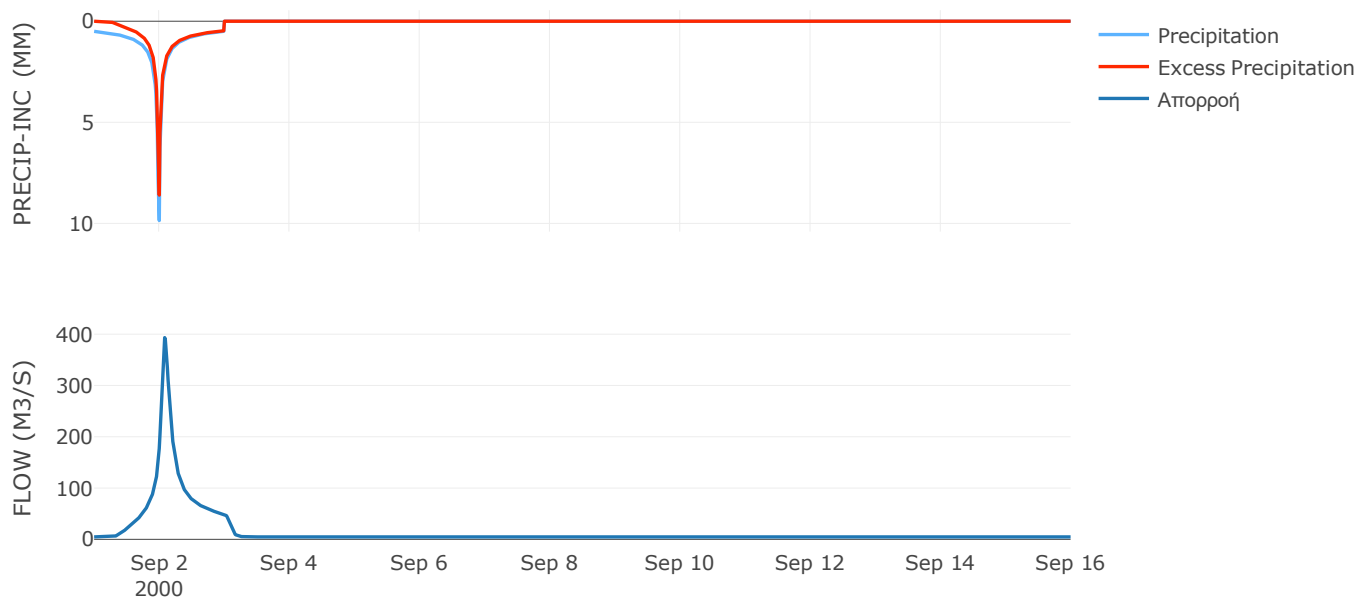
Μέθοδος
Μετασχηματισμού: SCS

Χρόνος Υστέρησης	112.37
------------------	--------

Αποτελέσματα:
EL0512FR1026

Παροχή αιχμής (M3/S)	393.38
Χρονική στιγμή αιχμής	02Sep2000, 02:00
Όγκος (MM)	247.6
Όγκος βροχόπτωσης (M3)	1.81E7
Όγκος απωλειών (M3)	4.68E6
Ενεργός Όγκος (M3)	1.34E7
Όγκος άμεσης απορροής (M3)	1.34E7
Όγκος βασικής απορροής (M3)	6.13E6

Βροχόπτωση και Απορροή



Υπολεκάνη: EL0512FR1027

Έκταση (KM2) : 79.87

Κατάντη : J31

Μέθοδος Απωλειών: SCS

Ποσοστό αδιαπέρατης επιφάνειας	0
Αριθμός Καμπύλης Απορροής-CN	81.23
Αρχικές Απώλειες	11.74

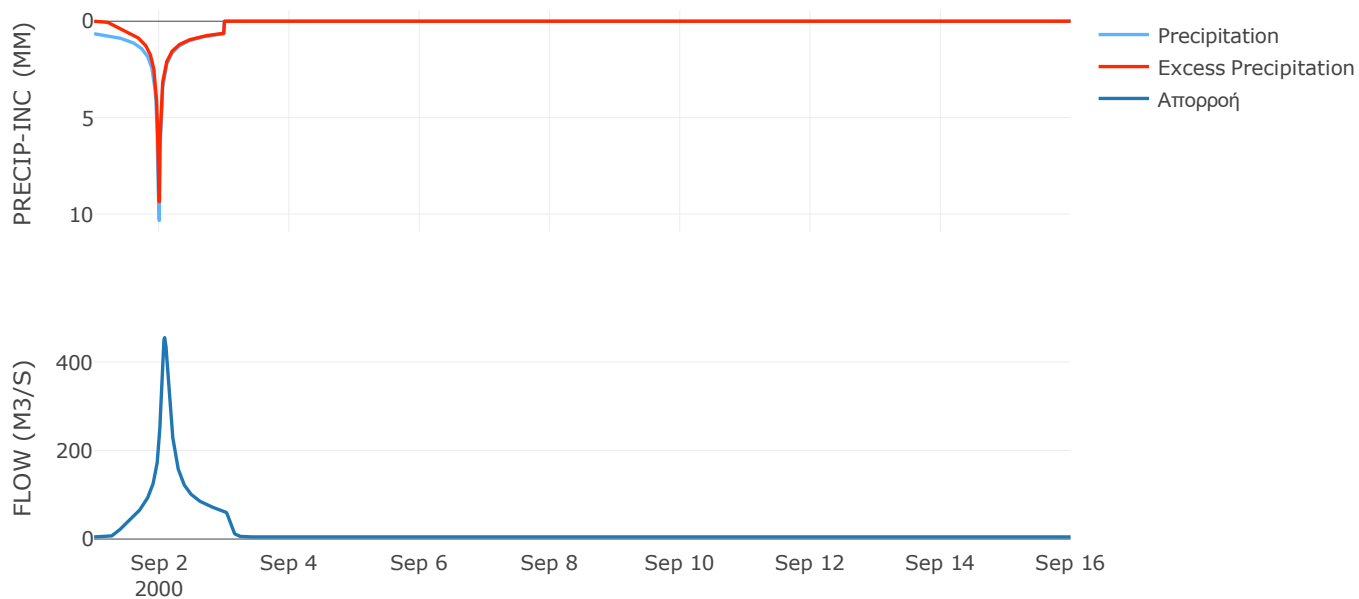
Μέθοδος
Μετασχηματισμού: SCS

Χρόνος Υστέρησης	111.05
------------------	--------

Αποτελέσματα:
EL0512FR1027

Παροχή αιχμής (M3/S)	455
Χρονική στιγμή αιχμής	02Sep2000, 02:00
Όγκος (MM)	292.83
Όγκος βροχόπτωσης (M3)	2.19E7
Όγκος απωλειών (M3)	4.77E6
Ενεργός Όγκος (M3)	1.72E7
Όγκος άμεσης απορροής (M3)	1.72E7
Όγκος βασικής απορροής (M3)	6.21E6

Βροχόπτωση και Απορροή



Υπολεκάνη: EL0512FR1028

Έκταση (KM2) : 92.8

Κατάνη : J31

Μέθοδος Απωλειών: SCS

Ποσοστό αδιαπέρατης επιφάνειας	0
Αριθμός Καμπύλης Απορροής-CN	86.21
Αρχικές Απώλειες	8.13

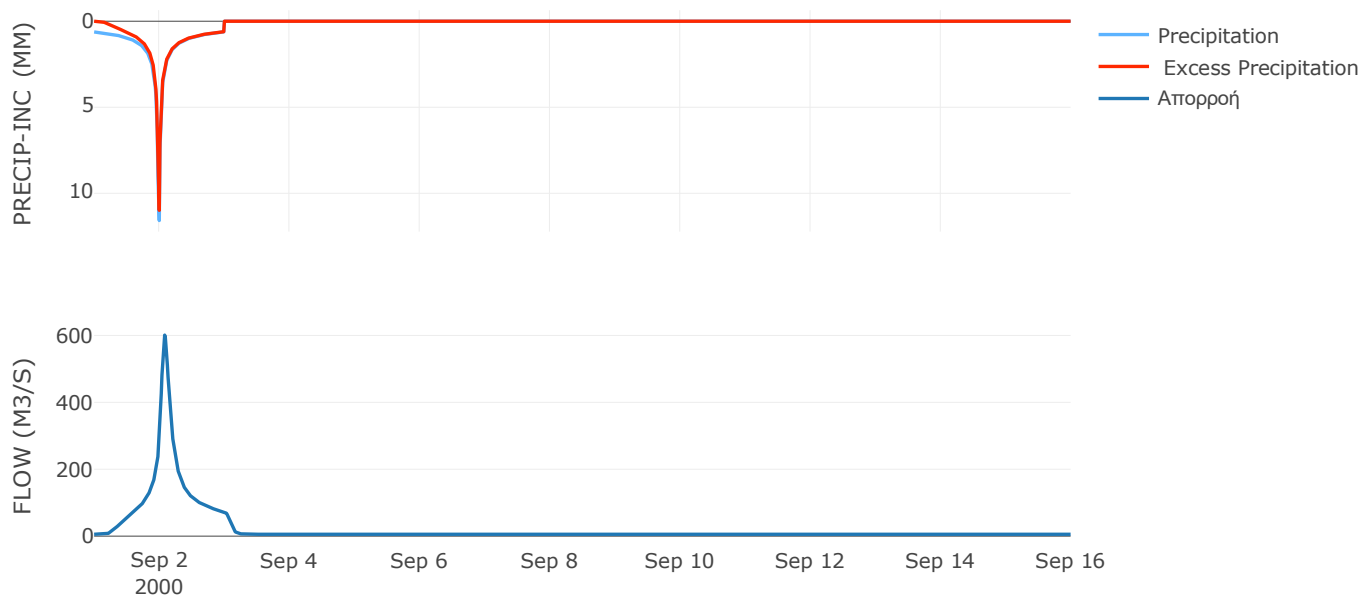
Μέθοδος
Μετασχηματισμού: SCS

Χρόνος Υστέρησης	113.69
------------------	--------

Αποτελέσματα:
EL0512FR1028

Παροχή αιχμής (M3/S)	601.21
Χρονική στιγμή αιχμής	02Sep2000, 02:00
Όγκος (MM)	313.53
Όγκος βροχόπτωσης (M3)	2.59E7
Όγκος απωλειών (M3)	4.03E6
Ενεργός Όγκος (M3)	2.19E7
Όγκος άμεσης απορροής (M3)	2.19E7
Όγκος βασικής απορροής (M3)	7.22E6

Βροχόπτωση και Απορροή



Υπολεκάνη: EL0512FR1029

Έκταση (KM2) : 88.68

Κατάντη : J22

Μέθοδος Απωλειών: SCS

Ποσοστό αδιαπέρατης επιφάνειας	0
Αριθμός Καμπύλης Απορροής-CN	82.57
Αρχικές Απώλειες	10.73

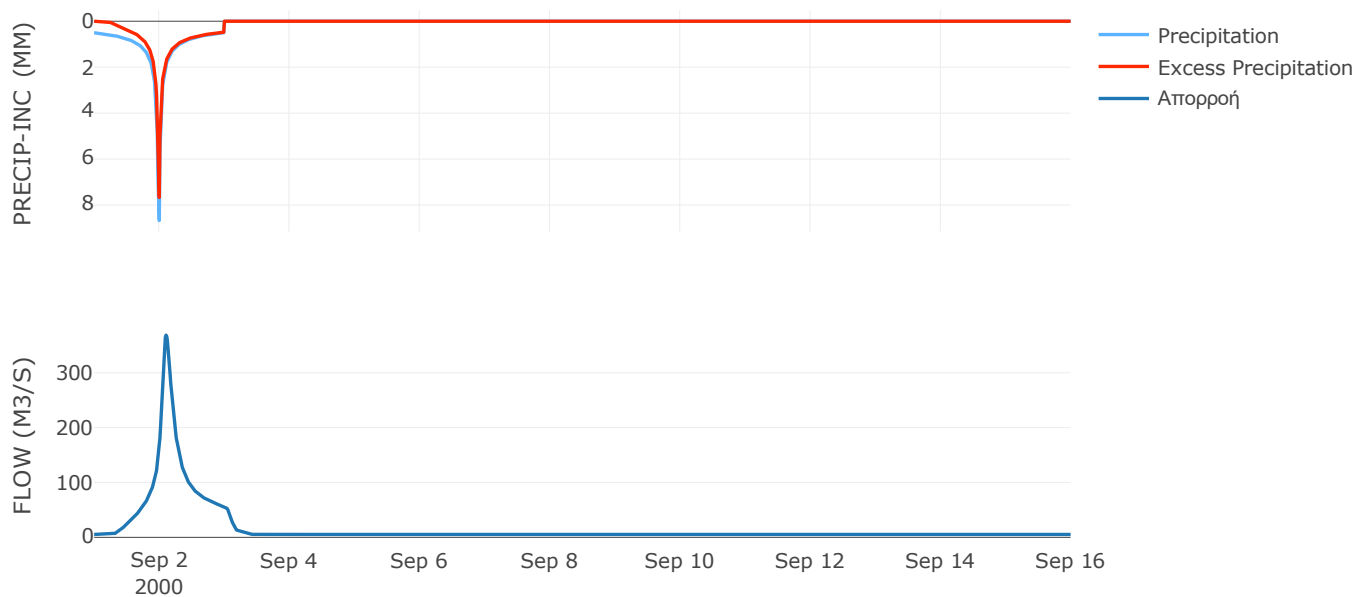
Μέθοδος
Μετασχηματισμού: SCS

Χρόνος Υστέρησης	142.04
------------------	--------

Αποτελέσματα:
EL0512FR1029

Παροχή αιχμής (M3/S)	368.54
Χρονική στιγμή αιχμής	02Sep2000, 02:30
Όγκος (MM)	243.02
Όγκος βροχόπτωσης (M3)	1.94E7
Όγκος απωλειών (M3)	4.73E6
Ενεργός Όγκος (M3)	1.47E7
Όγκος άμεσης απορροής (M3)	1.47E7
Όγκος βασικής απορροής (M3)	6.9E6

Βροχόπτωση και Απορροή



Υπολεκάνη: EL0512FR1030

Έκταση (KM2) : 54.36

Κατάντη : J22

Μέθοδος Απωλειών: SCS

Ποσοστό αδιαπέρατης επιφάνειας	0
Αριθμός Καμπύλης Απορροής-CN	72.51
Αρχικές Απώλειες	19.26

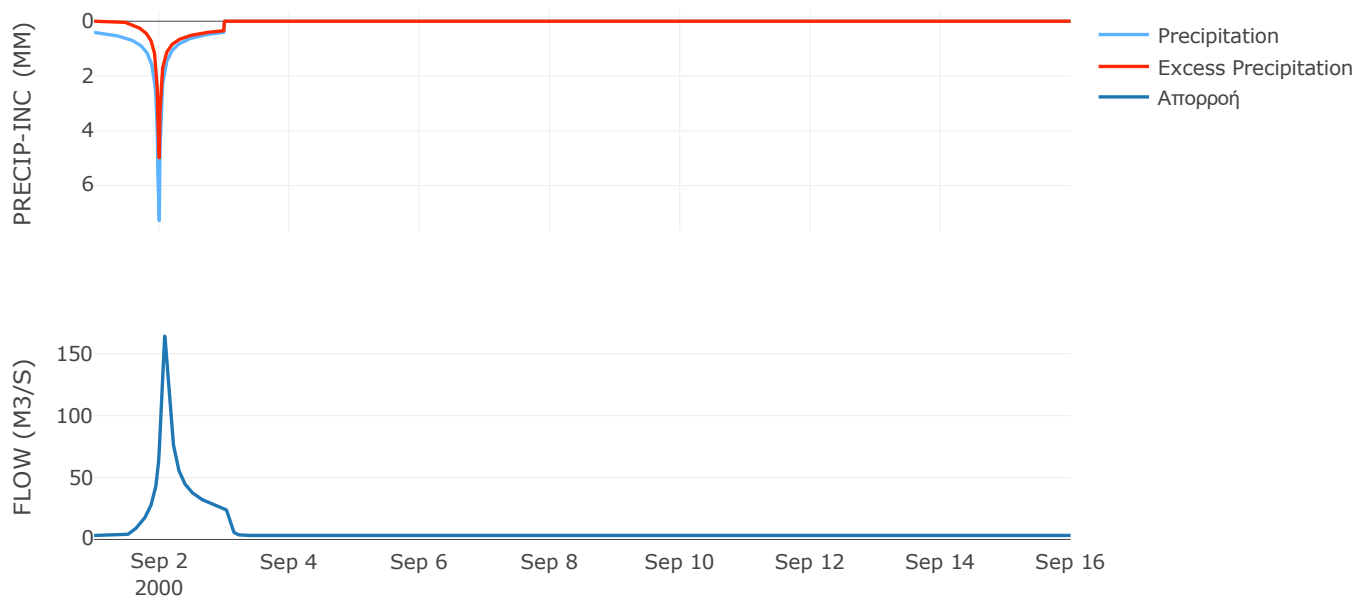
Μέθοδος
Μετασχηματισμού: SCS

Χρόνος Υστέρησης	100.99
------------------	--------

Αποτελέσματα:
EL0512FR1030

Παροχή αιχμής (M3/S)	164.14
Χρονική στιγμή αιχμής	02Sep2000, 02:00
Όγκος (MM)	178.21
Όγκος βροχόπτωσης (M3)	9.78E6
Όγκος απωλειών (M3)	4.32E6
Ενεργός Όγκος (M3)	5.46E6
Όγκος άμεσης απορροής (M3)	5.46E6
Όγκος βασικής απορροής (M3)	4.23E6

Βροχόπτωση και Απορροή



Υπολεκάνη: EL0512FR1031

Έκταση (KM2) : 44.83

Κατάντη : J14

Μέθοδος Απωλειών: SCS

Ποσοστό αδιαπέρατης επιφάνειας	0
Αριθμός Καμπύλης Απορροής-CN	79.31
Αρχικές Απώλειες	13.25

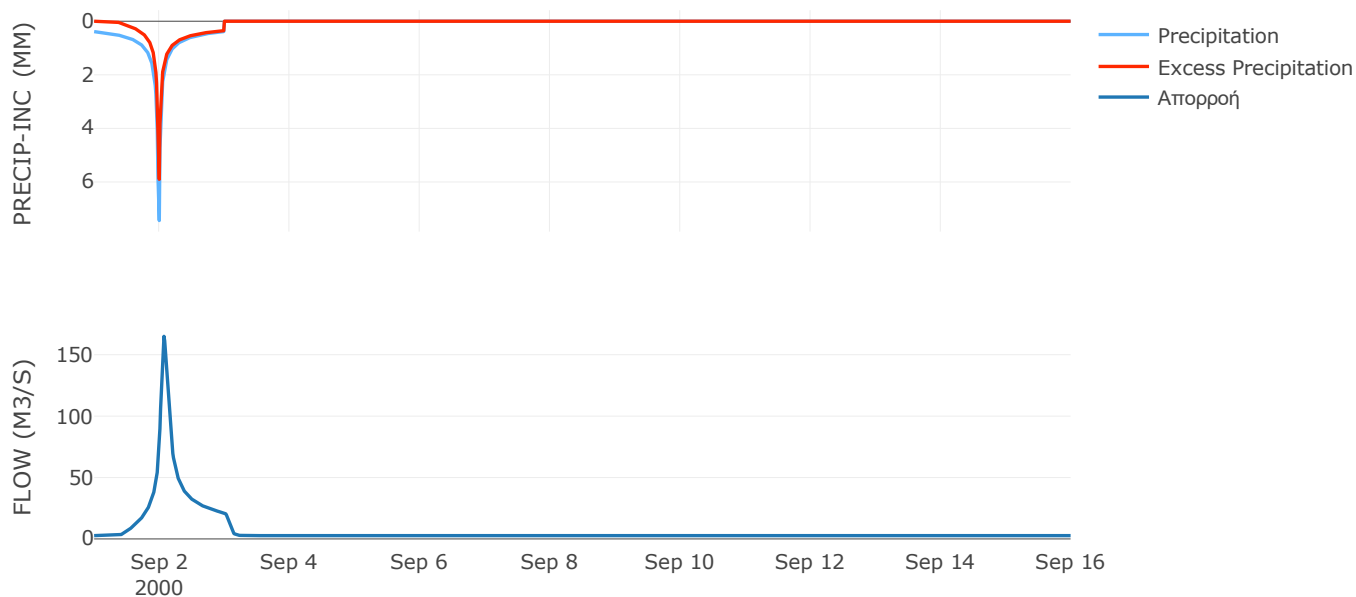
Μέθοδος
Μετασχηματισμού: SCS

Χρόνος Υστέρησης	93.45
------------------	-------

Αποτελέσματα:
EL0512FR1031

Παροχή αιχμής (M3/S)	164.99
Χρονική στιγμή αιχμής	02Sep2000, 01:45
Όγκος (MM)	193.25
Όγκος βροχόπτωσης (M3)	7.88E6
Όγκος απωλειών (M3)	2.7E6
Ενεργός Όγκος (M3)	5.18E6
Όγκος άμεσης απορροής (M3)	5.18E6
Όγκος βασικής απορροής (M3)	3.49E6

Βροχόπτωση και Απορροή



Υπολεκάνη: EL0512FR1032

Έκταση (KM2) : 62.74

Κατάντη : J14

Μέθοδος Απωλειών: SCS

Ποσοστό αδιαπέρατης επιφάνειας	0
Αριθμός Καμπύλης Απορροής-CN	80.54
Αρχικές Απώλειες	12.27

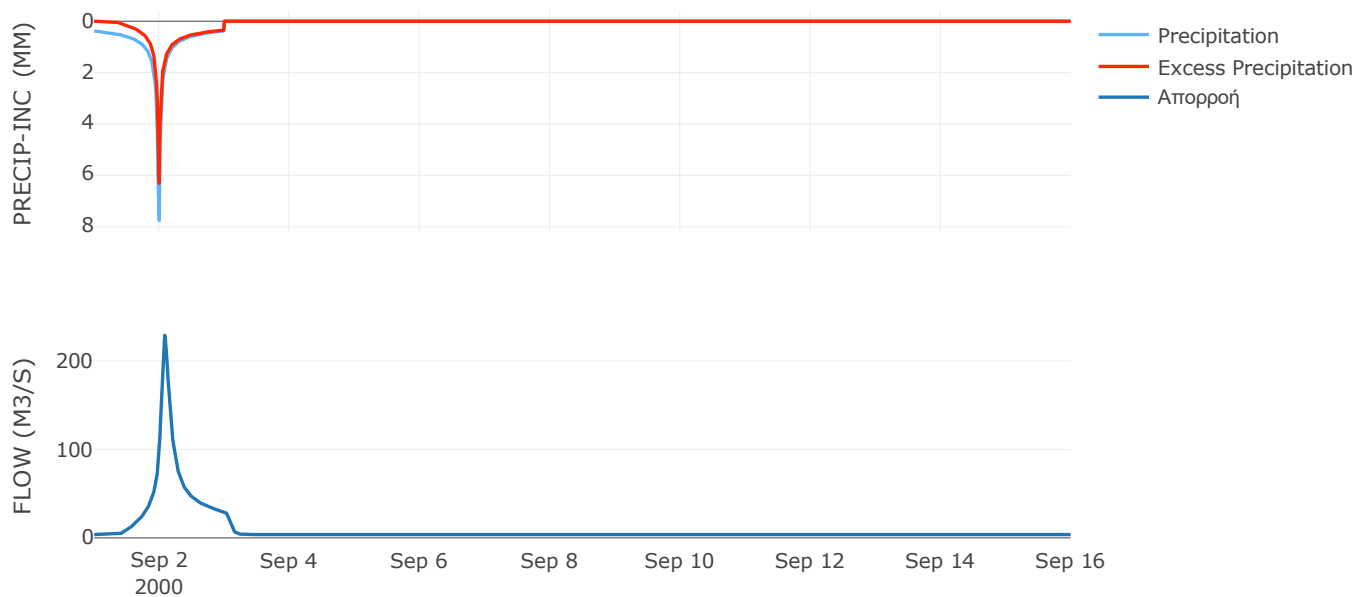
Μέθοδος
Μετασχηματισμού: SCS

Χρόνος Υστέρησης	109.99
------------------	--------

Αποτελέσματα:
EL0512FR1032

Παροχή αιχμής (M3/S)	229.12
Χρονική στιγμή αιχμής	02Sep2000, 02:00
Όγκος (MM)	196.83
Όγκος βροχόπτωσης (M3)	1.1E7
Όγκος απωλειών (M3)	3.57E6
Ενεργός Όγκος (M3)	7.47E6
Όγκος άμεσης απορροής (M3)	7.47E6
Όγκος βασικής απορροής (M3)	4.88E6

Βροχόπτωση και Απορροή



Υπολεκάνη: EL0512FR1033

Έκταση (KM2) : 25.85

Κατάντη : J30

Μέθοδος Απωλειών: SCS

Ποσοστό αδιαπέρατης επιφάνειας	0
Αριθμός Καμπύλης Απορροής-CN	79.39
Αρχικές Απώλειες	13.19

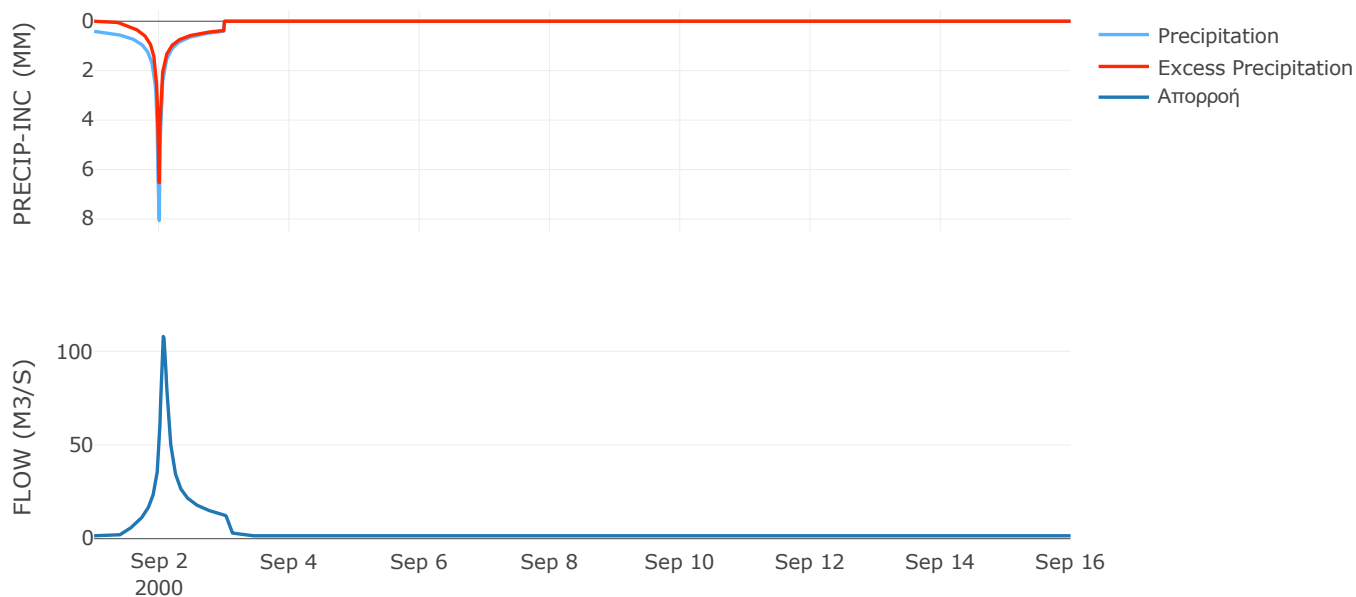
Μέθοδος
Μετασχηματισμού: SCS

Χρόνος Υστέρησης	86.8
------------------	------

Αποτελέσματα:
EL0512FR1033

Παροχή αιχμής (M3/S)	107.93
Χρονική στιγμή αιχμής	02Sep2000, 01:30
Όγκος (MM)	203.86
Όγκος βροχόπτωσης (M3)	4.84E6
Όγκος απωλειών (M3)	1.58E6
Ενεργός Όγκος (M3)	3.26E6
Όγκος άμεσης απορροής (M3)	3.26E6
Όγκος βασικής απορροής (M3)	2.01E6

Βροχόπτωση και Απορροή



Υπολεκάνη: EL0512FR1034

Έκταση (KM2) : 4.71

Κατάντη : J20

Μέθοδος Απωλειών: SCS

Ποσοστό αδιαπέρατης επιφάνειας	0
Αριθμός Καμπύλης Απορροής-CN	83.07
Αρχικές Απώλειες	10.35

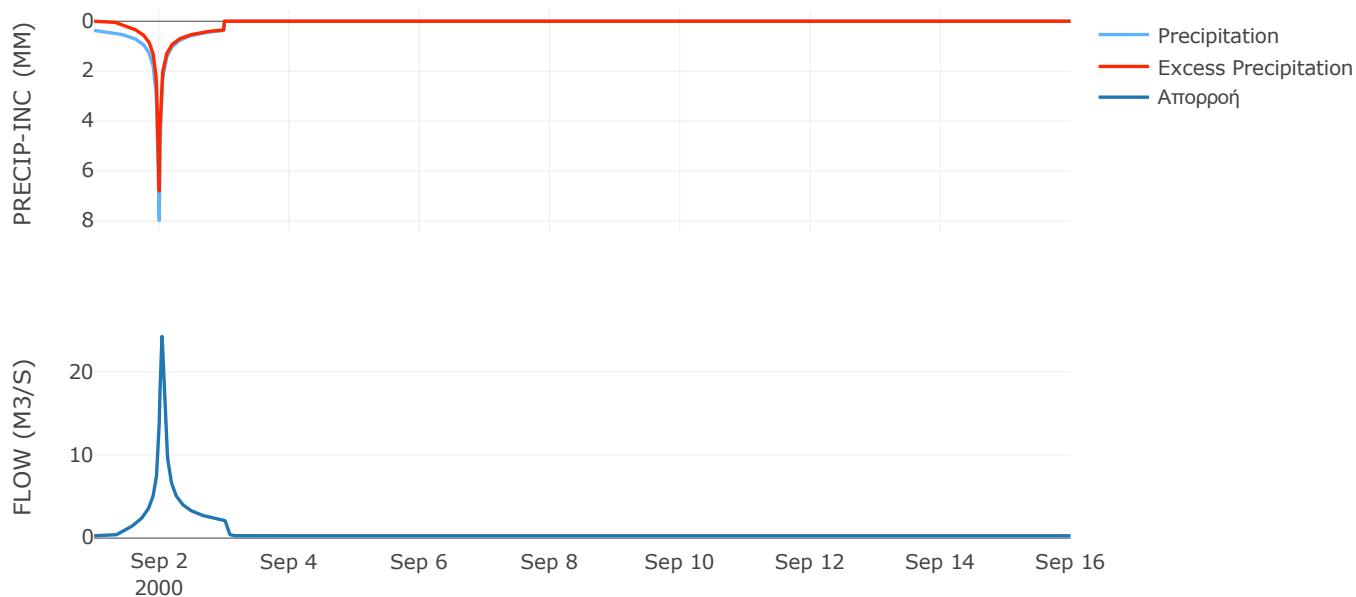
Μέθοδος
Μετασχηματισμού: SCS

Χρόνος Υστέρησης	52.06
------------------	-------

Αποτελέσματα:
EL0512FR1034

Παροχή αιχμής (M3/S)	24.23
Χρονική στιγμή αιχμής	02Sep2000, 01:00
Όγκος (MM)	203.55
Όγκος βροχόπτωσης (M3)	8.26E5
Όγκος απωλειών (M3)	2.34E5
Ενεργός Όγκος (M3)	5.92E5
Όγκος άμεσης απορροής (M3)	5.92E5
Όγκος βασικής απορροής (M3)	3.66E5

Βροχόπτωση και Απορροή



Υπολεκάνη: EL0512FR1035

Έκταση (KM2) : 3.15

Κατάντη : J16

Μέθοδος Απωλειών: SCS

Ποσοστό αδιαπέρατης επιφάνειας	0
Αριθμός Καμπύλης Απορροής-CN	85.67
Αρχικές Απώλειες	8.49

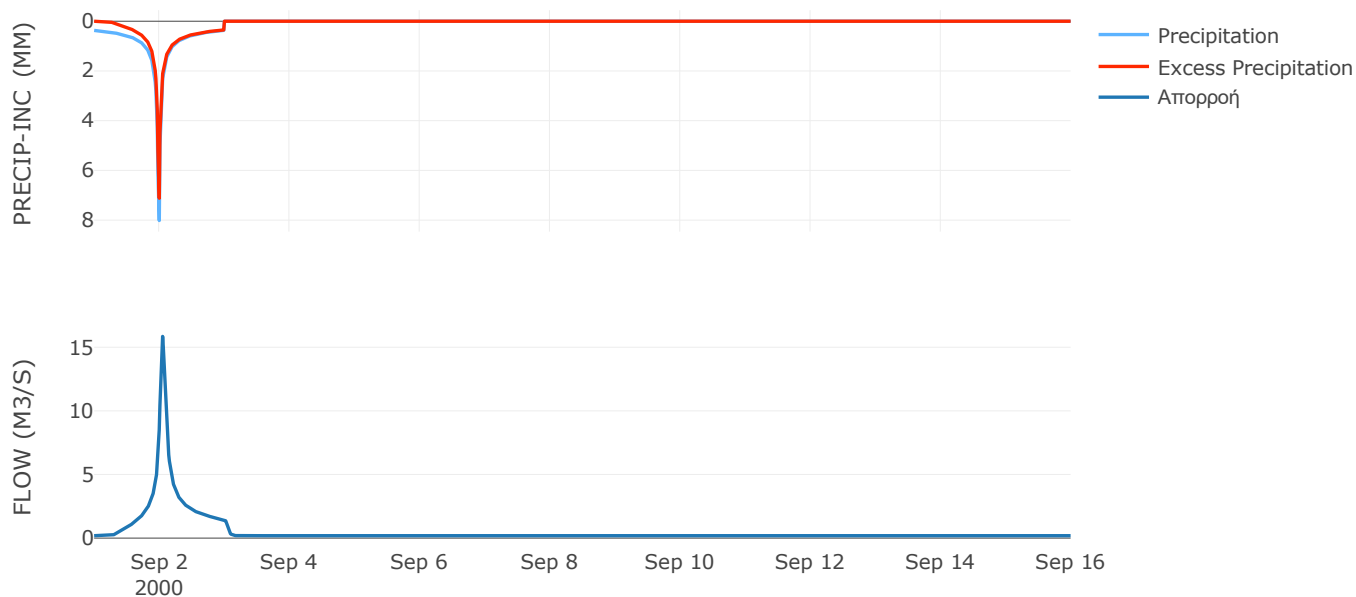
Μέθοδος
Μετασχηματισμού: SCS

Χρόνος Υστέρησης	64.02
------------------	-------

Αποτελέσματα:
EL0512FR1035

Παροχή αιχμής (M3/S)	15.85
Χρονική στιγμή αιχμής	02Sep2000, 01:15
Όγκος (MM)	210.93
Όγκος βροχόπτωσης (M3)	5.52E5
Όγκος απωλειών (M3)	1.33E5
Ενεργός Όγκος (M3)	4.19E5
Όγκος άμεσης απορροής (M3)	4.19E5
Όγκος βασικής απορροής (M3)	2.45E5

Βροχόπτωση και Απορροή



Υπολεκάνη: EL0512FR1036

Έκταση (KM2) : 1.14

Κατάντη : J16

Μέθοδος Απωλειών: SCS

Ποσοστό αδιαπέρατης επιφάνειας	0
Αριθμός Καμπύλης Απορροής-CN	89.83
Αρχικές Απώλειες	5.75

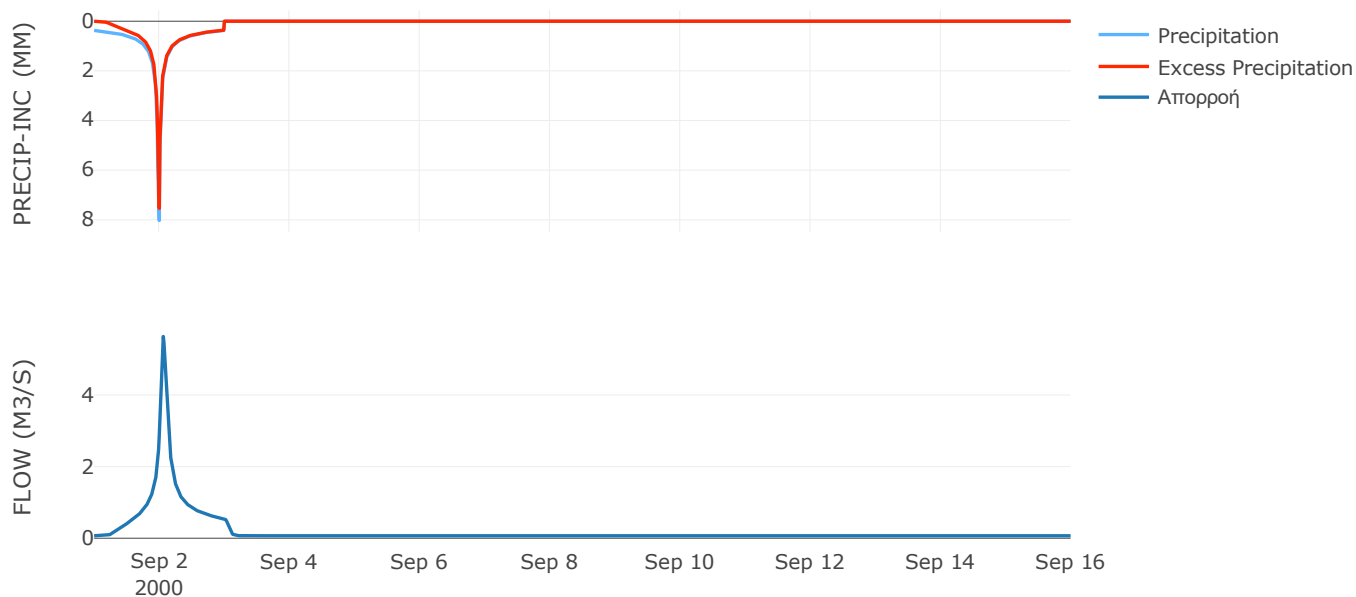
Μέθοδος
Μετασχηματισμού: SCS

Χρόνος Υστέρησης	80.84
------------------	-------

Αποτελέσματα:
EL0512FR1036

Παροχή αιχμής (M3/S)	5.63
Χρονική στιγμή αιχμής	02Sep2000, 01:30
Όγκος (MM)	223.54
Όγκος βροχόπτωσης (M3)	2E5
Όγκος απωλειών (M3)	34484.56
Ενεργός Όγκος (M3)	1.66E5
Όγκος άμεσης απορροής (M3)	1.66E5
Όγκος βασικής απορροής (M3)	88335.36

Βροχόπτωση και Απορροή



Υπολεκάνη: EL0512FR1037

Έκταση (KM2) : 1.46

Κατάληξη : J17

Μέθοδος Απωλειών: SCS

Ποσοστό αδιαπέρατης επιφάνειας	0
Αριθμός Καμπύλης Απορροής-CN	89.95
Αρχικές Απώλειες	5.67

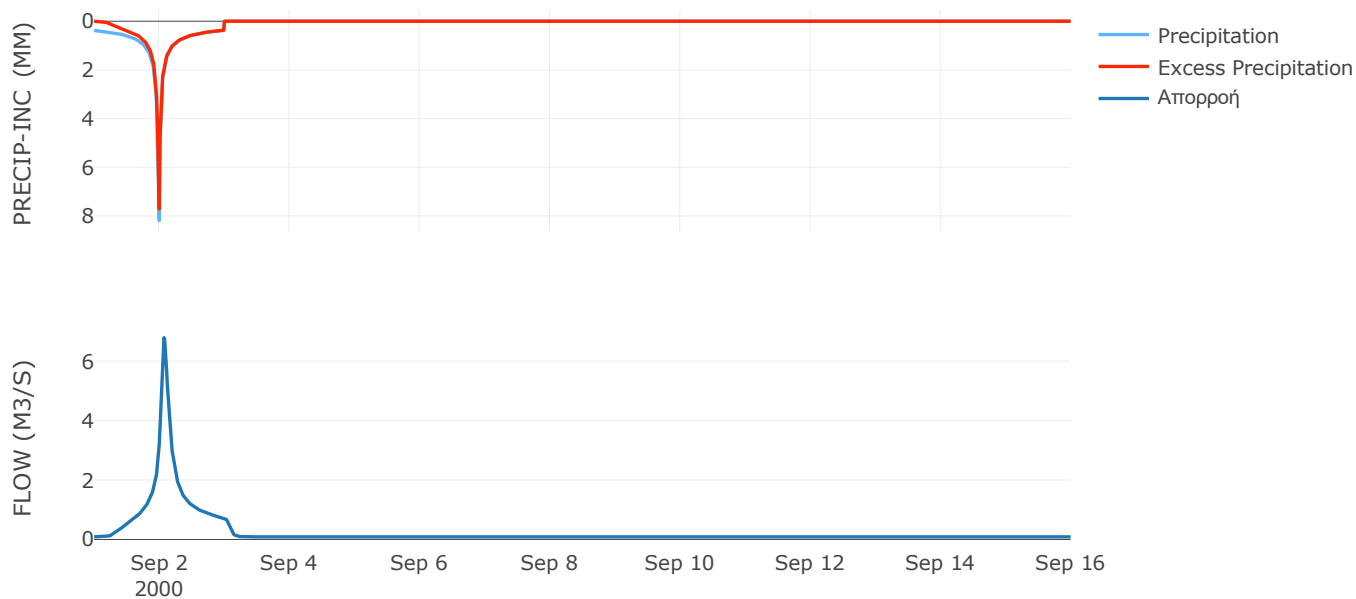
Μέθοδος
Μετασχηματισμού: SCS

Χρόνος Υστέρησης	101.61
------------------	--------

Αποτελέσματα:
EL0512FR1037

Παροχή αιχμής (M3/S)	6.79
Χρονική στιγμή αιχμής	02Sep2000, 01:45
Όγκος (MM)	227.16
Όγκος βροχόπτωσης (M3)	2.62E5
Όγκος απωλειών (M3)	43897.15
Ενεργός Όγκος (M3)	2.18E5
Όγκος άμεσης απορροής (M3)	2.18E5
Όγκος βασικής απορροής (M3)	1.14E5

Βροχόπτωση και Απορροή



Υπολεκάνη: EL0512FR1038

Έκταση (KM2) : 10.02

Κατάνη : J17

Μέθοδος Απωλειών: SCS

Ποσοστό αδιαπέρατης επιφάνειας	0
Αριθμός Καμπύλης Απορροής-CN	86.03
Αρχικές Απώλειες	8.25

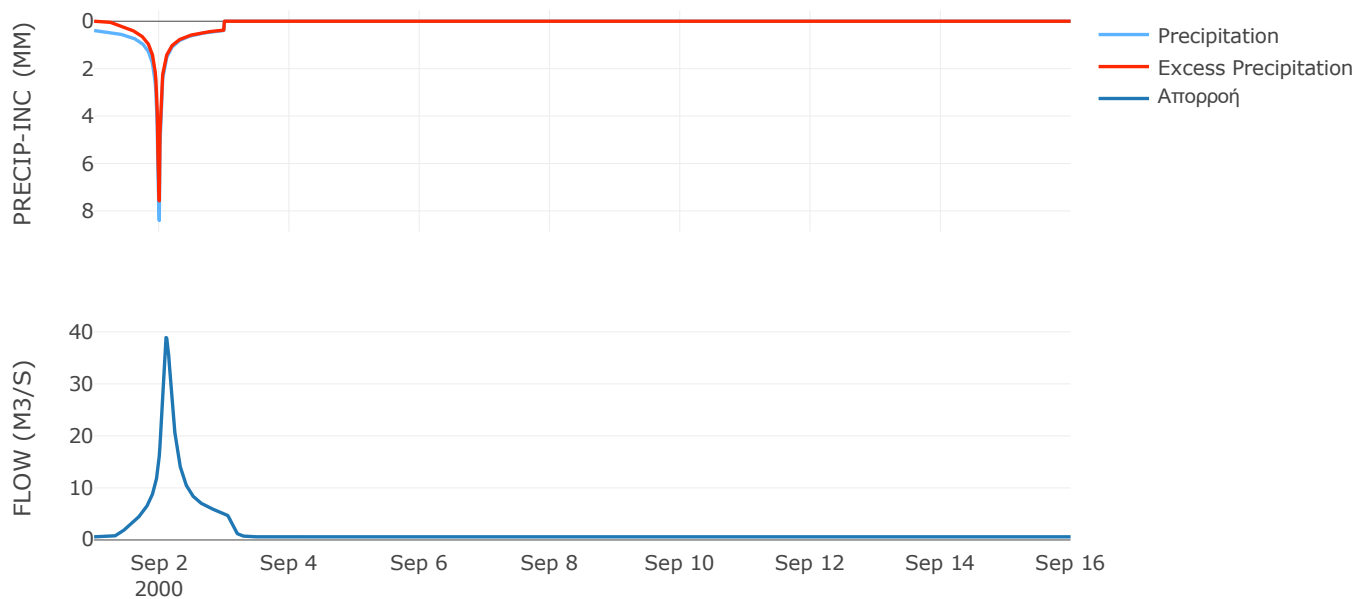
Μέθοδος
Μετασχηματισμού: SCS

Χρόνος Υστέρησης	145.96
------------------	--------

Αποτελέσματα:
EL0512FR1038

Παροχή αιχμής (M3/S)	38.91
Χρονική στιγμή αιχμής	02Sep2000, 02:30
Όγκος (MM)	221.81
Όγκος βροχόπτωσης (M3)	1.86E6
Όγκος απωλειών (M3)	4.18E5
Ενεργός Όγκος (M3)	1.44E6
Όγκος άμεσης απορροής (M3)	1.44E6
Όγκος βασικής απορροής (M3)	7.79E5

Βροχόπτωση και Απορροή



Υπολεκάνη: EL0512FR1039

Έκταση (KM2) : 30.28

Κατάντη : J15

Μέθοδος Απωλειών: SCS

Ποσοστό αδιαπέρατης επιφάνειας	0
Αριθμός Καμπύλης Απορροής-CN	82.23
Αρχικές Απώλειες	10.98

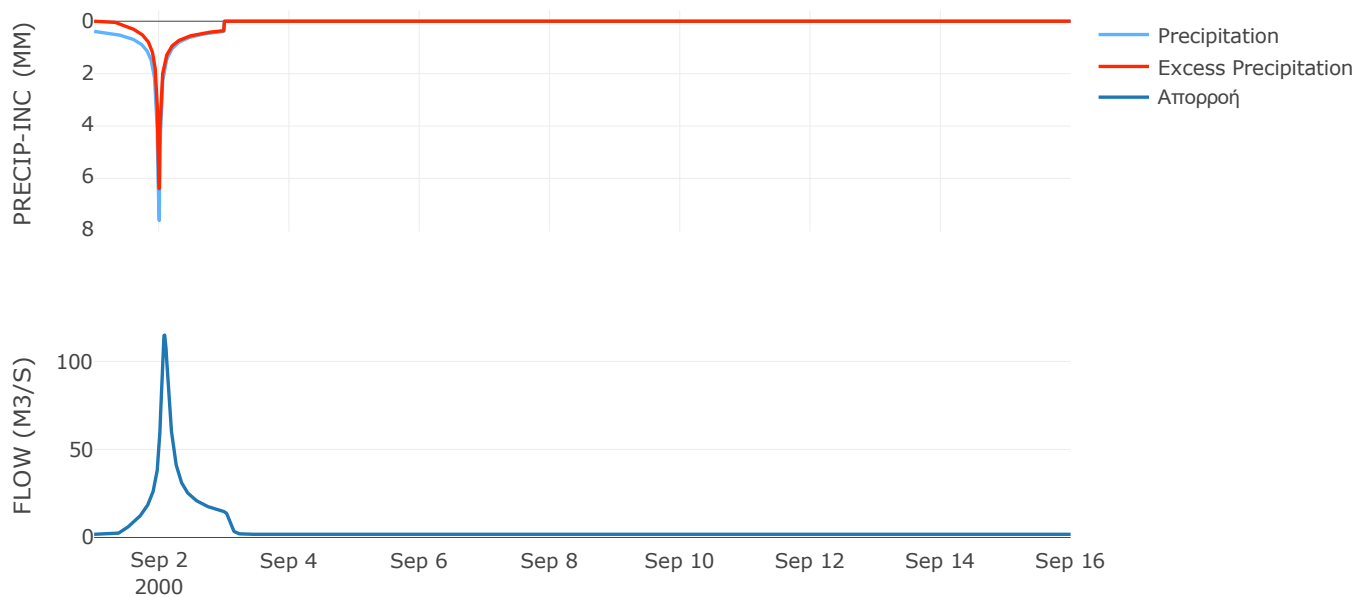
Μέθοδος
Μετασχηματισμού: SCS

Χρόνος Υστέρησης	105.41
------------------	--------

Αποτελέσματα:
EL0512FR1039

Παροχή αιχμής (M3/S)	114.96
Χρονική στιγμή αιχμής	02Sep2000, 02:00
Όγκος (MM)	202.56
Όγκος βροχόπτωσης (M3)	5.36E6
Όγκος απωλειών (M3)	1.58E6
Ενεργός Όγκος (M3)	3.78E6
Όγκος άμεσης απορροής (M3)	3.78E6
Όγκος βασικής απορροής (M3)	2.35E6

Βροχόπτωση και Απορροή



Υπολεκάνη: EL0512FR1040

Έκταση (KM2) : 14.45

Κατάντη : J16

Μέθοδος Απωλειών: SCS

Ποσοστό αδιαπέρατης επιφάνειας	0
Αριθμός Καμπύλης Απορροής-CN	80.39
Αρχικές Απώλειες	12.39

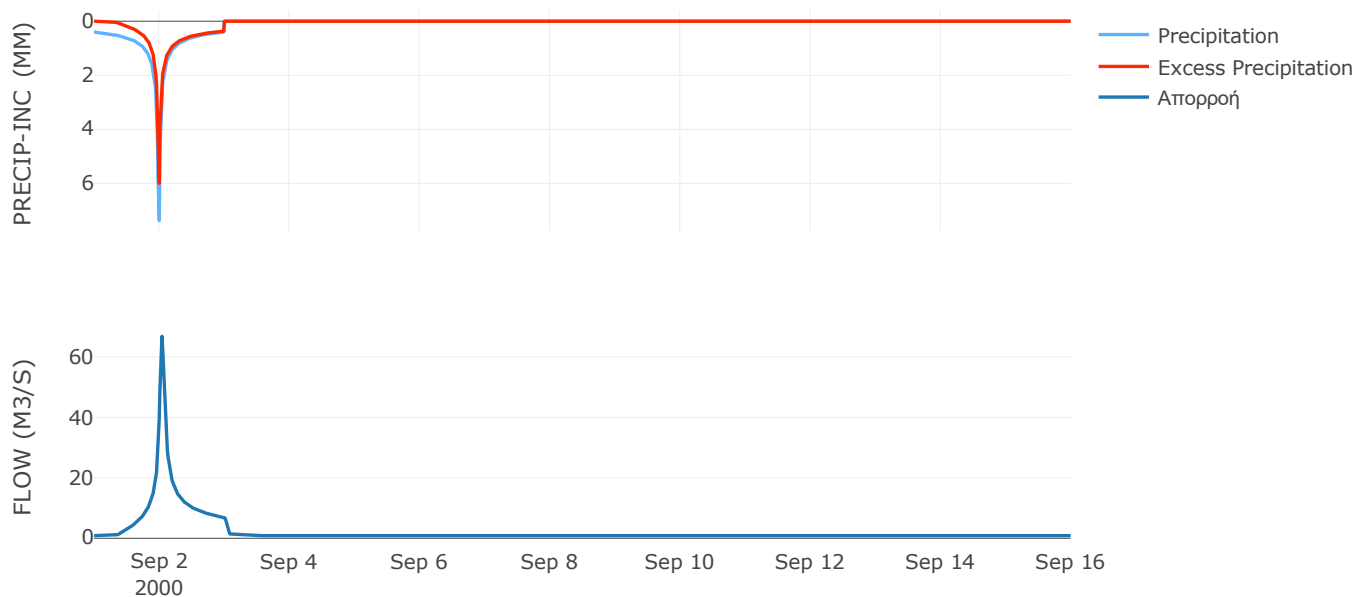
Μέθοδος
Μετασχηματισμού: SCS

Χρόνος Υστέρησης	50.65
------------------	-------

Αποτελέσματα:
EL0512FR1040

Παροχή αιχμής (M3/S)	66.79
Χρονική στιγμή αιχμής	02Sep2000, 01:00
Όγκος (MM)	198.43
Όγκος βροχόπτωσης (M3)	2.57E6
Όγκος απωλειών (M3)	8.31E5
Ενεργός Όγκος (M3)	1.74E6
Όγκος άμεσης απορροής (M3)	1.74E6
Όγκος βασικής απορροής (M3)	1.12E6

Βροχόπτωση και Απορροή



Υπολεκάνη: EL0512FR1041

Έκταση (KM2) : 37.27

Κατάντη : J29

Μέθοδος Απωλειών: SCS

Ποσοστό αδιαπέρατης επιφάνειας	0
Αριθμός Καμπύλης Απορροής-CN	80.42
Αρχικές Απώλειες	12.37

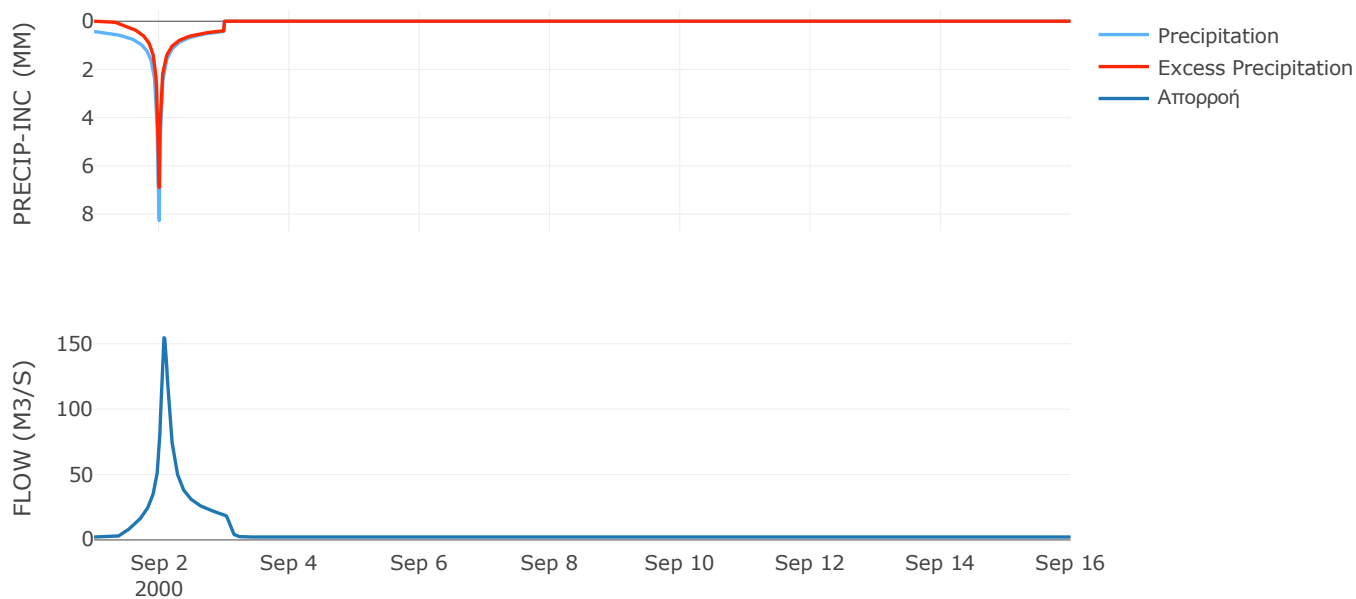
Μέθοδος
Μετασχηματισμού: SCS

Χρόνος Υστέρησης	102.57
------------------	--------

Αποτελέσματα:
EL0512FR1041

Παροχή αιχμής (M3/S)	154.61
Χρονική στιγμή αιχμής	02Sep2000, 01:45
Όγκος (MM)	213.43
Όγκος βροχόπτωσης (M3)	7.24E6
Όγκος απωλειών (M3)	2.18E6
Ενεργός Όγκος (M3)	5.06E6
Όγκος άμεσης απορροής (M3)	5.06E6
Όγκος βασικής απορροής (M3)	2.9E6

Βροχόπτωση και Απορροή



Υπολεκάνη: EL0512FR1042

Έκταση (KM2) : 72.53

Κατάντη : J20

Μέθοδος Απωλειών: SCS

Ποσοστό αδιαπέρατης επιφάνειας	0
Αριθμός Καμπύλης Απορροής-CN	77.31
Αρχικές Απώλειες	14.91

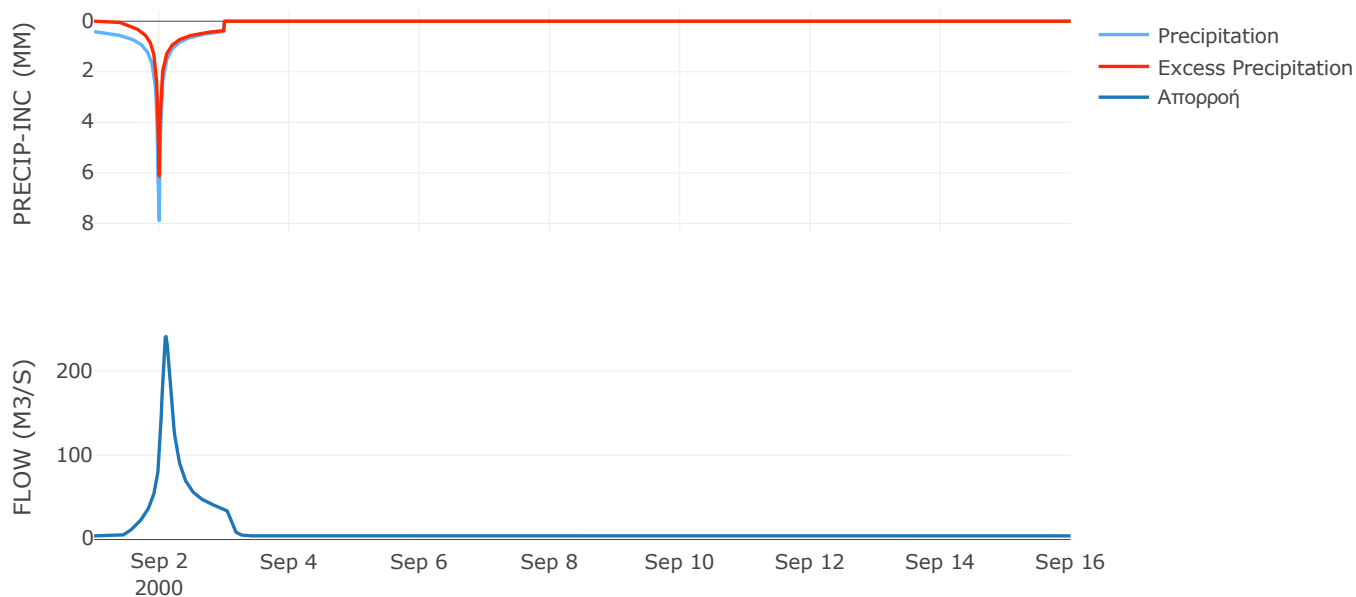
Μέθοδος
Μετασχηματισμού: SCS

Χρόνος Υστέρησης	130.98
------------------	--------

Αποτελέσματα:
EL0512FR1042

Παροχή αιχμής (M3/S)	240.47
Χρονική στιγμή αιχμής	02Sep2000, 02:30
Όγκος (MM)	197.31
Όγκος βροχόπτωσης (M3)	1.35E7
Όγκος απωλειών (M3)	4.85E6
Ενεργός Όγκος (M3)	8.67E6
Όγκος άμεσης απορροής (M3)	8.67E6
Όγκος βασικής απορροής (M3)	5.64E6

Βροχόπτωση και Απορροή



Υπολεκάνη: EL0512FR1043

Έκταση (KM2) : 13.21

Κατάντη : J21

Μέθοδος Απωλειών: SCS

Ποσοστό αδιαπέρατης επιφάνειας	0
Αριθμός Καμπύλης Απορροής-CN	73.47
Αρχικές Απώλειες	18.34

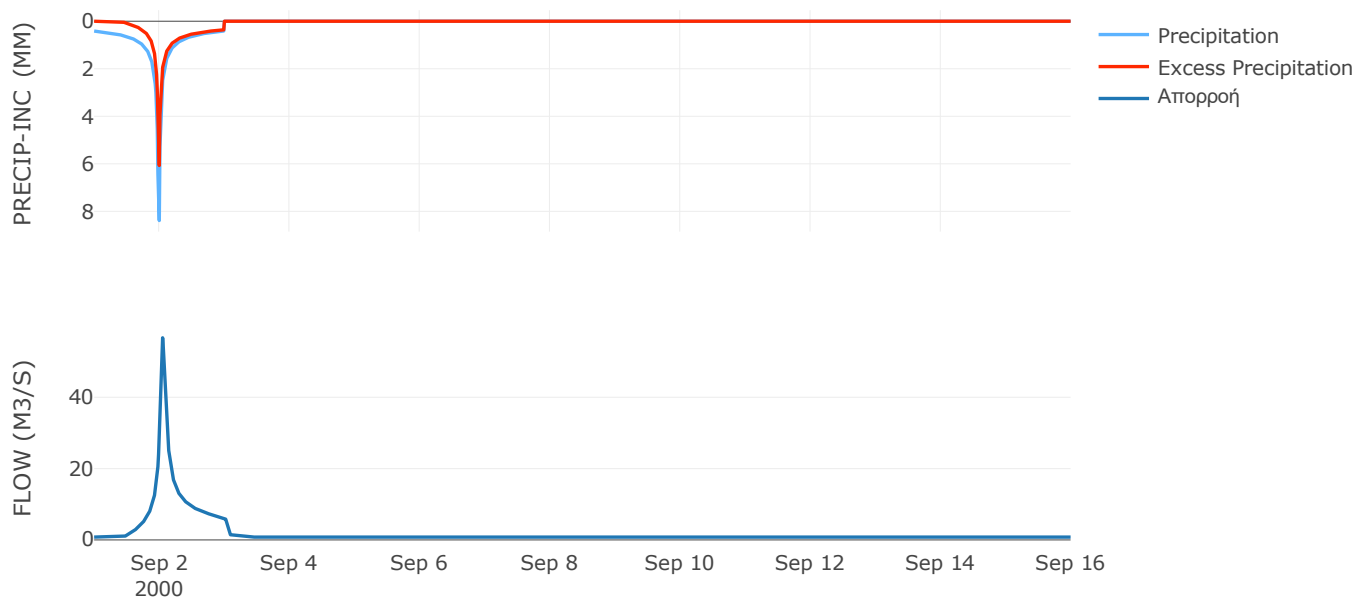
Μέθοδος
Μετασχηματισμού: SCS

Χρόνος Υστέρησης	62.78
------------------	-------

Αποτελέσματα:
EL0512FR1043

Παροχή αιχμής (M3/S)	56.69
Χρονική στιγμή αιχμής	02Sep2000, 01:15
Όγκος (MM)	190.97
Όγκος βροχόπτωσης (M3)	2.53E6
Όγκος απωλειών (M3)	1.03E6
Ενεργός Όγκος (M3)	1.5E6
Όγκος άμεσης απορροής (M3)	1.5E6
Όγκος βασικής απορροής (M3)	1.03E6

Βροχόπτωση και Απορροή



Υπολεκάνη: EL0512FR1044

Έκταση (KM2) : 23.96

Κατάντη : J19

Μέθοδος Απωλειών: SCS

Ποσοστό αδιαπέρατης επιφάνειας	0
Αριθμός Καμπύλης Απορροής-CN	74.23
Αρχικές Απώλειες	17.64

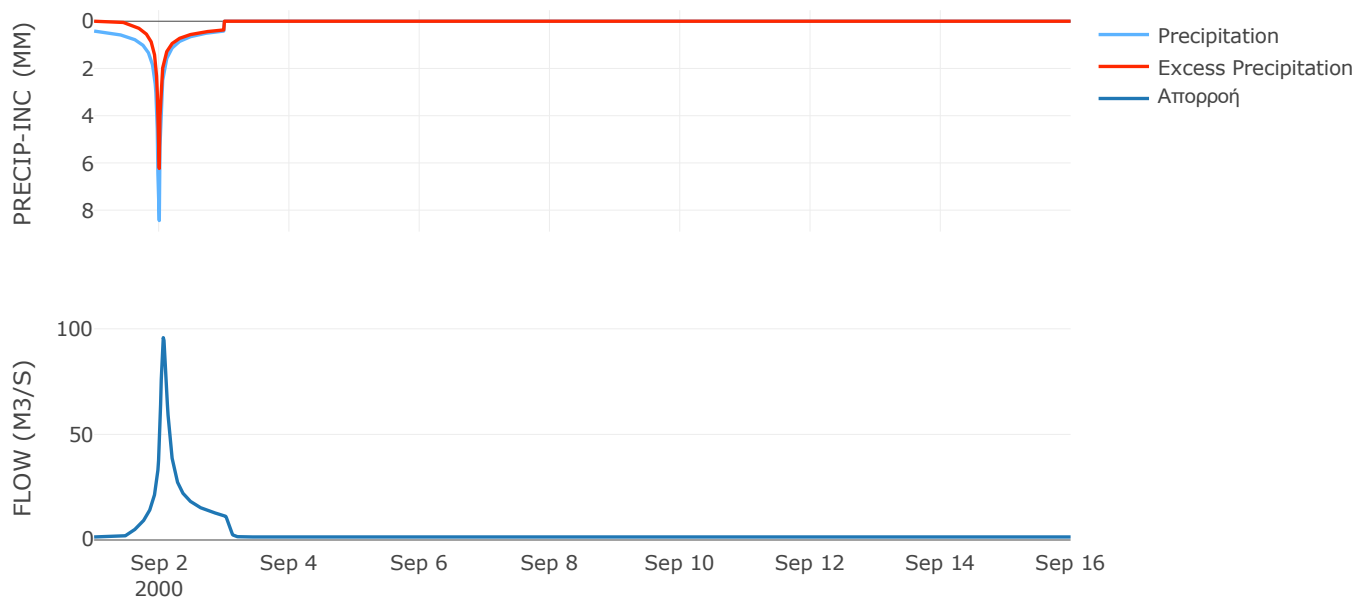
Μέθοδος
Μετασχηματισμού: SCS

Χρόνος Υστέρησης	83.39
------------------	-------

Αποτελέσματα:
EL0512FR1044

Παροχή αιχμής (M3/S)	95.81
Χρονική στιγμή αιχμής	02Sep2000, 01:30
Όγκος (MM)	194.53
Όγκος βροχόπτωσης (M3)	4.63E6
Όγκος απωλειών (M3)	1.83E6
Ενεργός Όγκος (M3)	2.8E6
Όγκος άμεσης απορροής (M3)	2.8E6
Όγκος βασικής απορροής (M3)	1.86E6

Βροχόπτωση και Απορροή



Υπολεκάνη: EL0512FR1045

Έκταση (KM2) : 15.22

Κατάντη : J18

Μέθοδος Απωλειών: SCS

Ποσοστό αδιαπέρατης επιφάνειας	0
Αριθμός Καμπύλης Απορροής-CN	71.59
Αρχικές Απώλειες	20.16

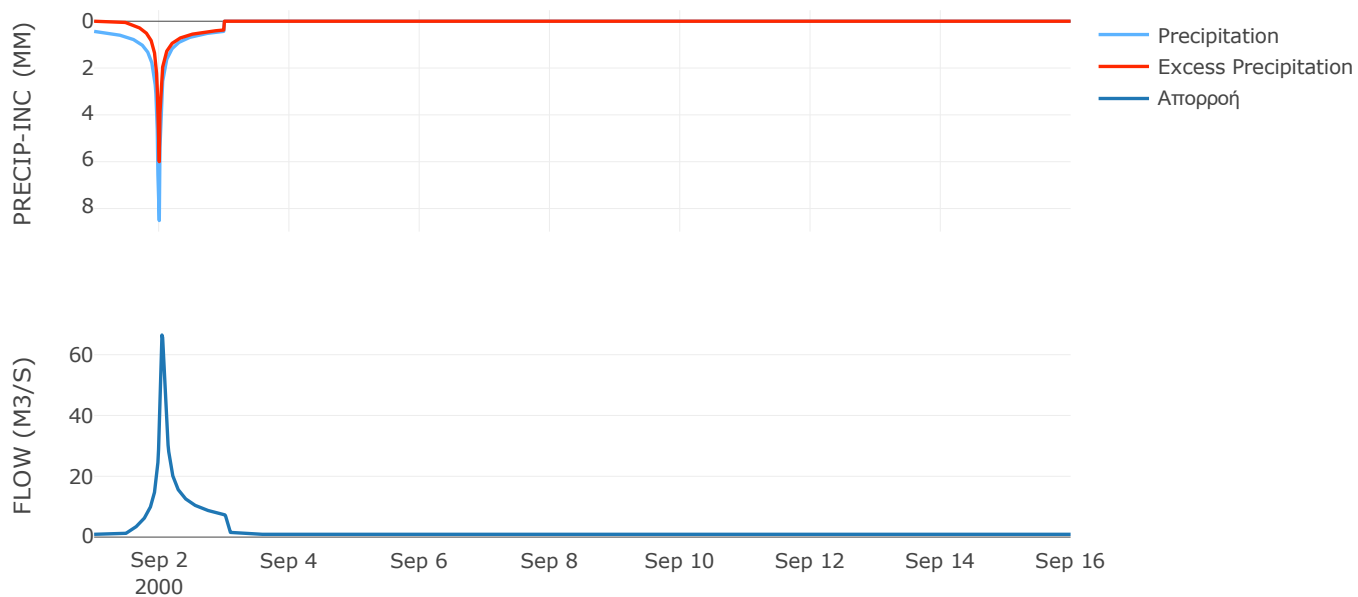
Μέθοδος
Μετασχηματισμού: SCS

Χρόνος Υστέρησης	57.98
------------------	-------

Αποτελέσματα:
EL0512FR1045

Παροχή αιχμής (M3/S)	66.47
Χρονική στιγμή αιχμής	02Sep2000, 01:00
Όγκος (MM)	191.95
Όγκος βροχόπτωσης (M3)	3.03E6
Όγκος απωλειών (M3)	1.29E6
Ενεργός Όγκος (M3)	1.74E6
Όγκος άμεσης απορροής (M3)	1.74E6
Όγκος βασικής απορροής (M3)	1.18E6

Βροχόπτωση και Απορροή



Υπολεκάνη: EL0512FR1046

Έκταση (KM2) : 123.67

Κατάντη : J19

Μέθοδος Απωλειών: SCS

Ποσοστό αδιαπέρατης επιφάνειας	0
Αριθμός Καμπύλης Απορροής-CN	78.59
Αρχικές Απώλειες	13.84

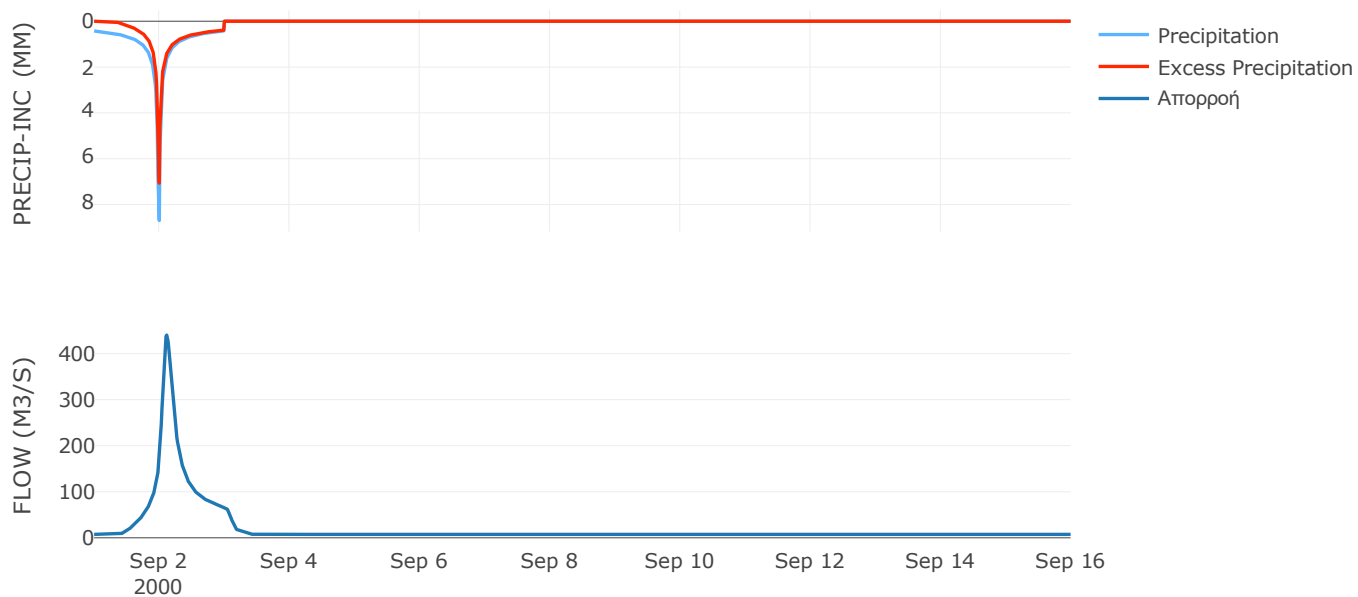
Μέθοδος
Μετασχηματισμού: SCS

Χρόνος Υστέρησης	150.57
------------------	--------

Αποτελέσματα:
EL0512FR1046

Παροχή αιχμής (M3/S)	440.14
Χρονική στιγμή αιχμής	02Sep2000, 02:45
Όγκος (MM)	211.2
Όγκος βροχόπτωσης (M3)	2.44E7
Όγκος απωλειών (M3)	7.93E6
Ενεργός Όγκος (M3)	1.65E7
Όγκος άμεσης απορροής (M3)	1.65E7
Όγκος βασικής απορροής (M3)	9.62E6

Βροχόπτωση και Απορροή



Υπολεκάνη: EL0512FR1047

Έκταση (KM2) : 46.41

Κατάντη : J11

Μέθοδος Απωλειών: SCS

Ποσοστό αδιαπέρατης επιφάνειας	0
Αριθμός Καμπύλης Απορροής-CN	76.05
Αρχικές Απώλειες	16

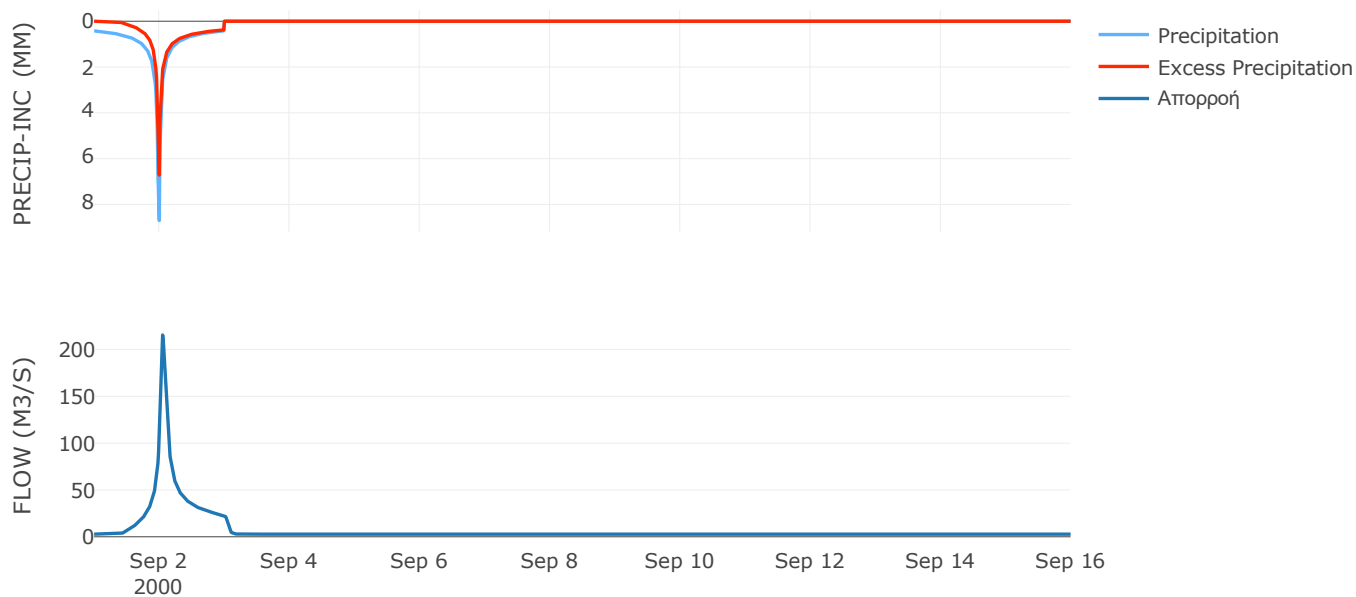
Μέθοδος
Μετασχηματισμού: SCS

Χρόνος Υστέρησης	68.04
------------------	-------

Αποτελέσματα:
EL0512FR1047

Παροχή αιχμής (M3/S)	215.49
Χρονική στιγμή αιχμής	02Sep2000, 01:15
Όγκος (MM)	202.43
Όγκος βροχόπτωσης (M3)	9.1E6
Όγκος απωλειών (M3)	3.31E6
Ενεργός Όγκος (M3)	5.79E6
Όγκος άμεσης απορροής (M3)	5.79E6
Όγκος βασικής απορροής (M3)	3.61E6

Βροχόπτωση και Απορροή



Υπολεκάνη: EL0512FR1048

Έκταση (KM2) : 6.43

Κατάντη : J14

Μέθοδος Απωλειών: SCS

Ποσοστό αδιαπέρατης επιφάνειας	0
Αριθμός Καμπύλης Απορροής-CN	80.96
Αρχικές Απώλειες	11.95

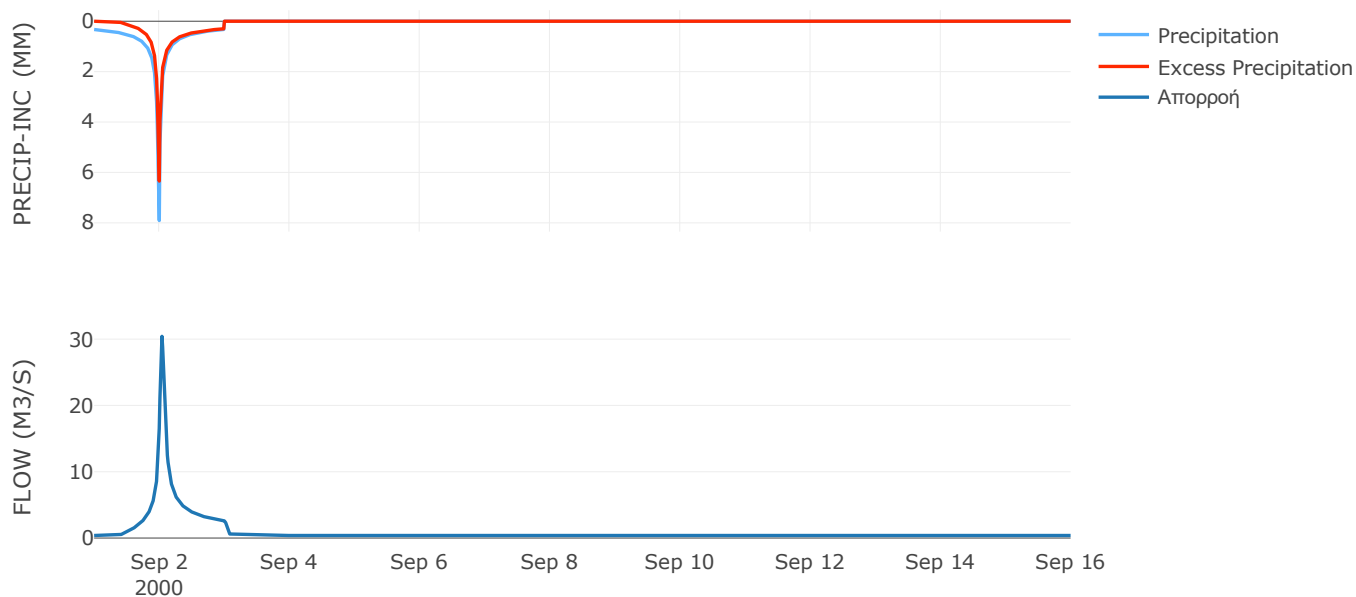
Μέθοδος
Μετασχηματισμού: SCS

Χρόνος Υστέρησης	52.3
------------------	------

Αποτελέσματα:
EL0512FR1048

Παροχή αιχμής (M3/S)	30.43
Χρονική στιγμή αιχμής	02Sep2000, 01:00
Όγκος (MM)	185.66
Όγκος βροχόπτωσης (M3)	1.05E6
Όγκος απωλειών (M3)	3.52E5
Ενεργός Όγκος (M3)	6.94E5
Όγκος άμεσης απορροής (M3)	6.94E5
Όγκος βασικής απορροής (M3)	5E5

Βροχόπτωση και Απορροή



Υπολεκάνη: EL0512FR1049

Έκταση (KM2) : 4.8

Κατάντη : J12

Μέθοδος Απωλειών: SCS

Ποσοστό αδιαπέρατης επιφάνειας	0
Αριθμός Καμπύλης Απορροής-CN	89.51
Αρχικές Απώλειες	5.96

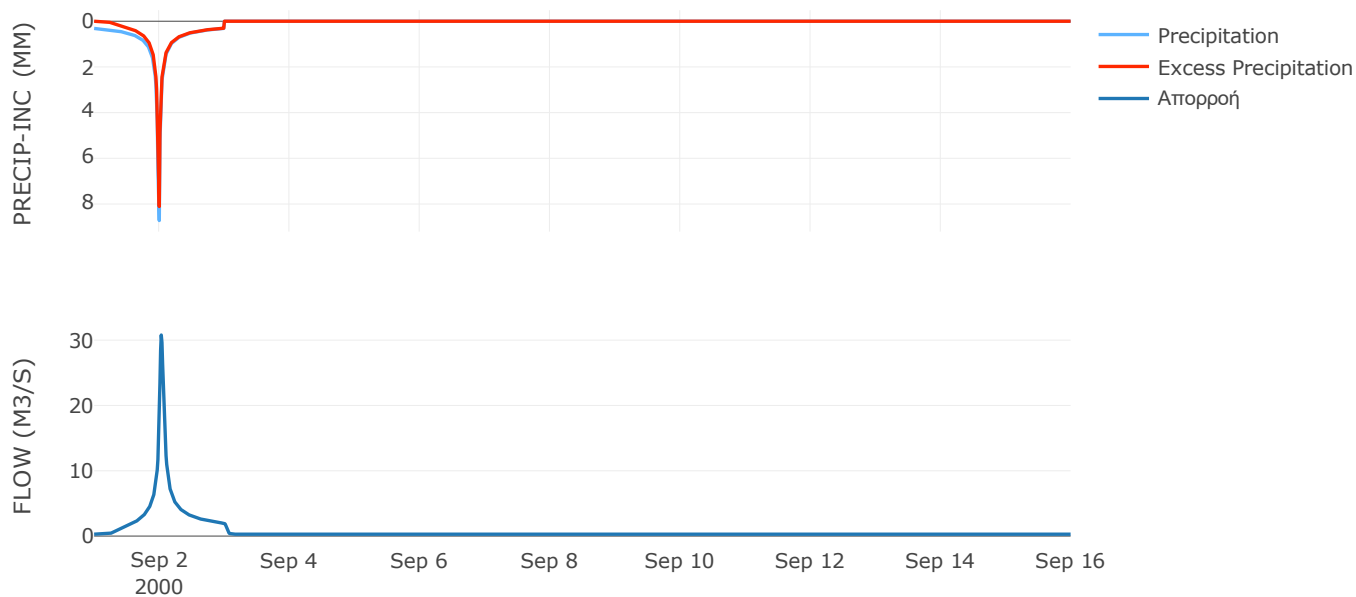
Μέθοδος
Μετασχηματισμού: SCS

Χρόνος Υστέρησης	44.56
------------------	-------

Αποτελέσματα:
EL0512FR1049

Παροχή αιχμής (M3/S)	30.79
Χρονική στιγμή αιχμής	02Sep2000, 00:45
Όγκος (MM)	212.19
Όγκος βροχόπτωσης (M3)	7.95E5
Όγκος απωλειών (M3)	1.49E5
Ενεργός Όγκος (M3)	6.46E5
Όγκος άμεσης απορροής (M3)	6.46E5
Όγκος βασικής απορροής (M3)	3.74E5

Βροχόπτωση και Απορροή



Υπολεκάνη: EL0512FR1050

Έκταση (KM2) : 8.16

Κατάντη : J8

Μέθοδος Απωλειών: SCS

Ποσοστό αδιαπέρατης επιφάνειας	0
Αριθμός Καμπύλης Απορροής-CN	72.81
Αρχικές Απώλειες	18.97

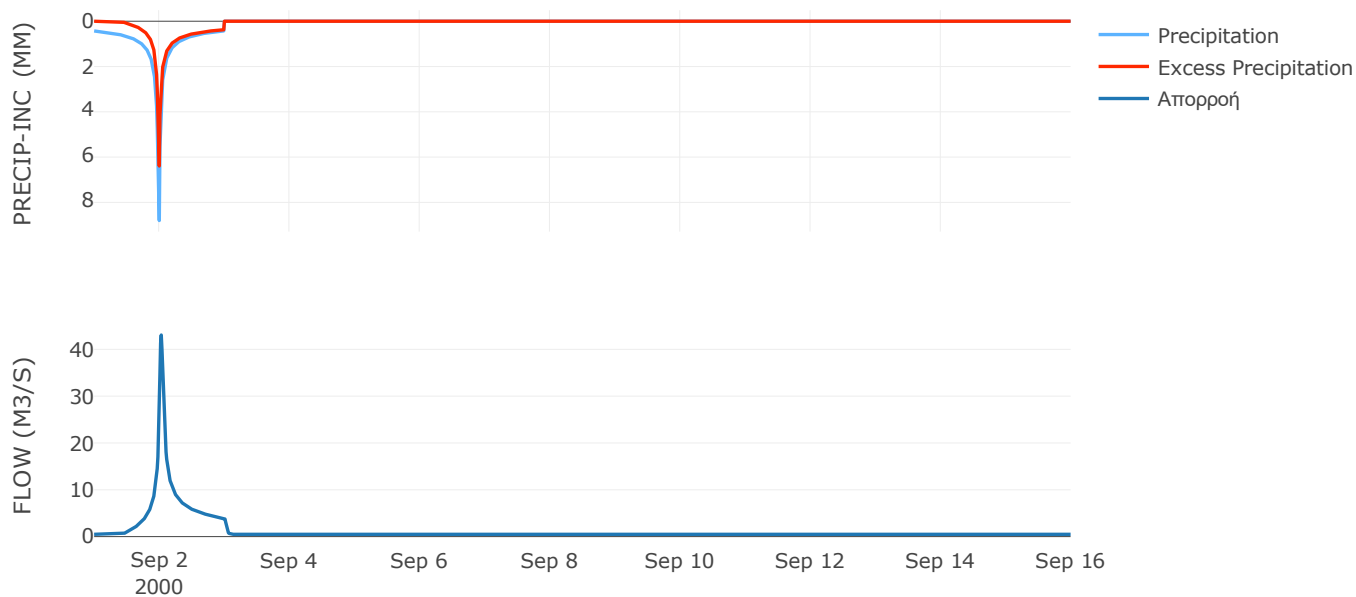
Μέθοδος
Μετασχηματισμού: SCS

Χρόνος Υστέρησης	37.43
------------------	-------

Αποτελέσματα:
EL0512FR1050

Παροχή αιχμής (M3/S)	43.07
Χρονική στιγμή αιχμής	02Sep2000, 00:45
Όγκος (MM)	196.22
Όγκος βροχόπτωσης (M3)	1.63E6
Όγκος απωλειών (M3)	6.62E5
Ενεργός Όγκος (M3)	9.67E5
Όγκος άμεσης απορροής (M3)	9.67E5
Όγκος βασικής απορροής (M3)	6.35E5

Βροχόπτωση και Απορροή



Υπολεκάνη: EL0512FR1051

Έκταση (KM2) : 3.84

Κατάντη : J3

Μέθοδος Απωλειών: SCS

Ποσοστό αδιαπέρατης επιφάνειας	0
Αριθμός Καμπύλης Απορροής-CN	89.54
Αρχικές Απώλειες	5.93

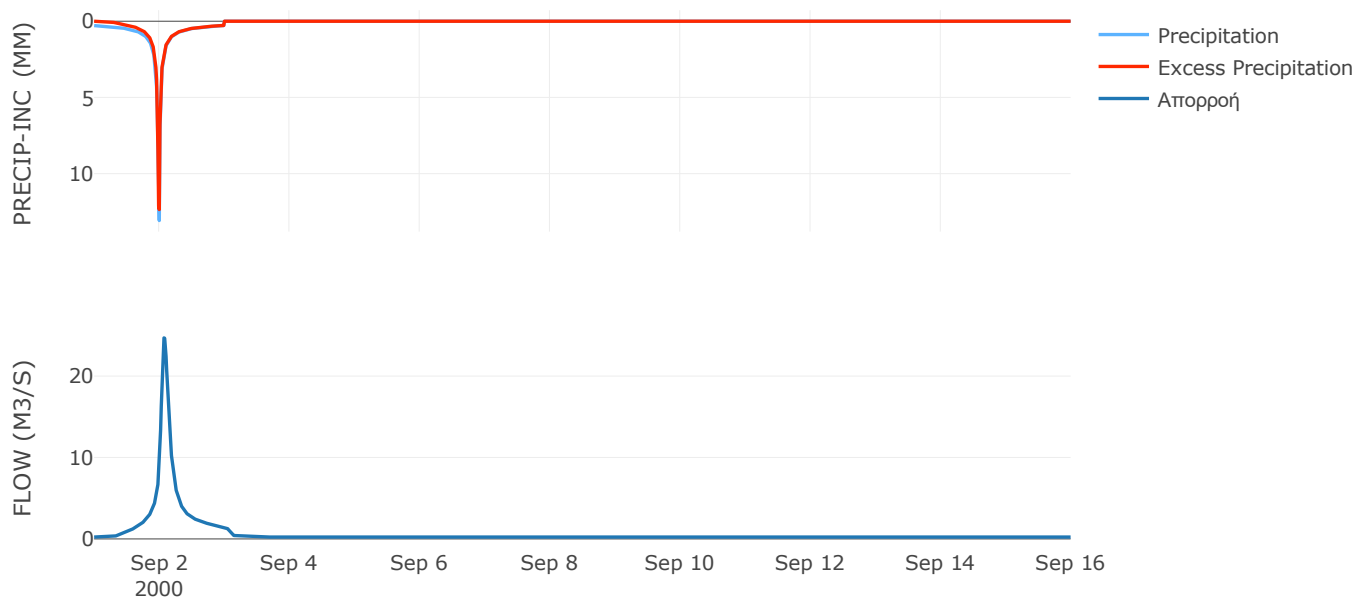
Μέθοδος
Μετασχηματισμού: SCS

Χρόνος Υστέρησης	107.54
------------------	--------

Αποτελέσματα:
EL0512FR1051

Παροχή αιχμής (M3/S)	24.69
Χρονική στιγμή αιχμής	02Sep2000, 01:45
Όγκος (MM)	233.65
Όγκος βροχόπτωσης (M3)	7.19E5
Όγκος απωλειών (M3)	1.21E5
Ενεργός Όγκος (M3)	5.98E5
Όγκος άμεσης απορροής (M3)	5.98E5
Όγκος βασικής απορροής (M3)	2.98E5

Βροχόπτωση και Απορροή



4.2 Δεδομένα και υδρογραφήματα σχεδιασμού Κλάδων υδρογραφικού δικτύου

Κλάδος: R21

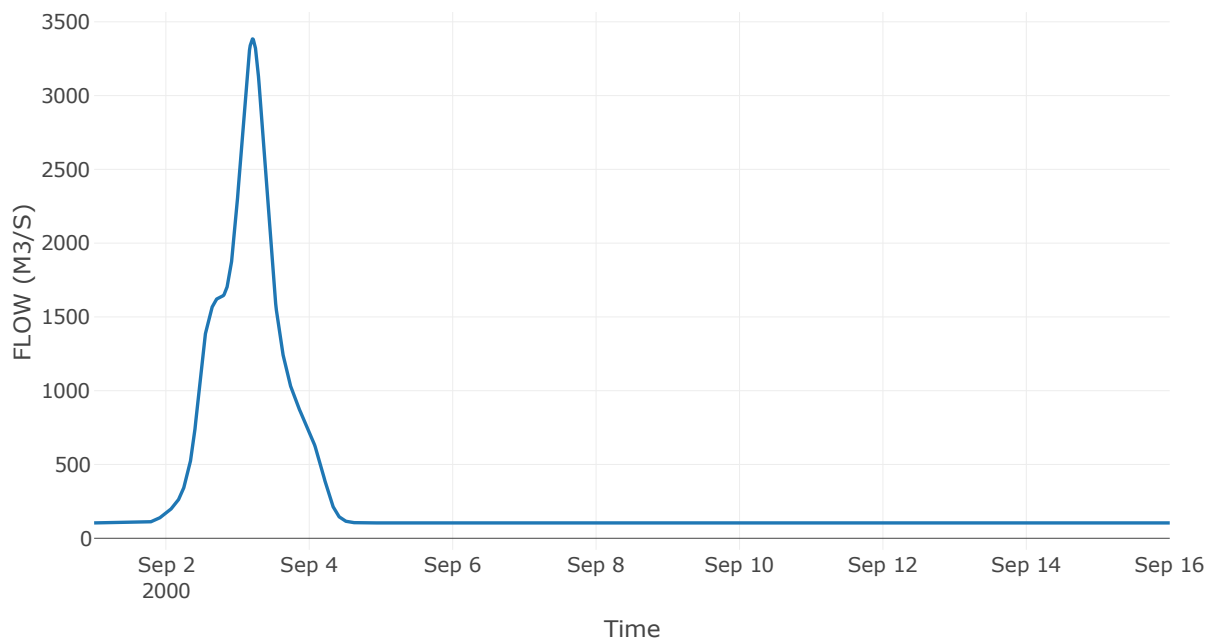
Κατάντη : J1

Μέθοδος Διόδευσης	Muskingum
Αρχική Μεταβλητή	Combined Inflow
Χρόνος Ροής K	5.87
Συντελεστής βάρους x	0.2
Πλήθος Υποκλάδων	23

Αποτελέσματα: R21

Παροχή Αιχμής (M3/S)	3384.21
Χρονική στιγμή αιχμής	03Sep2000, 05:00
Όγκος (MM)	223.54
Παροχή Αιχμής Εισόδου (M3/S)	3452.25
Όγκος Εισροής (M3)	3.87E8

Απορροή



Κλάδος: R32

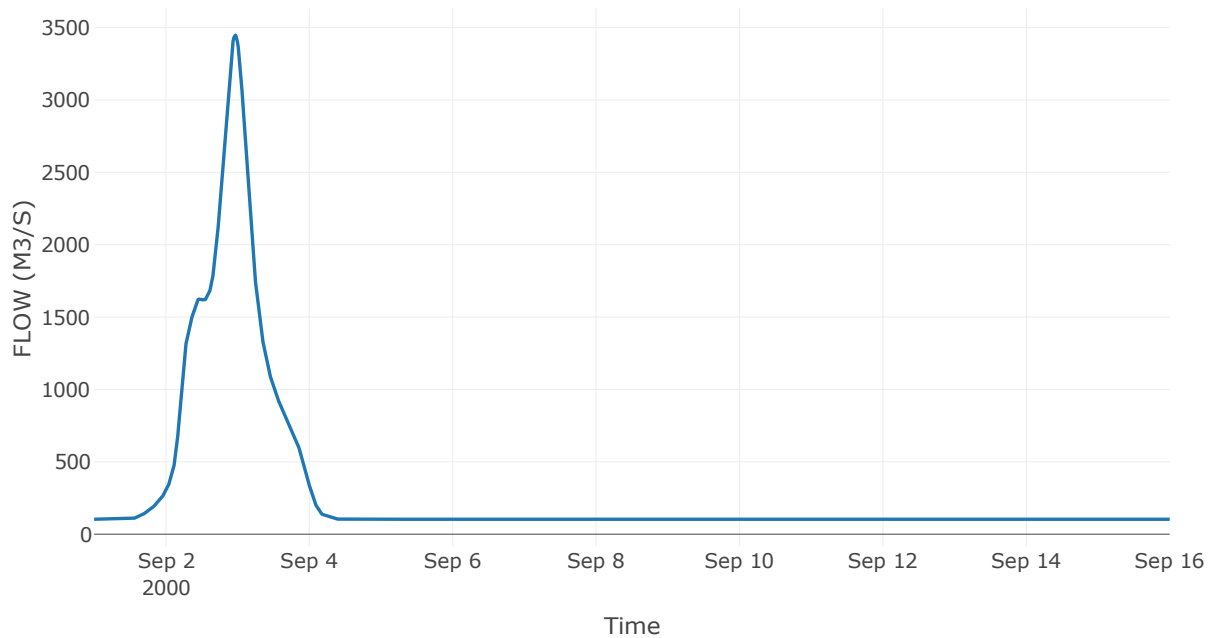
Κατάντη : J2

Μέθοδος Διόδευσης	Muskingum
Αρχική Μεταβλητή	Combined Inflow
Χρόνος Ροής K	3.56
Συντελεστής βάρους x	0.2
Πλήθος Υποκλάδων	14

Αποτελέσματα: R32

Παροχή Αιχμής (M3/S)	3446.92
Χρονική στιγμή αιχμής	02Sep2000, 23:15
Όγκος (MM)	223.57
Παροχή Αιχμής Εισόδου (M3/S)	3492.76
Όγκος Εισροής (M3)	3.84E8

Απορροή



Κλάδος: R43

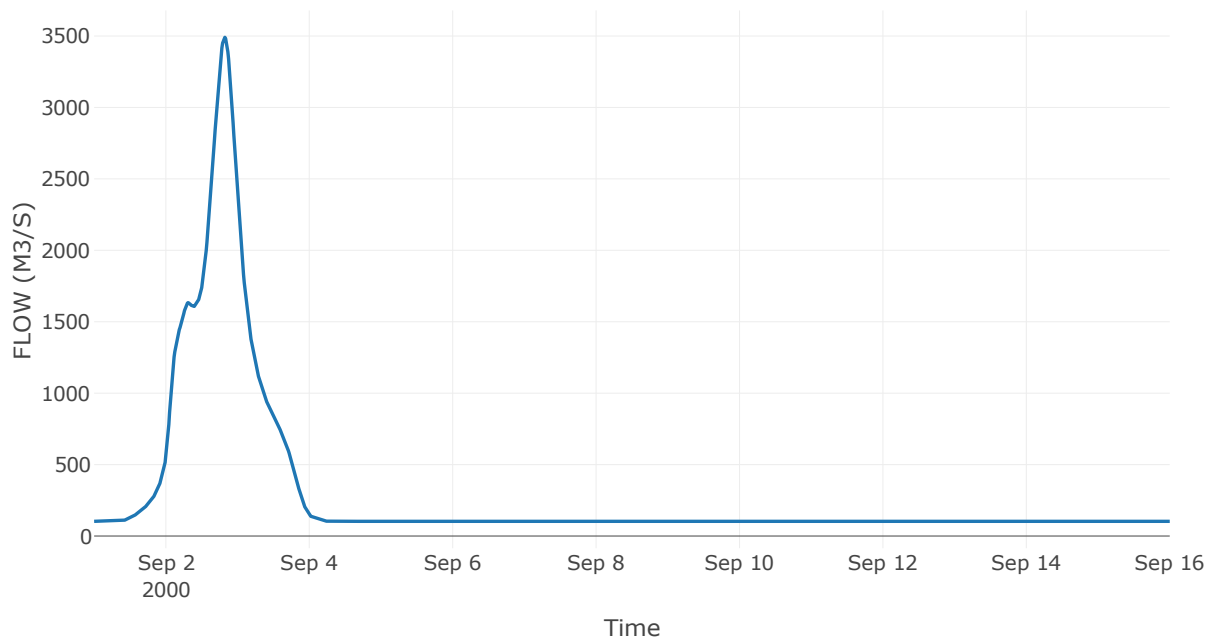
Κατάντη : J3

Μέθοδος Διόδευσης	Muskingum
Αρχική Μεταβλητή	Combined Inflow
Χρόνος Ροής K	0.62
Συντελεστής βάρους x	0.2
Πλήθος Υποκλάδων	2

Αποτελέσματα: R43

Παροχή Αιχμής (M3/S)	3491.01
Χρονική στιγμή αιχμής	02Sep2000, 19:45
Όγκος (MM)	223.55
Παροχή Αιχμής Εισόδου (M3/S)	3501.4
Όγκος Εισροής (M3)	3.84E8

Απορροή



Κλάδος: R54

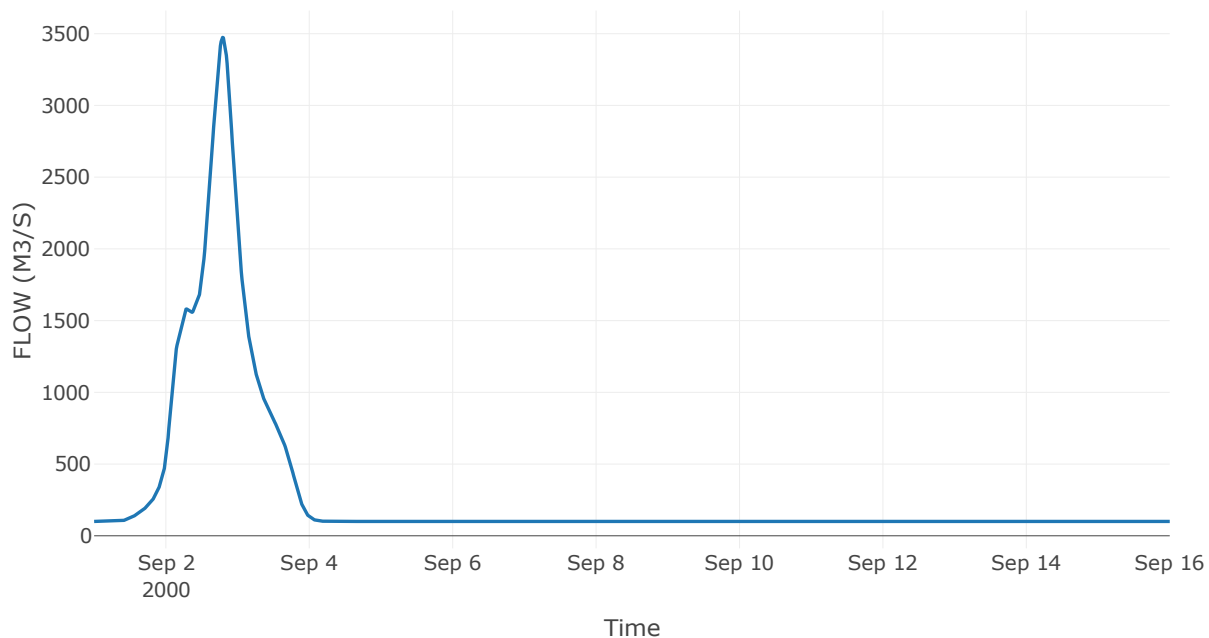
Κατάντη : J4

Μέθοδος Διόδευσης	Muskingum
Αρχική Μεταβλητή	Combined Inflow
Χρόνος Ροής K	0.23
Συντελεστής βάρους x	0.2
Πλήθος Υποκλάδων	1

Αποτελέσματα: R54

Παροχή Αιχμής (M3/S)	3474.08
Χρονική στιγμή αιχμής	02Sep2000, 19:00
Όγκος (MM)	223.77
Παροχή Αιχμής Εισόδου (M3/S)	3476.52
Όγκος Εισροής (M3)	3.73E8

Απορροή



Κλάδος: R65

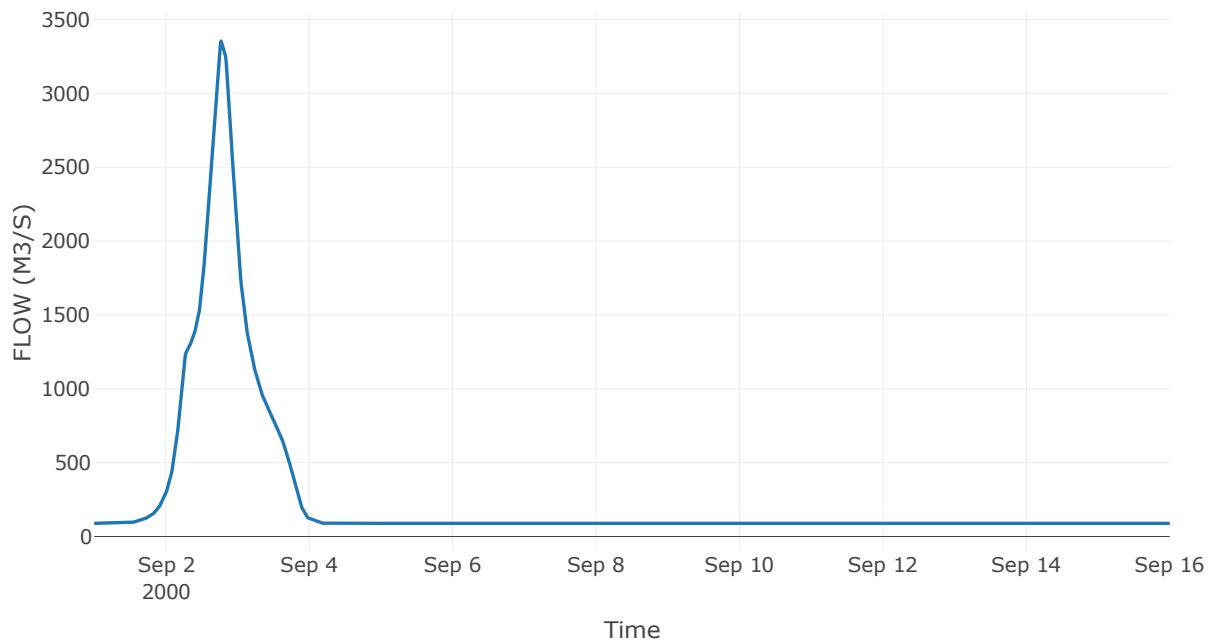
Κατάντη : J5

Μέθοδος Διόδευσης	Muskingum
Αρχική Μεταβλητή	Combined Inflow
Χρόνος Ροής K	2.31
Συντελεστής βάρους x	0.2
Πλήθος Υποκλάδων	9

Αποτελέσματα: R65

Παροχή Αιχμής (M3/S)	3365.52
Χρονική στιγμή αιχμής	02Sep2000, 18:45
Όγκος (MM)	224.11
Παροχή Αιχμής Εισόδου (M3/S)	3400.72
Όγκος Εισροής (M3)	3.32E8

Απορροή



Κλάδος: R76

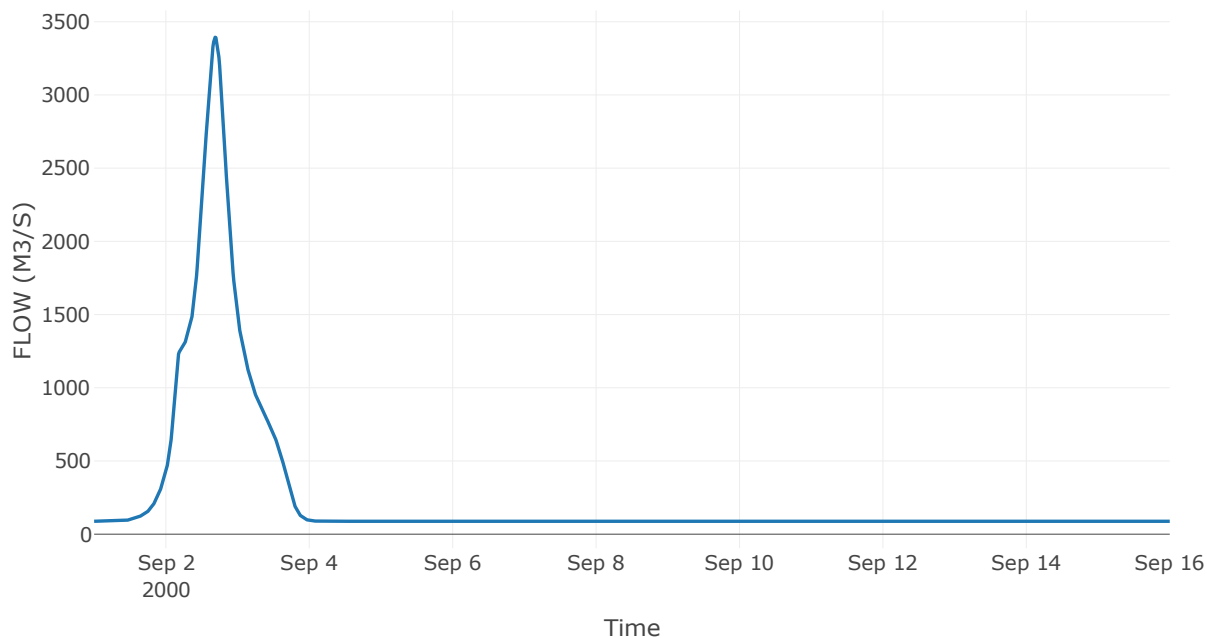
Κατάντη : J6

Μέθοδος Διόδευσης	Muskingum
Αρχική Μεταβλητή	Combined Inflow
Χρόνος Ροής K	1.99
Συντελεστής βάρους x	0.2
Πλήθος Υποκλάδων	8

Αποτελέσματα: R76

Παροχή Αιχμής (M3/S)	3393.97
Χρονική στιγμή αιχμής	02Sep2000, 16:30
Όγκος (MM)	224.2
Παροχή Αιχμής Εισόδου (M3/S)	3424.23
Όγκος Εισροής (M3)	3.29E8

Απορροή



Κλάδος: R87

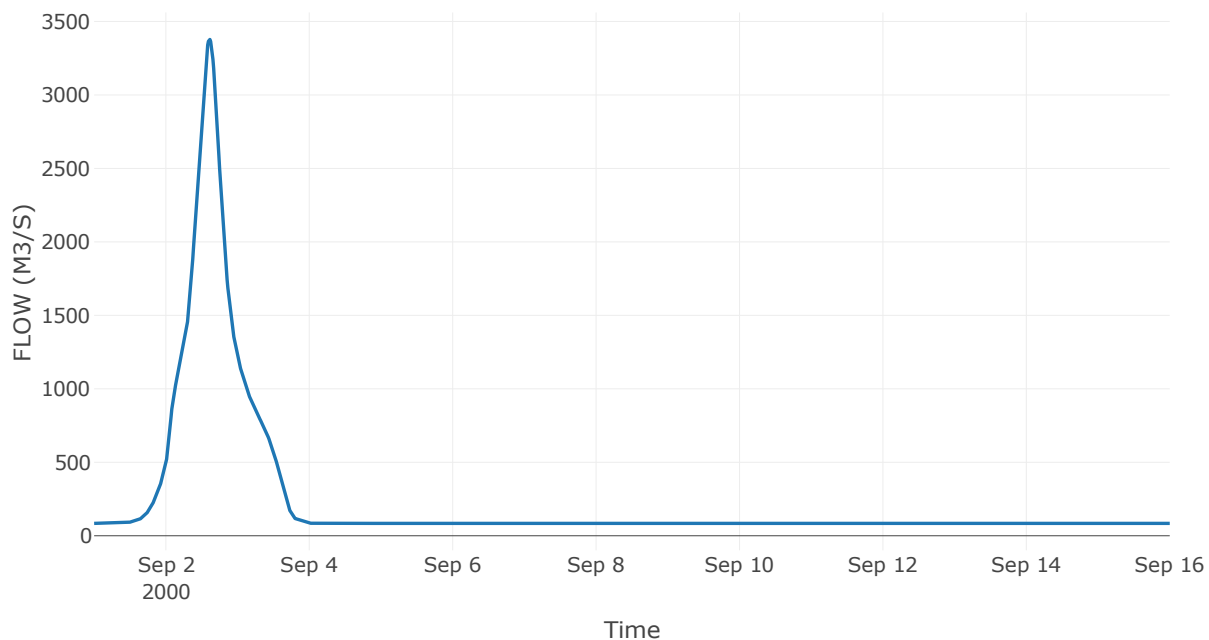
Κατάντη : J7

Μέθοδος Διόδευσης	Muskingum
Αρχική Μεταβλητή	Combined Inflow
Χρόνος Ροής K	1.06
Συντελεστής βάρους x	0.2
Πλήθος Υποκλάδων	4

Αποτελέσματα: R87

Παροχή Αιχμής (M3/S)	3378.44
Χρονική στιγμή αιχμής	02Sep2000, 14:30
Όγκος (MM)	223.58
Παροχή Αιχμής Εισόδου (M3/S)	3398.27
Όγκος Εισροής (M3)	3.14E8

Απορροή



Κλάδος: R98

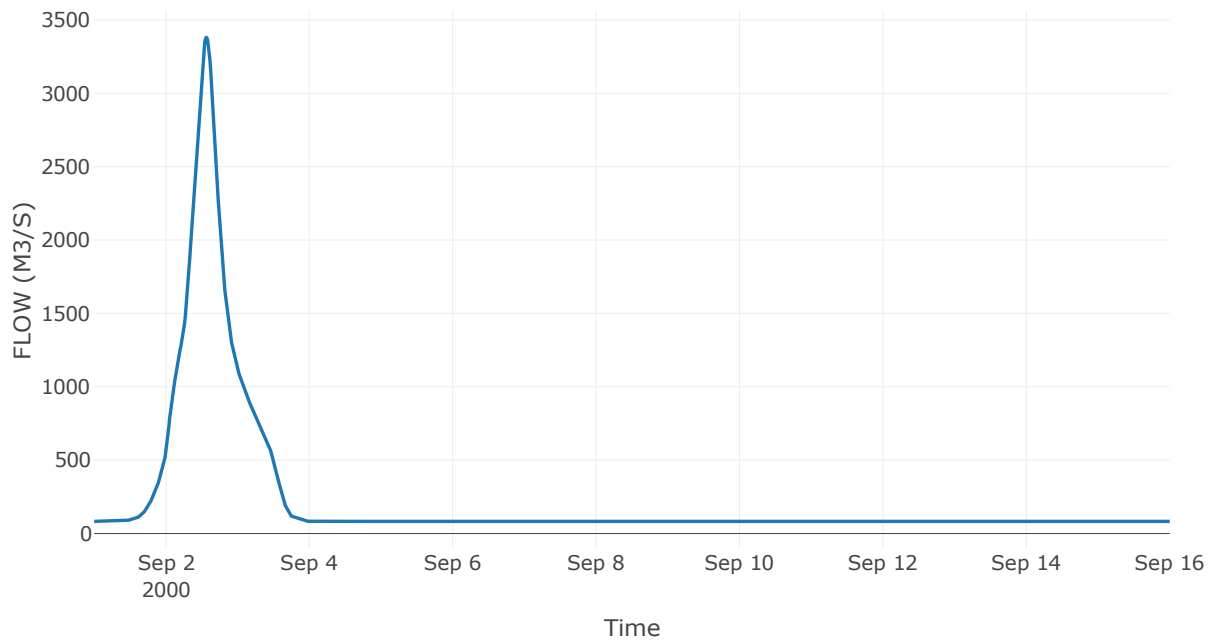
Κατάντη : J8

Μέθοδος Διόδευσης	Muskingum
Αρχική Μεταβλητή	Combined Inflow
Χρόνος Ροής K	0.44
Συντελεστής βάρους x	0.2
Πλήθος Υποκλάδων	2

Αποτελέσματα: R98

Παροχή Αιχμής (M3/S)	3381.02
Χρονική στιγμή αιχμής	02Sep2000, 13:30
Όγκος (MM)	223.64
Παροχή Αιχμής Εισόδου (M3/S)	3386.44
Όγκος Εισροής (M3)	3.08E8

Απορροή



Κλάδος: R109

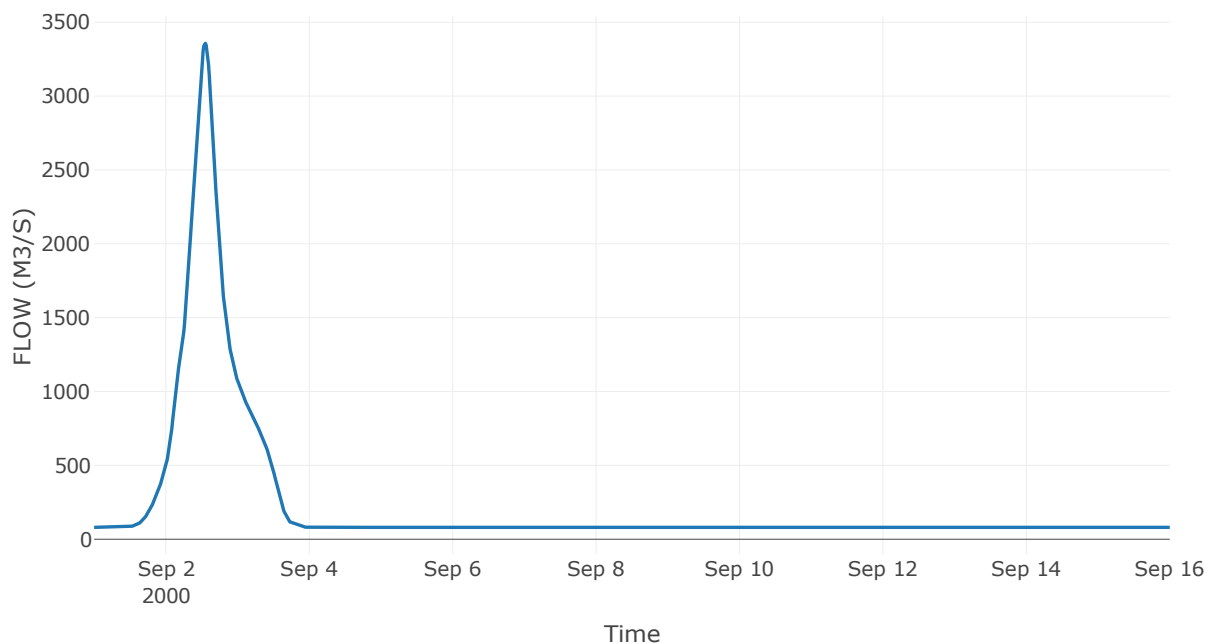
Κατάντη : J9

Μέθοδος Διόδευσης	Muskingum
Αρχική Μεταβλητή	Combined Inflow
Χρόνος Ροής K	1.99
Συντελεστής βάρους x	0.2
Πλήθος Υποκλάδων	8

Αποτελέσματα: R109

Παροχή Αιχμής (M3/S)	3357.25
Χρονική στιγμή αιχμής	02Sep2000, 13:15
Όγκος (MM)	223.19
Παροχή Αιχμής Εισόδου (M3/S)	3393.9
Όγκος Εισροής (M3)	2.99E8

Απορροή



Κλάδος: R1110

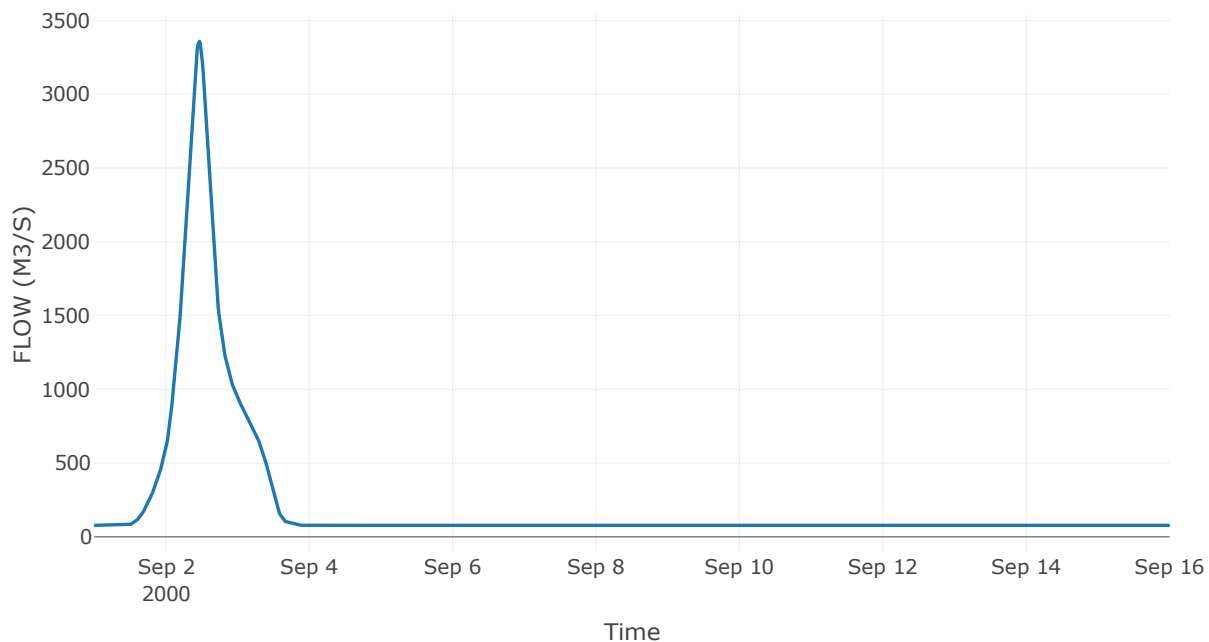
Κατάντη : J10

Μέθοδος Διόδευσης	Muskingum
Αρχική Μεταβλητή	Combined Inflow
Χρόνος Ροής Κ	1.61
Συντελεστής βάρους α	0.2
Πλήθος Υποκλάδων	6

Αποτελέσματα: R1110

Παροχή Αιχμής (M3/S)	3358.07
Χρονική στιγμή αιχμής	02Sep2000, 11:15
Όγκος (MM)	222.64
Παροχή Αιχμής Εισόδου (M3/S)	3392.54
Όγκος Εισροής (M3)	2.89E8

Απορροή



Κλάδος: R1223

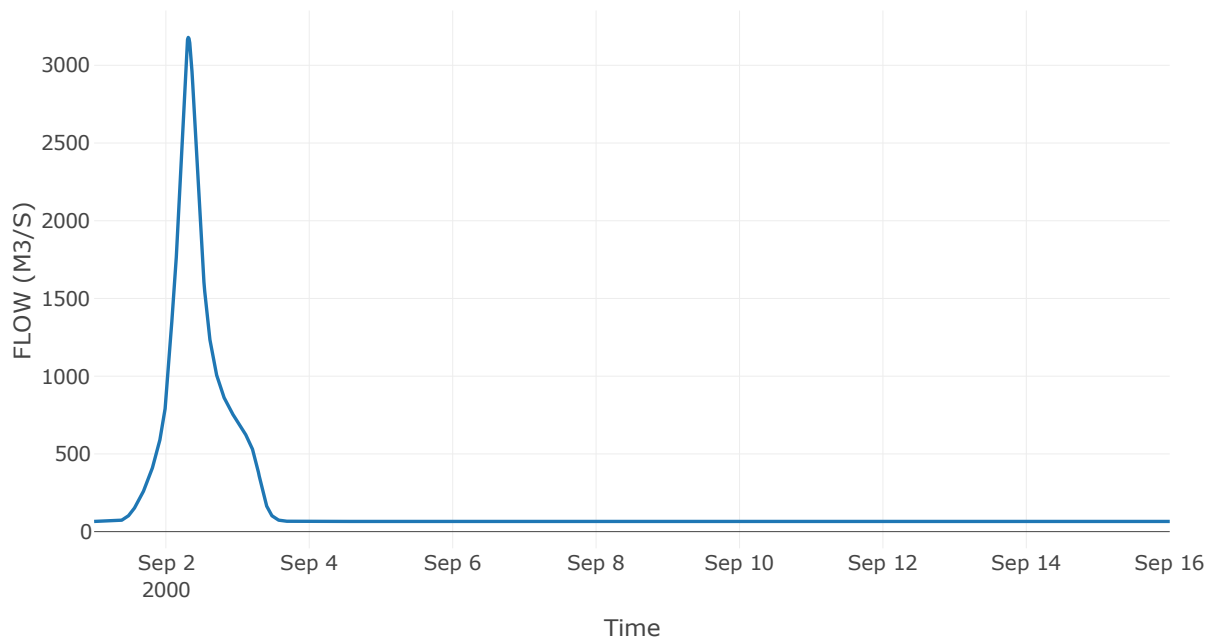
Κατάντη : J23

Μέθοδος Διόδευσης	Muskingum
Αρχική Μεταβλητή	Combined Inflow
Χρόνος Ροής K	0.14
Συντελεστής βάρους x	0.2
Πλήθος Υποκλάδων	1

Αποτελέσματα: R1223

Παροχή Αιχμής (M3/S)	3179.47
Χρονική στιγμή αιχμής	02Sep2000, 07:30
Όγκος (MM)	226.43
Παροχή Αιχμής Εισόδου (M3/S)	3179.95
Όγκος Εισροής (M3)	2.48E8

Απορροή



Κλάδος: R1312

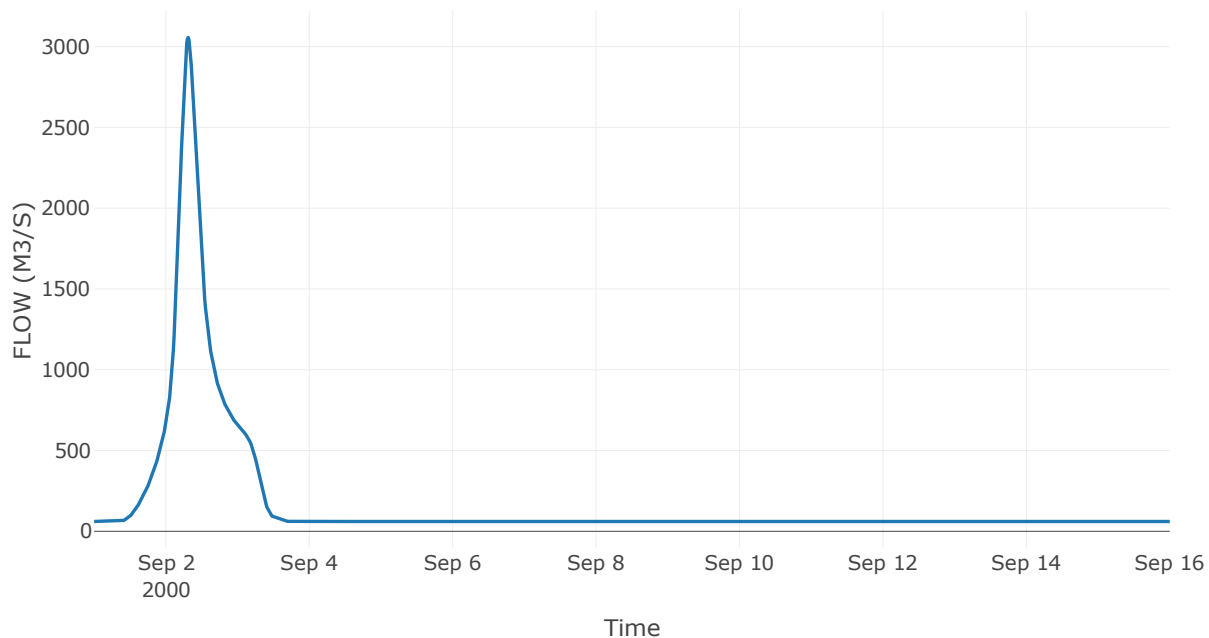
Κατάντη : J12

Μέθοδος Διόδευσης	Muskingum
Αρχική Μεταβλητή	Combined Inflow
Χρόνος Ροής Κ	2.21
Συντελεστής βάρους α	0.2
Πλήθος Υποκλάδων	9

Αποτελέσματα: R1312

Παροχή Αιχμής (M3/S)	3056.44
Χρονική στιγμή αιχμής	02Sep2000, 07:30
Όγκος (MM)	224.85
Παροχή Αιχμής Εισόδου (M3/S)	3118.73
Όγκος Εισροής (M3)	2.27E8

Απορροή



Κλάδος: R1413

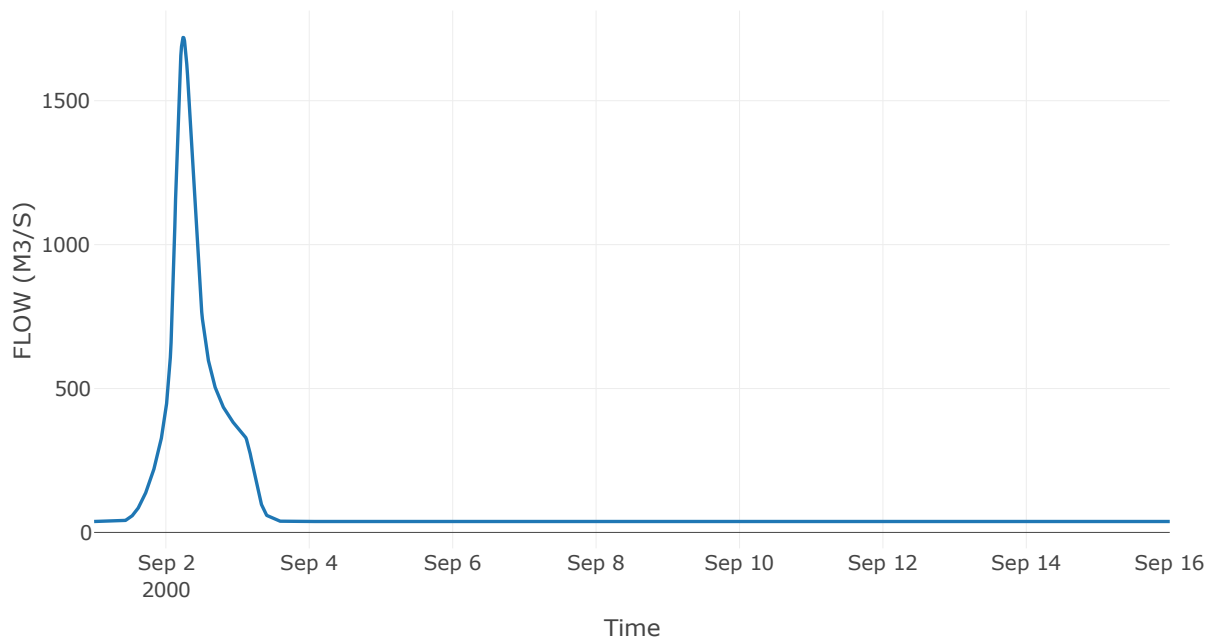
Κατάντη : J13

Μέθοδος Διόδευσης	Muskingum
Αρχική Μεταβλητή	Combined Inflow
Χρόνος Ροής Κ	1.91
Συντελεστής βάρους α	0.2
Πλήθος Υποκλάδων	8

Αποτελέσματα: R1413

Παροχή Αιχμής (M3/S)	1719.76
Χρονική στιγμή αιχμής	02Sep2000, 05:45
Όγκος (MM)	206.07
Παροχή Αιχμής Εισόδου (M3/S)	1745.23
Όγκος Εισροής (M3)	1.31E8

Απορροή



Κλάδος: R1514

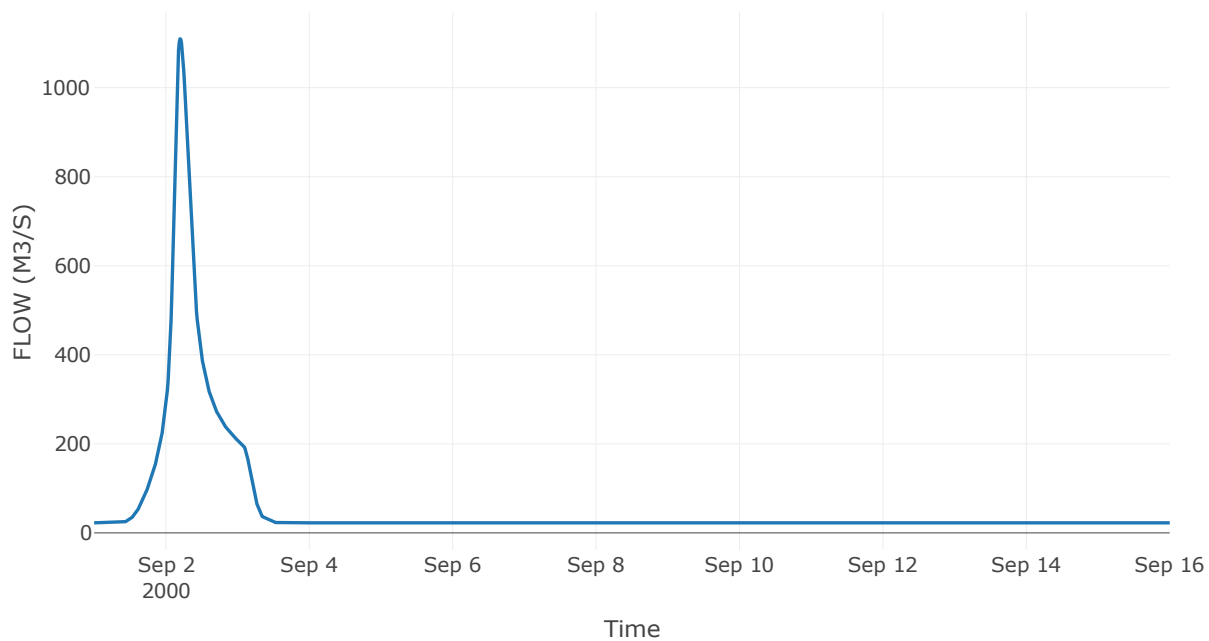
Κατάντη : J14

Μέθοδος Διόδευσης	Χρόνος
Αρχική Μεταβλητή	Combined Inflow
Χρόνος Υστέρησης	72.76

Αποτελέσματα: R1514

Παροχή Αιχμής (M3/S)	1109.74
Χρονική στιγμή αιχμής	02Sep2000, 04:45
Όγκος (MM)	204.8
Παροχή Αιχμής Εισόδου (M3/S)	1109.85
Όγκος Εισροής (M3)	7.72E7

Απορροή



Κλάδος: R1615

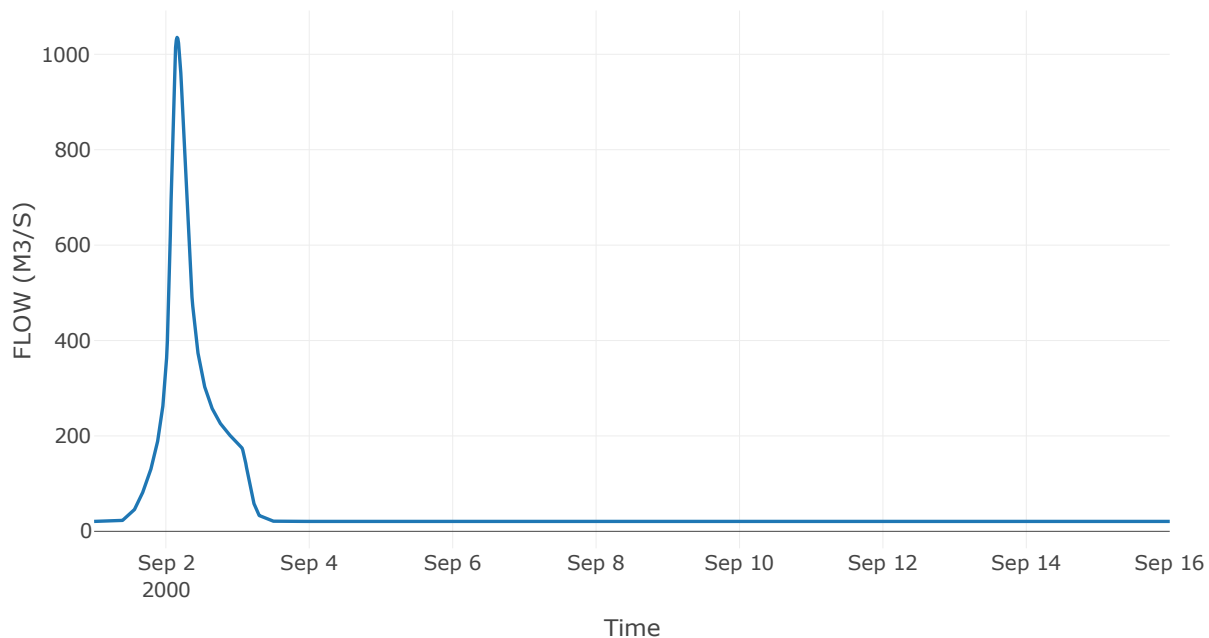
Κατάντη : J15

Μέθοδος Διόδευσης	Muskingum
Αρχική Μεταβλητή	Combined Inflow
Χρόνος Ροής Κ	0.65
Συντελεστής βάρους α	0.2
Πλήθος Υποκλάδων	3

Αποτελέσματα: R1615

Παροχή Αιχμής (M3/S)	1035.41
Χρονική στιγμή αιχμής	02Sep2000, 03:45
Όγκος (MM)	204.99
Παροχή Αιχμής Εισόδου (M3/S)	1040.43
Όγκος Εισροής (M3)	7.11E7

Απορροή



Κλάδος: R1716

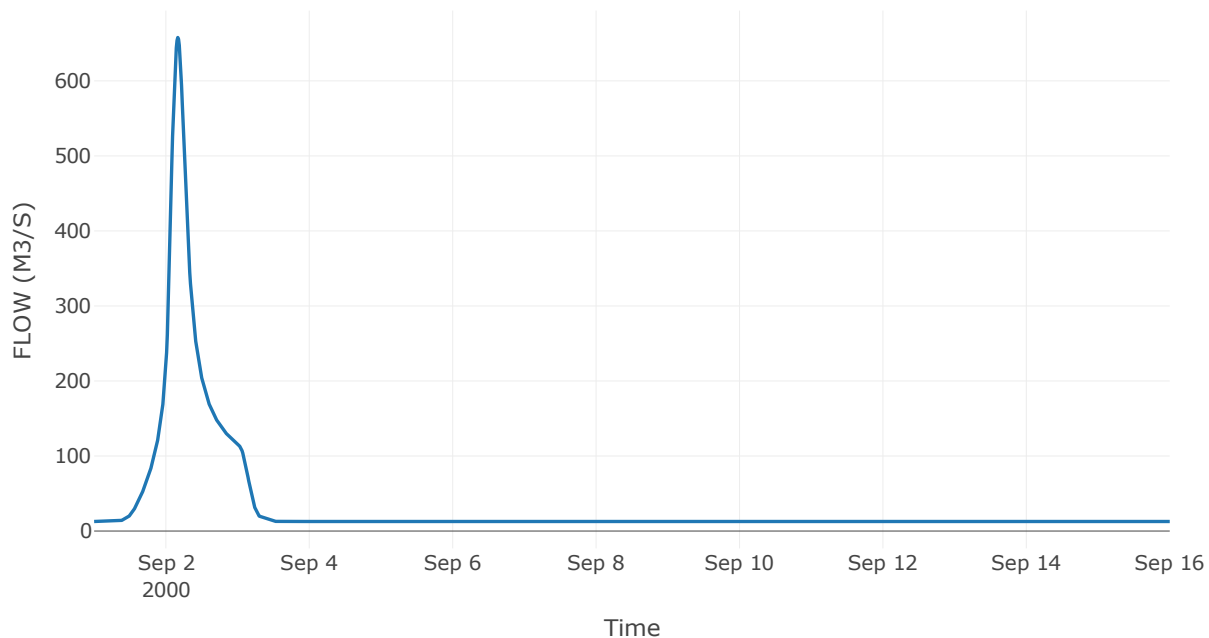
Κατάντη : J16

Μέθοδος Διόδευσης	Muskingum
Αρχική Μεταβλητή	Combined Inflow
Χρόνος Ροής Κ	0.19
Συντελεστής βάρους α	0.2
Πλήθος Υποκλάδων	1

Αποτελέσματα: R1716

Παροχή Αιχμής (M3/S)	657.85
Χρονική στιγμή αιχμής	02Sep2000, 04:00
Όγκος (MM)	208.94
Παροχή Αιχμής Εισόδου (M3/S)	658.56
Όγκος Εισροής (M3)	4.42E7

Απορροή



Κλάδος: R1817

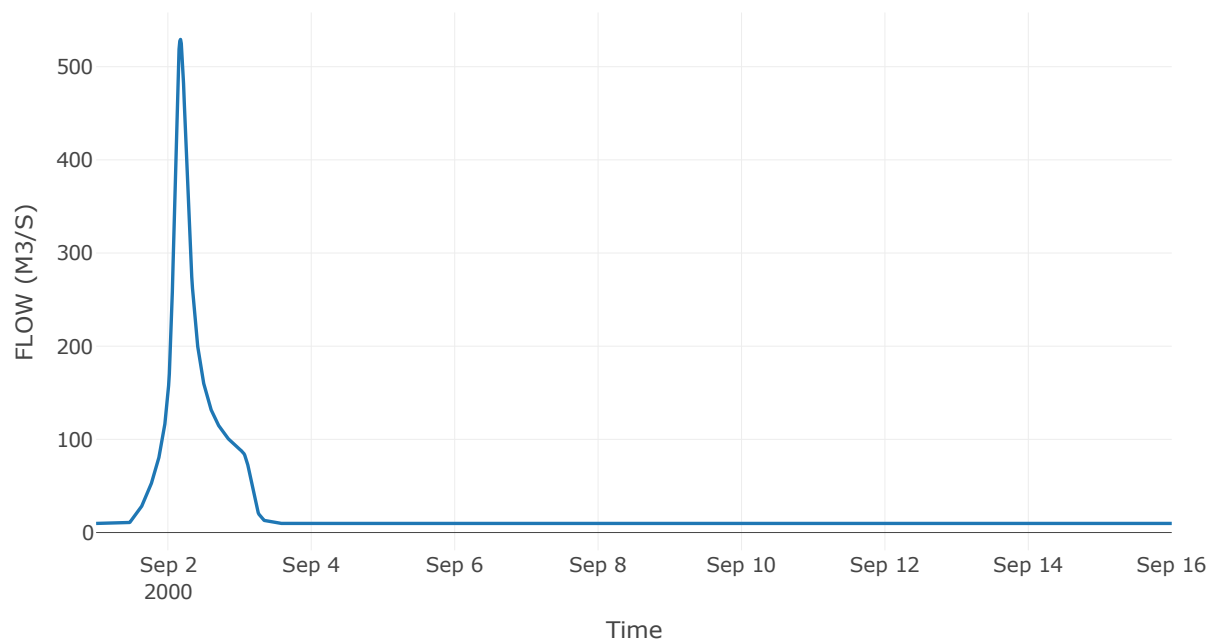
Κατάντη : J17

Μέθοδος Διόδευσης	Muskingum
Αρχική Μεταβλητή	Combined Inflow
Χρόνος Ροής Κ	0.92
Συντελεστής βάρους α	0.2
Πλήθος Υποκλάδων	4

Αποτελέσματα: R1817

Παροχή Αιχμής (M3/S)	529.31
Χρονική στιγμή αιχμής	02Sep2000, 04:15
Όγκος (MM)	206.95
Παροχή Αιχμής Εισόδου (M3/S)	536.4
Όγκος Εισροής (M3)	3.37E7

Απορροή



Κλάδος: R1918

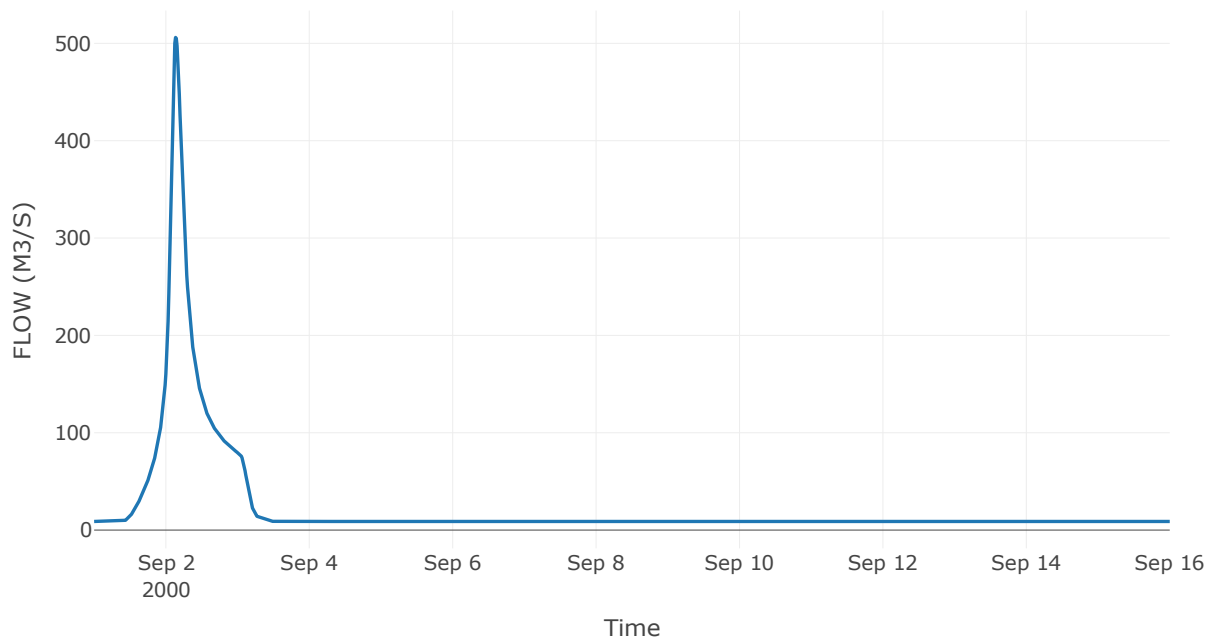
Κατάντη : J18

Μέθοδος Διόδευσης	Muskingum
Αρχική Μεταβλητή	Combined Inflow
Χρόνος Ροής Κ	0.81
Συντελεστής βάρους α	0.2
Πλήθος Υποκλάδων	3

Αποτελέσματα: R1918

Παροχή Αιχμής (M3/S)	506.09
Χρονική στιγμή αιχμής	02Sep2000, 03:15
Όγκος (MM)	208.5
Παροχή Αιχμής Εισόδου (M3/S)	514.15
Όγκος Εισροής (M3)	3.08E7

Απορροή



Κλάδος: R2016

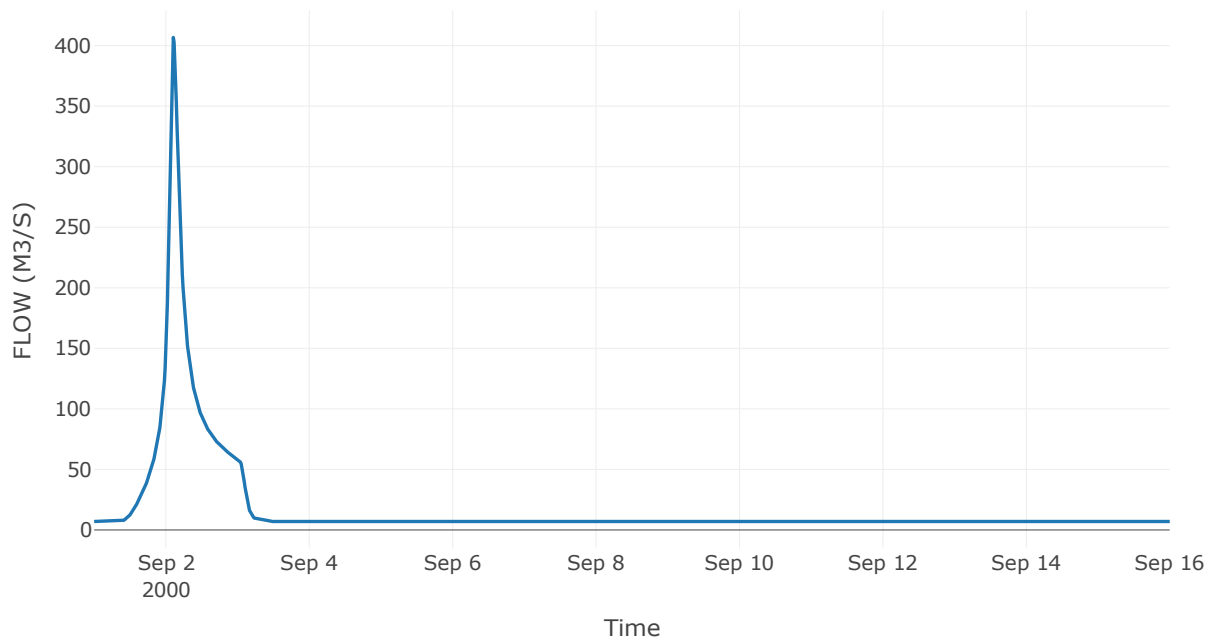
Κατάντη : J16

Μέθοδος Διόδευσης	Muskingum
Αρχική Μεταβλητή	Combined Inflow
Χρόνος Ροής K	0.41
Συντελεστής βάρους x	0.2
Πλήθος Υποκλάδων	2

Αποτελέσματα: R2016

Παροχή Αιχμής (M3/S)	406.75
Χρονική στιγμή αιχμής	02Sep2000, 02:30
Όγκος (MM)	198.3
Παροχή Αιχμής Εισόδου (M3/S)	410.22
Όγκος Εισροής (M3)	2.31E7

Απορροή



Κλάδος: R2120

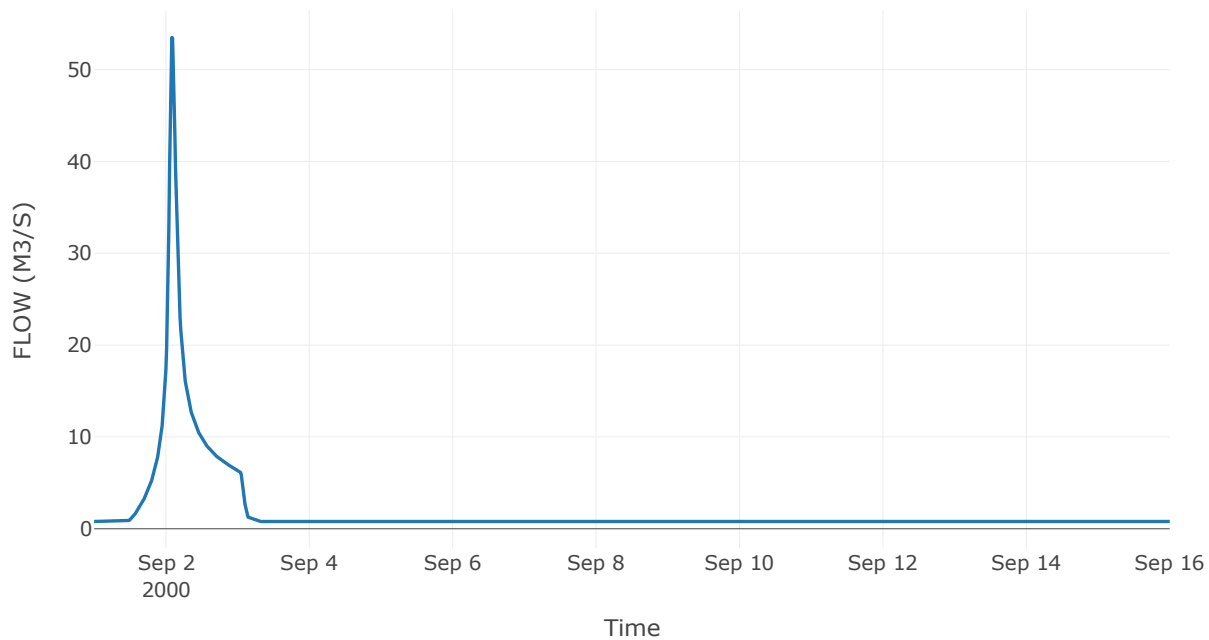
Κατάντη : J20

Μέθοδος Διόδευσης	Muskingum
Αρχική Μεταβλητή	Combined Inflow
Χρόνος Ροής Κ	0.92
Συντελεστής βάρους x	0.2
Πλήθος Υποκλάδων	4

Αποτελέσματα: R2120

Παροχή Αιχμής (M3/S)	53.5
Χρονική στιγμή αιχμής	02Sep2000, 02:00
Όγκος (MM)	190.97
Παροχή Αιχμής Εισόδου (M3/S)	56.69
Όγκος Εισροής (M3)	2.52E6

Απορροή



Κλάδος: R2214

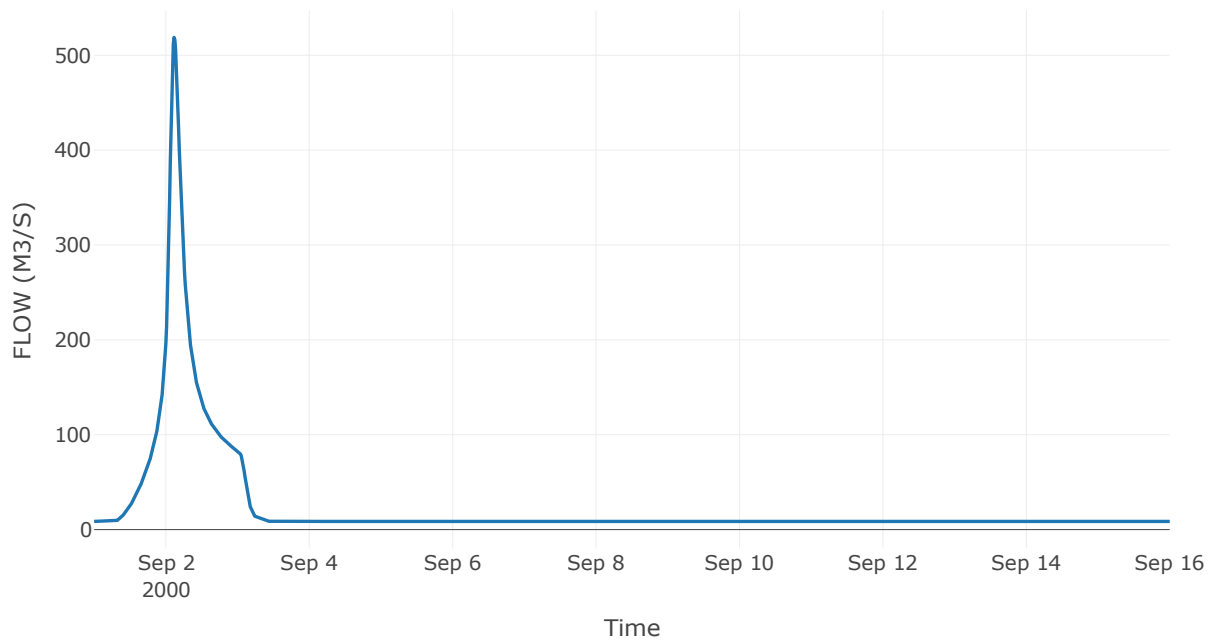
Κατάντη : J14

Μέθοδος Διόδευσης	Muskingum
Αρχική Μεταβλητή	Combined Inflow
Χρόνος Ροής K	0.5
Συντελεστής βάρους x	0.2
Πλήθος Υποκλάδων	2

Αποτελέσματα: R2214

Παροχή Αιχμής (M3/S)	518.77
Χρονική στιγμή αιχμής	02Sep2000, 02:45
Όγκος (MM)	218.39
Παροχή Αιχμής Εισόδου (M3/S)	524.79
Όγκος Εισροής (M3)	3.12E7

Απορροή



Κλάδος: R2311

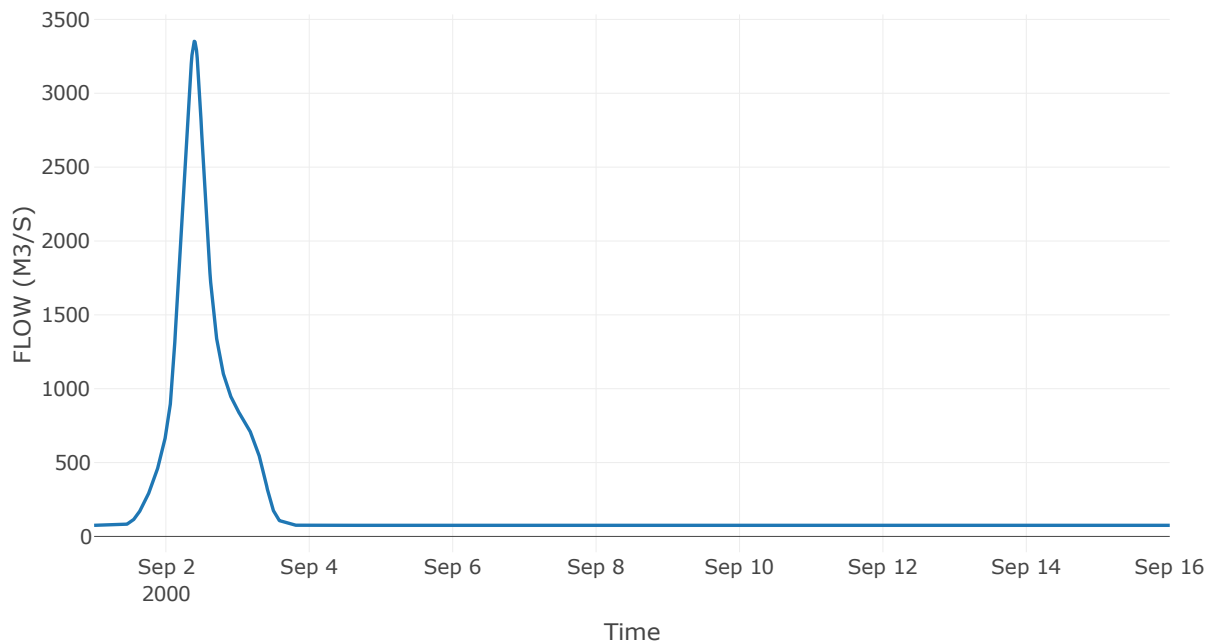
Κατάντη : J11

Μέθοδος Διόδευσης	Muskingum
Αρχική Μεταβλητή	Combined Inflow
Χρόνος Ροής K	2.19
Συντελεστής βάρους x	0.2
Πλήθος Υποκλάδων	9

Αποτελέσματα: R2311

Παροχή Αιχμής (M3/S)	3351.9
Χρονική στιγμή αιχμής	02Sep2000, 09:30
Όγκος (MM)	223.39
Παροχή Αιχμής Εισόδου (M3/S)	3400.22
Όγκος Εισροής (M3)	2.8E8

Απορροή



Κλάδος: R2423

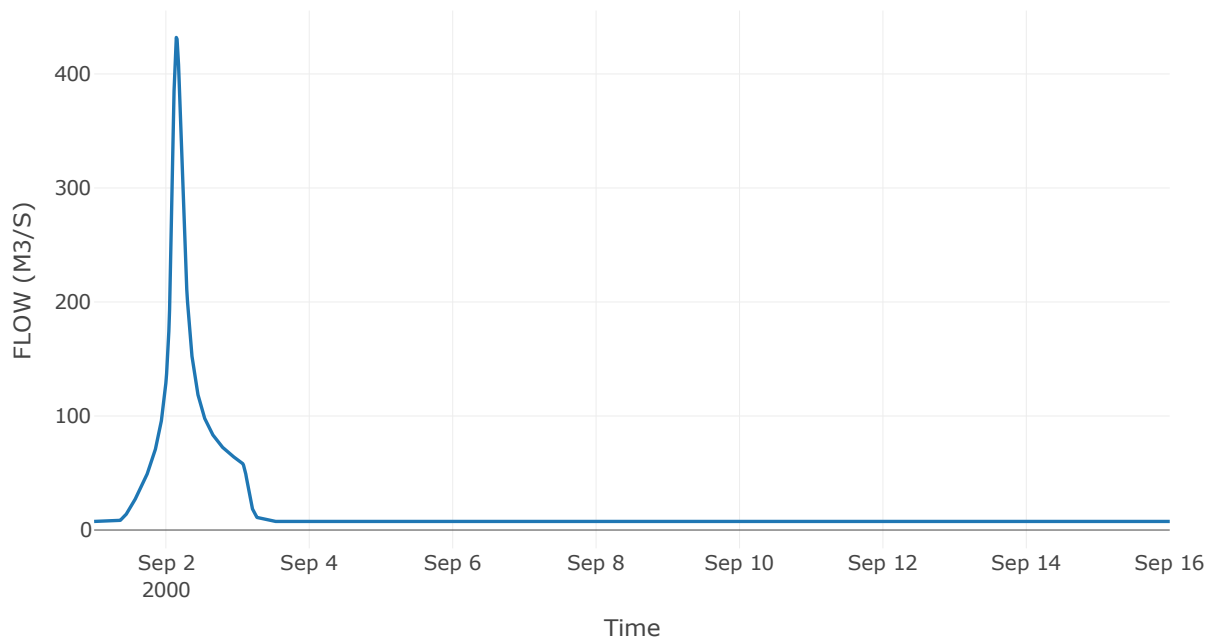
Κατάντη : J23

Μέθοδος Διόδευσης	Muskingum
Αρχική Μεταβλητή	Combined Inflow
Χρόνος Ροής Κ	1.59
Συντελεστής βάρους α	0.2
Πλήθος Υποκλάδων	6

Αποτελέσματα: R2423

Παροχή Αιχμής (M3/S)	432.03
Χρονική στιγμή αιχμής	02Sep2000, 03:30
Όγκος (MM)	203.57
Παροχή Αιχμής Εισόδου (M3/S)	450.67
Όγκος Εισροής (M3)	2.55E7

Απορροή



Κλάδος: R257

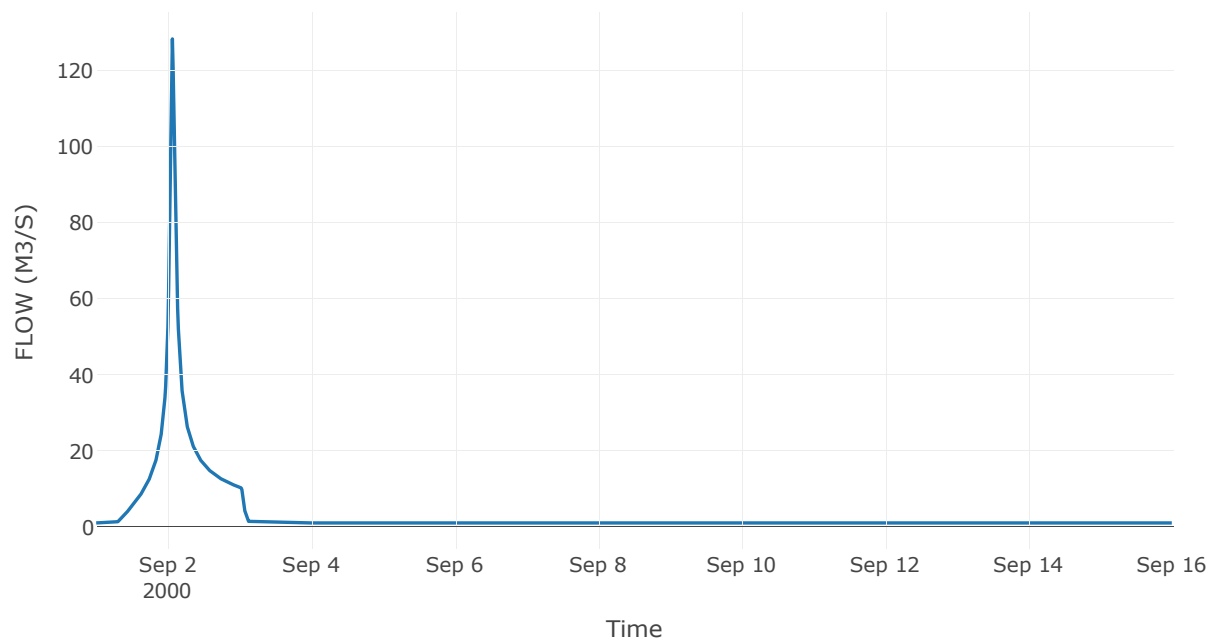
Κατάντη : J7

Μέθοδος Διόδευσης	Χρόνος
Αρχική Μεταβλητή	Combined Inflow
Χρόνος Υστέρησης	26.33

Αποτελέσματα: R257

Παροχή Αιχμής (M3/S)	128.39
Χρονική στιγμή αιχμής	02Sep2000, 01:30
Όγκος (MM)	231.54
Παροχή Αιχμής Εισόδου (M3/S)	130.08
Όγκος Εισροής (M3)	4.73E6

Απορροή



Κλάδος: R265

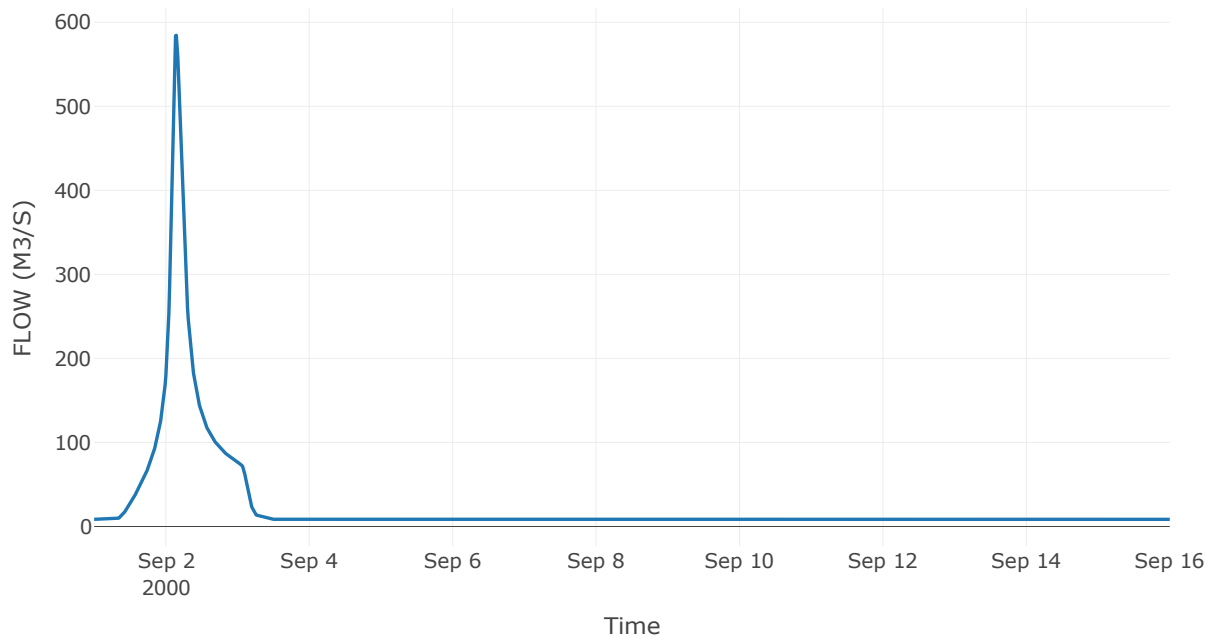
Κατάντη : J5

Μέθοδος Διόδευσης	Muskingum
Αρχική Μεταβλητή	Combined Inflow
Χρόνος Ροής Κ	1.24
Συντελεστής βάρους x	0.2
Πλήθος Υποκλάδων	5

Αποτελέσματα: R265

Παροχή Αιχμής (M3/S)	584.51
Χρονική στιγμή αιχμής	02Sep2000, 03:30
Όγκος (MM)	225.41
Παροχή Αιχμής Εισόδου (M3/S)	602.63
Όγκος Εισροής (M3)	3.21E7

Απορροή



Κλάδος: R274

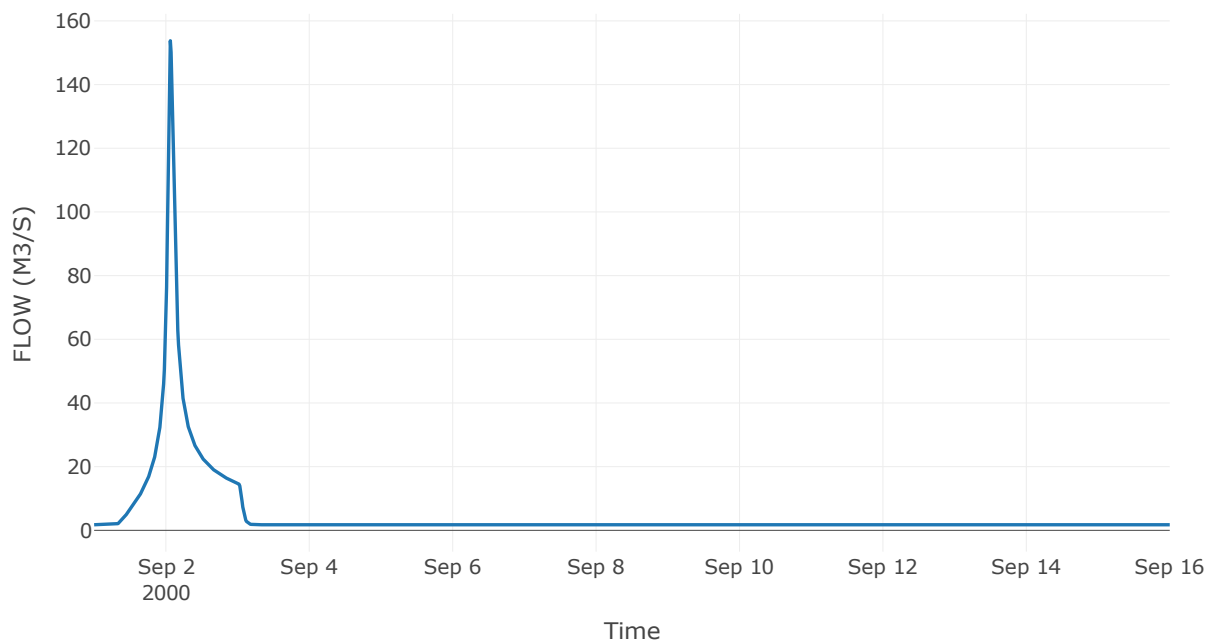
Κατάντη : J4

Μέθοδος Διόδευσης	Χρόνος
Αρχική Μεταβλητή	Combined Inflow
Χρόνος Υστέρησης	20.7

Αποτελέσματα: R274

Παροχή Αιχμής (M3/S)	153.76
Χρονική στιγμή αιχμής	02Sep2000, 01:30
Όγκος (MM)	218.52
Παροχή Αιχμής Εισόδου (M3/S)	154.47
Όγκος Εισροής (M3)	6.36E6

Απορροή



Κλάδος: R2917

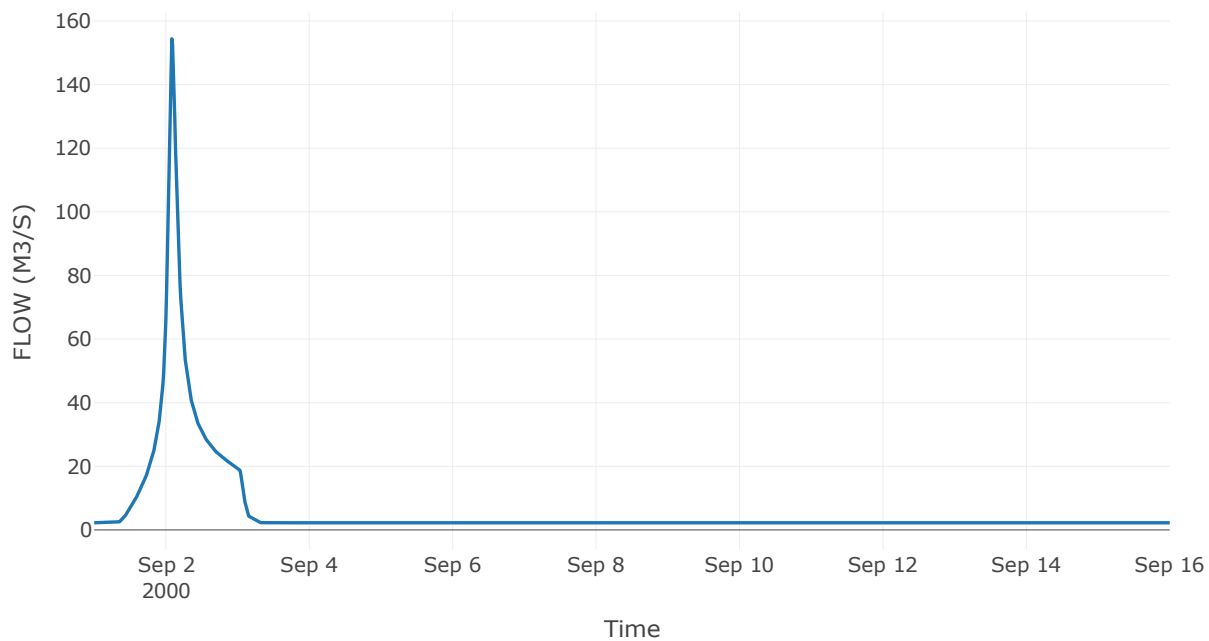
Κατάντη : J17

Μέθοδος Διόδευσης	Χρόνος
Αρχική Μεταβλητή	Combined Inflow
Χρόνος Υστέρησης	9.19

Αποτελέσματα: R2917

Παροχή Αιχμής (M3/S)	154.41
Χρονική στιγμή αιχμής	02Sep2000, 02:00
Όγκος (MM)	213.43
Παροχή Αιχμής Εισόδου (M3/S)	154.61
Όγκος Εισροής (M3)	7.95E6

Απορροή



Κλάδος: R3020

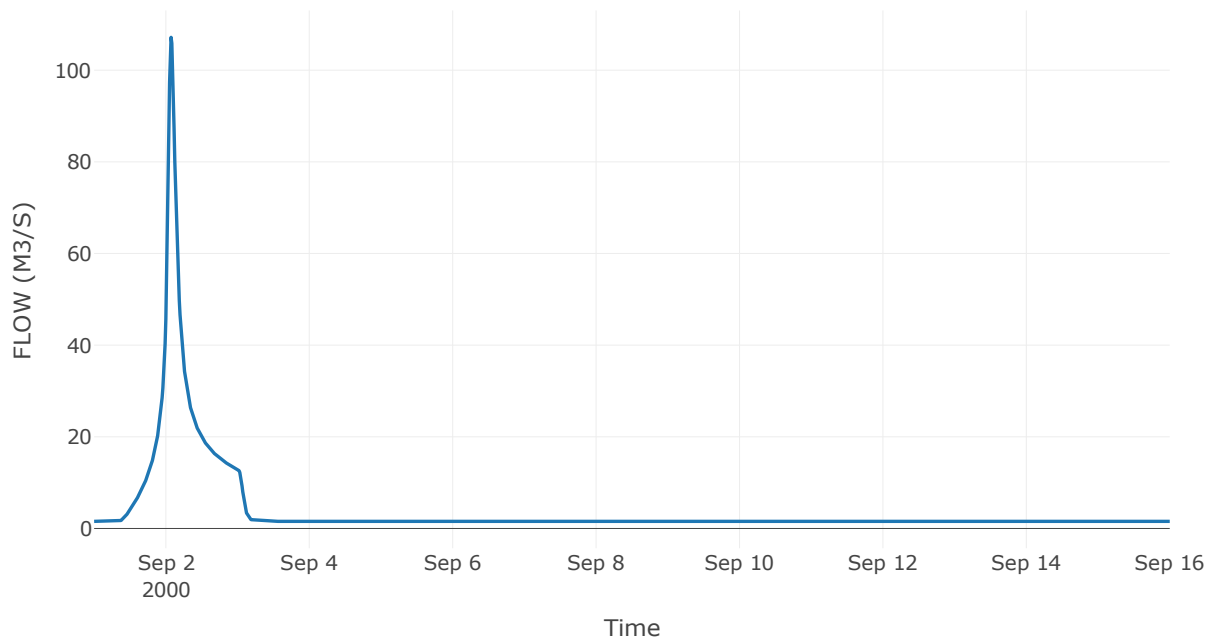
Κατάντη : J20

Μέθοδος Διόδευσης	Muskingum
Αρχική Μεταβλητή	Combined Inflow
Χρόνος Ροής K	0.21
Συντελεστής βάρους x	0.2
Πλήθος Υποκλάδων	1

Αποτελέσματα: R3020

Παροχή Αιχμής (M3/S)	107.17
Χρονική στιγμή αιχμής	02Sep2000, 01:45
Όγκος (MM)	203.86
Παροχή Αιχμής Εισόδου (M3/S)	107.93
Όγκος Εισροής (M3)	5.27E6

Απορροή



Κλάδος: R3113

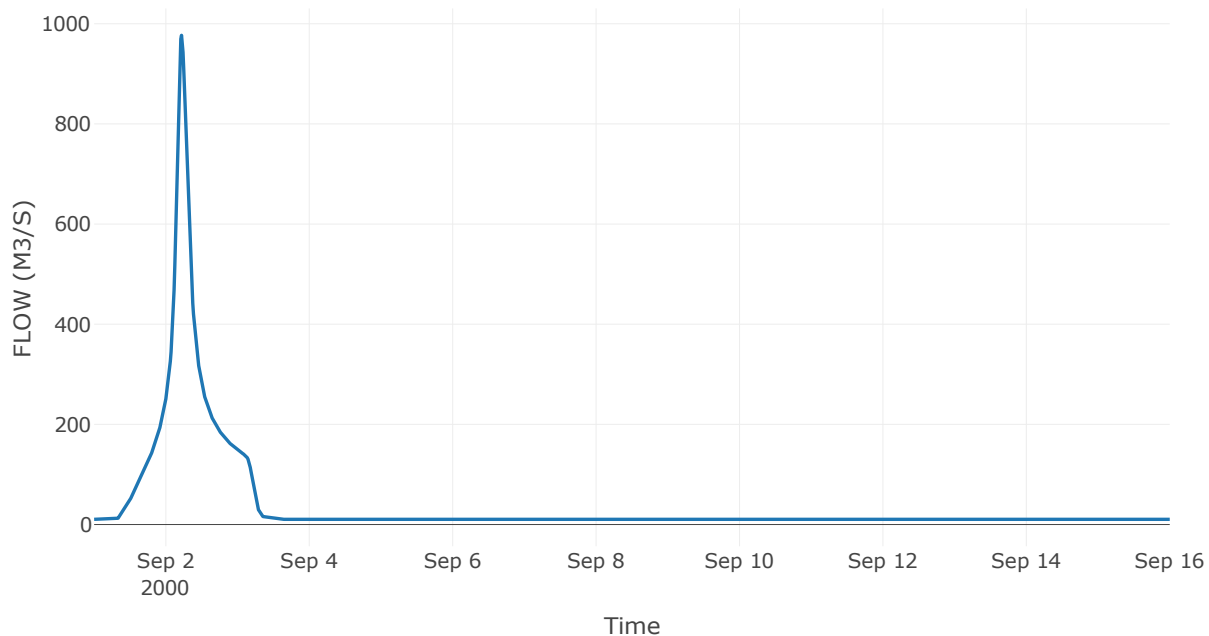
Κατάντη : J13

Μέθοδος Διόδευσης	Muskingum
Αρχική Μεταβλητή	Combined Inflow
Χρόνος Ροής Κ	3.17
Συντελεστής βάρους α	0.2
Πλήθος Υποκλάδων	13

Αποτελέσματα: R3113

Παροχή Αιχμής (M3/S)	976.91
Χρονική στιγμή αιχμής	02Sep2000, 05:15
Όγκος (MM)	303.96
Παροχή Αιχμής Εισόδου (M3/S)	1056.21
Όγκος Εισροής (M3)	5.25E7

Απορροή

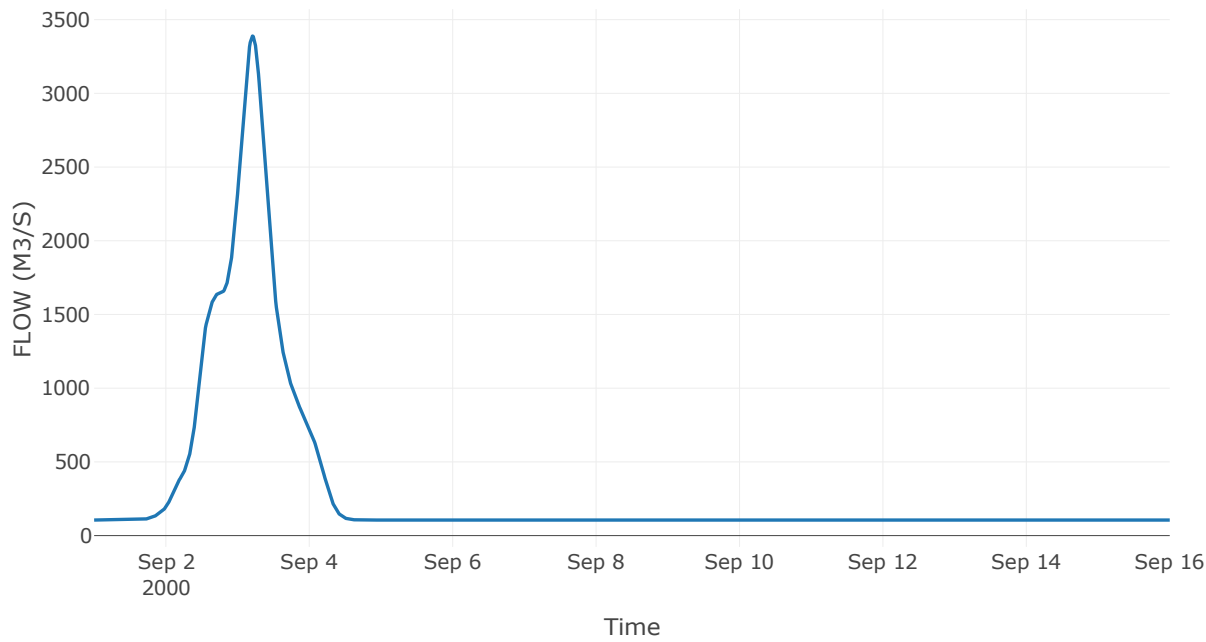


4.3 Δεδομένα και υδρογραφήματα σχεδιασμού Κόμβων υδρογραφικού δικτύου

Κόμβος εξόδου: J1

Αποτέλεσμα τα: J1	
Παροχή αιχμής (M3/S)	3388.9
Χρονική στιγμή αιχμής	03Sep2000, 05:00
Όγκος (MM)	223.6

Απορροή



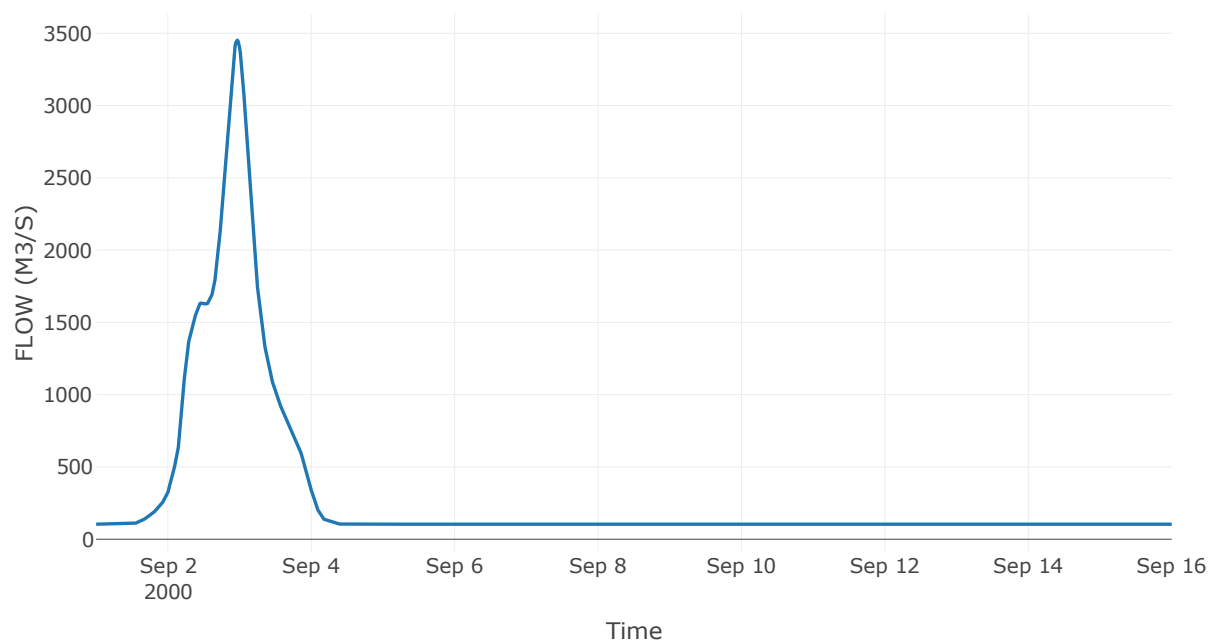
Κόμβος: J2

Κατάντη : R21

Αποτελέσματα: J2

Παροχή Αιχμής (M3/S)	3452.25
Χρονική στιγμή αιχμής	02Sep2000, 23:15
Όγκος (MM)	223.54

Απορροή



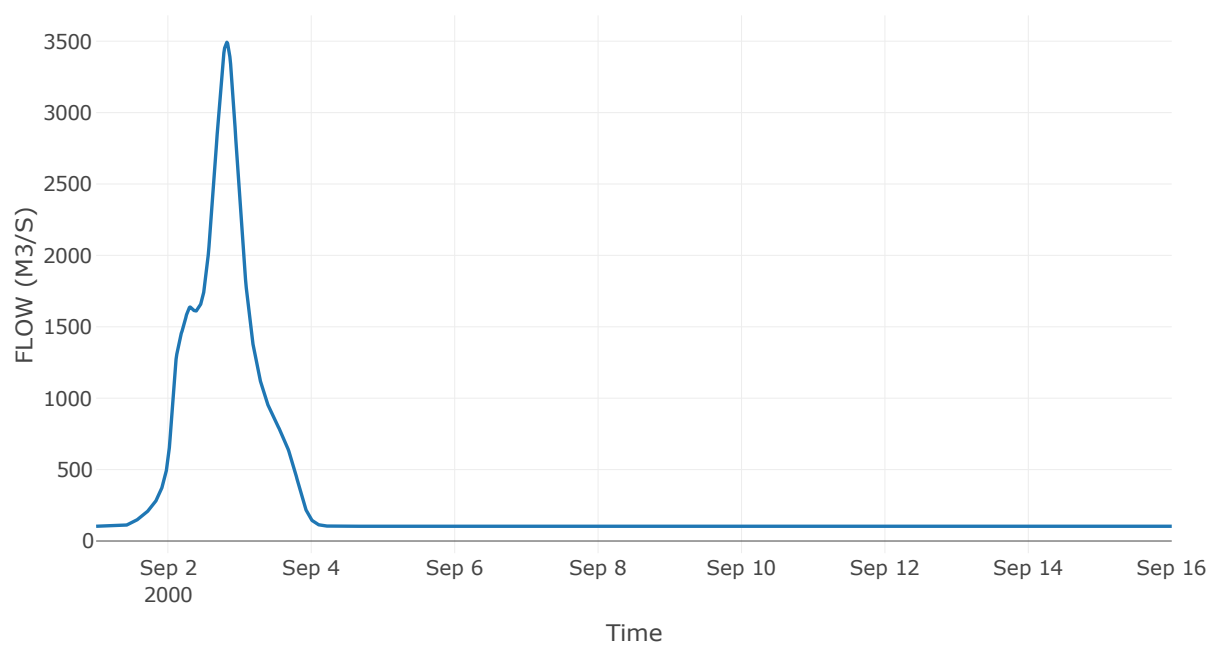
Κόμβος: J3

Κατάντη : R32

Αποτελέσματα: J3

Παροχή Αιχμής (M3/S)	3492.76
Χρονική στιγμή αιχμής	02Sep2000, 19:45
Όγκος (MM)	223.57

Απορροή



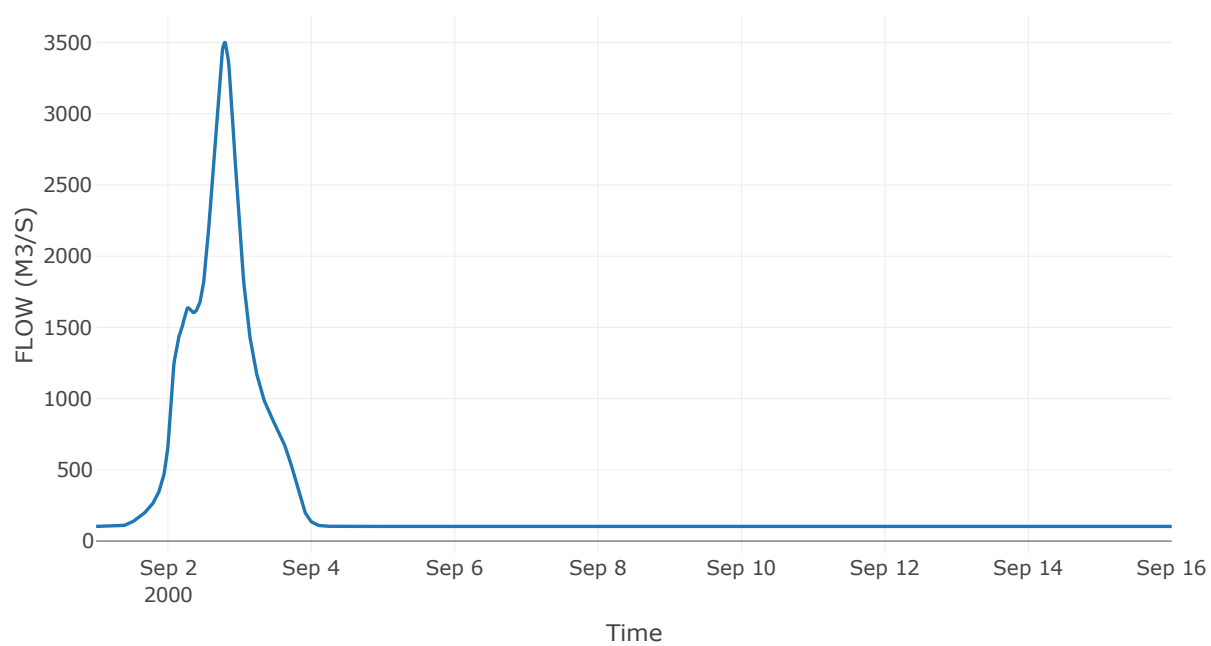
Κόμβος: J4

Κατάντη : R43

Αποτελέσματα: J4

Παροχή Αιχμής (M3/S)	3501.4
Χρονική στιγμή αιχμής	02Sep2000, 19:00
Όγκος (MM)	223.55

Απορροή



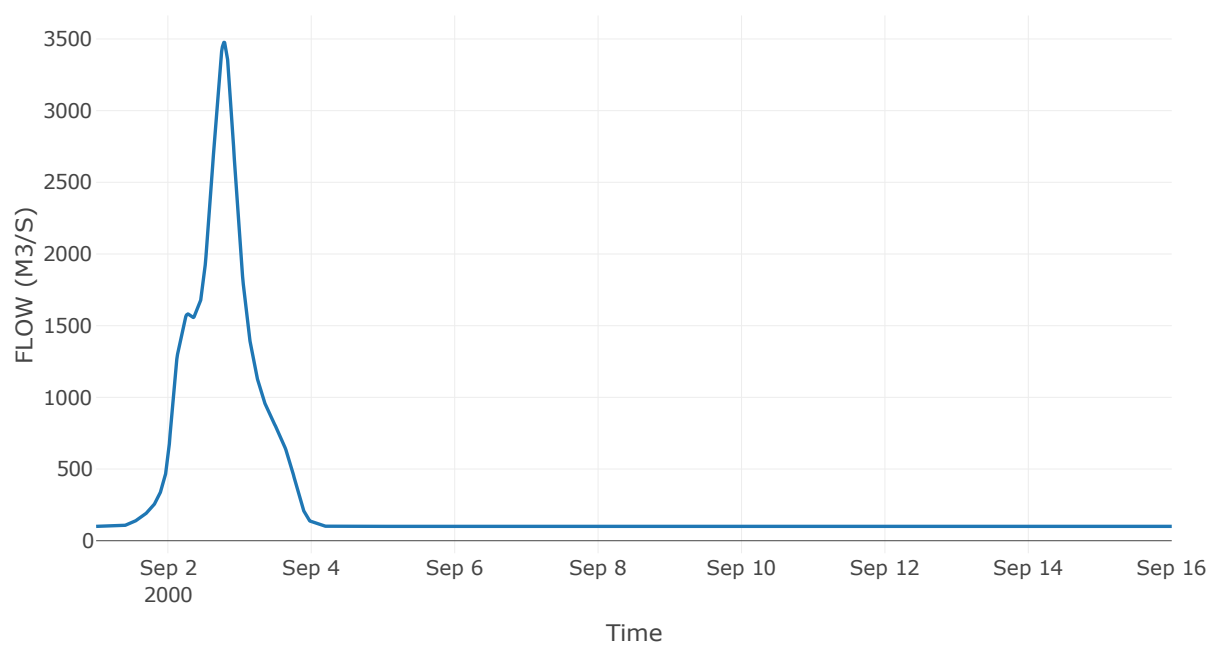
Κόμβος: J5

Κατάντη : R54

Αποτελέσματα: J5

Παροχή Αιχμής (M3/S)	3476.52
Χρονική στιγμή αιχμής	02Sep2000, 18:45
Όγκος (MM)	223.77

Απορροή



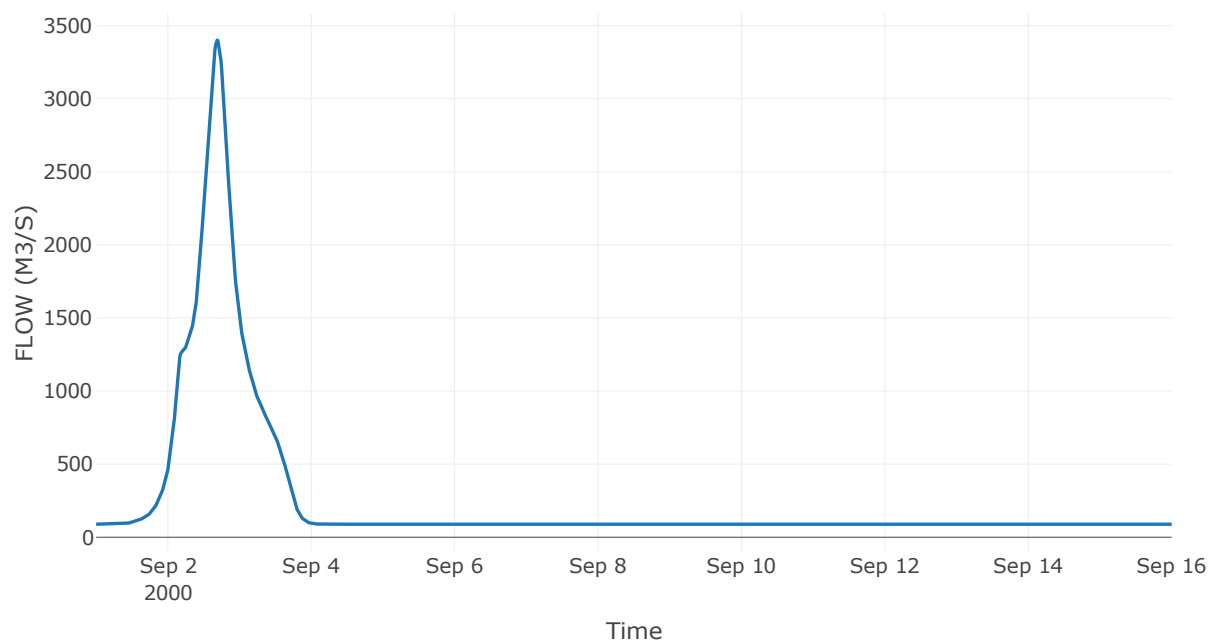
Κόμβος: J6

Κατάντη : R65

Αποτελέσματα: J6

Παροχή Αιχμής (M3/S)	3400.72
Χρονική στιγμή αιχμής	02Sep2000, 16:30
Όγκος (MM)	224.11

Απορροή



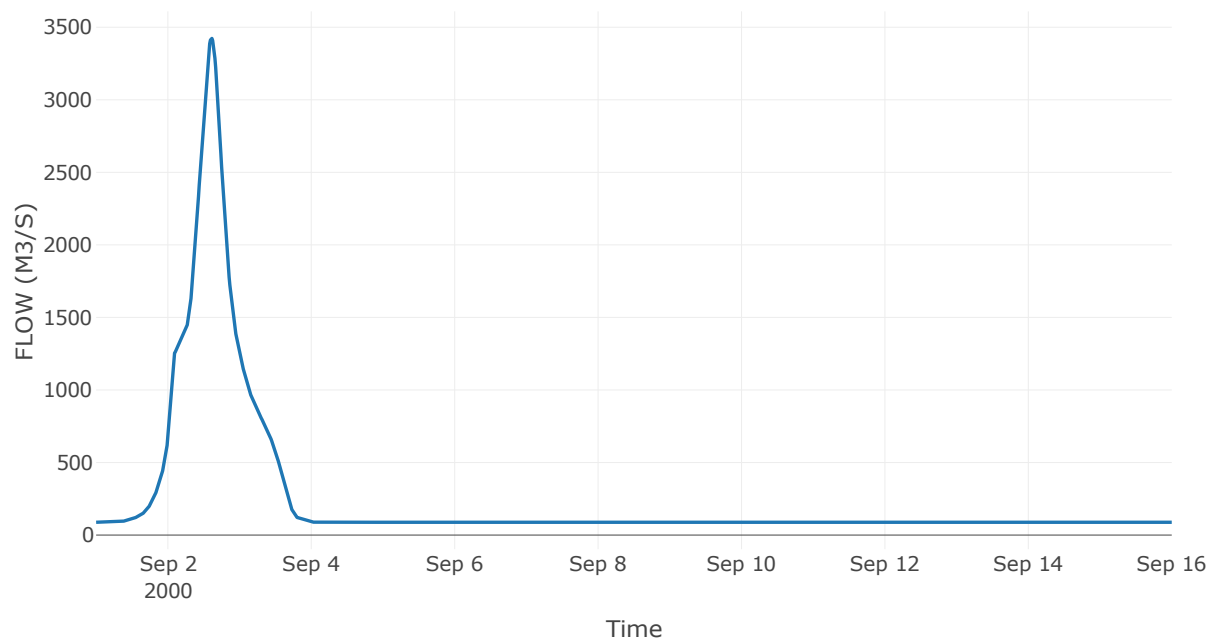
Κόμβος: J7

Κατάντη : R76

Αποτελέσματα: J7

Παροχή Αιχμής (M3/S)	3424.23
Χρονική στιγμή αιχμής	02Sep2000, 14:30
Όγκος (MM)	224.2

Απορροή



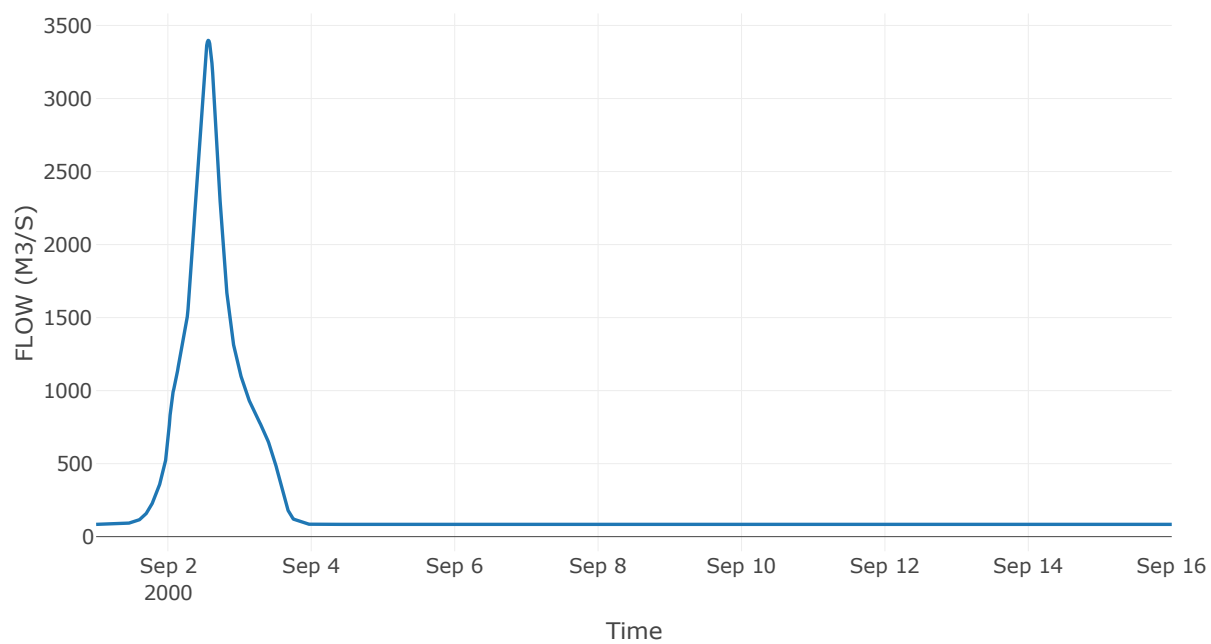
Κόμβος: J8

Κατάντη : R87

Αποτελέσματα: J8

Παροχή Αιχμής (M3/S)	3398.27
Χρονική στιγμή αιχμής	02Sep2000, 13:30
Όγκος (MM)	223.58

Απορροή



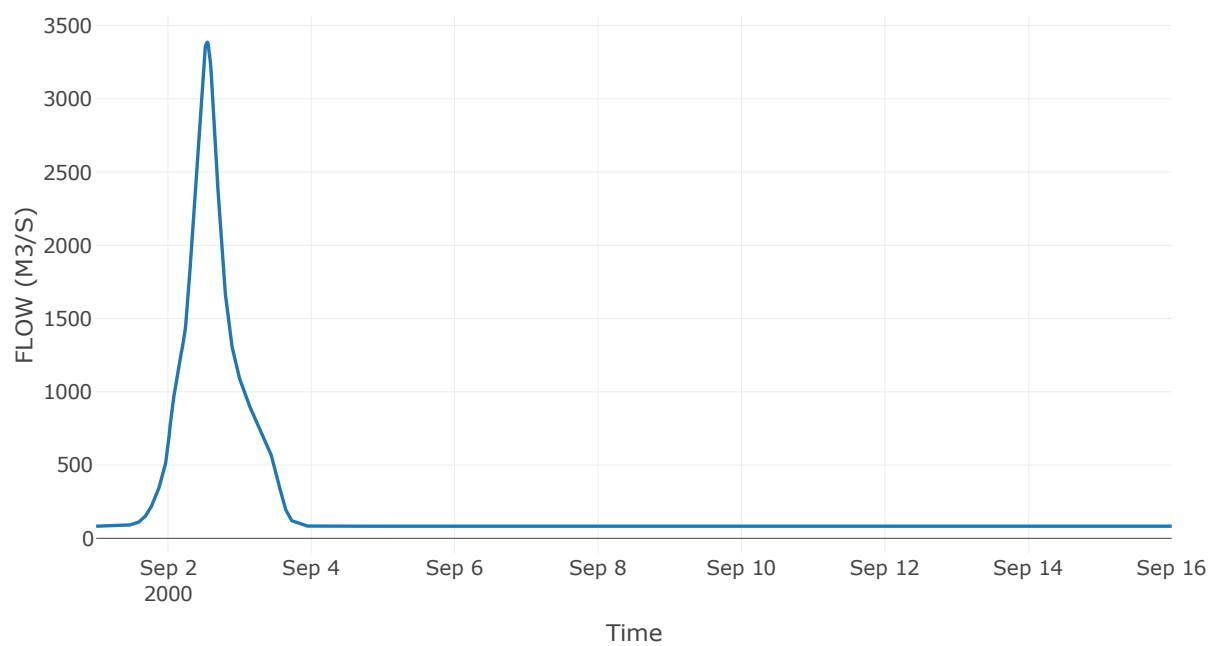
Κόμβος: J9

Κατάντη : R98

Αποτελέσματα: J9

Παροχή Αιχμής (M3/S)	3386.44
Χρονική στιγμή αιχμής	02Sep2000, 13:15
Όγκος (MM)	223.64

Απορροή



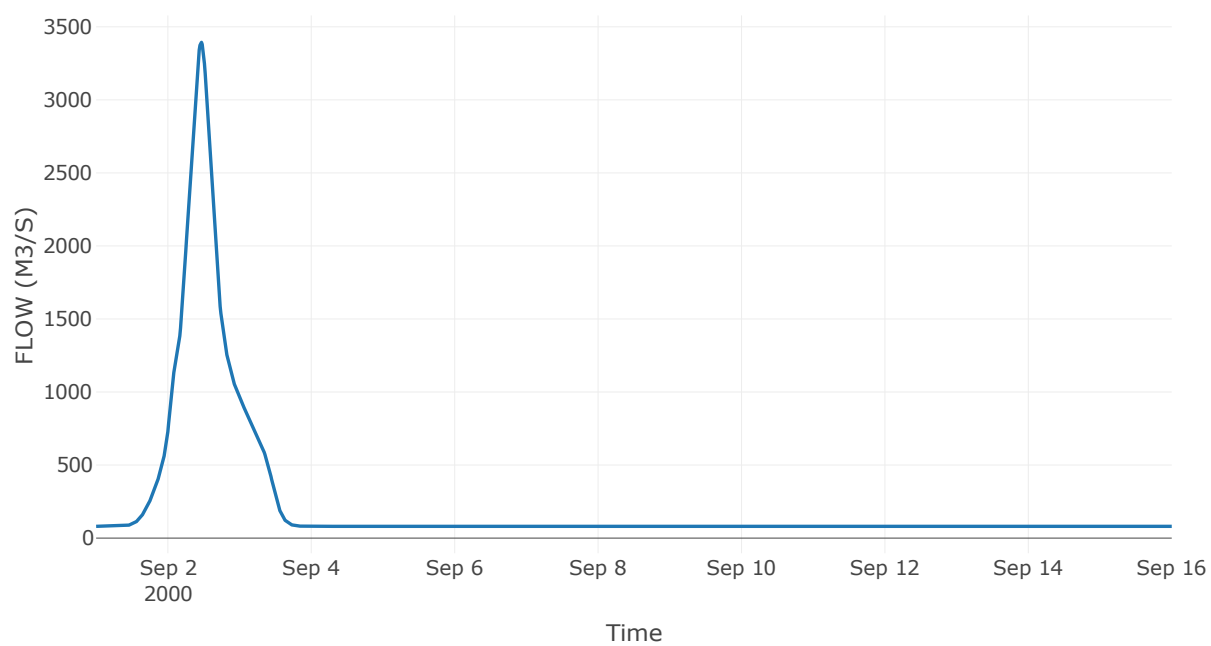
Κόμβος: J10

Κατάντη : R109

Αποτελέσματα: J10

Παροχή Αιχμής (M3/S)	3393.9
Χρονική στιγμή αιχμής	02Sep2000, 11:15
Όγκος (MM)	223.19

Απορροή



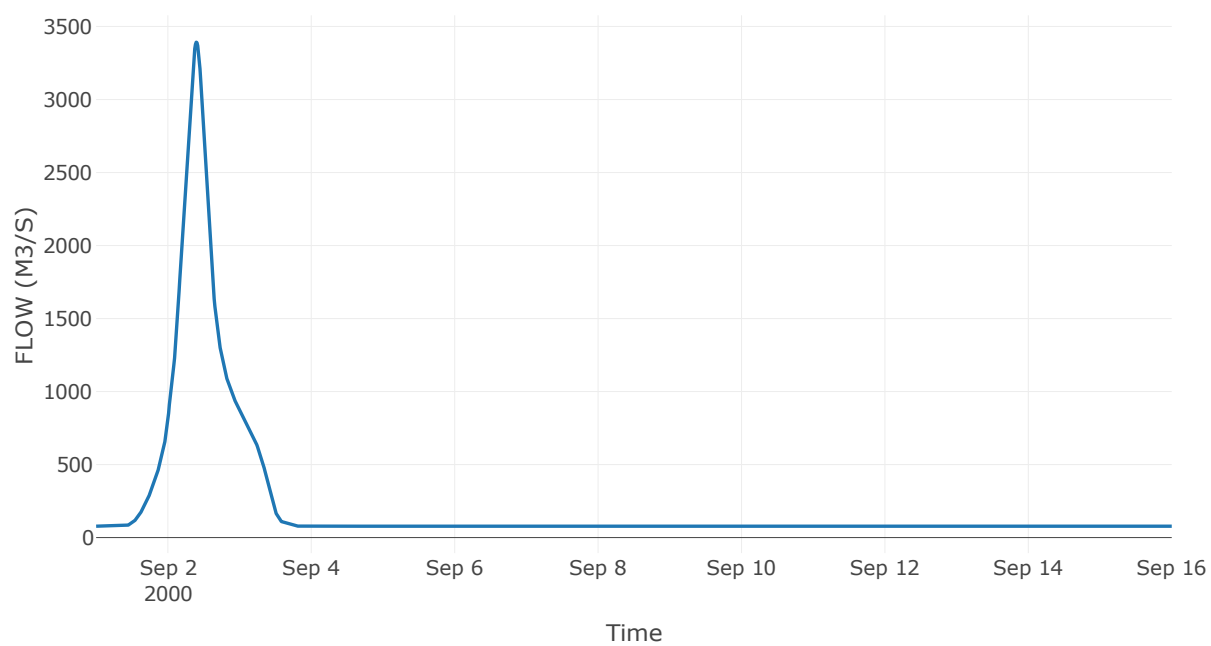
Κόμβος: J11

Κατάντη : R1110

Αποτελέσματα: J11

Παροχή Αιχμής (M3/S)	3392.54
Χρονική στιγμή αιχμής	02Sep2000, 09:30
Όγκος (MM)	222.64

Απορροή



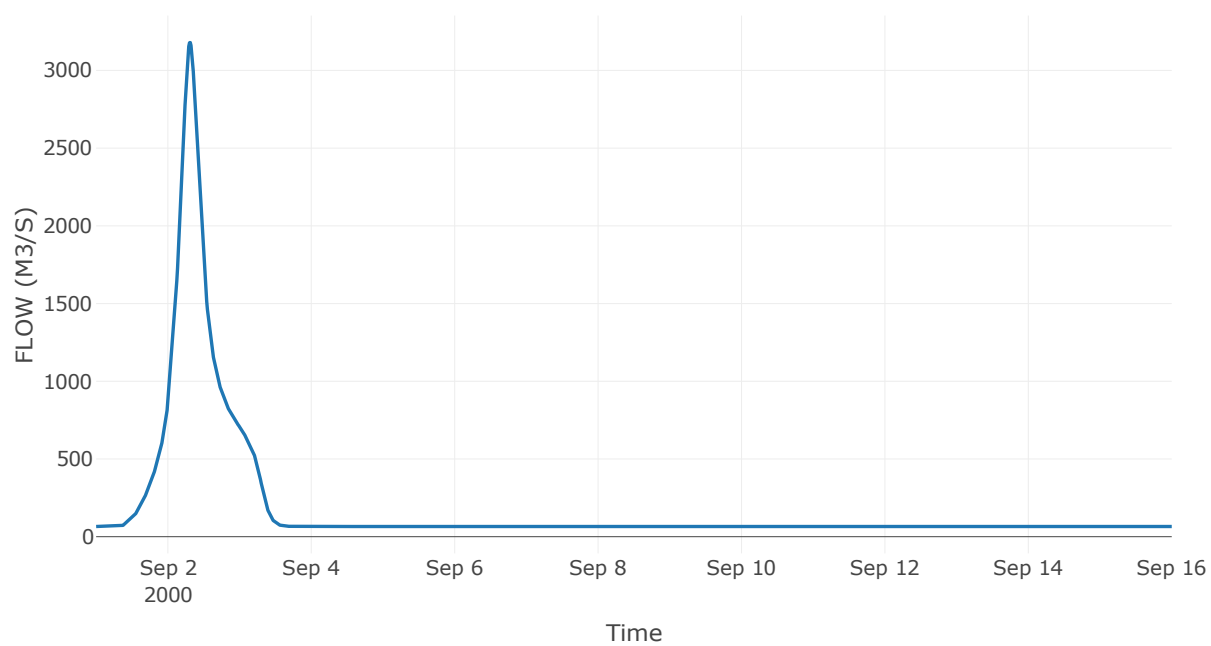
Κόμβος: J12

Κατάντη : R1223

Αποτελέσματα: J12

Παροχή Αιχμής (M3/S)	3179.95
Χρονική στιγμή αιχμής	02Sep2000, 07:30
Όγκος (MM)	226.43

Απορροή



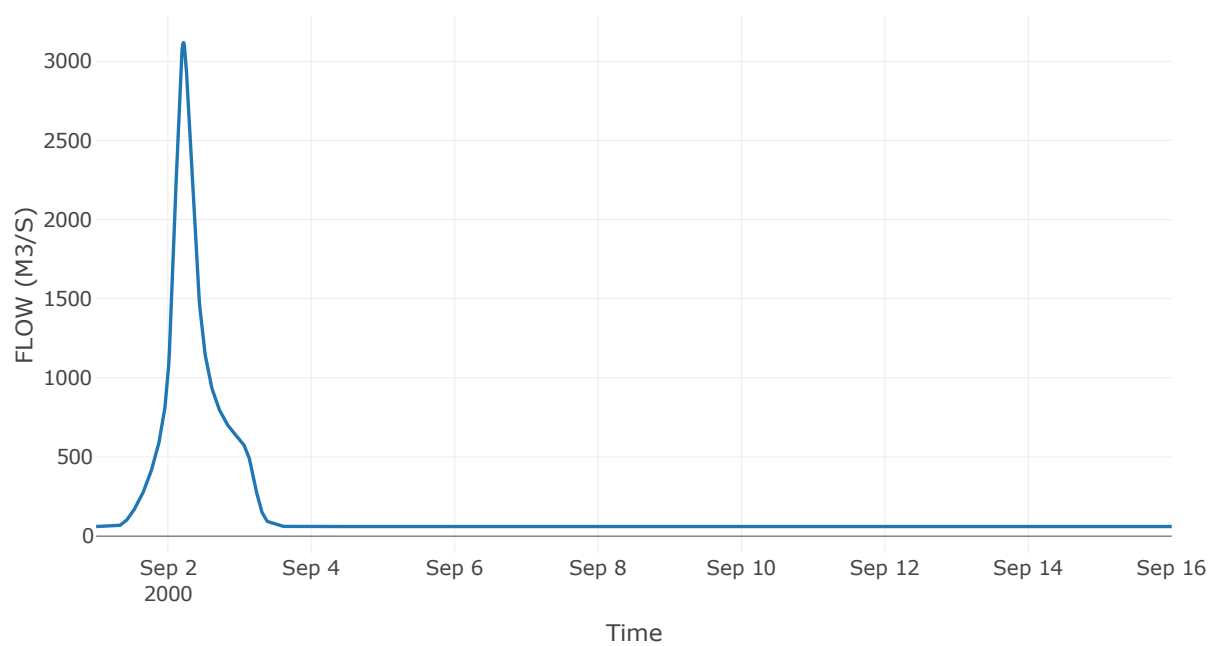
Κόμβος: J13

Κατάντη : R1312

Αποτελέσματα: J13

Παροχή Αιχμής (M3/S)	3118.73
Χρονική στιγμή αιχμής	02Sep2000, 05:15
Όγκος (MM)	224.85

Απορροή



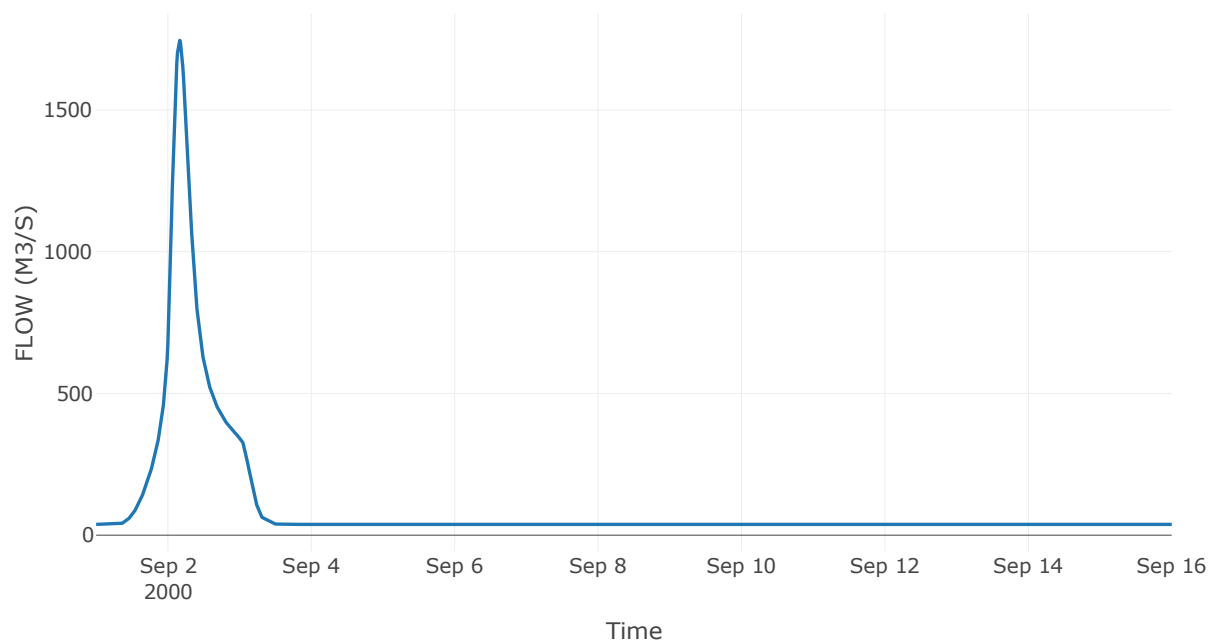
Κόμβος: J14

Κατάντη : R1413

Αποτελέσματα: J14

Παροχή Αιχμής (M3/S)	1745.23
Χρονική στιγμή αιχμής	02Sep2000, 04:00
Όγκος (MM)	206.07

Απορροή



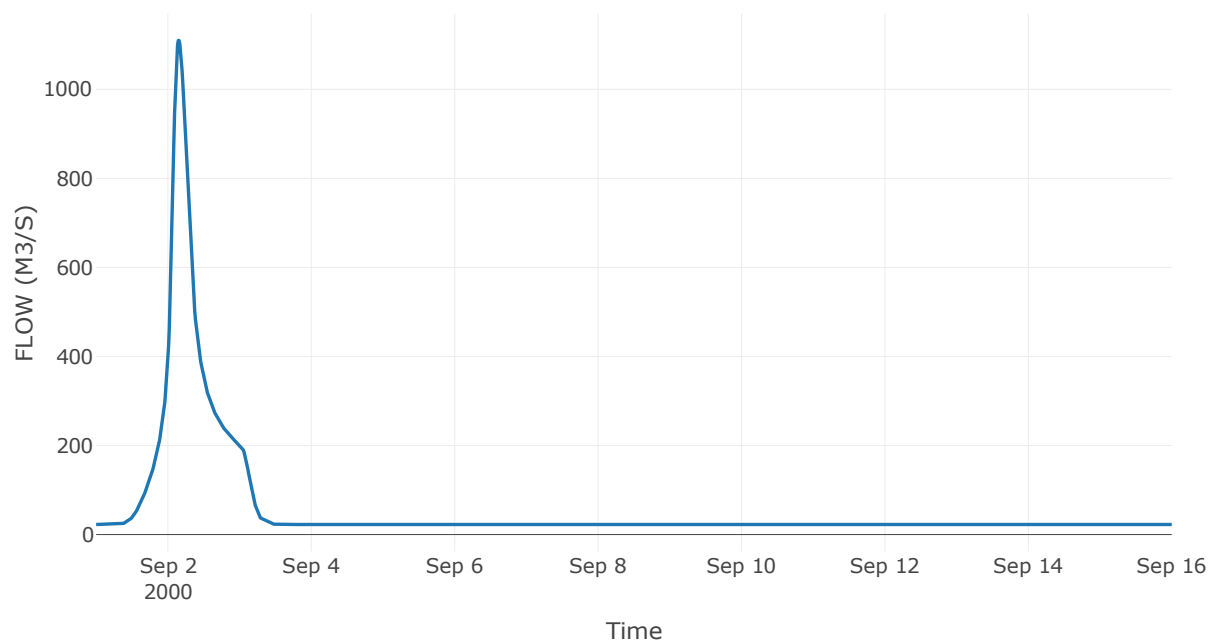
Κόμβος: J15

Κατάντη : R1514

Αποτελέσματα: J15

Παροχή Αιχμής (M3/S)	1109.85
Χρονική στιγμή αιχμής	02Sep2000, 03:45
Όγκος (MM)	204.8

Απορροή



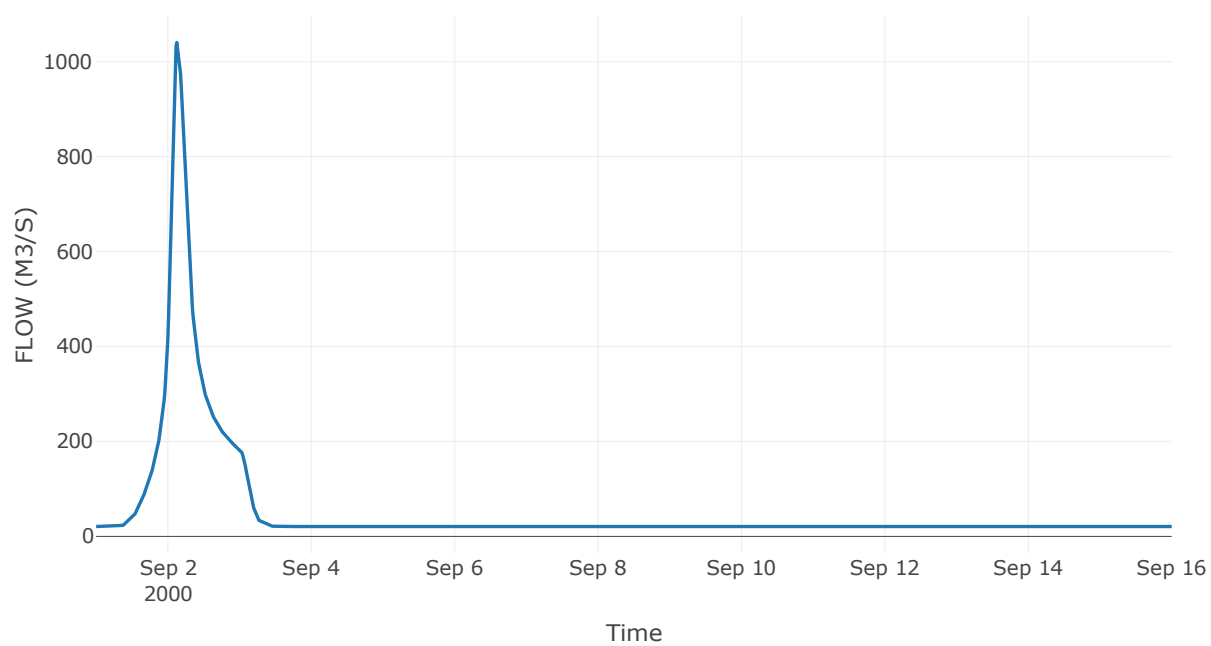
Κόμβος: J16

Κατάντη : R1615

Αποτελέσματα: J16

Παροχή Αιχμής (M3/S)	1040.43
Χρονική στιγμή αιχμής	02Sep2000, 03:00
Όγκος (MM)	204.99

Απορροή



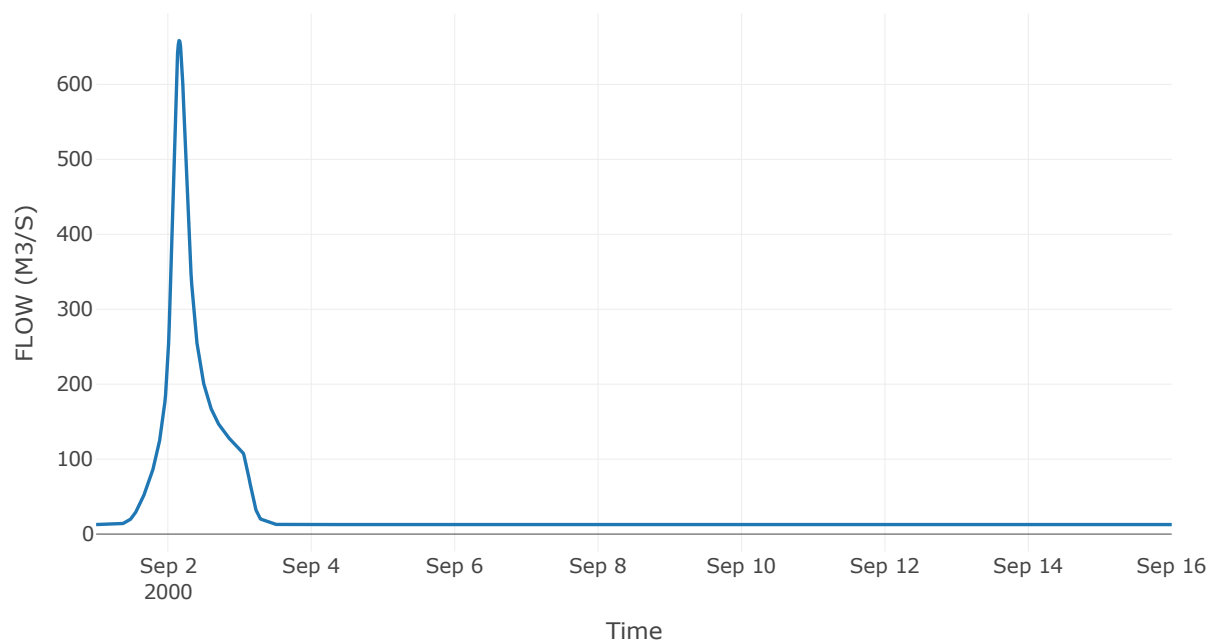
Κόμβος: J17

Κατάντη : R1716

Αποτελέσματα: J17

Παροχή Αιχμής (M3/S)	658.56
Χρονική στιγμή αιχμής	02Sep2000, 03:45
Όγκος (MM)	208.94

Απορροή



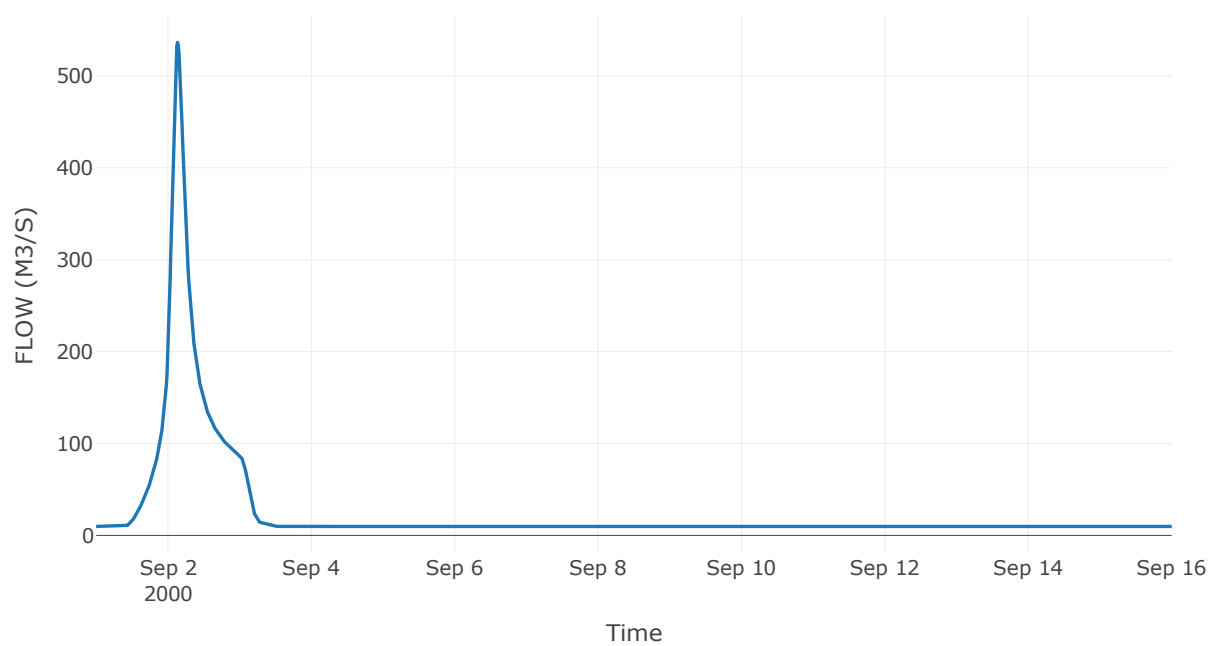
Κόμβος: J18

Κατάντη : R1817

Αποτελέσματα: J18

Παροχή Αιχμής (M3/S)	536.4
Χρονική στιγμή αιχμής	02Sep2000, 03:15
Όγκος (MM)	206.95

Απορροή



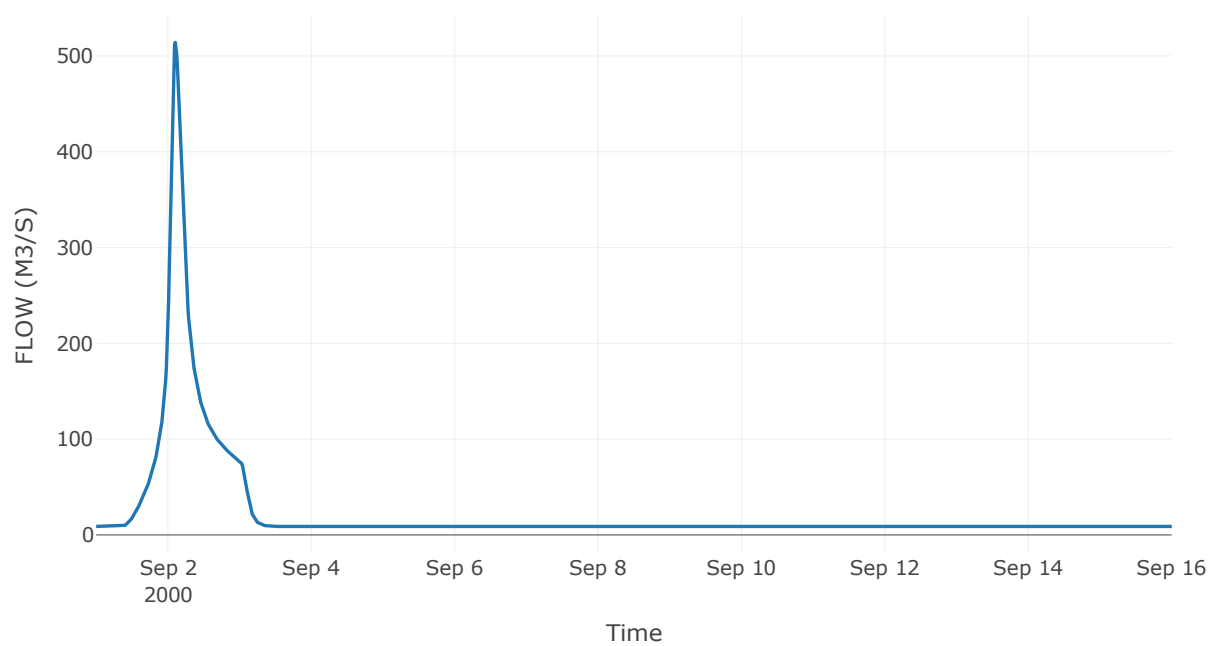
Κόμβος: J19

Κατάντη : R1918

Αποτελέσματα: J19

Παροχή Αιχμής (M3/S)	514.15
Χρονική στιγμή αιχμής	02Sep2000, 02:30
Όγκος (MM)	208.5

Απορροή



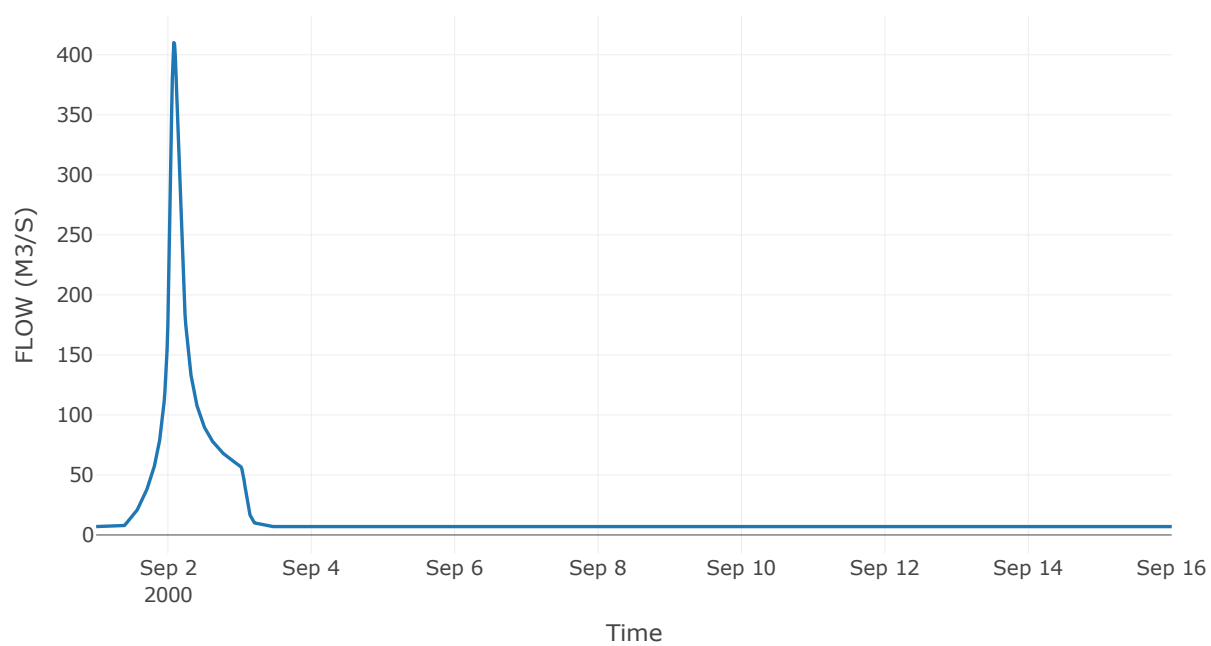
Κόμβος: J20

Κατάντη : R2016

Αποτελέσματα: J20

Παροχή Αιχμής (M3/S)	410.22
Χρονική στιγμή αιχμής	02Sep2000, 02:00
Όγκος (MM)	198.3

Απορροή



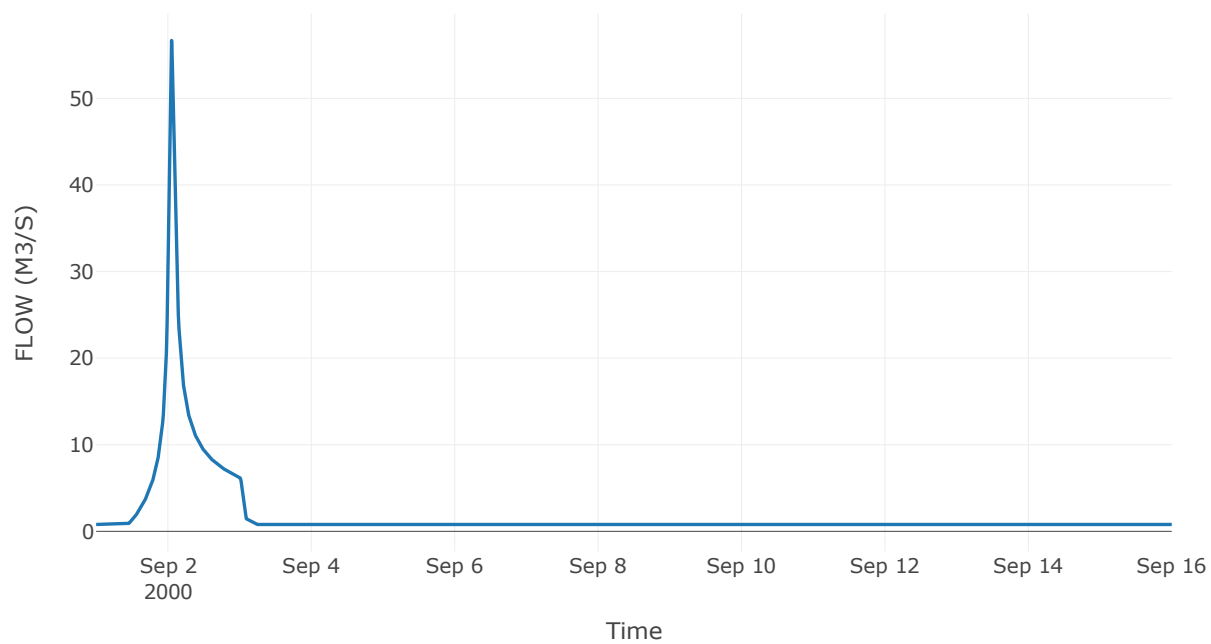
Κόμβος: J21

Κατάντη : R2120

Αποτελέσματα: J21

Παροχή Αιχμής (M3/S)	56.69
Χρονική στιγμή αιχμής	02Sep2000, 01:15
Όγκος (MM)	190.97

Απορροή



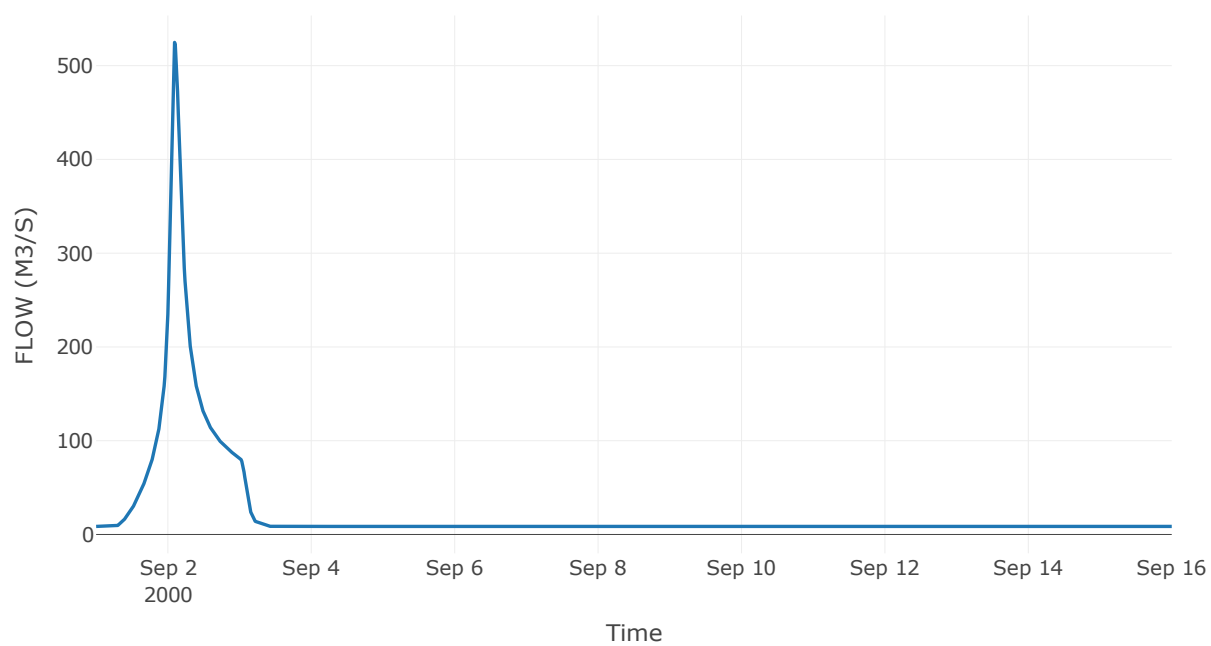
Κόμβος: J22

Κατάντη : R2214

Αποτελέσματα: J22

Παροχή Αιχμής (M3/S)	524.79
Χρονική στιγμή αιχμής	02Sep2000, 02:15
Όγκος (MM)	218.39

Απορροή



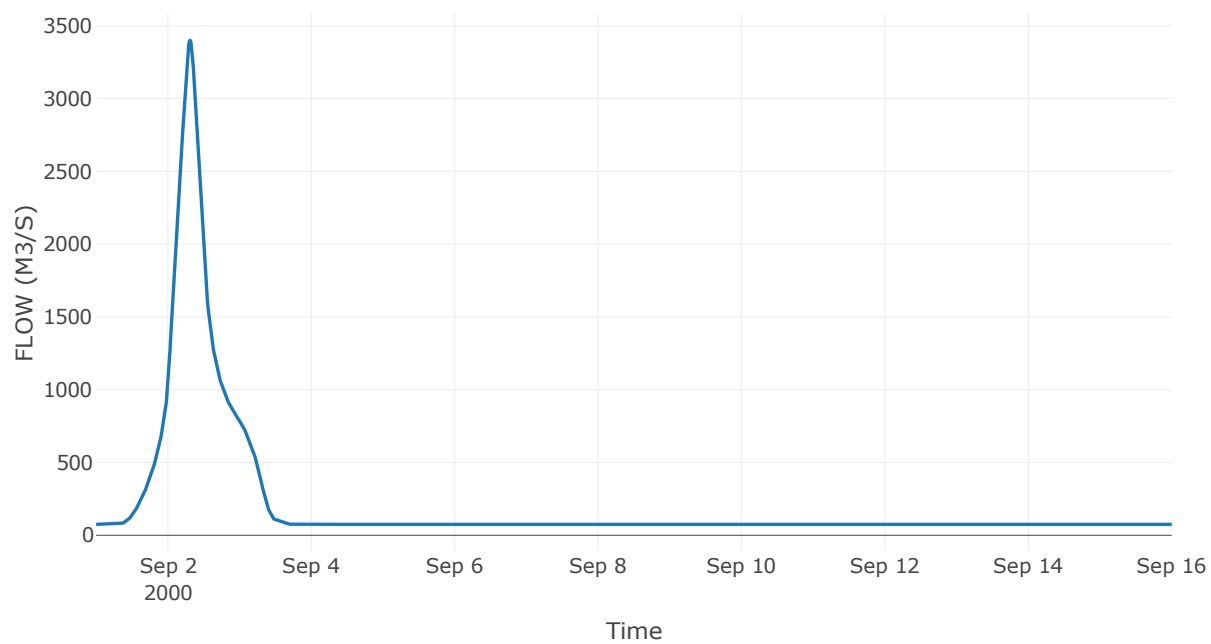
Κόμβος: J23

Κατάντη : R2311

Αποτελέσματα: J23

Παροχή Αιχμής (M3/S)	3400.22
Χρονική στιγμή αιχμής	02Sep2000, 07:30
Όγκος (MM)	223.39

Απορροή



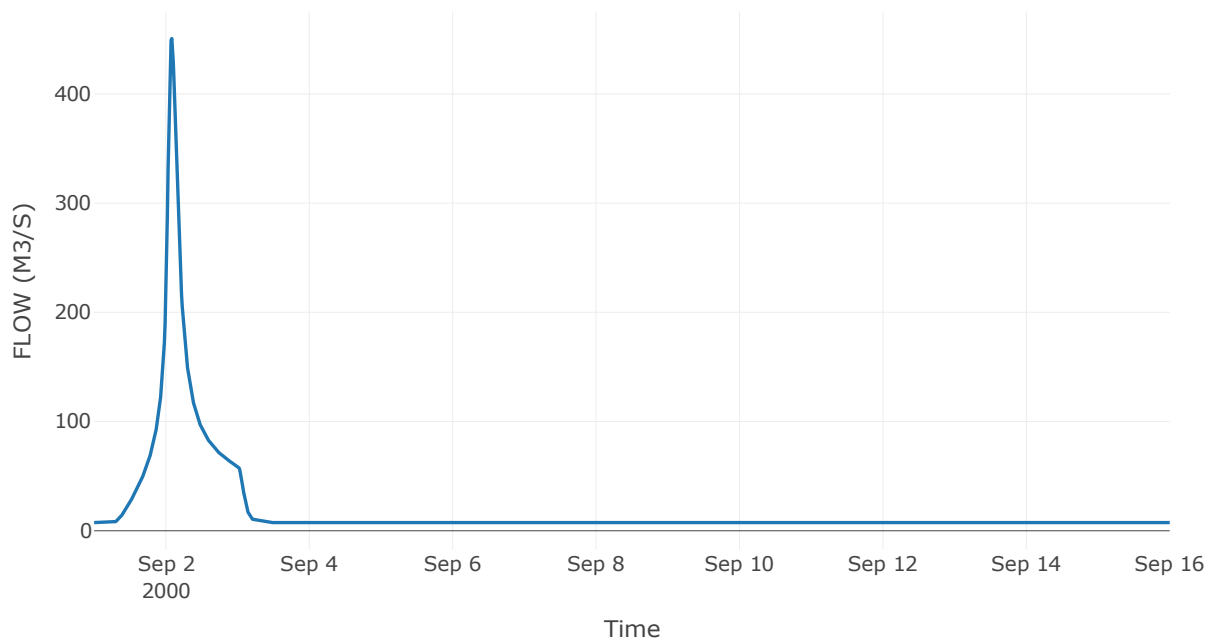
Κόμβος: J24

Κατάντη : R2423

Αποτελέσματα: J24

Παροχή Αιχμής (M3/S)	450.67
Χρονική στιγμή αιχμής	02Sep2000, 02:00
Όγκος (MM)	203.57

Απορροή



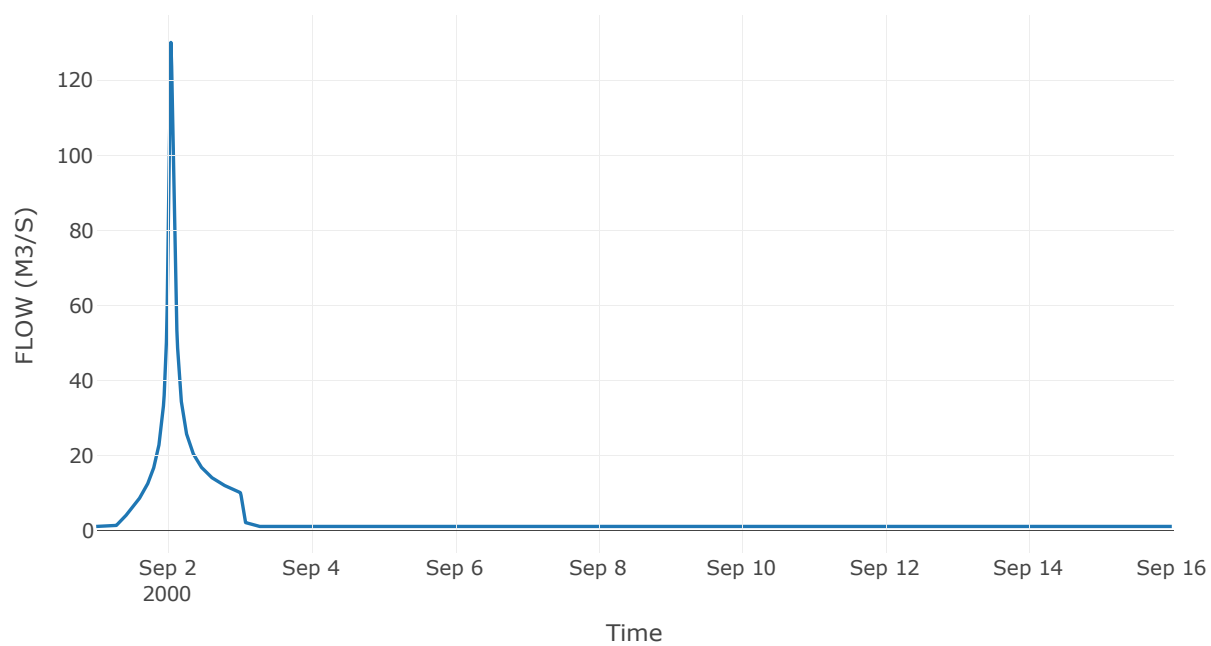
Κόμβος: J25

Κατάντη : R257

Αποτελέσματα: J25

Παροχή Αιχμής (M3/S)	130.08
Χρονική στιγμή αιχμής	02Sep2000, 01:00
Όγκος (MM)	231.54

Απορροή



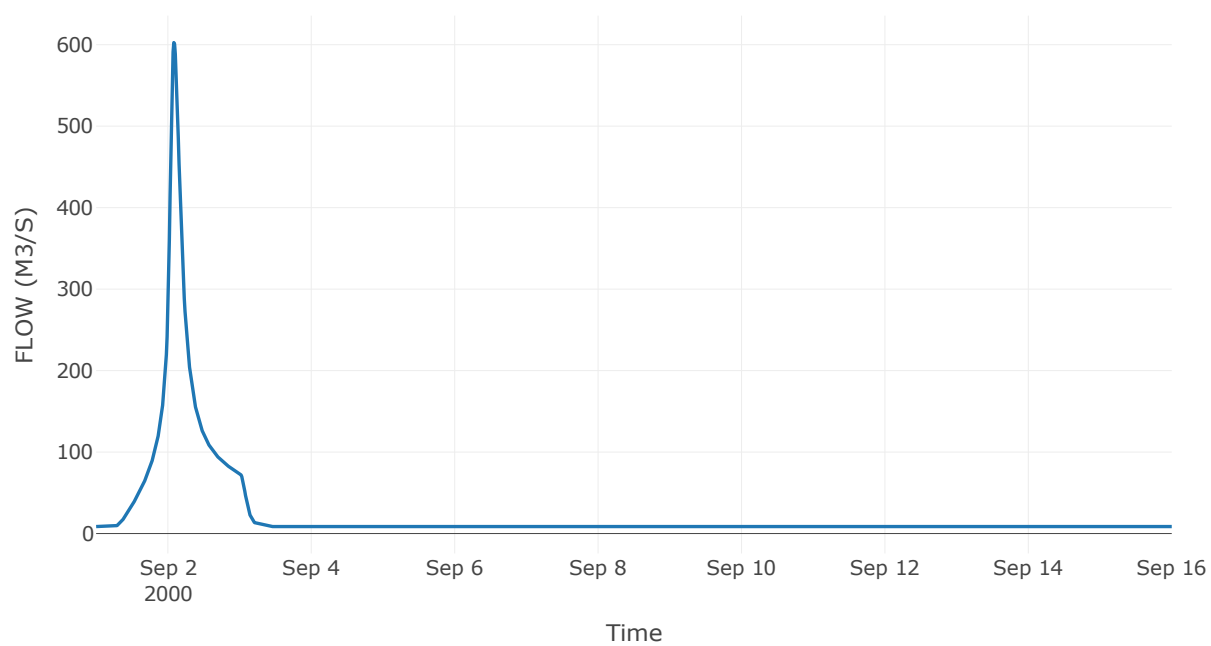
Κόμβος: J26

Κατάντη : R265

Αποτελέσματα: J26

Παροχή Αιχμής (M3/S)	602.63
Χρονική στιγμή αιχμής	02Sep2000, 02:00
Όγκος (MM)	225.41

Απορροή



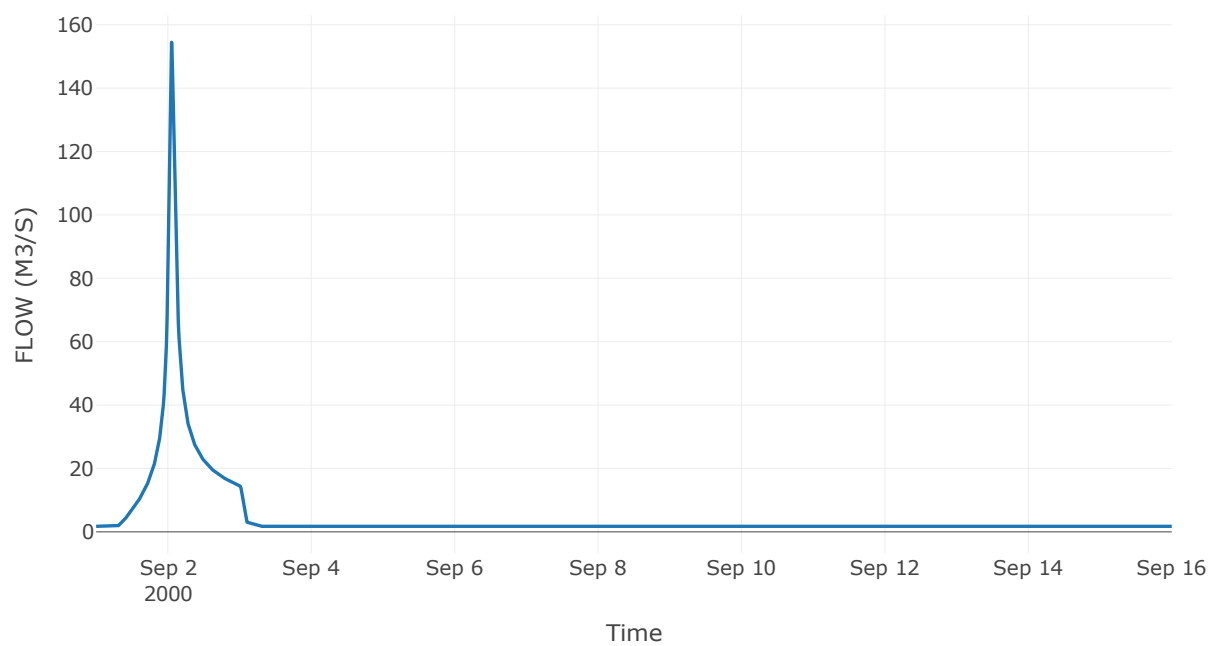
Κόμβος: J27

Κατάντη : R274

Αποτελέσματα: J27

Παροχή Αιχμής (M3/S)	154.47
Χρονική στιγμή αιχμής	02Sep2000, 01:15
Όγκος (MM)	218.52

Απορροή

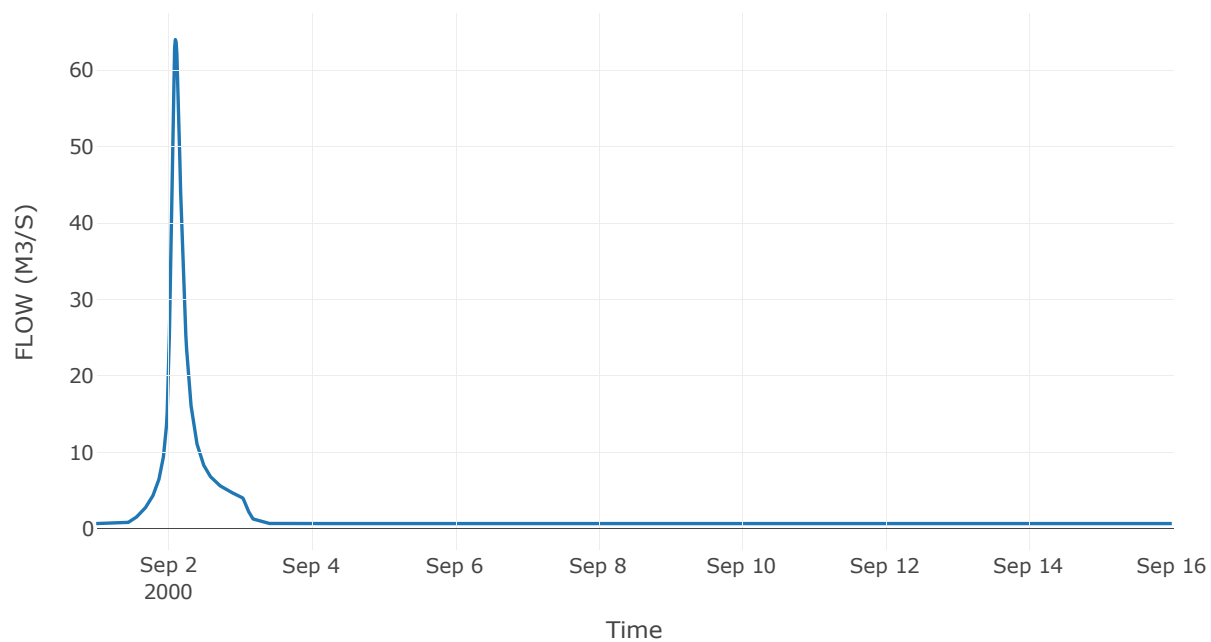


Κόμβος εξόδου: J28

Αποτελέσματ
α: J28

Παροχή αιχμής (M3/S)	64.01
Χρονική στιγμή αιχμής	02Sep2000, 02:30
Όγκος (MM)	218.88

Απορροή



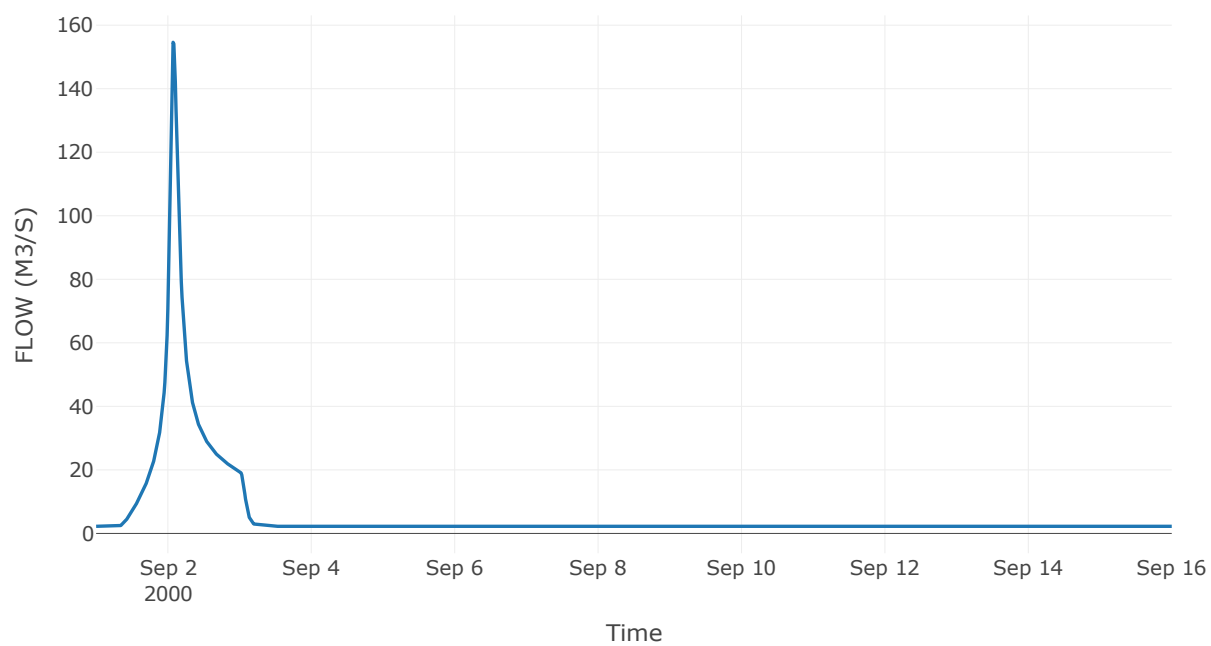
Κόμβος: J29

Κατάντη : R2917

Αποτελέσματα: J29

Παροχή Αιχμής (M3/S)	154.61
Χρονική στιγμή αιχμής	02Sep2000, 01:45
Όγκος (MM)	213.43

Απορροή



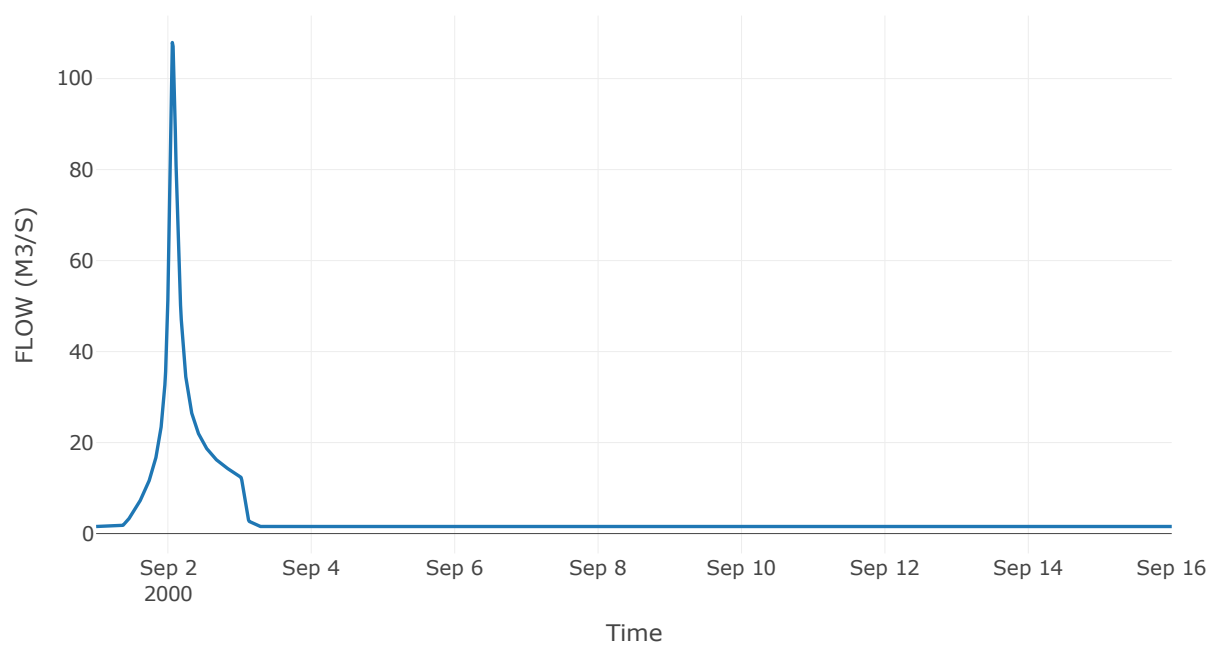
Κόμβος: J30

Κατάντη : R3020

Αποτελέσματα: J30

Παροχή Αιχμής (M3/S)	107.93
Χρονική στιγμή αιχμής	02Sep2000, 01:30
Όγκος (MM)	203.86

Απορροή



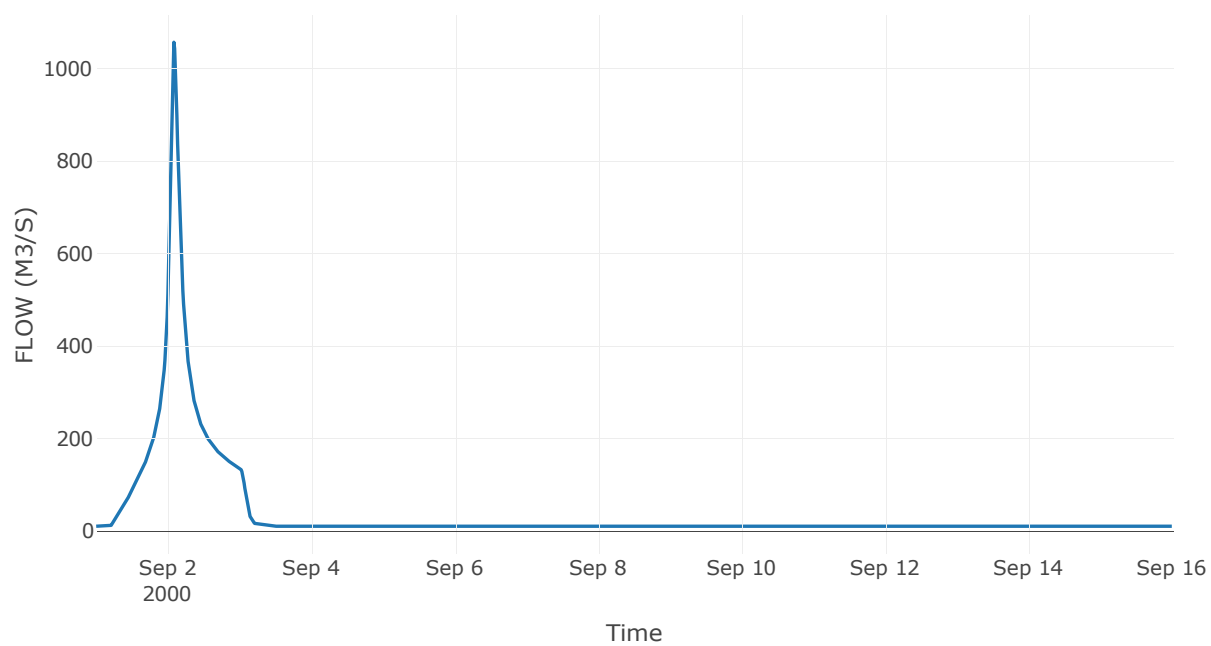
Κόμβος: J31

Κατάντη : R3113

Αποτελέσματα: J31

Παροχή Αιχμής (M3/S)	1056.21
Χρονική στιγμή αιχμής	02Sep2000, 02:00
Όγκος (MM)	303.96

Απορροή



5 Δεδομένα εισόδου και αποτελέσματα υδρολογικού σεναρίου T=100

5.1 Αποτελέσματα, υετογραφήματα και υδρογραφήματα σχεδιασμού υπολεκανών

Υπολεκάνη: EL0512FR1001

Έκταση (KM2) : 25.06

Κατάνη : J1

Μέθοδος Απωλειών: SCS

Ποσοστό αδιαπέρατης επιφάνειας	0
Αριθμός Καμπύλης Απορροής-CN	76.27
Αρχικές Απώλειες	15.81

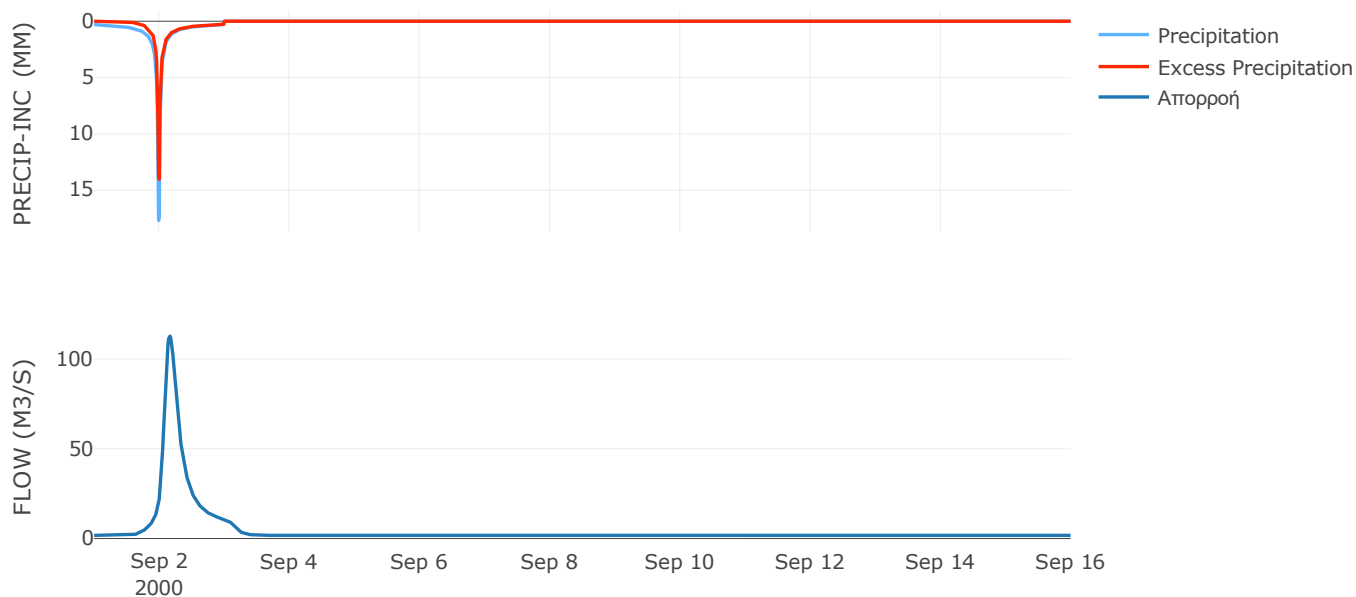
Μέθοδος
Μετασχηματισμού: SCS

Χρόνος Υστέρησης	216.24
------------------	--------

Αποτελέσματα:
EL0512FR1001

Παροχή αιχμής (M3/S)	112.75
Χρονική στιγμή αιχμής	02Sep2000, 04:00
Όγκος (MM)	235.51
Όγκος βροχόπτωσης (M3)	5.45E6
Όγκος απωλειών (M3)	1.82E6
Ενεργός Όγκος (M3)	3.63E6
Όγκος άμεσης απορροής (M3)	3.63E6
Όγκος βασικής απορροής (M3)	2.27E6

Βροχόπτωση και Απορροή



Υπολεκάνη: EL0512FR1002

Έκταση (KM2) : 13.38

Κατάντη : J2

Μέθοδος Απωλειών: SCS

Ποσοστό αδιαπέρατης επιφάνειας	0
Αριθμός Καμπύλης Απορροής-CN	70.83
Αρχικές Απώλειες	20.93

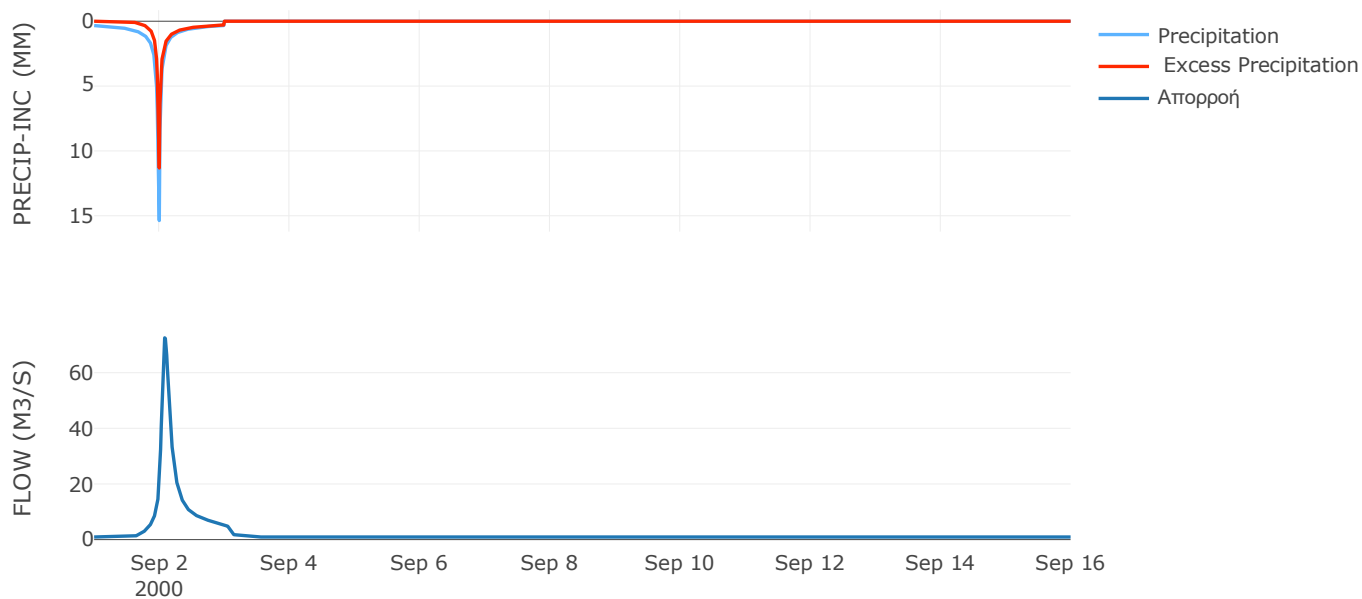
Μέθοδος
Μετασχηματισμού: SCS

Χρόνος Υστέρησης	115.07
------------------	--------

Αποτελέσματα:
EL0512FR1002

Παροχή αιχμής (M3/S)	72.53
Χρονική στιγμή αιχμής	02Sep2000, 02:00
Όγκος (MM)	220.4
Όγκος βροχόπτωσης (M3)	2.93E6
Όγκος απωλειών (M3)	1.2E6
Ενεργός Όγκος (M3)	1.74E6
Όγκος άμεσης απορροής (M3)	1.74E6
Όγκος βασικής απορροής (M3)	1.21E6

Βροχόπτωση και Απορροή



Υπολεκάνη: EL0512FR1003

Έκταση (KM2) : 11.79

Κατάντη : J28

Μέθοδος Απωλειών: SCS

Ποσοστό αδιαπέρατης επιφάνειας	0
Αριθμός Καμπύλης Απορροής-CN	70.25
Αρχικές Απώλειες	21.52

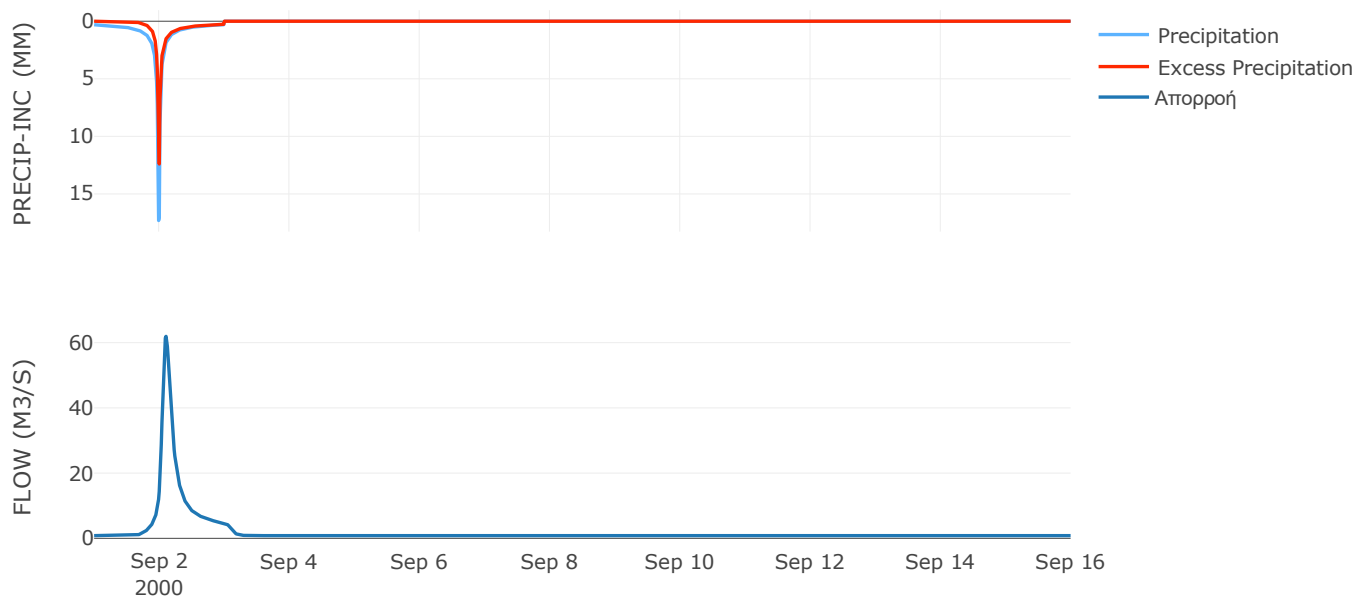
Μέθοδος
Μετασχηματισμού: SCS

Χρόνος Υστέρησης	134.88
------------------	--------

Αποτελέσματα:
EL0512FR1003

Παροχή αιχμής (M3/S)	61.94
Χρονική στιγμή αιχμής	02Sep2000, 02:30
Όγκος (MM)	219.06
Όγκος βροχόπτωσης (M3)	2.59E6
Όγκος απωλειών (M3)	1.08E6
Ενεργός Όγκος (M3)	1.51E6
Όγκος άμεσης απορροής (M3)	1.51E6
Όγκος βασικής απορροής (M3)	1.07E6

Βροχόπτωση και Απορροή



Υπολεκάνη: EL0512FR1004

Έκταση (KM2) : 17.07

Κατάντη : J4

Μέθοδος Απωλειών: SCS

Ποσοστό αδιαπέρατης επιφάνειας	0
Αριθμός Καμπύλης Απορροής-CN	66.83
Αρχικές Απώλειες	25.21

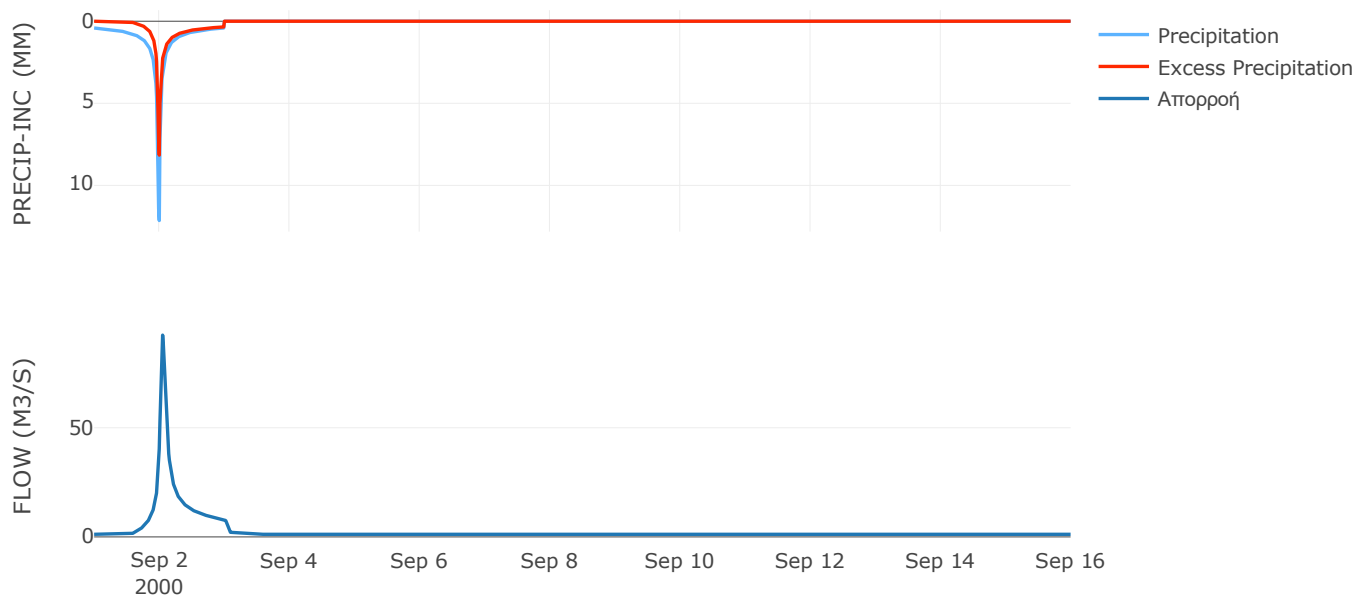
Μέθοδος
Μετασχηματισμού: SCS

Χρόνος Υστέρησης	64.88
------------------	-------

Αποτελέσματα:
EL0512FR1004

Παροχή αιχμής (M3/S)	92.4
Χρονική στιγμή αιχμής	02Sep2000, 01:15
Όγκος (MM)	210.96
Όγκος βροχόπτωσης (M3)	3.79E6
Όγκος απωλειών (M3)	1.74E6
Ενεργός Όγκος (M3)	2.05E6
Όγκος άμεσης απορροής (M3)	2.05E6
Όγκος βασικής απορροής (M3)	1.55E6

Βροχόπτωση και Απορροή



Υπολεκάνη: EL0512FR1005

Έκταση (KM2) : 3.17

Κατάντη : J4

Μέθοδος Απωλειών: SCS

Ποσοστό αδιαπέρατης επιφάνειας	0
Αριθμός Καμπύλης Απορροής-CN	64.33
Αρχικές Απώλειες	28.17

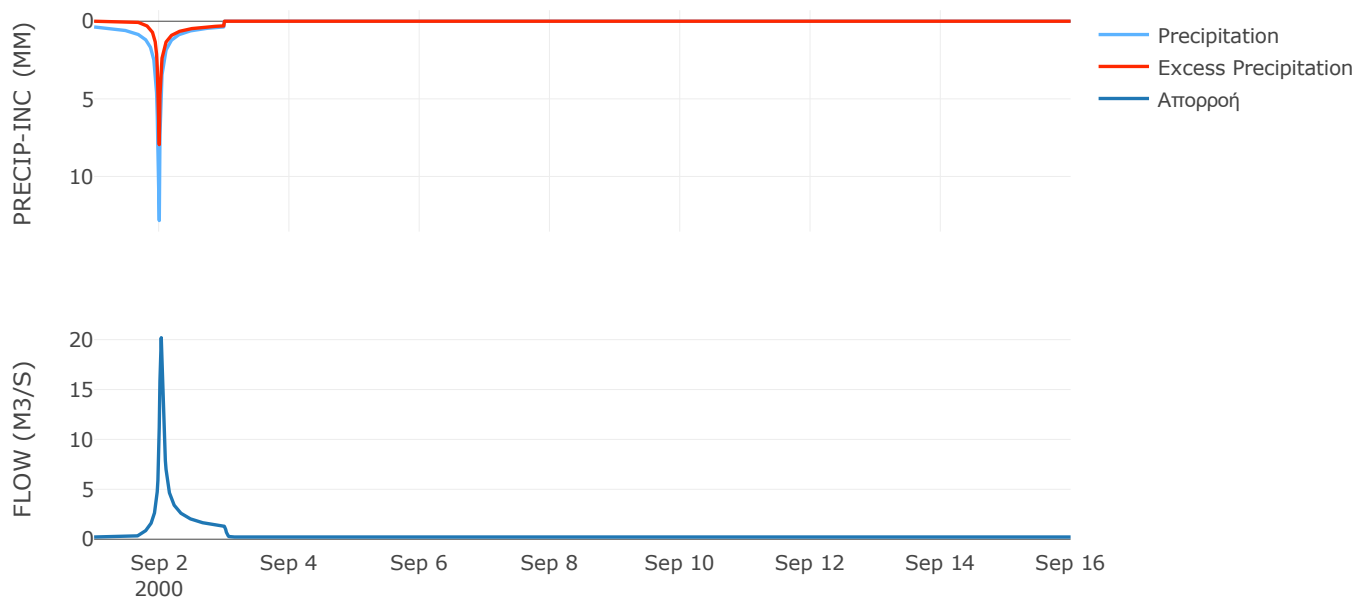
Μέθοδος
Μετασχηματισμού: SCS

Χρόνος Υστέρησης	34.61
------------------	-------

Αποτελέσματα:
EL0512FR1005

Παροχή αιχμής (M3/S)	20.19
Χρονική στιγμή αιχμής	02Sep2000, 00:45
Όγκος (MM)	196.33
Όγκος βροχόπτωσης (M3)	6.78E5
Όγκος απωλειών (M3)	3.43E5
Ενεργός Όγκος (M3)	3.35E5
Όγκος άμεσης απορροής (M3)	3.35E5
Όγκος βασικής απορροής (M3)	2.88E5

Βροχόπτωση και Απορροή



Υπολεκάνη: EL0512FR1006

Έκταση (KM2) : 18.76

Κατάντη : J5

Μέθοδος Απωλειών: SCS

Ποσοστό αδιαπέρατης επιφάνειας	0
Αριθμός Καμπύλης Απορροής-CN	66.68
Αρχικές Απώλειες	25.39

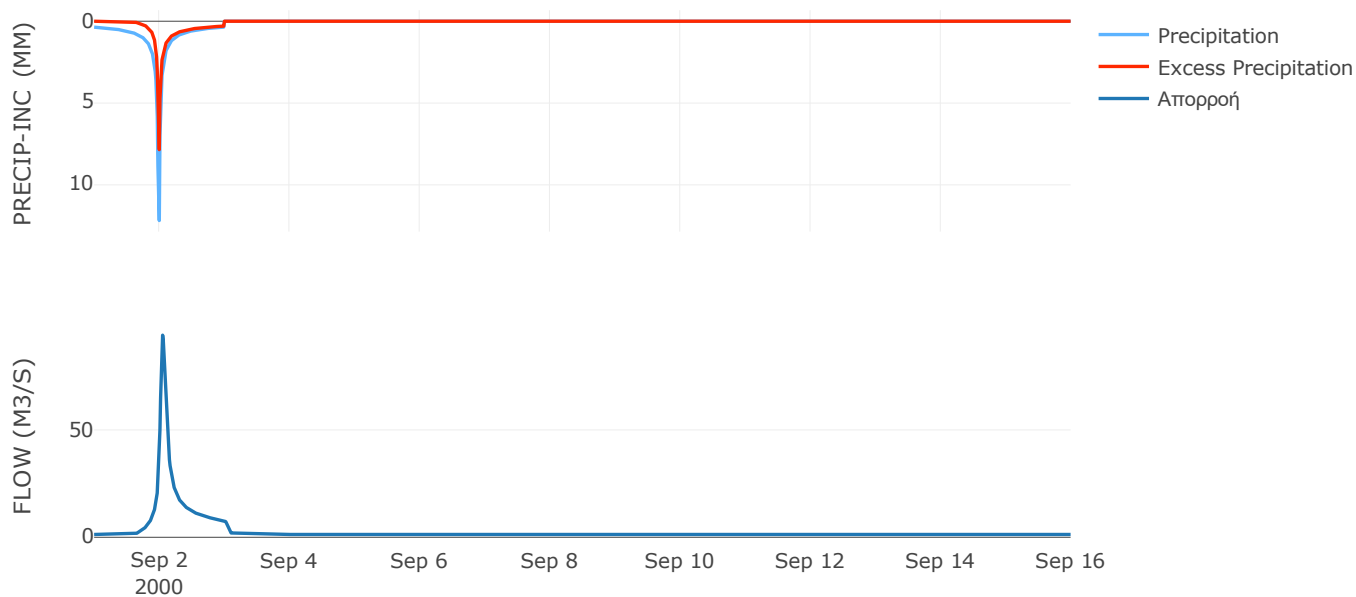
Μέθοδος
Μετασχηματισμού: SCS

Χρόνος Υστέρησης	67.78
------------------	-------

Αποτελέσματα:
EL0512FR1006

Παροχή αιχμής (M3/S)	94.12
Χρονική στιγμή αιχμής	02Sep2000, 01:15
Όγκος (MM)	197.08
Όγκος βροχόπτωσης (M3)	3.87E6
Όγκος απωλειών (M3)	1.88E6
Ενεργός Όγκος (M3)	2E6
Όγκος άμεσης απορροής (M3)	2E6
Όγκος βασικής απορροής (M3)	1.7E6

Βροχόπτωση και Απορροή



Υπολεκάνη: EL0512FR1007

Έκταση (KM2) : 22.72

Κατάντη : J5

Μέθοδος Απωλειών: SCS

Ποσοστό αδιαπέρατης επιφάνειας	0
Αριθμός Καμπύλης Απορροής-CN	67.42
Αρχικές Απώλειες	24.55

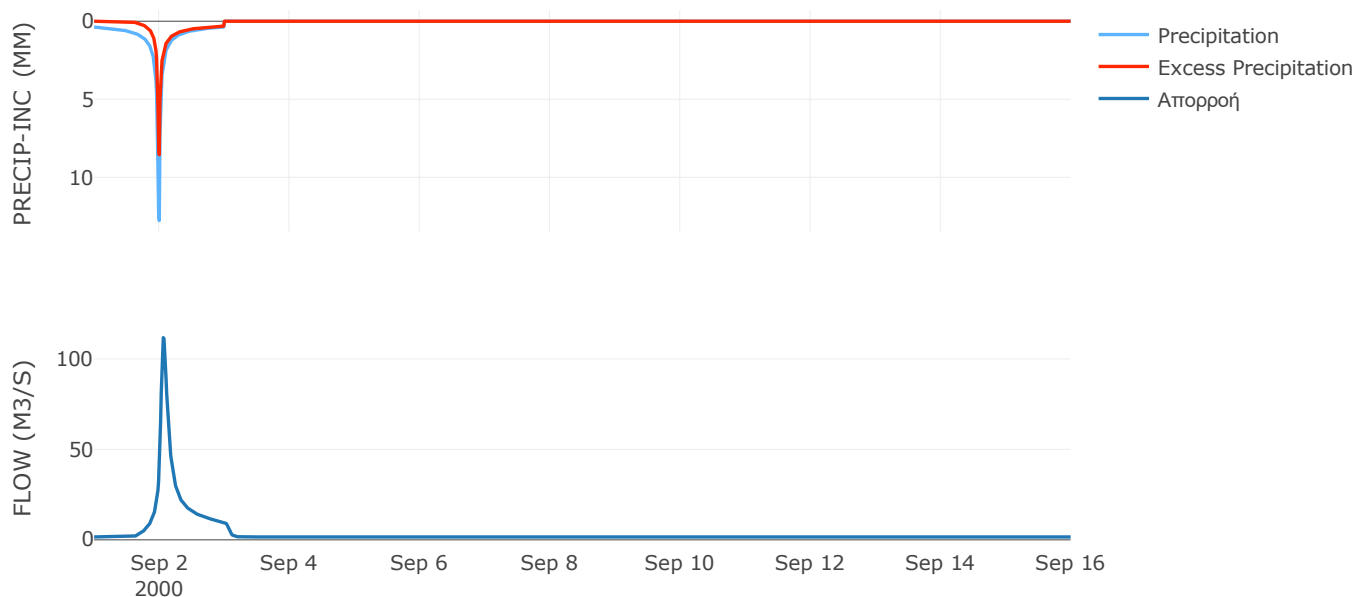
Μέθοδος
Μετασχηματισμού: SCS

Χρόνος Υστέρησης	85.96
------------------	-------

Αποτελέσματα:
EL0512FR1007

Παροχή αιχμής (M3/S)	111.76
Χρονική στιγμή αιχμής	02Sep2000, 01:30
Όγκος (MM)	205.46
Όγκος βροχόπτωσης (M3)	4.86E6
Όγκος απωλειών (M3)	2.25E6
Ενεργός Όγκος (M3)	2.61E6
Όγκος άμεσης απορροής (M3)	2.61E6
Όγκος βασικής απορροής (M3)	2.06E6

Βροχόπτωση και Απορροή



Υπολεκάνη: EL0512FR1008

Έκταση (KM2) : 12.83

Κατάντη : J6

Μέθοδος Απωλειών: SCS

Ποσοστό αδιαπέρατης επιφάνειας	0
Αριθμός Καμπύλης Απορροής-CN	71.21
Αρχικές Απώλειες	20.54

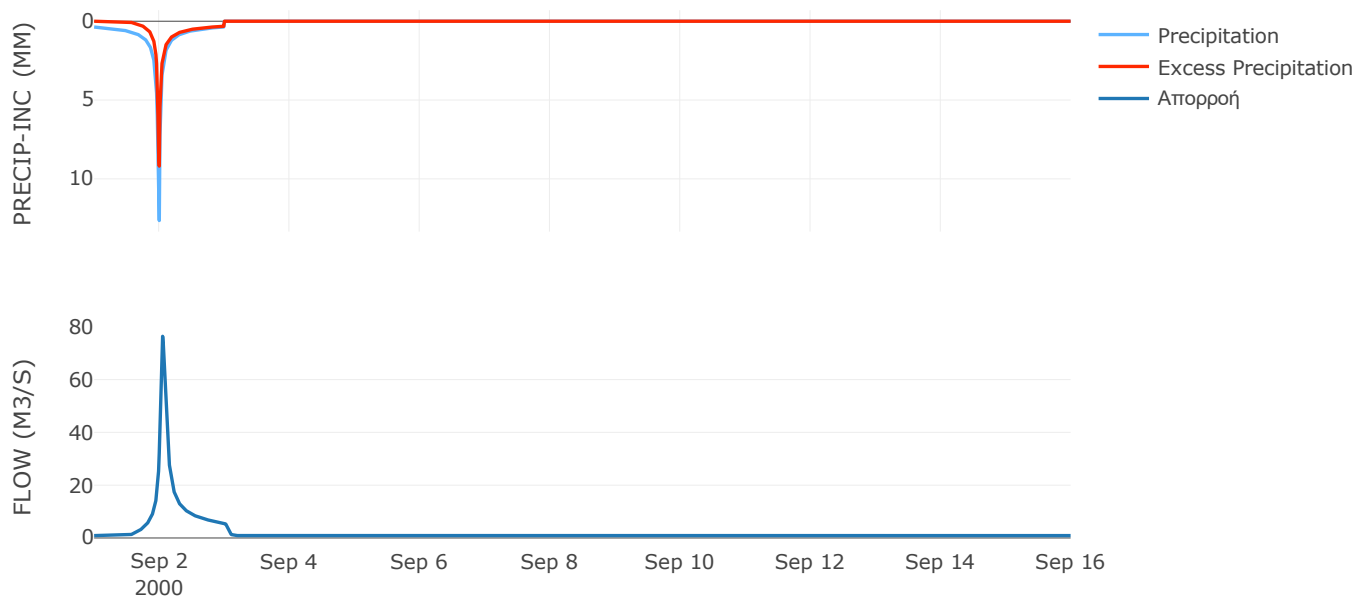
Μέθοδος
Μετασχηματισμού: SCS

Χρόνος Υστέρησης	67
------------------	----

Αποτελέσματα:
EL0512FR1008

Παροχή αιχμής (M3/S)	76.4
Χρονική στιγμή αιχμής	02Sep2000, 01:15
Όγκος (MM)	215.17
Όγκος βροχόπτωσης (M3)	2.72E6
Όγκος απωλειών (M3)	1.12E6
Ενεργός Όγκος (M3)	1.6E6
Όγκος άμεσης απορροής (M3)	1.6E6
Όγκος βασικής απορροής (M3)	1.16E6

Βροχόπτωση και Απορροή



Υπολεκάνη: EL0512FR1009

Έκταση (KM2) : 9.15

Κατάντη : J7

Μέθοδος Απωλειών: SCS

Ποσοστό αδιαπέρατης επιφάνειας	0
Αριθμός Καμπύλης Απορροής-CN	71.39
Αρχικές Απώλειες	20.36

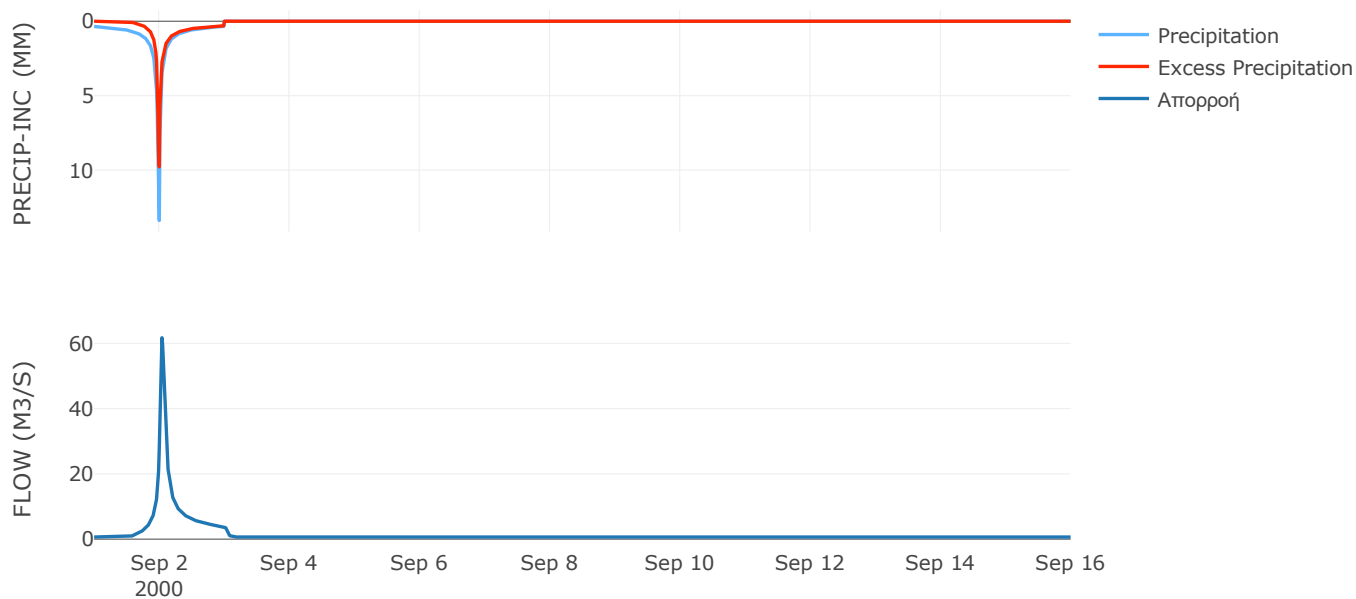
Μέθοδος
Μετασχηματισμού: SCS

Χρόνος Υστέρησης	55.81
------------------	-------

Αποτελέσματα:
EL0512FR1009

Παροχή αιχμής (M3/S)	61.71
Χρονική στιγμή αιχμής	02Sep2000, 01:00
Όγκος (MM)	215.3
Όγκος βροχόπτωσης (M3)	1.93E6
Όγκος απωλειών (M3)	7.94E5
Ενεργός Όγκος (M3)	1.14E6
Όγκος άμεσης απορροής (M3)	1.14E6
Όγκος βασικής απορροής (M3)	8.3E5

Βροχόπτωση και Απορροή



Υπολεκάνη: EL0512FR1010

Έκταση (KM2) : 37.24

Κατάντη : J7

Μέθοδος Απωλειών: SCS

Ποσοστό αδιαπέρατης επιφάνειας	0
Αριθμός Καμπύλης Απορροής-CN	77.26
Αρχικές Απώλειες	14.95

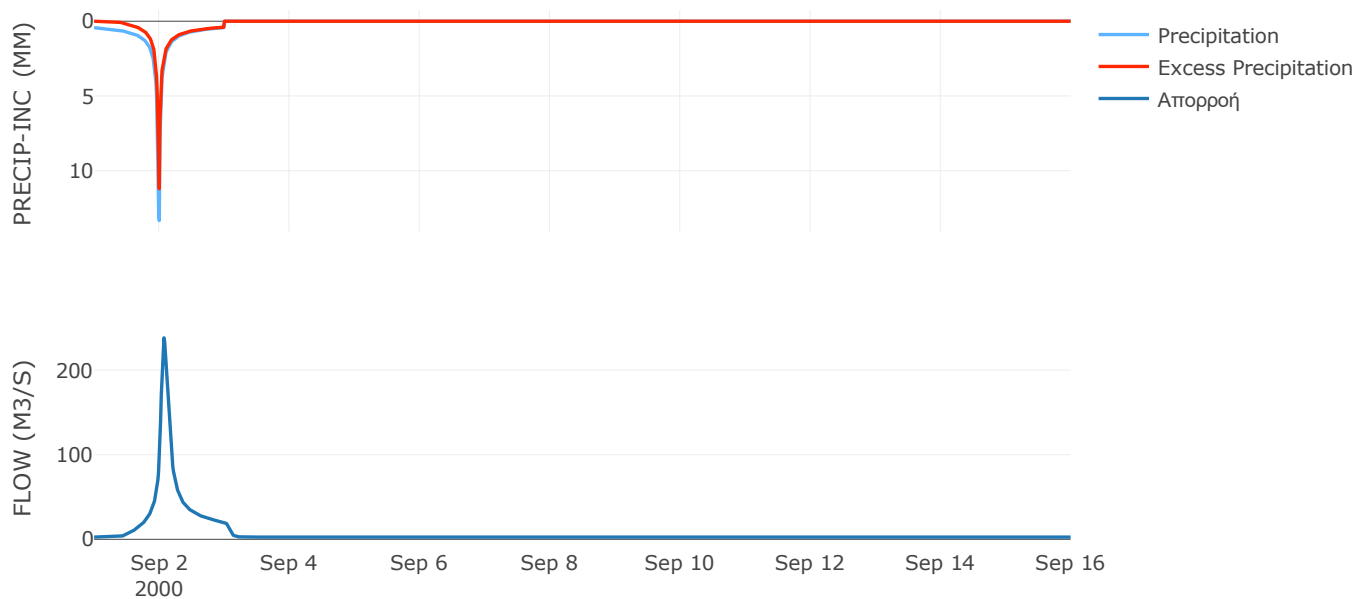
Μέθοδος
Μετασχηματισμού: SCS

Χρόνος Υστέρησης	96.48
------------------	-------

Αποτελέσματα:
EL0512FR1010

Παροχή αιχμής (M3/S)	238.24
Χρονική στιγμή αιχμής	02Sep2000, 01:45
Όγκος (MM)	256.8
Όγκος βροχόπτωσης (M3)	8.83E6
Όγκος απωλειών (M3)	2.64E6
Ενεργός Όγκος (M3)	6.19E6
Όγκος άμεσης απορροής (M3)	6.19E6
Όγκος βασικής απορροής (M3)	3.38E6

Βροχόπτωση και Απορροή



Υπολεκάνη: EL0512FR1011

Έκταση (KM2) : 16.64

Κατάντη : J8

Μέθοδος Απωλειών: SCS

Ποσοστό αδιαπέρατης επιφάνειας	0
Αριθμός Καμπύλης Απορροής-CN	66.04
Αρχικές Απώλειες	26.12

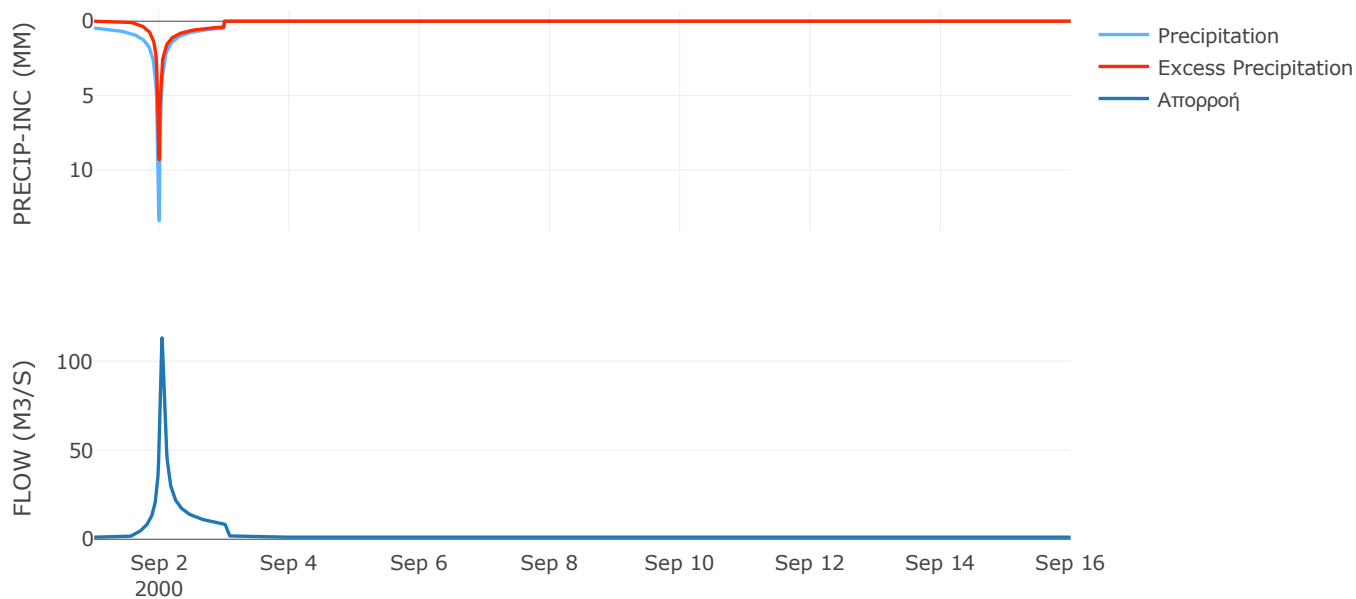
Μέθοδος
Μετασχηματισμού: SCS

Χρόνος Υστέρησης	50.37
------------------	-------

Αποτελέσματα:
EL0512FR1011

Παροχή αιχμής (M3/S)	113.1
Χρονική στιγμή αιχμής	02Sep2000, 01:00
Όγκος (MM)	228.94
Όγκος βροχόπτωσης (M3)	4.1E6
Όγκος απωλειών (M3)	1.8E6
Ενεργός Όγκος (M3)	2.3E6
Όγκος άμεσης απορροής (M3)	2.3E6
Όγκος βασικής απορροής (M3)	1.51E6

Βροχόπτωση και Απορροή



Υπολεκάνη: EL0512FR1012

Έκταση (KM2) : 37.82

Κατάντη : J9

Μέθοδος Απωλειών: SCS

Ποσοστό αδιαπέρατης επιφάνειας	0
Αριθμός Καμπύλης Απορροής-CN	65.34
Αρχικές Απώλειες	26.94

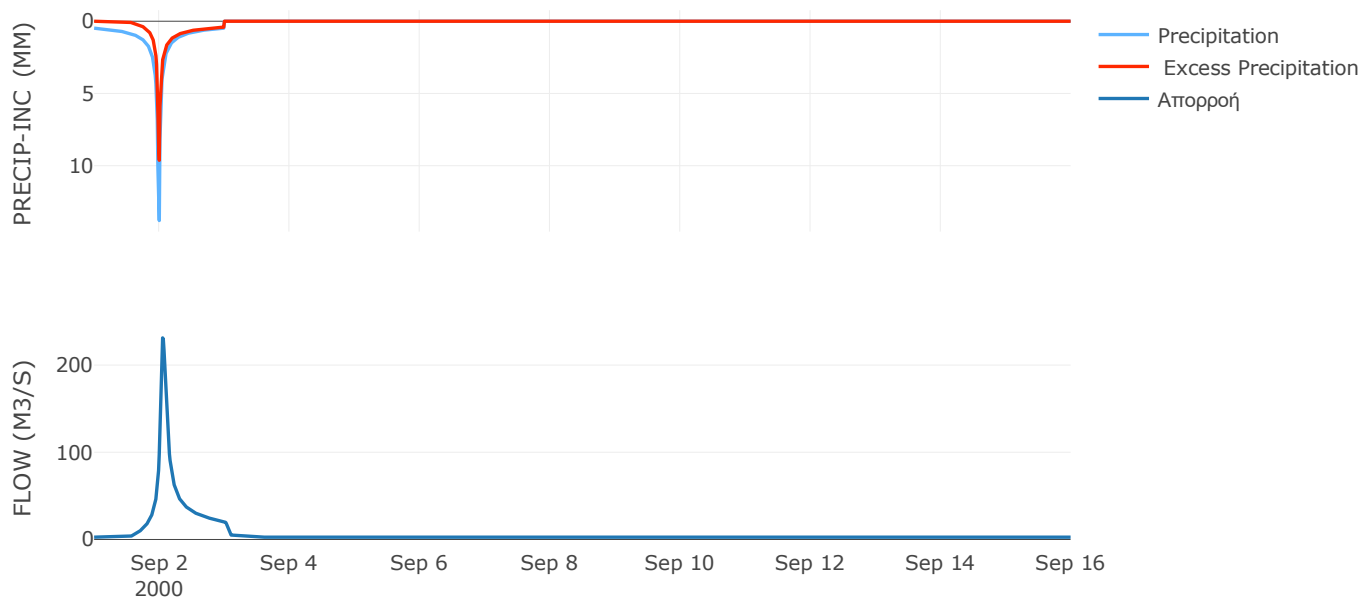
Μέθοδος
Μετασχηματισμού: SCS

Χρόνος Υστέρησης	72.95
------------------	-------

Αποτελέσματα:
EL0512FR1012

Παροχή αιχμής (M3/S)	231.2
Χρονική στιγμή αιχμής	02Sep2000, 01:15
Όγκος (MM)	235.21
Όγκος βροχόπτωσης (M3)	9.69E6
Όγκος απωλειών (M3)	4.23E6
Ενεργός Όγκος (M3)	5.46E6
Όγκος άμεσης απορροής (M3)	5.46E6
Όγκος βασικής απορροής (M3)	3.43E6

Βροχόπτωση και Απορροή



Υπολεκάνη: EL0512FR1013

Έκταση (KM2) : 42.56

Κατάντη : J10

Μέθοδος Απωλειών: SCS

Ποσοστό αδιαπέρατης επιφάνειας	0
Αριθμός Καμπύλης Απορροής-CN	70.31
Αρχικές Απώλειες	21.45

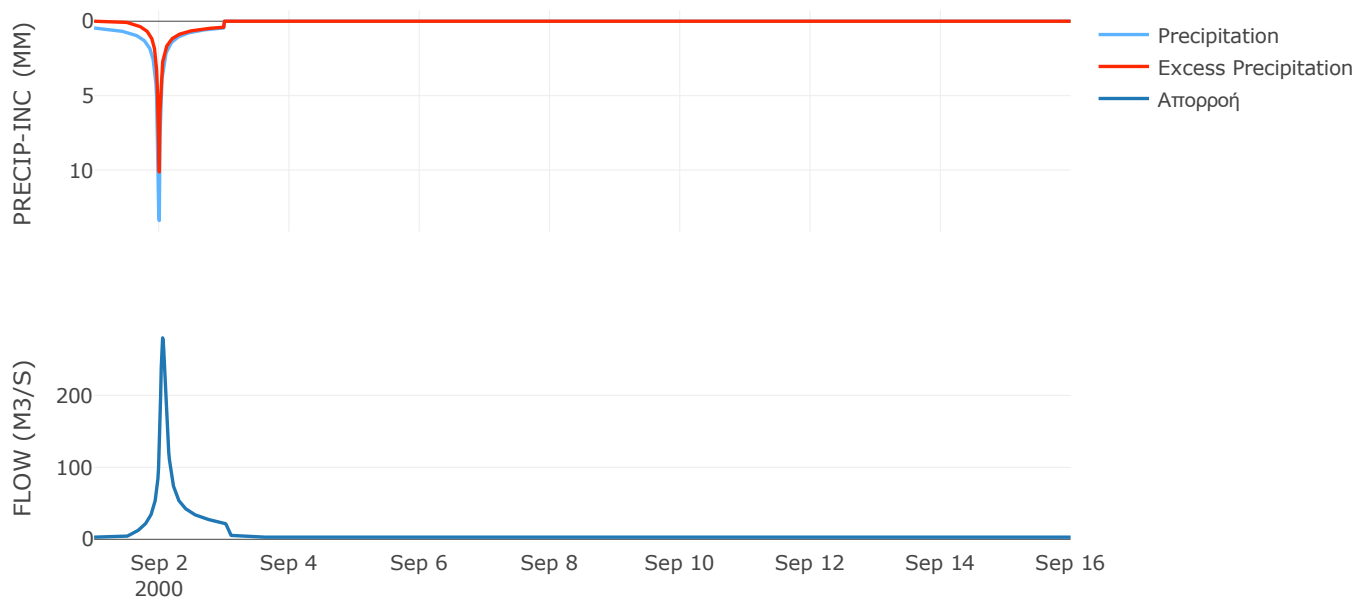
Μέθοδος
Μετασχηματισμού: SCS

Χρόνος Υστέρησης	70.58
------------------	-------

Αποτελέσματα:
EL0512FR1013

Παροχή αιχμής (M3/S)	279.84
Χρονική στιγμή αιχμής	02Sep2000, 01:15
Όγκος (MM)	242.04
Όγκος βροχόπτωσης (M3)	1.04E7
Όγκος απωλειών (M3)	4E6
Ενεργός Όγκος (M3)	6.44E6
Όγκος άμεσης απορροής (M3)	6.44E6
Όγκος βασικής απορροής (M3)	3.86E6

Βροχόπτωση και Απορροή



Υπολεκάνη: EL0512FR1014

Έκταση (KM2) : 20.41

Κατάντη : J25

Μέθοδος Απωλειών: SCS

Ποσοστό αδιαπέρατης επιφάνειας	0
Αριθμός Καμπύλης Απορροής-CN	69.15
Αρχικές Απώλειες	22.66

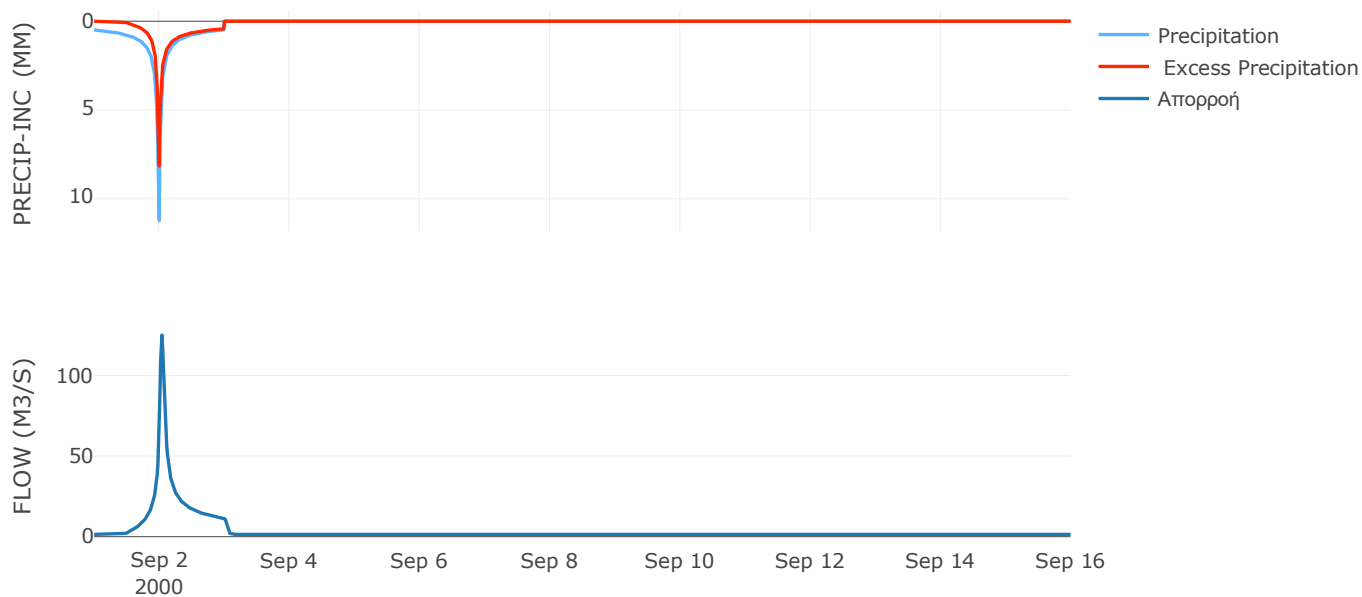
Μέθοδος
Μετασχηματισμού: SCS

Χρόνος Υστέρησης	49.7
------------------	------

Αποτελέσματα:
EL0512FR1014

Παροχή αιχμής (M3/S)	125.1
Χρονική στιγμή αιχμής	02Sep2000, 01:00
Όγκος (MM)	231.37
Όγκος βροχόπτωσης (M3)	4.85E6
Όγκος απωλειών (M3)	1.98E6
Ενεργός Όγκος (M3)	2.87E6
Όγκος άμεσης απορροής (M3)	2.87E6
Όγκος βασικής απορροής (M3)	1.85E6

Βροχόπτωση και Απορροή



Υπολεκάνη: EL0512FR1015

Έκταση (KM2) : 55.38

Κατάντη : J26

Μέθοδος Απωλειών: SCS

Ποσοστό αδιαπέρατης επιφάνειας	0
Αριθμός Καμπύλης Απορροής-CN	68.76
Αρχικές Απώλειες	23.08

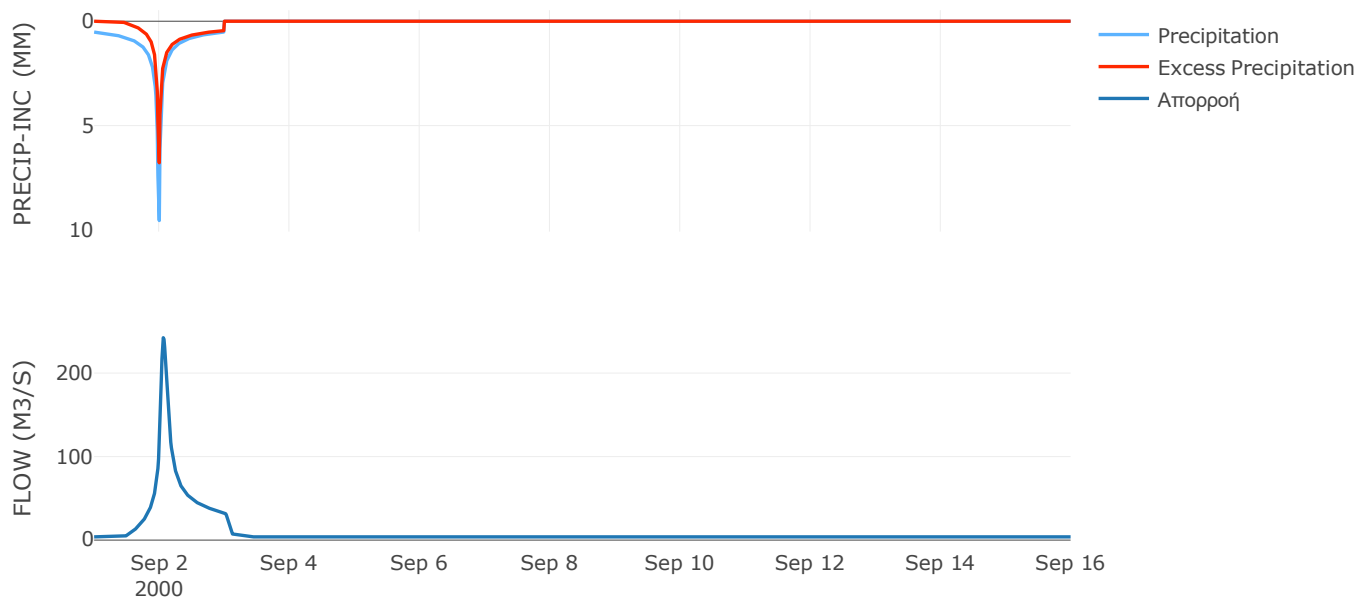
Μέθοδος
Μετασχηματισμού: SCS

Χρόνος Υστέρησης	84.72
------------------	-------

Αποτελέσματα:
EL0512FR1015

Παροχή αιχμής (M3/S)	242.34
Χρονική στιγμή αιχμής	02Sep2000, 01:30
Όγκος (MM)	225.25
Όγκος βροχόπτωσης (M3)	1.28E7
Όγκος απωλειών (M3)	5.39E6
Ενεργός Όγκος (M3)	7.45E6
Όγκος άμεσης απορροής (M3)	7.45E6
Όγκος βασικής απορροής (M3)	5.02E6

Βροχόπτωση και Απορροή



Υπολεκάνη: EL0512FR1016

Έκταση (KM2) : 87.24

Κατάντη : J26

Μέθοδος Απωλειών: SCS

Ποσοστό αδιαπέρατης επιφάνειας	0
Αριθμός Καμπύλης Απορροής-CN	73.07
Αρχικές Απώλειες	18.72

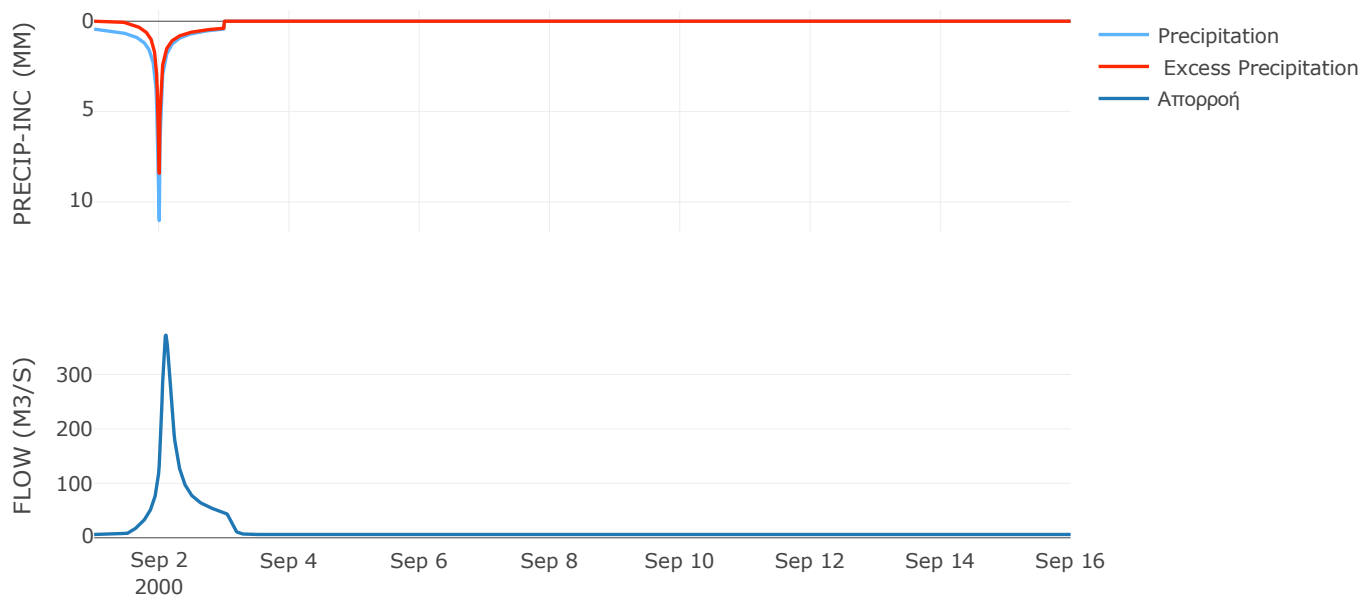
Μέθοδος
Μετασχηματισμού: SCS

Χρόνος Υστέρησης	132
------------------	-----

Αποτελέσματα:
EL0512FR1016

Παροχή αιχμής (M3/S)	372.17
Χρονική στιγμή αιχμής	02Sep2000, 02:30
Όγκος (MM)	228.6
Όγκος βροχόπτωσης (M3)	1.92E7
Όγκος απωλειών (M3)	7.21E6
Ενεργός Όγκος (M3)	1.2E7
Όγκος άμεσης απορροής (M3)	1.2E7
Όγκος βασικής απορροής (M3)	7.91E6

Βροχόπτωση και Απορροή



Υπολεκάνη: EL0512FR1017

Έκταση (KM2) : 29.09

Κατάντη : J27

Μέθοδος Απωλειών: SCS

Ποσοστό αδιαπέρατης επιφάνειας	0
Αριθμός Καμπύλης Απορροής-CN	66.49
Αρχικές Απώλειες	25.61

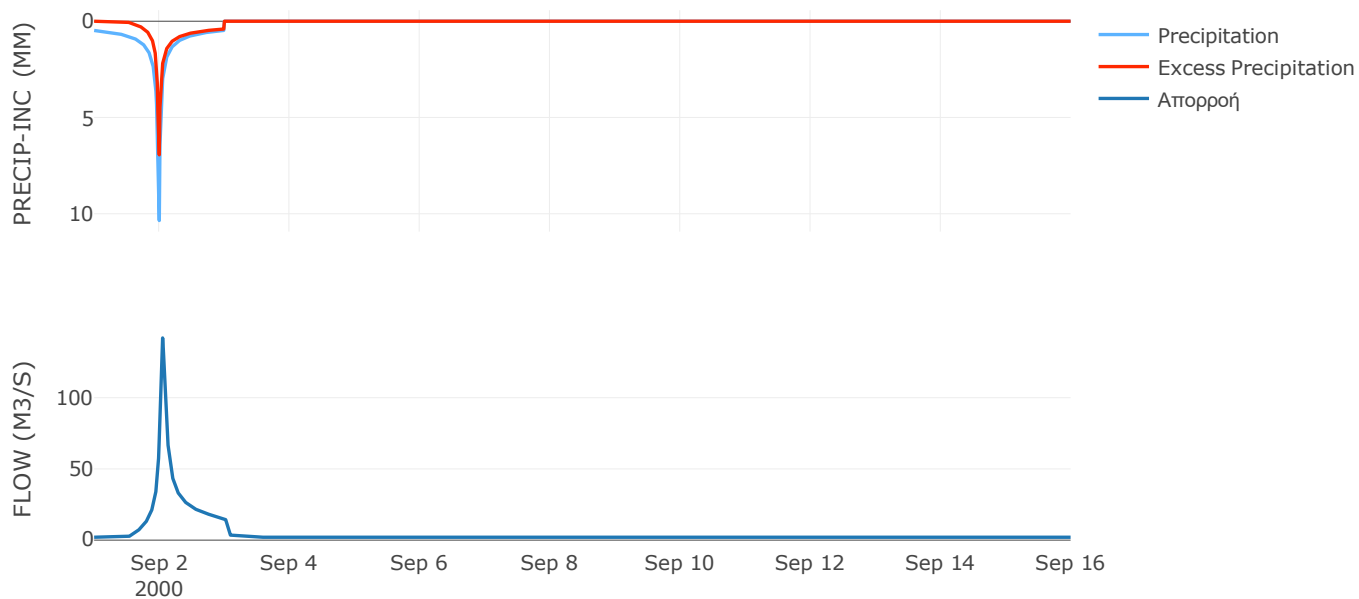
Μέθοδος
Μετασχηματισμού: SCS

Χρόνος Υστέρησης	61.01
------------------	-------

Αποτελέσματα:
EL0512FR1017

Παροχή αιχμής (M3/S)	141.93
Χρονική στιγμή αιχμής	02Sep2000, 01:15
Όγκος (MM)	214.5
Όγκος βροχόπτωσης (M3)	6.62E6
Όγκος απωλειών (M3)	3.02E6
Ενεργός Όγκος (M3)	3.6E6
Όγκος άμεσης απορροής (M3)	3.6E6
Όγκος βασικής απορροής (M3)	2.64E6

Βροχόπτωση και Απορροή



Υπολεκάνη: EL0512FR1018

Έκταση (KM2) : 36.97

Κατάντη : J24

Μέθοδος Απωλειών: SCS

Ποσοστό αδιαπέρατης επιφάνειας	0
Αριθμός Καμπύλης Απορροής-CN	72.2
Αρχικές Απώλειες	19.56

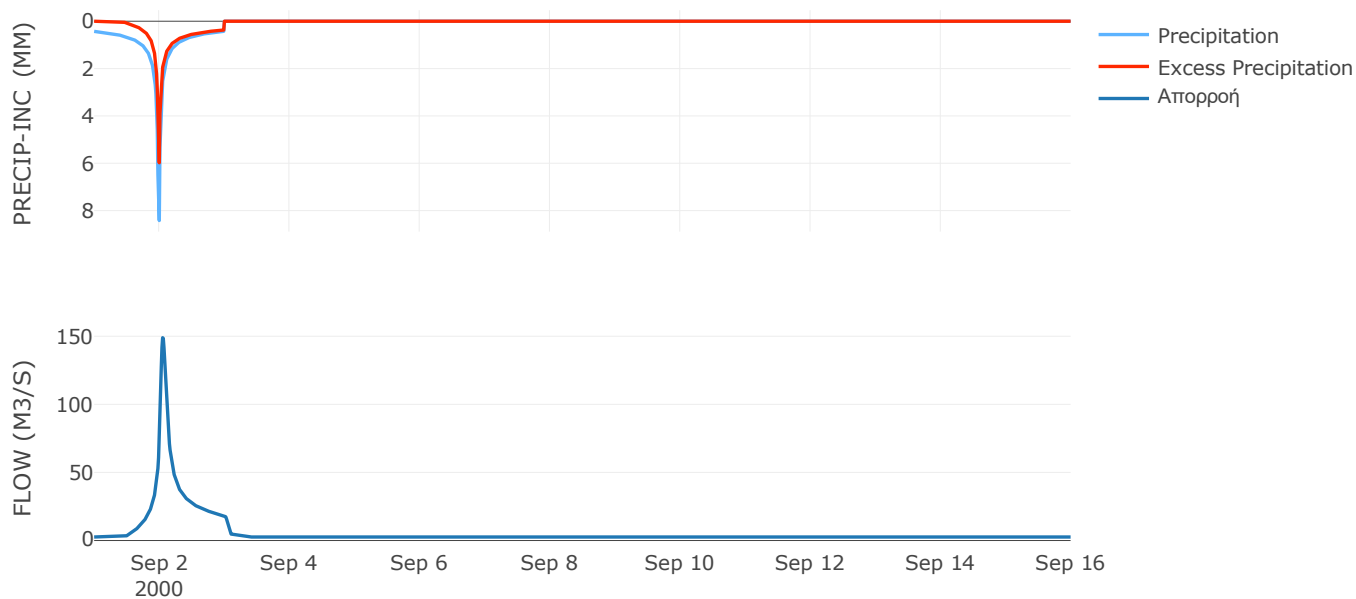
Μέθοδος
Μετασχηματισμού: SCS

Χρόνος Υστέρησης	73.13
------------------	-------

Αποτελέσματα:
EL0512FR1018

Παροχή αιχμής (M3/S)	148.95
Χρονική στιγμή αιχμής	02Sep2000, 01:15
Όγκος (MM)	204.29
Όγκος βροχόπτωσης (M3)	7.25E6
Όγκος απωλειών (M3)	3.05E6
Ενεργός Όγκος (M3)	4.2E6
Όγκος άμεσης απορροής (M3)	4.2E6
Όγκος βασικής απορροής (M3)	3.35E6

Βροχόπτωση και Απορροή



Υπολεκάνη: EL0512FR1019

Έκταση (KM2) : 88.25

Κατάντη : J24

Μέθοδος Απωλειών: SCS

Ποσοστό αδιαπέρατης επιφάνειας	0
Αριθμός Καμπύλης Απορροής-CN	71.07
Αρχικές Απώλειες	20.68

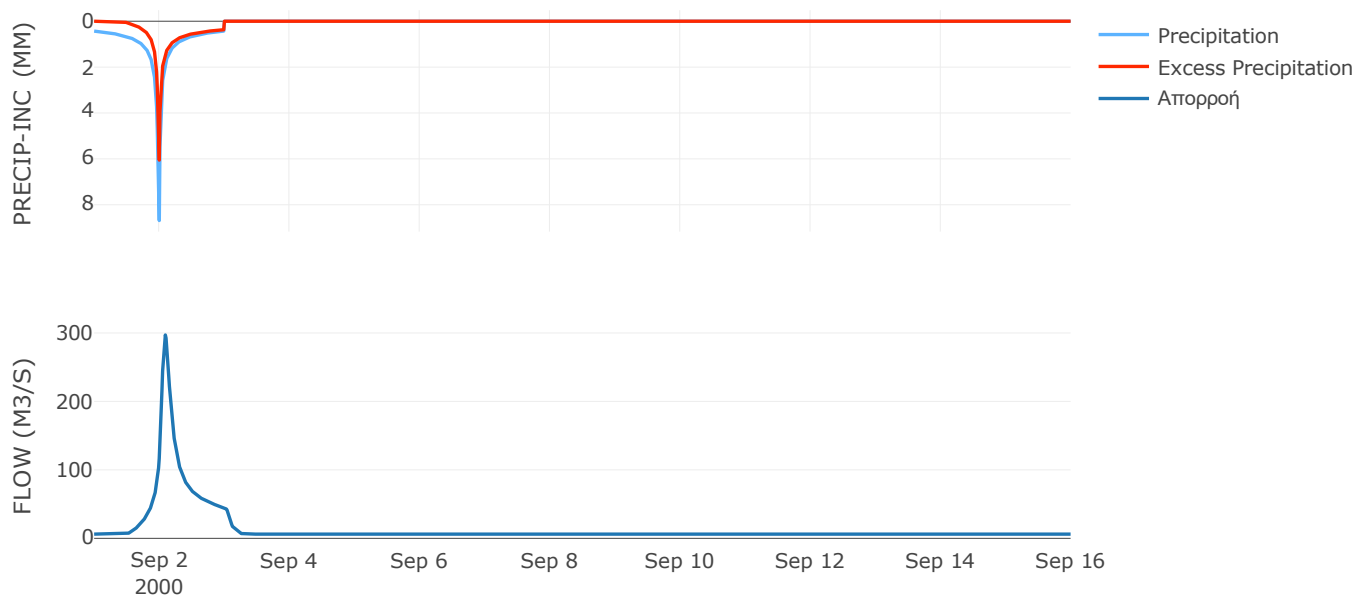
Μέθοδος
Μετασχηματισμού: SCS

Χρόνος Υστέρησης	118.24
------------------	--------

Αποτελέσματα:
EL0512FR1019

Παροχή αιχμής (M3/S)	297.12
Χρονική στιγμή αιχμής	02Sep2000, 02:15
Όγκος (MM)	203.63
Όγκος βροχόπτωσης (M3)	1.76E7
Όγκος απωλειών (M3)	7.6E6
Ενεργός Όγκος (M3)	9.96E6
Όγκος άμεσης απορροής (M3)	9.96E6
Όγκος βασικής απορροής (M3)	8.01E6

Βροχόπτωση και Απορροή



Υπολεκάνη: EL0512FR1020

Έκταση (KM2) : 29.81

Κατάντη : J23

Μέθοδος Απωλειών: SCS

Ποσοστό αδιαπέρατης επιφάνειας	0
Αριθμός Καμπύλης Απορροής-CN	69.78
Αρχικές Απώλειες	22

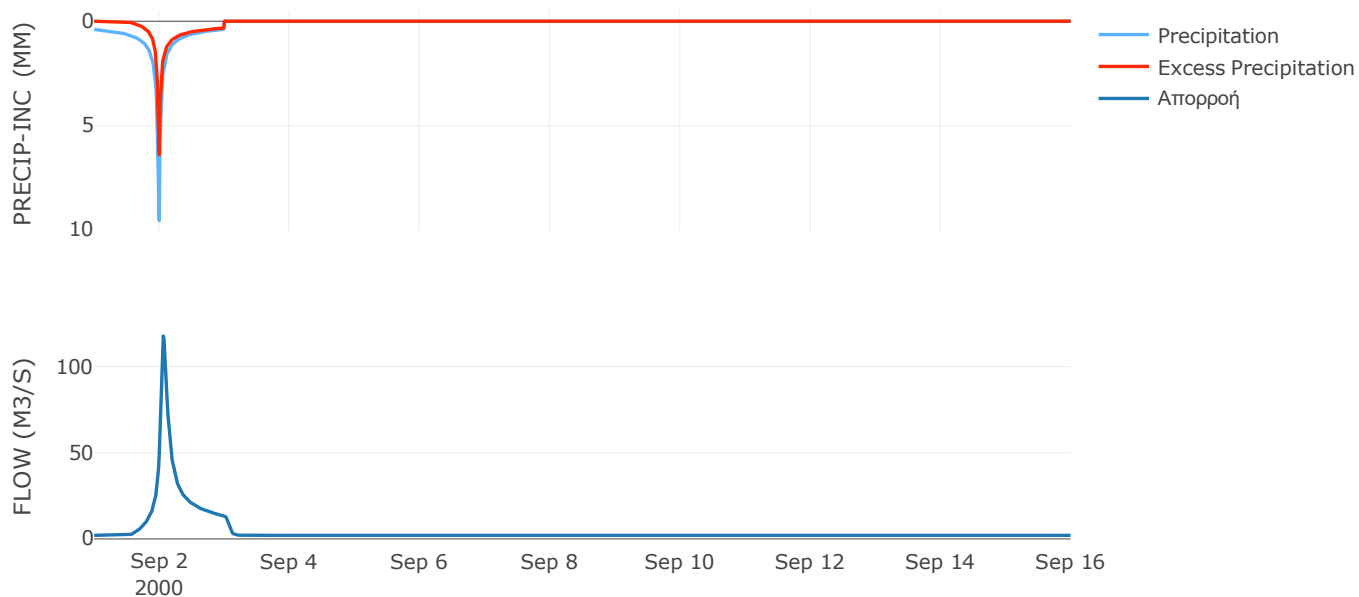
Μέθοδος
Μετασχηματισμού: SCS

Χρόνος Υστέρησης	82.89
------------------	-------

Αποτελέσματα:
EL0512FR1020

Παροχή αιχμής (M3/S)	117.76
Χρονική στιγμή αιχμής	02Sep2000, 01:30
Όγκος (MM)	195.77
Όγκος βροχόπτωσης (M3)	5.79E6
Όγκος απωλειών (M3)	2.66E6
Ενεργός Όγκος (M3)	3.13E6
Όγκος άμεσης απορροής (M3)	3.13E6
Όγκος βασικής απορροής (M3)	2.7E6

Βροχόπτωση και Απορροή



Υπολεκάνη: EL0512FR1021

Έκταση (KM2) : 1.65

Κατάντη : J23

Μέθοδος Απωλειών: SCS

Ποσοστό αδιαπέρατης επιφάνειας	0
Αριθμός Καμπύλης Απορροής-CN	53.33
Αρχικές Απώλειες	44.45

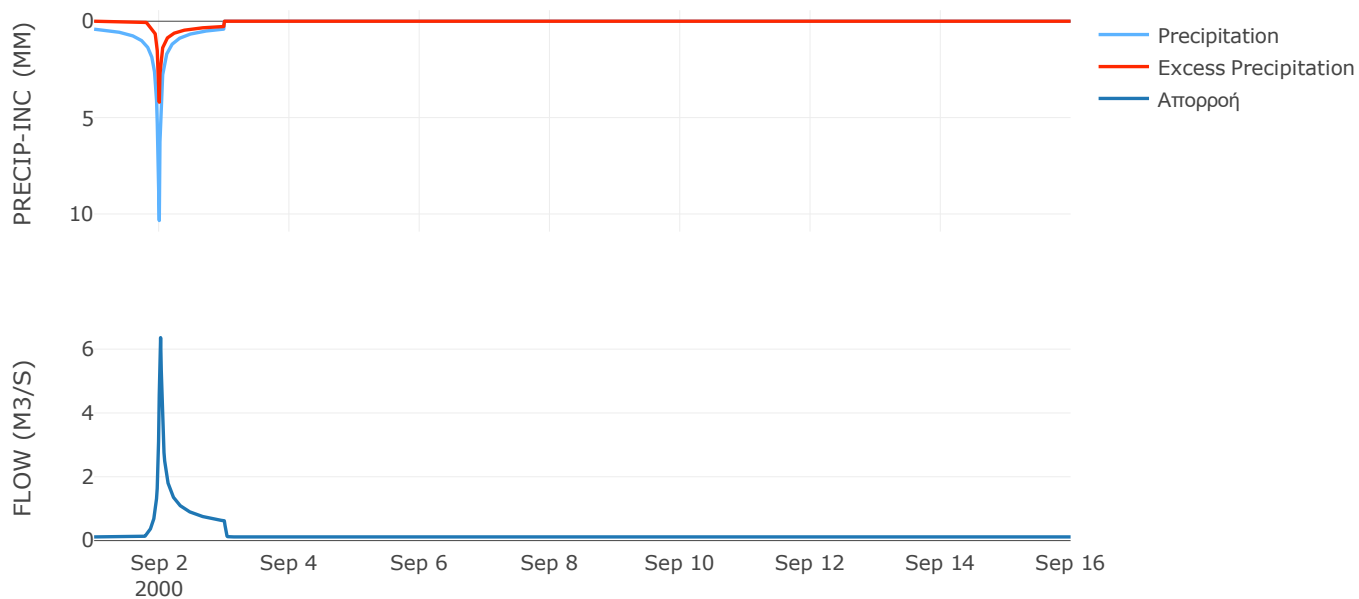
Μέθοδος
Μετασχηματισμού: SCS

Χρόνος Υστέρησης	17.86
------------------	-------

Αποτελέσματα:
EL0512FR1021

Παροχή αιχμής (M3/S)	6.36
Χρονική στιγμή αιχμής	02Sep2000, 00:30
Όγκος (MM)	159.91
Όγκος βροχόπτωσης (M3)	3.42E5
Όγκος απωλειών (M3)	2.28E5
Ενεργός Όγκος (M3)	1.14E5
Όγκος άμεσης απορροής (M3)	1.14E5
Όγκος βασικής απορροής (M3)	1.5E5

Βροχόπτωση και Απορροή



Υπολεκάνη: EL0512FR1024

Έκταση (KM2) : 104.31

Κατάντη : J13

Μέθοδος Απωλειών: SCS

Ποσοστό αδιαπέρατης επιφάνειας	0
Αριθμός Καμπύλης Απορροής-CN	75.83
Αρχικές Απώλειες	16.19

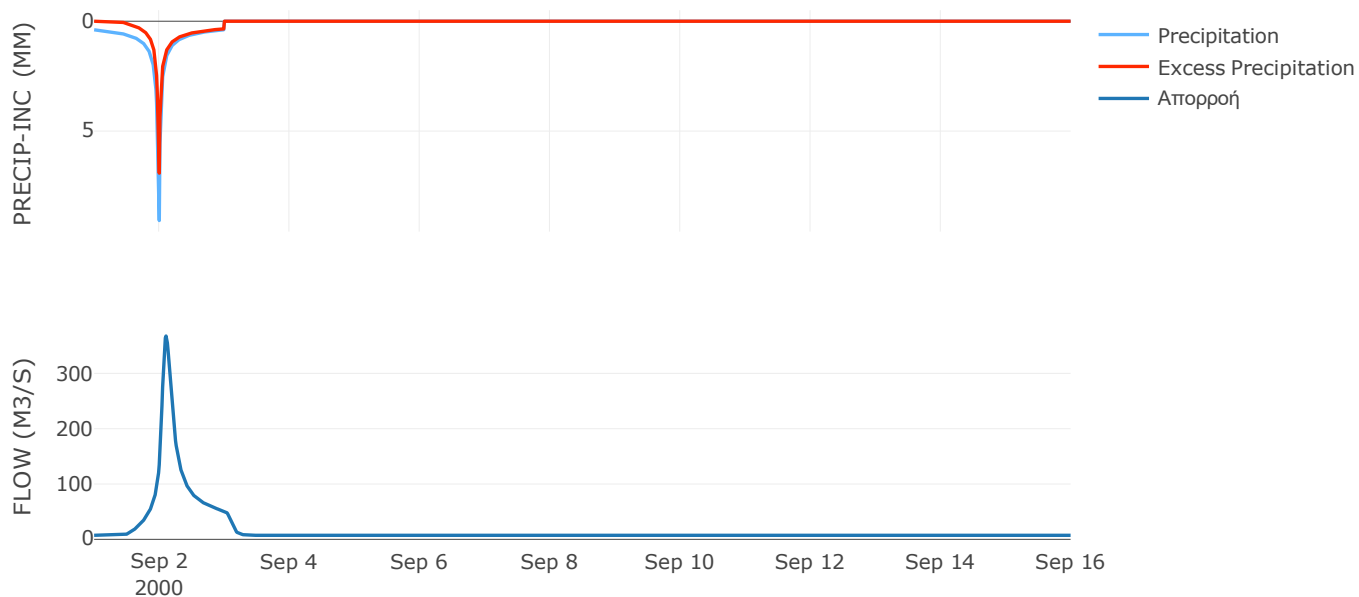
Μέθοδος
Μετασχηματισμού: SCS

Χρόνος Υστέρησης	136.81
------------------	--------

Αποτελέσματα:
EL0512FR1024

Παροχή αιχμής (M3/S)	367.57
Χρονική στιγμή αιχμής	02Sep2000, 02:30
Όγκος (MM)	209.96
Όγκος βροχόπτωσης (M3)	1.99E7
Όγκος απωλειών (M3)	7.46E6
Ενεργός Όγκος (M3)	1.24E7
Όγκος άμεσης απορροής (M3)	1.24E7
Όγκος βασικής απορροής (M3)	9.46E6

Βροχόπτωση και Απορροή



Υπολεκάνη: EL0512FR1025

Έκταση (KM2) : 99.97

Κατάντη : J13

Μέθοδος Απωλειών: SCS

Ποσοστό αδιαπέρατης επιφάνειας	0
Αριθμός Καμπύλης Απορροής-CN	74.06
Αρχικές Απώλειες	17.79

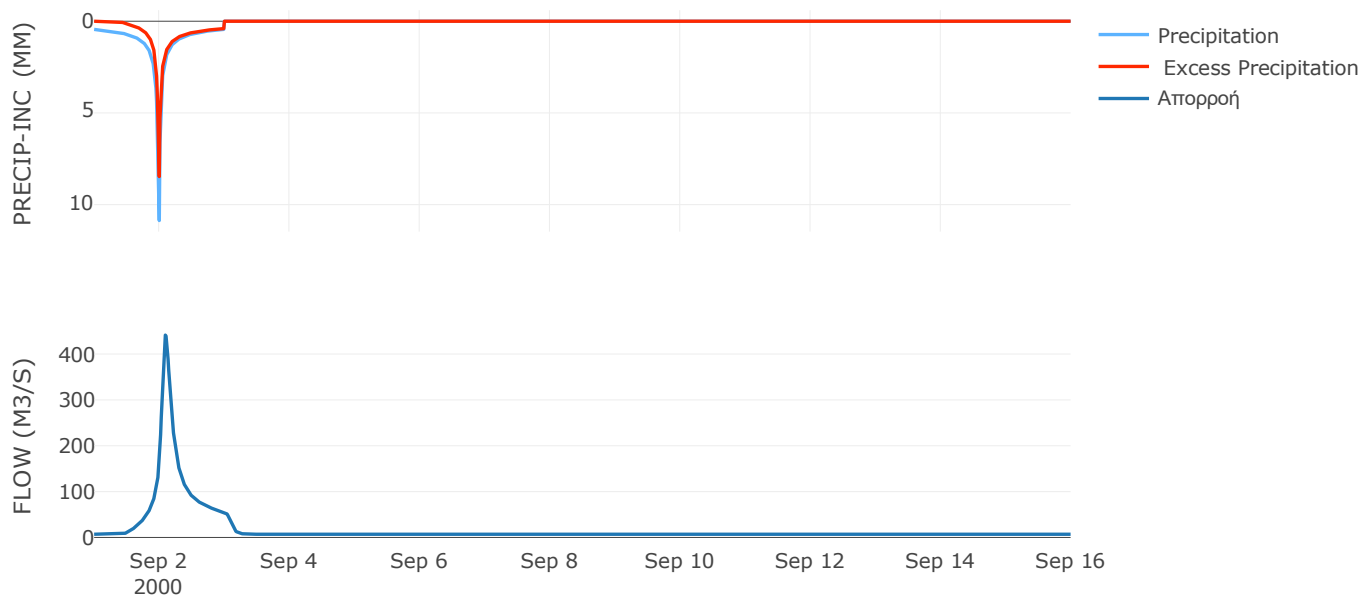
Μέθοδος
Μετασχηματισμού: SCS

Χρόνος Υστέρησης	127.22
------------------	--------

Αποτελέσματα:
EL0512FR1025

Παροχή αιχμής (M3/S)	441.39
Χρονική στιγμή αιχμής	02Sep2000, 02:15
Όγκος (MM)	233.26
Όγκος βροχόπτωσης (M3)	2.22E7
Όγκος απωλειών (M3)	7.98E6
Ενεργός Όγκος (M3)	1.42E7
Όγκος άμεσης απορροής (M3)	1.42E7
Όγκος βασικής απορροής (M3)	9.07E6

Βροχόπτωση και Απορροή



Υπολεκάνη: EL0512FR1026

Έκταση (KM2) : 78.82

Κατάνη : J12

Μέθοδος Απωλειών: SCS

Ποσοστό αδιαπέρατης επιφάνειας	0
Αριθμός Καμπύλης Απορροής-CN	64.62
Αρχικές Απώλειες	27.82

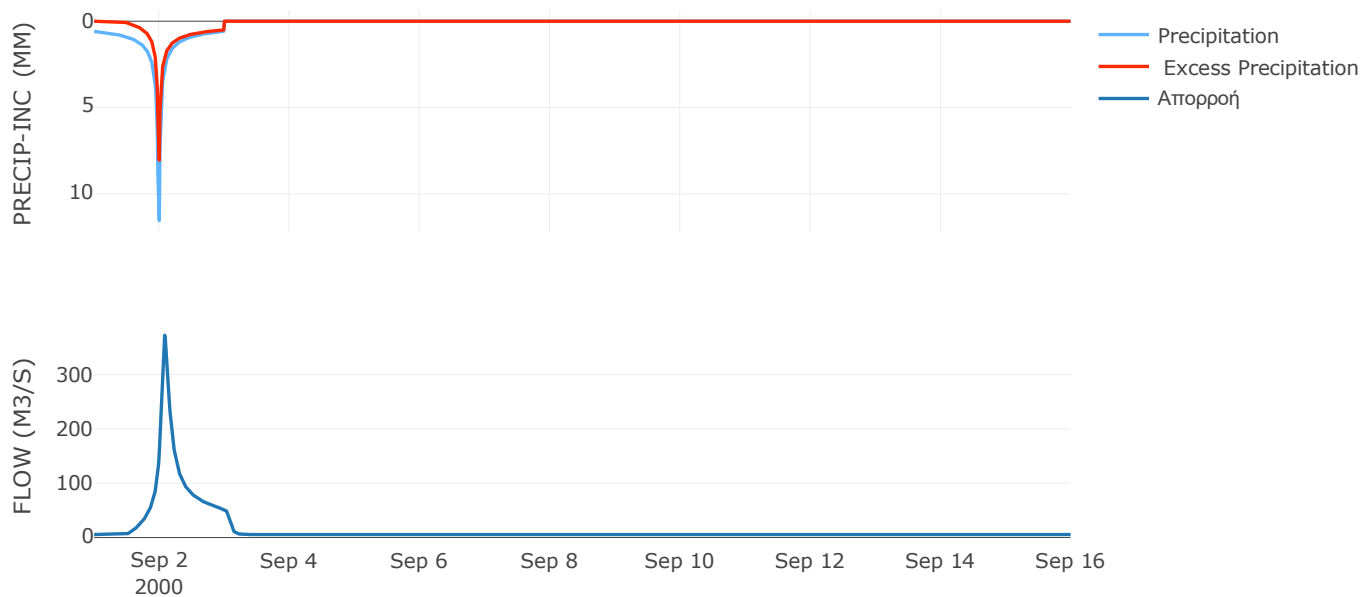
Μέθοδος
Μετασχηματισμού: SCS

Χρόνος Υστέρησης	103.85
------------------	--------

Αποτελέσματα:
EL0512FR1026

Παροχή αιχμής (M3/S)	372.14
Χρονική στιγμή αιχμής	02Sep2000, 02:00
Όγκος (MM)	243.14
Όγκος βροχόπτωσης (M3)	2.12E7
Όγκος απωλειών (M3)	9.14E6
Ενεργός Όγκος (M3)	1.2E7
Όγκος άμεσης απορροής (M3)	1.2E7
Όγκος βασικής απορροής (M3)	7.15E6

Βροχόπτωση και Απορροή



Υπολεκάνη: EL0512FR1027

Έκταση (KM2) : 79.87

Κατάντη : J31

Μέθοδος Απωλειών: SCS

Ποσοστό αδιαπέρατης επιφάνειας	0
Αριθμός Καμπύλης Απορροής-CN	65.3
Αρχικές Απώλειες	27

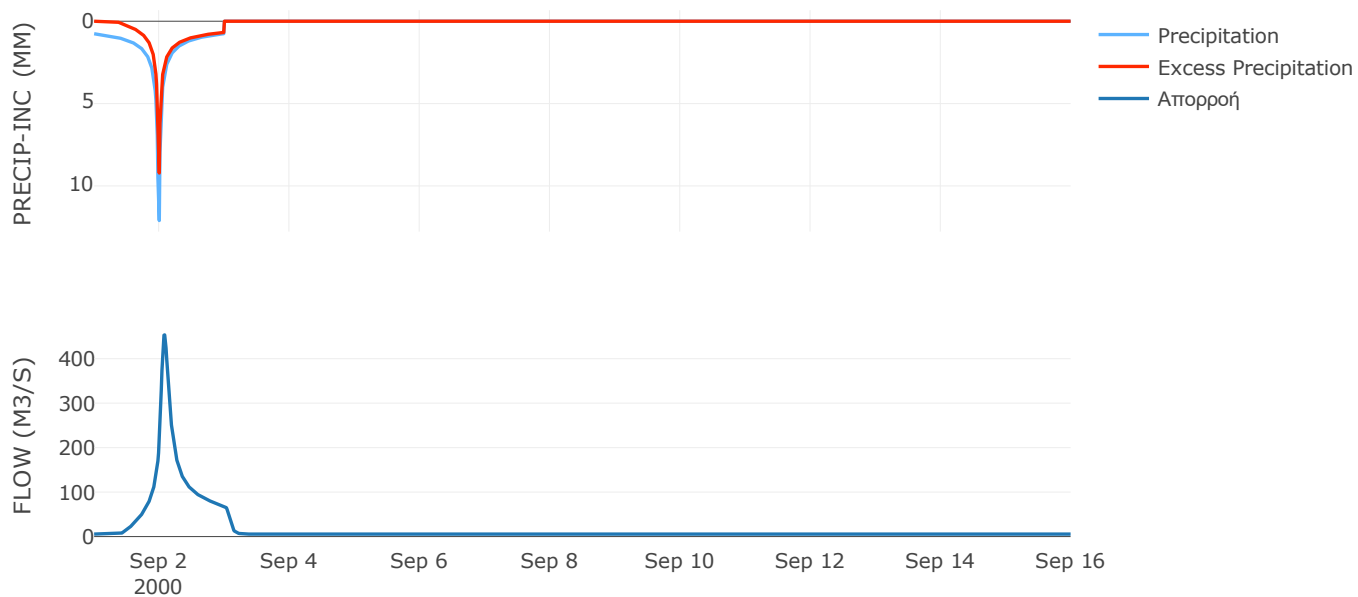
Μέθοδος
Μετασχηματισμού: SCS

Χρόνος Υστέρησης	102.62
------------------	--------

Αποτελέσματα:
EL0512FR1027

Παροχή αιχμής (M3/S)	453.47
Χρονική στιγμή αιχμής	02Sep2000, 02:00
Όγκος (MM)	292.95
Όγκος βροχόπτωσης (M3)	2.57E7
Όγκος απωλειών (M3)	9.55E6
Ενεργός Όγκος (M3)	1.62E7
Όγκος άμεσης απορροής (M3)	1.62E7
Όγκος βασικής απορροής (M3)	7.25E6

Βροχόπτωση και Απορροή



Υπολεκάνη: EL0512FR1028

Έκταση (KM2) : 92.8

Κατάντη : J31

Μέθοδος Απωλειών: SCS

Ποσοστό αδιαπέρατης επιφάνειας	0
Αριθμός Καμπύλης Απορροής-CN	73.1
Αρχικές Απώλειες	18.7

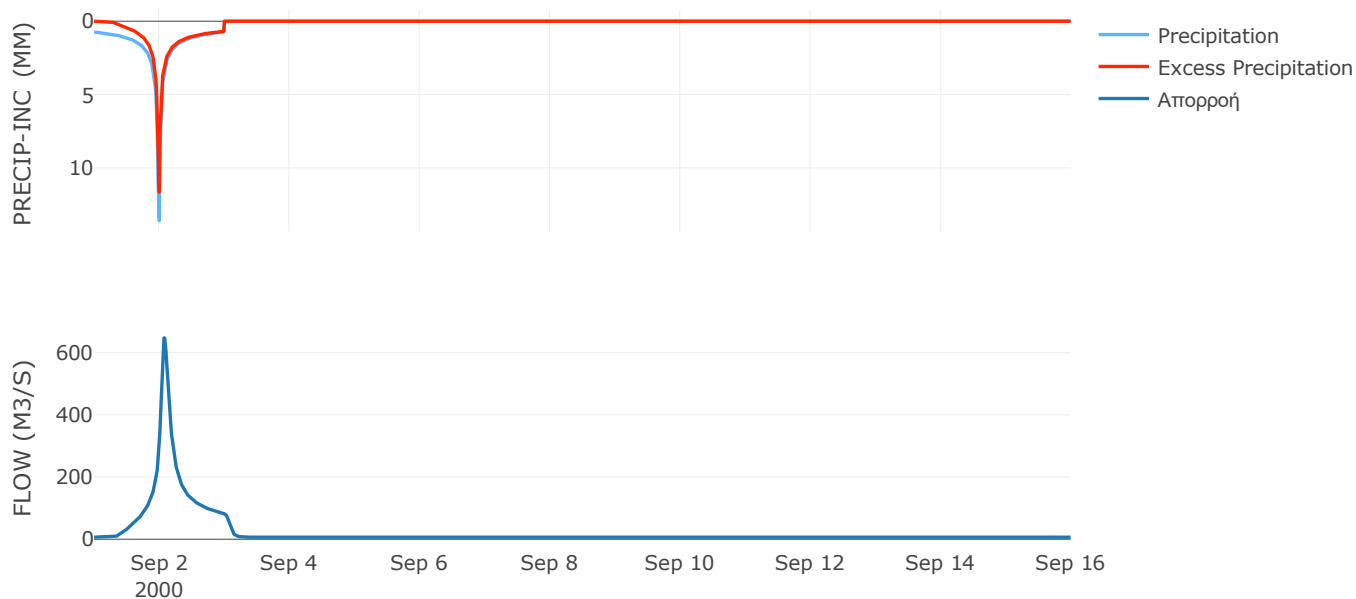
Μέθοδος
Μετασχηματισμού: SCS

Χρόνος Υστέρησης	104.94
------------------	--------

Αποτελέσματα:
EL0512FR1028

Παροχή αιχμής (M3/S)	647.58
Χρονική στιγμή αιχμής	02Sep2000, 02:00
Όγκος (MM)	328
Όγκος βροχόπτωσης (M3)	3.04E7
Όγκος απωλειών (M3)	8.4E6
Ενεργός Όγκος (M3)	2.2E7
Όγκος άμεσης απορροής (M3)	2.2E7
Όγκος βασικής απορροής (M3)	8.42E6

Βροχόπτωση και Απορροή



Υπολεκάνη: EL0512FR1029

Έκταση (KM2) : 88.68

Κατάντη : J22

Μέθοδος Απωλειών: SCS

Ποσοστό αδιαπέρατης επιφάνειας	0
Αριθμός Καμπύλης Απορροής-CN	67.31
Αρχικές Απώλειες	24.67

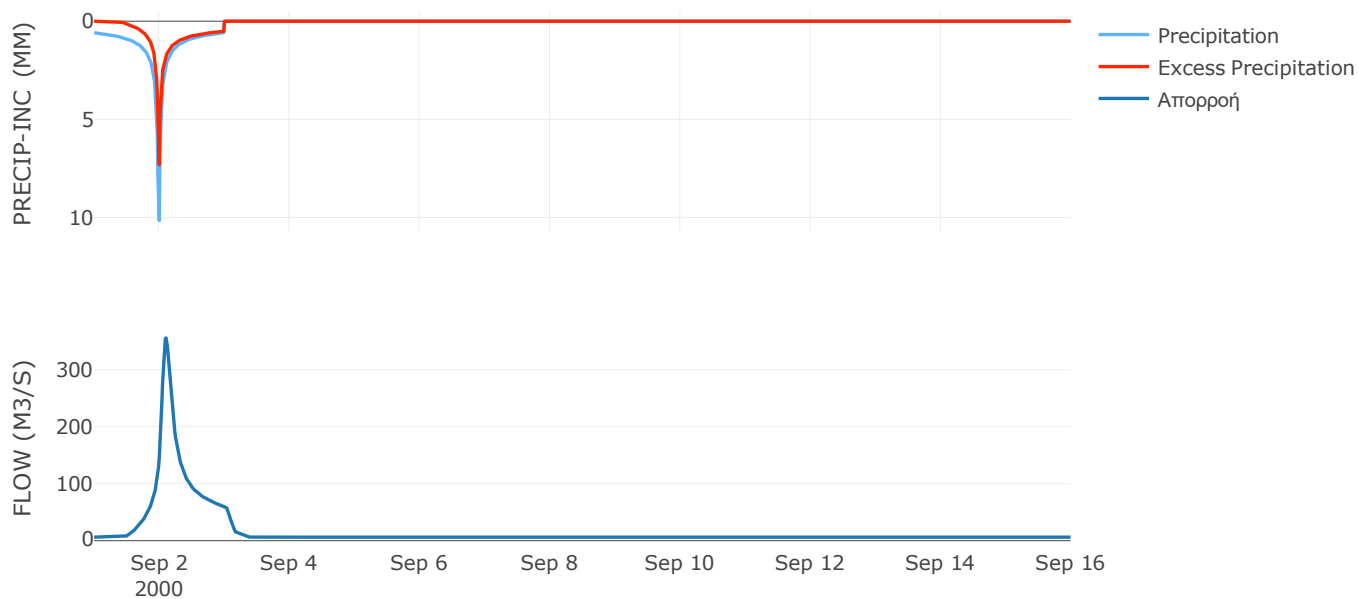
Μέθοδος
Μετασχηματισμού: SCS

Χρόνος Υστέρησης	131.29
------------------	--------

Αποτελέσματα:
EL0512FR1029

Παροχή αιχμής (M3/S)	355.91
Χρονική στιγμή αιχμής	02Sep2000, 02:30
Όγκος (MM)	241.5
Όγκος βροχόπτωσης (M3)	2.27E7
Όγκος απωλειών (M3)	9.32E6
Ενεργός Όγκος (M3)	1.34E7
Όγκος άμεσης απορροής (M3)	1.34E7
Όγκος βασικής απορροής (M3)	8.05E6

Βροχόπτωση και Απορροή



Υπολεκάνη: EL0512FR1030

Έκταση (KM2) : 54.36

Κατάντη : J22

Μέθοδος Απωλειών: SCS

Ποσοστό αδιαπέρατης επιφάνειας	0
Αριθμός Καμπύλης Απορροής-CN	53.41
Αρχικές Απώλειες	44.31

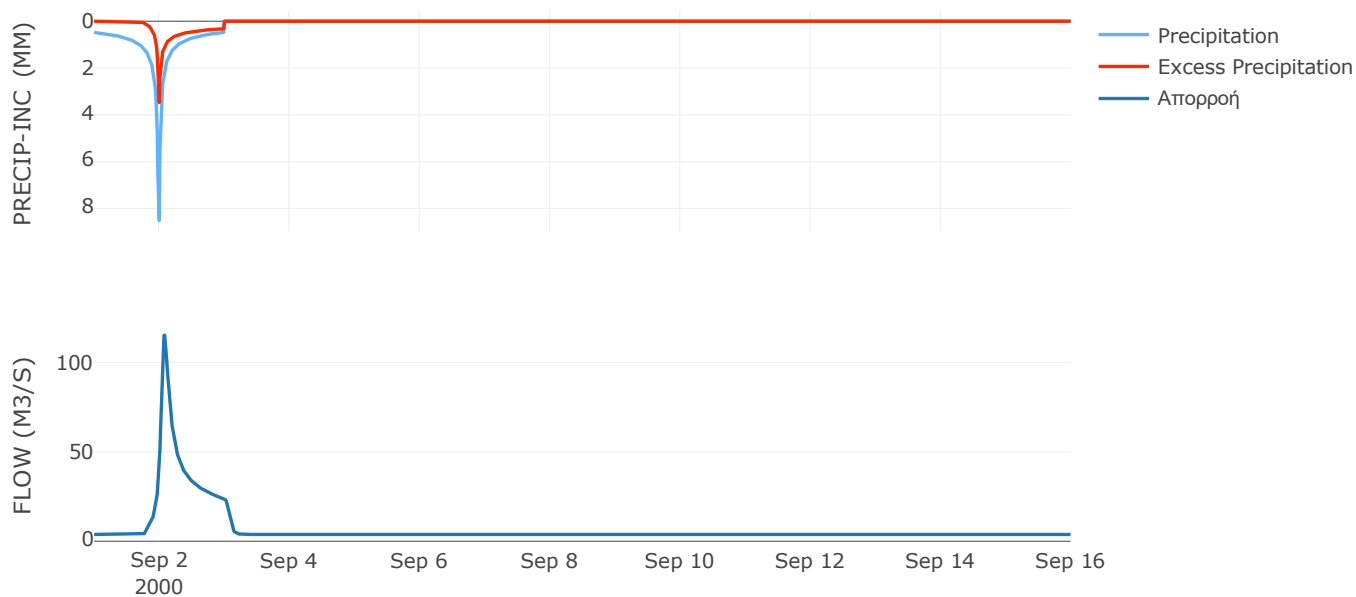
Μέθοδος
Μετασχηματισμού: SCS

Χρόνος Υστέρησης	93.36
------------------	-------

Αποτελέσματα:
EL0512FR1030

Παροχή αιχμής (M3/S)	115.44
Χρονική στιγμή αιχμής	02Sep2000, 02:00
Όγκος (MM)	162
Όγκος βροχόπτωσης (M3)	1.14E7
Όγκος απωλειών (M3)	7.57E6
Ενεργός Όγκος (M3)	3.88E6
Όγκος άμεσης απορροής (M3)	3.88E6
Όγκος βασικής απορροής (M3)	4.93E6

Βροχόπτωση και Απορροή



Υπολεκάνη: EL0512FR1031

Έκταση (KM2) : 44.83

Κατάντη : J14

Μέθοδος Απωλειών: SCS

Ποσοστό αδιαπέρατης επιφάνειας	0
Αριθμός Καμπύλης Απορροής-CN	62.5
Αρχικές Απώλειες	30.48

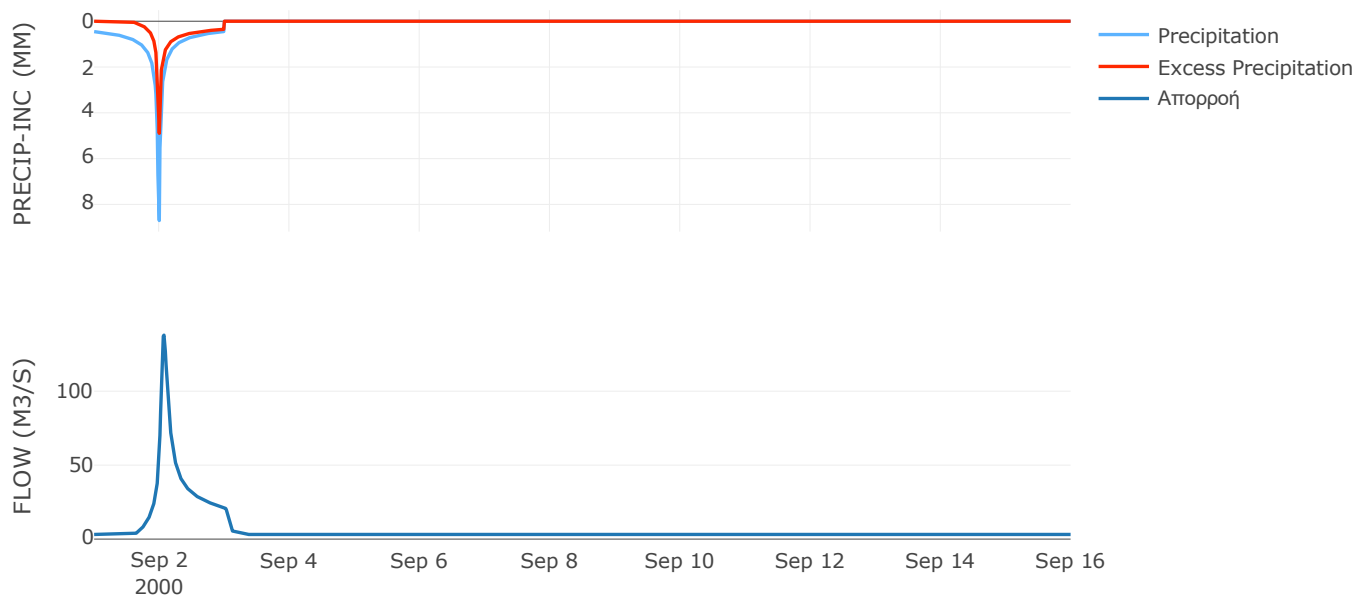
Μέθοδος
Μετασχηματισμού: SCS

Χρόνος Υστέρησης	86.4
------------------	------

Αποτελέσματα:
EL0512FR1031

Παροχή αιχμής (M3/S)	137.9
Χρονική στιγμή αιχμής	02Sep2000, 01:45
Όγκος (MM)	184.44
Όγκος βροχόπτωσης (M3)	9.22E6
Όγκος απωλειών (M3)	5.02E6
Ενεργός Όγκος (M3)	4.2E6
Όγκος άμεσης απορροής (M3)	4.2E6
Όγκος βασικής απορροής (M3)	4.07E6

Βροχόπτωση και Απορροή



Υπολεκάνη: EL0512FR1032

Έκταση (KM2) : 62.74

Κατάντη : J14

Μέθοδος Απωλειών: SCS

Ποσοστό αδιαπέρατης επιφάνειας	0
Αριθμός Καμπύλης Απορροής-CN	64.28
Αρχικές Απώλειες	28.23

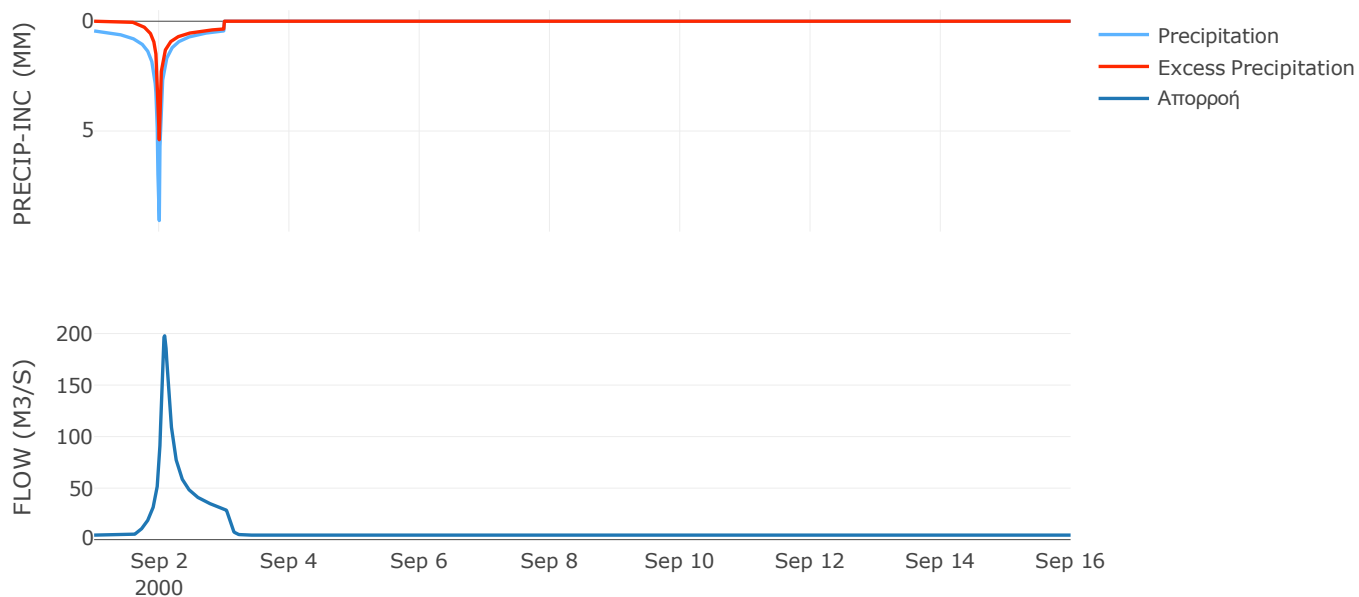
Μέθοδος
Μετασχηματισμού: SCS

Χρόνος Υστέρησης	101.69
------------------	--------

Αποτελέσματα:
EL0512FR1032

Παροχή αιχμής (M3/S)	197.8
Χρονική στιγμή αιχμής	02Sep2000, 02:00
Όγκος (MM)	189.73
Όγκος βροχόπτωσης (M3)	1.29E7
Όγκος απωλειών (M3)	6.71E6
Ενεργός Όγκος (M3)	6.21E6
Όγκος άμεσης απορροής (M3)	6.21E6
Όγκος βασικής απορροής (M3)	5.69E6

Βροχόπτωση και Απορροή



Υπολεκάνη: EL0512FR1033

Έκταση (KM2) : 25.85

Κατάντη : J30

Μέθοδος Απωλειών: SCS

Ποσοστό αδιαπέρατης επιφάνειας	0
Αριθμός Καμπύλης Απορροής-CN	62.61
Αρχικές Απώλειες	30.33

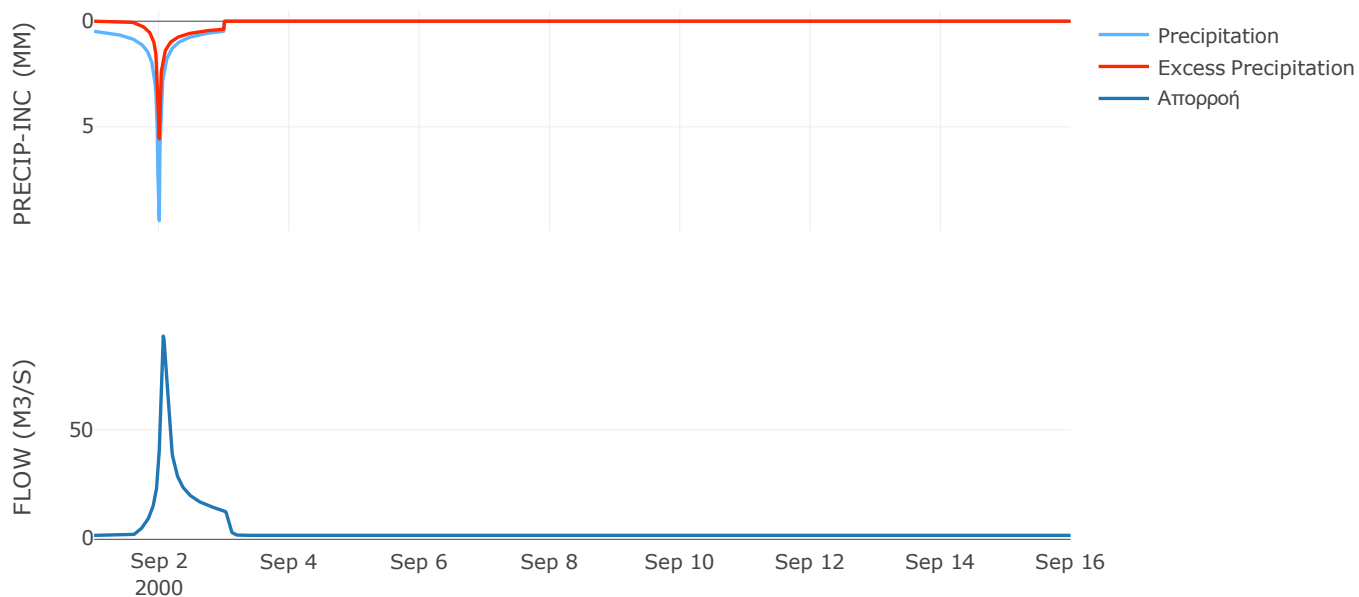
Μέθοδος
Μετασχηματισμού: SCS

Χρόνος Υστέρησης	80.25
------------------	-------

Αποτελέσματα:
EL0512FR1033

Παροχή αιχμής (M3/S)	92.73
Χρονική στιγμή αιχμής	02Sep2000, 01:30
Όγκος (MM)	195.23
Όγκος βροχόπτωσης (M3)	5.66E6
Όγκος απωλειών (M3)	2.96E6
Ενεργός Όγκος (M3)	2.7E6
Όγκος άμεσης απορροής (M3)	2.7E6
Όγκος βασικής απορροής (M3)	2.35E6

Βροχόπτωση και Απορροή



Υπολεκάνη: EL0512FR1034

Έκταση (KM2) : 4.71

Κατάντη : J20

Μέθοδος Απωλειών: SCS

Ποσοστό αδιαπέρατης επιφάνειας	0
Αριθμός Καμπύλης Απορροής-CN	68.09
Αρχικές Απώλειες	23.8

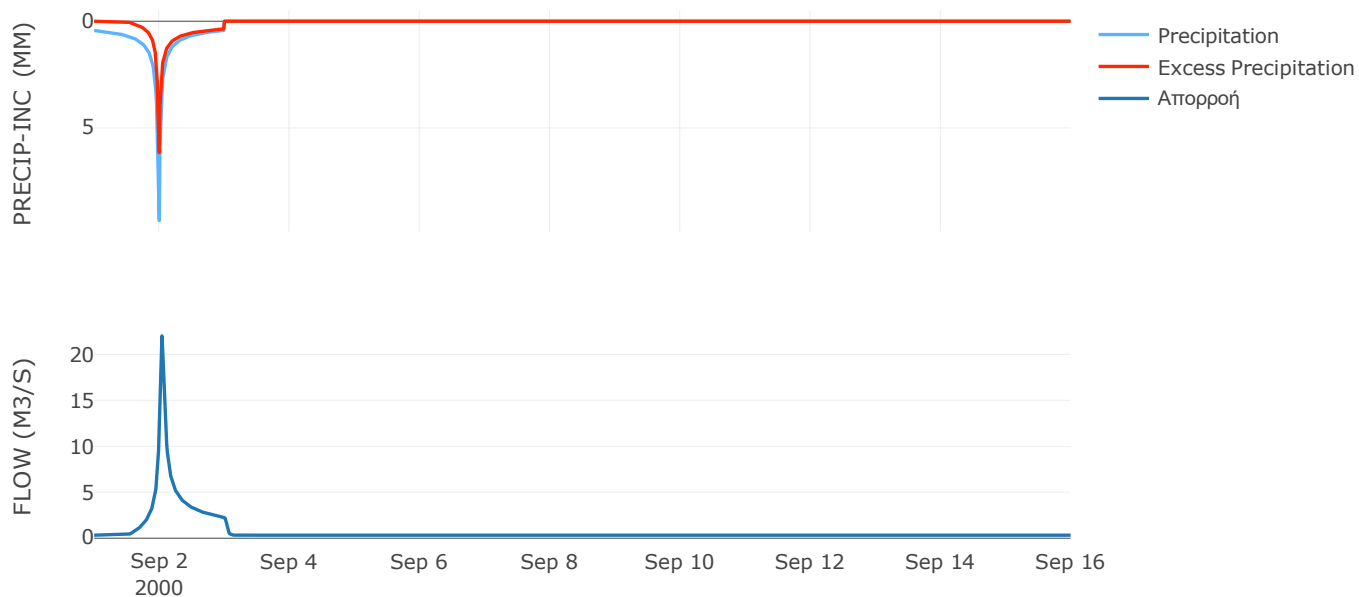
Μέθοδος
Μετασχηματισμού: SCS

Χρόνος Υστέρησης	48.13
------------------	-------

Αποτελέσματα:
EL0512FR1034

Παροχή αιχμής (M3/S)	22.01
Χρονική στιγμή αιχμής	02Sep2000, 01:00
Όγκος (MM)	200.4
Όγκος βροχόπτωσης (M3)	9.66E5
Όγκος απωλειών (M3)	4.5E5
Ενεργός Όγκος (M3)	5.16E5
Όγκος άμεσης απορροής (M3)	5.16E5
Όγκος βασικής απορροής (M3)	4.27E5

Βροχόπτωση και Απορροή



Υπολεκάνη: EL0512FR1035

Έκταση (KM2) : 3.15

Κατάντη : J16

Μέθοδος Απωλειών: SCS

Ποσοστό αδιαπέρατης επιφάνειας	0
Αριθμός Καμπύλης Απορροής-CN	72.22
Αρχικές Απώλειες	19.54

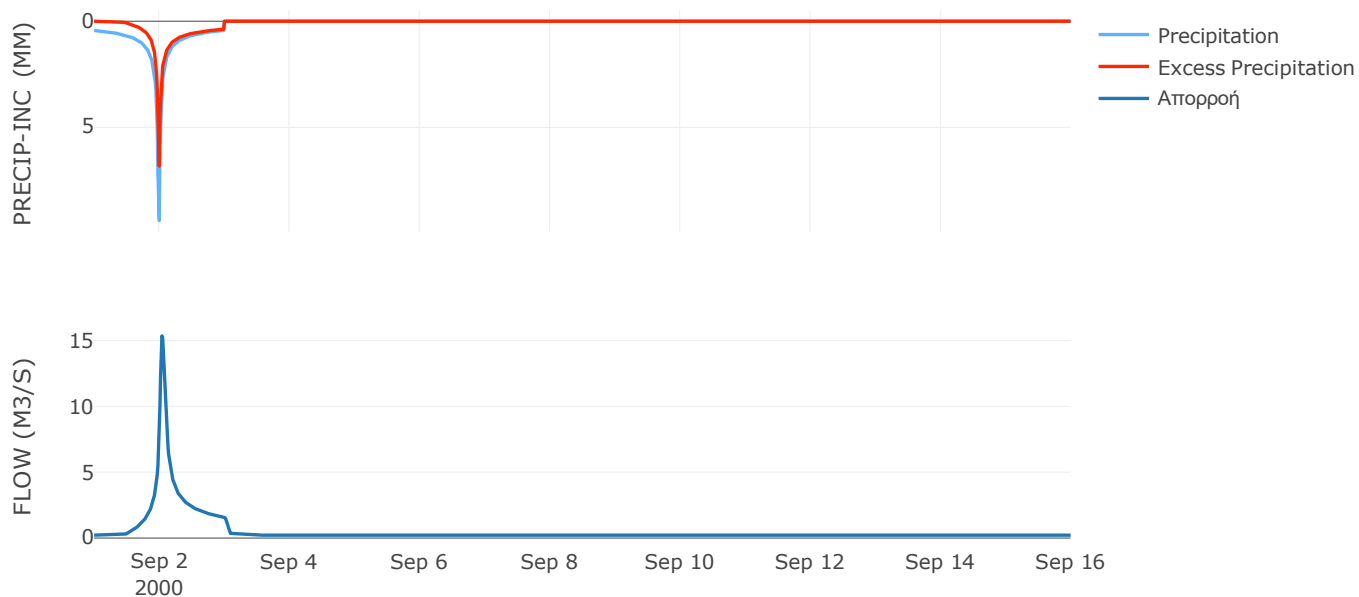
Μέθοδος
Μετασχηματισμού: SCS

Χρόνος Υστέρησης	59.19
------------------	-------

Αποτελέσματα:
EL0512FR1035

Παροχή αιχμής (M3/S)	15.35
Χρονική στιγμή αιχμής	02Sep2000, 01:00
Όγκος (MM)	212.51
Όγκος βροχόπτωσης (M3)	6.46E5
Όγκος απωλειών (M3)	2.63E5
Ενεργός Όγκος (M3)	3.83E5
Όγκος άμεσης απορροής (M3)	3.83E5
Όγκος βασικής απορροής (M3)	2.85E5

Βροχόπτωση και Απορροή



Υπολεκάνη: EL0512FR1036

Έκταση (KM2) : 1.14

Κατάντη : J16

Μέθοδος Απωλειών: SCS

Ποσοστό αδιαπέρατης επιφάνειας	0
Αριθμός Καμπύλης Απορροής-CN	79.34
Αρχικές Απώλειες	13.23

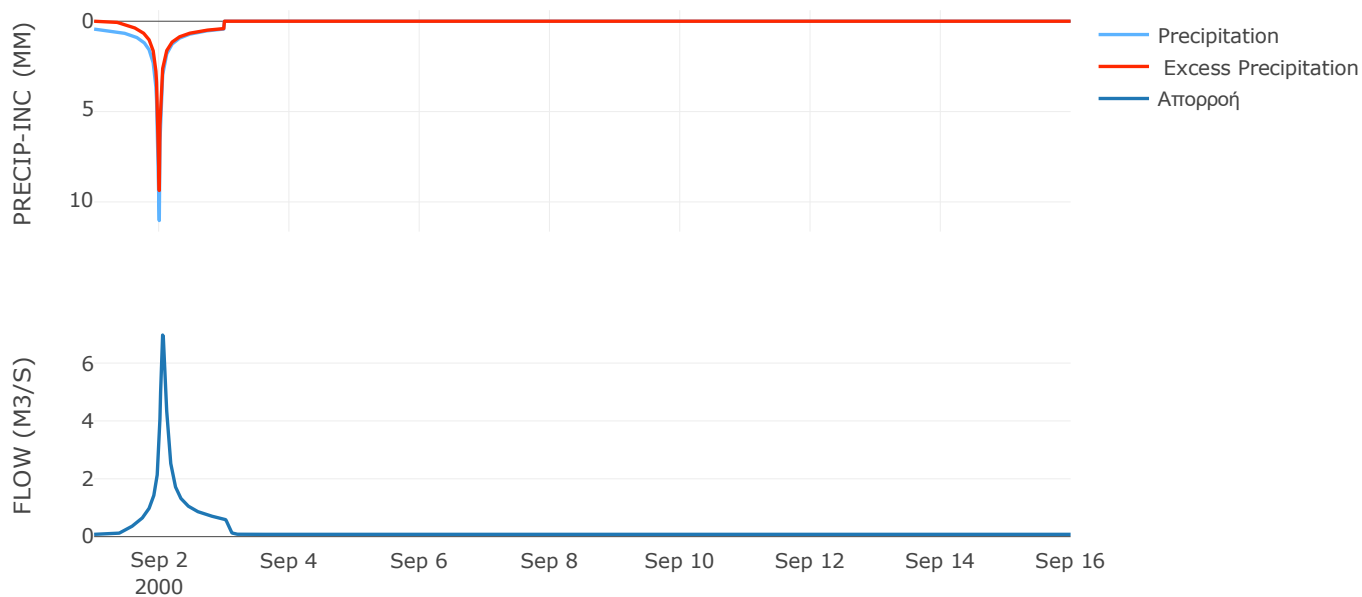
Μέθοδος
Μετασχηματισμού: SCS

Χρόνος Υστέρησης	74.73
------------------	-------

Αποτελέσματα:
EL0512FR1036

Παροχή αιχμής (M3/S)	6.97
Χρονική στιγμή αιχμής	02Sep2000, 01:15
Όγκος (MM)	247.9
Όγκος βροχόπτωσης (M3)	2.51E5
Όγκος απωλειών (M3)	71991.57
Ενεργός Όγκος (M3)	1.79E5
Όγκος άμεσης απορροής (M3)	1.79E5
Όγκος βασικής απορροής (M3)	1.03E5

Βροχόπτωση και Απορροή



Υπολεκάνη: EL0512FR1037

Έκταση (KM2) : 1.46

Κατάνη : J17

Μέθοδος Απωλειών: SCS

Ποσοστό αδιαπέρατης επιφάνειας	0
Αριθμός Καμπύλης Απορροής-CN	79.56
Αρχικές Απώλειες	13.05

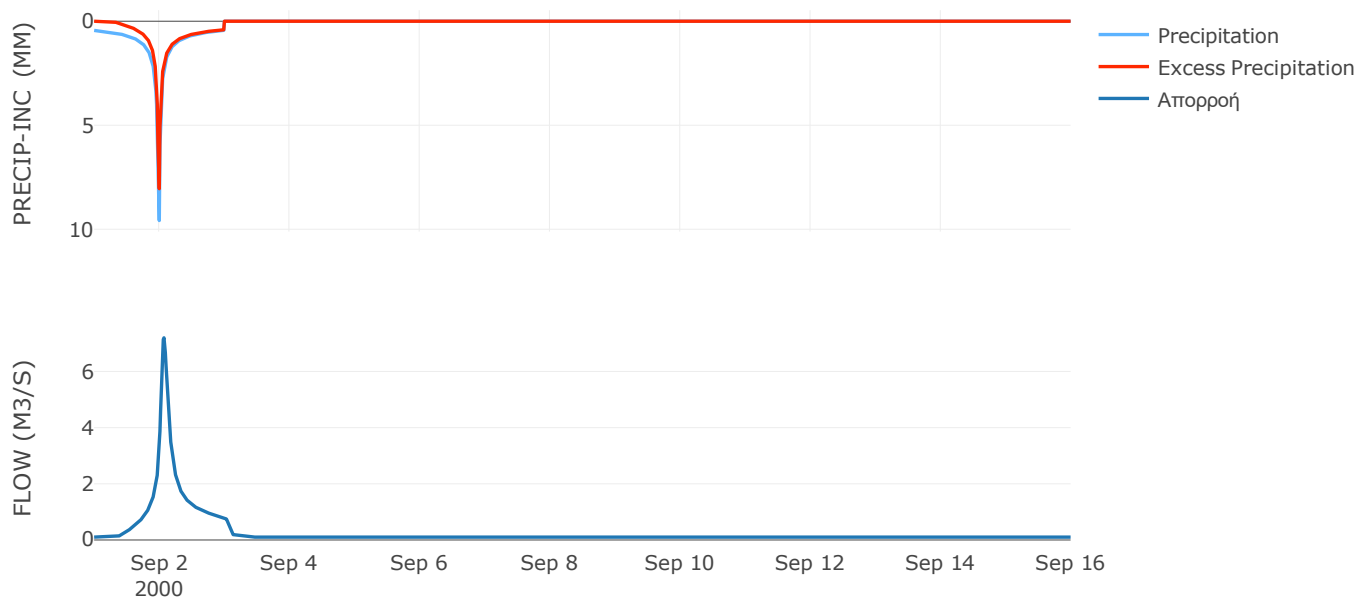
Μέθοδος
Μετασχηματισμού: SCS

Χρόνος Υστέρησης	93.93
------------------	-------

Αποτελέσματα:
EL0512FR1037

Παροχή αιχμής (M3/S)	7.2
Χρονική στιγμή αιχμής	02Sep2000, 01:45
Όγκος (MM)	238.63
Όγκος βροχόπτωσης (M3)	3.07E5
Όγκος απωλειών (M3)	90619.89
Ενεργός Όγκος (M3)	2.16E5
Όγκος άμεσης απορροής (M3)	2.16E5
Όγκος βασικής απορροής (M3)	1.32E5

Βροχόπτωση και Απορροή



Υπολεκάνη: EL0512FR1038

Έκταση (KM2) : 10.02

Κατάντη : J17

Μέθοδος Απωλειών: SCS

Ποσοστό αδιαπέρατης επιφάνειας	0
Αριθμός Καμπύλης Απορροής-CN	72.81
Αρχικές Απώλειες	18.97

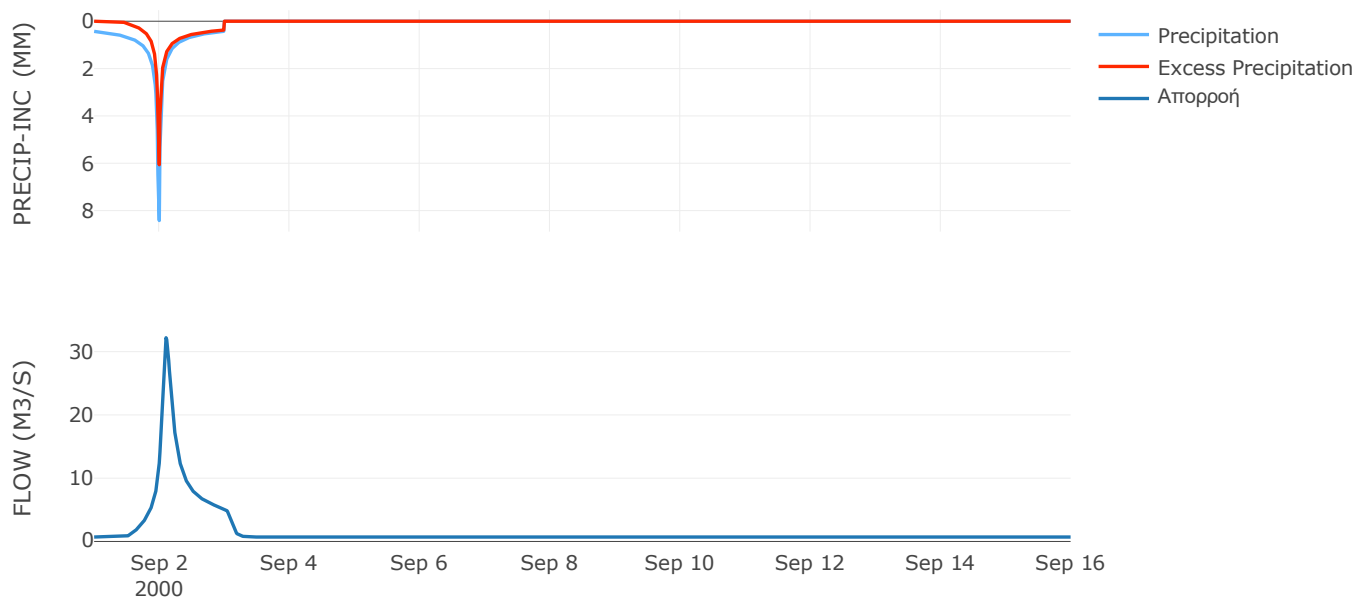
Μέθοδος
Μετασχηματισμού: SCS

Χρόνος Υστέρησης	134.93
------------------	--------

Αποτελέσματα:
EL0512FR1038

Παροχή αιχμής (M3/S)	32.2
Χρονική στιγμή αιχμής	02Sep2000, 02:30
Όγκος (MM)	206.03
Όγκος βροχόπτωσης (M3)	1.96E6
Όγκος απωλειών (M3)	8.09E5
Ενεργός Όγκος (M3)	1.16E6
Όγκος άμεσης απορροής (M3)	1.16E6
Όγκος βασικής απορροής (M3)	9.09E5

Βροχόπτωση και Απορροή



Υπολεκάνη: EL0512FR1039

Έκταση (KM2) : 30.28

Κατάντη : J15

Μέθοδος Απωλειών: SCS

Ποσοστό αδιαπέρατης επιφάνειας	0
Αριθμός Καμπύλης Απορροής-CN	66.79
Αρχικές Απώλειες	25.25

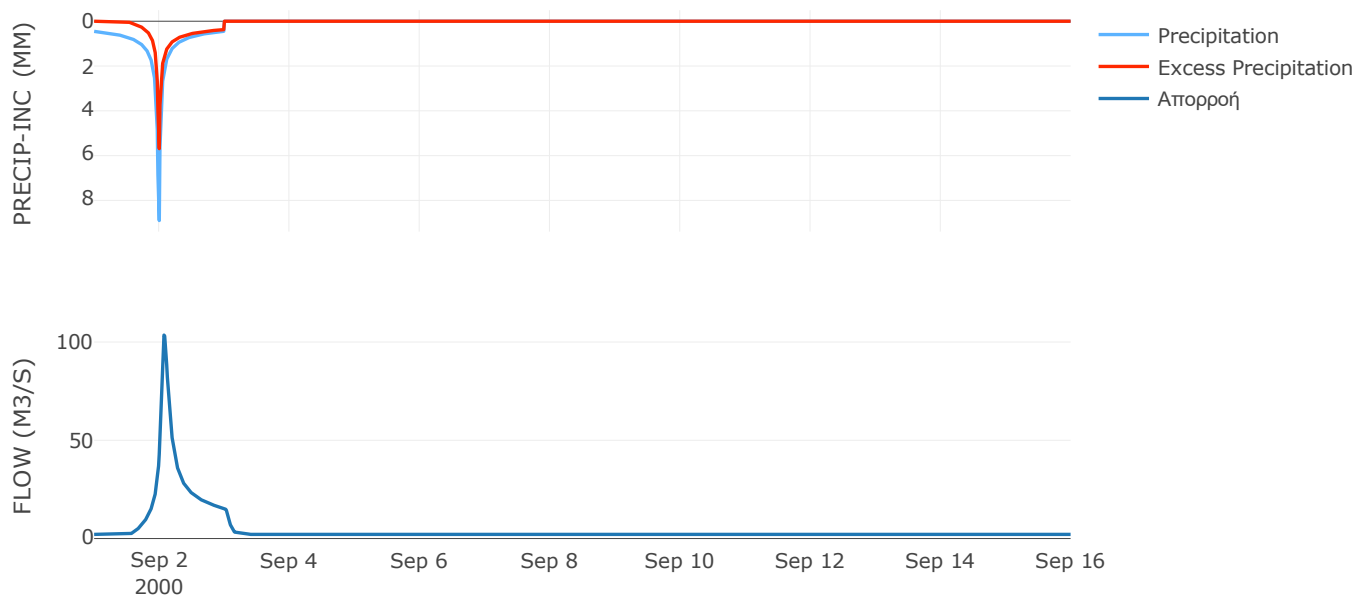
Μέθοδος
Μετασχηματισμού: SCS

Χρόνος Υστέρησης	97.45
------------------	-------

Αποτελέσματα:
EL0512FR1039

Παροχή αιχμής (M3/S)	103.54
Χρονική στιγμή αιχμής	02Sep2000, 01:45
Όγκος (MM)	198.08
Όγκος βροχόπτωσης (M3)	6.27E6
Όγκος απωλειών (M3)	3.02E6
Ενεργός Όγκος (M3)	3.25E6
Όγκος άμεσης απορροής (M3)	3.25E6
Όγκος βασικής απορροής (M3)	2.75E6

Βροχόπτωση και Απορροή



Υπολεκάνη: EL0512FR1040

Έκταση (KM2) : 14.45

Κατάντη : J16

Μέθοδος Απωλειών: SCS

Ποσοστό αδιαπέρατης επιφάνειας	0
Αριθμός Καμπύλης Απορροής-CN	64.06
Αρχικές Απώλειες	28.51

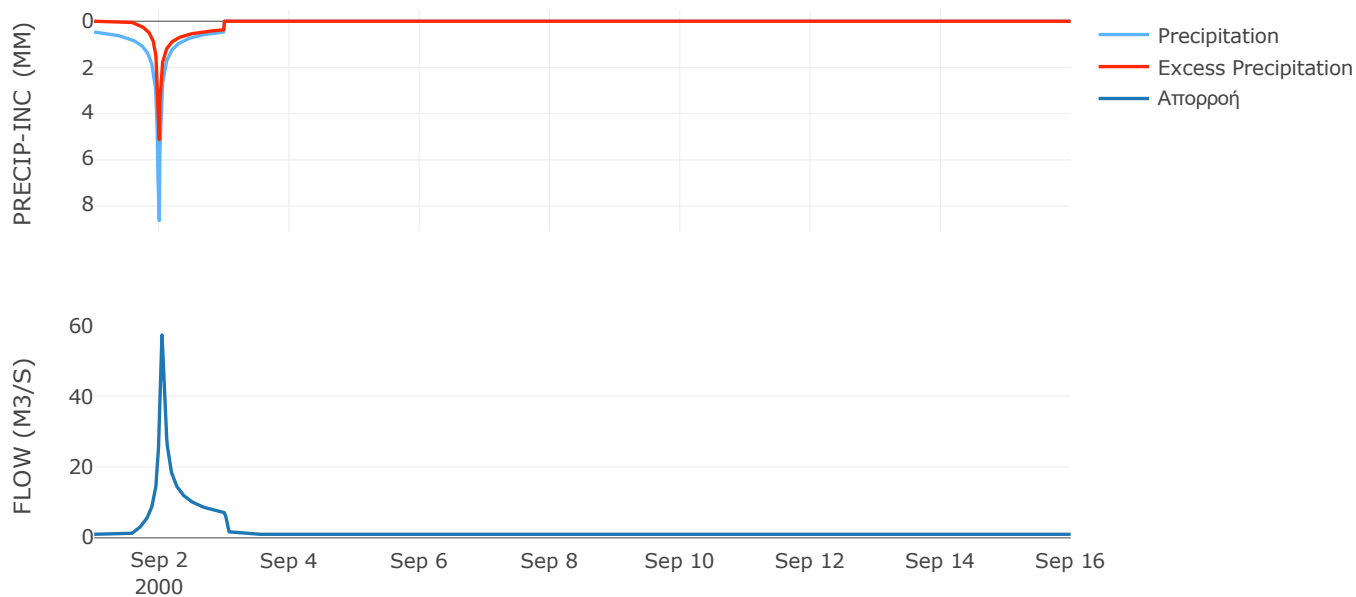
Μέθοδος
Μετασχηματισμού: SCS

Χρόνος Υστέρησης	46.83
------------------	-------

Αποτελέσματα:
EL0512FR1040

Παροχή αιχμής (M3/S)	57.26
Χρονική στιγμή αιχμής	02Sep2000, 01:00
Όγκος (MM)	191.15
Όγκος βροχόπτωσης (M3)	3.01E6
Όγκος απωλειών (M3)	1.56E6
Ενεργός Όγκος (M3)	1.45E6
Όγκος άμεσης απορροής (M3)	1.45E6
Όγκος βασικής απορροής (M3)	1.31E6

Βροχόπτωση και Απορροή



Υπολεκάνη: EL0512FR1041

Έκταση (KM2) : 37.27

Κατάντη : J29

Μέθοδος Απωλειών: SCS

Ποσοστό αδιαπέρατης επιφάνειας	0
Αριθμός Καμπύλης Απορροής-CN	64.1
Αρχικές Απώλειες	28.45

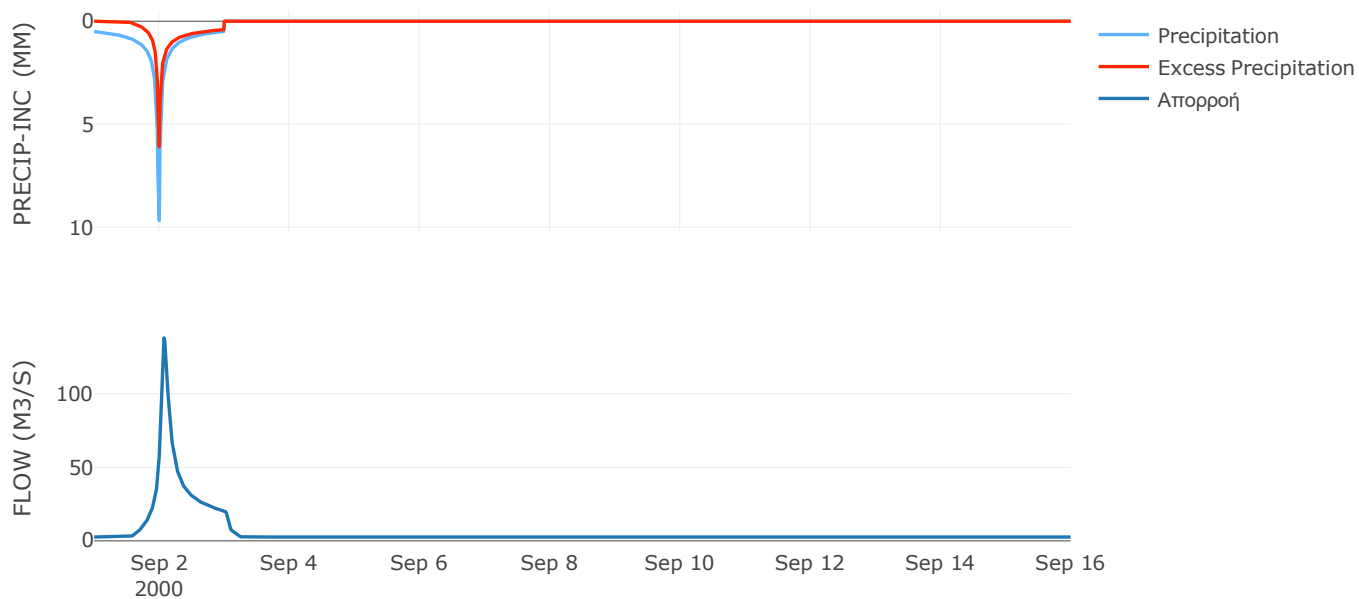
Μέθοδος
Μετασχηματισμού: SCS

Χρόνος Υστέρησης	94.82
------------------	-------

Αποτελέσματα:
EL0512FR1041

Παροχή αιχμής (M3/S)	138.06
Χρονική στιγμή αιχμής	02Sep2000, 01:45
Όγκος (MM)	206.59
Όγκος βροχόπτωσης (M3)	8.47E6
Όγκος απωλειών (M3)	4.15E6
Ενεργός Όγκος (M3)	4.32E6
Όγκος άμεσης απορροής (M3)	4.32E6
Όγκος βασικής απορροής (M3)	3.38E6

Βροχόπτωση και Απορροή



Υπολεκάνη: EL0512FR1042

Έκταση (KM2) : 72.53

Κατάντη : J20

Μέθοδος Απωλειών: SCS

Ποσοστό αδιαπέρατης επιφάνειας	0
Αριθμός Καμπύλης Απορροής-CN	59.69
Αρχικές Απώλειες	34.3

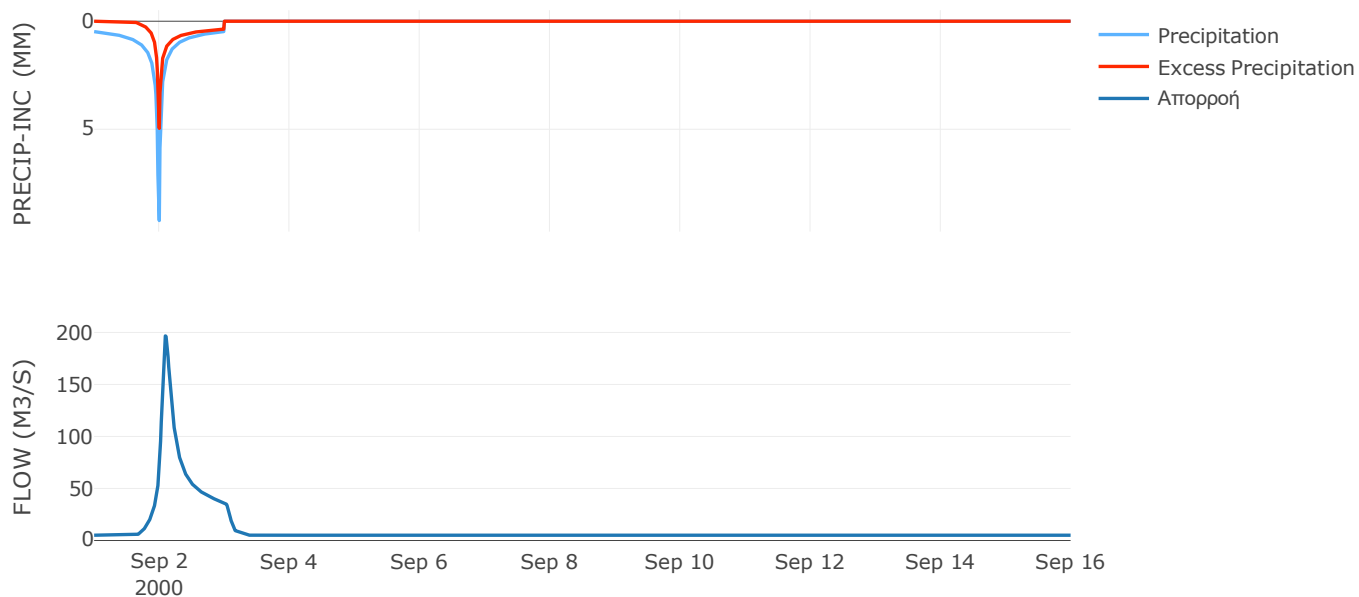
Μέθοδος
Μετασχηματισμού: SCS

Χρόνος Υστέρησης	121.09
------------------	--------

Αποτελέσματα:
EL0512FR1042

Παροχή αιχμής (M3/S)	196.67
Χρονική στιγμή αιχμής	02Sep2000, 02:15
Όγκος (MM)	185.82
Όγκος βροχόπτωσης (M3)	1.58E7
Όγκος απωλειών (M3)	8.92E6
Ενεργός Όγκος (M3)	6.9E6
Όγκος άμεσης απορροής (M3)	6.9E6
Όγκος βασικής απορροής (M3)	6.58E6

Βροχόπτωση και Απορροή



Υπολεκάνη: EL0512FR1043

Έκταση (KM2) : 13.21

Κατάντη : J21

Μέθοδος Απωλειών: SCS

Ποσοστό αδιαπέρατης επιφάνειας	0
Αριθμός Καμπύλης Απορροής-CN	54.63
Αρχικές Απώλειες	42.19

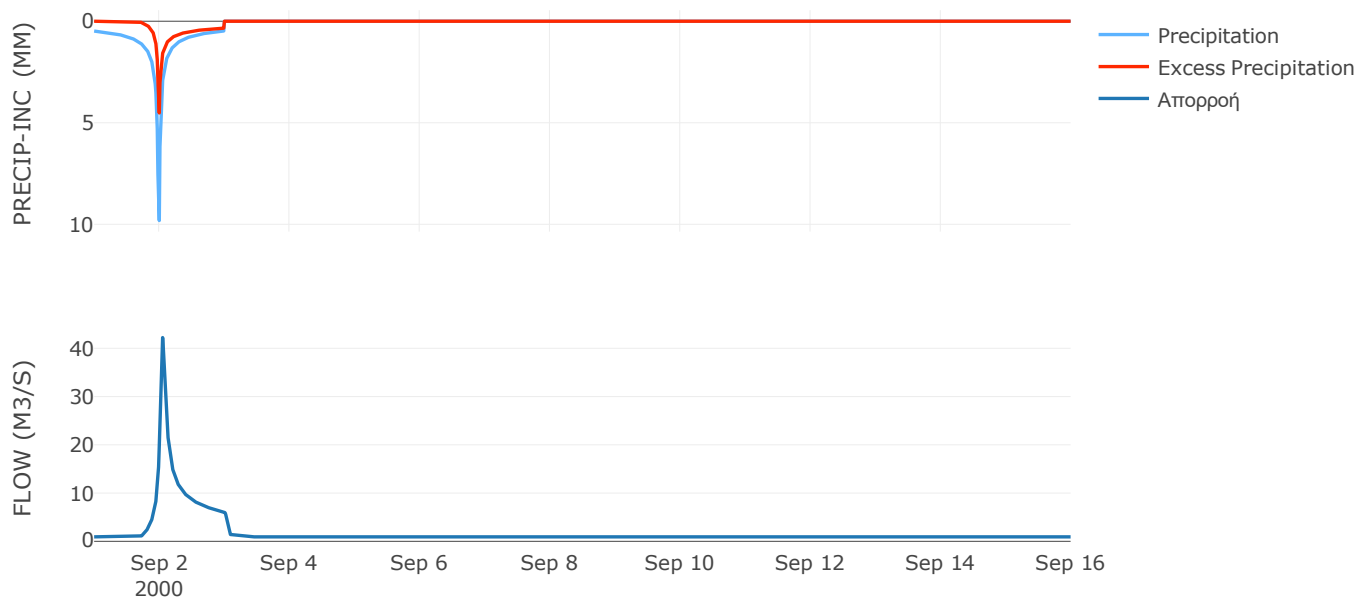
Μέθοδος
Μετασχηματισμού: SCS

Χρόνος Υστέρησης	58.04
------------------	-------

Αποτελέσματα:
EL0512FR1043

Παροχή αιχμής (M3/S)	42.23
Χρονική στιγμή αιχμής	02Sep2000, 01:15
Όγκος (MM)	174.95
Όγκος βροχόπτωσης (M3)	2.96E6
Όγκος απωλειών (M3)	1.85E6
Ενεργός Όγκος (M3)	1.11E6
Όγκος άμεσης απορροής (M3)	1.11E6
Όγκος βασικής απορροής (M3)	1.2E6

Βροχόπτωση και Απορροή



Υπολεκάνη: EL0512FR1044

Έκταση (KM2) : 23.96

Κατάντη : J19

Μέθοδος Απωλειών: SCS

Ποσοστό αδιαπέρατης επιφάνειας	0
Αριθμός Καμπύλης Απορροής-CN	55.6
Αρχικές Απώλειες	40.56

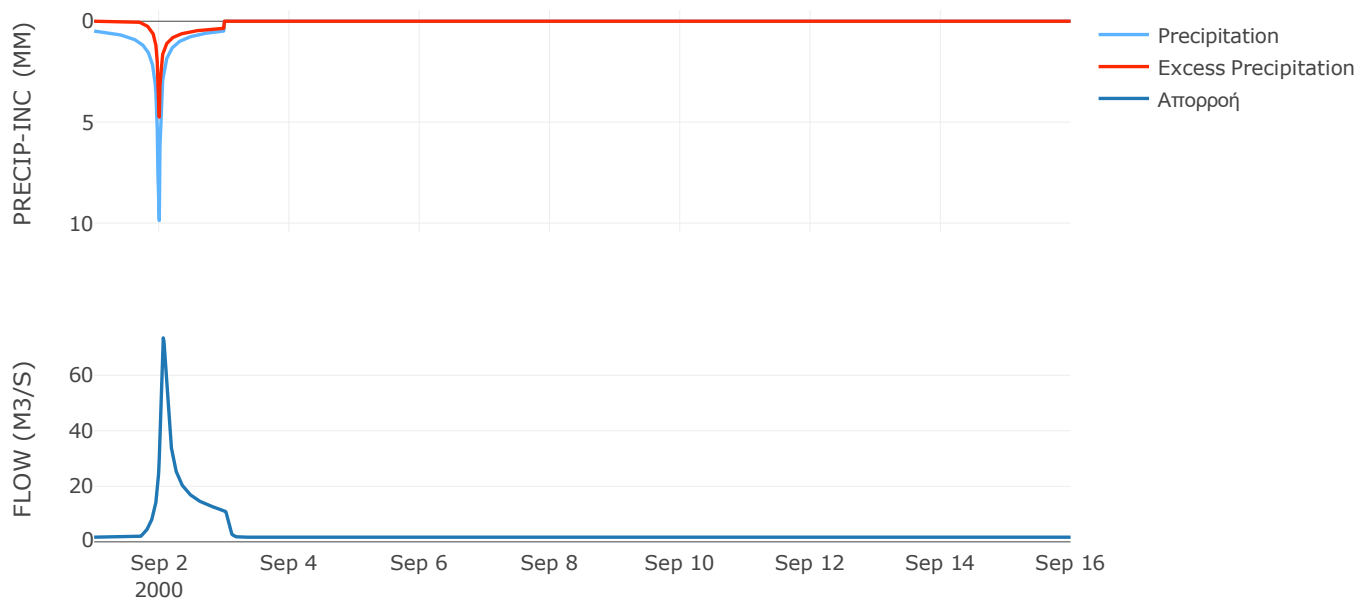
Μέθοδος
Μετασχηματισμού: SCS

Χρόνος Υστέρησης	77.1
------------------	------

Αποτελέσματα:
EL0512FR1044

Παροχή αιχμής (M3/S)	73.44
Χρονική στιγμή αιχμής	02Sep2000, 01:30
Όγκος (MM)	179.23
Όγκος βροχόπτωσης (M3)	5.41E6
Όγκος απωλειών (M3)	3.29E6
Ενεργός Όγκος (M3)	2.12E6
Όγκος άμεσης απορροής (M3)	2.12E6
Όγκος βασικής απορροής (M3)	2.17E6

Βροχόπτωση και Απορροή



Υπολεκάνη: EL0512FR1045

Έκταση (KM2) : 15.22

Κατάντη : J18

Μέθοδος Απωλειών: SCS

Ποσοστό αδιαπέρατης επιφάνειας	0
Αριθμός Καμπύλης Απορροής-CN	52.28
Αρχικές Απώλειες	46.38

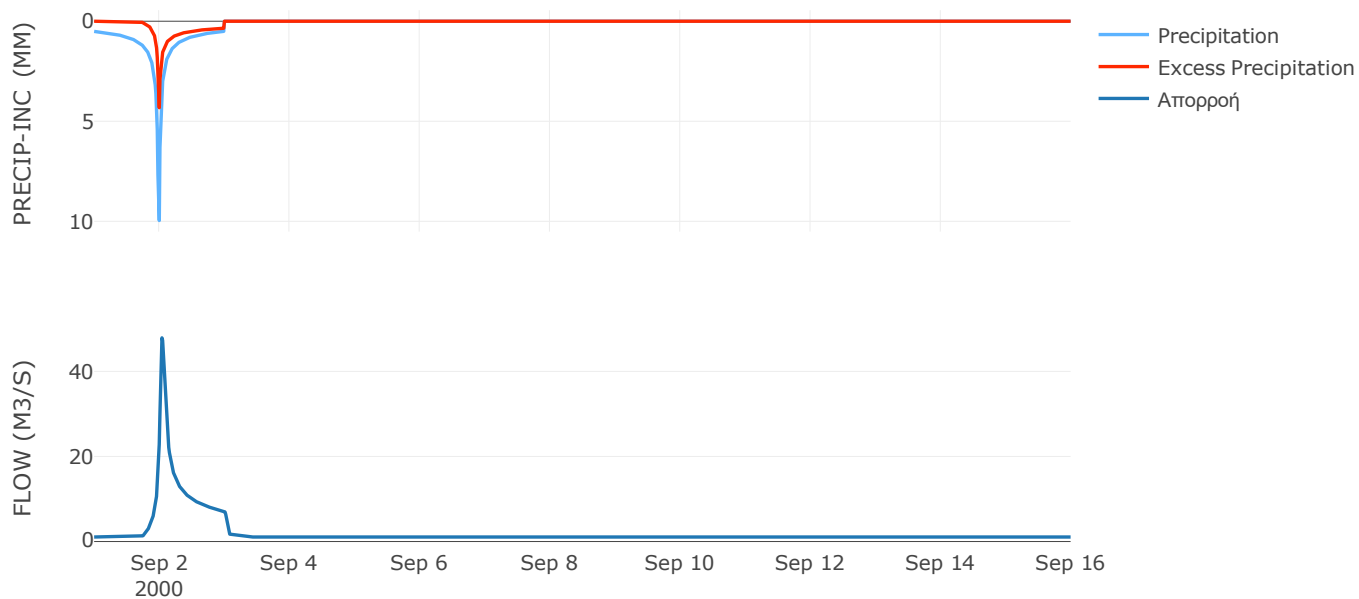
Μέθοδος
Μετασχηματισμού: SCS

Χρόνος Υστέρησης	53.6
------------------	------

Αποτελέσματα:
EL0512FR1045

Παροχή αιχμής (M3/S)	47.9
Χρονική στιγμή αιχμής	02Sep2000, 01:00
Όγκος (MM)	173.67
Όγκος βροχόπτωσης (M3)	3.54E6
Όγκος απωλειών (M3)	2.28E6
Ενεργός Όγκος (M3)	1.26E6
Όγκος άμεσης απορροής (M3)	1.26E6
Όγκος βασικής απορροής (M3)	1.38E6

Βροχόπτωση και Απορροή



Υπολεκάνη: EL0512FR1046

Έκταση (KM2) : 123.67

Κατάντη : J19

Μέθοδος Απωλειών: SCS

Ποσοστό αδιαπέρατης επιφάνειας	0
Αριθμός Καμπύλης Απορροής-CN	61.47
Αρχικές Απώλειες	31.84

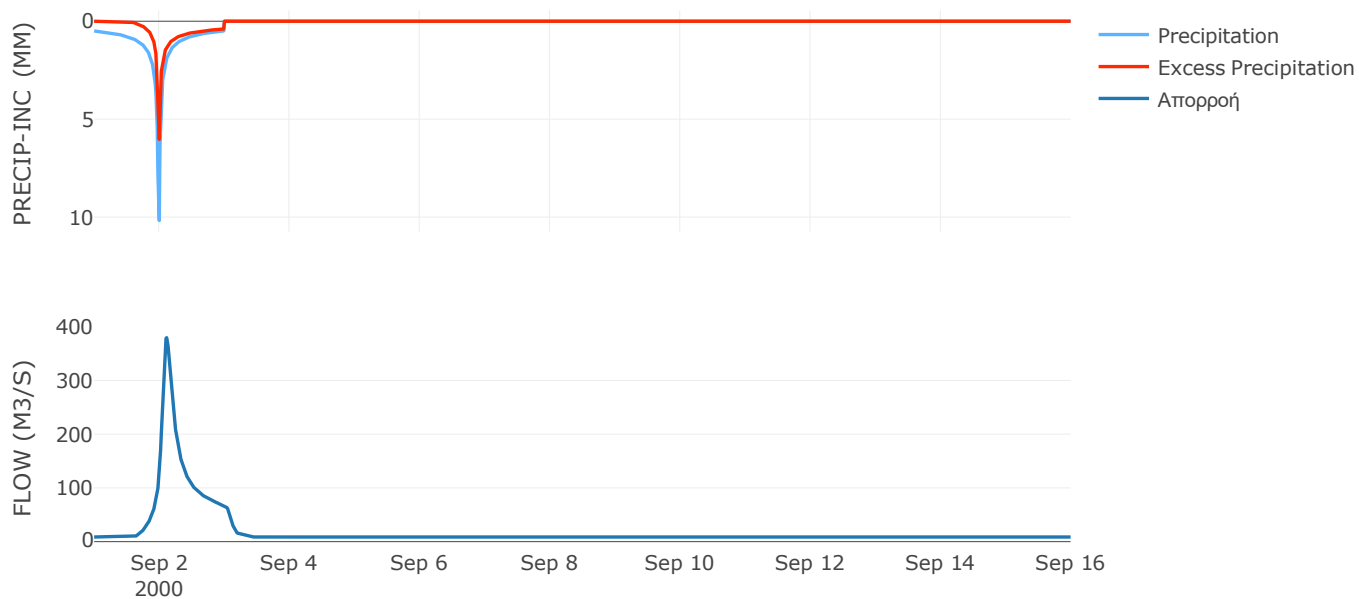
Μέθοδος
Μετασχηματισμού: SCS

Χρόνος Υστέρησης	139.2
------------------	-------

Αποτελέσματα:
EL0512FR1046

Παροχή αιχμής (M3/S)	379.6
Χρονική στιγμή αιχμής	02Sep2000, 02:45
Όγκος (MM)	201.53
Όγκος βροχόπτωσης (M3)	2.86E7
Όγκος απωλειών (M3)	1.49E7
Ενεργός Όγκος (M3)	1.37E7
Όγκος άμεσης απορροής (M3)	1.37E7
Όγκος βασικής απορροής (M3)	1.12E7

Βροχόπτωση και Απορροή



Υπολεκάνη: EL0512FR1047

Έκταση (KM2) : 46.41

Κατάντη : J11

Μέθοδος Απωλειών: SCS

Ποσοστό αδιαπέρατης επιφάνειας	0
Αριθμός Καμπύλης Απορροής-CN	57.99
Αρχικές Απώλειες	36.8

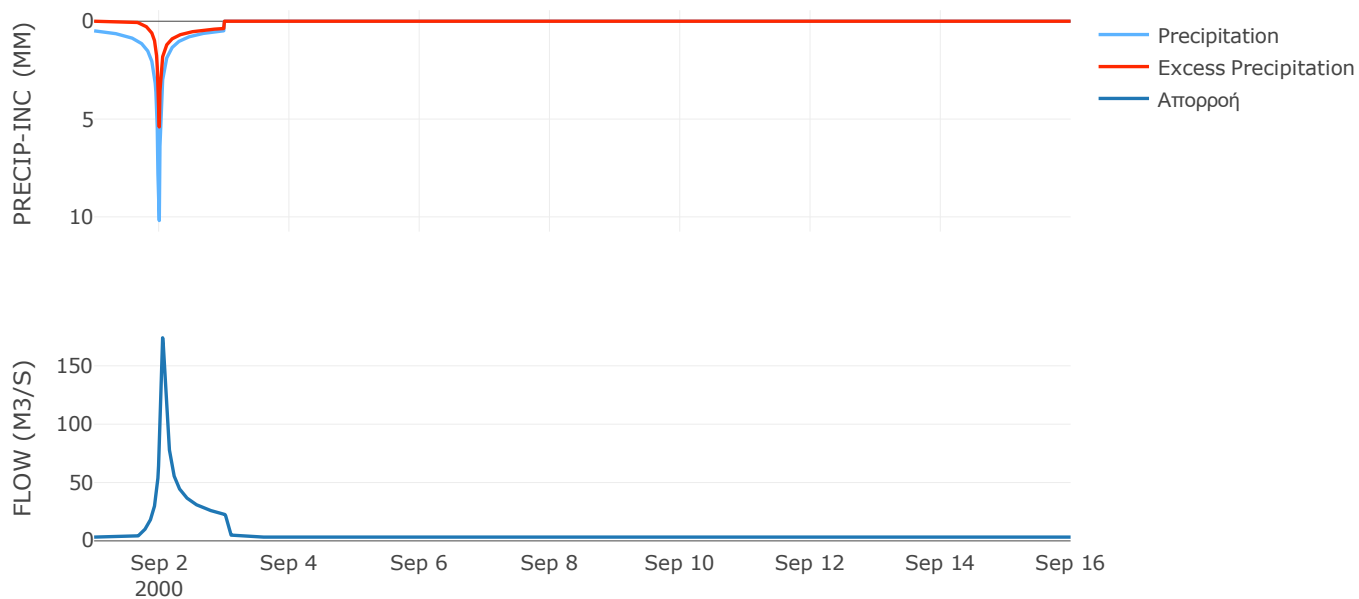
Μέθοδος
Μετασχηματισμού: SCS

Χρόνος Υστέρησης	62.89
------------------	-------

Αποτελέσματα:
EL0512FR1047

Παροχή αιχμής (M3/S)	174.01
Χρονική στιγμή αιχμής	02Sep2000, 01:15
Όγκος (MM)	189.29
Όγκος βροχόπτωσης (M3)	1.06E7
Όγκος απωλειών (M3)	6.08E6
Ενεργός Όγκος (M3)	4.57E6
Όγκος άμεσης απορροής (M3)	4.57E6
Όγκος βασικής απορροής (M3)	4.21E6

Βροχόπτωση και Απορροή



Υπολεκάνη: EL0512FR1048

Έκταση (KM2) : 6.43

Κατάντη : J14

Μέθοδος Απωλειών: SCS

Ποσοστό αδιαπέρατης επιφάνειας	0
Αριθμός Καμπύλης Απορροής-CN	64.89
Αρχικές Απώλειες	27.48

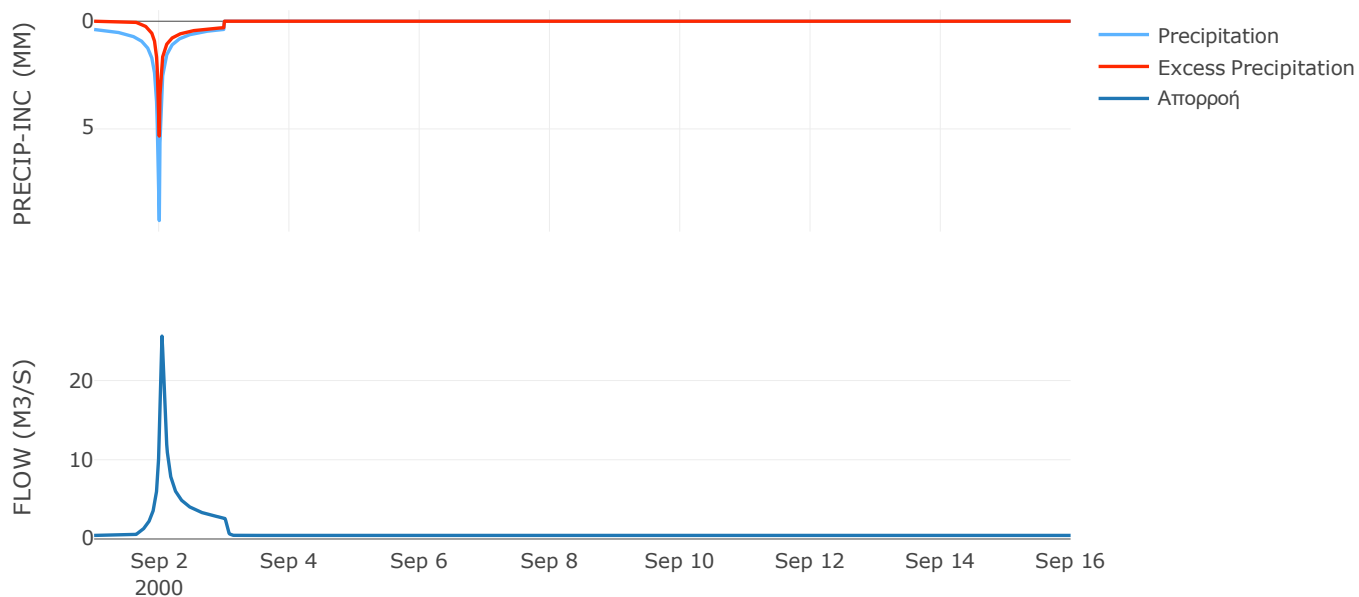
Μέθοδος
Μετασχηματισμού: SCS

Χρόνος Υστέρησης	48.35
------------------	-------

Αποτελέσματα:
EL0512FR1048

Παροχή αιχμής (M3/S)	25.61
Χρονική στιγμή αιχμής	02Sep2000, 01:00
Όγκος (MM)	179.01
Όγκος βροχόπτωσης (M3)	1.22E6
Όγκος απωλειών (M3)	6.56E5
Ενεργός Όγκος (M3)	5.68E5
Όγκος άμεσης απορροής (M3)	5.68E5
Όγκος βασικής απορροής (M3)	5.84E5

Βροχόπτωση και Απορροή



Υπολεκάνη: EL0512FR1049

Έκταση (KM2) : 4.8

Κατάντη : J12

Μέθοδος Απωλειών: SCS

Ποσοστό αδιαπέρατης επιφάνειας	0
Αριθμός Καμπύλης Απορροής-CN	78.76
Αρχικές Απώλειες	13.7

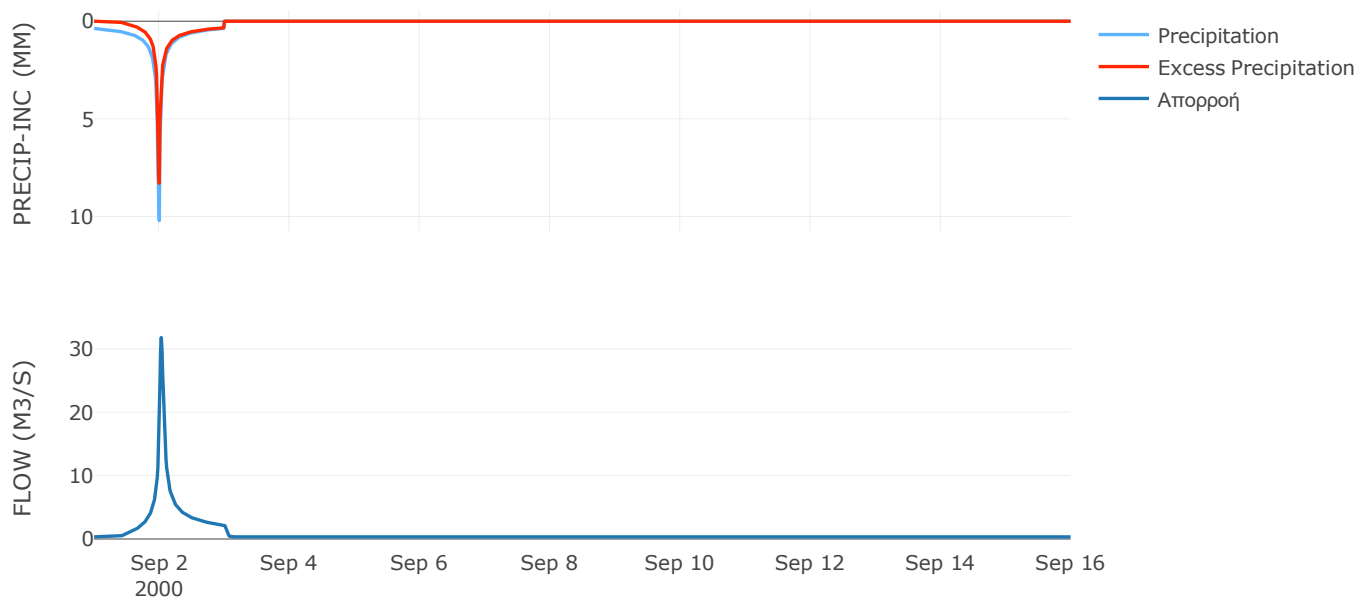
Μέθοδος
Μετασχηματισμού: SCS

Χρόνος Υστέρησης	41.19
------------------	-------

Αποτελέσματα:
EL0512FR1049

Παροχή αιχμής (M3/S)	31.77
Χρονική στιγμή αιχμής	02Sep2000, 00:45
Όγκος (MM)	221.07
Όγκος βροχόπτωσης (M3)	9.3E5
Όγκος απωλειών (M3)	3.04E5
Ενεργός Όγκος (M3)	6.26E5
Όγκος άμεσης απορροής (M3)	6.26E5
Όγκος βασικής απορροής (M3)	4.36E5

Βροχόπτωση και Απορροή



Υπολεκάνη: EL0512FR1050

Έκταση (KM2) : 8.16

Κατάντη : J8

Μέθοδος Απωλειών: SCS

Ποσοστό αδιαπέρατης επιφάνειας	0
Αριθμός Καμπύλης Απορροής-CN	53.79
Αρχικές Απώλειες	43.64

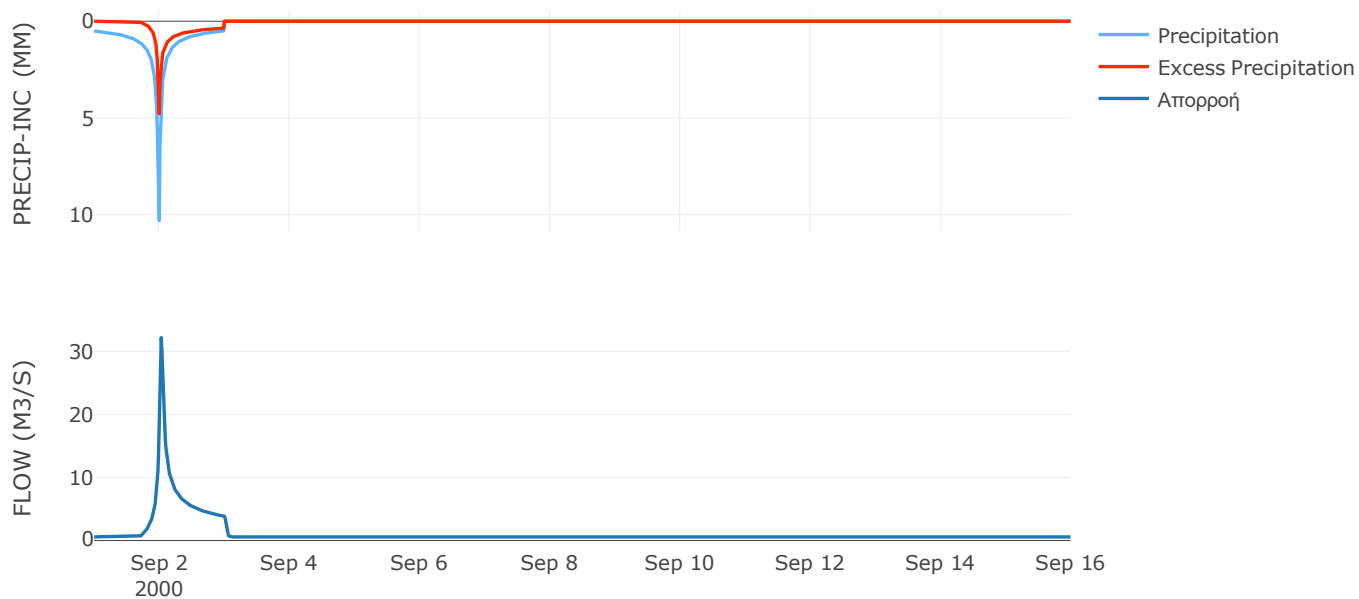
Μέθοδος
Μετασχηματισμού: SCS

Χρόνος Υστέρησης	34.6
------------------	------

Αποτελέσματα:
EL0512FR1050

Παροχή αιχμής (M3/S)	32.17
Χρονική στιγμή αιχμής	02Sep2000, 00:45
Όγκος (MM)	179.2
Όγκος βροχόπτωσης (M3)	1.91E6
Όγκος απωλειών (M3)	1.19E6
Ενεργός Όγκος (M3)	7.22E5
Όγκος άμεσης απορροής (M3)	7.22E5
Όγκος βασικής απορροής (M3)	7.4E5

Βροχόπτωση και Απορροή



Υπολεκάνη: EL0512FR1051

Έκταση (KM2) : 3.84

Κατάντη : J3

Μέθοδος Απωλειών: SCS

Ποσοστό αδιαπέρατης επιφάνειας	0
Αριθμός Καμπύλης Απορροής-CN	78.83
Αρχικές Απώλειες	13.64

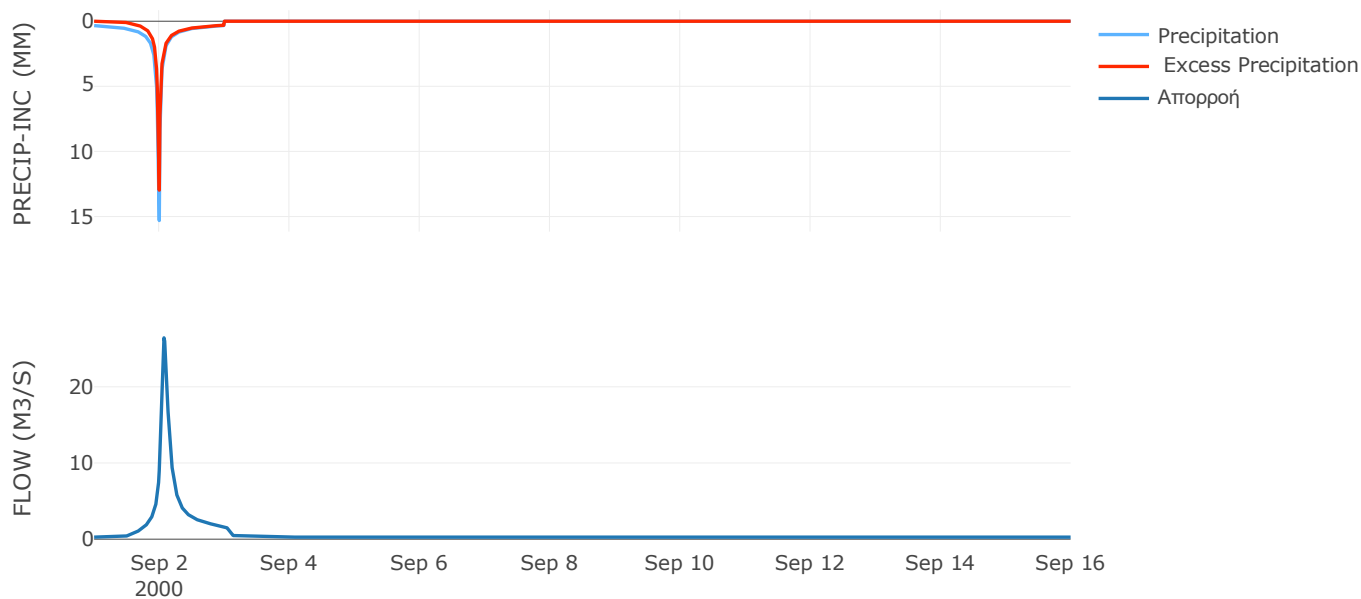
Μέθοδος
Μετασχηματισμού: SCS

Χρόνος Υστέρησης	99.38
------------------	-------

Αποτελέσματα:
EL0512FR1051

Παροχή αιχμής (M3/S)	26.43
Χρονική στιγμή αιχμής	02Sep2000, 01:45
Όγκος (MM)	245.15
Όγκος βροχόπτωσης (M3)	8.42E5
Όγκος απωλειών (M3)	2.49E5
Ενεργός Όγκος (M3)	5.93E5
Όγκος άμεσης απορροής (M3)	5.93E5
Όγκος βασικής απορροής (M3)	3.48E5

Βροχόπτωση και Απορροή



5.2 Δεδομένα και υδρογραφήματα σχεδιασμού Κλάδων υδρογραφικού δικτύου

Κλάδος: R21

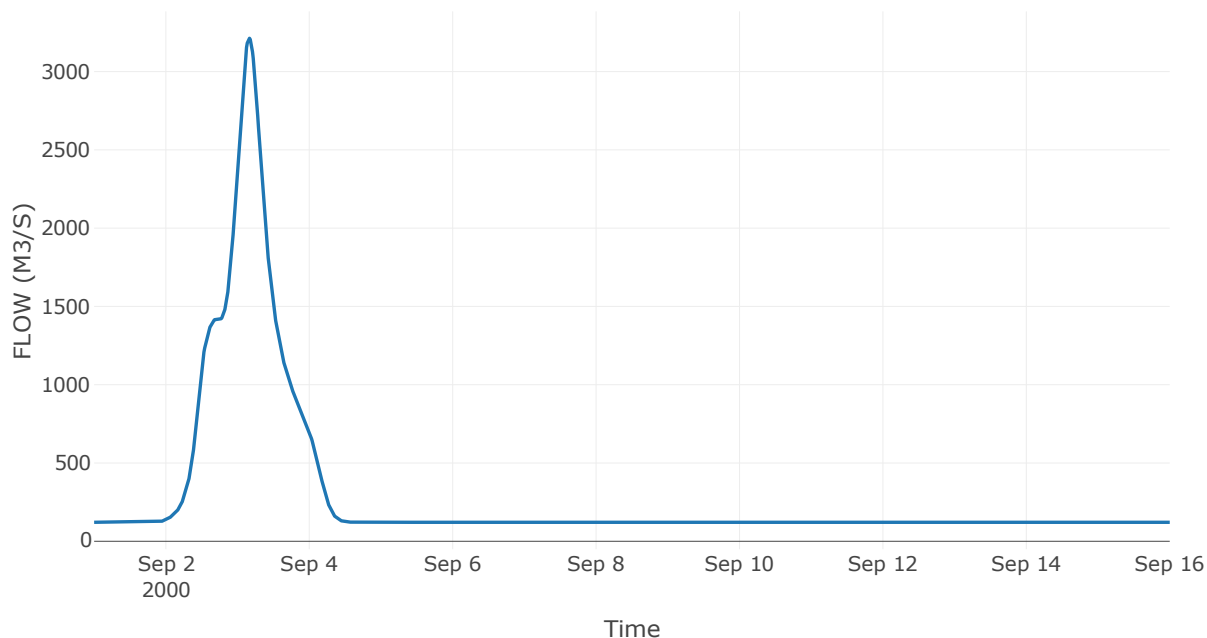
Κατάντη : J1

Μέθοδος Διόδευσης	Muskingum
Αρχική Μεταβλητή	Combined Inflow
Χρόνος Ροής Κ	5.61
Συντελεστής βάρους α	0.2
Πλήθος Υποκλάδων	23

Αποτελέσματα: R21

Παροχή Αιχμής (M3/S)	3212.7
Χρονική στιγμή αιχμής	03Sep2000, 04:00
Όγκος (MM)	221.18
Παροχή Αιχμής Εισόδου (M3/S)	3278.72
Όγκος Εισροής (M3)	3.83E8

Απορροή



Κλάδος: R32

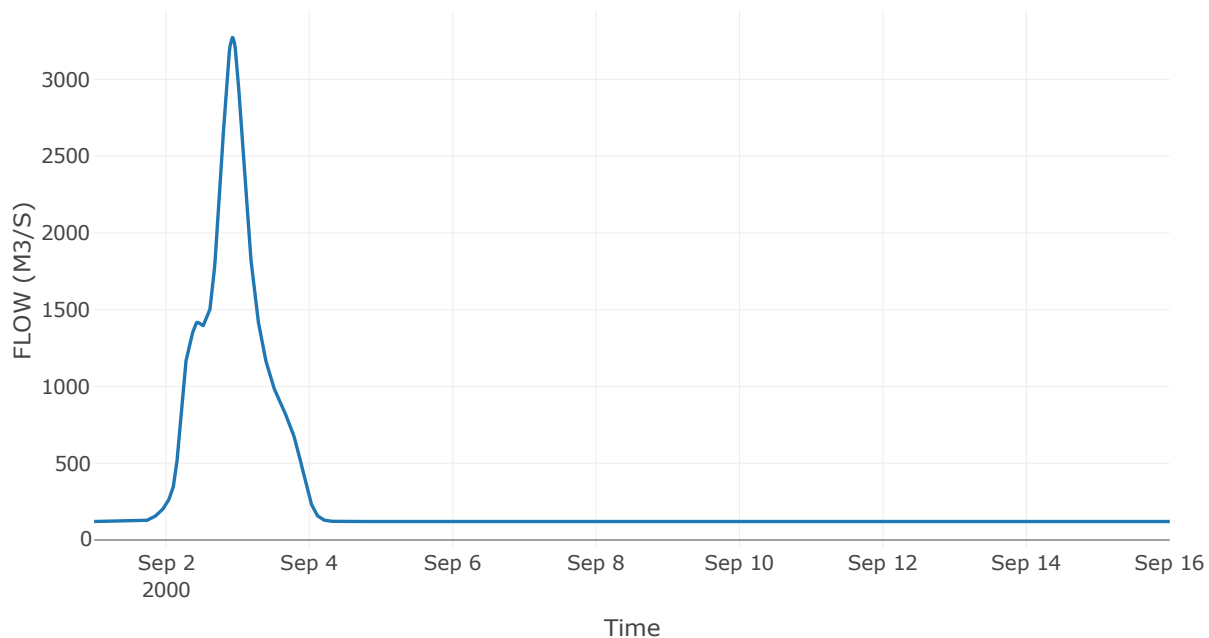
Κατάντη : J2

Μέθοδος Διόδευσης	Muskingum
Αρχική Μεταβλητή	Combined Inflow
Χρόνος Ροής K	3.4
Συντελεστής βάρους x	0.2
Πλήθος Υποκλάδων	14

Αποτελέσματα: R32

Παροχή Αιχμής (M3/S)	3272.78
Χρονική στιγμή αιχμής	02Sep2000, 22:15
Όγκος (MM)	221.19
Παροχή Αιχμής Εισόδου (M3/S)	3317.15
Όγκος Εισροής (M3)	3.8E8

Απορροή



Κλάδος: R43

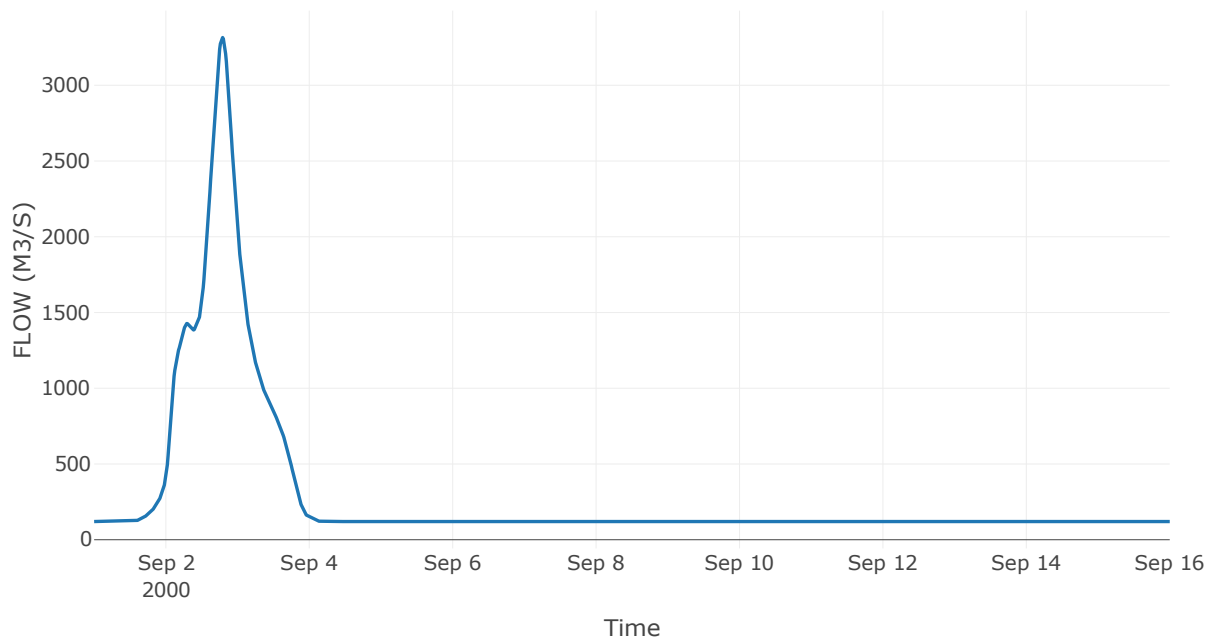
Κατάντη : J3

Μέθοδος Διόδευσης	Muskingum
Αρχική Μεταβλητή	Combined Inflow
Χρόνος Ροής K	0.59
Συντελεστής βάρους x	0.2
Πλήθος Υποκλάδων	2

Αποτελέσματα: R43

Παροχή Αιχμής (M3/S)	3315.14
Χρονική στιγμή αιχμής	02Sep2000, 19:00
Όγκος (MM)	221.13
Παροχή Αιχμής Εισόδου (M3/S)	3325.29
Όγκος Εισροής (M3)	3.79E8

Απορροή



Κλάδος: R54

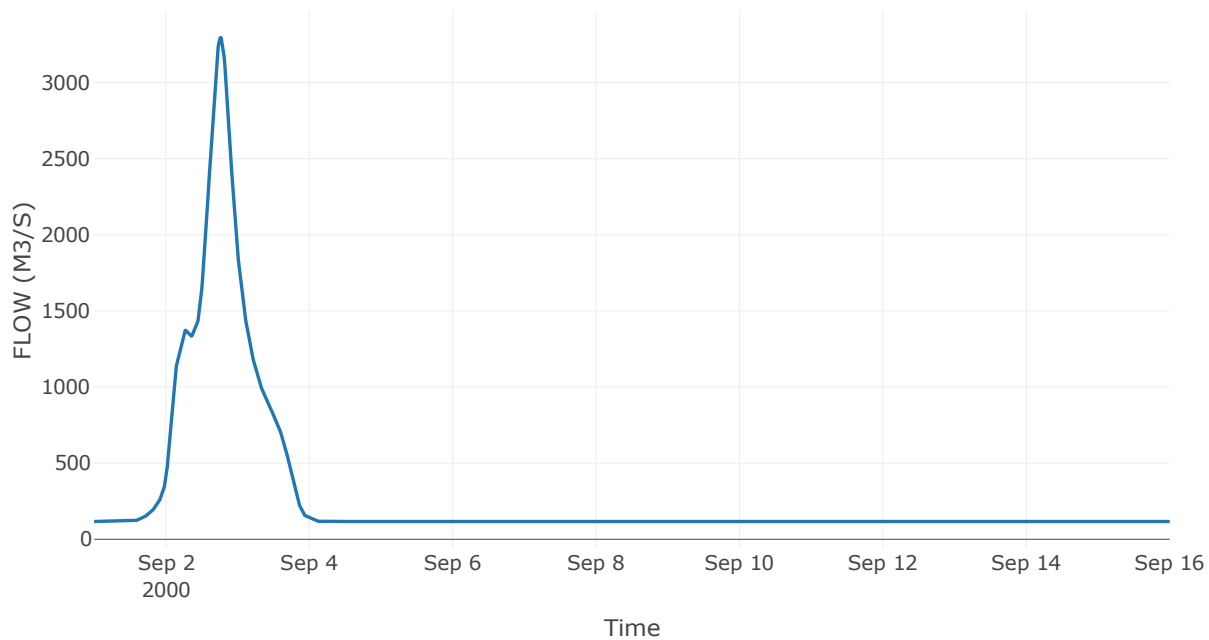
Κατάντη : J4

Μέθοδος Διόδευσης	Muskingum
Αρχική Μεταβλητή	Combined Inflow
Χρόνος Ροής K	0.22
Συντελεστής βάρους x	0.2
Πλήθος Υποκλάδων	1

Αποτελέσματα: R54

Παροχή Αιχμής (M3/S)	3295.93
Χρονική στιγμή αιχμής	02Sep2000, 18:15
Όγκος (MM)	221.4
Παροχή Αιχμής Εισόδου (M3/S)	3298
Όγκος Εισροής (M3)	3.69E8

Απορροή



Κλάδος: R65

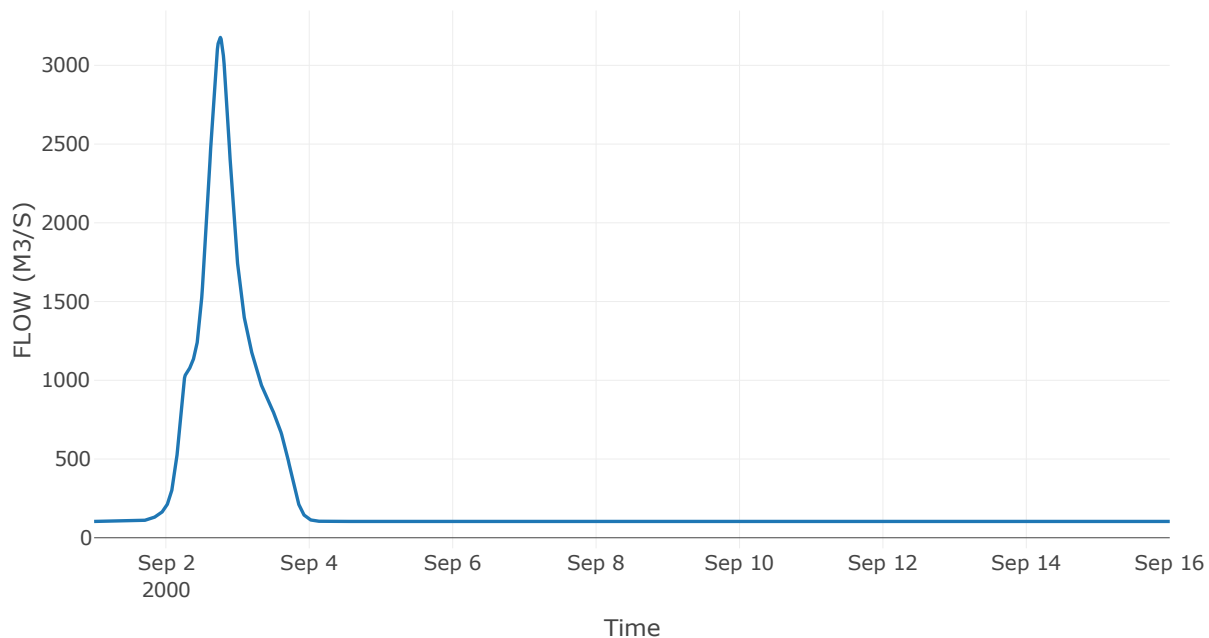
Κατάντη : J5

Μέθοδος Διόδευσης	Muskingum
Αρχική Μεταβλητή	Combined Inflow
Χρόνος Ροής K	2.21
Συντελεστής βάρους x	0.2
Πλήθος Υποκλάδων	9

Αποτελέσματα: R65

Παροχή Αιχμής (M3/S)	3177.45
Χρονική στιγμή αιχμής	02Sep2000, 18:15
Όγκος (MM)	221.38
Παροχή Αιχμής Εισόδου (M3/S)	3211.64
Όγκος Εισροής (M3)	3.28E8

Απορροή



Κλάδος: R76

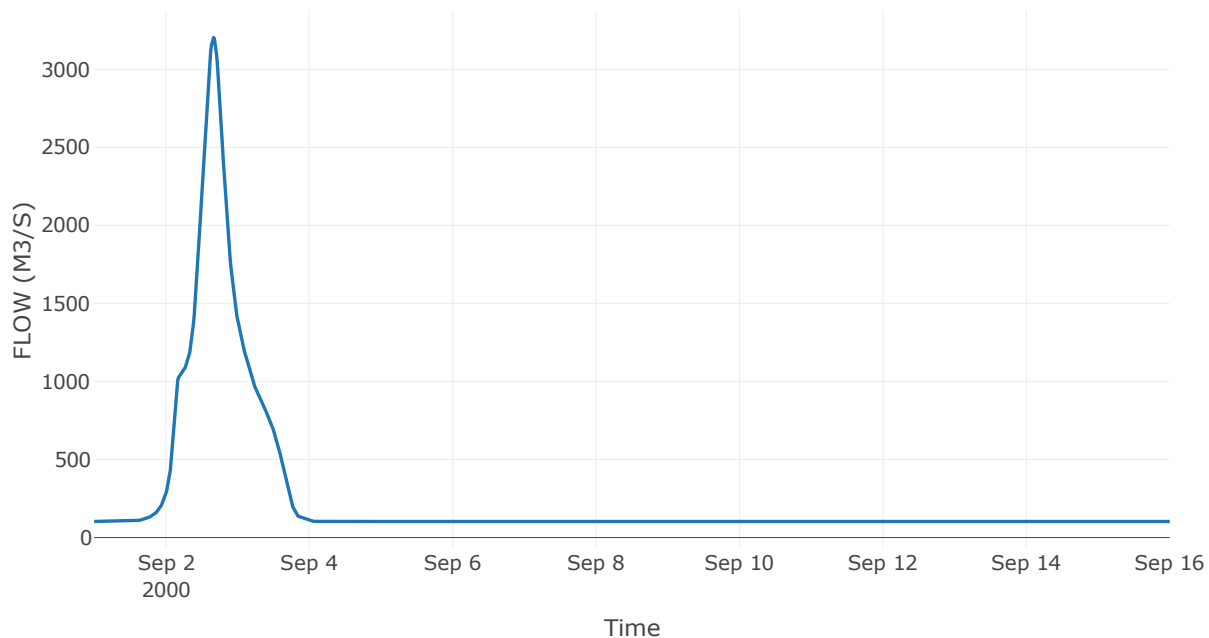
Κατάντη : J6

Μέθοδος Διόδευσης	Muskingum
Αρχική Μεταβλητή	Combined Inflow
Χρόνος Ροής K	1.9
Συντελεστής βάρους x	0.2
Πλήθος Υποκλάδων	8

Αποτελέσματα: R76

Παροχή Αιχμής (M3/S)	3204.27
Χρονική στιγμή αιχμής	02Sep2000, 16:00
Όγκος (MM)	221.44
Παροχή Αιχμής Εισόδου (M3/S)	3234.51
Όγκος Εισροής (M3)	3.25E8

Απορροή



Κλάδος: R87

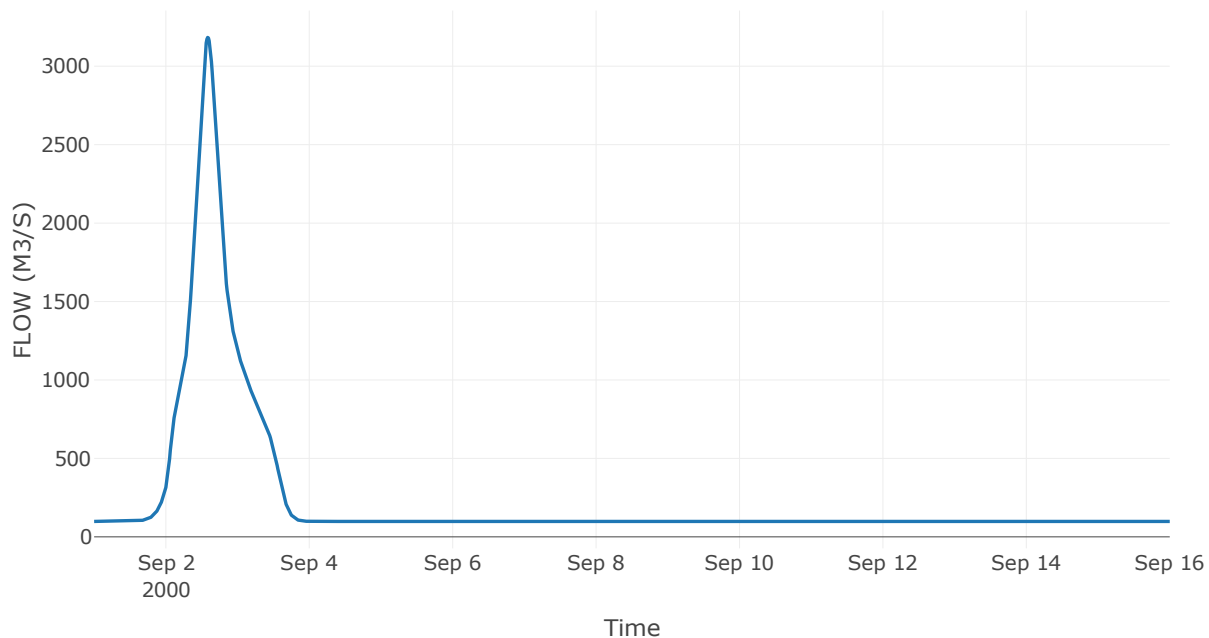
Κατάντη : J7

Μέθοδος Διόδευσης	Muskingum
Αρχική Μεταβλητή	Combined Inflow
Χρόνος Ροής K	1.02
Συντελεστής βάρους x	0.2
Πλήθος Υποκλάδων	4

Αποτελέσματα: R87

Παροχή Αιχμής (M3/S)	3183.52
Χρονική στιγμή αιχμής	02Sep2000, 14:00
Όγκος (MM)	220.39
Παροχή Αιχμής Εισόδου (M3/S)	3202.07
Όγκος Εισροής (M3)	3.09E8

Απορροή



Κλάδος: R98

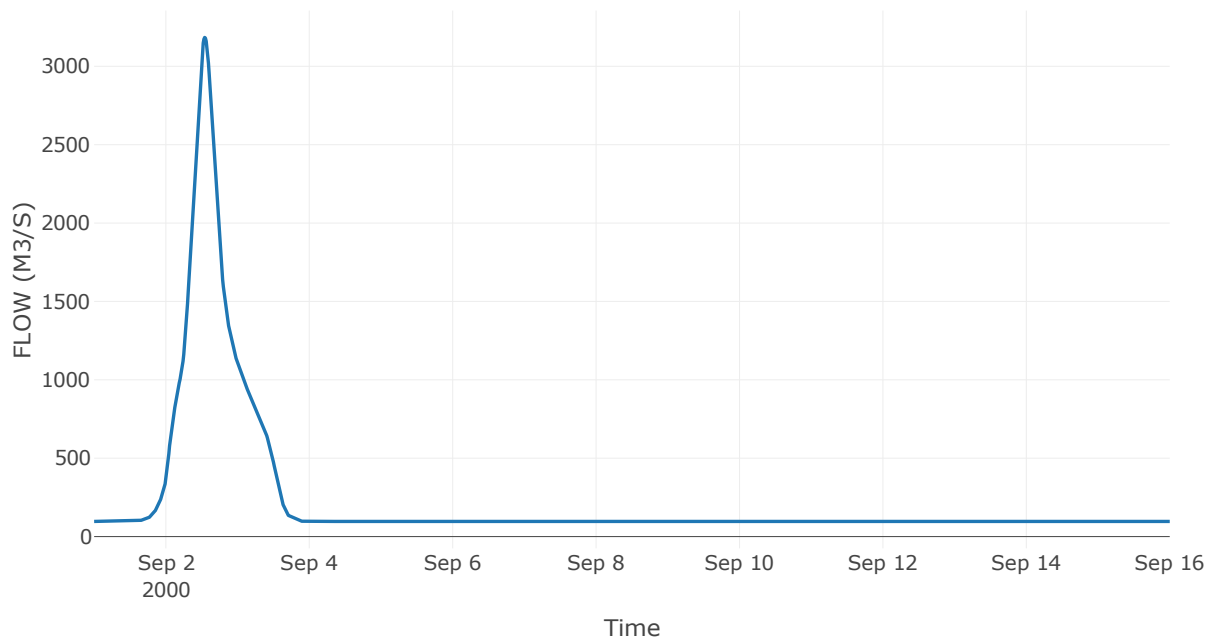
Κατάντη : J8

Μέθοδος Διόδευσης	Muskingum
Αρχική Μεταβλητή	Combined Inflow
Χρόνος Ροής K	0.42
Συντελεστής βάρους x	0.2
Πλήθος Υποκλάδων	2

Αποτελέσματα: R98

Παροχή Αιχμής (M3/S)	3184.19
Χρονική στιγμή αιχμής	02Sep2000, 13:00
Όγκος (MM)	220.53
Παροχή Αιχμής Εισόδου (M3/S)	3189.24
Όγκος Εισροής (M3)	3.04E8

Απορροή



Κλάδος: R109

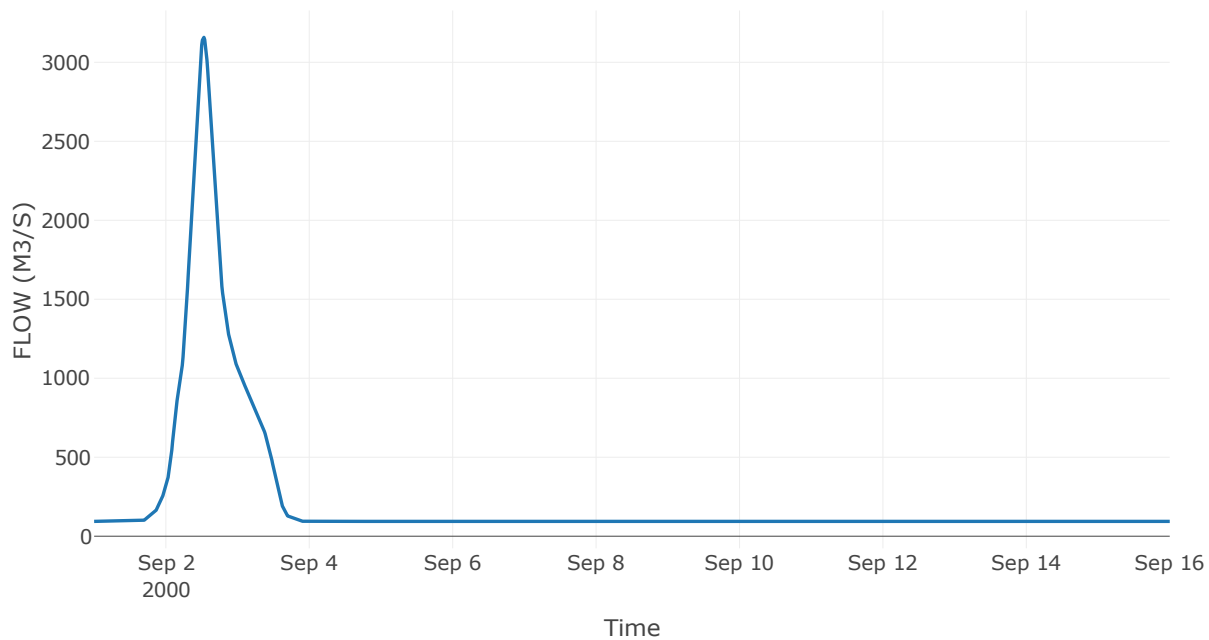
Κατάντη : J9

Μέθοδος Διόδευσης	Muskingum
Αρχική Μεταβλητή	Combined Inflow
Χρόνος Ροής K	1.9
Συντελεστής βάρους x	0.2
Πλήθος Υποκλάδων	8

Αποτελέσματα: R109

Παροχή Αιχμής (M3/S)	3157.95
Χρονική στιγμή αιχμής	02Sep2000, 12:45
Όγκος (MM)	220.12
Παροχή Αιχμής Εισόδου (M3/S)	3195.06
Όγκος Εισροής (M3)	2.95E8

Απορροή



Κλάδος: R1110

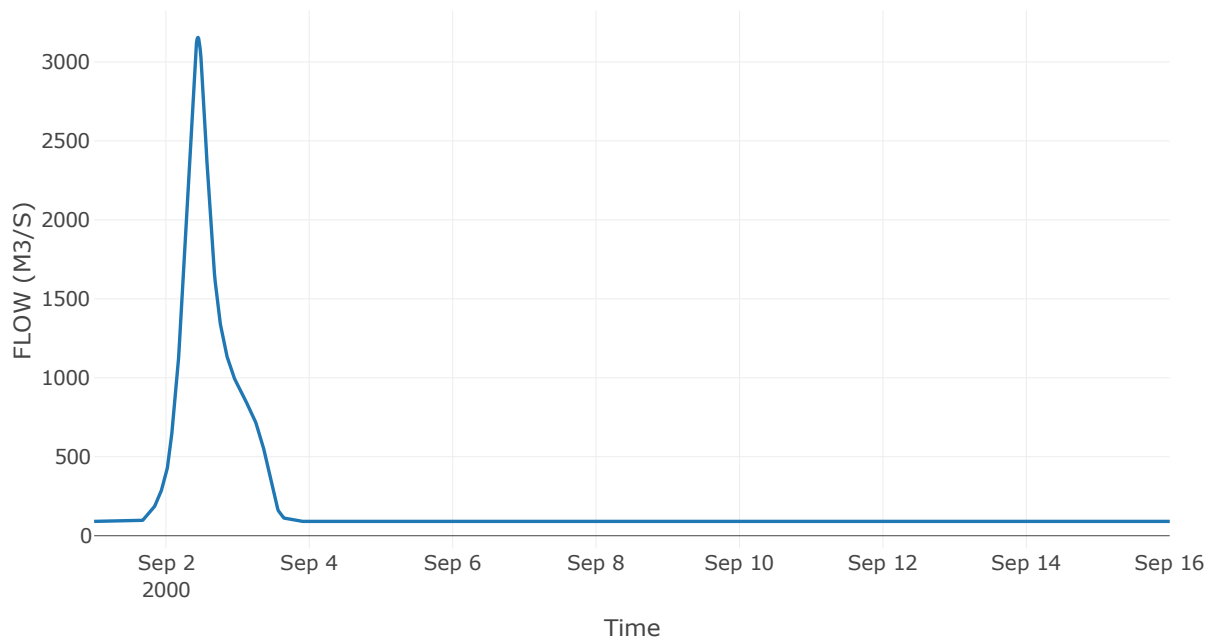
Κατάντη : J10

Μέθοδος Διόδευσης	Muskingum
Αρχική Μεταβλητή	Combined Inflow
Χρόνος Ροής K	1.53
Συντελεστής βάρους x	0.2
Πλήθος Υποκλάδων	6

Αποτελέσματα: R1110

Παροχή Αιχμής (M3/S)	3155.66
Χρονική στιγμή αιχμής	02Sep2000, 10:45
Όγκος (MM)	219.4
Παροχή Αιχμής Εισόδου (M3/S)	3189.66
Όγκος Εισροής (M3)	2.85E8

Απορροή



Κλάδος: R1223

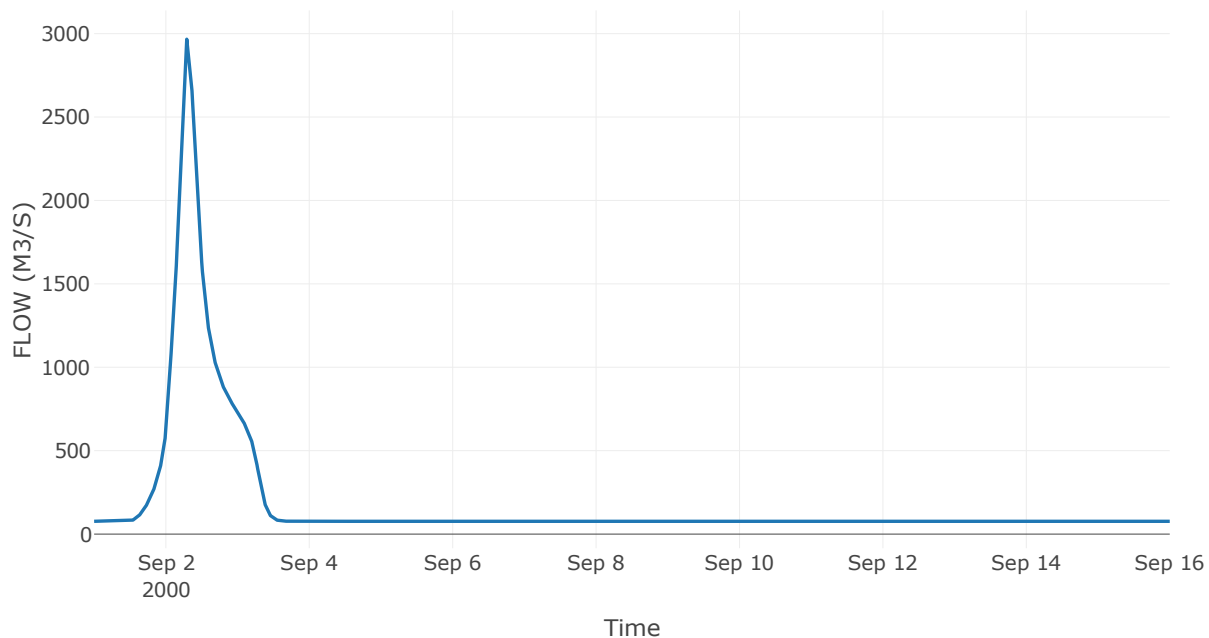
Κατάντη : J23

Μέθοδος Διόδευσης	Muskingum
Αρχική Μεταβλητή	Combined Inflow
Χρόνος Ροής K	0.14
Συντελεστής βάρους x	0.2
Πλήθος Υποκλάδων	1

Αποτελέσματα: R1223

Παροχή Αιχμής (M3/S)	2978.02
Χρονική στιγμή αιχμής	02Sep2000, 07:15
Όγκος (MM)	223.19
Παροχή Αιχμής Εισόδου (M3/S)	2977.83
Όγκος Εισροής (M3)	2.44E8

Απορροή



Κλάδος: R1312

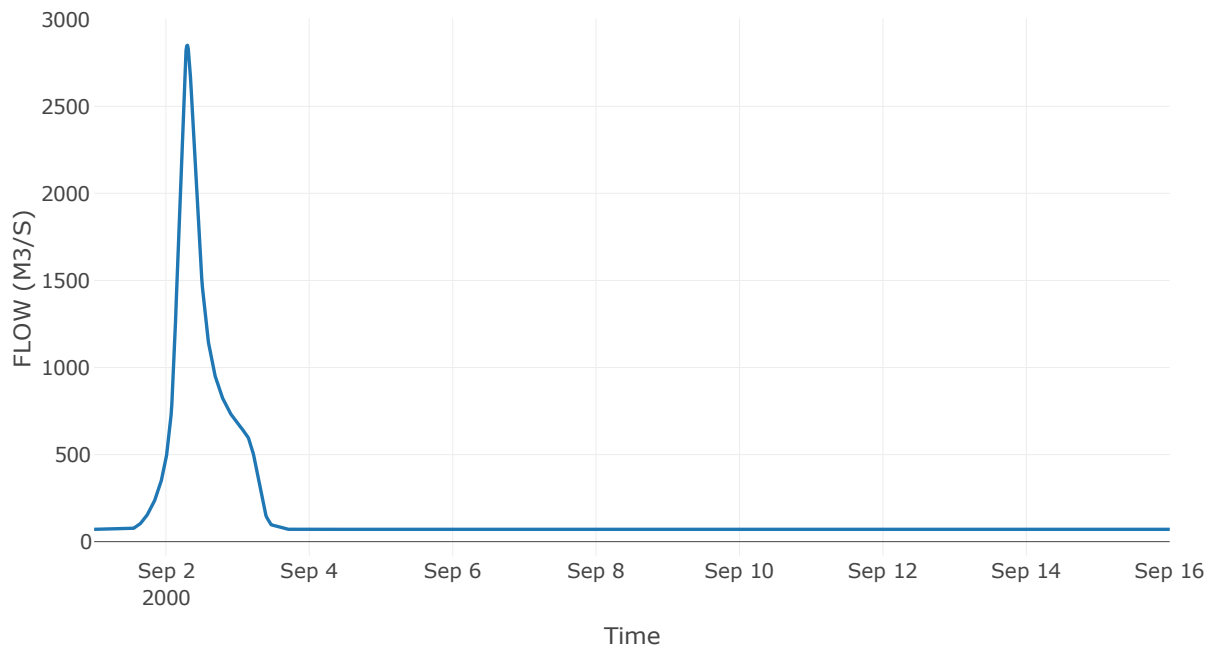
Κατάντη : J12

Μέθοδος Διόδευσης	Muskingum
Αρχική Μεταβλητή	Combined Inflow
Χρόνος Ροής Κ	2.11
Συντελεστής βάρους α	0.2
Πλήθος Υποκλάδων	9

Αποτελέσματα: R1312

Παροχή Αιχμής (M3/S)	2850.51
Χρονική στιγμή αιχμής	02Sep2000, 07:15
Όγκος (MM)	221.65
Παροχή Αιχμής Εισόδου (M3/S)	2913.48
Όγκος Εισροής (M3)	2.24E8

Απορροή



Κλάδος: R1413

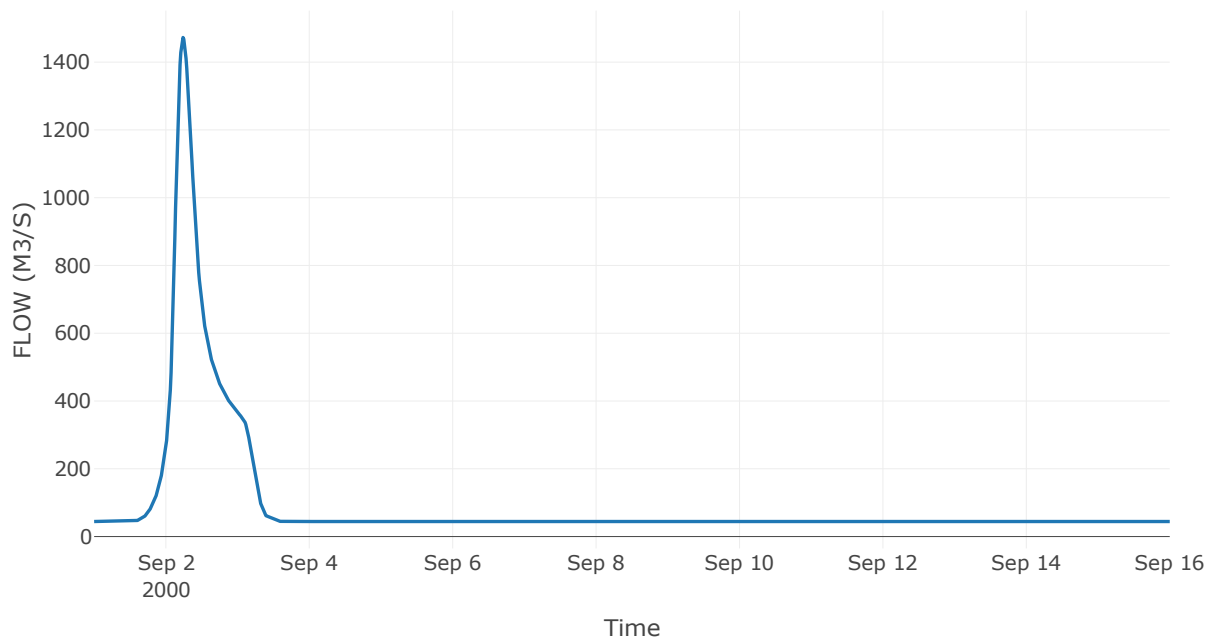
Κατάντη : J13

Μέθοδος Διόδευσης	Muskingum
Αρχική Μεταβλητή	Combined Inflow
Χρόνος Ροής Κ	1.83
Συντελεστής βάρους α	0.2
Πλήθος Υποκλάδων	8

Αποτελέσματα: R1413

Παροχή Αιχμής (M3/S)	1472.69
Χρονική στιγμή αιχμής	02Sep2000, 05:45
Όγκος (MM)	197.19
Παροχή Αιχμής Εισόδου (M3/S)	1492.39
Όγκος Εισροής (M3)	1.25E8

Απορροή



Κλάδος: R1514

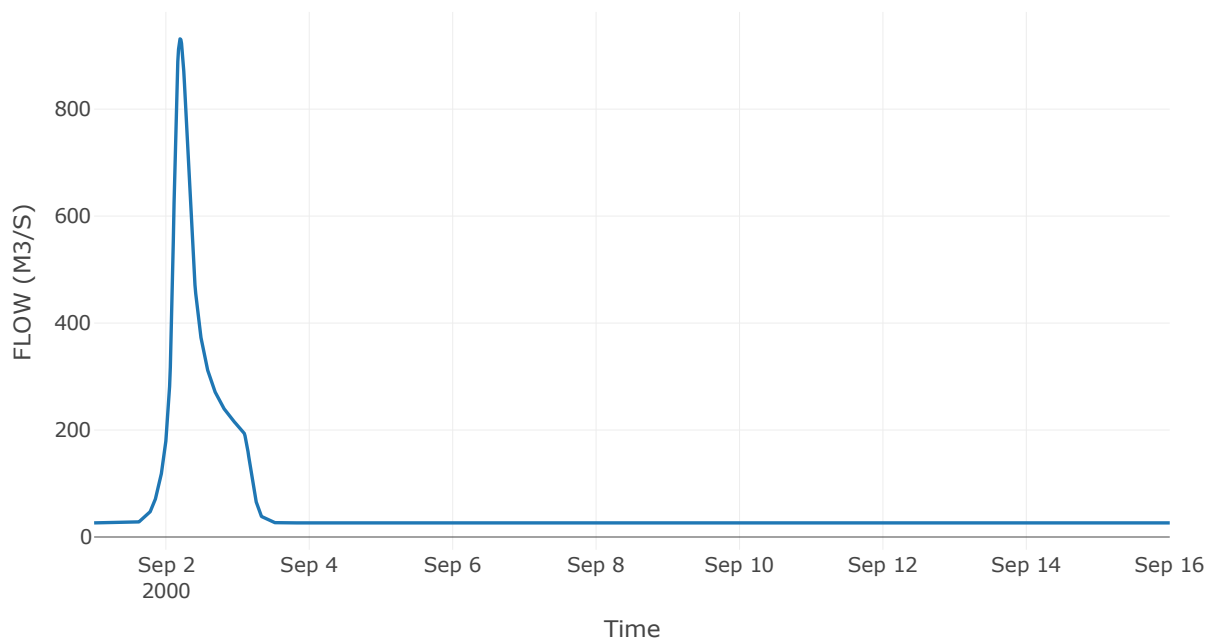
Κατάντη : J14

Μέθοδος Διόδευσης	Χρόνος
Αρχική Μεταβλητή	Combined Inflow
Χρόνος Υστέρησης	69.5

Αποτελέσματα: R1514

Παροχή Αιχμής (M3/S)	931.4
Χρονική στιγμή αιχμής	02Sep2000, 04:45
Όγκος (MM)	194.91
Παροχή Αιχμής Εισόδου (M3/S)	932.2
Όγκος Εισροής (M3)	7.35E7

Απορροή



Κλάδος: R1615

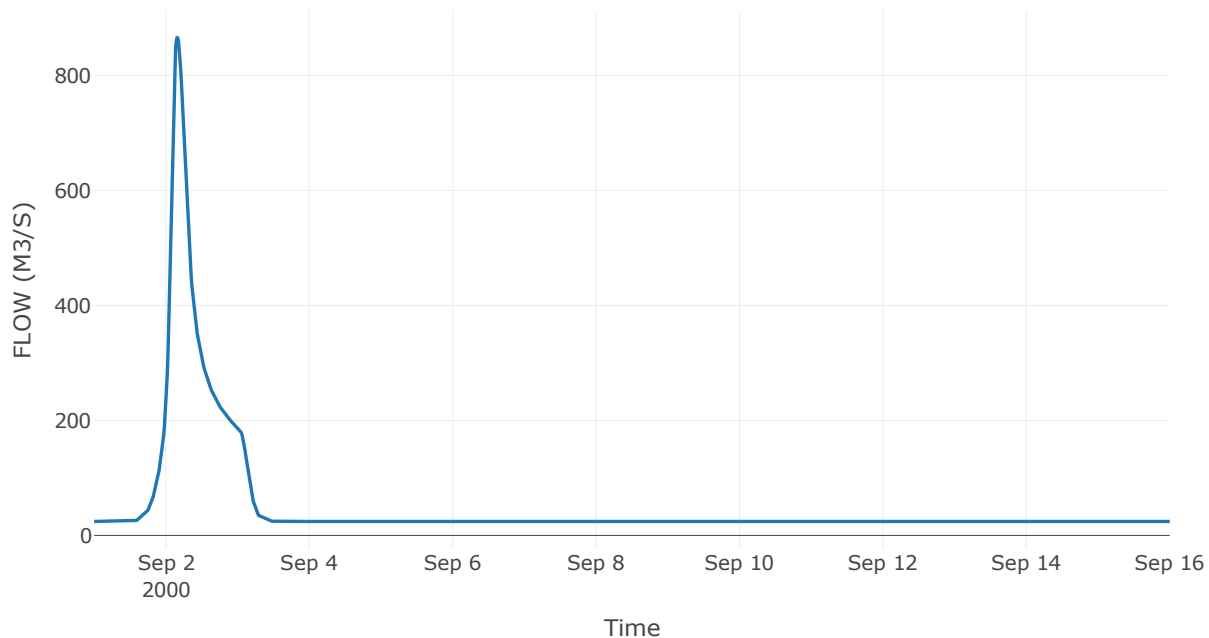
Κατάντη : J15

Μέθοδος Διόδευσης	Muskingum
Αρχική Μεταβλητή	Combined Inflow
Χρόνος Ροής Κ	0.63
Συντελεστής βάρους α	0.2
Πλήθος Υποκλάδων	3

Αποτελέσματα: R1615

Παροχή Αιχμής (M3/S)	866.14
Χρονική στιγμή αιχμής	02Sep2000, 03:45
Όγκος (MM)	194.63
Παροχή Αιχμής Εισόδου (M3/S)	870.6
Όγκος Εισροής (M3)	6.75E7

Απορροή



Κλάδος: R1716

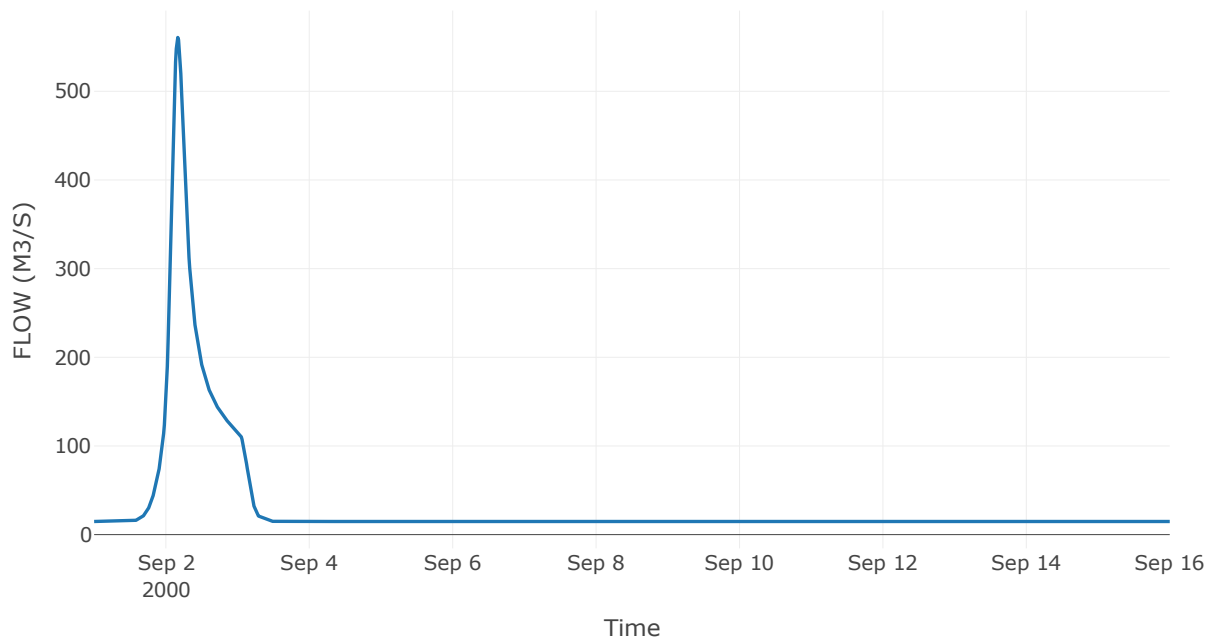
Κατάντη : J16

Μέθοδος Διόδευσης	Muskingum
Αρχική Μεταβλητή	Combined Inflow
Χρόνος Ροής K	0.18
Συντελεστής βάρους x	0.2
Πλήθος Υποκλάδων	1

Αποτελέσματα: R1716

Παροχή Αιχμής (M3/S)	560.72
Χρονική στιγμή αιχμής	02Sep2000, 04:00
Όγκος (MM)	198.36
Παροχή Αιχμής Εισόδου (M3/S)	561.39
Όγκος Εισροής (M3)	4.2E7

Απορροή



Κλάδος: R1817

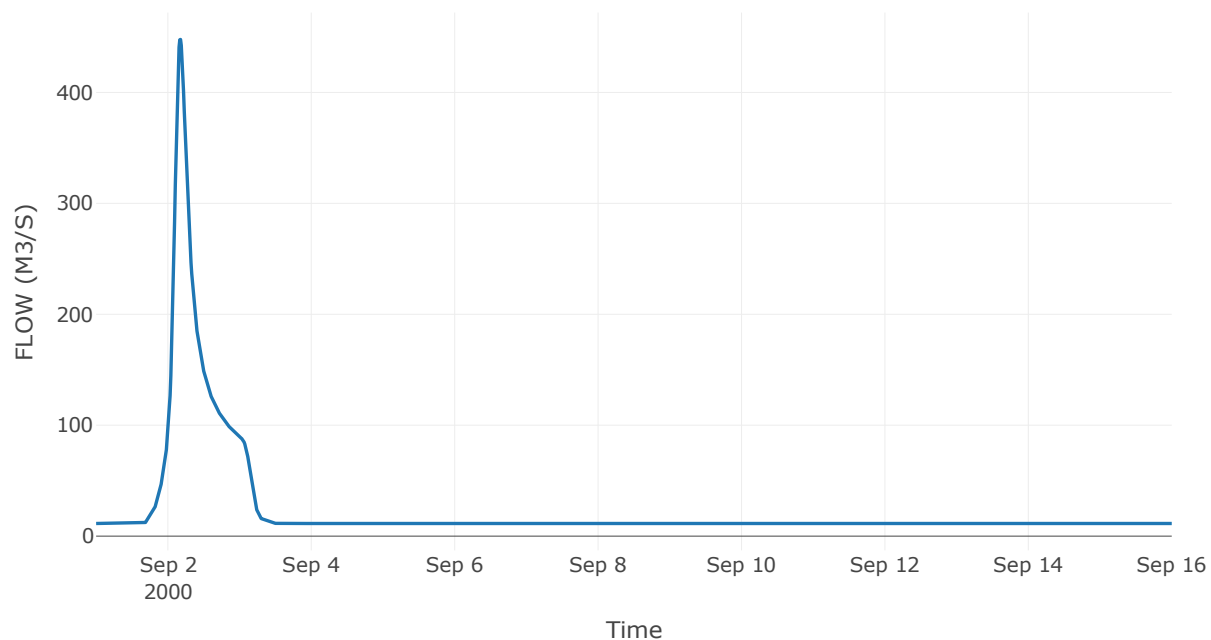
Κατάντη : J17

Μέθοδος Διόδευσης	Muskingum
Αρχική Μεταβλητή	Combined Inflow
Χρόνος Ροής K	0.88
Συντελεστής βάρους x	0.2
Πλήθος Υποκλάδων	4

Αποτελέσματα: R1817

Παροχή Αιχμής (M3/S)	447.77
Χρονική στιγμή αιχμής	02Sep2000, 04:15
Όγκος (MM)	195.64
Παροχή Αιχμής Εισόδου (M3/S)	454.35
Όγκος Εισροής (M3)	3.19E7

Απορροή



Κλάδος: R1918

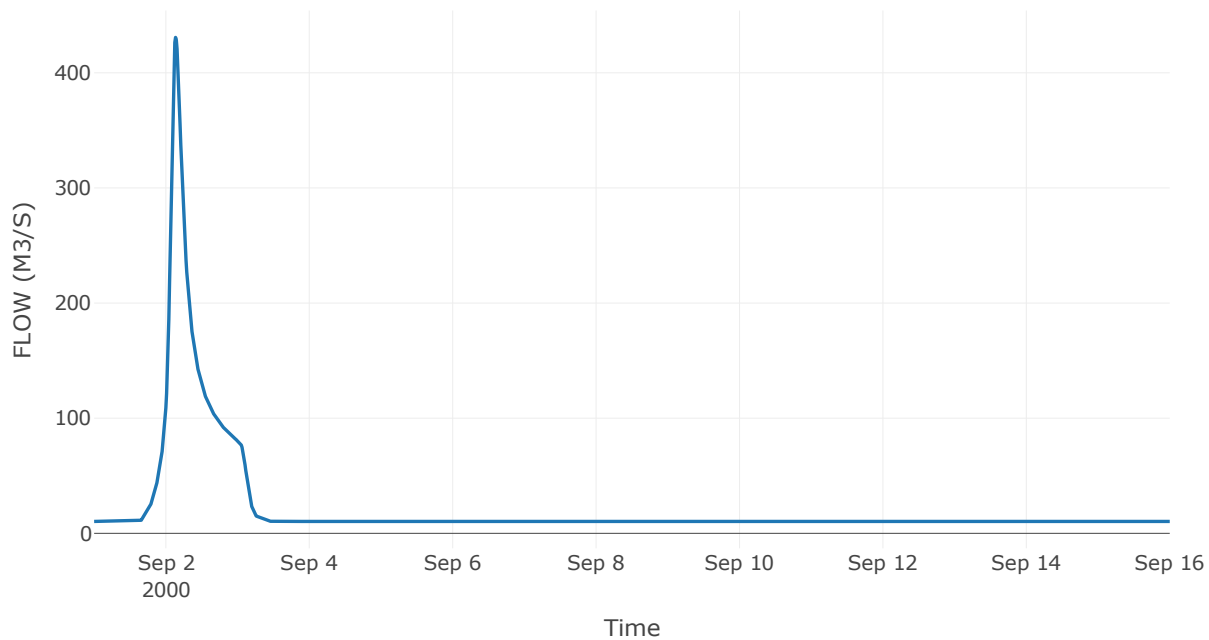
Κατάντη : J18

Μέθοδος Διόδευσης	Muskingum
Αρχική Μεταβλητή	Combined Inflow
Χρόνος Ροής Κ	0.77
Συντελεστής βάρους α	0.2
Πλήθος Υποκλάδων	3

Αποτελέσματα: R1918

Παροχή Αιχμής (M3/S)	430.74
Χρονική στιγμή αιχμής	02Sep2000, 03:15
Όγκος (MM)	197.91
Παροχή Αιχμής Εισόδου (M3/S)	437.3
Όγκος Εισροής (M3)	2.92E7

Απορροή



Κλάδος: R2016

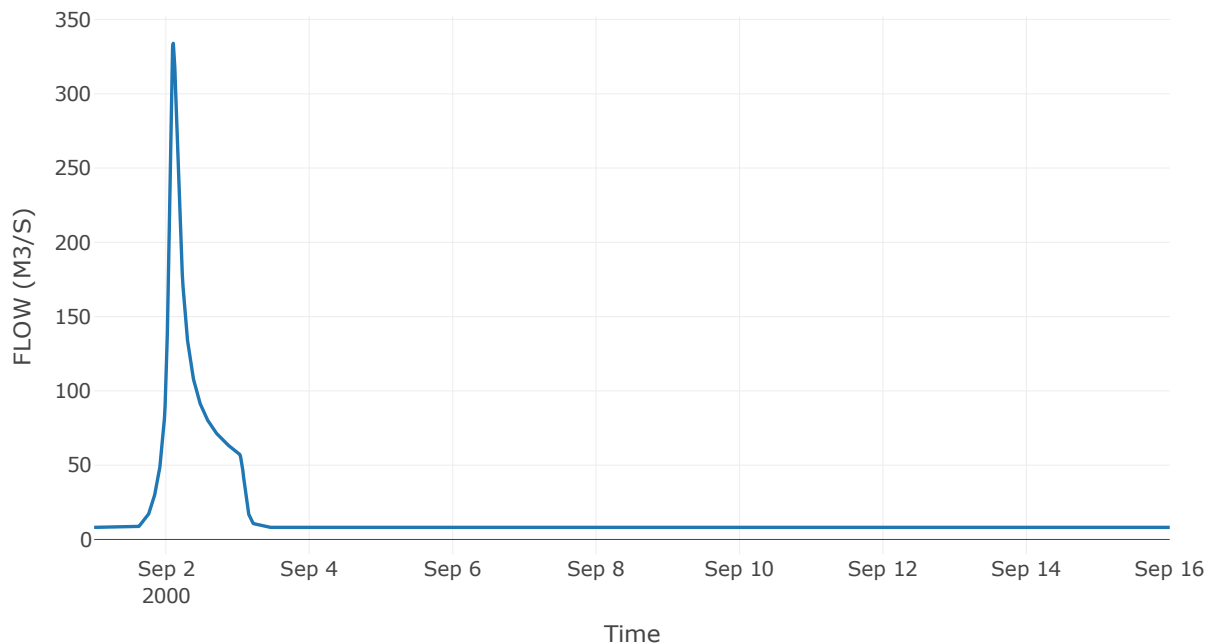
Κατάντη : J16

Μέθοδος Διόδευσης	Muskingum
Αρχική Μεταβλητή	Combined Inflow
Χρόνος Ροής Κ	0.39
Συντελεστής βάρους α	0.2
Πλήθος Υποκλάδων	2

Αποτελέσματα: R2016

Παροχή Αιχμής (M3/S)	333.95
Χρονική στιγμή αιχμής	02Sep2000, 02:30
Όγκος (MM)	187.26
Παροχή Αιχμής Εισόδου (M3/S)	337.16
Όγκος Εισροής (M3)	2.18E7

Απορροή



Κλάδος: R2120

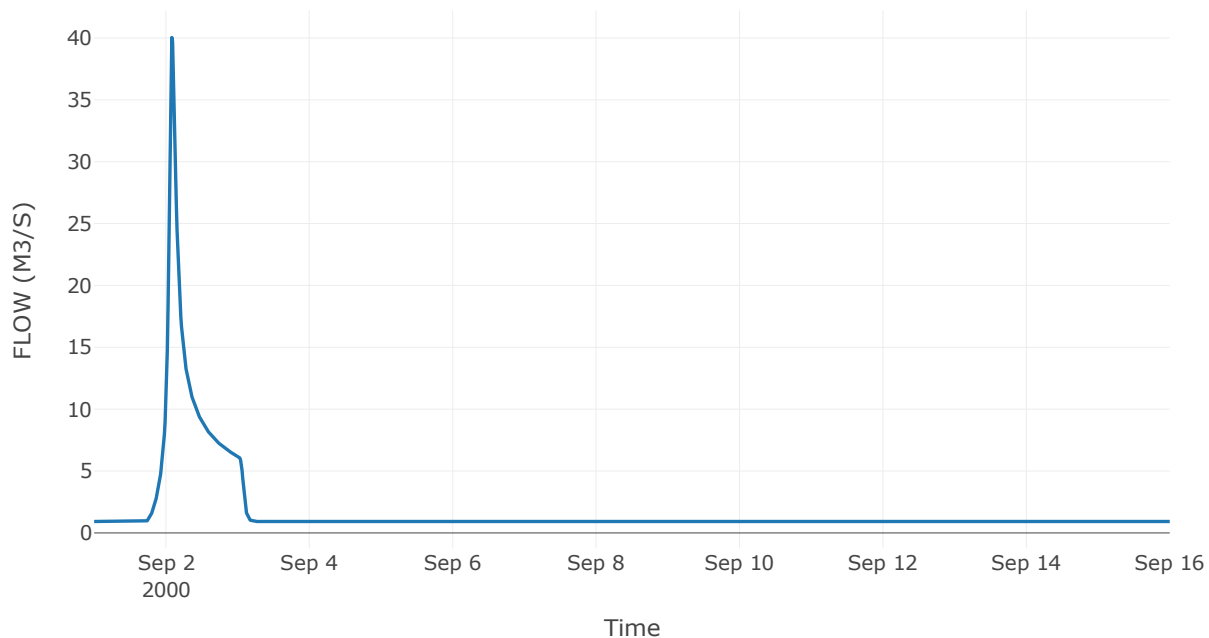
Κατάντη : J20

Μέθοδος Διόδευσης	Muskingum
Αρχική Μεταβλητή	Combined Inflow
Χρόνος Ροής Κ	0.88
Συντελεστής βάρους α	0.2
Πλήθος Υποκλάδων	4

Αποτελέσματα: R2120

Παροχή Αιχμής (M3/S)	40.04
Χρονική στιγμή αιχμής	02Sep2000, 02:00
Όγκος (MM)	174.95
Παροχή Αιχμής Εισόδου (M3/S)	42.23
Όγκος Εισροής (M3)	2.31E6

Απορροή



Κλάδος: R2214

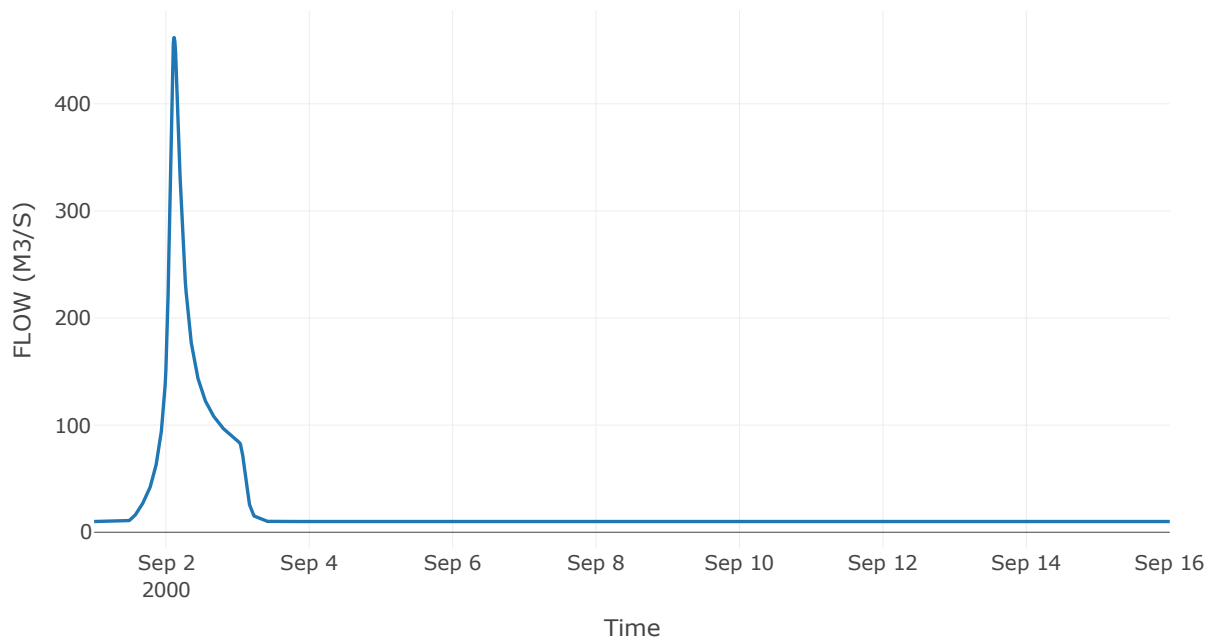
Κατάντη : J14

Μέθοδος Διόδευσης	Muskingum
Αρχική Μεταβλητή	Combined Inflow
Χρόνος Ροής Κ	0.48
Συντελεστής βάρους α	0.2
Πλήθος Υποκλάδων	2

Αποτελέσματα: R2214

Παροχή Αιχμής (M3/S)	461.89
Χρονική στιγμή αιχμής	02Sep2000, 02:45
Όγκος (MM)	211.29
Παροχή Αιχμής Εισόδου (M3/S)	466.9
Όγκος Εισροής (M3)	3.02E7

Απορροή



Κλάδος: R2311

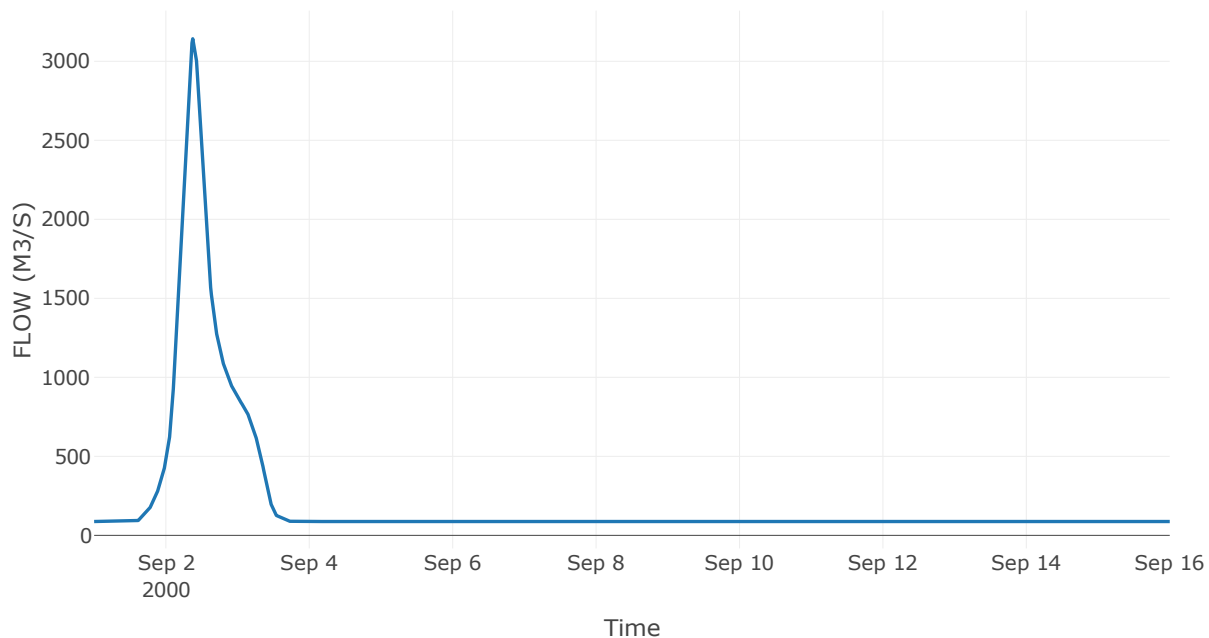
Κατάντη : J11

Μέθοδος Διόδευσης	Muskingum
Αρχική Μεταβλητή	Combined Inflow
Χρόνος Ροής K	2.09
Συντελεστής βάρους x	0.2
Πλήθος Υποκλάδων	9

Αποτελέσματα: R2311

Παροχή Αιχμής (M3/S)	3150.71
Χρονική στιγμή αιχμής	02Sep2000, 09:15
Όγκος (MM)	220.52
Παροχή Αιχμής Εισόδου (M3/S)	3196.86
Όγκος Εισροής (M3)	2.76E8

Απορροή



Κλάδος: R2423

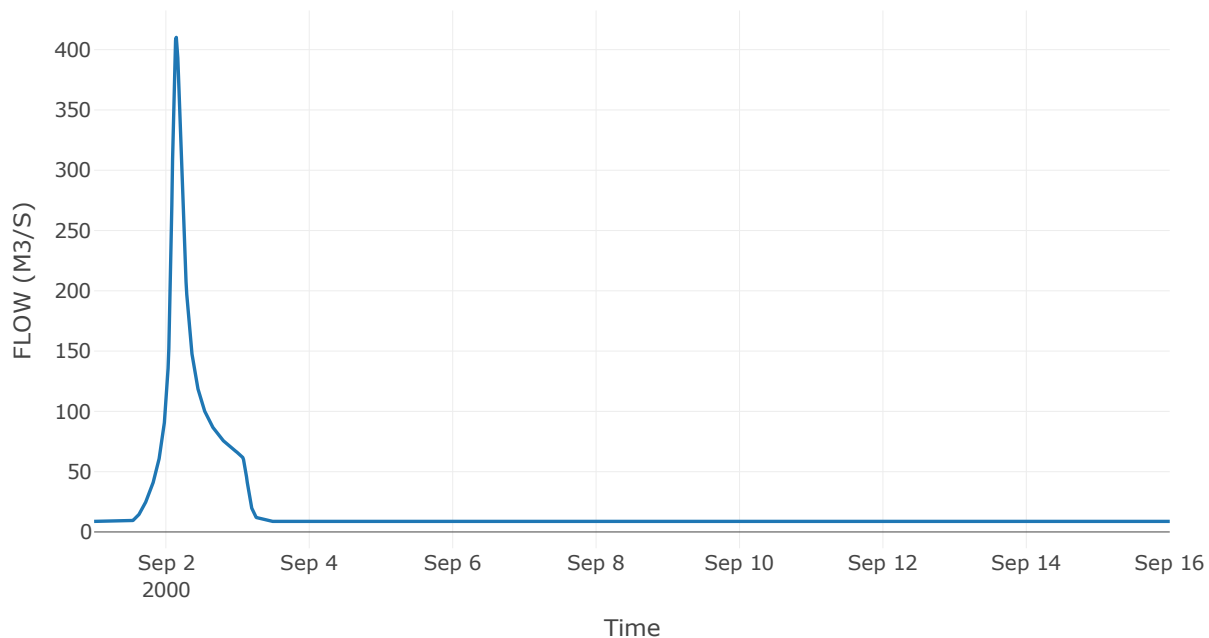
Κατάντη : J23

Μέθοδος Διόδευσης	Muskingum
Αρχική Μεταβλητή	Combined Inflow
Χρόνος Ροής K	1.52
Συντελεστής βάρους x	0.2
Πλήθος Υποκλάδων	6

Αποτελέσματα: R2423

Παροχή Αιχμής (M3/S)	410.21
Χρονική στιγμή αιχμής	02Sep2000, 03:30
Όγκος (MM)	203.83
Παροχή Αιχμής Εισόδου (M3/S)	427.49
Όγκος Εισροής (M3)	2.55E7

Απορροή



Κλάδος: R257

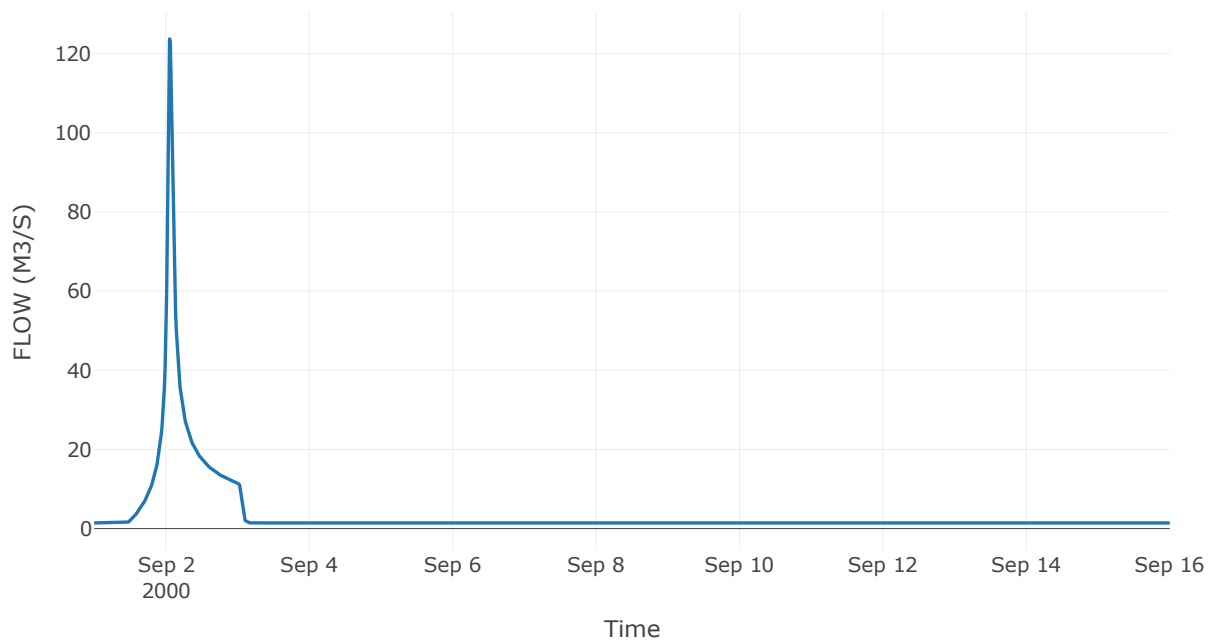
Κατάντη : J7

Μέθοδος Διόδευσης	Χρόνος
Αρχική Μεταβλητή	Combined Inflow
Χρόνος Υστέρησης	25.15

Αποτελέσματα: R257

Παροχή Αιχμής (M3/S)	123.7
Χρονική στιγμή αιχμής	02Sep2000, 01:15
Όγκος (MM)	231.37
Παροχή Αιχμής Εισόδου (M3/S)	125.1
Όγκος Εισροής (M3)	4.72E6

Απορροή



Κλάδος: R265

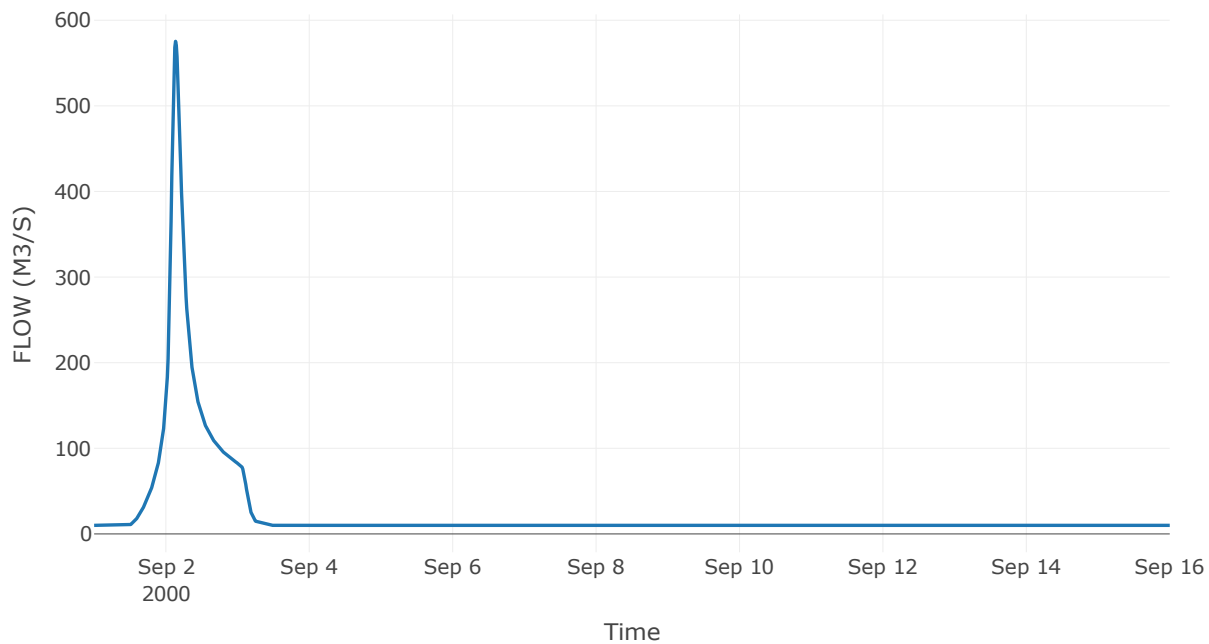
Κατάντη : J5

Μέθοδος Διόδευσης	Muskingum
Αρχική Μεταβλητή	Combined Inflow
Χρόνος Ροής K	1.19
Συντελεστής βάρους x	0.2
Πλήθος Υποκλάδων	5

Αποτελέσματα: R265

Παροχή Αιχμής (M3/S)	575.36
Χρονική στιγμή αιχμής	02Sep2000, 03:15
Όγκος (MM)	227.3
Παροχή Αιχμής Εισόδου (M3/S)	592.84
Όγκος Εισροής (M3)	3.24E7

Απορροή



Κλάδος: R274

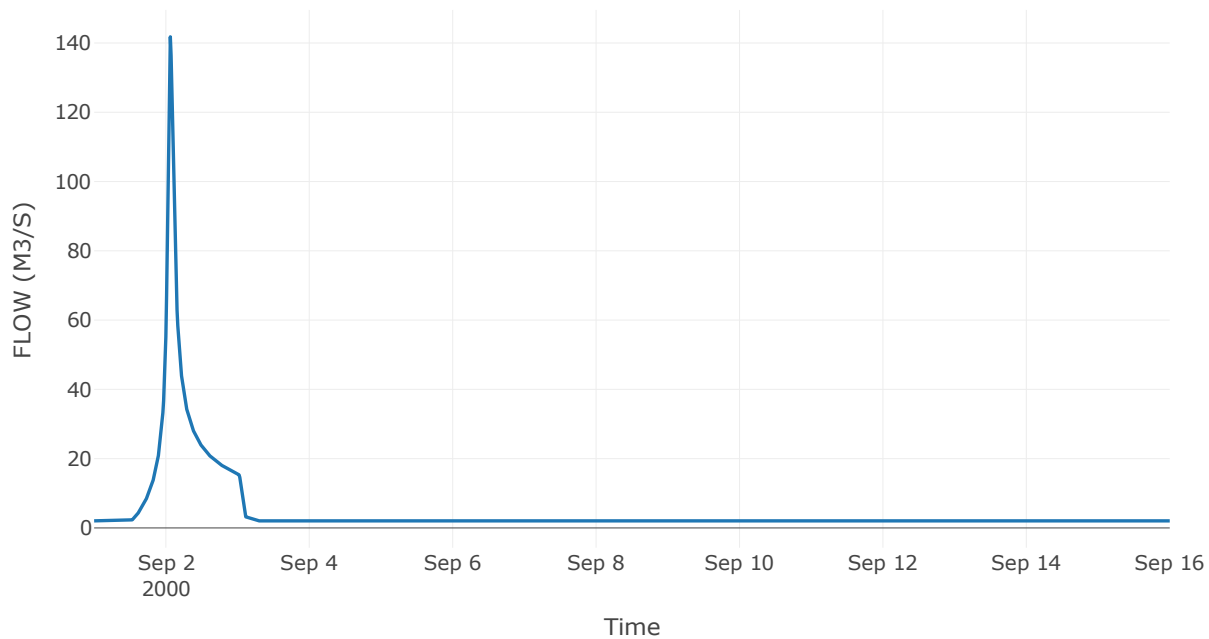
Κατάντη : J4

Μέθοδος Διόδευσης	Χρόνος
Αρχική Μεταβλητή	Combined Inflow
Χρόνος Υστέρησης	19.78

Αποτελέσματα: R274

Παροχή Αιχμής (M3/S)	141.78
Χρονική στιγμή αιχμής	02Sep2000, 01:30
Όγκος (MM)	214.5
Παροχή Αιχμής Εισόδου (M3/S)	141.93
Όγκος Εισροής (M3)	6.24E6

Απορροή



Κλάδος: R2917

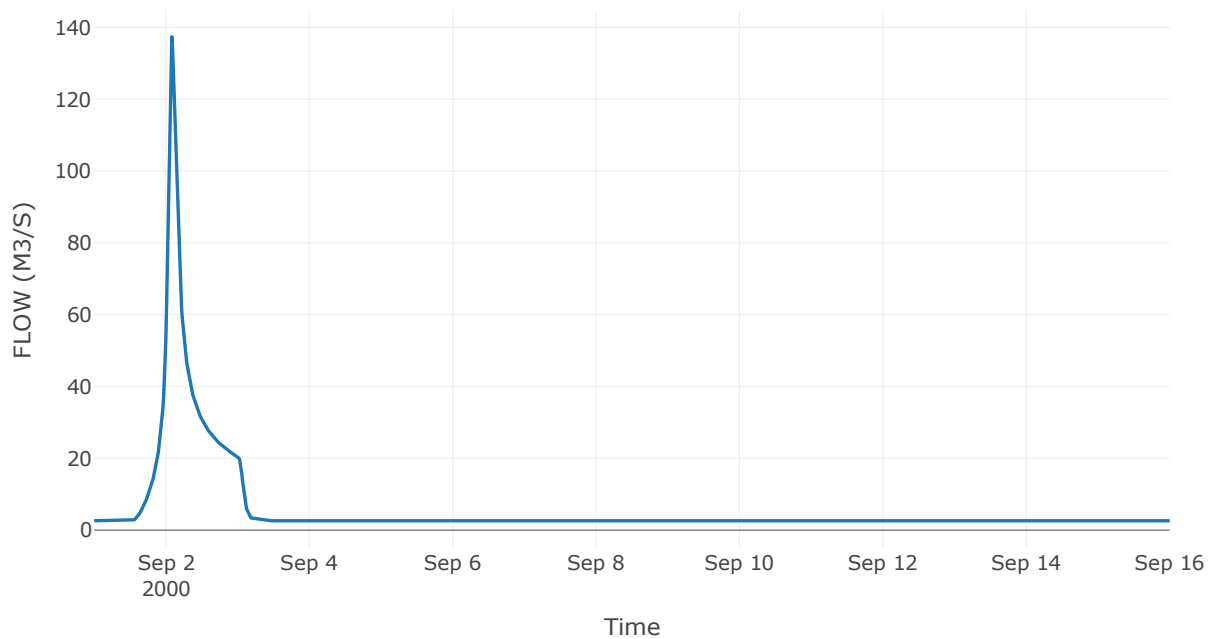
Κατάντη : J17

Μέθοδος Διόδευσης	Χρόνος
Αρχική Μεταβλητή	Combined Inflow
Χρόνος Υστέρησης	8.78

Αποτελέσματα: R2917

Παροχή Αιχμής (M3/S)	137.39
Χρονική στιγμή αιχμής	02Sep2000, 02:00
Όγκος (MM)	206.59
Παροχή Αιχμής Εισόδου (M3/S)	138.06
Όγκος Εισροής (M3)	7.7E6

Απορροή



Κλάδος: R3020

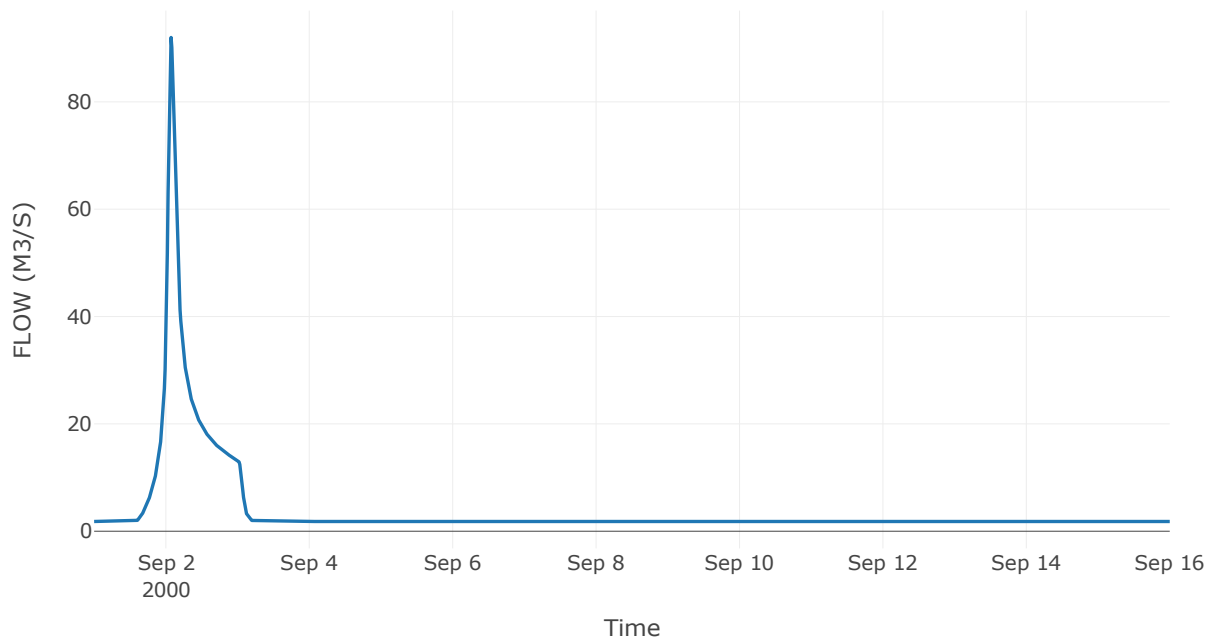
Κατάντη : J20

Μέθοδος Διόδευσης	Muskingum
Αρχική Μεταβλητή	Combined Inflow
Χρόνος Ροής Κ	0.2
Συντελεστής βάρους x	0.2
Πλήθος Υποκλάδων	1

Αποτελέσματα: R3020

Παροχή Αιχμής (M3/S)	91.99
Χρονική στιγμή αιχμής	02Sep2000, 01:45
Όγκος (MM)	195.23
Παροχή Αιχμής Εισόδου (M3/S)	92.73
Όγκος Εισροής (M3)	5.05E6

Απορροή



Κλάδος: R3113

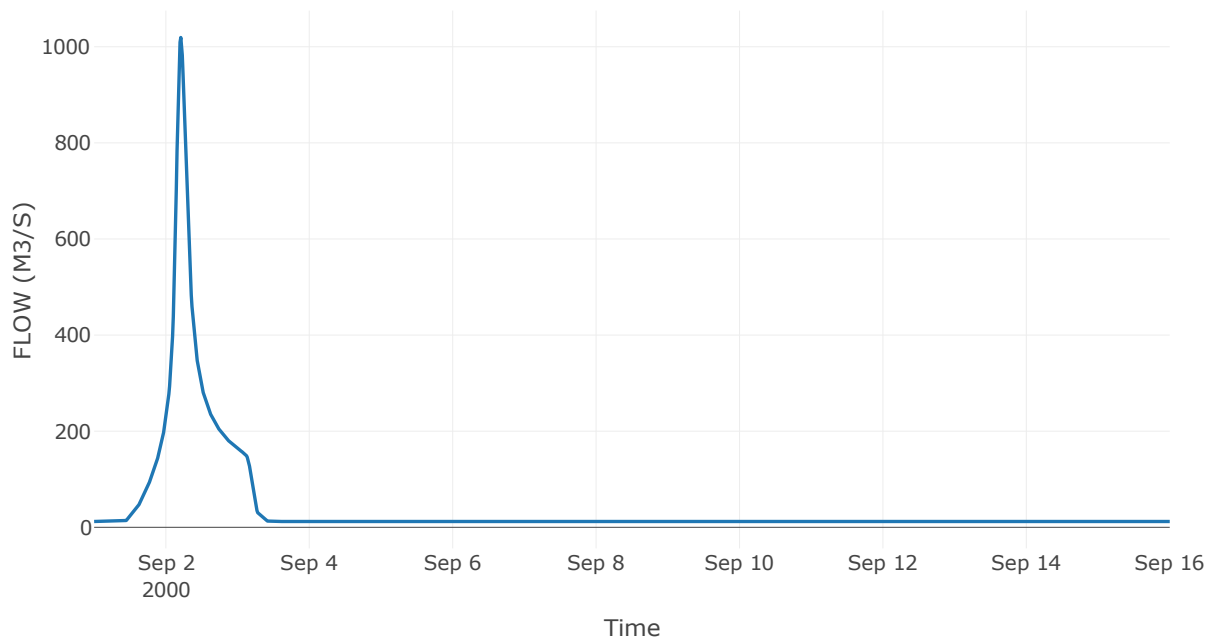
Κατάντη : J13

Μέθοδος Διόδευσης	Muskingum
Αρχική Μεταβλητή	Combined Inflow
Χρόνος Ροής Κ	3.03
Συντελεστής βάρους α	0.2
Πλήθος Υποκλάδων	13

Αποτελέσματα: R3113

Παροχή Αιχμής (M3/S)	1019.31
Χρονική στιγμή αιχμής	02Sep2000, 05:00
Όγκος (MM)	311.79
Παροχή Αιχμής Εισόδου (M3/S)	1101.05
Όγκος Εισροής (M3)	5.38E7

Απορροή



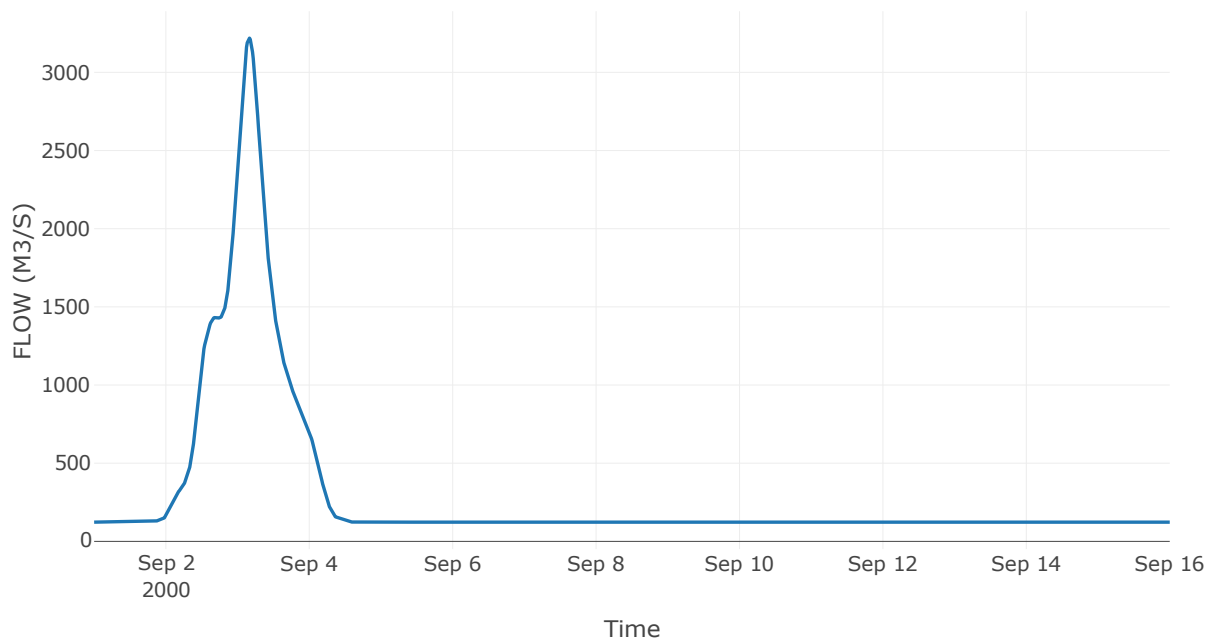
5.3 Δεδομένα και υδρογραφήματα σχεδιασμού Κόμβων υδρογραφικού δικτύου

Κόμβος εξόδου: J1

Αποτελέσμα
τα: J1

Παροχή αιχμής (M3/S)	3218.91
Χρονική στιγμή αιχμής	03Sep2000, 04:00
Όγκος (MM)	221.38

Απορροή



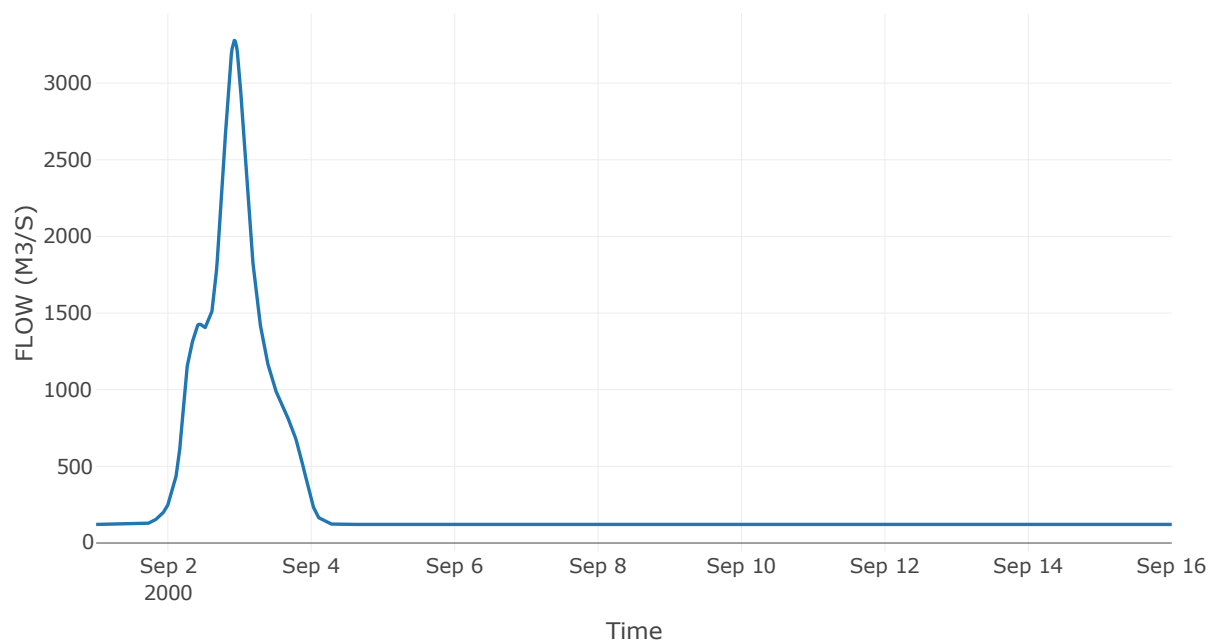
Κόμβος: J2

Κατάντη : R21

Αποτελέσματα: J2

Παροχή Αιχμής (M3/S)	3278.72
Χρονική στιγμή αιχμής	02Sep2000, 22:15
Όγκος (MM)	221.18

Απορροή



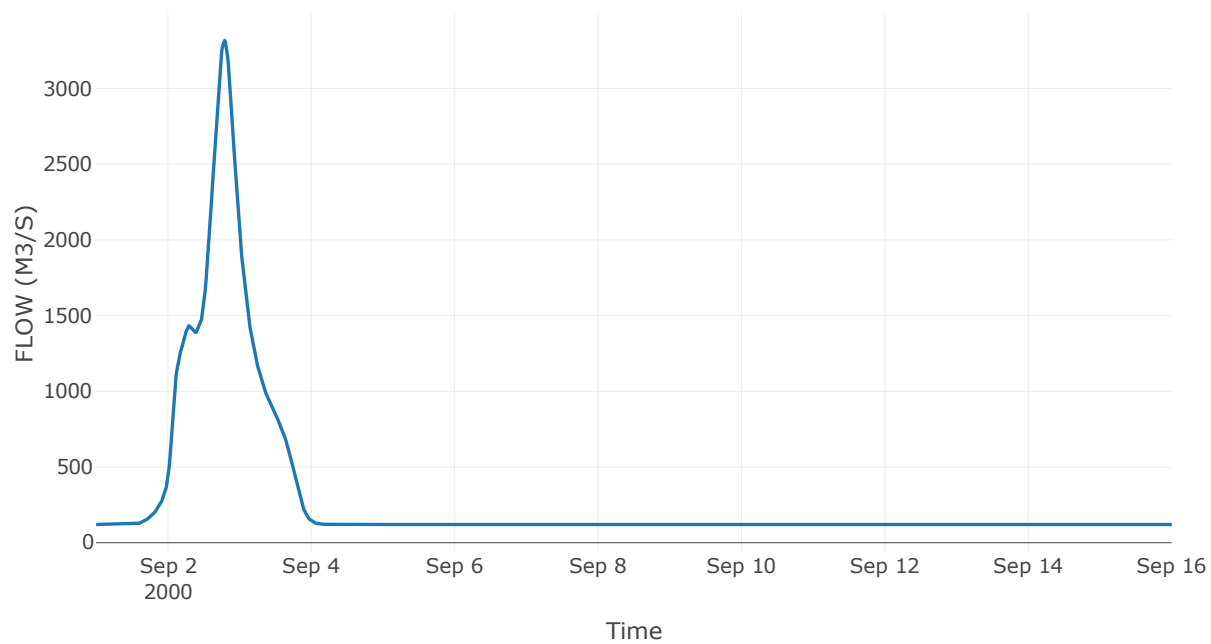
Κόμβος: J3

Κατάντη : R32

Αποτελέσματα: J3

Παροχή Αιχμής (M3/S)	3317.15
Χρονική στιγμή αιχμής	02Sep2000, 19:00
Όγκος (MM)	221.19

Απορροή



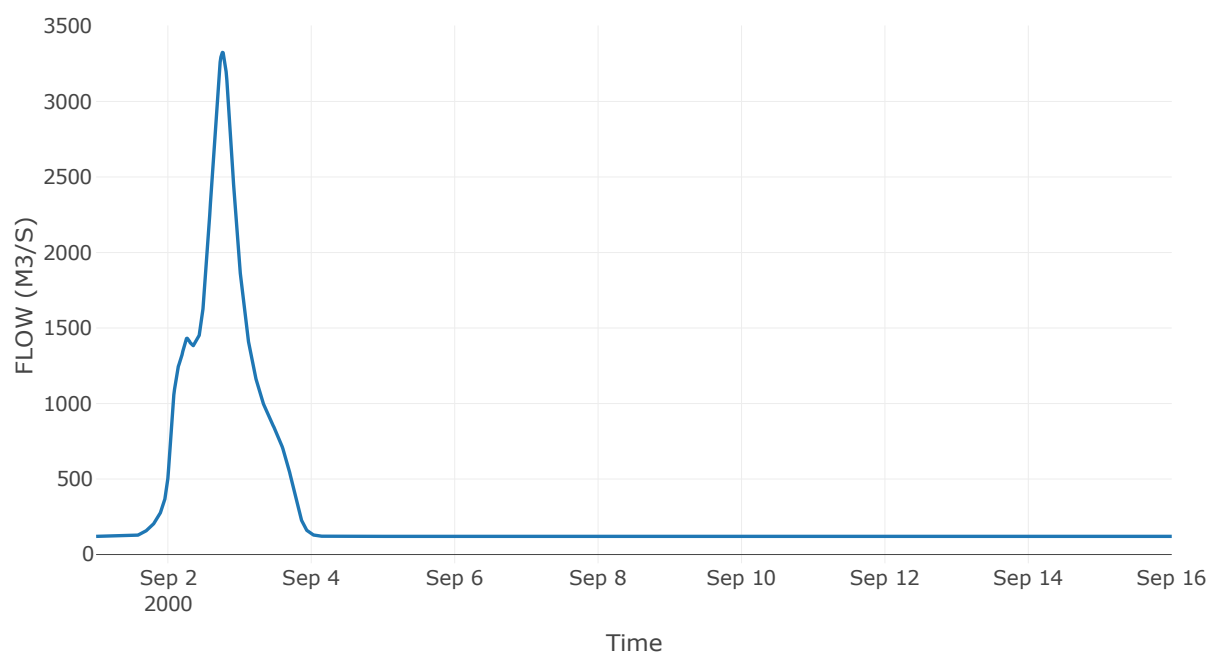
Κόμβος: J4

Κατάντη : R43

Αποτελέσματα: J4

Παροχή Αιχμής (M3/S)	3325.29
Χρονική στιγμή αιχμής	02Sep2000, 18:15
Όγκος (MM)	221.13

Απορροή



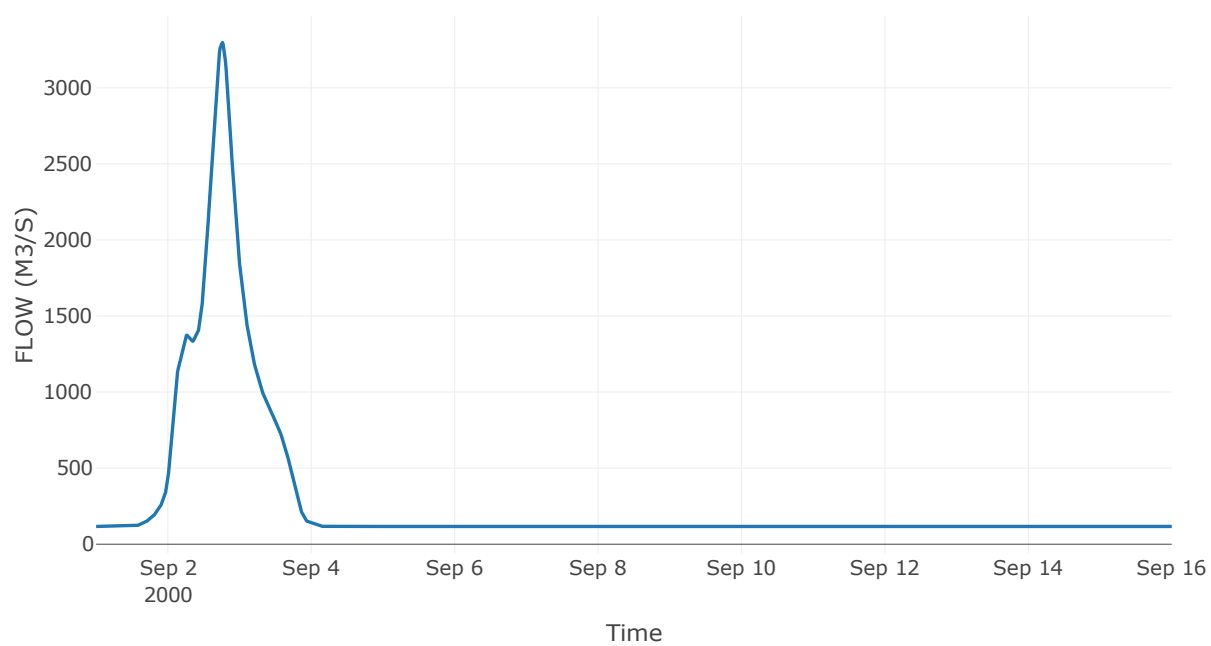
Κόμβος: J5

Κατάντη : R54

Αποτελέσματα: J5

Παροχή Αιχμής (M3/S)	3298
Χρονική στιγμή αιχμής	02Sep2000, 18:00
Όγκος (MM)	221.4

Απορροή



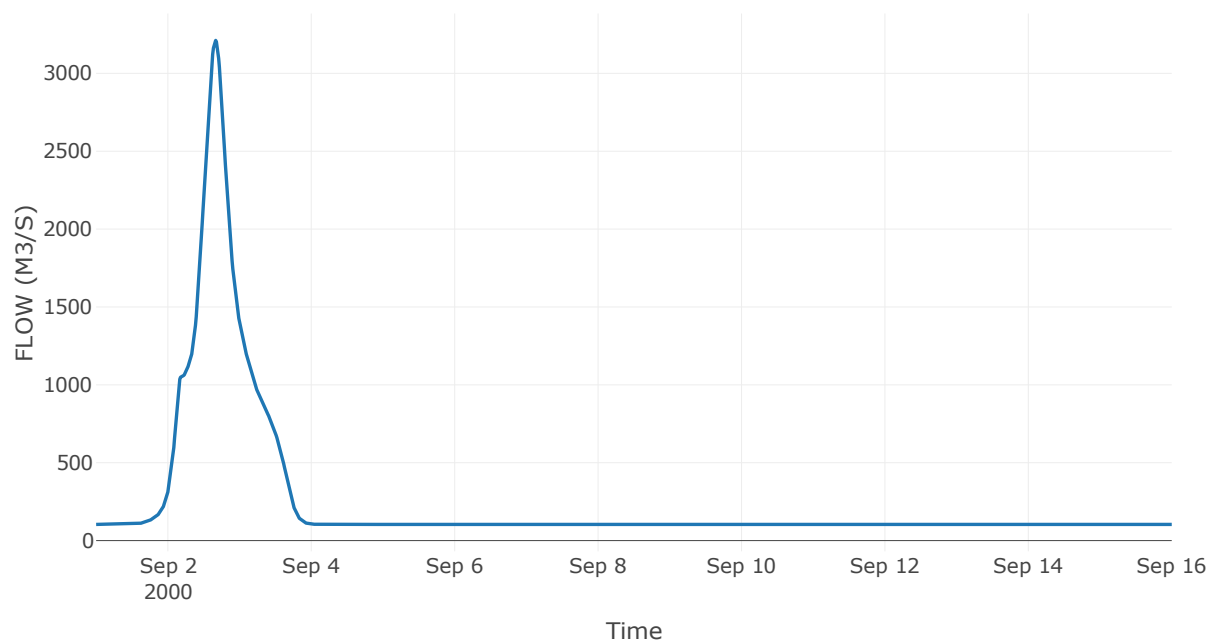
Κόμβος: J6

Κατάντη : R65

Αποτελέσματα: J6

Παροχή Αιχμής (M3/S)	3211.64
Χρονική στιγμή αιχμής	02Sep2000, 16:00
Όγκος (MM)	221.38

Απορροή



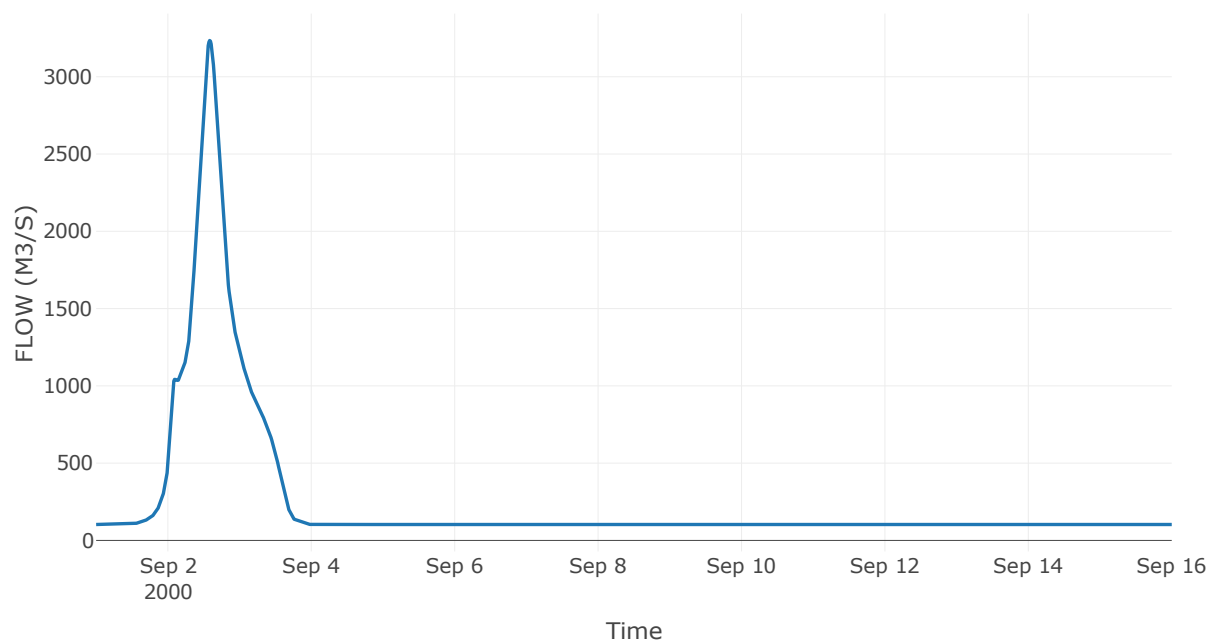
Κόμβος: J7

Κατάντη : R76

Αποτελέσματα: J7

Παροχή Αιχμής (M3/S)	3234.51
Χρονική στιγμή αιχμής	02Sep2000, 14:00
Όγκος (MM)	221.44

Απορροή



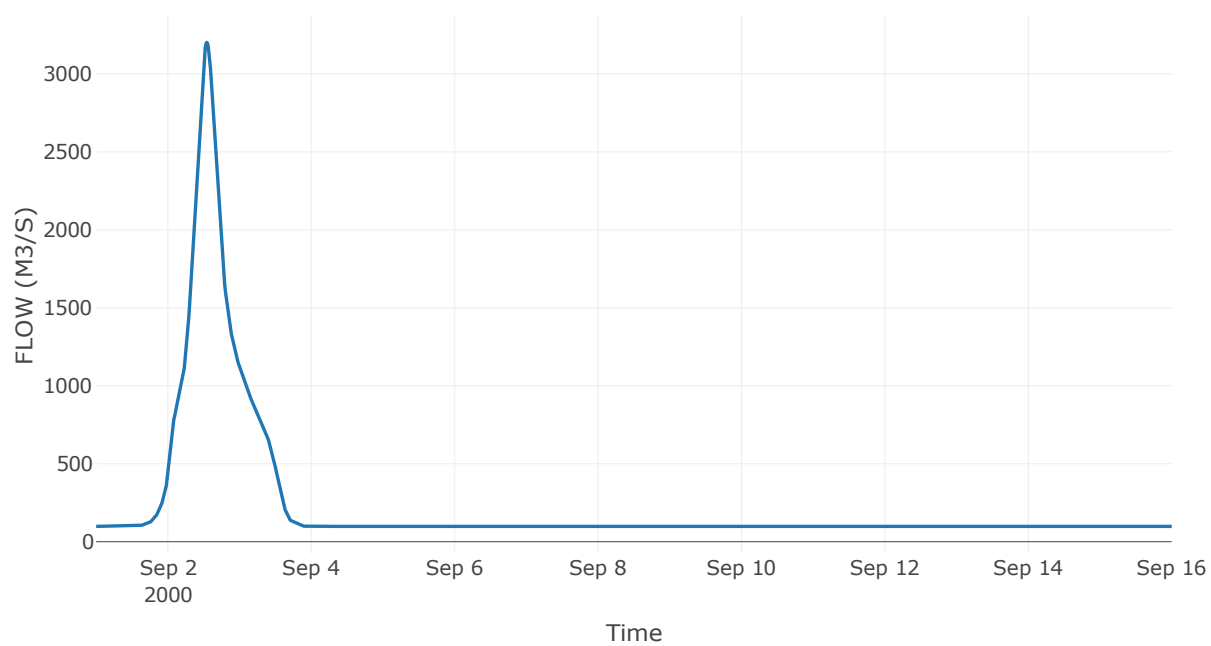
Κόμβος: J8

Κατάντη : R87

Αποτελέσματα: J8

Παροχή Αιχμής (M3/S)	3202.07
Χρονική στιγμή αιχμής	02Sep2000, 13:00
Όγκος (MM)	220.39

Απορροή



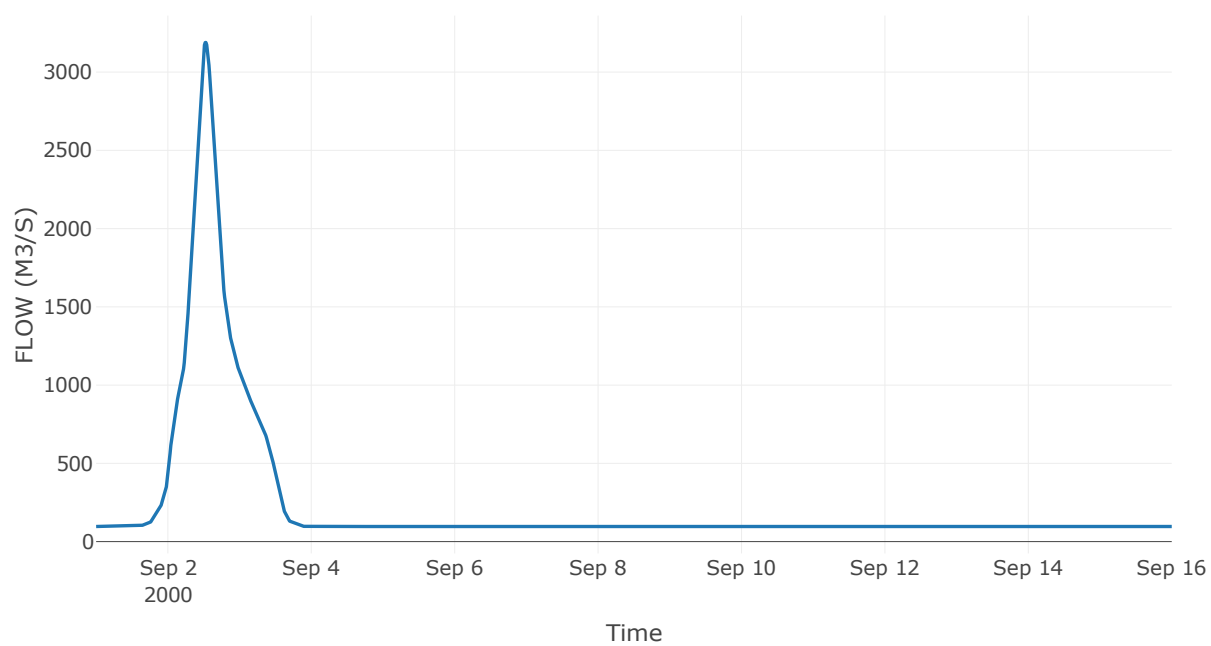
Κόμβος: J9

Κατάντη : R98

Αποτελέσματα: J9

Παροχή Αιχμής (M3/S)	3189.24
Χρονική στιγμή αιχμής	02Sep2000, 12:45
Όγκος (MM)	220.53

Απορροή



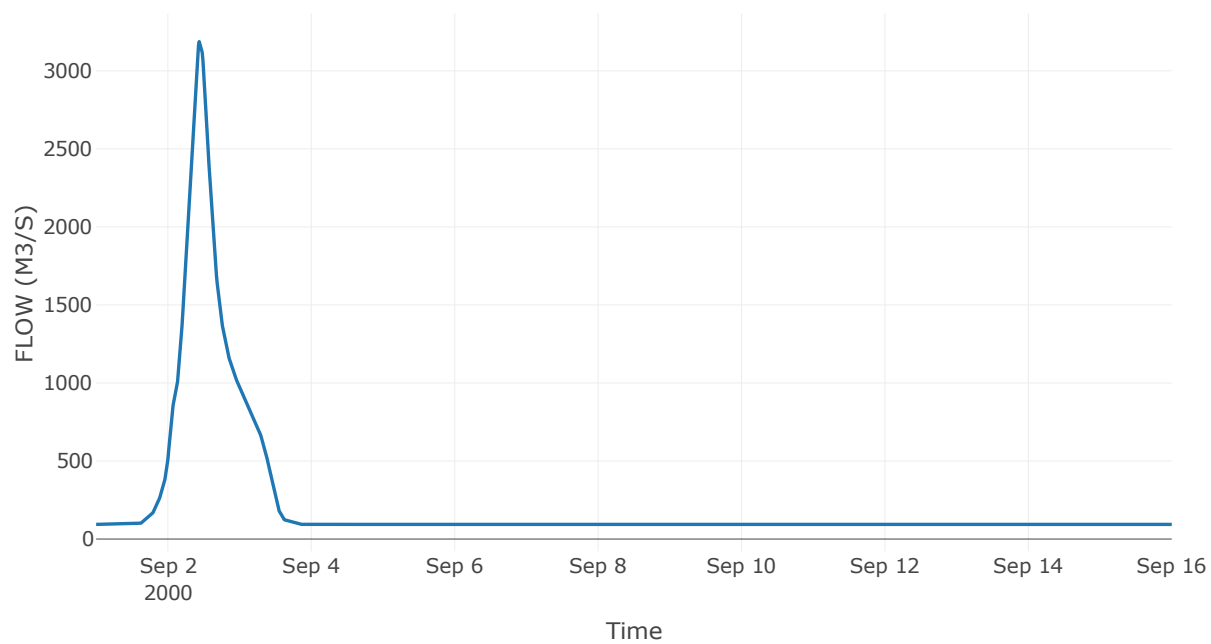
Κόμβος: J10

Κατάντη : R109

Αποτελέσματα: J10

Παροχή Αιχμής (M3/S)	3195.06
Χρονική στιγμή αιχμής	02Sep2000, 10:45
Όγκος (MM)	220.12

Απορροή



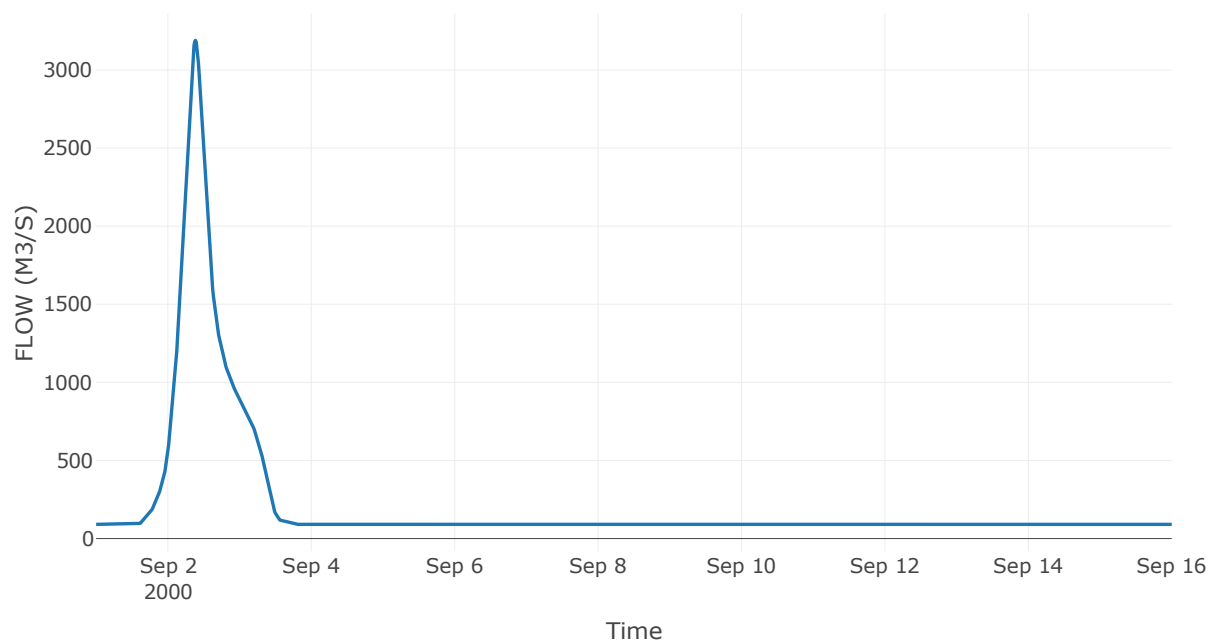
Κόμβος: J11

Κατάντη : R1110

Αποτελέσματα: J11

Παροχή Αιχμής (M3/S)	3189.66
Χρονική στιγμή αιχμής	02Sep2000, 09:15
Όγκος (MM)	219.4

Απορροή



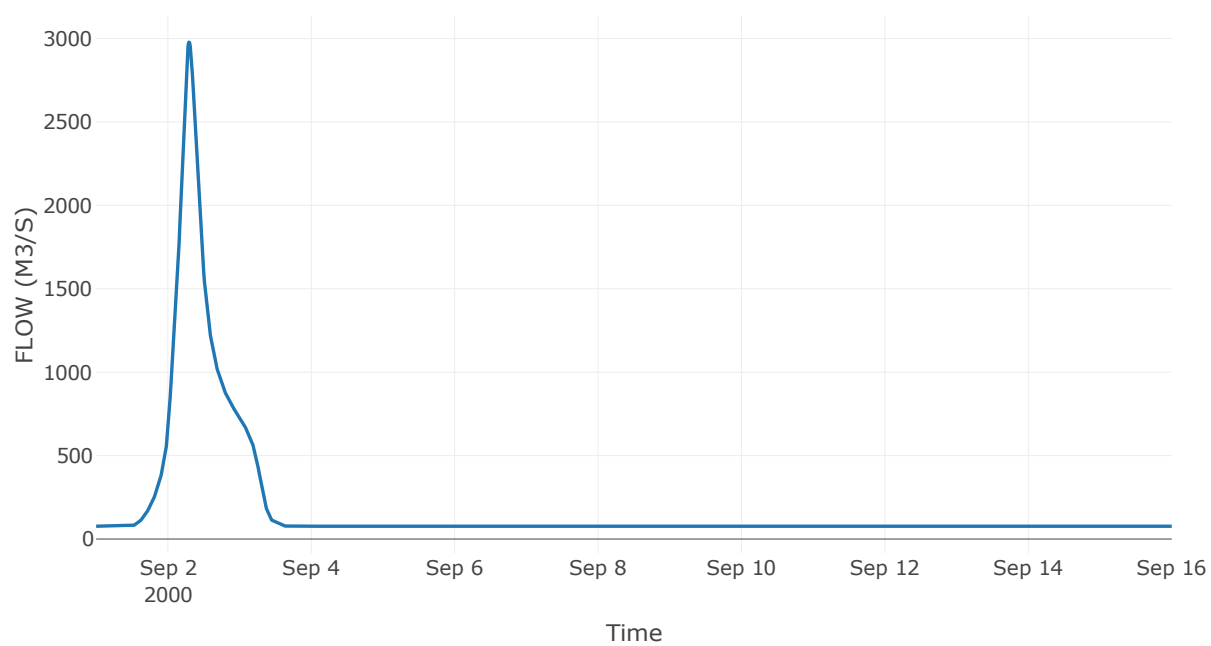
Κόμβος: J12

Κατάντη : R1223

Αποτελέσματα: J12

Παροχή Αιχμής (M3/S)	2977.83
Χρονική στιγμή αιχμής	02Sep2000, 07:00
Όγκος (MM)	223.19

Απορροή



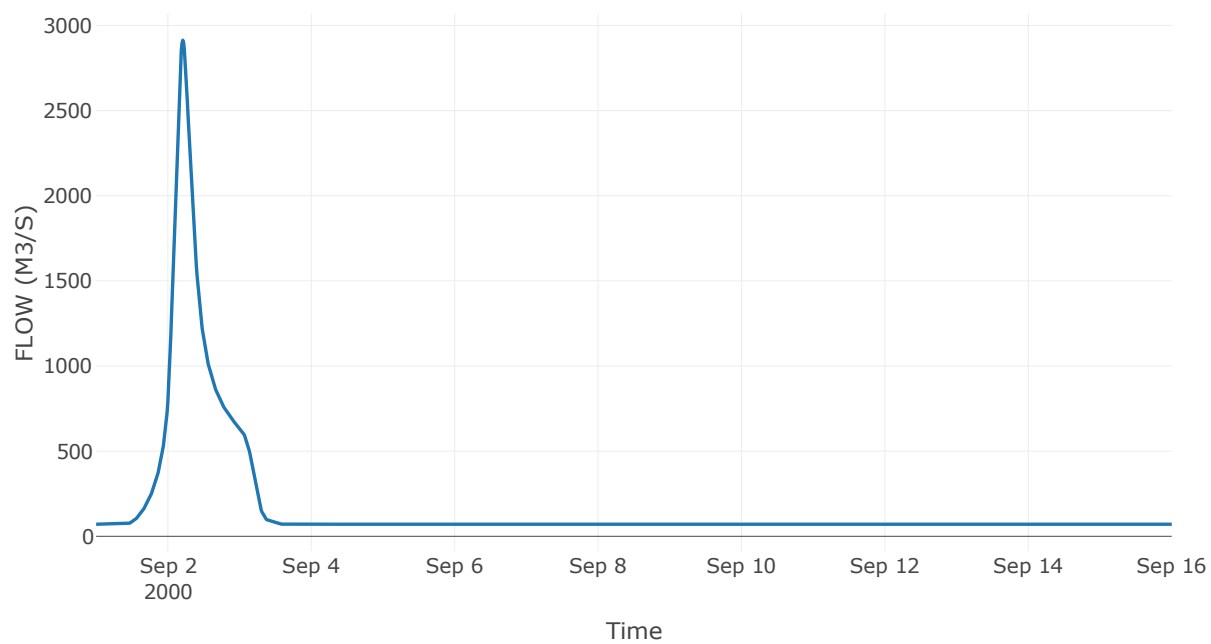
Κόμβος: J13

Κατάντη : R1312

Αποτελέσματα: J13

Παροχή Αιχμής (M3/S)	2913.48
Χρονική στιγμή αιχμής	02Sep2000, 05:00
Όγκος (MM)	221.65

Απορροή



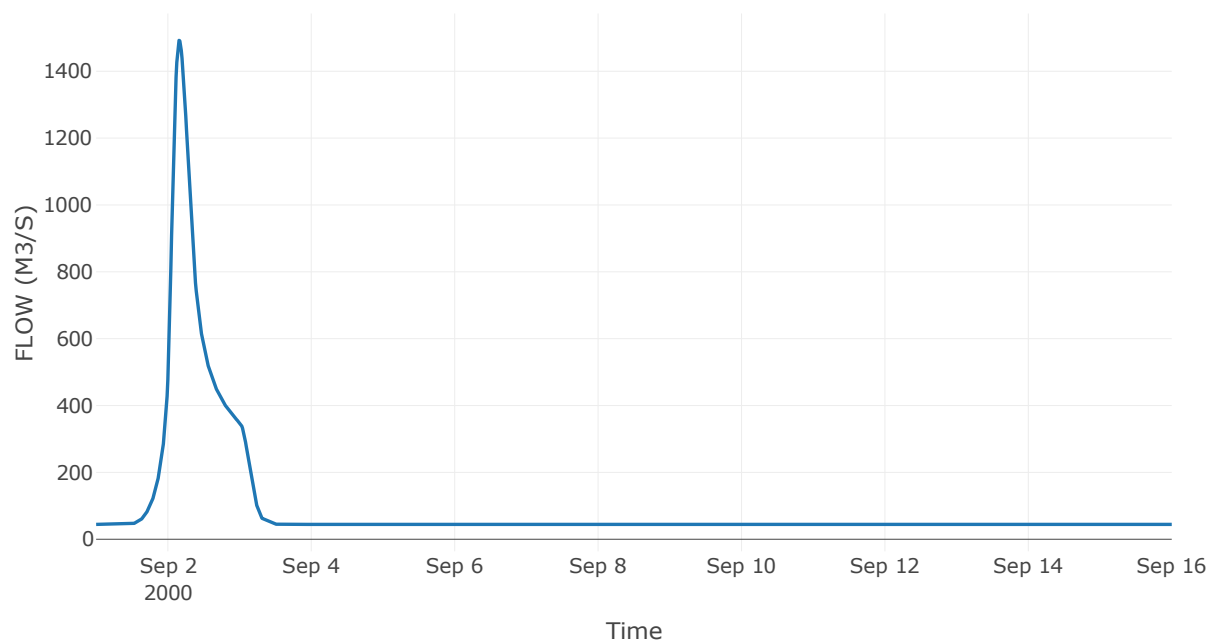
Κόμβος: J14

Κατάντη : R1413

Αποτελέσματα: J14

Παροχή Αιχμής (M3/S)	1492.39
Χρονική στιγμή αιχμής	02Sep2000, 03:45
Όγκος (MM)	197.19

Απορροή



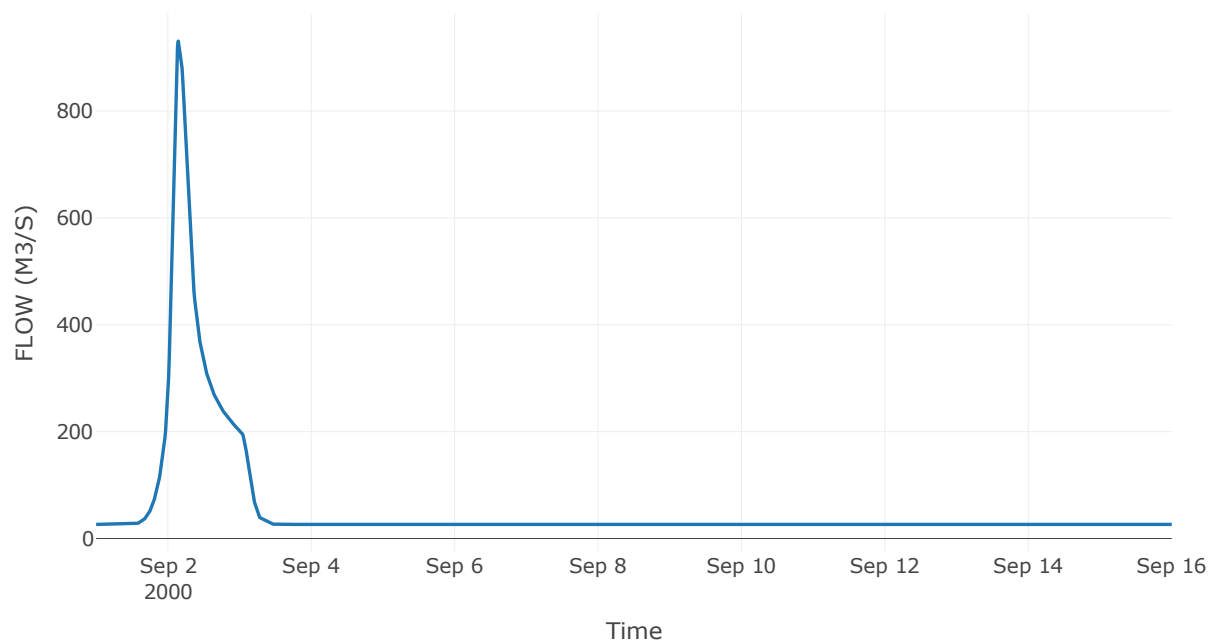
Κόμβος: J15

Κατάντη : R1514

Αποτελέσματα: J15

Παροχή Αιχμής (M3/S)	932.2
Χρονική στιγμή αιχμής	02Sep2000, 03:45
Όγκος (MM)	194.91

Απορροή



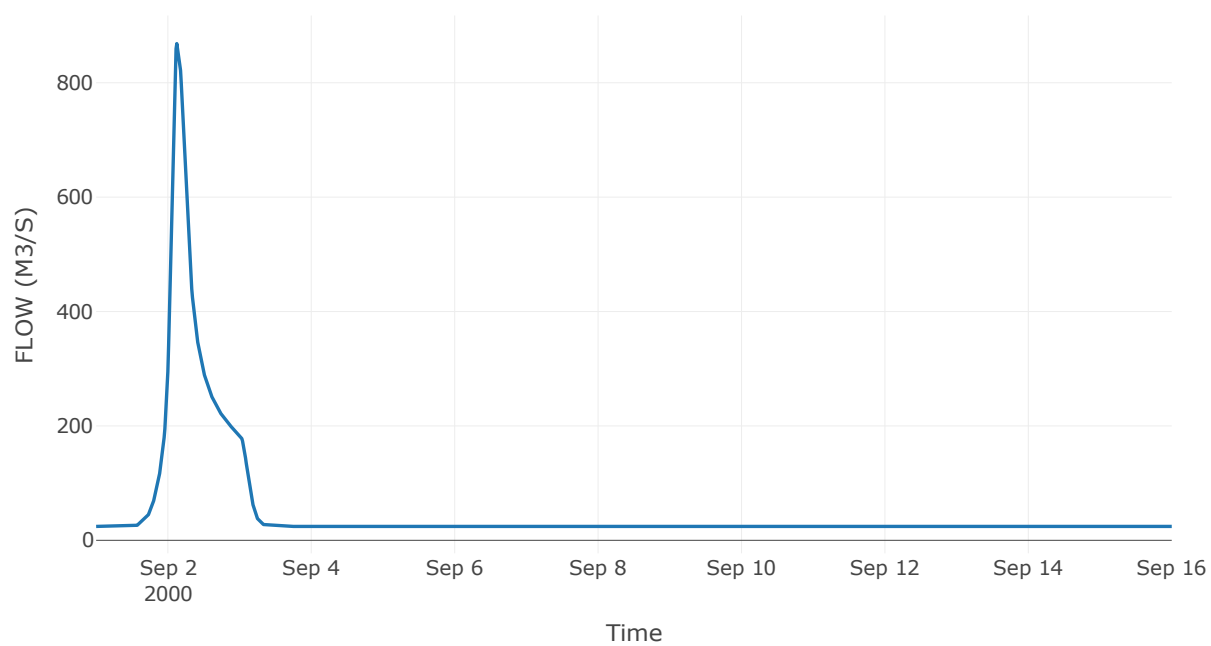
Κόμβος: J16

Κατάντη : R1615

Αποτελέσματα: J16

Παροχή Αιχμής (M3/S)	870.6
Χρονική στιγμή αιχμής	02Sep2000, 03:15
Όγκος (MM)	194.63

Απορροή



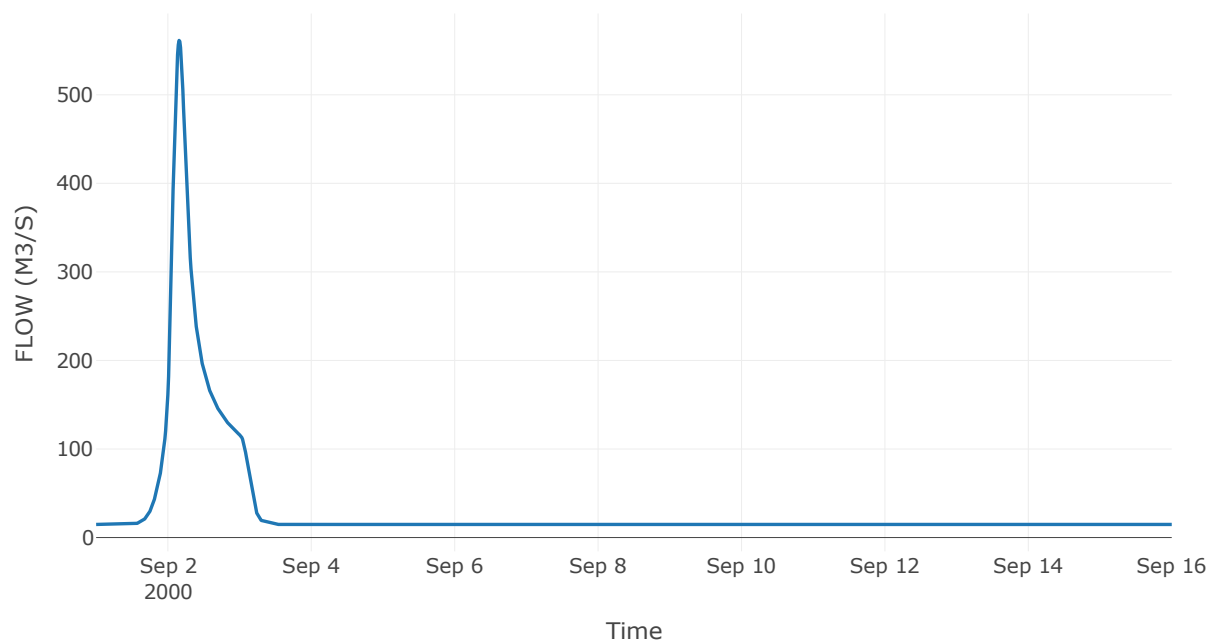
Κόμβος: J17

Κατάντη : R1716

Αποτελέσματα: J17

Παροχή Αιχμής (M3/S)	561.39
Χρονική στιγμή αιχμής	02Sep2000, 03:45
Όγκος (MM)	198.36

Απορροή



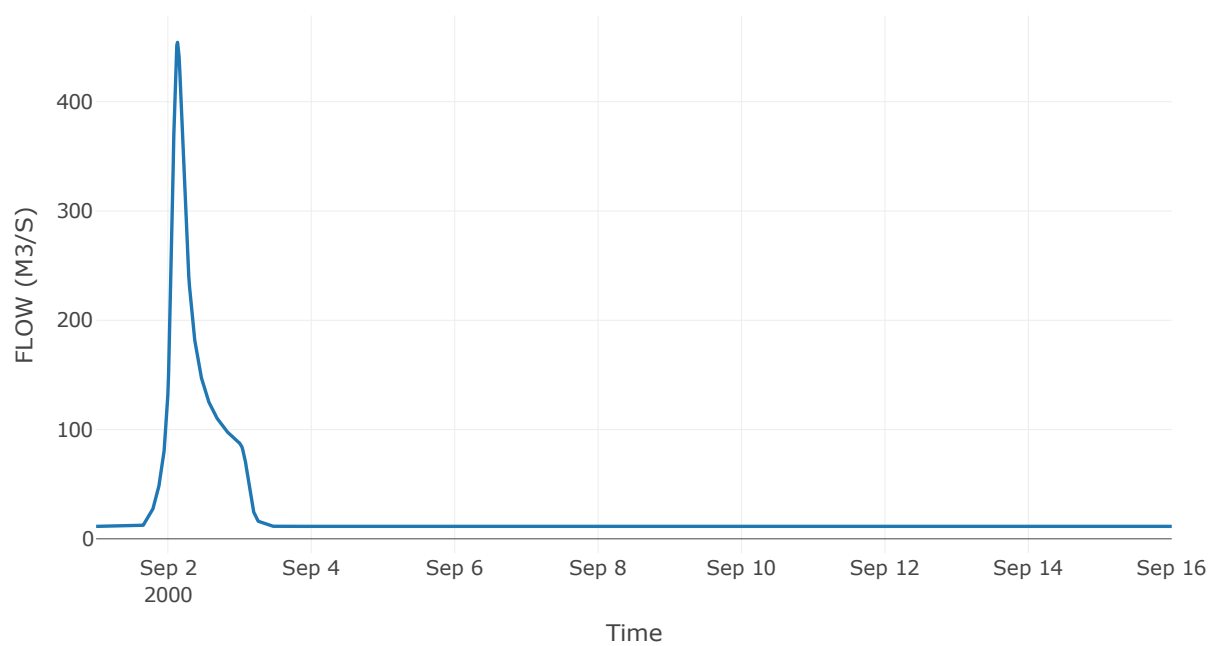
Κόμβος: J18

Κατάντη : R1817

Αποτελέσματα: J18

Παροχή Αιχμής (M3/S)	454.35
Χρονική στιγμή αιχμής	02Sep2000, 03:15
Όγκος (MM)	195.64

Απορροή



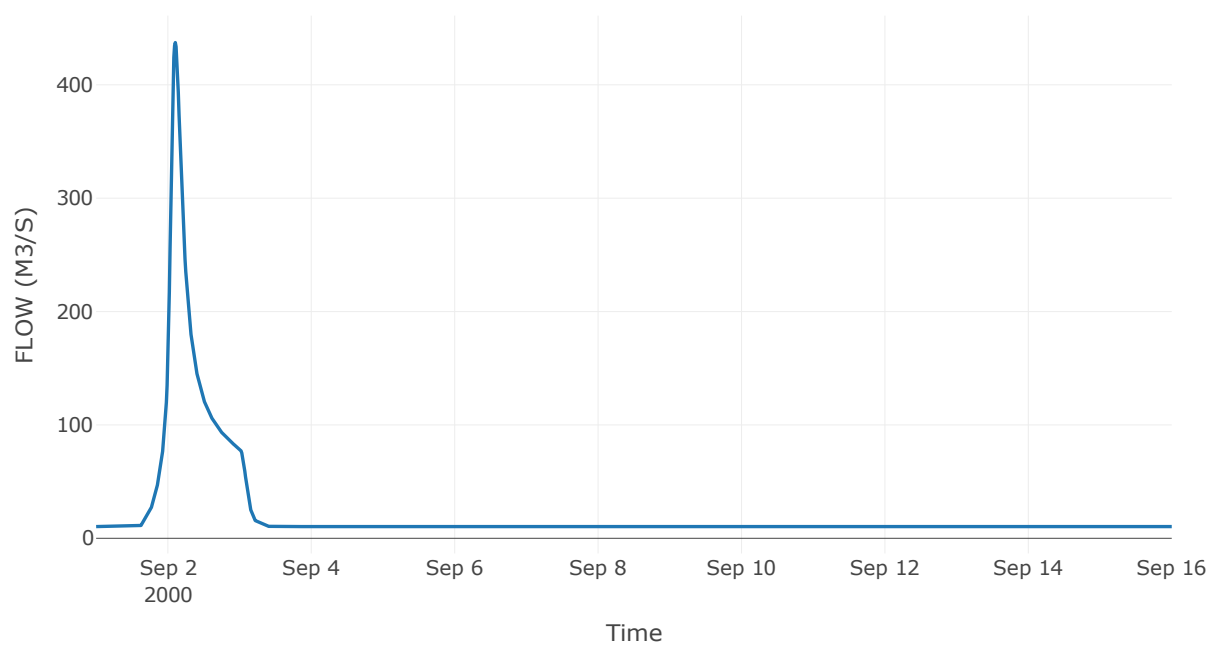
Κόμβος: J19

Κατάντη : R1918

Αποτελέσματα: J19

Παροχή Αιχμής (M3/S)	437.3
Χρονική στιγμή αιχμής	02Sep2000, 02:30
Όγκος (MM)	197.91

Απορροή



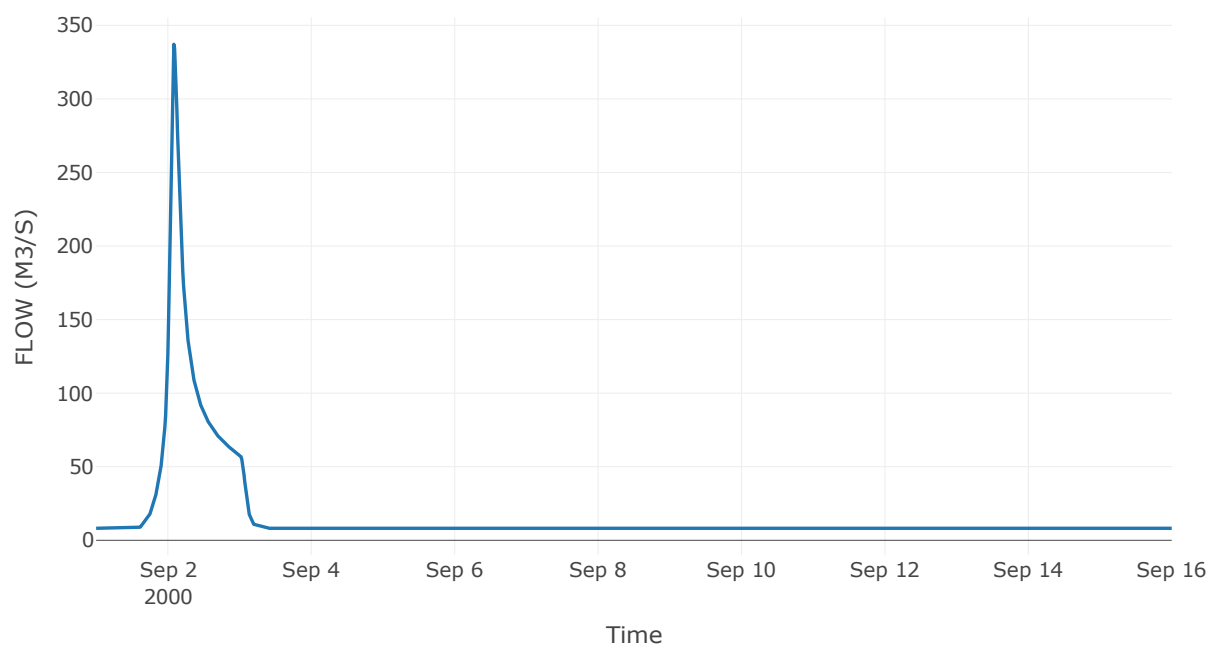
Κόμβος: J20

Κατάντη : R2016

Αποτελέσματα: J20

Παροχή Αιχμής (M3/S)	337.16
Χρονική στιγμή αιχμής	02Sep2000, 02:00
Όγκος (MM)	187.26

Απορροή



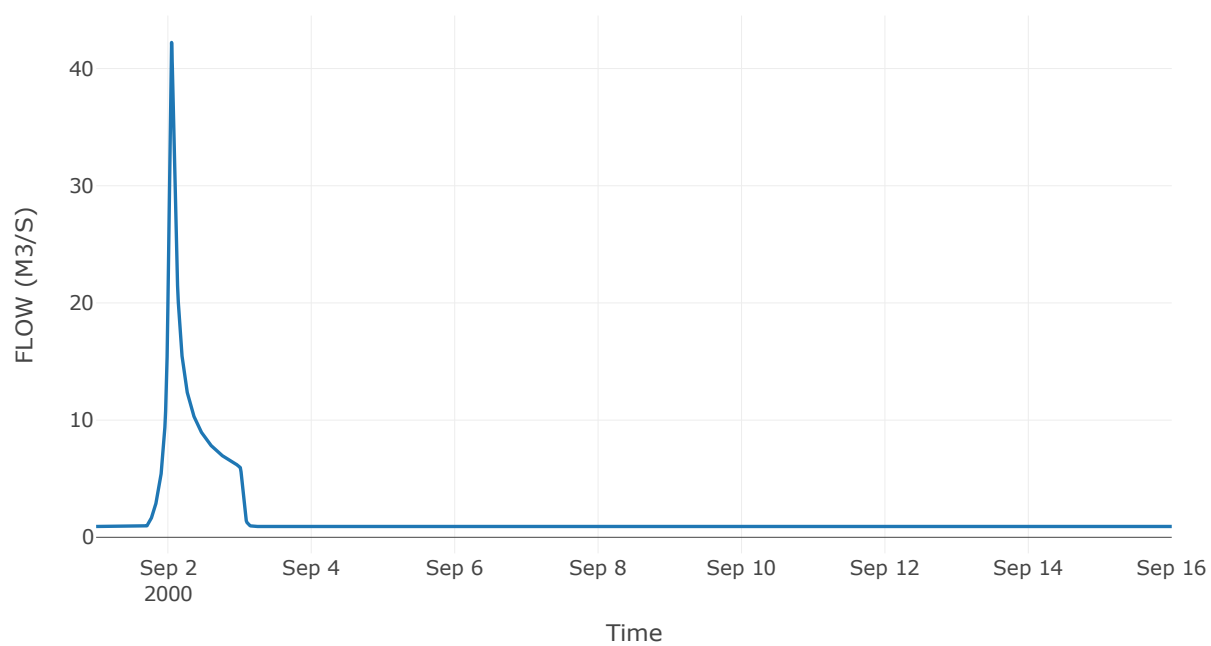
Κόμβος: J21

Κατάντη : R2120

Αποτελέσματα: J21

Παροχή Αιχμής (M3/S)	42.23
Χρονική στιγμή αιχμής	02Sep2000, 01:15
Όγκος (MM)	174.95

Απορροή



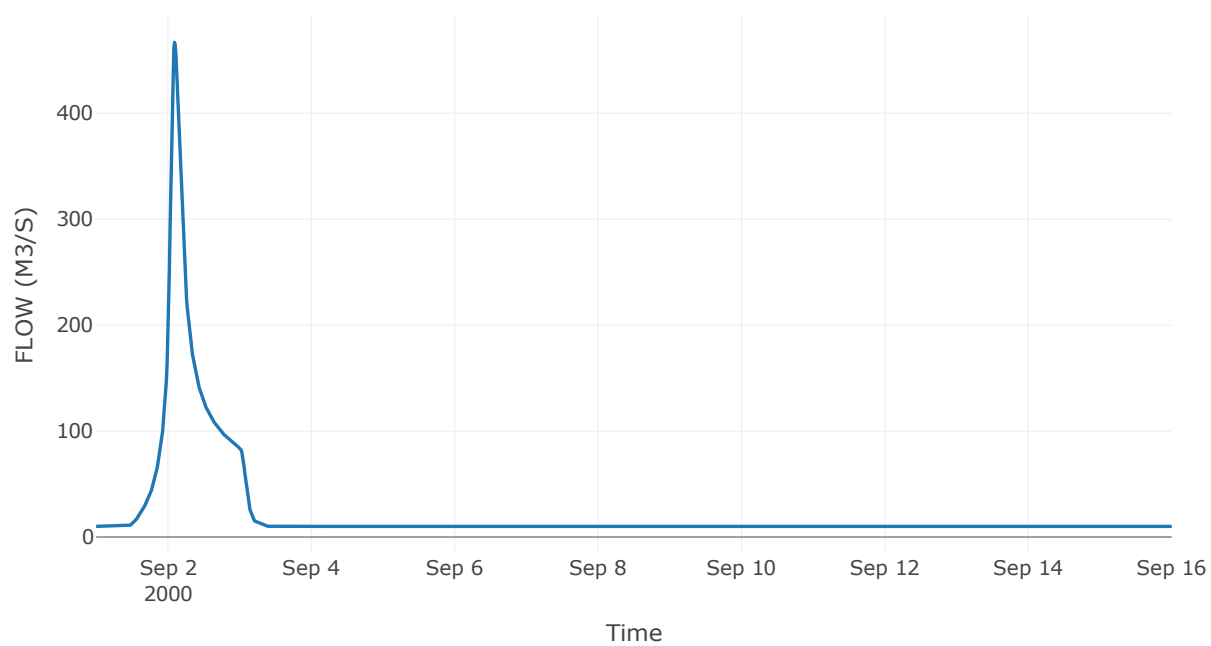
Κόμβος: J22

Κατάντη : R2214

Αποτελέσματα: J22

Παροχή Αιχμής (M3/S)	466.9
Χρονική στιγμή αιχμής	02Sep2000, 02:15
Όγκος (MM)	211.29

Απορροή



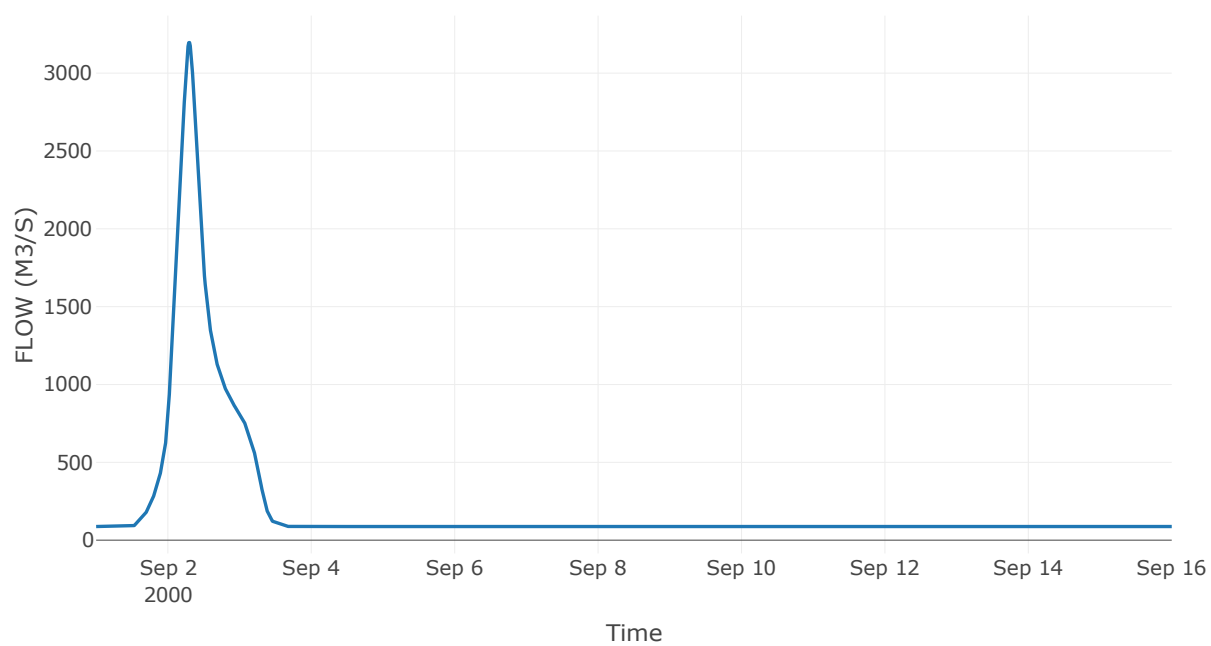
Κόμβος: J23

Κατάντη : R2311

Αποτελέσματα: J23

Παροχή Αιχμής (M3/S)	3196.86
Χρονική στιγμή αιχμής	02Sep2000, 07:15
Όγκος (MM)	220.52

Απορροή



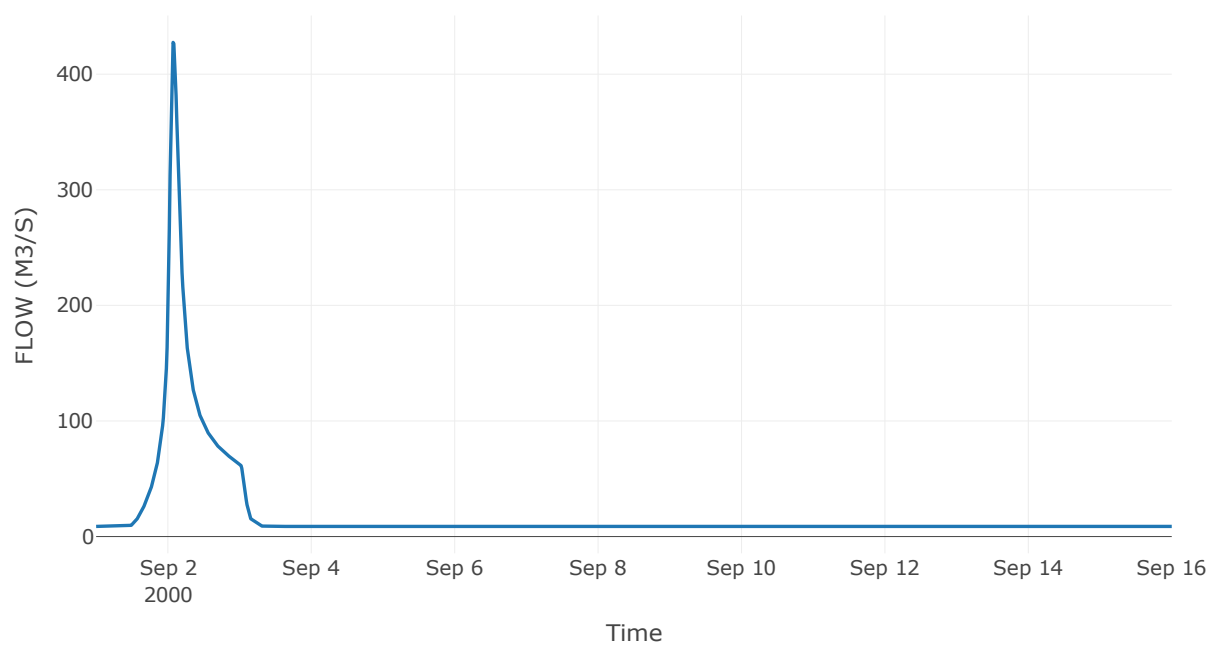
Κόμβος: J24

Κατάντη : R2423

Αποτελέσματα: J24

Παροχή Αιχμής (M3/S)	427.49
Χρονική στιγμή αιχμής	02Sep2000, 01:45
Όγκος (MM)	203.83

Απορροή



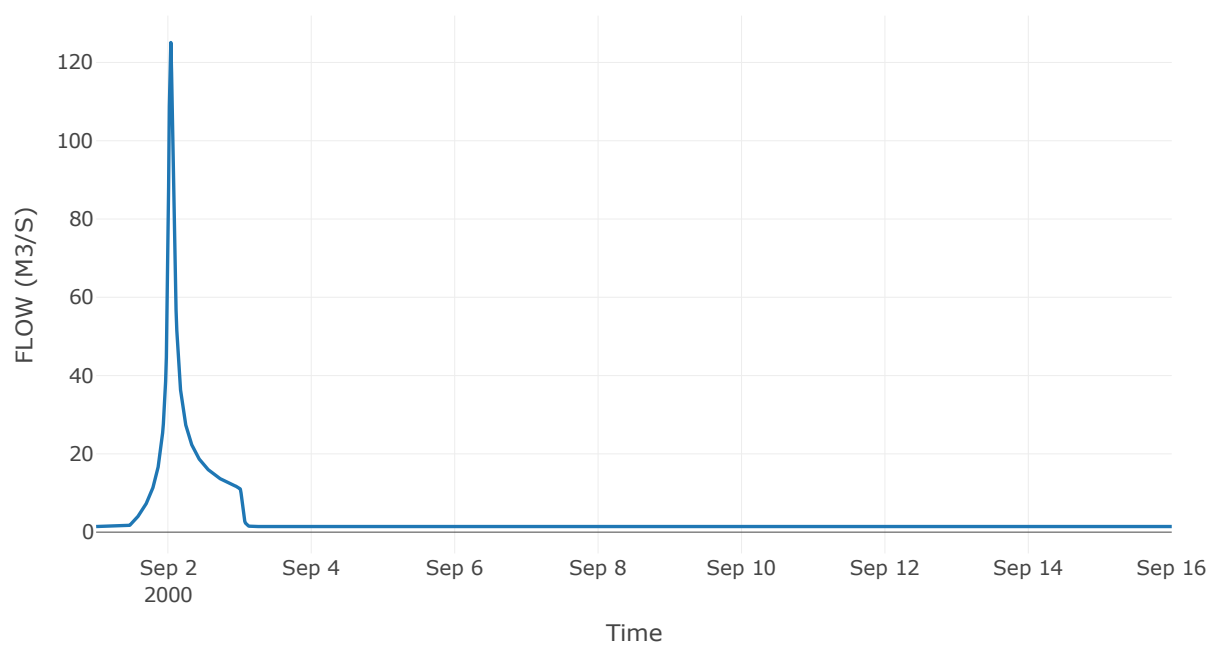
Κόμβος: J25

Κατάντη : R257

Αποτελέσματα: J25

Παροχή Αιχμής (M3/S)	125.1
Χρονική στιγμή αιχμής	02Sep2000, 01:00
Όγκος (MM)	231.37

Απορροή



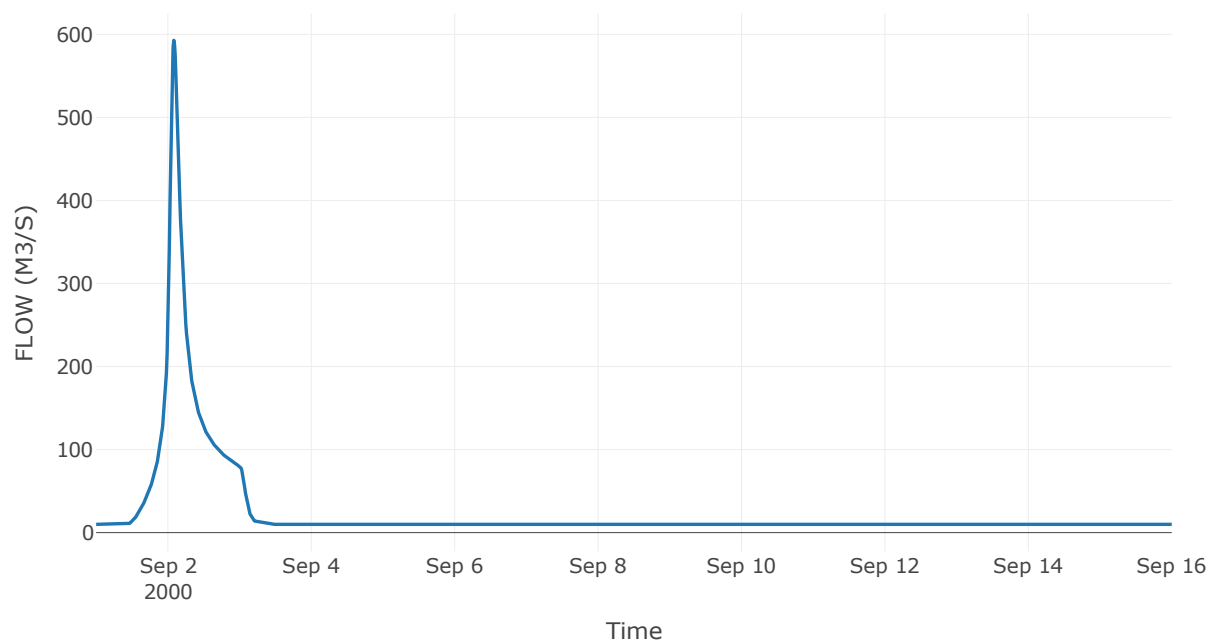
Κόμβος: J26

Κατάντη : R265

Αποτελέσματα: J26

Παροχή Αιχμής (M3/S)	592.84
Χρονική στιγμή αιχμής	02Sep2000, 02:00
Όγκος (MM)	227.3

Απορροή



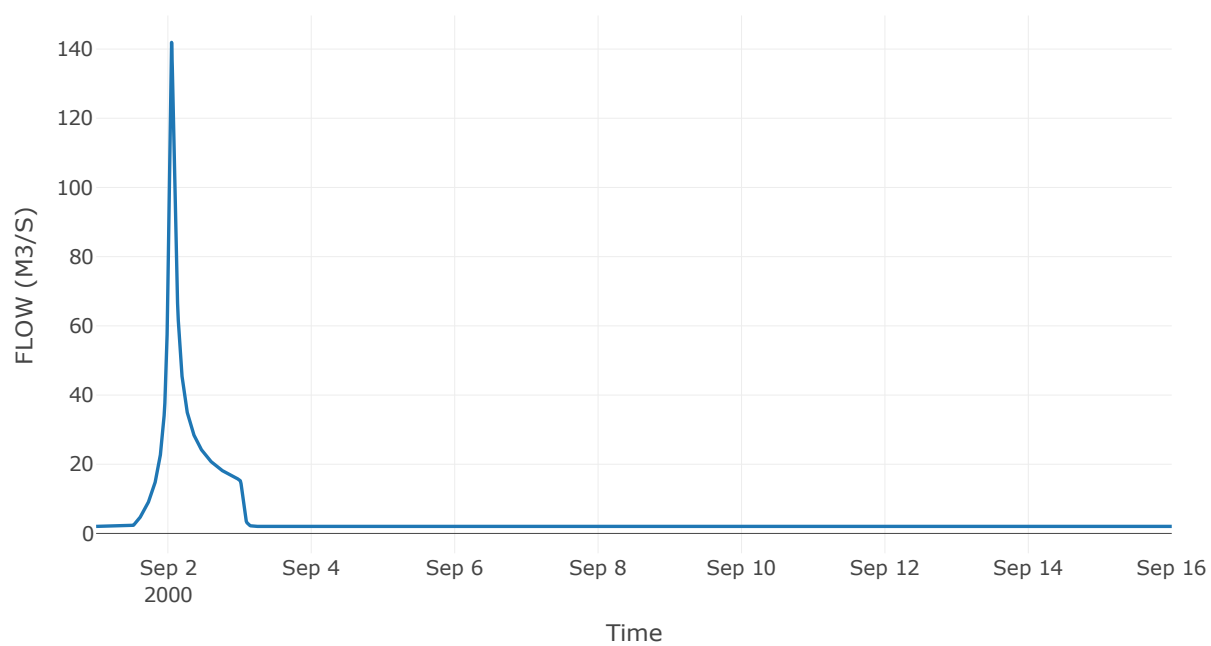
Κόμβος: J27

Κατάντη : R274

Αποτελέσματα: J27

Παροχή Αιχμής (M3/S)	141.93
Χρονική στιγμή αιχμής	02Sep2000, 01:15
Όγκος (MM)	214.5

Απορροή

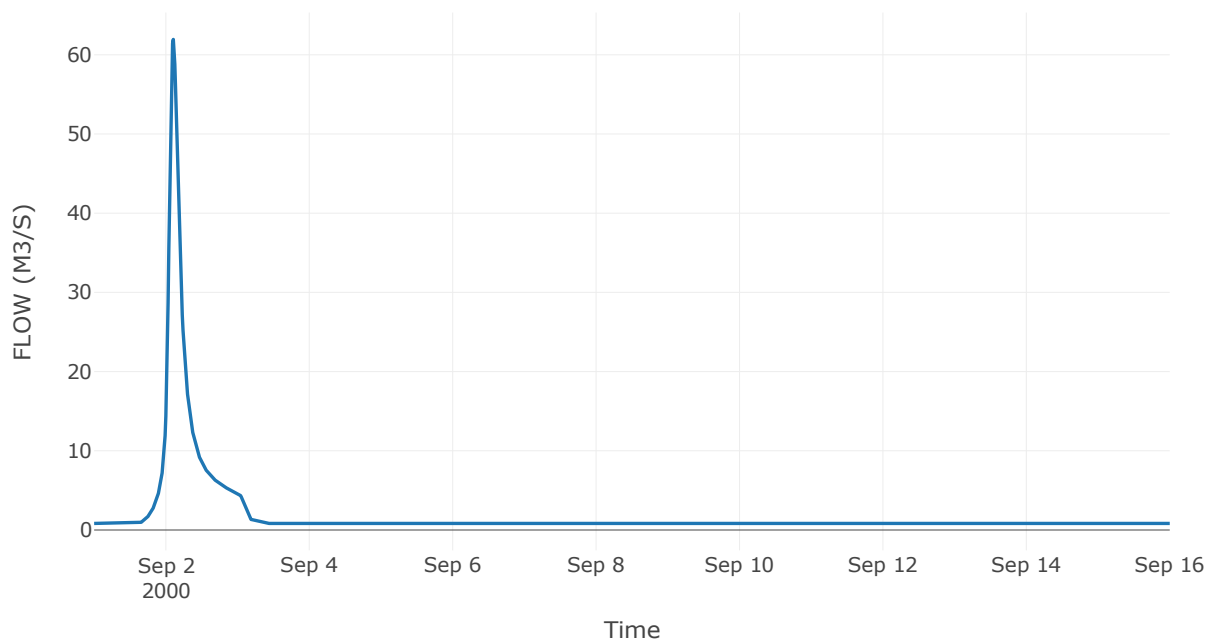


Κόμβος εξόδου: J28

Αποτελέσματ
α: J28

Παροχή αιχμής (M3/S)	61.94
Χρονική στιγμή αιχμής	02Sep2000, 02:30
Όγκος (MM)	219.06

Απορροή



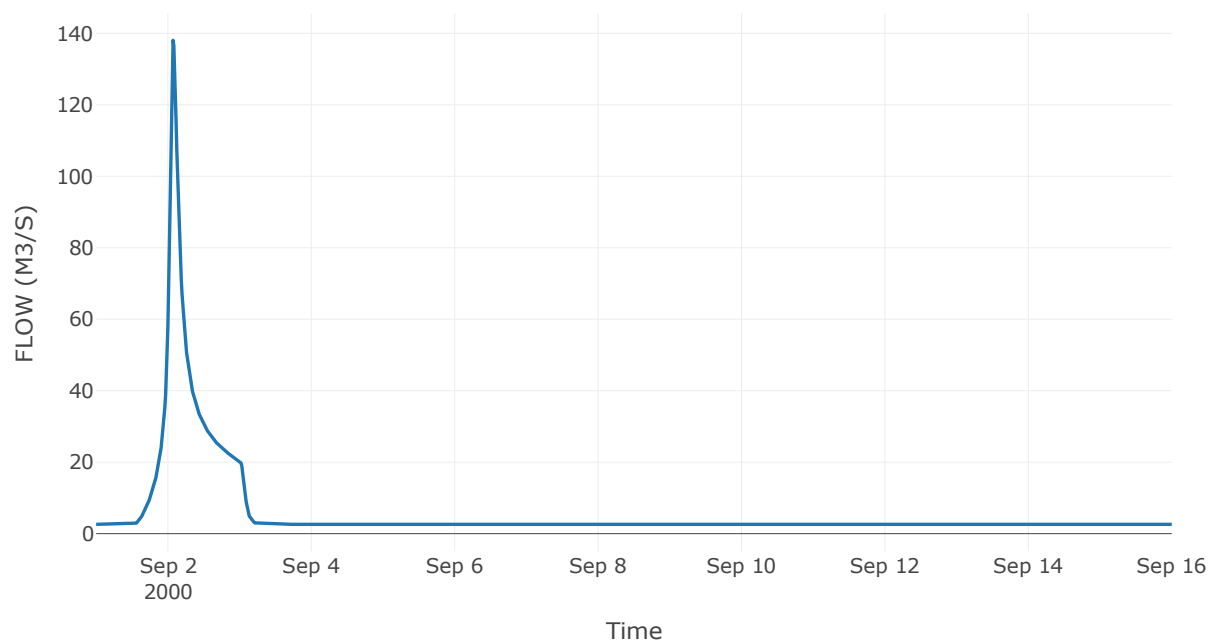
Κόμβος: J29

Κατάντη : R2917

Αποτελέσματα: J29

Παροχή Αιχμής (M3/S)	138.06
Χρονική στιγμή αιχμής	02Sep2000, 01:45
Όγκος (MM)	206.59

Απορροή



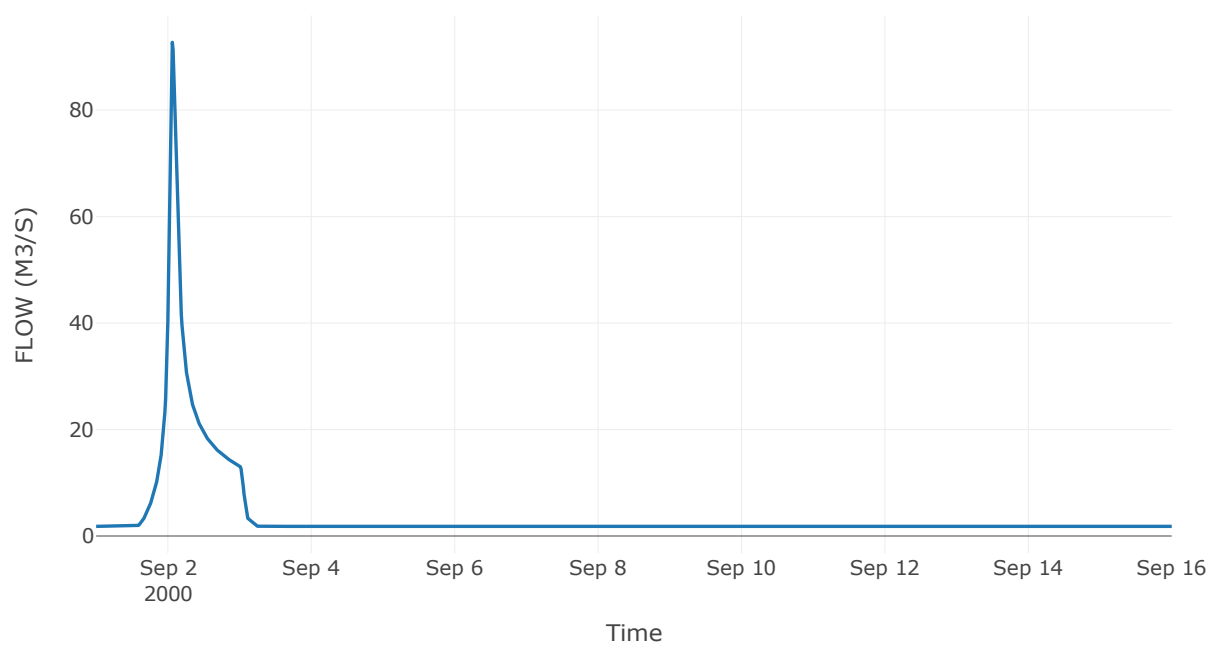
Κόμβος: J30

Κατάντη : R3020

Αποτελέσματα: J30

Παροχή Αιχμής (M3/S)	92.73
Χρονική στιγμή αιχμής	02Sep2000, 01:30
Όγκος (MM)	195.23

Απορροή



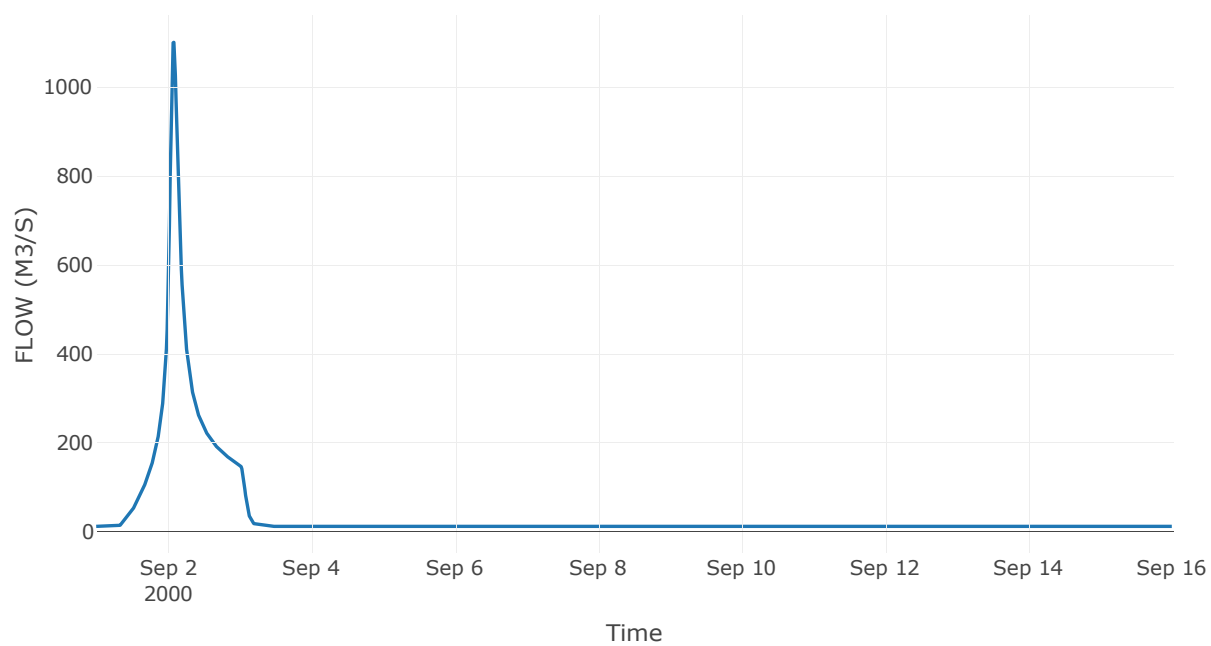
Κόμβος: J31

Κατάντη : R3113

Αποτελέσματα: J31

Παροχή Αιχμής (M3/S)	1101.05
Χρονική στιγμή αιχμής	02Sep2000, 02:00
Όγκος (MM)	311.79

Απορροή



6 Δεδομένα εισόδου και αποτελέσματα υδρολογικού σεναρίου T=100L

6.1 Αποτελέσματα, υετογραφήματα και υδρογραφήματα σχεδιασμού υπολεκανών

Υπολεκάνη: EL0512FR1001

Έκταση (KM2) : 25.06

Κατάντη : J1

Μέθοδος Απωλειών: SCS

Ποσοστό αδιαπέρατης επιφάνειας	0
Αριθμός Καμπύλης Απορροής-CN	57.44
Αρχικές Απώλειες	37.64

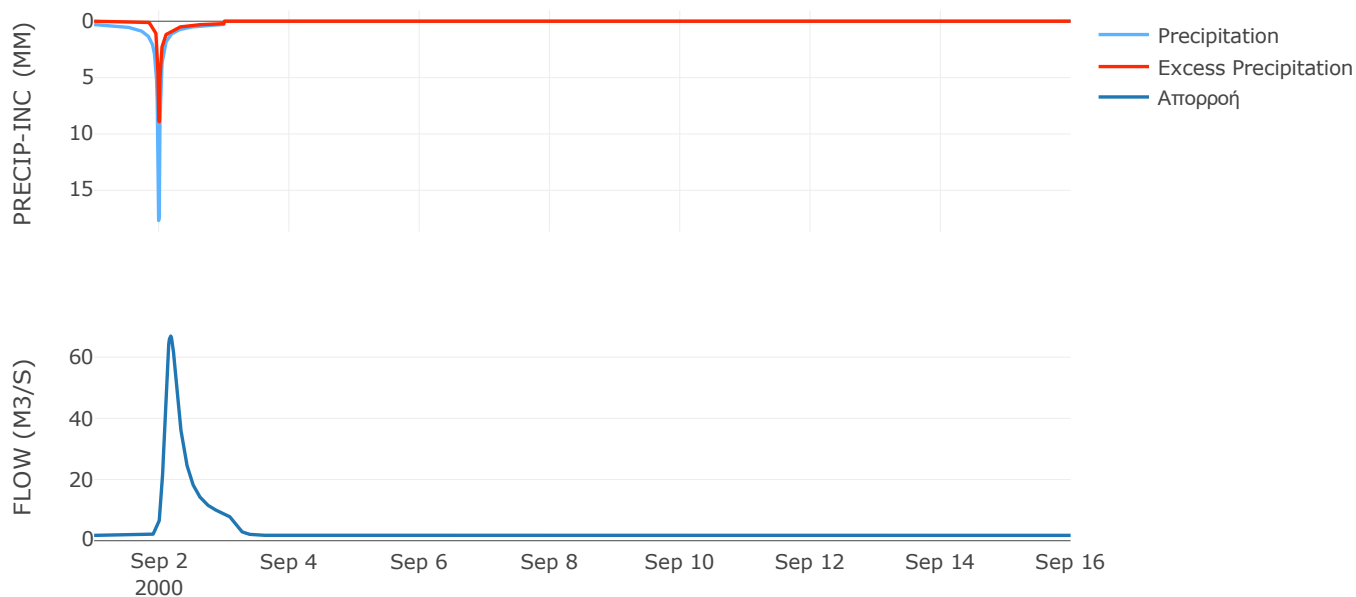
Μέθοδος
Μετασχηματισμού: SCS

Χρόνος Υστέρησης	216.24
------------------	--------

Αποτελέσματα:
EL0512FR1001

Παροχή αιχμής (M3/S)	66.9
Χρονική στιγμή αιχμής	02Sep2000, 04:15
Όγκος (MM)	178.52
Όγκος βροχόπτωσης (M3)	5.45E6
Όγκος απωλειών (M3)	3.25E6
Ενεργός Όγκος (M3)	2.2E6
Όγκος άμεσης απορροής (M3)	2.2E6
Όγκος βασικής απορροής (M3)	2.27E6

Βροχόπτωση και Απορροή



Υπολεκάνη: EL0512FR1002

Έκταση (KM2) : 13.38

Κατάντη : J2

Μέθοδος Απωλειών: SCS

Ποσοστό αδιαπέρατης επιφάνειας	0
Αριθμός Καμπύλης Απορροής-CN	50.48
Αρχικές Απώλειες	49.82

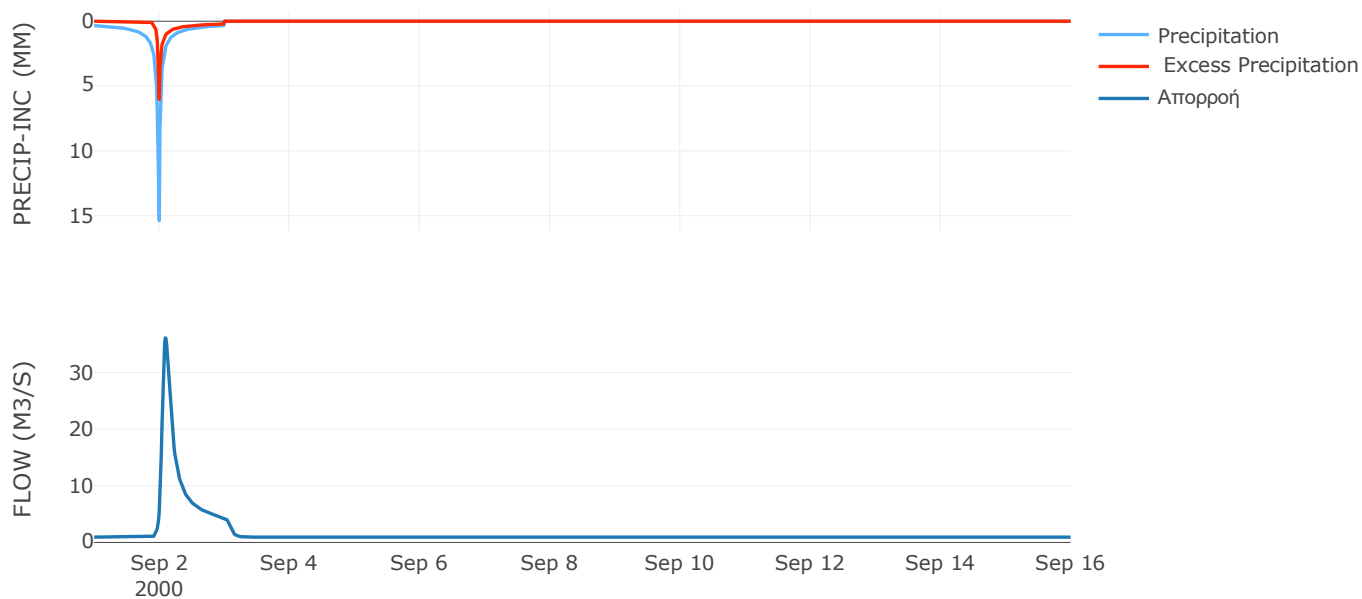
Μέθοδος
Μετασχηματισμού: SCS

Χρόνος Υστέρησης	115.07
------------------	--------

Αποτελέσματα:
EL0512FR1002

Παροχή αιχμής (M3/S)	36.1
Χρονική στιγμή αιχμής	02Sep2000, 02:15
Όγκος (MM)	159.19
Όγκος βροχόπτωσης (M3)	2.93E6
Όγκος απωλειών (M3)	2.02E6
Ενεργός Όγκος (M3)	9.16E5
Όγκος άμεσης απορροής (M3)	9.16E5
Όγκος βασικής απορροής (M3)	1.21E6

Βροχόπτωση και Απορροή



Υπολεκάνη: EL0512FR1003

Έκταση (KM2) : 11.79

Κατάντη : J28

Μέθοδος Απωλειών: SCS

Ποσοστό αδιαπέρατης επιφάνειας	0
Αριθμός Καμπύλης Απορροής-CN	49.79
Αρχικές Απώλειες	51.23

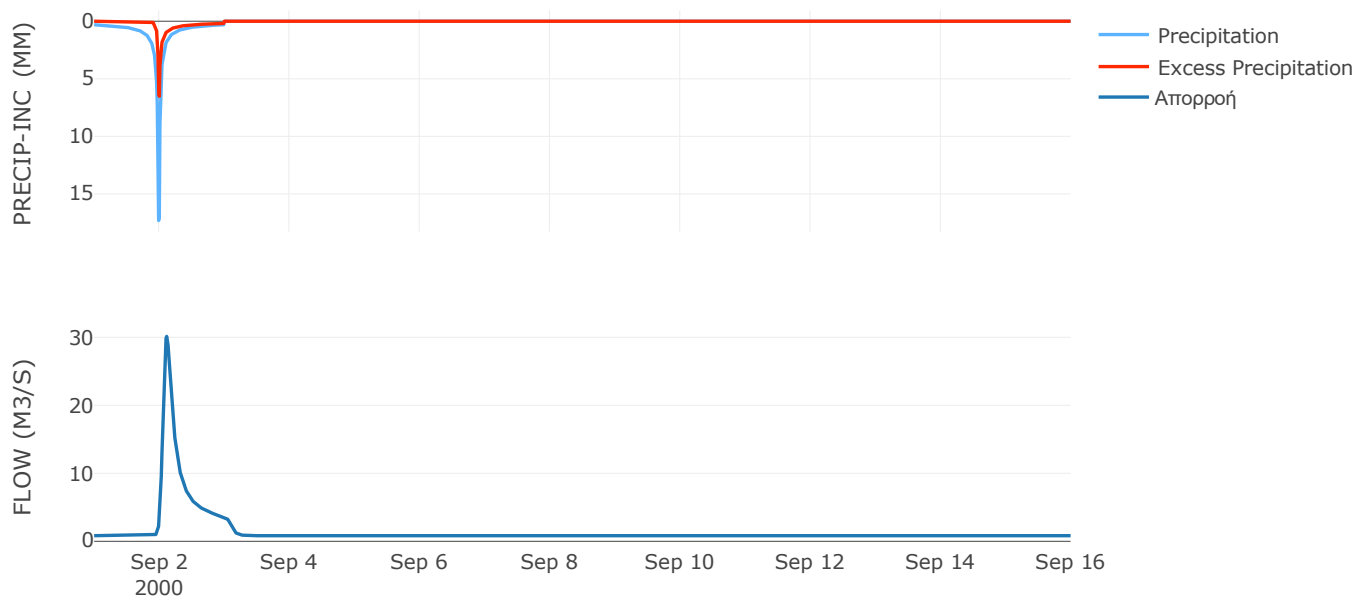
Μέθοδος
Μετασχηματισμού: SCS

Χρόνος Υστέρησης	134.88
------------------	--------

Αποτελέσματα:
EL0512FR1003

Παροχή αιχμής (M3/S)	30.14
Χρονική στιγμή αιχμής	02Sep2000, 02:45
Όγκος (MM)	157.48
Όγκος βροχόπτωσης (M3)	2.59E6
Όγκος απωλειών (M3)	1.8E6
Ενεργός Όγκος (M3)	7.87E5
Όγκος άμεσης απορροής (M3)	7.87E5
Όγκος βασικής απορροής (M3)	1.07E6

Βροχόπτωση και Απορροή



Υπολεκάνη: EL0512FR1004

Έκταση (KM2) : 17.07

Κατάντη : J4

Μέθοδος Απωλειών: SCS

Ποσοστό αδιαπέρατης επιφάνειας	0
Αριθμός Καμπύλης Απορροής-CN	45.84
Αρχικές Απώλειες	60.02

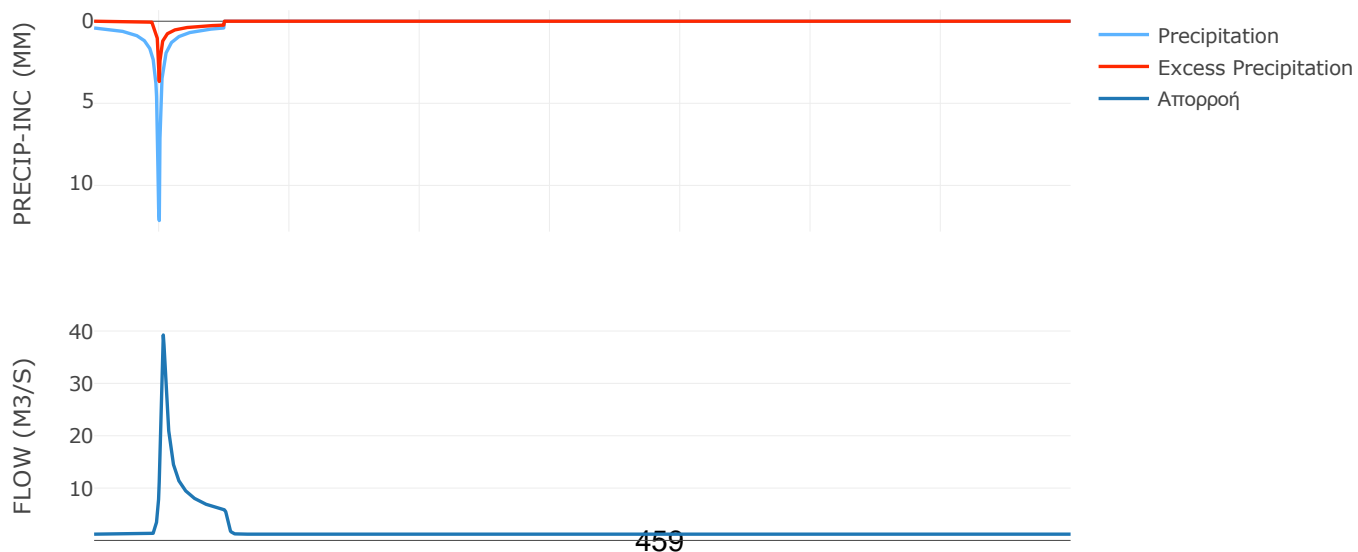
Μέθοδος
Μετασχηματισμού: SCS

Χρόνος Υστέρησης	64.88
------------------	-------

Αποτελέσματα:
EL0512FR1004

Παροχή αιχμής (M3/S)	39.25
Χρονική στιγμή αιχμής	02Sep2000, 01:30
Όγκος (MM)	147.69
Όγκος βροχόπτωσης (M3)	3.79E6
Όγκος απωλειών (M3)	2.82E6
Ενεργός Όγκος (M3)	9.72E5
Όγκος άμεσης απορροής (M3)	9.72E5
Όγκος βασικής απορροής (M3)	1.55E6

Βροχόπτωση και Απορροή



Υπολεκάνη: EL0512FR1005

Έκταση (KM2) : 3.17

Κατάντη : J4

Μέθοδος Απωλειών: SCS

Ποσοστό αδιαπέρατης επιφάνειας	0
Αριθμός Καμπύλης Απορροής-CN	43.1
Αρχικές Απώλειες	67.07

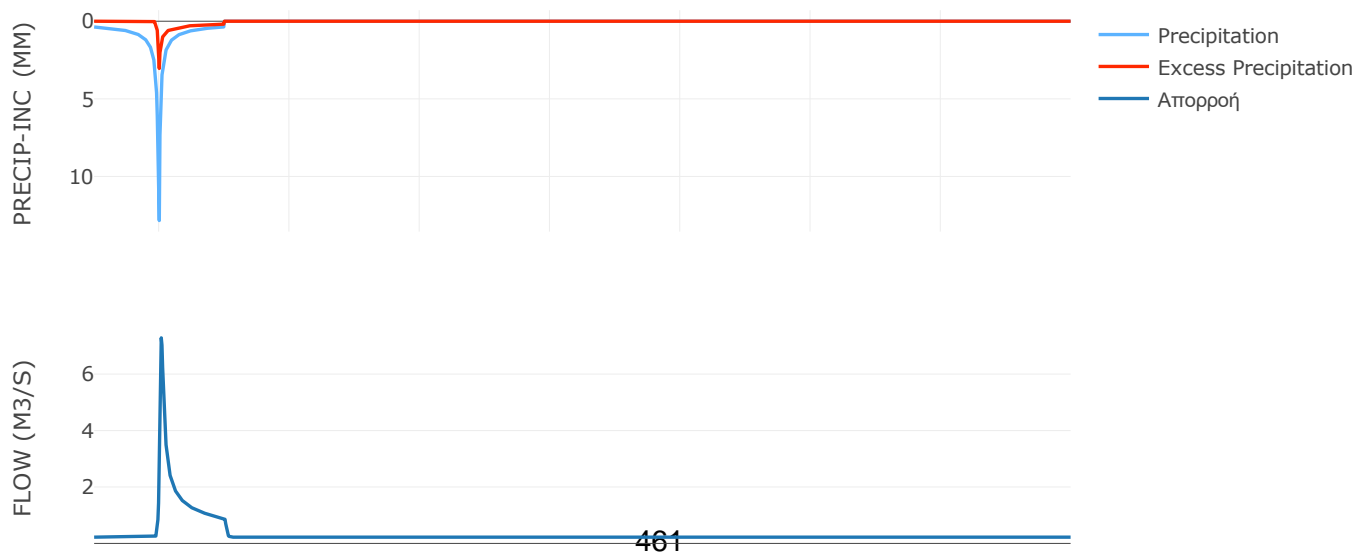
Μέθοδος
Μετασχηματισμού: SCS

Χρόνος Υστέρησης	34.61
------------------	-------

Αποτελέσματα:
EL0512FR1005

Παροχή αιχμής (M3/S)	7.28
Χρονική στιγμή αιχμής	02Sep2000, 00:45
Όγκος (MM)	135.42
Όγκος βροχόπτωσης (M3)	6.78E5
Όγκος απωλειών (M3)	5.36E5
Ενεργός Όγκος (M3)	1.42E5
Όγκος άμεσης απορροής (M3)	1.42E5
Όγκος βασικής απορροής (M3)	2.88E5

Βροχόπτωση και Απορροή



Υπολεκάνη: EL0512FR1006

Έκταση (KM2) : 18.76

Κατάντη : J5

Μέθοδος Απωλειών: SCS

Ποσοστό αδιαπέρατης επιφάνειας	0
Αριθμός Καμπύλης Απορροής-CN	45.67
Αρχικές Απώλειες	60.44

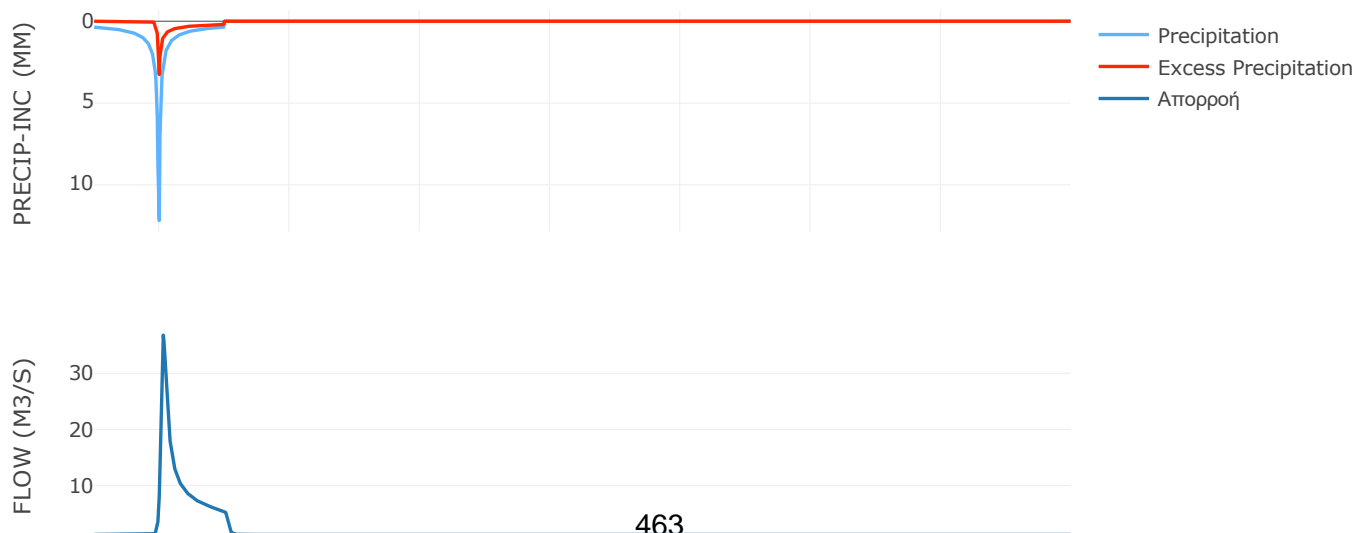
Μέθοδος
Μετασχηματισμού: SCS

Χρόνος Υστέρησης	67.78
------------------	-------

Αποτελέσματα:
EL0512FR1006

Παροχή αιχμής (M3/S)	36.79
Χρονική στιγμή αιχμής	02Sep2000, 01:30
Όγκος (MM)	138.23
Όγκος βροχόπτωσης (M3)	3.87E6
Όγκος απωλειών (M3)	2.98E6
Ενεργός Όγκος (M3)	8.91E5
Όγκος άμεσης απορροής (M3)	8.91E5
Όγκος βασικής απορροής (M3)	1.7E6

Βροχόπτωση και Απορροή



Υπολεκάνη: EL0512FR1007

Έκταση (KM2) : 22.72

Κατάντη : J5

Μέθοδος Απωλειών: SCS

Ποσοστό αδιαπέρατης επιφάνειας	0
Αριθμός Καμπύλης Απορροής-CN	46.5
Αρχικές Απώλειες	58.45

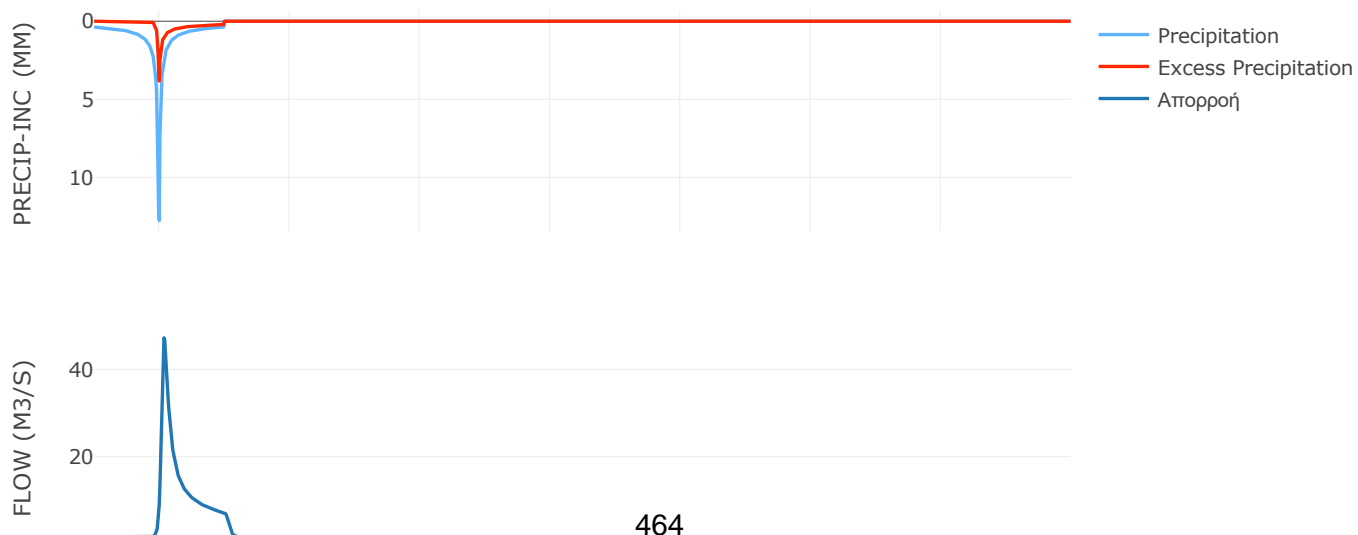
Μέθοδος
Μετασχηματισμού: SCS

Χρόνος Υστέρησης	85.96
------------------	-------

Αποτελέσματα:
EL0512FR1007

Παροχή αιχμής (M3/S)	47.23
Χρονική στιγμή αιχμής	02Sep2000, 01:45
Όγκος (MM)	144.6
Όγκος βροχόπτωσης (M3)	4.86E6
Όγκος απωλειών (M3)	3.63E6
Ενεργός Όγκος (M3)	1.22E6
Όγκος άμεσης απορροής (M3)	1.22E6
Όγκος βασικής απορροής (M3)	2.06E6

Βροχόπτωση και Απορροή



Υπολεκάνη: EL0512FR1008

Έκταση (KM2) : 12.83

Κατάντη : J6

Μέθοδος Απωλειών: SCS

Ποσοστό αδιαπέρατης επιφάνειας	0
Αριθμός Καμπύλης Απορροής-CN	50.95
Αρχικές Απώλειες	48.91

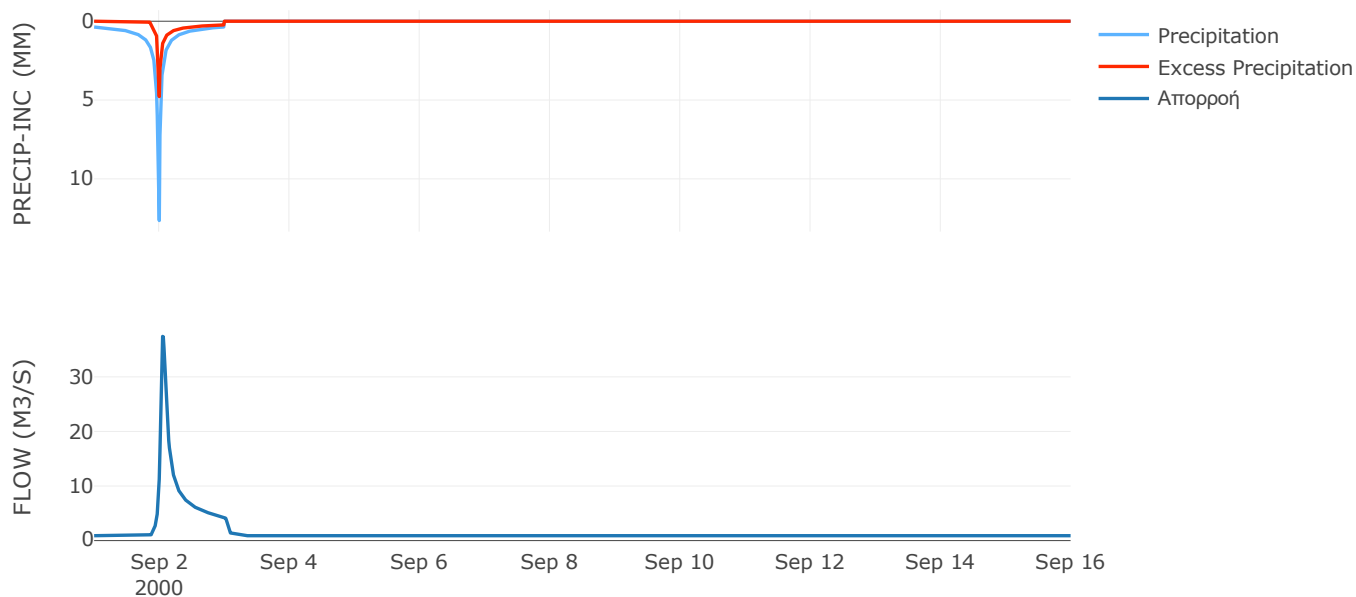
Μέθοδος
Μετασχηματισμού: SCS

Χρόνος Υστέρησης	67
------------------	----

Αποτελέσματα:
EL0512FR1008

Παροχή αιχμής (M3/S)	37.42
Χρονική στιγμή αιχμής	02Sep2000, 01:15
Όγκος (MM)	155.85
Όγκος βροχόπτωσης (M3)	2.72E6
Όγκος απωλειών (M3)	1.88E6
Ενεργός Όγκος (M3)	8.36E5
Όγκος άμεσης απορροής (M3)	8.36E5
Όγκος βασικής απορροής (M3)	1.16E6

Βροχόπτωση και Απορροή



Υπολεκάνη: EL0512FR1009

Έκταση (KM2) : 9.15

Κατάντη : J7

Μέθοδος Απωλειών: SCS

Ποσοστό αδιαπέρατης επιφάνειας	0
Αριθμός Καμπύλης Απορροής-CN	51.17
Αρχικές Απώλειες	48.48

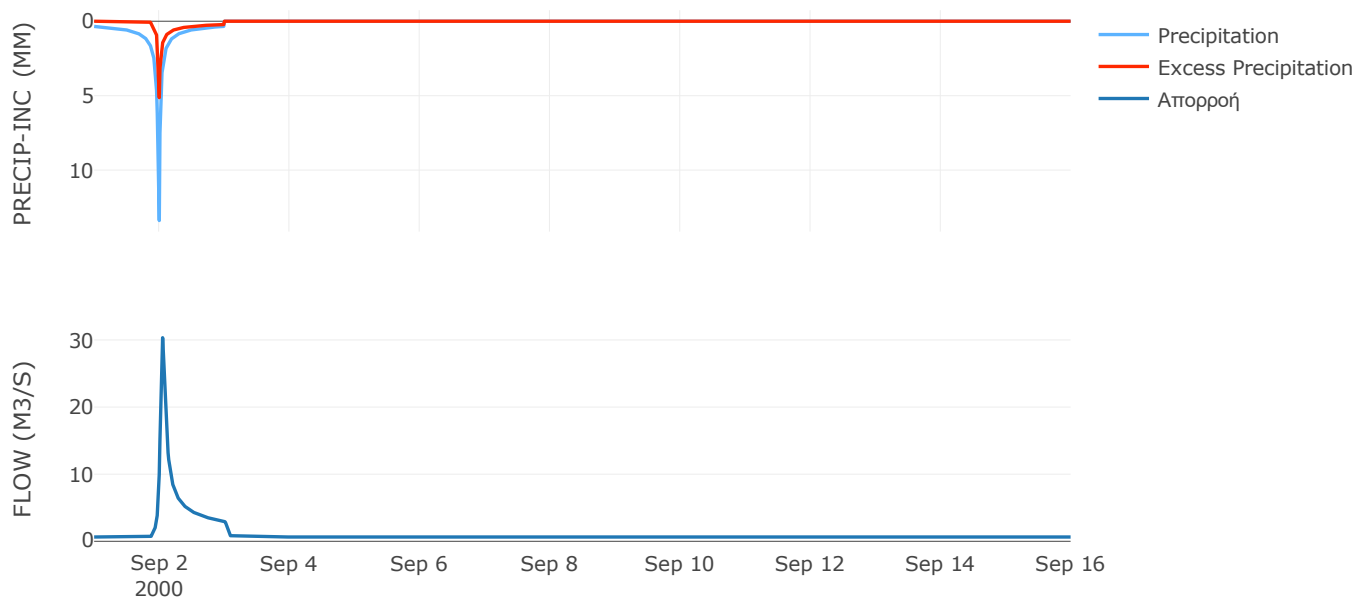
Μέθοδος
Μετασχηματισμού: SCS

Χρόνος Υστέρησης	55.81
------------------	-------

Αποτελέσματα:
EL0512FR1009

Παροχή αιχμής (M3/S)	30.34
Χρονική στιγμή αιχμής	02Sep2000, 01:15
Όγκος (MM)	156.18
Όγκος βροχόπτωσης (M3)	1.93E6
Όγκος απωλειών (M3)	1.33E6
Ενεργός Όγκος (M3)	5.99E5
Όγκος άμεσης απορροής (M3)	5.99E5
Όγκος βασικής απορροής (M3)	8.3E5

Βροχόπτωση και Απορροή



Υπολεκάνη: EL0512FR1010

Έκταση (KM2) : 37.24

Κατάντη : J7

Μέθοδος Απωλειών: SCS

Ποσοστό αδιαπέρατης επιφάνειας	0
Αριθμός Καμπύλης Απορροής-CN	58.79
Αρχικές Απώλειες	35.61

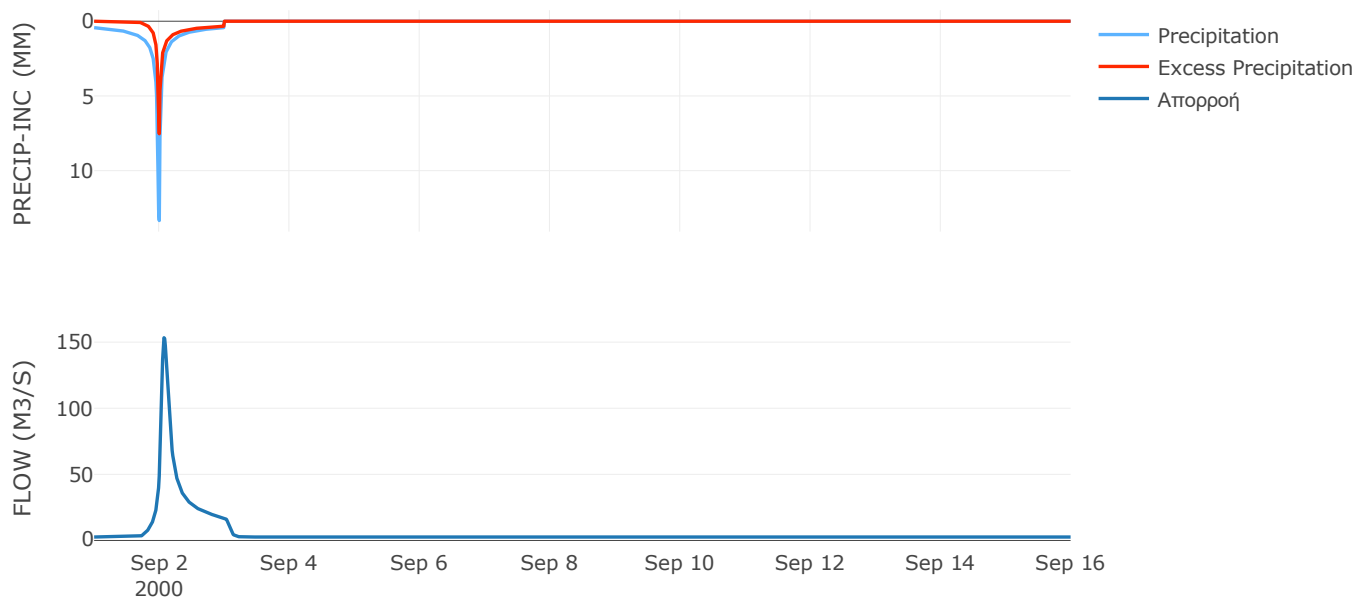
Μέθοδος
Μετασχηματισμού: SCS

Χρόνος Υστέρησης	96.48
------------------	-------

Αποτελέσματα:
EL0512FR1010

Παροχή αιχμής (M3/S)	153.35
Χρονική στιγμή αιχμής	02Sep2000, 01:45
Όγκος (MM)	197.6
Όγκος βροχόπτωσης (M3)	8.83E6
Όγκος απωλειών (M3)	4.85E6
Ενεργός Όγκος (M3)	3.98E6
Όγκος άμεσης απορροής (M3)	3.98E6
Όγκος βασικής απορροής (M3)	3.38E6

Βροχόπτωση και Απορροή



Υπολεκάνη: EL0512FR1011

Έκταση (KM2) : 16.64

Κατάντη : J8

Μέθοδος Απωλειών: SCS

Ποσοστό αδιαπέρατης επιφάνειας	0
Αριθμός Καμπύλης Απορροής-CN	44.96
Αρχικές Απώλειες	62.2

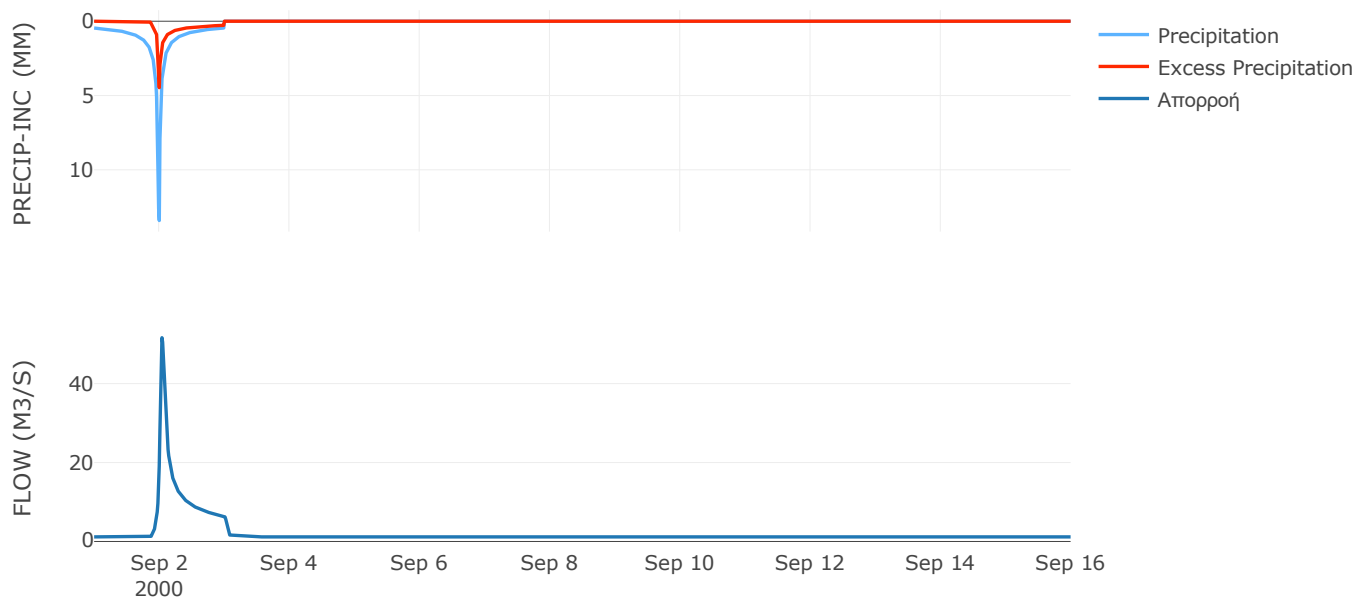
Μέθοδος
Μετασχηματισμού: SCS

Χρόνος Υστέρησης	50.37
------------------	-------

Αποτελέσματα:
EL0512FR1011

Παροχή αιχμής (M3/S)	51.62
Χρονική στιγμή αιχμής	02Sep2000, 01:00
Όγκος (MM)	159.2
Όγκος βροχόπτωσης (M3)	4.1E6
Όγκος απωλειών (M3)	2.96E6
Ενεργός Όγκος (M3)	1.14E6
Όγκος άμεσης απορροής (M3)	1.14E6
Όγκος βασικής απορροής (M3)	1.51E6

Βροχόπτωση και Απορροή



Υπολεκάνη: EL0512FR1012

Έκταση (KM2) : 37.82

Κατάντη : J9

Μέθοδος Απωλειών: SCS

Ποσοστό αδιαπέρατης επιφάνειας	0
Αριθμός Καμπύλης Απορροής-CN	44.19
Αρχικές Απώλειες	64.15

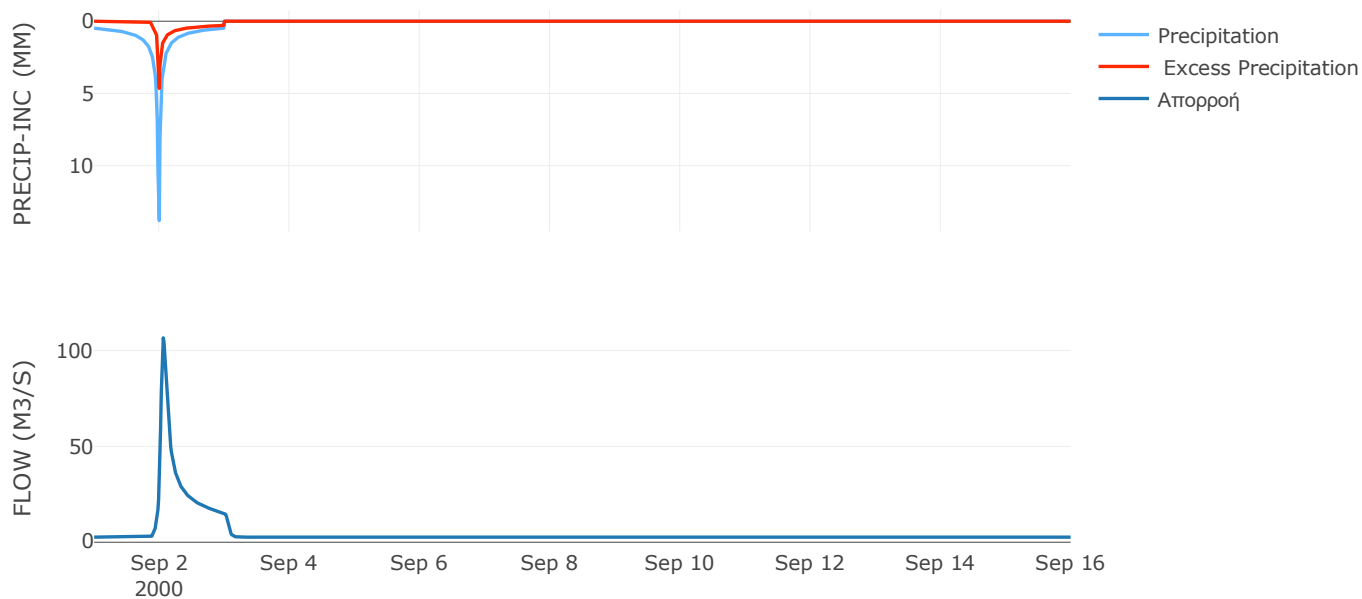
Μέθοδος
Μετασχηματισμού: SCS

Χρόνος Υστέρησης	72.95
------------------	-------

Αποτελέσματα:
EL0512FR1012

Παροχή αιχμής (M3/S)	106.59
Χρονική στιγμή αιχμής	02Sep2000, 01:30
Όγκος (MM)	162.71
Όγκος βροχόπτωσης (M3)	9.69E6
Όγκος απωλειών (M3)	6.97E6
Ενεργός Όγκος (M3)	2.72E6
Όγκος άμεσης απορροής (M3)	2.72E6
Όγκος βασικής απορροής (M3)	3.43E6

Βροχόπτωση και Απορροή



Υπολεκάνη: EL0512FR1013

Έκταση (KM2) : 42.56

Κατάντη : J10

Μέθοδος Απωλειών: SCS

Ποσοστό αδιαπέρατης επιφάνειας	0
Αριθμός Καμπύλης Απορροής-CN	49.87
Αρχικές Απώλειες	51.06

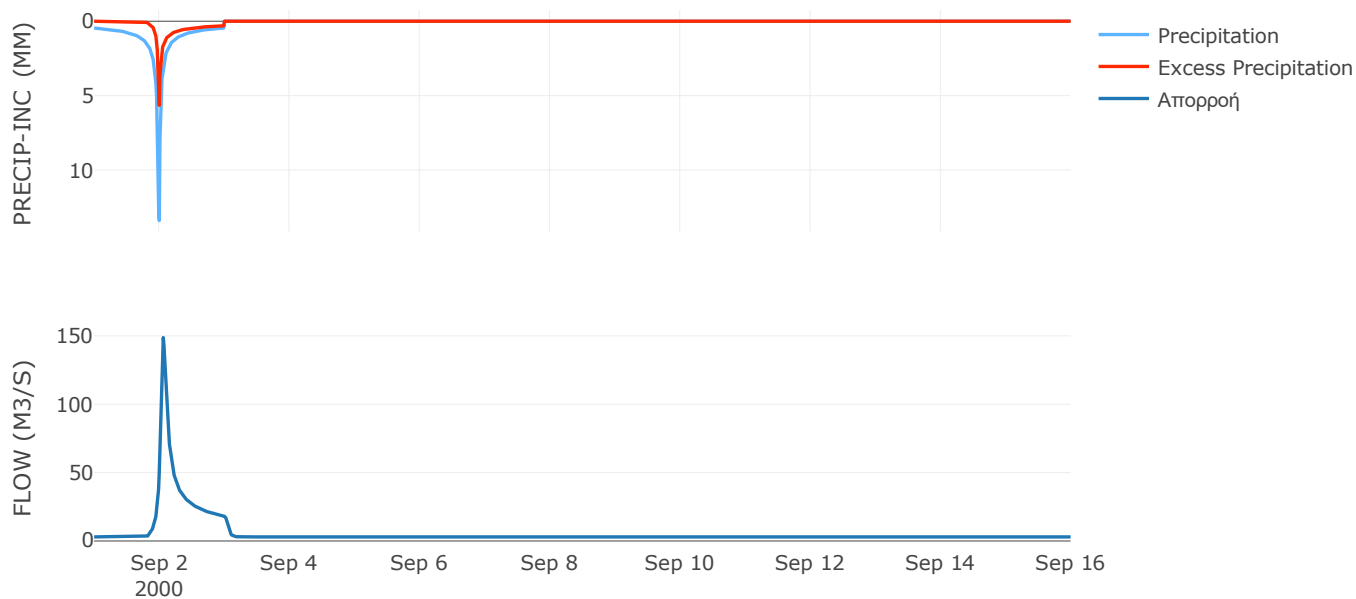
Μέθοδος
Μετασχηματισμού: SCS

Χρόνος Υστέρησης	70.58
------------------	-------

Αποτελέσματα:
EL0512FR1013

Παροχή αιχμής (M3/S)	148.71
Χρονική στιγμή αιχμής	02Sep2000, 01:30
Όγκος (MM)	174.62
Όγκος βροχόπτωσης (M3)	1.04E7
Όγκος απωλειών (M3)	6.87E6
Ενεργός Όγκος (M3)	3.57E6
Όγκος άμεσης απορροής (M3)	3.57E6
Όγκος βασικής απορροής (M3)	3.86E6

Βροχόπτωση και Απορροή



Υπολεκάνη: EL0512FR1014

Έκταση (KM2) : 20.41

Κατάντη : J25

Μέθοδος Απωλειών: SCS

Ποσοστό αδιαπέρατης επιφάνειας	0
Αριθμός Καμπύλης Απορροής-CN	48.5
Αρχικές Απώλειες	53.95

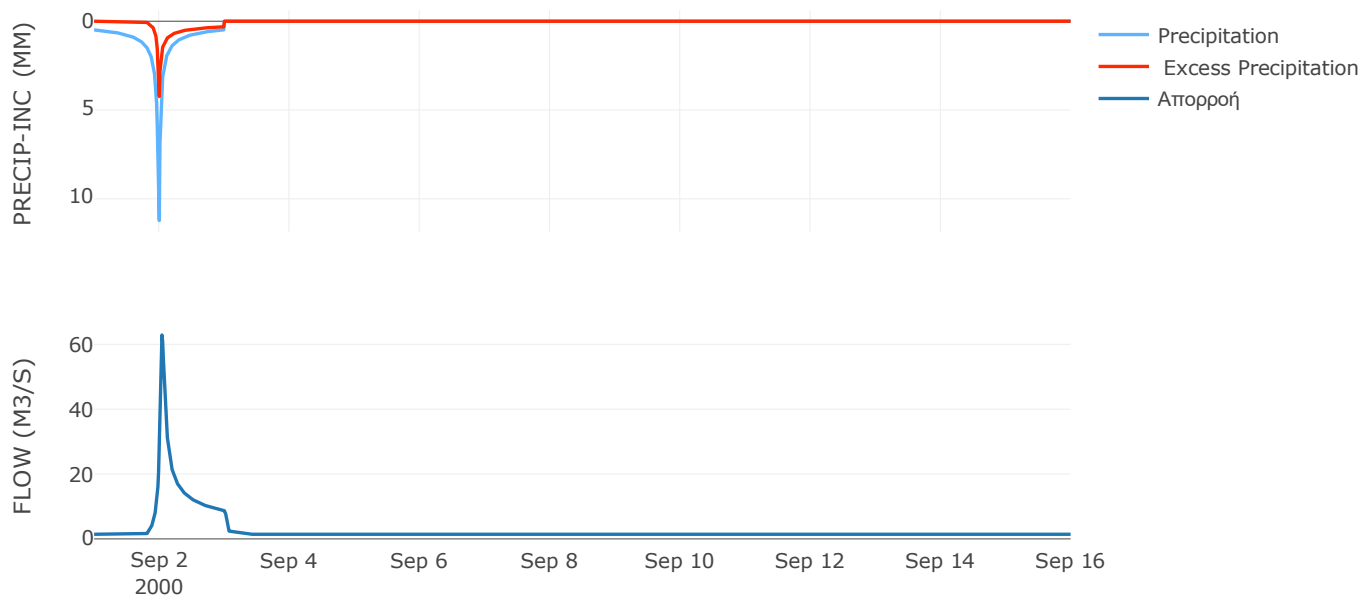
Μέθοδος
Μετασχηματισμού: SCS

Χρόνος Υστέρησης	49.7
------------------	------

Αποτελέσματα:
EL0512FR1014

Παροχή αιχμής (M3/S)	62.89
Χρονική στιγμή αιχμής	02Sep2000, 01:00
Όγκος (MM)	165.03
Όγκος βροχόπτωσης (M3)	4.85E6
Όγκος απωλειών (M3)	3.33E6
Ενεργός Όγκος (M3)	1.52E6
Όγκος άμεσης απορροής (M3)	1.52E6
Όγκος βασικής απορροής (M3)	1.85E6

Βροχόπτωση και Απορροή



Υπολεκάνη: EL0512FR1015

Έκταση (KM2) : 55.38

Κατάντη : J26

Μέθοδος Απωλειών: SCS

Ποσοστό αδιαπέρατης επιφάνειας	0
Αριθμός Καμπύλης Απορροής-CN	48.04
Αρχικές Απώλειες	54.95

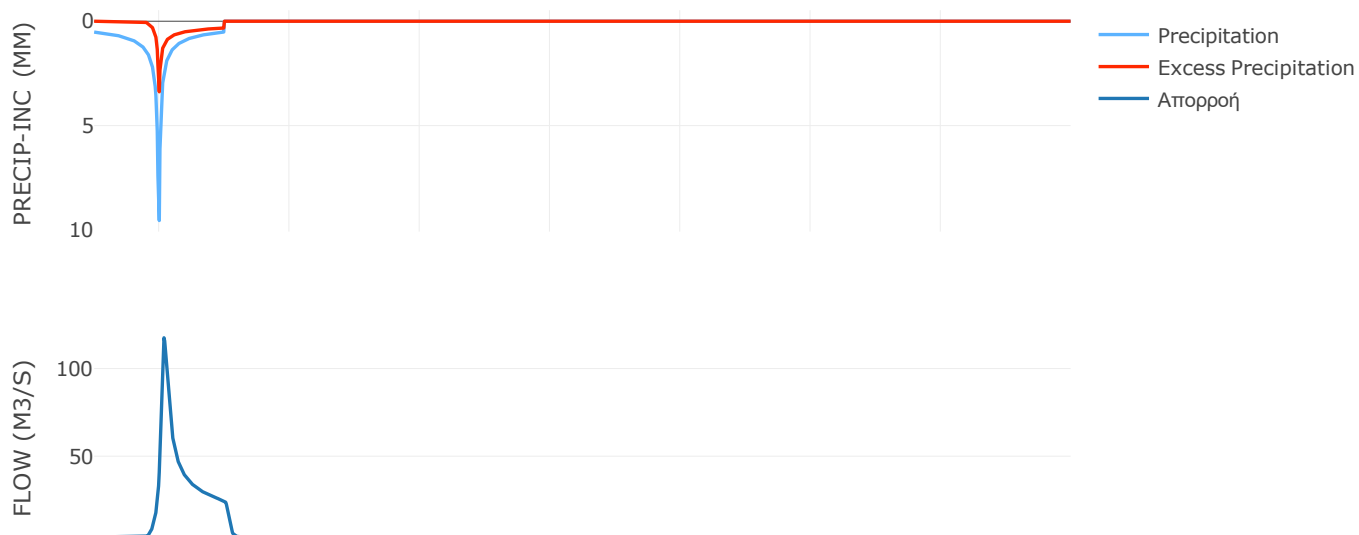
Μέθοδος
Μετασχηματισμού: SCS

Χρόνος Υστέρησης	84.72
------------------	-------

Αποτελέσματα:
EL0512FR1015

Παροχή αιχμής (M3/S)	117.54
Χρονική στιγμή αιχμής	02Sep2000, 01:45
Όγκος (MM)	160.06
Όγκος βροχόπτωσης (M3)	1.28E7
Όγκος απωλειών (M3)	9E6
Ενεργός Όγκος (M3)	3.84E6
Όγκος άμεσης απορροής (M3)	3.84E6
Όγκος βασικής απορροής (M3)	5.02E6

Βροχόπτωση και Απορροή



Υπολεκάνη: EL0512FR1016

Έκταση (KM2) : 87.24

Κατάντη : J26

Μέθοδος Απωλειών: SCS

Ποσοστό αδιαπέρατης επιφάνειας	0
Αριθμός Καμπύλης Απορροής-CN	53.27
Αρχικές Απώλειες	44.57

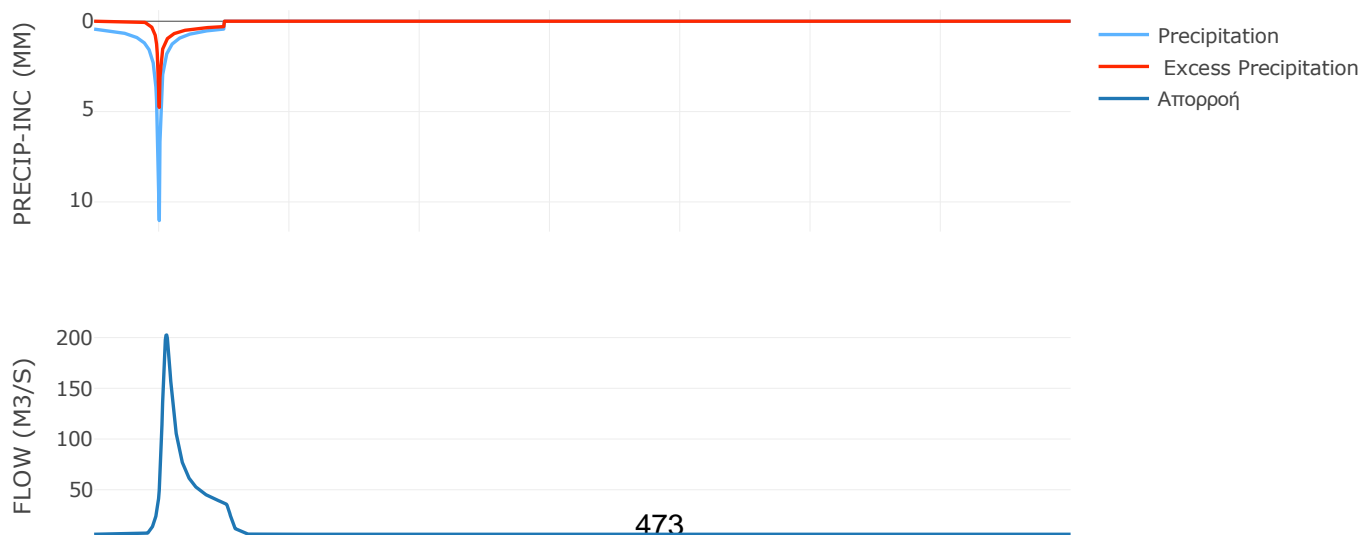
Μέθοδος
Μετασχηματισμού: SCS

Χρόνος Υστέρησης	132
------------------	-----

Αποτελέσματα:
EL0512FR1016

Παροχή αιχμής (M3/S)	202.55
Χρονική στιγμή αιχμής	02Sep2000, 02:45
Όγκος (MM)	168.37
Όγκος βροχόπτωσης (M3)	1.92E7
Όγκος απωλειών (M3)	1.25E7
Ενεργός Όγκος (M3)	6.77E6
Όγκος άμεσης απορροής (M3)	6.77E6
Όγκος βασικής απορροής (M3)	7.91E6

Βροχόπτωση και Απορροή



Υπολεκάνη: EL0512FR1017

Έκταση (KM2) : 29.09

Κατάντη : J27

Μέθοδος Απωλειών: SCS

Ποσοστό αδιαπέρατης επιφάνειας	0
Αριθμός Καμπύλης Απορροής-CN	45.45
Αρχικές Απώλειες	60.97

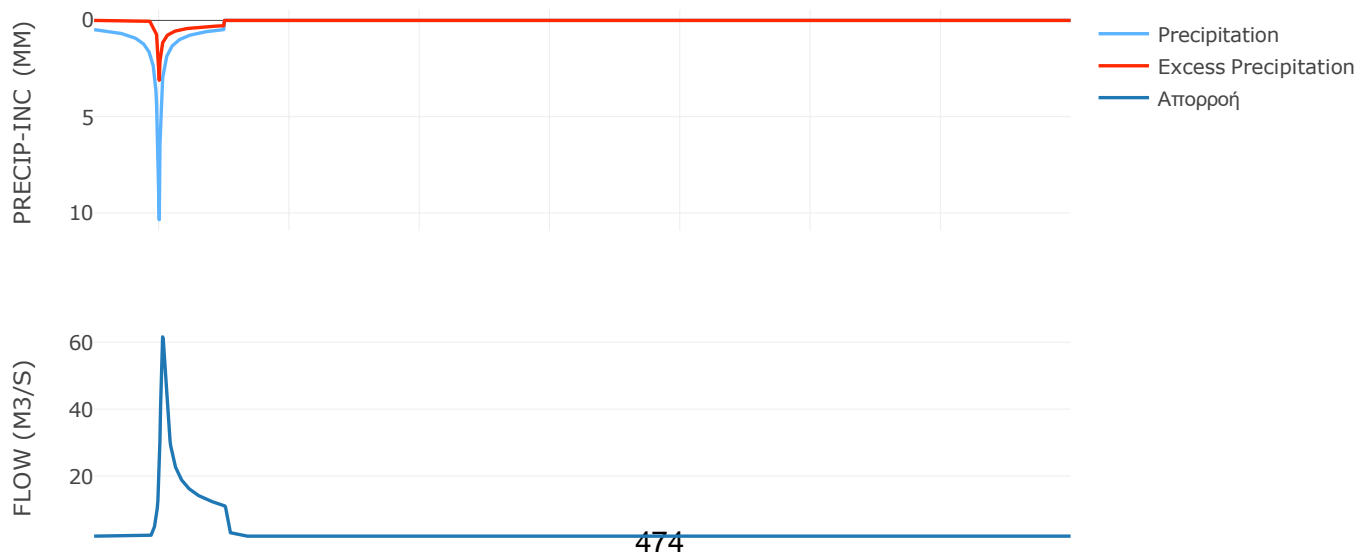
Μέθοδος
Μετασχηματισμού: SCS

Χρόνος Υστέρησης	61.01
------------------	-------

Αποτελέσματα:
EL0512FR1017

Παροχή αιχμής (M3/S)	61.61
Χρονική στιγμή αιχμής	02Sep2000, 01:15
Όγκος (MM)	149.72
Όγκος βροχόπτωσης (M3)	6.62E6
Όγκος απωλειών (M3)	4.91E6
Ενεργός Όγκος (M3)	1.72E6
Όγκος άμεσης απορροής (M3)	1.72E6
Όγκος βασικής απορροής (M3)	2.64E6

Βροχόπτωση και Απορροή



Υπολεκάνη: EL0512FR1018

Έκταση (KM2) : 36.97

Κατάντη : J24

Μέθοδος Απωλειών: SCS

Ποσοστό αδιαπέρατης επιφάνειας	0
Αριθμός Καμπύλης Απορροής-CN	52.18
Αρχικές Απώλειες	46.56

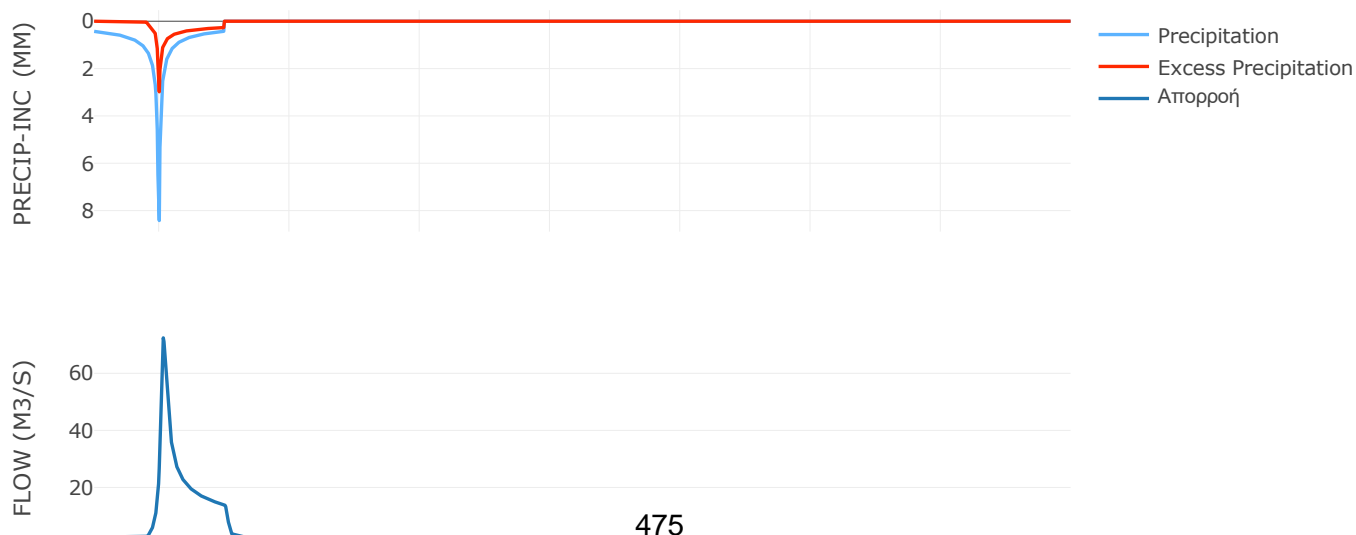
Μέθοδος
Μετασχηματισμού: SCS

Χρόνος Υστέρησης	73.13
------------------	-------

Αποτελέσματα:
EL0512FR1018

Παροχή αιχμής (M3/S)	72.44
Χρονική στιγμή αιχμής	02Sep2000, 01:30
Όγκος (MM)	149.17
Όγκος βροχόπτωσης (M3)	7.25E6
Όγκος απωλειών (M3)	5.09E6
Ενεργός Όγκος (M3)	2.16E6
Όγκος άμεσης απορροής (M3)	2.16E6
Όγκος βασικής απορροής (M3)	3.35E6

Βροχόπτωση και Απορροή



Υπολεκάνη: EL0512FR1019

Έκταση (KM2) : 88.25

Κατάντη : J24

Μέθοδος Απωλειών: SCS

Ποσοστό αδιαπέρατης επιφάνειας	0
Αριθμός Καμπύλης Απορροής-CN	50.78
Αρχικές Απώλειες	49.24

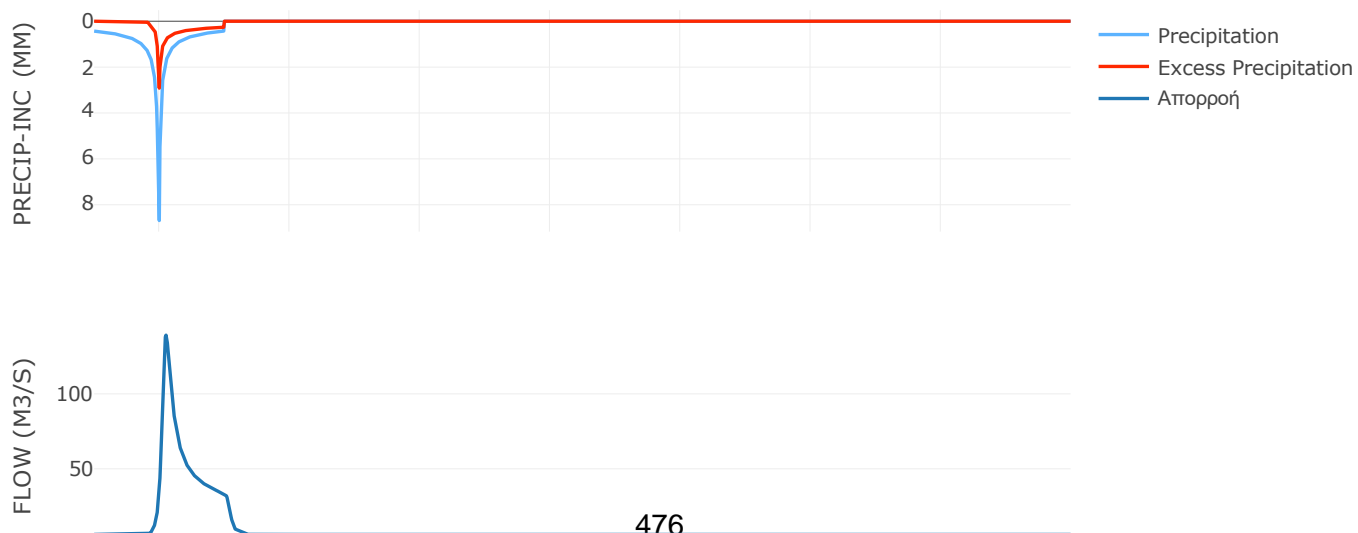
Μέθοδος
Μετασχηματισμού: SCS

Χρόνος Υστέρησης	118.24
------------------	--------

Αποτελέσματα:
EL0512FR1019

Παροχή αιχμής (M3/S)	139.2
Χρονική στιγμή αιχμής	02Sep2000, 02:30
Όγκος (MM)	147.39
Όγκος βροχόπτωσης (M3)	1.76E7
Όγκος απωλειών (M3)	1.26E7
Ενεργός Όγκος (M3)	5E6
Όγκος άμεσης απορροής (M3)	5E6
Όγκος βασικής απορροής (M3)	8.01E6

Βροχόπτωση και Απορροή



Υπολεκάνη: EL0512FR1020

Έκταση (KM2) : 29.81

Κατάντη : J23

Μέθοδος Απωλειών: SCS

Ποσοστό αδιαπέρατης επιφάνειας	0
Αριθμός Καμπύλης Απορροής-CN	49.24
Αρχικές Απώλειες	52.37

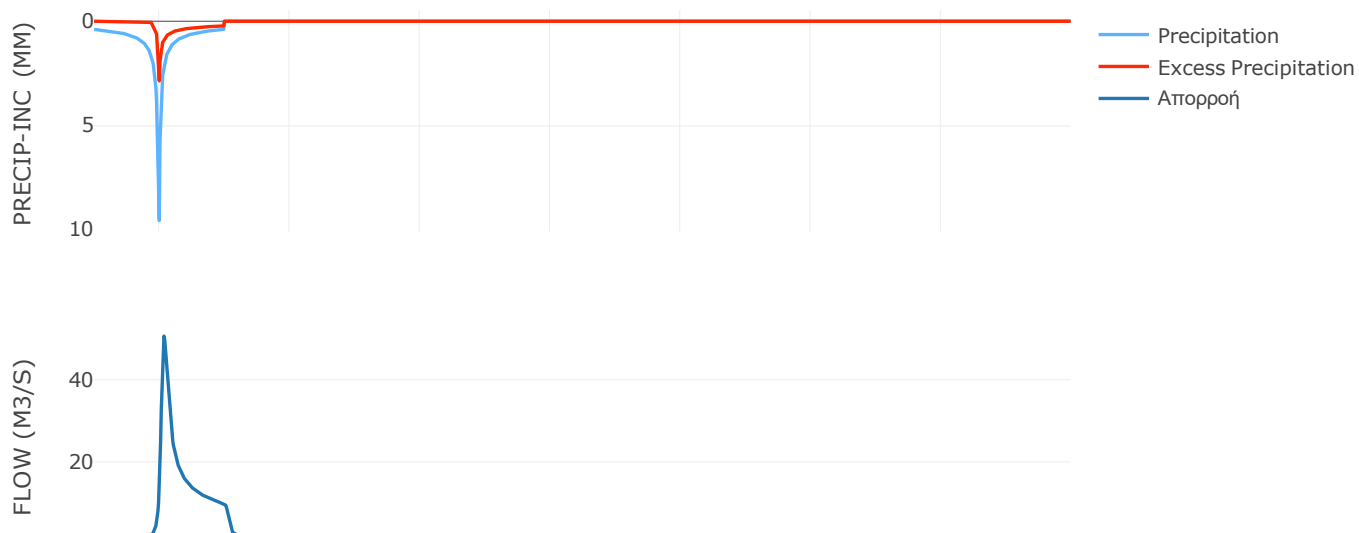
Μέθοδος
Μετασχηματισμού: SCS

Χρόνος Υστέρησης	82.89
------------------	-------

Αποτελέσματα:
EL0512FR1020

Παροχή αιχμής (M3/S)	50.67
Χρονική στιγμή αιχμής	02Sep2000, 01:45
Όγκος (MM)	140.52
Όγκος βροχόπτωσης (M3)	5.79E6
Όγκος απωλειών (M3)	4.3E6
Ενεργός Όγκος (M3)	1.48E6
Όγκος άμεσης απορροής (M3)	1.48E6
Όγκος βασικής απορροής (M3)	2.7E6

Βροχόπτωση και Απορροή



Υπολεκάνη: EL0512FR1021

Έκταση (KM2) : 1.65

Κατάντη : J23

Μέθοδος Απωλειών: SCS

Ποσοστό αδιαπέρατης επιφάνειας	0
Αριθμός Καμπύλης Απορροής-CN	32.43
Αρχικές Απώλειες	105.85

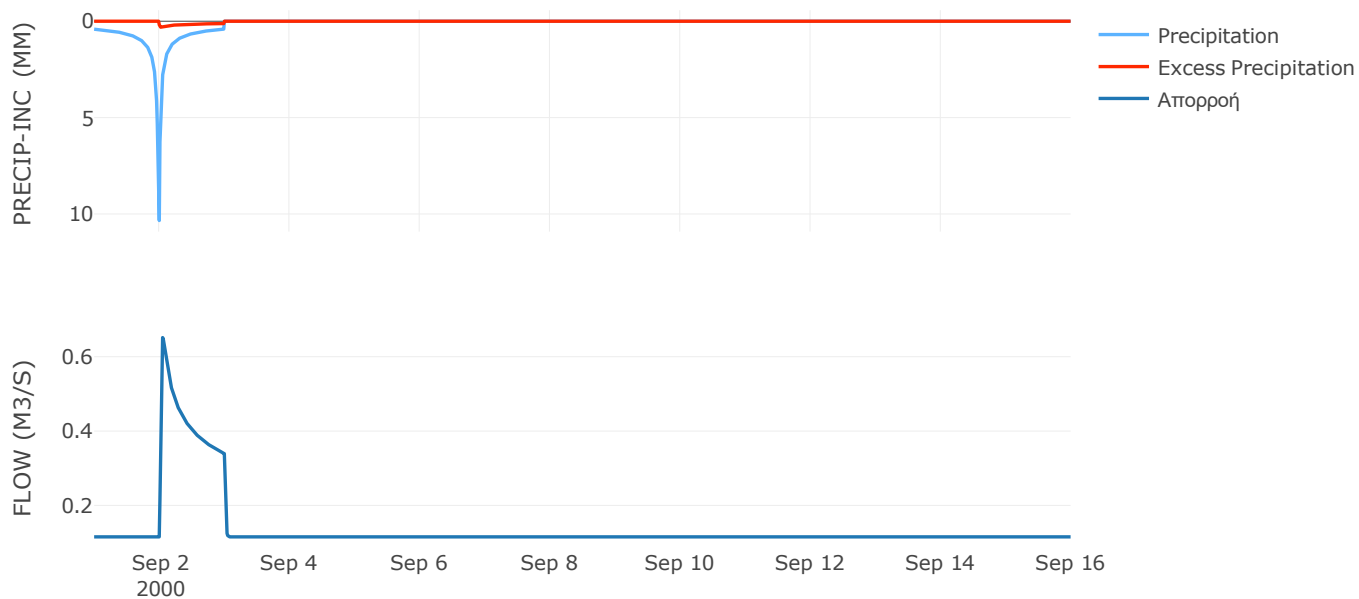
Μέθοδος
Μετασχηματισμού: SCS

Χρόνος Υστέρησης	17.86
------------------	-------

Αποτελέσματα:
EL0512FR1021

Παροχή αιχμής (M3/S)	0.65
Χρονική στιγμή αιχμής	02Sep2000, 01:15
Όγκος (MM)	107.19
Όγκος βροχόπτωσης (M3)	3.42E5
Όγκος απωλειών (M3)	3.15E5
Ενεργός Όγκος (M3)	27135.96
Όγκος άμεσης απορροής (M3)	27135.96
Όγκος βασικής απορροής (M3)	1.5E5

Βροχόπτωση και Απορροή



Υπολεκάνη: EL0512FR1024

Έκταση (KM2) : 104.31

Κατάντη : J13

Μέθοδος Απωλειών: SCS

Ποσοστό αδιαπέρατης επιφάνειας	0
Αριθμός Καμπύλης Απορροής-CN	56.86
Αρχικές Απώλειες	38.54

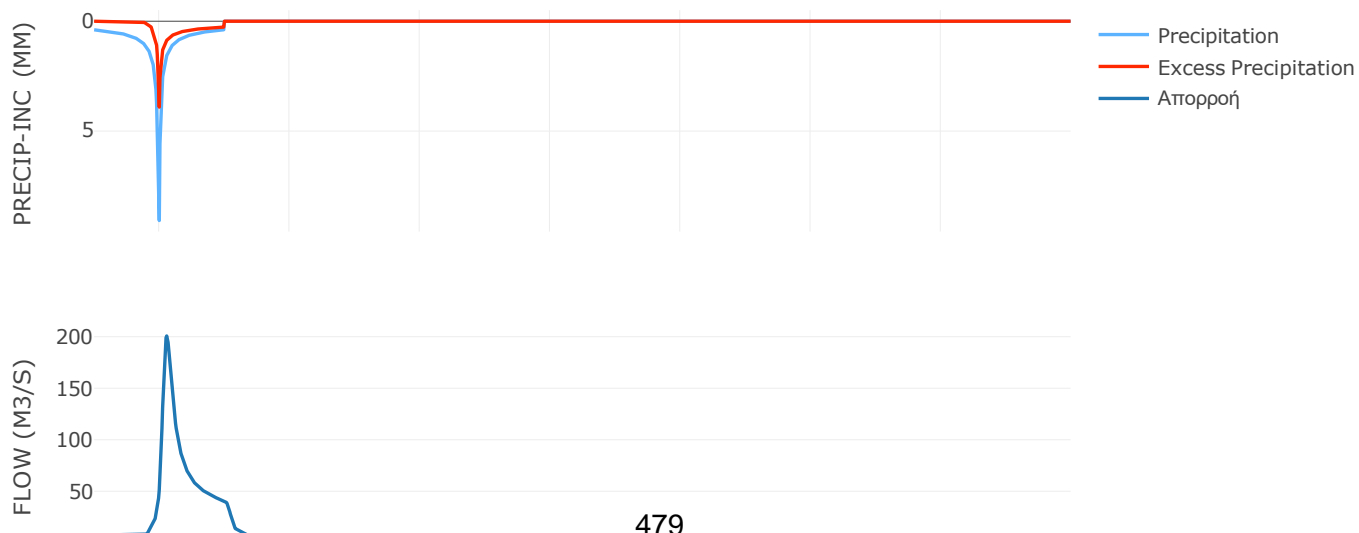
Μέθοδος
Μετασχηματισμού: SCS

Χρόνος Υστέρησης	136.81
------------------	--------

Αποτελέσματα:
EL0512FR1024

Παροχή αιχμής (M3/S)	200.78
Χρονική στιγμή αιχμής	02Sep2000, 02:45
Όγκος (MM)	157.87
Όγκος βροχόπτωσης (M3)	1.99E7
Όγκος απωλειών (M3)	1.29E7
Ενεργός Όγκος (M3)	7E6
Όγκος άμεσης απορροής (M3)	7E6
Όγκος βασικής απορροής (M3)	9.46E6

Βροχόπτωση και Απορροή



Υπολεκάνη: EL0512FR1025

Έκταση (KM2) : 99.97

Κατάντη : J13

Μέθοδος Απωλειών: SCS

Ποσοστό αδιαπέρατης επιφάνειας	0
Αριθμός Καμπύλης Απορροής-CN	54.53
Αρχικές Απώλειες	42.37

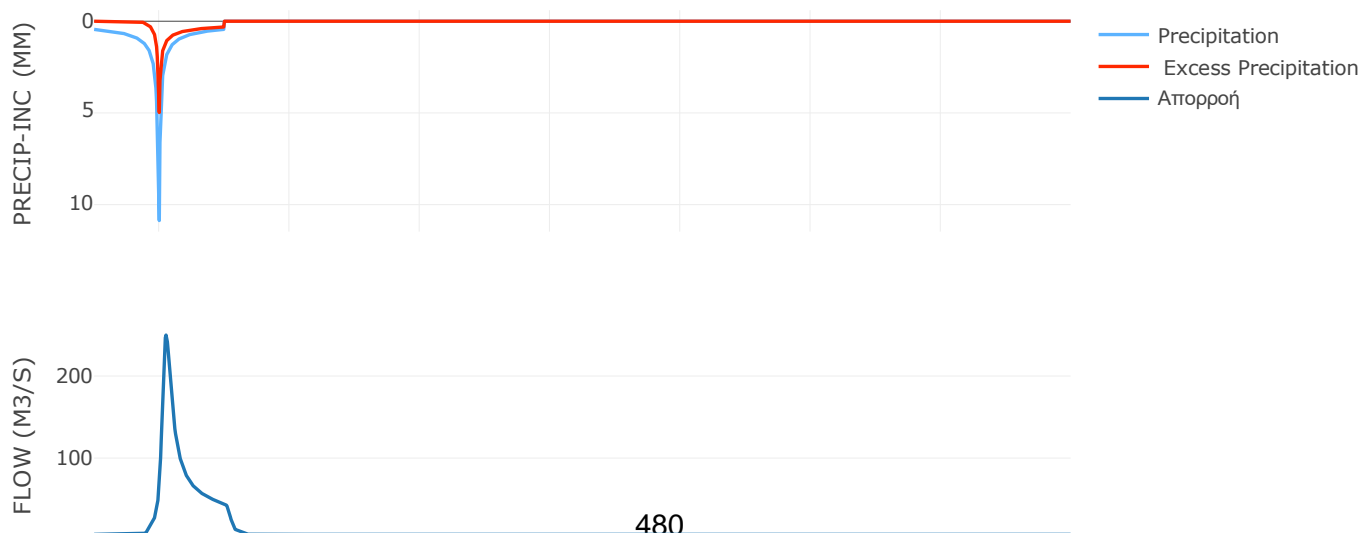
Μέθοδος
Μετασχηματισμού: SCS

Χρόνος Υστέρησης	127.22
------------------	--------

Αποτελέσματα:
EL0512FR1025

Παροχή αιχμής (M3/S)	249.97
Χρονική στιγμή αιχμής	02Sep2000, 02:30
Όγκος (MM)	173.39
Όγκος βροχόπτωσης (M3)	2.22E7
Όγκος απωλειών (M3)	1.4E7
Ενεργός Όγκος (M3)	8.26E6
Όγκος άμεσης απορροής (M3)	8.26E6
Όγκος βασικής απορροής (M3)	9.07E6

Βροχόπτωση και Απορροή



Υπολεκάνη: EL0512FR1026

Έκταση (KM2) : 78.82

Κατάντη : J12

Μέθοδος Απωλειών: SCS

Ποσοστό αδιαπέρατης επιφάνειας	0
Αριθμός Καμπύλης Απορροής-CN	43.41
Αρχικές Απώλειες	66.23

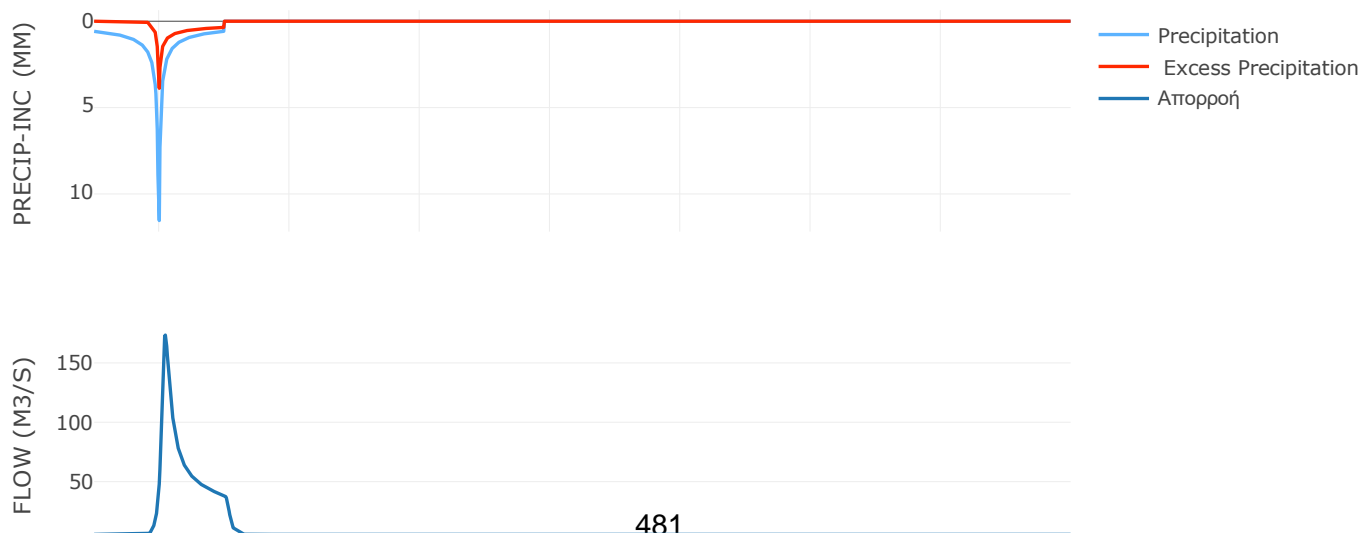
Μέθοδος
Μετασχηματισμού: SCS

Χρόνος Υστέρησης	103.85
------------------	--------

Αποτελέσματα:
EL0512FR1026

Παροχή αιχμής (M3/S)	173.45
Χρονική στιγμή αιχμής	02Sep2000, 02:15
Όγκος (MM)	167.33
Όγκος βροχόπτωσης (M3)	2.12E7
Όγκος απωλειών (M3)	1.51E7
Ενεργός Όγκος (M3)	6.04E6
Όγκος άμεσης απορροής (M3)	6.04E6
Όγκος βασικής απορροής (M3)	7.15E6

Βροχόπτωση και Απορροή



Υπολεκάνη: EL0512FR1027

Έκταση (KM2) : 79.87

Κατάντη : J31

Μέθοδος Απωλειών: SCS

Ποσοστό αδιαπέρατης επιφάνειας	0
Αριθμός Καμπύλης Απορροής-CN	44.14
Αρχικές Απώλειες	64.29

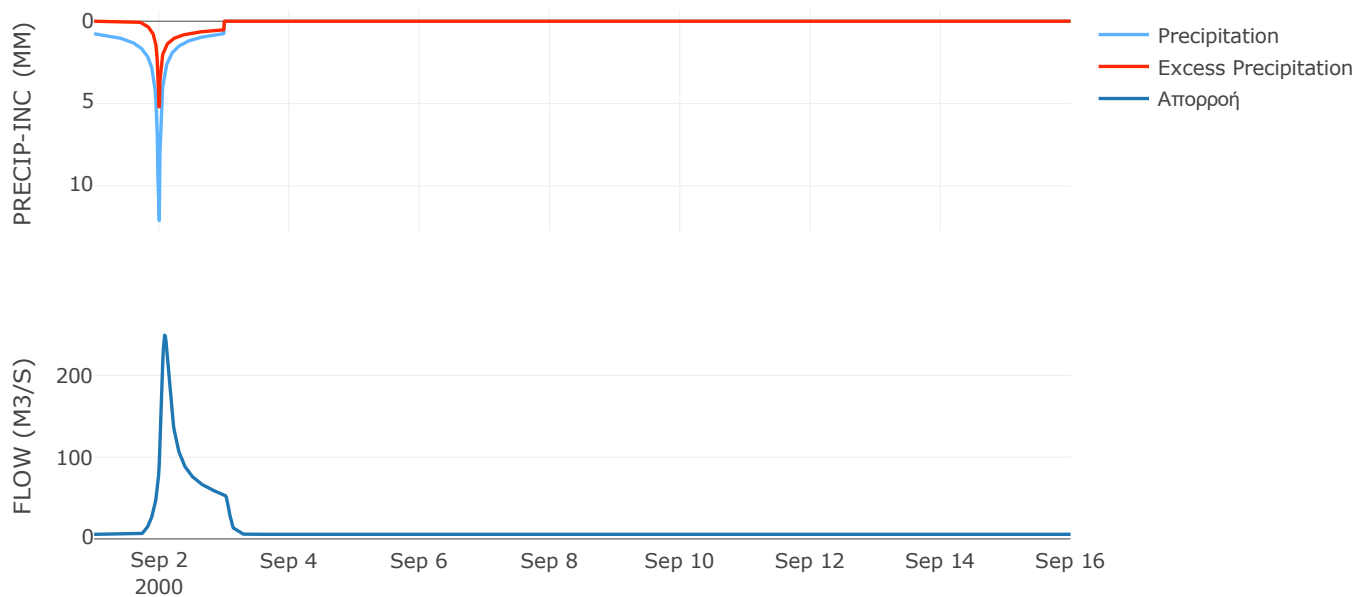
Μέθοδος
Μετασχηματισμού: SCS

Χρόνος Υστέρησης	102.62
------------------	--------

Αποτελέσματα:
EL0512FR1027

Παροχή αιχμής (M3/S)	249.3
Χρονική στιγμή αιχμής	02Sep2000, 02:00
Όγκος (MM)	205.28
Όγκος βροχόπτωσης (M3)	2.57E7
Όγκος απωλειών (M3)	1.66E7
Ενεργός Όγκος (M3)	9.15E6
Όγκος άμεσης απορροής (M3)	9.15E6
Όγκος βασικής απορροής (M3)	7.25E6

Βροχόπτωση και Απορροή



Υπολεκάνη: EL0512FR1028

Έκταση (KM2) : 92.8

Κατάντη : J31

Μέθοδος Απωλειών: SCS

Ποσοστό αδιαπέρατης επιφάνειας	0
Αριθμός Καμπύλης Απορροής-CN	53.3
Αρχικές Απώλειες	44.51

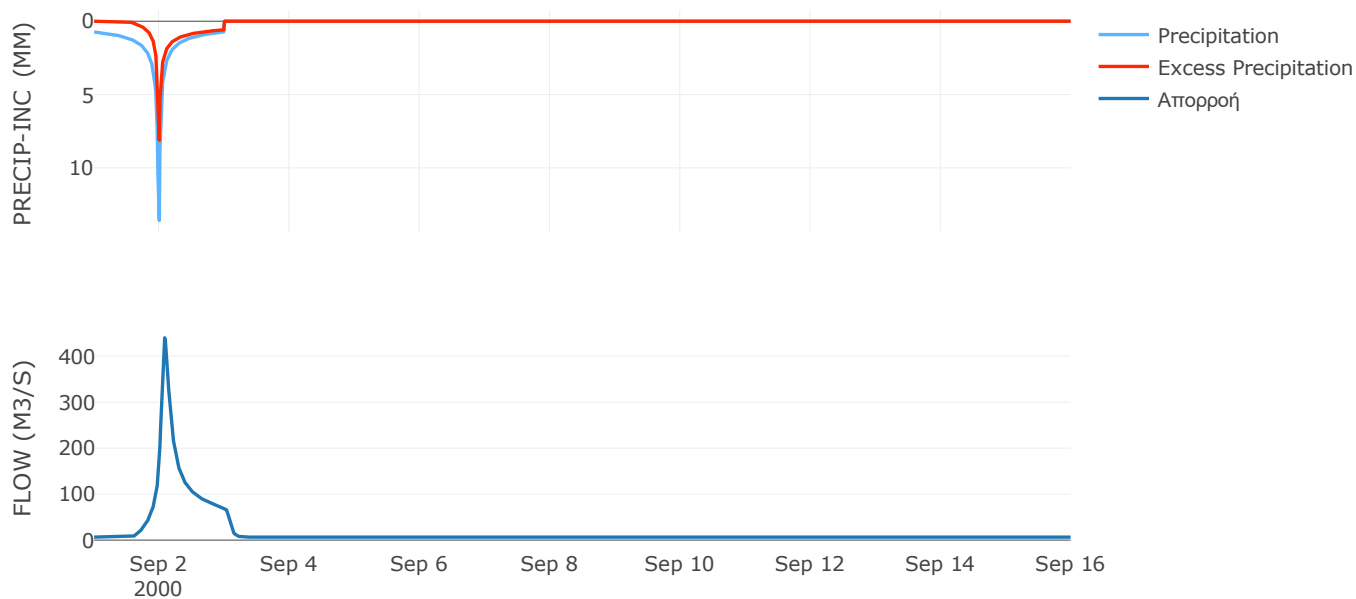
Μέθοδος
Μετασχηματισμού: SCS

Χρόνος Υστέρησης	104.94
------------------	--------

Αποτελέσματα:
EL0512FR1028

Παροχή αιχμής (M3/S)	439.82
Χρονική στιγμή αιχμής	02Sep2000, 02:00
Όγκος (MM)	249.32
Όγκος βροχόπτωσης (M3)	3.04E7
Όγκος απωλειών (M3)	1.57E7
Ενεργός Όγκος (M3)	1.47E7
Όγκος άμεσης απορροής (M3)	1.47E7
Όγκος βασικής απορροής (M3)	8.42E6

Βροχόπτωση και Απορροή



Υπολεκάνη: EL0512FR1029

Έκταση (KM2) : 88.68

Κατάντη : J22

Μέθοδος Απωλειών: SCS

Ποσοστό αδιαπέρατης επιφάνειας	0
Αριθμός Καμπύλης Απορροής-CN	46.38
Αρχικές Απώλειες	58.73

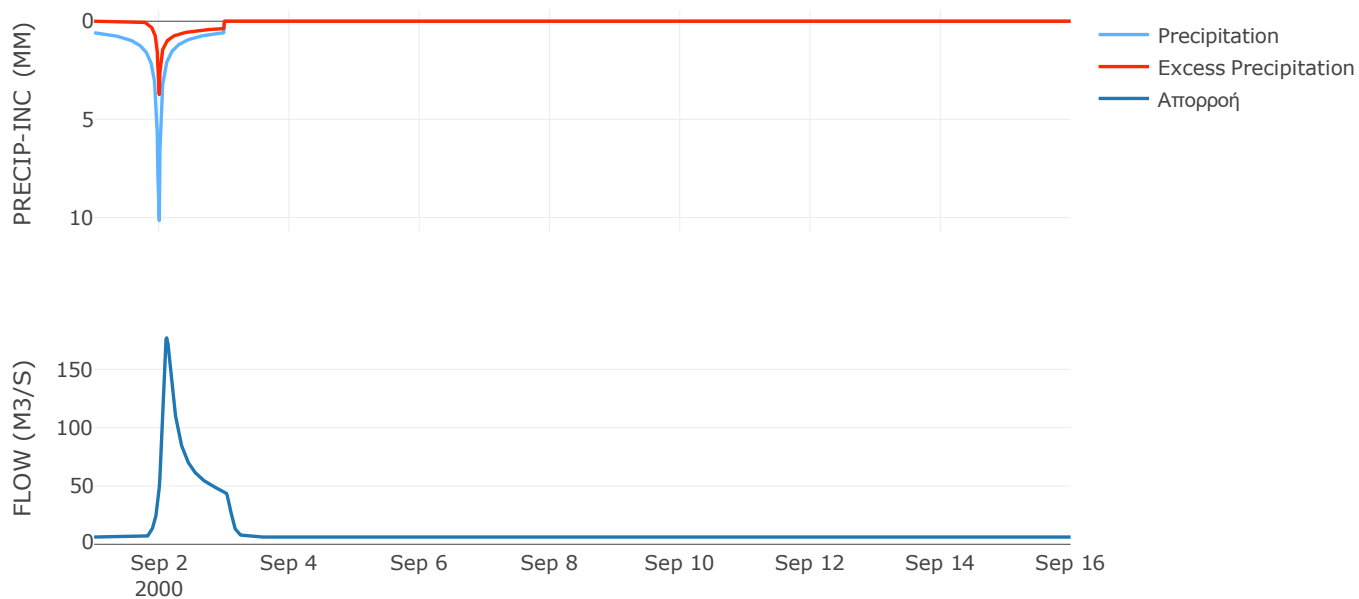
Μέθοδος
Μετασχηματισμού: SCS

Χρόνος Υστέρησης	131.29
------------------	--------

Αποτελέσματα:
EL0512FR1029

Παροχή αιχμής (M3/S)	176.97
Χρονική στιγμή αιχμής	02Sep2000, 02:45
Όγκος (MM)	169.91
Όγκος βροχόπτωσης (M3)	2.27E7
Όγκος απωλειών (M3)	1.57E7
Ενεργός Όγκος (M3)	7.02E6
Όγκος άμεσης απορροής (M3)	7.02E6
Όγκος βασικής απορροής (M3)	8.05E6

Βροχόπτωση και Απορροή



Υπολεκάνη: EL0512FR1030

Έκταση (KM2) : 54.36

Κατάντη : J22

Μέθοδος Απωλειών: SCS

Ποσοστό αδιαπέρατης επιφάνειας	0
Αριθμός Καμπύλης Απορροής-CN	32.5
Αρχικές Απώλειες	105.49

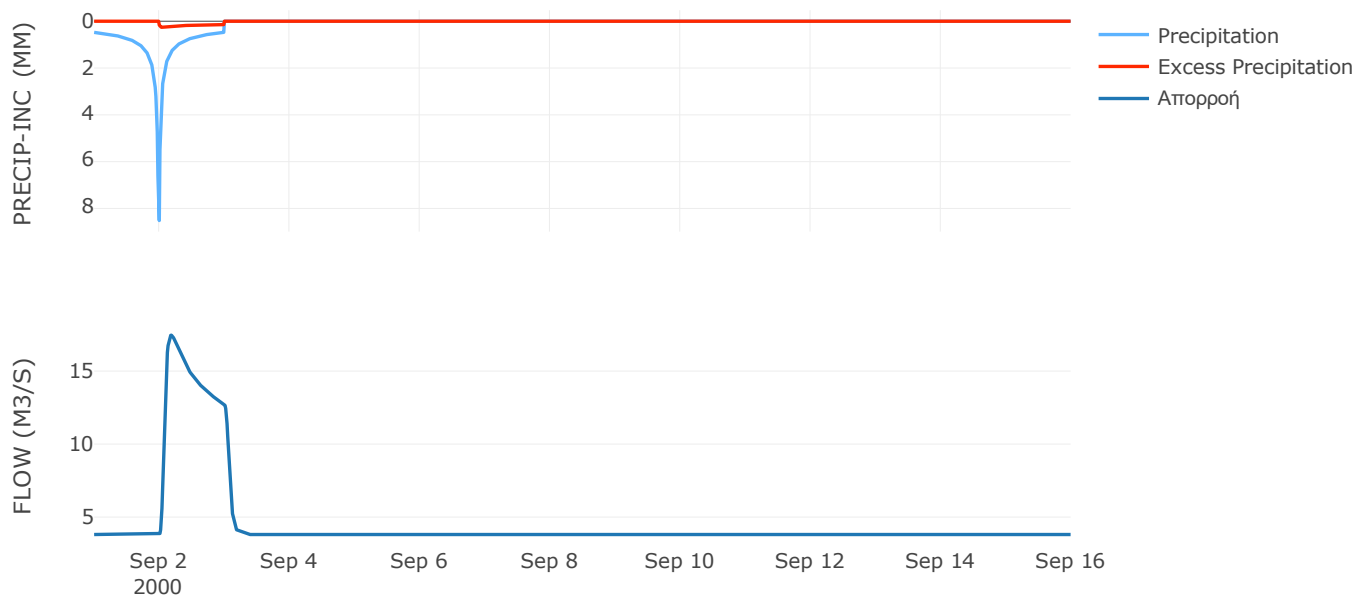
Μέθοδος
Μετασχηματισμού: SCS

Χρόνος Υστέρησης	93.36
------------------	-------

Αποτελέσματα:
EL0512FR1030

Παροχή αιχμής (M3/S)	17.46
Χρονική στιγμή αιχμής	02Sep2000, 04:30
Όγκος (MM)	108.17
Όγκος βροχόπτωσης (M3)	1.14E7
Όγκος απωλειών (M3)	1.05E7
Ενεργός Όγκος (M3)	9.49E5
Όγκος άμεσης απορροής (M3)	9.49E5
Όγκος βασικής απορροής (M3)	4.93E6

Βροχόπτωση και Απορροή



Υπολεκάνη: EL0512FR1031

Έκταση (KM2) : 44.83

Κατάντη : J14

Μέθοδος Απωλειών: SCS

Ποσοστό αδιαπέρατης επιφάνειας	0
Αριθμός Καμπύλης Απορροής-CN	41.18
Αρχικές Απώλειες	72.56

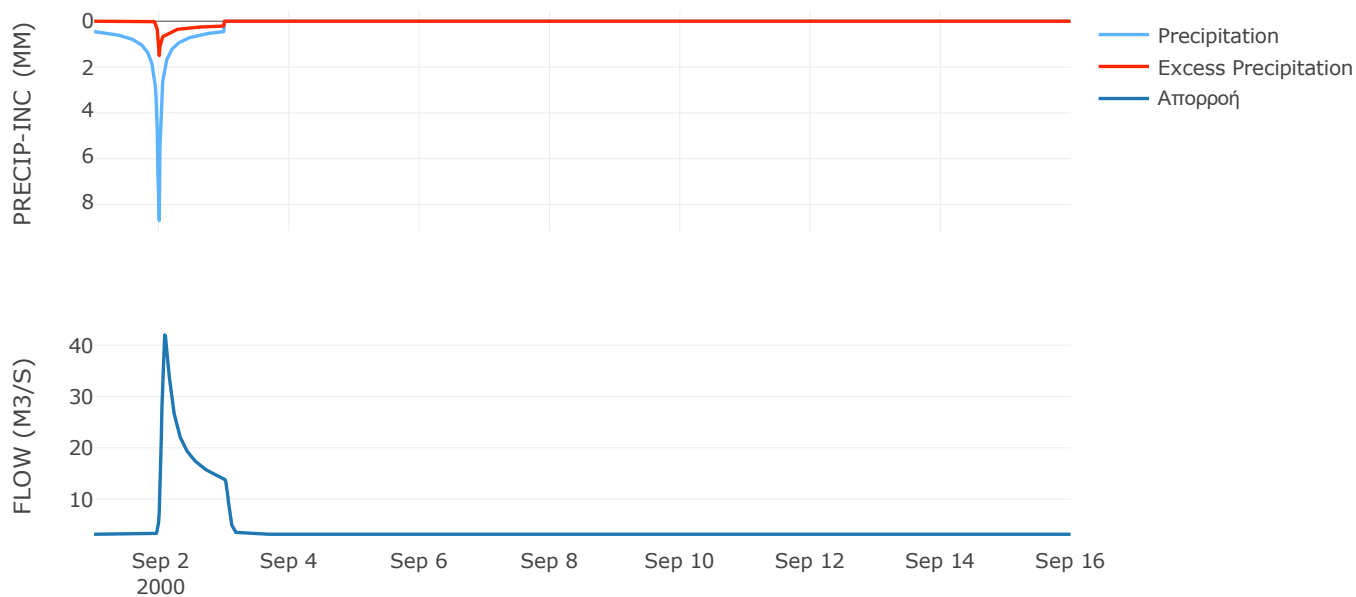
Μέθοδος
Μετασχηματισμού: SCS

Χρόνος Υστέρησης	86.4
------------------	------

Αποτελέσματα:
EL0512FR1031

Παροχή αιχμής (M3/S)	41.98
Χρονική στιγμή αιχμής	02Sep2000, 02:00
Όγκος (MM)	126.46
Όγκος βροχόπτωσης (M3)	9.22E6
Όγκος απωλειών (M3)	7.62E6
Ενεργός Όγκος (M3)	1.6E6
Όγκος άμεσης απορροής (M3)	1.6E6
Όγκος βασικής απορροής (M3)	4.07E6

Βροχόπτωση και Απορροή



Υπολεκάνη: EL0512FR1032

Έκταση (KM2) : 62.74

Κατάντη : J14

Μέθοδος Απωλειών: SCS

Ποσοστό αδιαπέρατης επιφάνειας	0
Αριθμός Καμπύλης Απορροής-CN	43.05
Αρχικές Απώλειες	67.22

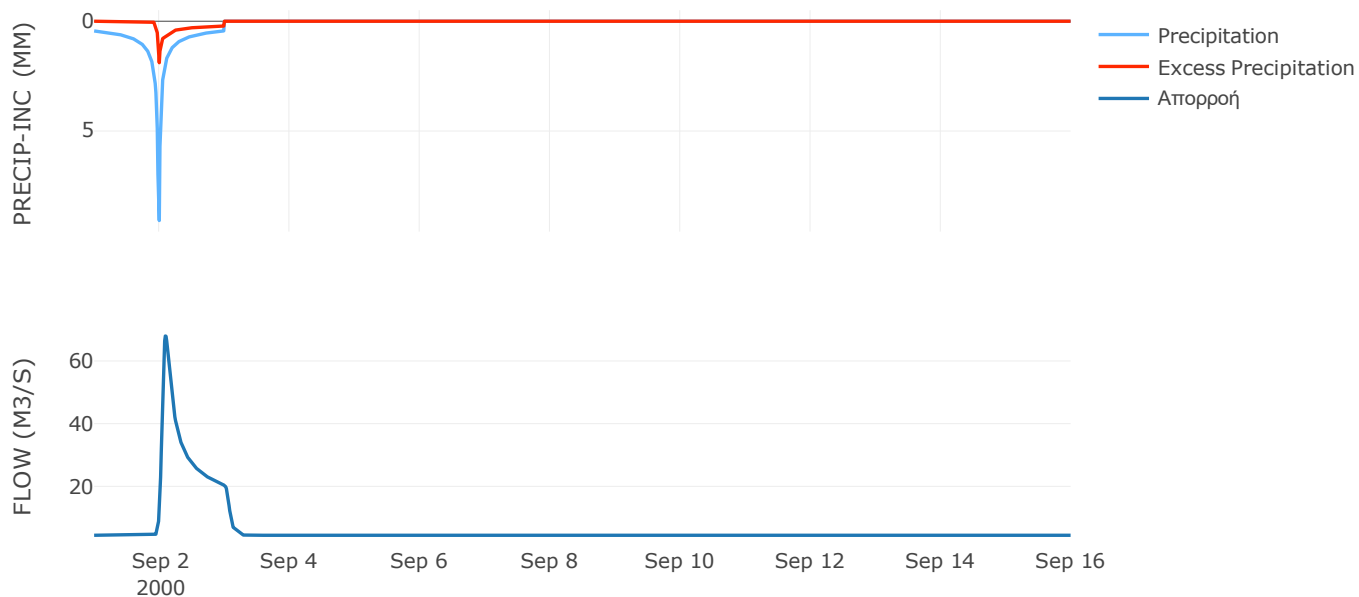
Μέθοδος
Μετασχηματισμού: SCS

Χρόνος Υστέρησης	101.69
------------------	--------

Αποτελέσματα:
EL0512FR1032

Παροχή αιχμής (M3/S)	67.97
Χρονική στιγμή αιχμής	02Sep2000, 02:15
Όγκος (MM)	131.23
Όγκος βροχόπτωσης (M3)	1.29E7
Όγκος απωλειών (M3)	1.04E7
Ενεργός Όγκος (M3)	2.54E6
Όγκος άμεσης απορροής (M3)	2.54E6
Όγκος βασικής απορροής (M3)	5.69E6

Βροχόπτωση και Απορροή



Υπολεκάνη: EL0512FR1033

Έκταση (KM2) : 25.85

Κατάντη : J30

Μέθοδος Απωλειών: SCS

Ποσοστό αδιαπέρατης επιφάνειας	0
Αριθμός Καμπύλης Απορροής-CN	41.29
Αρχικές Απώλειες	72.22

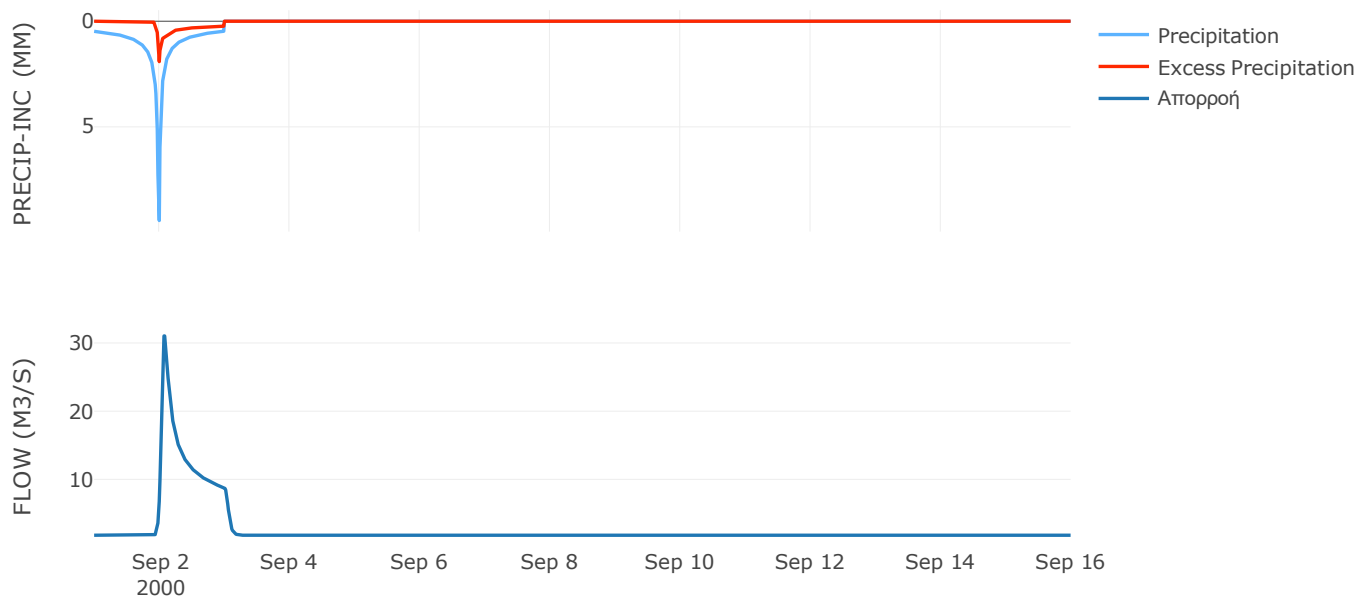
Μέθοδος
Μετασχηματισμού: SCS

Χρόνος Υστέρησης	80.25
------------------	-------

Αποτελέσματα:
EL0512FR1033

Παροχή αιχμής (M3/S)	31.03
Χρονική στιγμή αιχμής	02Sep2000, 01:45
Όγκος (MM)	133.09
Όγκος βροχόπτωσης (M3)	5.66E6
Όγκος απωλειών (M3)	4.56E6
Ενεργός Όγκος (M3)	1.1E6
Όγκος άμεσης απορροής (M3)	1.1E6
Όγκος βασικής απορροής (M3)	2.35E6

Βροχόπτωση και Απορροή



Υπολεκάνη: EL0512FR1034

Έκταση (KM2) : 4.71

Κατάντη : J20

Μέθοδος Απωλειών: SCS

Ποσοστό αδιαπέρατης επιφάνειας	0
Αριθμός Καμπύλης Απορροής-CN	47.27
Αρχικές Απώλειες	56.68

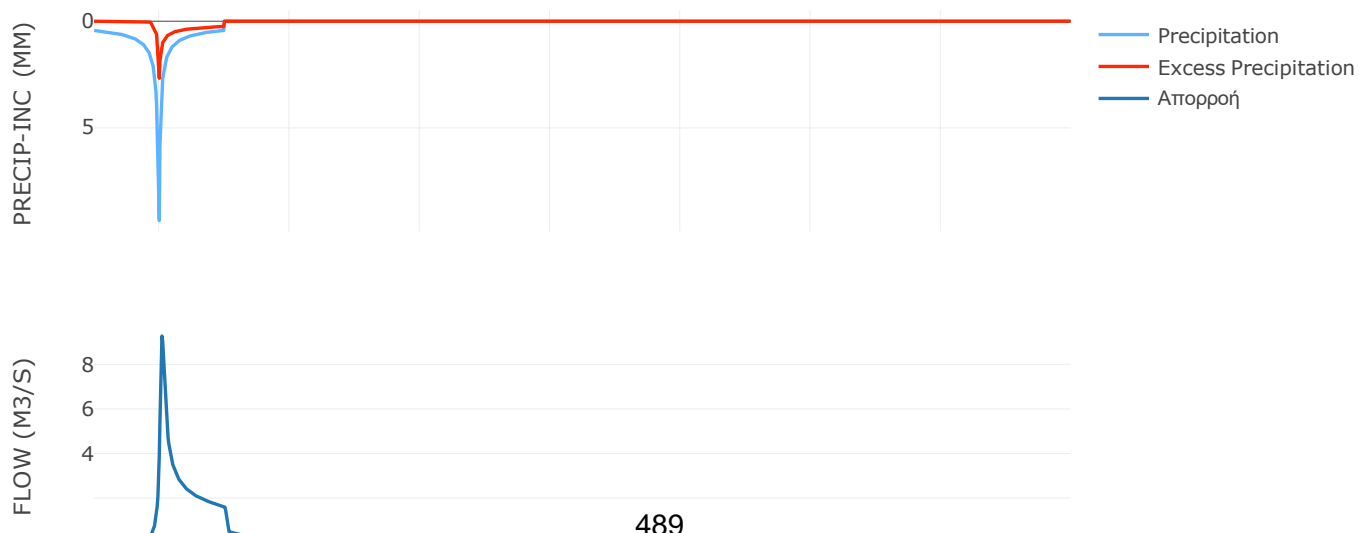
Μέθοδος
Μετασχηματισμού: SCS

Χρόνος Υστέρησης	48.13
------------------	-------

Αποτελέσματα:
EL0512FR1034

Παροχή αιχμής (M3/S)	9.27
Χρονική στιγμή αιχμής	02Sep2000, 01:00
Όγκος (MM)	141.89
Όγκος βροχόπτωσης (M3)	9.66E5
Όγκος απωλειών (M3)	7.26E5
Ενεργός Όγκος (M3)	2.41E5
Όγκος άμεσης απορροής (M3)	2.41E5
Όγκος βασικής απορροής (M3)	4.27E5

Βροχόπτωση και Απορροή



Υπολεκάνη: EL0512FR1035

Έκταση (KM2) : 3.15

Κατάντη : J16

Μέθοδος Απωλειών: SCS

Ποσοστό αδιαπέρατης επιφάνειας	0
Αριθμός Καμπύλης Απορροής-CN	52.2
Αρχικές Απώλειες	46.52

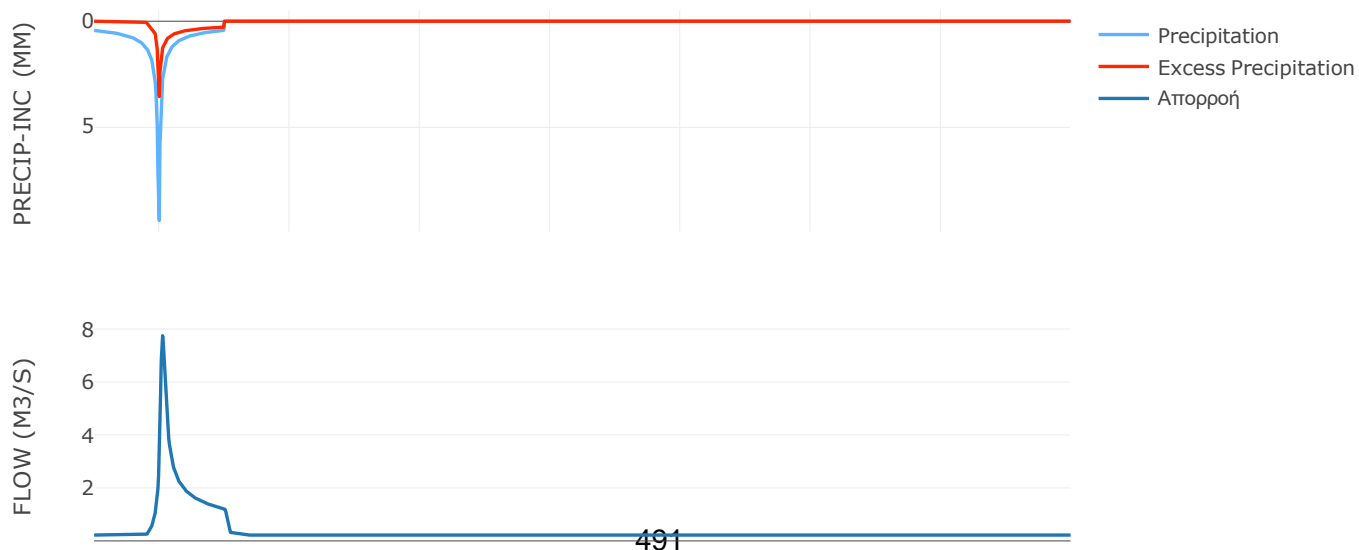
Μέθοδος
Μετασχηματισμού: SCS

Χρόνος Υστέρησης	59.19
------------------	-------

Αποτελέσματα:
EL0512FR1035

Παροχή αιχμής (M3/S)	7.74
Χρονική στιγμή αιχμής	02Sep2000, 01:15
Όγκος (MM)	155.18
Όγκος βροχόπτωσης (M3)	6.46E5
Όγκος απωλειών (M3)	4.43E5
Ενεργός Όγκος (M3)	2.03E5
Όγκος άμεσης απορροής (M3)	2.03E5
Όγκος βασικής απορροής (M3)	2.85E5

Βροχόπτωση και Απορροή



Υπολεκάνη: EL0512FR1036

Έκταση (KM2) : 1.14

Κατάνη : J16

Μέθοδος Απωλειών: SCS

Ποσοστό αδιαπέρατης επιφάνειας	0
Αριθμός Καμπύλης Απορροής-CN	61.73
Αρχικές Απώλειες	31.5

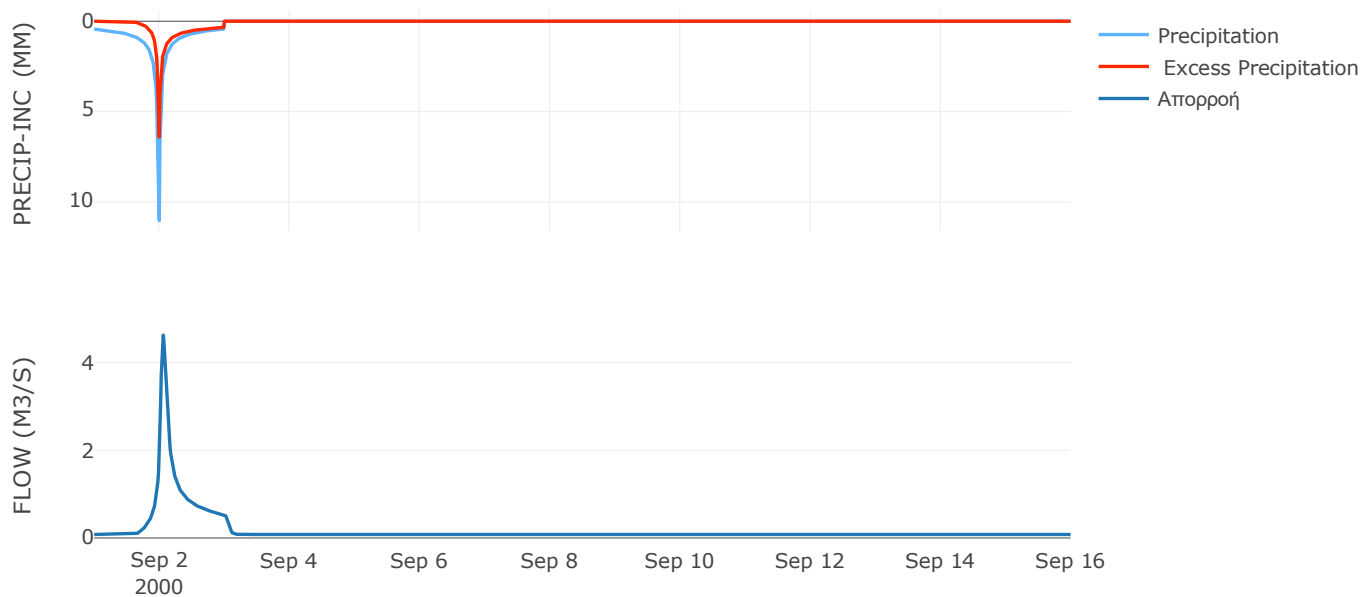
Μέθοδος
Μετασχηματισμού: SCS

Χρόνος Υστέρησης	74.73
------------------	-------

Αποτελέσματα:
EL0512FR1036

Παροχή αιχμής (M3/S)	4.62
Χρονική στιγμή αιχμής	02Sep2000, 01:30
Όγκος (MM)	193.86
Όγκος βροχόπτωσης (M3)	2.51E5
Όγκος απωλειών (M3)	1.33E5
Ενεργός Όγκος (M3)	1.17E5
Όγκος άμεσης απορροής (M3)	1.17E5
Όγκος βασικής απορροής (M3)	1.03E5

Βροχόπτωση και Απορροή



Υπολεκάνη: EL0512FR1037

Έκταση (KM2) : 1.46

Κατάντη : J17

Μέθοδος Απωλειών: SCS

Ποσοστό αδιαπέρατης επιφάνειας	0
Αριθμός Καμπύλης Απορροής-CN	62.05
Αρχικές Απώλειες	31.08

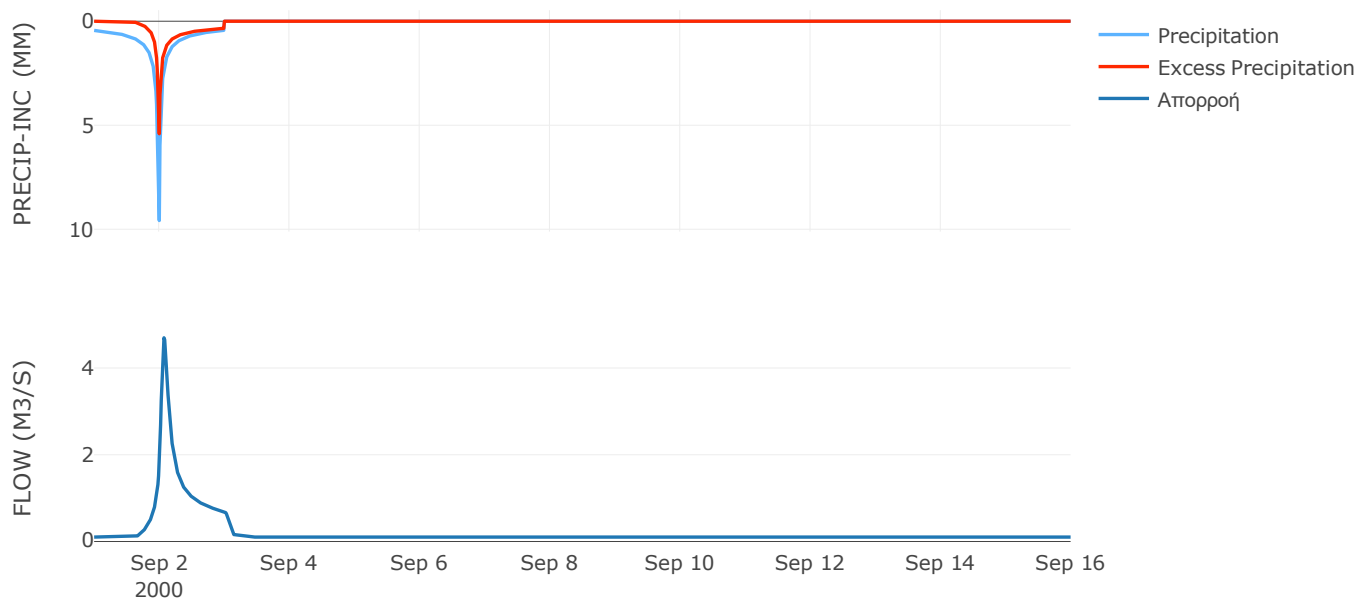
Μέθοδος
Μετασχηματισμού: SCS

Χρόνος Υστέρησης	93.93
------------------	-------

Αποτελέσματα:
EL0512FR1037

Παροχή αιχμής (M3/S)	4.7
Χρονική στιγμή αιχμής	02Sep2000, 01:45
Όγκος (MM)	186.46
Όγκος βροχόπτωσης (M3)	3.07E5
Όγκος απωλειών (M3)	1.67E5
Ενεργός Όγκος (M3)	1.4E5
Όγκος άμεσης απορροής (M3)	1.4E5
Όγκος βασικής απορροής (M3)	1.32E5

Βροχόπτωση και Απορροή



Υπολεκάνη: EL0512FR1038

Έκταση (KM2) : 10.02

Κατάντη : J17

Μέθοδος Απωλειών: SCS

Ποσοστό αδιαπέρατης επιφάνειας	0
Αριθμός Καμπύλης Απορροής-CN	52.93
Αρχικές Απώλειες	45.17

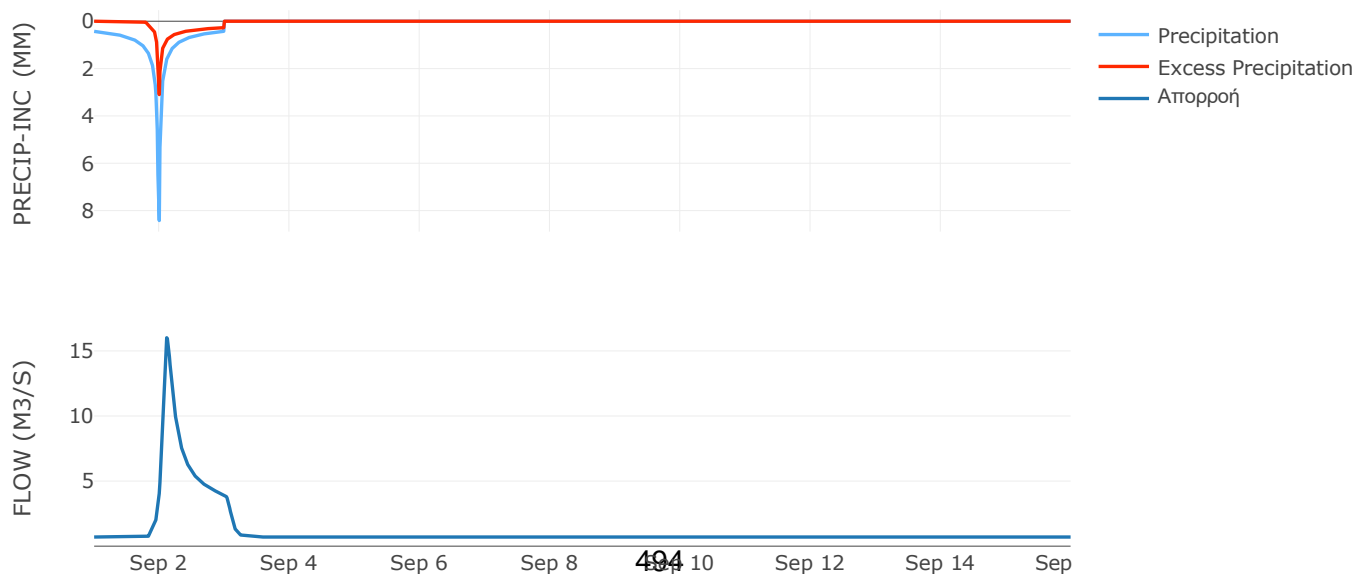
Μέθοδος
Μετασχηματισμού: SCS

Χρόνος Υστέρησης	134.93
------------------	--------

Αποτελέσματα:
EL0512FR1038

Παροχή αιχμής (M3/S)	16.01
Χρονική στιγμή αιχμής	02Sep2000, 02:45
Όγκος (MM)	151.15
Όγκος βροχόπτωσης (M3)	1.96E6
Όγκος απωλειών (M3)	1.36E6
Ενεργός Όγκος (M3)	6.05E5
Όγκος άμεσης απορροής (M3)	6.05E5
Όγκος βασικής απορροής (M3)	9.09E5

Βροχόπτωση και Απορροή



Υπολεκάνη: EL0512FR1039

Έκταση (KM2) : 30.28

Κατάνη : J15

Μέθοδος Απωλειών: SCS

Ποσοστό αδιαπέρατης επιφάνειας	0
Αριθμός Καμπύλης Απορροής-CN	45.8
Αρχικές Απώλειες	60.13

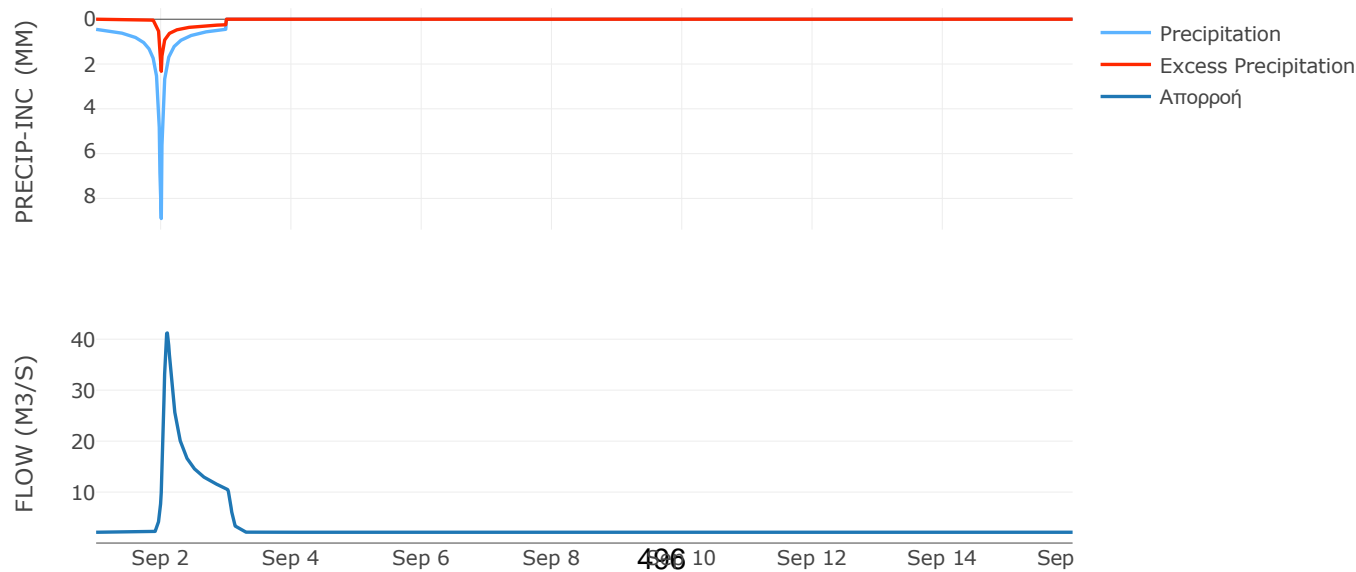
Μέθοδος
Μετασχηματισμού: SCS

Χρόνος Υστέρησης	97.45
------------------	-------

Αποτελέσματα:
EL0512FR1039

Παροχή αιχμής (M3/S)	41.22
Χρονική στιγμή αιχμής	02Sep2000, 02:15
Όγκος (MM)	139
Όγκος βροχόπτωσης (M3)	6.27E6
Όγκος απωλειών (M3)	4.81E6
Ενεργός Όγκος (M3)	1.46E6
Όγκος άμεσης απορροής (M3)	1.46E6
Όγκος βασικής απορροής (M3)	2.75E6

Βροχόπτωση και Απορροή



Υπολεκάνη: EL0512FR1040

Έκταση (KM2) : 14.45

Κατάντη : J16

Μέθοδος Απωλειών: SCS

Ποσοστό αδιαπέρατης επιφάνειας	0
Αριθμός Καμπύλης Απορροής-CN	42.81
Αρχικές Απώλειες	67.87

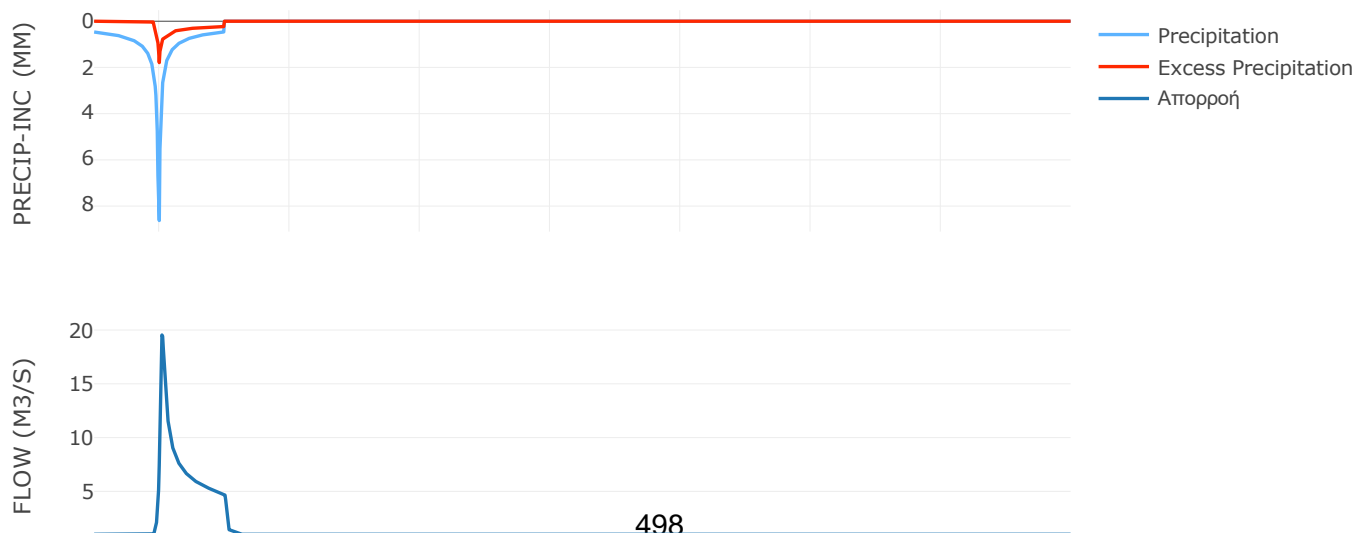
Μέθοδος
Μετασχηματισμού: SCS

Χρόνος Υστέρησης	46.83
------------------	-------

Αποτελέσματα:
EL0512FR1040

Παροχή αιχμής (M3/S)	19.54
Χρονική στιγμή αιχμής	02Sep2000, 01:00
Όγκος (MM)	131.91
Όγκος βροχόπτωσης (M3)	3.01E6
Όγκος απωλειών (M3)	2.42E6
Ενεργός Όγκος (M3)	5.95E5
Όγκος άμεσης απορροής (M3)	5.95E5
Όγκος βασικής απορροής (M3)	1.31E6

Βροχόπτωση και Απορροή



Υπολεκάνη: EL0512FR1041

Έκταση (KM2) : 37.27

Κατάντη : J29

Μέθοδος Απωλειών: SCS

Ποσοστό αδιαπέρατης επιφάνειας	0
Αριθμός Καμπύλης Απορροής-CN	42.85
Αρχικές Απώλειες	67.74

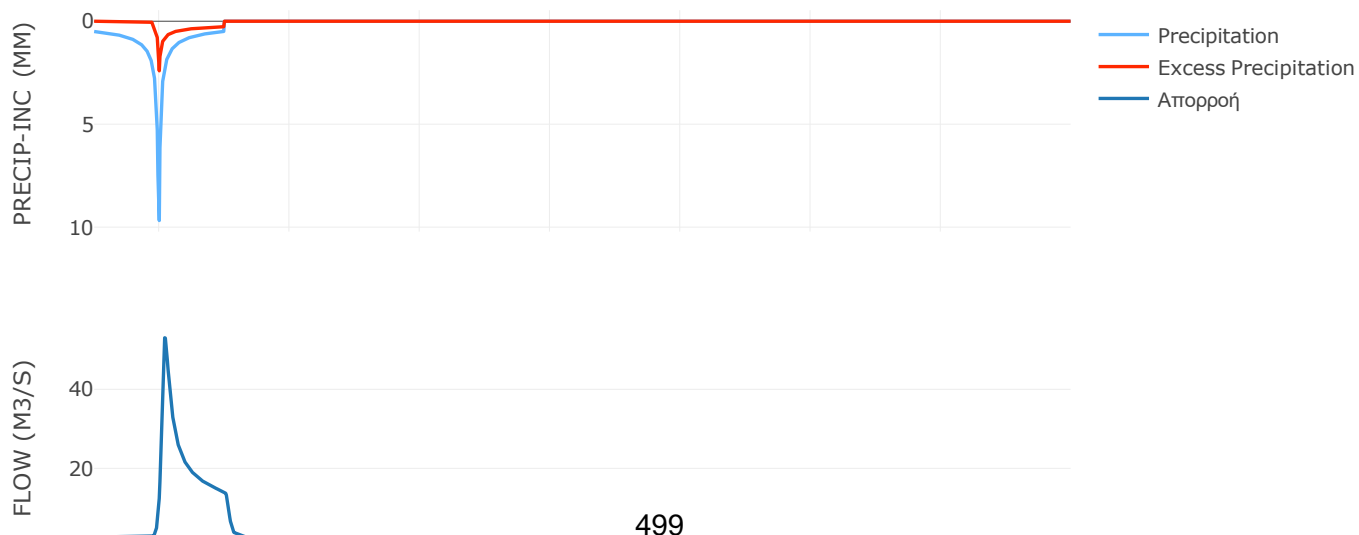
Μέθοδος
Μετασχηματισμού: SCS

Χρόνος Υστέρησης	94.82
------------------	-------

Αποτελέσματα:
EL0512FR1041

Παροχή αιχμής (M3/S)	53.04
Χρονική στιγμή αιχμής	02Sep2000, 02:00
Όγκος (MM)	141.78
Όγκος βροχόπτωσης (M3)	8.47E6
Όγκος απωλειών (M3)	6.57E6
Ενεργός Όγκος (M3)	1.9E6
Όγκος άμεσης απορροής (M3)	1.9E6
Όγκος βασικής απορροής (M3)	3.38E6

Βροχόπτωση και Απορροή



Υπολεκάνη: EL0512FR1042

Έκταση (KM2) : 72.53

Κατάντη : J20

Μέθοδος Απωλειών: SCS

Ποσοστό αδιαπέρατης επιφάνειας	0
Αριθμός Καμπύλης Απορροής-CN	38.35
Αρχικές Απώλειες	81.67

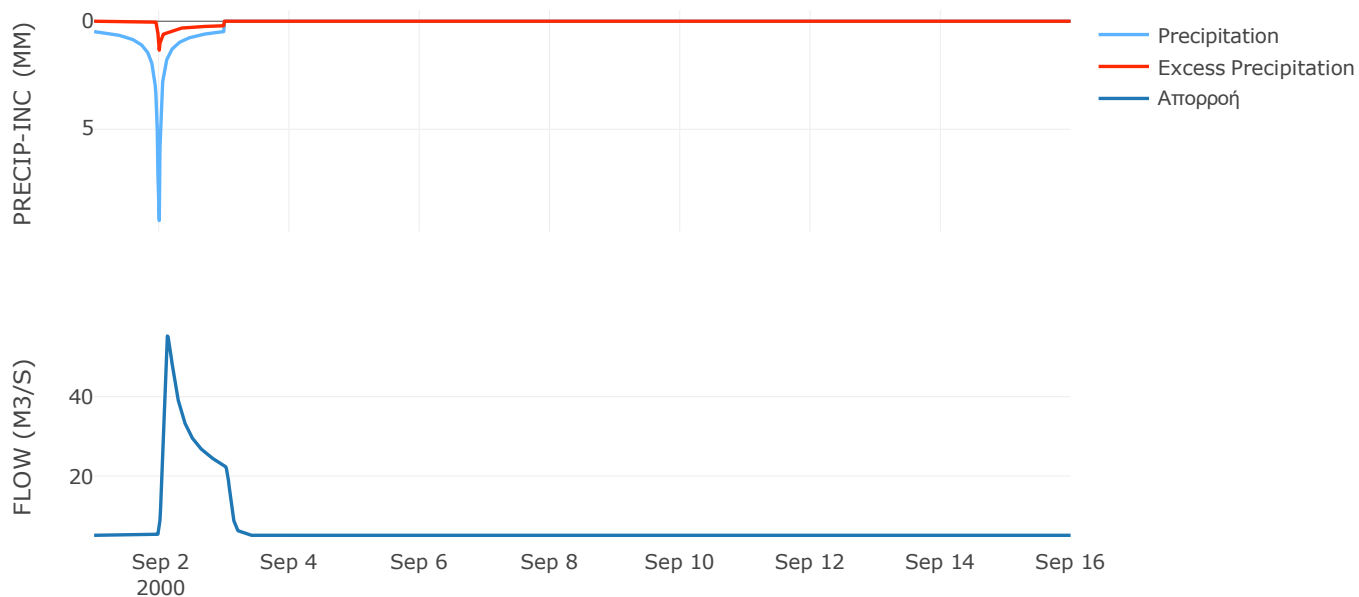
Μέθοδος
Μετασχηματισμού: SCS

Χρόνος Υστέρησης	121.09
------------------	--------

Αποτελέσματα:
EL0512FR1042

Παροχή αιχμής (M3/S)	55.3
Χρονική στιγμή αιχμής	02Sep2000, 03:00
Όγκος (MM)	124.9
Όγκος βροχόπτωσης (M3)	1.58E7
Όγκος απωλειών (M3)	1.33E7
Ενεργός Όγκος (M3)	2.48E6
Όγκος άμεσης απορροής (M3)	2.48E6
Όγκος βασικής απορροής (M3)	6.58E6

Βροχόπτωση και Απορροή



Υπολεκάνη: EL0512FR1043

Έκταση (KM2) : 13.21

Κατάντη : J21

Μέθοδος Απωλειών: SCS

Ποσοστό αδιαπέρατης επιφάνειας	0
Αριθμός Καμπύλης Απορροής-CN	33.59
Αρχικές Απώλειες	100.45

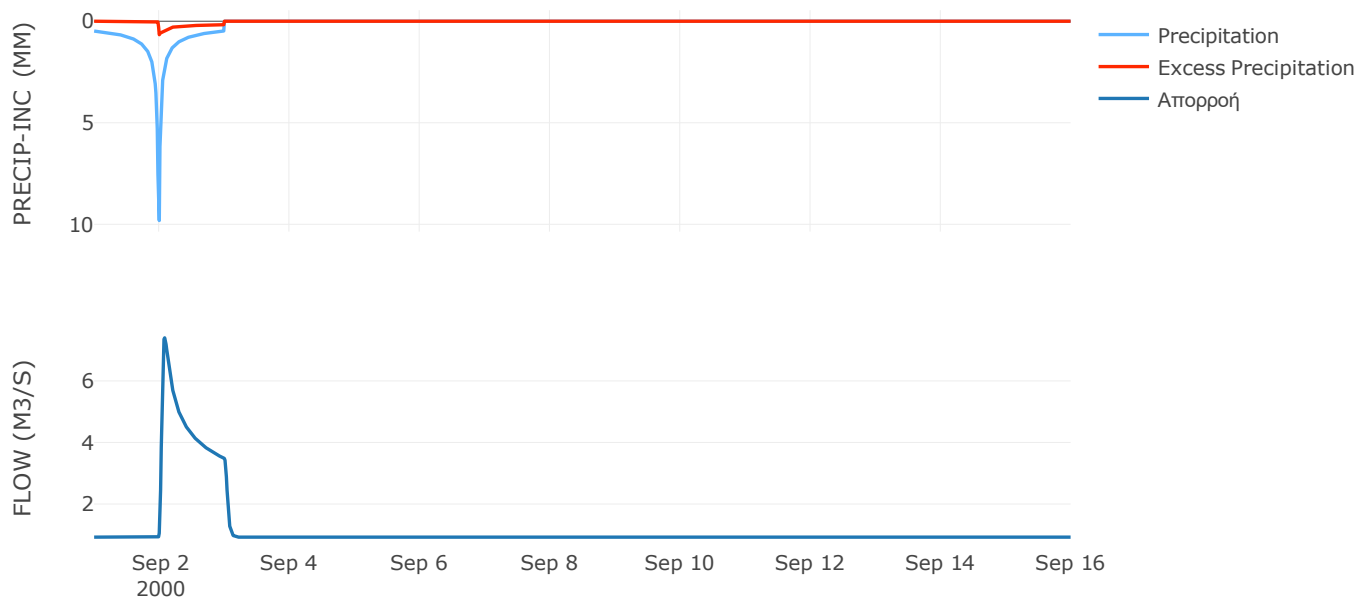
Μέθοδος
Μετασχηματισμού: SCS

Χρόνος Υστέρησης	58.04
------------------	-------

Αποτελέσματα:
EL0512FR1043

Παροχή αιχμής (M3/S)	7.4
Χρονική στιγμή αιχμής	02Sep2000, 02:00
Όγκος (MM)	115.15
Όγκος βροχόπτωσης (M3)	2.96E6
Όγκος απωλειών (M3)	2.64E6
Ενεργός Όγκος (M3)	3.23E5
Όγκος άμεσης απορροής (M3)	3.23E5
Όγκος βασικής απορροής (M3)	1.2E6

Βροχόπτωση και Απορροή



Υπολεκάνη: EL0512FR1044

Έκταση (KM2) : 23.96

Κατάντη : J19

Μέθοδος Απωλειών: SCS

Ποσοστό αδιαπέρατης επιφάνειας	0
Αριθμός Καμπύλης Απορροής-CN	34.47
Αρχικές Απώλειες	96.58

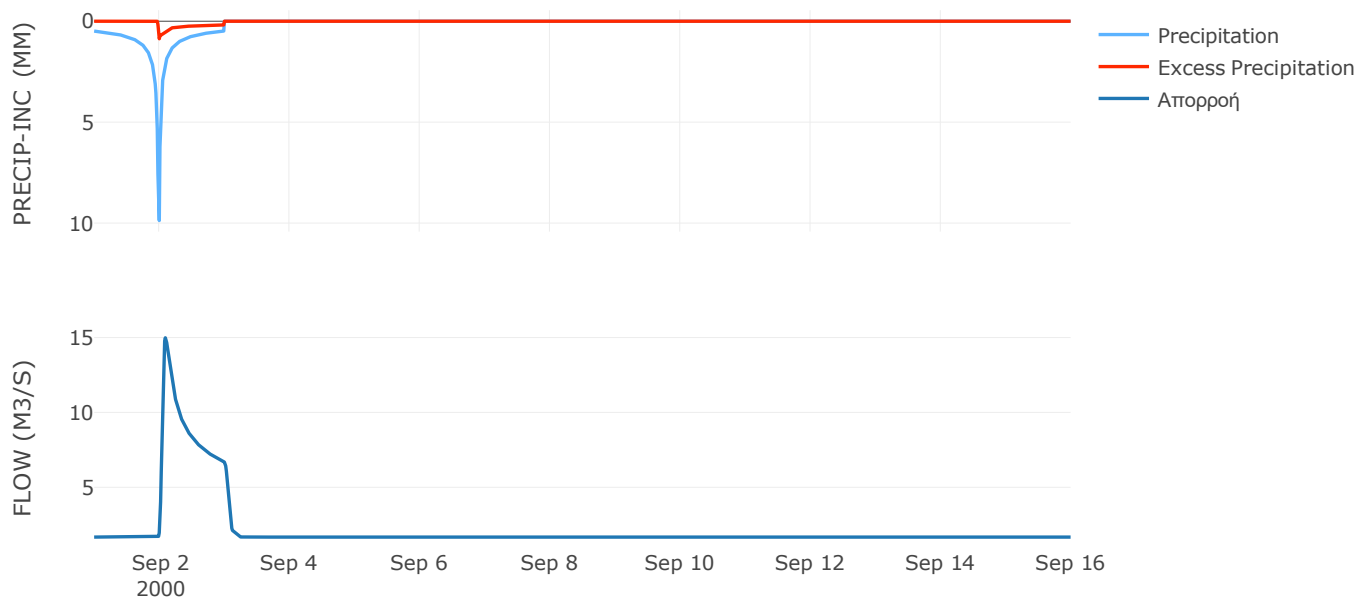
Μέθοδος
Μετασχηματισμού: SCS

Χρόνος Υστέρησης	77.1
------------------	------

Αποτελέσματα:
EL0512FR1044

Παροχή αιχμής (M3/S)	14.98
Χρονική στιγμή αιχμής	02Sep2000, 02:15
Όγκος (MM)	118.05
Όγκος βροχόπτωσης (M3)	5.41E6
Όγκος απωλειών (M3)	4.76E6
Ενεργός Όγκος (M3)	6.55E5
Όγκος άμεσης απορροής (M3)	6.55E5
Όγκος βασικής απορροής (M3)	2.17E6

Βροχόπτωση και Απορροή



Υπολεκάνη: EL0512FR1045

Έκταση (KM2) : 15.22

Κατάντη : J18

Μέθοδος Απωλειών: SCS

Ποσοστό αδιαπέρατης επιφάνειας	0
Αριθμός Καμπύλης Απορροής-CN	31.51
Αρχικές Απώλειες	110.42

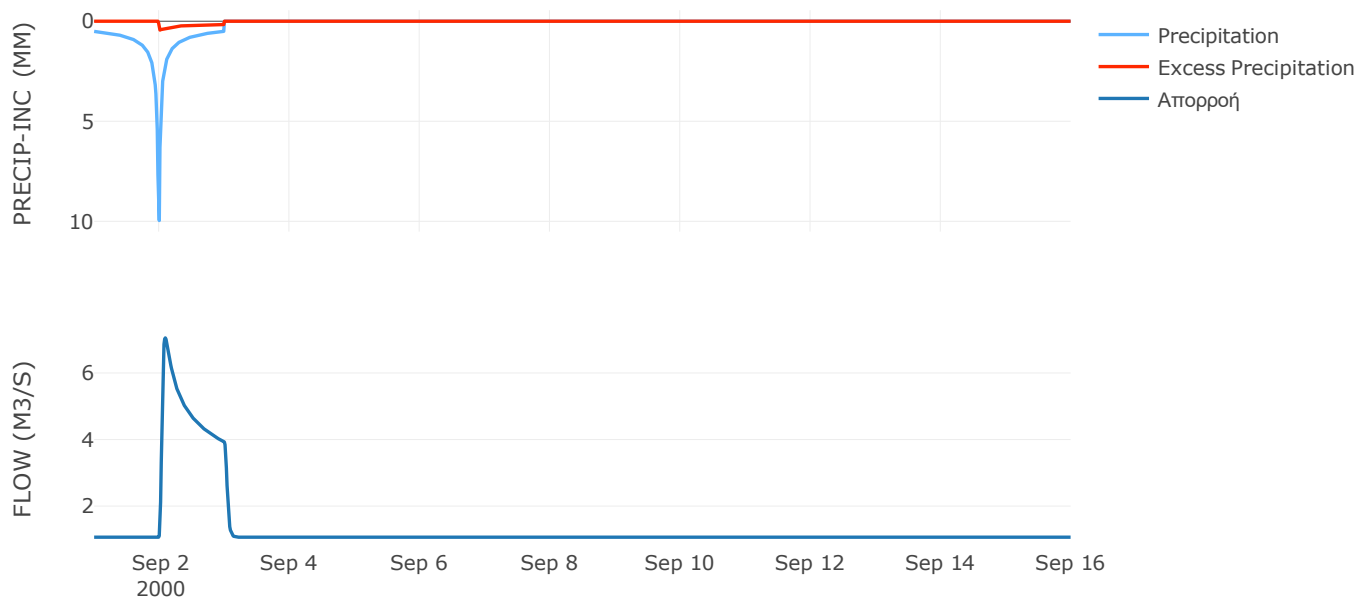
Μέθοδος
Μετασχηματισμού: SCS

Χρόνος Υστέρησης	53.6
------------------	------

Αποτελέσματα:
EL0512FR1045

Παροχή αιχμής (M3/S)	7.05
Χρονική στιγμή αιχμής	02Sep2000, 02:15
Όγκος (MM)	112.86
Όγκος βροχόπτωσης (M3)	3.54E6
Όγκος απωλειών (M3)	3.2E6
Ενεργός Όγκος (M3)	3.37E5
Όγκος άμεσης απορροής (M3)	3.37E5
Όγκος βασικής απορροής (M3)	1.38E6

Βροχόπτωση και Απορροή



Υπολεκάνη: EL0512FR1046

Έκταση (KM2) : 123.67

Κατάντη : J19

Μέθοδος Απωλειών: SCS

Ποσοστό αδιαπέρατης επιφάνειας	0
Αριθμός Καμπύλης Απορροής-CN	40.12
Αρχικές Απώλειες	75.8

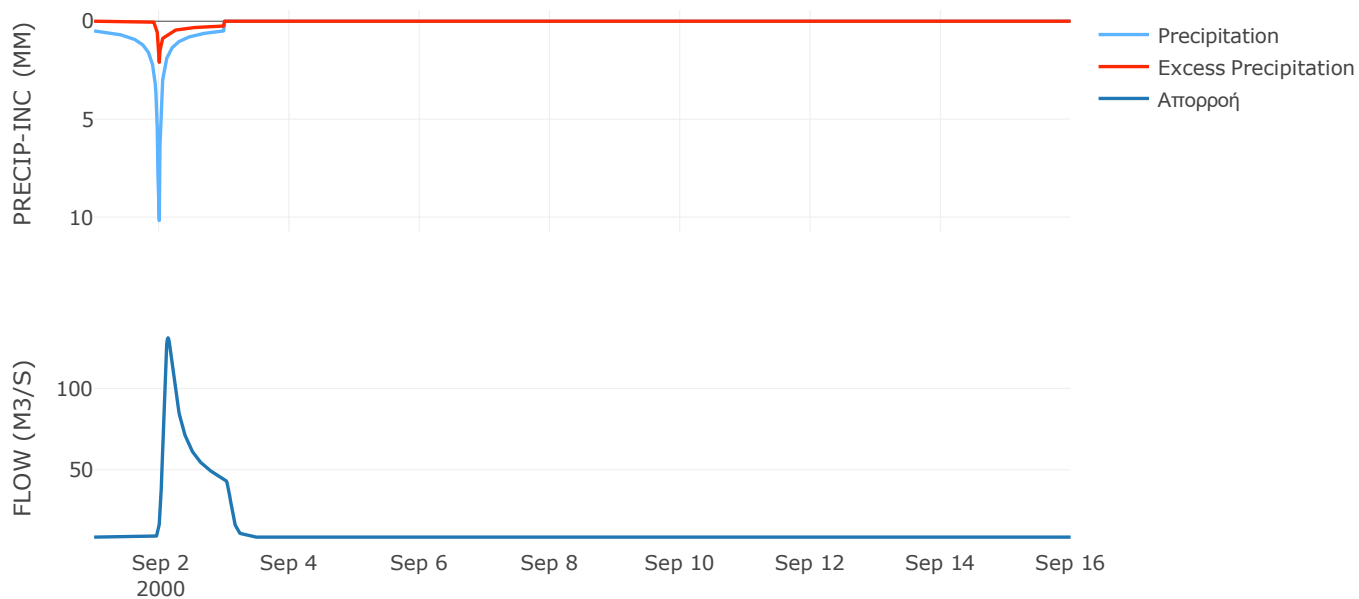
Μέθοδος
Μετασχηματισμού: SCS

Χρόνος Υστέρησης	139.2
------------------	-------

Αποτελέσματα:
EL0512FR1046

Παροχή αιχμής (M3/S)	131.09
Χρονική στιγμή αιχμής	02Sep2000, 03:15
Όγκος (MM)	135.88
Όγκος βροχόπτωσης (M3)	2.86E7
Όγκος απωλειών (M3)	2.3E7
Ενεργός Όγκος (M3)	5.58E6
Όγκος άμεσης απορροής (M3)	5.58E6
Όγκος βασικής απορροής (M3)	1.12E7

Βροχόπτωση και Απορροή



Υπολεκάνη: EL0512FR1047

Έκταση (KM2) : 46.41

Κατάνη : J11

Μέθοδος Απωλειών: SCS

Ποσοστό αδιαπέρατης επιφάνειας	0
Αριθμός Καμπύλης Απορροής-CN	36.7
Αρχικές Απώλειες	87.62

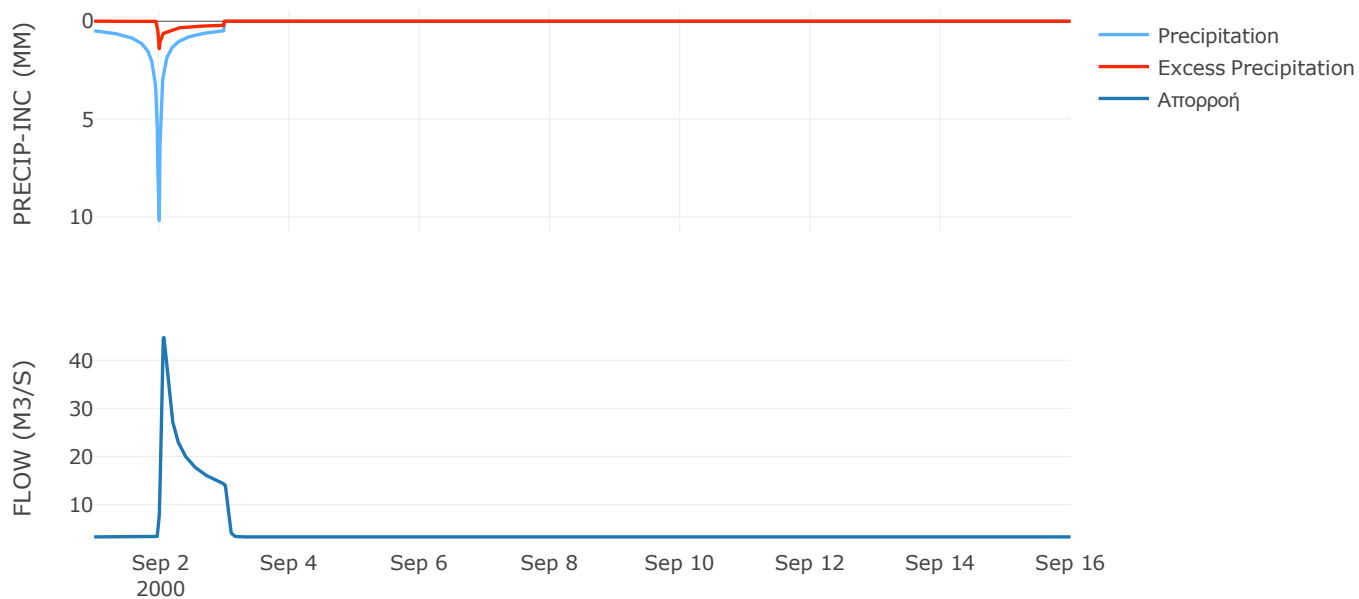
Μέθοδος
Μετασχηματισμού: SCS

Χρόνος Υστέρησης	62.89
------------------	-------

Αποτελέσματα:
EL0512FR1047

Παροχή αιχμής (M3/S)	44.72
Χρονική στιγμή αιχμής	02Sep2000, 01:45
Όγκος (MM)	125.42
Όγκος βροχόπτωσης (M3)	1.06E7
Όγκος απωλειών (M3)	9.04E6
Ενεργός Όγκος (M3)	1.61E6
Όγκος άμεσης απορροής (M3)	1.61E6
Όγκος βασικής απορροής (M3)	4.21E6

Βροχόπτωση και Απορροή



Υπολεκάνη: EL0512FR1048

Έκταση (KM2) : 6.43

Κατάντη : J14

Μέθοδος Απωλειών: SCS

Ποσοστό αδιαπέρατης επιφάνειας	0
Αριθμός Καμπύλης Απορροής-CN	43.71
Αρχικές Απώλειες	65.43

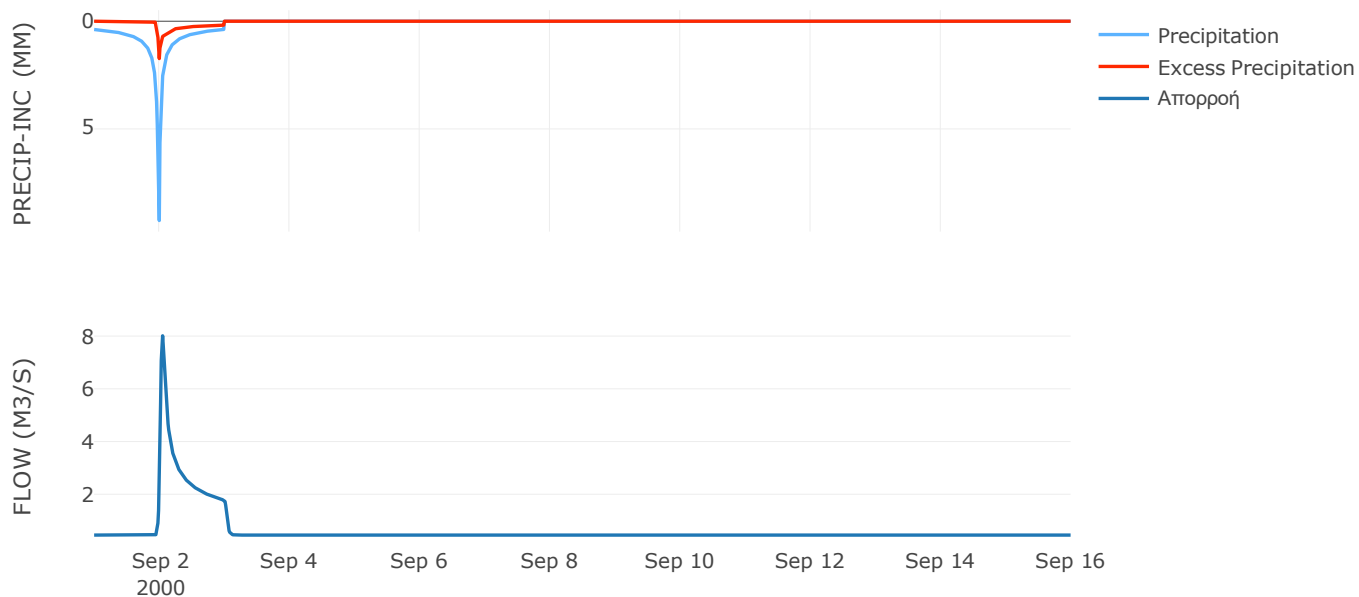
Μέθοδος
Μετασχηματισμού: SCS

Χρόνος Υστέρησης	48.35
------------------	-------

Αποτελέσματα:
EL0512FR1048

Παροχή αιχμής (M3/S)	8.01
Χρονική στιγμή αιχμής	02Sep2000, 01:15
Όγκος (MM)	125.21
Όγκος βροχόπτωσης (M3)	1.22E6
Όγκος απωλειών (M3)	1E6
Ενεργός Όγκος (M3)	2.22E5
Όγκος άμεσης απορροής (M3)	2.22E5
Όγκος βασικής απορροής (M3)	5.84E5

Βροχόπτωση και Απορροή



Υπολεκάνη: EL0512FR1049

Έκταση (KM2) : 4.8

Κατάντη : J12

Μέθοδος Απωλειών: SCS

Ποσοστό αδιαπέρατης επιφάνειας	0
Αριθμός Καμπύλης Απορροής-CN	60.9
Αρχικές Απώλειες	32.62

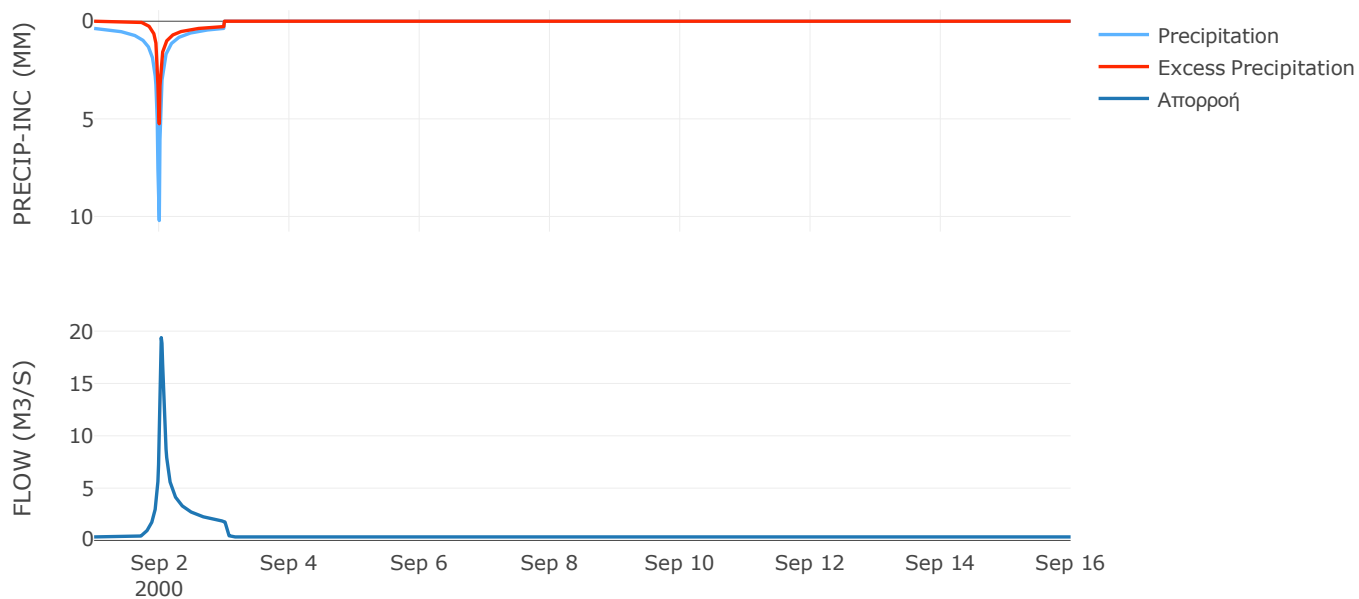
Μέθοδος
Μετασχηματισμού: SCS

Χρόνος Υστέρησης	41.19
------------------	-------

Αποτελέσματα:
EL0512FR1049

Παροχή αιχμής (M3/S)	19.38
Χρονική στιγμή αιχμής	02Sep2000, 00:45
Όγκος (MM)	170.73
Όγκος βροχόπτωσης (M3)	9.3E5
Όγκος απωλειών (M3)	5.46E5
Ενεργός Όγκος (M3)	3.84E5
Όγκος άμεσης απορροής (M3)	3.84E5
Όγκος βασικής απορροής (M3)	4.36E5

Βροχόπτωση και Απορροή



Υπολεκάνη: EL0512FR1050

Έκταση (KM2) : 8.16

Κατάντη : J8

Μέθοδος Απωλειών: SCS

Ποσοστό αδιαπέρατης επιφάνειας	0
Αριθμός Καμπύλης Απορροής-CN	32.84
Αρχικές Απώλειες	103.9

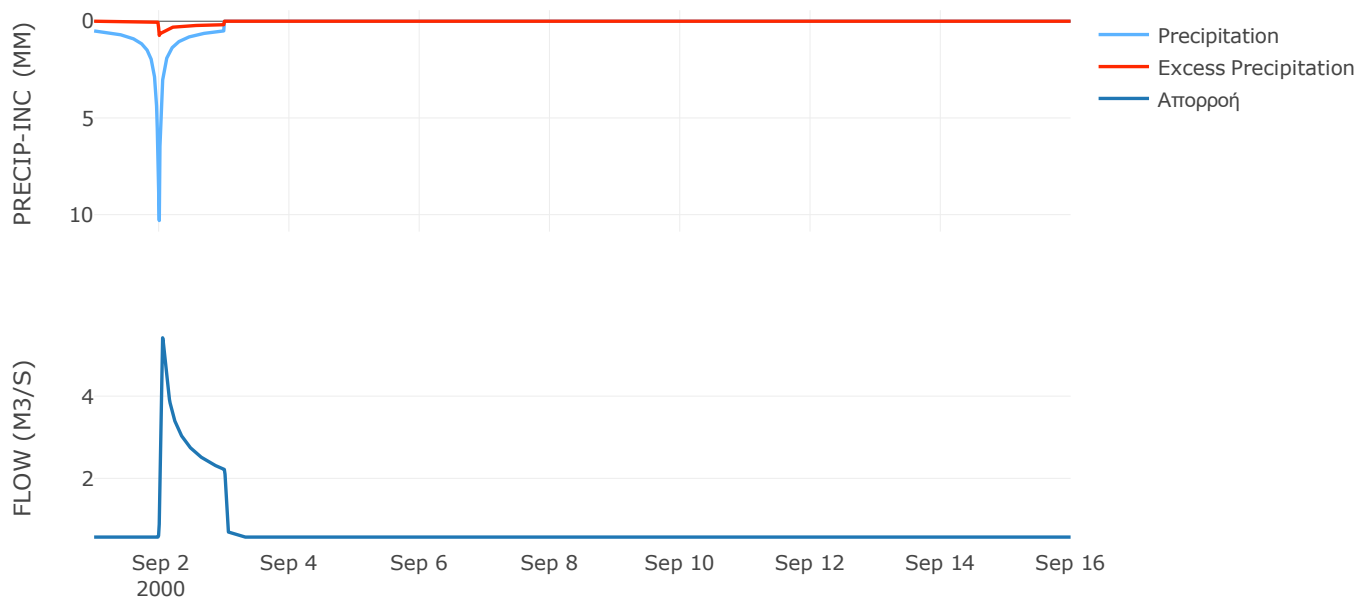
Μέθοδος
Μετασχηματισμού: SCS

Χρόνος Υστέρησης	34.6
------------------	------

Αποτελέσματα:
EL0512FR1050

Παροχή αιχμής (M3/S)	5.42
Χρονική στιγμή αιχμής	02Sep2000, 01:15
Όγκος (MM)	116.66
Όγκος βροχόπτωσης (M3)	1.91E6
Όγκος απωλειών (M3)	1.7E6
Ενεργός Όγκος (M3)	2.12E5
Όγκος άμεσης απορροής (M3)	2.12E5
Όγκος βασικής απορροής (M3)	7.4E5

Βροχόπτωση και Απορροή



Υπολεκάνη: EL0512FR1051

Έκταση (KM2) : 3.84

Κατάνη : J3

Μέθοδος Απωλειών: SCS

Ποσοστό αδιαπέρατης επιφάνειας	0
Αριθμός Καμπύλης Απορροής-CN	61
Αρχικές Απώλειες	32.48

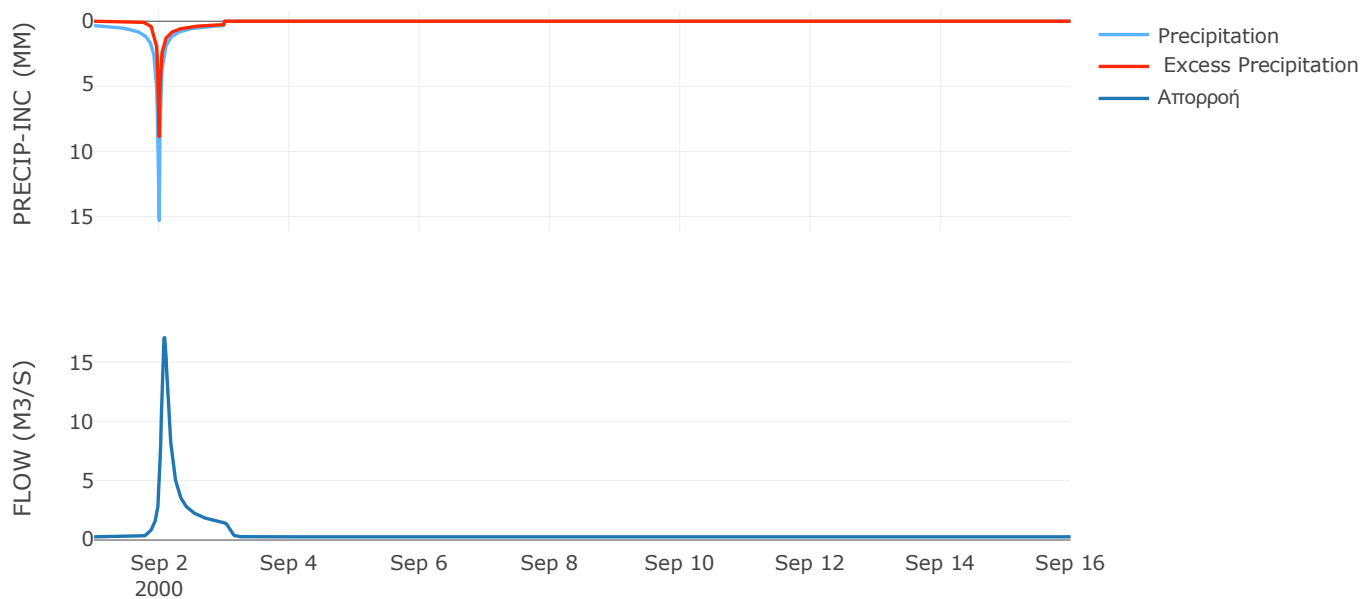
Μέθοδος
Μετασχηματισμού: SCS

Χρόνος Υστέρησης	99.38
------------------	-------

Αποτελέσματα:
EL0512FR1051

Παροχή αιχμής (M3/S)	17.05
Χρονική στιγμή αιχμής	02Sep2000, 02:00
Όγκος (MM)	190.65
Όγκος βροχόπτωσης (M3)	8.42E5
Όγκος απωλειών (M3)	4.58E5
Ενεργός Όγκος (M3)	3.84E5
Όγκος άμεσης απορροής (M3)	3.84E5
Όγκος βασικής απορροής (M3)	3.48E5

Βροχόπτωση και Απορροή



6.2 Δεδομένα και υδρογραφήματα σχεδιασμού Κλάδων υδρογραφικού δικτύου

Κλάδος: R21

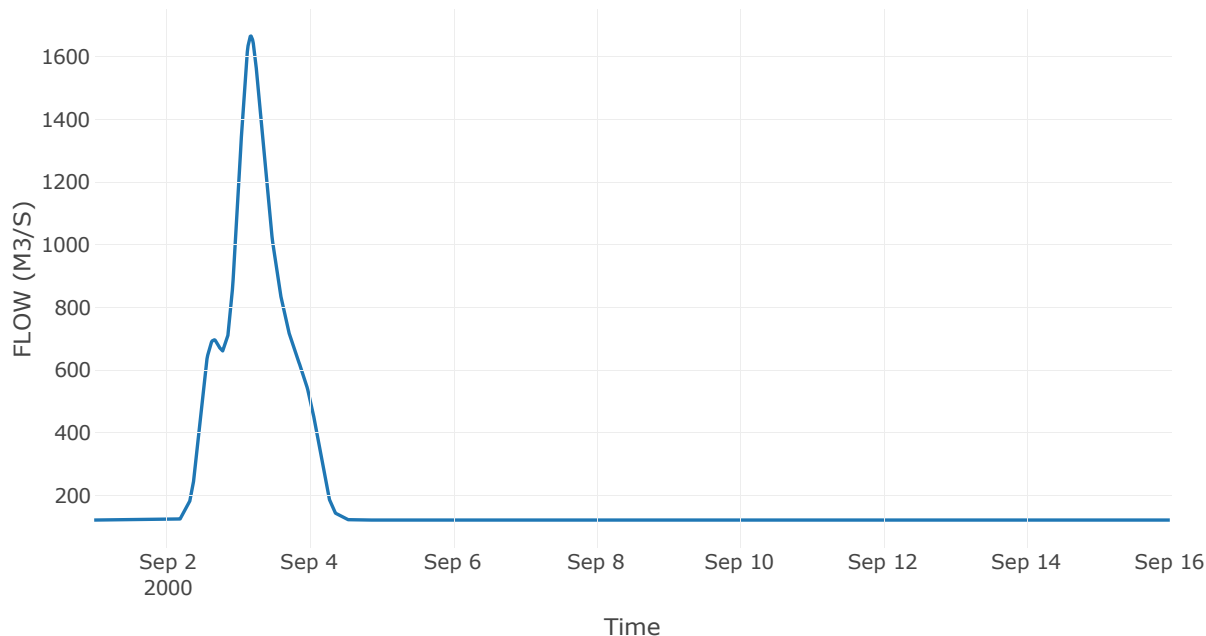
Κατάντη : J1

Μέθοδος Διόδευσης	Muskingum
Αρχική Μεταβλητή	Combined Inflow
Χρόνος Ροής Κ	5.61
Συντελεστής βάρους α	0.2
Πλήθος Υποκλάδων	23

Αποτελέσματα: R21

Παροχή Αιχμής (M3/S)	1665.14
Χρονική στιγμή αιχμής	03Sep2000, 04:30
Όγκος (MM)	157.28
Παροχή Αιχμής Εισόδου (M3/S)	1697.57
Όγκος Εισροής (M3)	2.73E8

Απορροή



Κλάδος: R32

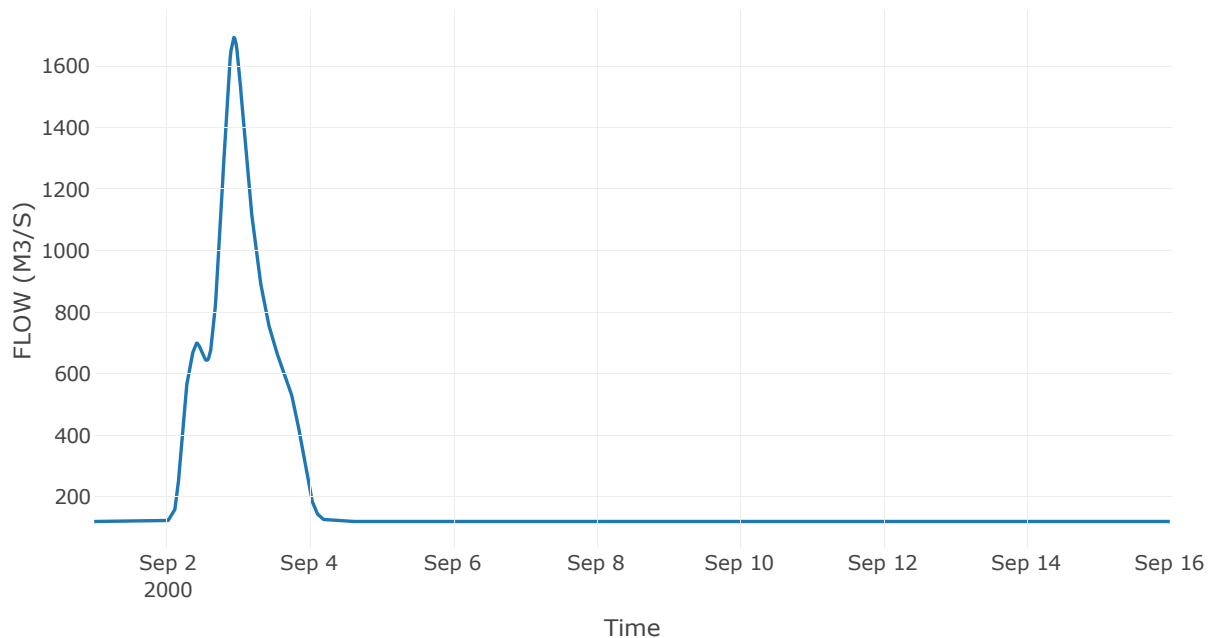
Κατάντη : J2

Μέθοδος Διόδευσης	Muskingum
Αρχική Μεταβλητή	Combined Inflow
Χρόνος Ροής Κ	3.4
Συντελεστής βάρους α	0.2
Πλήθος Υποκλάδων	14

Αποτελέσματα: R32

Παροχή Αιχμής (M3/S)	1693.07
Χρονική στιγμή αιχμής	02Sep2000, 22:45
Όγκος (MM)	157.27
Παροχή Αιχμής Εισόδου (M3/S)	1714.9
Όγκος Εισροής (M3)	2.7E8

Απορροή



Κλάδος: R43

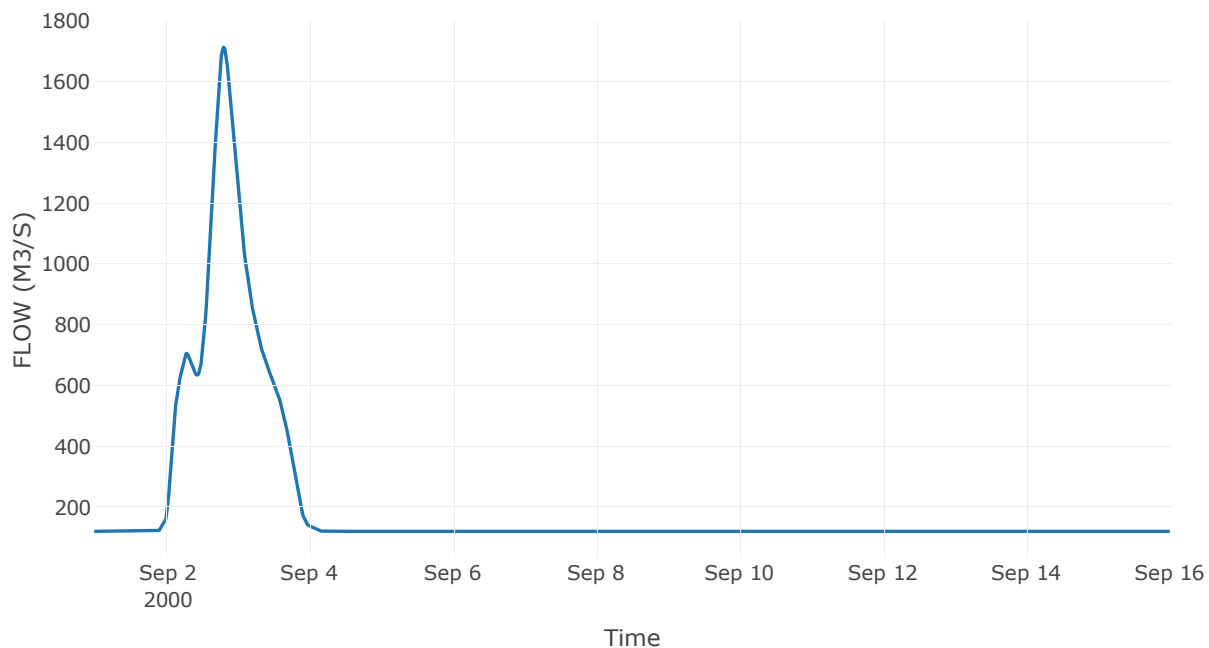
Κατάντη : J3

Μέθοδ	Muskingum
Αρχική Μεταβλητή	Combined Inflow
Χρόνος Ροής	0.59
Συντελεστής βάρους x	0.2
Πλήθος $_$	2

Αποτελέσματα: R43

Παροχή Αιχμής (M3/S)	1713.21
Χρονική στιγμή αιχμής	02Sep2000, 19:15
Όγκος (MM)	157.19
Παροχή Αιχμής Εισόδου (M3/S)	1718.72
Όγκος Εισροής	2.7E8

Απορροή



Κλάδος: R54

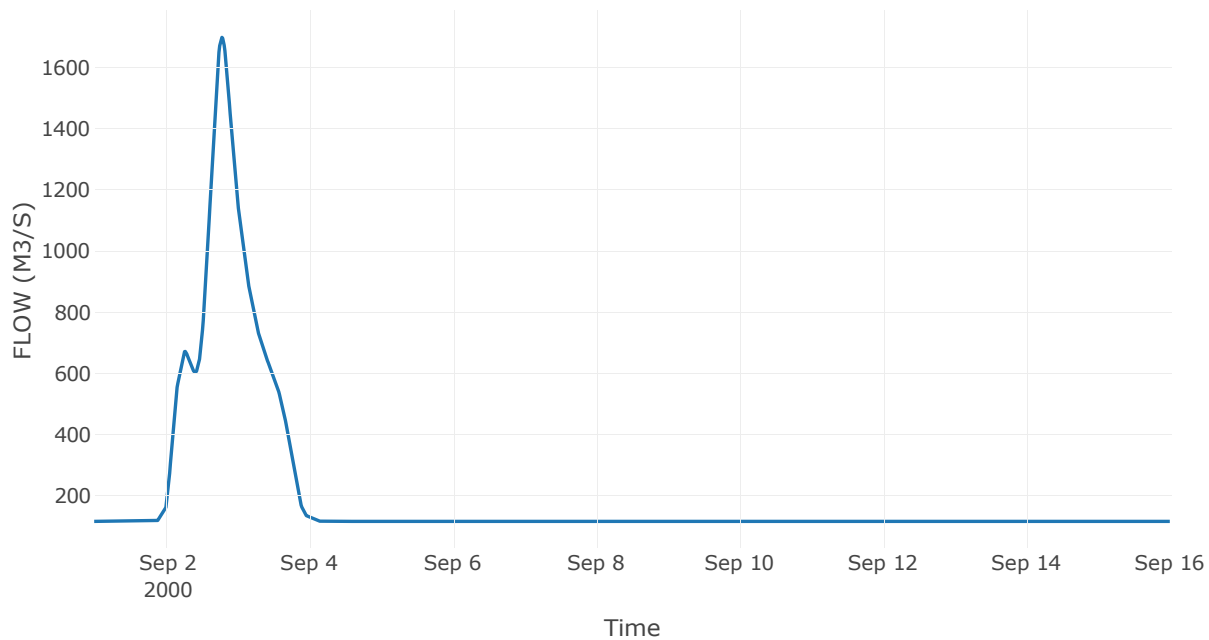
Κατάντη : J4

Μέθοδος Διόδευσης	Muskingum
Αρχική Μεταβλητή	Combined Inflow
Χρόνος Ροής K	0.22
Συντελεστής βάρους x	0.2
Πλήθος Υποκλάδων	1

Αποτελέσματα: R54

Παροχή Αιχμής (M3/S)	1698.42
Χρονική στιγμή αιχμής	02Sep2000, 18:45
Όγκος (MM)	157.46
Παροχή Αιχμής Εισόδου (M3/S)	1699.75
Όγκος Εισροής (M3)	2.62E8

Απορροή



Κλάδος: R65

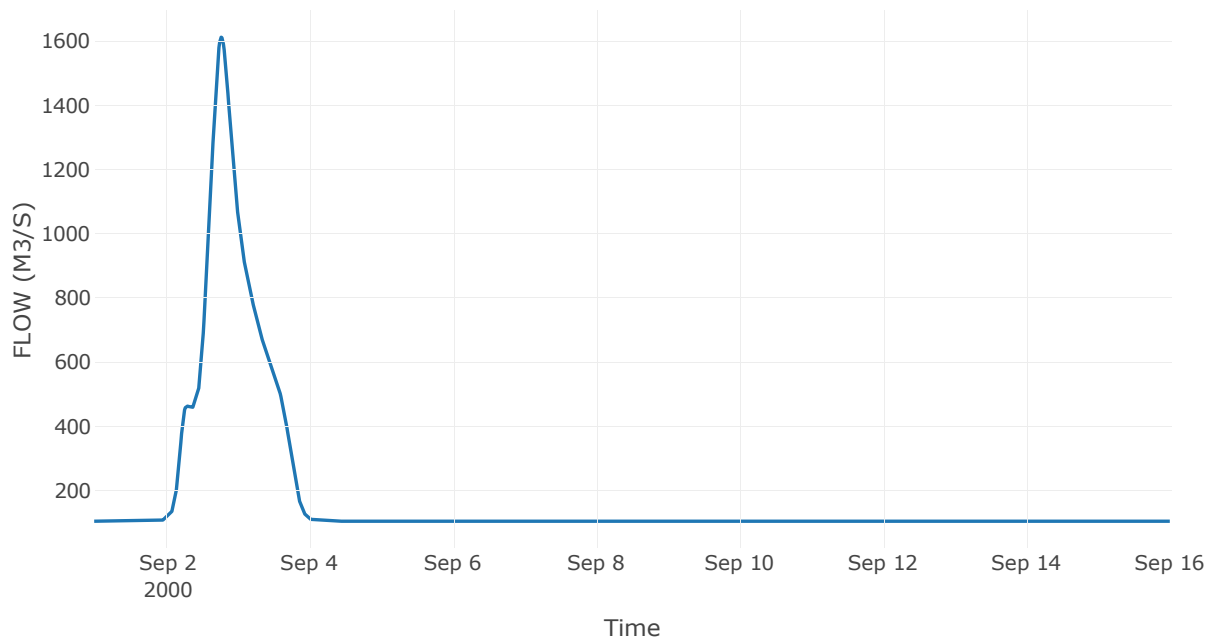
Κατάντη : J5

Μέθοδος Διόδευσης	Muskingum
Αρχική Μεταβλητή	Combined Inflow
Χρόνος Ροής Κ	2.21
Συντελεστής βάρους α	0.2
Πλήθος Υποκλάδων	9

Αποτελέσματα: R65

Παροχή Αιχμής (M3/S)	1611.55
Χρονική στιγμή αιχμής	02Sep2000, 18:30
Όγκος (MM)	157.16
Παροχή Αιχμής Εισόδου (M3/S)	1628.15
Όγκος Εισροής (M3)	2.33E8

Απορροή



Κλάδος: R76

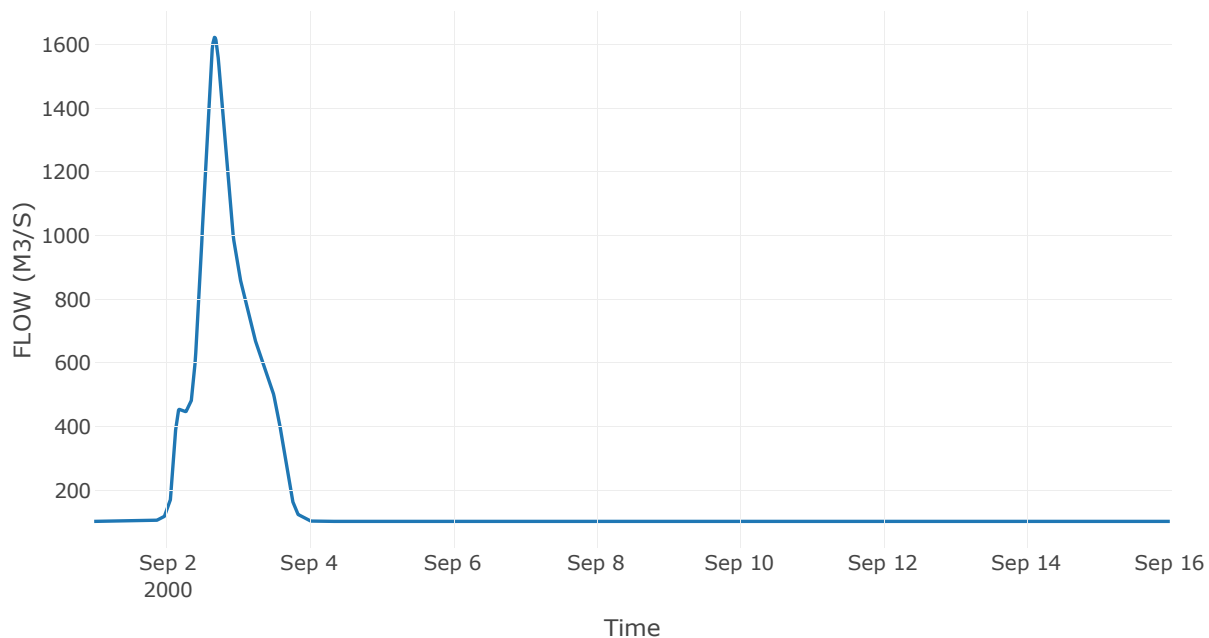
Κατάντη : J6

Μέθοδος Διόδευσης	Muskingum
Αρχική Μεταβλητή	Combined Inflow
Χρόνος Ροής K	1.9
Συντελεστής βάρους x	0.2
Πλήθος Υποκλάδων	8

Αποτελέσματα: R76

Παροχή Αιχμής (M3/S)	1622.73
Χρονική στιγμή αιχμής	02Sep2000, 16:15
Όγκος (MM)	157.18
Παροχή Αιχμής Εισόδου (M3/S)	1637.82
Όγκος Εισροής (M3)	2.31E8

Απορροή



Κλάδος: R87

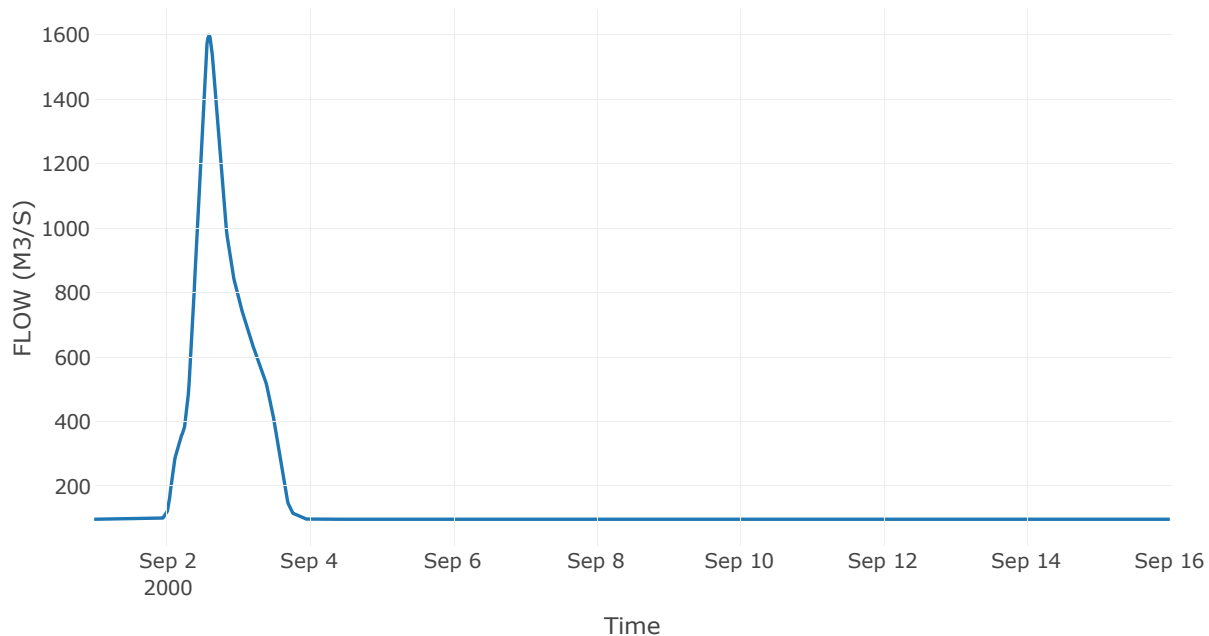
Κατάντη : J7

Μέθοδος Διόδευσης	Muskingum
Αρχική Μεταβλητή	Combined Inflow
Χρόνος Ροής Κ	1.02
Συντελεστής βάρους α	0.2
Πλήθος Υποκλάδων	4

Αποτελέσματα: R87

Παροχή Αιχμής (M3/S)	1598.72
Χρονική στιγμή αιχμής	02Sep2000, 14:30
Όγκος (MM)	155.99
Παροχή Αιχμής Εισόδου (M3/S)	1607.79
Όγκος Εισροής (M3)	2.19E8

Απορροή



Κλάδος: R98

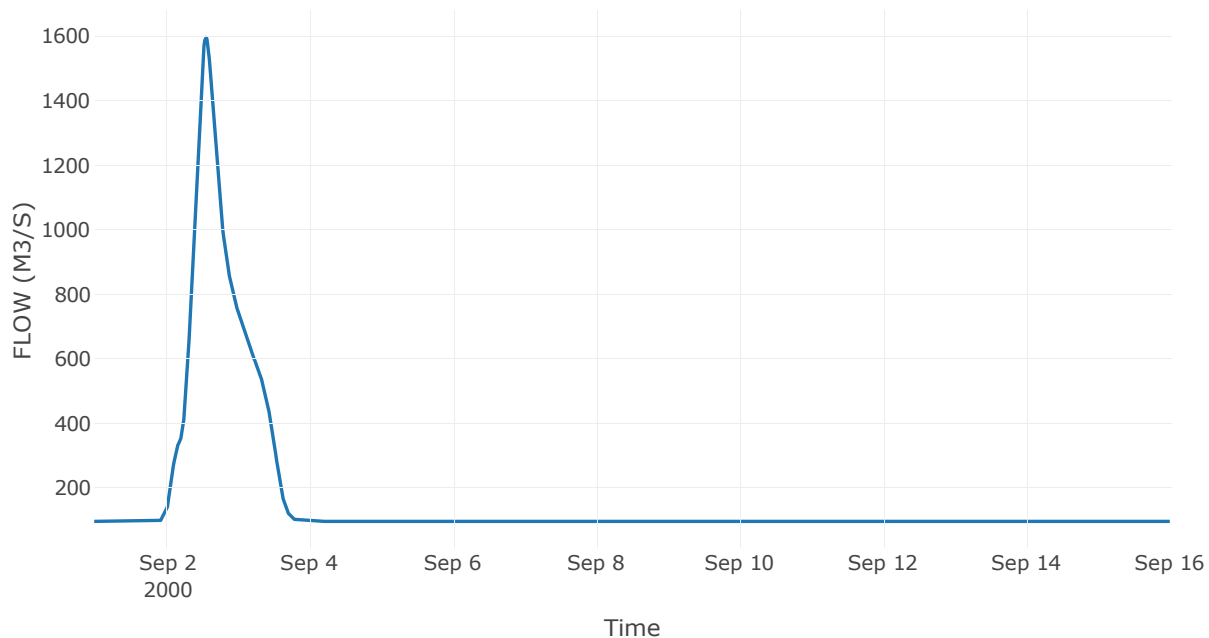
Κατάντη : J8

Μέθοδος Διόδευσης	Muskingum
Αρχική Μεταβλητή	Combined Inflow
Χρόνος Ροής Κ	0.42
Συντελεστής βάρους α	0.2
Πλήθος Υποκλάδων	2

Αποτελέσματα: R98

Παροχή Αιχμής (M3/S)	1596.52
Χρονική στιγμή αιχμής	02Sep2000, 13:30
Όγκος (MM)	156.19
Παροχή Αιχμής Εισόδου (M3/S)	1600.38
Όγκος Εισροής (M3)	2.15E8

Απορροή



Κλάδος: R109

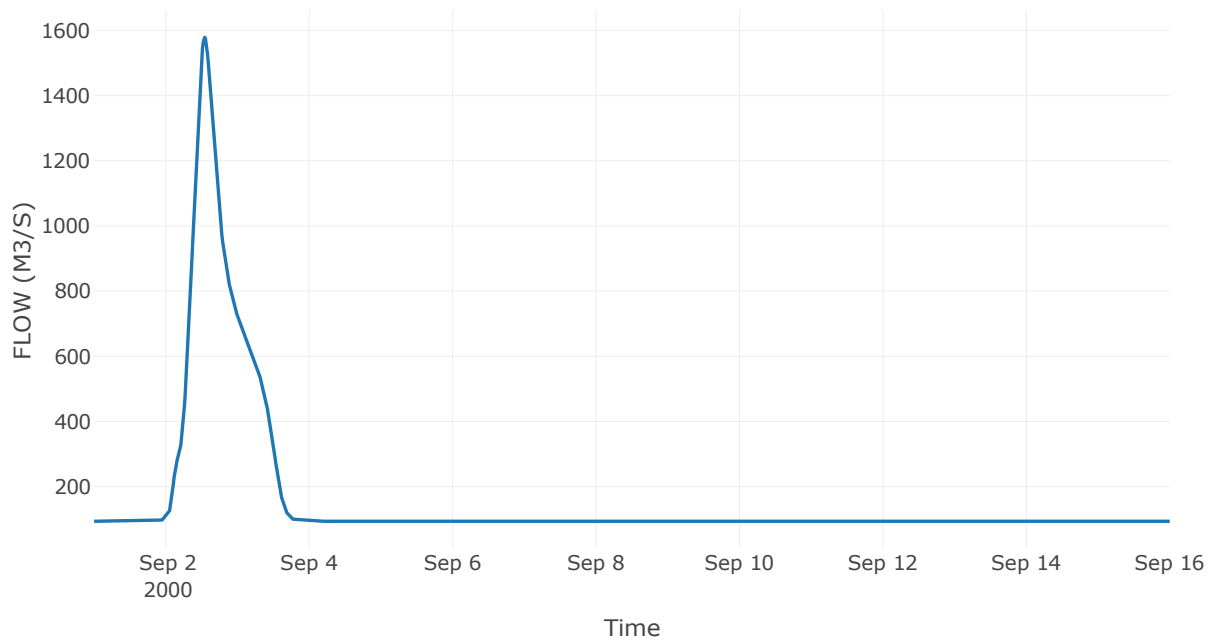
Κατάντη : J9

Μέθοδος Διόδευσης	Muskingum
Αρχική Μεταβλητή	Combined Inflow
Χρόνος Ροής Κ	1.9
Συντελεστής βάρους α	0.2
Πλήθος Υποκλάδων	8

Αποτελέσματα: R109

Παροχή Αιχμής (M3/S)	1578.93
Χρονική στιγμή αιχμής	02Sep2000, 13:00
Όγκος (MM)	156
Παροχή Αιχμής Εισόδου (M3/S)	1596.92
Όγκος Εισροής (M3)	2.09E8

Απορροή



Κλάδος: R1110

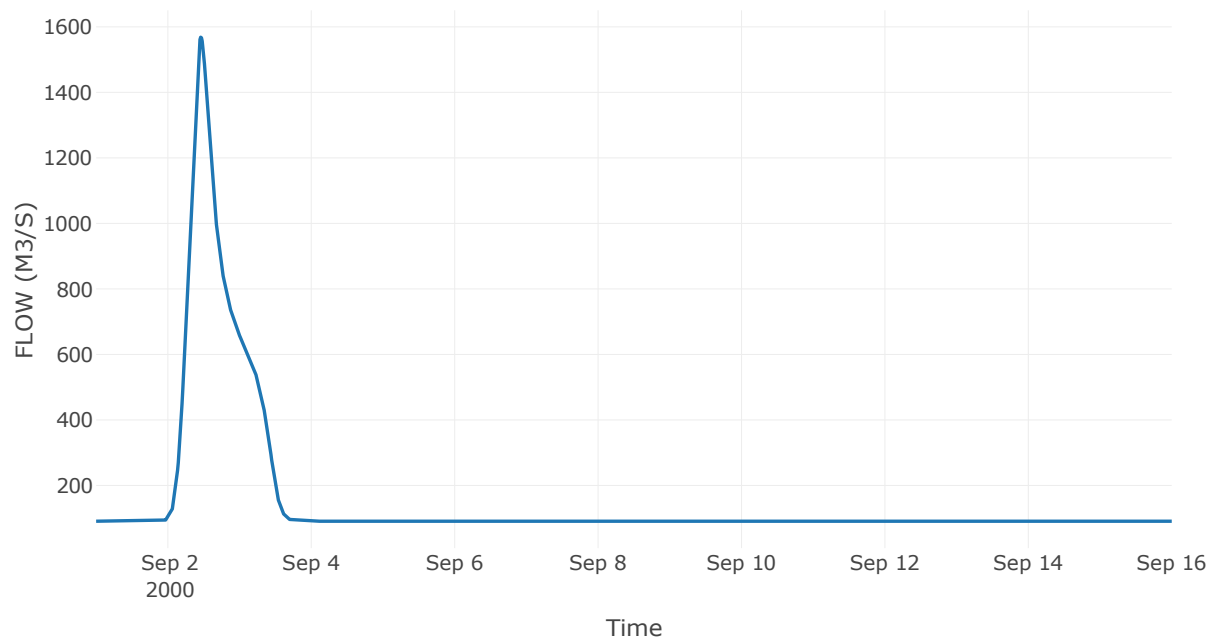
Κατάντη : J10

Μέθοδος Διόδευσης	Muskingum
Αρχική Μεταβλητή	Combined Inflow
Χρόνος Ροής Κ	1.53
Συντελεστής βάρους α	0.2
Πλήθος Υποκλάδων	6

Αποτελέσματα: R1110

Παροχή Αιχμής (M3/S)	1568.42
Χρονική στιγμή αιχμής	02Sep2000, 11:00
Όγκος (MM)	155.39
Παροχή Αιχμής Εισόδου (M3/S)	1586.51
Όγκος Εισροής (M3)	2.02E8

Απορροή



Κλάδος: R1223

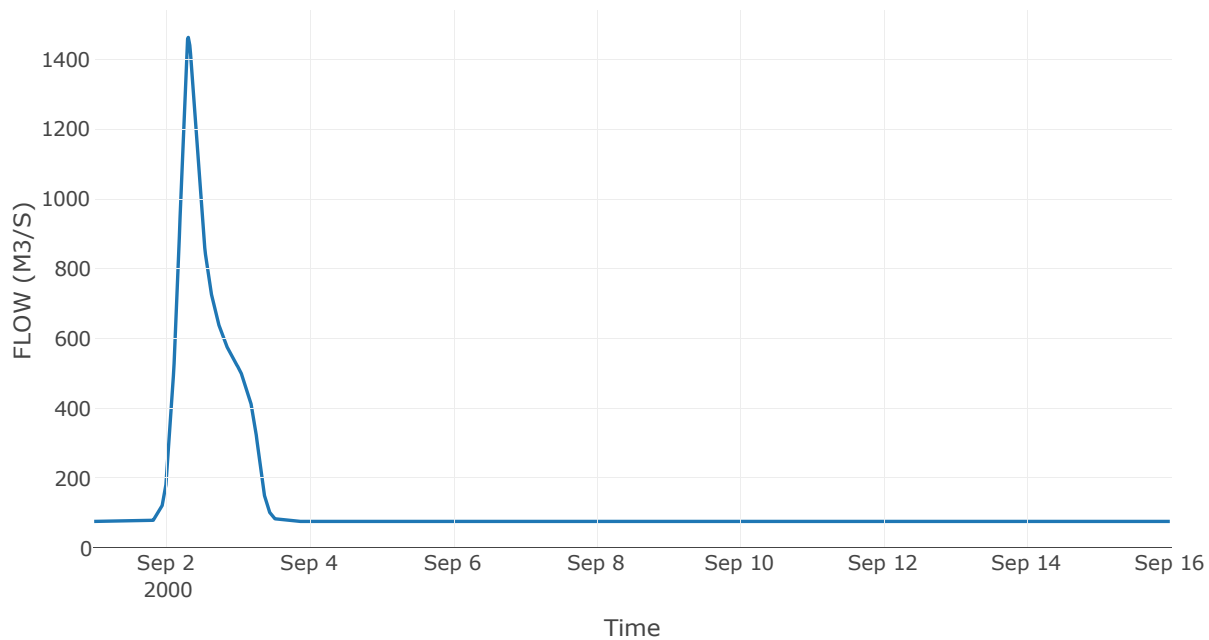
Κατάντη : J23

Μέθοδος Διόδευσης	Muskingum
Αρχική Μεταβλητή	Combined Inflow
Χρόνος Ροής K	0.14
Συντελεστής βάρους x	0.2
Πλήθος Υποκλάδων	1

Αποτελέσματα: R1223

Παροχή Αιχμής (M3/S)	1463.31
Χρονική στιγμή αιχμής	02Sep2000, 07:30
Όγκος (MM)	158
Παροχή Αιχμής Εισόδου (M3/S)	1463.56
Όγκος Εισροής (M3)	1.73E8

Απορροή



Κλάδος: R1312

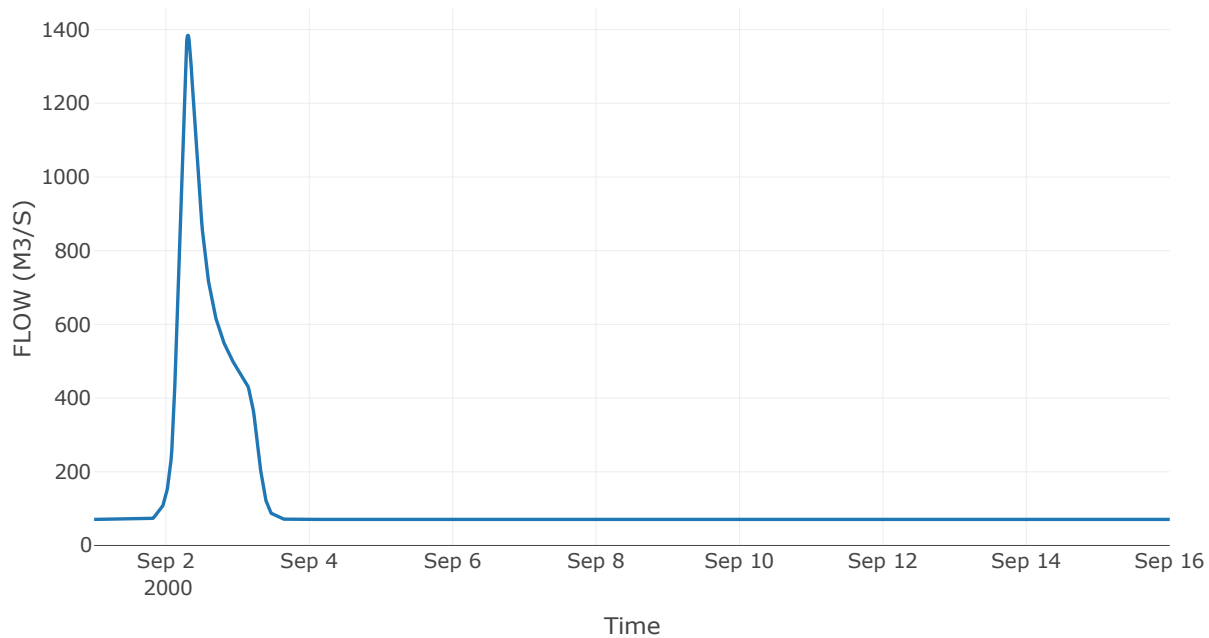
Κατάντη : J12

Μέθοδος Διόδευσης	Muskingum
Αρχική Μεταβλητή	Combined Inflow
Χρόνος Ροής Κ	2.11
Συντελεστής βάρους α	0.2
Πλήθος Υποκλάδων	9

Αποτελέσματα: R1312

Παροχή Αιχμής (M3/S)	1384.34
Χρονική στιγμή αιχμής	02Sep2000, 07:30
Όγκος (MM)	157.21
Παροχή Αιχμής Εισόδου (M3/S)	1417.01
Όγκος Εισροής (M3)	1.59E8

Απορροή



Κλάδος: R1413

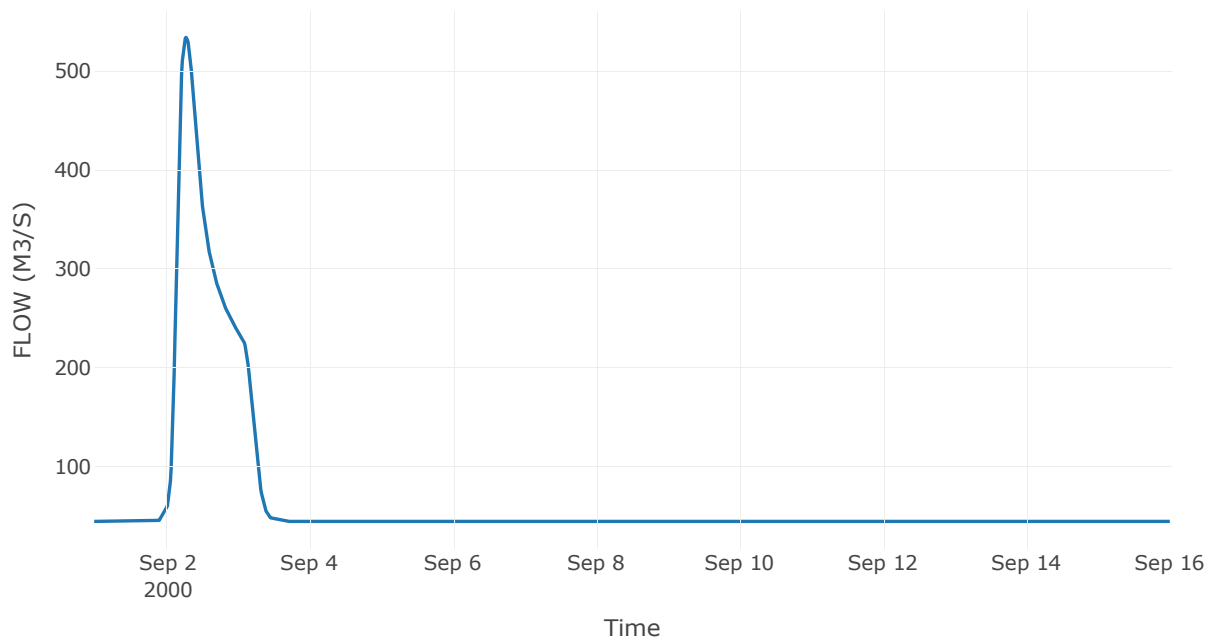
Κατάντη : J13

Μέθοδος Διόδευσης	Muskingum
Αρχική Μεταβλητή	Combined Inflow
Χρόνος Ροής Κ	1.83
Συντελεστής βάρους α	0.2
Πλήθος Υποκλάδων	8

Αποτελέσματα: R1413

Παροχή Αιχμής (M3/S)	533.98
Χρονική στιγμή αιχμής	02Sep2000, 06:45
Όγκος (MM)	135.01
Παροχή Αιχμής Εισόδου (M3/S)	536.57
Όγκος Εισροής (M3)	8.56E7

Απορροή



Κλάδος: R1514

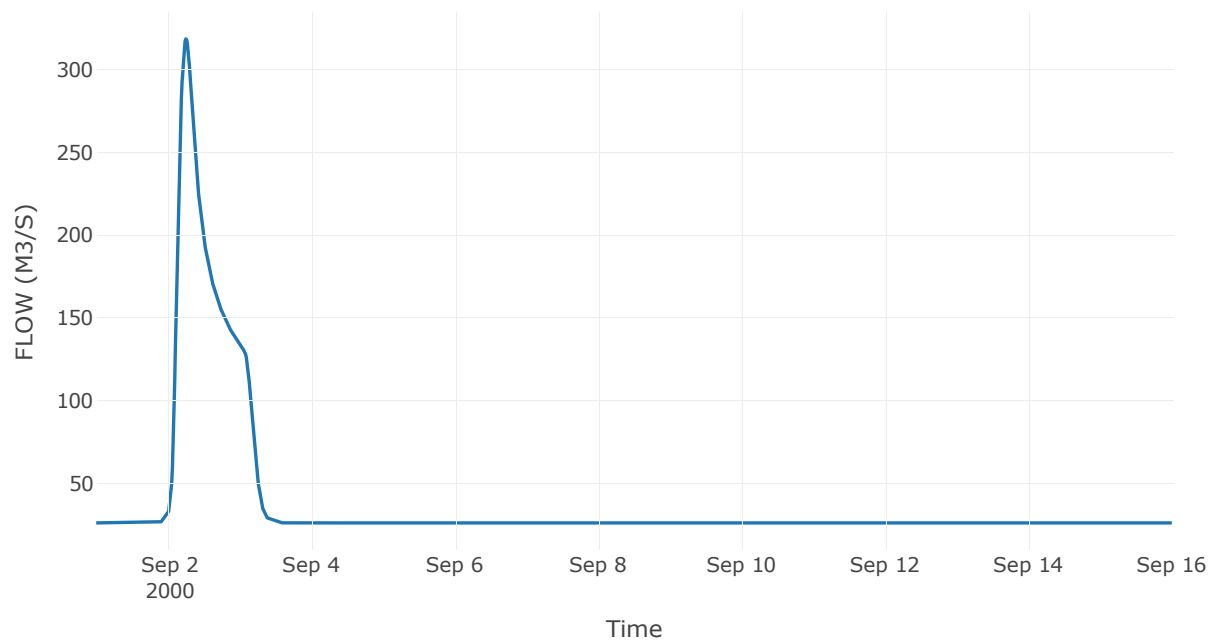
Κατάντη : J14

Μέθοδος Διόδευσης	Χρόνος
Αρχική Μεταβλητή	Combined Inflow
Χρόνος Υστέρησης	69.5

Αποτελέσματα: R1514

Παροχή Αιχμής (M3/S)	318.47
Χρονική στιγμή αιχμής	02Sep2000, 06:00
Όγκος (MM)	132.48
Παροχή Αιχμής Εισόδου (M3/S)	318.65
Όγκος Εισροής (M3)	4.99E7

Απορροή



Κλάδος: R1615

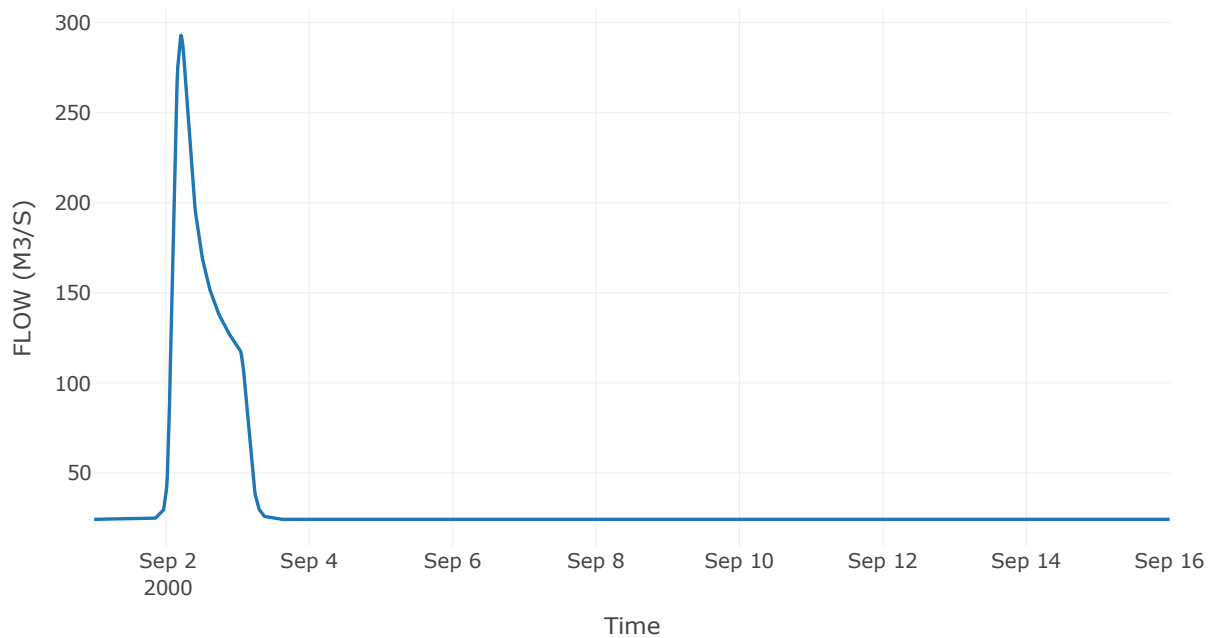
Κατάντη : J15

Μέθοδος Διόδευσης	Muskingum
Αρχική Μεταβλητή	Combined Inflow
Χρόνος Ροής Κ	0.63
Συντελεστής βάρους α	0.2
Πλήθος Υποκλάδων	3

Αποτελέσματα: R1615

Παροχή Αιχμής (M3/S)	293
Χρονική στιγμή αιχμής	02Sep2000, 05:00
Όγκος (MM)	131.91
Παροχή Αιχμής Εισόδου (M3/S)	294.12
Όγκος Εισροής (M3)	4.57E7

Απορροή



Κλάδος: R1716

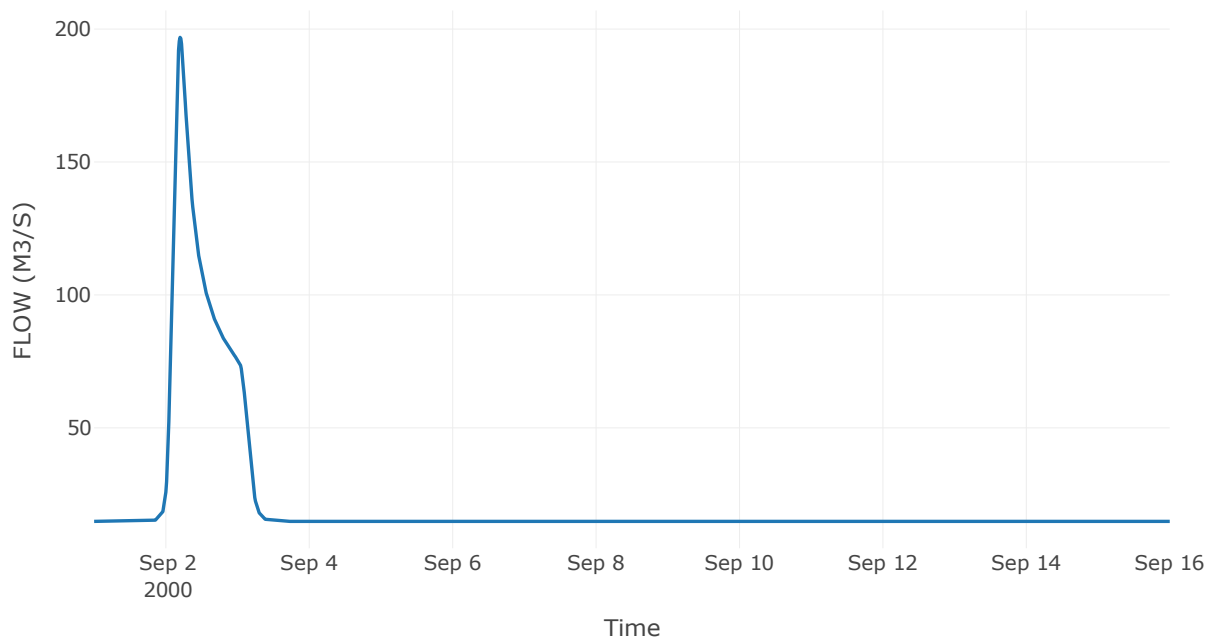
Κατάντη : J16

Μέθοδος Διόδευσης	Muskingum
Αρχική Μεταβλητή	Combined Inflow
Χρόνος Ροής Κ	0.18
Συντελεστής βάρους x	0.2
Πλήθος Υποκλάδων	1

Αποτελέσματα: R1 716

Παροχή Αιχμής (M3/S)	196.87
Χρονική στιγμή αιχμής	02Sep2000, 04:45
Όγκος (MM)	134.32
Παροχή Αιχμής Εισόδου (M3/S)	197
Όγκος Εισροής (M3)	2.84E7

Απορροή



Κλάδος: R1817

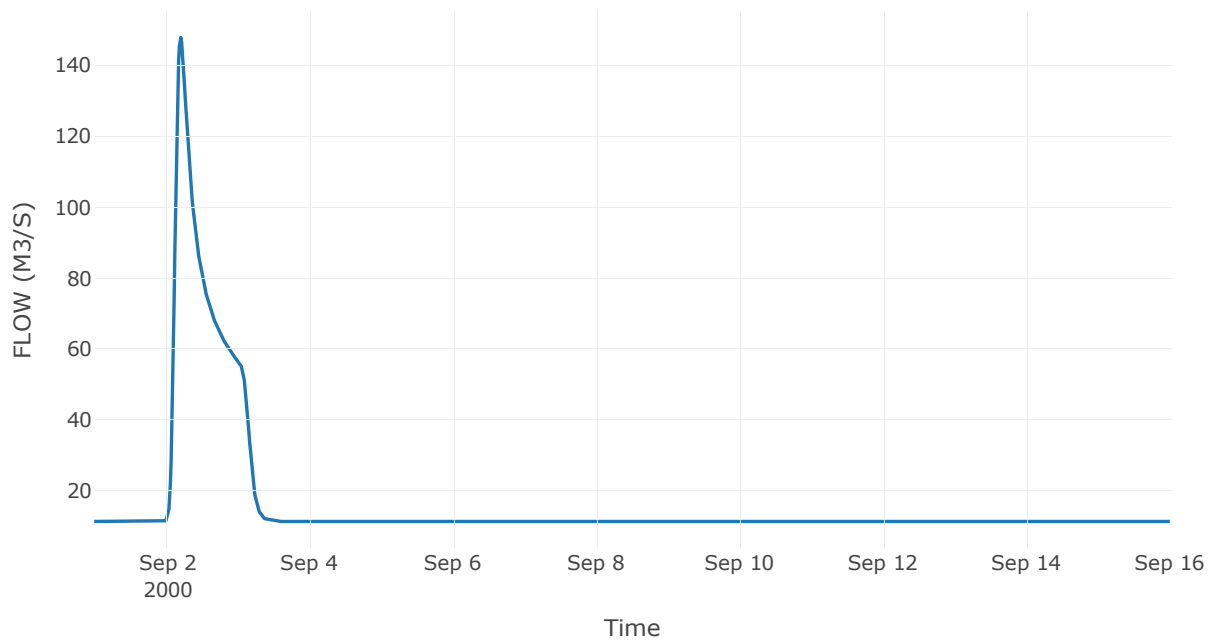
Κατάντη : J17

Μέθοδος Διόδευσης	Muskingum
Αρχική Μεταβλητή	Combined Inflow
Χρόνος Ροής Κ	0.88
Συντελεστής βάρους α	0.2
Πλήθος Υποκλάδων	4

Αποτελέσματα: R1817

Παροχή Αιχμής (M3/S)	147.9
Χρονική στιγμή αιχμής	02Sep2000, 05:00
Όγκος (MM)	131.1
Παροχή Αιχμής Εισόδου (M3/S)	149.63
Όγκος Εισροής (M3)	2.14E7

Απορροή



Κλάδος: R1918

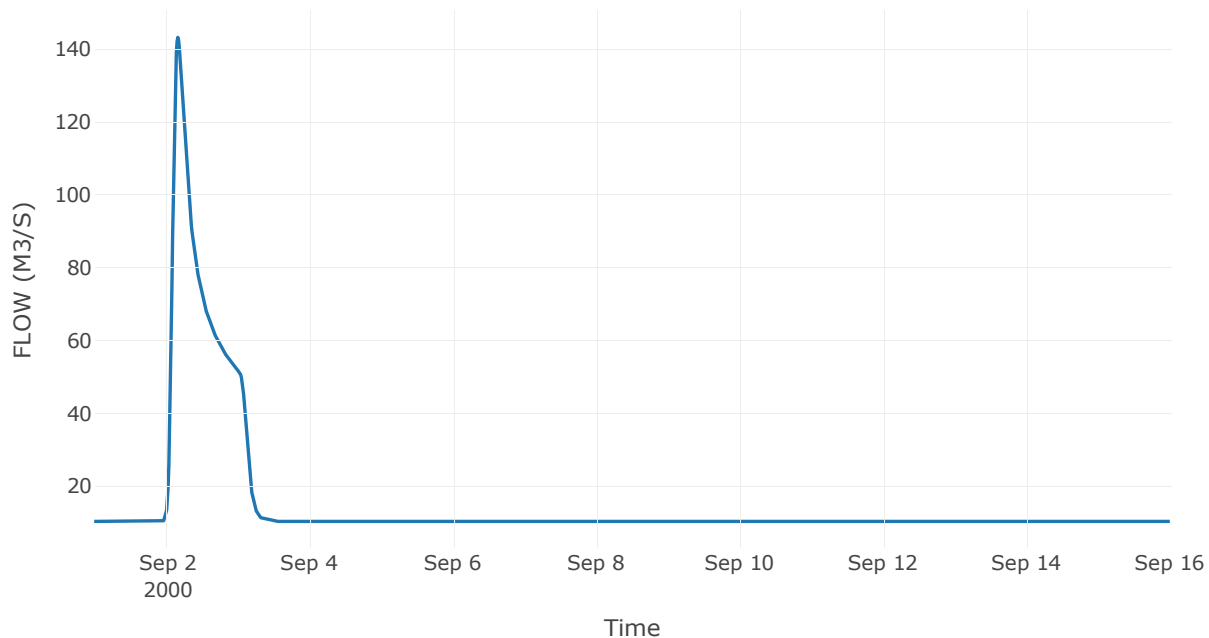
Κατάντη : J18

Μέθοδος Διόδευσης	Muskingum
Αρχική Μεταβλητή	Combined Inflow
Χρόνος Ροής Κ	0.77
Συντελεστής βάρους α	0.2
Πλήθος Υποκλάδων	3

Αποτελέσματα: R1918

Παροχή Αιχμής (M3/S)	143.28
Χρονική στιγμή αιχμής	02Sep2000, 04:00
Όγκος (MM)	132.99
Παροχή Αιχμής Εισόδου (M3/S)	145.1
Όγκος Εισροής (M3)	1.96E7

Απορροή



Κλάδος: R2016

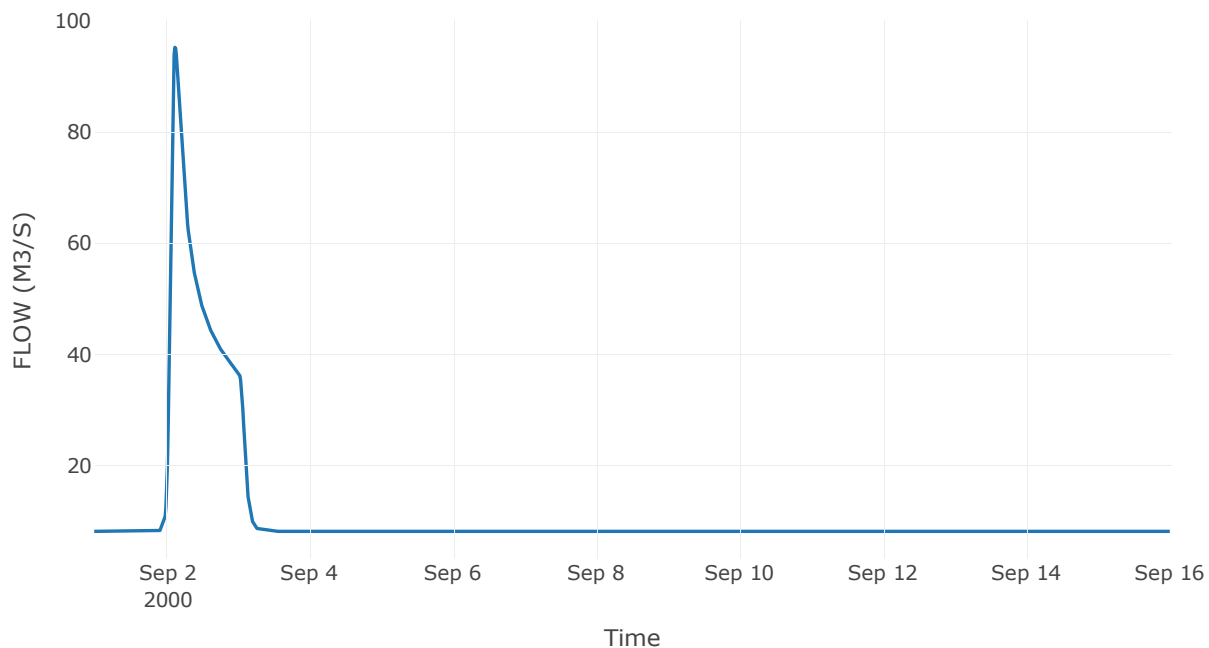
Κατάντη : J16

Μέθοδος Διόδευσης	Muskingum
Αρχική Μεταβλητή	Combined Inflow
Χρόνος Ροής Κ	0.39
Συντελεστής βάρους α	0.2
Πλήθος Υποκλάδων	2

Αποτελέσματα: R2016

Παροχή Αιχμής (M3/S)	95.18
Χρονική στιγμή αιχμής	02Sep2000, 03:00
Όγκος (MM)	126.3
Παροχή Αιχμής Εισόδου (M3/S)	95.73
Όγκος Εισροής (M3)	1.47E7

Απορροή



Κλάδος: R2120

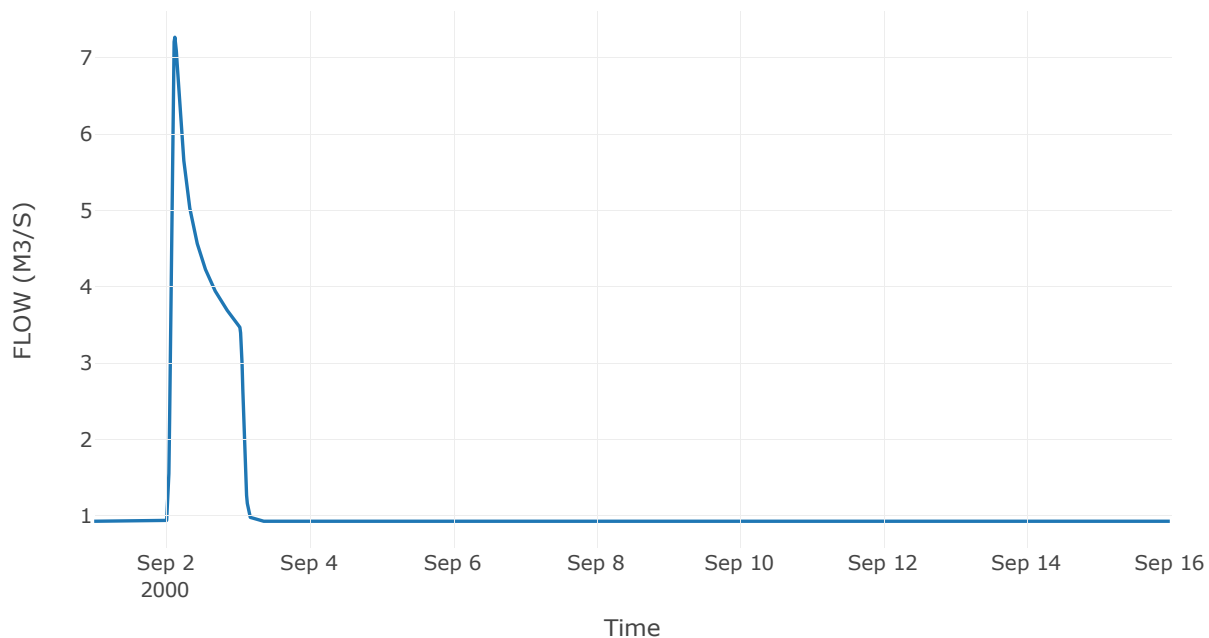
Κατάντη : J20

Μέθοδος Διόδευσης	Muskingum
Αρχική Μεταβλητή	Combined Inflow
Χρόνος Ροής K	0.88
Συντελεστής βάρους x	0.2
Πλήθος Υποκλάδων	4

Αποτελέσματα: R2120

Παροχή Αιχμής (M3/S)	7.27
Χρονική στιγμή αιχμής	02Sep2000, 03:00
Όγκος (MM)	115.15
Παροχή Αιχμής Εισόδου (M3/S)	7.4
Όγκος Εισροής (M3)	1.52E6

Απορροή



Κλάδος: R2214

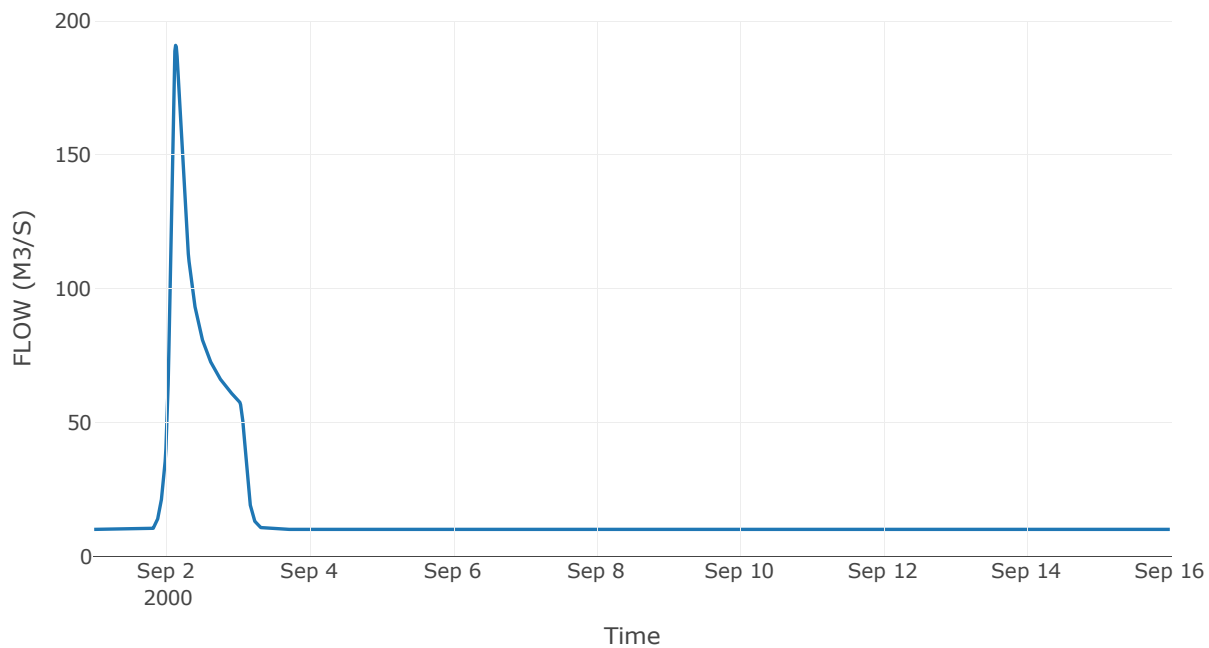
Κατάντη : J14

Μέθοδος Διόδευσης	Muskingum
Αρχική Μεταβλητή	Combined Inflow
Χρόνος Ροής K	0.48
Συντελεστής βάρους x	0.2
Πλήθος Υποκλάδων	2

Αποτελέσματα: R2214

Παροχή Αιχμής (M3/S)	190.86
Χρονική στιγμή αιχμής	02Sep2000, 03:15
Όγκος (MM)	146.45
Παροχή Αιχμής Εισόδου (M3/S)	192.57
Όγκος Εισροής (M3)	2.09E7

Απορροή



Κλάδος: R2311

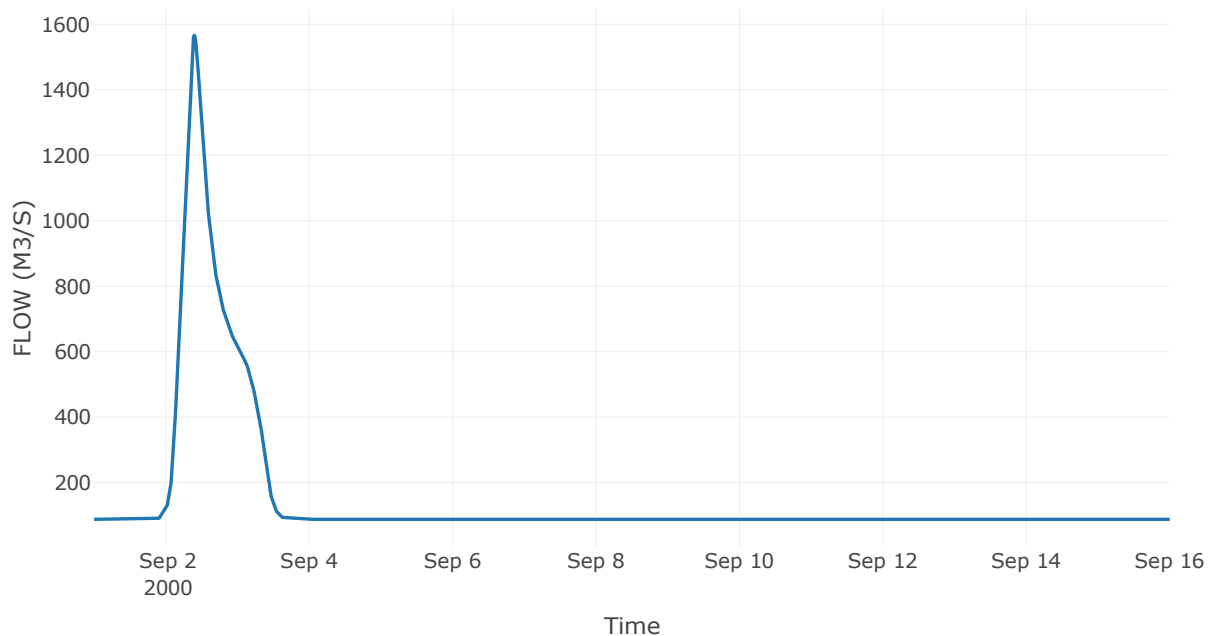
Κατάντη : J11

Μέθοδος Διόδευσης	Muskingum
Αρχική Μεταβλητή	Combined Inflow
Χρόνος Ροής K	2.09
Συντελεστής βάρους x	0.2
Πλήθος Υποκλάδων	9

Αποτελέσματα: R2311

Παροχή Αιχμής (M3/S)	1566.35
Χρονική στιγμή αιχμής	02Sep2000, 09:30
Όγκος (MM)	156.51
Παροχή Αιχμής Εισόδου (M3/S)	1590.69
Όγκος Εισροής (M3)	1.96E8

Απορροή



Κλάδος: R2423

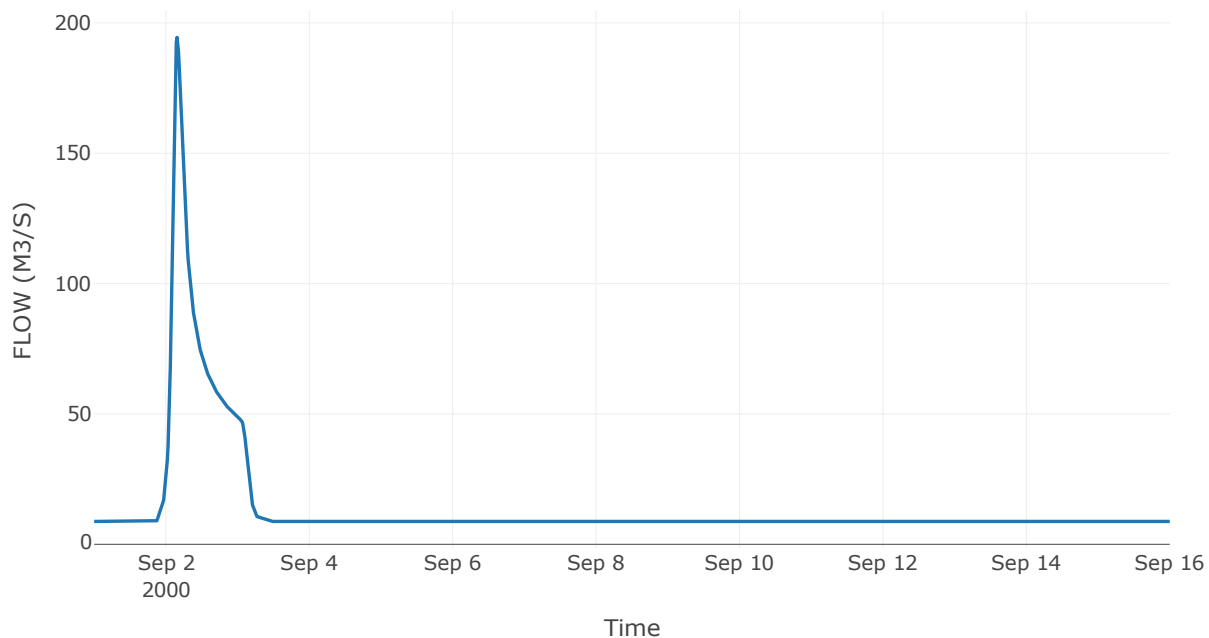
Κατάντη : J23

Μέθοδος Διόδευσης	Muskingum
Αρχική Μεταβλητή	Combined Inflow
Χρόνος Ροής Κ	1.52
Συντελεστής βάρους α	0.2
Πλήθος Υποκλάδων	6

Αποτελέσματα: R2423

Παροχή Αιχμής (M3/S)	194.42
Χρονική στιγμή αιχμής	02Sep2000, 03:45
Όγκος (MM)	147.92
Παροχή Αιχμής Εισόδου (M3/S)	201.05
Όγκος Εισροής (M3)	1.85E7

Απορροή



Κλάδος: R257

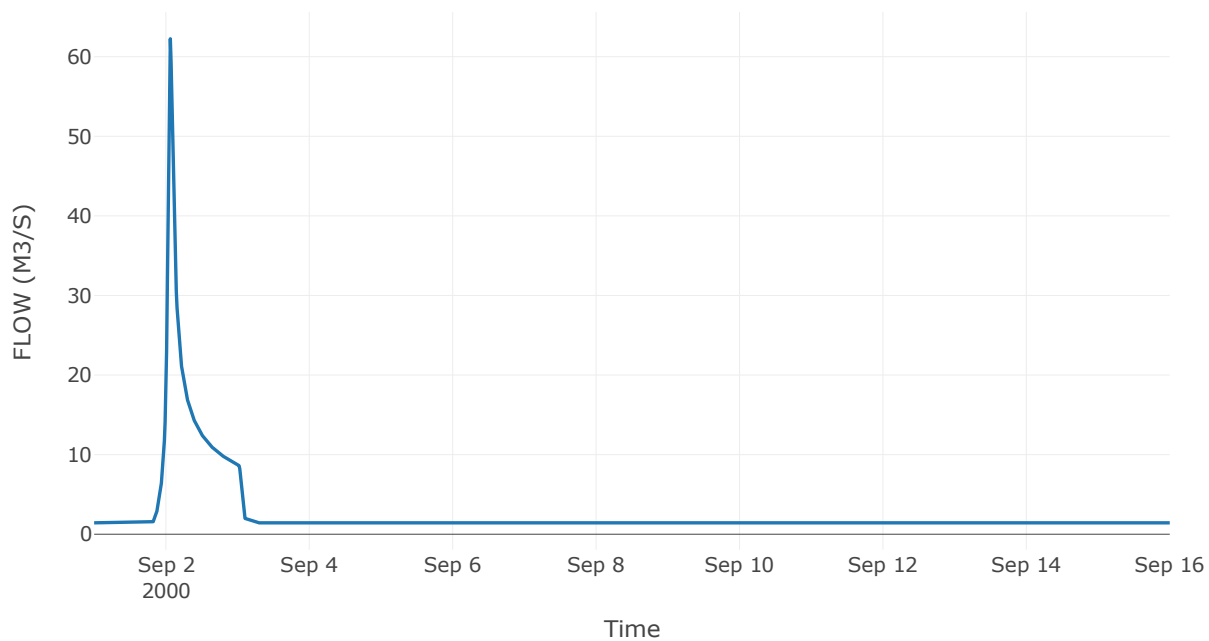
Κατάντη : J7

Μέθοδος Διόδευσης	Χρόνος
Αρχική Μεταβλητή	Combined Inflow
Χρόνος Υστέρησης	25.15

Αποτελέσματα: R257

Παροχή Αιχμής (M3/S)	62.25
Χρονική στιγμή αιχμής	02Sep2000, 01:30
Όγκος (MM)	165.03
Παροχή Αιχμής Εισόδου (M3/S)	62.89
Όγκος Εισροής (M3)	3.37E6

Απορροή



Κλάδος: R265

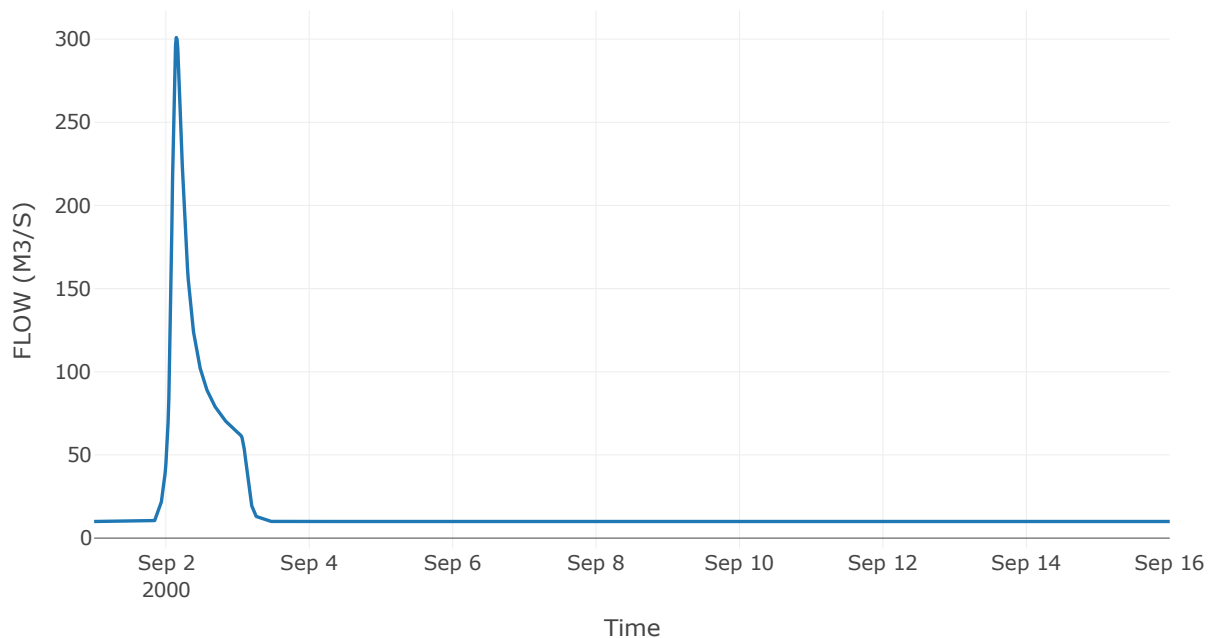
Κατάντη : J5

Μέθοδος Διόδευσης	Muskingum
Αρχική Μεταβλητή	Combined Inflow
Χρόνος Ροής K	1.19
Συντελεστής βάρους x	0.2
Πλήθος Υποκλάδων	5

Αποτελέσματα: R265

Παροχή Αιχμής (M3/S)	300.97
Χρονική στιγμή αιχμής	02Sep2000, 03:30
Όγκος (MM)	165.14
Παροχή Αιχμής Εισόδου (M3/S)	308.89
Όγκος Εισροής (M3)	2.36E7

Απορροή



Κλάδος: R274

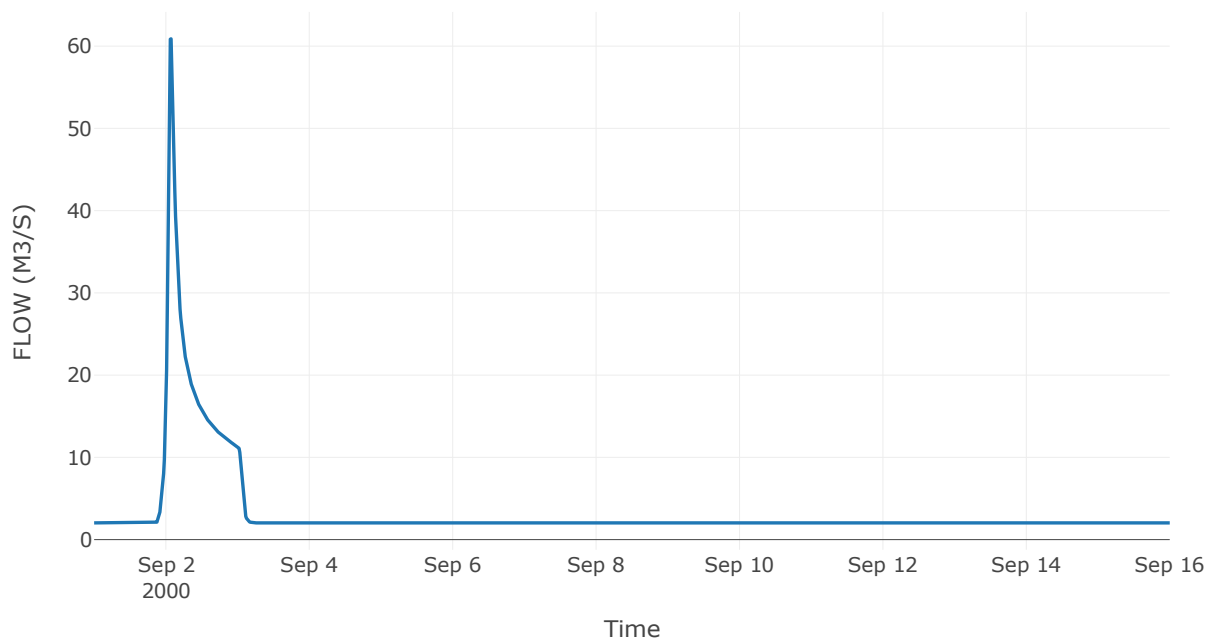
Κατάντη : J4

Μέθοδος Διόδευσης	Χρόνος
Αρχική Μεταβλητή	Combined Inflow
Χρόνος Υστέρησης	19.78

Αποτελέσματα: R274

Παροχή Αιχμής (M3/S)	60.88
Χρονική στιγμή αιχμής	02Sep2000, 01:45
Όγκος (MM)	149.72
Παροχή Αιχμής Εισόδου (M3/S)	61.61
Όγκος Εισροής (M3)	4.35E6

Απορροή



Κλάδος: R2917

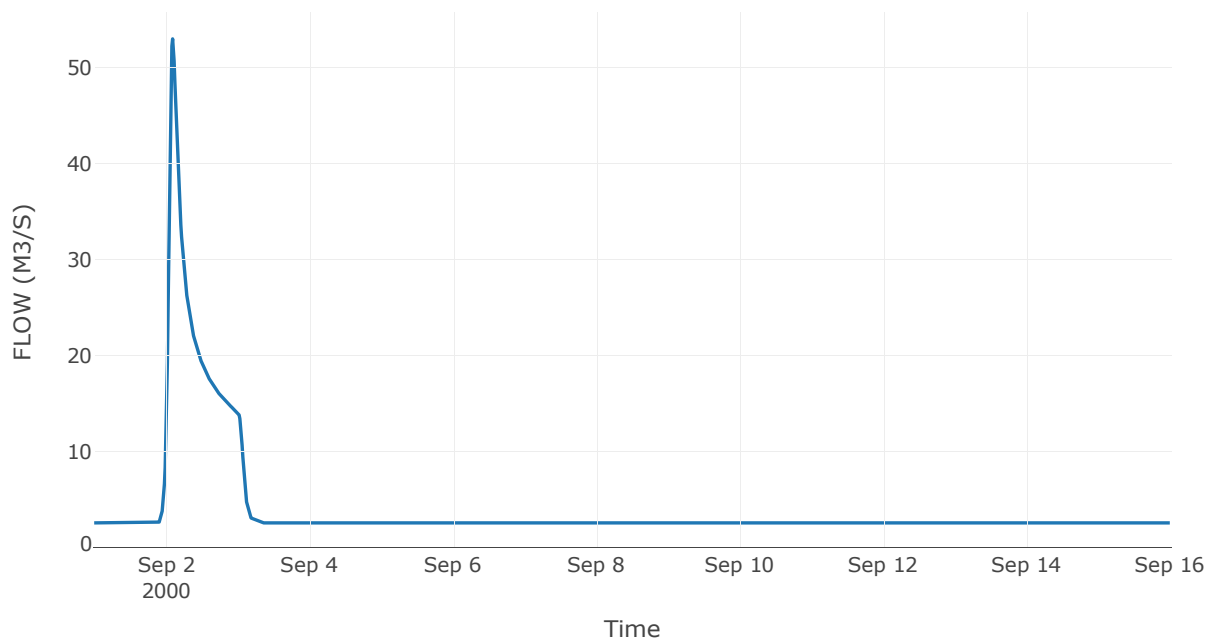
Κατάντη : J17

Μέθοδος Διόδευσης	Χρόνος
Αρχική Μεταβλητή	Combined Inflow
Χρόνος Υστέρησης	8.78

Αποτελέσματα: R2917

Παροχή Αιχμής (M3/S)	53
Χρονική στιγμή αιχμής	02Sep2000, 02:15
Όγκος (MM)	141.78
Παροχή Αιχμής Εισόδου (M3/S)	53.04
Όγκος Εισροής (M3)	5.28E6

Απορροή



Κλάδος: R3020

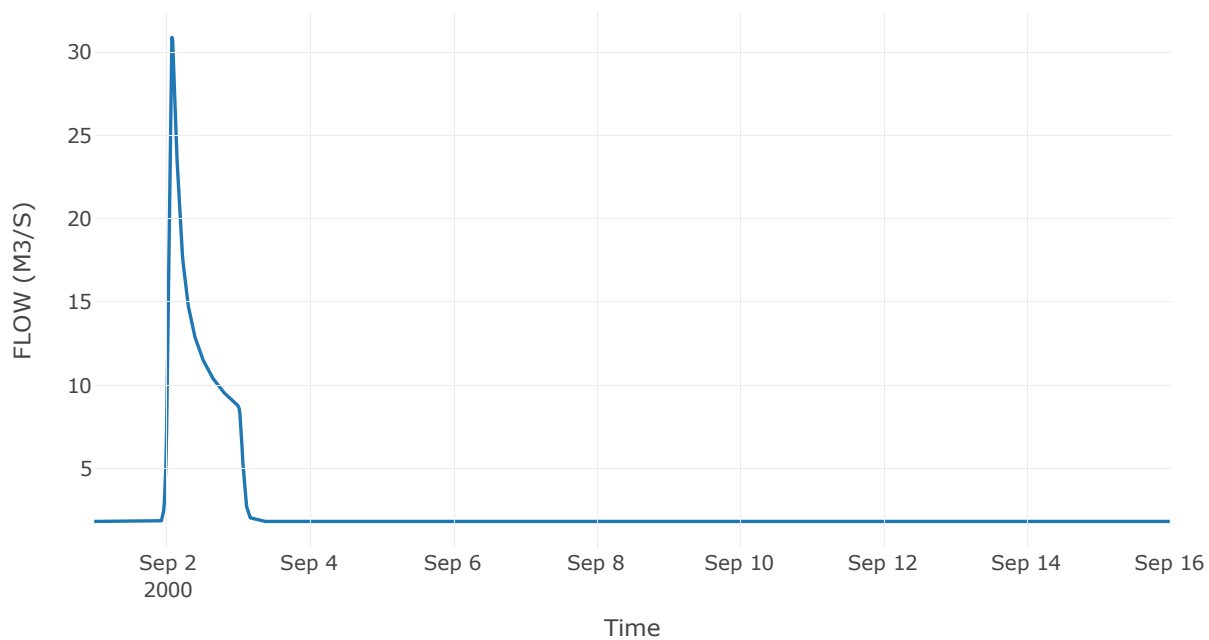
Κατάντη : J20

Μέθοδος Διόδευσης	Muskingum
Αρχική Μεταβλητή	Combined Inflow
Χρόνος Ροής K	0.2
Συντελεστής βάρους x	0.2
Πλήθος Υποκλάδων	1

Αποτελέσματα: R3020

Παροχή Αιχμής (M3/S)	30.89
Χρονική στιγμή αιχμής	02Sep2000, 02:00
Όγκος (MM)	133.09
Παροχή Αιχμής Εισόδου (M3/S)	31.03
Όγκος Εισροής (M3)	3.44E6

Απορροή



Κλάδος: R3113

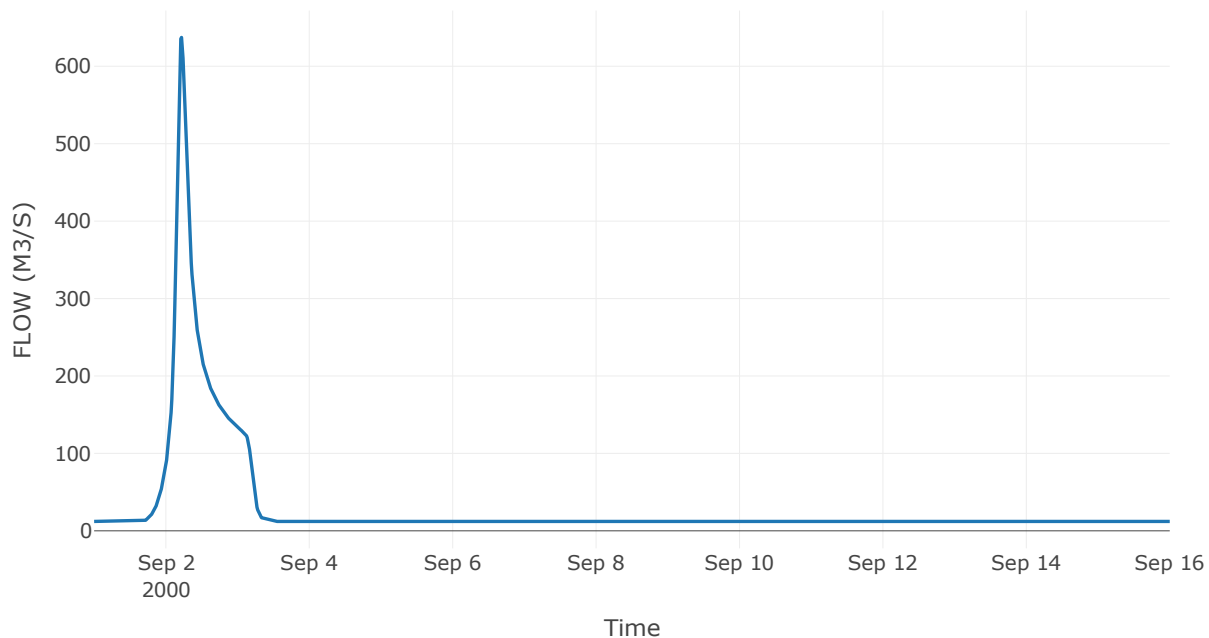
Κατάντη : J13

Μέθοδος Διόδευσης	Muskingum
Αρχική Μεταβλητή	Combined Inflow
Χρόνος Ροής K	3.03
Συντελεστής βάρους x	0.2
Πλήθος Υποκλάδων	13

Αποτελέσματα: R3113

Παροχή Αιχμής (M3/S)	637.26
Χρονική στιγμή αιχμής	02Sep2000, 05:15
Όγκος (MM)	228.95
Παροχή Αιχμής Εισόδου (M3/S)	689.12
Όγκος Εισροής (M3)	3.95E7

Απορροή



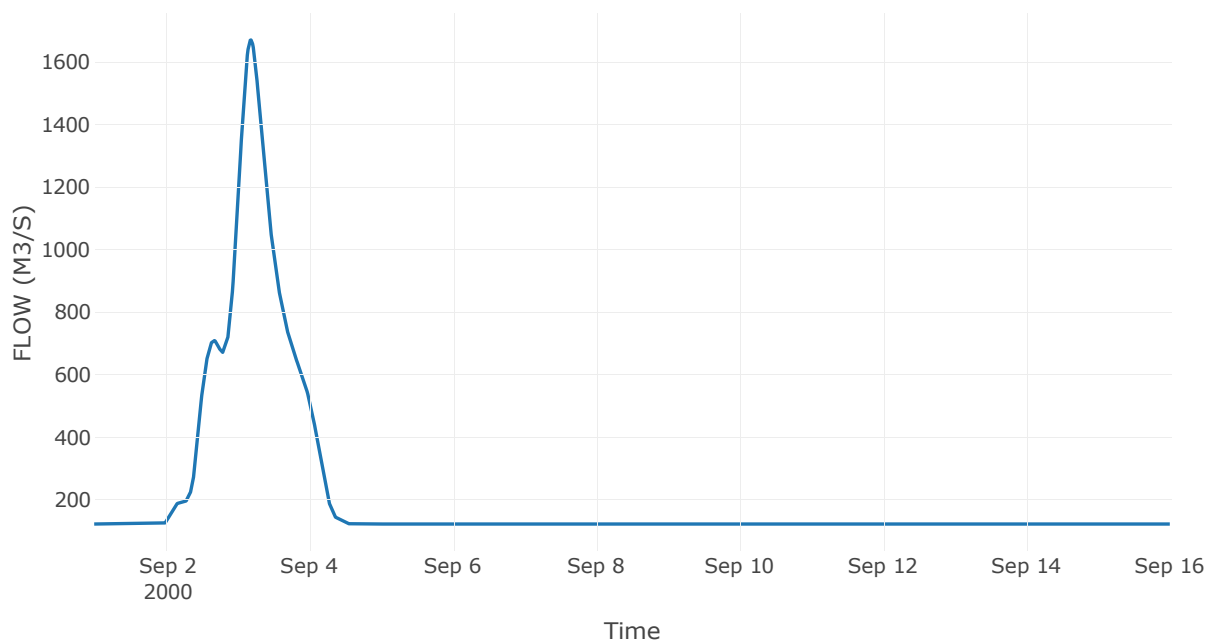
6.3 Δεδομένα και υδρογραφήματα σχεδιασμού Κόμβων υδρογραφικού δικτύου

Κόμβος εξόδου: J1

Αποτέλεσμα
τα: J1

Παροχή αιχμής (M3/S)	1669.82
Χρονική στιγμή αιχμής	03Sep2000, 04:30
Όγκος (MM)	157.59

Απορροή



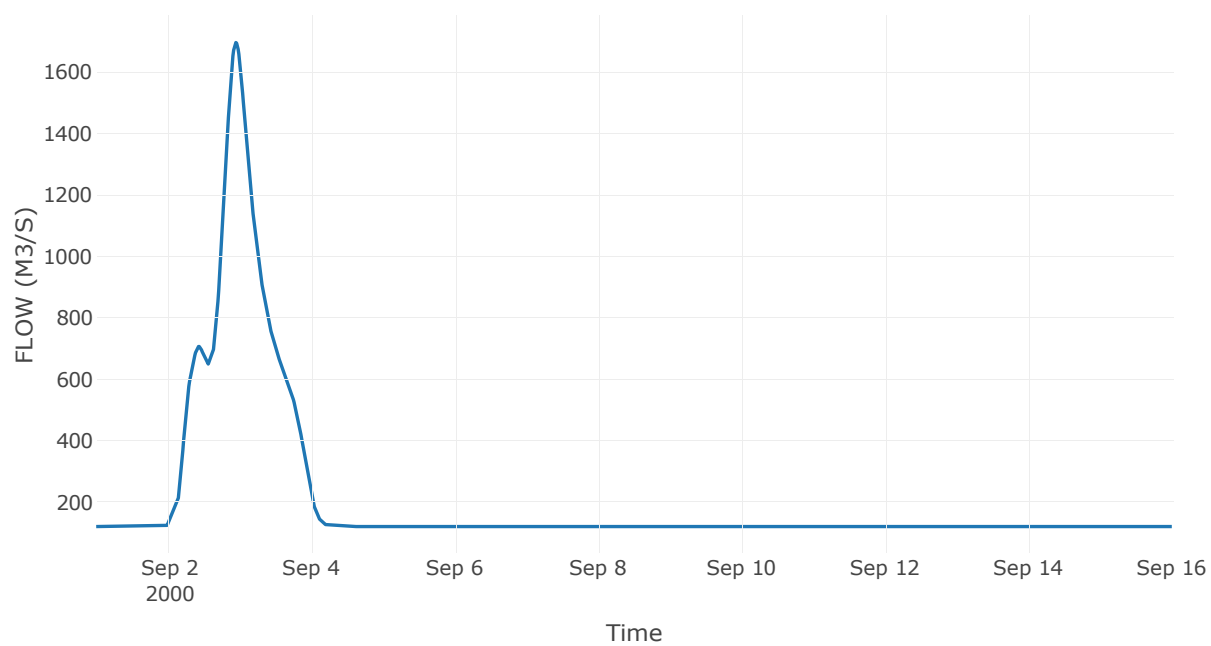
Κόμβος: J2

Κατάντη : R21

Αποτελέσματα: J2

Παροχή Αιχμής (M3/S)	1697.57
Χρονική στιγμή αιχμής	02Sep2000, 22:45
Όγκος (MM)	157.28

Απορροή



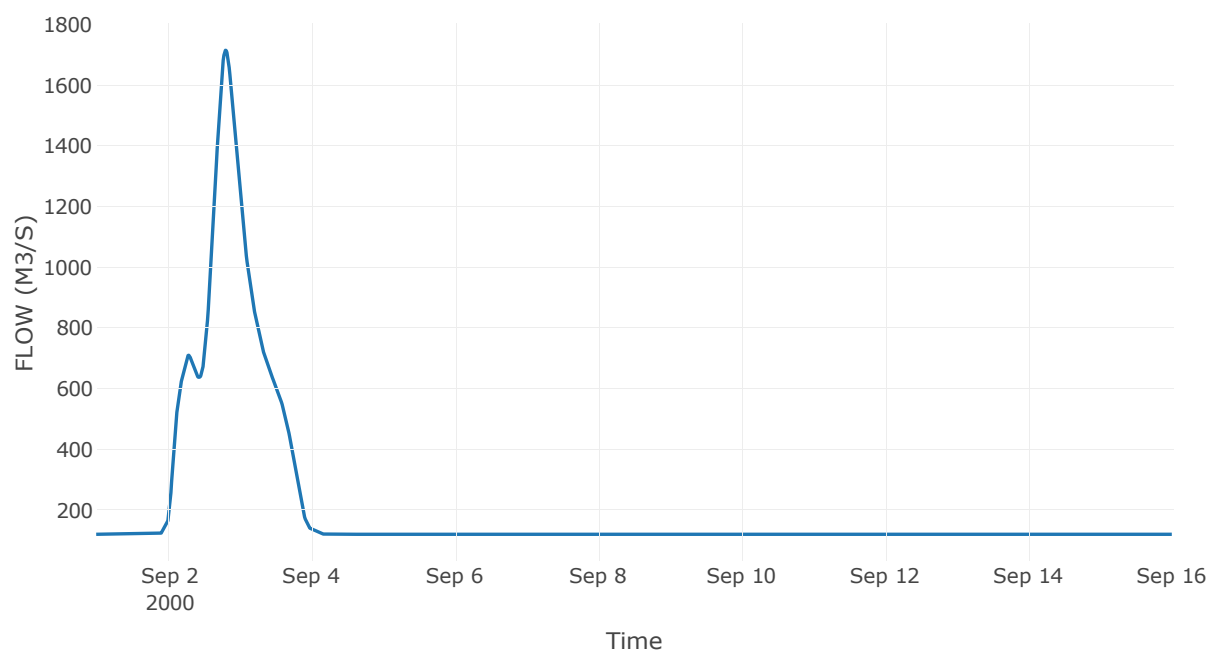
Κόμβος: J3

Κατάντη : R32

Αποτελέσματα: J3

Παροχή Αιχμής (M3/S)	1714.9
Χρονική στιγμή αιχμής	02Sep2000, 19:15
Όγκος (MM)	157.27

Απορροή



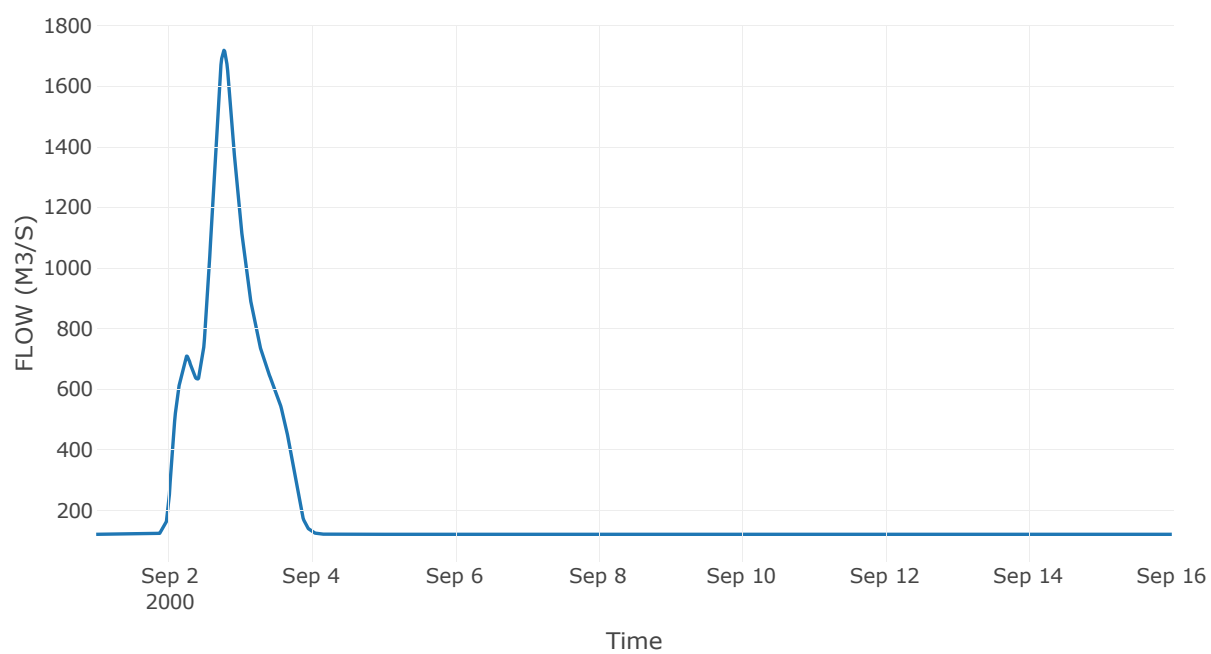
Κόμβος: J4

Κατάντη : R43

Αποτελέσματα: J4

Παροχή Αιχμής (M3/S)	1718.72
Χρονική στιγμή αιχμής	02Sep2000, 18:45
Όγκος (MM)	157.19

Απορροή



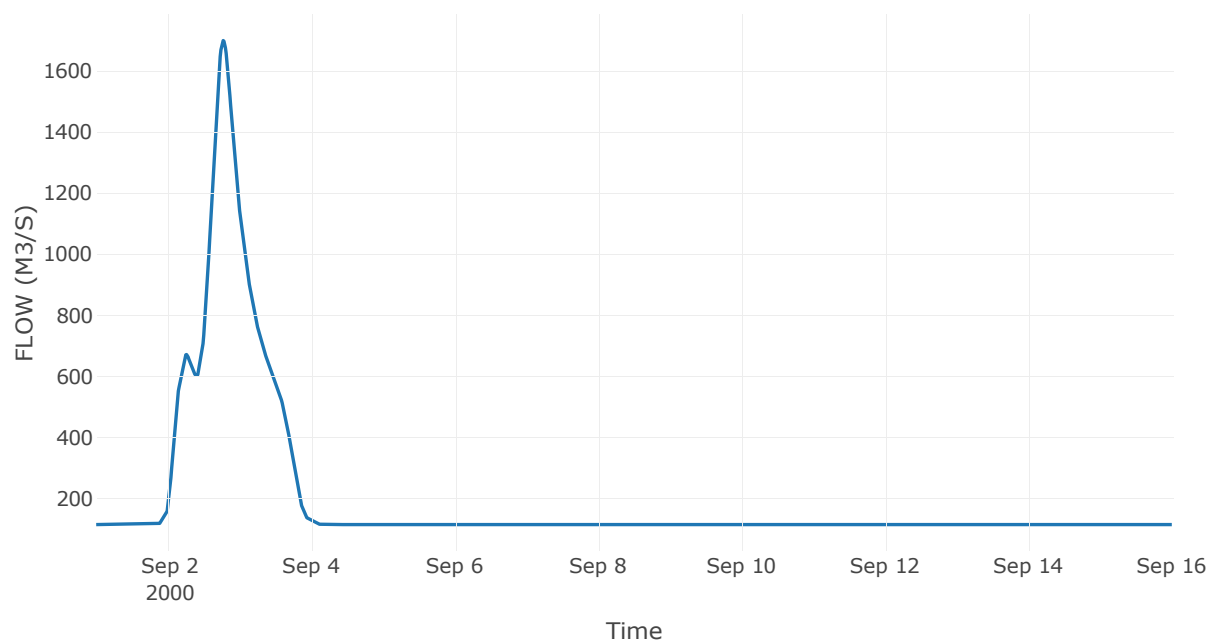
Κόμβος: J5

Κατάντη : R54

Αποτελέσματα: J5

Παροχή Αιχμής (M3/S)	1699.75
Χρονική στιγμή αιχμής	02Sep2000, 18:30
Όγκος (MM)	157.46

Απορροή



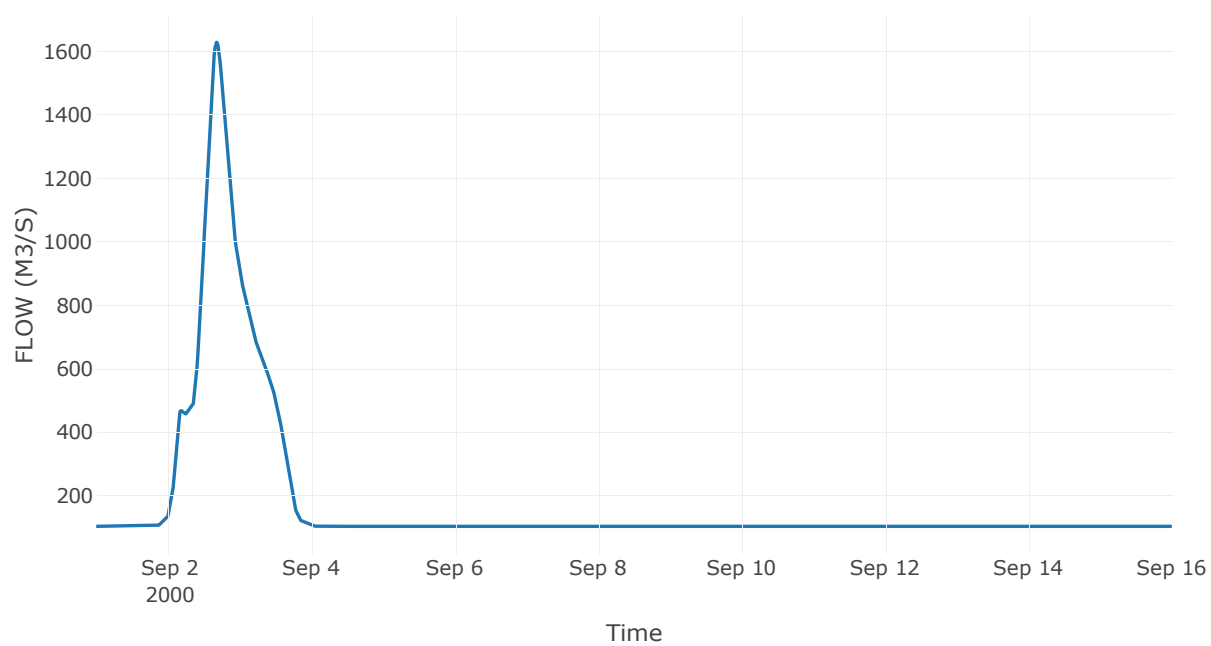
Κόμβος: J6

Κατάντη : R65

Αποτελέσματα: J6

Παροχή Αιχμής (M3/S)	1628.15
Χρονική στιγμή αιχμής	02Sep2000, 16:15
Όγκος (MM)	157.16

Απορροή



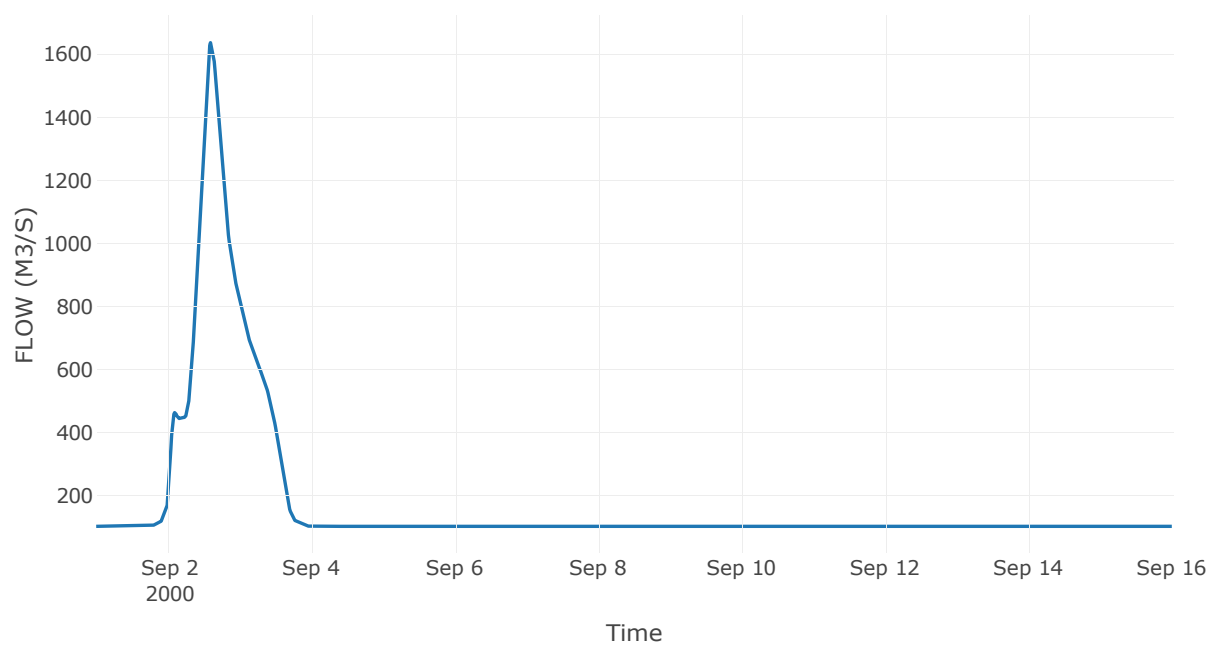
Κόμβος: J7

Κατάντη : R76

Αποτελέσματα: J7

Παροχή Αιχμής (M3/S)	1637.82
Χρονική στιγμή αιχμής	02Sep2000, 14:30
Όγκος (MM)	157.18

Απορροή



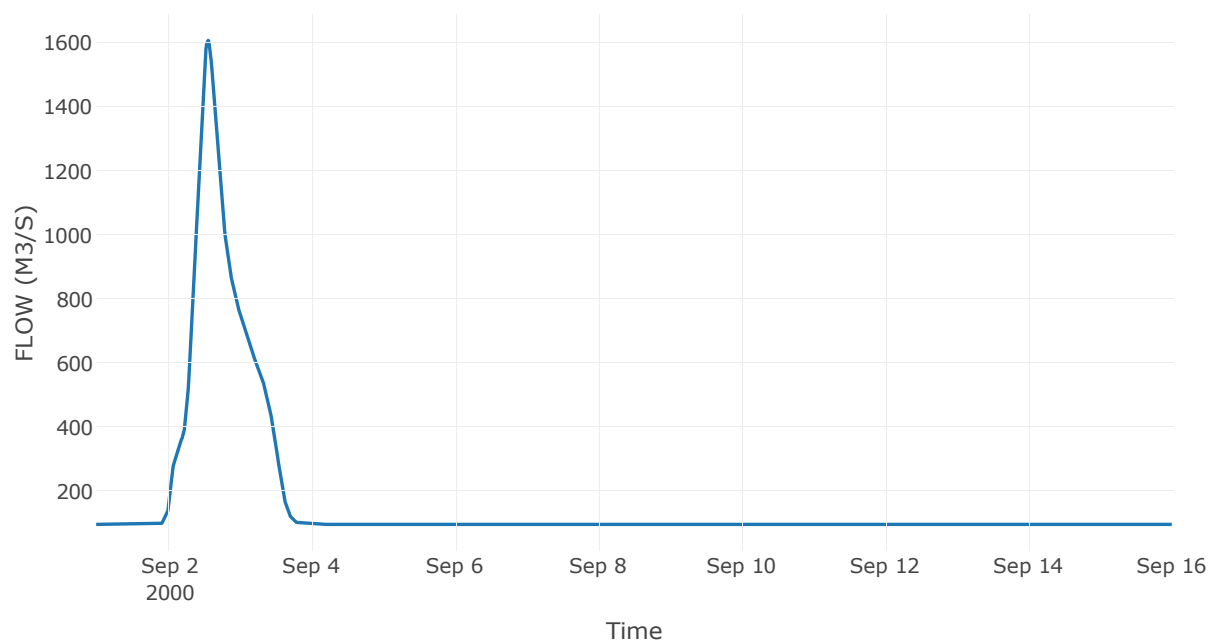
Κόμβος: J8

Κατάντη : R87

Αποτελέσματα: J8

Παροχή Αιχμής (M3/S)	1607.79
Χρονική στιγμή αιχμής	02Sep2000, 13:30
Όγκος (MM)	155.99

Απορροή



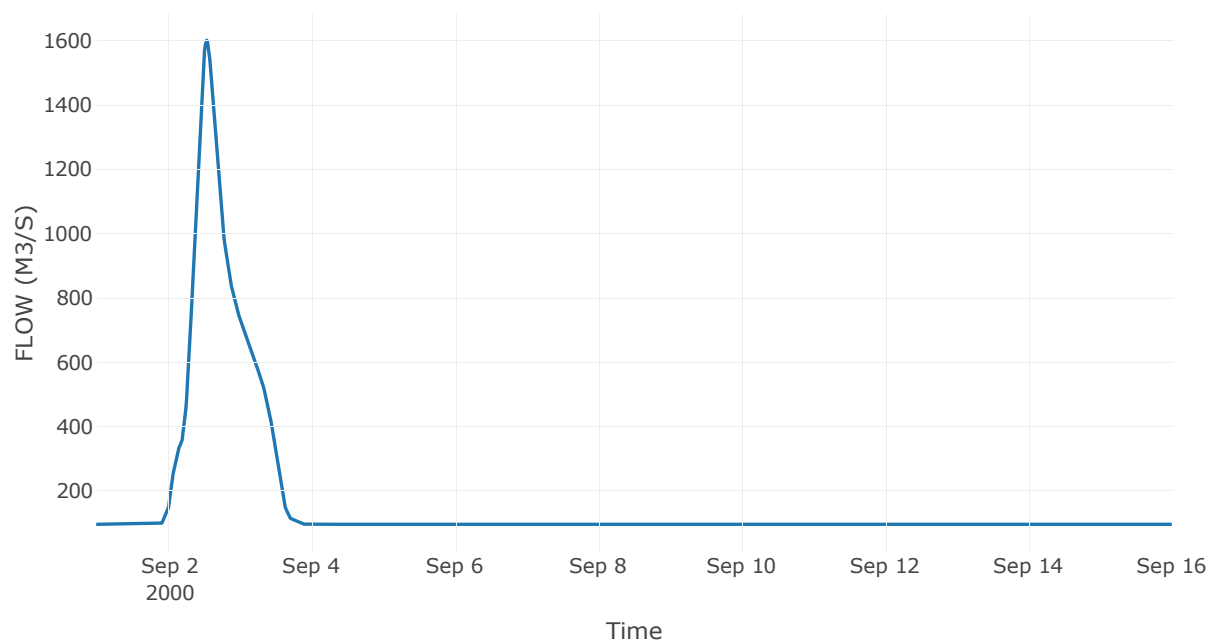
Κόμβος: J9

Κατάντη : R98

Αποτελέσματα: J9

Παροχή Αιχμής (M3/S)	1600.38
Χρονική στιγμή αιχμής	02Sep2000, 13:00
Όγκος (MM)	156.19

Απορροή



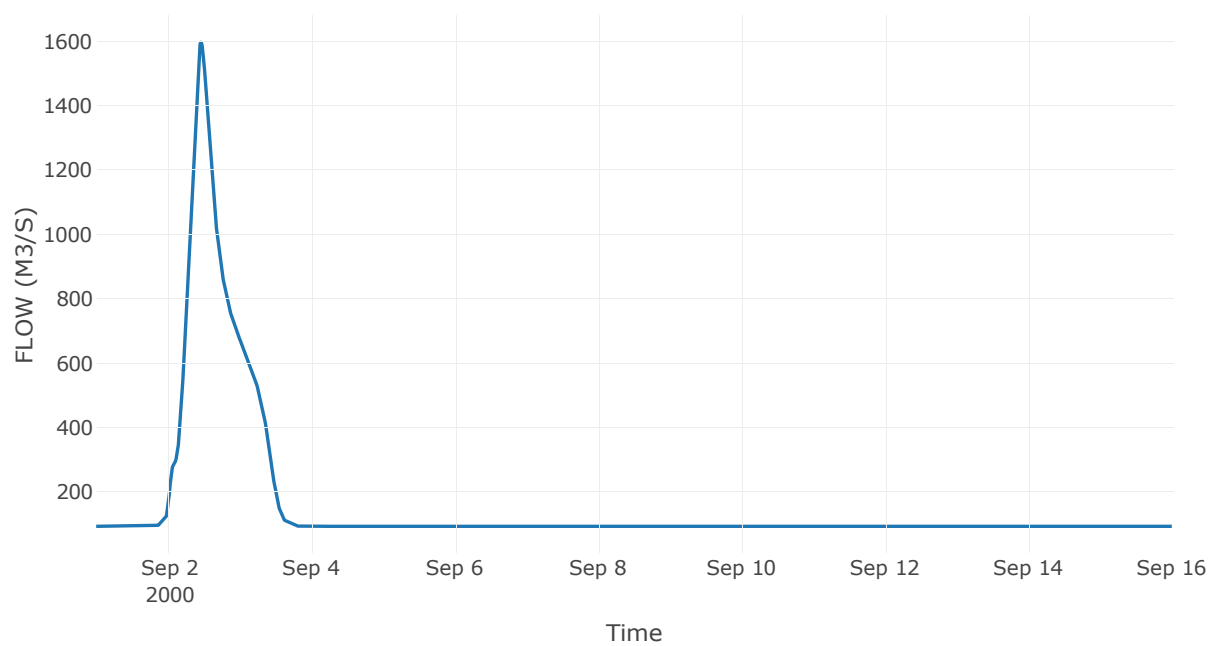
Κόμβος: J10

Κατάντη : R109

Αποτελέσματα: J10

Παροχή Αιχμής (M3/S)	1596.92
Χρονική στιγμή αιχμής	02Sep2000, 11:00
Όγκος (MM)	156

Απορροή



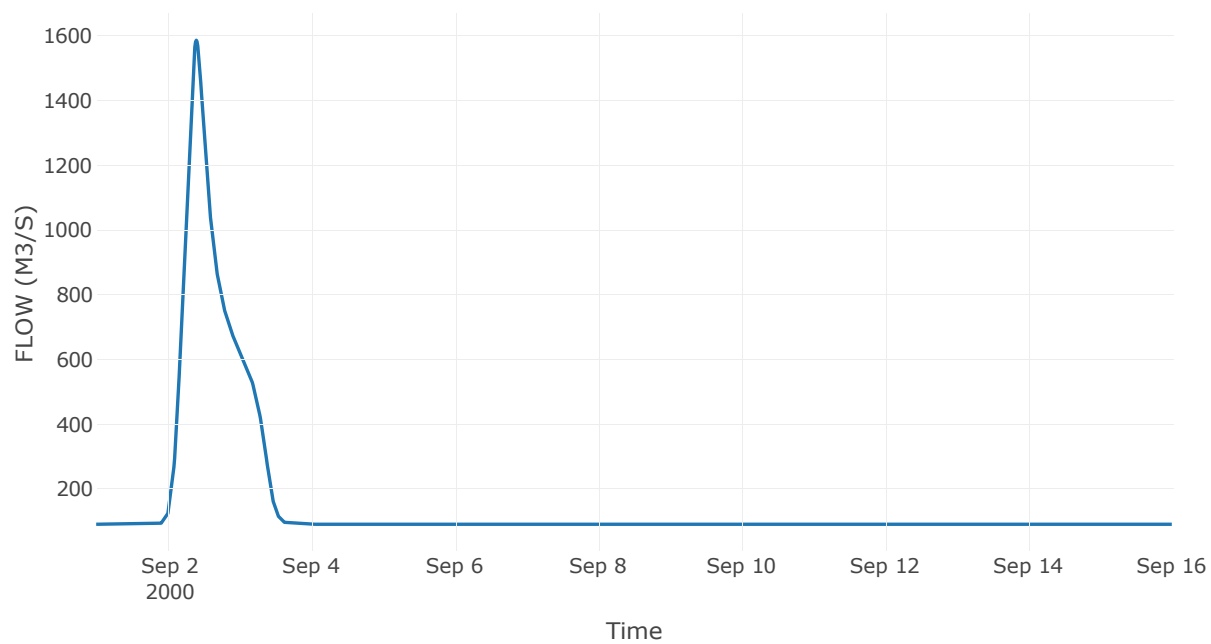
Κόμβος: J11

Κατάντη : R1110

Αποτελέσματα: J11

Παροχή Αιχμής (M3/S)	1586.51
Χρονική στιγμή αιχμής	02Sep2000, 09:30
Όγκος (MM)	155.39

Απορροή



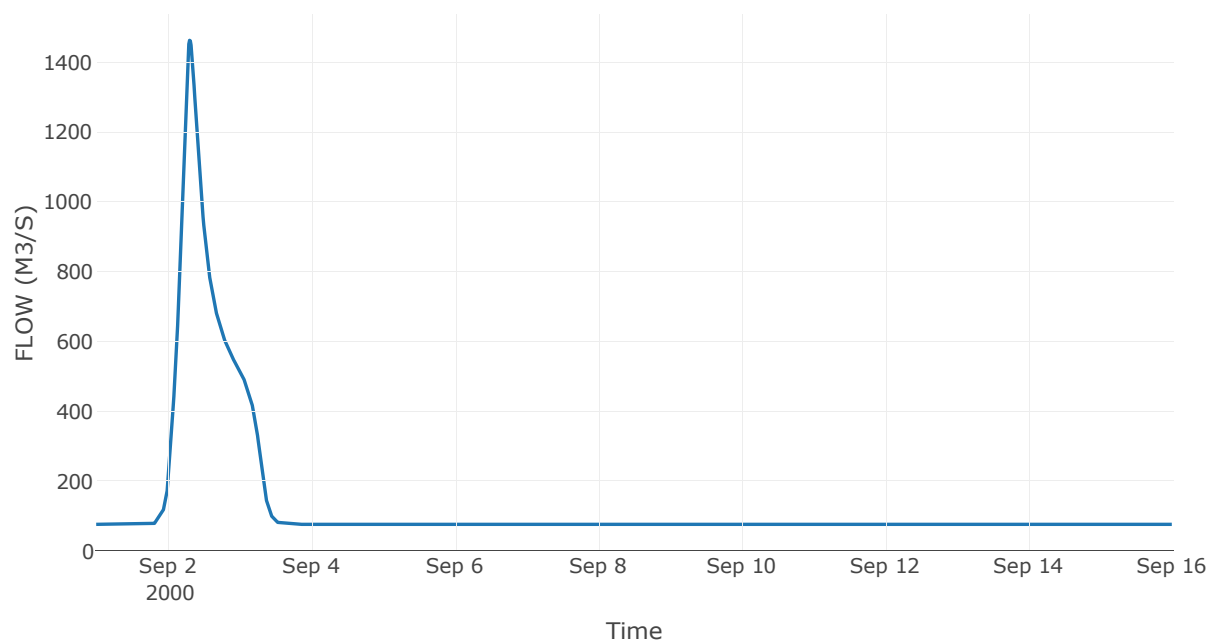
Κόμβος: J12

Κατάντη : R1223

Αποτελέσματα: J12

Παροχή Αιχμής (M3/S)	1463.56
Χρονική στιγμή αιχμής	02Sep2000, 07:15
Όγκος (MM)	158

Απορροή



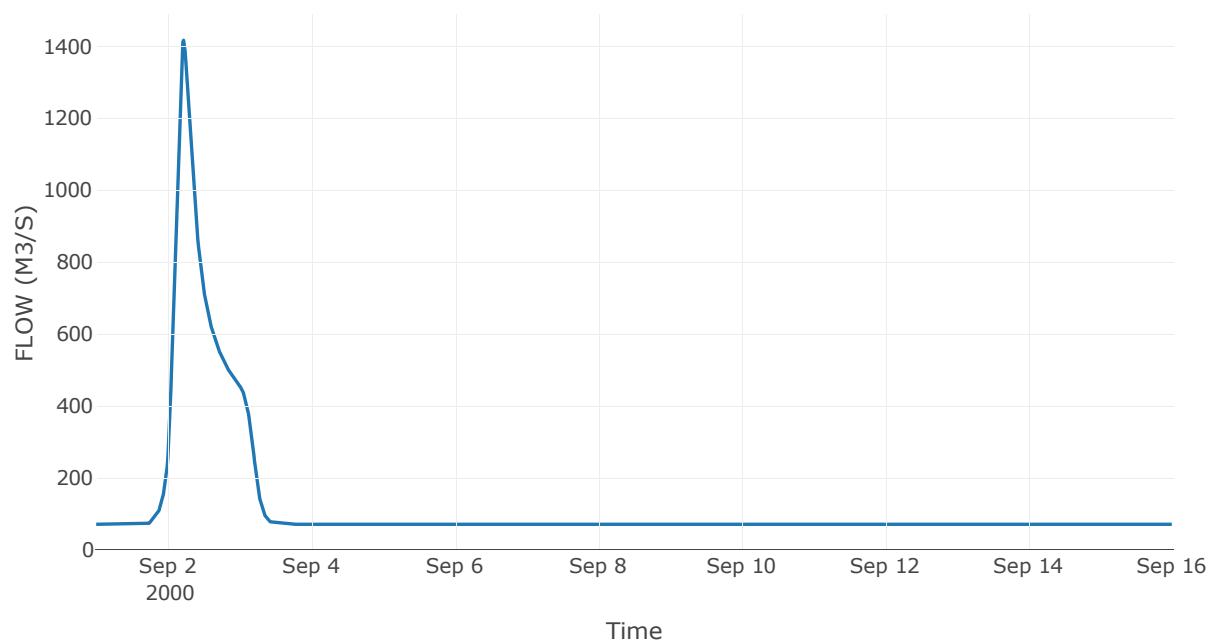
Κόμβος: J13

Κατάντη : R1312

Αποτελέσματα: J13

Παροχή Αιχμής (M3/S)	1417.01
Χρονική στιγμή αιχμής	02Sep2000, 05:15
Όγκος (MM)	157.21

Απορροή



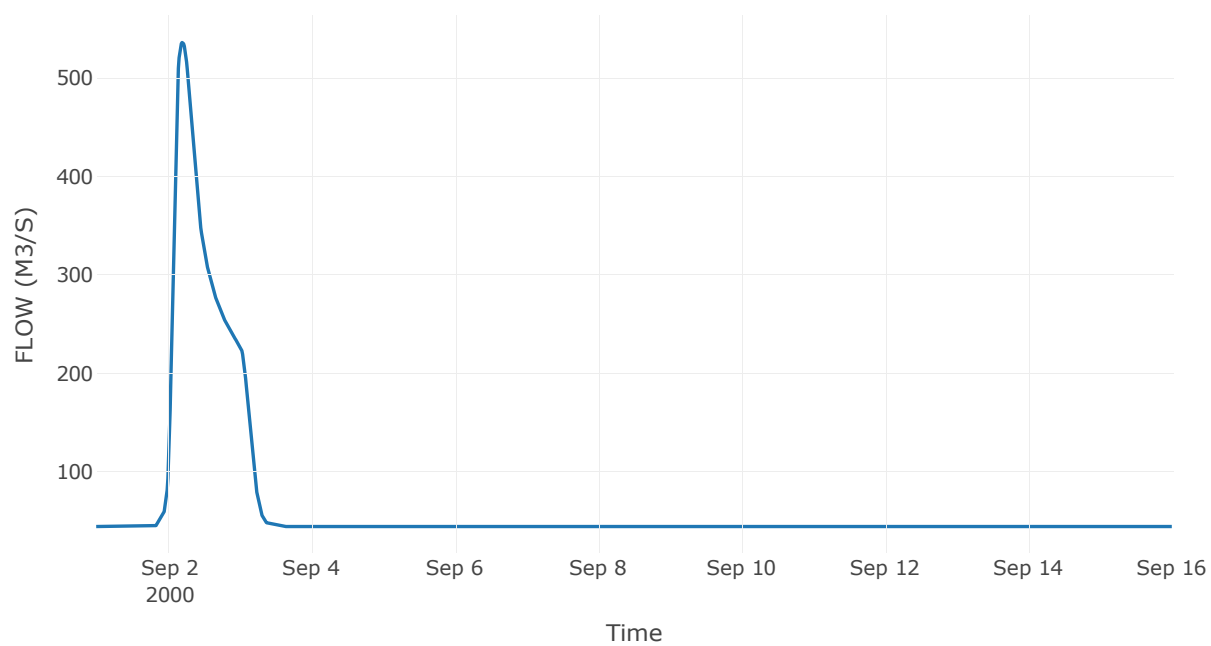
Κόμβος: J14

Κατάντη : R1413

Αποτελέσματα: J14

Παροχή Αιχμής (M3/S)	536.57
Χρονική στιγμή αιχμής	02Sep2000, 04:45
Όγκος (MM)	135.01

Απορροή



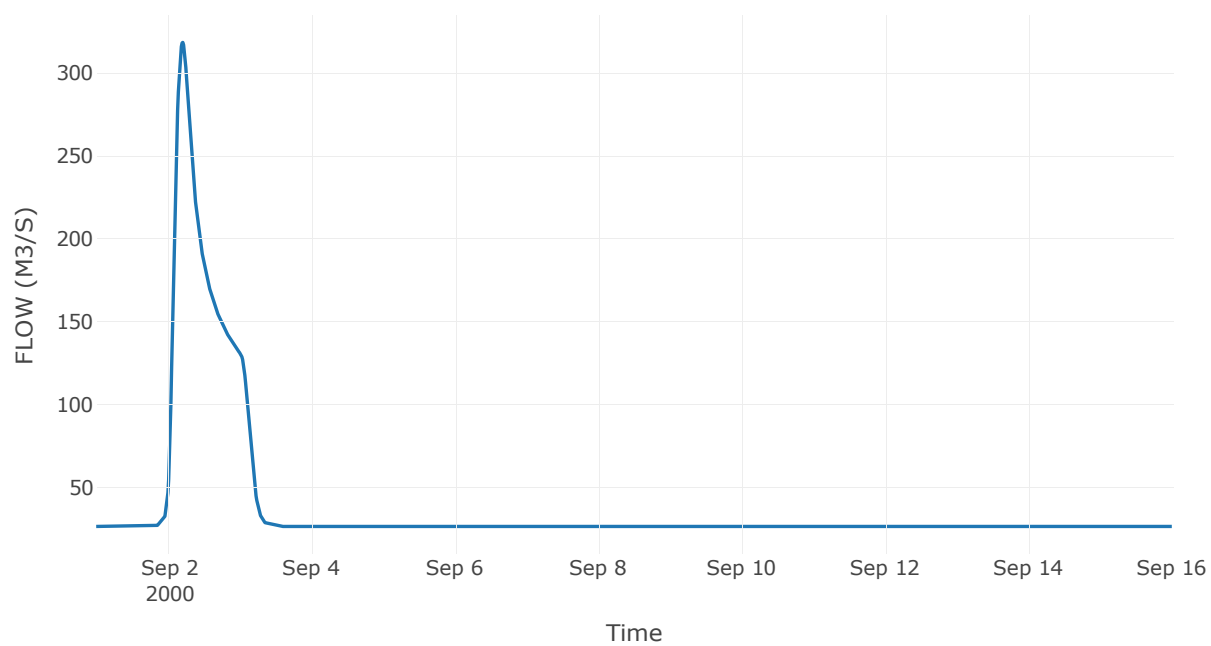
Κόμβος: J15

Κατάντη : R1514

Αποτελέσματα: J15

Παροχή Αιχμής (M3/S)	318.65
Χρονική στιγμή αιχμής	02Sep2000, 05:00
Όγκος (MM)	132.48

Απορροή



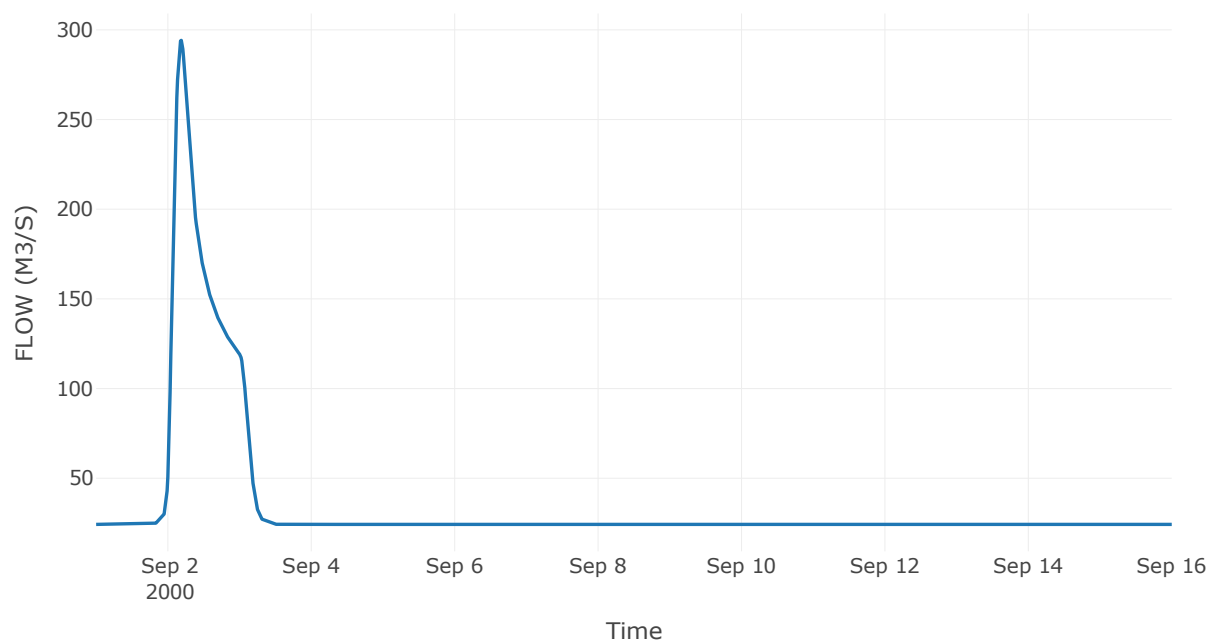
Κόμβος: J16

Κατάντη : R1615

Αποτελέσματα: J16

Παροχή Αιχμής (M3/S)	294.12
Χρονική στιγμή αιχμής	02Sep2000, 04:30
Όγκος (MM)	131.91

Απορροή



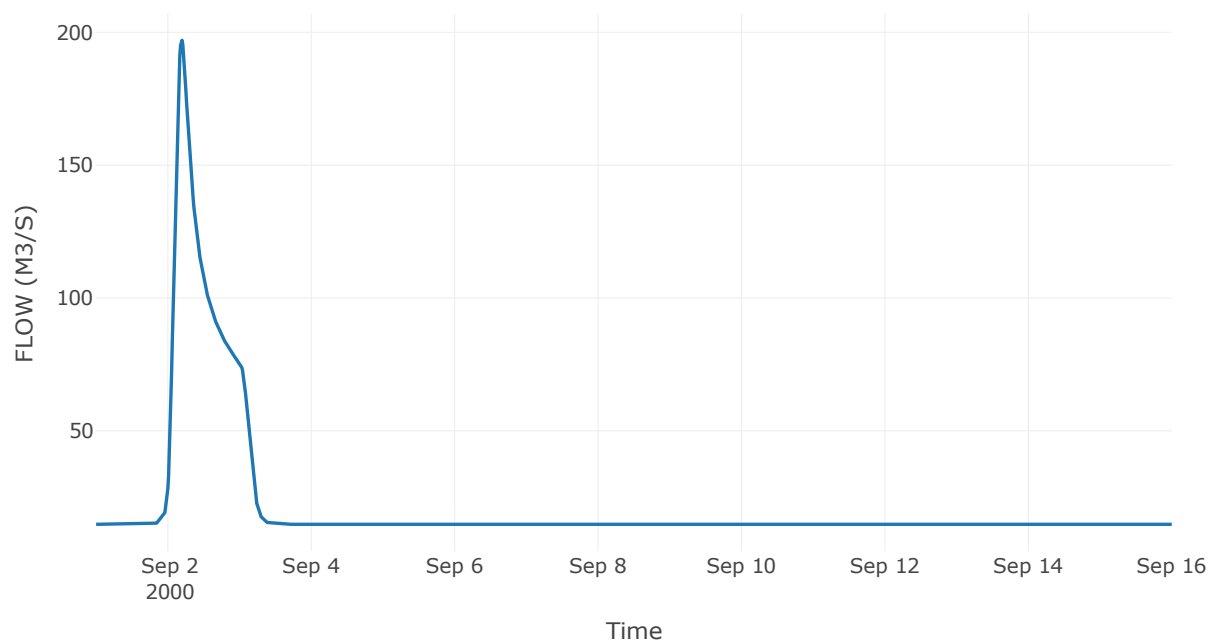
Κόμβος: J17

Κατάντη : R1716

Αποτελέσματα: J17

Παροχή Αιχμής (M3/S)	197
Χρονική στιγμή αιχμής	02Sep2000, 04:45
Όγκος (MM)	134.32

Απορροή



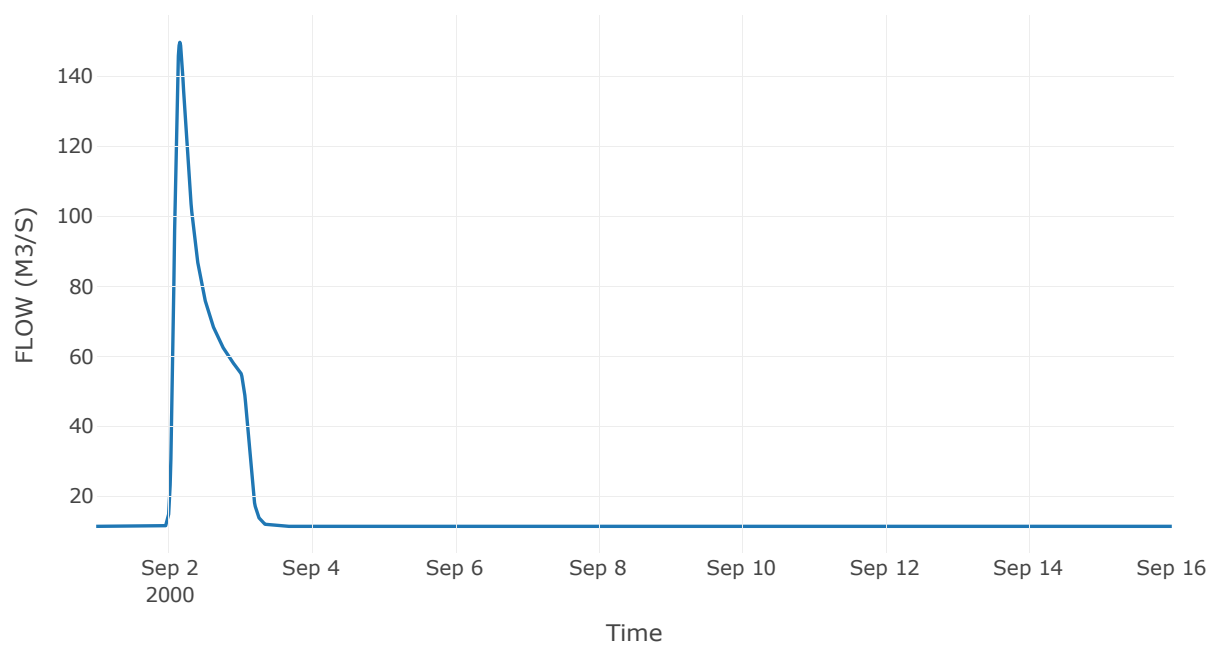
Κόμβος: J18

Κατάντη : R1817

Αποτελέσματα: J18

Παροχή Αιχμής (M3/S)	149.63
Χρονική στιγμή αιχμής	02Sep2000, 04:00
Όγκος (MM)	131.1

Απορροή



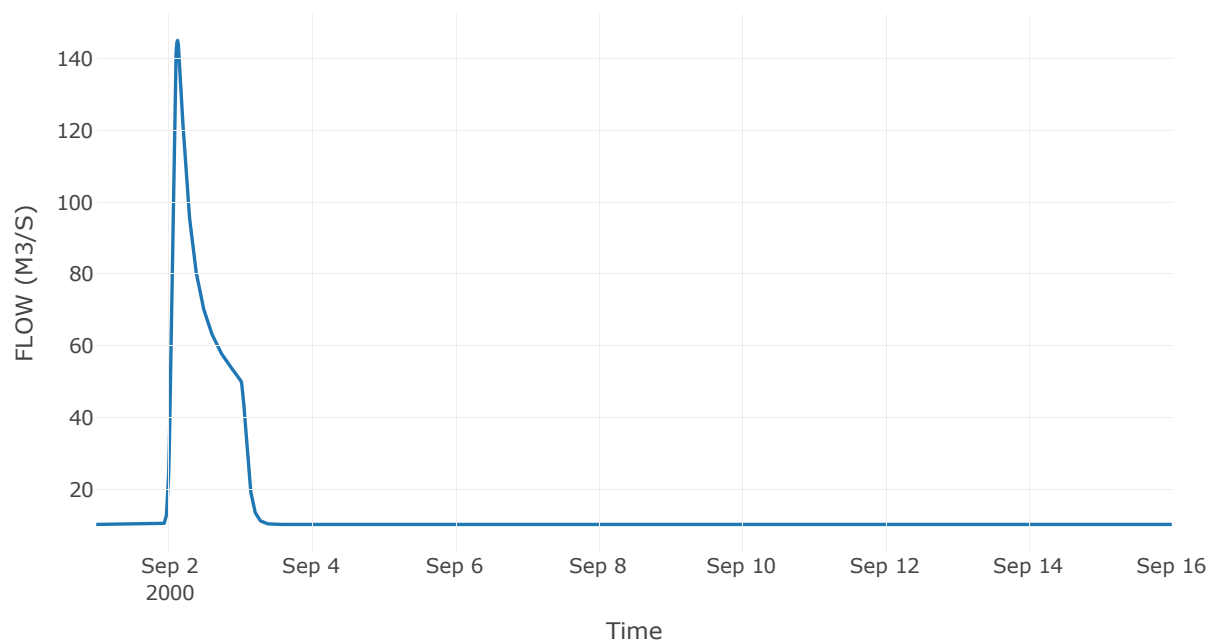
Κόμβος: J19

Κατάντη : R1918

Αποτελέσματα: J19

Παροχή Αιχμής (M3/S)	145.1
Χρονική στιγμή αιχμής	02Sep2000, 03:15
Όγκος (MM)	132.99

Απορροή



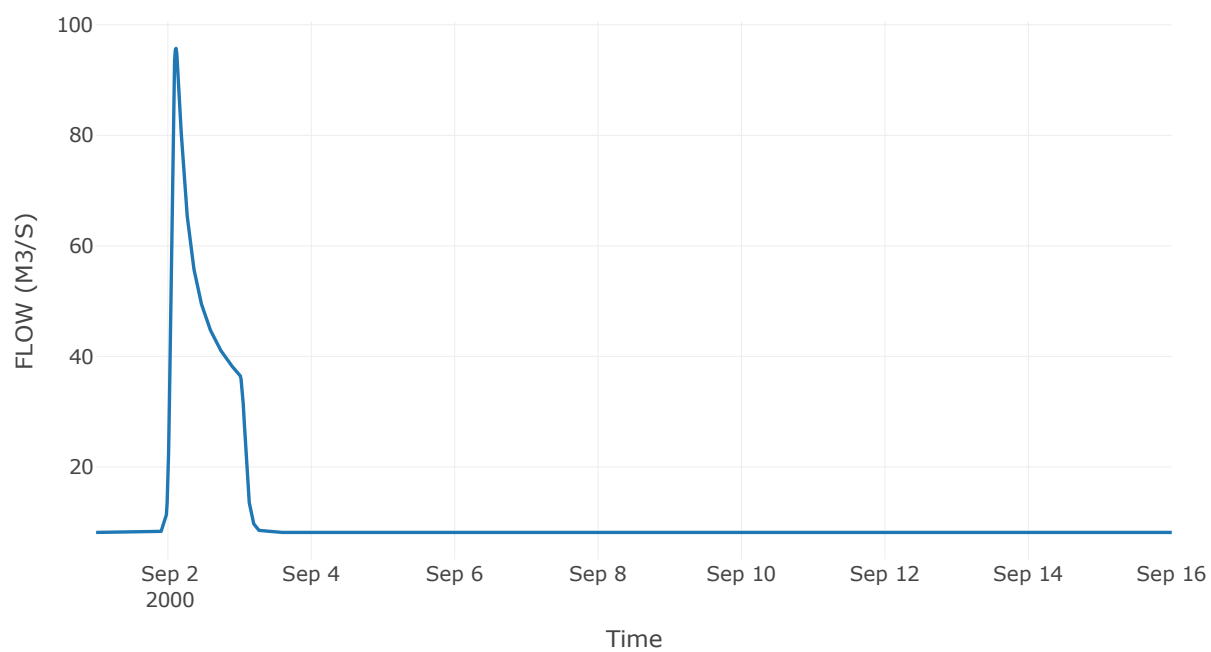
Κόμβος: J20

Κατάντη : R2016

Αποτελέσματα: J20

Παροχή Αιχμής (M3/S)	95.73
Χρονική στιγμή αιχμής	02Sep2000, 02:45
Όγκος (MM)	126.3

Απορροή



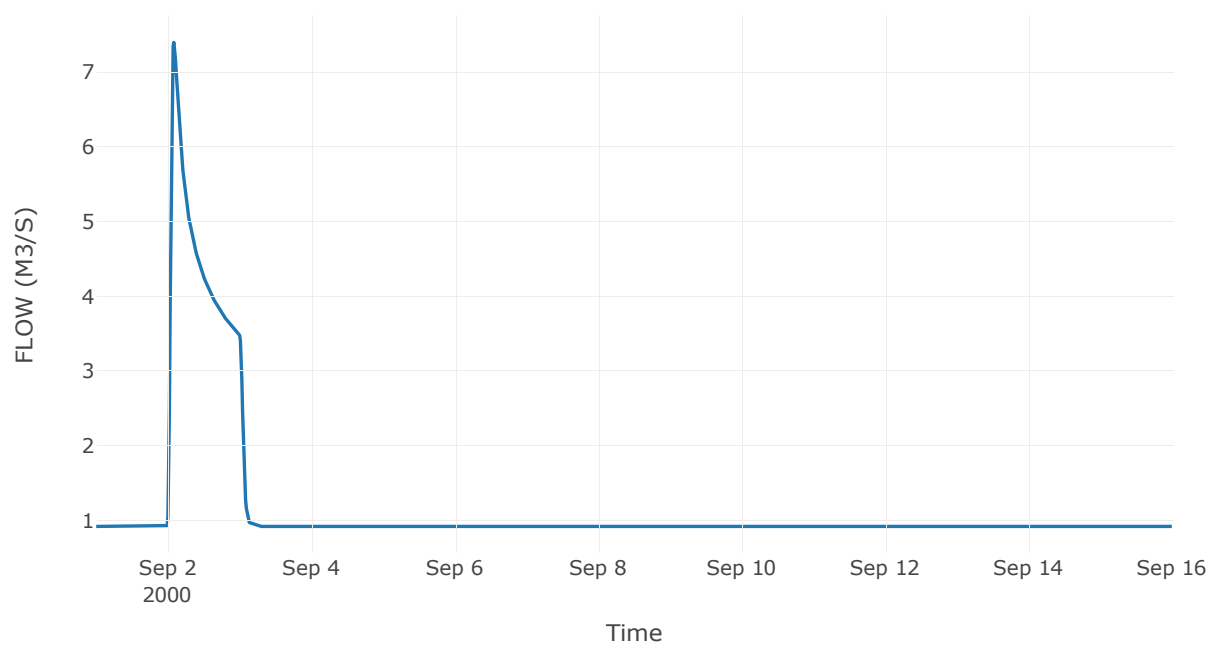
Κόμβος: J21

Κατάντη : R2120

Αποτελέσματα: J21

Παροχή Αιχμής (M3/S)	7.4
Χρονική στιγμή αιχμής	02Sep2000, 02:00
Όγκος (MM)	115.15

Απορροή



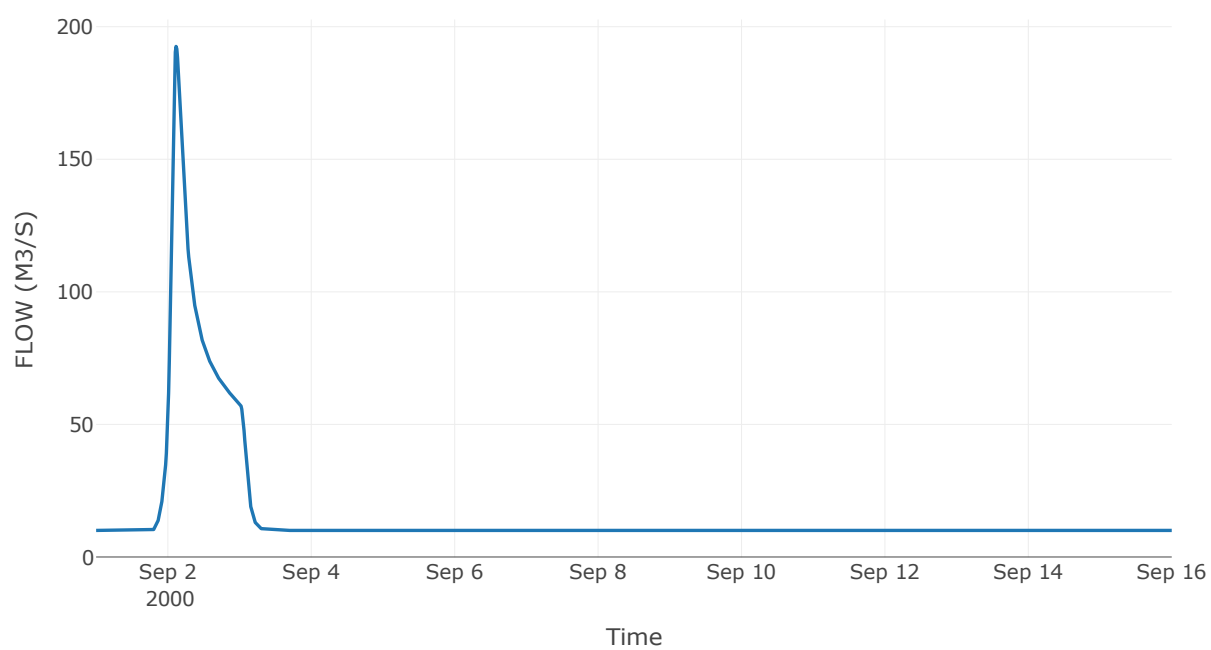
Κόμβος: J22

Κατάντη : R2214

Αποτελέσματα: J22

Παροχή Αιχμής (M3/S)	192.57
Χρονική στιγμή αιχμής	02Sep2000, 02:45
Όγκος (MM)	146.45

Απορροή



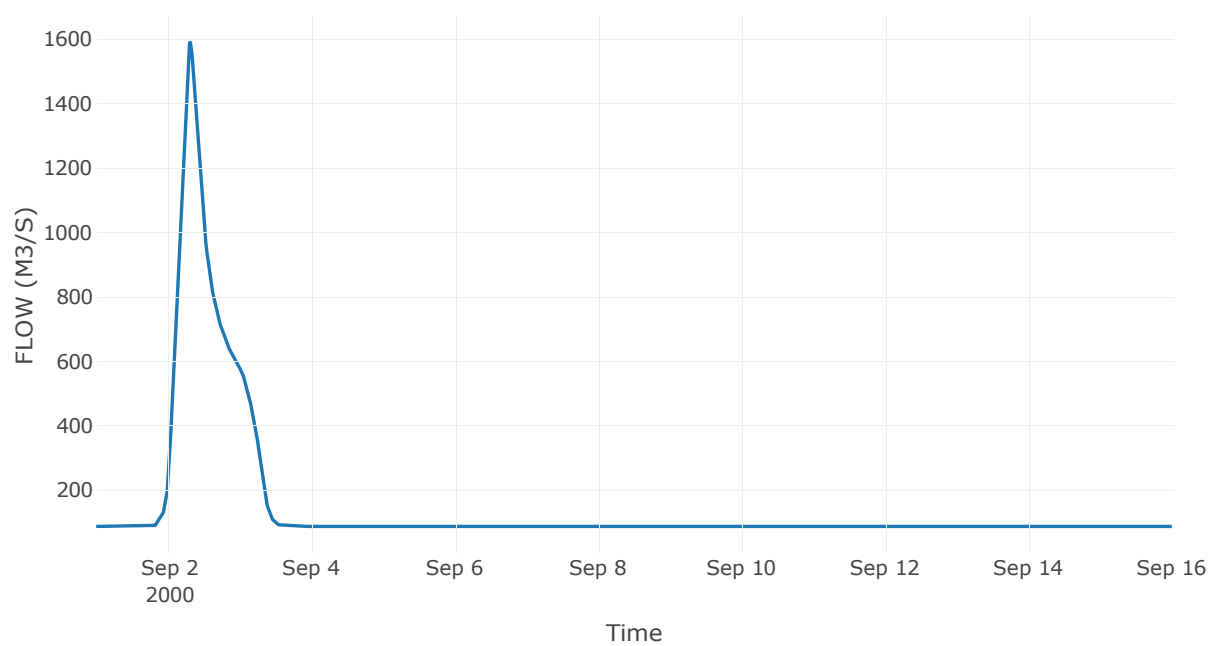
Κόμβος: J23

Κατάντη : R2311

Αποτελέσματα: J23

Παροχή Αιχμής (M3/S)	1590.69
Χρονική στιγμή αιχμής	02Sep2000, 07:30
Όγκος (MM)	156.51

Απορροή



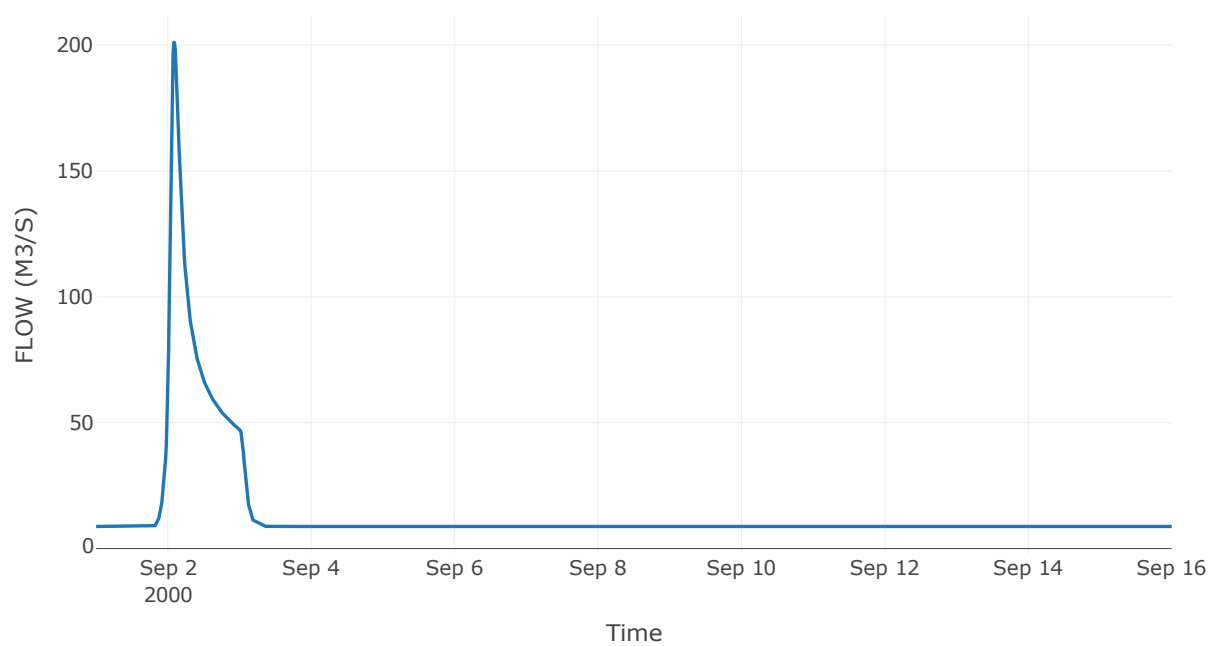
Κόμβος: J24

Κατάντη : R2423

Αποτελέσματα: J24

Παροχή Αιχμής (M3/S)	201.05
Χρονική στιγμή αιχμής	02Sep2000, 02:00
Όγκος (MM)	147.92

Απορροή



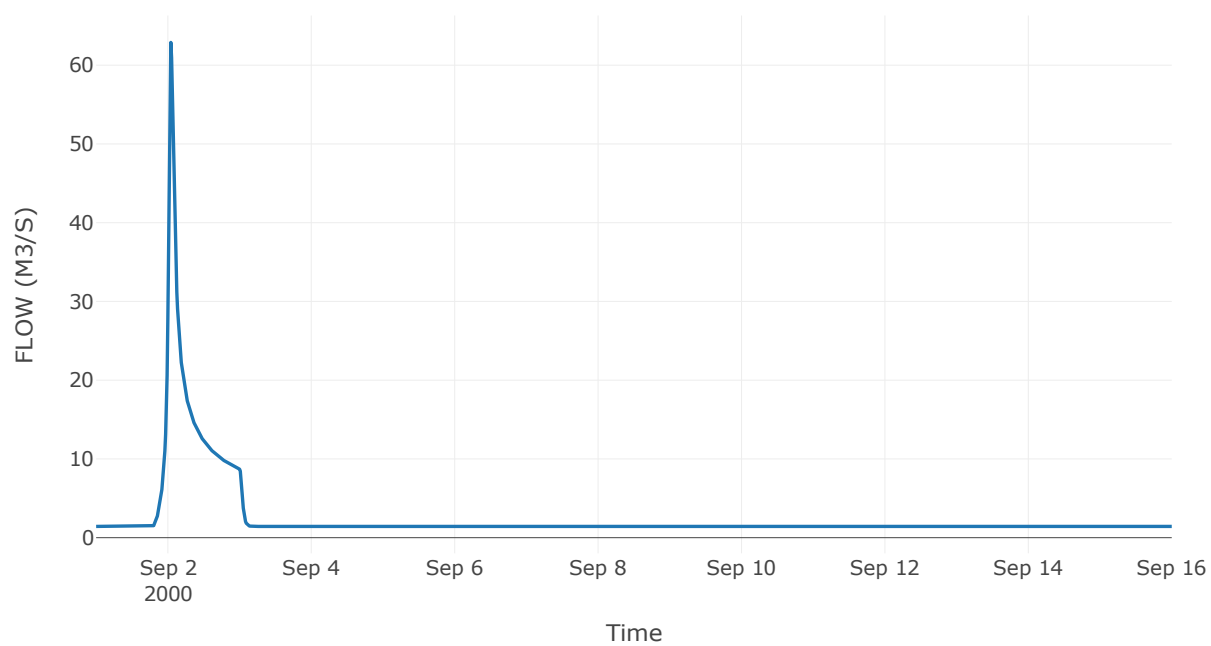
Κόμβος: J25

Κατάντη : R257

Αποτελέσματα: J25

Παροχή Αιχμής (M3/S)	62.89
Χρονική στιγμή αιχμής	02Sep2000, 01:00
Όγκος (MM)	165.03

Απορροή



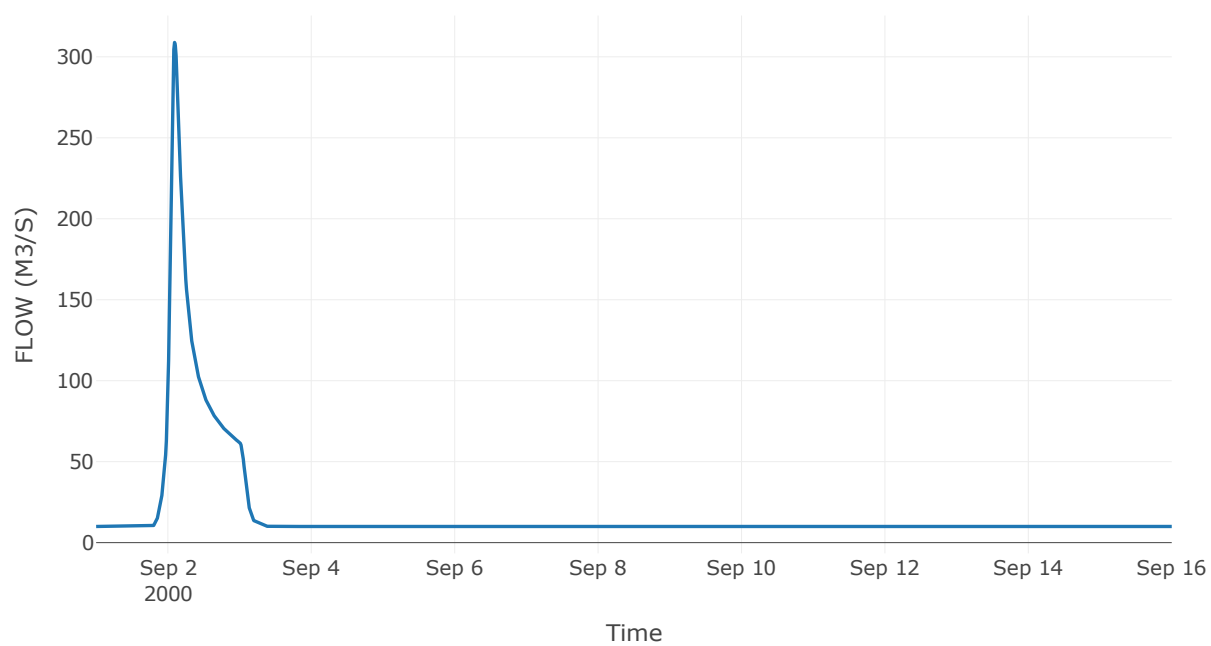
Κόμβος: J26

Κατάντη : R265

Αποτελέσματα: J26

Παροχή Αιχμής (M3/S)	308.89
Χρονική στιγμή αιχμής	02Sep2000, 02:15
Όγκος (MM)	165.14

Απορροή



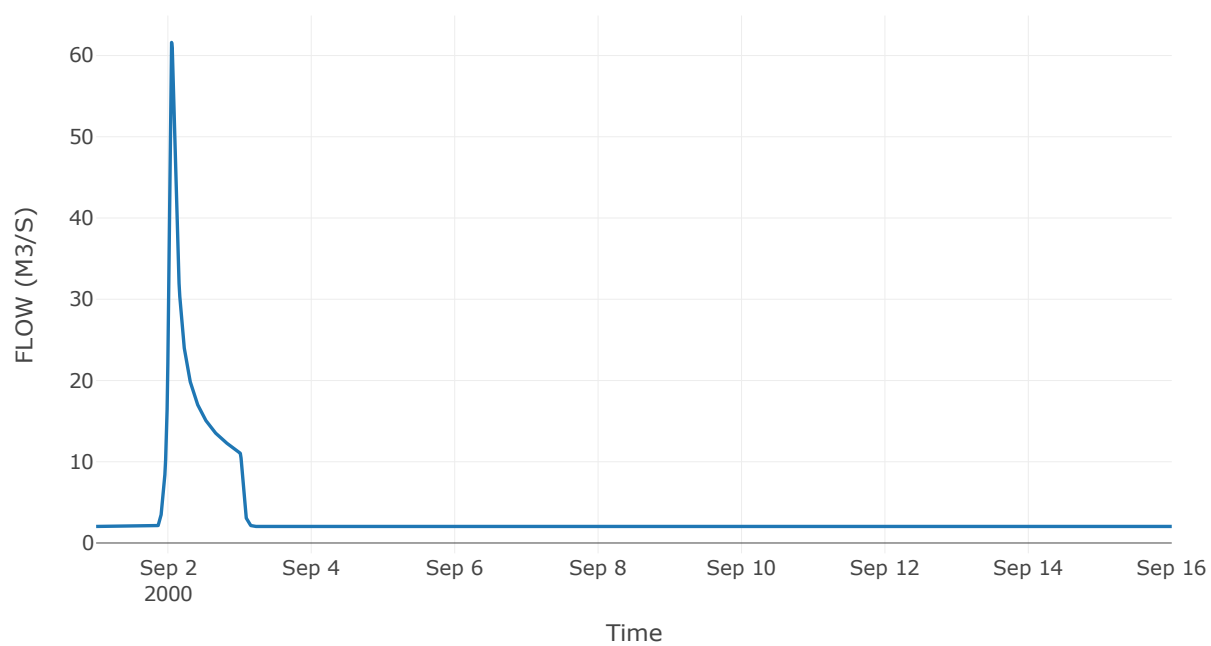
Κόμβος: J27

Κατάντη : R274

Αποτελέσματα: J27

Παροχή Αιχμής (M3/S)	61.61
Χρονική στιγμή αιχμής	02Sep2000, 01:15
Όγκος (MM)	149.72

Απορροή

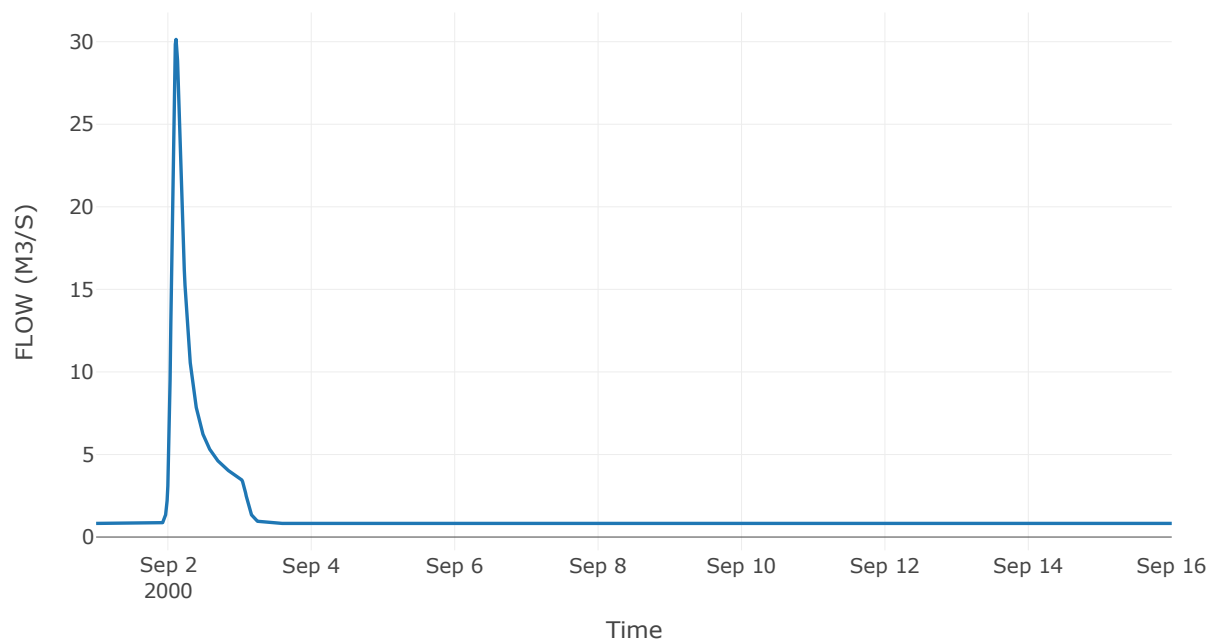


Κόμβος εξόδου: J28

Αποτελέσματ
α: J28

Παροχή αιχμής (M3/S)	30.14
Χρονική στιγμή αιχμής	02Sep2000, 02:45
Όγκος (MM)	157.48

Απορροή



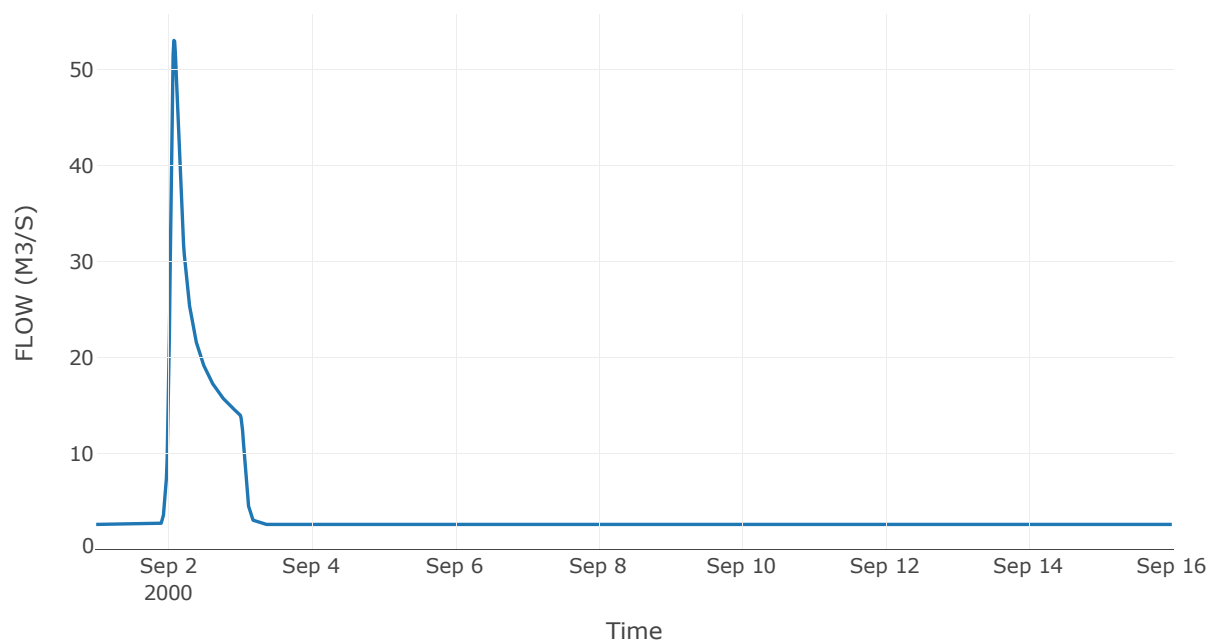
Κόμβος: J29

Κατάντη : R2917

Αποτελέσματα: J29

Παροχή Αιχμής (M3/S)	53.04
Χρονική στιγμή αιχμής	02Sep2000, 02:00
Όγκος (MM)	141.78

Απορροή



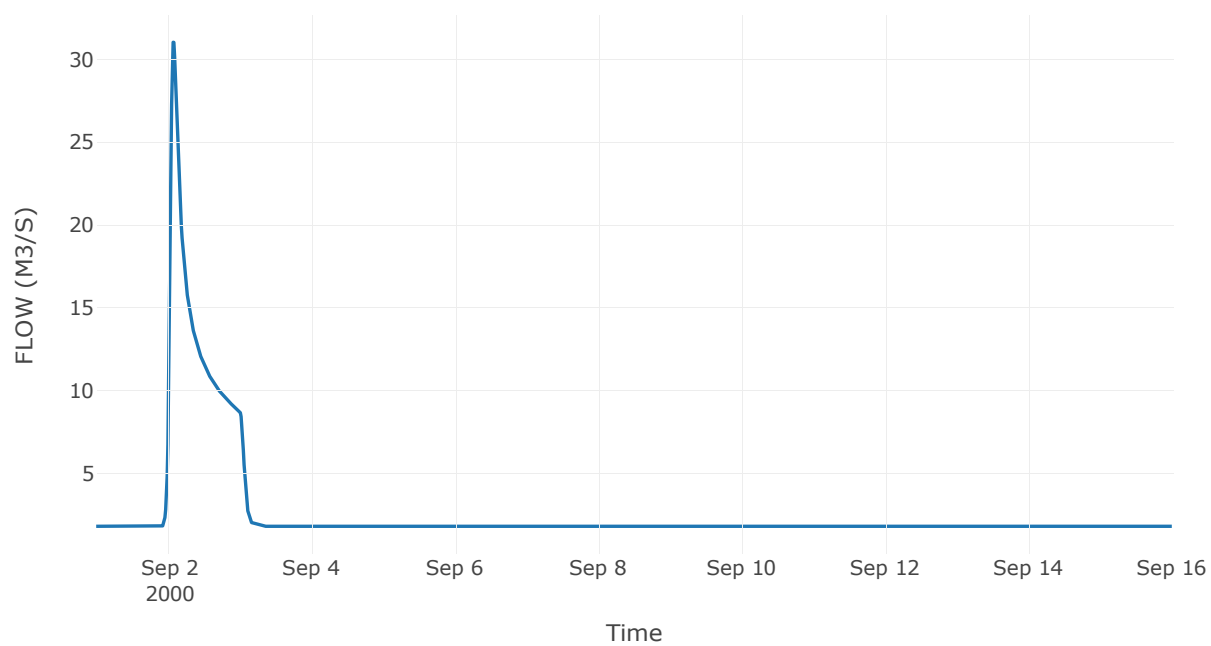
Κόμβος: J30

Κατάντη : R3020

Αποτελέσματα: J30

Παροχή Αιχμής (M3/S)	31.03
Χρονική στιγμή αιχμής	02Sep2000, 01:45
Όγκος (MM)	133.09

Απορροή



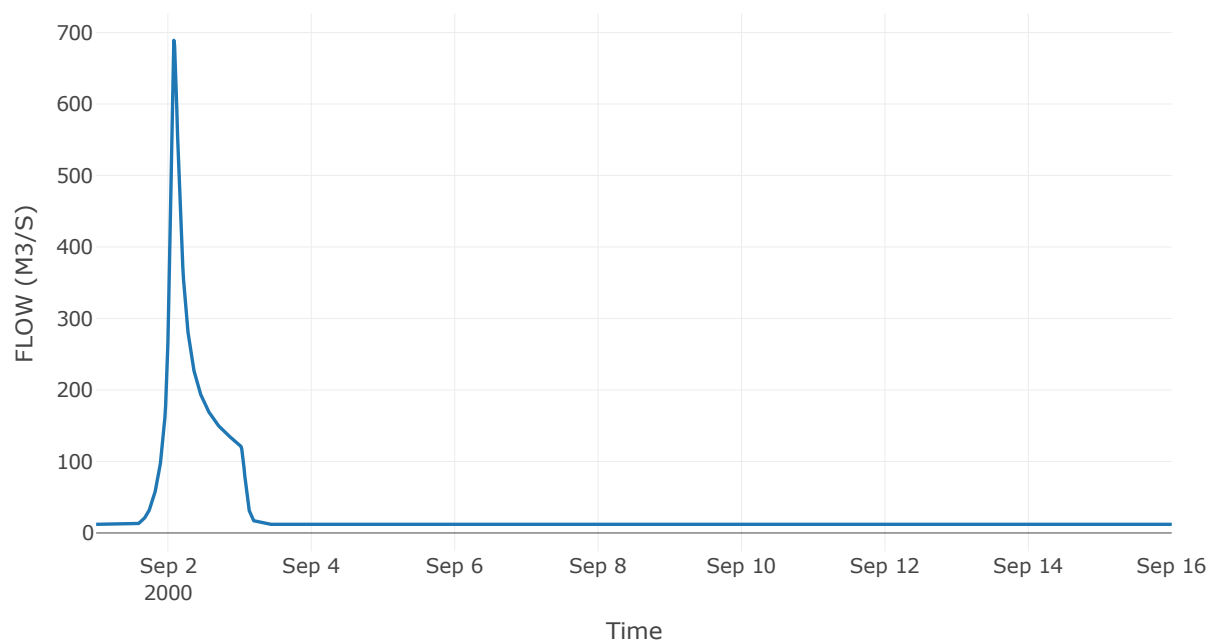
Κόμβος: J31

Κατάντη : R3113

Αποτελέσματα: J31

Παροχή Αιχμής (M3/S)	689.12
Χρονική στιγμή αιχμής	02Sep2000, 02:00
Όγκος (MM)	228.95

Απορροή



7 Δεδομένα εισόδου και αποτελέσματα υδρολογικού σεναρίου $T=100U$

7.1 Αποτελέσματα, υετογραφήματα και υδρογραφήματα σχεδιασμού υπολεκανών

Υπολεκάνη: EL0512FR1001

Έκταση (KM2) : 25.06

Κατάντη : J1

Μέθοδος Απωλειών: SCS

Ποσοστό αδιαπέρατης επιφάνειας	0
Αριθμός Καμπύλης Απορροής-CN	88.08
Αρχικές Απώλειες	6.87

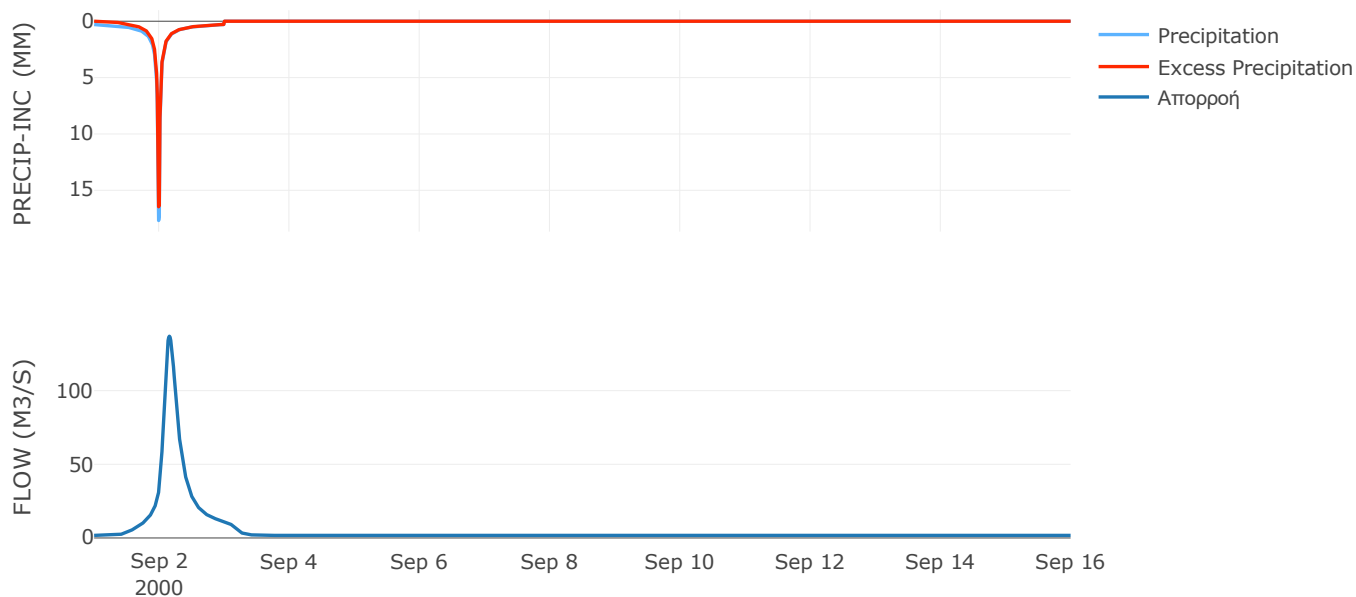
Μέθοδος
Μετασχηματισμού: SCS

Χρόνος Υστέρησης	216.24
------------------	--------

Αποτελέσματα:
EL0512FR1001

Παροχή αιχμής (M3/S)	136.95
Χρονική στιγμή αιχμής	02Sep2000, 03:45
Όγκος (MM)	271.68
Όγκος βροχόπτωσης (M3)	5.45E6
Όγκος απωλειών (M3)	9.12E5
Ενεργός Όγκος (M3)	4.53E6
Όγκος άμεσης απορροής (M3)	4.53E6
Όγκος βασικής απορροής (M3)	2.27E6

Βροχόπτωση και Απορροή



Υπολεκάνη: EL0512FR1002

Έκταση (KM2) : 13.38

Κατάντη : J2

Μέθοδος Απωλειών: SCS

Ποσοστό αδιαπέρατης επιφάνειας	0
Αριθμός Καμπύλης Απορροής-CN	84.81
Αρχικές Απώλειες	9.1

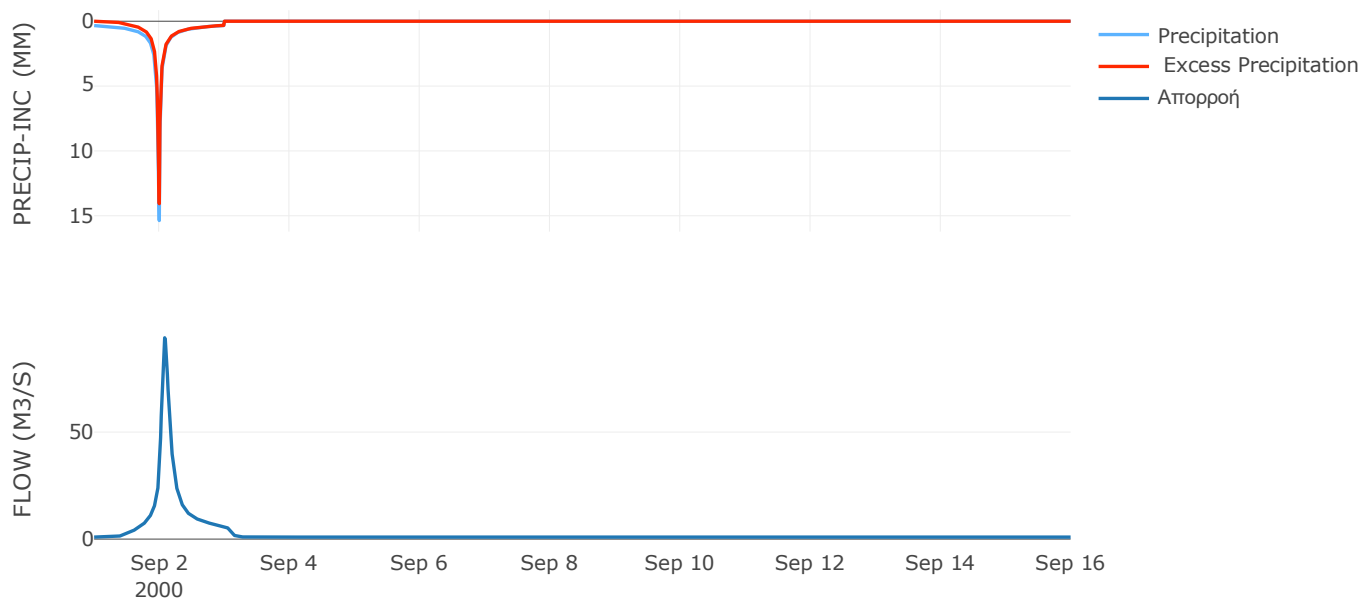
Μέθοδος
Μετασχηματισμού: SCS

Χρόνος Υστέρησης	115.07
------------------	--------

Αποτελέσματα:
EL0512FR1002

Παροχή αιχμής (M3/S)	94.06
Χρονική στιγμή αιχμής	02Sep2000, 02:00
Όγκος (MM)	263.31
Όγκος βροχόπτωσης (M3)	2.93E6
Όγκος απωλειών (M3)	6.22E5
Ενεργός Όγκος (M3)	2.31E6
Όγκος άμεσης απορροής (M3)	2.31E6
Όγκος βασικής απορροής (M3)	1.21E6

Βροχόπτωση και Απορροή



Υπολεκάνη: EL0512FR1003

Έκταση (KM2) : 11.79

Κατάντη : J28

Μέθοδος Απωλειών: SCS

Ποσοστό αδιαπέρατης επιφάνειας	0
Αριθμός Καμπύλης Απορροής-CN	84.45
Αρχικές Απώλειες	9.35

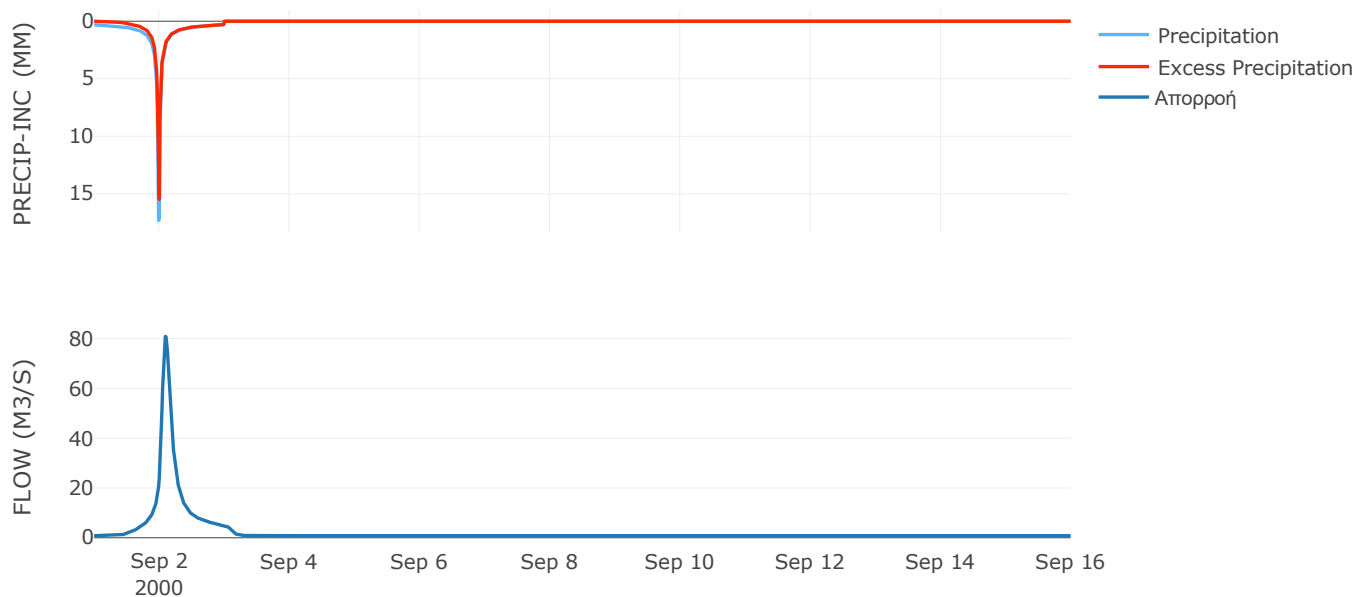
Μέθοδος
Μετασχηματισμού: SCS

Χρόνος Υστέρησης	134.88
------------------	--------

Αποτελέσματα:
EL0512FR1003

Παροχή αιχμής (M3/S)	80.9
Χρονική στιγμή αιχμής	02Sep2000, 02:15
Όγκος (MM)	262.67
Όγκος βροχόπτωσης (M3)	2.59E6
Όγκος απωλειών (M3)	5.62E5
Ενεργός Όγκος (M3)	2.03E6
Όγκος άμεσης απορροής (M3)	2.03E6
Όγκος βασικής απορροής (M3)	1.07E6

Βροχόπτωση και Απορροή



Υπολεκάνη: EL0512FR1004

Έκταση (KM2) : 17.07

Κατάντη : J4

Μέθοδος Απωλειών: SCS

Ποσοστό αδιαπέρατης επιφάνειας	0
Αριθμός Καμπύλης Απορροής-CN	82.25
Αρχικές Απώλειες	10.96

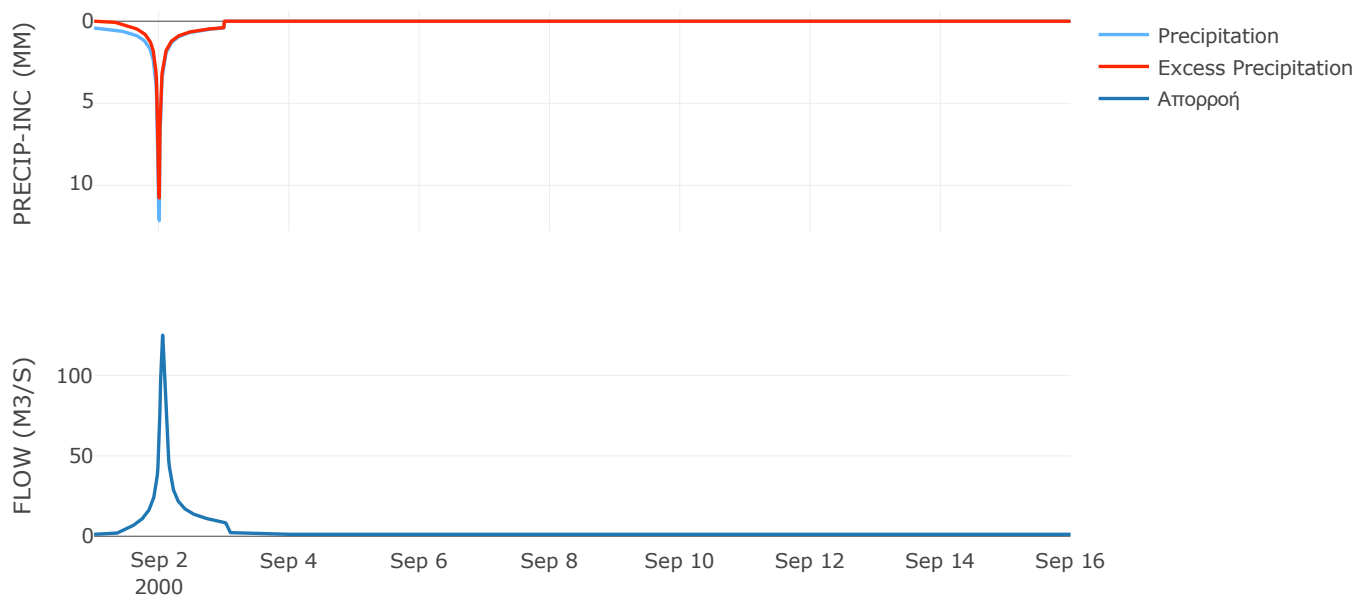
Μέθοδος
Μετασχηματισμού: SCS

Χρόνος Υστέρησης	64.88
------------------	-------

Αποτελέσματα:
EL0512FR1004

Παροχή αιχμής (M3/S)	125.08
Χρονική στιγμή αιχμής	02Sep2000, 01:15
Όγκος (MM)	258.57
Όγκος βροχόπτωσης (M3)	3.79E6
Όγκος απωλειών (M3)	9.3E5
Ενεργός Όγκος (M3)	2.86E6
Όγκος άμεσης απορροής (M3)	2.86E6
Όγκος βασικής απορροής (M3)	1.55E6

Βροχόπτωση και Απορροή



Υπολεκάνη: EL0512FR1005

Έκταση (KM2) : 3.17

Κατάντη : J4

Μέθοδος Απωλειών: SCS

Ποσοστό αδιαπέρατης επιφάνειας	0
Αριθμός Καμπύλης Απορροής-CN	80.58
Αρχικές Απώλειες	12.25

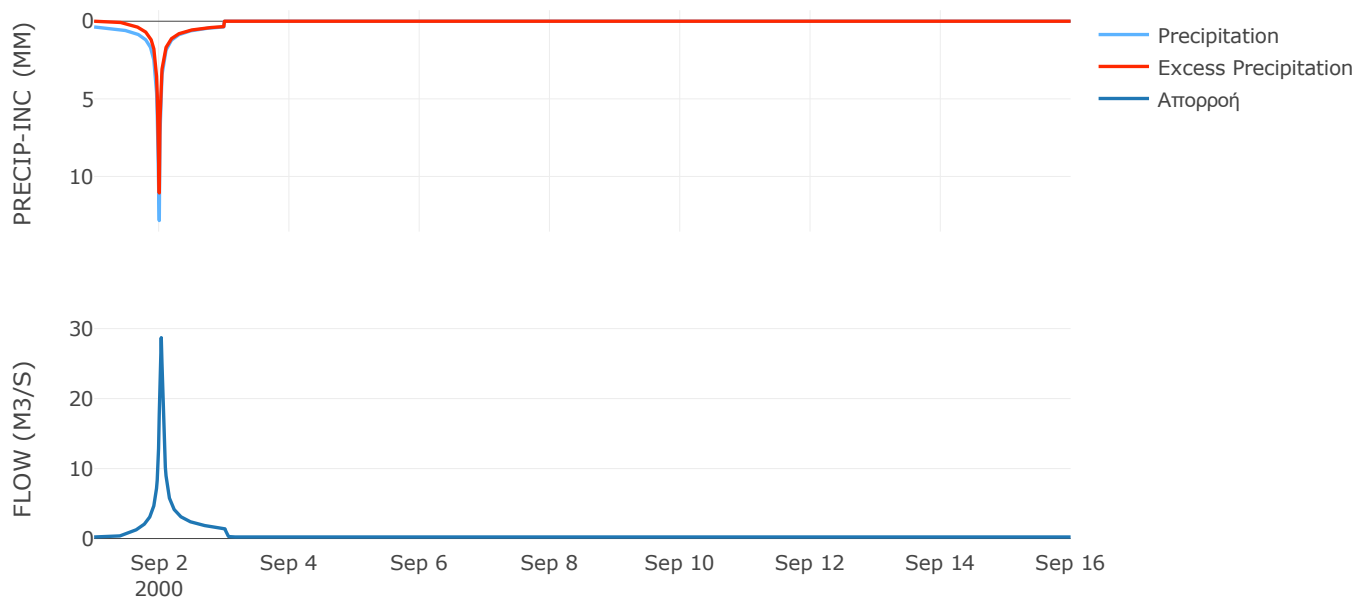
Μέθοδος
Μετασχηματισμού: SCS

Χρόνος Υστέρησης	34.61
------------------	-------

Αποτελέσματα:
EL0512FR1005

Παροχή αιχμής (M3/S)	28.7
Χρονική στιγμή αιχμής	02Sep2000, 00:45
Όγκος (MM)	245.37
Όγκος βροχόπτωσης (M3)	6.78E5
Όγκος απωλειών (M3)	1.88E5
Ενεργός Όγκος (M3)	4.9E5
Όγκος άμεσης απορροής (M3)	4.9E5
Όγκος βασικής απορροής (M3)	2.88E5

Βροχόπτωση και Απορροή



Υπολεκάνη: EL0512FR1006

Έκταση (KM2) : 18.76

Κατάντη : J5

Μέθοδος Απωλειών: SCS

Ποσοστό αδιαπέρατης επιφάνειας	0
Αριθμός Καμπύλης Απορροής-CN	82.15
Αρχικές Απώλειες	11.04

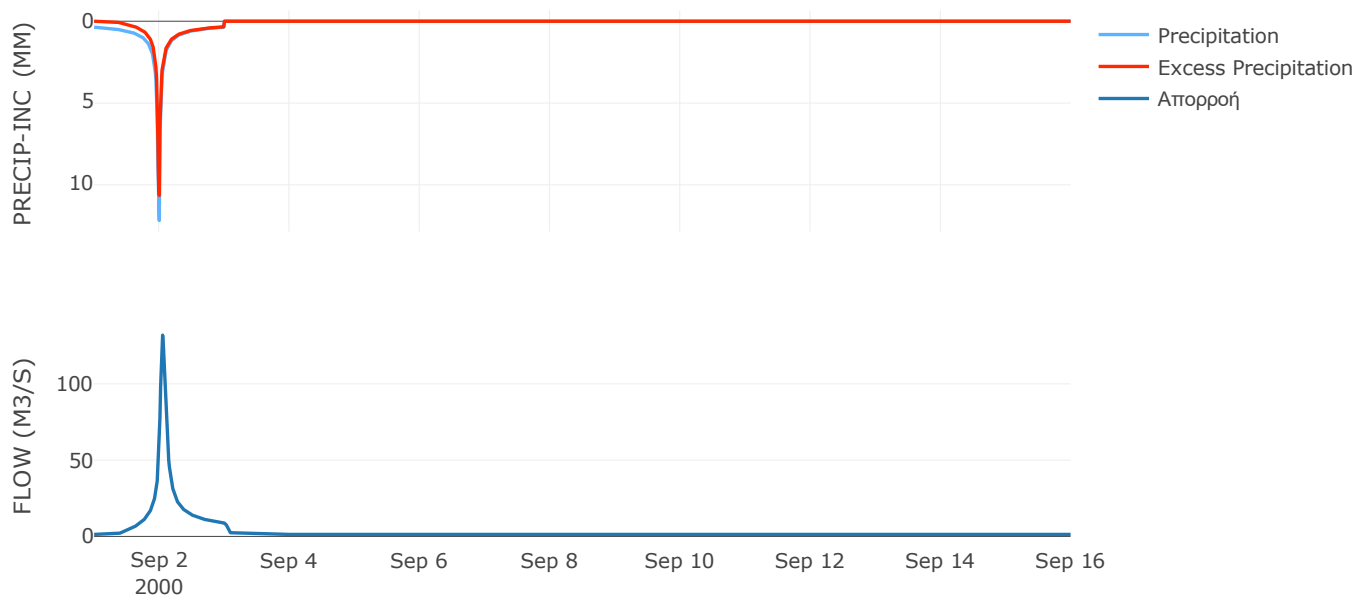
Μέθοδος
Μετασχηματισμού: SCS

Χρόνος Υστέρησης	67.78
------------------	-------

Αποτελέσματα:
EL0512FR1006

Παροχή αιχμής (M3/S)	131.94
Χρονική στιγμή αιχμής	02Sep2000, 01:15
Όγκος (MM)	243
Όγκος βροχόπτωσης (M3)	3.87E6
Όγκος απωλειών (M3)	1.01E6
Ενεργός Όγκος (M3)	2.86E6
Όγκος άμεσης απορροής (M3)	2.86E6
Όγκος βασικής απορροής (M3)	1.7E6

Βροχόπτωση και Απορροή



Υπολεκάνη: EL0512FR1007

Έκταση (KM2) : 22.72

Κατάντη : J5

Μέθοδος Απωλειών: SCS

Ποσοστό αδιαπέρατης επιφάνειας	0
Αριθμός Καμπύλης Απορροής-CN	82.64
Αρχικές Απώλειες	10.67

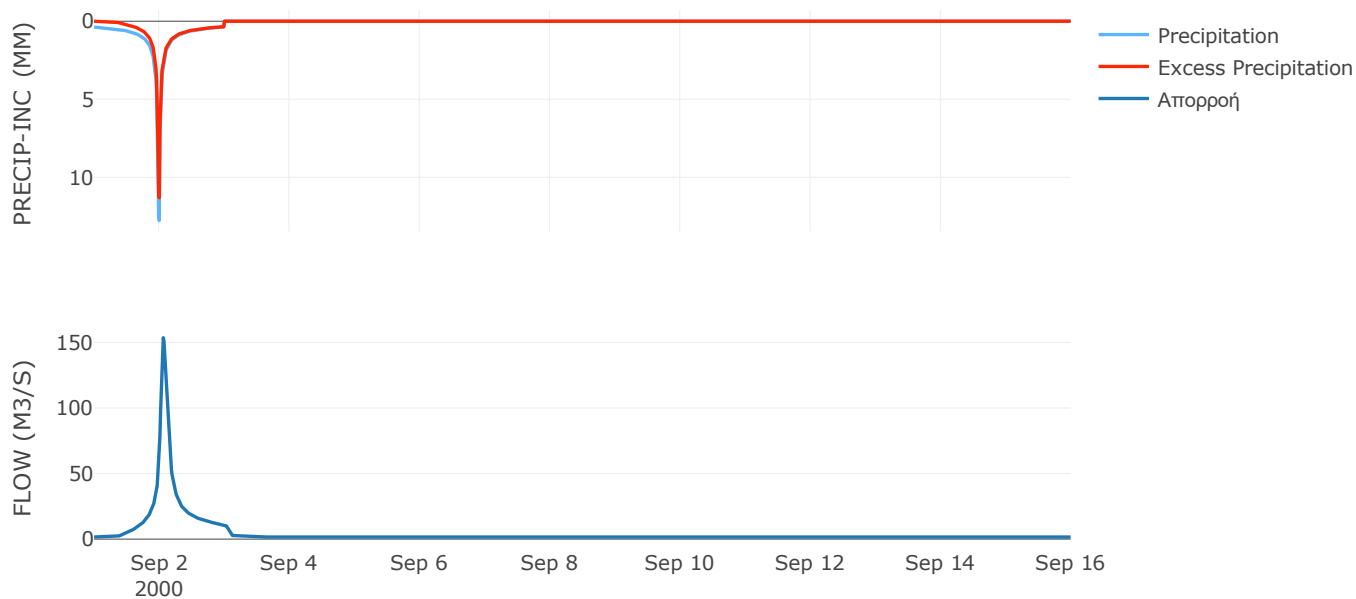
Μέθοδος
Μετασχηματισμού: SCS

Χρόνος Υστέρησης	85.96
------------------	-------

Αποτελέσματα:
EL0512FR1007

Παροχή αιχμής (M3/S)	153.6
Χρονική στιγμή αιχμής	02Sep2000, 01:30
Όγκος (MM)	251.52
Όγκος βροχόπτωσης (M3)	4.86E6
Όγκος απωλειών (M3)	1.2E6
Ενεργός Όγκος (M3)	3.65E6
Όγκος άμεσης απορροής (M3)	3.65E6
Όγκος βασικής απορροής (M3)	2.06E6

Βροχόπτωση και Απορροή



Υπολεκάνη: EL0512FR1008

Έκταση (KM2) : 12.83

Κατάντη : J6

Μέθοδος Απωλειών: SCS

Ποσοστό αδιαπέρατης επιφάνειας	0
Αριθμός Καμπύλης Απορροής-CN	85.05
Αρχικές Απώλειες	8.93

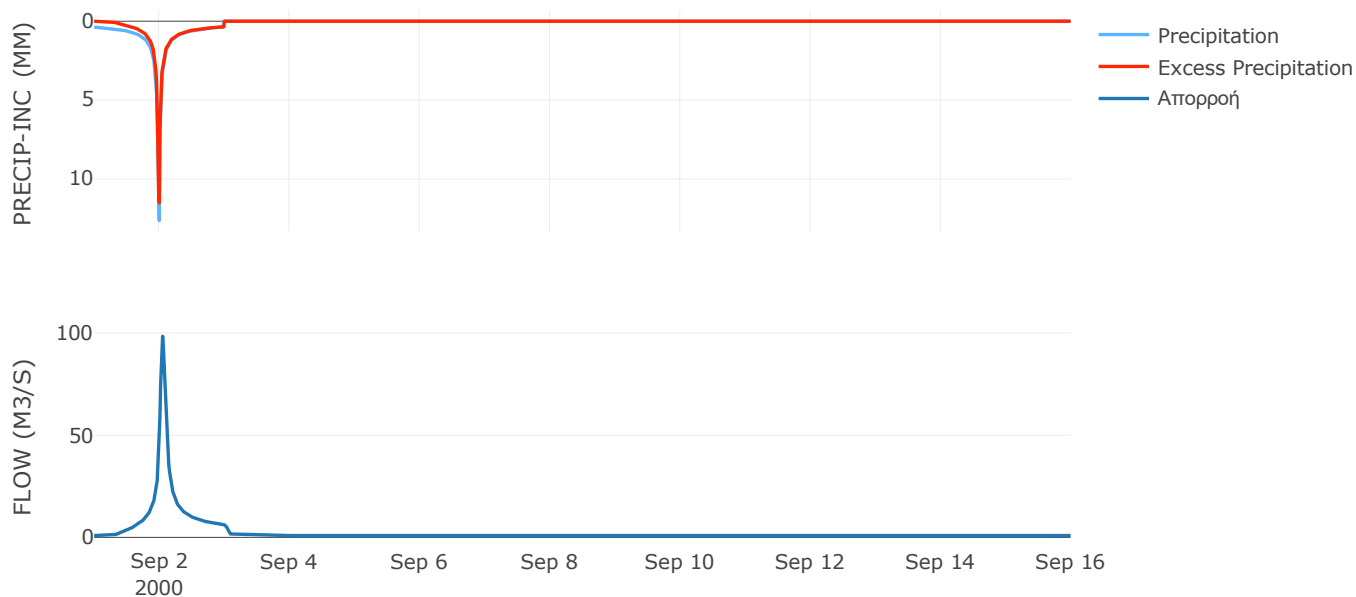
Μέθοδος
Μετασχηματισμού: SCS

Χρόνος Υστέρησης	67
------------------	----

Αποτελέσματα:
EL0512FR1008

Παροχή αιχμής (M3/S)	98.42
Χρονική στιγμή αιχμής	02Sep2000, 01:15
Όγκος (MM)	257
Όγκος βροχόπτωσης (M3)	2.72E6
Όγκος απωλειών (M3)	5.84E5
Ενεργός Όγκος (M3)	2.13E6
Όγκος άμεσης απορροής (M3)	2.13E6
Όγκος βασικής απορροής (M3)	1.16E6

Βροχόπτωση και Απορροή



Υπολεκάνη: EL0512FR1009

Έκταση (KM2) : 9.15

Κατάντη : J7

Μέθοδος Απωλειών: SCS

Ποσοστό αδιαπέρατης επιφάνειας	0
Αριθμός Καμπύλης Απορροής-CN	85.16
Αρχικές Απώλειες	8.85

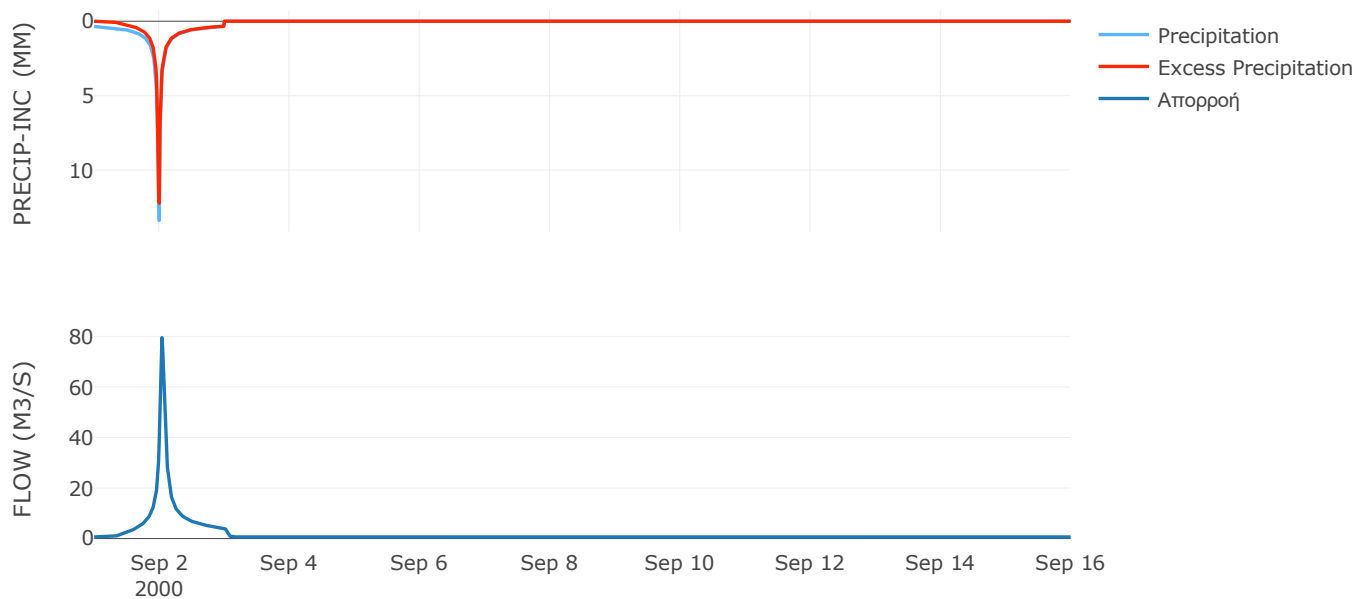
Μέθοδος
Μετασχηματισμού: SCS

Χρόνος Υστέρησης	55.81
------------------	-------

Αποτελέσματα:
EL0512FR1009

Παροχή αιχμής (M3/S)	79.49
Χρονική στιγμή αιχμής	02Sep2000, 01:00
Όγκος (MM)	256.9
Όγκος βροχόπτωσης (M3)	1.93E6
Όγκος απωλειών (M3)	4.13E5
Ενεργός Όγκος (M3)	1.52E6
Όγκος άμεσης απορροής (M3)	1.52E6
Όγκος βασικής απορροής (M3)	8.3E5

Βροχόπτωση και Απορροή



Υπολεκάνη: EL0512FR1010

Έκταση (KM2) : 37.24

Κατάντη : J7

Μέθοδος Απωλειών: SCS

Ποσοστό αδιαπέρατης επιφάνειας	0
Αριθμός Καμπύλης Απορροής-CN	88.65
Αρχικές Απώλειες	6.5

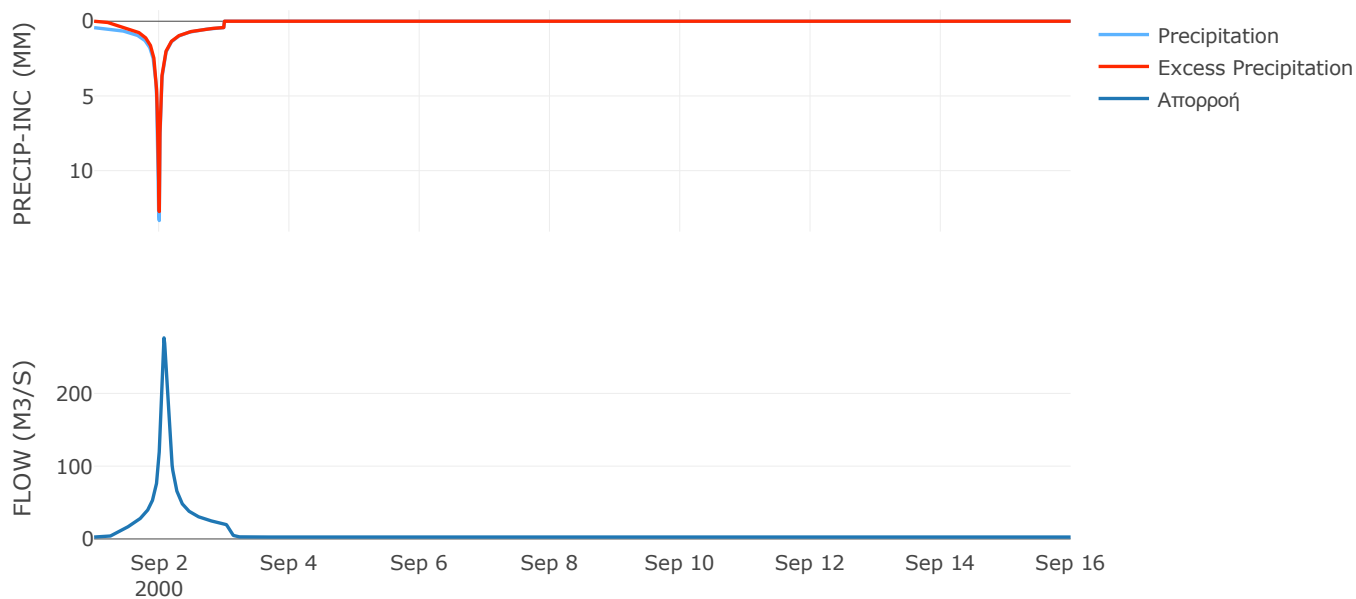
Μέθοδος
Μετασχηματισμού: SCS

Χρόνος Υστέρησης	96.48
------------------	-------

Αποτελέσματα:
EL0512FR1010

Παροχή αιχμής (M3/S)	276.34
Χρονική στιγμή αιχμής	02Sep2000, 01:45
Όγκος (MM)	292.7
Όγκος βροχόπτωσης (M3)	8.83E6
Όγκος απωλειών (M3)	1.3E6
Ενεργός Όγκος (M3)	7.52E6
Όγκος άμεσης απορροής (M3)	7.52E6
Όγκος βασικής απορροής (M3)	3.38E6

Βροχόπτωση και Απορροή



Υπολεκάνη: EL0512FR1011

Έκταση (KM2) : 16.64

Κατάντη : J8

Μέθοδος Απωλειών: SCS

Ποσοστό αδιαπέρατης επιφάνειας	0
Αριθμός Καμπύλης Απορροής-CN	81.73
Αρχικές Απώλειες	11.36

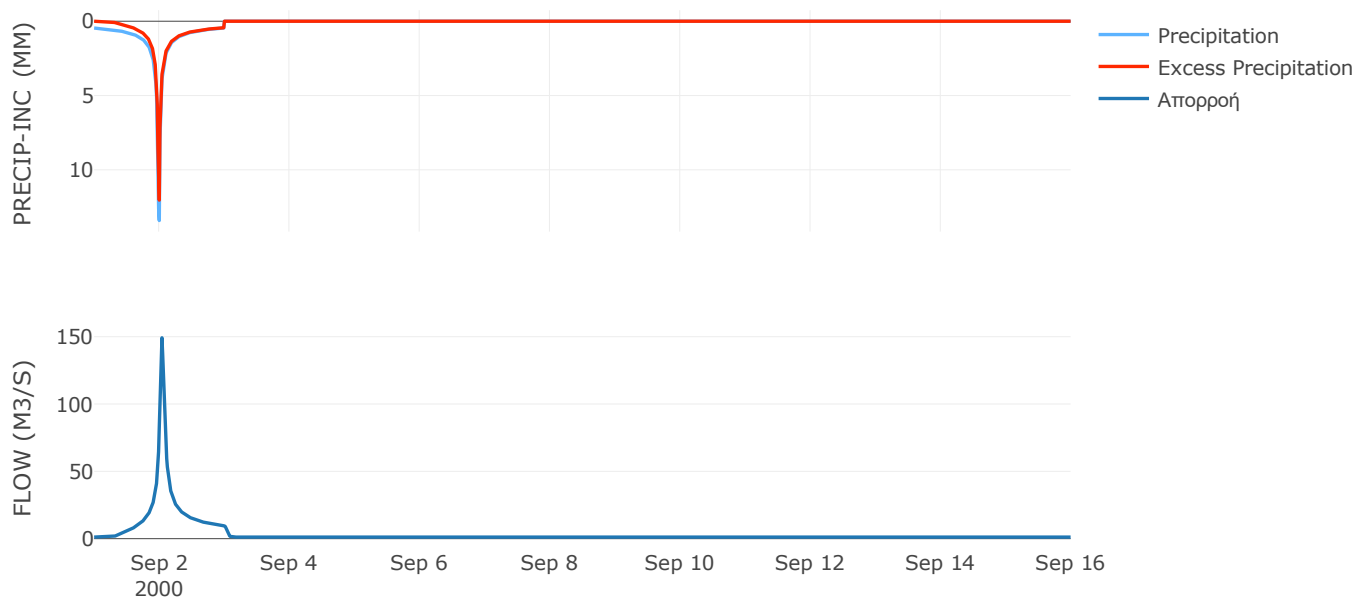
Μέθοδος
Μετασχηματισμού: SCS

Χρόνος Υστέρησης	50.37
------------------	-------

Αποτελέσματα:
EL0512FR1011

Παροχή αιχμής (M3/S)	149.19
Χρονική στιγμή αιχμής	02Sep2000, 01:00
Όγκος (MM)	279.96
Όγκος βροχόπτωσης (M3)	4.1E6
Όγκος απωλειών (M3)	9.5E5
Ενεργός Όγκος (M3)	3.15E6
Όγκος άμεσης απορροής (M3)	3.15E6
Όγκος βασικής απορροής (M3)	1.51E6

Βροχόπτωση και Απορροή



Υπολεκάνη: EL0512FR1012

Έκταση (KM2) : 37.82

Κατάντη : J9

Μέθοδος Απωλειών: SCS

Ποσοστό αδιαπέρατης επιφάνειας	0
Αριθμός Καμπύλης Απορροής-CN	81.26
Αρχικές Απώλειες	11.71

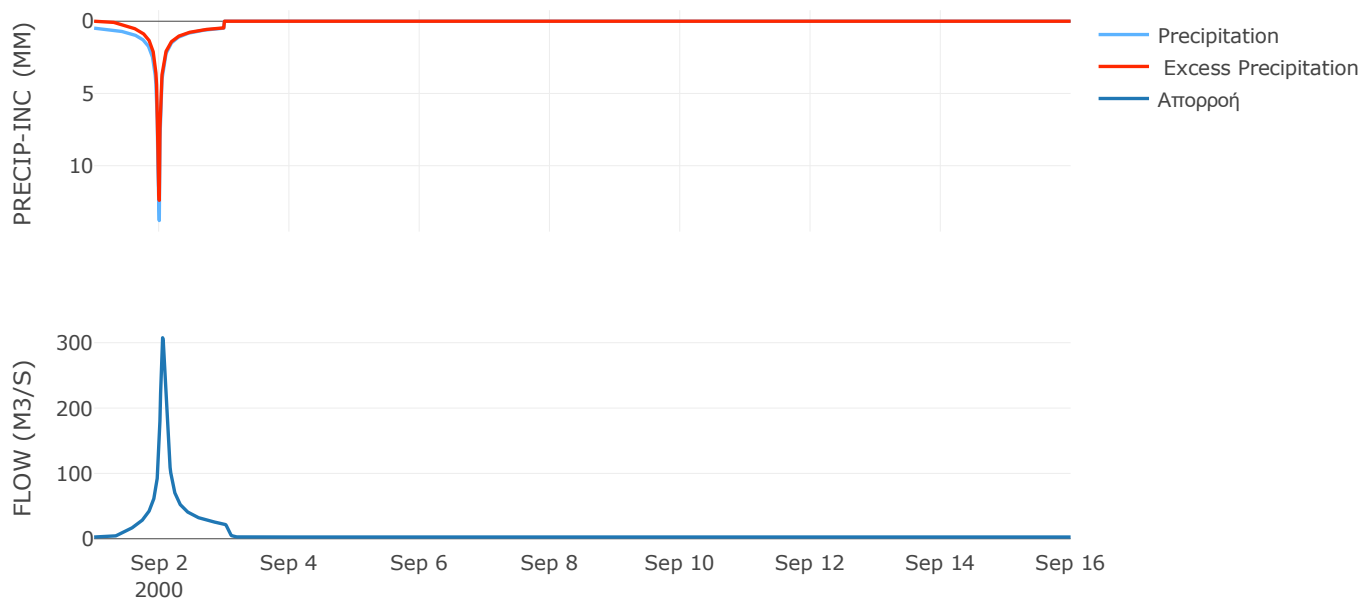
Μέθοδος
Μετασχηματισμού: SCS

Χρόνος Υστέρησης	72.95
------------------	-------

Αποτελέσματα:
EL0512FR1012

Παροχή αιχμής (M3/S)	307.66
Χρονική στιγμή αιχμής	02Sep2000, 01:15
Όγκος (MM)	288.05
Όγκος βροχόπτωσης (M3)	9.69E6
Όγκος απωλειών (M3)	2.23E6
Ενεργός Όγκος (M3)	7.46E6
Όγκος άμεσης απορροής (M3)	7.46E6
Όγκος βασικής απορροής (M3)	3.43E6

Βροχόπτωση και Απορροή



Υπολεκάνη: EL0512FR1013

Έκταση (KM2) : 42.56

Κατάντη : J10

Μέθοδος Απωλειών: SCS

Ποσοστό αδιαπέρατης επιφάνειας	0
Αριθμός Καμπύλης Απορροής-CN	84.49
Αρχικές Απώλειες	9.32

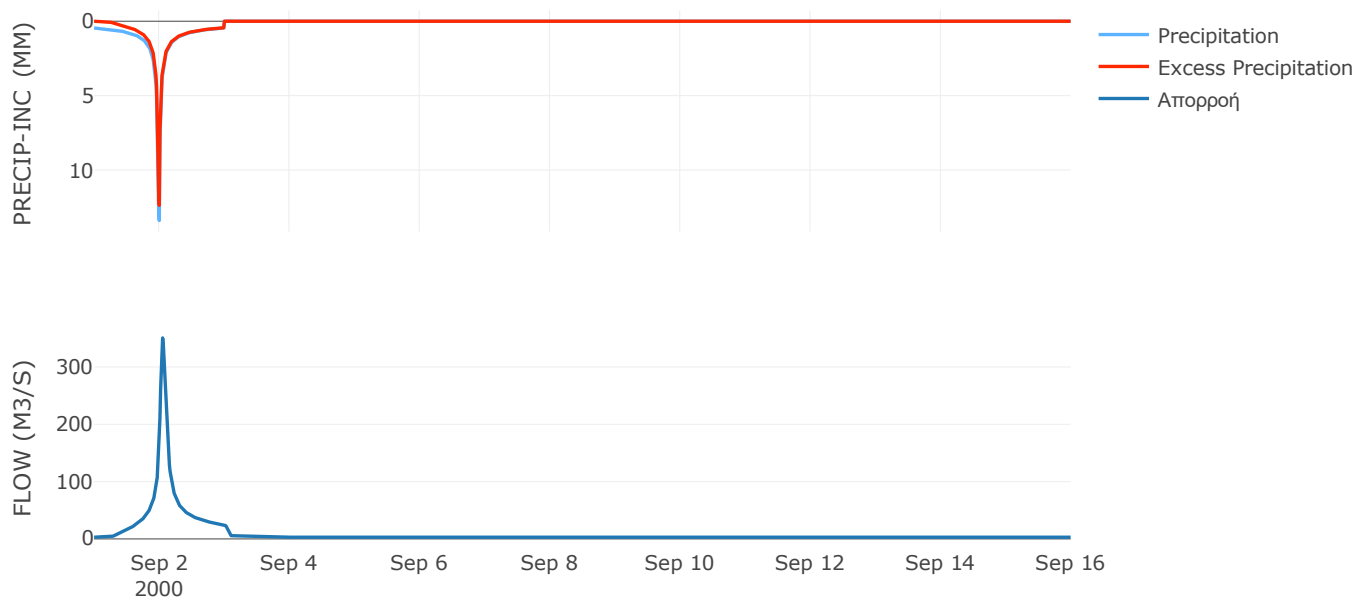
Μέθοδος
Μετασχηματισμού: SCS

Χρόνος Υστέρησης	70.58
------------------	-------

Αποτελέσματα:
EL0512FR1013

Παροχή αιχμής (M3/S)	350.69
Χρονική στιγμή αιχμής	02Sep2000, 01:15
Όγκος (MM)	287.73
Όγκος βροχόπτωσης (M3)	1.04E7
Όγκος απωλειών (M3)	2.05E6
Ενεργός Όγκος (M3)	8.38E6
Όγκος άμεσης απορροής (M3)	8.38E6
Όγκος βασικής απορροής (M3)	3.86E6

Βροχόπτωση και Απορροή



Υπολεκάνη: EL0512FR1014

Έκταση (KM2) : 20.41

Κατάντη : J25

Μέθοδος Απωλειών: SCS

Ποσοστό αδιαπέρατης επιφάνειας	0
Αριθμός Καμπύλης Απορροής-CN	83.76
Αρχικές Απώλειες	9.85

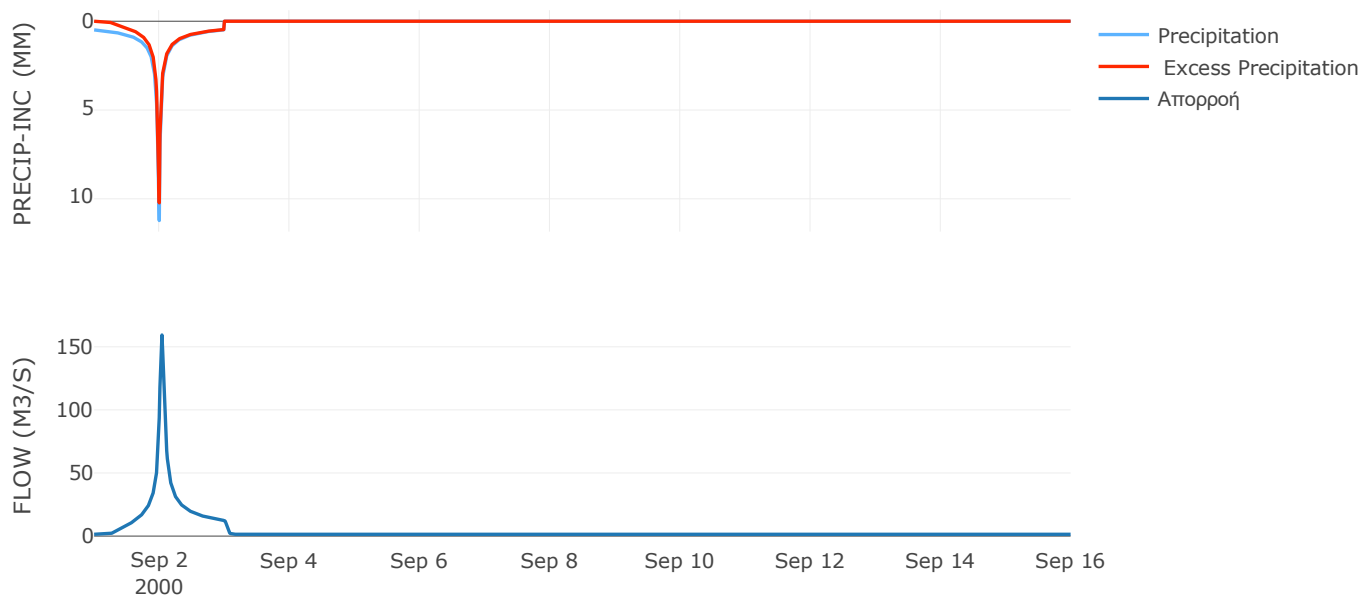
Μέθοδος
Μετασχηματισμού: SCS

Χρόνος Υστέρησης	49.7
------------------	------

Αποτελέσματα:
EL0512FR1014

Παροχή αιχμής (M3/S)	159.35
Χρονική στιγμή αιχμής	02Sep2000, 01:00
Όγκος (MM)	277.86
Όγκος βροχόπτωσης (M3)	4.85E6
Όγκος απωλειών (M3)	1.03E6
Ενεργός Όγκος (M3)	3.82E6
Όγκος άμεσης απορροής (M3)	3.82E6
Όγκος βασικής απορροής (M3)	1.85E6

Βροχόπτωση και Απορροή



Υπολεκάνη: EL0512FR1015

Έκταση (KM2) : 55.38

Κατάντη : J26

Μέθοδος Απωλειών: SCS

Ποσοστό αδιαπέρατης επιφάνειας	0
Αριθμός Καμπύλης Απορροής-CN	83.5
Αρχικές Απώλειες	10.04

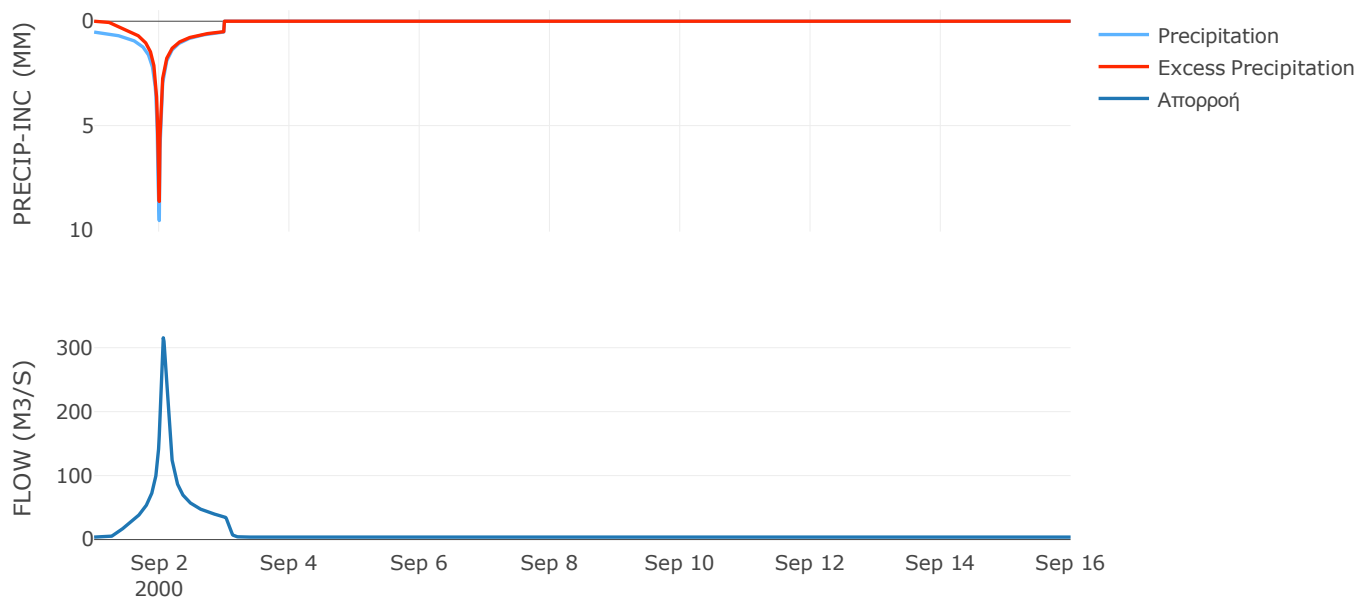
Μέθοδος
Μετασχηματισμού: SCS

Χρόνος Υστέρησης	84.72
------------------	-------

Αποτελέσματα:
EL0512FR1015

Παροχή αιχμής (M3/S)	315.46
Χρονική στιγμή αιχμής	02Sep2000, 01:30
Όγκος (MM)	271.7
Όγκος βροχόπτωσης (M3)	1.28E7
Όγκος απωλειών (M3)	2.82E6
Ενεργός Όγκος (M3)	1E7
Όγκος άμεσης απορροής (M3)	1E7
Όγκος βασικής απορροής (M3)	5.02E6

Βροχόπτωση και Απορροή



Υπολεκάνη: EL0512FR1016

Έκταση (KM2) : 87.24

Κατάντη : J26

Μέθοδος Απωλειών: SCS

Ποσοστό αδιαπέρατης επιφάνειας	0
Αριθμός Καμπύλης Απορροής-CN	86.19
Αρχικές Απώλειες	8.14

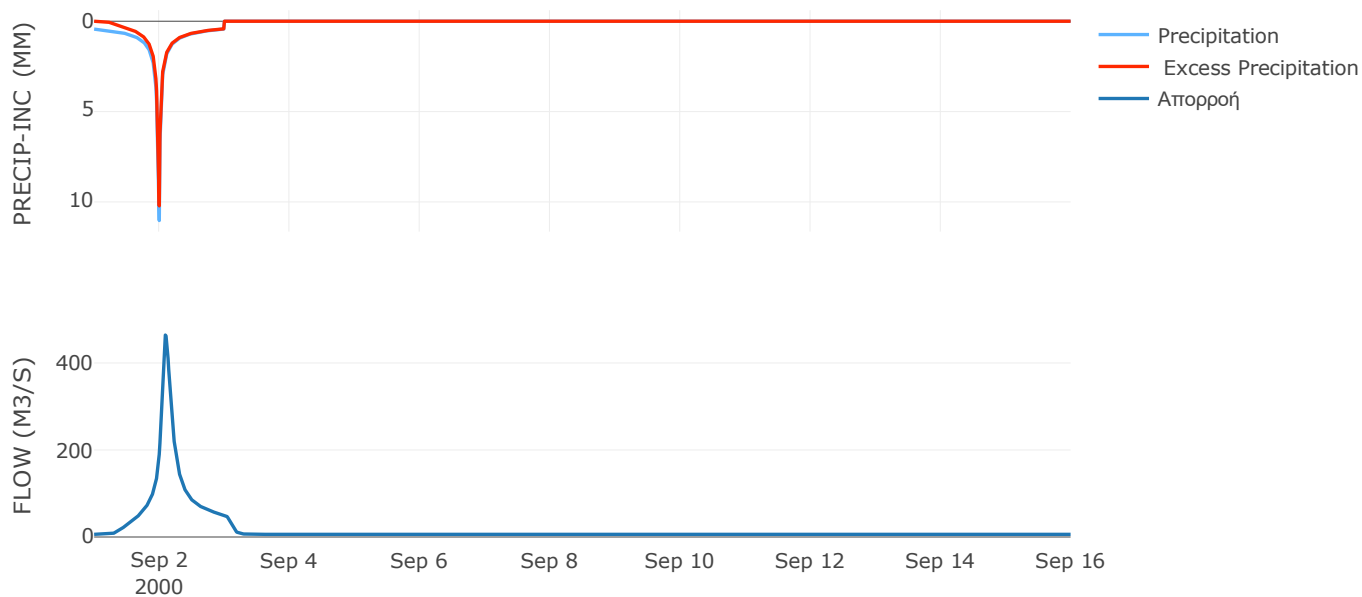
Μέθοδος
Μετασχηματισμού: SCS

Χρόνος Υστέρησης	132
------------------	-----

Αποτελέσματα:
EL0512FR1016

Παροχή αιχμής (M3/S)	464.19
Χρονική στιγμή αιχμής	02Sep2000, 02:15
Όγκος (MM)	268.98
Όγκος βροχόπτωσης (M3)	1.92E7
Όγκος απωλειών (M3)	3.69E6
Ενεργός Όγκος (M3)	1.56E7
Όγκος άμεσης απορροής (M3)	1.56E7
Όγκος βασικής απορροής (M3)	7.91E6

Βροχόπτωση και Απορροή



Υπολεκάνη: EL0512FR1017

Έκταση (KM2) : 29.09

Κατάντη : J27

Μέθοδος Απωλειών: SCS

Ποσοστό αδιαπέρατης επιφάνειας	0
Αριθμός Καμπύλης Απορροής-CN	82.02
Αρχικές Απώλειες	11.13

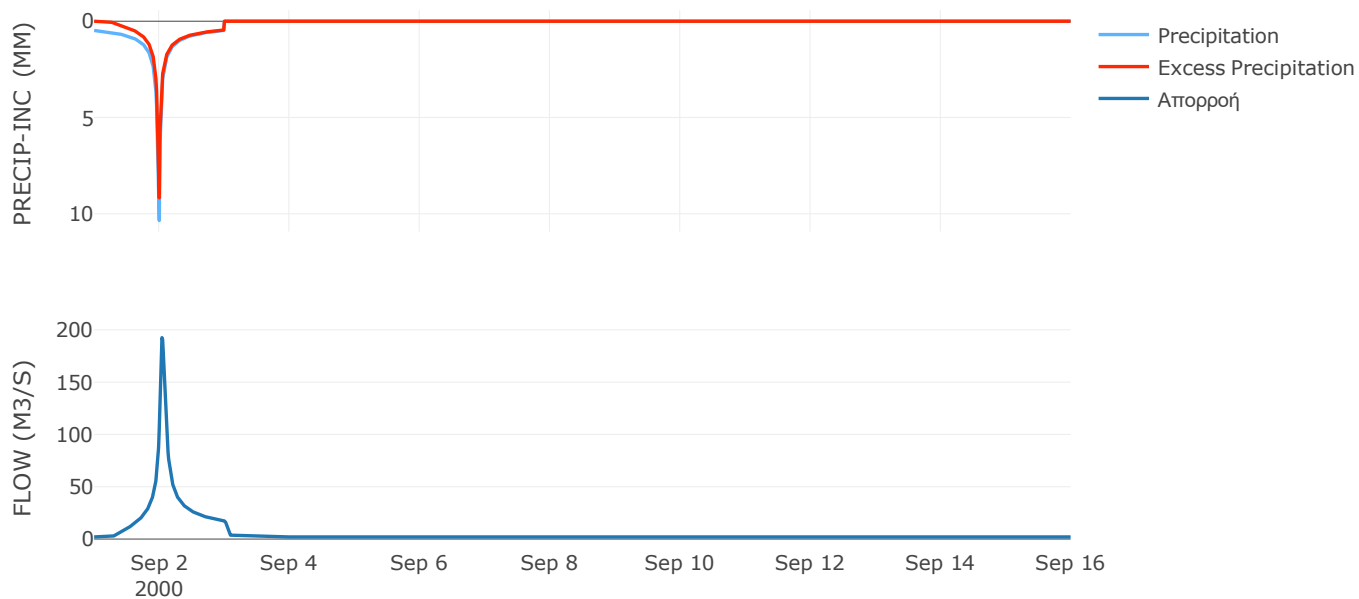
Μέθοδος
Μετασχηματισμού: SCS

Χρόνος Υστέρησης	61.01
------------------	-------

Αποτελέσματα:
EL0512FR1017

Παροχή αιχμής (M3/S)	192.54
Χρονική στιγμή αιχμής	02Sep2000, 01:00
Όγκος (MM)	263.08
Όγκος βροχόπτωσης (M3)	6.62E6
Όγκος απωλειών (M3)	1.61E6
Ενεργός Όγκος (M3)	5.01E6
Όγκος άμεσης απορροής (M3)	5.01E6
Όγκος βασικής απορροής (M3)	2.64E6

Βροχόπτωση και Απορροή



Υπολεκάνη: EL0512FR1018

Έκταση (KM2) : 36.97

Κατάντη : J24

Μέθοδος Απωλειών: SCS

Ποσοστό αδιαπέρατης επιφάνειας	0
Αριθμός Καμπύλης Απορροής-CN	85.66
Αρχικές Απώλειες	8.5

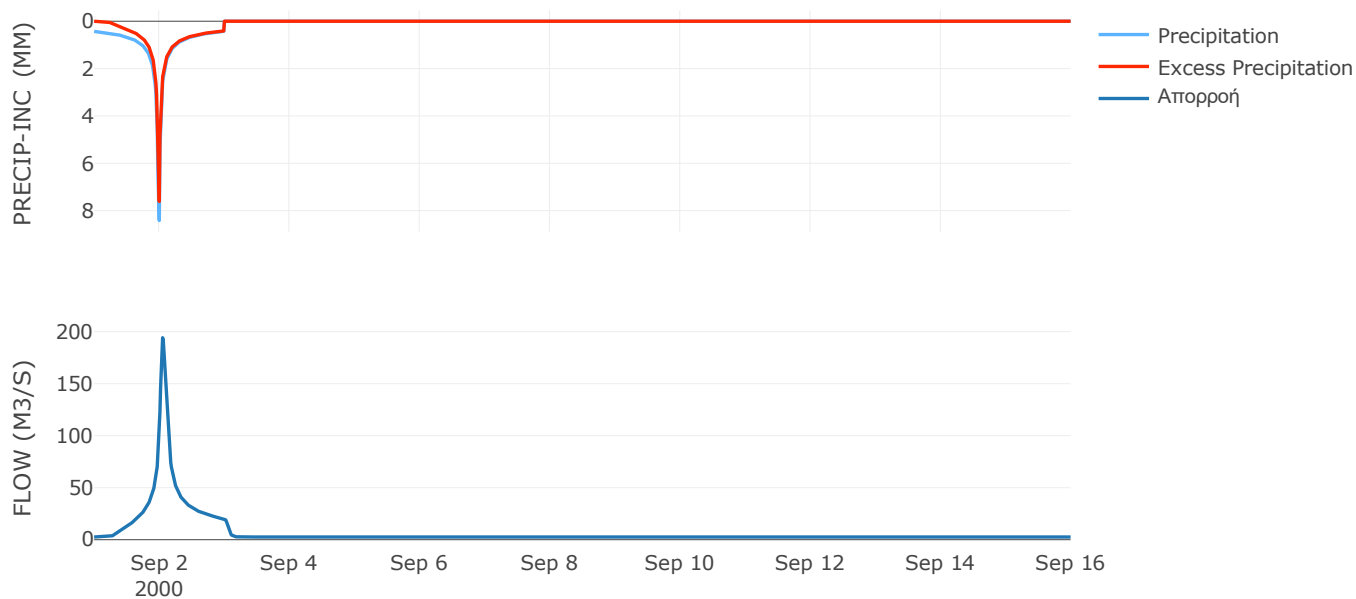
Μέθοδος
Μετασχηματισμού: SCS

Χρόνος Υστέρησης	73.13
------------------	-------

Αποτελέσματα:
EL0512FR1018

Παροχή αιχμής (M3/S)	194.21
Χρονική στιγμή αιχμής	02Sep2000, 01:15
Όγκος (MM)	243.61
Όγκος βροχόπτωσης (M3)	7.25E6
Όγκος απωλειών (M3)	1.6E6
Ενεργός Όγκος (M3)	5.65E6
Όγκος άμεσης απορροής (M3)	5.65E6
Όγκος βασικής απορροής (M3)	3.35E6

Βροχόπτωση και Απορροή



Υπολεκάνη: EL0512FR1019

Έκταση (KM2) : 88.25

Κατάντη : J24

Μέθοδος Απωλειών: SCS

Ποσοστό αδιαπέρατης επιφάνειας	0
Αριθμός Καμπύλης Απορροής-CN	84.96
Αρχικές Απώλειες	8.99

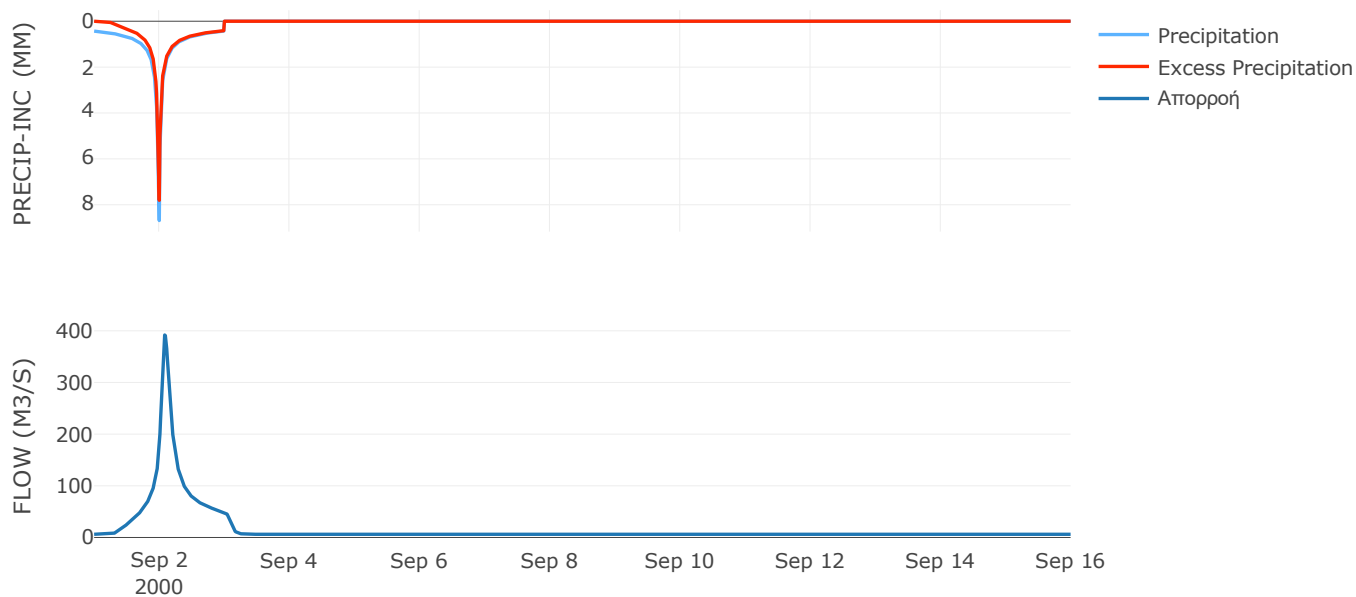
Μέθοδος
Μετασχηματισμού: SCS

Χρόνος Υστέρησης	118.24
------------------	--------

Αποτελέσματα:
EL0512FR1019

Παροχή αιχμής (M3/S)	391.95
Χρονική στιγμή αιχμής	02Sep2000, 02:00
Όγκος (MM)	244.42
Όγκος βροχόπτωσης (M3)	1.76E7
Όγκος απωλειών (M3)	4E6
Ενεργός Όγκος (M3)	1.36E7
Όγκος άμεσης απορροής (M3)	1.36E7
Όγκος βασικής απορροής (M3)	8.01E6

Βροχόπτωση και Απορροή



Υπολεκάνη: EL0512FR1020

Έκταση (KM2) : 29.81

Κατάντη : J23

Μέθοδος Απωλειών: SCS

Ποσοστό αδιαπέρατης επιφάνειας	0
Αριθμός Καμπύλης Απορροής-CN	84.16
Αρχικές Απώλειες	9.56

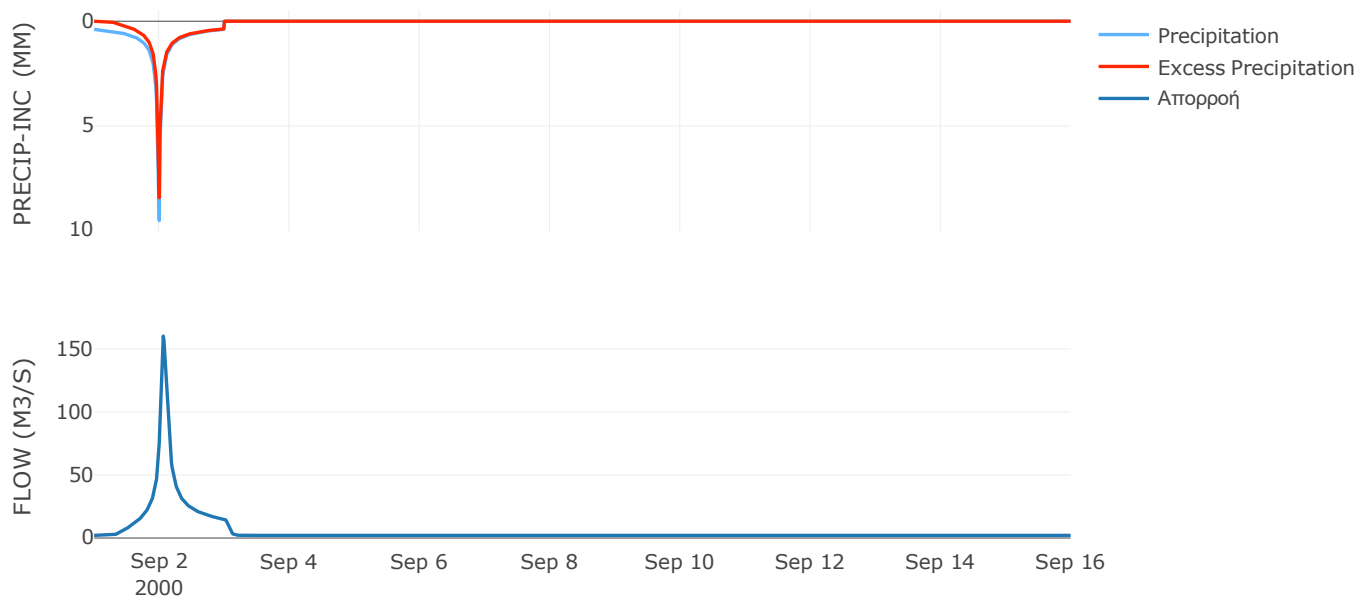
Μέθοδος
Μετασχηματισμού: SCS

Χρόνος Υστέρησης	82.89
------------------	-------

Αποτελέσματα:
EL0512FR1020

Παροχή αιχμής (M3/S)	160.13
Χρονική στιγμή αιχμής	02Sep2000, 01:30
Όγκος (MM)	237.33
Όγκος βροχόπτωσης (M3)	5.79E6
Όγκος απωλειών (M3)	1.42E6
Ενεργός Όγκος (M3)	4.37E6
Όγκος άμεσης απορροής (M3)	4.37E6
Όγκος βασικής απορροής (M3)	2.7E6

Βροχόπτωση και Απορροή



Υπολεκάνη: EL0512FR1021

Έκταση (KM2) : 1.65

Κατάντη : J23

Μέθοδος Απωλειών: SCS

Ποσοστό αδιαπέρατης επιφάνειας	0
Αριθμός Καμπύλης Απορροής-CN	72.44
Αρχικές Απώλειες	19.33

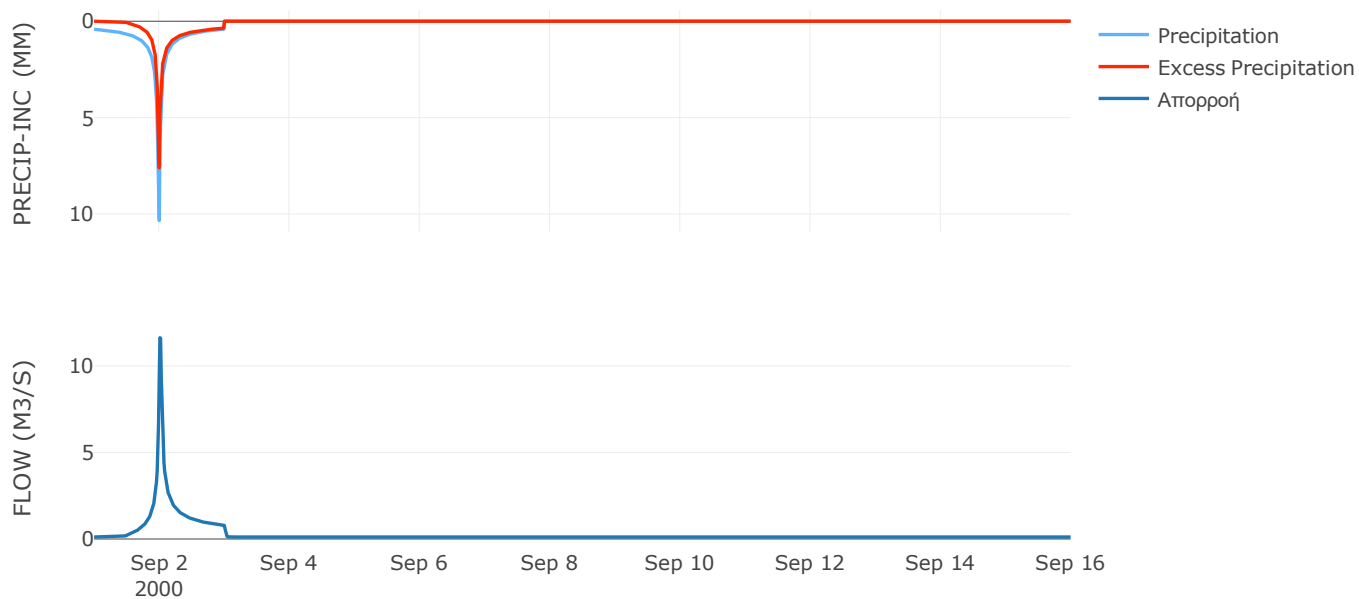
Μέθοδος
Μετασχηματισμού: SCS

Χρόνος Υστέρησης	17.86
------------------	-------

Αποτελέσματα:
EL0512FR1021

Παροχή αιχμής (M3/S)	11.64
Χρονική στιγμή αιχμής	02Sep2000, 00:15
Όγκος (MM)	215.3
Όγκος βροχόπτωσης (M3)	3.42E5
Όγκος απωλειών (M3)	1.37E5
Ενεργός Όγκος (M3)	2.05E5
Όγκος άμεσης απορροής (M3)	2.05E5
Όγκος βασικής απορροής (M3)	1.5E5

Βροχόπτωση και Απορροή



Υπολεκάνη: EL0512FR1024

Έκταση (KM2) : 104.31

Κατάντη : J13

Μέθοδος Απωλειών: SCS

Ποσοστό αδιαπέρατης επιφάνειας	0
Αριθμός Καμπύλης Απορροής-CN	87.83
Αρχικές Απώλειες	7.04

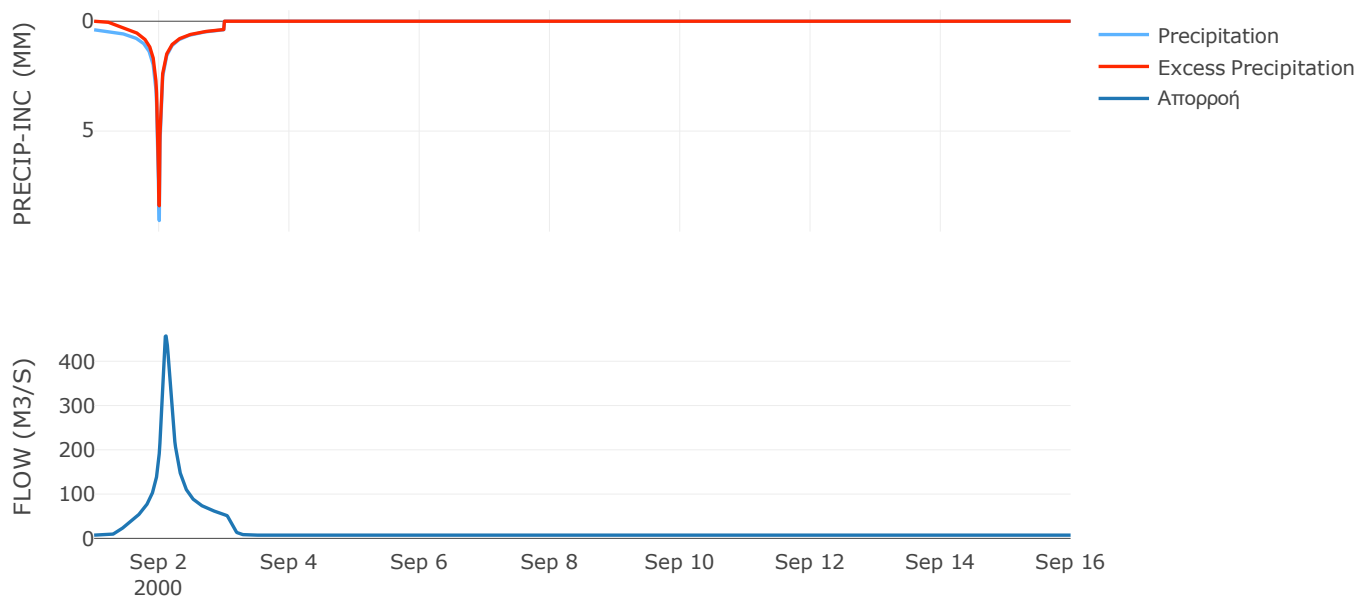
Μέθοδος
Μετασχηματισμού: SCS

Χρόνος Υστέρησης	136.81
------------------	--------

Αποτελέσματα:
EL0512FR1024

Παροχή αιχμής (M3/S)	457.1
Χρονική στιγμή αιχμής	02Sep2000, 02:30
Όγκος (MM)	244.88
Όγκος βροχόπτωσης (M3)	1.99E7
Όγκος απωλειών (M3)	3.81E6
Ενεργός Όγκος (M3)	1.61E7
Όγκος άμεσης απορροής (M3)	1.61E7
Όγκος βασικής απορροής (M3)	9.46E6

Βροχόπτωση και Απορροή



Υπολεκάνη: EL0512FR1025

Έκταση (KM2) : 99.97

Κατάντη : J13

Μέθοδος Απωλειών: SCS

Ποσοστό αδιαπέρατης επιφάνειας	0
Αριθμός Καμπύλης Απορροής-CN	86.78
Αρχικές Απώλειες	7.74

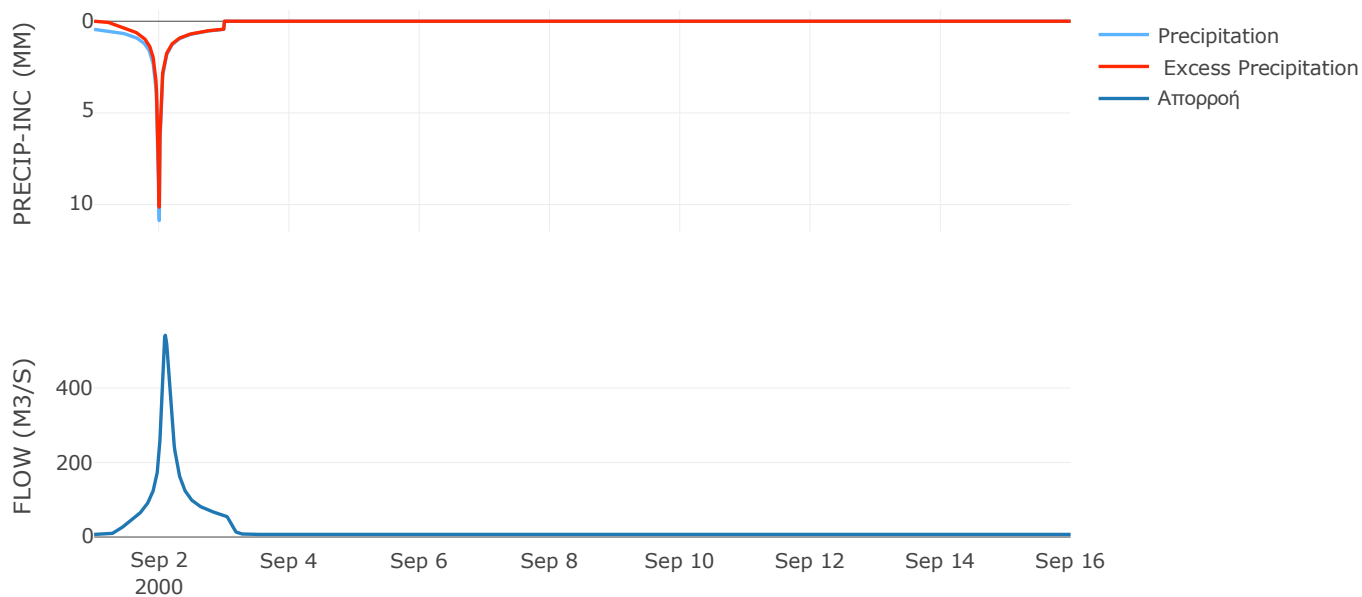
Μέθοδος
Μετασχηματισμού: SCS

Χρόνος Υστέρησης	127.22
------------------	--------

Αποτελέσματα:
EL0512FR1025

Παροχή αιχμής (M3/S)	541.72
Χρονική στιγμή αιχμής	02Sep2000, 02:15
Όγκος (MM)	272.54
Όγκος βροχόπτωσης (M3)	2.22E7
Όγκος απωλειών (M3)	4.05E6
Ενεργός Όγκος (M3)	1.82E7
Όγκος άμεσης απορροής (M3)	1.82E7
Όγκος βασικής απορροής (M3)	9.07E6

Βροχόπτωση και Απορροή



Υπολεκάνη: EL0512FR1026

Έκταση (KM2) : 78.82

Κατάνη : J12

Μέθοδος Απωλειών: SCS

Ποσοστό αδιαπέρατης επιφάνειας	0
Αριθμός Καμπύλης Απορροής-CN	80.77
Αρχικές Απώλειες	12.1

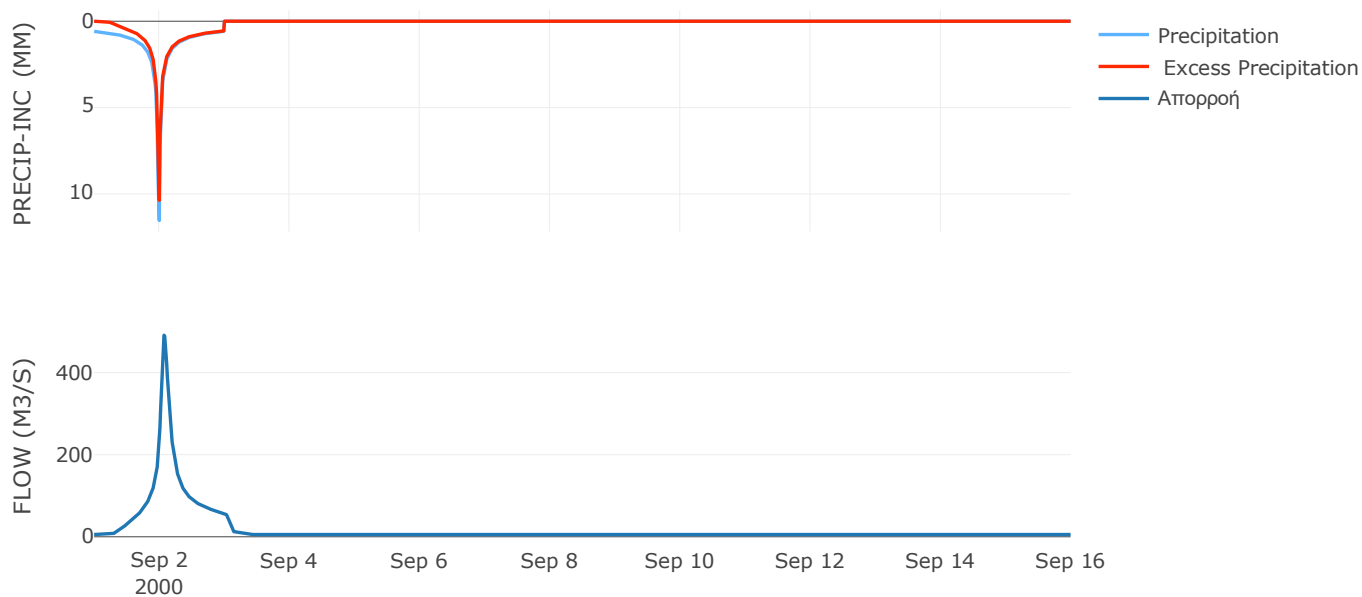
Μέθοδος
Μετασχηματισμού: SCS

Χρόνος Υστέρησης	103.85
------------------	--------

Αποτελέσματα:
EL0512FR1026

Παροχή αιχμής (M3/S)	490.89
Χρονική στιγμή αιχμής	02Sep2000, 01:45
Όγκος (MM)	298.07
Όγκος βροχόπτωσης (M3)	2.12E7
Όγκος απωλειών (M3)	4.81E6
Ενεργός Όγκος (M3)	1.63E7
Όγκος άμεσης απορροής (M3)	1.63E7
Όγκος βασικής απορροής (M3)	7.15E6

Βροχόπτωση και Απορροή



Υπολεκάνη: EL0512FR1027

Έκταση (KM2) : 79.87

Κατάντη : J31

Μέθοδος Απωλειών: SCS

Ποσοστό αδιαπέρατης επιφάνειας	0
Αριθμός Καμπύλης Απορροής-CN	81.23
Αρχικές Απώλειες	11.74

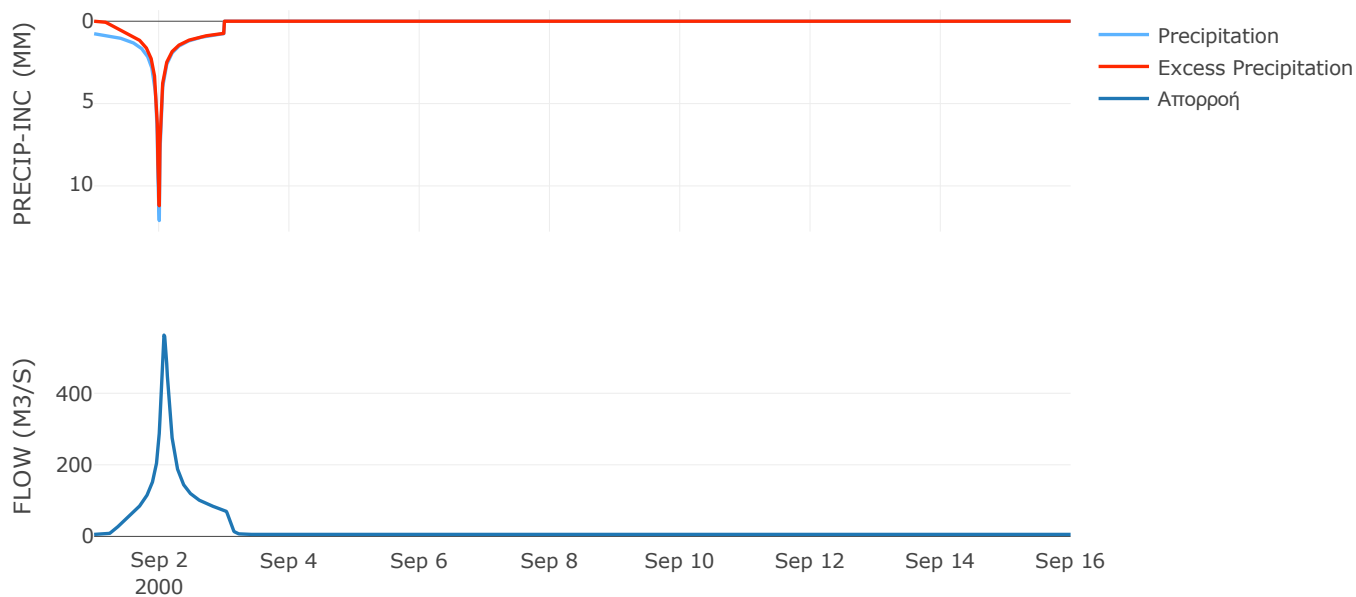
Μέθοδος
Μετασχηματισμού: SCS

Χρόνος Υστέρησης	102.62
------------------	--------

Αποτελέσματα:
EL0512FR1027

Παροχή αιχμής (M3/S)	562.53
Χρονική στιγμή αιχμής	02Sep2000, 01:45
Όγκος (MM)	351.46
Όγκος βροχόπτωσης (M3)	2.57E7
Όγκος απωλειών (M3)	4.88E6
Ενεργός Όγκος (M3)	2.08E7
Όγκος άμεσης απορροής (M3)	2.08E7
Όγκος βασικής απορροής (M3)	7.25E6

Βροχόπτωση και Απορροή



Υπολεκάνη: EL0512FR1028

Έκταση (KM2) : 92.8

Κατάντη : J31

Μέθοδος Απωλειών: SCS

Ποσοστό αδιαπέρατης επιφάνειας	0
Αριθμός Καμπύλης Απορροής-CN	86.21
Αρχικές Απώλειες	8.13

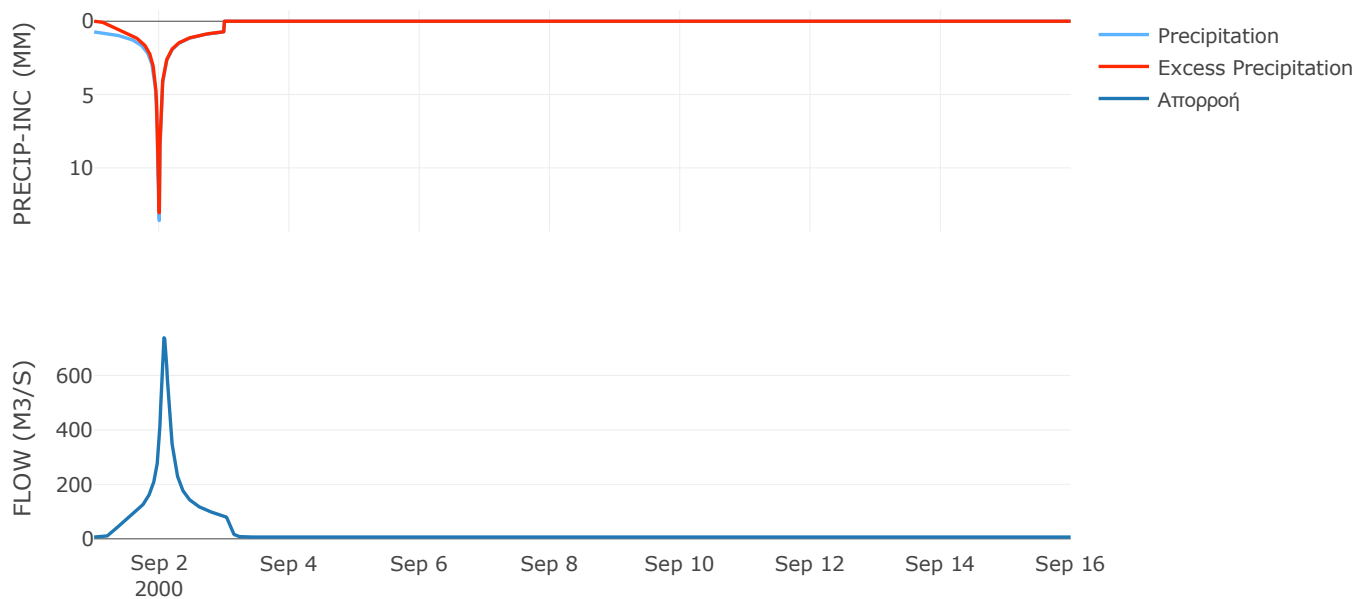
Μέθοδος
Μετασχηματισμού: SCS

Χρόνος Υστέρησης	104.94
------------------	--------

Αποτελέσματα:
EL0512FR1028

Παροχή αιχμής (M3/S)	738.25
Χρονική στιγμή αιχμής	02Sep2000, 01:45
Όγκος (MM)	374.28
Όγκος βροχόπτωσης (M3)	3.04E7
Όγκος απωλειών (M3)	4.1E6
Ενεργός Όγκος (M3)	2.63E7
Όγκος άμεσης απορροής (M3)	2.63E7
Όγκος βασικής απορροής (M3)	8.42E6

Βροχόπτωση και Απορροή



Υπολεκάνη: EL0512FR1029

Έκταση (KM2) : 88.68

Κατάντη : J22

Μέθοδος Απωλειών: SCS

Ποσοστό αδιαπέρατης επιφάνειας	0
Αριθμός Καμπύλης Απορροής-CN	82.57
Αρχικές Απώλειες	10.73

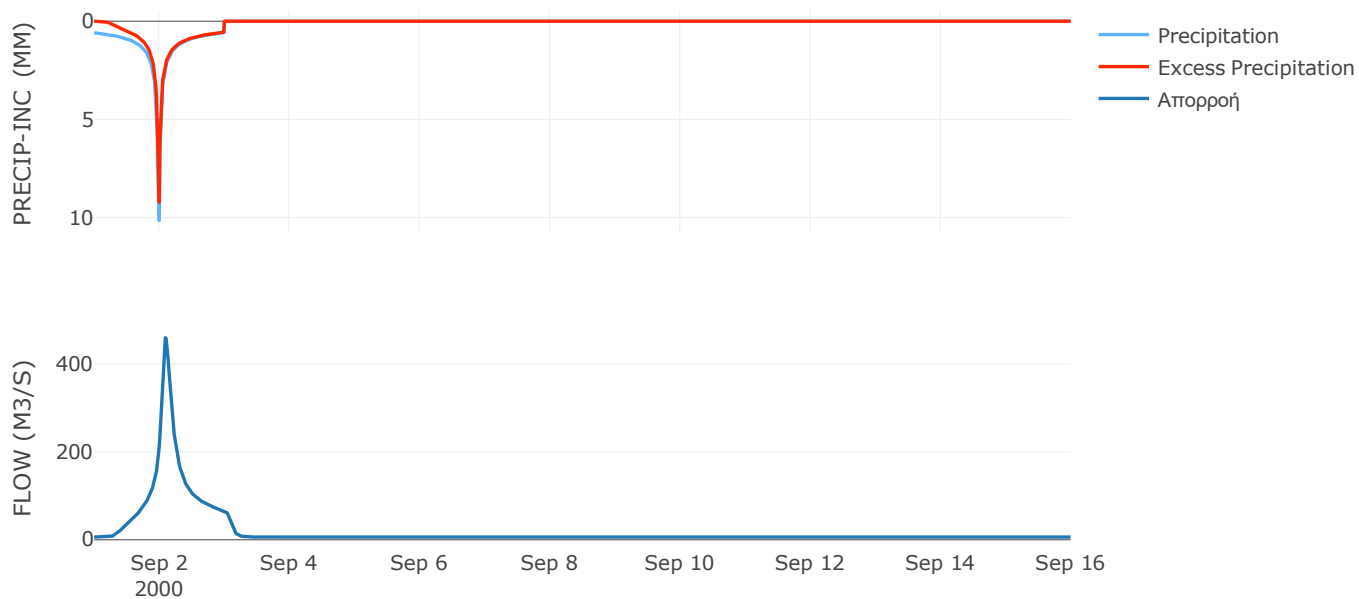
Μέθοδος
Μετασχηματισμού: SCS

Χρόνος Υστέρησης	131.29
------------------	--------

Αποτελέσματα:
EL0512FR1029

Παροχή αιχμής (M3/S)	459.21
Χρονική στιγμή αιχμής	02Sep2000, 02:15
Όγκος (MM)	291.88
Όγκος βροχόπτωσης (M3)	2.27E7
Όγκος απωλειών (M3)	4.85E6
Ενεργός Όγκος (M3)	1.78E7
Όγκος άμεσης απορροής (M3)	1.78E7
Όγκος βασικής απορροής (M3)	8.05E6

Βροχόπτωση και Απορροή



Υπολεκάνη: EL0512FR1030

Έκταση (KM2) : 54.36

Κατάντη : J22

Μέθοδος Απωλειών: SCS

Ποσοστό αδιαπέρατης επιφάνειας	0
Αριθμός Καμπύλης Απορροής-CN	72.51
Αρχικές Απώλειες	19.26

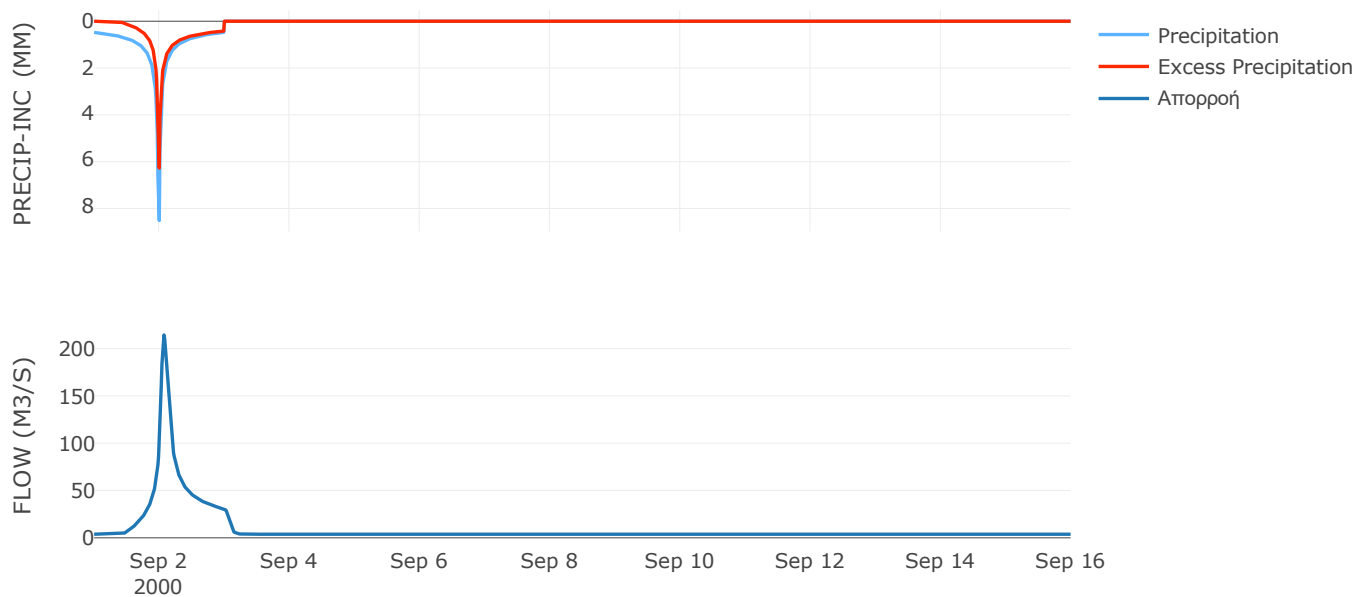
Μέθοδος
Μετασχηματισμού: SCS

Χρόνος Υστέρησης	93.36
------------------	-------

Αποτελέσματα:
EL0512FR1030

Παροχή αιχμής (M3/S)	214.44
Χρονική στιγμή αιχμής	02Sep2000, 01:45
Όγκος (MM)	217.96
Όγκος βροχόπτωσης (M3)	1.14E7
Όγκος απωλειών (M3)	4.53E6
Ενεργός Όγκος (M3)	6.92E6
Όγκος άμεσης απορροής (M3)	6.92E6
Όγκος βασικής απορροής (M3)	4.93E6

Βροχόπτωση και Απορροή



Υπολεκάνη: EL0512FR1031

Έκταση (KM2) : 44.83

Κατάντη : J14

Μέθοδος Απωλειών: SCS

Ποσοστό αδιαπέρατης επιφάνειας	0
Αριθμός Καμπύλης Απορροής-CN	79.31
Αρχικές Απώλειες	13.25

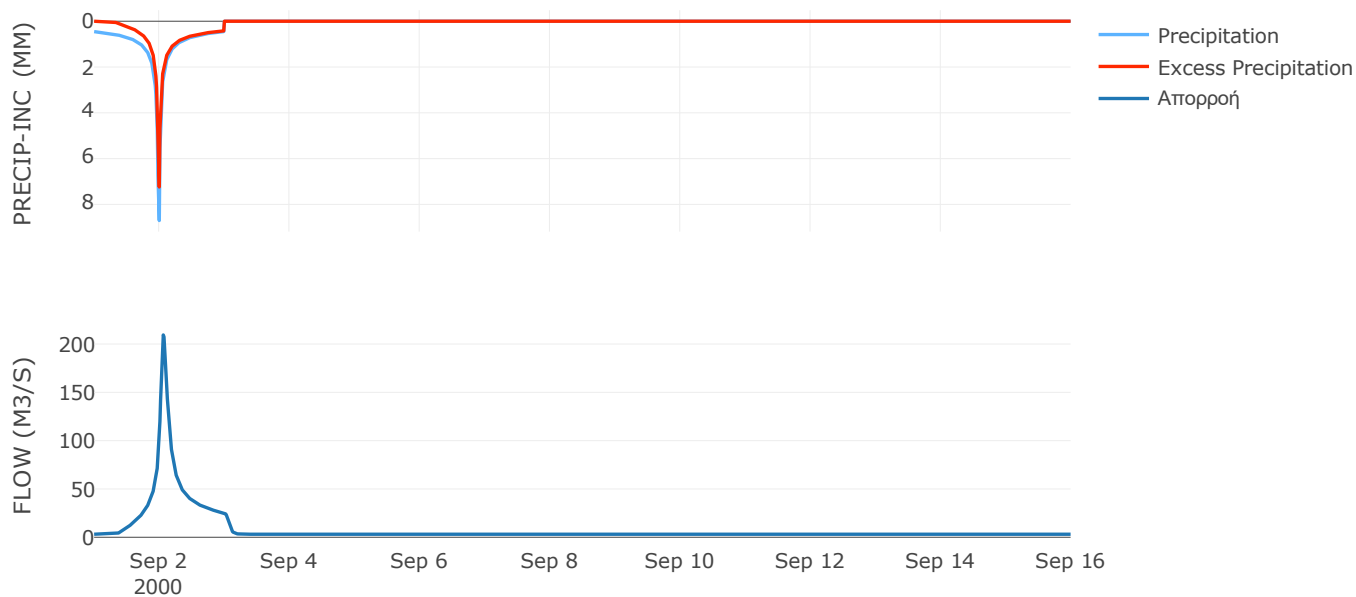
Μέθοδος
Μετασχηματισμού: SCS

Χρόνος Υστέρησης	86.4
------------------	------

Αποτελέσματα:
EL0512FR1031

Παροχή αιχμής (M3/S)	209.42
Χρονική στιγμή αιχμής	02Sep2000, 01:30
Όγκος (MM)	233.88
Όγκος βροχόπτωσης (M3)	9.22E6
Όγκος απωλειών (M3)	2.8E6
Ενεργός Όγκος (M3)	6.42E6
Όγκος άμεσης απορροής (M3)	6.42E6
Όγκος βασικής απορροής (M3)	4.07E6

Βροχόπτωση και Απορροή



Υπολεκάνη: EL0512FR1032

Έκταση (KM2) : 62.74

Κατάντη : J14

Μέθοδος Απωλειών: SCS

Ποσοστό αδιαπέρατης επιφάνειας	0
Αριθμός Καμπύλης Απορροής-CN	80.54
Αρχικές Απώλειες	12.27

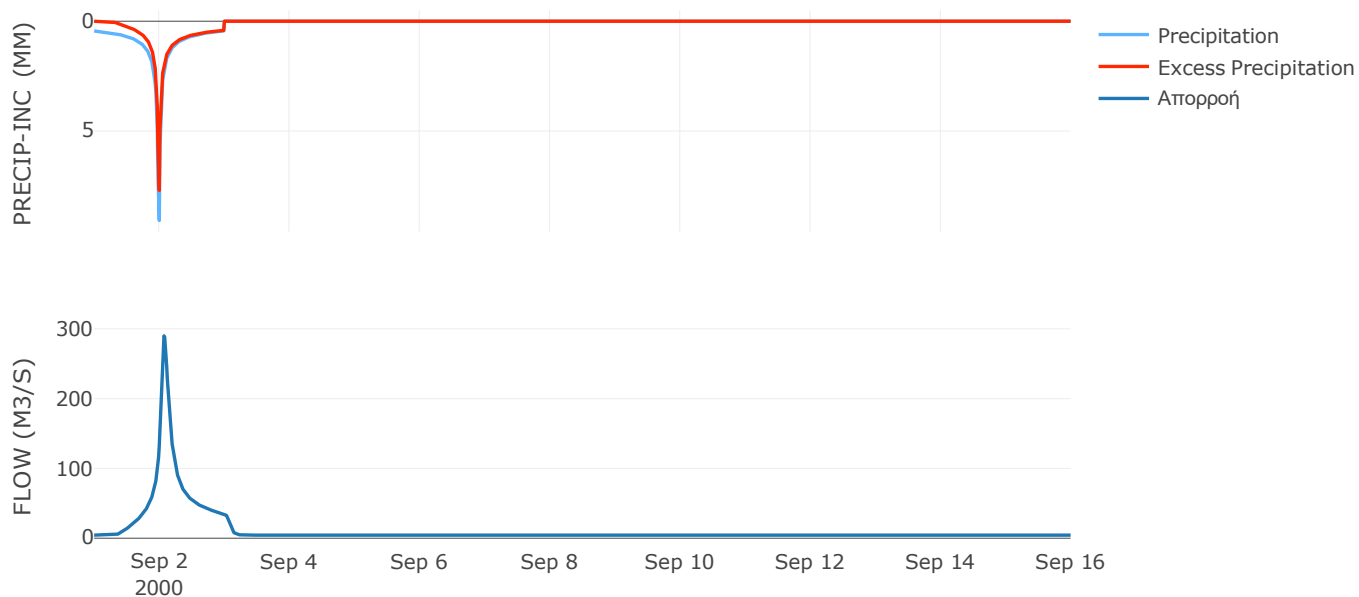
Μέθοδος
Μετασχηματισμού: SCS

Χρόνος Υστέρησης	101.69
------------------	--------

Αποτελέσματα:
EL0512FR1032

Παροχή αιχμής (M3/S)	289.93
Χρονική στιγμή αιχμής	02Sep2000, 01:45
Όγκος (MM)	237.75
Όγκος βροχόπτωσης (M3)	1.29E7
Όγκος απωλειών (M3)	3.69E6
Ενεργός Όγκος (M3)	9.23E6
Όγκος άμεσης απορροής (M3)	9.23E6
Όγκος βασικής απορροής (M3)	5.69E6

Βροχόπτωση και Απορροή



Υπολεκάνη: EL0512FR1033

Έκταση (KM2) : 25.85

Κατάντη : J30

Μέθοδος Απωλειών: SCS

Ποσοστό αδιαπέρατης επιφάνειας	0
Αριθμός Καμπύλης Απορροής-CN	79.39
Αρχικές Απώλειες	13.19

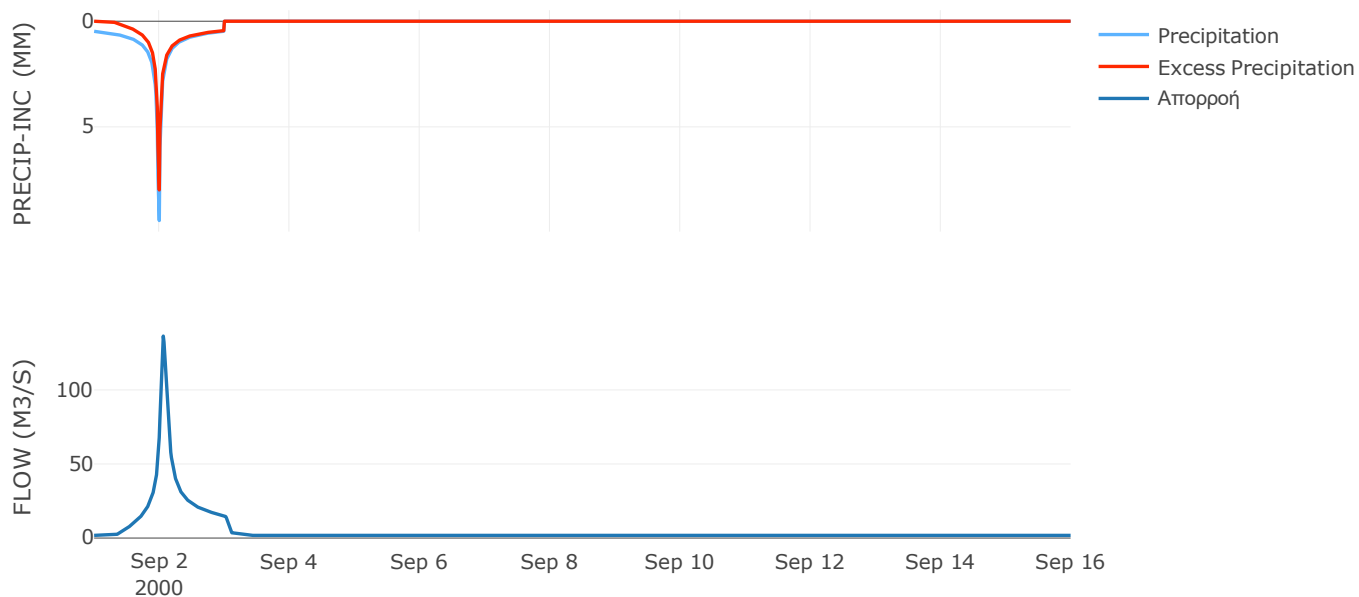
Μέθοδος
Μετασχηματισμού: SCS

Χρόνος Υστέρησης	80.25
------------------	-------

Αποτελέσματα:
EL0512FR1033

Παροχή αιχμής (M3/S)	136.33
Χρονική στιγμή αιχμής	02Sep2000, 01:30
Όγκος (MM)	246.5
Όγκος βροχόπτωσης (M3)	5.66E6
Όγκος απωλειών (M3)	1.63E6
Ενεργός Όγκος (M3)	4.03E6
Όγκος άμεσης απορροής (M3)	4.03E6
Όγκος βασικής απορροής (M3)	2.35E6

Βροχόπτωση και Απορροή



Υπολεκάνη: EL0512FR1034

Έκταση (KM2) : 4.71

Κατάντη : J20

Μέθοδος Απωλειών: SCS

Ποσοστό αδιαπέρατης επιφάνειας	0
Αριθμός Καμπύλης Απορροής-CN	83.07
Αρχικές Απώλειες	10.35

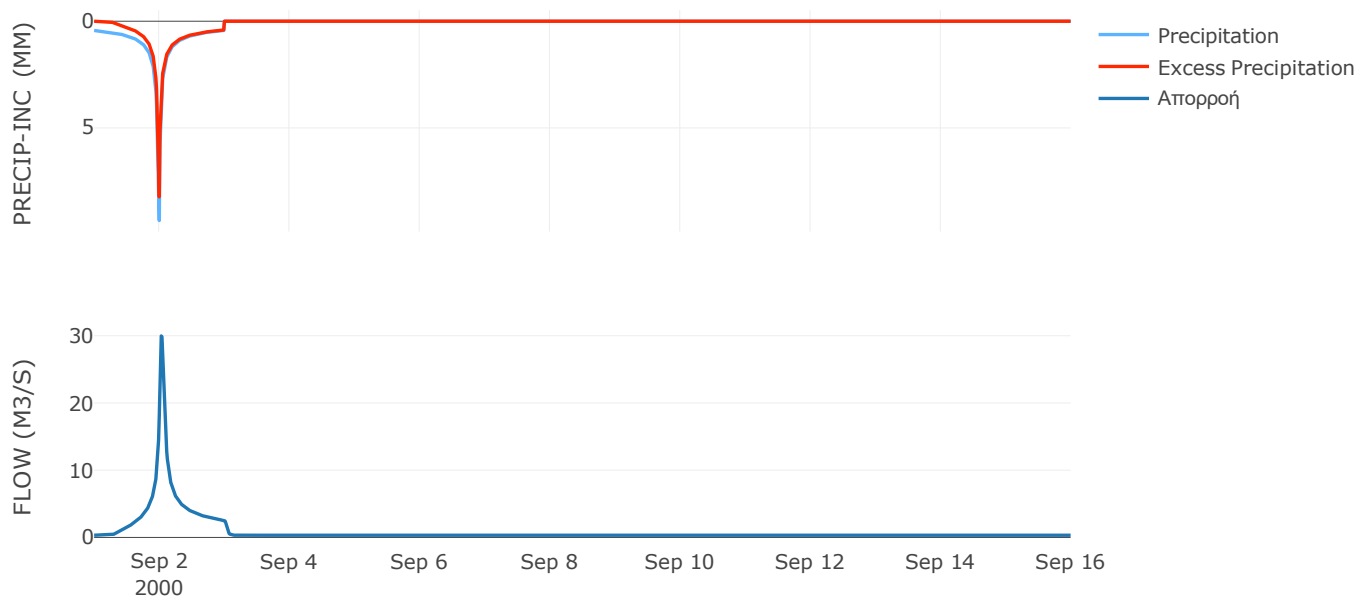
Μέθοδος
Μετασχηματισμού: SCS

Χρόνος Υστέρησης	48.13
------------------	-------

Αποτελέσματα:
EL0512FR1034

Παροχή αιχμής (M3/S)	29.97
Χρονική στιγμή αιχμής	02Sep2000, 00:45
Όγκος (MM)	244.85
Όγκος βροχόπτωσης (M3)	9.66E5
Όγκος απωλειών (M3)	2.41E5
Ενεργός Όγκος (M3)	7.25E5
Όγκος άμεσης απορροής (M3)	7.25E5
Όγκος βασικής απορροής (M3)	4.27E5

Βροχόπτωση και Απορροή



Υπολεκάνη: EL0512FR1035

Έκταση (KM2) : 3.15

Κατάνη : J16

Μέθοδος Απωλειών: SCS

Ποσοστό αδιαπέρατης επιφάνειας	0
Αριθμός Καμπύλης Απορροής-CN	85.67
Αρχικές Απώλειες	8.49

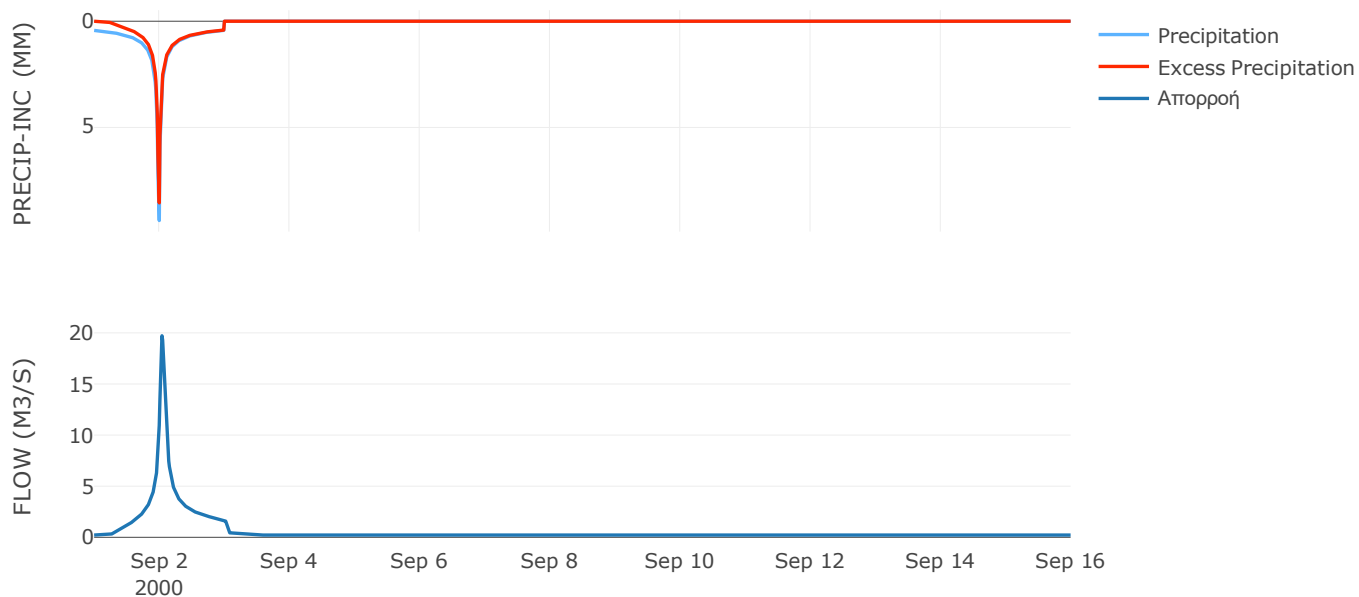
Μέθοδος
Μετασχηματισμού: SCS

Χρόνος Υστέρησης	59.19
------------------	-------

Αποτελέσματα:
EL0512FR1035

Παροχή αιχμής (M3/S)	19.72
Χρονική στιγμή αιχμής	02Sep2000, 01:00
Όγκος (MM)	252.65
Όγκος βροχόπτωσης (M3)	6.46E5
Όγκος απωλειών (M3)	1.37E5
Ενεργός Όγκος (M3)	5.09E5
Όγκος άμεσης απορροής (M3)	5.09E5
Όγκος βασικής απορροής (M3)	2.85E5

Βροχόπτωση και Απορροή



Υπολεκάνη: EL0512FR1036

Έκταση (KM2) : 1.14

Κατάντη : J16

Μέθοδος Απωλειών: SCS

Ποσοστό αδιαπέρατης επιφάνειας	0
Αριθμός Καμπύλης Απορροής-CN	89.83
Αρχικές Απώλειες	5.75

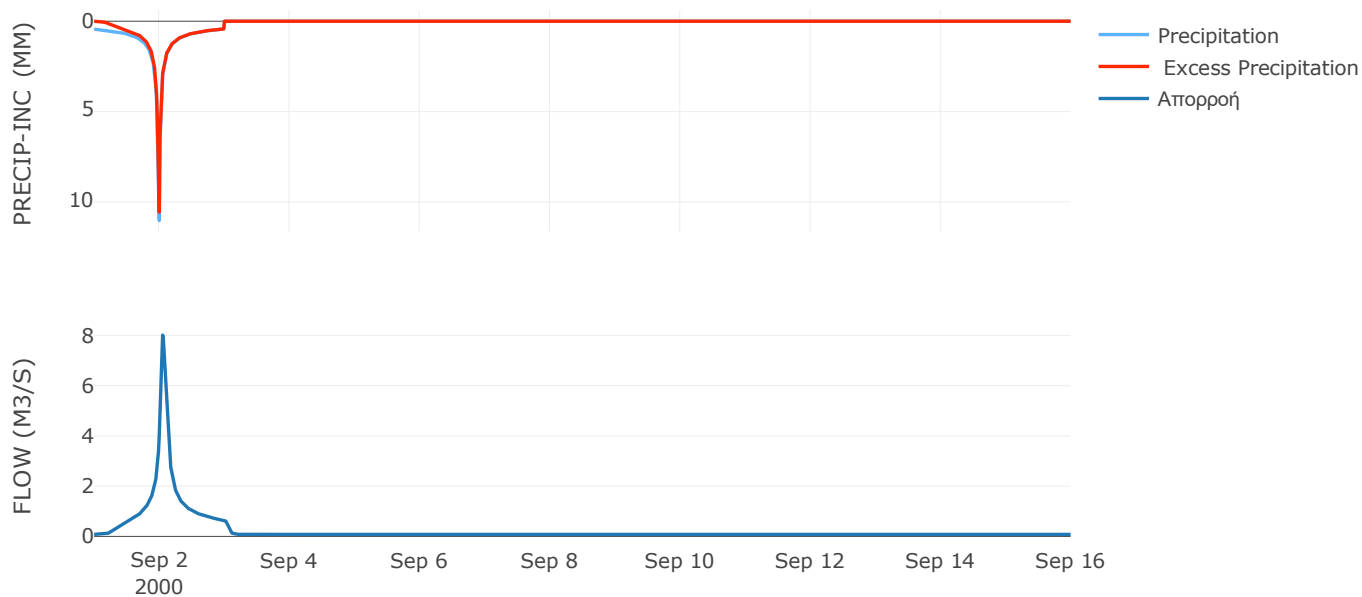
Μέθοδος
Μετασχηματισμού: SCS

Χρόνος Υστέρησης	74.73
------------------	-------

Αποτελέσματα:
EL0512FR1036

Παροχή αιχμής (M3/S)	8.01
Χρονική στιγμή αιχμής	02Sep2000, 01:15
Όγκος (MM)	280.15
Όγκος βροχόπτωσης (M3)	2.51E5
Όγκος απωλειών (M3)	35344.9
Ενεργός Όγκος (M3)	2.15E5
Όγκος άμεσης απορροής (M3)	2.15E5
Όγκος βασικής απορροής (M3)	1.03E5

Βροχόπτωση και Απορροή



Υπολεκάνη: EL0512FR1037

Έκταση (KM2) : 1.46

Κατάντη : J17

Μέθοδος Απωλειών: SCS

Ποσοστό αδιαπέρατης επιφάνειας	0
Αριθμός Καμπύλης Απορροής-CN	89.95
Αρχικές Απώλειες	5.67

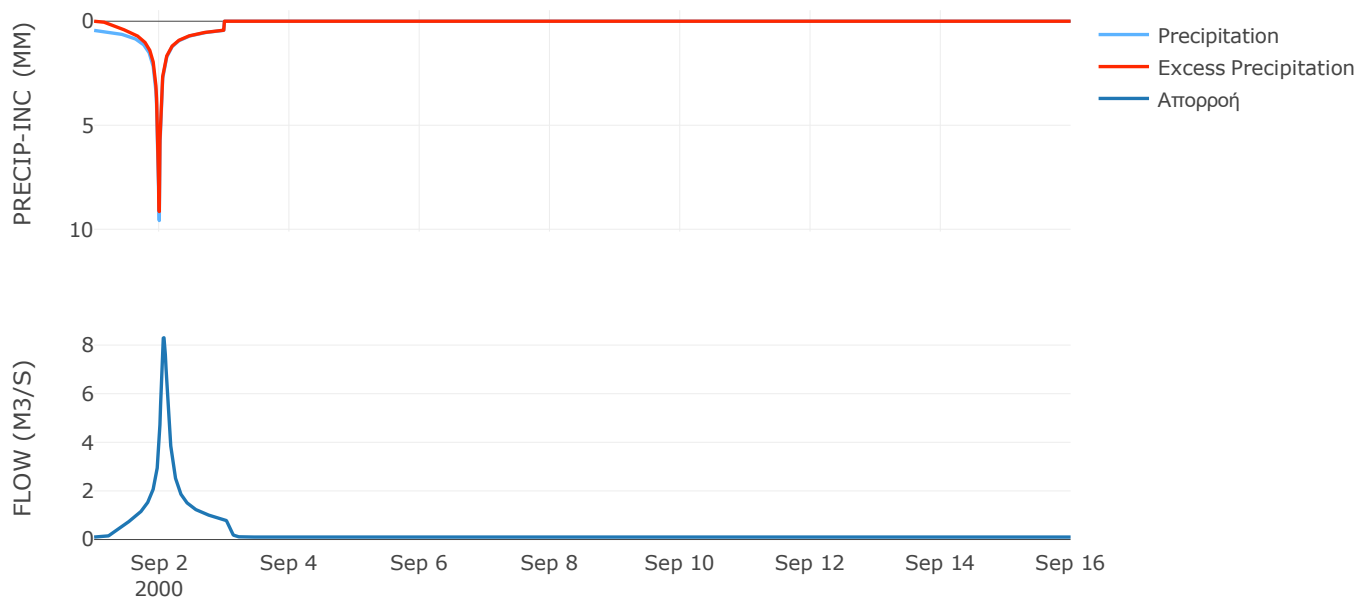
Μέθοδος
Μετασχηματισμού: SCS

Χρόνος Υστέρησης	93.93
------------------	-------

Αποτελέσματα:
EL0512FR1037

Παροχή αιχμής (M3/S)	8.3
Χρονική στιγμή αιχμής	02Sep2000, 01:45
Όγκος (MM)	270.11
Όγκος βροχόπτωσης (M3)	3.07E5
Όγκος απωλειών (M3)	44659.55
Ενεργός Όγκος (M3)	2.62E5
Όγκος άμεσης απορροής (M3)	2.62E5
Όγκος βασικής απορροής (M3)	1.32E5

Βροχόπτωση και Απορροή



Υπολεκάνη: EL0512FR1038

Έκταση (KM2) : 10.02

Κατάντη : J17

Μέθοδος Απωλειών: SCS

Ποσοστό αδιαπέρατης επιφάνειας	0
Αριθμός Καμπύλης Απορροής-CN	86.03
Αρχικές Απώλειες	8.25

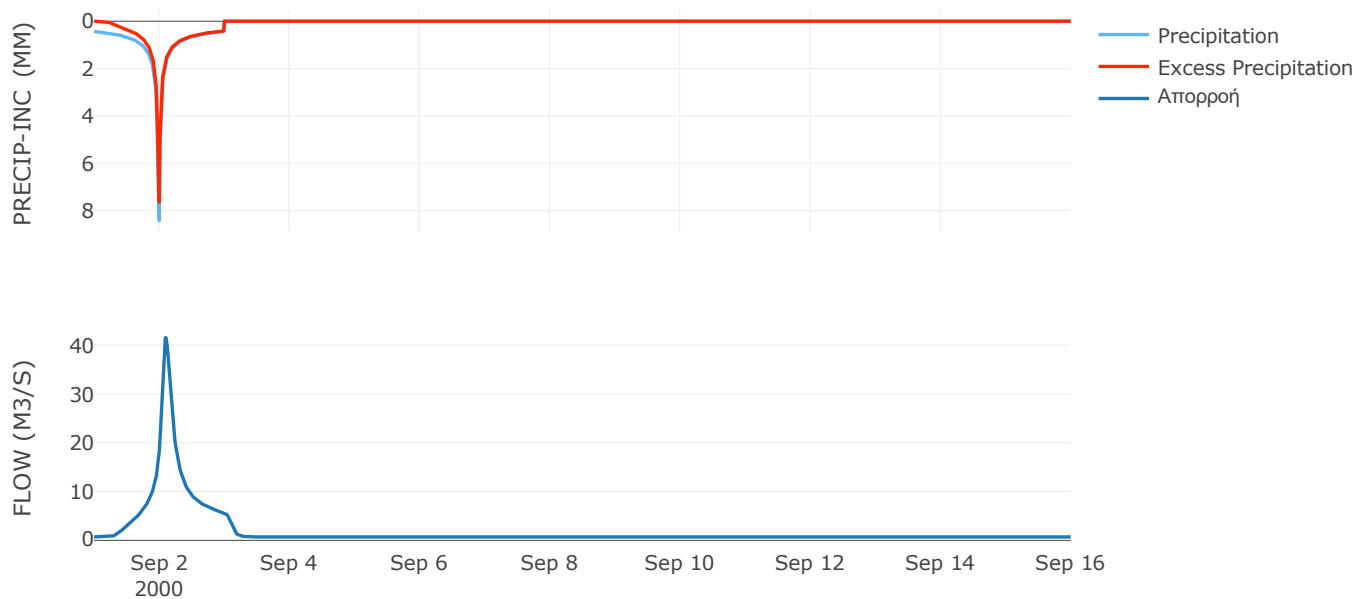
Μέθοδος
Μετασχηματισμού: SCS

Χρόνος Υστέρησης	134.93
------------------	--------

Αποτελέσματα:
EL0512FR1038

Παροχή αιχμής (M3/S)	41.52
Χρονική στιγμή αιχμής	02Sep2000, 02:30
Όγκος (MM)	244.7
Όγκος βροχόπτωσης (M3)	1.96E6
Όγκος απωλειών (M3)	4.21E5
Ενεργός Όγκος (M3)	1.54E6
Όγκος άμεσης απορροής (M3)	1.54E6
Όγκος βασικής απορροής (M3)	9.09E5

Βροχόπτωση και Απορροή



Υπολεκάνη: EL0512FR1039

Έκταση (KM2) : 30.28

Κατάντη : J15

Μέθοδος Απωλειών: SCS

Ποσοστό αδιαπέρατης επιφάνειας	0
Αριθμός Καμπύλης Απορροής-CN	82.23
Αρχικές Απώλειες	10.98

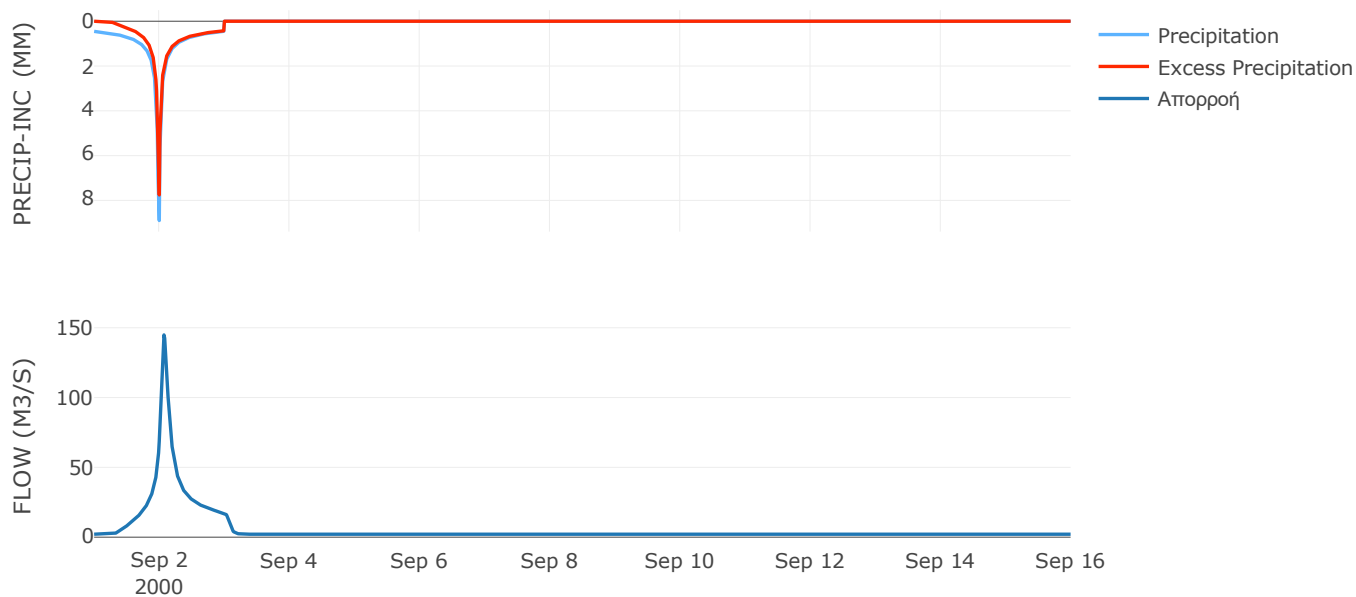
Μέθοδος
Μετασχηματισμού: SCS

Χρόνος Υστέρησης	97.45
------------------	-------

Αποτελέσματα:
EL0512FR1039

Παροχή αιχμής (M3/S)	144.87
Χρονική στιγμή αιχμής	02Sep2000, 01:45
Όγκος (MM)	243.99
Όγκος βροχόπτωσης (M3)	6.27E6
Όγκος απωλειών (M3)	1.63E6
Ενεργός Όγκος (M3)	4.64E6
Όγκος άμεσης απορροής (M3)	4.64E6
Όγκος βασικής απορροής (M3)	2.75E6

Βροχόπτωση και Απορροή



Υπολεκάνη: EL0512FR1040

Έκταση (KM2) : 14.45

Κατάντη : J16

Μέθοδος Απωλειών: SCS

Ποσοστό αδιαπέρατης επιφάνειας	0
Αριθμός Καμπύλης Απορροής-CN	80.39
Αρχικές Απώλειες	12.39

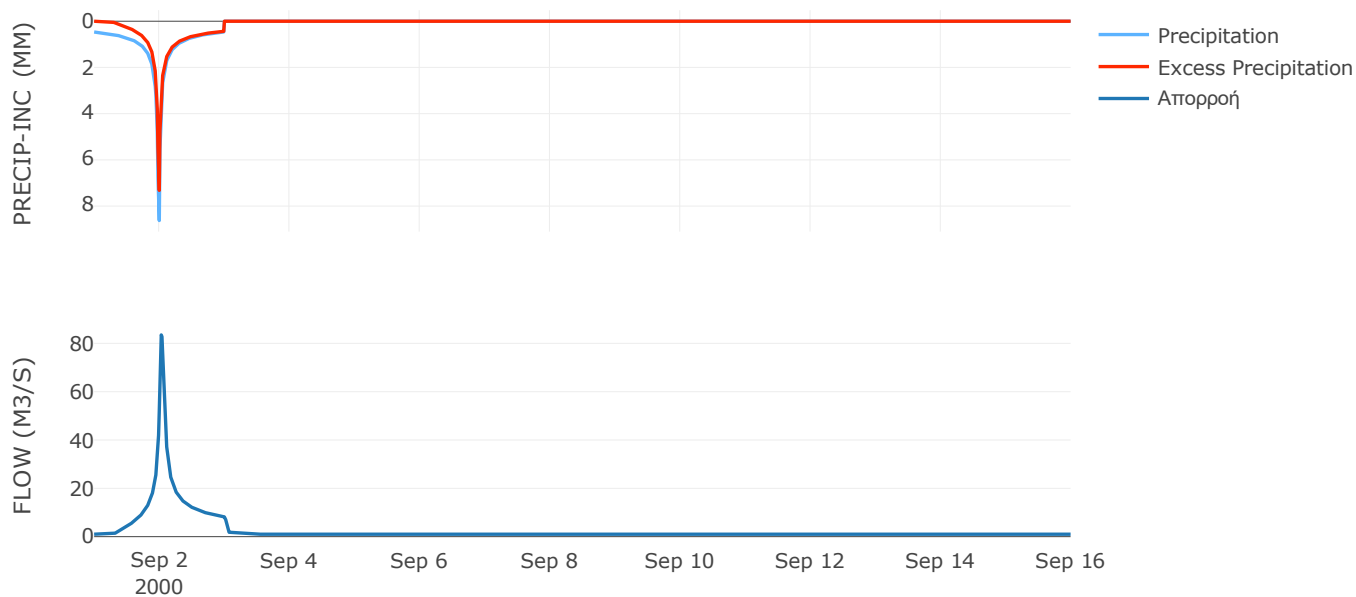
Μέθοδος
Μετασχηματισμού: SCS

Χρόνος Υστέρησης	46.83
------------------	-------

Αποτελέσματα:
EL0512FR1040

Παροχή αιχμής (M3/S)	83.5
Χρονική στιγμή αιχμής	02Sep2000, 00:45
Όγκος (MM)	239.71
Όγκος βροχόπτωσης (M3)	3.01E6
Όγκος απωλειών (M3)	8.59E5
Ενεργός Όγκος (M3)	2.15E6
Όγκος άμεσης απορροής (M3)	2.15E6
Όγκος βασικής απορροής (M3)	1.31E6

Βροχόπτωση και Απορροή



Υπολεκάνη: EL0512FR1041

Έκταση (KM2) : 37.27

Κατάντη : J29

Μέθοδος Απωλειών: SCS

Ποσοστό αδιαπέρατης επιφάνειας	0
Αριθμός Καμπύλης Απορροής-CN	80.42
Αρχικές Απώλειες	12.37

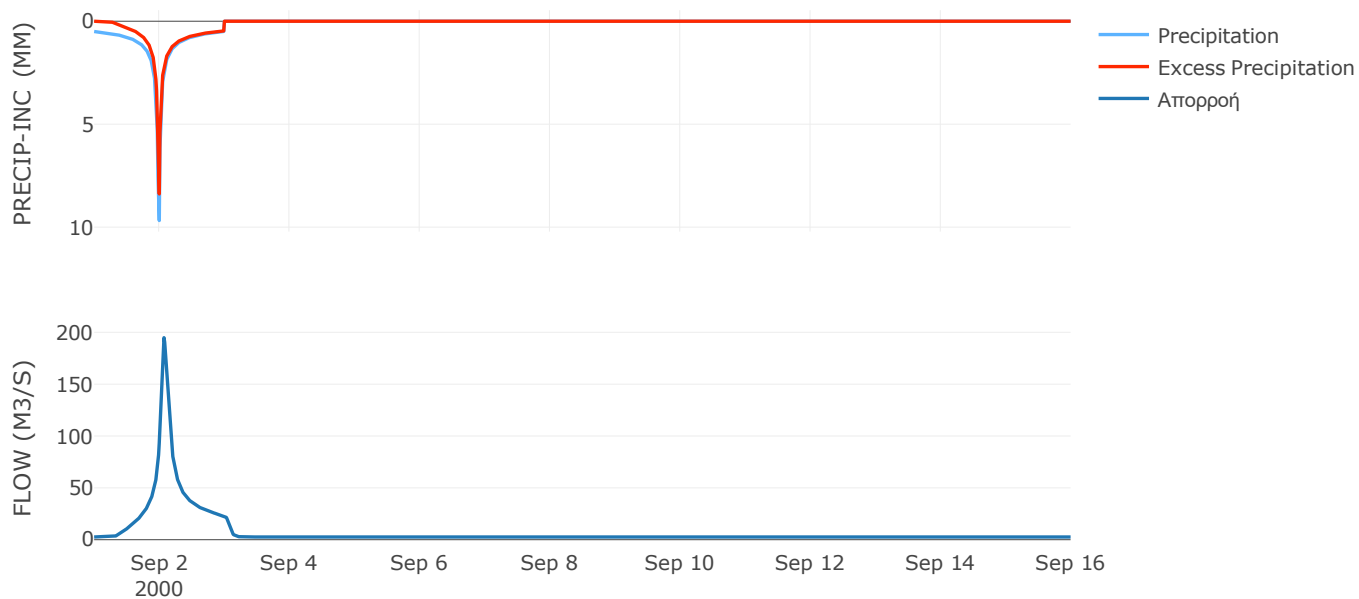
Μέθοδος
Μετασχηματισμού: SCS

Χρόνος Υστέρησης	94.82
------------------	-------

Αποτελέσματα:
EL0512FR1041

Παροχή αιχμής (M3/S)	194.83
Χρονική στιγμή αιχμής	02Sep2000, 01:45
Όγκος (MM)	257.56
Όγκος βροχόπτωσης (M3)	8.47E6
Όγκος απωλειών (M3)	2.25E6
Ενεργός Όγκος (M3)	6.22E6
Όγκος άμεσης απορροής (M3)	6.22E6
Όγκος βασικής απορροής (M3)	3.38E6

Βροχόπτωση και Απορροή



Υπολεκάνη: EL0512FR1042

Έκταση (KM2) : 72.53

Κατάντη : J20

Μέθοδος Απωλειών: SCS

Ποσοστό αδιαπέρατης επιφάνειας	0
Αριθμός Καμπύλης Απορροής-CN	77.31
Αρχικές Απώλειες	14.91

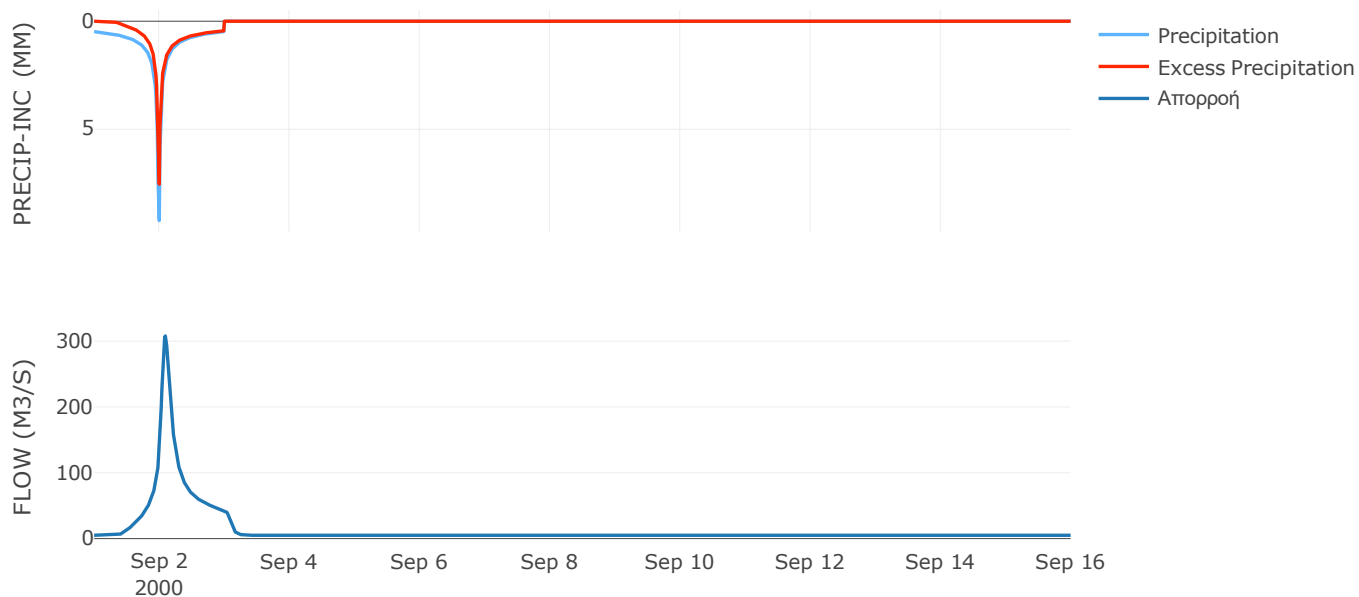
Μέθοδος
Μετασχηματισμού: SCS

Χρόνος Υστέρησης	121.09
------------------	--------

Αποτελέσματα:
EL0512FR1042

Παροχή αιχμής (M3/S)	307.87
Χρονική στιγμή αιχμής	02Sep2000, 02:15
Όγκος (MM)	239.38
Όγκος βροχόπτωσης (M3)	1.58E7
Όγκος απωλειών (M3)	5.04E6
Ενεργός Όγκος (M3)	1.08E7
Όγκος άμεσης απορροής (M3)	1.08E7
Όγκος βασικής απορροής (M3)	6.58E6

Βροχόπτωση και Απορροή



Υπολεκάνη: EL0512FR1043

Έκταση (KM2) : 13.21

Κατάντη : J21

Μέθοδος Απωλειών: SCS

Ποσοστό αδιαπέρατης επιφάνειας	0
Αριθμός Καμπύλης Απορροής-CN	73.47
Αρχικές Απώλειες	18.34

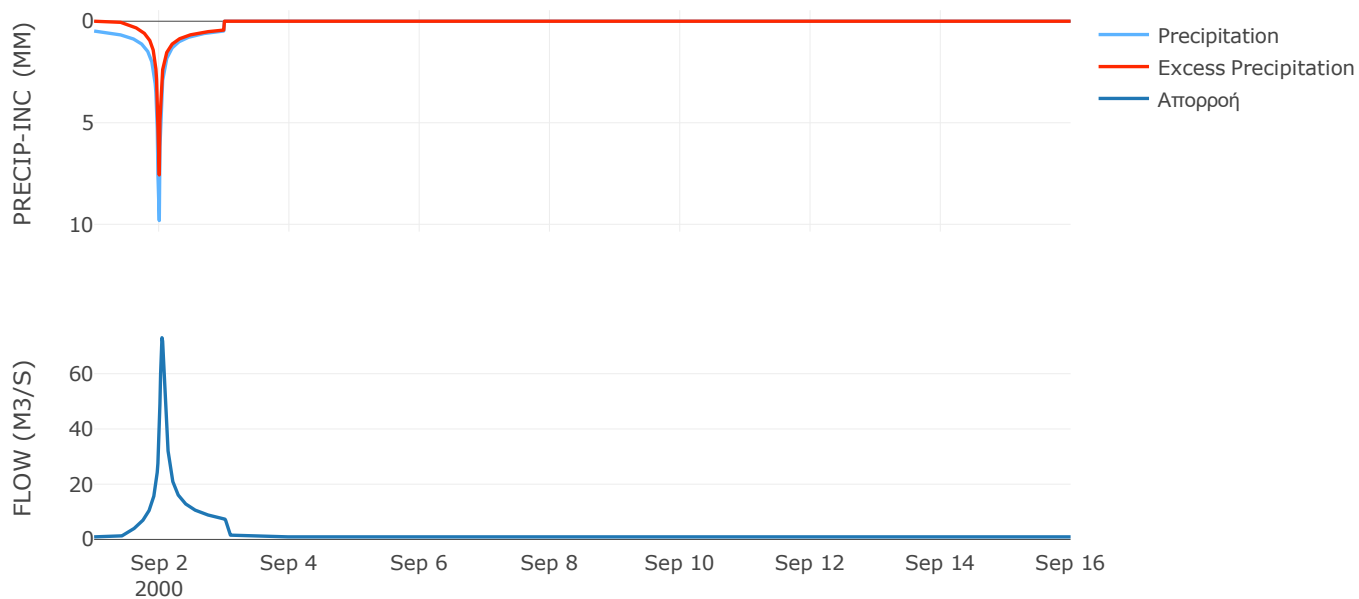
Μέθοδος
Μετασχηματισμού: SCS

Χρόνος Υστέρησης	58.04
------------------	-------

Αποτελέσματα:
EL0512FR1043

Παροχή αιχμής (M3/S)	73.04
Χρονική στιγμή αιχμής	02Sep2000, 01:00
Όγκος (MM)	233.03
Όγκος βροχόπτωσης (M3)	2.96E6
Όγκος απωλειών (M3)	1.08E6
Ενεργός Όγκος (M3)	1.88E6
Όγκος άμεσης απορροής (M3)	1.88E6
Όγκος βασικής απορροής (M3)	1.2E6

Βροχόπτωση και Απορροή



Υπολεκάνη: EL0512FR1044

Έκταση (KM2) : 23.96

Κατάντη : J19

Μέθοδος Απωλειών: SCS

Ποσοστό αδιαπέρατης επιφάνειας	0
Αριθμός Καμπύλης Απορροής-CN	74.23
Αρχικές Απώλειες	17.64

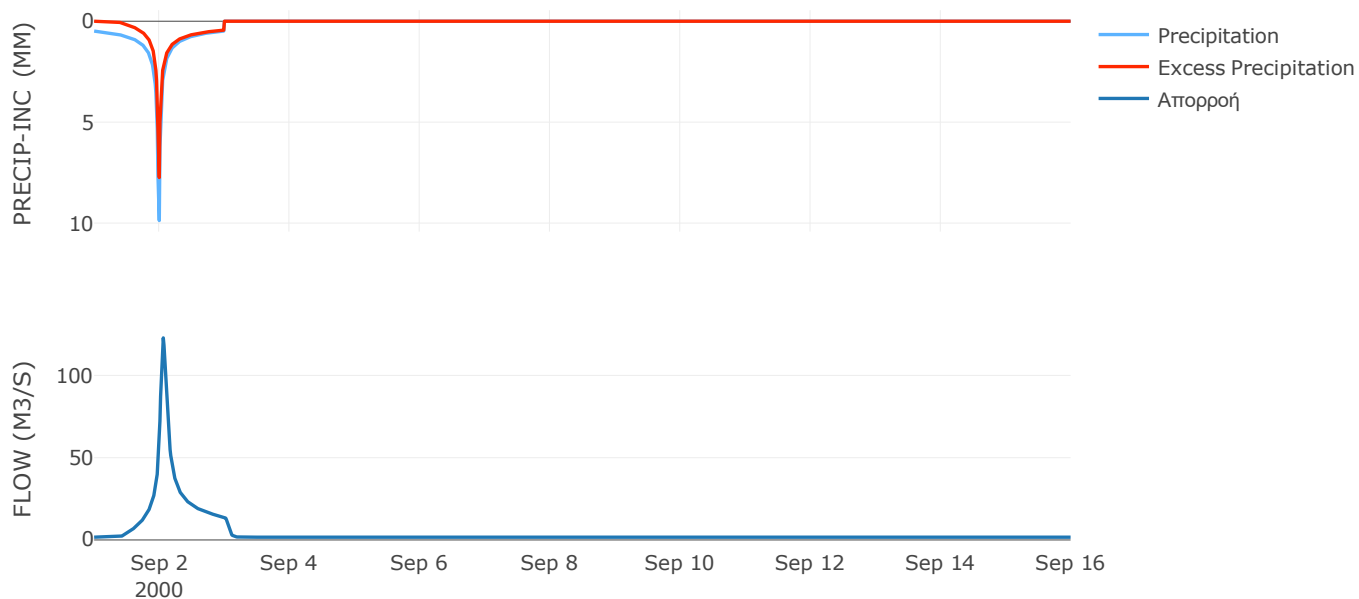
Μέθοδος
Μετασχηματισμού: SCS

Χρόνος Υστέρησης	77.1
------------------	------

Αποτελέσματα:
EL0512FR1044

Παροχή αιχμής (M3/S)	122.81
Χρονική στιγμή αιχμής	02Sep2000, 01:30
Όγκος (MM)	237.06
Όγκος βροχόπτωσης (M3)	5.41E6
Όγκος απωλειών (M3)	1.91E6
Ενεργός Όγκος (M3)	3.51E6
Όγκος άμεσης απορροής (M3)	3.51E6
Όγκος βασικής απορροής (M3)	2.17E6

Βροχόπτωση και Απορροή



Υπολεκάνη: EL0512FR1045

Έκταση (KM2) : 15.22

Κατάντη : J18

Μέθοδος Απωλειών: SCS

Ποσοστό αδιαπέρατης επιφάνειας	0
Αριθμός Καμπύλης Απορροής-CN	71.59
Αρχικές Απώλειες	20.16

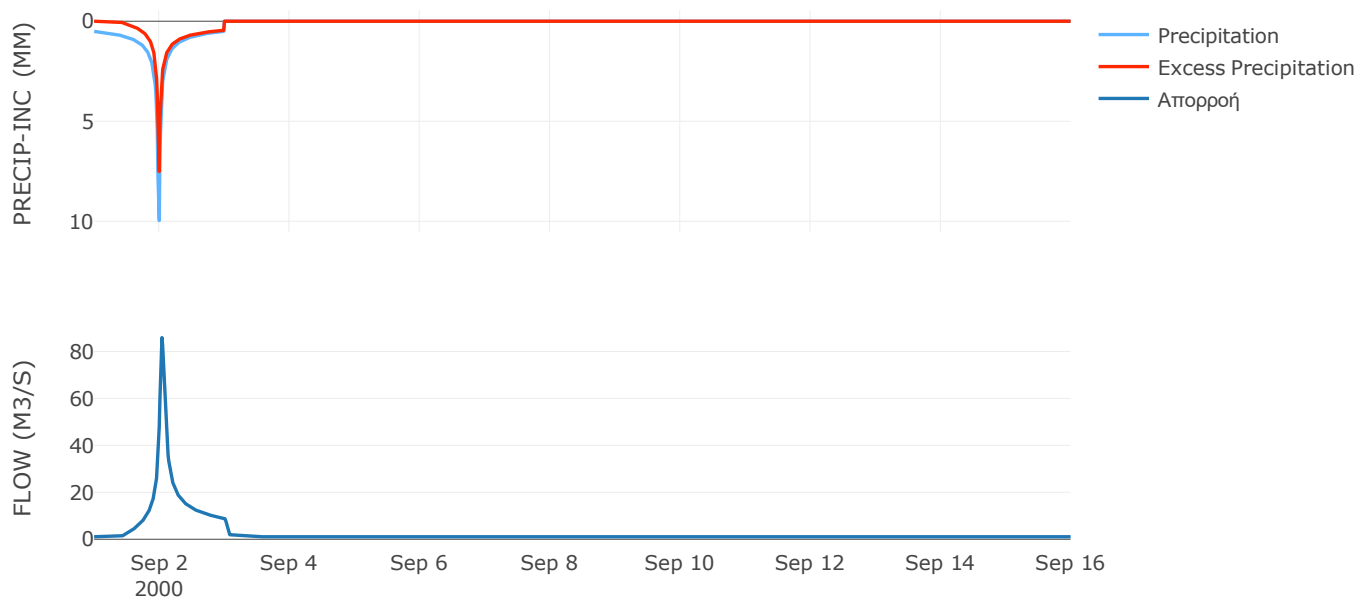
Μέθοδος
Μετασχηματισμού: SCS

Χρόνος Υστέρησης	53.6
------------------	------

Αποτελέσματα:
EL0512FR1045

Παροχή αιχμής (M3/S)	85.93
Χρονική στιγμή αιχμής	02Sep2000, 01:00
Όγκος (MM)	234.79
Όγκος βροχόπτωσης (M3)	3.54E6
Όγκος απωλειών (M3)	1.35E6
Ενεργός Όγκος (M3)	2.19E6
Όγκος άμεσης απορροής (M3)	2.19E6
Όγκος βασικής απορροής (M3)	1.38E6

Βροχόπτωση και Απορροή



Υπολεκάνη: EL0512FR1046

Έκταση (KM2) : 123.67

Κατάντη : J19

Μέθοδος Απωλειών: SCS

Ποσοστό αδιαπέρατης επιφάνειας	0
Αριθμός Καμπύλης Απορροής-CN	78.59
Αρχικές Απώλειες	13.84

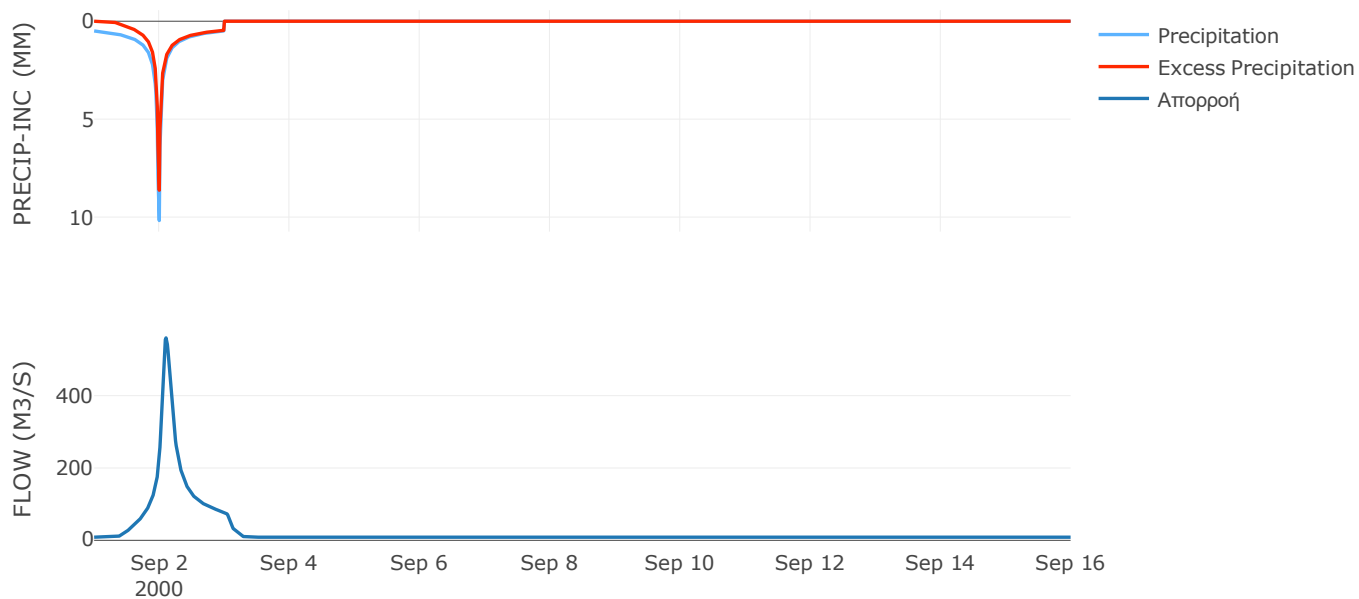
Μέθοδος
Μετασχηματισμού: SCS

Χρόνος Υστέρησης	139.2
------------------	-------

Αποτελέσματα:
EL0512FR1046

Παροχή αιχμής (M3/S)	559.68
Χρονική στιγμή αιχμής	02Sep2000, 02:30
Όγκος (MM)	255.53
Όγκος βροχόπτωσης (M3)	2.86E7
Όγκος απωλειών (M3)	8.2E6
Ενεργός Όγκος (M3)	2.04E7
Όγκος άμεσης απορροής (M3)	2.04E7
Όγκος βασικής απορροής (M3)	1.12E7

Βροχόπτωση και Απορροή



Υπολεκάνη: EL0512FR1047

Έκταση (KM2) : 46.41

Κατάνη : J11

Μέθοδος Απωλειών: SCS

Ποσοστό αδιαπέρατης επιφάνειας	0
Αριθμός Καμπύλης Απορροής-CN	76.05
Αρχικές Απώλειες	16

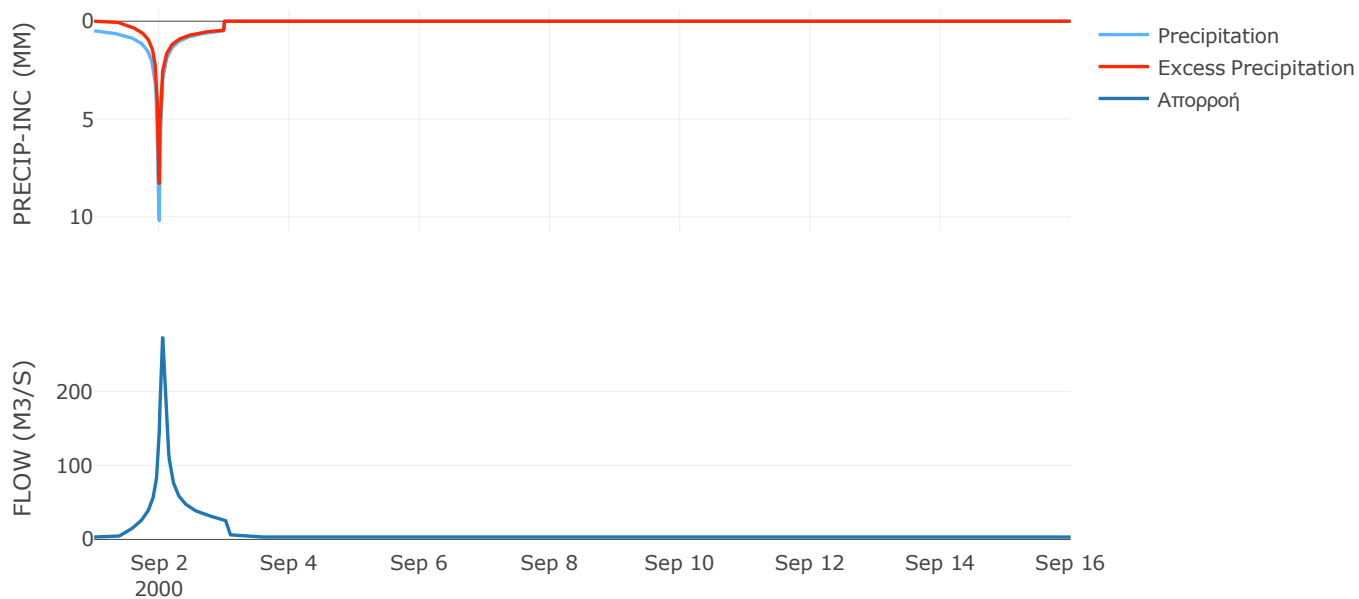
Μέθοδος
Μετασχηματισμού: SCS

Χρόνος Υστέρησης	62.89
------------------	-------

Αποτελέσματα:
EL0512FR1047

Παροχή αιχμής (M3/S)	272.79
Χρονική στιγμή αιχμής	02Sep2000, 01:15
Όγκος (MM)	246.01
Όγκος βροχόπτωσης (M3)	1.06E7
Όγκος απωλειών (M3)	3.44E6
Ενεργός Όγκος (M3)	7.21E6
Όγκος άμεσης απορροής (M3)	7.21E6
Όγκος βασικής απορροής (M3)	4.21E6

Βροχόπτωση και Απορροή



Υπολεκάνη: EL0512FR1048

Έκταση (KM2) : 6.43

Κατάντη : J14

Μέθοδος Απωλειών: SCS

Ποσοστό αδιαπέρατης επιφάνειας	0
Αριθμός Καμπύλης Απορροής-CN	80.96
Αρχικές Απώλειες	11.95

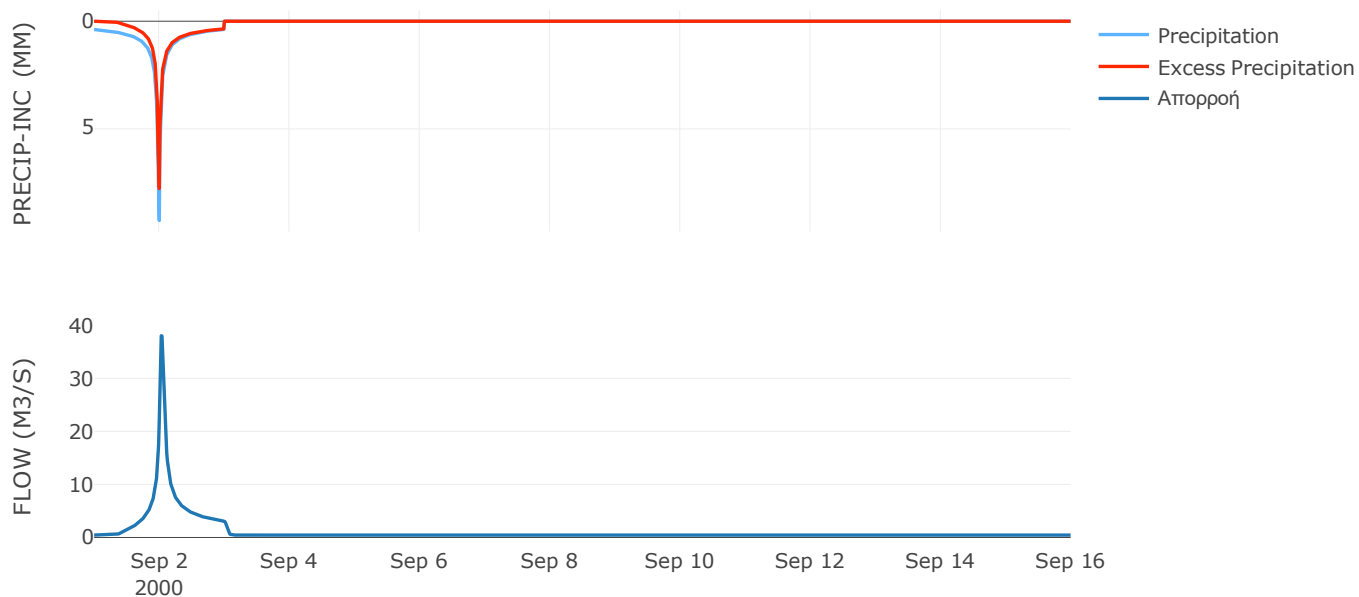
Μέθοδος
Μετασχηματισμού: SCS

Χρόνος Υστέρησης	48.35
------------------	-------

Αποτελέσματα:
EL0512FR1048

Παροχή αιχμής (M3/S)	38.02
Χρονική στιγμή αιχμής	02Sep2000, 00:45
Όγκος (MM)	224.3
Όγκος βροχόπτωσης (M3)	1.22E6
Όγκος απωλειών (M3)	3.65E5
Ενεργός Όγκος (M3)	8.59E5
Όγκος άμεσης απορροής (M3)	8.59E5
Όγκος βασικής απορροής (M3)	5.84E5

Βροχόπτωση και Απορροή



Υπολεκάνη: EL0512FR1049

Έκταση (KM2) : 4.8

Κατάνη : J12

Μέθοδος Απωλειών: SCS

Ποσοστό αδιαπέρατης επιφάνειας	0
Αριθμός Καμπύλης Απορροής-CN	89.51
Αρχικές Απώλειες	5.96

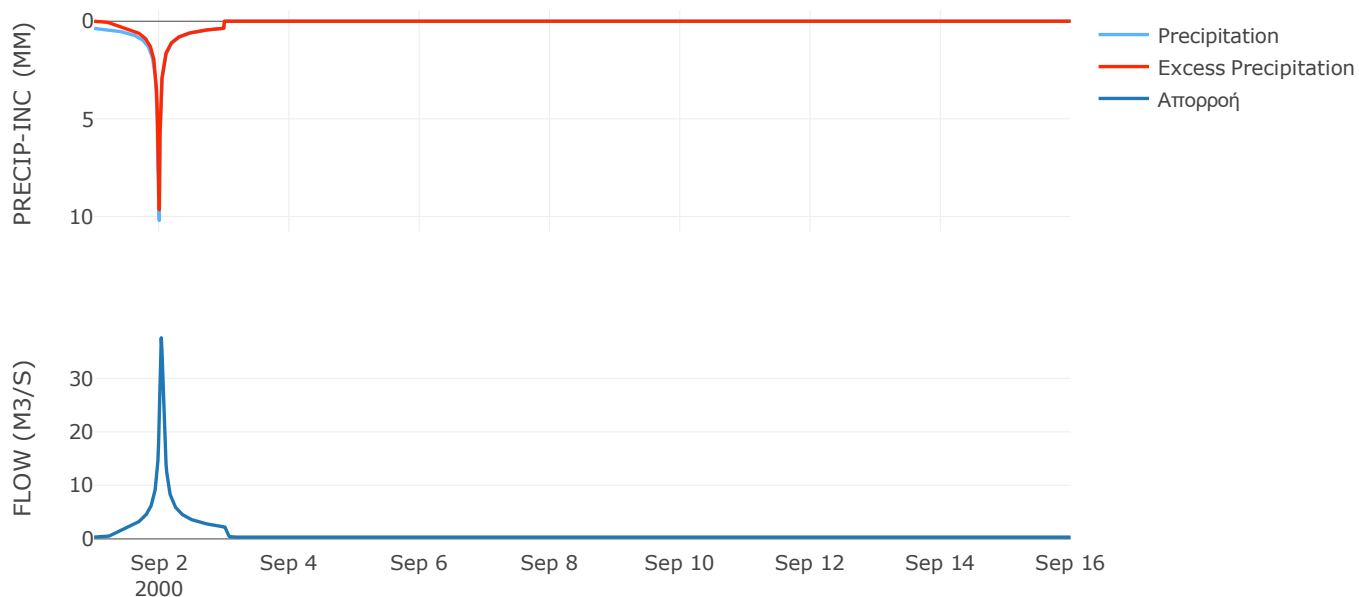
Μέθοδος
Μετασχηματισμού: SCS

Χρόνος Υστέρησης	41.19
------------------	-------

Αποτελέσματα:
EL0512FR1049

Παροχή αιχμής (M3/S)	37.57
Χρονική στιγμή αιχμής	02Sep2000, 00:45
Όγκος (MM)	252.72
Όγκος βροχόπτωσης (M3)	9.3E5
Όγκος απωλειών (M3)	1.52E5
Ενεργός Όγκος (M3)	7.78E5
Όγκος άμεσης απορροής (M3)	7.78E5
Όγκος βασικής απορροής (M3)	4.36E5

Βροχόπτωση και Απορροή



Υπολεκάνη: EL0512FR1050

Έκταση (KM2) : 8.16

Κατάντη : J8

Μέθοδος Απωλειών: SCS

Ποσοστό αδιαπέρατης επιφάνειας	0
Αριθμός Καμπύλης Απορροής-CN	72.81
Αρχικές Απώλειες	18.97

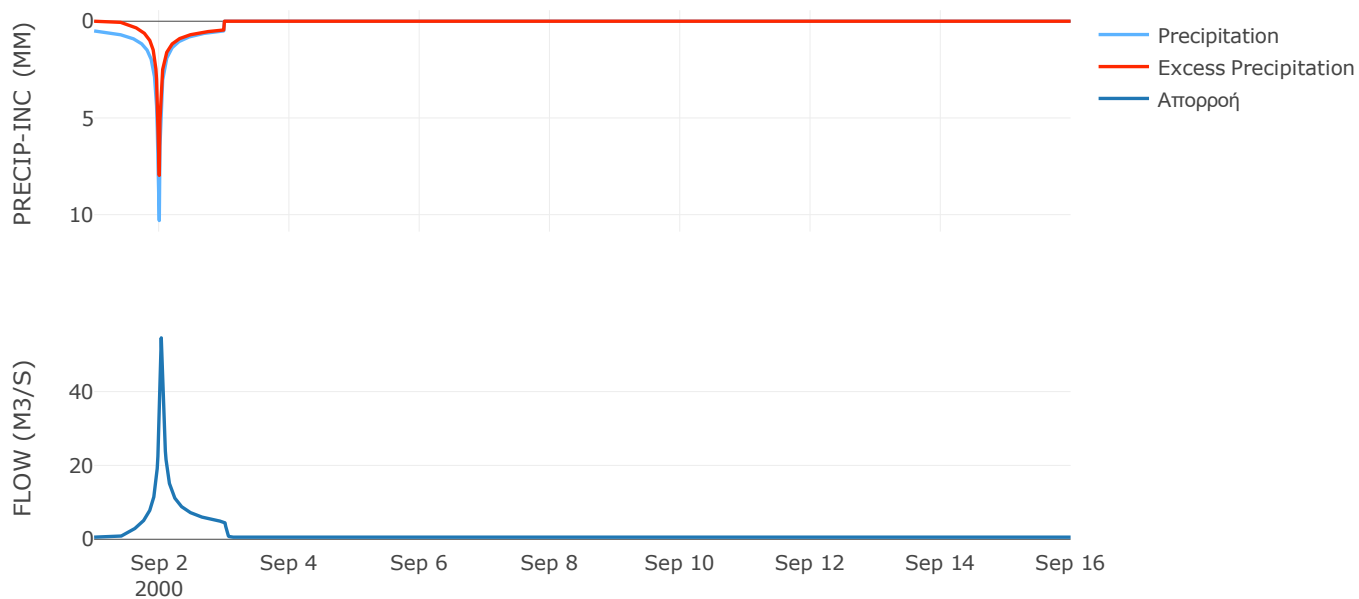
Μέθοδος
Μετασχηματισμού: SCS

Χρόνος Υστέρησης	34.6
------------------	------

Αποτελέσματα:
EL0512FR1050

Παροχή αιχμής (M3/S)	54.56
Χρονική στιγμή αιχμής	02Sep2000, 00:45
Όγκος (MM)	239.64
Όγκος βροχόπτωσης (M3)	1.91E6
Όγκος απωλειών (M3)	6.92E5
Ενεργός Όγκος (M3)	1.22E6
Όγκος άμεσης απορροής (M3)	1.22E6
Όγκος βασικής απορροής (M3)	7.4E5

Βροχόπτωση και Απορροή



Υπολεκάνη: EL0512FR1051

Έκταση (KM2) : 3.84

Κατάντη : J3

Μέθοδος Απωλειών: SCS

Ποσοστό αδιαπέρατης επιφάνειας	0
Αριθμός Καμπύλης Απορροής-CN	89.54
Αρχικές Απώλειες	5.93

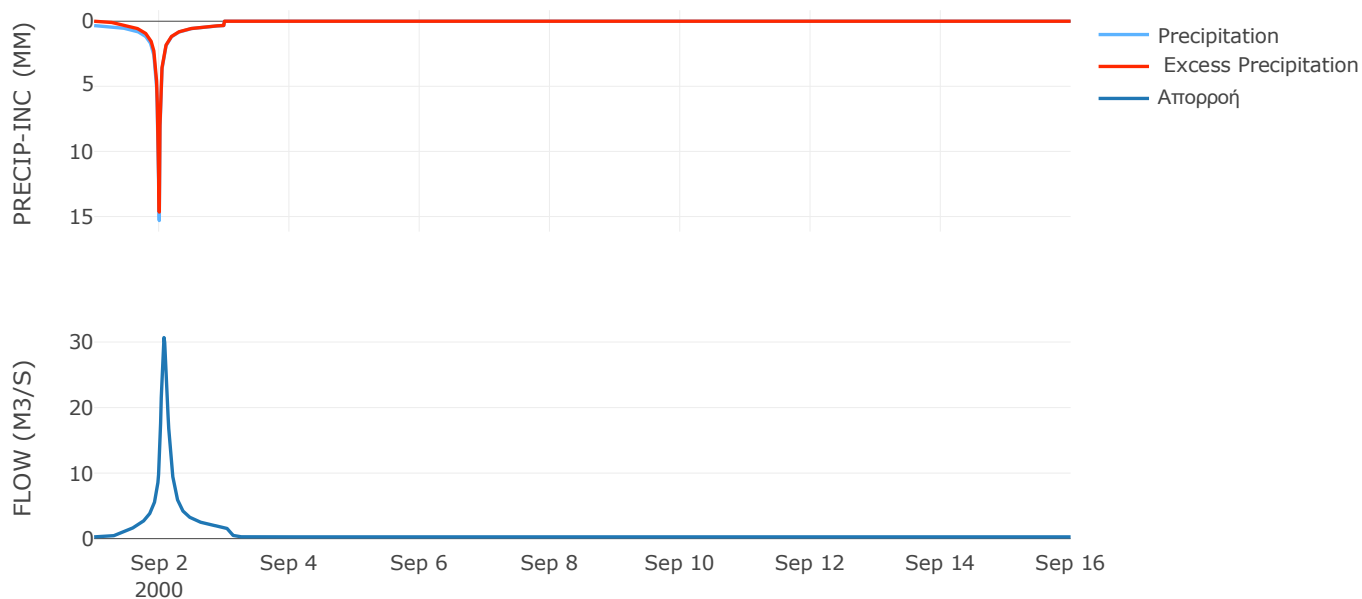
Μέθοδος
Μετασχηματισμού: SCS

Χρόνος Υστέρησης	99.38
------------------	-------

Αποτελέσματα:
EL0512FR1051

Παροχή αιχμής (M3/S)	30.68
Χρονική στιγμή αιχμής	02Sep2000, 01:45
Όγκος (MM)	278.04
Όγκος βροχόπτωσης (M3)	8.42E5
Όγκος απωλειών (M3)	1.23E5
Ενεργός Όγκος (M3)	7.19E5
Όγκος άμεσης απορροής (M3)	7.19E5
Όγκος βασικής απορροής (M3)	3.48E5

Βροχόπτωση και Απορροή



7.2 Δεδομένα και υδρογραφήματα σχεδιασμού Κλάδων υδρογραφικού δικτύου

Κλάδος: R21

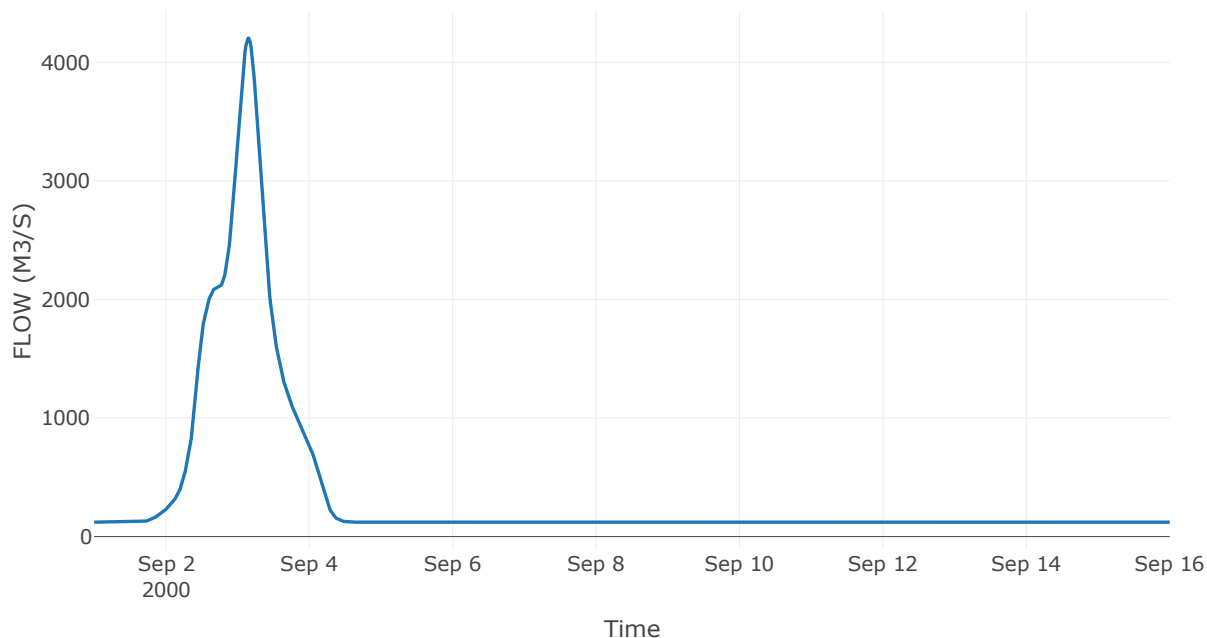
Κατάντη : J1

Μέθοδος Διόδευσης	Muskingum
Αρχική Μεταβλητή	Combined Inflow
Χρόνος Ροής Κ	5.61
Συντελεστής βάρους α	0.2
Πλήθος Υποκλάδων	23

Αποτελέσματα: R21

Παροχή Αιχμής (M3/S)	4203.84
Χρονική στιγμή αιχμής	03Sep2000, 03:45
Όγκος (MM)	268.73
Παροχή Αιχμής Εισόδου (M3/S)	4288.24
Όγκος Εισροής (M3)	4.66E8

Απορροή



Κλάδος: R32

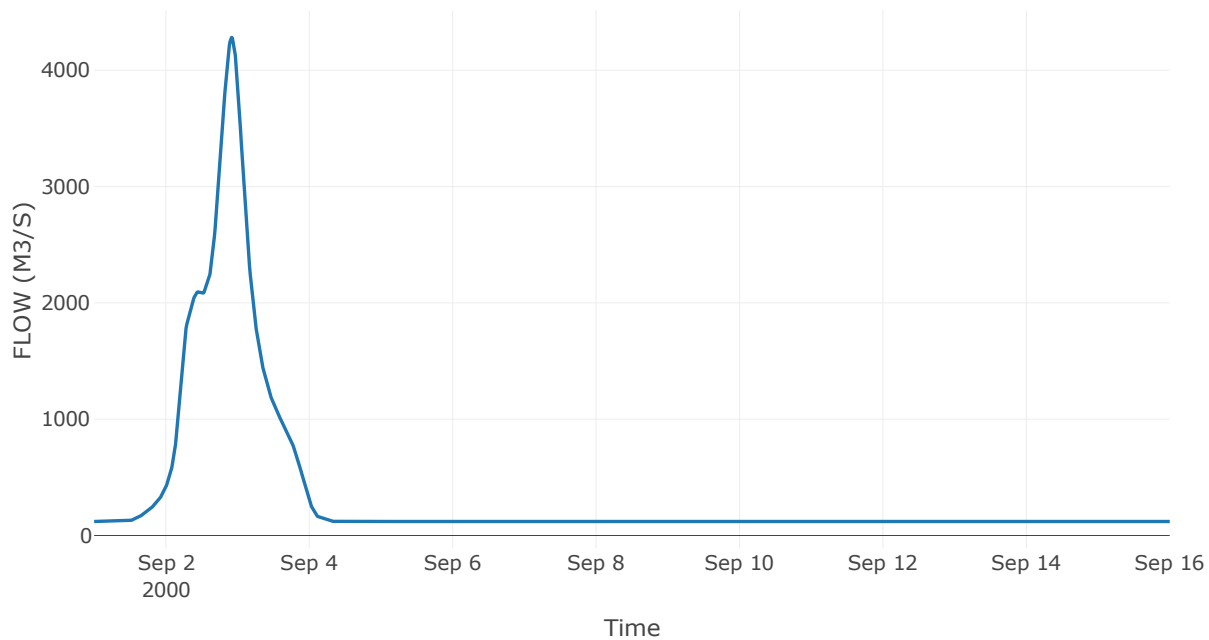
Κατάντη : J2

Μέθοδος Διόδευσης	Muskingum
Αρχική Μεταβλητή	Combined Inflow
Χρόνος Ροής K	3.4
Συντελεστής βάρους x	0.2
Πλήθος Υποκλάδων	14

Αποτελέσματα: R32

Παροχή Αιχμής (M3/S)	4281.73
Χρονική στιγμή αιχμής	02Sep2000, 22:00
Όγκος (MM)	268.77
Παροχή Αιχμής Εισόδου (M3/S)	4338.37
Όγκος Εισροής (M3)	4.62E8

Απορροή



Κλάδος: R43

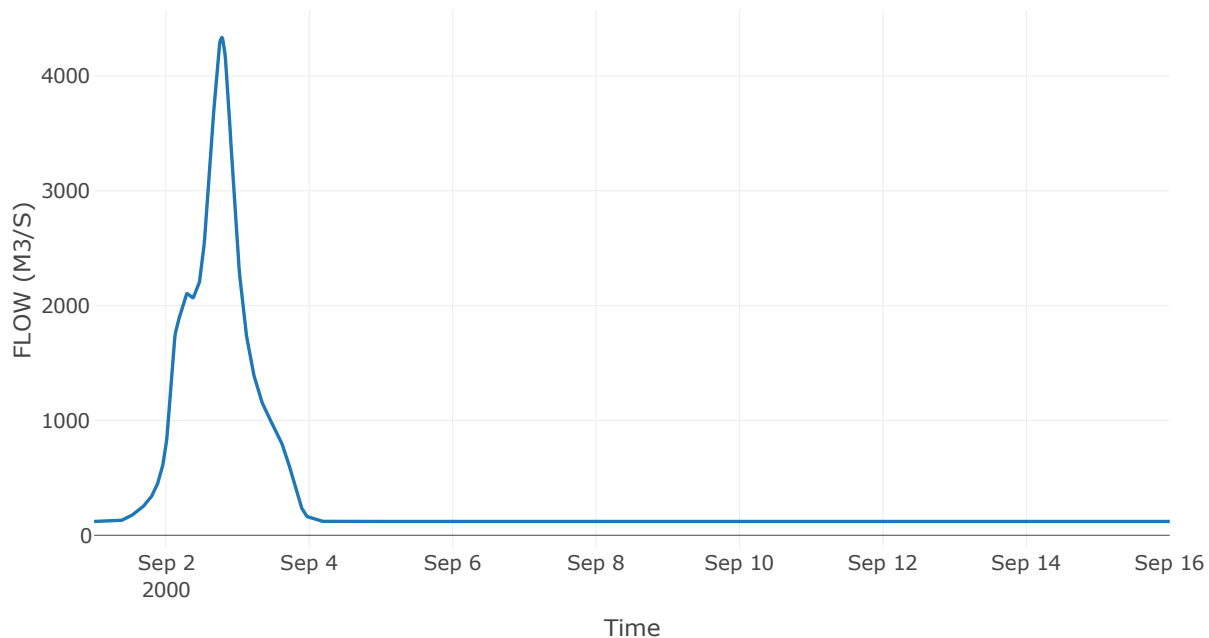
Κατάντη : J3

Μέθοδος Διόδευσης	Muskingum
Αρχική Μεταβλητή	Combined Inflow
Χρόνος Ροής K	0.59
Συντελεστής βάρους x	0.2
Πλήθος Υποκλάδων	2

Αποτελέσματα: R43

Παροχή Αιχμής (M3/S)	4336.25
Χρονική στιγμή αιχμής	02Sep2000, 18:45
Όγκος (MM)	268.75
Παροχή Αιχμής Εισόδου (M3/S)	4348.07
Όγκος Εισροής (M3)	4.61E8

Απορροή



Κλάδος: R54

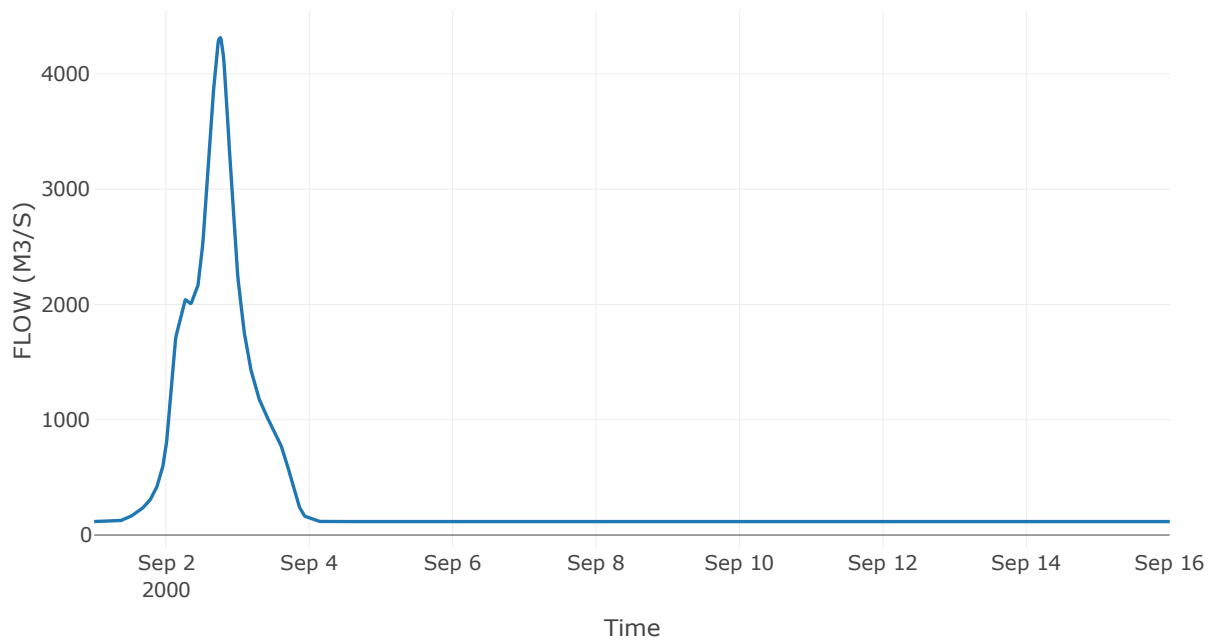
Κατάντη : J4

Μέθοδος Διόδευσης	Muskingum
Αρχική Μεταβλητή	Combined Inflow
Χρόνος Ροής K	0.22
Συντελεστής βάρους x	0.2
Πλήθος Υποκλάδων	1

Αποτελέσματα: R54

Παροχή Αιχμής (M3/S)	4314.68
Χρονική στιγμή αιχμής	02Sep2000, 18:00
Όγκος (MM)	269
Παροχή Αιχμής Εισόδου (M3/S)	4318.3
Όγκος Εισροής (M3)	4.48E8

Απορροή



Κλάδος: R65

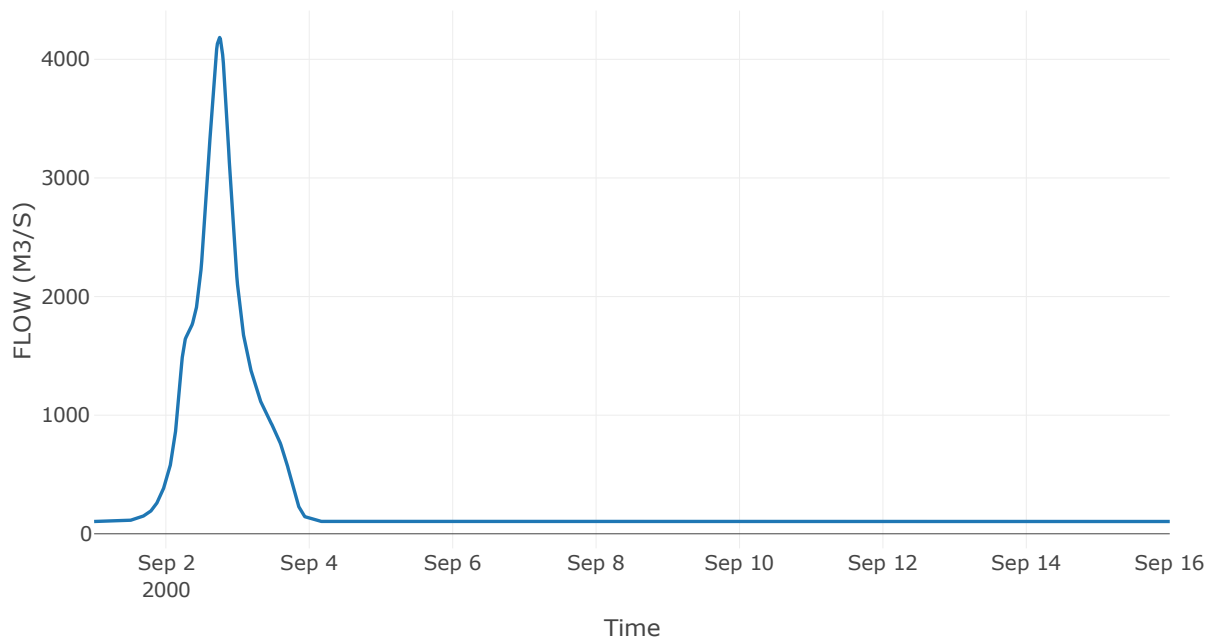
Κατάντη : J5

Μέθοδος Διόδευσης	Muskingum
Αρχική Μεταβλητή	Combined Inflow
Χρόνος Ροής K	2.21
Συντελεστής βάρους x	0.2
Πλήθος Υποκλάδων	9

Αποτελέσματα: R65

Παροχή Αιχμής (M3/S)	4184.44
Χρονική στιγμή αιχμής	02Sep2000, 18:00
Όγκος (MM)	269.49
Παροχή Αιχμής Εισόδου (M3/S)	4227.48
Όγκος Εισροής (M3)	4E8

Απορροή



Κλάδος: R76

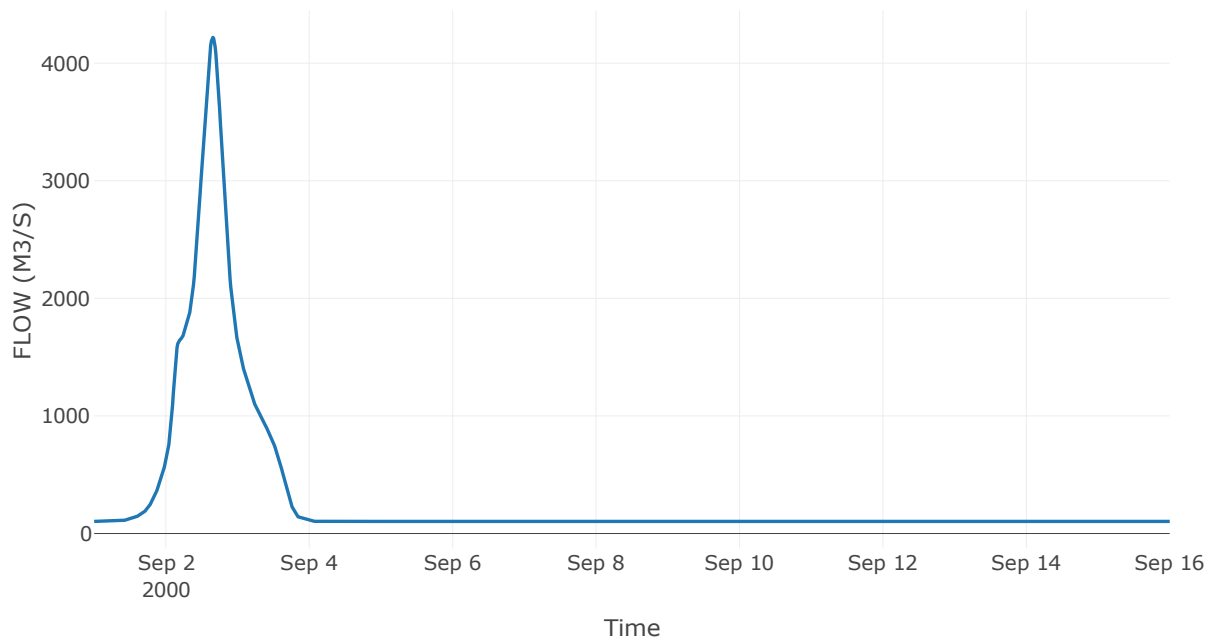
Κατάντη : J6

Μέθοδος Διόδευσης	Muskingum
Αρχική Μεταβλητή	Combined Inflow
Χρόνος Ροής K	1.9
Συντελεστής βάρους x	0.2
Πλήθος Υποκλάδων	8

Αποτελέσματα: R76

Παροχή Αιχμής (M3/S)	4219.27
Χρονική στιγμή αιχμής	02Sep2000, 15:45
Όγκος (MM)	269.6
Παροχή Αιχμής Εισόδου (M3/S)	4255.83
Όγκος Εισροής (M3)	3.96E8

Απορροή



Κλάδος: R87

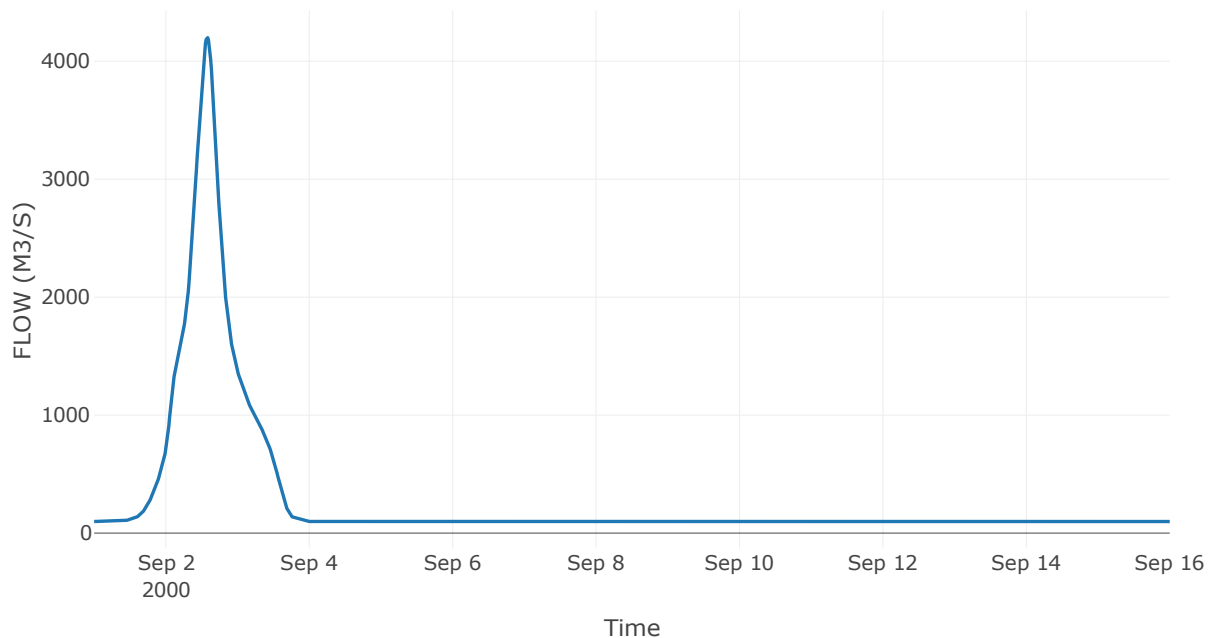
Κατάντη : J7

Μέθοδος Διόδευσης	Muskingum
Αρχική Μεταβλητή	Combined Inflow
Χρόνος Ροής K	1.02
Συντελεστής βάρους x	0.2
Πλήθος Υποκλάδων	4

Αποτελέσματα: R87

Παροχή Αιχμής (M3/S)	4200.12
Χρονική στιγμή αιχμής	02Sep2000, 13:45
Όγκος (MM)	268.95
Παροχή Αιχμής Εισόδου (M3/S)	4223.31
Όγκος Εισροής (M3)	3.77E8

Απορροή



Κλάδος: R98

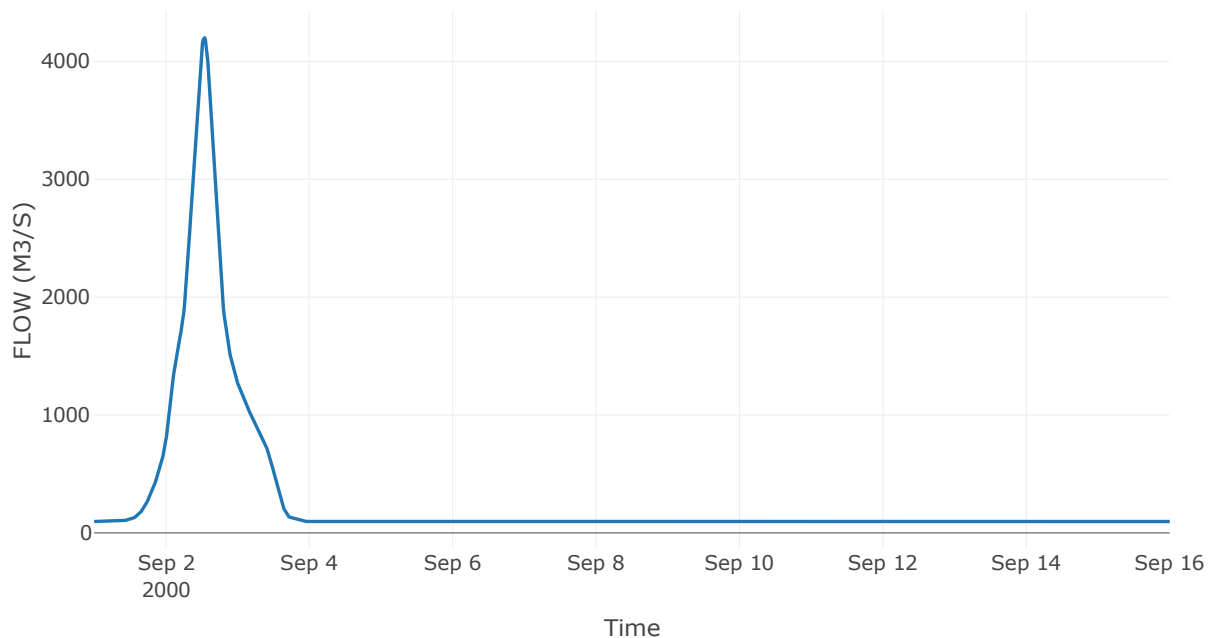
Κατάντη : J8

Μέθοδος Διόδευσης	Muskingum
Αρχική Μεταβλητή	Combined Inflow
Χρόνος Ροής K	0.42
Συντελεστής βάρους x	0.2
Πλήθος Υποκλάδων	2

Αποτελέσματα: R98

Παροχή Αιχμής (M3/S)	4202.05
Χρονική στιγμή αιχμής	02Sep2000, 12:45
Όγκος (MM)	268.99
Παροχή Αιχμής Εισόδου (M3/S)	4211.46
Όγκος Εισροής (M3)	3.71E8

Απορροή



Κλάδος: R109

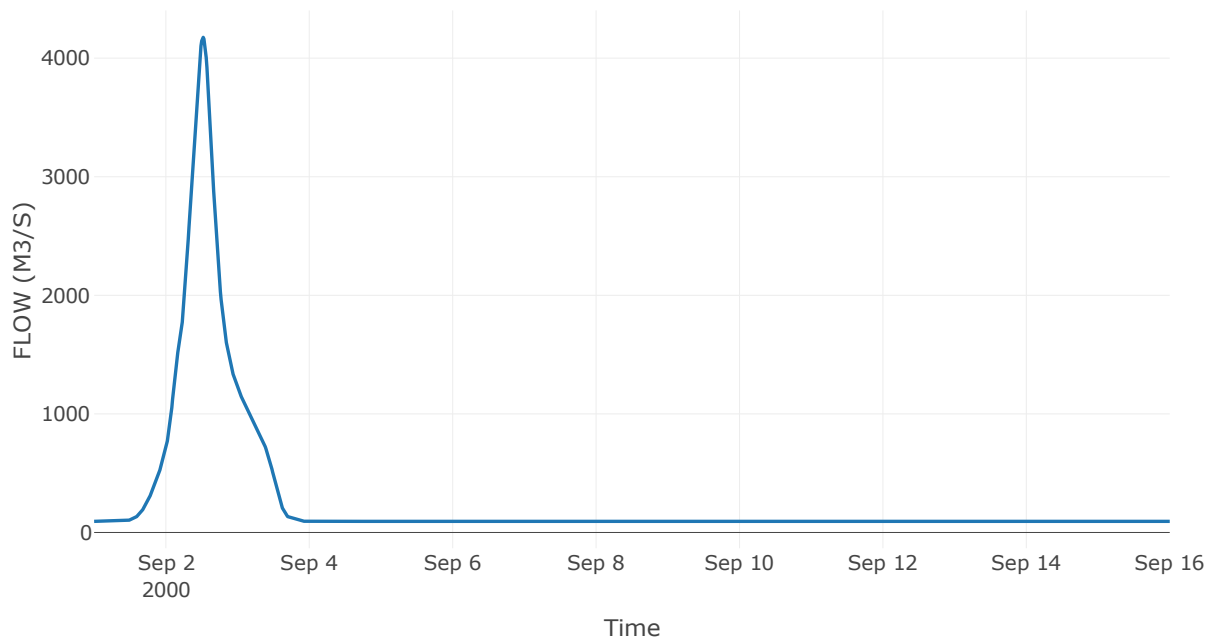
Κατάντη : J9

Μέθοδος Διόδευσης	Muskingum
Αρχική Μεταβλητή	Combined Inflow
Χρόνος Ροής K	1.9
Συντελεστής βάρους x	0.2
Πλήθος Υποκλάδων	8

Αποτελέσματα: R109

Παροχή Αιχμής (M3/S)	4175.62
Χρονική στιγμή αιχμής	02Sep2000, 12:30
Όγκος (MM)	268.46
Παροχή Αιχμής Εισόδου (M3/S)	4219.88
Όγκος Εισροής (M3)	3.6E8

Απορροή



Κλάδος: R1110

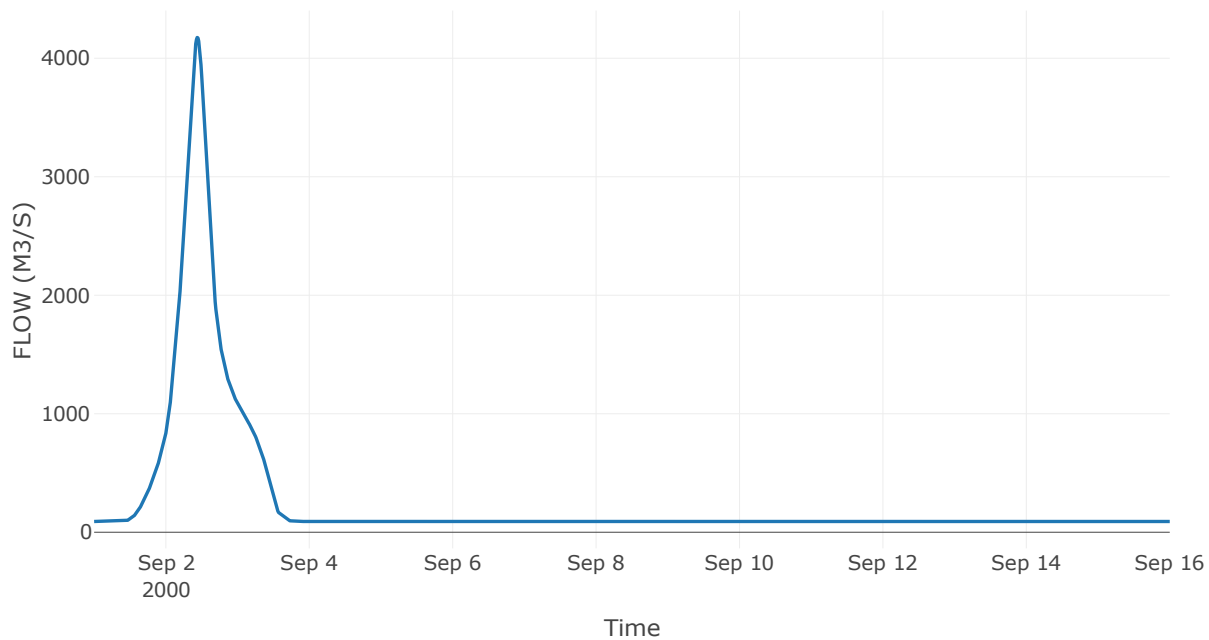
Κατάντη : J10

Μέθοδος Διόδευσης	Muskingum
Αρχική Μεταβλητή	Combined Inflow
Χρόνος Ροής Κ	1.53
Συντελεστής βάρους α	0.2
Πλήθος Υποκλάδων	6

Αποτελέσματα: R1110

Παροχή Αιχμής (M3/S)	4175.62
Χρονική στιγμή αιχμής	02Sep2000, 10:30
Όγκος (MM)	267.82
Παροχή Αιχμής Εισόδου (M3/S)	4218.41
Όγκος Εισροής (M3)	3.48E8

Απορροή



Κλάδος: R1223

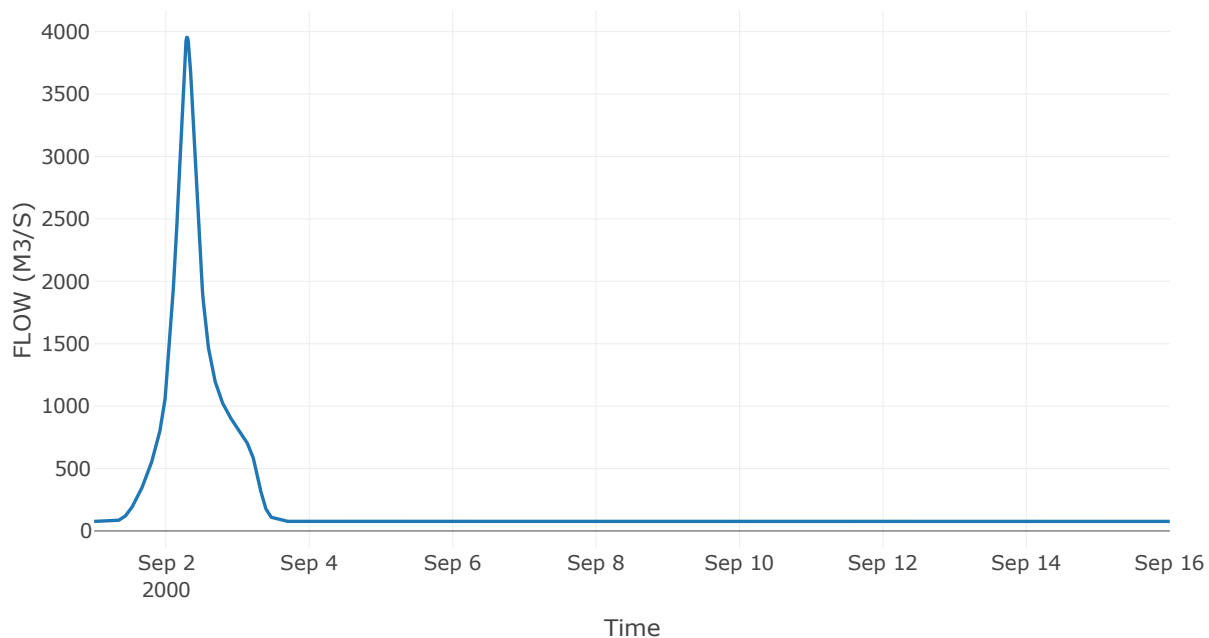
Κατάντη : J23

Μέθοδος Διόδευσης	Muskingum
Αρχική Μεταβλητή	Combined Inflow
Χρόνος Ροής Κ	0.14
Συντελεστής βάρους α	0.2
Πλήθος Υποκλάδων	1

Αποτελέσματα: R1223

Παροχή Αιχμής (M3/S)	3954.03
Χρονική στιγμή αιχμής	02Sep2000, 07:00
Όγκος (MM)	272.36
Παροχή Αιχμής Εισόδου (M3/S)	3959.53
Όγκος Εισροής (M3)	2.98E8

Απορροή



Κλάδος: R1312

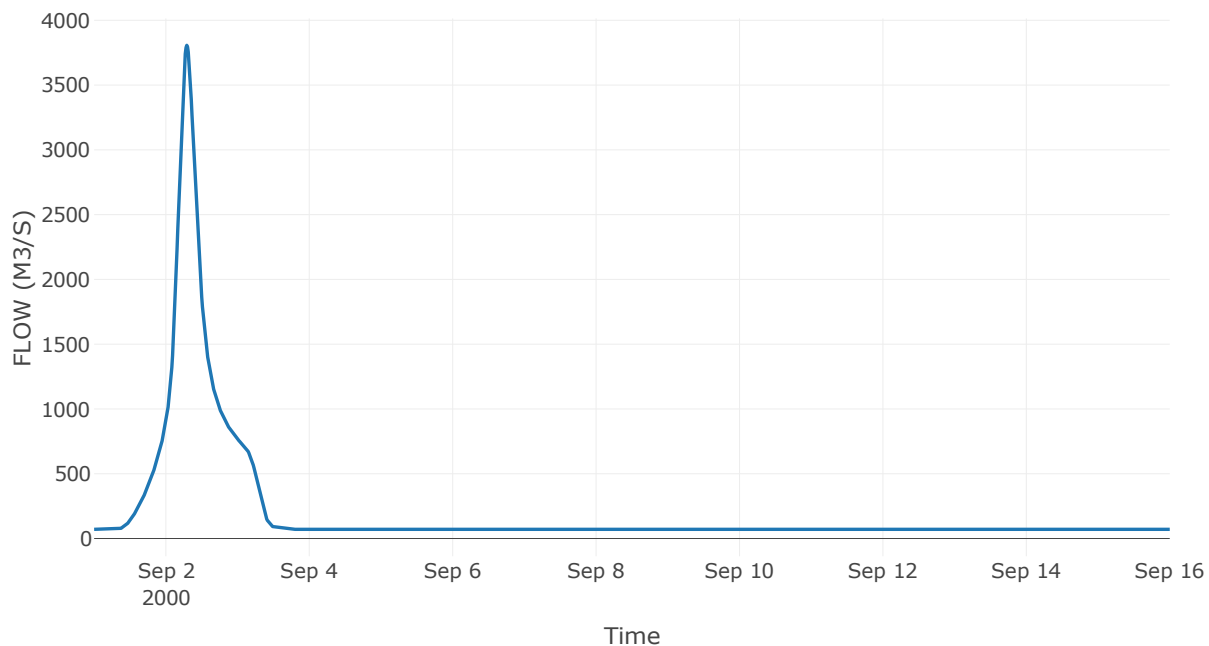
Κατάντη : J12

Μέθοδος Διόδευσης	Muskingum
Αρχική Μεταβλητή	Combined Inflow
Χρόνος Ροής K	2.11
Συντελεστής βάρους x	0.2
Πλήθος Υποκλάδων	9

Αποτελέσματα: R1312

Παροχή Αιχμής (M3/S)	3806.92
Χρονική στιγμή αιχμής	02Sep2000, 07:00
Όγκος (MM)	270.45
Παροχή Αιχμής Εισόδου (M3/S)	3881.7
Όγκος Εισροής (M3)	2.73E8

Απορροή



Κλάδος: R1413

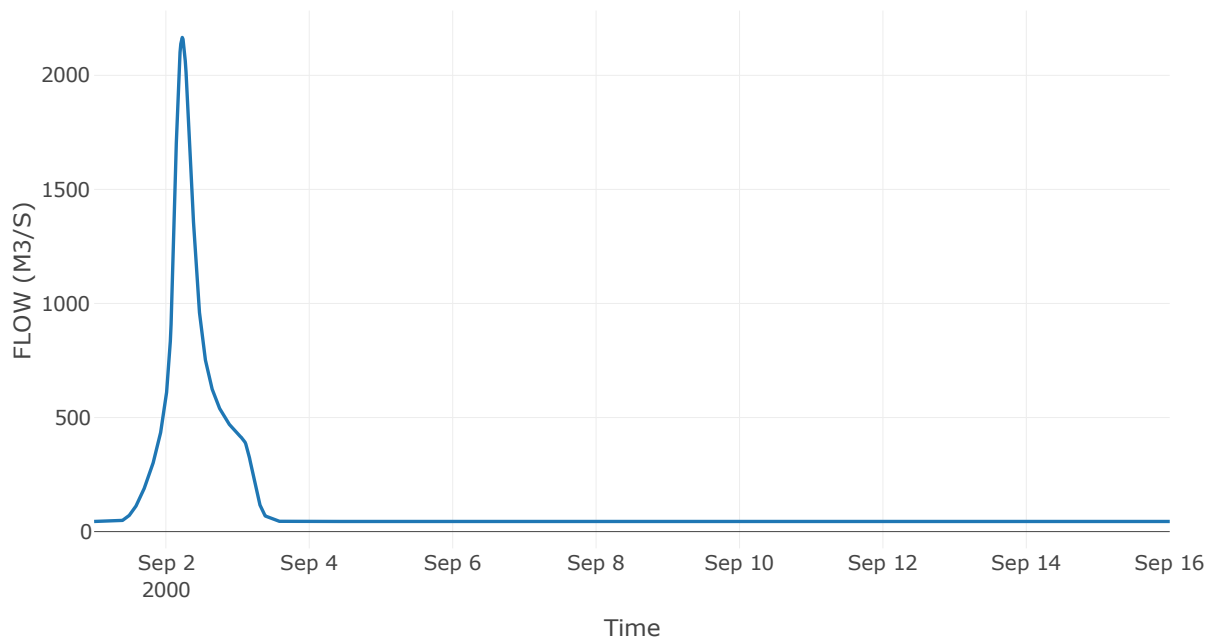
Κατάντη : J13

Μέθοδος Διόδευσης	Muskingum
Αρχική Μεταβλητή	Combined Inflow
Χρόνος Ροής Κ	1.83
Συντελεστής βάρους α	0.2
Πλήθος Υποκλάδων	8

Αποτελέσματα: R1413

Παροχή Αιχμής (M3/S)	2166.17
Χρονική στιγμή αιχμής	02Sep2000, 05:30
Όγκος (MM)	248.93
Παροχή Αιχμής Εισόδου (M3/S)	2195.85
Όγκος Εισροής (M3)	1.58E8

Απορροή



Κλάδος: R1514

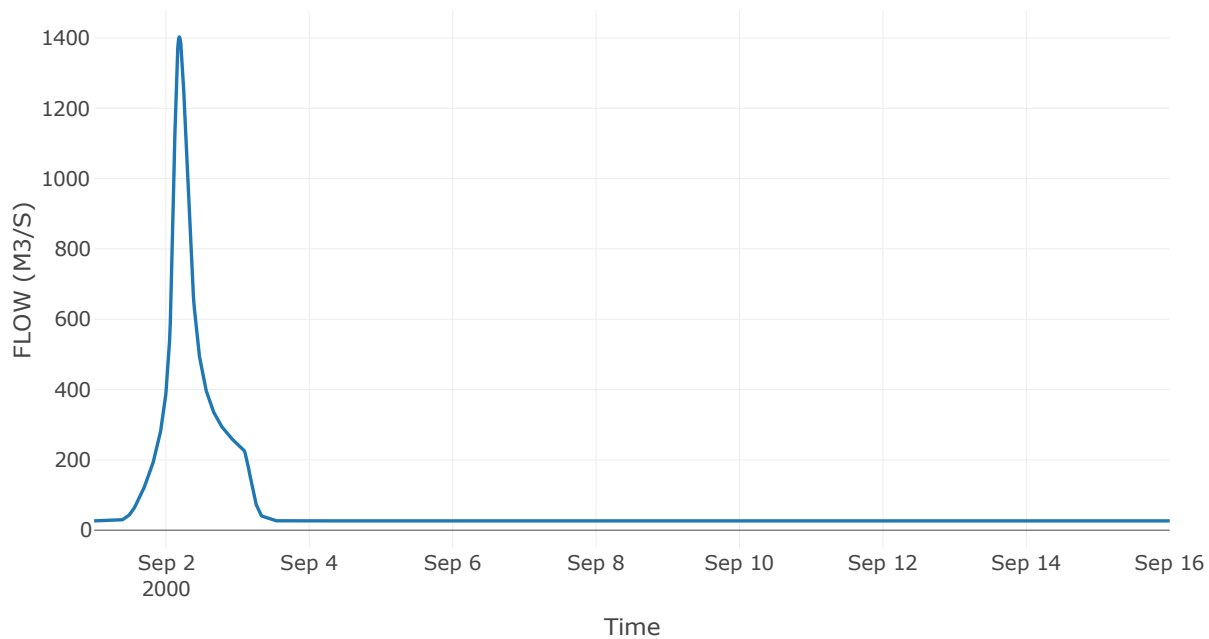
Κατάντη : J14

Μέθοδος Διόδευσης	Χρόνος
Αρχική Μεταβλητή	Combined Inflow
Χρόνος Υστέρησης	69.5

Αποτελέσματα: R1514

Παροχή Αιχμής (M3/S)	1403.05
Χρονική στιγμή αιχμής	02Sep2000, 04:30
Όγκος (MM)	247.36
Παροχή Αιχμής Εισόδου (M3/S)	1403.21
Όγκος Εισροής (M3)	9.32E7

Απορροή



Κλάδος: R1615

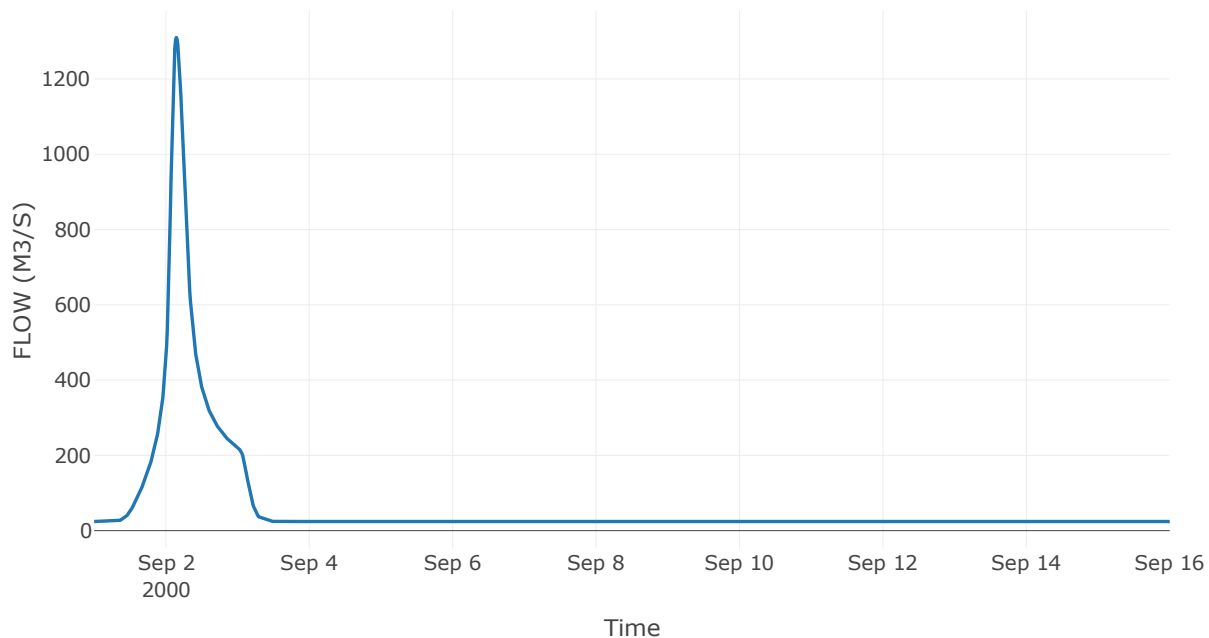
Κατάντη : J15

Μέθοδος Διόδευσης	Muskingum
Αρχική Μεταβλητή	Combined Inflow
Χρόνος Ροής Κ	0.63
Συντελεστής βάρους α	0.2
Πλήθος Υποκλάδων	3

Αποτελέσματα: R1615

Παροχή Αιχμής (M3/S)	1310.17
Χρονική στιγμή αιχμής	02Sep2000, 03:30
Όγκος (MM)	247.65
Παροχή Αιχμής Εισόδου (M3/S)	1316.35
Όγκος Εισροής (M3)	8.58E7

Απορροή



Κλάδος: R1716

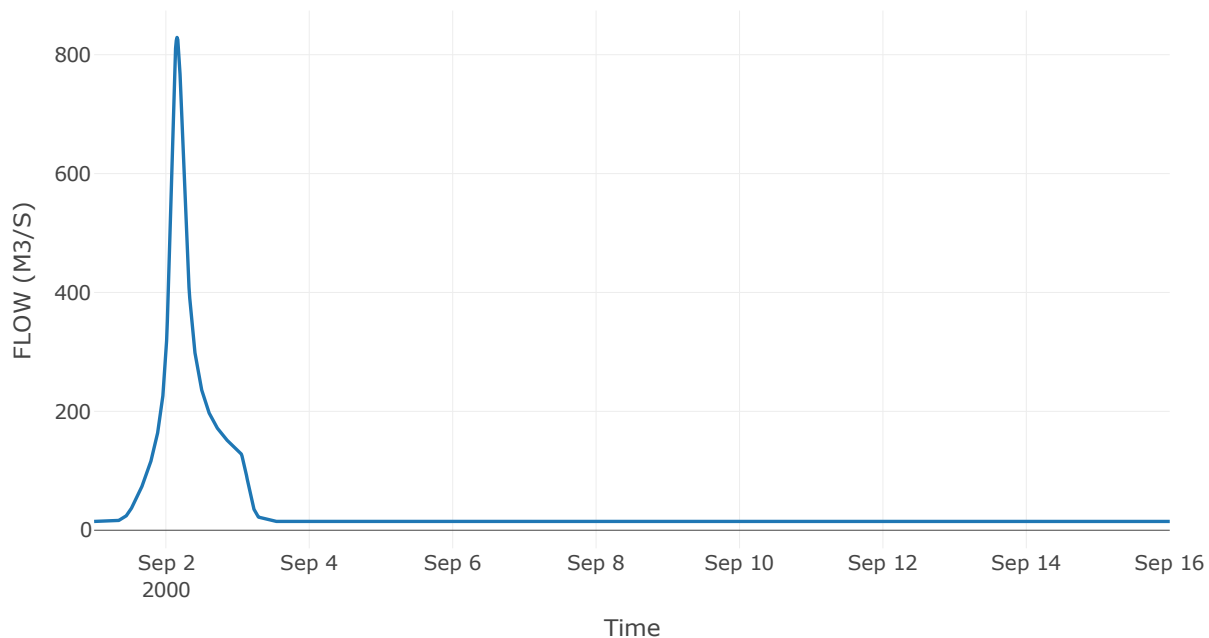
Κατάντη : J16

Μέθοδος Διόδευσης	Muskingum
Αρχική Μεταβλητή	Combined Inflow
Χρόνος Ροής Κ	0.18
Συντελεστής βάρους α	0.2
Πλήθος Υποκλάδων	1

Αποτελέσματα: R1716

Παροχή Αιχμής (M3/S)	829.11
Χρονική στιγμή αιχμής	02Sep2000, 03:45
Όγκος (MM)	251.89
Παροχή Αιχμής Εισόδου (M3/S)	830.01
Όγκος Εισροής (M3)	5.33E7

Απορροή



Κλάδος: R1817

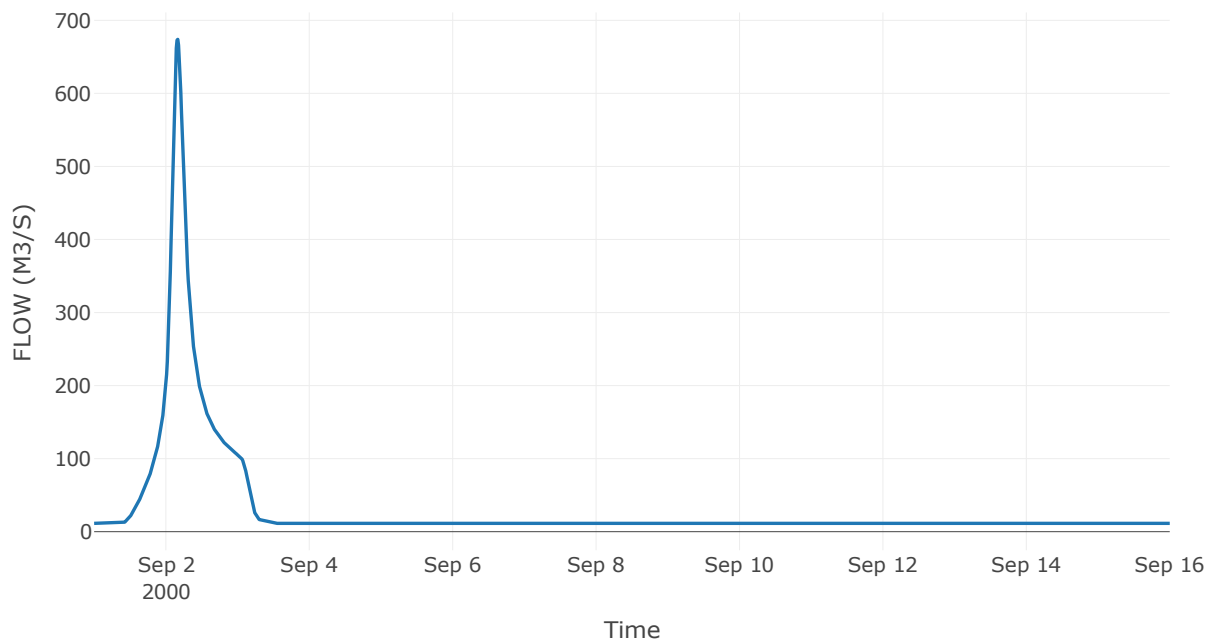
Κατάντη : J17

Μέθοδος Διόδευσης	Muskingum
Αρχική Μεταβλητή	Combined Inflow
Χρόνος Ροής Κ	0.88
Συντελεστής βάρους α	0.2
Πλήθος Υποκλάδων	4

Αποτελέσματα: R1817

Παροχή Αιχμής (M3/S)	673.99
Χρονική στιγμή αιχμής	02Sep2000, 04:00
Όγκος (MM)	250.88
Παροχή Αιχμής Εισόδου (M3/S)	683.96
Όγκος Εισροής (M3)	4.09E7

Απορροή



Κλάδος: R1918

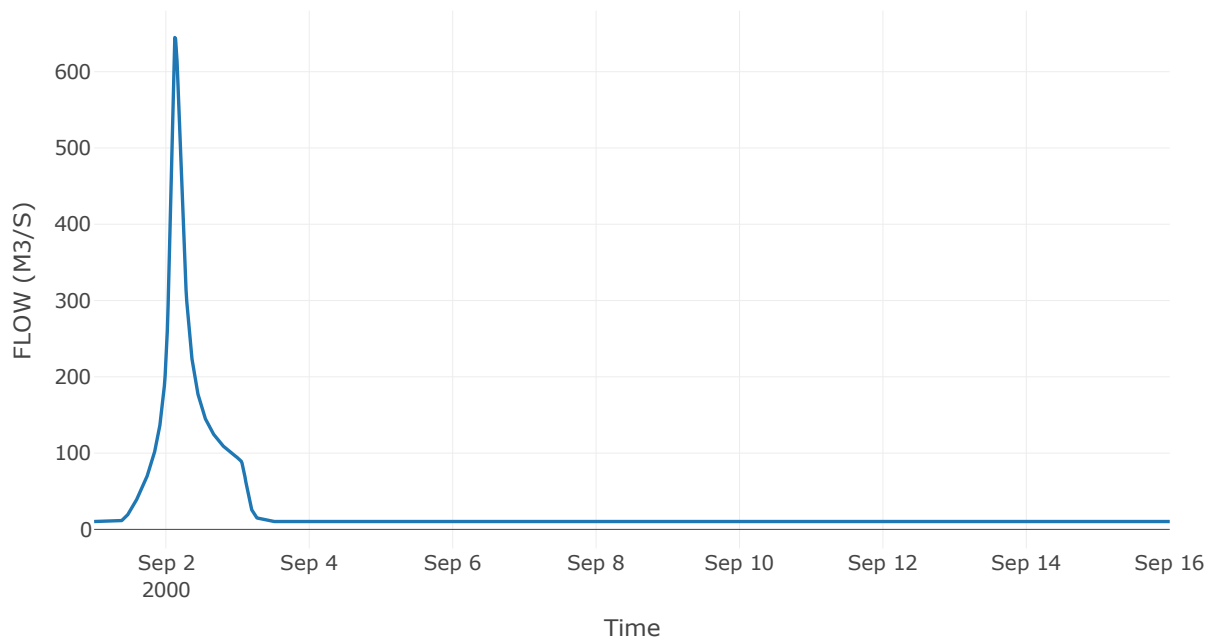
Κατάντη : J18

Μέθοδος Διόδευσης	Muskingum
Αρχική Μεταβλητή	Combined Inflow
Χρόνος Ροής K	0.77
Συντελεστής βάρους x	0.2
Πλήθος Υποκλάδων	3

Αποτελέσματα: R1918

Παροχή Αιχμής (M3/S)	644.83
Χρονική στιγμή αιχμής	02Sep2000, 03:00
Όγκος (MM)	252.53
Παροχή Αιχμής Εισόδου (M3/S)	655.73
Όγκος Εισροής (M3)	3.73E7

Απορροή



Κλάδος: R2016

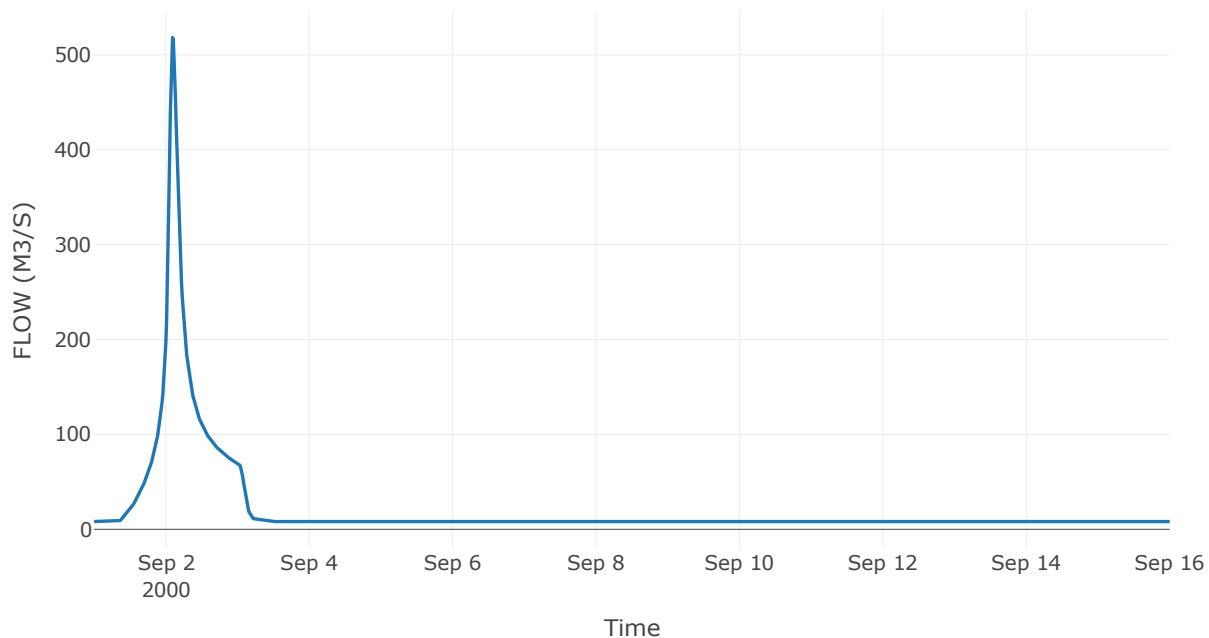
Κατάντη : J16

Μέθοδος Διόδευσης	Muskingum
Αρχική Μεταβλητή	Combined Inflow
Χρόνος Ροής K	0.39
Συντελεστής βάρους x	0.2
Πλήθος Υποκλάδων	2

Αποτελέσματα: R2016

Παροχή Αιχμής (M3/S)	518.26
Χρονική στιγμή αιχμής	02Sep2000, 02:15
Όγκος (MM)	240.46
Παροχή Αιχμής Εισόδου (M3/S)	523.84
Όγκος Εισροής (M3)	2.8E7

Απορροή



Κλάδος: R2120

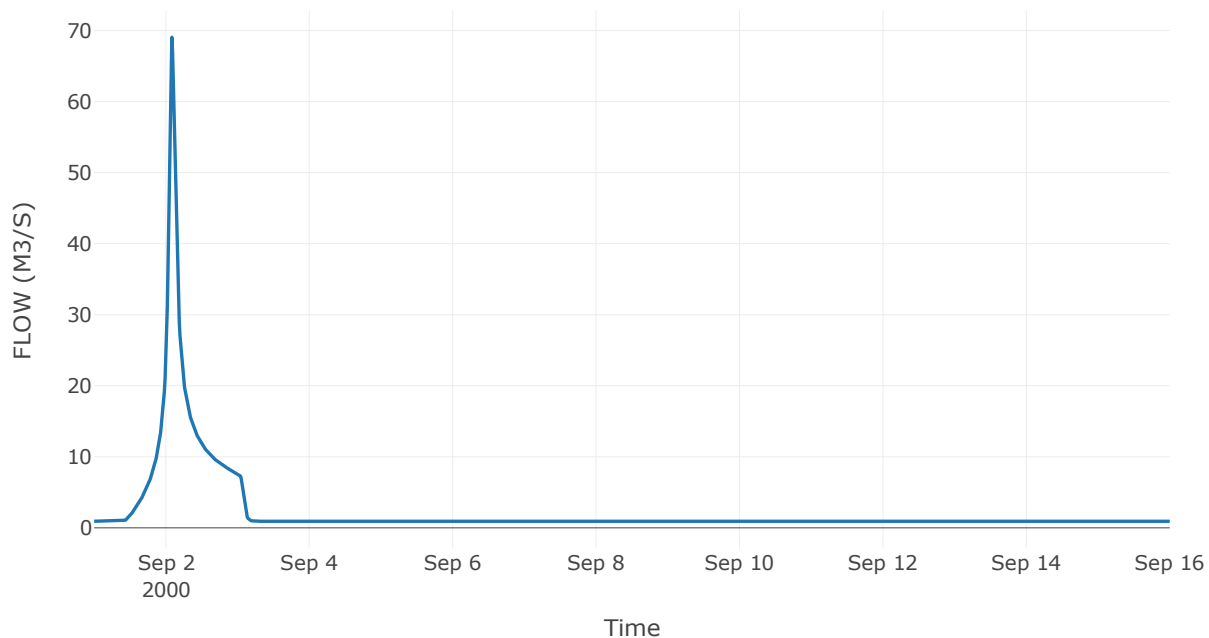
Κατάντη : J20

Μέθοδος Διόδευσης	Muskingum
Αρχική Μεταβλητή	Combined Inflow
Χρόνος Ροής Κ	0.88
Συντελεστής βάρους x	0.2
Πλήθος Υποκλάδων	4

Αποτελέσματα: R2120

Παροχή Αιχμής (M3/S)	69.05
Χρονική στιγμή αιχμής	02Sep2000, 02:00
Όγκος (MM)	233.03
Παροχή Αιχμής Εισόδου (M3/S)	73.04
Όγκος Εισροής (M3)	3.08E6

Απορροή



Κλάδος: R2214

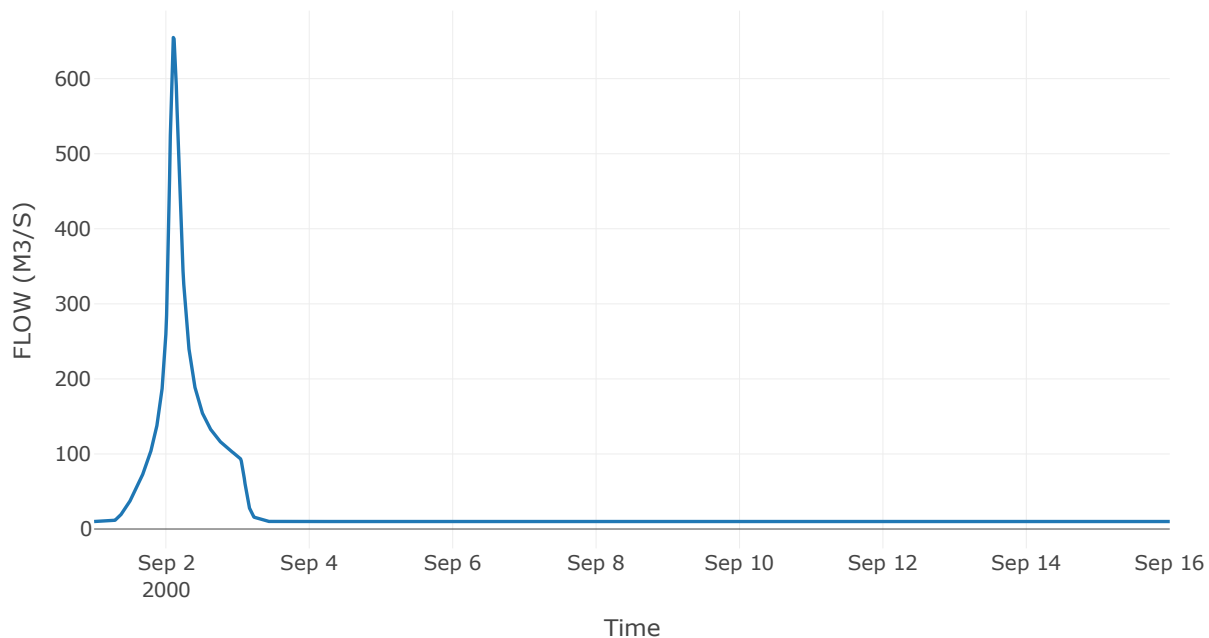
Κατάντη : J14

Μέθοδος Διόδευσης	Muskingum
Αρχική Μεταβλητή	Combined Inflow
Χρόνος Ροής K	0.48
Συντελεστής βάρους x	0.2
Πλήθος Υποκλάδων	2

Αποτελέσματα: R2214

Παροχή Αιχμής (M3/S)	654.86
Χρονική στιγμή αιχμής	02Sep2000, 02:30
Όγκος (MM)	263.79
Παροχή Αιχμής Εισόδου (M3/S)	662.61
Όγκος Εισροής (M3)	3.77E7

Απορροή



Κλάδος: R2311

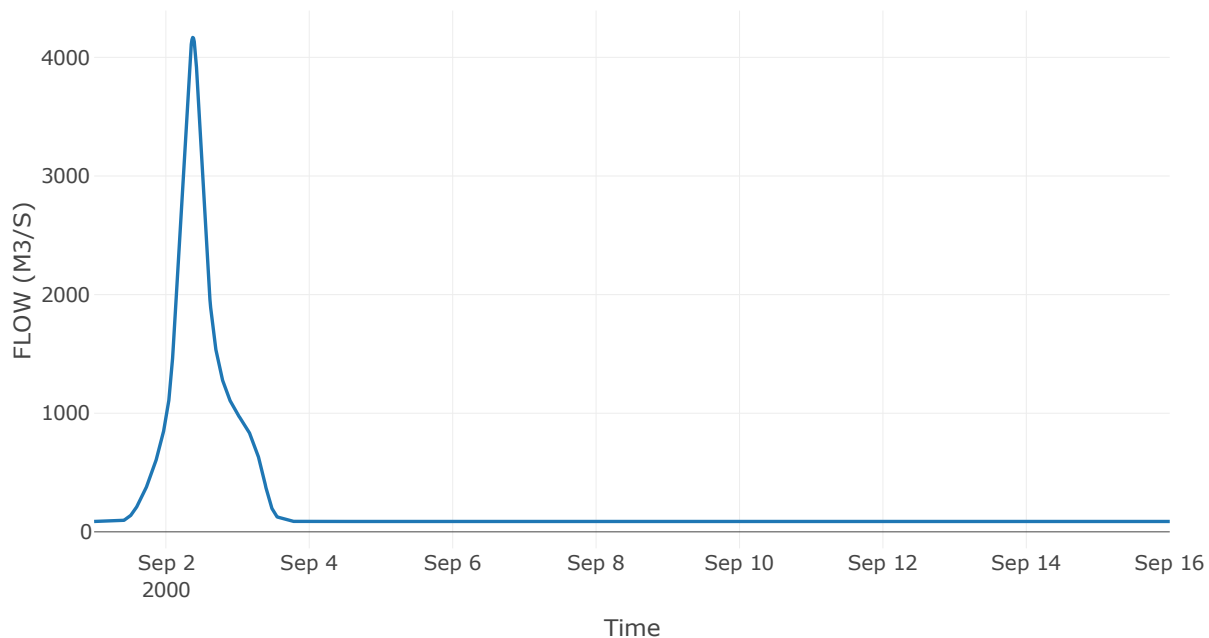
Κατάντη : J11

Μέθοδος Διόδευσης	Muskingum
Αρχική Μεταβλητή	Combined Inflow
Χρόνος Ροής K	2.09
Συντελεστής βάρους x	0.2
Πλήθος Υποκλάδων	9

Αποτελέσματα: R2311

Παροχή Αιχμής (M3/S)	4168.13
Χρονική στιγμή αιχμής	02Sep2000, 09:00
Όγκος (MM)	268.63
Παροχή Αιχμής Εισόδου (M3/S)	4228.85
Όγκος Εισροής (M3)	3.36E8

Απορροή



Κλάδος: R2423

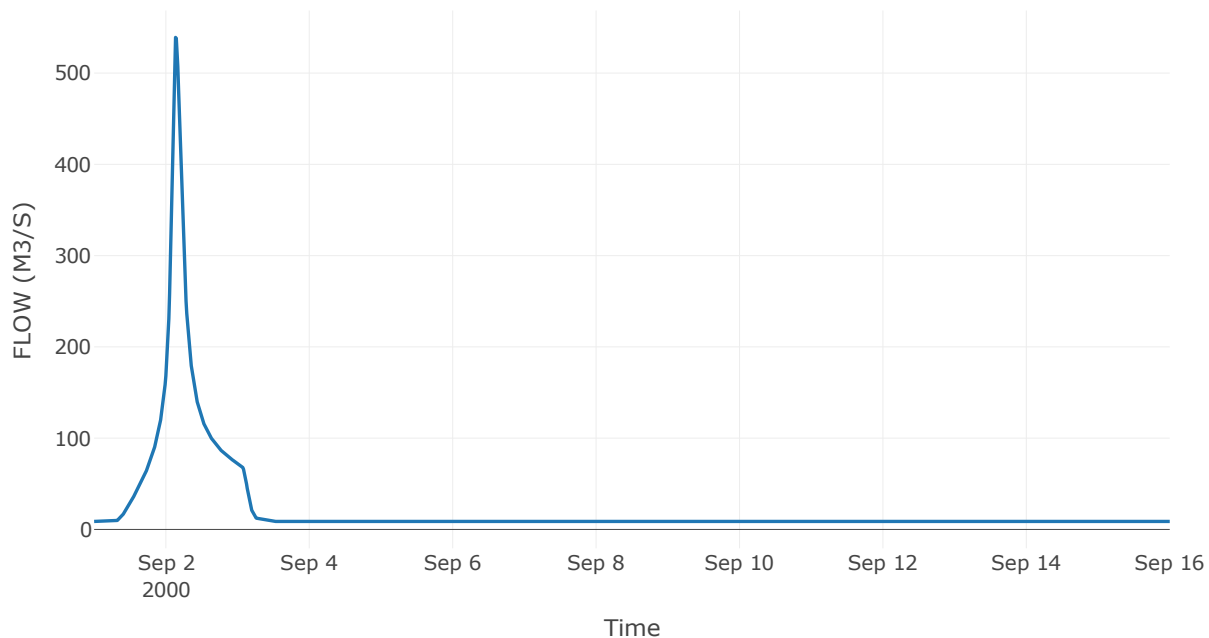
Κατάντη : J23

Μέθοδος Διόδευσης	Muskingum
Αρχική Μεταβλητή	Combined Inflow
Χρόνος Ροής K	1.52
Συντελεστής βάρους x	0.2
Πλήθος Υποκλάδων	6

Αποτελέσματα: R2423

Παροχή Αιχμής (M3/S)	539.07
Χρονική στιγμή αιχμής	02Sep2000, 03:15
Όγκος (MM)	244.18
Παροχή Αιχμής Εισόδου (M3/S)	564.34
Όγκος Εισροής (M3)	3.06E7

Απορροή



Κλάδος: R257

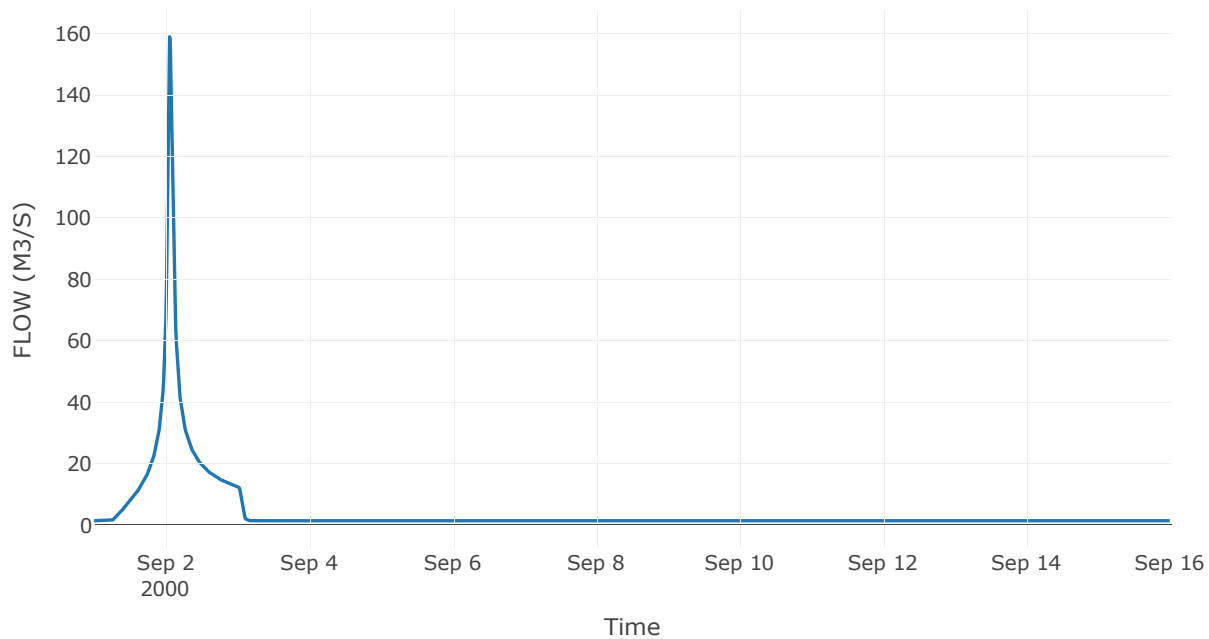
Κατάντη : J7

Μέθοδος Διόδευσης	Χρόνος
Αρχική Μεταβλητή	Combined Inflow
Χρόνος Υστέρησης	25.15

Αποτελέσματα: R257

Παροχή Αιχμής (M3/S)	159.05
Χρονική στιγμή αιχμής	02Sep2000, 01:15
Όγκος (MM)	277.86
Παροχή Αιχμής Εισόδου (M3/S)	159.35
Όγκος Εισροής (M3)	5.67E6

Απορροή



Κλάδος: R265

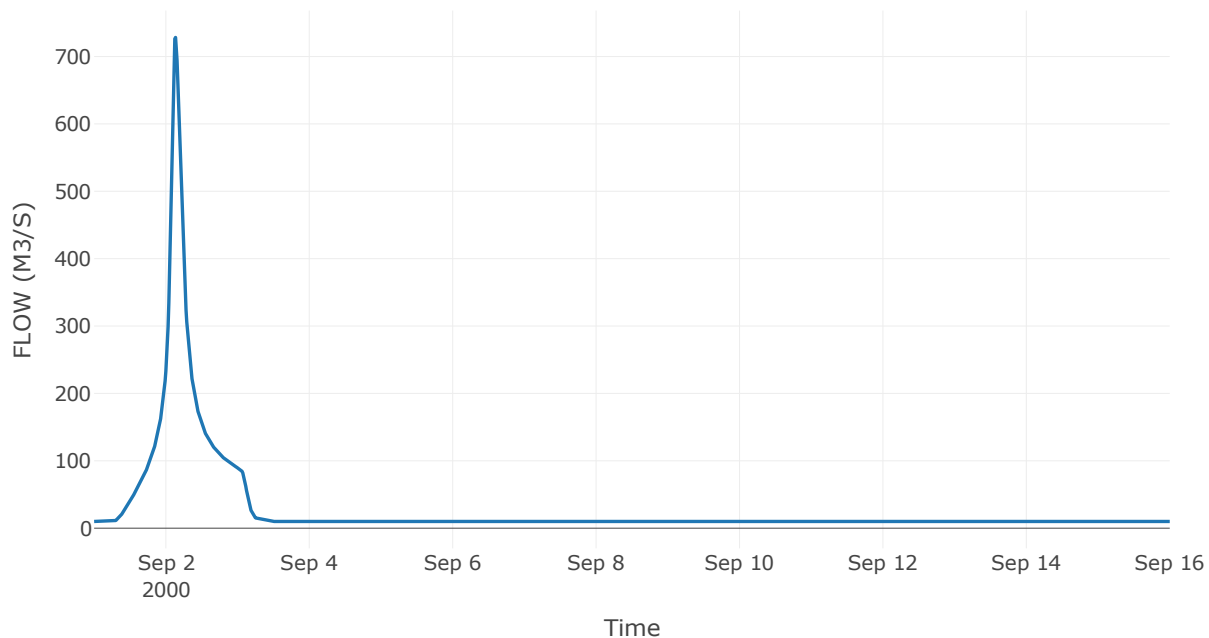
Κατάντη : J5

Μέθοδος Διόδευσης	Muskingum
Αρχική Μεταβλητή	Combined Inflow
Χρόνος Ροής Κ	1.19
Συντελεστής βάρους x	0.2
Πλήθος Υποκλάδων	5

Αποτελέσματα: R265

Παροχή Αιχμής (M3/S)	728.29
Χρονική στιγμή αιχμής	02Sep2000, 03:15
Όγκος (MM)	270.04
Παροχή Αιχμής Εισόδου (M3/S)	751.34
Όγκος Εισροής (M3)	3.85E7

Απορροή



Κλάδος: R274

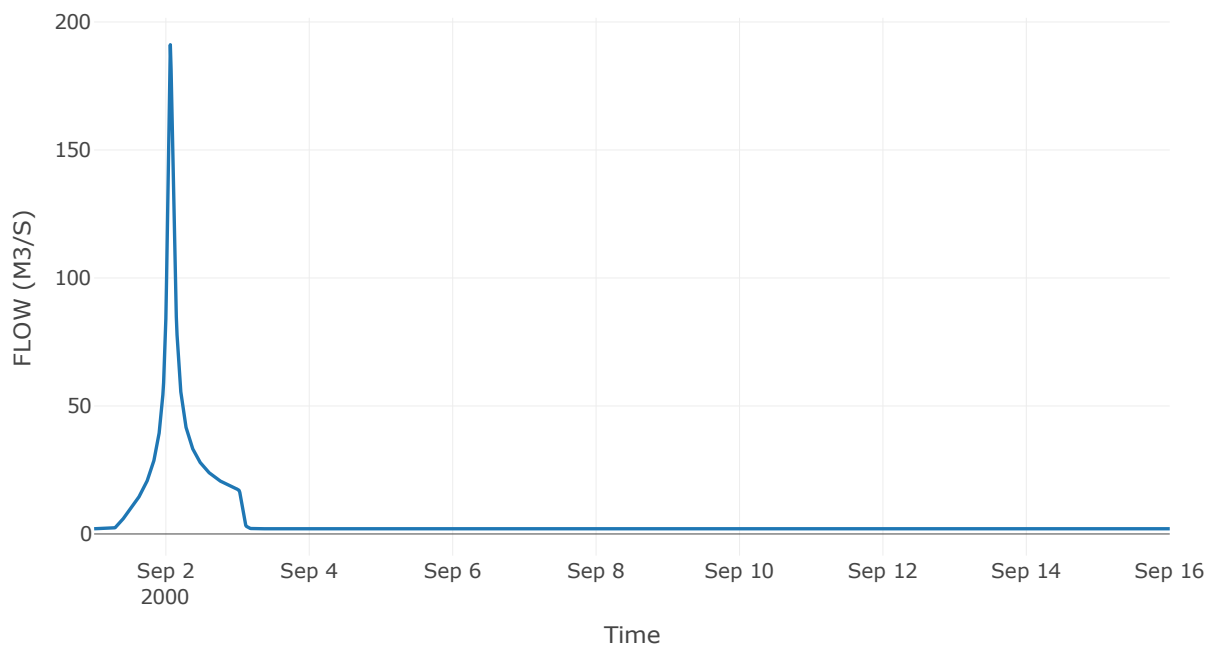
Κατάντη : J4

Μέθοδος Διόδευσης	Χρόνος
Αρχική Μεταβλητή	Combined Inflow
Χρόνος Υστέρησης	19.78

Αποτελέσματα: R274

Παροχή Αιχμής (M3/S)	191.1
Χρονική στιγμή αιχμής	02Sep2000, 01:30
Όγκος (MM)	263.08
Παροχή Αιχμής Εισόδου (M3/S)	192.54
Όγκος Εισροής (M3)	7.65E6

Απορροή



Κλάδος: R2917

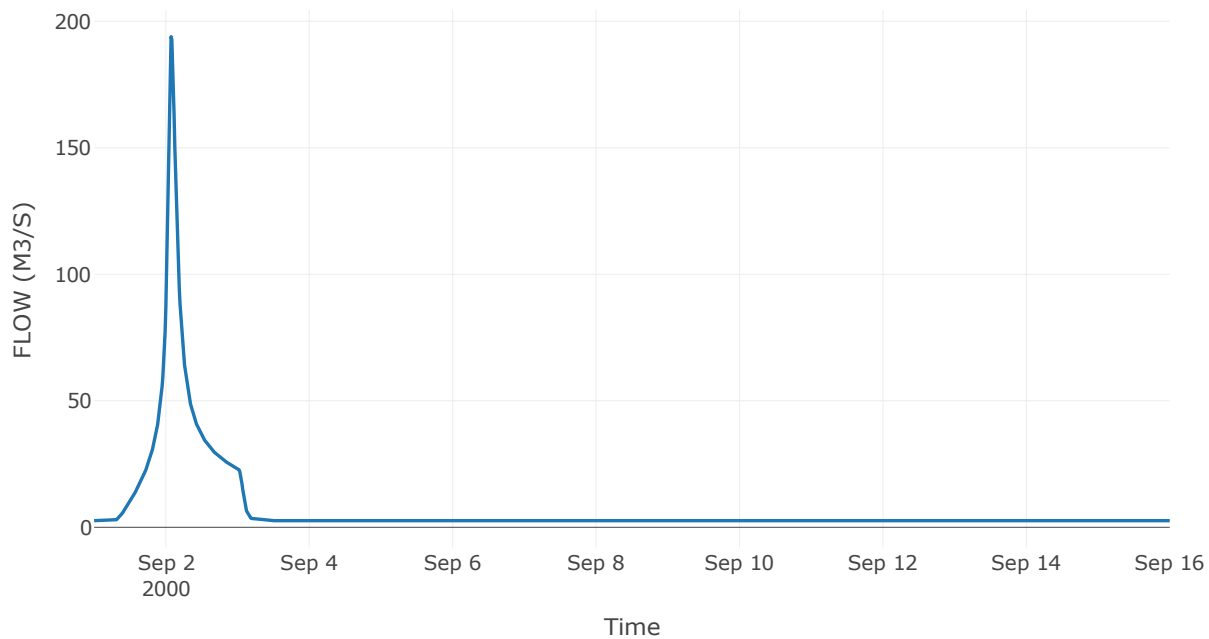
Κατάντη : J17

Μέθοδος Διόδευσης	Χρόνος
Αρχική Μεταβλητή	Combined Inflow
Χρόνος Υστέρησης	8.78

Αποτελέσματα: R2917

Παροχή Αιχμής (M3/S)	193.91
Χρονική στιγμή αιχμής	02Sep2000, 01:45
Όγκος (MM)	257.56
Παροχή Αιχμής Εισόδου (M3/S)	194.83
Όγκος Εισροής (M3)	9.6E6

Απορροή



Κλάδος: R3020

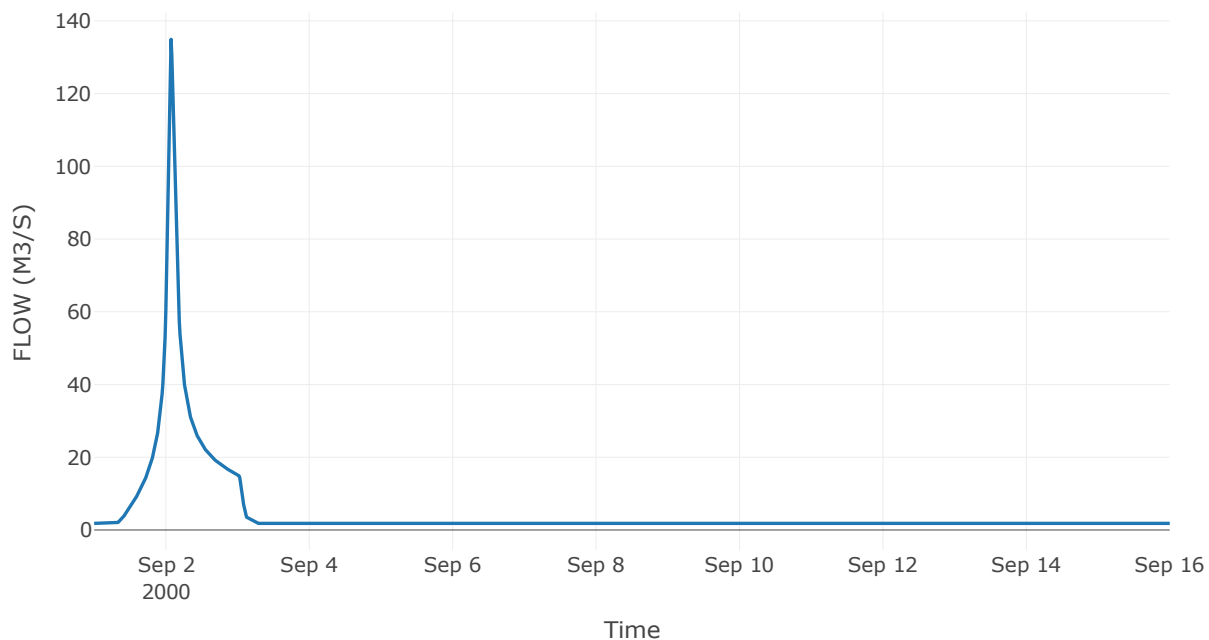
Κατάντη : J20

Μέθοδος Διόδευσης	Muskingum
Αρχική Μεταβλητή	Combined Inflow
Χρόνος Ροής Κ	0.2
Συντελεστής βάρους x	0.2
Πλήθος Υποκλάδων	1

Αποτελέσματα: R3020

Παροχή Αιχμής (M3/S)	134.91
Χρονική στιγμή αιχμής	02Sep2000, 01:45
Όγκος (MM)	246.5
Παροχή Αιχμής Εισόδου (M3/S)	136.33
Όγκος Εισροής (M3)	6.37E6

Απορροή



Κλάδος: R3113

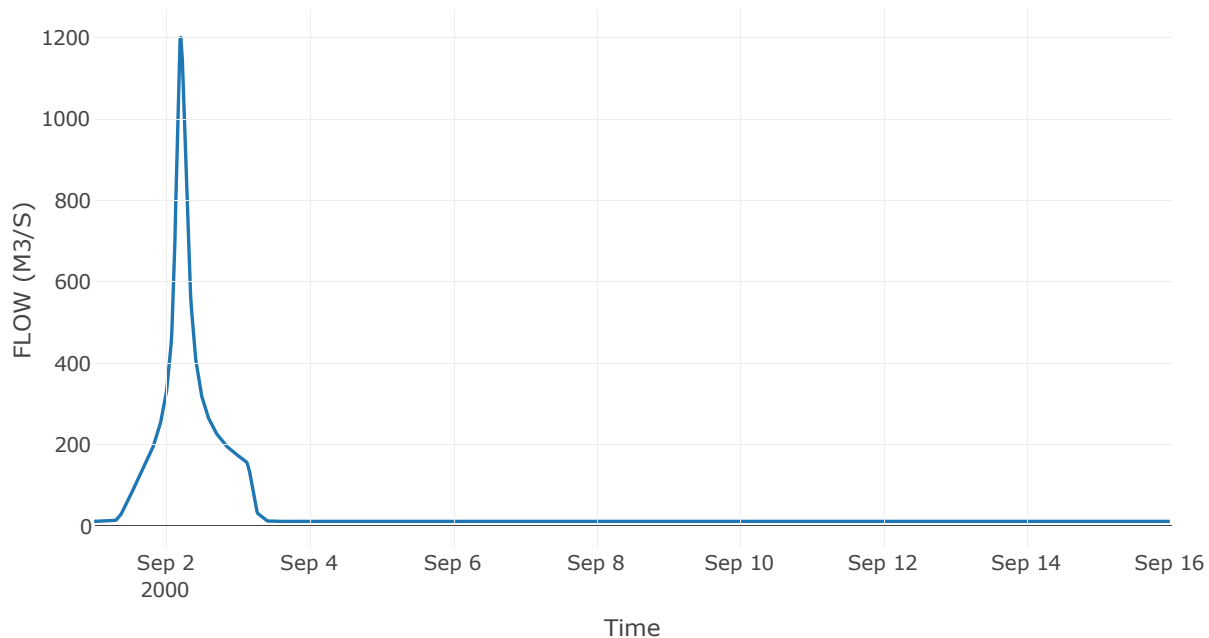
Κατάντη : J13

Μέθοδος Διόδευσης	Muskingum
Αρχική Μεταβλητή	Combined Inflow
Χρόνος Ροής K	3.03
Συντελεστής βάρους x	0.2
Πλήθος Υποκλάδων	13

Αποτελέσματα: R3113

Παροχή Αιχμής (M3/S)	1200.55
Χρονική στιγμή αιχμής	02Sep2000, 05:00
Όγκος (MM)	363.72
Παροχή Αιχμής Εισόδου (M3/S)	1300.78
Όγκος Εισροής (M3)	6.28E7

Απορροή



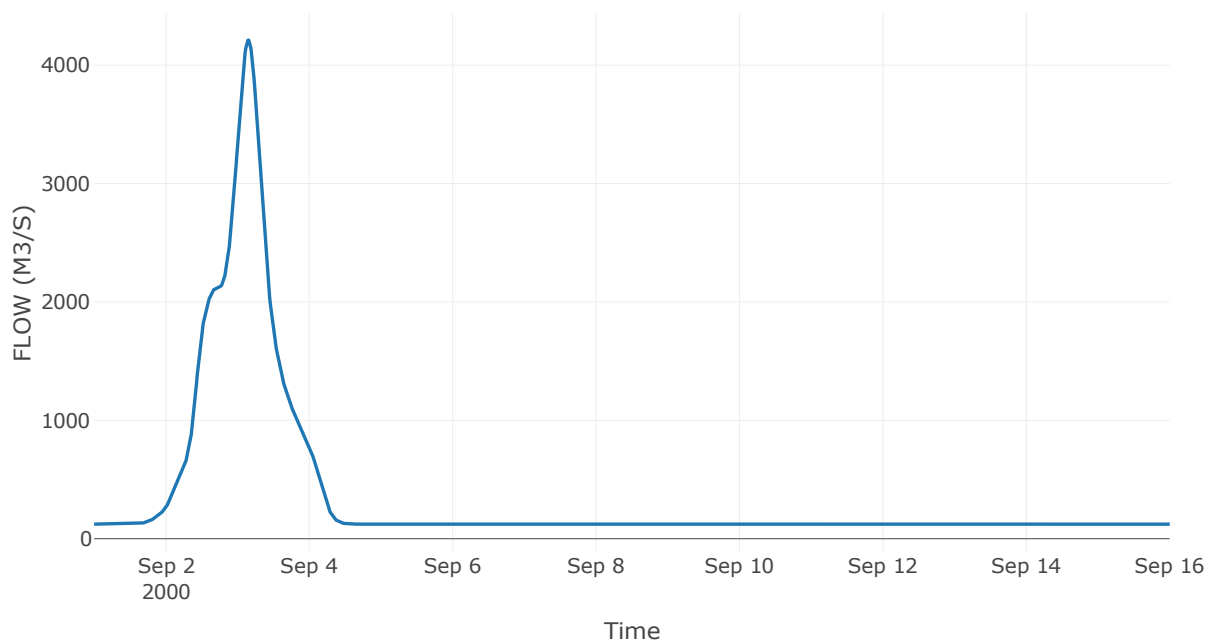
7.3 Δεδομένα και υδρογραφήματα σχεδιασμού Κόμβων υδρογραφικού δικτύου

Κόμβος εξόδου: J1

Αποτέλεσμα
τα: J1

Παροχή αιχμής (M3/S)	4210.96
Χρονική στιγμή αιχμής	03Sep2000, 03:30
Όγκος (MM)	268.77

Απορροή



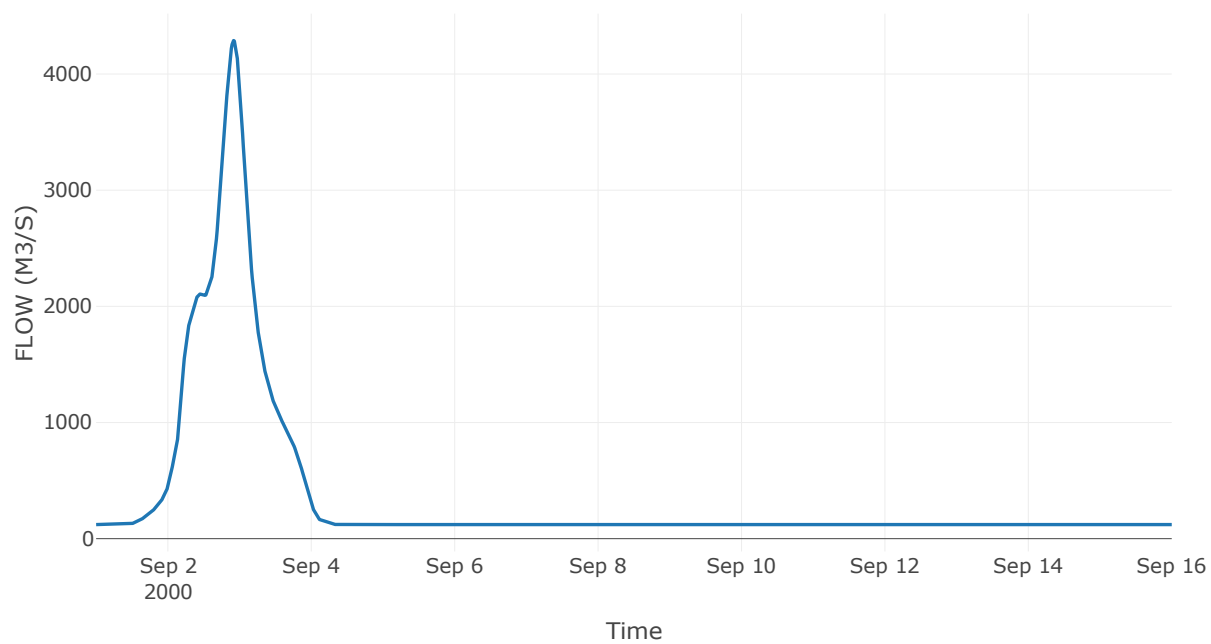
Κόμβος: J2

Κατάντη : R21

Αποτελέσματα: J2

Παροχή Αιχμής (M3/S)	4288.24
Χρονική στιγμή αιχμής	02Sep2000, 22:00
Όγκος (MM)	268.73

Απορροή



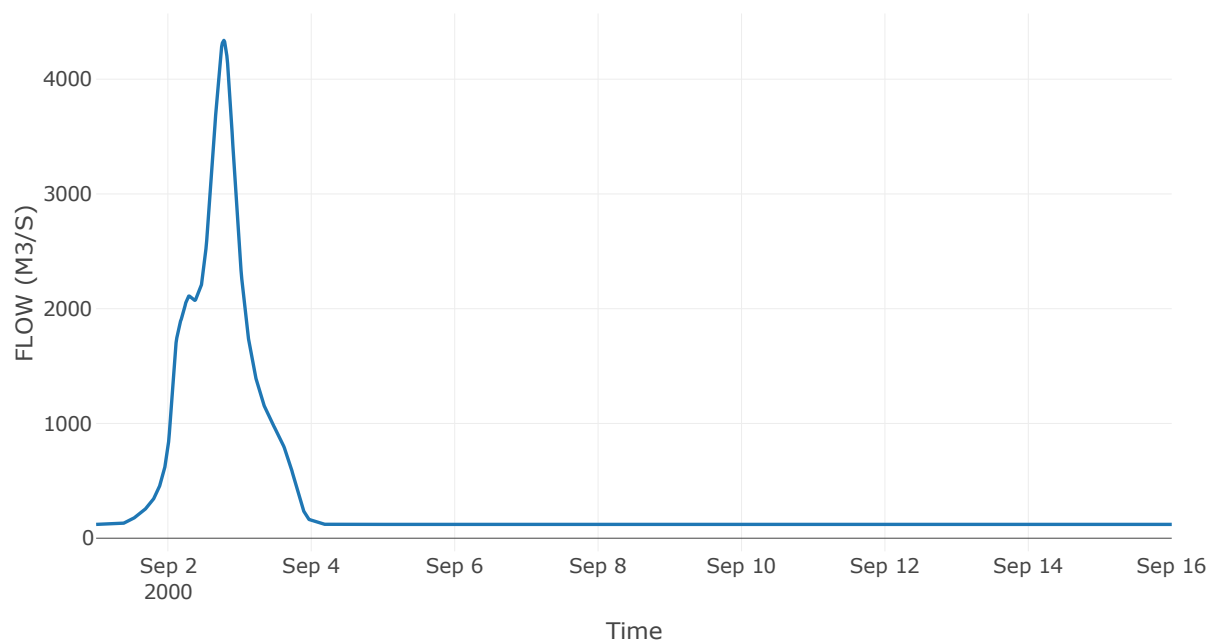
Κόμβος: J3

Κατάντη : R32

Αποτελέσματα: J3

Παροχή Αιχμής (M3/S)	4338.37
Χρονική στιγμή αιχμής	02Sep2000, 18:45
Όγκος (MM)	268.77

Απορροή



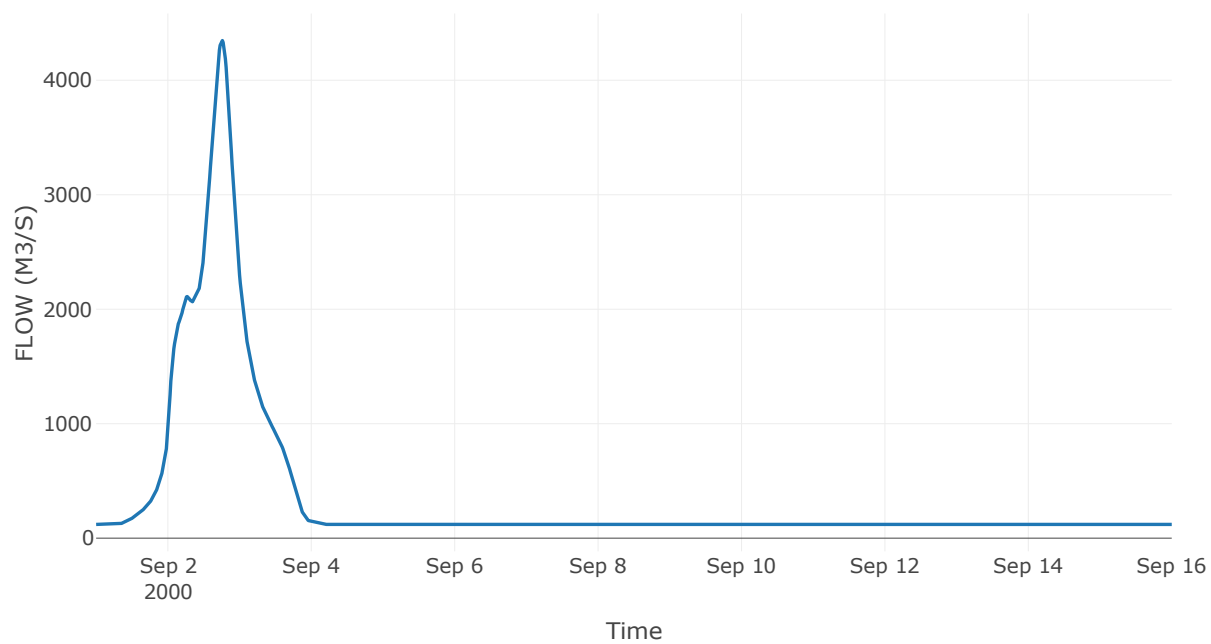
Κόμβος: J4

Κατάντη : R43

Αποτελέσματα: J4

Παροχή Αιχμής (M3/S)	4348.07
Χρονική στιγμή αιχμής	02Sep2000, 18:00
Όγκος (MM)	268.75

Απορροή



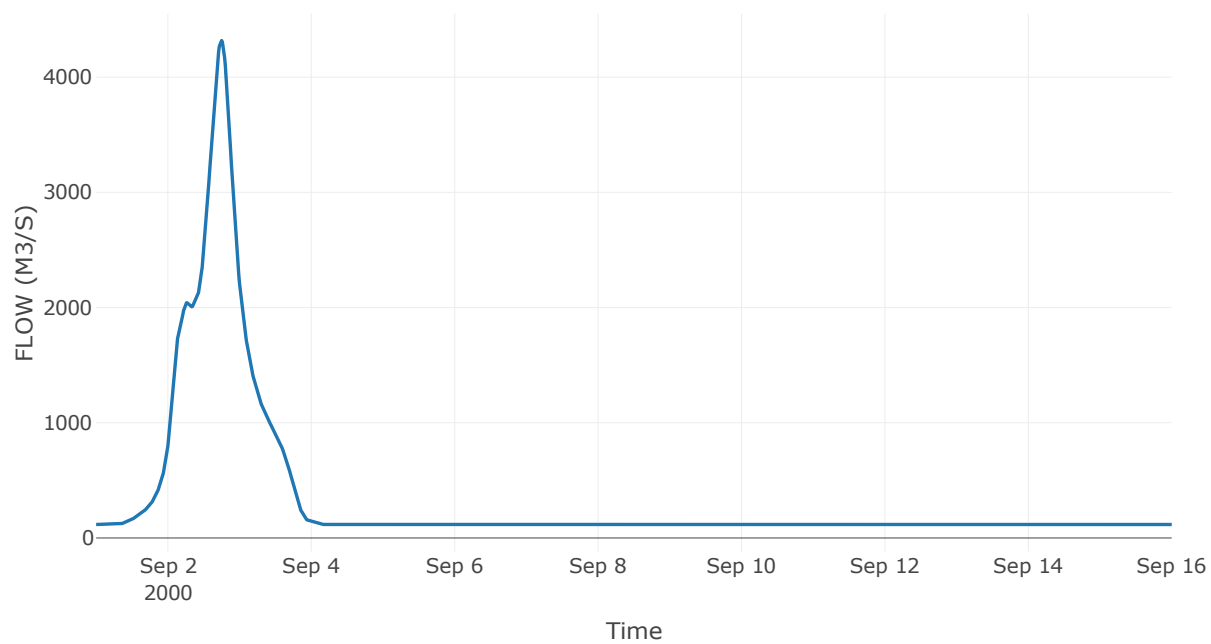
Κόμβος: J5

Κατάντη : R54

Αποτελέσματα: J5

Παροχή Αιχμής (M3/S)	4318.3
Χρονική στιγμή αιχμής	02Sep2000, 18:00
Όγκος (MM)	269

Απορροή



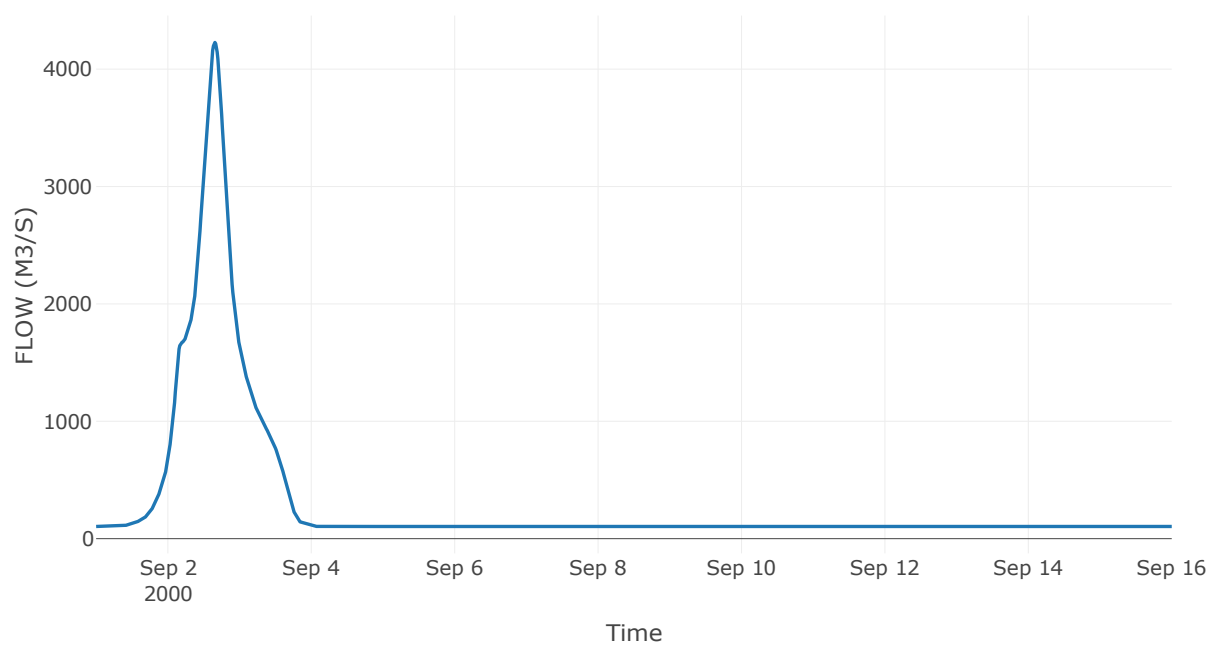
Κόμβος: J6

Κατάντη : R65

Αποτελέσματα: J6

Παροχή Αιχμής (M3/S)	4227.48
Χρονική στιγμή αιχμής	02Sep2000, 15:45
Όγκος (MM)	269.49

Απορροή



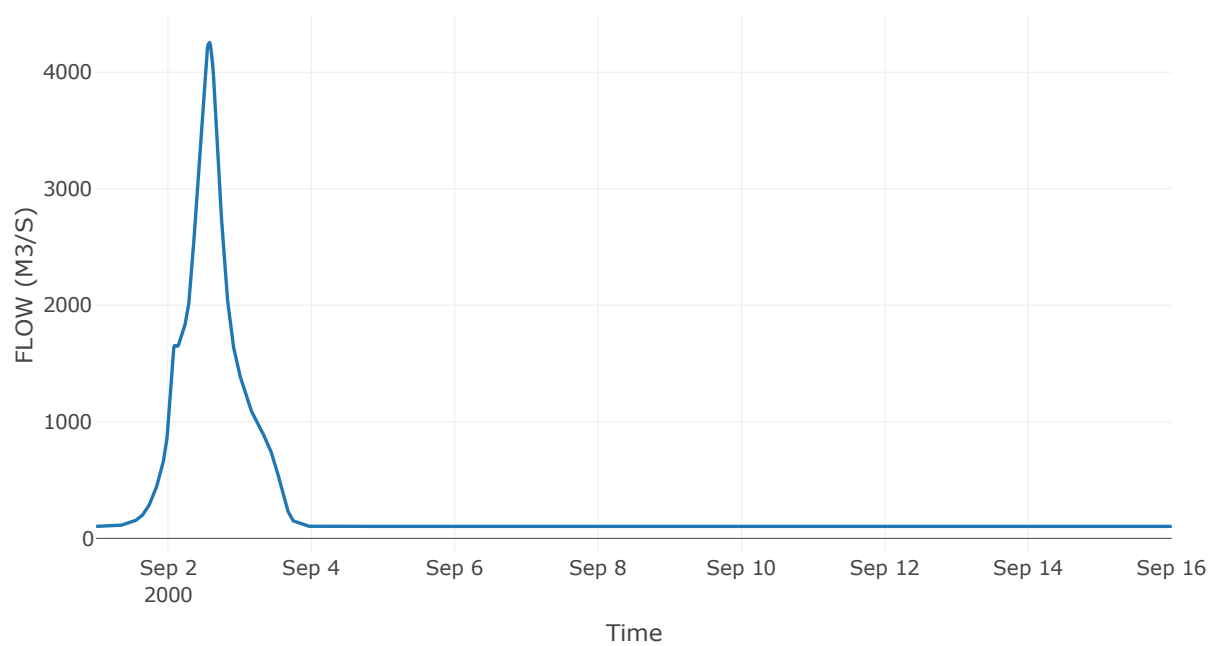
Κόμβος: J7

Κατάντη : R76

Αποτελέσματα: J7

Παροχή Αιχμής (M3/S)	4255.83
Χρονική στιγμή αιχμής	02Sep2000, 13:45
Όγκος (MM)	269.6

Απορροή



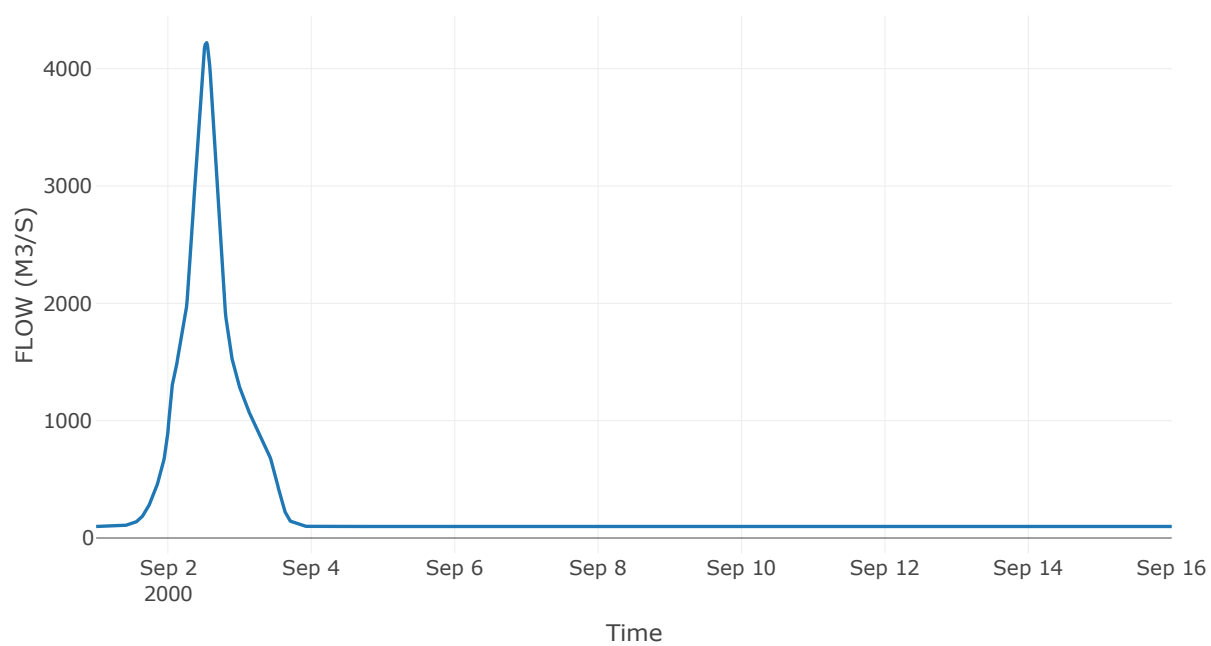
Κόμβος: J8

Κατάντη : R87

Αποτελέσματα: J8

Παροχή Αιχμής (M3/S)	4223.31
Χρονική στιγμή αιχμής	02Sep2000, 12:45
Όγκος (MM)	268.95

Απορροή



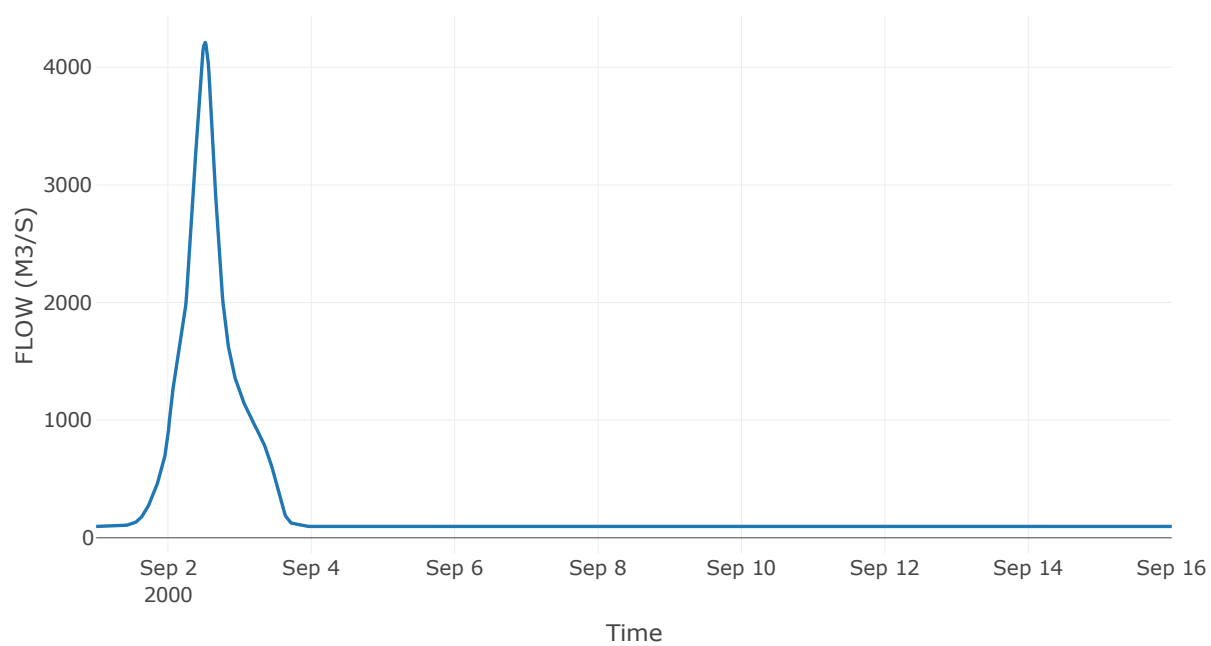
Κόμβος: J9

Κατάντη : R98

Αποτελέσματα: J9

Παροχή Αιχμής (M3/S)	4211.46
Χρονική στιγμή αιχμής	02Sep2000, 12:30
Όγκος (MM)	268.99

Απορροή



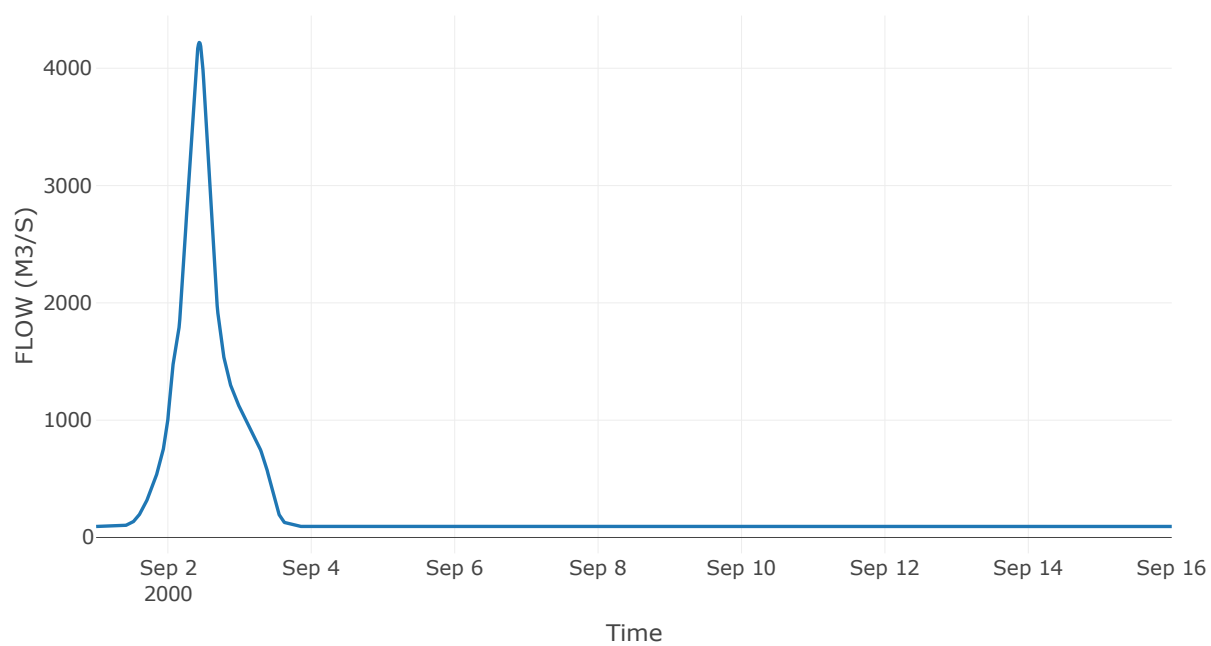
Κόμβος: J10

Κατάντη : R109

Αποτελέσματα: J10

Παροχή Αιχμής (M3/S)	4219.88
Χρονική στιγμή αιχμής	02Sep2000, 10:30
Όγκος (MM)	268.46

Απορροή



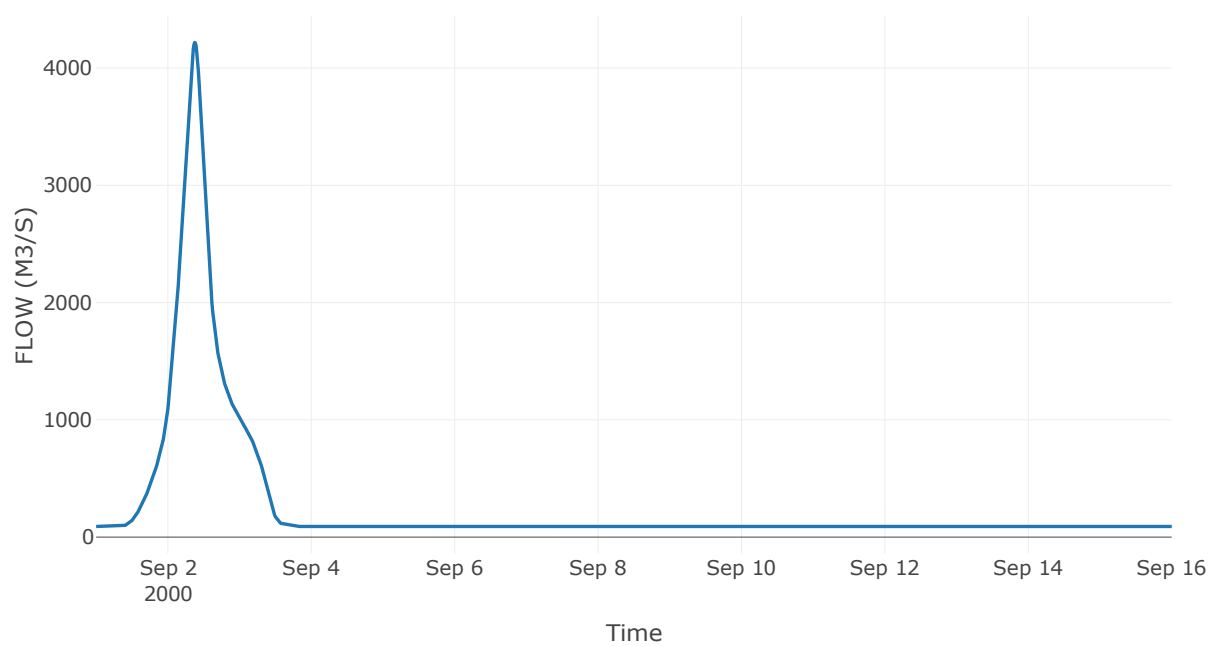
Κόμβος: J11

Κατάντη : R1110

Αποτελέσματα: J11

Παροχή Αιχμής (M3/S)	4218.41
Χρονική στιγμή αιχμής	02Sep2000, 09:00
Όγκος (MM)	267.82

Απορροή



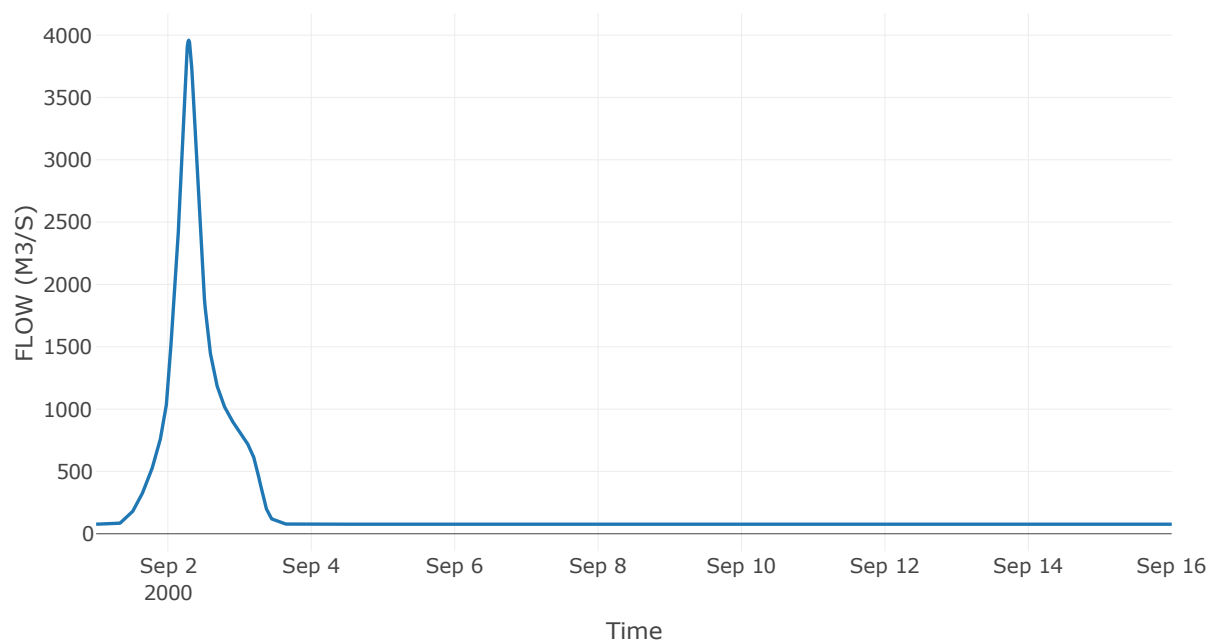
Κόμβος: J12

Κατάντη : R1223

Αποτελέσματα: J12

Παροχή Αιχμής (M3/S)	3959.53
Χρονική στιγμή αιχμής	02Sep2000, 07:00
Όγκος (MM)	272.36

Απορροή



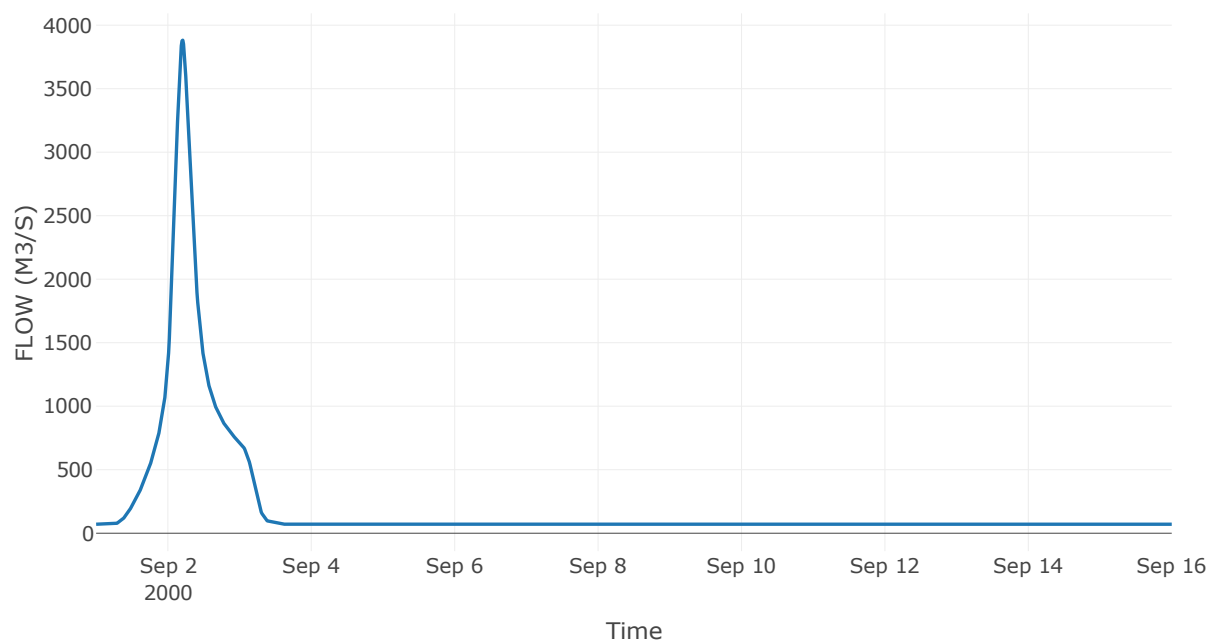
Κόμβος: J13

Κατάντη : R1312

Αποτελέσματα: J13

Παροχή Αιχμής (M3/S)	3881.7
Χρονική στιγμή αιχμής	02Sep2000, 05:00
Όγκος (MM)	270.45

Απορροή



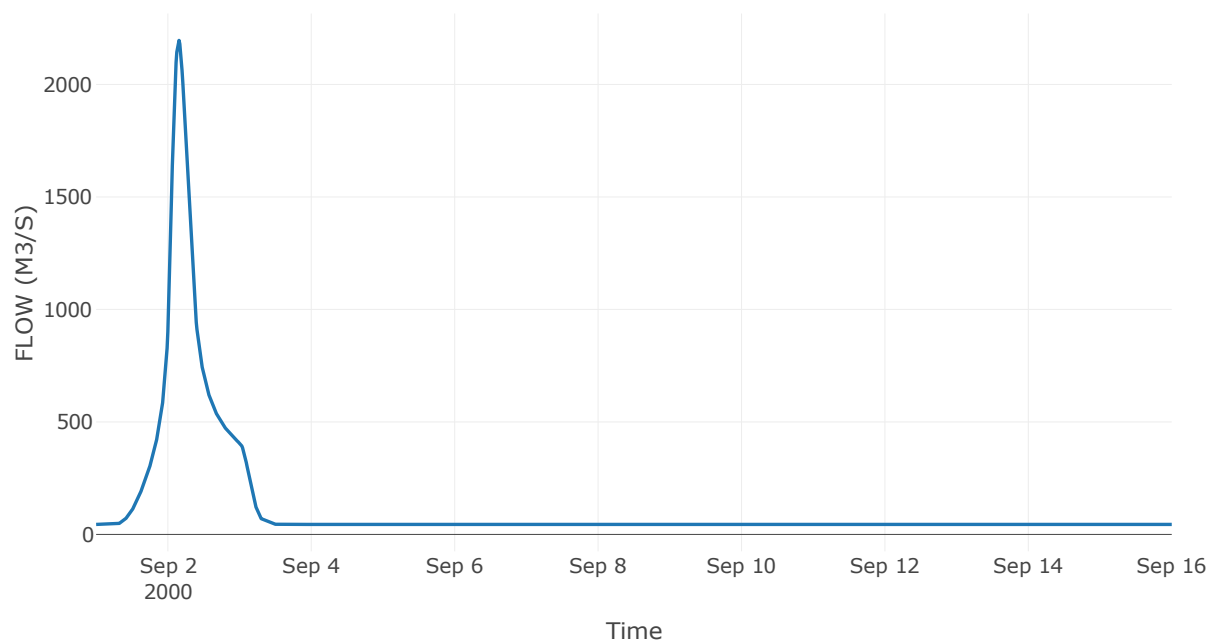
Κόμβος: J14

Κατάντη : R1413

Αποτελέσματα: J14

Παροχή Αιχμής (M3/S)	2195.85
Χρονική στιγμή αιχμής	02Sep2000, 03:45
Όγκος (MM)	248.93

Απορροή



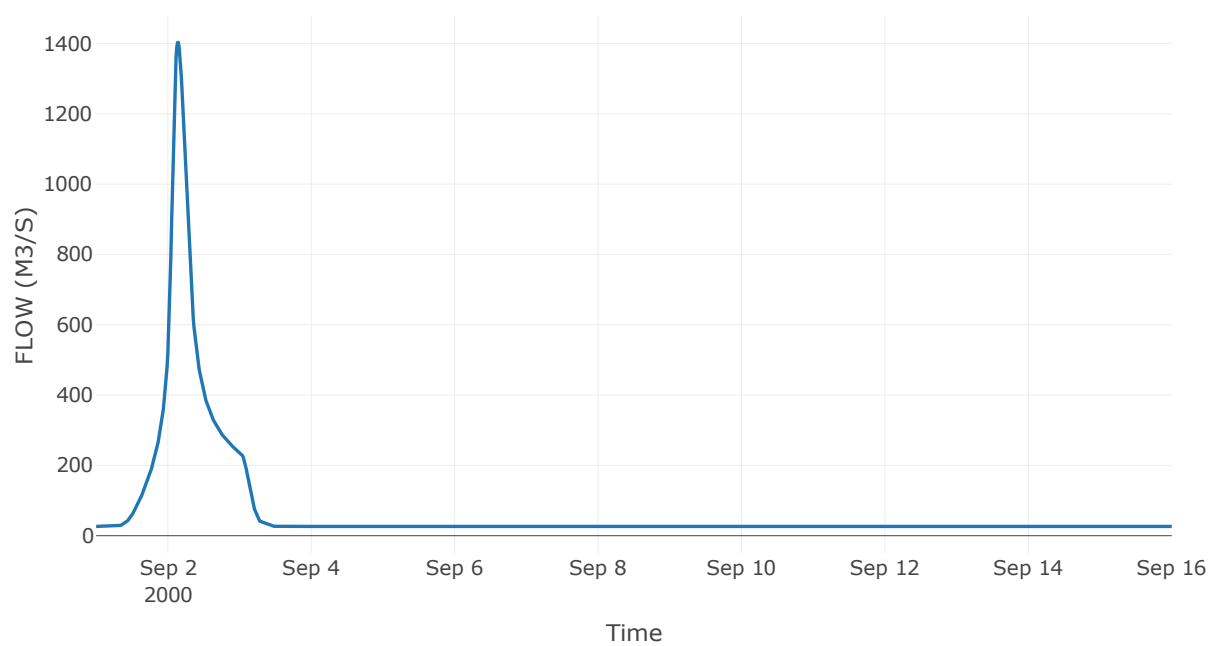
Κόμβος: J15

Κατάντη : R1514

Αποτελέσματα: J15

Παροχή Αιχμής (M3/S)	1403.21
Χρονική στιγμή αιχμής	02Sep2000, 03:15
Όγκος (MM)	247.36

Απορροή



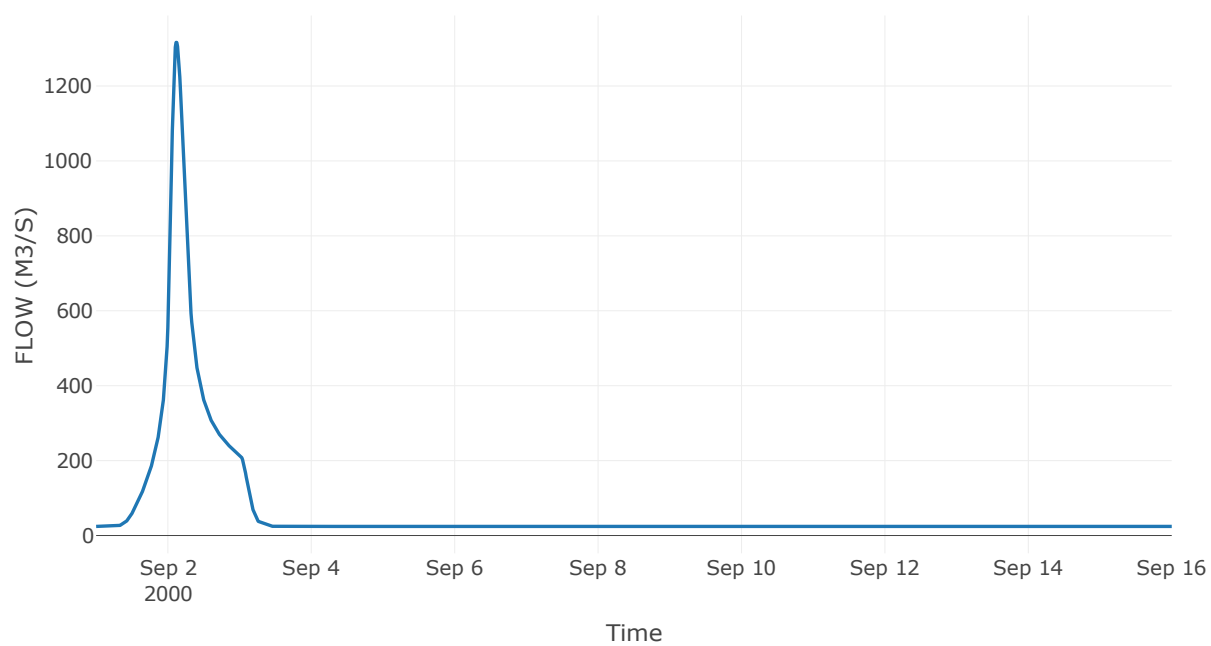
Κόμβος: J16

Κατάντη : R1615

Αποτελέσματα: J16

Παροχή Αιχμής (M3/S)	1316.35
Χρονική στιγμή αιχμής	02Sep2000, 02:45
Όγκος (MM)	247.65

Απορροή



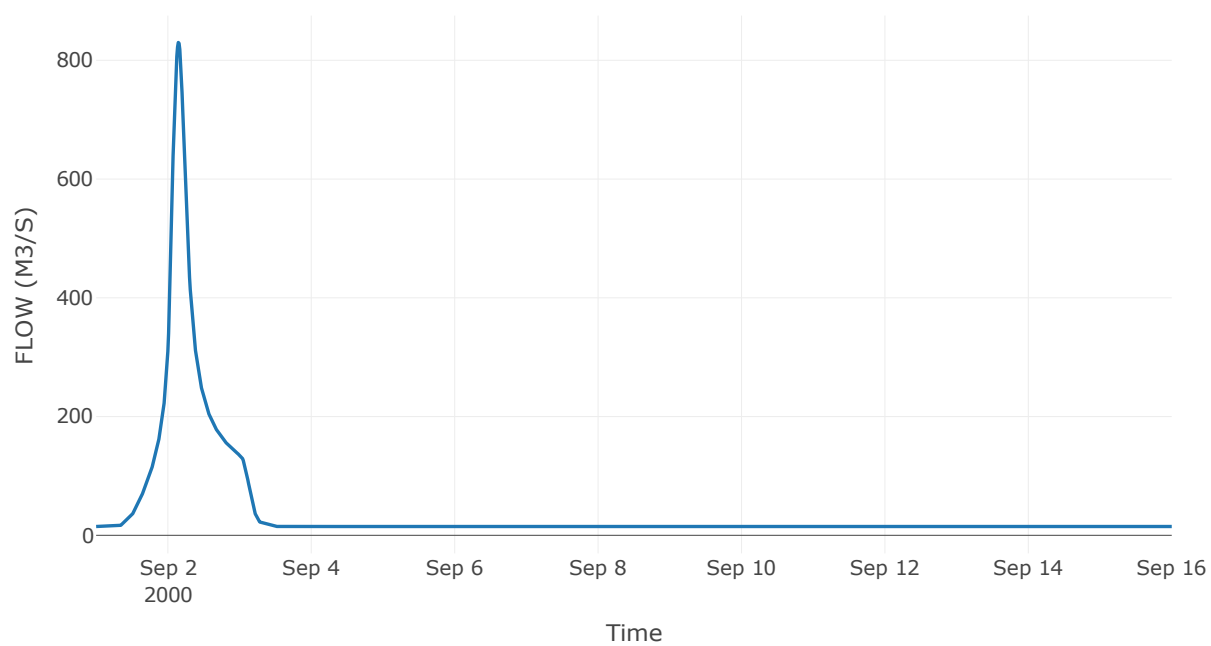
Κόμβος: J17

Κατάντη : R1716

Αποτελέσματα: J17

Παροχή Αιχμής (M3/S)	830.01
Χρονική στιγμή αιχμής	02Sep2000, 03:30
Όγκος (MM)	251.89

Απορροή



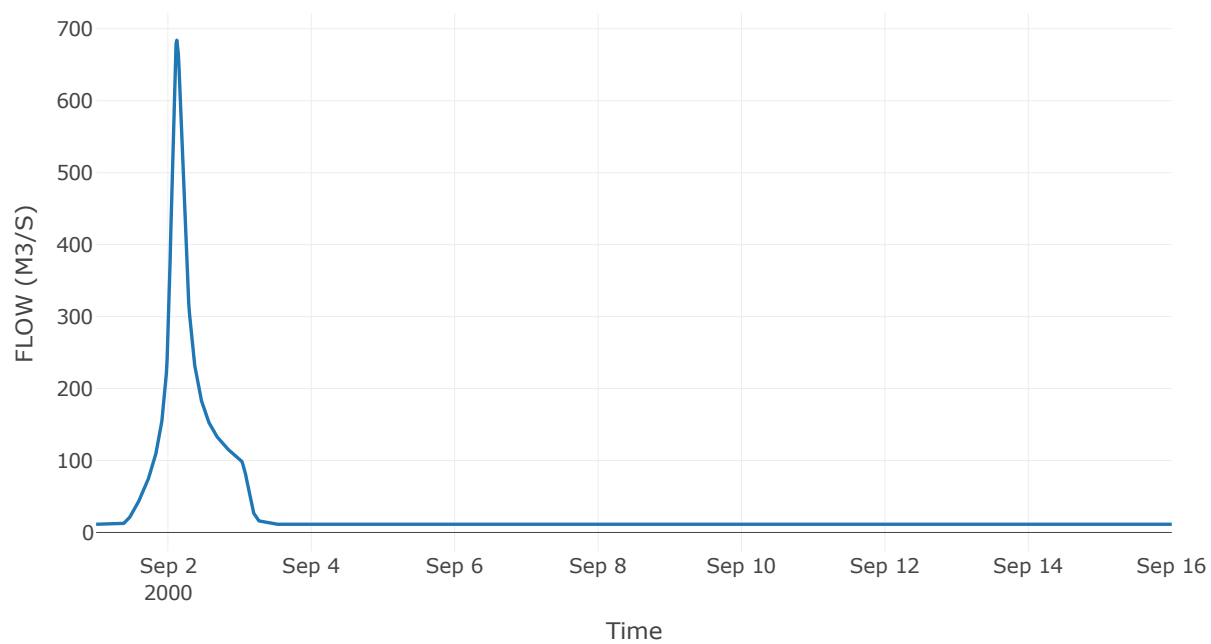
Κόμβος: J18

Κατάντη : R1817

Αποτελέσματα: J18

Παροχή Αιχμής (M3/S)	683.96
Χρονική στιγμή αιχμής	02Sep2000, 03:00
Όγκος (MM)	250.88

Απορροή



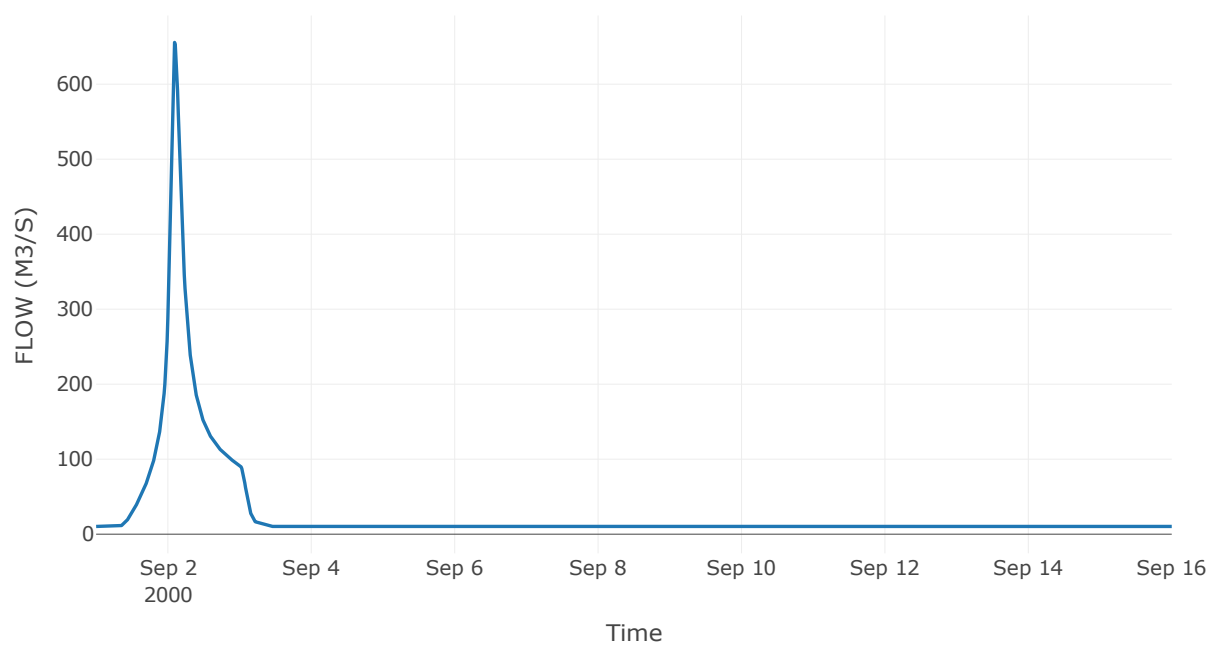
Κόμβος: J19

Κατάντη : R1918

Αποτελέσματα: J19

Παροχή Αιχμής (M3/S)	655.73
Χρονική στιγμή αιχμής	02Sep2000, 02:15
Όγκος (MM)	252.53

Απορροή



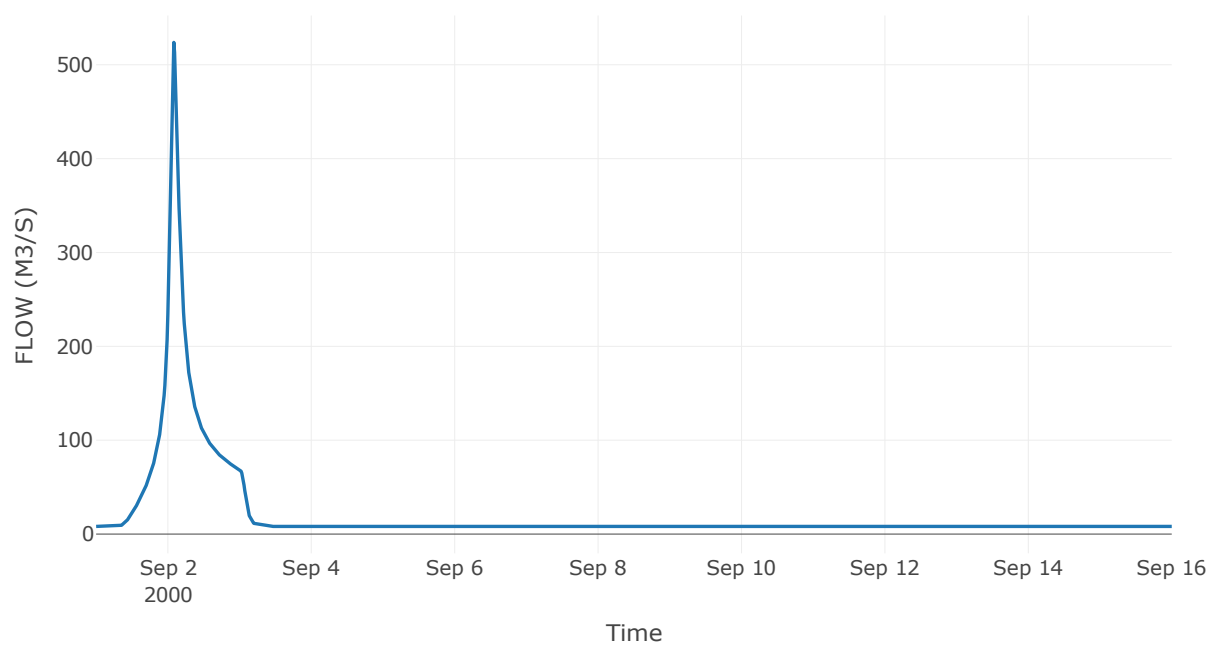
Κόμβος: J20

Κατάντη : R2016

Αποτελέσματα: J20

Παροχή Αιχμής (M3/S)	523.84
Χρονική στιγμή αιχμής	02Sep2000, 02:00
Όγκος (MM)	240.46

Απορροή



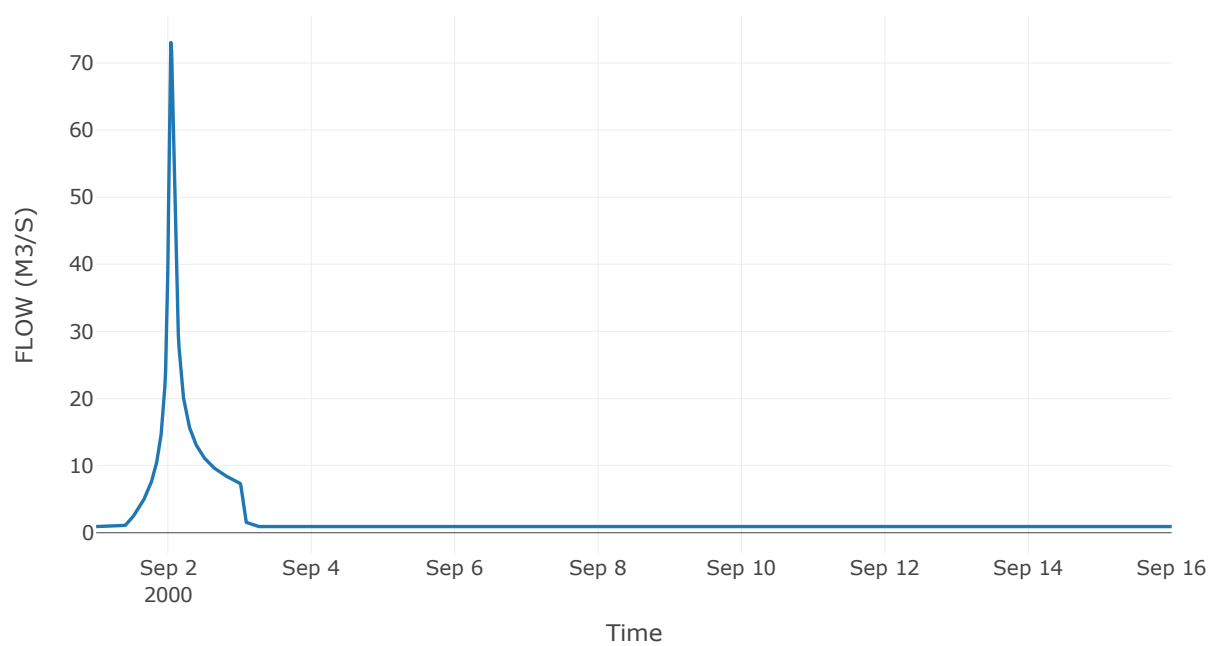
Κόμβος: J21

Κατάντη : R2120

Αποτελέσματα: J21

Παροχή Αιχμής (M3/S)	73.04
Χρονική στιγμή αιχμής	02Sep2000, 01:00
Όγκος (MM)	233.03

Απορροή



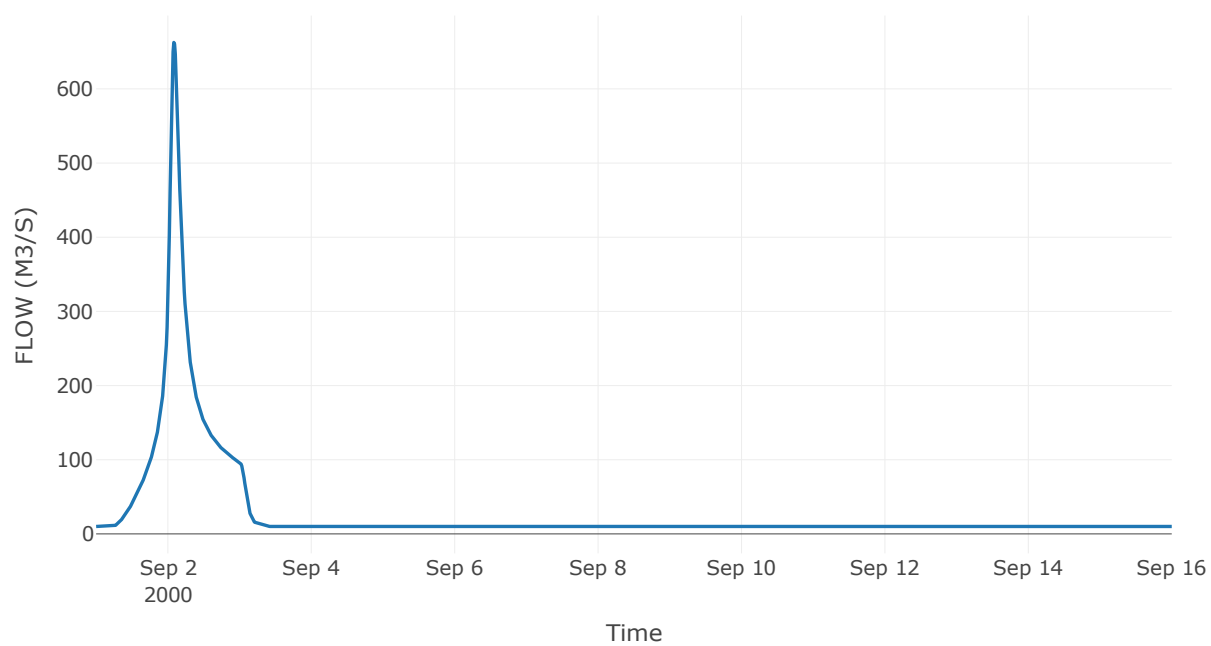
Κόμβος: J22

Κατάντη : R2214

Αποτελέσματα: J22

Παροχή Αιχμής (M3/S)	662.61
Χρονική στιγμή αιχμής	02Sep2000, 02:00
Όγκος (MM)	263.79

Απορροή



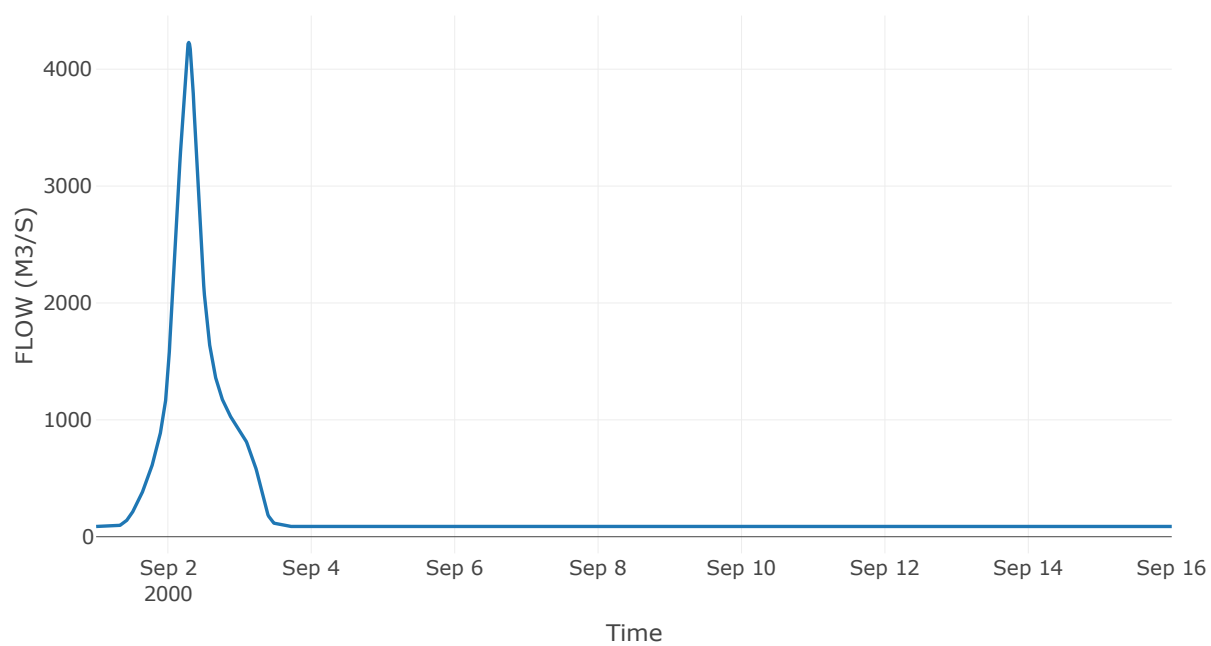
Κόμβος: J23

Κατάντη : R2311

Αποτελέσματα: J23

Παροχή Αιχμής (M3/S)	4228.85
Χρονική στιγμή αιχμής	02Sep2000, 07:00
Όγκος (MM)	268.63

Απορροή



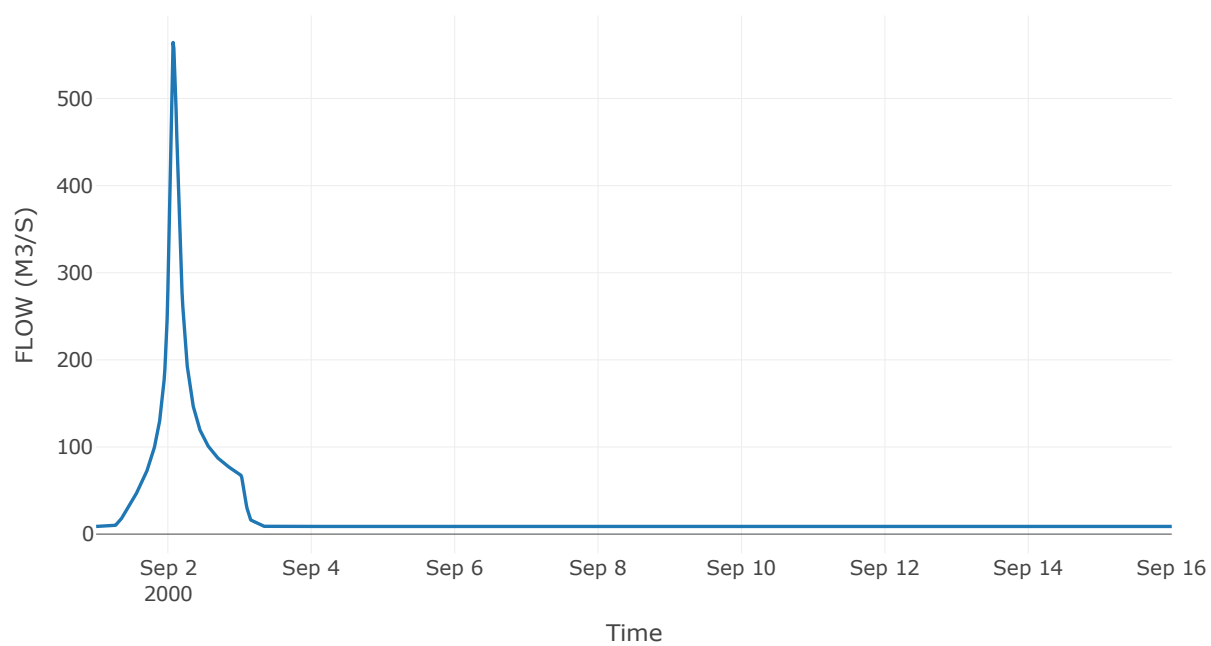
Κόμβος: J24

Κατάντη : R2423

Αποτελέσματα: J24

Παροχή Αιχμής (M3/S)	564.34
Χρονική στιγμή αιχμής	02Sep2000, 01:45
Όγκος (MM)	244.18

Απορροή



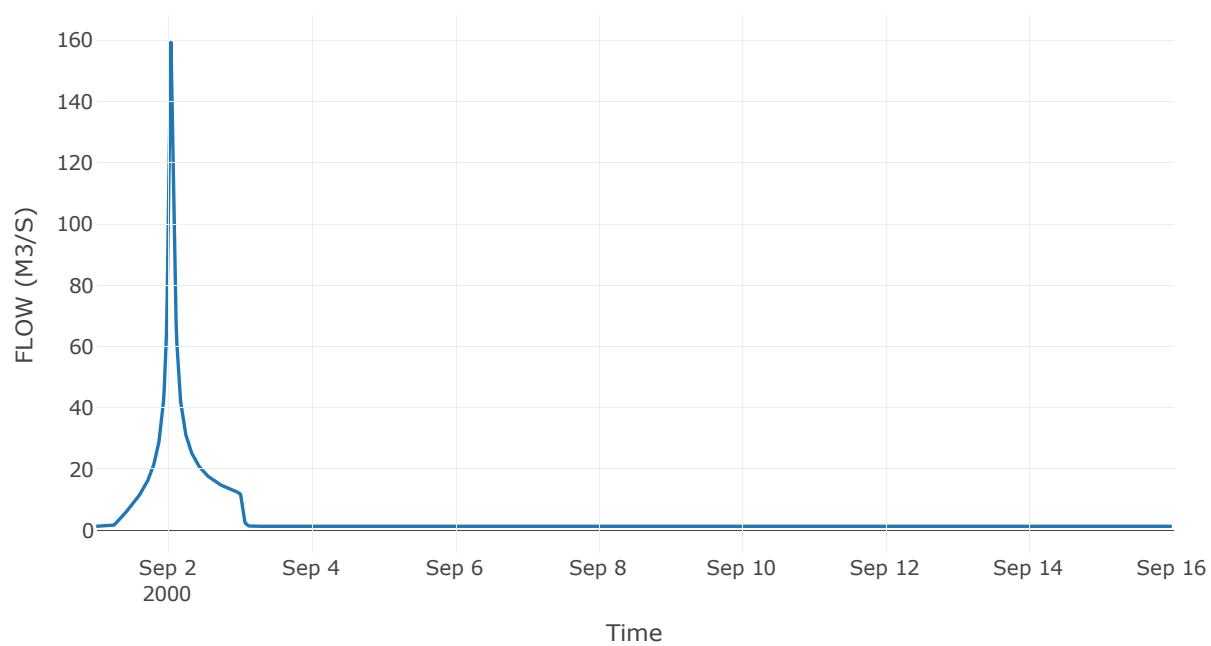
Κόμβος: J25

Κατάντη : R257

Αποτελέσματα: J25

Παροχή Αιχμής (M3/S)	159.35
Χρονική στιγμή αιχμής	02Sep2000, 01:00
Όγκος (MM)	277.86

Απορροή



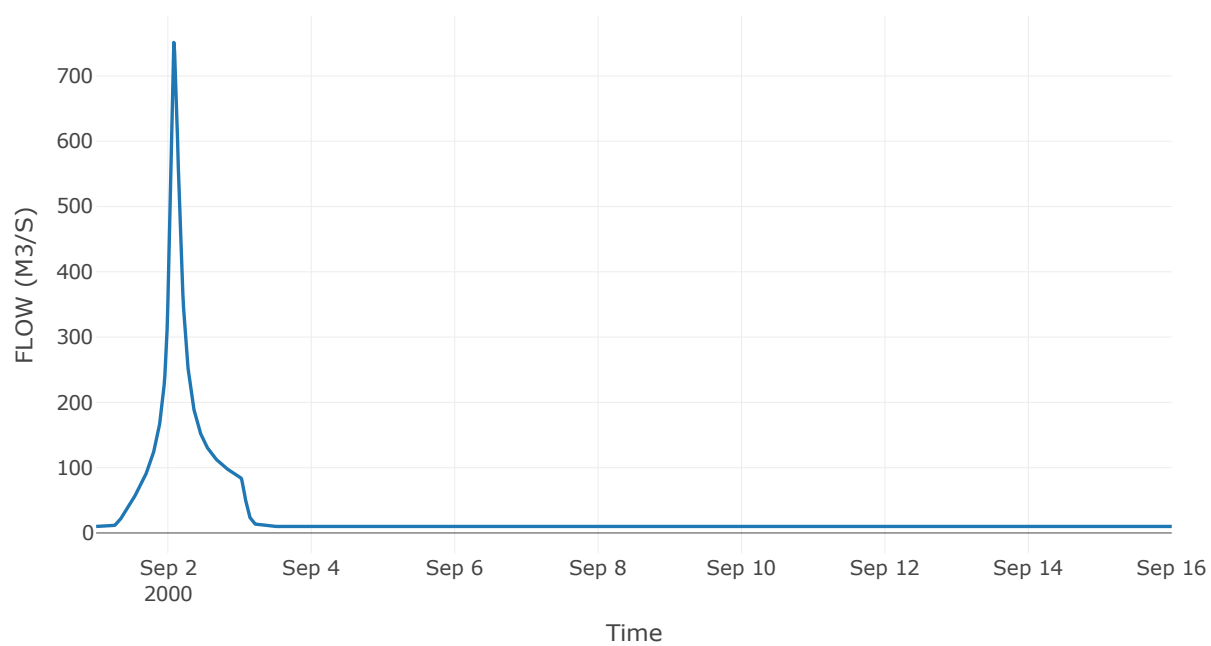
Κόμβος: J26

Κατάντη : R265

Αποτελέσματα: J26

Παροχή Αιχμής (M3/S)	751.34
Χρονική στιγμή αιχμής	02Sep2000, 02:00
Όγκος (MM)	270.04

Απορροή



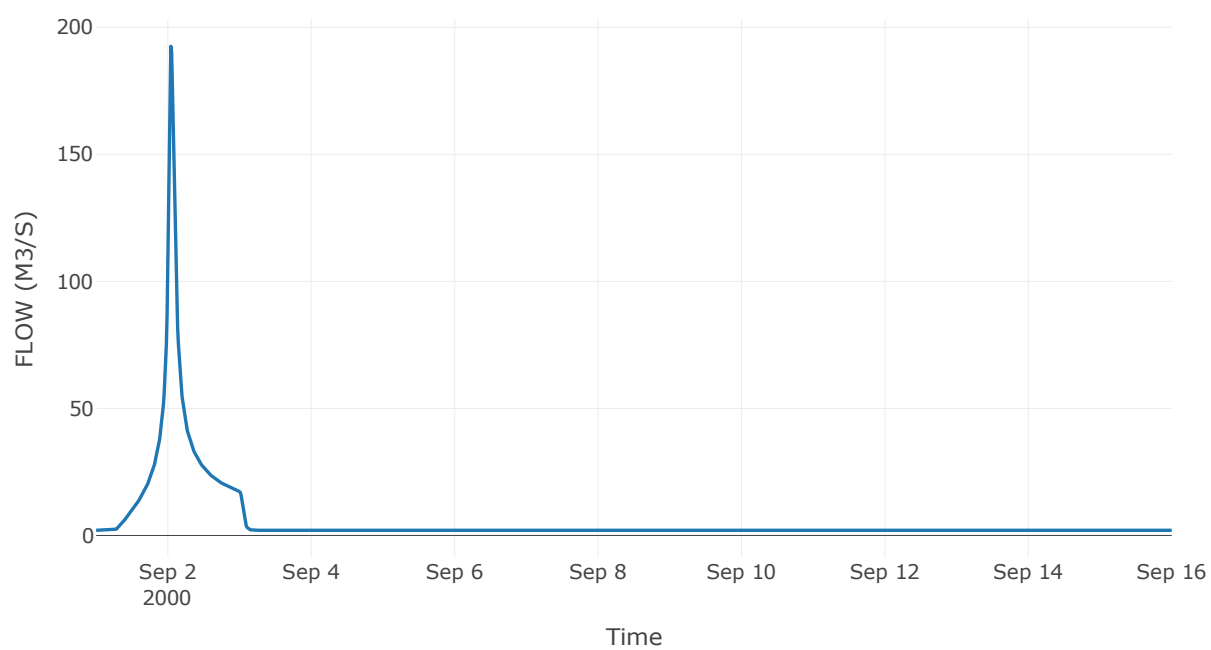
Κόμβος: J27

Κατάντη : R274

Αποτελέσματα: J27

Παροχή Αιχμής (M3/S)	192.54
Χρονική στιγμή αιχμής	02Sep2000, 01:00
Όγκος (MM)	263.08

Απορροή

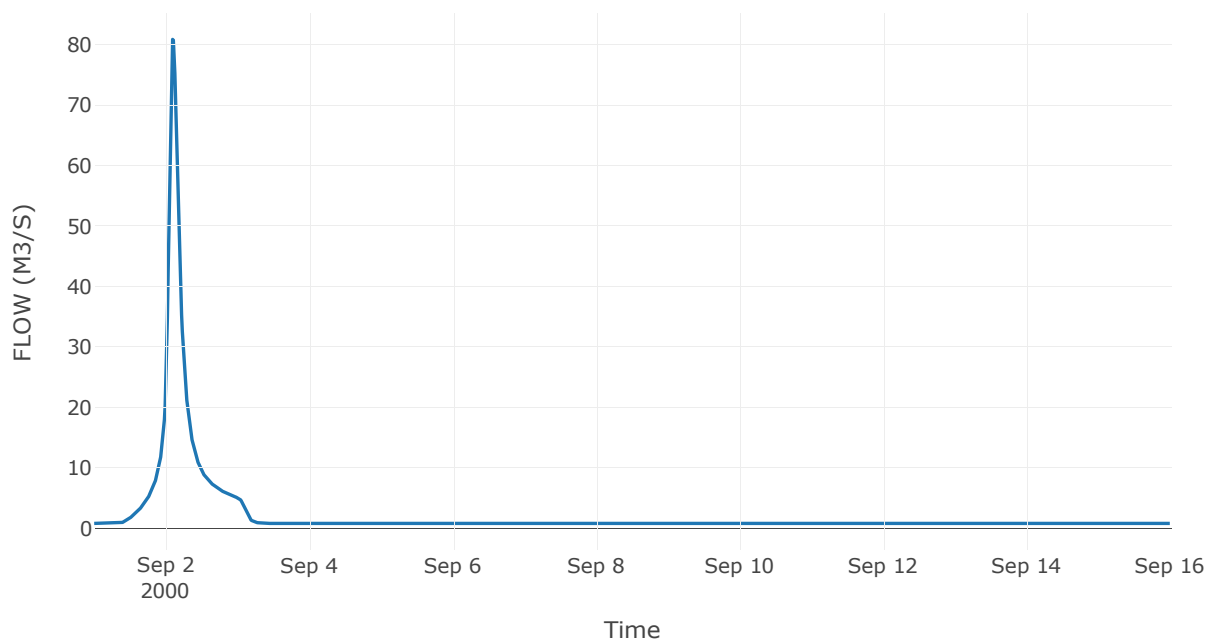


Κόμβος εξόδου: J28

Αποτελέσματ
α: J28

Παροχή αιχμής (M3/S)	80.9
Χρονική στιγμή αιχμής	02Sep2000, 02:15
Όγκος (MM)	262.67

Απορροή



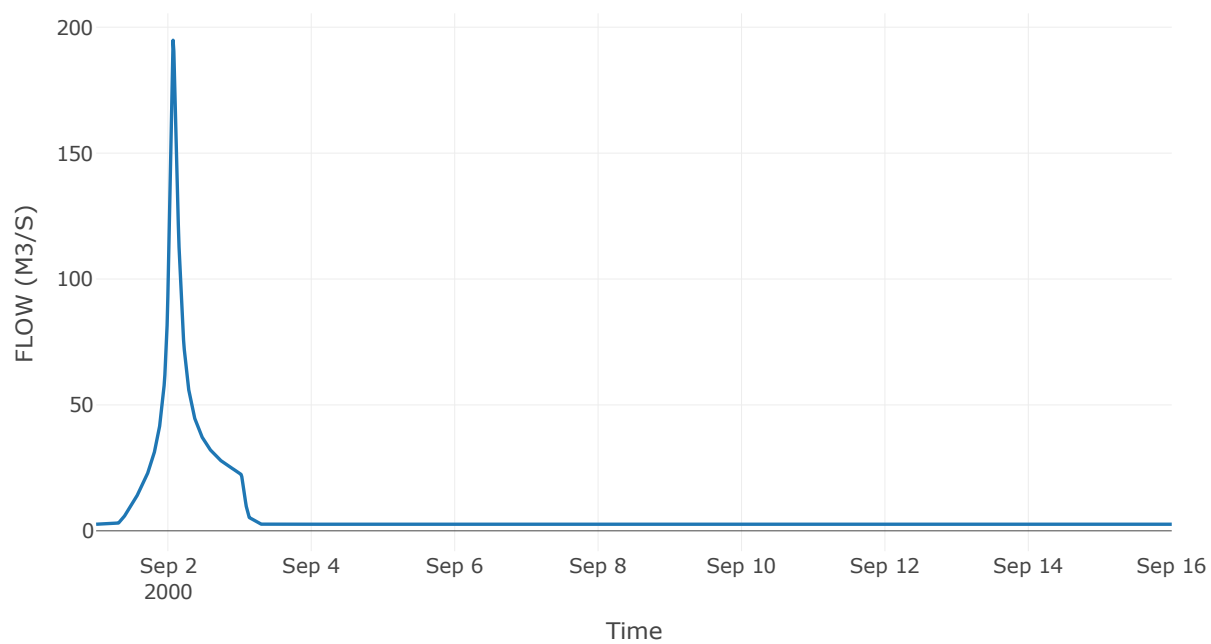
Κόμβος: J29

Κατάντη : R2917

Αποτελέσματα: J29

Παροχή Αιχμής (M3/S)	194.83
Χρονική στιγμή αιχμής	02Sep2000, 01:45
Όγκος (MM)	257.56

Απορροή



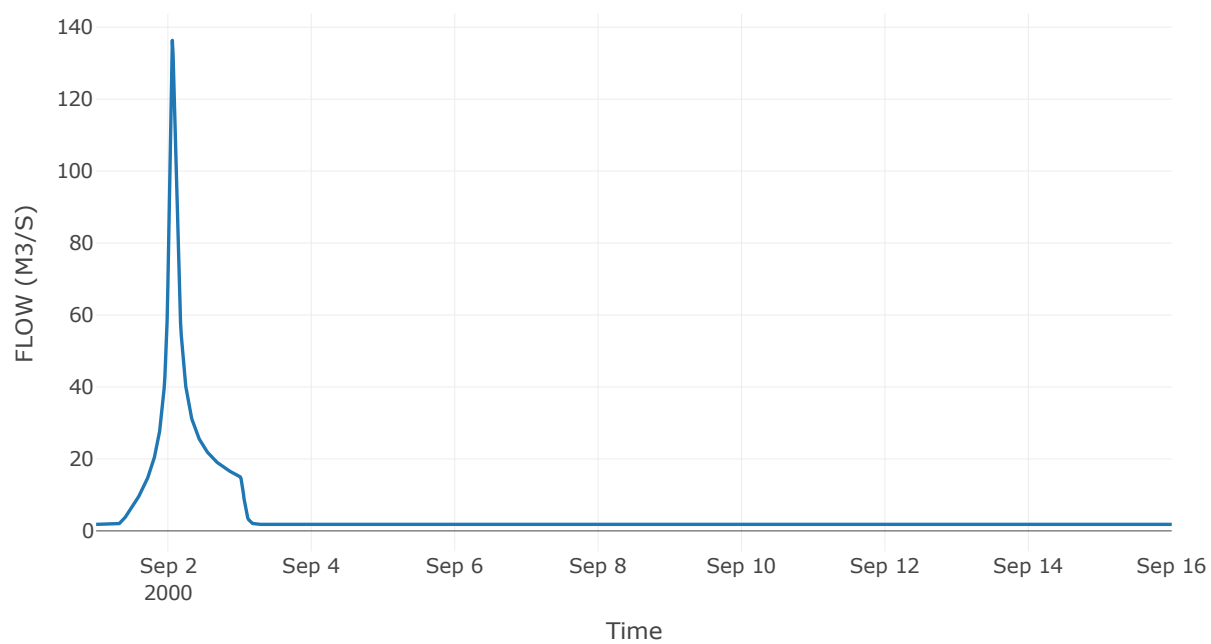
Κόμβος: J30

Κατάντη : R3020

Αποτελέσματα: J30

Παροχή Αιχμής (M3/S)	136.33
Χρονική στιγμή αιχμής	02Sep2000, 01:30
Όγκος (MM)	246.5

Απορροή



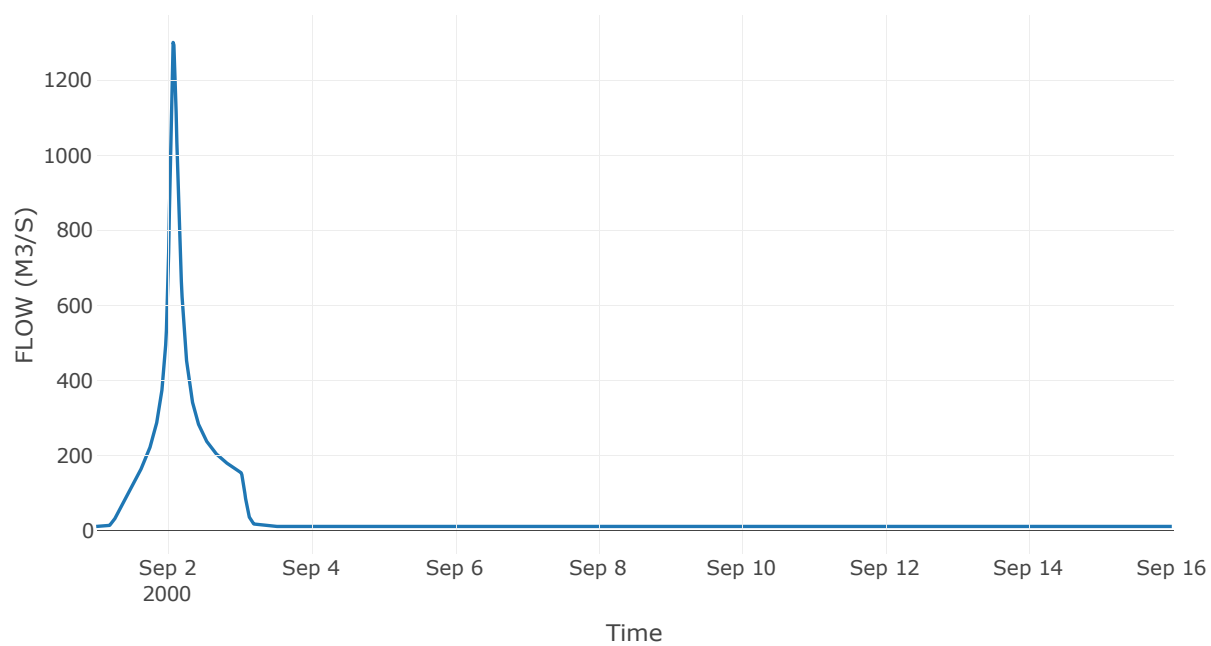
Κόμβος: J31

Κατάντη : R3113

Αποτελέσματα: J31

Παροχή Αιχμής (M3/S)	1300.78
Χρονική στιγμή αιχμής	02Sep2000, 01:45
Όγκος (MM)	363.72

Απορροή



8 Δεδομένα εισόδου και αποτελέσματα υδρολογικού σεναρίου $T=1000$

8.1 Αποτελέσματα, υετογραφήματα και υδρογραφήματα σχεδιασμού υπολεκανών

Υπολεκάνη: EL0512FR1001

Έκταση (KM2) : 25.06

Κατάνη : J1

Μέθοδος Απωλειών: SCS

Ποσοστό αδιαπέρατης επιφάνειας	0
Αριθμός Καμπύλης Απορροής-CN	76.27
Αρχικές Απώλειες	15.81

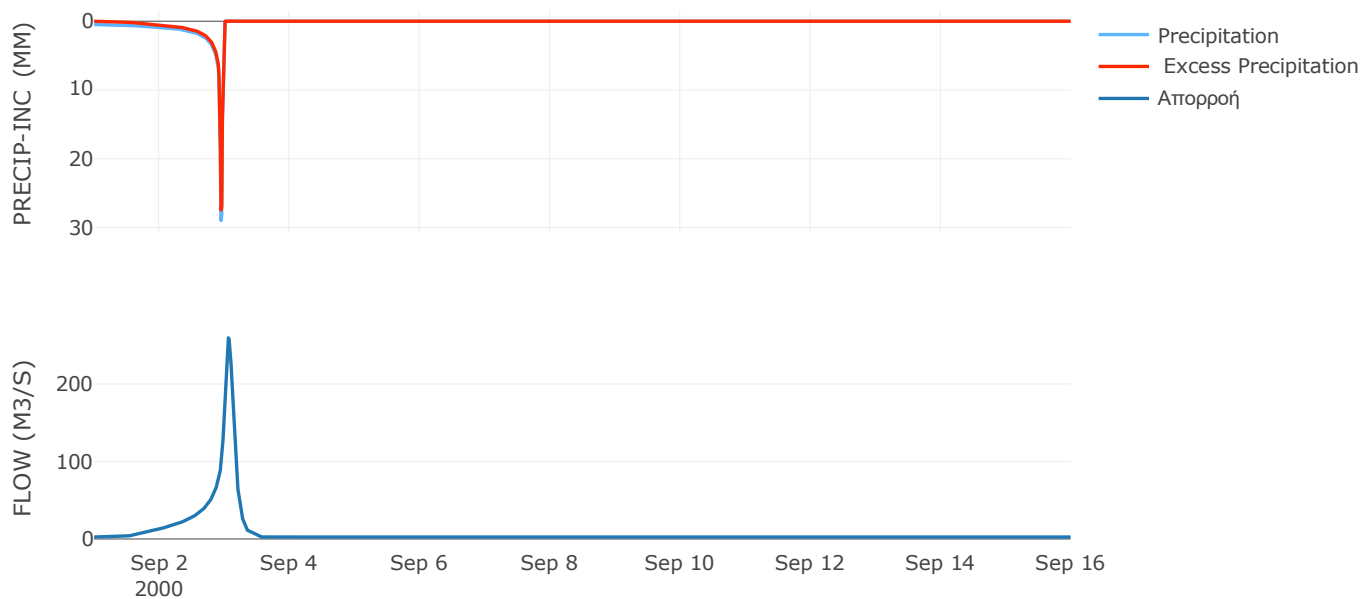
Μέθοδος
Μετασχηματισμού: SCS

Χρόνος Υστέρησης	168.91
------------------	--------

Αποτελέσματα:
EL0512FR1001

Παροχή αιχμής (M3/S)	259.45
Χρονική στιγμή αιχμής	03Sep2000, 01:30
Όγκος (MM)	405.87
Όγκος βροχόπτωσης (M3)	8.93E6
Όγκος απωλειών (M3)	2E6
Ενεργός Όγκος (M3)	6.92E6
Όγκος άμεσης απορροής (M3)	6.92E6
Όγκος βασικής απορροής (M3)	3.25E6

Βροχόπτωση και Απορροή



Υπολεκάνη: EL0512FR1002

Έκταση (KM2) : 13.38

Κατάντη : J2

Μέθοδος Απωλειών: SCS

Ποσοστό αδιαπέρατης επιφάνειας	0
Αριθμός Καμπύλης Απορροής-CN	70.83
Αρχικές Απώλειες	20.93

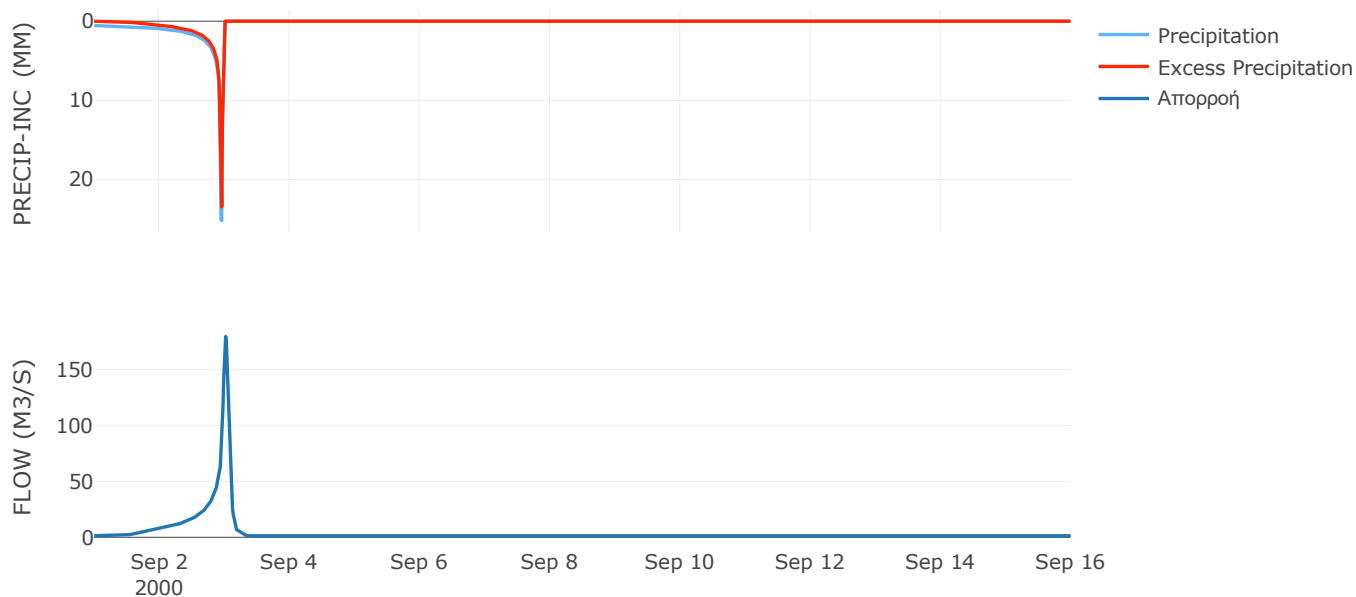
Μέθοδος
Μετασχηματισμού: SCS

Χρόνος Υστέρησης	89.9
------------------	------

Αποτελέσματα:
EL0512FR1002

Παροχή αιχμής (M3/S)	179.64
Χρονική στιγμή αιχμής	03Sep2000, 00:30
Όγκος (MM)	387.71
Όγκος βροχόπτωσης (M3)	4.8E6
Όγκος απωλειών (M3)	1.35E6
Ενεργός Όγκος (M3)	3.45E6
Όγκος άμεσης απορροής (M3)	3.45E6
Όγκος βασικής απορροής (M3)	1.73E6

Βροχόπτωση και Απορροή



Υπολεκάνη: EL0512FR1003

Έκταση (KM2) : 11.79

Κατάντη : J28

Μέθοδος Απωλειών: SCS

Ποσοστό αδιαπέρατης επιφάνειας	0
Αριθμός Καμπύλης Απορροής-CN	70.25
Αρχικές Απώλειες	21.52

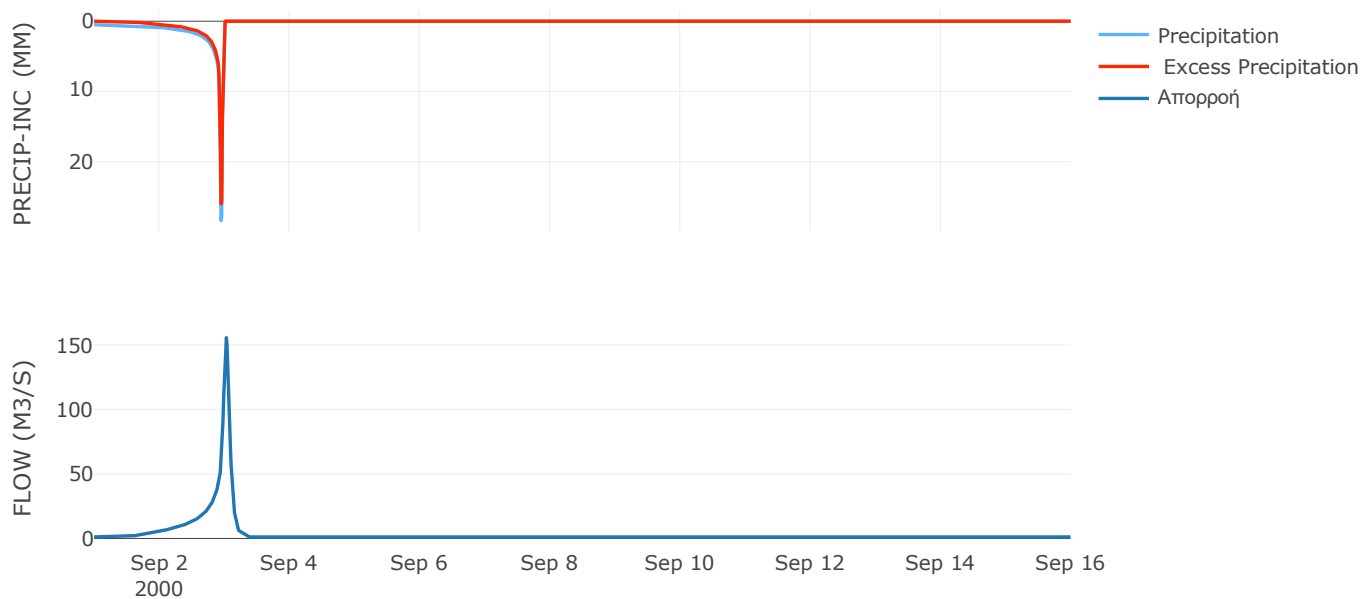
Μέθοδος
Μετασχηματισμού: SCS

Χρόνος Υστέρησης	105.36
------------------	--------

Αποτελέσματα:
EL0512FR1003

Παροχή αιχμής (M3/S)	155.73
Χρονική στιγμή αιχμής	03Sep2000, 00:45
Όγκος (MM)	386.31
Όγκος βροχόπτωσης (M3)	4.24E6
Όγκος απωλειών (M3)	1.22E6
Ενεργός Όγκος (M3)	3.03E6
Όγκος άμεσης απορροής (M3)	3.03E6
Όγκος βασικής απορροής (M3)	1.53E6

Βροχόπτωση και Απορροή



Υπολεκάνη: EL0512FR1004

Έκταση (KM2) : 17.07

Κατάντη : J4

Μέθοδος Απωλειών: SCS

Ποσοστό αδιαπέρατης επιφάνειας	0
Αριθμός Καμπύλης Απορροής-CN	66.83
Αρχικές Απώλειες	25.21

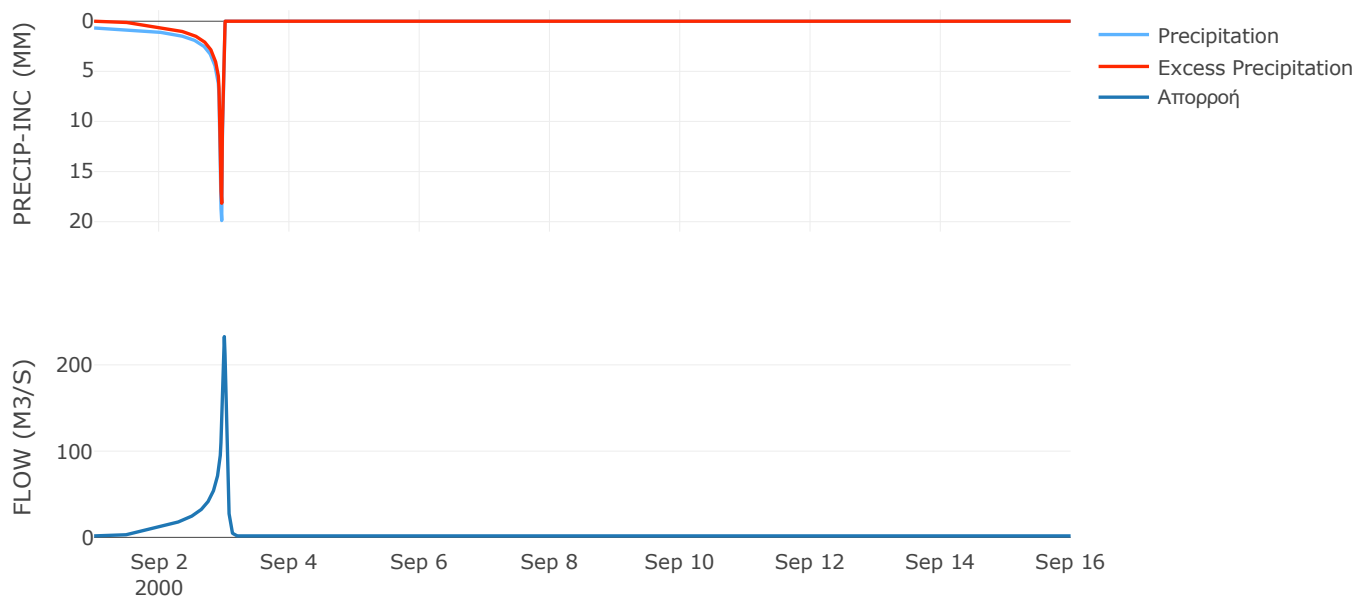
Μέθοδος
Μετασχηματισμού: SCS

Χρόνος Υστέρησης	50.69
------------------	-------

Αποτελέσματα:
EL0512FR1004

Παροχή αιχμής (M3/S)	232.81
Χρονική στιγμή αιχμής	02Sep2000, 24:00
Όγκος (MM)	376.69
Όγκος βροχόπτωσης (M3)	6.21E6
Όγκος απωλειών (M3)	2E6
Ενεργός Όγκος (M3)	4.22E6
Όγκος άμεσης απορροής (M3)	4.22E6
Όγκος βασικής απορροής (M3)	2.21E6

Βροχόπτωση και Απορροή



Υπολεκάνη: EL0512FR1005

Έκταση (KM2) : 3.17

Κατάντη : J4

Μέθοδος Απωλειών: SCS

Ποσοστό αδιαπέρατης επιφάνειας	0
Αριθμός Καμπύλης Απορροής-CN	64.33
Αρχικές Απώλειες	28.17

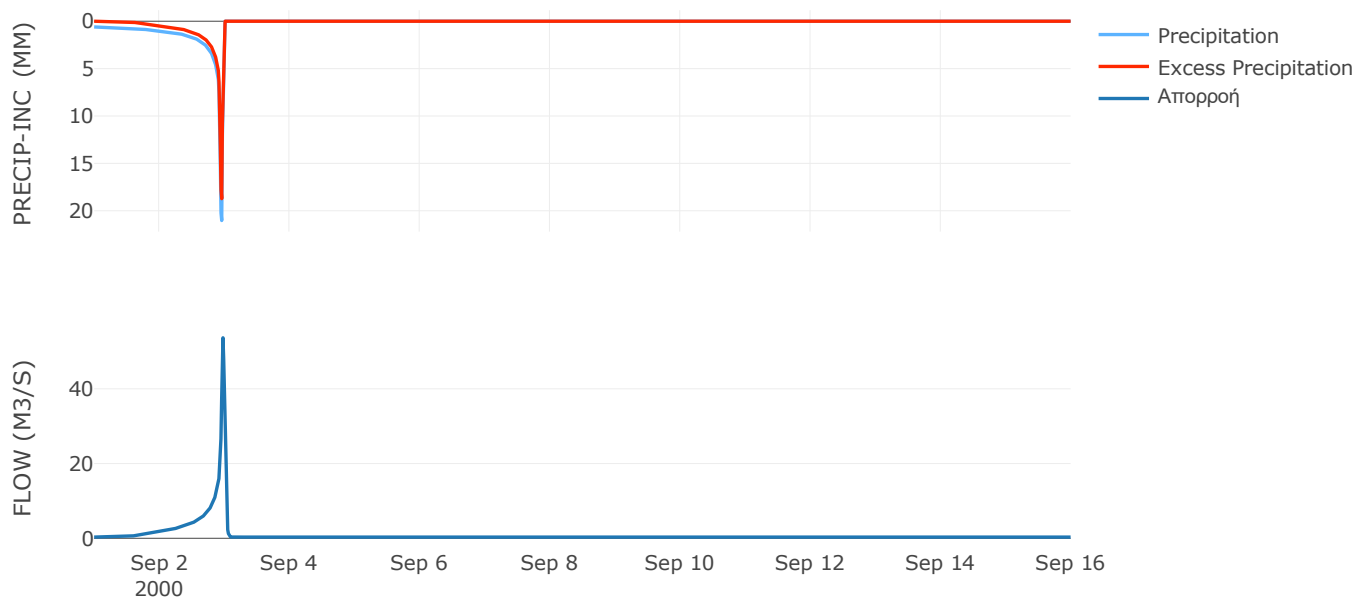
Μέθοδος
Μετασχηματισμού: SCS

Χρόνος Υστέρησης	27.04
------------------	-------

Αποτελέσματα:
EL0512FR1005

Παροχή αιχμής (M3/S)	53.65
Χρονική στιγμή αιχμής	02Sep2000, 23:30
Όγκος (MM)	353.8
Όγκος βροχόπτωσης (M3)	1.11E6
Όγκος απωλειών (M3)	4E5
Ενεργός Όγκος (M3)	7.11E5
Όγκος άμεσης απορροής (M3)	7.11E5
Όγκος βασικής απορροής (M3)	4.11E5

Βροχόπτωση και Απορροή



Υπολεκάνη: EL0512FR1006

Έκταση (KM2) : 18.76

Κατάντη : J5

Μέθοδος Απωλειών: SCS

Ποσοστό αδιαπέρατης επιφάνειας	0
Αριθμός Καμπύλης Απορροής-CN	66.68
Αρχικές Απώλειες	25.39

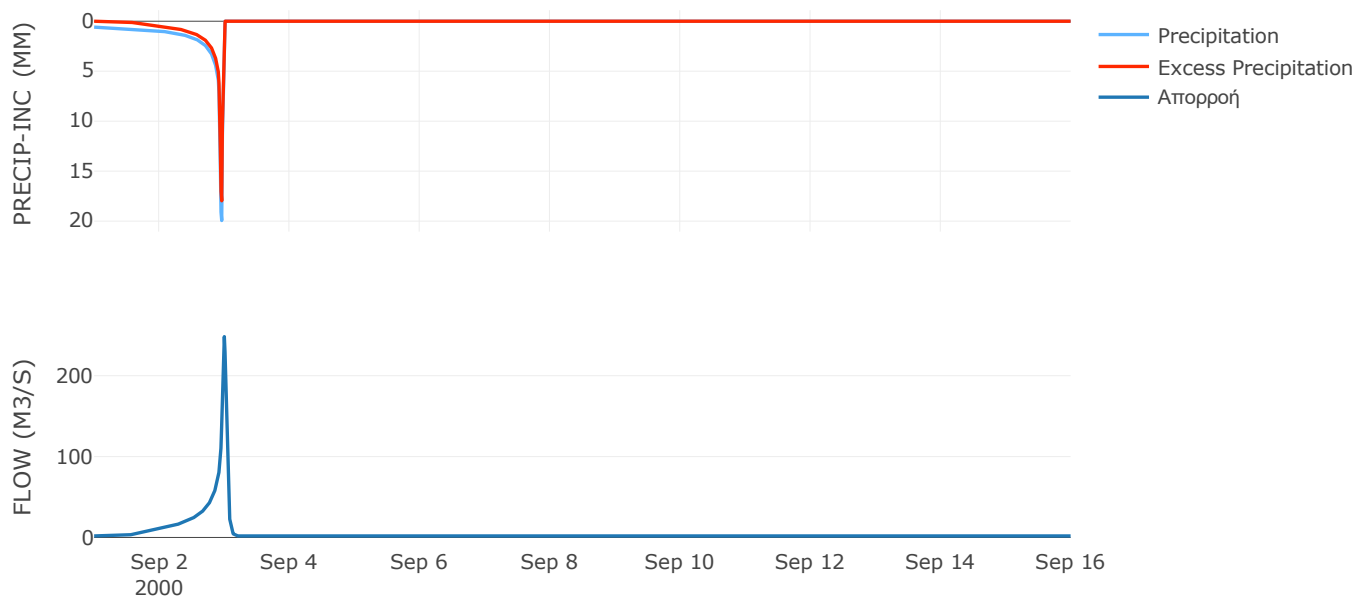
Μέθοδος
Μετασχηματισμού: SCS

Χρόνος Υστέρησης	52.97
------------------	-------

Αποτελέσματα:
EL0512FR1006

Παροχή αιχμής (M3/S)	248.25
Χρονική στιγμή αιχμής	02Sep2000, 24:00
Όγκος (MM)	351.84
Όγκος βροχόπτωσης (M3)	6.34E6
Όγκος απωλειών (M3)	2.17E6
Ενεργός Όγκος (M3)	4.17E6
Όγκος άμεσης απορροής (M3)	4.17E6
Όγκος βασικής απορροής (M3)	2.43E6

Βροχόπτωση και Απορροή



Υπολεκάνη: EL0512FR1007

Έκταση (KM2) : 22.72

Κατάντη : J5

Μέθοδος Απωλειών: SCS

Ποσοστό αδιαπέρατης επιφάνειας	0
Αριθμός Καμπύλης Απορροής-CN	67.42
Αρχικές Απώλειες	24.55

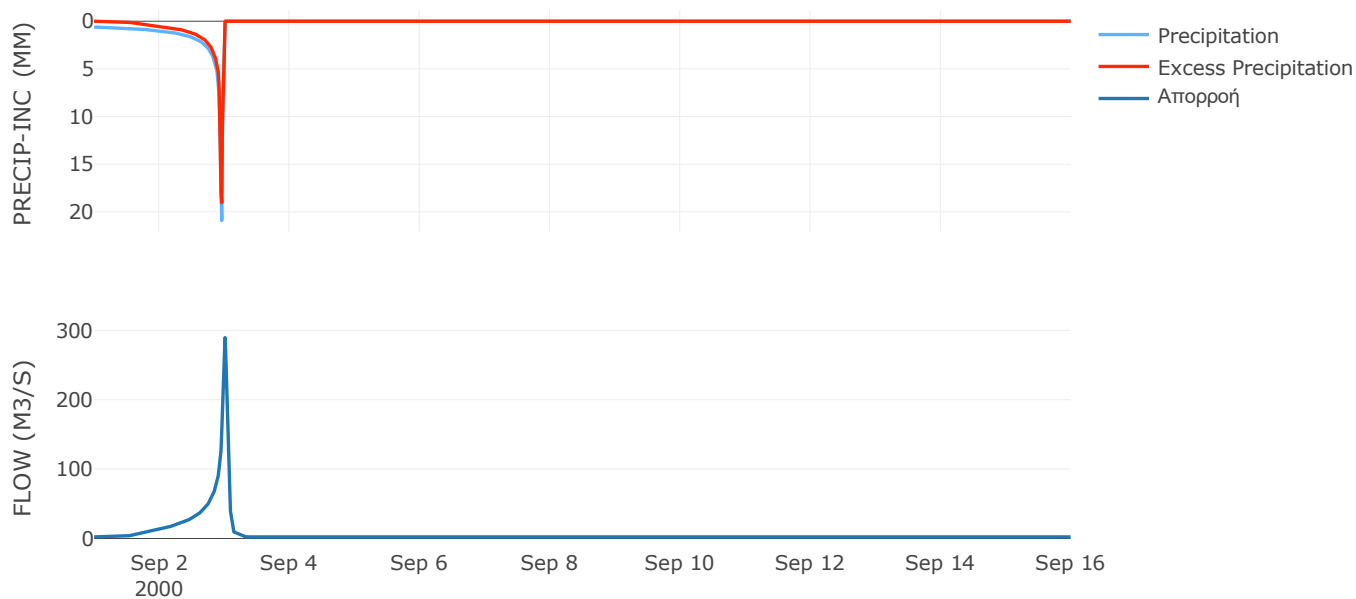
Μέθοδος
Μετασχηματισμού: SCS

Χρόνος Υστέρησης	67.16
------------------	-------

Αποτελέσματα:
EL0512FR1007

Παροχή αιχμής (M3/S)	289.45
Χρονική στιγμή αιχμής	03Sep2000, 00:15
Όγκος (MM)	366.02
Όγκος βροχόπτωσης (M3)	7.95E6
Όγκος απωλειών (M3)	2.58E6
Ενεργός Όγκος (M3)	5.37E6
Όγκος άμεσης απορροής (M3)	5.37E6
Όγκος βασικής απορροής (M3)	2.94E6

Βροχόπτωση και Απορροή



Υπολεκάνη: EL0512FR1008

Έκταση (KM2) : 12.83

Κατάντη : J6

Μέθοδος Απωλειών: SCS

Ποσοστό αδιαπέρατης επιφάνειας	0
Αριθμός Καμπύλης Απορροής-CN	71.21
Αρχικές Απώλειες	20.54

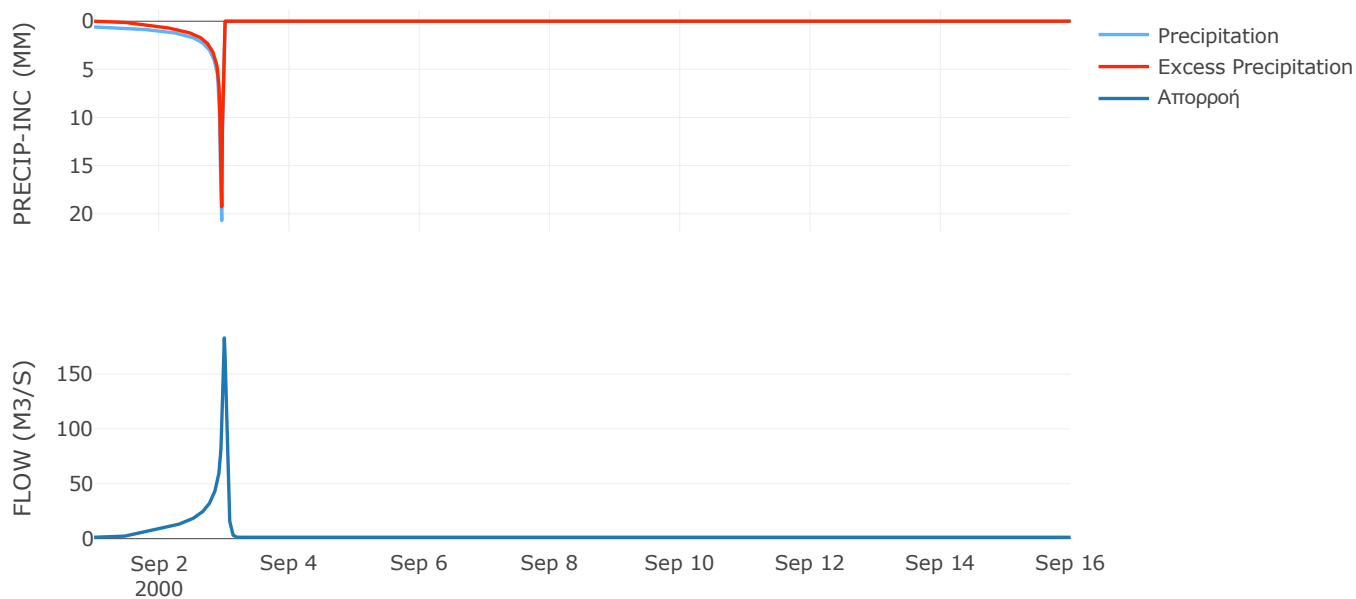
Μέθοδος
Μετασχηματισμού: SCS

Χρόνος Υστέρησης	52.35
------------------	-------

Αποτελέσματα:
EL0512FR1008

Παροχή αιχμής (M3/S)	182.81
Χρονική στιγμή αιχμής	02Sep2000, 24:00
Όγκος (MM)	377.82
Όγκος βροχόπτωσης (M3)	4.45E6
Όγκος απωλειών (M3)	1.27E6
Ενεργός Όγκος (M3)	3.19E6
Όγκος άμεσης απορροής (M3)	3.19E6
Όγκος βασικής απορροής (M3)	1.66E6

Βροχόπτωση και Απορροή



Υπολεκάνη: EL0512FR1009

Έκταση (KM2) : 9.15

Κατάντη : J7

Μέθοδος Απωλειών: SCS

Ποσοστό αδιαπέρατης επιφάνειας	0
Αριθμός Καμπύλης Απορροής-CN	71.39
Αρχικές Απώλειες	20.36

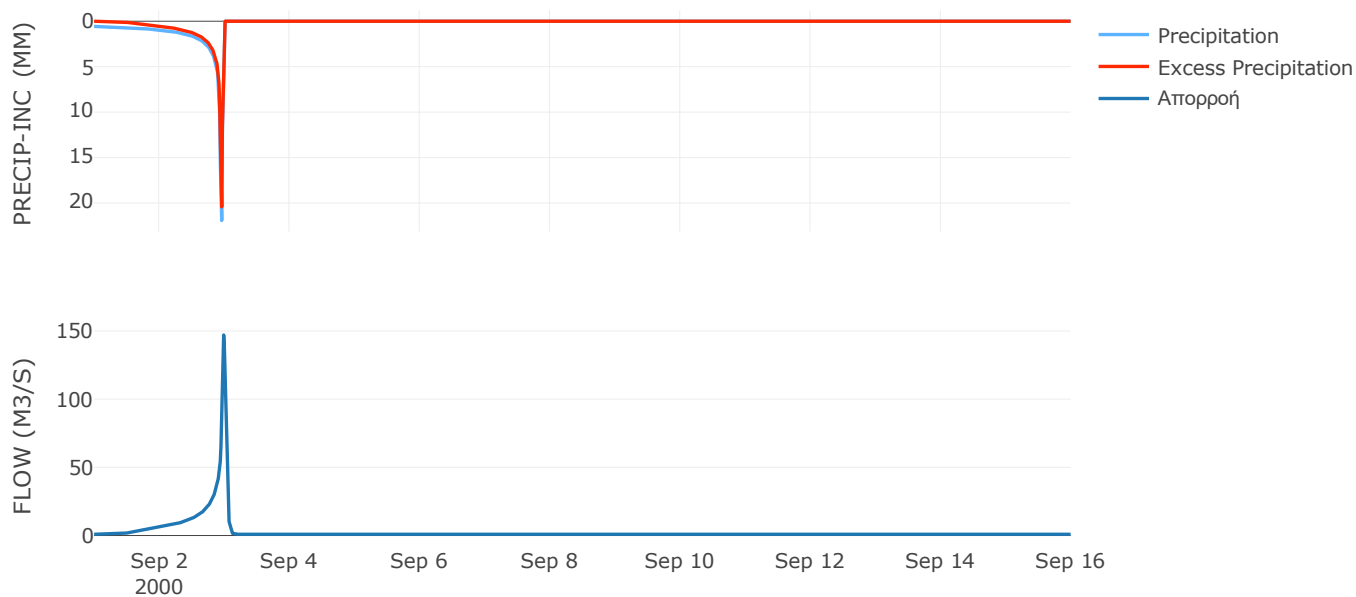
Μέθοδος
Μετασχηματισμού: SCS

Χρόνος Υστέρησης	43.61
------------------	-------

Αποτελέσματα:
EL0512FR1009

Παροχή αιχμής (M3/S)	147.06
Χρονική στιγμή αιχμής	02Sep2000, 23:45
Όγκος (MM)	377.78
Όγκος βροχόπτωσης (M3)	3.17E6
Όγκος απωλειών (M3)	8.96E5
Ενεργός Όγκος (M3)	2.27E6
Όγκος άμεσης απορροής (M3)	2.27E6
Όγκος βασικής απορροής (M3)	1.19E6

Βροχόπτωση και Απορροή



Υπολεκάνη: EL0512FR1010

Έκταση (KM2) : 37.24

Κατάντη : J7

Μέθοδος Απωλειών: SCS

Ποσοστό αδιαπέρατης επιφάνειας	0
Αριθμός Καμπύλης Απορροής-CN	77.26
Αρχικές Απώλειες	14.95

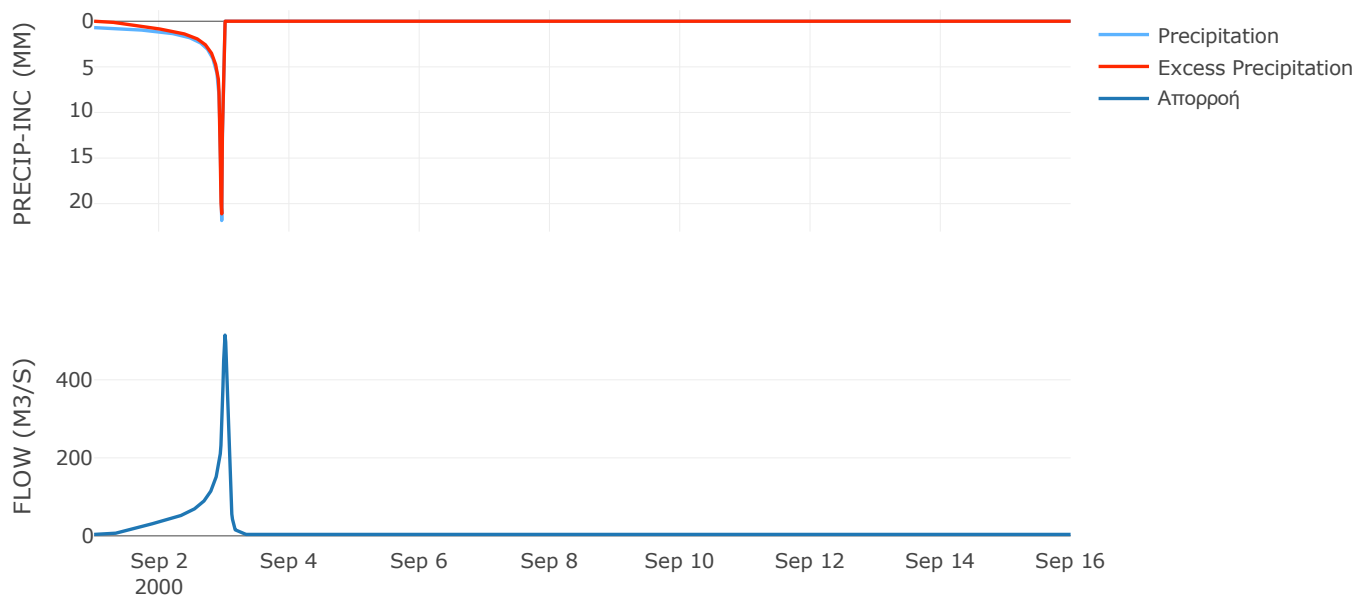
Μέθοδος
Μετασχηματισμού: SCS

Χρόνος Υστέρησης	75.38
------------------	-------

Αποτελέσματα:
EL0512FR1010

Παροχή αιχμής (M3/S)	514.62
Χρονική στιγμή αιχμής	03Sep2000, 00:15
Όγκος (MM)	440.56
Όγκος βροχόπτωσης (M3)	1.45E7
Όγκος απωλειών (M3)	2.88E6
Ενεργός Όγκος (M3)	1.16E7
Όγκος άμεσης απορροής (M3)	1.16E7
Όγκος βασικής απορροής (M3)	4.83E6

Βροχόπτωση και Απορροή



Υπολεκάνη: EL0512FR1011

Έκταση (KM2) : 16.64

Κατάντη : J8

Μέθοδος Απωλειών: SCS

Ποσοστό αδιαπέρατης επιφάνειας	0
Αριθμός Καμπύλης Απορροής-CN	66.04
Αρχικές Απώλειες	26.12

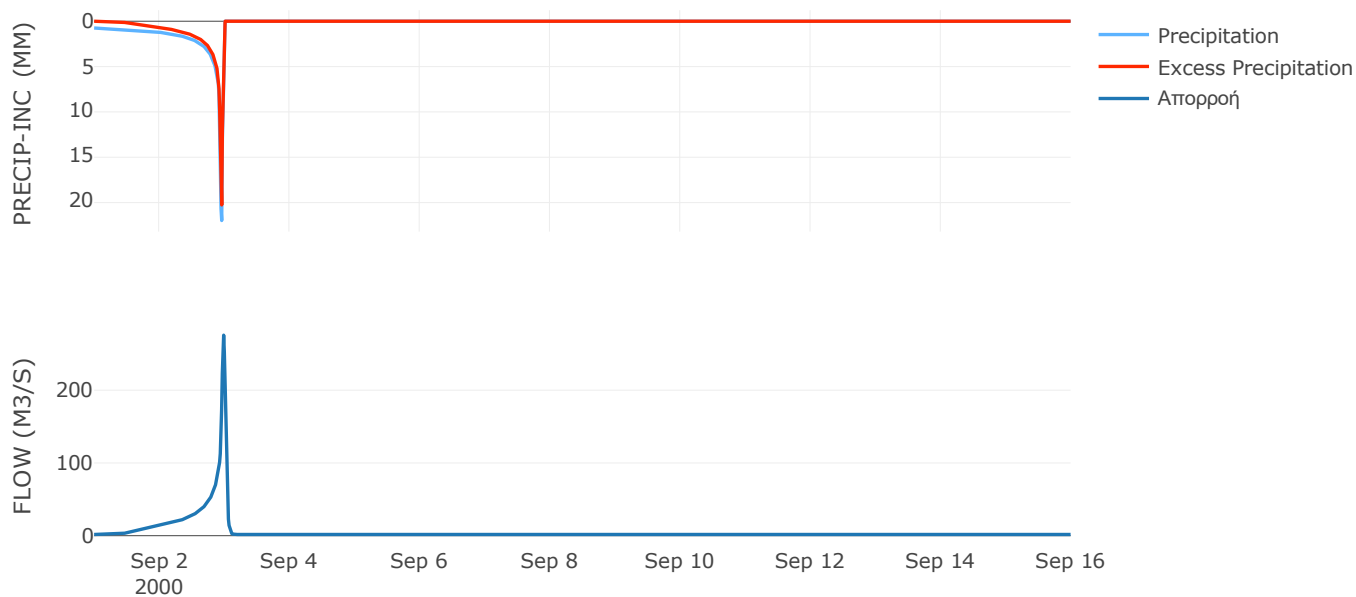
Μέθοδος
Μετασχηματισμού: SCS

Χρόνος Υστέρησης	39.35
------------------	-------

Αποτελέσματα:
EL0512FR1011

Παροχή αιχμής (M3/S)	275.68
Χρονική στιγμή αιχμής	02Sep2000, 23:45
Όγκος (MM)	410
Όγκος βροχόπτωσης (M3)	6.72E6
Όγκος απωλειών (M3)	2.05E6
Ενεργός Όγκος (M3)	4.67E6
Όγκος άμεσης απορροής (M3)	4.67E6
Όγκος βασικής απορροής (M3)	2.16E6

Βροχόπτωση και Απορροή



Υπολεκάνη: EL0512FR1012

Έκταση (KM2) : 37.82

Κατάντη : J9

Μέθοδος Απωλειών: SCS

Ποσοστό αδιαπέρατης επιφάνειας	0
Αριθμός Καμπύλης Απορροής-CN	65.34
Αρχικές Απώλειες	26.94

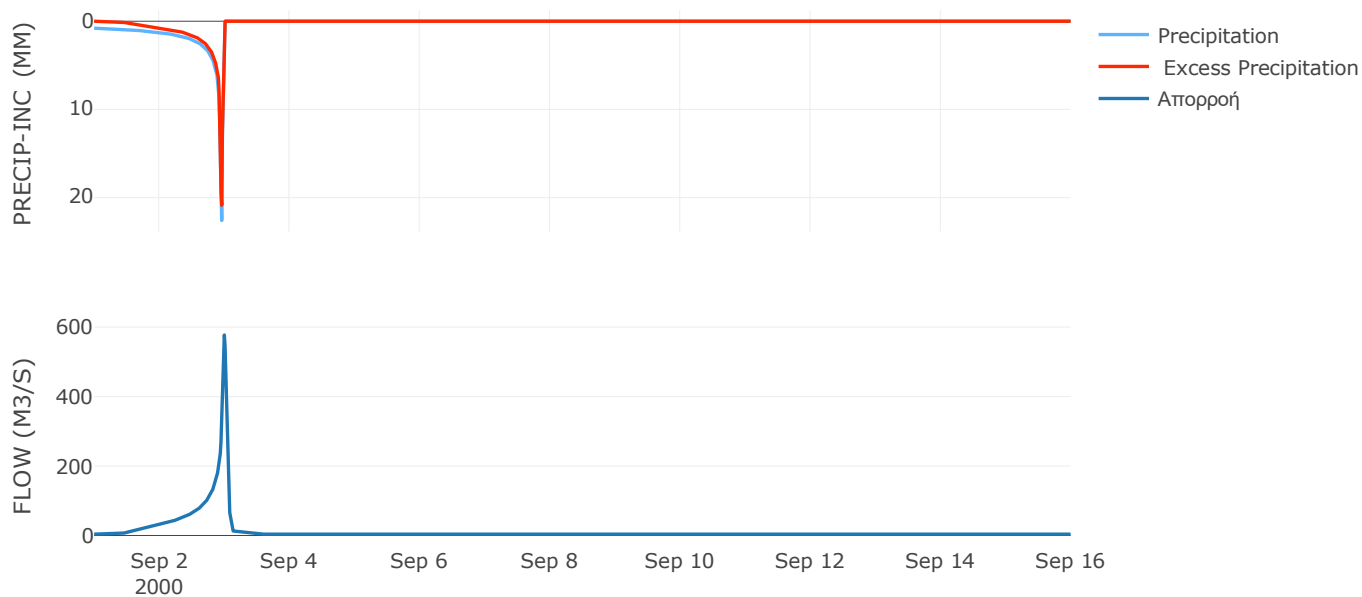
Μέθοδος
Μετασχηματισμού: SCS

Χρόνος Υστέρησης	56.99
------------------	-------

Αποτελέσματα:
EL0512FR1012

Παροχή αιχμής (M3/S)	577.23
Χρονική στιγμή αιχμής	02Sep2000, 24:00
Όγκος (MM)	422.25
Όγκος βροχόπτωσης (M3)	1.59E7
Όγκος απωλειών (M3)	4.81E6
Ενεργός Όγκος (M3)	1.11E7
Όγκος άμεσης απορροής (M3)	1.11E7
Όγκος βασικής απορροής (M3)	4.9E6

Βροχόπτωση και Απορροή



Υπολεκάνη: EL0512FR1013

Έκταση (KM2) : 42.56

Κατάντη : J10

Μέθοδος Απωλειών: SCS

Ποσοστό αδιαπέρατης επιφάνειας	0
Αριθμός Καμπύλης Απορροής-CN	70.31
Αρχικές Απώλειες	21.45

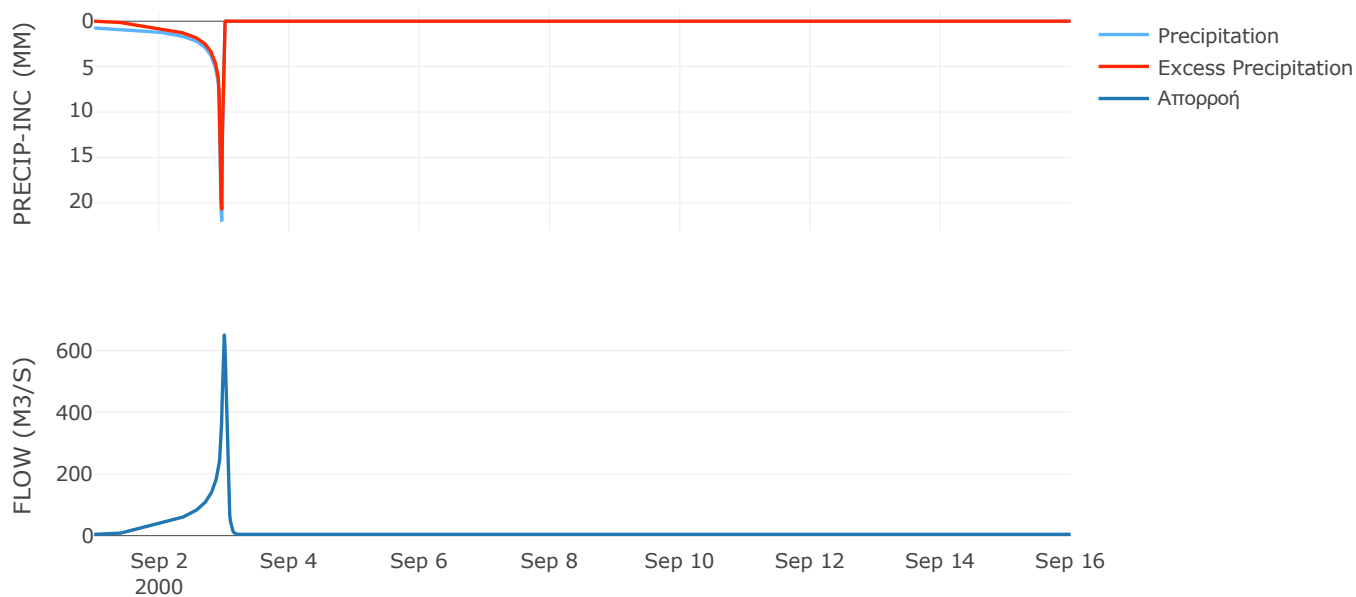
Μέθοδος
Μετασχηματισμού: SCS

Χρόνος Υστέρησης	55.14
------------------	-------

Αποτελέσματα:
EL0512FR1013

Παροχή αιχμής (M3/S)	650.14
Χρονική στιγμή αιχμής	02Sep2000, 24:00
Όγκος (MM)	426.33
Όγκος βροχόπτωσης (M3)	1.71E7
Όγκος απωλειών (M3)	4.47E6
Ενεργός Όγκος (M3)	1.26E7
Όγκος άμεσης απορροής (M3)	1.26E7
Όγκος βασικής απορροής (M3)	5.52E6

Βροχόπτωση και Απορροή



Υπολεκάνη: EL0512FR1014

Έκταση (KM2) : 20.41

Κατάντη : J25

Μέθοδος Απωλειών: SCS

Ποσοστό αδιαπέρατης επιφάνειας	0
Αριθμός Καμπύλης Απορροής-CN	69.15
Αρχικές Απώλειες	22.66

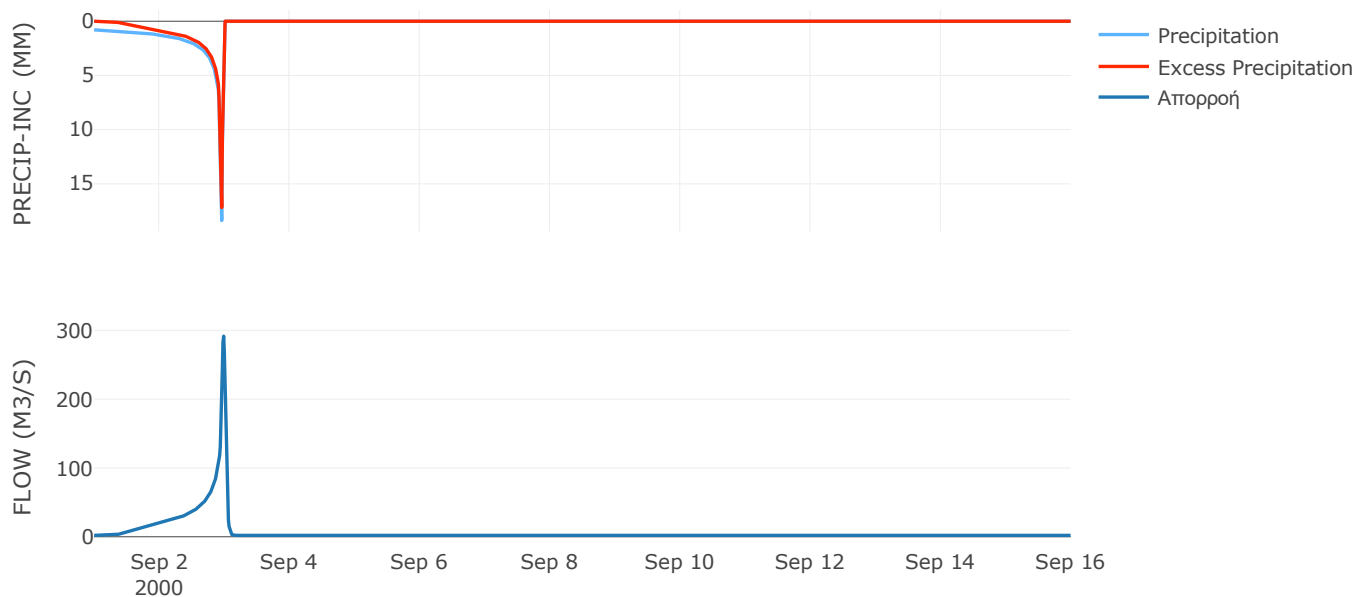
Μέθοδος
Μετασχηματισμού: SCS

Χρόνος Υστέρησης	38.83
------------------	-------

Αποτελέσματα:
EL0512FR1014

Παροχή αιχμής (M3/S)	291.45
Χρονική στιγμή αιχμής	02Sep2000, 23:45
Όγκος (MM)	409.4
Όγκος βροχόπτωσης (M3)	7.94E6
Όγκος απωλειών (M3)	2.23E6
Ενεργός Όγκος (M3)	5.71E6
Όγκος άμεσης απορροής (M3)	5.71E6
Όγκος βασικής απορροής (M3)	2.65E6

Βροχόπτωση και Απορροή



Υπολεκάνη: EL0512FR1015

Έκταση (KM2) : 55.38

Κατάντη : J26

Μέθοδος Απωλειών: SCS

Ποσοστό αδιαπέρατης επιφάνειας	0
Αριθμός Καμπύλης Απορροής-CN	68.76
Αρχικές Απώλειες	23.08

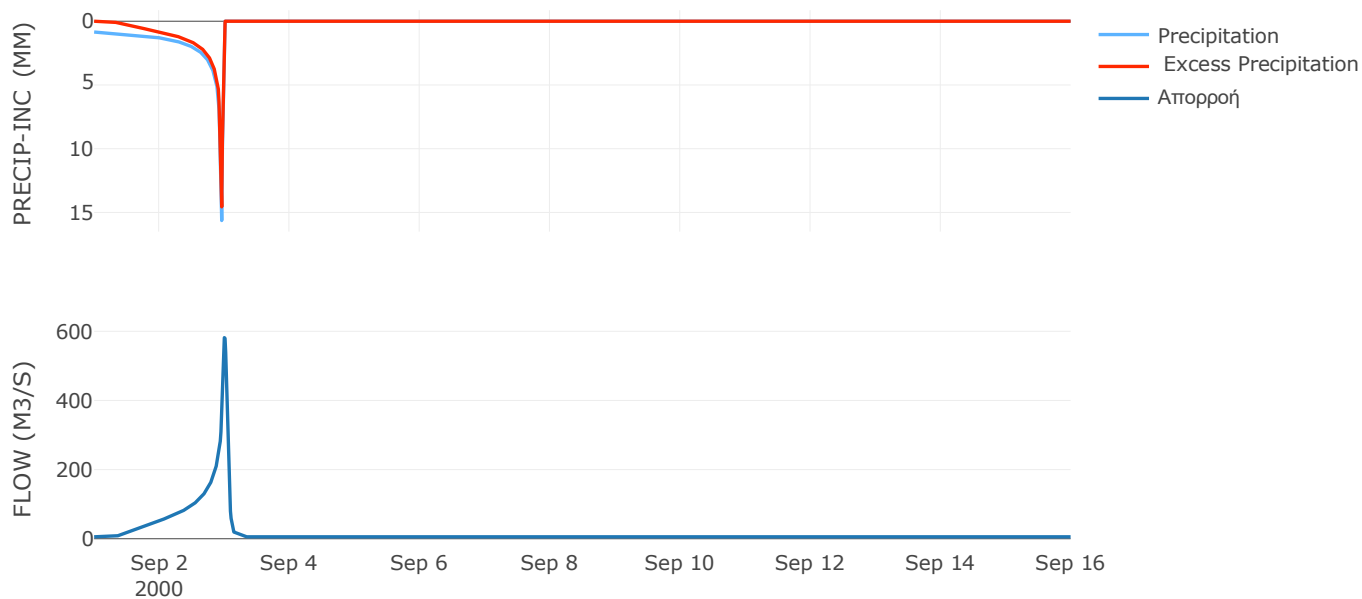
Μέθοδος
Μετασχηματισμού: SCS

Χρόνος Υστέρησης	66.21
------------------	-------

Αποτελέσματα:
EL0512FR1015

Παροχή αιχμής (M3/S)	581.66
Χρονική στιγμή αιχμής	02Sep2000, 24:00
Όγκος (MM)	399.11
Όγκος βροχόπτωσης (M3)	2.1E7
Όγκος απωλειών (M3)	6.11E6
Ενεργός Όγκος (M3)	1.49E7
Όγκος άμεσης απορροής (M3)	1.49E7
Όγκος βασικής απορροής (M3)	7.18E6

Βροχόπτωση και Απορροή



Υπολεκάνη: EL0512FR1016

Έκταση (KM2) : 87.24

Κατάντη : J26

Μέθοδος Απωλειών: SCS

Ποσοστό αδιαπέρατης επιφάνειας	0
Αριθμός Καμπύλης Απορροής-CN	73.07
Αρχικές Απώλειες	18.72

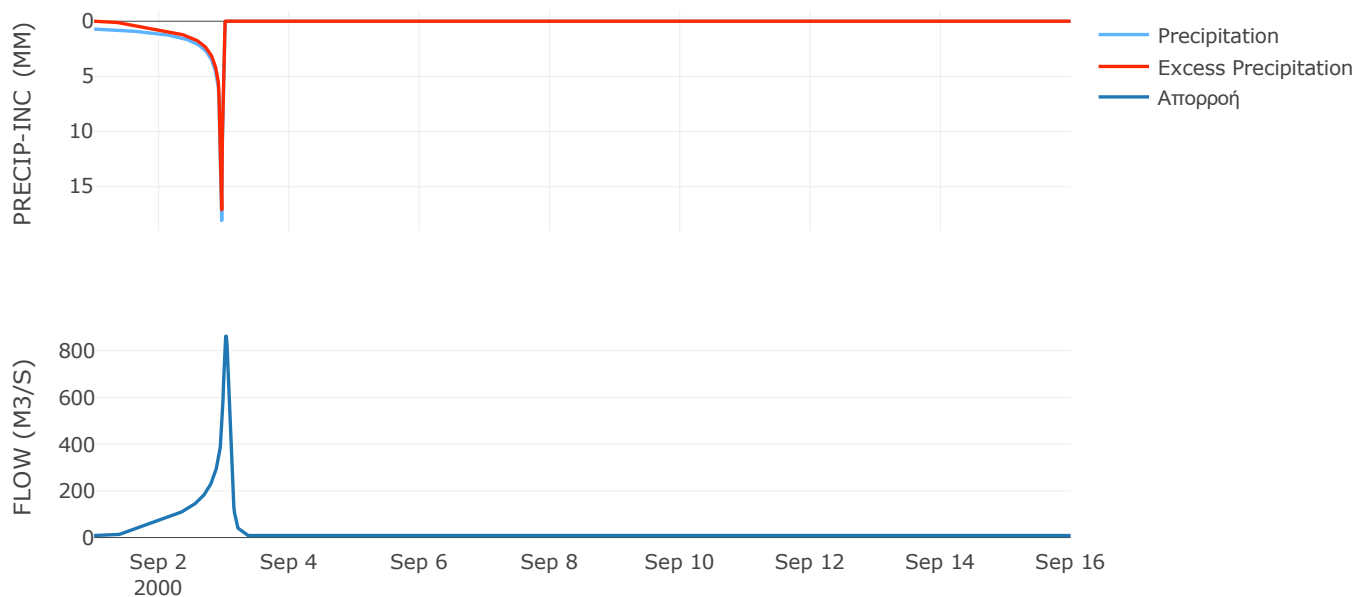
Μέθοδος
Μετασχηματισμού: SCS

Χρόνος Υστέρησης	103.15
------------------	--------

Αποτελέσματα:
EL0512FR1016

Παροχή αιχμής (M3/S)	862.18
Χρονική στιγμή αιχμής	03Sep2000, 00:30
Όγκος (MM)	398.53
Όγκος βροχόπτωσης (M3)	3.15E7
Όγκος απωλειών (M3)	8.05E6
Ενεργός Όγκος (M3)	2.35E7
Όγκος άμεσης απορροής (M3)	2.35E7
Όγκος βασικής απορροής (M3)	1.13E7

Βροχόπτωση και Απορροή



Υπολεκάνη: EL0512FR1017

Έκταση (KM2) : 29.09

Κατάντη : J27

Μέθοδος Απωλειών: SCS

Ποσοστό αδιαπέρατης επιφάνειας	0
Αριθμός Καμπύλης Απορροής-CN	66.49
Αρχικές Απώλειες	25.61

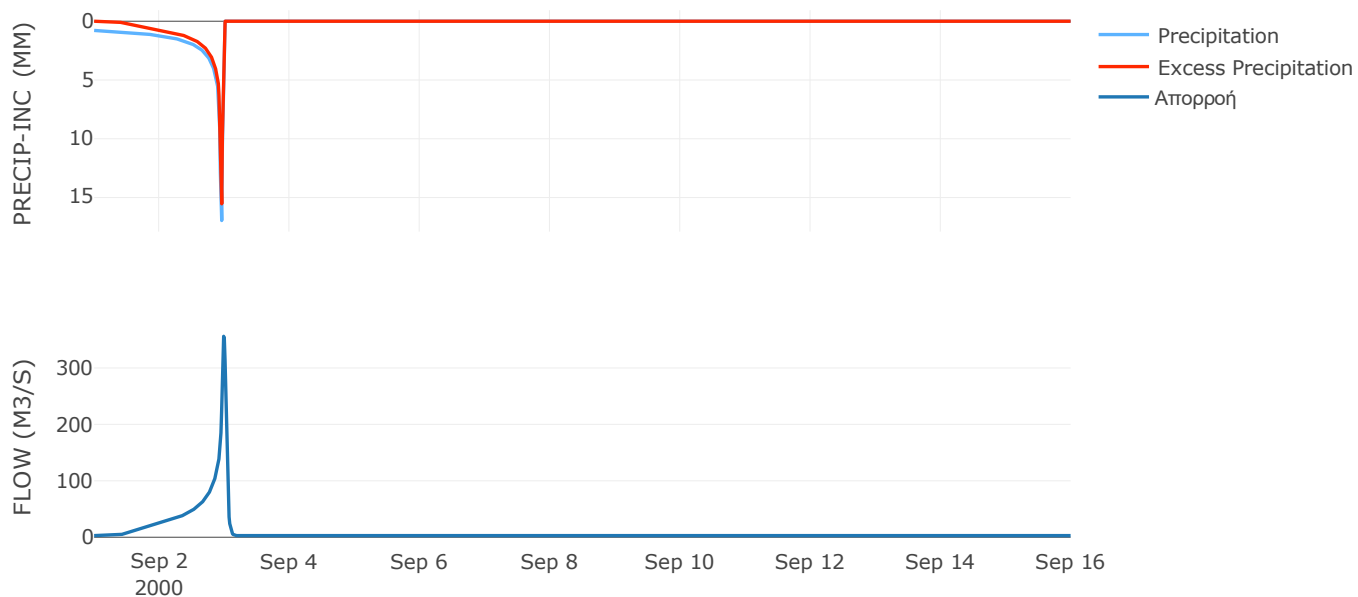
Μέθοδος
Μετασχηματισμού: SCS

Χρόνος Υστέρησης	47.67
------------------	-------

Αποτελέσματα:
EL0512FR1017

Παροχή αιχμής (M3/S)	356.1
Χρονική στιγμή αιχμής	02Sep2000, 23:45
Όγκος (MM)	383.49
Όγκος βροχόπτωσης (M3)	1.09E7
Όγκος απωλειών (M3)	3.47E6
Ενεργός Όγκος (M3)	7.38E6
Όγκος άμεσης απορροής (M3)	7.38E6
Όγκος βασικής απορροής (M3)	3.77E6

Βροχόπτωση και Απορροή



Υπολεκάνη: EL0512FR1018

Έκταση (KM2) : 36.97

Κατάντη : J24

Μέθοδος Απωλειών: SCS

Ποσοστό αδιαπέρατης επιφάνειας	0
Αριθμός Καμπύλης Απορροής-CN	72.2
Αρχικές Απώλειες	19.56

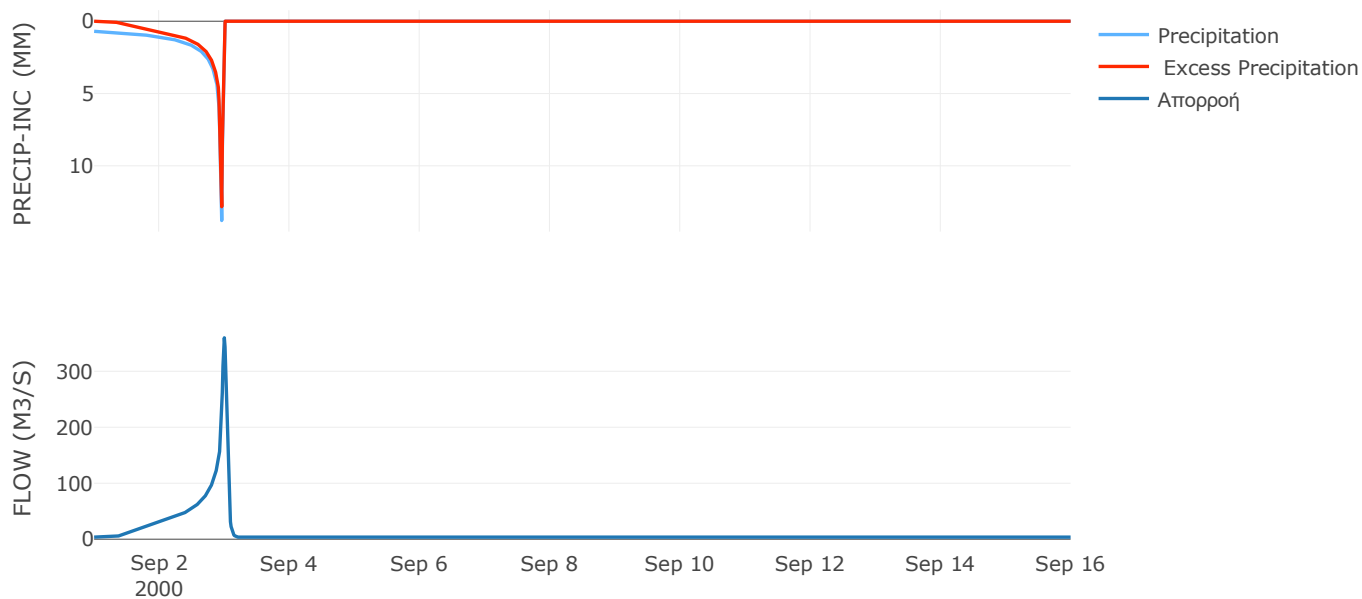
Μέθοδος
Μετασχηματισμού: SCS

Χρόνος Υστέρησης	57.15
------------------	-------

Αποτελέσματα:
EL0512FR1018

Παροχή αιχμής (M3/S)	359.8
Χρονική στιγμή αιχμής	02Sep2000, 24:00
Όγκος (MM)	357.17
Όγκος βροχόπτωσης (M3)	1.19E7
Όγκος απωλειών (M3)	3.45E6
Ενεργός Όγκος (M3)	8.41E6
Όγκος άμεσης απορροής (M3)	8.41E6
Όγκος βασικής απορροής (M3)	4.79E6

Βροχόπτωση και Απορροή



Υπολεκάνη: EL0512FR1019

Έκταση (KM2) : 88.25

Κατάντη : J24

Μέθοδος Απωλειών: SCS

Ποσοστό αδιαπέρατης επιφάνειας	0
Αριθμός Καμπύλης Απορροής-CN	71.07
Αρχικές Απώλειες	20.68

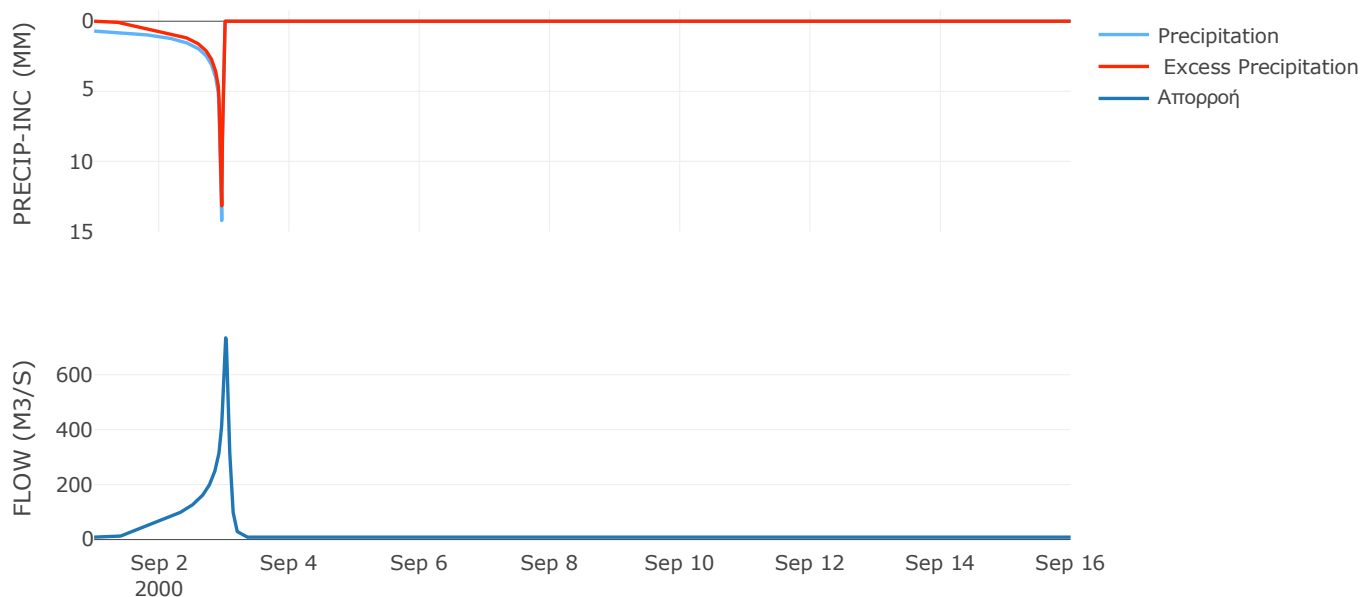
Μέθοδος
Μετασχηματισμού: SCS

Χρόνος Υστέρησης	92.42
------------------	-------

Αποτελέσματα:
EL0512FR1019

Παροχή αιχμής (M3/S)	734.35
Χρονική στιγμή αιχμής	03Sep2000, 00:30
Όγκος (MM)	357.55
Όγκος βροχόπτωσης (M3)	2.88E7
Όγκος απωλειών (M3)	8.64E6
Ενεργός Όγκος (M3)	2.01E7
Όγκος άμεσης απορροής (M3)	2.01E7
Όγκος βασικής απορροής (M3)	1.14E7

Βροχόπτωση και Απορροή



Υπολεκάνη: EL0512FR1020

Έκταση (KM2) : 29.81

Κατάντη : J23

Μέθοδος Απωλειών: SCS

Ποσοστό αδιαπέρατης επιφάνειας	0
Αριθμός Καμπύλης Απορροής-CN	69.78
Αρχικές Απώλειες	22

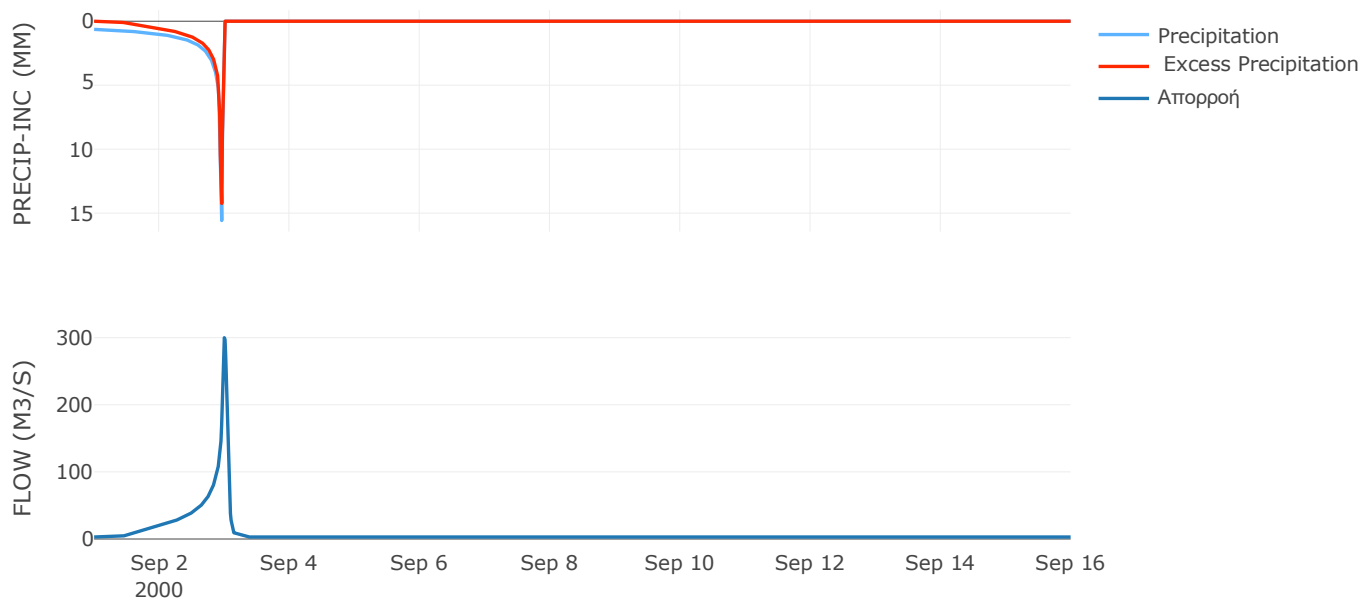
Μέθοδος
Μετασχηματισμού: SCS

Χρόνος Υστέρησης	64.79
------------------	-------

Αποτελέσματα:
EL0512FR1020

Παροχή αιχμής (M3/S)	299.94
Χρονική στιγμή αιχμής	02Sep2000, 24:00
Όγκος (MM)	345.25
Όγκος βροχόπτωσης (M3)	9.48E6
Όγκος απωλειών (M3)	3.05E6
Ενεργός Όγκος (M3)	6.43E6
Όγκος άμεσης απορροής (M3)	6.43E6
Όγκος βασικής απορροής (M3)	3.86E6

Βροχόπτωση και Απορροή



Υπολεκάνη: EL0512FR1021

Έκταση (KM2) : 1.65

Κατάντη : J23

Μέθοδος Απωλειών: SCS

Ποσοστό αδιαπέρατης επιφάνειας	0
Αριθμός Καμπύλης Απορροής-CN	53.33
Αρχικές Απώλειες	44.45

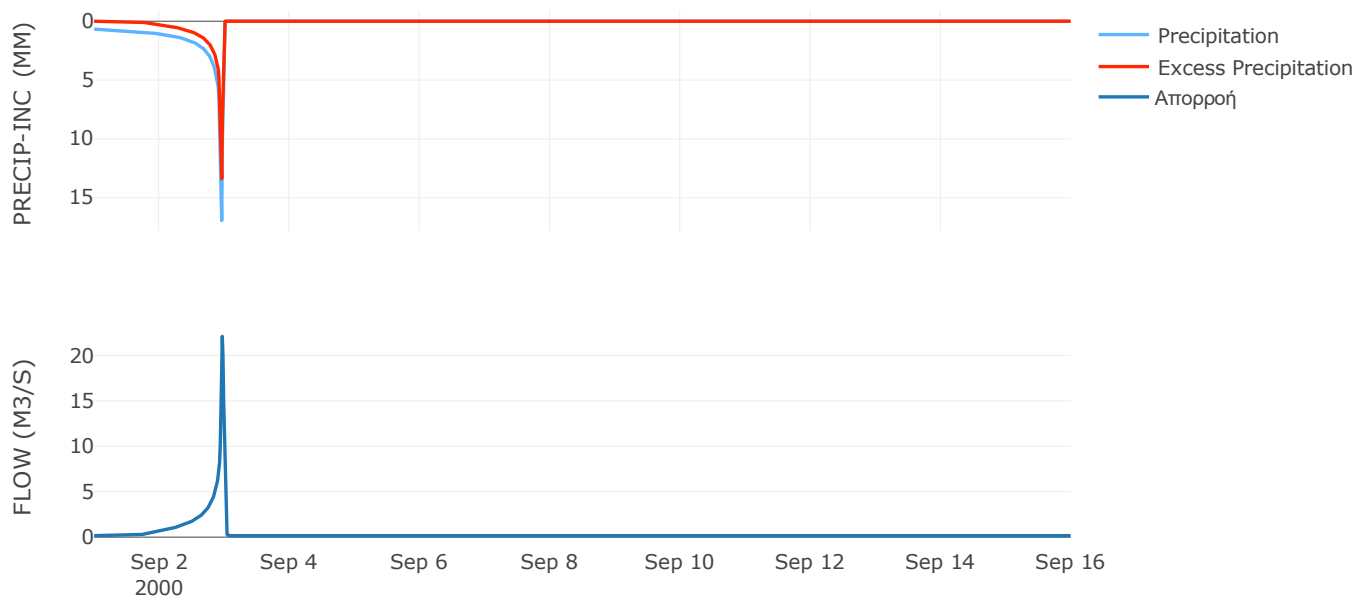
Μέθοδος
Μετασχηματισμού: SCS

Χρόνος Υστέρησης	13.96
------------------	-------

Αποτελέσματα:
EL0512FR1021

Παροχή αιχμής (M3/S)	22.1
Χρονική στιγμή αιχμής	02Sep2000, 23:15
Όγκος (MM)	298.44
Όγκος βροχόπτωσης (M3)	5.61E5
Όγκος απωλειών (M3)	2.82E5
Ενεργός Όγκος (M3)	2.78E5
Όγκος άμεσης απορροής (M3)	2.78E5
Όγκος βασικής απορροής (M3)	2.14E5

Βροχόπτωση και Απορροή



Υπολεκάνη: EL0512FR1024

Έκταση (KM2) : 104.31

Κατάντη : J13

Μέθοδος Απωλειών: SCS

Ποσοστό αδιαπέρατης επιφάνειας	0
Αριθμός Καμπύλης Απορροής-CN	75.83
Αρχικές Απώλειες	16.19

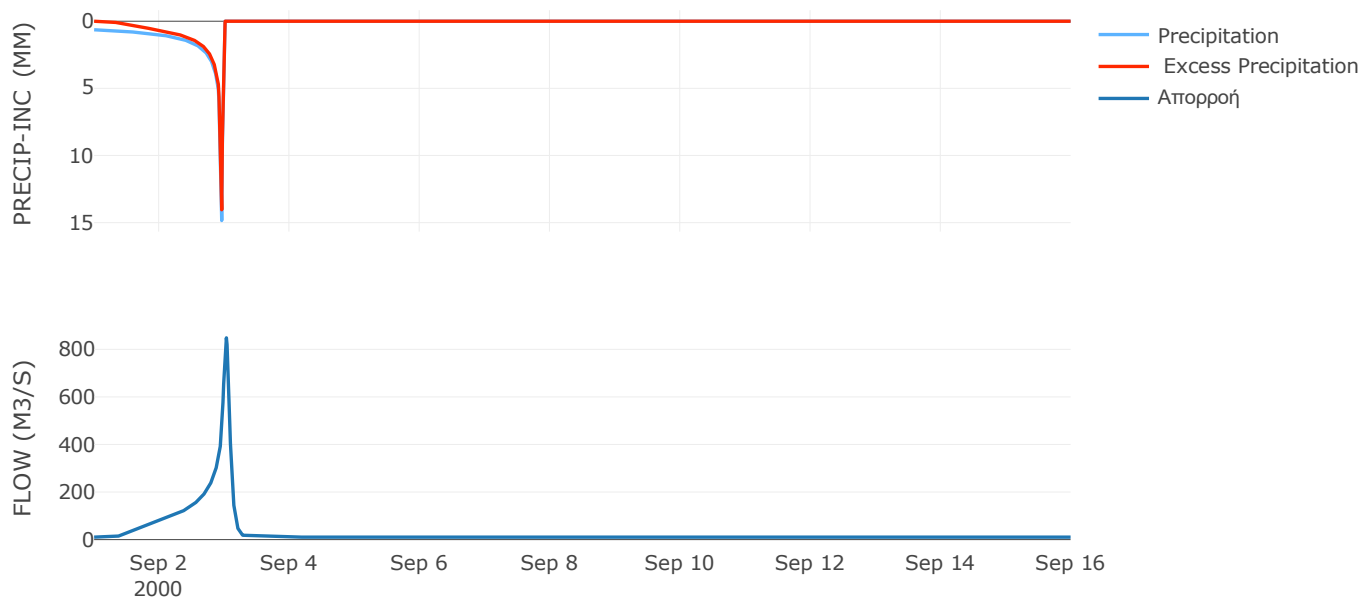
Μέθοδος
Μετασχηματισμού: SCS

Χρόνος Υστέρησης	106.94
------------------	--------

Αποτελέσματα:
EL0512FR1024

Παροχή αιχμής (M3/S)	848.44
Χρονική στιγμή αιχμής	03Sep2000, 00:45
Όγκος (MM)	361.99
Όγκος βροχόπτωσης (M3)	3.26E7
Όγκος απωλειών (M3)	8.32E6
Ενεργός Όγκος (M3)	2.42E7
Όγκος άμεσης απορροής (M3)	2.42E7
Όγκος βασικής απορροής (M3)	1.35E7

Βροχόπτωση και Απορροή



Υπολεκάνη: EL0512FR1025

Έκταση (KM2) : 99.97

Κατάντη : J13

Μέθοδος Απωλειών: SCS

Ποσοστό αδιαπέρατης επιφάνειας	0
Αριθμός Καμπύλης Απορροής-CN	74.06
Αρχικές Απώλειες	17.79

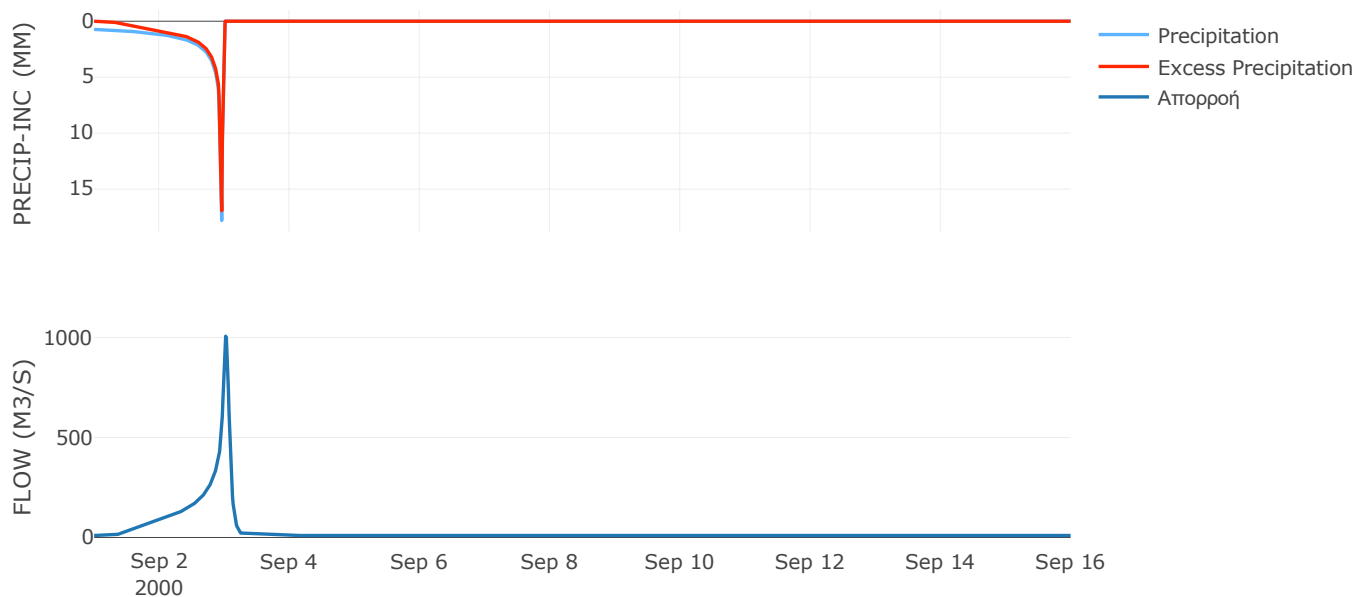
Μέθοδος
Μετασχηματισμού: SCS

Χρόνος Υστέρησης	99.39
------------------	-------

Αποτελέσματα:
EL0512FR1025

Παροχή αιχμής (M3/S)	1006.55
Χρονική στιγμή αιχμής	03Sep2000, 00:30
Όγκος (MM)	405.3
Όγκος βροχόπτωσης (M3)	3.64E7
Όγκος απωλειών (M3)	8.86E6
Ενεργός Όγκος (M3)	2.76E7
Όγκος άμεσης απορροής (M3)	2.76E7
Όγκος βασικής απορροής (M3)	1.3E7

Βροχόπτωση και Απορροή



Υπολεκάνη: EL0512FR1026

Έκταση (KM2) : 78.82

Κατάντη : J12

Μέθοδος Απωλειών: SCS

Ποσοστό αδιαπέρατης επιφάνειας	0
Αριθμός Καμπύλης Απορροής-CN	64.62
Αρχικές Απώλειες	27.82

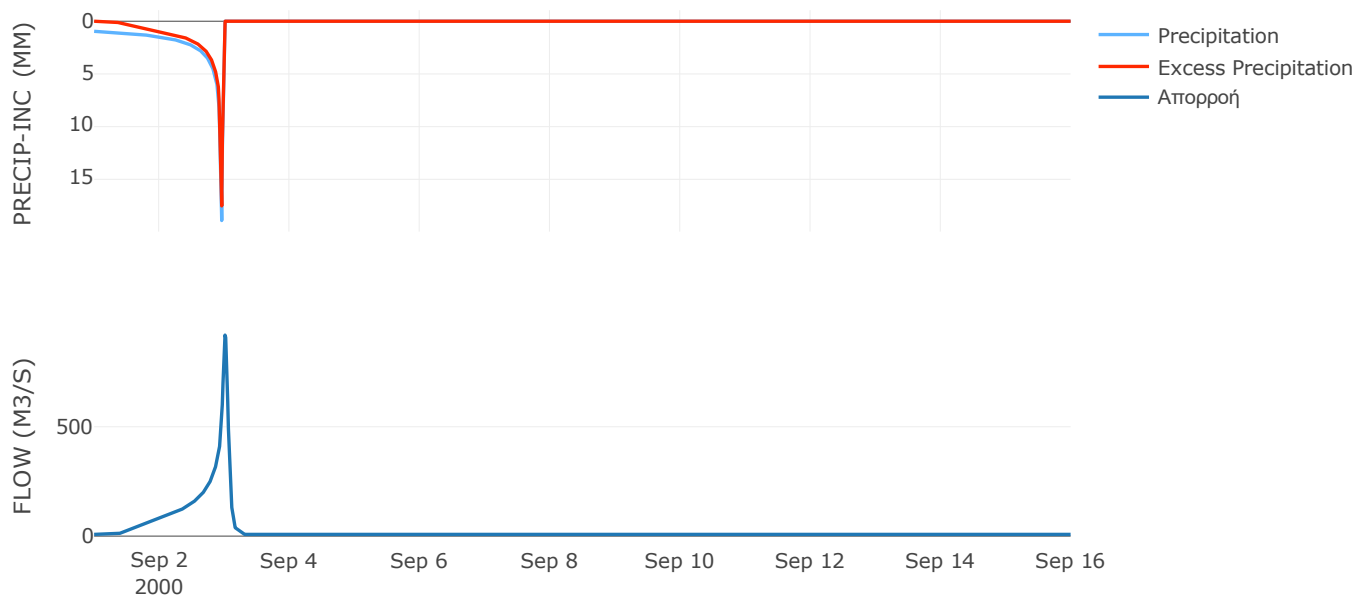
Μέθοδος
Μετασχηματισμού: SCS

Χρόνος Υστέρησης	81.13
------------------	-------

Αποτελέσματα:
EL0512FR1026

Παροχή αιχμής (M3/S)	919.08
Χρονική στιγμή αιχμής	03Sep2000, 00:15
Όγκος (MM)	437.52
Όγκος βροχόπτωσης (M3)	3.47E7
Όγκος απωλειών (M3)	1.04E7
Ενεργός Όγκος (M3)	2.43E7
Όγκος άμεσης απορροής (M3)	2.43E7
Όγκος βασικής απορροής (M3)	1.02E7

Βροχόπτωση και Απορροή



Υπολεκάνη: EL0512FR1027

Έκταση (KM2) : 79.87

Κατάντη : J31

Μέθοδος Απωλειών: SCS

Ποσοστό αδιαπέρατης επιφάνειας	0
Αριθμός Καμπύλης Απορροής-CN	65.3
Αρχικές Απώλειες	27

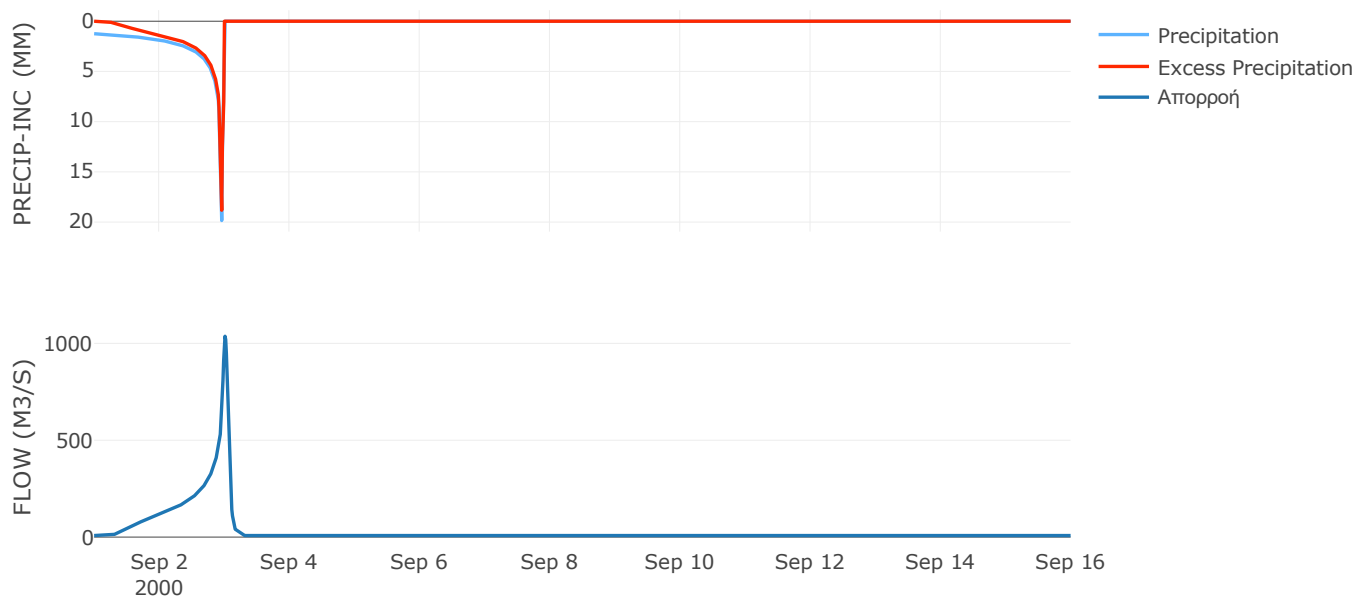
Μέθοδος
Μετασχηματισμού: SCS

Χρόνος Υστέρησης	80.13
------------------	-------

Αποτελέσματα:
EL0512FR1027

Παροχή αιχμής (M3/S)	1036.91
Χρονική στιγμή αιχμής	03Sep2000, 00:15
Όγκος (MM)	524.02
Όγκος βροχόπτωσης (M3)	4.22E7
Όγκος απωλειών (M3)	1.06E7
Ενεργός Όγκος (M3)	3.15E7
Όγκος άμεσης απορροής (M3)	3.15E7
Όγκος βασικής απορροής (M3)	1.04E7

Βροχόπτωση και Απορροή



Υπολεκάνη: EL0512FR1028

Έκταση (KM2) : 92.8

Κατάντη : J31

Μέθοδος Απωλειών: SCS

Ποσοστό αδιαπέρατης επιφάνειας	0
Αριθμός Καμπύλης Απορροής-CN	73.1
Αρχικές Απώλειες	18.7

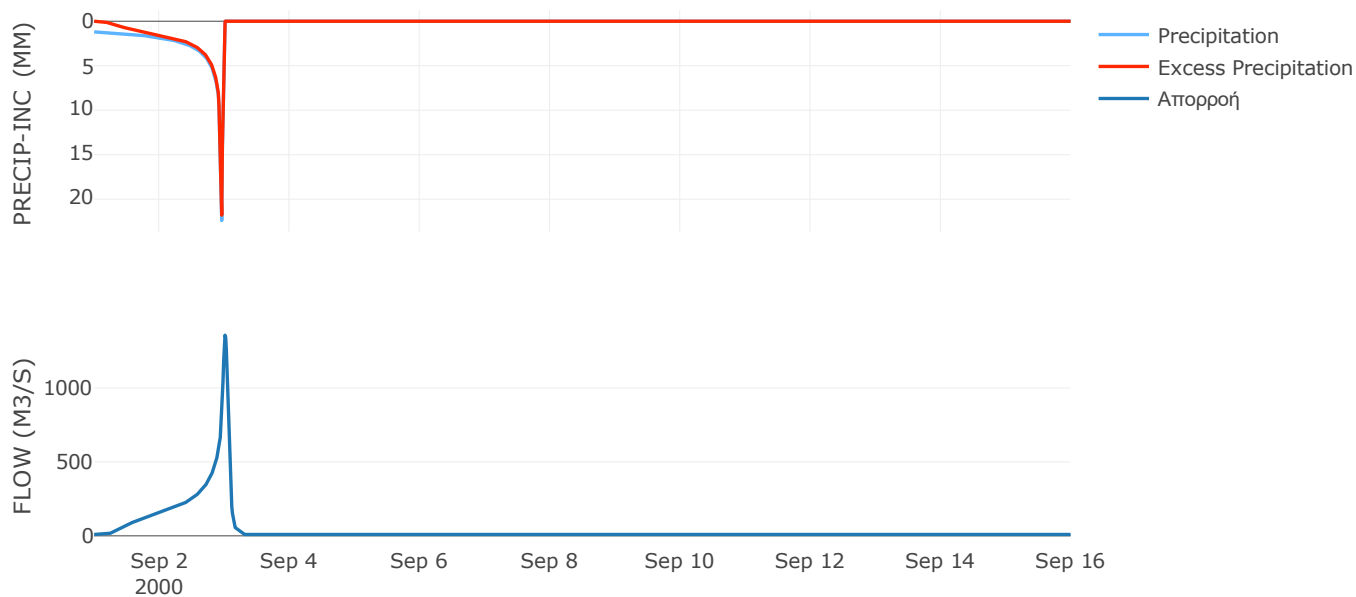
Μέθοδος
Μετασχηματισμού: SCS

Χρόνος Υστέρησης	81.75
------------------	-------

Αποτελέσματα:
EL0512FR1028

Παροχή αιχμής (M3/S)	1356.56
Χρονική στιγμή αιχμής	03Sep2000, 00:15
Όγκος (MM)	571.72
Όγκος βροχόπτωσης (M3)	5.01E7
Όγκος απωλειών (M3)	9.09E6
Ενεργός Όγκος (M3)	4.1E7
Όγκος άμεσης απορροής (M3)	4.1E7
Όγκος βασικής απορροής (M3)	1.2E7

Βροχόπτωση και Απορροή



Υπολεκάνη: EL0512FR1029

Έκταση (KM2) : 88.68

Κατάντη : J22

Μέθοδος Απωλειών: SCS

Ποσοστό αδιαπέρατης επιφάνειας	0
Αριθμός Καμπύλης Απορροής-CN	67.31
Αρχικές Απώλειες	24.67

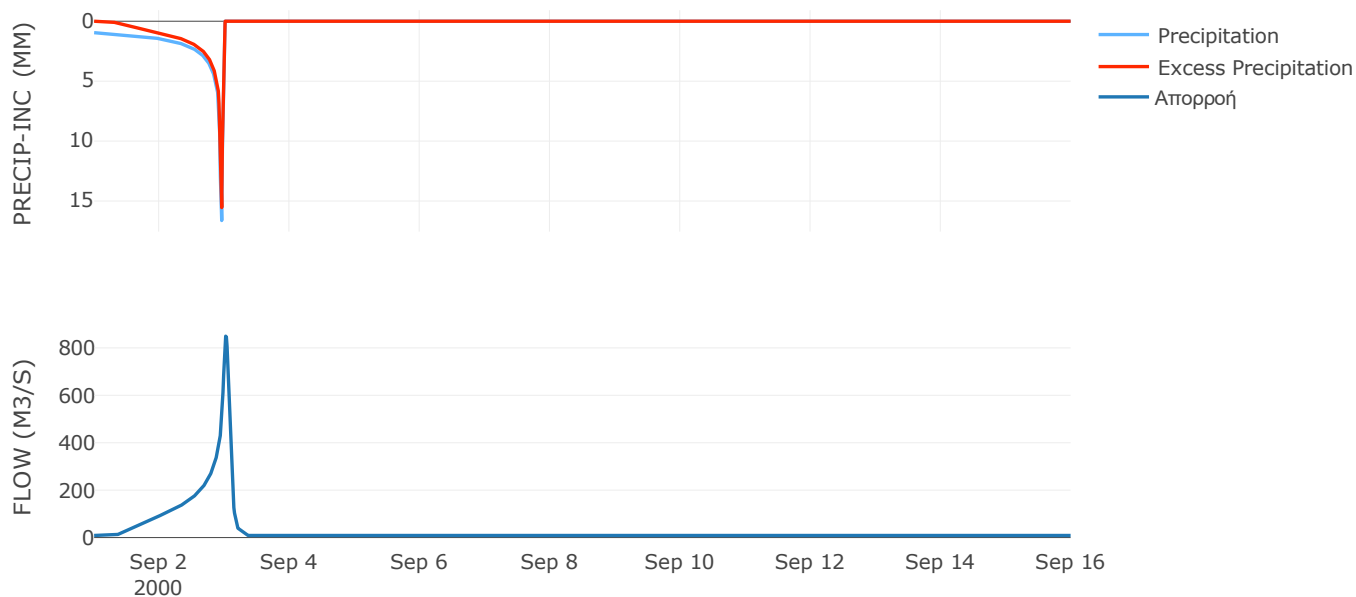
Μέθοδος
Μετασχηματισμού: SCS

Χρόνος Υστέρησης	102.59
------------------	--------

Αποτελέσματα:
EL0512FR1029

Παροχή αιχμής (M3/S)	849.49
Χρονική στιγμή αιχμής	03Sep2000, 00:30
Όγκος (MM)	430.05
Όγκος βροχόπτωσης (M3)	3.72E7
Όγκος απωλειών (M3)	1.05E7
Ενεργός Όγκος (M3)	2.66E7
Όγκος άμεσης απορροής (M3)	2.66E7
Όγκος βασικής απορροής (M3)	1.15E7

Βροχόπτωση και Απορροή



Υπολεκάνη: EL0512FR1030

Έκταση (KM2) : 54.36

Κατάντη : J22

Μέθοδος Απωλειών: SCS

Ποσοστό αδιαπέρατης επιφάνειας	0
Αριθμός Καμπύλης Απορροής-CN	53.41
Αρχικές Απώλειες	44.31

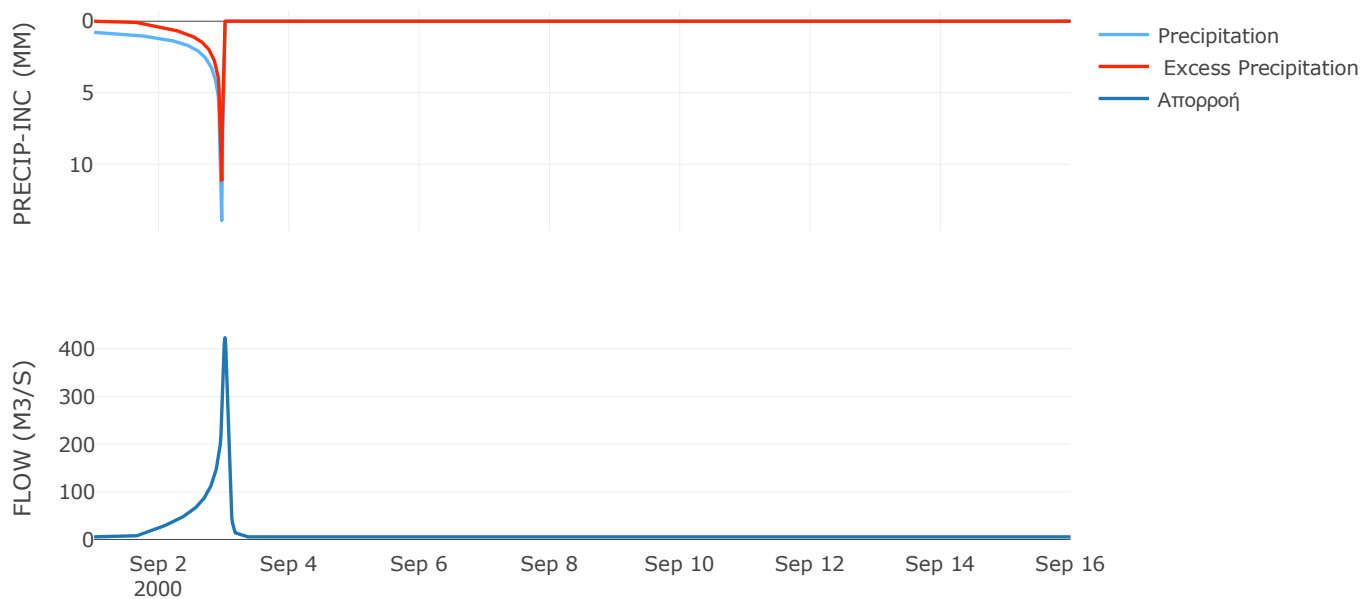
Μέθοδος
Μετασχηματισμού: SCS

Χρόνος Υστέρησης	72.97
------------------	-------

Αποτελέσματα:
EL0512FR1030

Παροχή αιχμής (M3/S)	423.16
Χρονική στιγμή αιχμής	03Sep2000, 00:15
Όγκος (MM)	302.47
Όγκος βροχόπτωσης (M3)	1.87E7
Όγκος απωλειών (M3)	9.34E6
Ενεργός Όγκος (M3)	9.4E6
Όγκος άμεσης απορροής (M3)	9.4E6
Όγκος βασικής απορροής (M3)	7.05E6

Βροχόπτωση και Απορροή



Υπολεκάνη: EL0512FR1031

Έκταση (KM2) : 44.83

Κατάντη : J14

Μέθοδος Απωλειών: SCS

Ποσοστό αδιαπέρατης επιφάνειας	0
Αριθμός Καμπύλης Απορροής-CN	62.5
Αρχικές Απώλειες	30.48

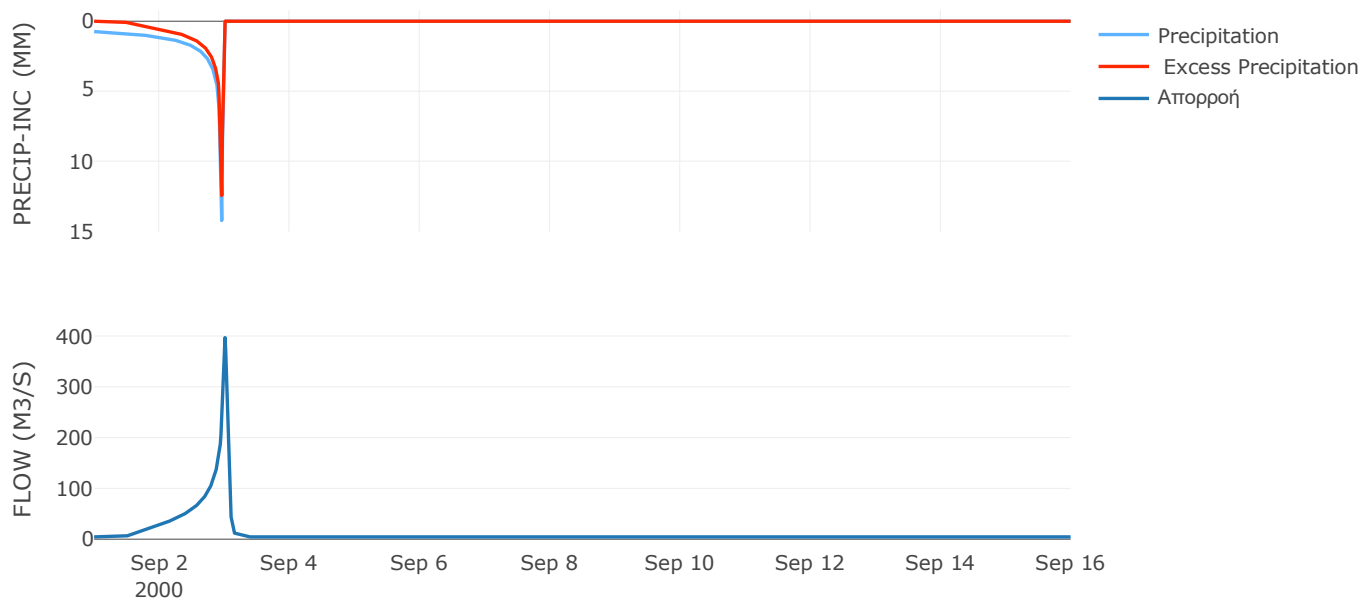
Μέθοδος
Μετασχηματισμού: SCS

Χρόνος Υστέρησης	67.54
------------------	-------

Αποτελέσματα:
EL0512FR1031

Παροχή αιχμής (M3/S)	396.95
Χρονική στιγμή αιχμής	03Sep2000, 00:15
Όγκος (MM)	333.95
Όγκος βροχόπτωσης (M3)	1.51E7
Όγκος απωλειών (M3)	5.93E6
Ενεργός Όγκος (M3)	9.16E6
Όγκος άμεσης απορροής (M3)	9.16E6
Όγκος βασικής απορροής (M3)	5.81E6

Βροχόπτωση και Απορροή



Υπολεκάνη: EL0512FR1032

Έκταση (KM2) : 62.74

Κατάντη : J14

Μέθοδος Απωλειών: SCS

Ποσοστό αδιαπέρατης επιφάνειας	0
Αριθμός Καμπύλης Απορροής-CN	64.28
Αρχικές Απώλειες	28.23

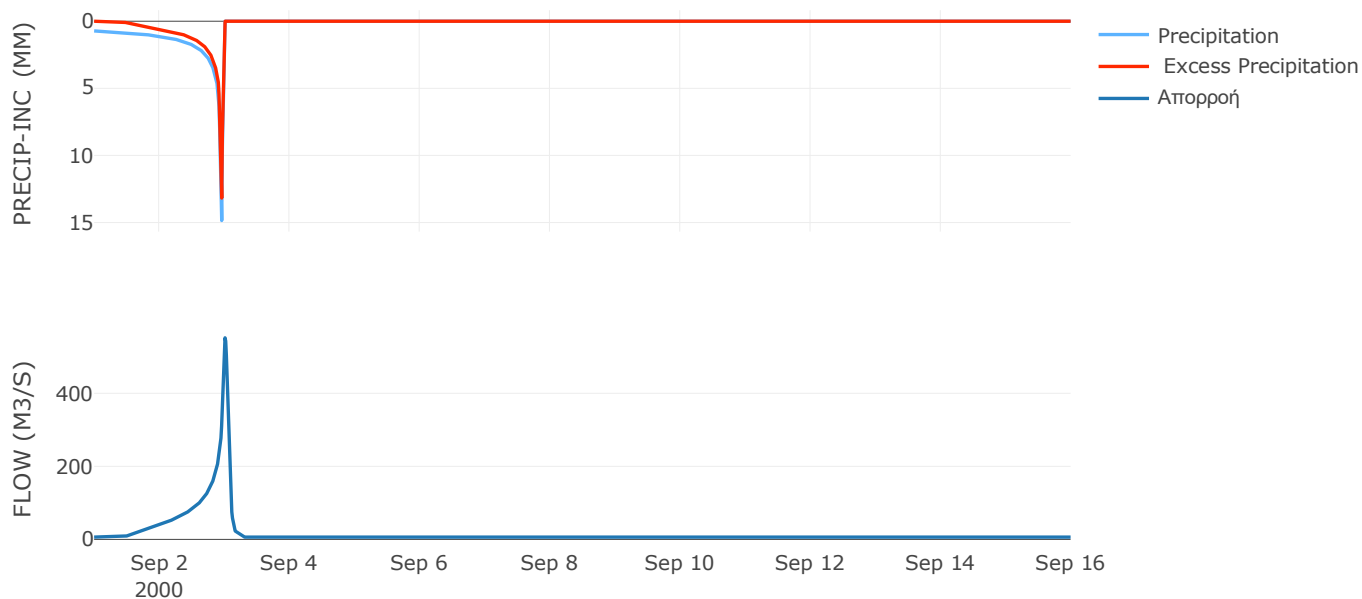
Μέθοδος
Μετασχηματισμού: SCS

Χρόνος Υστέρησης	79.49
------------------	-------

Αποτελέσματα:
EL0512FR1032

Παροχή αιχμής (M3/S)	552
Χρονική στιγμή αιχμής	03Sep2000, 00:15
Όγκος (MM)	341.43
Όγκος βροχόπτωσης (M3)	2.11E7
Όγκος απωλειών (M3)	7.85E6
Ενεργός Όγκος (M3)	1.33E7
Όγκος άμεσης απορροής (M3)	1.33E7
Όγκος βασικής απορροής (M3)	8.13E6

Βροχόπτωση και Απορροή



Υπολεκάνη: EL0512FR1033

Έκταση (KM2) : 25.85

Κατάντη : J30

Μέθοδος Απωλειών: SCS

Ποσοστό αδιαπέρατης επιφάνειας	0
Αριθμός Καμπύλης Απορροής-CN	62.61
Αρχικές Απώλειες	30.33

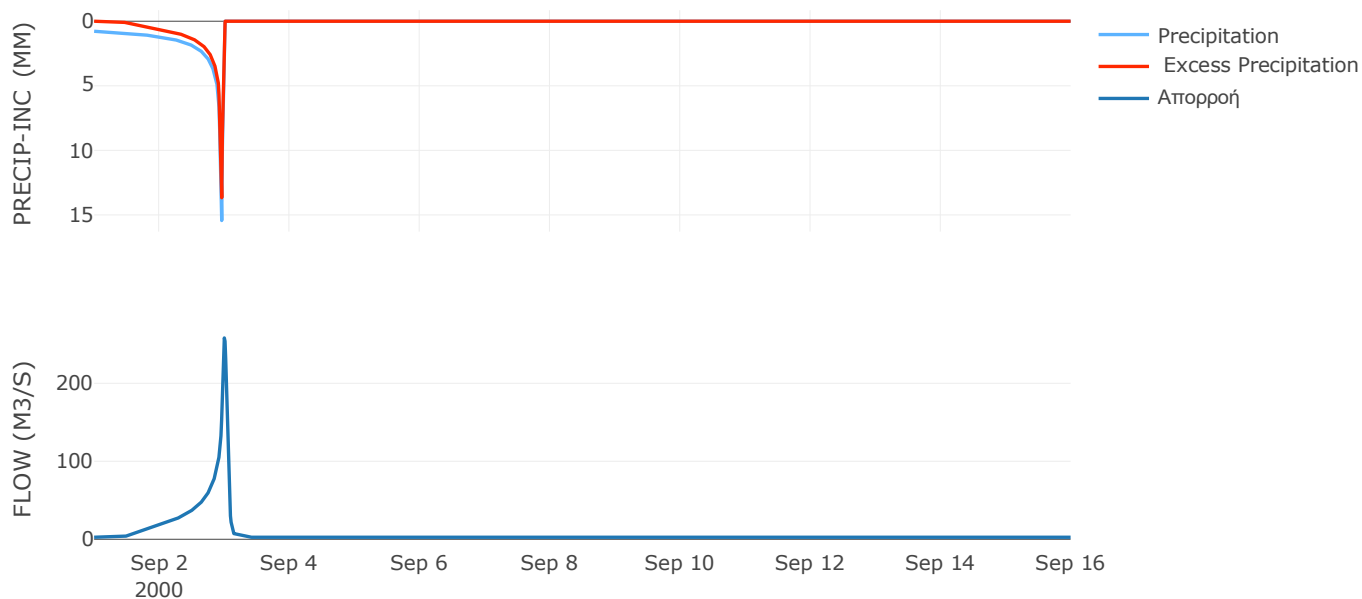
Μέθοδος
Μετασχηματισμού: SCS

Χρόνος Υστέρησης	62.74
------------------	-------

Αποτελέσματα:
EL0512FR1033

Παροχή αιχμής (M3/S)	258.13
Χρονική στιγμή αιχμής	02Sep2000, 24:00
Όγκος (MM)	353.7
Όγκος βροχόπτωσης (M3)	9.26E6
Όγκος απωλειών (M3)	3.46E6
Ενεργός Όγκος (M3)	5.79E6
Όγκος άμεσης απορροής (M3)	5.79E6
Όγκος βασικής απορροής (M3)	3.35E6

Βροχόπτωση και Απορροή



Υπολεκάνη: EL0512FR1034

Έκταση (KM2) : 4.71

Κατάντη : J20

Μέθοδος Απωλειών: SCS

Ποσοστό αδιαπέρατης επιφάνειας	0
Αριθμός Καμπύλης Απορροής-CN	68.09
Αρχικές Απώλειες	23.8

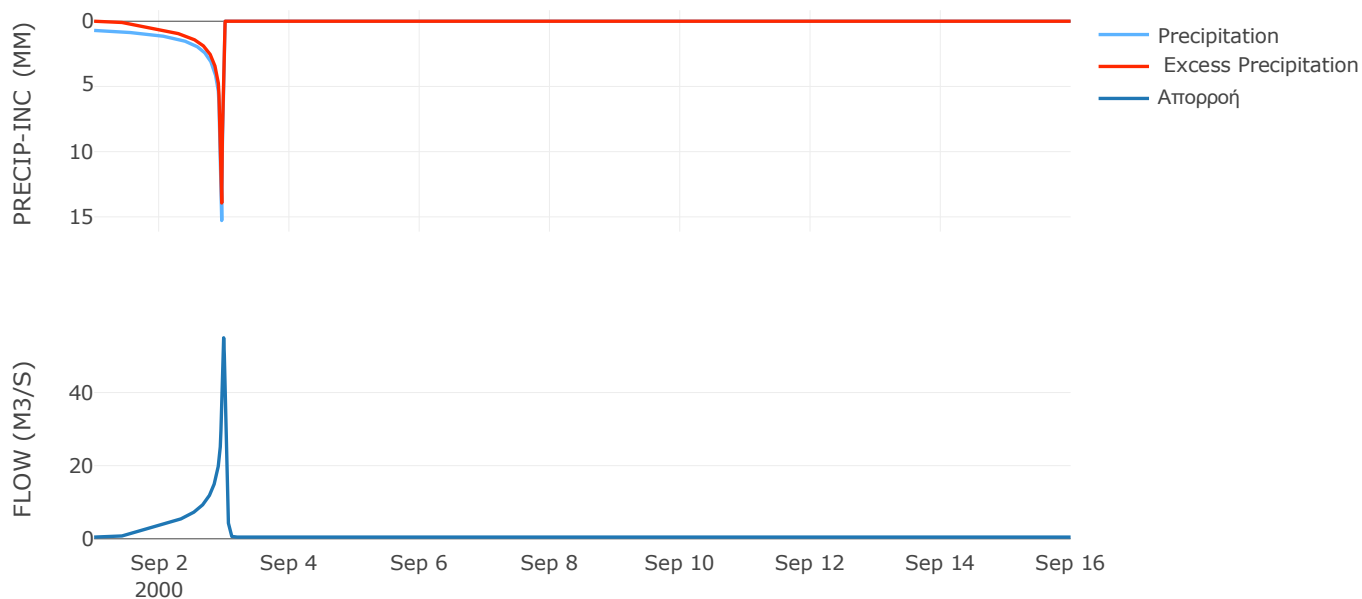
Μέθοδος
Μετασχηματισμού: SCS

Χρόνος Υστέρησης	37.63
------------------	-------

Αποτελέσματα:
EL0512FR1034

Παροχή αιχμής (M3/S)	54.96
Χρονική στιγμή αιχμής	02Sep2000, 23:45
Όγκος (MM)	355.62
Όγκος βροχόπτωσης (M3)	1.58E6
Όγκος απωλειών (M3)	5.17E5
Ενεργός Όγκος (M3)	1.06E6
Όγκος άμεσης απορροής (M3)	1.06E6
Όγκος βασικής απορροής (M3)	6.1E5

Βροχόπτωση και Απορροή



Υπολεκάνη: EL0512FR1035

Έκταση (KM2) : 3.15

Κατάντη : J16

Μέθοδος Απωλειών: SCS

Ποσοστό αδιαπέρατης επιφάνειας	0
Αριθμός Καμπύλης Απορροής-CN	72.22
Αρχικές Απώλειες	19.54

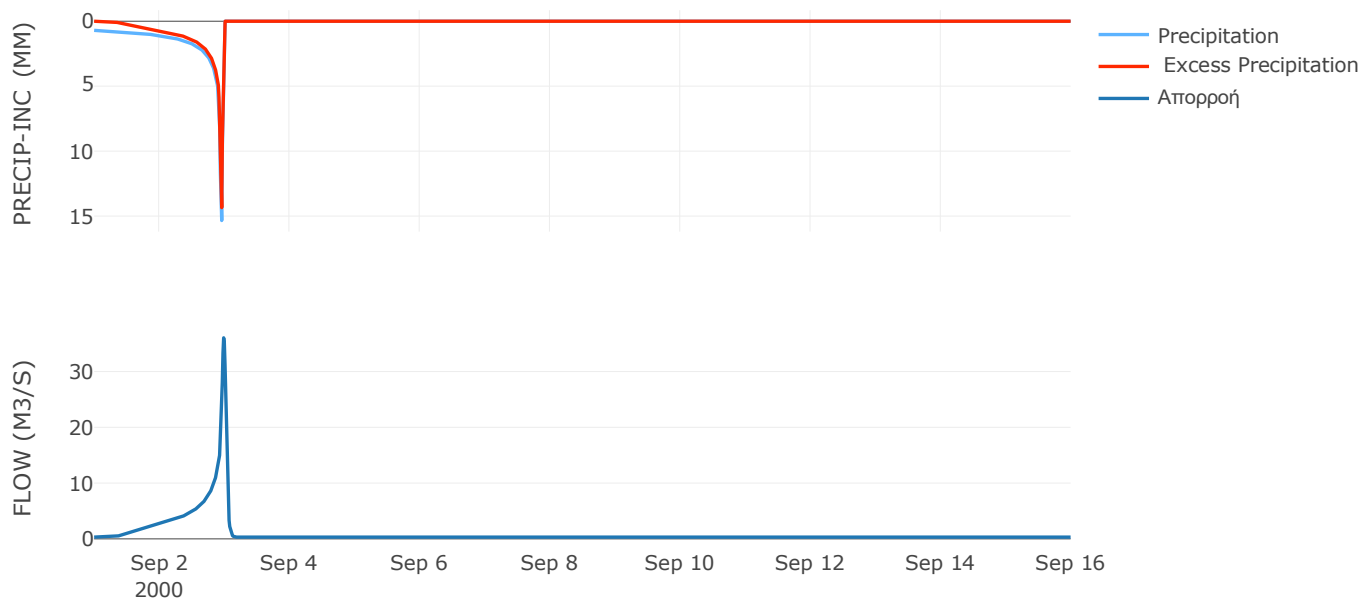
Μέθοδος
Μετασχηματισμού: SCS

Χρόνος Υστέρησης	46.27
------------------	-------

Αποτελέσματα:
EL0512FR1035

Παροχή αιχμής (M3/S)	36.05
Χρονική στιγμή αιχμής	02Sep2000, 23:45
Όγκος (MM)	371.39
Όγκος βροχόπτωσης (M3)	1.06E6
Όγκος απωλειών (M3)	2.96E5
Ενεργός Όγκος (M3)	7.61E5
Όγκος άμεσης απορροής (M3)	7.61E5
Όγκος βασικής απορροής (M3)	4.08E5

Βροχόπτωση και Απορροή



Υπολεκάνη: EL0512FR1036

Έκταση (KM2) : 1.14

Κατάντη : J16

Μέθοδος Απωλειών: SCS

Ποσοστό αδιαπέρατης επιφάνειας	0
Αριθμός Καμπύλης Απορροής-CN	79.34
Αρχικές Απώλειες	13.23

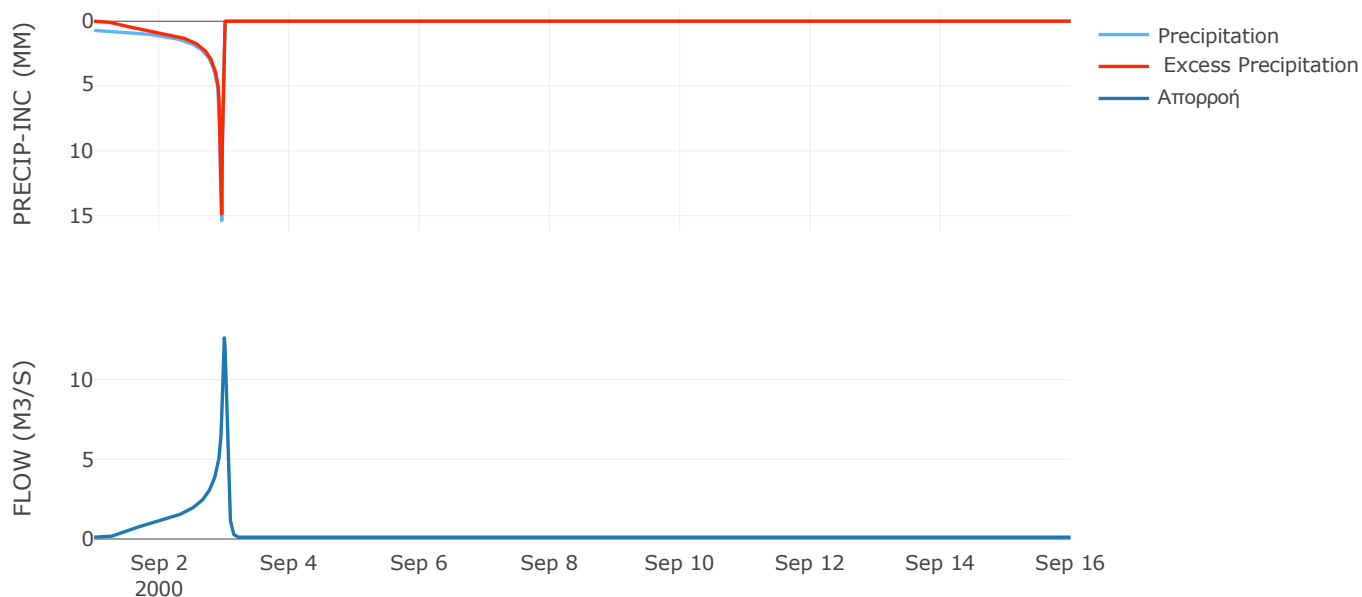
Μέθοδος
Μετασχηματισμού: SCS

Χρόνος Υστέρησης	58.43
------------------	-------

Αποτελέσματα:
EL0512FR1036

Παροχή αιχμής (M3/S)	12.62
Χρονική στιγμή αιχμής	02Sep2000, 24:00
Όγκος (MM)	398.55
Όγκος βροχόπτωσης (M3)	3.83E5
Όγκος απωλειών (M3)	77421.45
Ενεργός Όγκος (M3)	3.06E5
Όγκος άμεσης απορροής (M3)	3.06E5
Όγκος βασικής απορροής (M3)	1.47E5

Βροχόπτωση και Απορροή



Υπολεκάνη: EL0512FR1037

Έκταση (KM2) : 1.46

Κατάντη : J17

Μέθοδος Απωλειών: SCS

Ποσοστό αδιαπέρατης επιφάνειας	0
Αριθμός Καμπύλης Απορροής-CN	79.56
Αρχικές Απώλειες	13.05

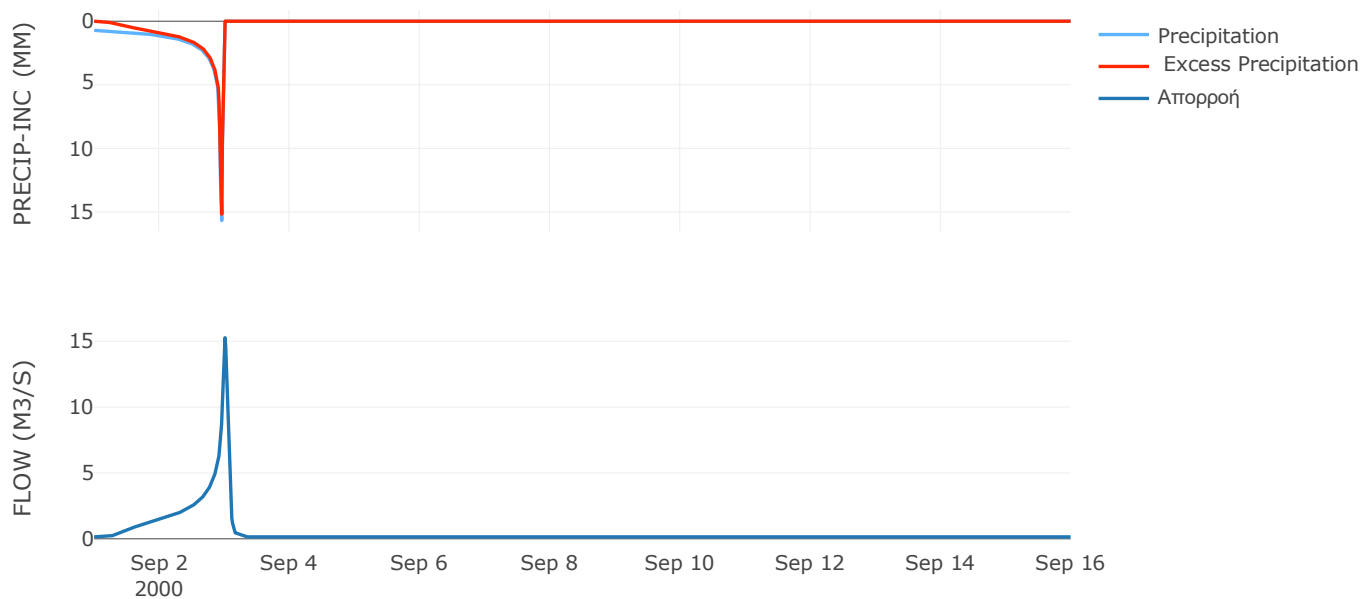
Μέθοδος
Μετασχηματισμού: SCS

Χρόνος Υστέρησης	73.44
------------------	-------

Αποτελέσματα:
EL0512FR1037

Παροχή αιχμής (M3/S)	15.27
Χρονική στιγμή αιχμής	03Sep2000, 00:15
Όγκος (MM)	405.61
Όγκος βροχόπτωσης (M3)	5.02E5
Όγκος απωλειών (M3)	98624.39
Ενεργός Όγκος (M3)	4.03E5
Όγκος άμεσης απορροής (M3)	4.03E5
Όγκος βασικής απορροής (M3)	1.89E5

Βροχόπτωση και Απορροή



Υπολεκάνη: EL0512FR1038

Έκταση (KM2) : 10.02

Κατάντη : J17

Μέθοδος Απωλειών: SCS

Ποσοστό αδιαπέρατης επιφάνειας	0
Αριθμός Καμπύλης Απορροής-CN	72.81
Αρχικές Απώλειες	18.97

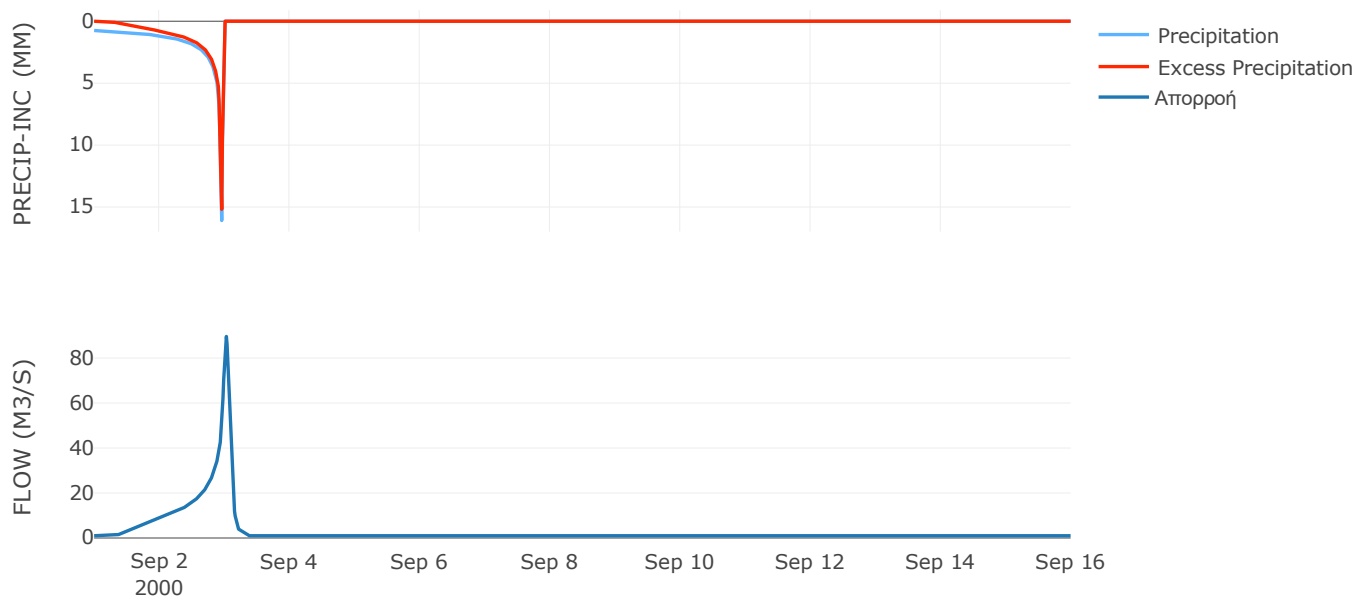
Μέθοδος
Μετασχηματισμού: SCS

Χρόνος Υστέρησης	105.48
------------------	--------

Αποτελέσματα:
EL0512FR1038

Παροχή αιχμής (M3/S)	89.61
Χρονική στιγμή αιχμής	03Sep2000, 00:45
Όγκος (MM)	392.3
Όγκος βροχόπτωσης (M3)	3.56E6
Όγκος απωλειών (M3)	9.32E5
Ενεργός Όγκος (M3)	2.63E6
Όγκος άμεσης απορροής (M3)	2.63E6
Όγκος βασικής απορροής (M3)	1.3E6

Βροχόπτωση και Απορροή



Υπολεκάνη: EL0512FR1039

Έκταση (KM2) : 30.28

Κατάνη : J15

Μέθοδος Απωλειών: SCS

Ποσοστό αδιαπέρατης επιφάνειας	0
Αριθμός Καμπύλης Απορροής-CN	66.79
Αρχικές Απώλειες	25.25

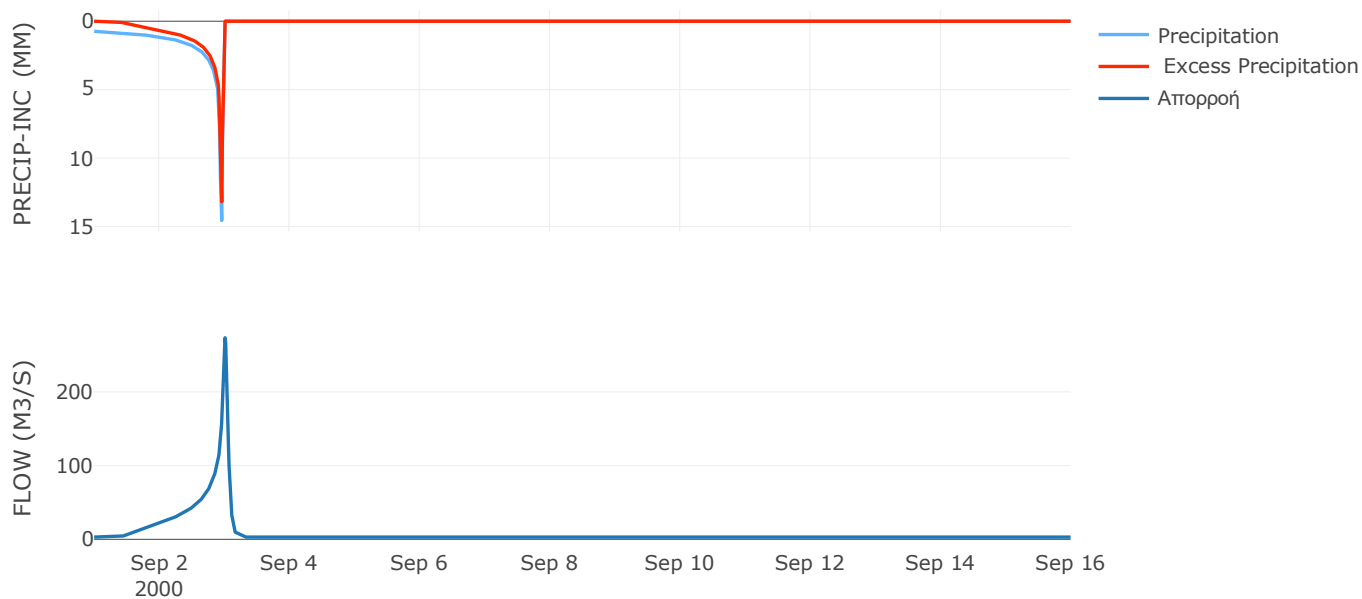
Μέθοδος
Μετασχηματισμού: SCS

Χρόνος Υστέρησης	76.19
------------------	-------

Αποτελέσματα:
EL0512FR1039

Παροχή αιχμής (M3/S)	273.34
Χρονική στιγμή αιχμής	03Sep2000, 00:15
Όγκος (MM)	353.25
Όγκος βροχόπτωσης (M3)	1.03E7
Όγκος απωλειών (M3)	3.49E6
Ενεργός Όγκος (M3)	6.77E6
Όγκος άμεσης απορροής (M3)	6.77E6
Όγκος βασικής απορροής (M3)	3.92E6

Βροχόπτωση και Απορροή



Υπολεκάνη: EL0512FR1040

Έκταση (KM2) : 14.45

Κατάντη : J16

Μέθοδος Απωλειών: SCS

Ποσοστό αδιαπέρατης επιφάνειας	0
Αριθμός Καμπύλης Απορροής-CN	64.06
Αρχικές Απώλειες	28.51

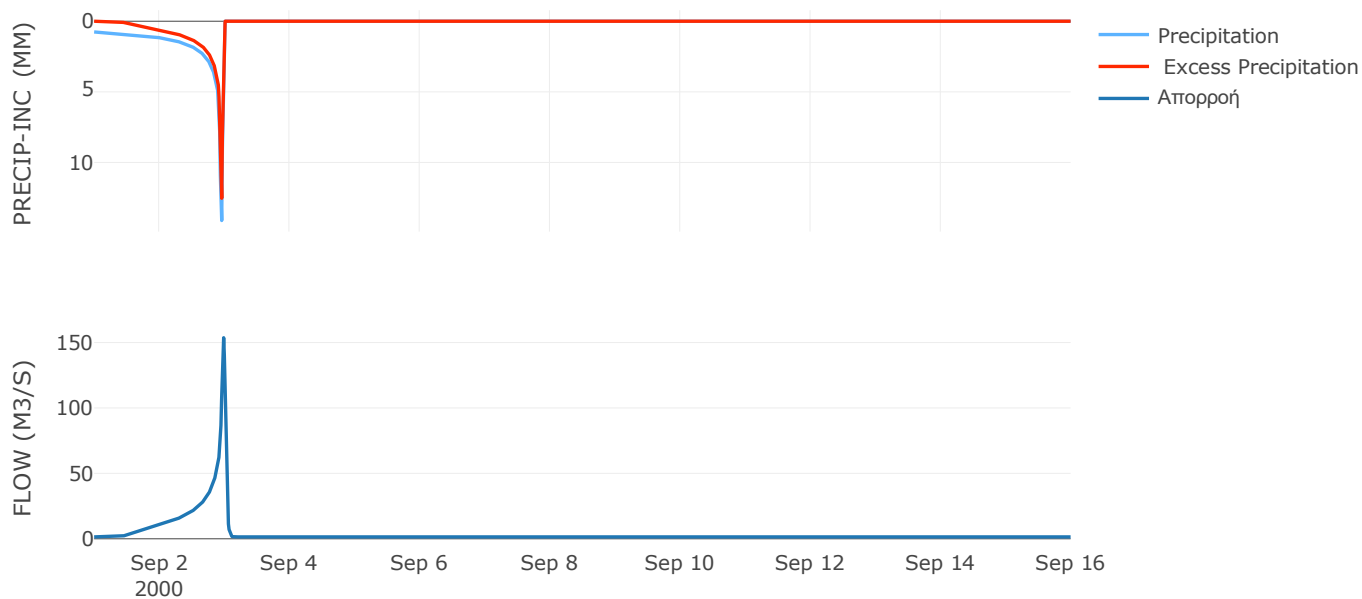
Μέθοδος
Μετασχηματισμού: SCS

Χρόνος Υστέρησης	36.6
------------------	------

Αποτελέσματα:
EL0512FR1040

Παροχή αιχμής (M3/S)	153.65
Χρονική στιγμή αιχμής	02Sep2000, 23:45
Όγκος (MM)	344.36
Όγκος βροχόπτωσης (M3)	4.93E6
Όγκος απωλειών (M3)	1.83E6
Ενεργός Όγκος (M3)	3.1E6
Όγκος άμεσης απορροής (M3)	3.1E6
Όγκος βασικής απορροής (M3)	1.87E6

Βροχόπτωση και Απορροή



Υπολεκάνη: EL0512FR1041

Έκταση (KM2) : 37.27

Κατάντη : J29

Μέθοδος Απωλειών: SCS

Ποσοστό αδιαπέρατης επιφάνειας	0
Αριθμός Καμπύλης Απορροής-CN	64.1
Αρχικές Απώλειες	28.45

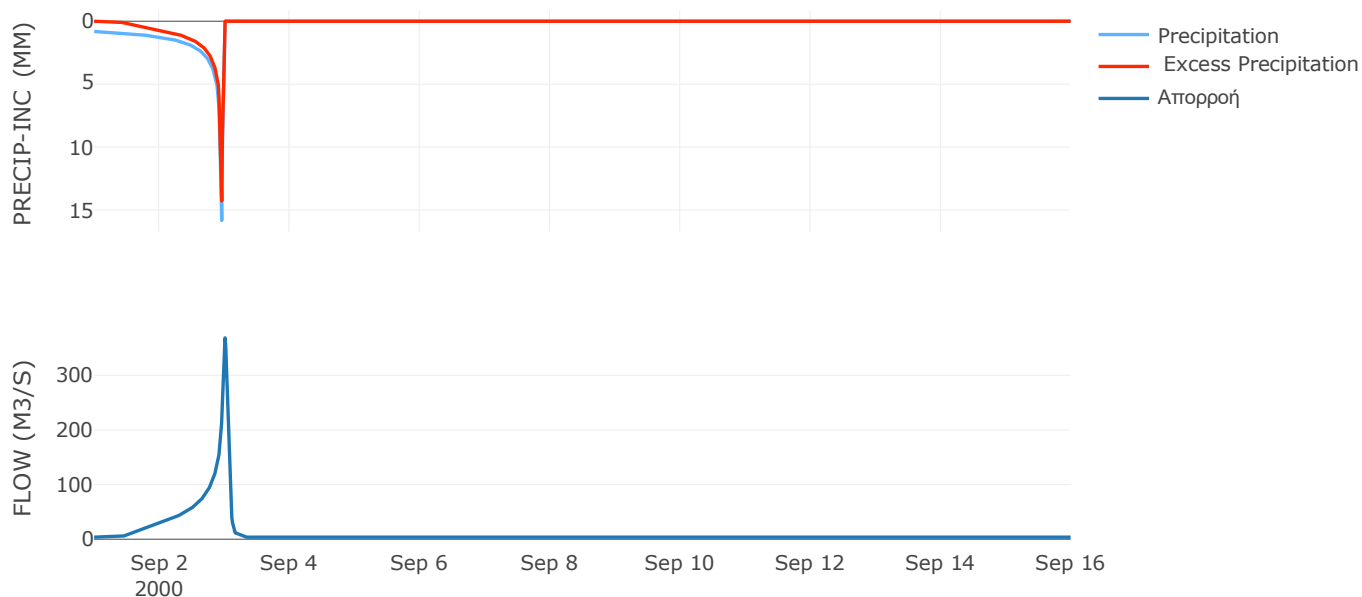
Μέθοδος
Μετασχηματισμού: SCS

Χρόνος Υστέρησης	74.12
------------------	-------

Αποτελέσματα:
EL0512FR1041

Παροχή αιχμής (M3/S)	368.46
Χρονική στιγμή αιχμής	03Sep2000, 00:15
Όγκος (MM)	372.46
Όγκος βροχόπτωσης (M3)	1.39E7
Όγκος απωλειών (M3)	4.81E6
Ενεργός Όγκος (M3)	9.05E6
Όγκος άμεσης απορροής (M3)	9.05E6
Όγκος βασικής απορροής (M3)	4.83E6

Βροχόπτωση και Απορροή



Υπολεκάνη: EL0512FR1042

Έκταση (KM2) : 72.53

Κατάντη : J20

Μέθοδος Απωλειών: SCS

Ποσοστό αδιαπέρατης επιφάνειας	0
Αριθμός Καμπύλης Απορροής-CN	59.69
Αρχικές Απώλειες	34.3

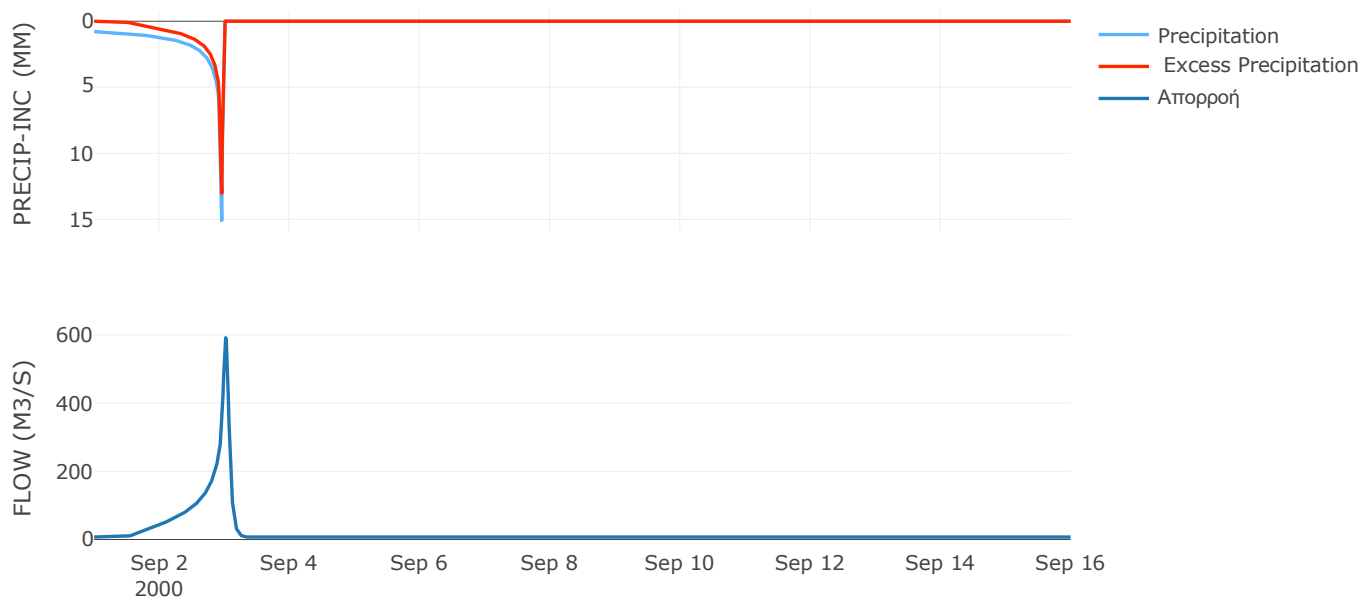
Μέθοδος
Μετασχηματισμού: SCS

Χρόνος Υστέρησης	94.67
------------------	-------

Αποτελέσματα:
EL0512FR1042

Παροχή αιχμής (M3/S)	591.59
Χρονική στιγμή αιχμής	03Sep2000, 00:30
Όγκος (MM)	340.19
Όγκος βροχόπτωσης (M3)	2.59E7
Όγκος απωλειών (M3)	1.06E7
Ενεργός Όγκος (M3)	1.53E7
Όγκος άμεσης απορροής (M3)	1.53E7
Όγκος βασικής απορροής (M3)	9.4E6

Βροχόπτωση και Απορροή



Υπολεκάνη: EL0512FR1043

Έκταση (KM2) : 13.21

Κατάντη : J21

Μέθοδος Απωλειών: SCS

Ποσοστό αδιαπέρατης επιφάνειας	0
Αριθμός Καμπύλης Απορροής-CN	54.63
Αρχικές Απώλειες	42.19

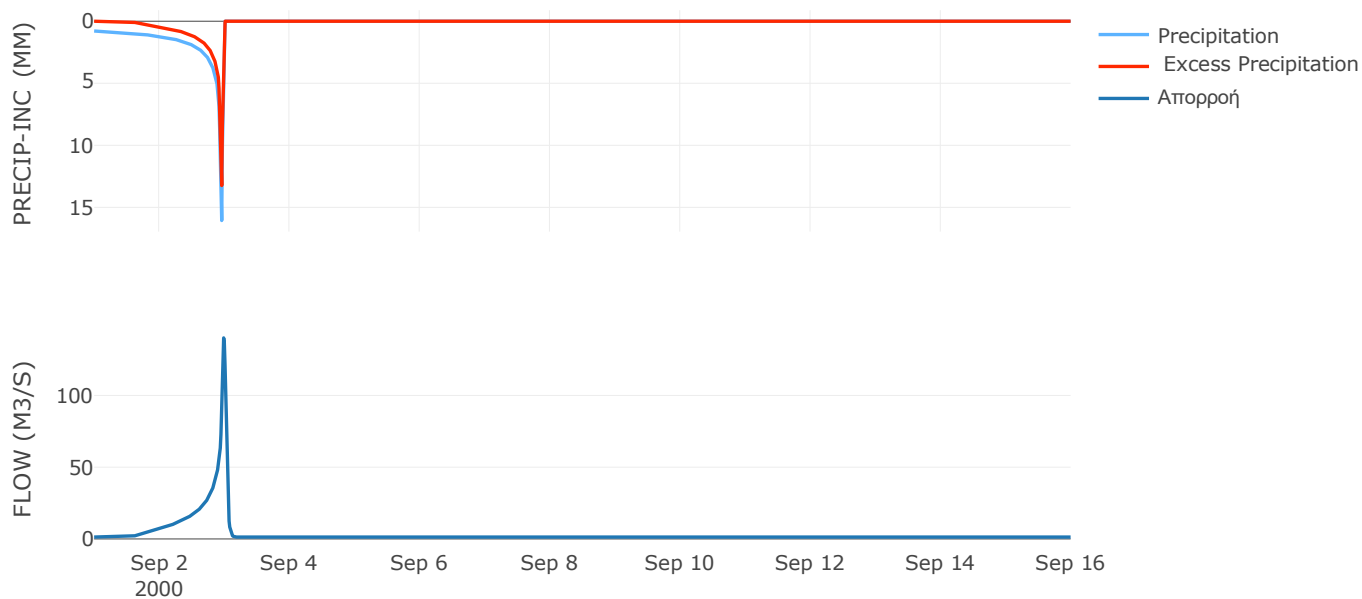
Μέθοδος
Μετασχηματισμού: SCS

Χρόνος Υστέρησης	45.37
------------------	-------

Αποτελέσματα:
EL0512FR1043

Παροχή αιχμής (M3/S)	140.15
Χρονική στιγμή αιχμής	02Sep2000, 23:45
Όγκος (MM)	326.32
Όγκος βροχόπτωσης (M3)	4.84E6
Όγκος απωλειών (M3)	2.25E6
Ενεργός Όγκος (M3)	2.6E6
Όγκος άμεσης απορροής (M3)	2.6E6
Όγκος βασικής απορροής (M3)	1.71E6

Βροχόπτωση και Απορροή



Υπολεκάνη: EL0512FR1044

Έκταση (KM2) : 23.96

Κατάντη : J19

Μέθοδος Απωλειών: SCS

Ποσοστό αδιαπέρατης επιφάνειας	0
Αριθμός Καμπύλης Απορροής-CN	55.6
Αρχικές Απώλειες	40.56

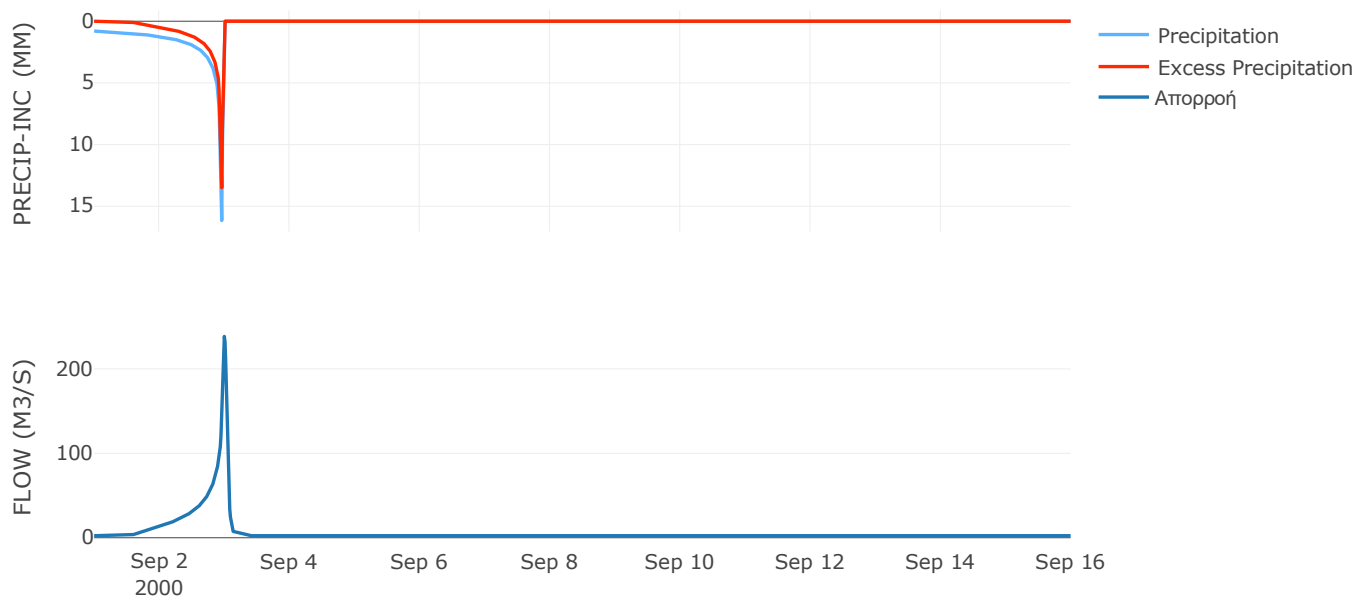
Μέθοδος
Μετασχηματισμού: SCS

Χρόνος Υστέρησης	60.27
------------------	-------

Αποτελέσματα:
EL0512FR1044

Παροχή αιχμής (M3/S)	238.49
Χρονική στιγμή αιχμής	02Sep2000, 24:00
Όγκος (MM)	333.21
Όγκος βροχόπτωσης (M3)	8.86E6
Όγκος απωλειών (M3)	3.98E6
Ενεργός Όγκος (M3)	4.88E6
Όγκος άμεσης απορροής (M3)	4.88E6
Όγκος βασικής απορροής (M3)	3.1E6

Βροχόπτωση και Απορροή



Υπολεκάνη: EL0512FR1045

Έκταση (KM2) : 15.22

Κατάντη : J18

Μέθοδος Απωλειών: SCS

Ποσοστό αδιαπέρατης επιφάνειας	0
Αριθμός Καμπύλης Απορροής-CN	52.28
Αρχικές Απώλειες	46.38

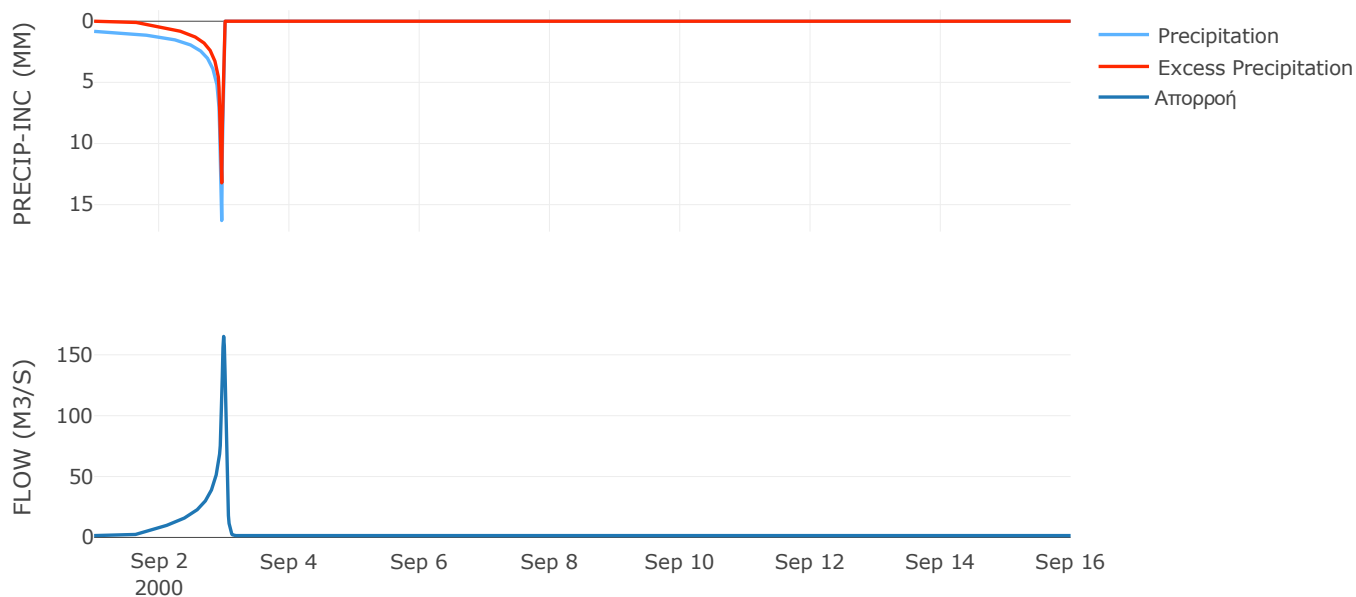
Μέθοδος
Μετασχηματισμού: SCS

Χρόνος Υστέρησης	41.91
------------------	-------

Αποτελέσματα:
EL0512FR1045

Παροχή αιχμής (M3/S)	165.09
Χρονική στιγμή αιχμής	02Sep2000, 23:45
Όγκος (MM)	326.93
Όγκος βροχόπτωσης (M3)	5.79E6
Όγκος απωλειών (M3)	2.79E6
Ενεργός Όγκος (M3)	3E6
Όγκος άμεσης απορροής (M3)	3E6
Όγκος βασικής απορροής (M3)	1.97E6

Βροχόπτωση και Απορροή



Υπολεκάνη: EL0512FR1046

Έκταση (KM2) : 123.67

Κατάντη : J19

Μέθοδος Απωλειών: SCS

Ποσοστό αδιαπέρατης επιφάνειας	0
Αριθμός Καμπύλης Απορροής-CN	61.47
Αρχικές Απώλειες	31.84

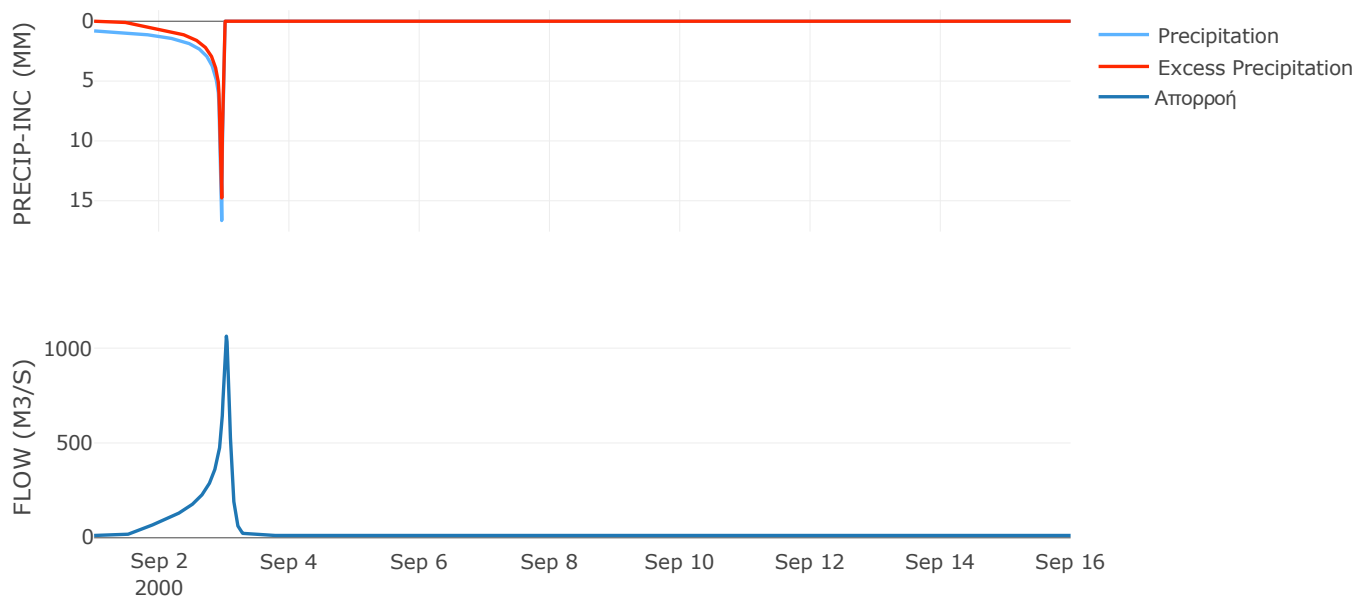
Μέθοδος
Μετασχηματισμού: SCS

Χρόνος Υστέρησης	108.82
------------------	--------

Αποτελέσματα:
EL0512FR1046

Παροχή αιχμής (M3/S)	1063.1
Χρονική στιγμή αιχμής	03Sep2000, 00:45
Όγκος (MM)	366.9
Όγκος βροχόπτωσης (M3)	4.68E7
Όγκος απωλειών (M3)	1.74E7
Ενεργός Όγκος (M3)	2.93E7
Όγκος άμεσης απορροής (M3)	2.93E7
Όγκος βασικής απορροής (M3)	1.6E7

Βροχόπτωση και Απορροή



Υπολεκάνη: EL0512FR1047

Έκταση (KM2) : 46.41

Κατάνη : J11

Μέθοδος Απωλειών: SCS

Ποσοστό αδιαπέρατης επιφάνειας	0
Αριθμός Καμπύλης Απορροής-CN	57.99
Αρχικές Απώλειες	36.8

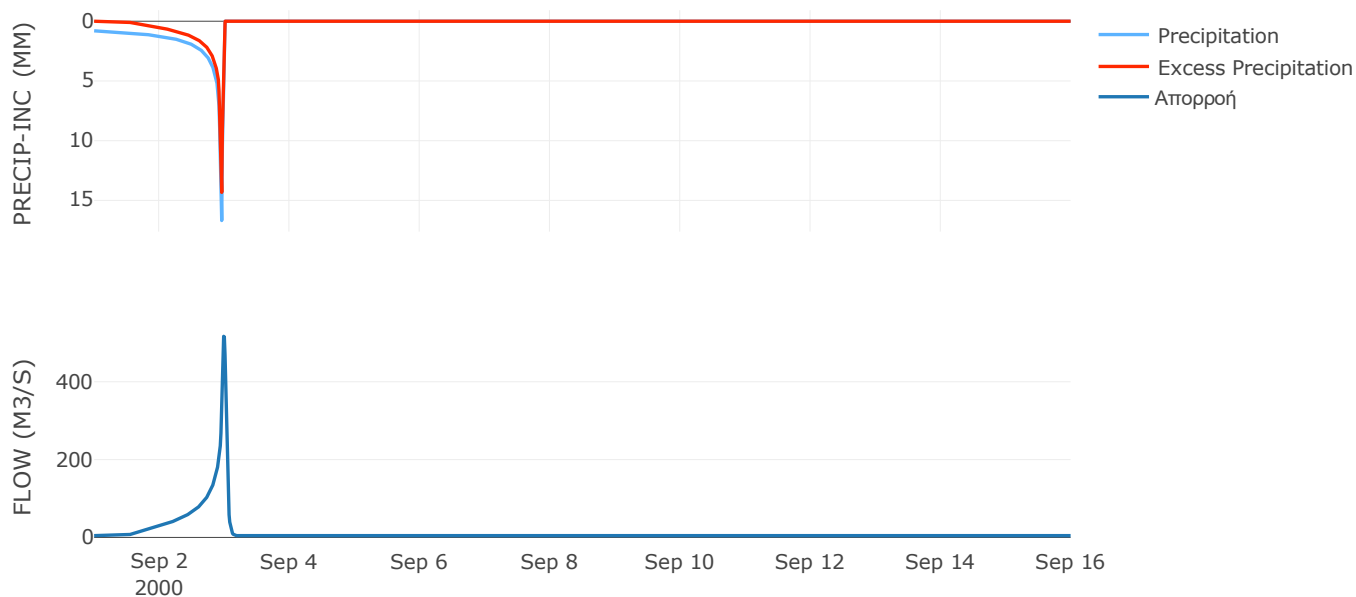
Μέθοδος
Μετασχηματισμού: SCS

Χρόνος Υστέρησης	49.15
------------------	-------

Αποτελέσματα:
EL0512FR1047

Παροχή αιχμής (M3/S)	516.75
Χρονική στιγμή αιχμής	02Sep2000, 23:45
Όγκος (MM)	349.36
Όγκος βροχόπτωσης (M3)	1.74E7
Όγκος απωλειών (M3)	7.24E6
Ενεργός Όγκος (M3)	1.02E7
Όγκος άμεσης απορροής (M3)	1.02E7
Όγκος βασικής απορροής (M3)	6.01E6

Βροχόπτωση και Απορροή



Υπολεκάνη: EL0512FR1048

Έκταση (KM2) : 6.43

Κατάντη : J14

Μέθοδος Απωλειών: SCS

Ποσοστό αδιαπέρατης επιφάνειας	0
Αριθμός Καμπύλης Απορροής-CN	64.89
Αρχικές Απώλειες	27.48

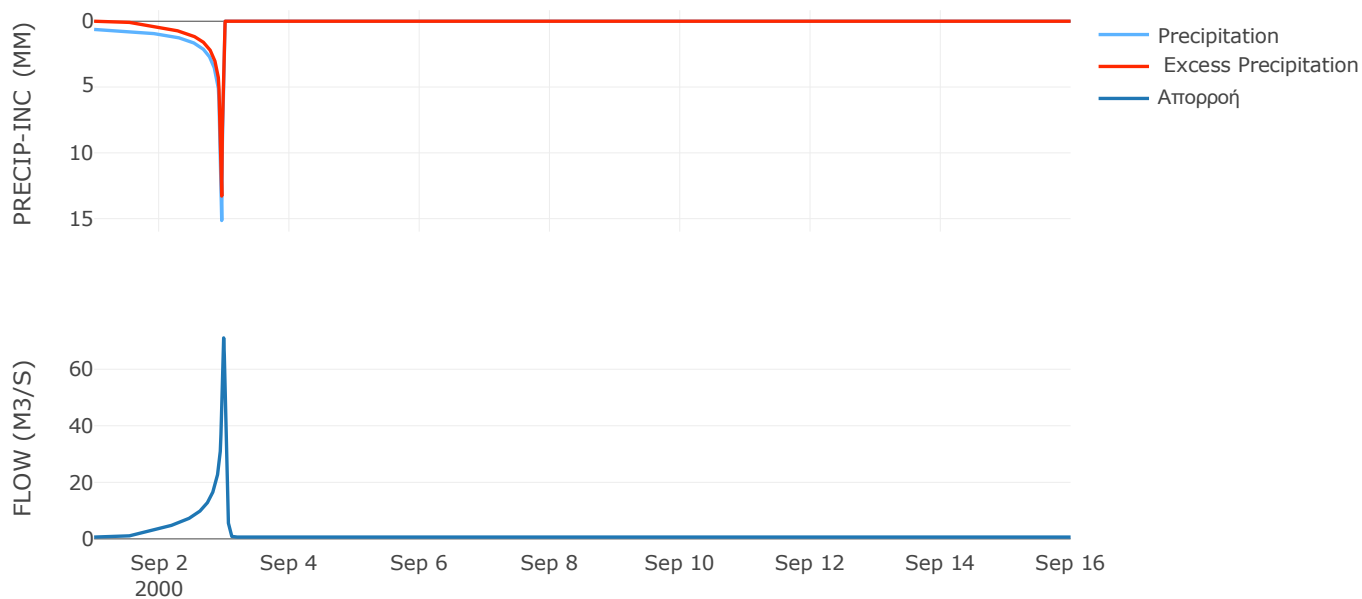
Μέθοδος
Μετασχηματισμού: SCS

Χρόνος Υστέρησης	37.8
------------------	------

Αποτελέσματα:
EL0512FR1048

Παροχή αιχμής (M3/S)	71.08
Χρονική στιγμή αιχμής	02Sep2000, 23:45
Όγκος (MM)	320.9
Όγκος βροχόπτωσης (M3)	2E6
Όγκος απωλειών (M3)	7.72E5
Ενεργός Όγκος (M3)	1.23E6
Όγκος άμεσης απορροής (M3)	1.23E6
Όγκος βασικής απορροής (M3)	8.34E5

Βροχόπτωση και Απορροή



Υπολεκάνη: EL0512FR1049

Έκταση (KM2) : 4.8

Κατάντη : J12

Μέθοδος Απωλειών: SCS

Ποσοστό αδιαπέρατης επιφάνειας	0
Αριθμός Καμπύλης Απορροής-CN	78.76
Αρχικές Απώλειες	13.7

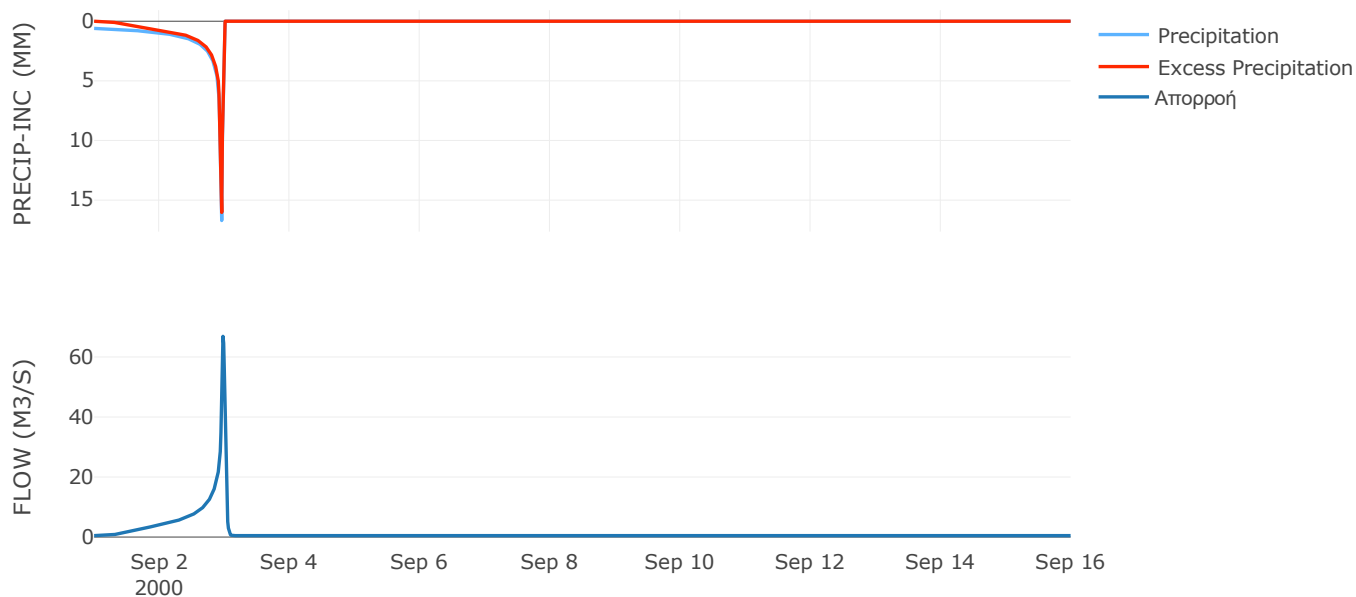
Μέθοδος
Μετασχηματισμού: SCS

Χρόνος Υστέρησης	32.19
------------------	-------

Αποτελέσματα:
EL0512FR1049

Παροχή αιχμής (M3/S)	66.89
Χρονική στιγμή αιχμής	02Sep2000, 23:30
Όγκος (MM)	377.07
Όγκος βροχόπτωσης (M3)	1.52E6
Όγκος απωλειών (M3)	3.34E5
Ενεργός Όγκος (M3)	1.19E6
Όγκος άμεσης απορροής (M3)	1.19E6
Όγκος βασικής απορροής (M3)	6.23E5

Βροχόπτωση και Απορροή



Υπολεκάνη: EL0512FR1050

Έκταση (KM2) : 8.16

Κατάντη : J8

Μέθοδος Απωλειών: SCS

Ποσοστό αδιαπέρατης επιφάνειας	0
Αριθμός Καμπύλης Απορροής-CN	53.79
Αρχικές Απώλειες	43.64

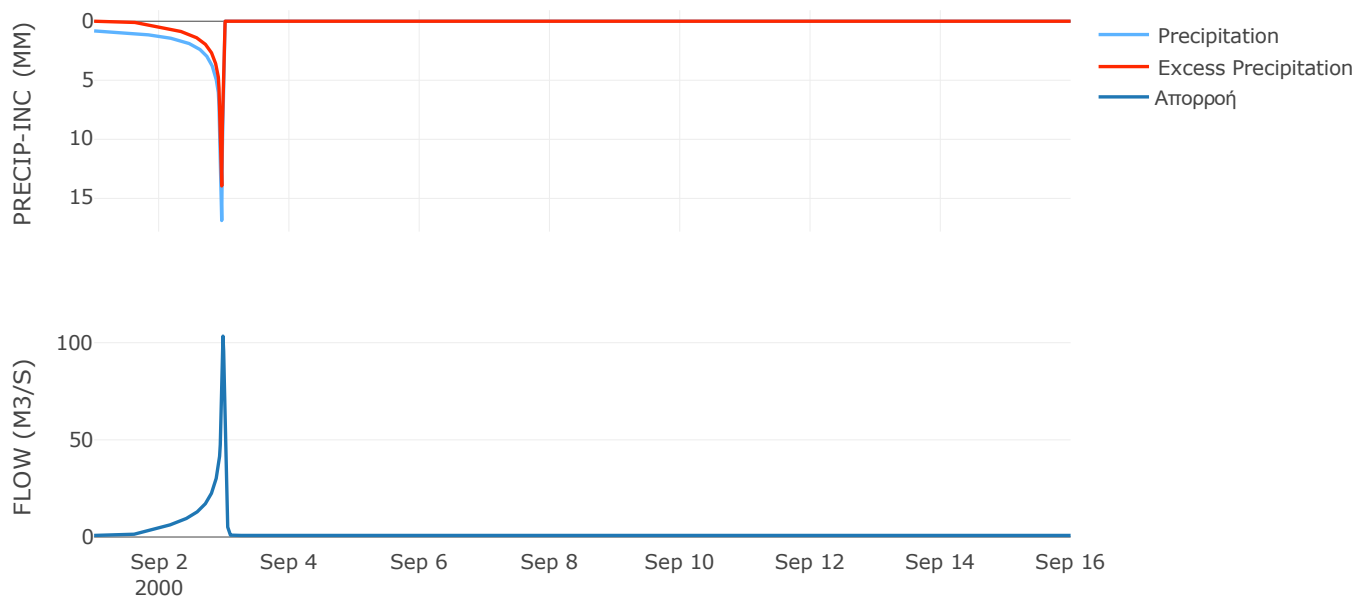
Μέθοδος
Μετασχηματισμού: SCS

Χρόνος Υστέρησης	27.03
------------------	-------

Αποτελέσματα:
EL0512FR1050

Παροχή αιχμής (M3/S)	103.39
Χρονική στιγμή αιχμής	02Sep2000, 23:30
Όγκος (MM)	335.96
Όγκος βροχόπτωσης (M3)	3.12E6
Όγκος απωλειών (M3)	1.44E6
Ενεργός Όγκος (M3)	1.68E6
Όγκος άμεσης απορροής (M3)	1.68E6
Όγκος βασικής απορροής (M3)	1.06E6

Βροχόπτωση και Απορροή



Υπολεκάνη: EL0512FR1051

Έκταση (KM2) : 3.84

Κατάντη : J3

Μέθοδος Απωλειών: SCS

Ποσοστό αδιαπέρατης επιφάνειας	0
Αριθμός Καμπύλης Απορροής-CN	78.83
Αρχικές Απώλειες	13.64

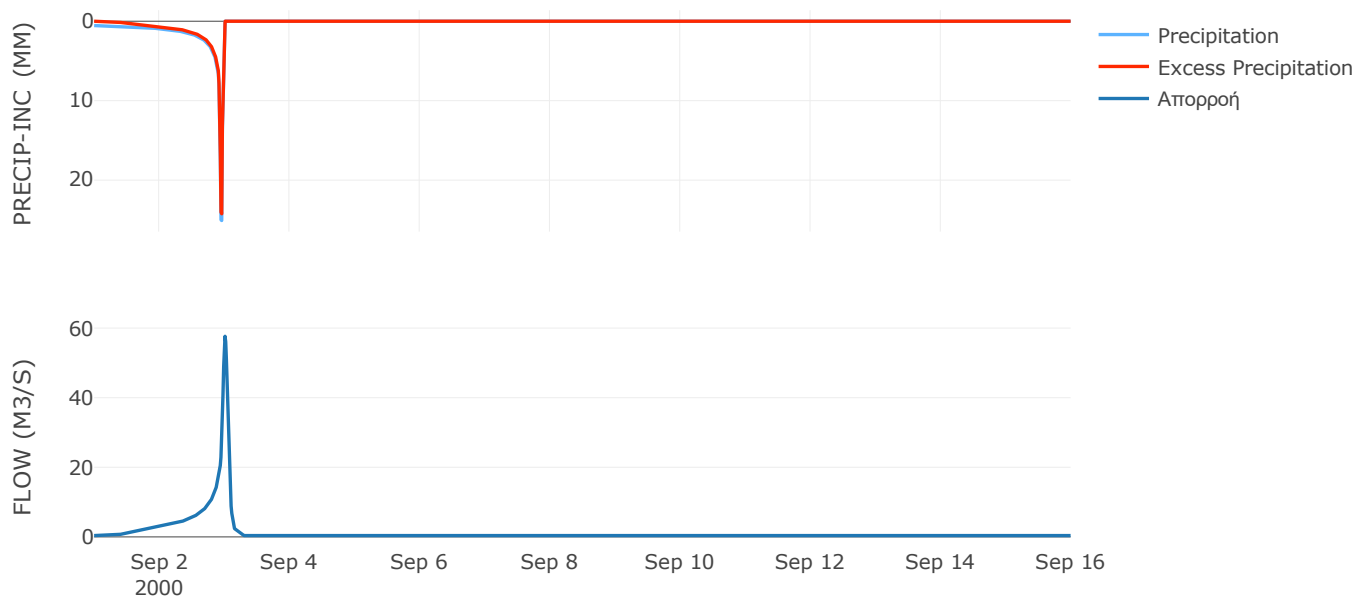
Μέθοδος
Μετασχηματισμού: SCS

Χρόνος Υστέρησης	77.64
------------------	-------

Αποτελέσματα:
EL0512FR1051

Παροχή αιχμής (M3/S)	57.65
Χρονική στιγμή αιχμής	03Sep2000, 00:15
Όγκος (MM)	418.31
Όγκος βροχόπτωσης (M3)	1.38E6
Όγκος απωλειών (M3)	2.71E5
Ενεργός Όγκος (M3)	1.11E6
Όγκος άμεσης απορροής (M3)	1.11E6
Όγκος βασικής απορροής (M3)	4.97E5

Βροχόπτωση και Απορροή



8.2 Δεδομένα και υδρογραφήματα σχεδιασμού Κλάδων υδρογραφικού δικτύου

Κλάδος: R21

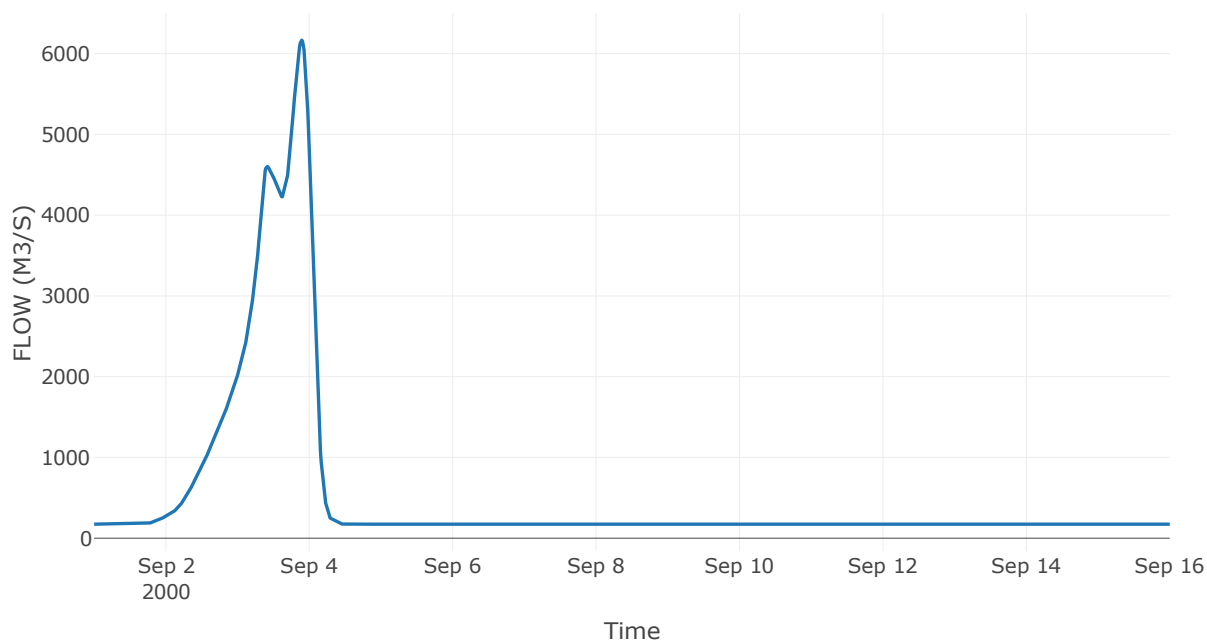
Κατάντη : J1

Μέθοδος Διόδευσης	Muskingum
Αρχική Μεταβλητή	Combined Inflow
Χρόνος Ροής K	4.9
Συντελεστής βάρους x	0.2
Πλήθος Υποκλάδων	23

Αποτελέσματα: R21

Παροχή Αιχμής (M3/S)	6167.61
Χρονική στιγμή αιχμής	03Sep2000, 21:30
Όγκος (MM)	393.6
Παροχή Αιχμής Εισόδου (M3/S)	6279.24
Όγκος Εισροής (M3)	6.82E8

Απορροή



Κλάδος: R32

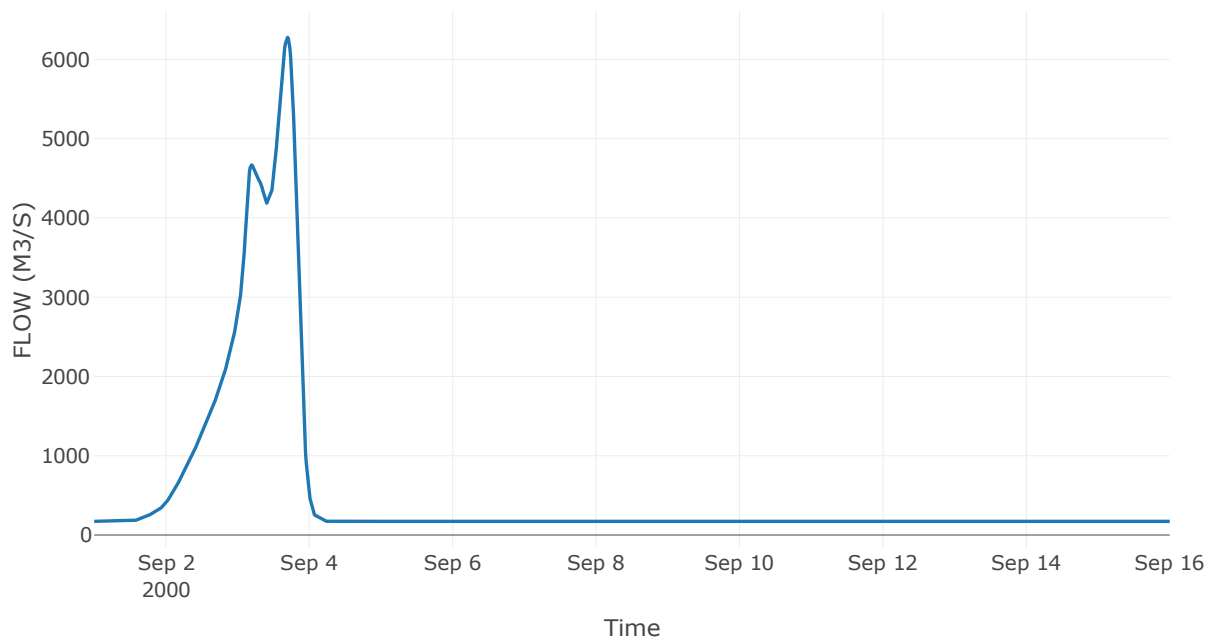
Κατάντη : J2

Μέθοδος Διόδευσης	Muskingum
Αρχική Μεταβλητή	Combined Inflow
Χρόνος Ροής K	2.97
Συντελεστής βάρους x	0.2
Πλήθος Υποκλάδων	14

Αποτελέσματα: R32

Παροχή Αιχμής (M3/S)	6277.9
Χρονική στιγμή αιχμής	03Sep2000, 16:45
Όγκος (MM)	393.65
Παροχή Αιχμής Εισόδου (M3/S)	6347.34
Όγκος Εισροής (M3)	6.77E8

Απορροή



Κλάδος: R43

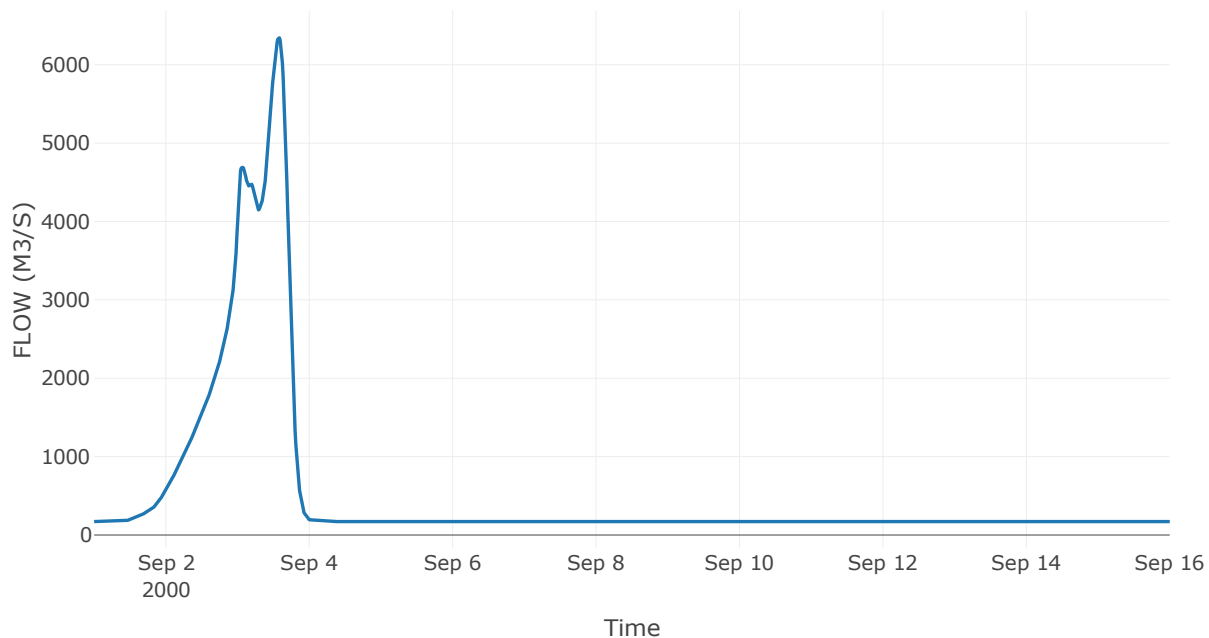
Κατάντη : J3

Μέθοδος Διόδευσης	Muskingum
Αρχική Μεταβλητή	Combined Inflow
Χρόνος Ροής K	0.52
Συντελεστής βάρους x	0.2
Πλήθος Υποκλάδων	2

Αποτελέσματα: R43

Παροχή Αιχμής (M3/S)	6346.96
Χρονική στιγμή αιχμής	03Sep2000, 13:45
Όγκος (MM)	393.59
Παροχή Αιχμής Εισόδου (M3/S)	6361.69
Όγκος Εισροής (M3)	6.75E8

Απορροή



Κλάδος: R54

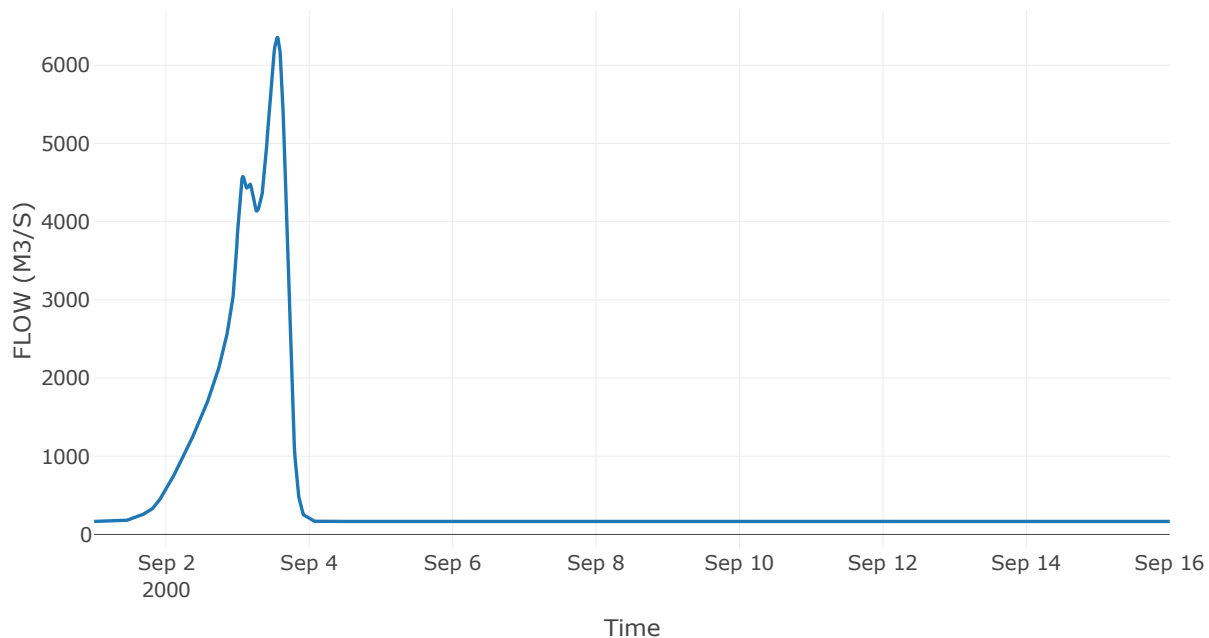
Κατάντη : J4

Μέθοδος Διόδευσης	Muskingum
Αρχική Μεταβλητή	Combined Inflow
Χρόνος Ροής K	0.19
Συντελεστής βάρους x	0.2
Πλήθος Υποκλάδων	1

Αποτελέσματα: R54

Παροχή Αιχμής (M3/S)	6356.76
Χρονική στιγμή αιχμής	03Sep2000, 13:15
Όγκος (MM)	394.02
Παροχή Αιχμής Εισόδου (M3/S)	6361.21
Όγκος Εισροής (M3)	6.57E8

Απορροή



Κλάδος: R65

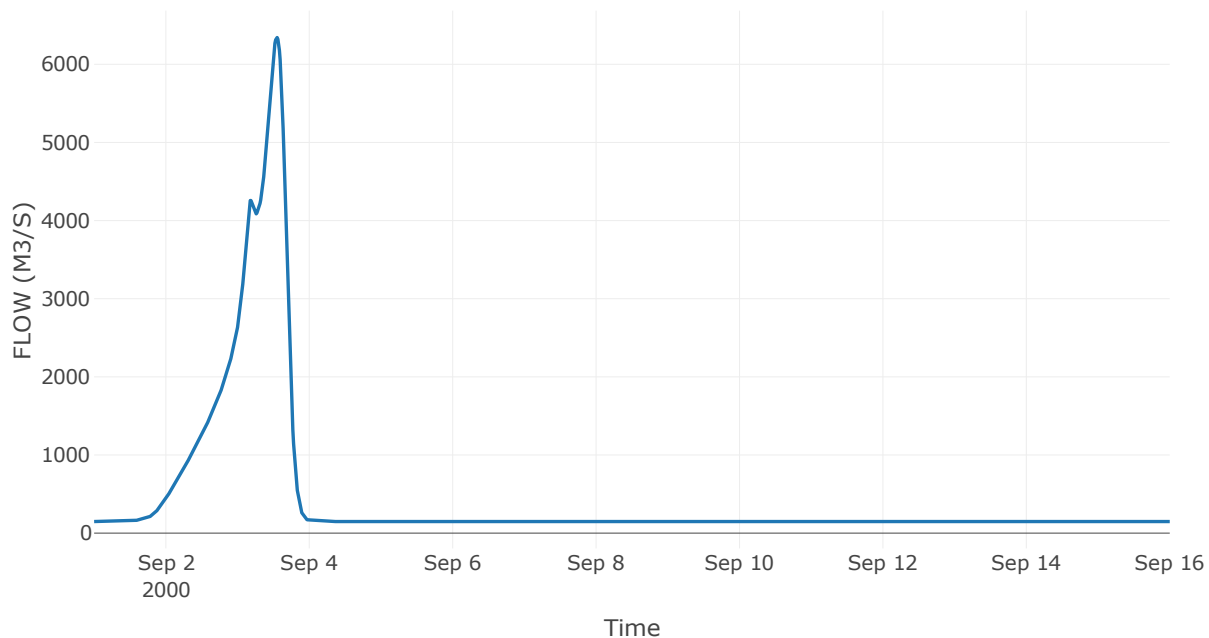
Κατάντη : J5

Μέθοδος Διόδευσης	Muskingum
Αρχική Μεταβλητή	Combined Inflow
Χρόνος Ροής K	1.93
Συντελεστής βάρους x	0.2
Πλήθος Υποκλάδων	9

Αποτελέσματα: R65

Παροχή Αιχμής (M3/S)	6342.8
Χρονική στιγμή αιχμής	03Sep2000, 13:15
Όγκος (MM)	394.53
Παροχή Αιχμής Εισόδου (M3/S)	6391.33
Όγκος Εισροής (M3)	5.85E8

Απορροή



Κλάδος: R76

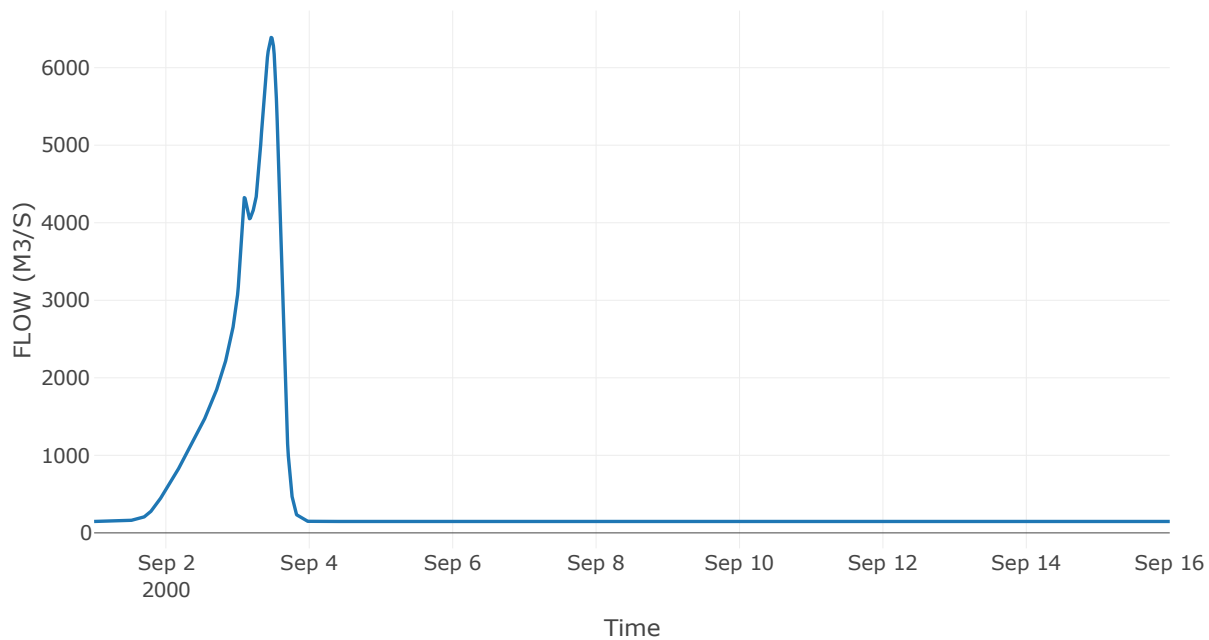
Κατάντη : J6

Μέθοδος Διόδευσης	Muskingum
Αρχική Μεταβλητή	Combined Inflow
Χρόνος Ροής K	1.66
Συντελεστής βάρους x	0.2
Πλήθος Υποκλάδων	8

Αποτελέσματα: R76

Παροχή Αιχμής (M3/S)	6390.05
Χρονική στιγμή αιχμής	03Sep2000, 11:15
Όγκος (MM)	394.67
Παροχή Αιχμής Εισόδου (M3/S)	6432.31
Όγκος Εισροής (M3)	5.8E8

Απορροή



Κλάδος: R87

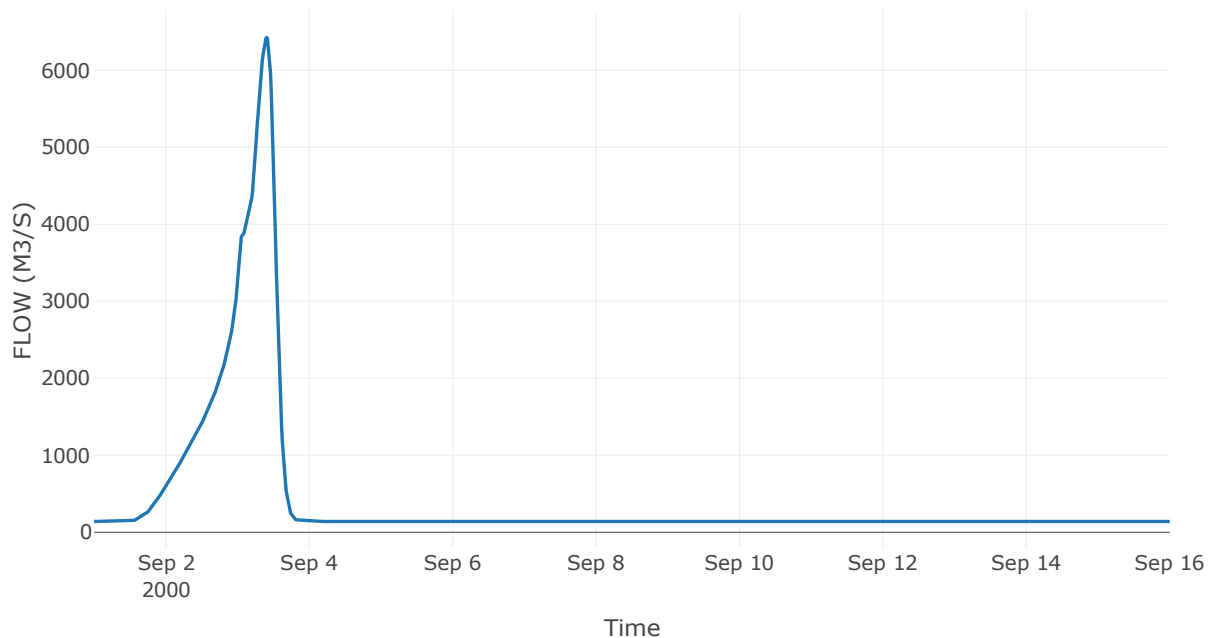
Κατάντη : J7

Μέθοδος Διόδευσης	Muskingum
Αρχική Μεταβλητή	Combined Inflow
Χρόνος Ροής K	0.89
Συντελεστής βάρους x	0.2
Πλήθος Υποκλάδων	4

Αποτελέσματα: R87

Παροχή Αιχμής (M3/S)	6425.63
Χρονική στιγμή αιχμής	03Sep2000, 09:45
Όγκος (MM)	393.35
Παροχή Αιχμής Εισόδου (M3/S)	6448.07
Όγκος Εισροής (M3)	5.52E8

Απορροή



Κλάδος: R98

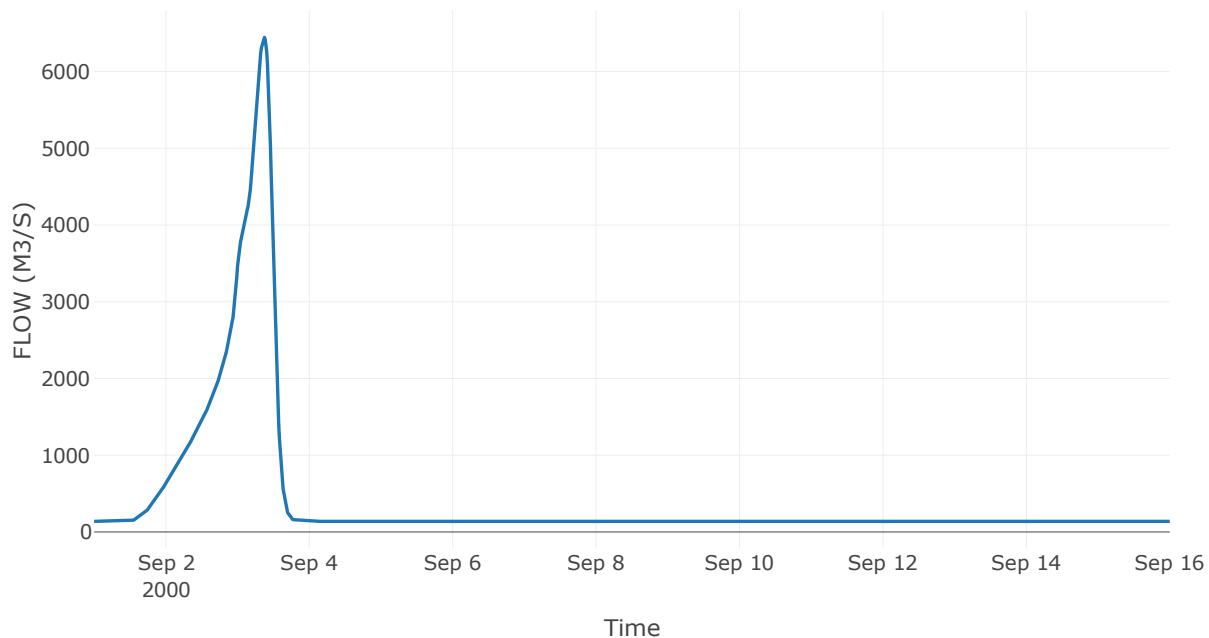
Κατάντη : J8

Μέθοδος Διόδευσης	Muskingum
Αρχική Μεταβλητή	Combined Inflow
Χρόνος Ροής K	0.37
Συντελεστής βάρους x	0.2
Πλήθος Υποκλάδων	2

Αποτελέσματα: R98

Παροχή Αιχμής (M3/S)	6445.59
Χρονική στιγμή αιχμής	03Sep2000, 09:00
Όγκος (MM)	393.49
Παροχή Αιχμής Εισόδου (M3/S)	6454.47
Όγκος Εισροής (M3)	5.42E8

Απορροή



Κλάδος: R109

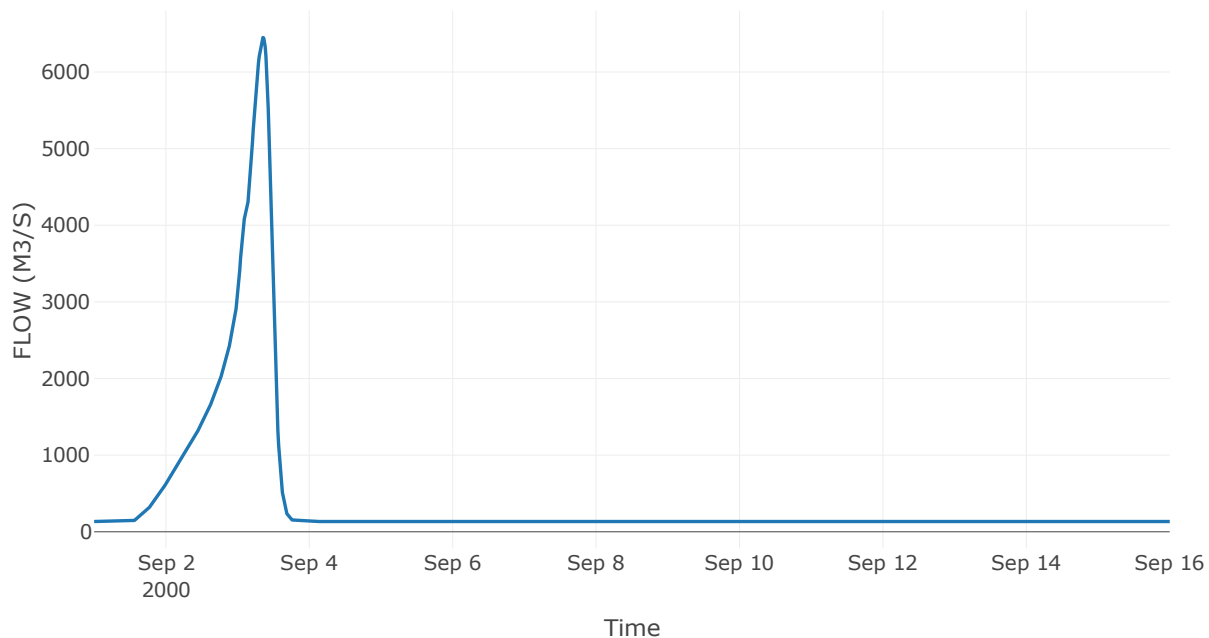
Κατάντη : J9

Μέθοδος Διόδευσης	Muskingum
Αρχική Μεταβλητή	Combined Inflow
Χρόνος Ροής K	1.66
Συντελεστής βάρους x	0.2
Πλήθος Υποκλάδων	8

Αποτελέσματα: R109

Παροχή Αιχμής (M3/S)	6450.69
Χρονική στιγμή αιχμής	03Sep2000, 08:30
Όγκος (MM)	392.68
Παροχή Αιχμής Εισόδου (M3/S)	6496.04
Όγκος Εισροής (M3)	5.26E8

Απορροή



Κλάδος: R1110

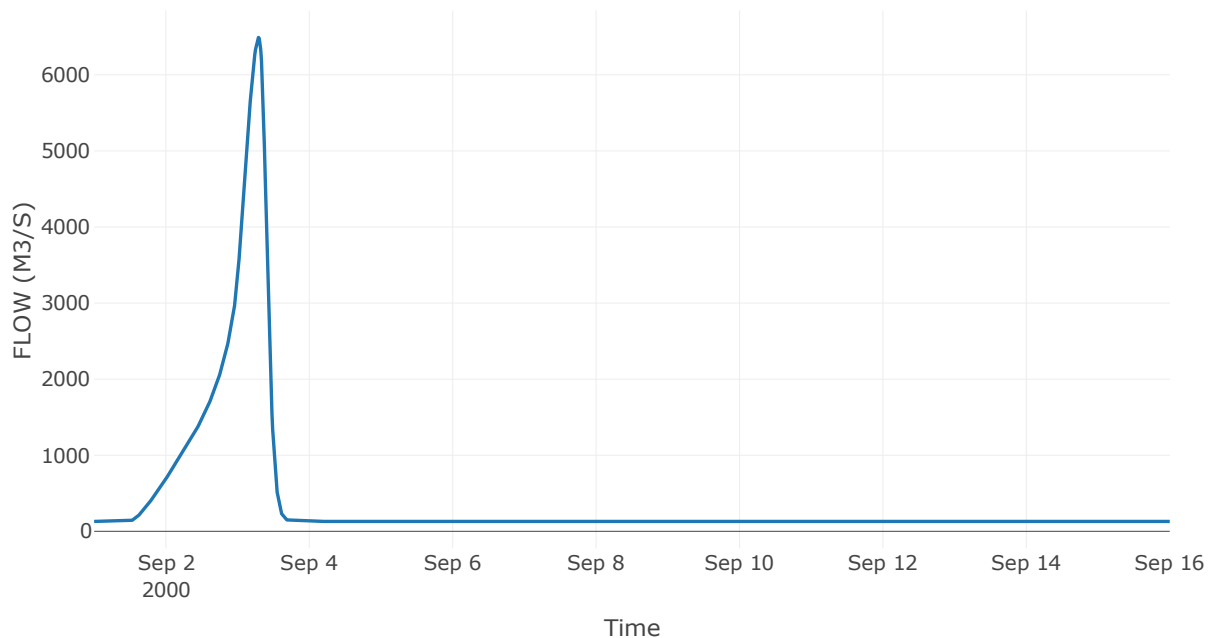
Κατάντη : J10

Μέθοδος Διόδευσης	Muskingum
Αρχική Μεταβλητή	Combined Inflow
Χρόνος Ροής K	1.34
Συντελεστής βάρους x	0.2
Πλήθος Υποκλάδων	6

Αποτελέσματα: R1110

Παροχή Αιχμής (M3/S)	6491.79
Χρονική στιγμή αιχμής	03Sep2000, 07:00
Όγκος (MM)	391.57
Παροχή Αιχμής Εισόδου (M3/S)	6531.59
Όγκος Εισροής (M3)	5.08E8

Απορροή



Κλάδος: R1223

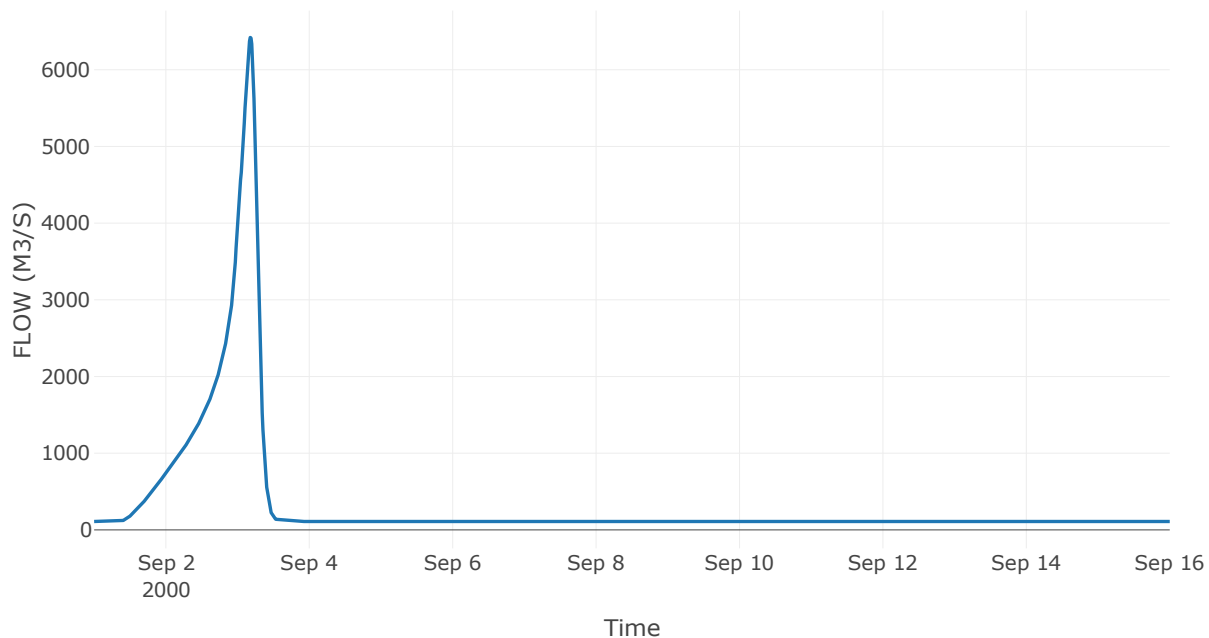
Κατάντη : J23

Μέθοδος Διόδευσης	Muskingum
Αρχική Μεταβλητή	Combined Inflow
Χρόνος Ροής K	0.12
Συντελεστής βάρους x	0.2
Πλήθος Υποκλάδων	1

Αποτελέσματα: R1223

Παροχή Αιχμής (M3/S)	6421.01
Χρονική στιγμή αιχμής	03Sep2000, 04:15
Όγκος (MM)	398.67
Παροχή Αιχμής Εισόδου (M3/S)	6430.34
Όγκος Εισροής (M3)	4.36E8

Απορροή



Κλάδος: R1312

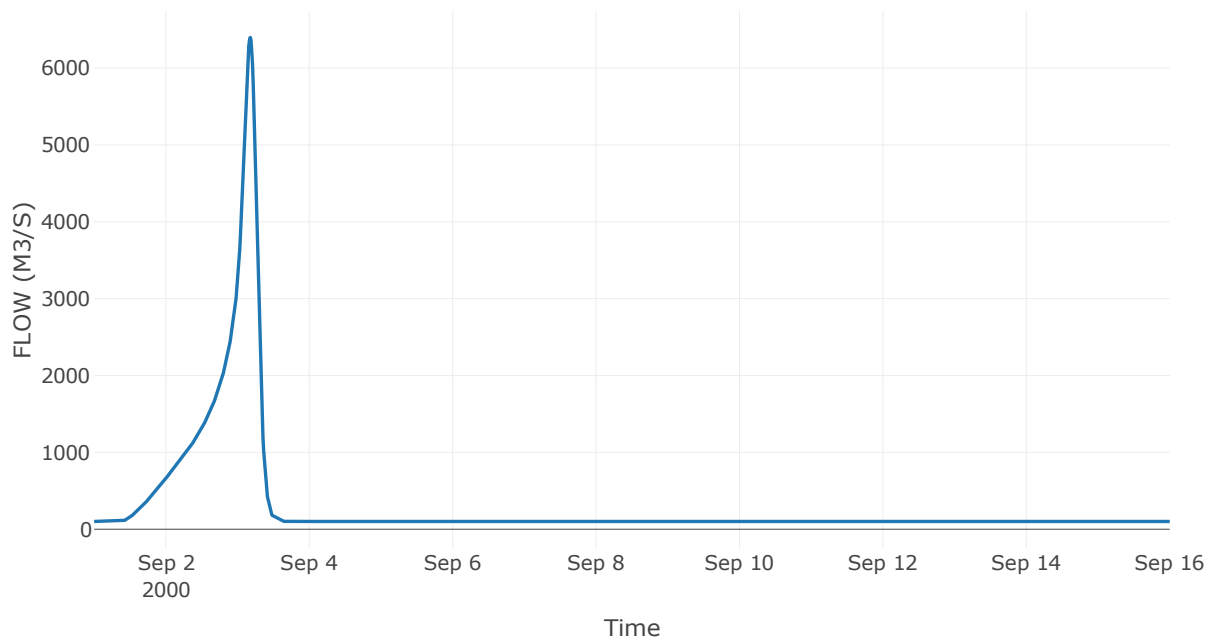
Κατάντη : J12

Μέθοδος Διόδευσης	Muskingum
Αρχική Μεταβλητή	Combined Inflow
Χρόνος Ροής K	1.84
Συντελεστής βάρους x	0.2
Πλήθος Υποκλάδων	9

Αποτελέσματα: R1312

Παροχή Αιχμής (M3/S)	6398.85
Χρονική στιγμή αιχμής	03Sep2000, 04:15
Όγκος (MM)	395.74
Παροχή Αιχμής Εισόδου (M3/S)	6525.02
Όγκος Εισροής (M3)	4E8

Απορροή



Κλάδος: R1413

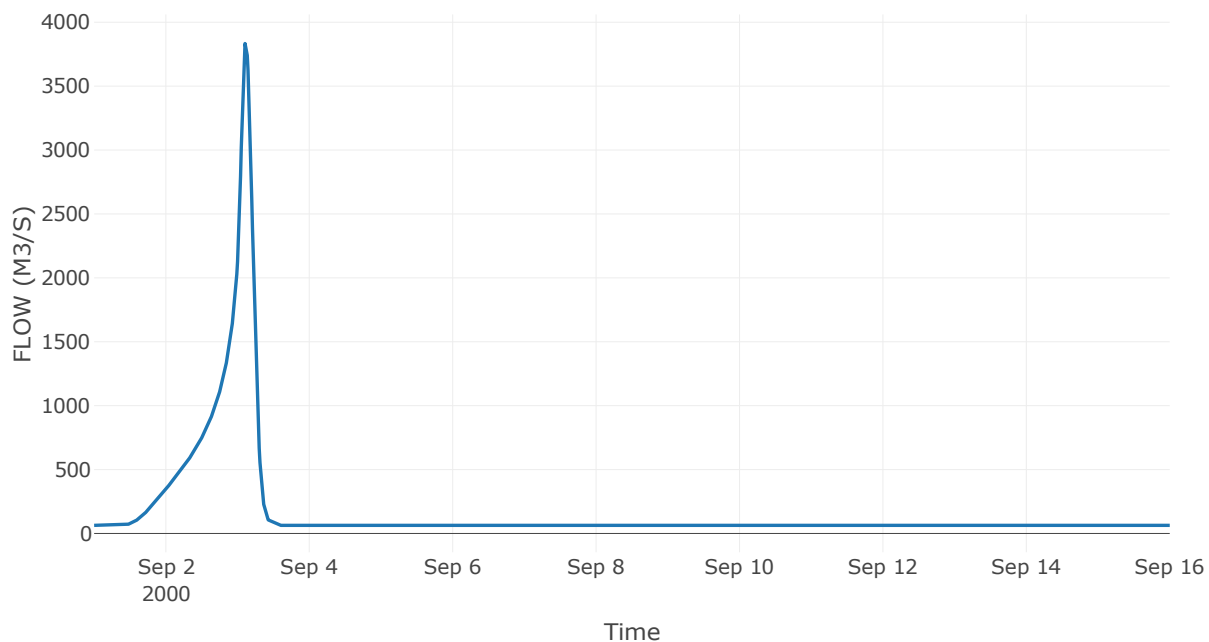
Κατάντη : J13

Μέθοδος Διόδευσης	Muskingum
Αρχική Μεταβλητή	Combined Inflow
Χρόνος Ροής K	1.6
Συντελεστής βάρους x	0.2
Πλήθος Υποκλάδων	8

Αποτελέσματα: R1413

Παροχή Αιχμής (M3/S)	3850.54
Χρονική στιγμή αιχμής	03Sep2000, 02:45
Όγκος (MM)	357.87
Παροχή Αιχμής Εισόδου (M3/S)	3929.71
Όγκος Εισροής (M3)	2.27E8

Απορροή



Κλάδος: R1514

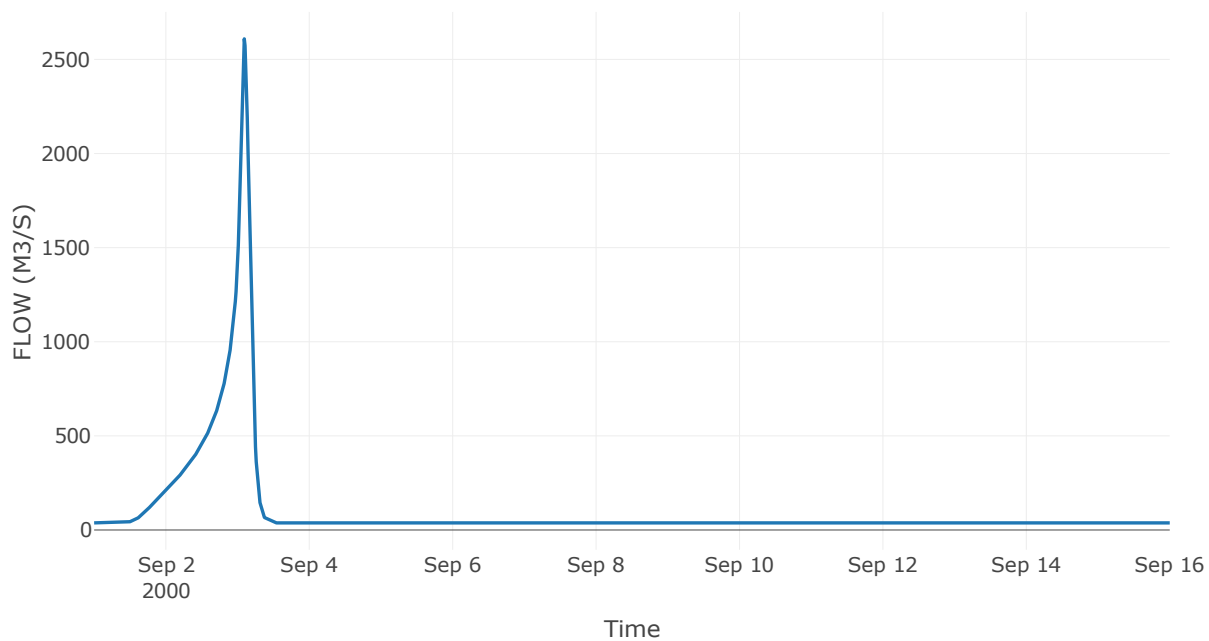
Κατάντη : J14

Μέθοδος Διόδευσης	Χρόνος
Αρχική Μεταβλητή	Combined Inflow
Χρόνος Υστέρησης	60.66

Αποτελέσματα: R1514

Παροχή Αιχμής (M3/S)	2609.12
Χρονική στιγμή αιχμής	03Sep2000, 02:15
Όγκος (MM)	355.08
Παροχή Αιχμής Εισόδου (M3/S)	2609.12
Όγκος Εισροής (M3)	1.34E8

Απορροή



Κλάδος: R1615

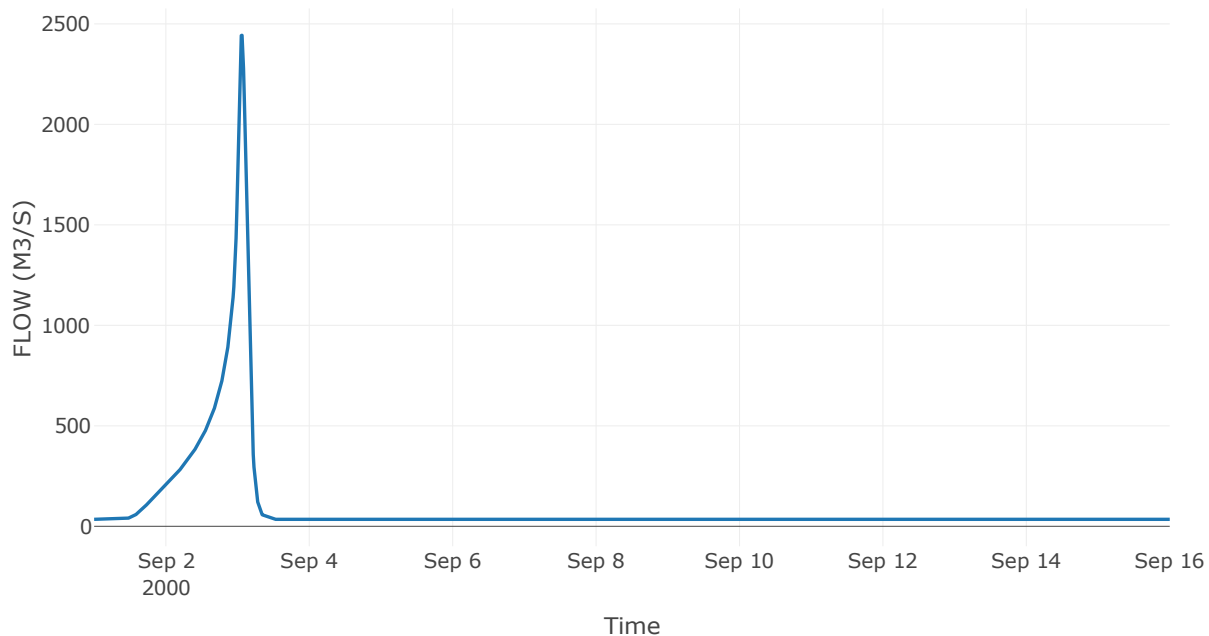
Κατάντη : J15

Μέθοδος Διόδευσης	Muskingum
Αρχική Μεταβλητή	Combined Inflow
Χρόνος Ροής K	0.55
Συντελεστής βάρους x	0.2
Πλήθος Υποκλάδων	3

Αποτελέσματα: R1615

Παροχή Αιχμής (M3/S)	2443.16
Χρονική στιγμή αιχμής	03Sep2000, 01:30
Όγκος (MM)	355.24
Παροχή Αιχμής Εισόδου (M3/S)	2478.82
Όγκος Εισροής (M3)	1.23E8

Απορροή



Κλάδος: R1716

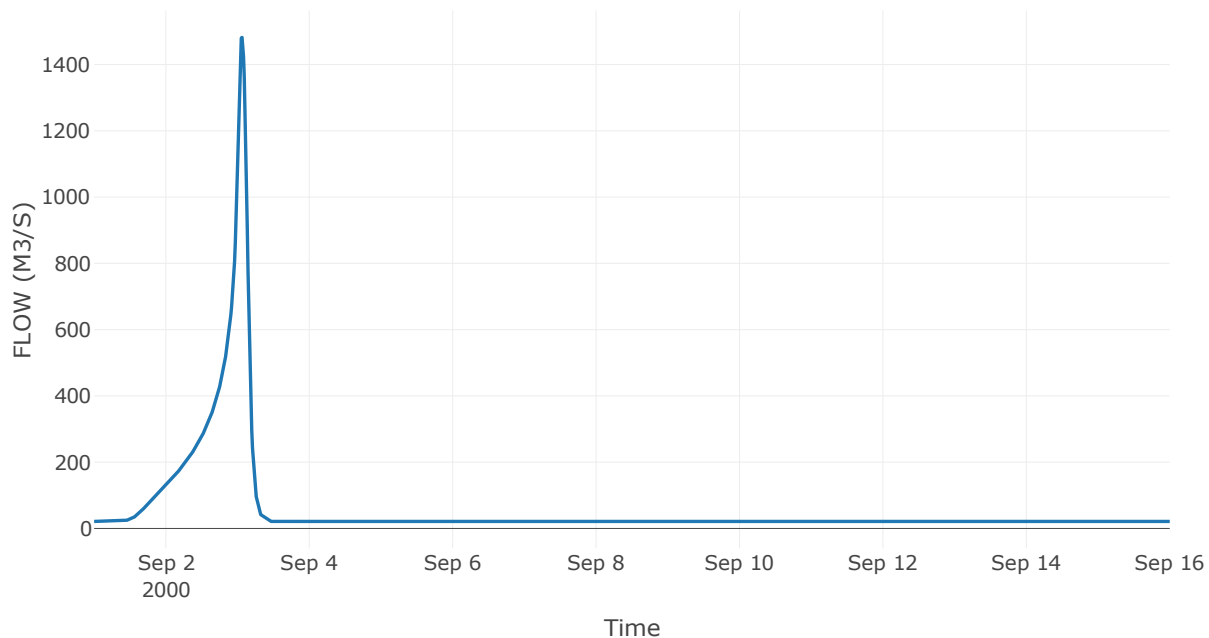
Κατάντη : J16

Μέθοδος Διόδευσης	Muskingum
Αρχική Μεταβλητή	Combined Inflow
Χρόνος Ροής K	0.16
Συντελεστής βάρους x	0.2
Πλήθος Υποκλάδων	1

Αποτελέσματα: R1716

Παροχή Αιχμής (M3/S)	1481.92
Χρονική στιγμή αιχμής	03Sep2000, 01:30
Όγκος (MM)	362.66
Παροχή Αιχμής Εισόδου (M3/S)	1485.97
Όγκος Εισροής (M3)	7.67E7

Απορροή



Κλάδος: R1817

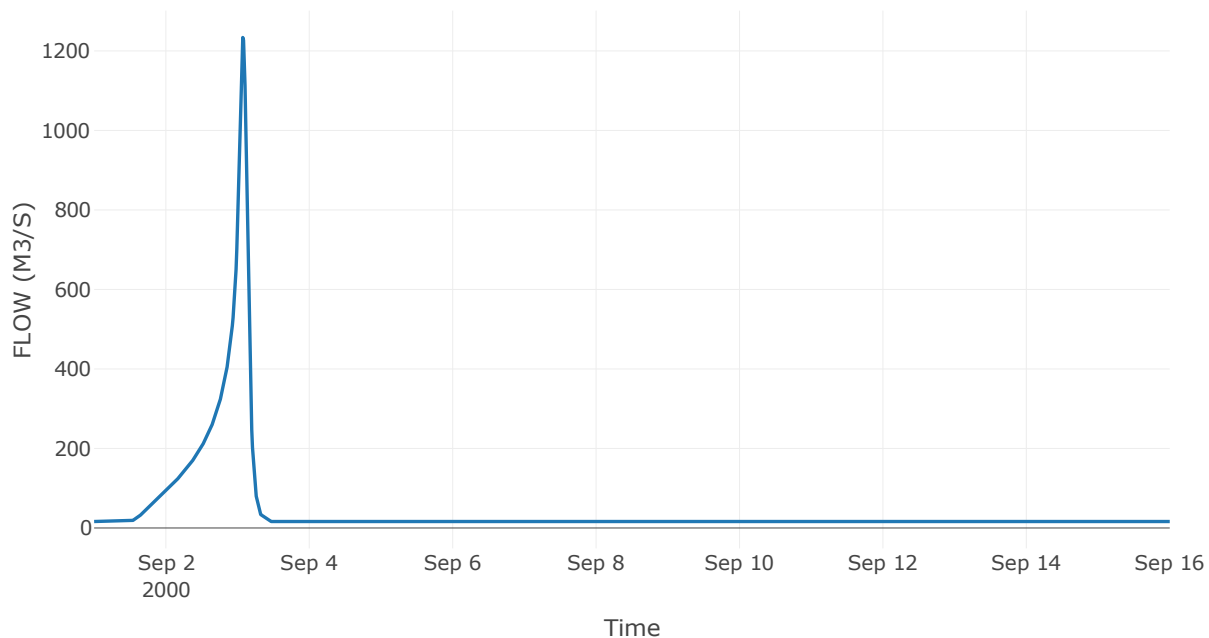
Κατάντη : J17

Μέθοδος Διόδευσης	Muskingum
Αρχική Μεταβλητή	Combined Inflow
Χρόνος Ροής Κ	0.77
Συντελεστής βάρους α	0.2
Πλήθος Υποκλάδων	4

Αποτελέσματα: R1817

Παροχή Αιχμής (M3/S)	1233.84
Χρονική στιγμή αιχμής	03Sep2000, 01:45
Όγκος (MM)	358.21
Παροχή Αιχμής Εισόδου (M3/S)	1258.63
Όγκος Εισροής (M3)	5.83E7

Απορροή



Κλάδος: R1918

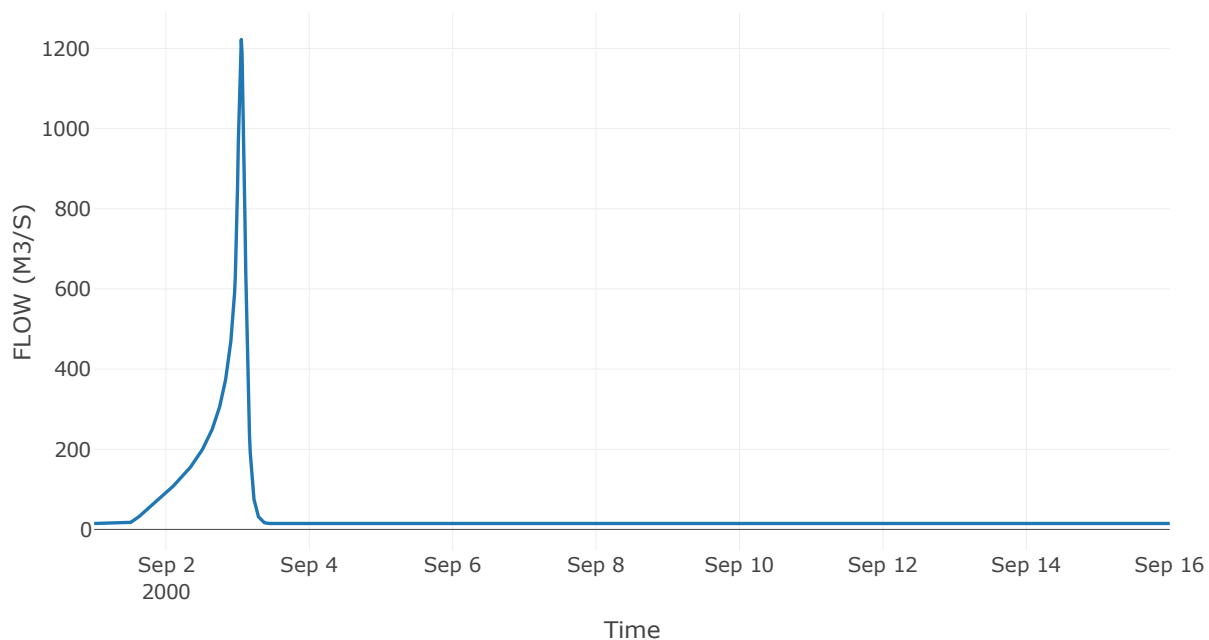
Κατάντη : J18

Μέθοδος Διόδευσης	Muskingum
Αρχική Μεταβλητή	Combined Inflow
Χρόνος Ροής Κ	0.68
Συντελεστής βάρους α	0.2
Πλήθος Υποκλάδων	3

Αποτελέσματα: R1918

Παροχή Αιχμής (M3/S)	1222.32
Χρονική στιγμή αιχμής	03Sep2000, 01:15
Όγκος (MM)	361.43
Παροχή Αιχμής Εισόδου (M3/S)	1259.79
Όγκος Εισροής (M3)	5.34E7

Απορροή



Κλάδος: R2016

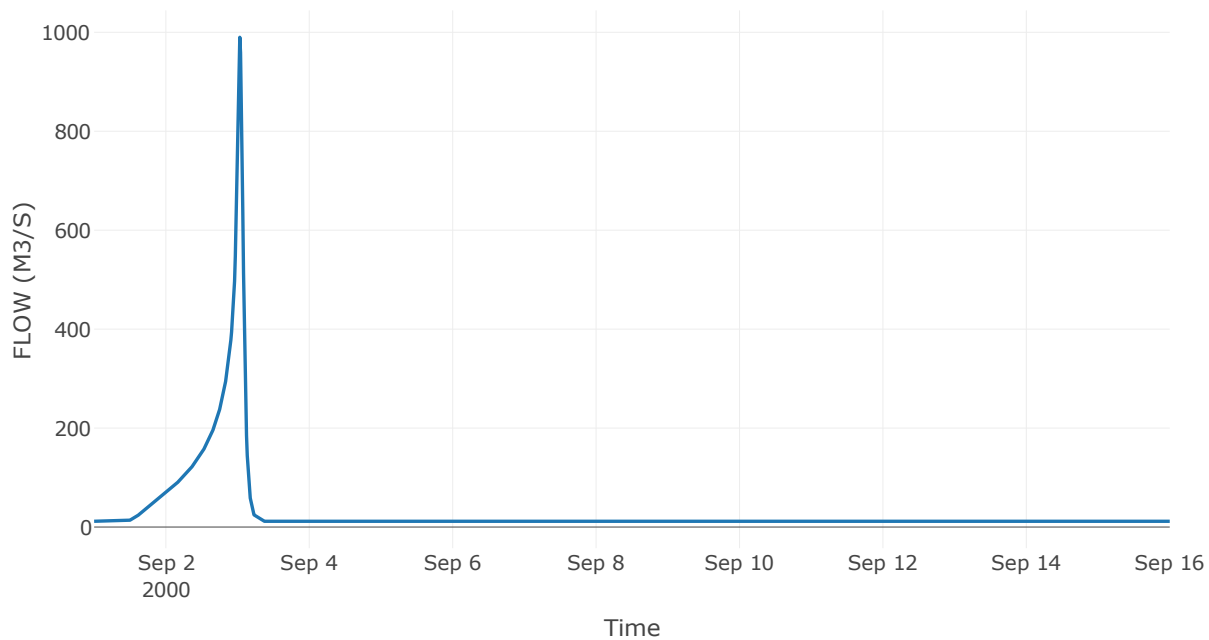
Κατάντη : J16

Μέθοδος Διόδευσης	Muskingum
Αρχική Μεταβλητή	Combined Inflow
Χρόνος Ροής K	0.34
Συντελεστής βάρους x	0.2
Πλήθος Υποκλάδων	2

Αποτελέσματα: R2016

Παροχή Αιχμής (M3/S)	989.96
Χρονική στιγμή αιχμής	03Sep2000, 00:45
Όγκος (MM)	342.24
Παροχή Αιχμής Εισόδου (M3/S)	999.76
Όγκος Εισροής (M3)	3.98E7

Απορροή



Κλάδος: R2120

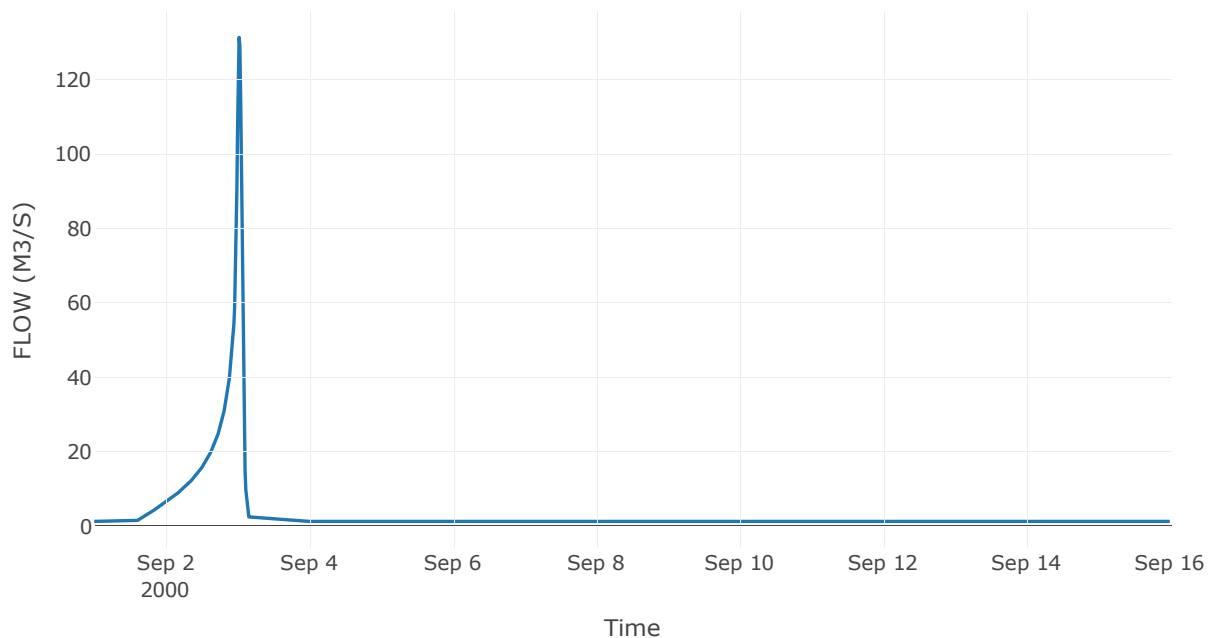
Κατάντη : J20

Μέθοδος Διόδευσης	Muskingum
Αρχική Μεταβλητή	Combined Inflow
Χρόνος Ροής K	0.77
Συντελεστής βάρους x	0.2
Πλήθος Υποκλάδων	4

Αποτελέσματα: R2120

Παροχή Αιχμής (M3/S)	131.24
Χρονική στιγμή αιχμής	03Sep2000, 00:30
Όγκος (MM)	326.32
Παροχή Αιχμής Εισόδου (M3/S)	140.15
Όγκος Εισροής (M3)	4.31E6

Απορροή



Κλάδος: R2214

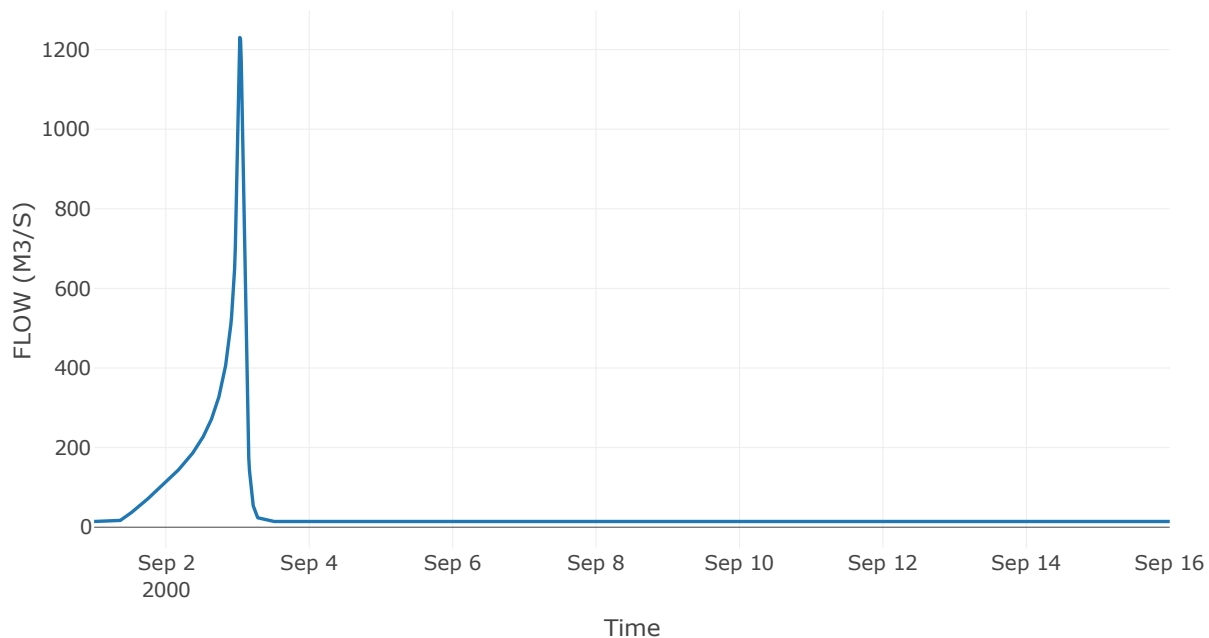
Κατάντη : J14

Μέθοδος Διόδευσης	Muskingum
Αρχική Μεταβλητή	Combined Inflow
Χρόνος Ροής Κ	0.42
Συντελεστής βάρους α	0.2
Πλήθος Υποκλάδων	2

Αποτελέσματα: R2214

Παροχή Αιχμής (M3/S)	1230.5
Χρονική στιγμή αιχμής	03Sep2000, 00:45
Όγκος (MM)	381.56
Παροχή Αιχμής Εισόδου (M3/S)	1256.9
Όγκος Εισροής (M3)	5.46E7

Απορροή



Κλάδος: R2311

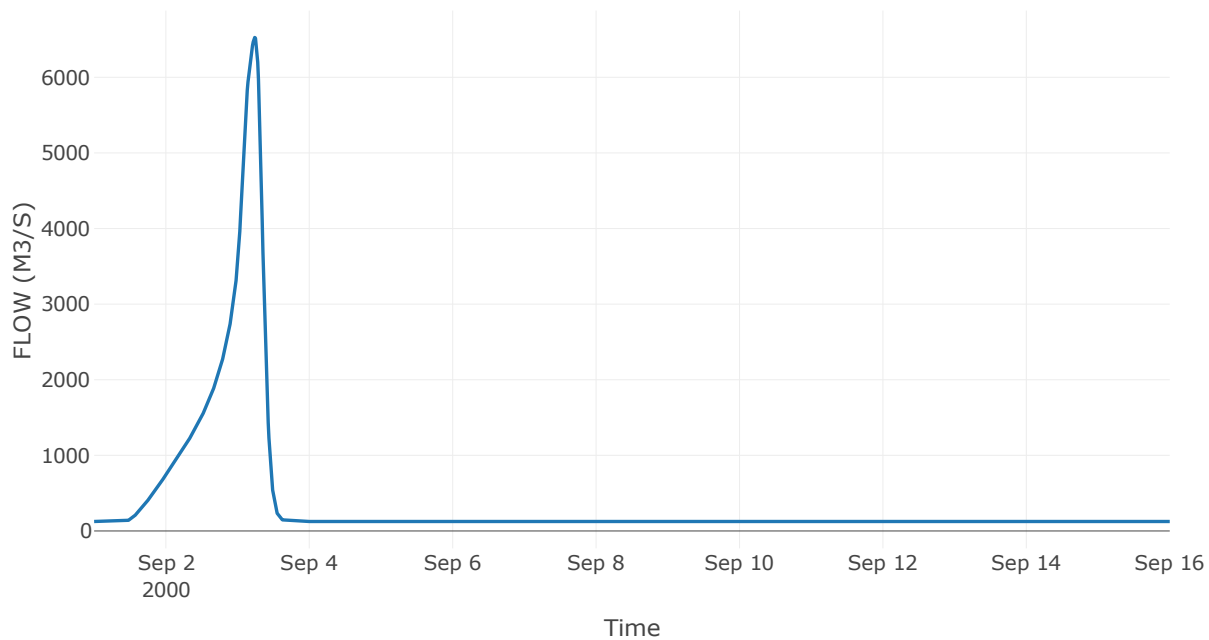
Κατάντη : J11

Μέθοδος Διόδευσης	Muskingum
Αρχική Μεταβλητή	Combined Inflow
Χρόνος Ροής K	1.83
Συντελεστής βάρους x	0.2
Πλήθος Υποκλάδων	9

Αποτελέσματα: R2311

Παροχή Αιχμής (M3/S)	6526.95
Χρονική στιγμή αιχμής	03Sep2000, 05:45
Όγκος (MM)	393.14
Παροχή Αιχμής Εισόδου (M3/S)	6585.4
Όγκος Εισροής (M3)	4.92E8

Απορροή



Κλάδος: R2423

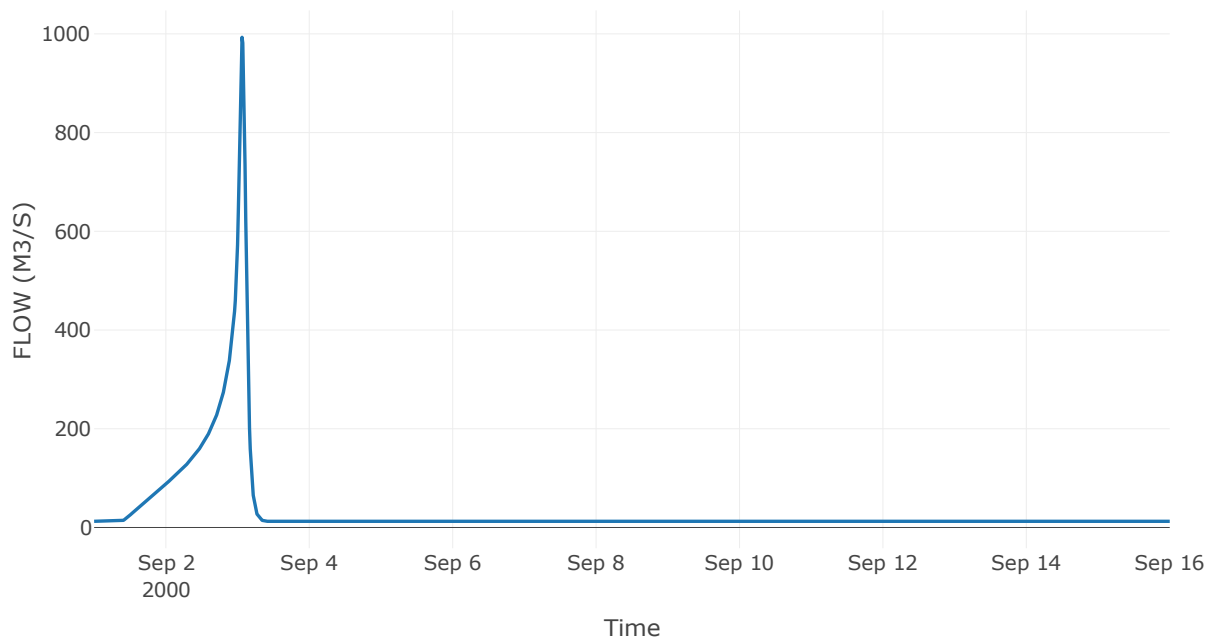
Κατάντη : J23

Μέθοδος Διόδευσης	Muskingum
Αρχική Μεταβλητή	Combined Inflow
Χρόνος Ροής K	1.32
Συντελεστής βάρους x	0.2
Πλήθος Υποκλάδων	6

Αποτελέσματα: R2423

Παροχή Αιχμής (M3/S)	993.03
Χρονική στιγμή αιχμής	03Sep2000, 01:30
Όγκος (MM)	357.43
Παροχή Αιχμής Εισόδου (M3/S)	1063.95
Όγκος Εισροής (M3)	4.48E7

Απορροή



Κλάδος: R257

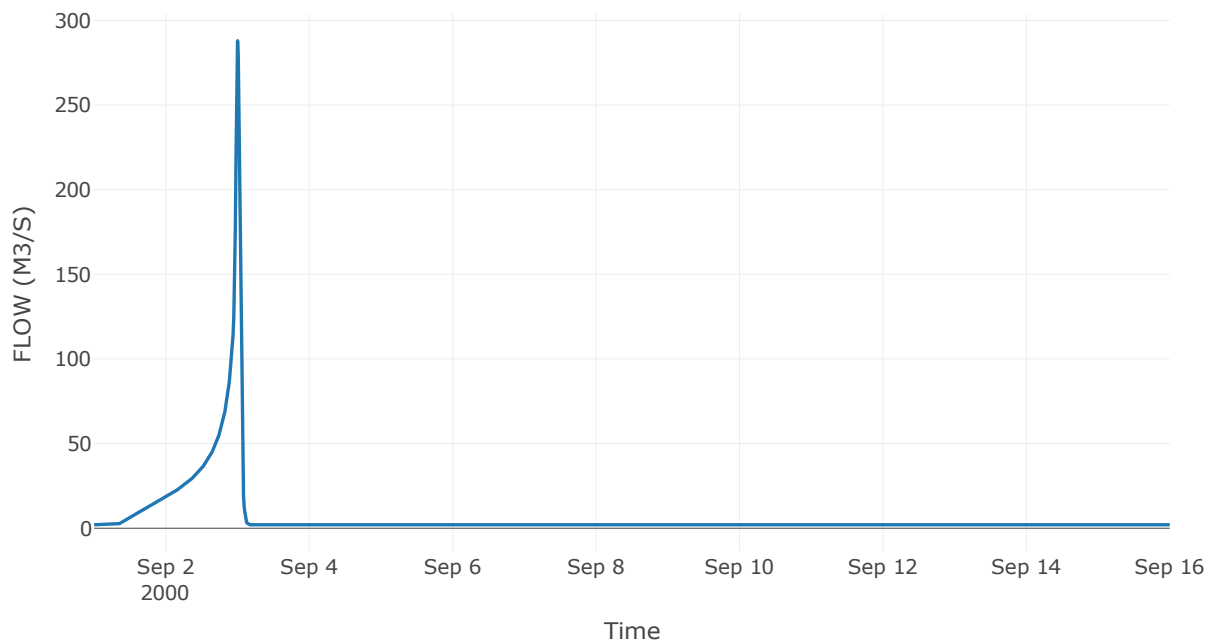
Κατάντη : J7

Μέθοδος Διόδευσης	Χρόνος
Αρχική Μεταβλητή	Combined Inflow
Χρόνος Υστέρησης	21.95

Αποτελέσματα: R257

Παροχή Αιχμής (M3/S)	287.97
Χρονική στιγμή αιχμής	02Sep2000, 24:00
Όγκος (MM)	409.4
Παροχή Αιχμής Εισόδου (M3/S)	291.45
Όγκος Εισροής (M3)	8.36E6

Απορροή



Κλάδος: R265

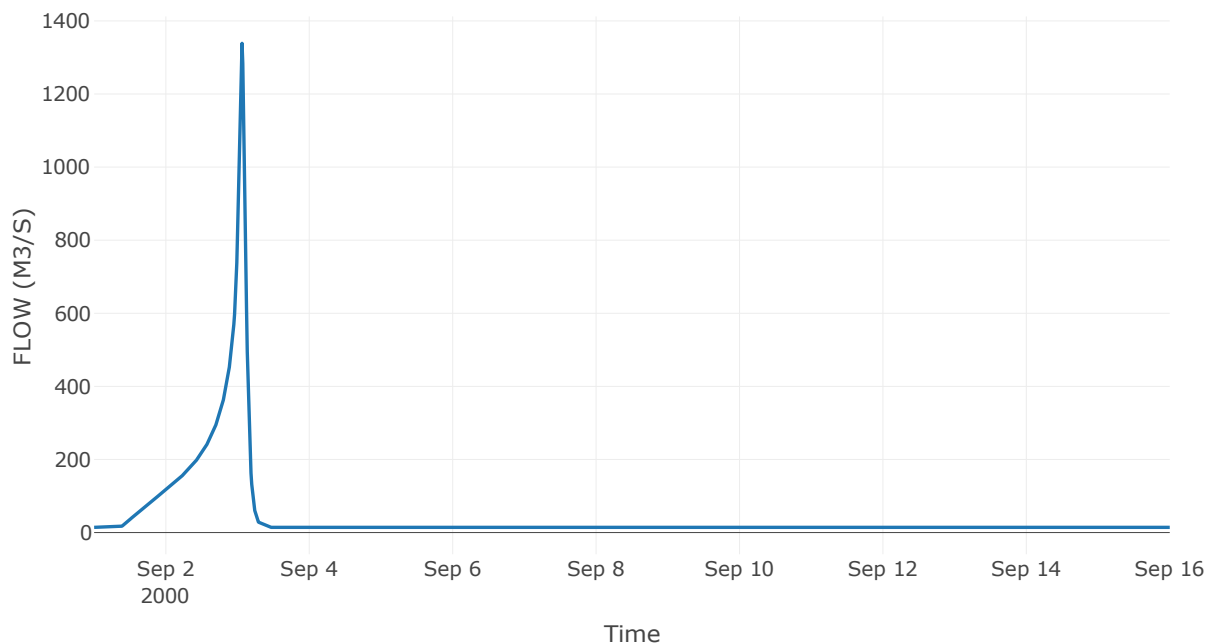
Κατάντη : J5

Μέθοδος Διόδευσης	Muskingum
Αρχική Μεταβλητή	Combined Inflow
Χρόνος Ροής K	1.04
Συντελεστής βάρους x	0.2
Πλήθος Υποκλάδων	5

Αποτελέσματα: R265

Παροχή Αιχμής (M3/S)	1338.65
Χρονική στιγμή αιχμής	03Sep2000, 01:30
Όγκος (MM)	398.75
Παροχή Αιχμής Εισόδου (M3/S)	1405.23
Όγκος Εισροής (M3)	5.69E7

Απορροή



Κλάδος: R274

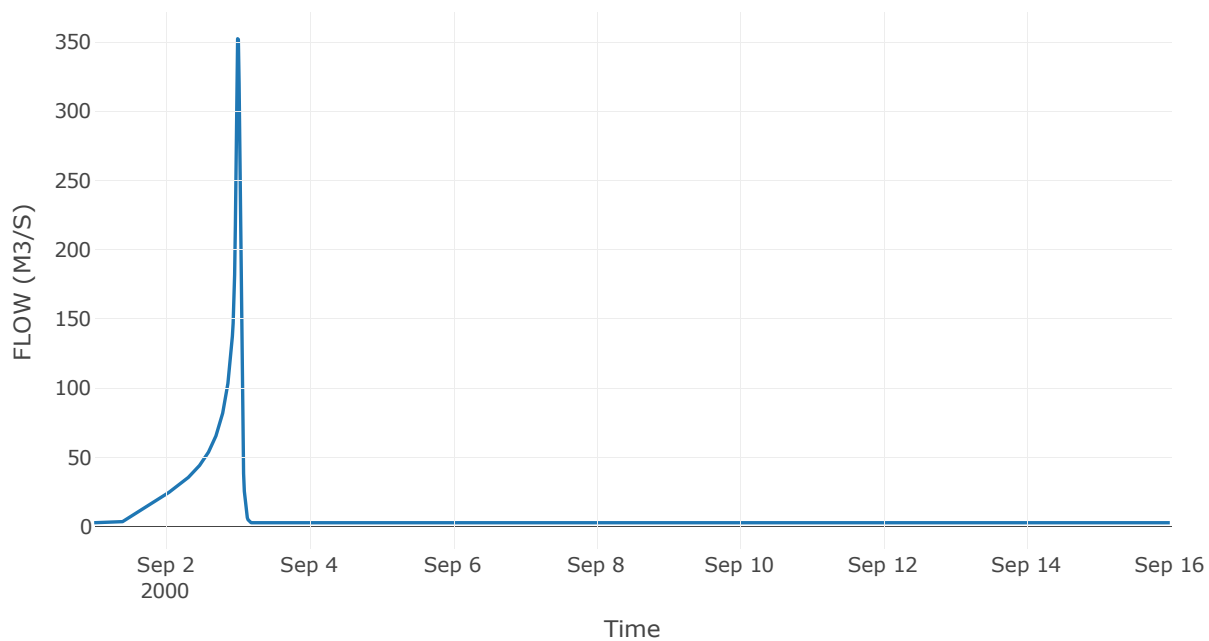
Κατάντη : J4

Μέθοδος Διόδευσης	Χρόνος
Αρχική Μεταβλητή	Combined Inflow
Χρόνος Υστέρησης	17.26

Αποτελέσματα: R274

Παροχή Αιχμής (M3/S)	352.15
Χρονική στιγμή αιχμής	02Sep2000, 24:00
Όγκος (MM)	383.49
Παροχή Αιχμής Εισόδου (M3/S)	356.1
Όγκος Εισροής (M3)	1.12E7

Απορροή



Κλάδος: R2917

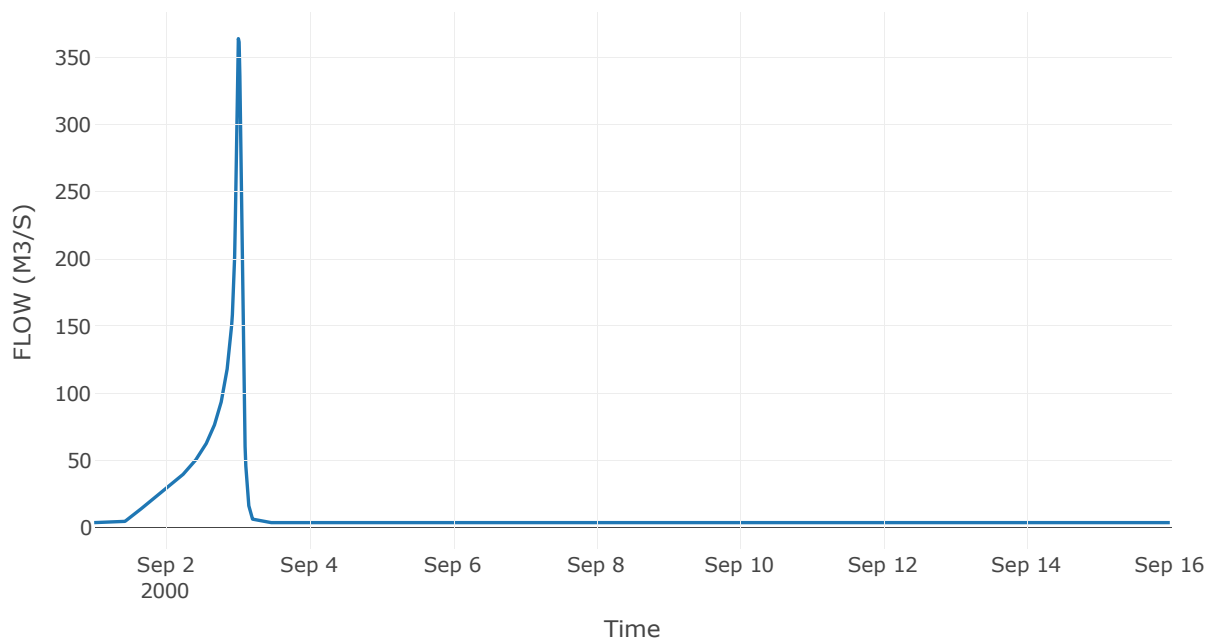
Κατάντη : J17

Μέθοδος Διόδευσης	Χρόνος
Αρχική Μεταβλητή	Combined Inflow
Χρόνος Υστέρησης	7.66

Αποτελέσματα: R2917

Παροχή Αιχμής (M3/S)	363.98
Χρονική στιγμή αιχμής	03Sep2000, 00:15
Όγκος (MM)	372.46
Παροχή Αιχμής Εισόδου (M3/S)	368.46
Όγκος Εισροής (M3)	1.39E7

Απορροή



Κλάδος: R3020

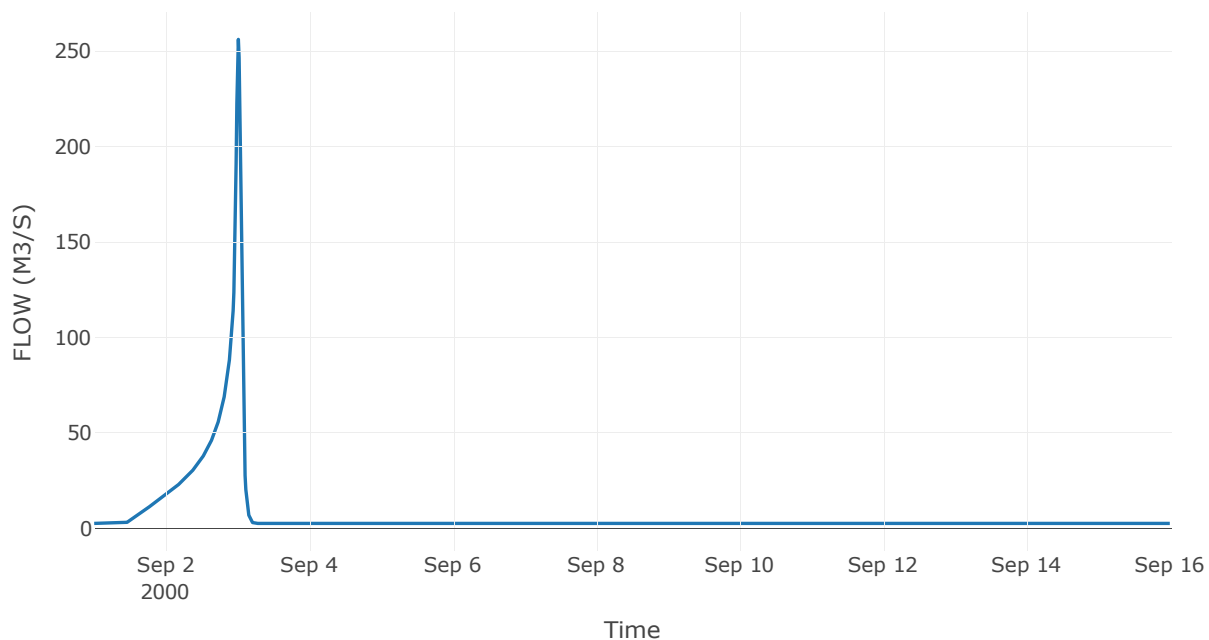
Κατάντη : J20

Μέθοδος Διόδευσης	Muskingum
Αρχική Μεταβλητή	Combined Inflow
Χρόνος Ροής K	0.18
Συντελεστής βάρους x	0.2
Πλήθος Υποκλάδων	1

Αποτελέσματα: R3020

Παροχή Αιχμής (M3/S)	256.03
Χρονική στιγμή αιχμής	03Sep2000, 00:15
Όγκος (MM)	353.7
Παροχή Αιχμής Εισόδου (M3/S)	258.13
Όγκος Εισροής (M3)	9.14E6

Απορροή



Κλάδος: R3113

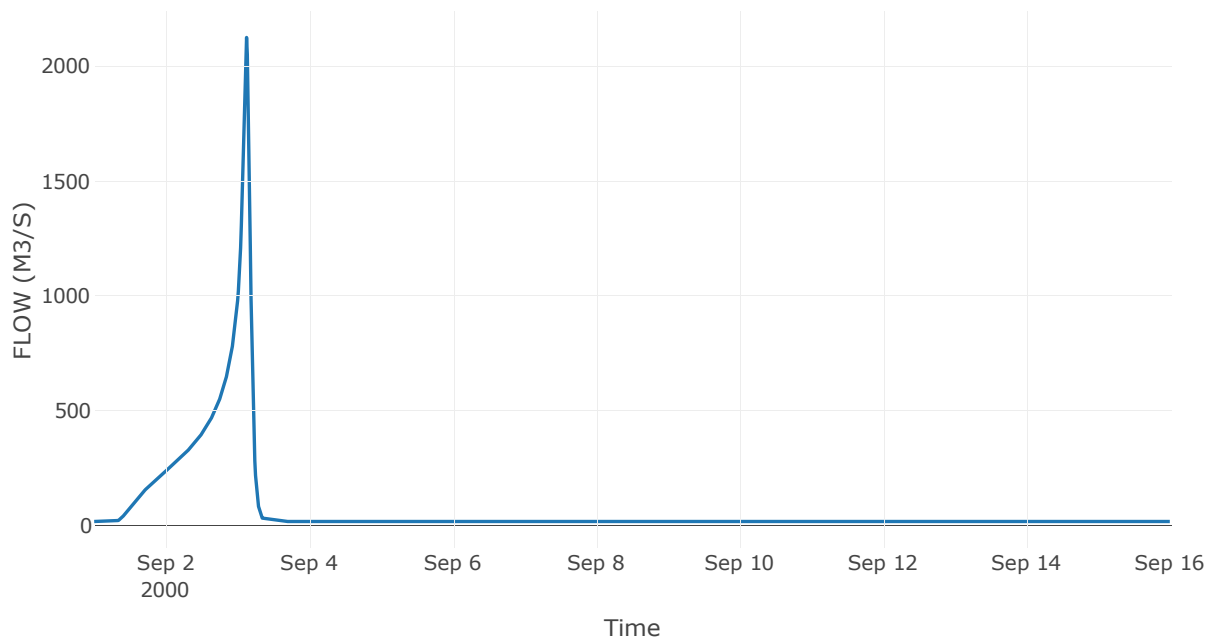
Κατάντη : J13

Μέθοδος Διόδευσης	Muskingum
Αρχική Μεταβλητή	Combined Inflow
Χρόνος Ροής K	2.64
Συντελεστής βάρους x	0.2
Πλήθος Υποκλάδων	13

Αποτελέσματα: R3113

Παροχή Αιχμής (M3/S)	2126.34
Χρονική στιγμή αιχμής	03Sep2000, 03:00
Όγκος (MM)	549.66
Παροχή Αιχμής Εισόδου (M3/S)	2393.46
Όγκος Εισροής (M3)	9.49E7

Απορροή



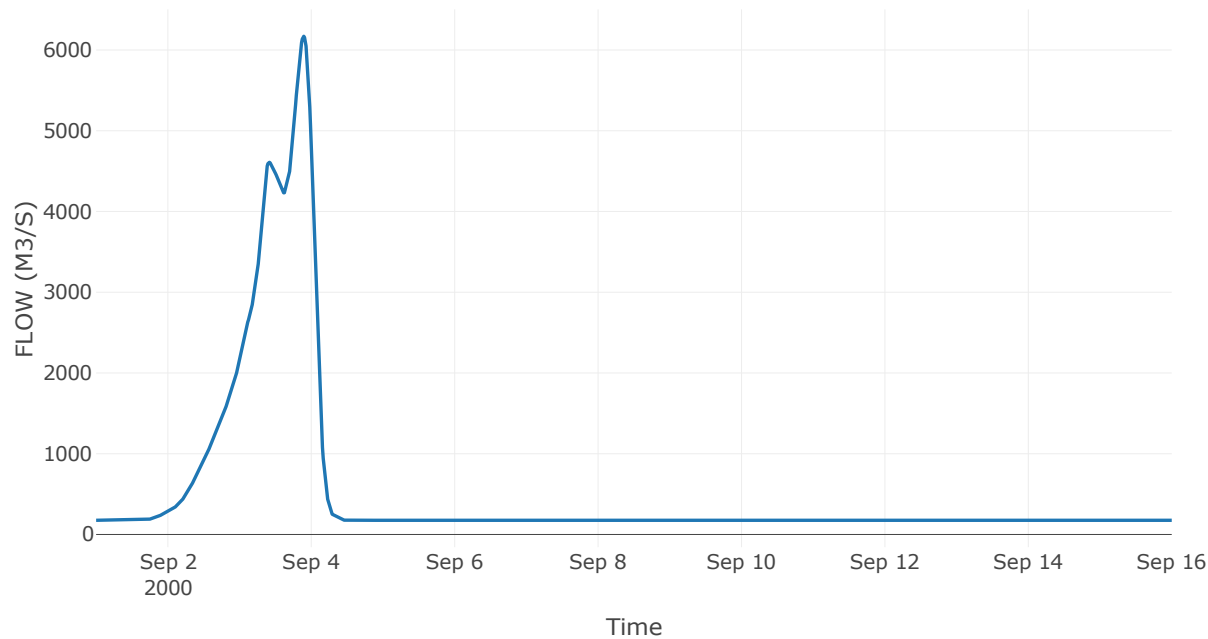
8.3 Δεδομένα και υδρογραφήματα σχεδιασμού Κόμβων υδρογραφικού δικτύου

Κόμβος εξόδου: J1

Αποτέλεσμα
τα: J1

Παροχή αιχμής (M3/S)	6170.12
Χρονική στιγμή αιχμής	03Sep2000, 21:30
Όγκος (MM)	393.78

Απορροή



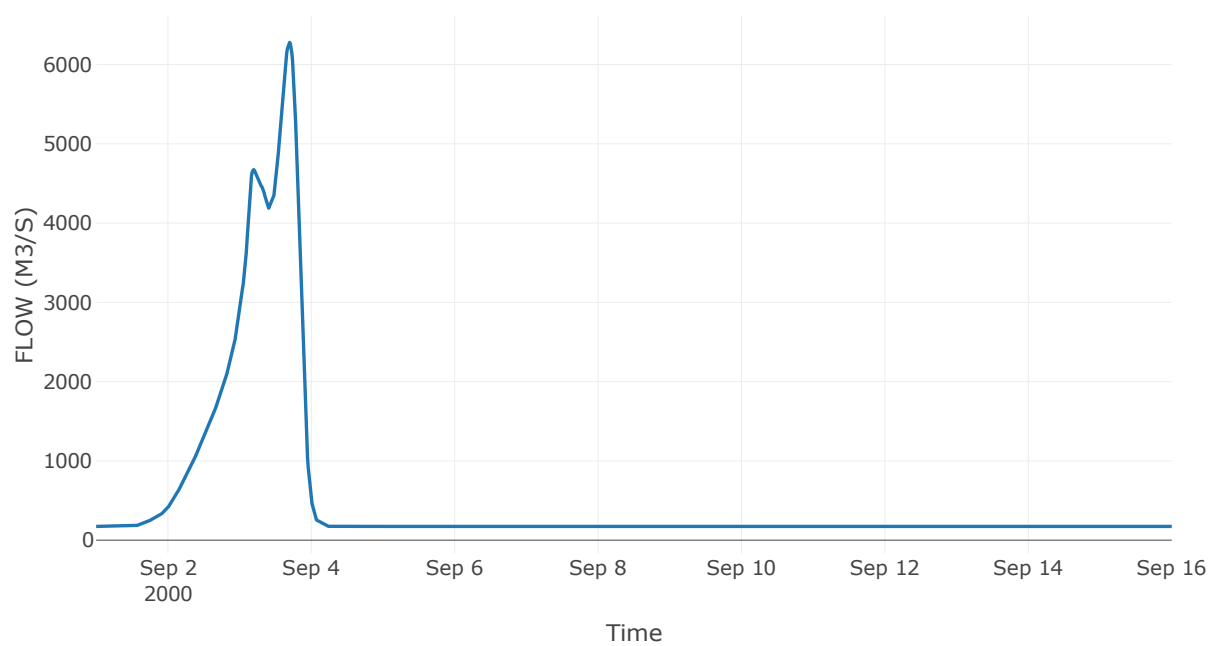
Κόμβος: J2

Κατάντη : R21

Αποτελέσματα: J2

Παροχή Αιχμής (M3/S)	6279.24
Χρονική στιγμή αιχμής	03Sep2000, 16:45
Όγκος (MM)	393.6

Απορροή



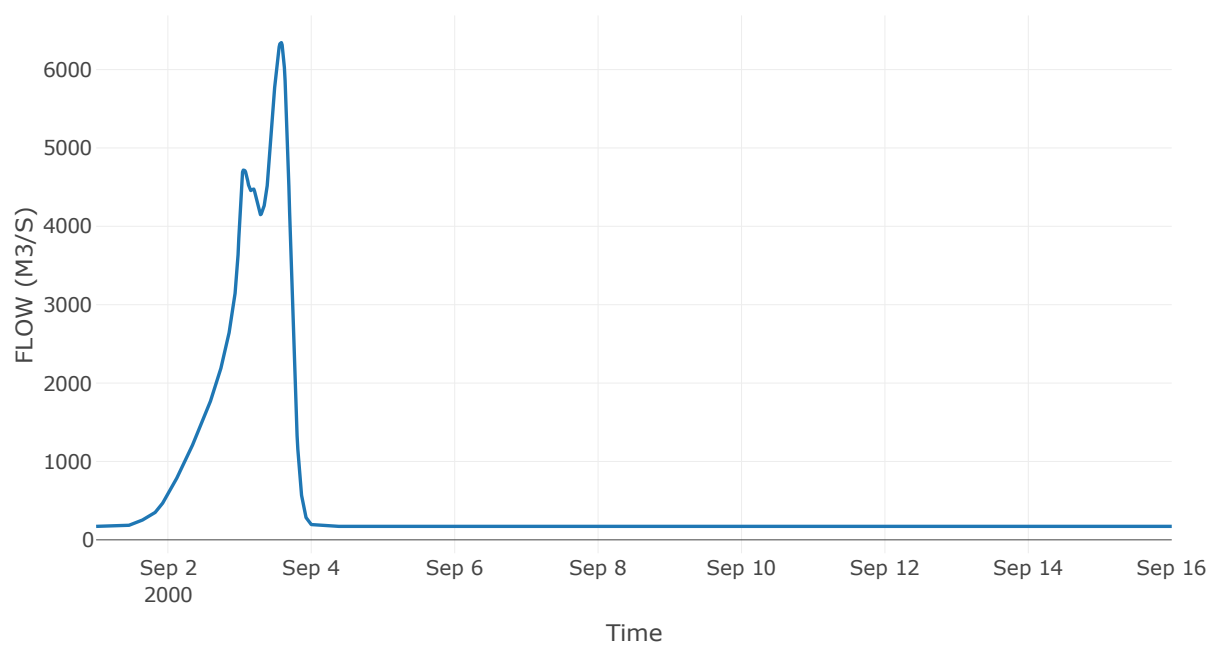
Κόμβος: J3

Κατάντη : R32

Αποτελέσματα: J3

Παροχή Αιχμής (M3/S)	6347.34
Χρονική στιγμή αιχμής	03Sep2000, 13:45
Όγκος (MM)	393.65

Απορροή



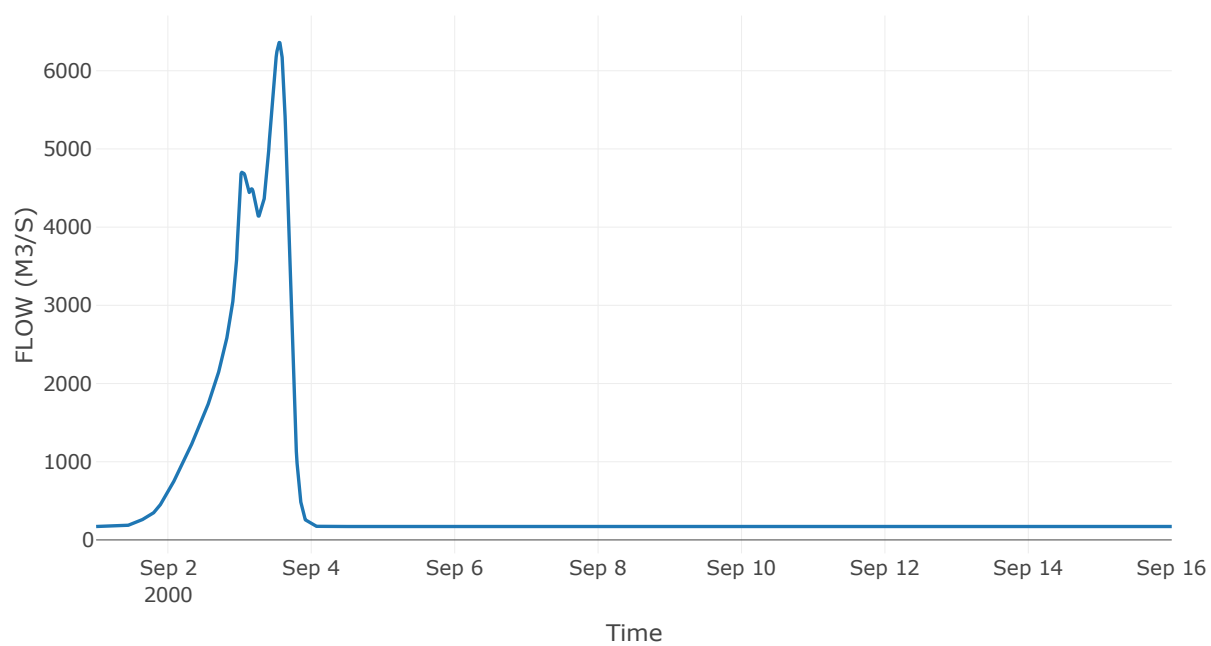
Κόμβος: J4

Κατάντη : R43

Αποτελέσματα: J4

Παροχή Αιχμής (M3/S)	6361.69
Χρονική στιγμή αιχμής	03Sep2000, 13:15
Όγκος (MM)	393.59

Απορροή



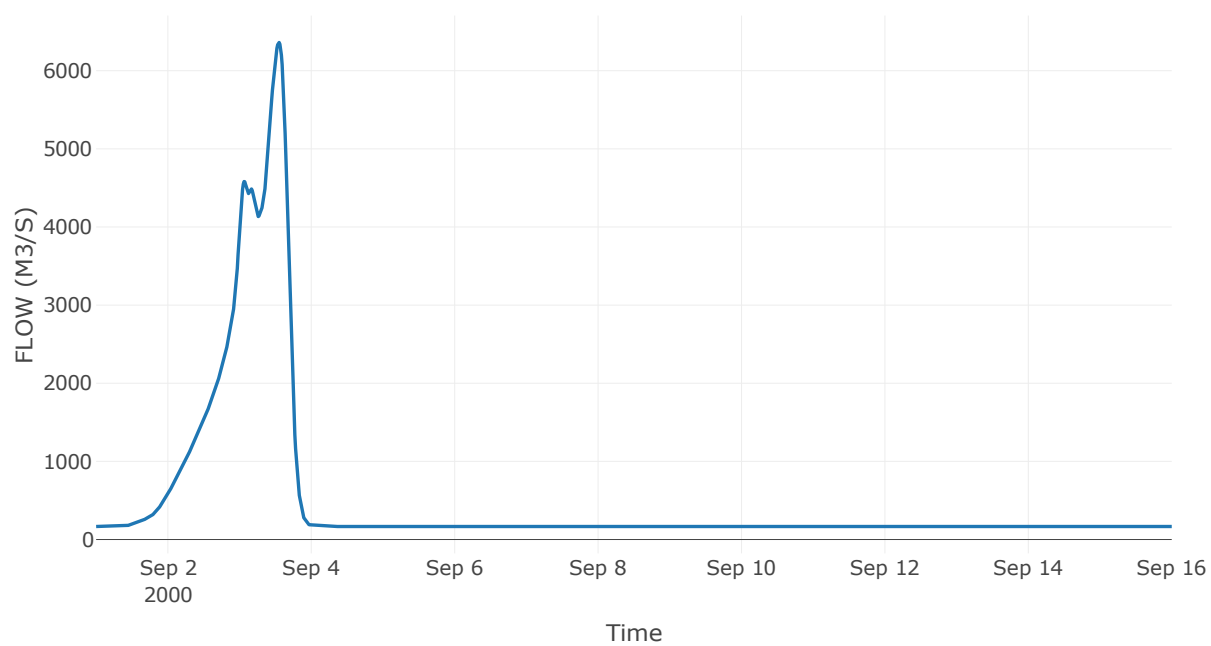
Κόμβος: J5

Κατάντη : R54

Αποτελέσματα: J5

Παροχή Αιχμής (M3/S)	6361.21
Χρονική στιγμή αιχμής	03Sep2000, 13:15
Όγκος (MM)	394.02

Απορροή



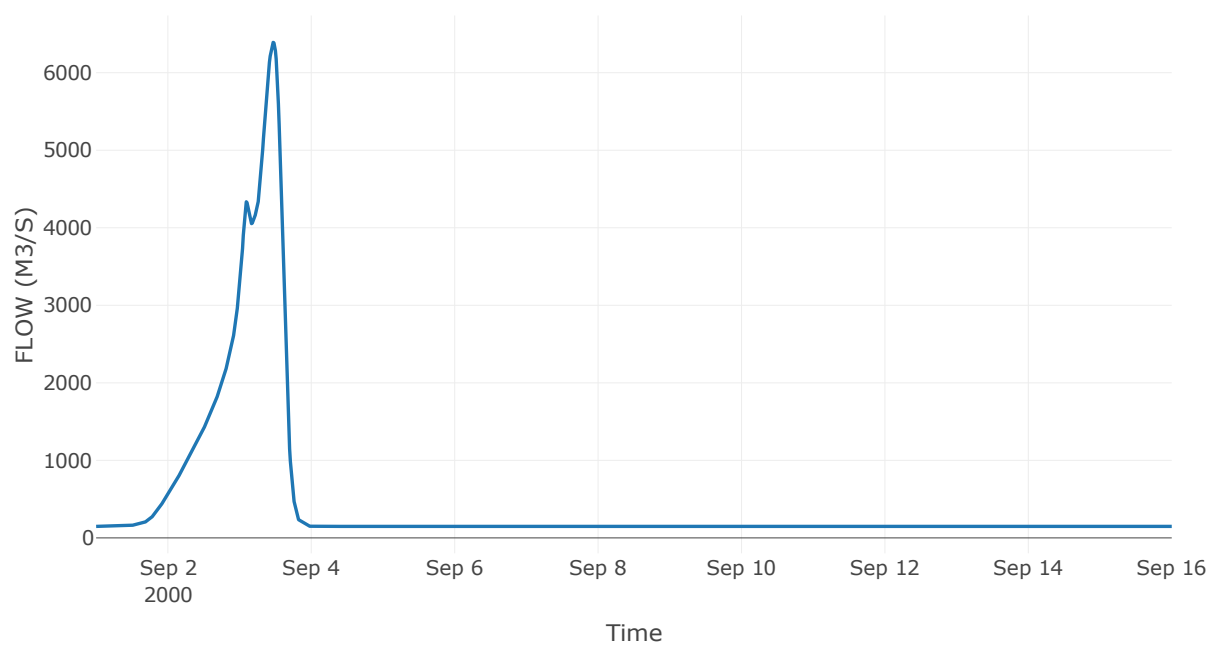
Κόμβος: J6

Κατάντη : R65

Αποτελέσματα: J6

Παροχή Αιχμής (M3/S)	6391.33
Χρονική στιγμή αιχμής	03Sep2000, 11:15
Όγκος (MM)	394.53

Απορροή



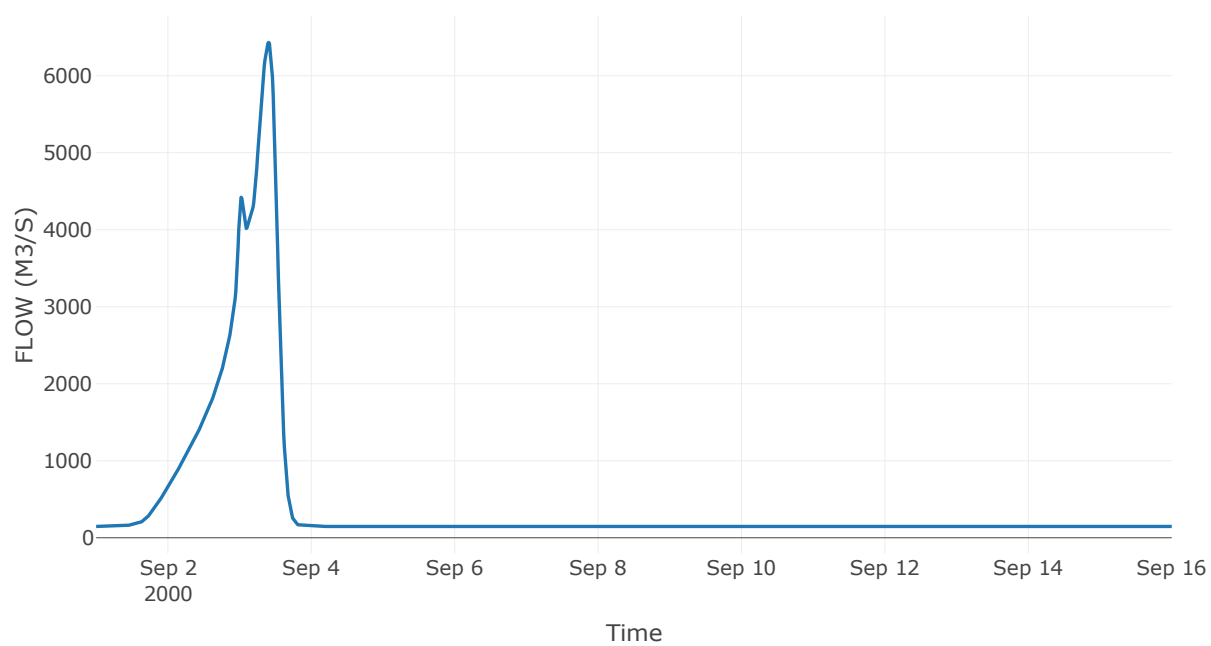
Κόμβος: J7

Κατάντη : R76

Αποτελέσματα: J7

Παροχή Αιχμής (M3/S)	6432.31
Χρονική στιγμή αιχμής	03Sep2000, 09:45
Όγκος (MM)	394.67

Απορροή



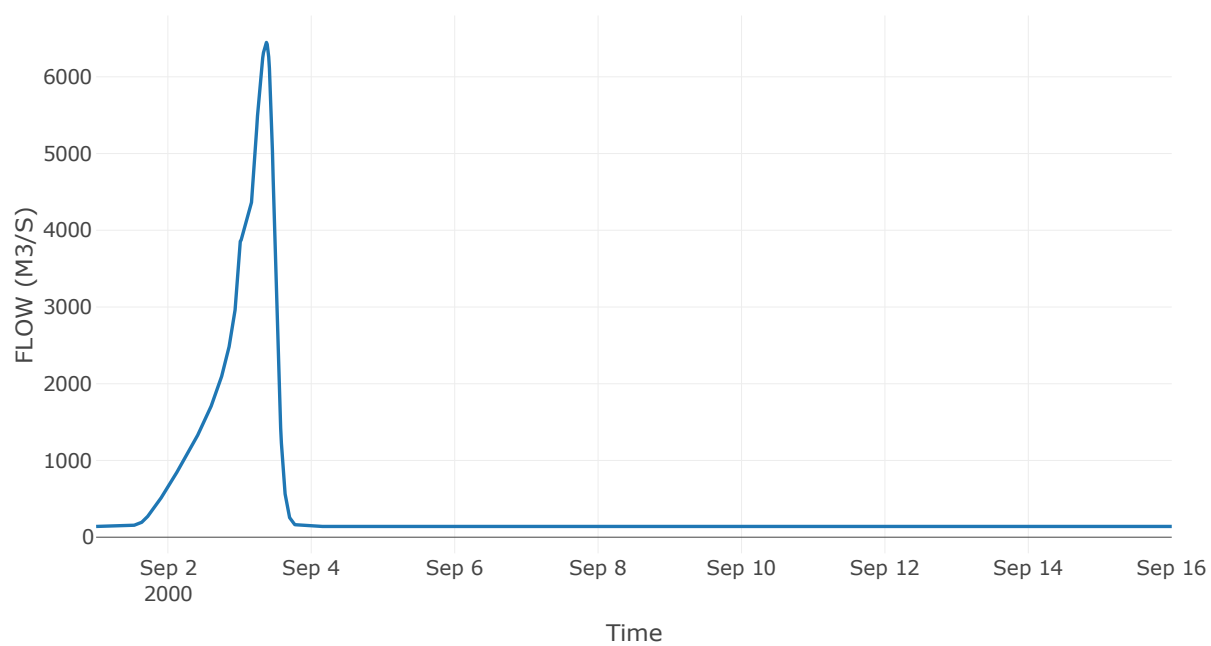
Κόμβος: J8

Κατάντη : R87

Αποτελέσματα: J8

Παροχή Αιχμής (M3/S)	6448.07
Χρονική στιγμή αιχμής	03Sep2000, 09:00
Όγκος (MM)	393.35

Απορροή



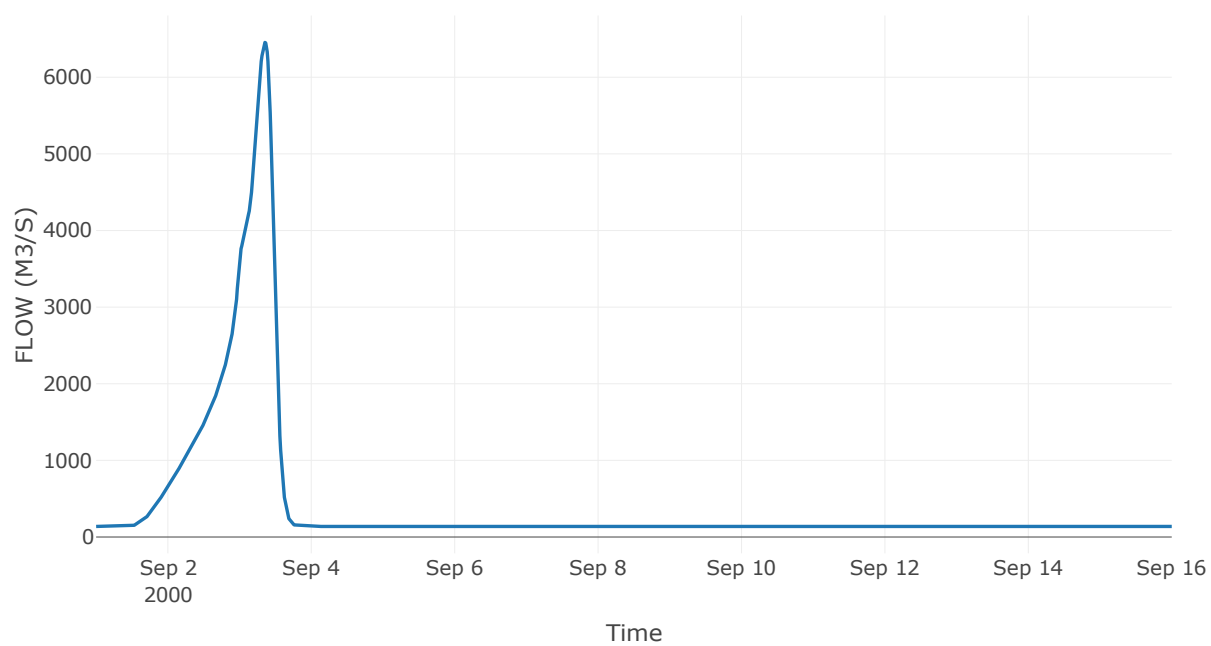
Κόμβος: J9

Κατάντη : R98

Αποτελέσματα: J9

Παροχή Αιχμής (M3/S)	6454.47
Χρονική στιγμή αιχμής	03Sep2000, 08:30
Όγκος (MM)	393.49

Απορροή



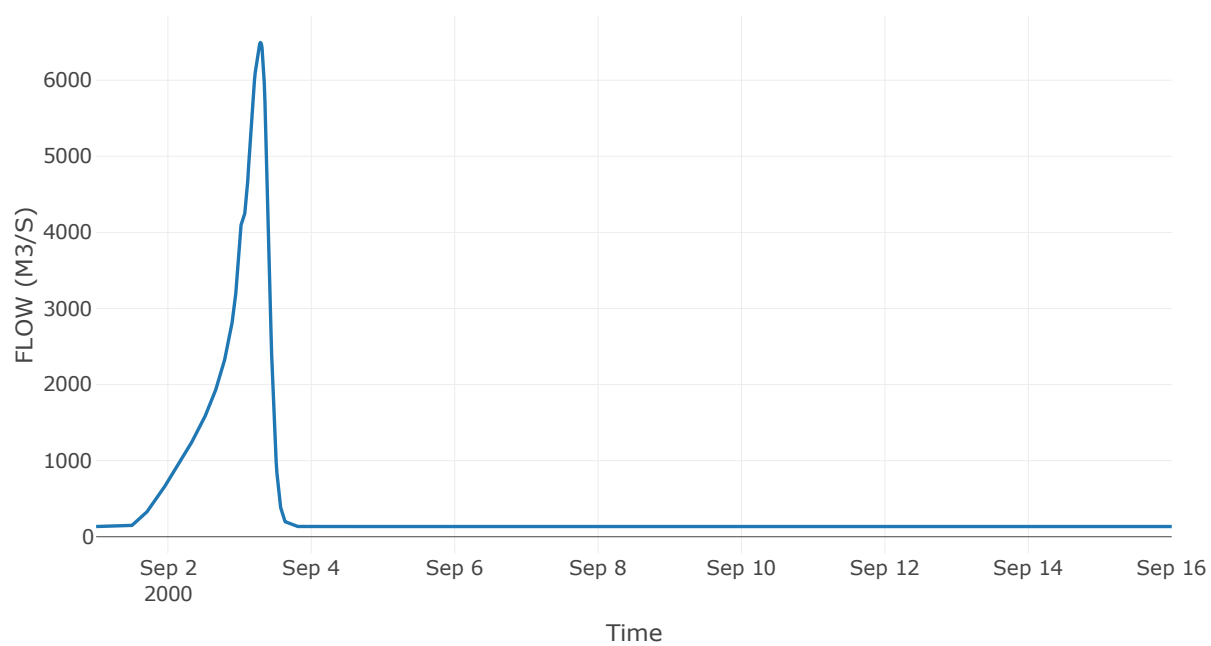
Κόμβος: J10

Κατάντη : R109

Αποτελέσματα: J10

Παροχή Αιχμής (M3/S)	6496.04
Χρονική στιγμή αιχμής	03Sep2000, 07:00
Όγκος (MM)	392.68

Απορροή



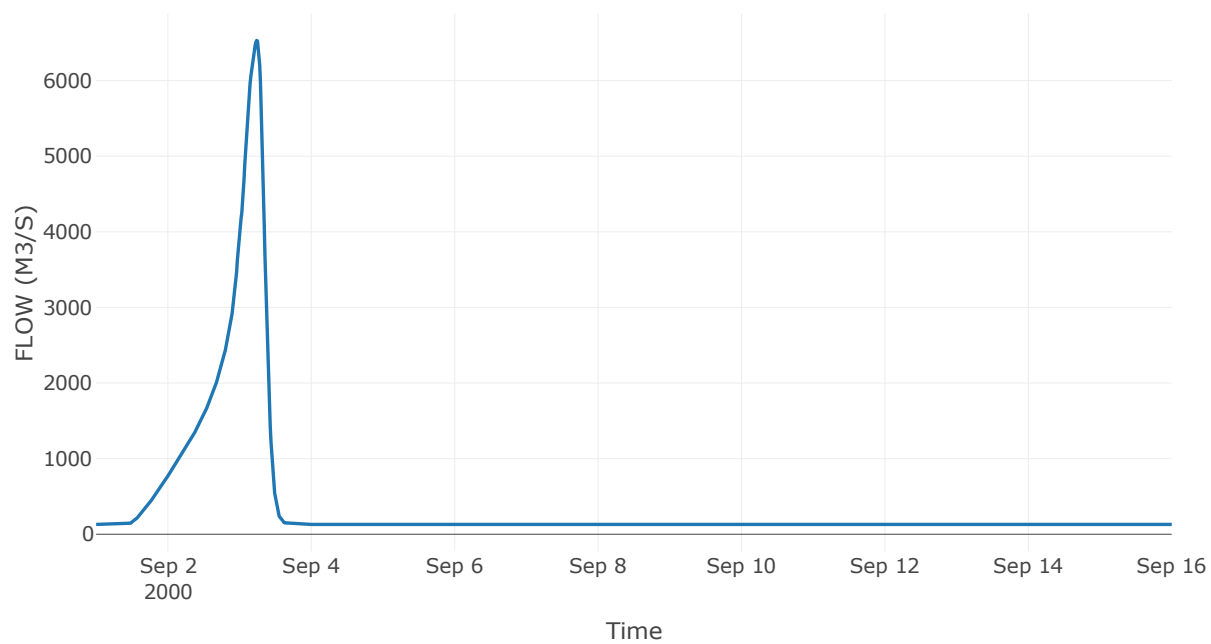
Κόμβος: J11

Κατάντη : R1110

Αποτελέσματα: J11

Παροχή Αιχμής (M3/S)	6531.59
Χρονική στιγμή αιχμής	03Sep2000, 05:45
Όγκος (MM)	391.57

Απορροή



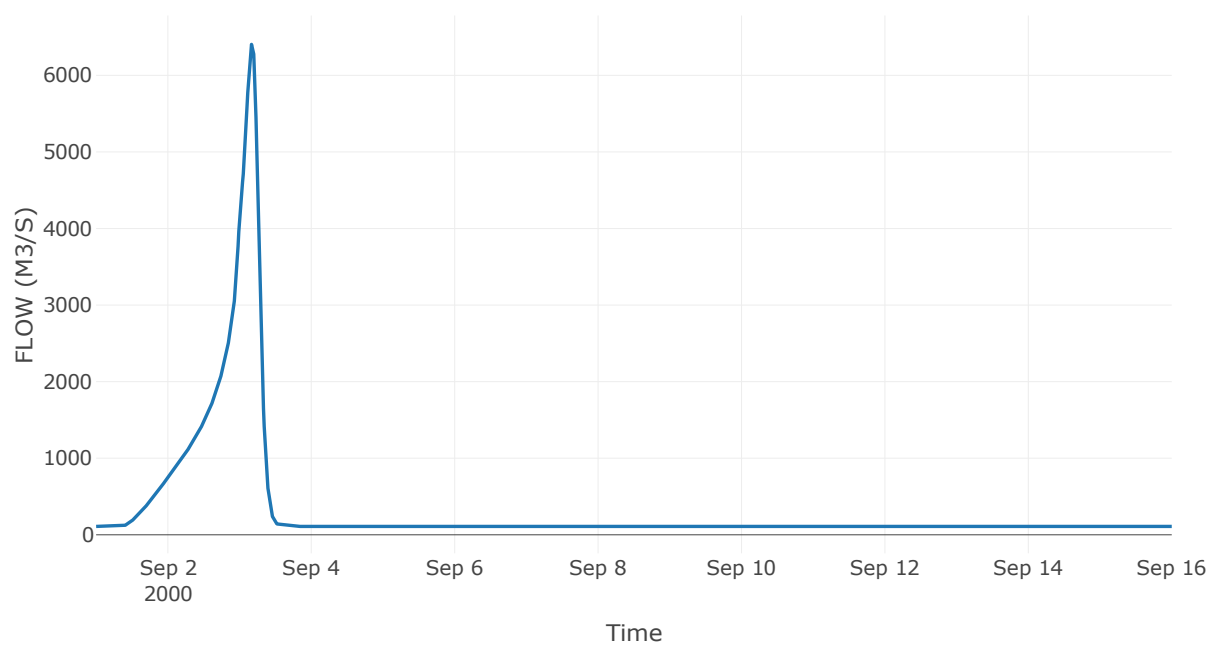
Κόμβος: J12

Κατάντη : R1223

Αποτελέσματα: J12

Παροχή Αιχμής (M3/S)	6430.34
Χρονική στιγμή αιχμής	03Sep2000, 04:15
Όγκος (MM)	398.67

Απορροή



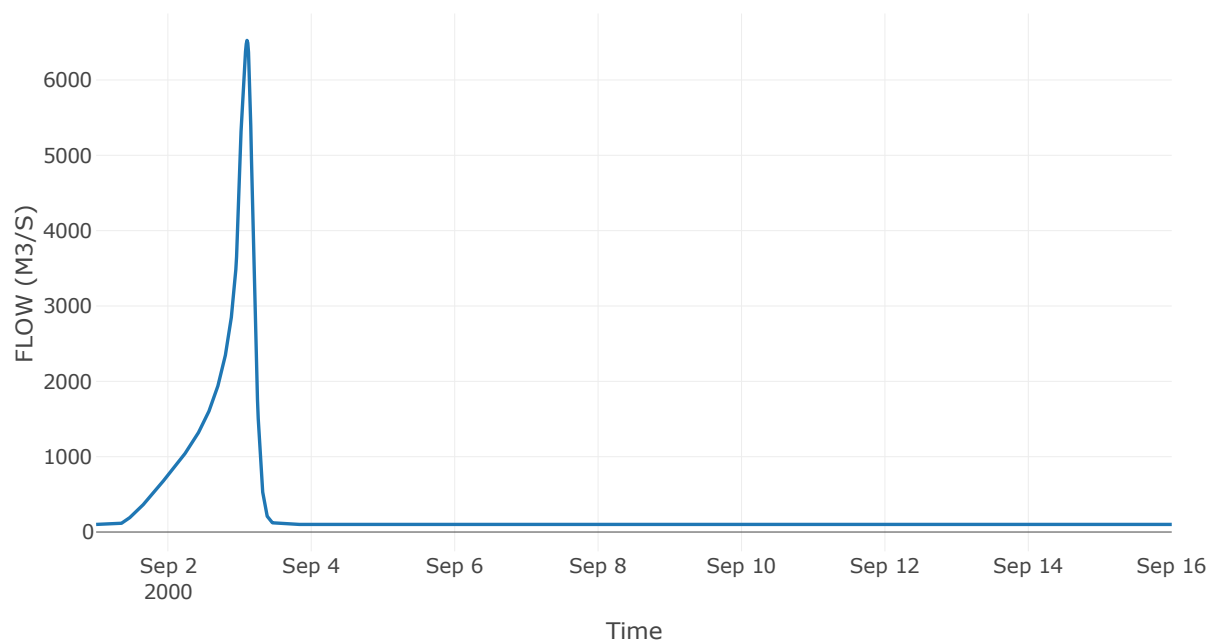
Κόμβος: J13

Κατάντη : R1312

Αποτελέσματα: J13

Παροχή Αιχμής (M3/S)	6525.02
Χρονική στιγμή αιχμής	03Sep2000, 02:30
Όγκος (MM)	395.74

Απορροή



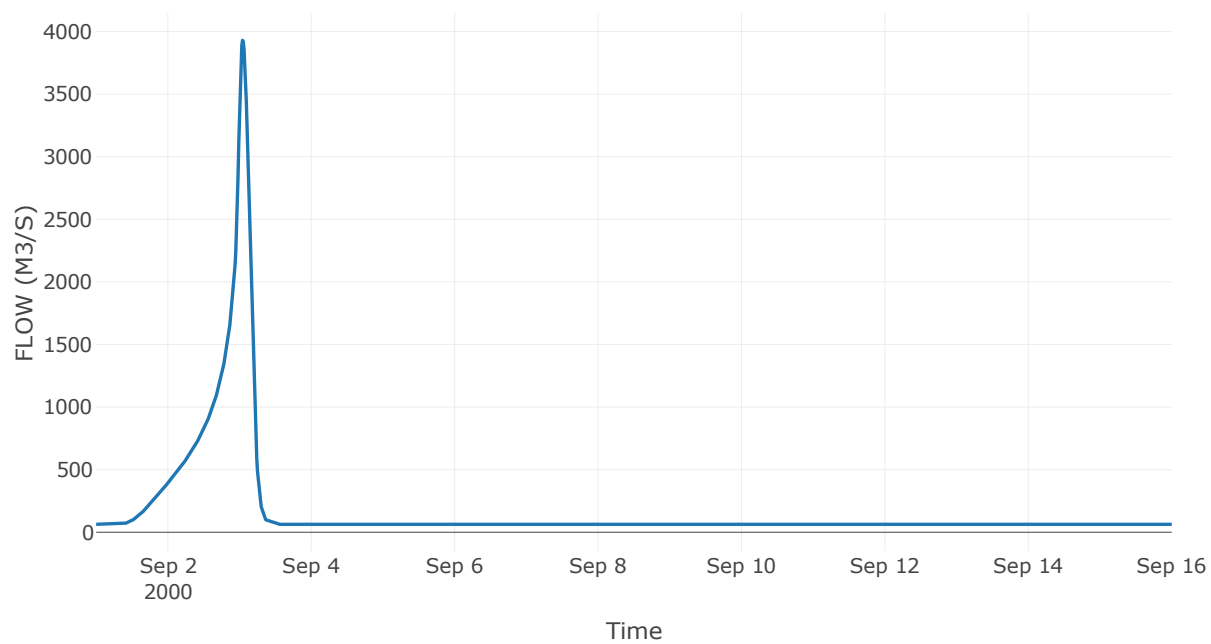
Κόμβος: J14

Κατάντη : R1413

Αποτελέσματα: J14

Παροχή Αιχμής (M3/S)	3929.71
Χρονική στιγμή αιχμής	03Sep2000, 01:00
Όγκος (MM)	357.87

Απορροή



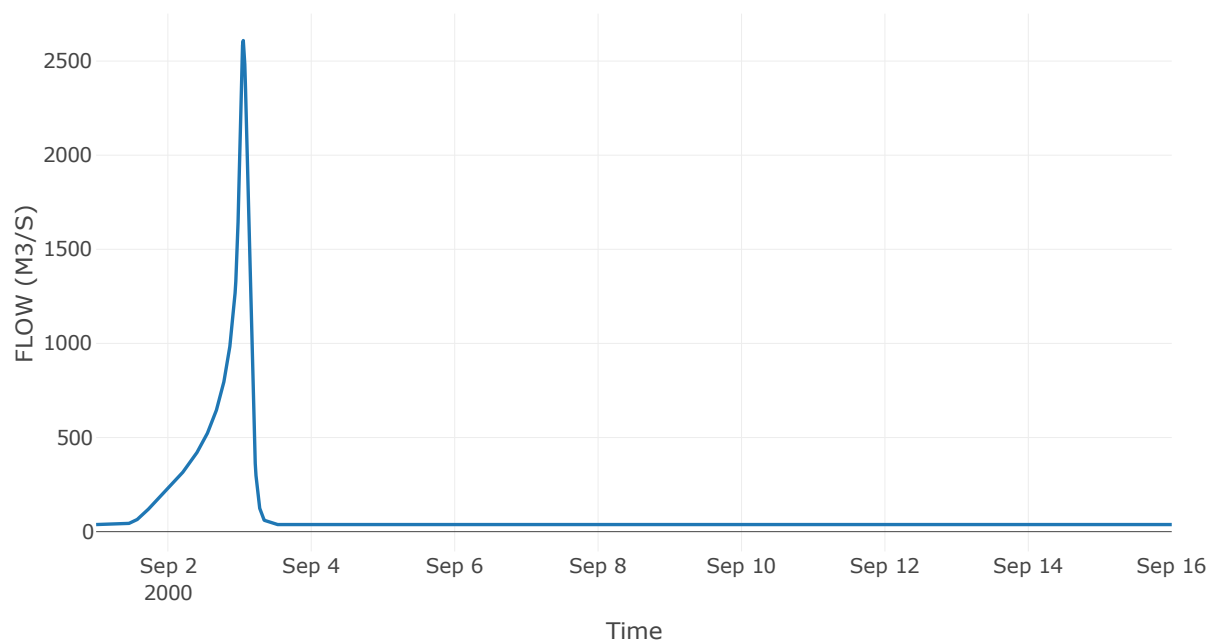
Κόμβος: J15

Κατάντη : R1514

Αποτελέσματα: J15

Παροχή Αιχμής (M3/S)	2609.12
Χρονική στιγμή αιχμής	03Sep2000, 01:15
Όγκος (MM)	355.08

Απορροή



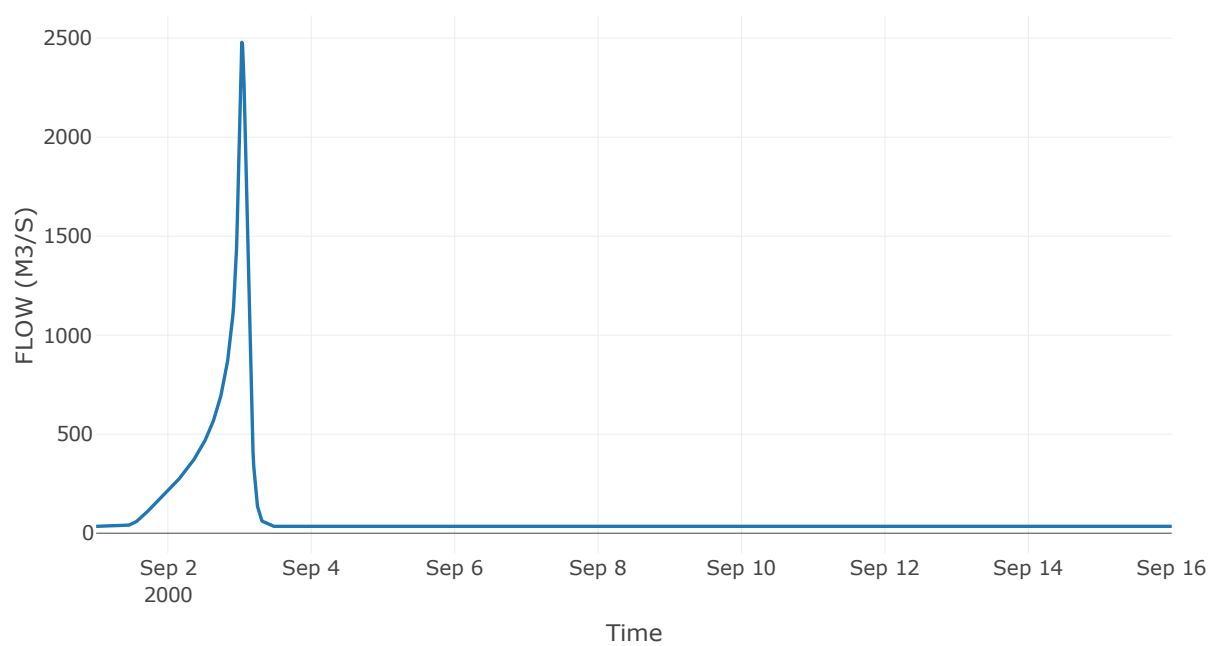
Κόμβος: J16

Κατάντη : R1615

Αποτελέσματα: J16

Παροχή Αιχμής (M3/S)	2478.82
Χρονική στιγμή αιχμής	03Sep2000, 00:45
Όγκος (MM)	355.24

Απορροή



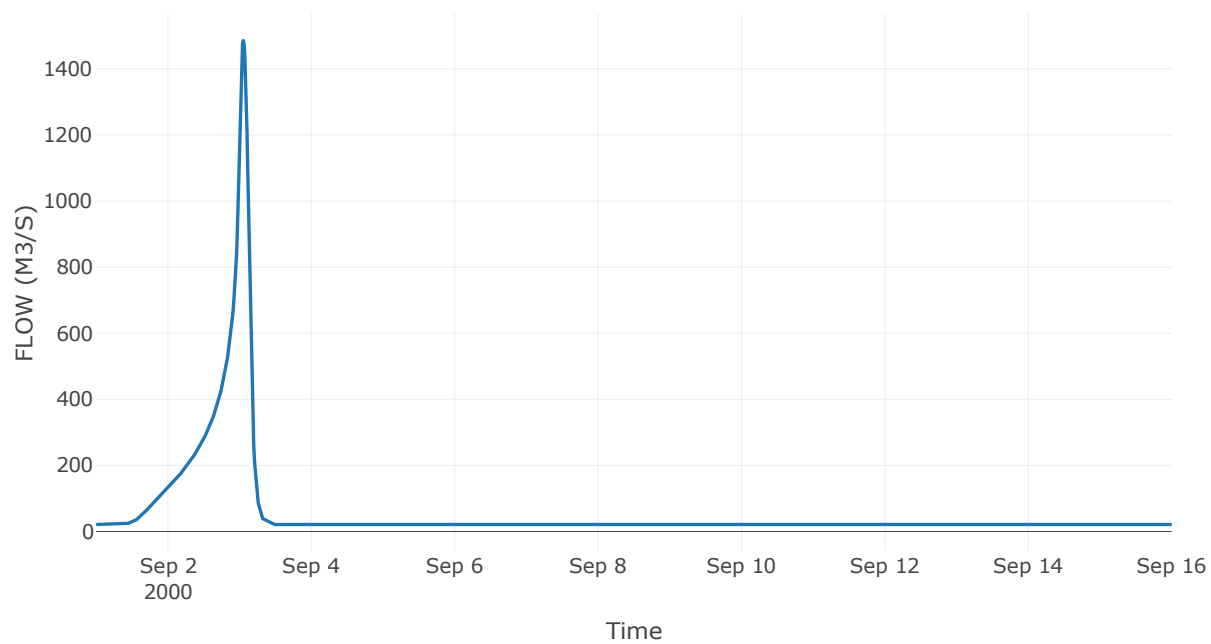
Κόμβος: J17

Κατάντη : R1716

Αποτελέσματα: J17

Παροχή Αιχμής (M3/S)	1485.97
Χρονική στιγμή αιχμής	03Sep2000, 01:15
Όγκος (MM)	362.66

Απορροή



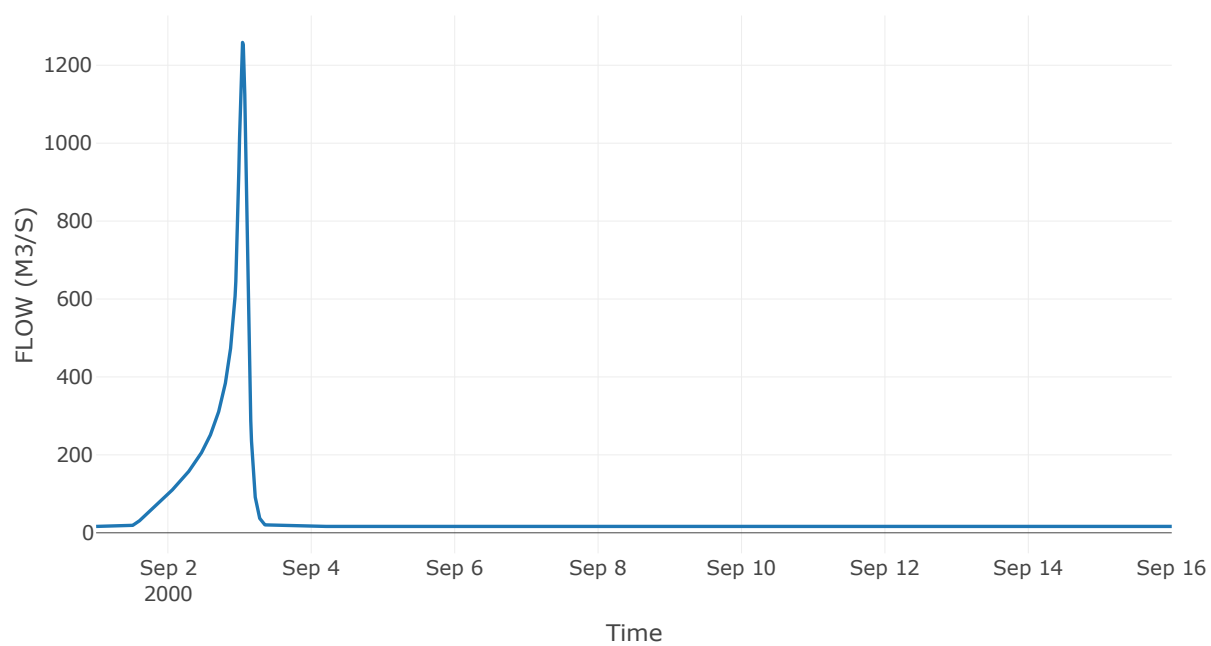
Κόμβος: J18

Κατάντη : R1817

Αποτελέσματα: J18

Παροχή Αιχμής (M3/S)	1258.63
Χρονική στιγμή αιχμής	03Sep2000, 01:00
Όγκος (MM)	358.21

Απορροή



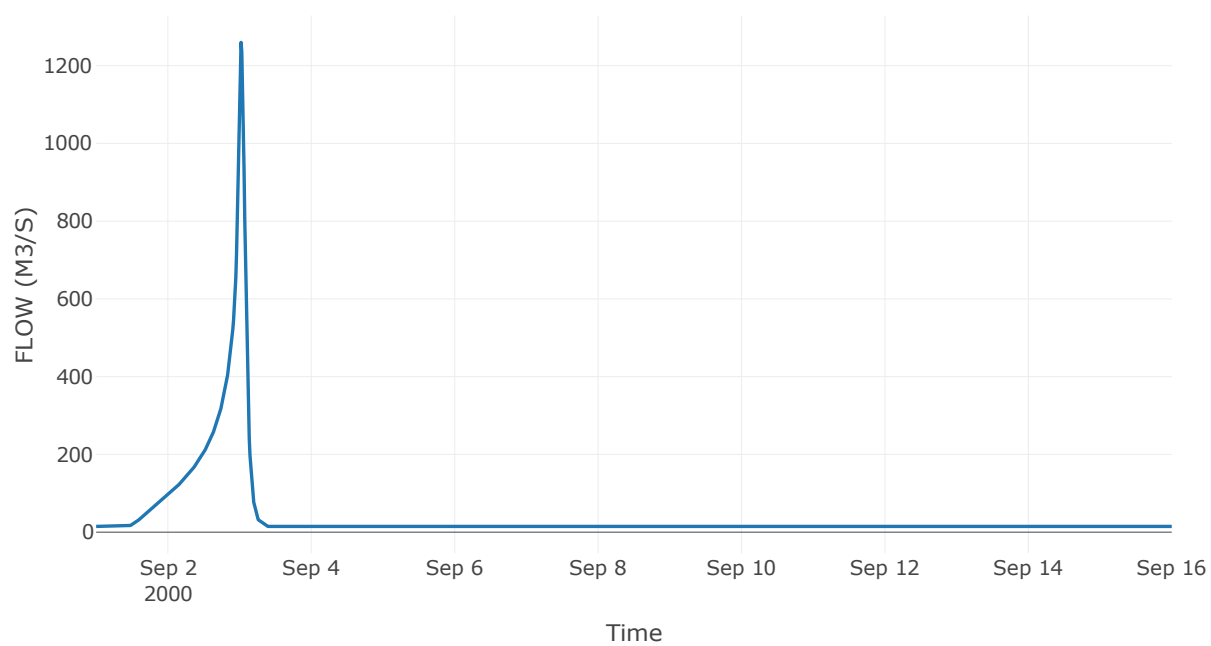
Κόμβος: J19

Κατάντη : R1918

Αποτελέσματα: J19

Παροχή Αιχμής (M3/S)	1259.79
Χρονική στιγμή αιχμής	03Sep2000, 00:30
Όγκος (MM)	361.43

Απορροή



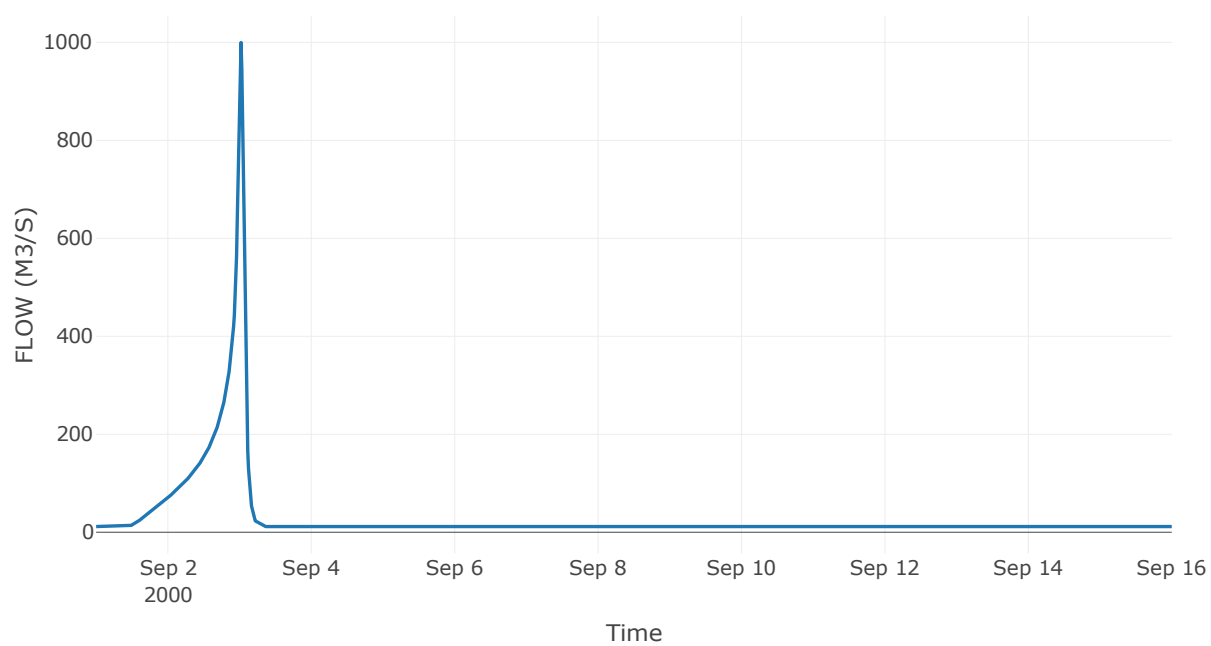
Κόμβος: J20

Κατάντη : R2016

Αποτελέσματα: J20

Παροχή Αιχμής (M3/S)	999.76
Χρονική στιγμή αιχμής	03Sep2000, 00:30
Όγκος (MM)	342.24

Απορροή



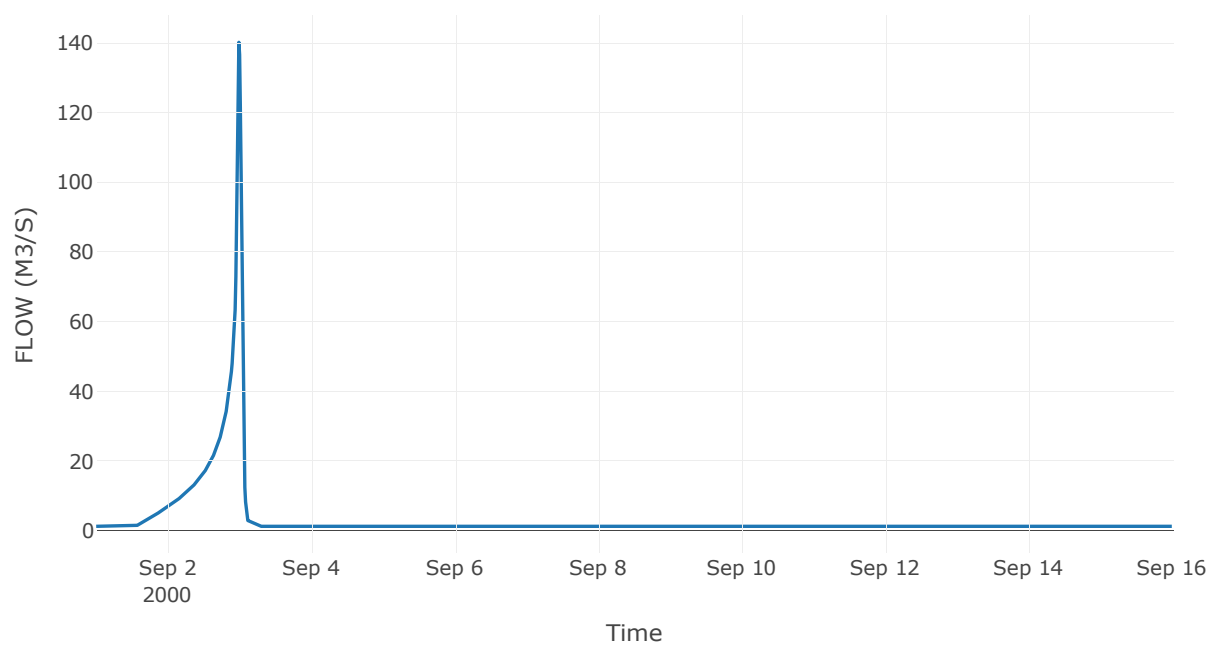
Κόμβος: J21

Κατάντη : R2120

Αποτελέσματα: J21

Παροχή Αιχμής (M3/S)	140.15
Χρονική στιγμή αιχμής	02Sep2000, 23:45
Όγκος (MM)	326.32

Απορροή



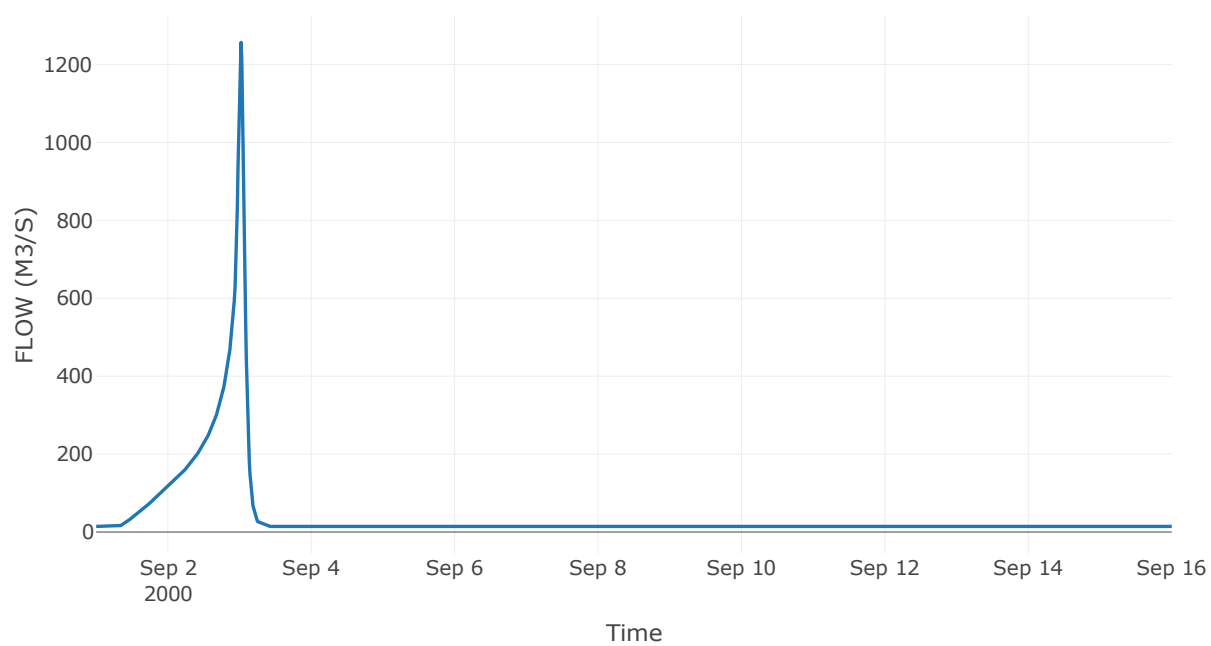
Κόμβος: J22

Κατάντη : R2214

Αποτελέσματα: J22

Παροχή Αιχμής (M3/S)	1256.9
Χρονική στιγμή αιχμής	03Sep2000, 00:30
Όγκος (MM)	381.56

Απορροή



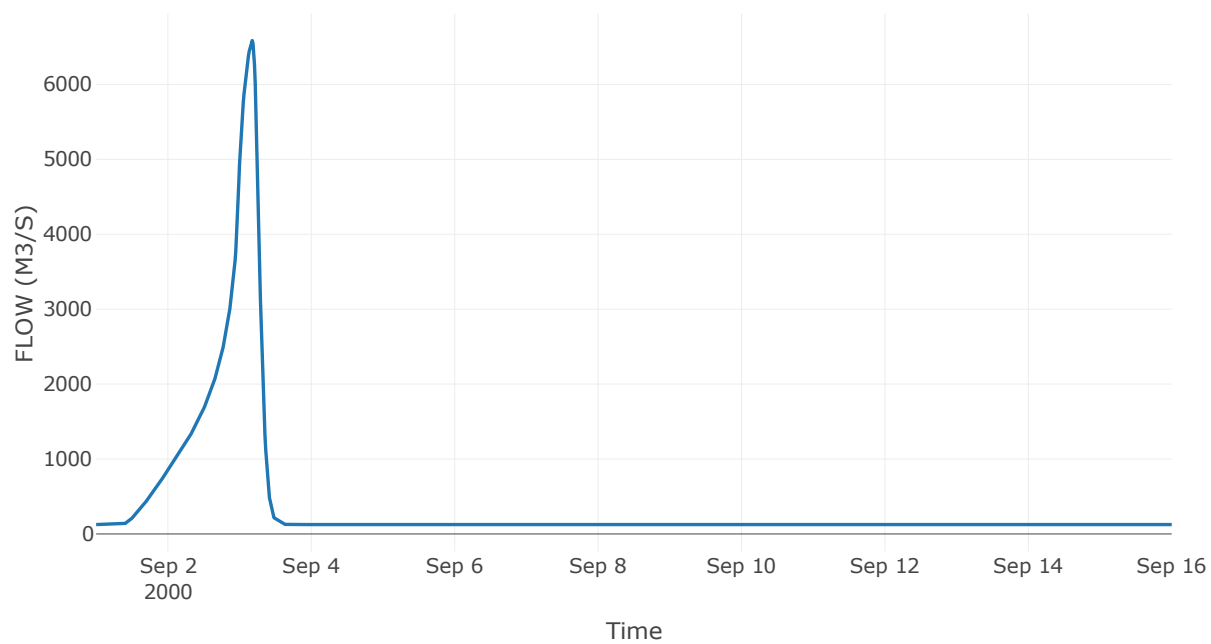
Κόμβος: J23

Κατάντη : R2311

Αποτελέσματα: J23

Παροχή Αιχμής (M3/S)	6585.4
Χρονική στιγμή αιχμής	03Sep2000, 04:15
Όγκος (MM)	393.14

Απορροή



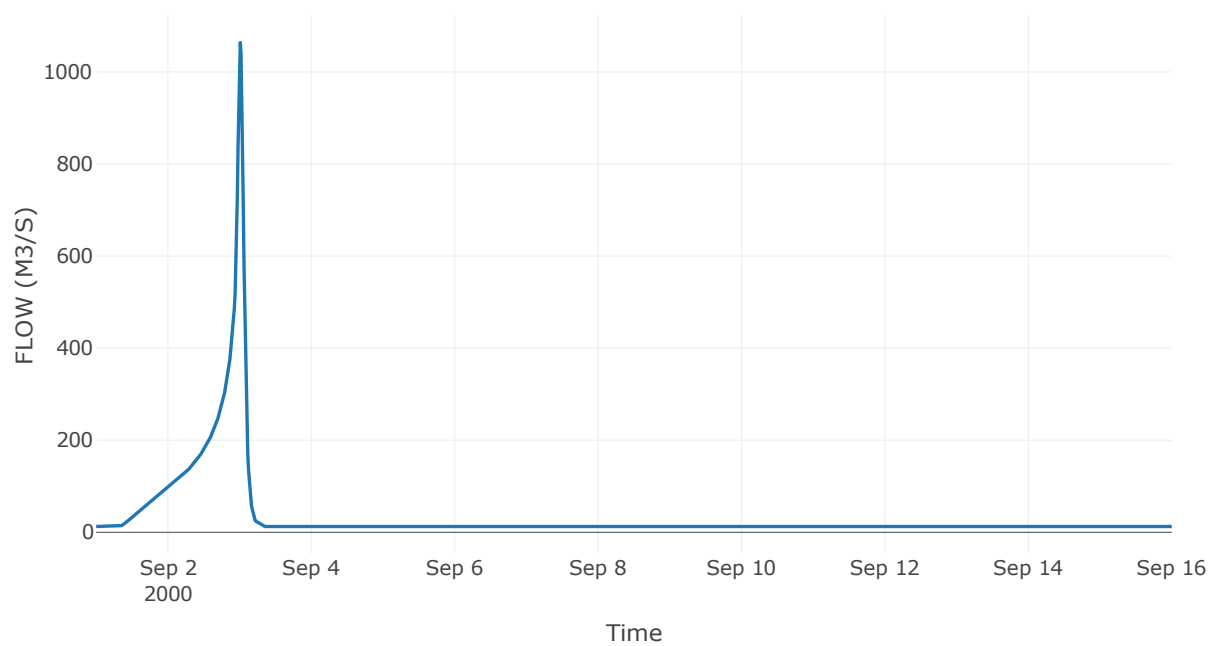
Κόμβος: J24

Κατάντη : R2423

Αποτελέσματα: J24

Παροχή Αιχμής (M3/S)	1063.95
Χρονική στιγμή αιχμής	03Sep2000, 00:15
Όγκος (MM)	357.43

Απορροή



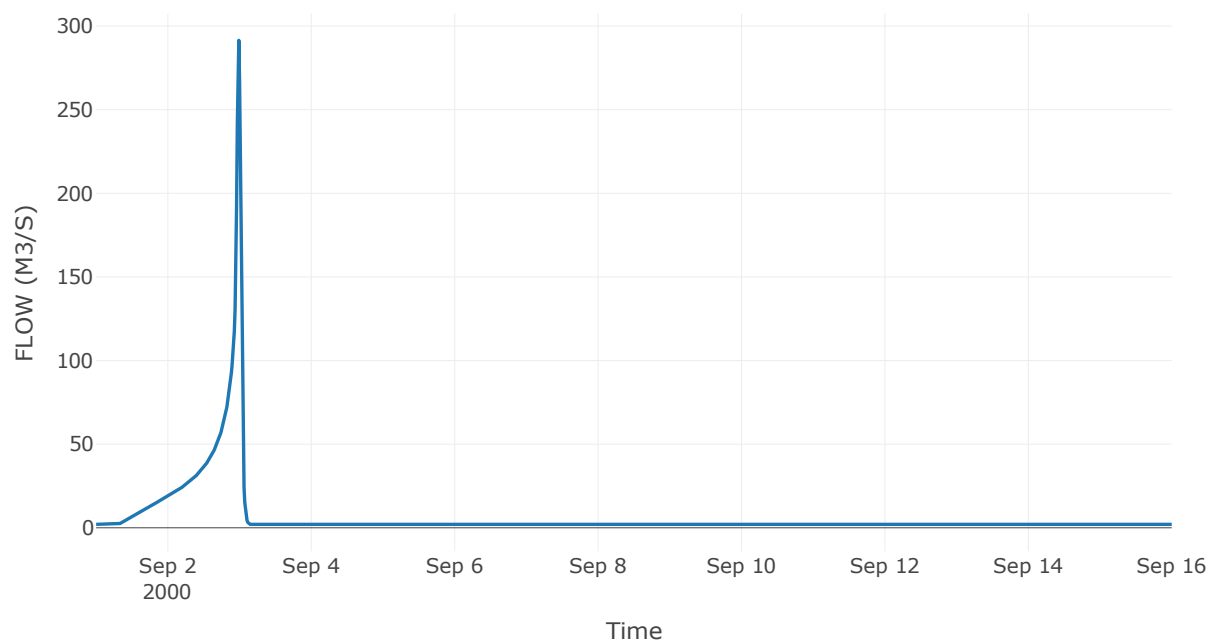
Κόμβος: J25

Κατάντη : R257

Αποτελέσματα: J25

Παροχή Αιχμής (M3/S)	291.45
Χρονική στιγμή αιχμής	02Sep2000, 23:45
Όγκος (MM)	409.4

Απορροή



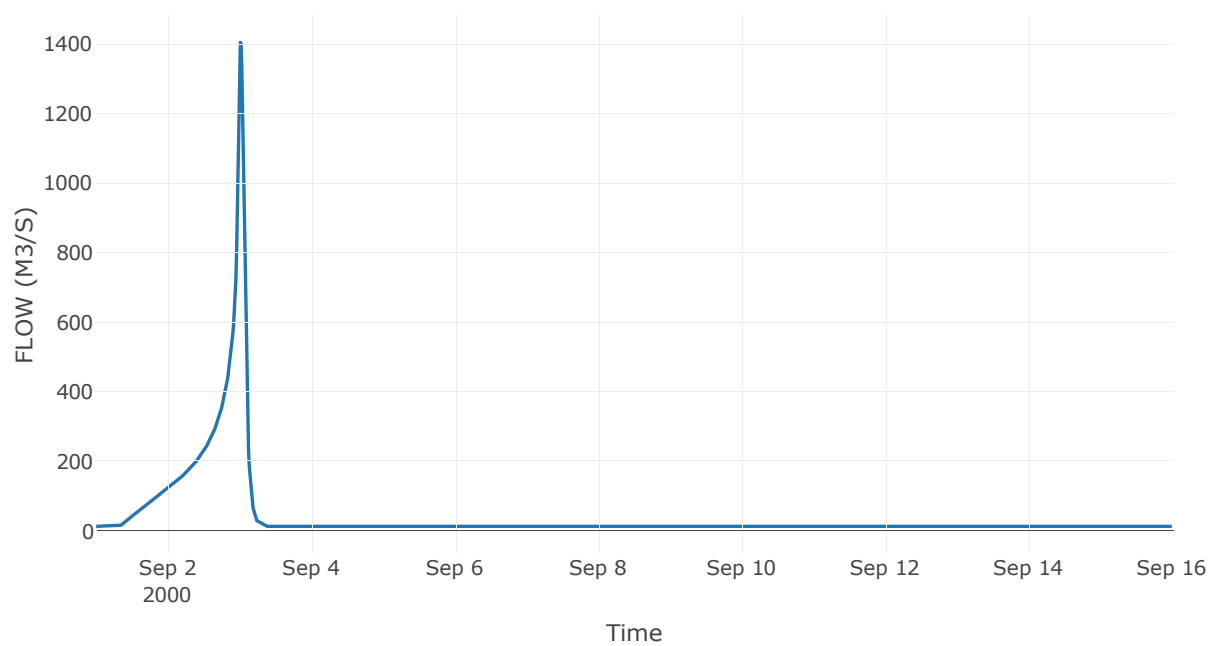
Κόμβος: J26

Κατάντη : R265

Αποτελέσματα: J26

Παροχή Αιχμής (M3/S)	1405.23
Χρονική στιγμή αιχμής	03Sep2000, 00:15
Όγκος (MM)	398.75

Απορροή



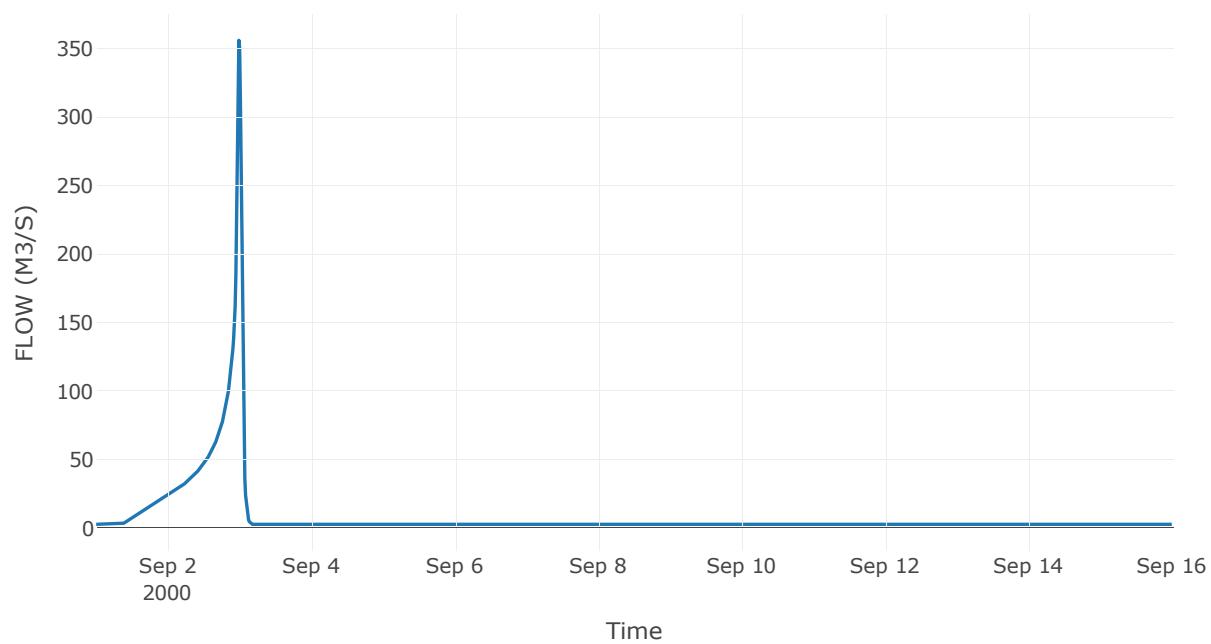
Κόμβος: J27

Κατάντη : R274

Αποτελέσματα: J27

Παροχή Αιχμής (M3/S)	356.1
Χρονική στιγμή αιχμής	02Sep2000, 23:45
Όγκος (MM)	383.49

Απορροή

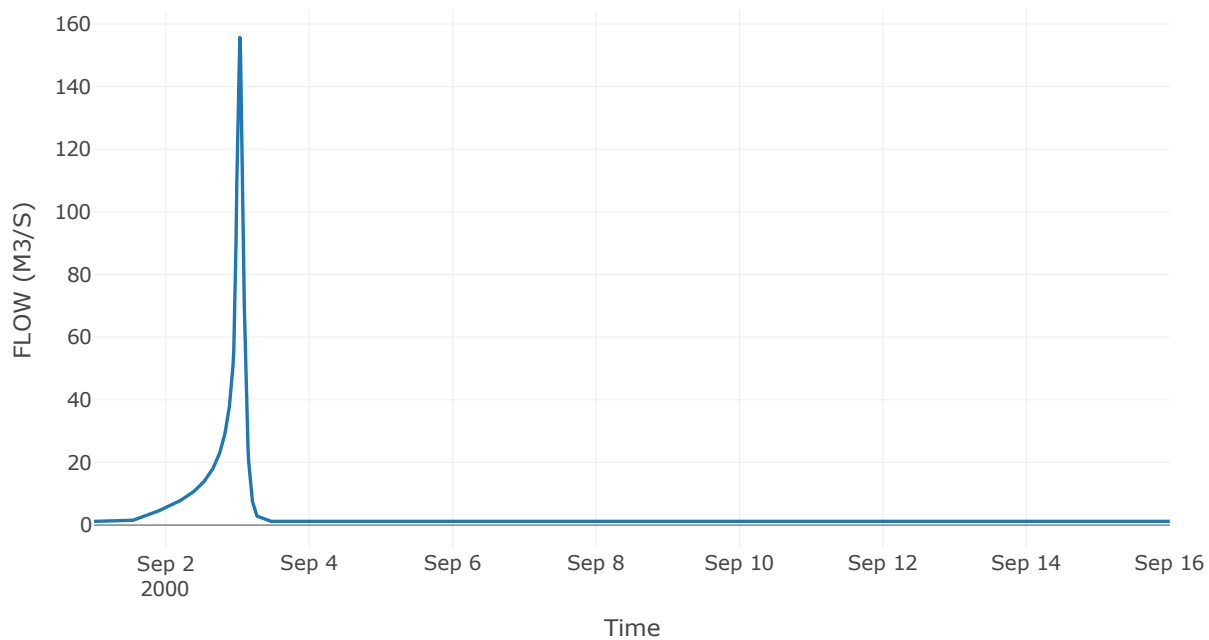


Κόμβος εξόδου: J28

Αποτελέσματ
α: J28

Παροχή αιχμής (M3/S)	155.73
Χρονική στιγμή αιχμής	03Sep2000, 00:45
Όγκος (MM)	386.31

Απορροή



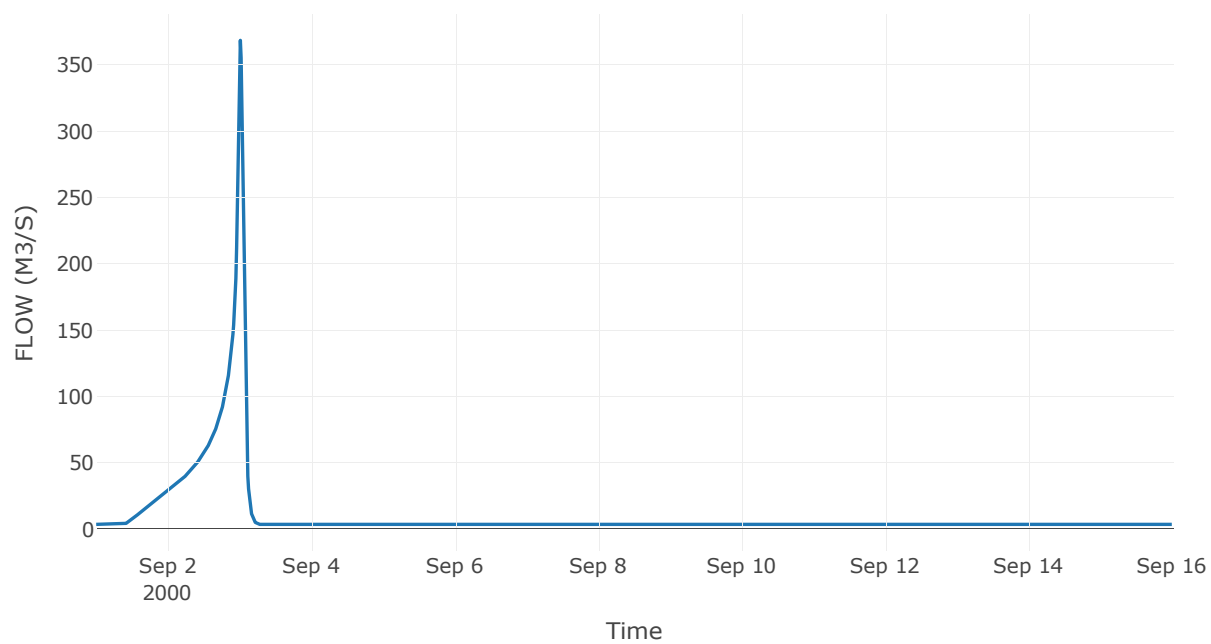
Κόμβος: J29

Κατάντη : R2917

Αποτελέσματα: J29

Παροχή Αιχμής (M3/S)	368.46
Χρονική στιγμή αιχμής	03Sep2000, 00:15
Όγκος (MM)	372.46

Απορροή



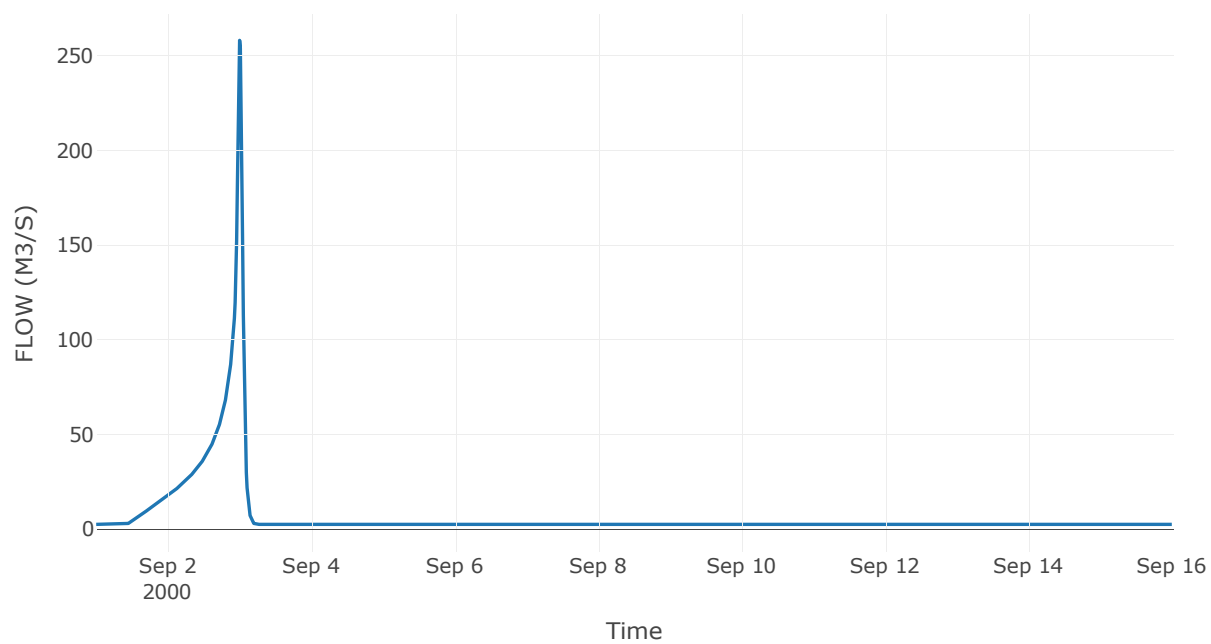
Κόμβος: J30

Κατάντη : R3020

Αποτελέσματα: J30

Παροχή Αιχμής (M3/S)	258.13
Χρονική στιγμή αιχμής	02Sep2000, 24:00
Όγκος (MM)	353.7

Απορροή



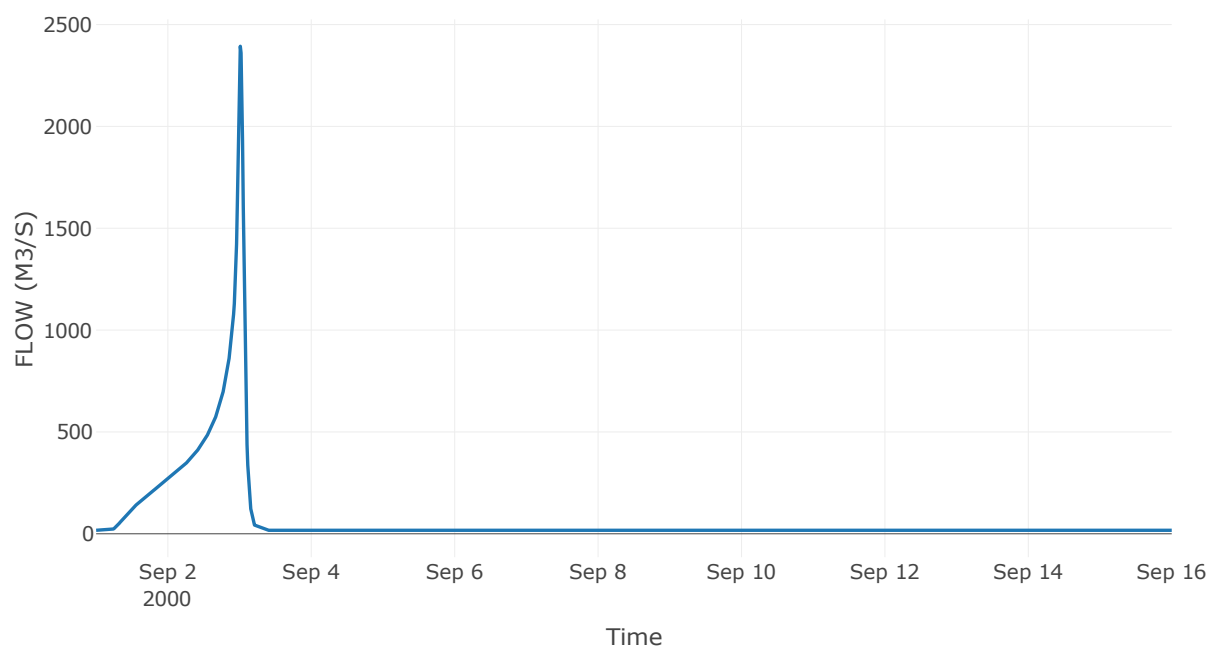
Κόμβος: J31

Κατάντη : R3113

Αποτελέσματα: J31

Παροχή Αιχμής (M3/S)	2393.46
Χρονική στιγμή αιχμής	03Sep2000, 00:15
Όγκος (MM)	549.66

Απορροή



9 Δεδομένα εισόδου και αποτελέσματα υδρολογικού σεναρίου T=1000L

9.1 Αποτελέσματα, υετογραφήματα και υδρογραφήματα σχεδιασμού υπολεκανών

Υπολεκάνη: EL0512FR1001

Έκταση (KM2) : 25.06

Κατάντη : J1

Μέθοδος Απωλειών: SCS

Ποσοστό αδιαπέρατης επιφάνειας	0
Αριθμός Καμπύλης Απορροής-CN	57.44
Αρχικές Απώλειες	37.64

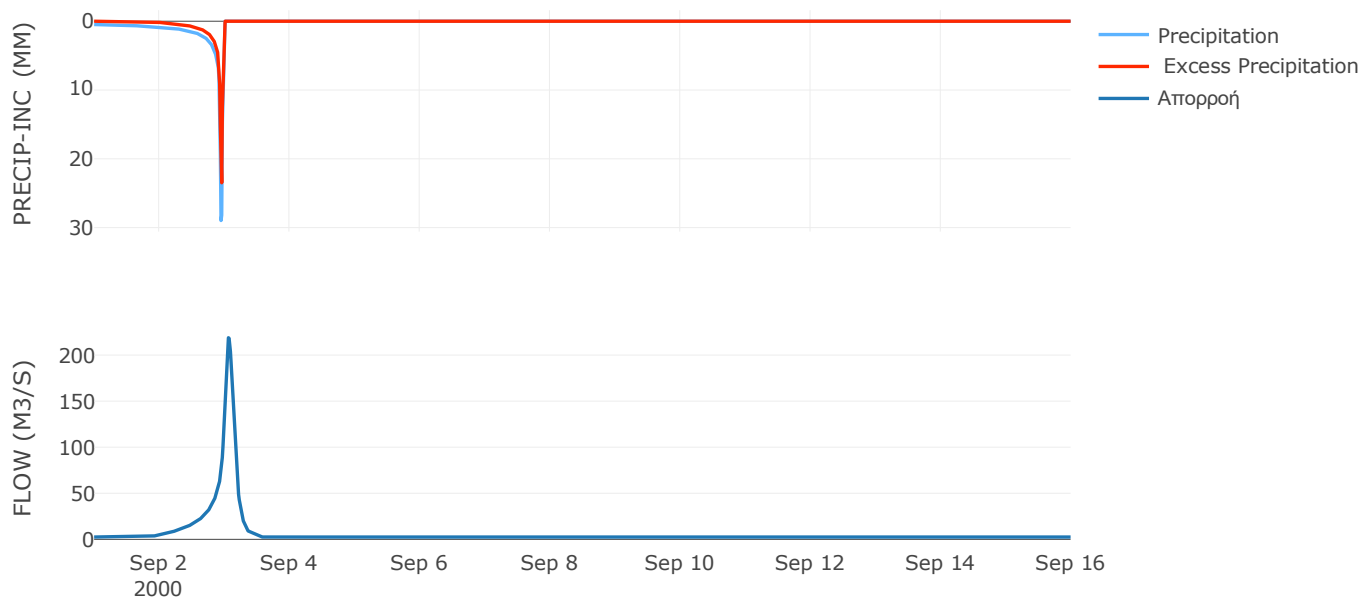
Μέθοδος
Μετασχηματισμού: SCS

Χρόνος Υστέρησης	168.91
------------------	--------

Αποτελέσματα:
EL0512FR1001

Παροχή αιχμής (M3/S)	218.83
Χρονική στιγμή αιχμής	03Sep2000, 01:30
Όγκος (MM)	329.88
Όγκος βροχόπτωσης (M3)	8.93E6
Όγκος απωλειών (M3)	3.91E6
Ενεργός Όγκος (M3)	5.02E6
Όγκος άμεσης απορροής (M3)	5.02E6
Όγκος βασικής απορροής (M3)	3.25E6

Βροχόπτωση και Απορροή



Υπολεκάνη: EL0512FR1002

Έκταση (KM2) : 13.38

Κατάντη : J2

Μέθοδος Απωλειών: SCS

Ποσοστό αδιαπέρατης επιφάνειας	0
Αριθμός Καμπύλης Απορροής-CN	50.48
Αρχικές Απώλειες	49.82

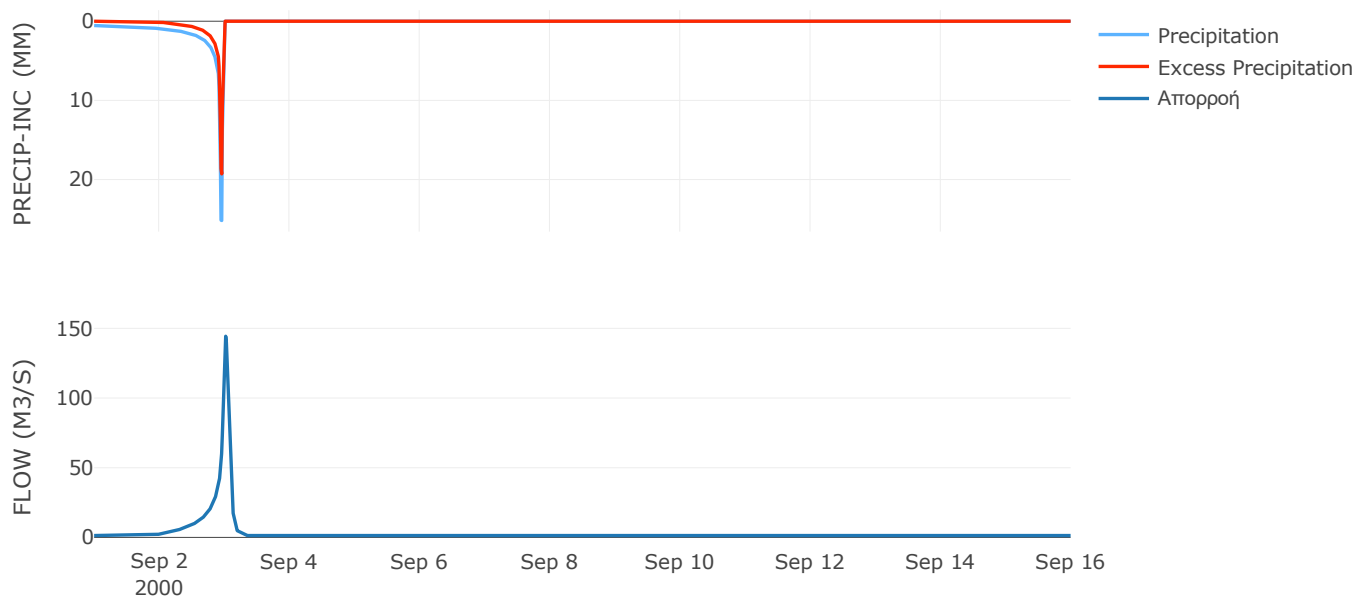
Μέθοδος
Μετασχηματισμού: SCS

Χρόνος Υστέρησης	89.9
------------------	------

Αποτελέσματα:
EL0512FR1002

Παροχή αιχμής (M3/S)	144.35
Χρονική στιγμή αιχμής	03Sep2000, 00:30
Όγκος (MM)	300.76
Όγκος βροχόπτωσης (M3)	4.8E6
Όγκος απωλειών (M3)	2.51E6
Ενεργός Όγκος (M3)	2.29E6
Όγκος άμεσης απορροής (M3)	2.29E6
Όγκος βασικής απορροής (M3)	1.73E6

Βροχόπτωση και Απορροή



Υπολεκάνη: EL0512FR1003

Έκταση (KM2) : 11.79

Κατάντη : J28

Μέθοδος Απωλειών: SCS

Ποσοστό αδιαπέρατης επιφάνειας	0
Αριθμός Καμπύλης Απορροής-CN	49.79
Αρχικές Απώλειες	51.23

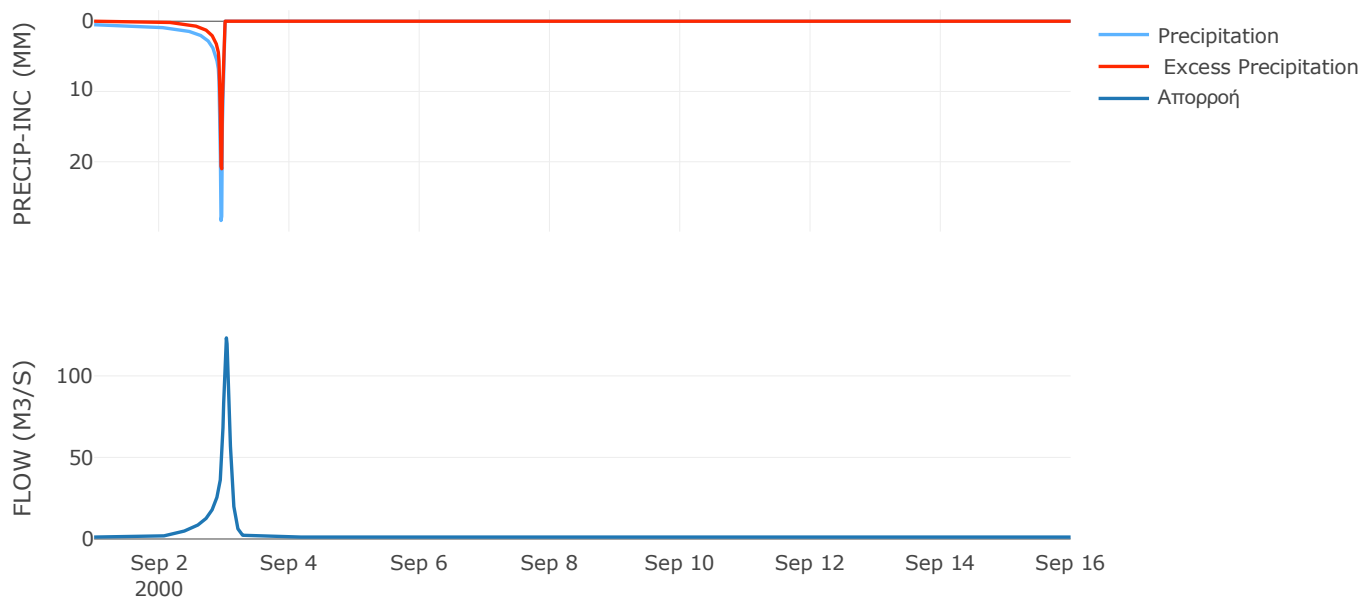
Μέθοδος
Μετασχηματισμού: SCS

Χρόνος Υστέρησης	105.36
------------------	--------

Αποτελέσματα:
EL0512FR1003

Παροχή αιχμής (M3/S)	123.29
Χρονική στιγμή αιχμής	03Sep2000, 00:45
Όγκος (MM)	298.25
Όγκος βροχόπτωσης (M3)	4.24E6
Όγκος απωλειών (M3)	2.25E6
Ενεργός Όγκος (M3)	1.99E6
Όγκος άμεσης απορροής (M3)	1.99E6
Όγκος βασικής απορροής (M3)	1.53E6

Βροχόπτωση και Απορροή



Υπολεκάνη: EL0512FR1004

Έκταση (KM2) : 17.07

Κατάντη : J4

Μέθοδος Απωλειών: SCS

Ποσοστό αδιαπέρατης επιφάνειας	0
Αριθμός Καμπύλης Απορροής-CN	45.84
Αρχικές Απώλειες	60.02

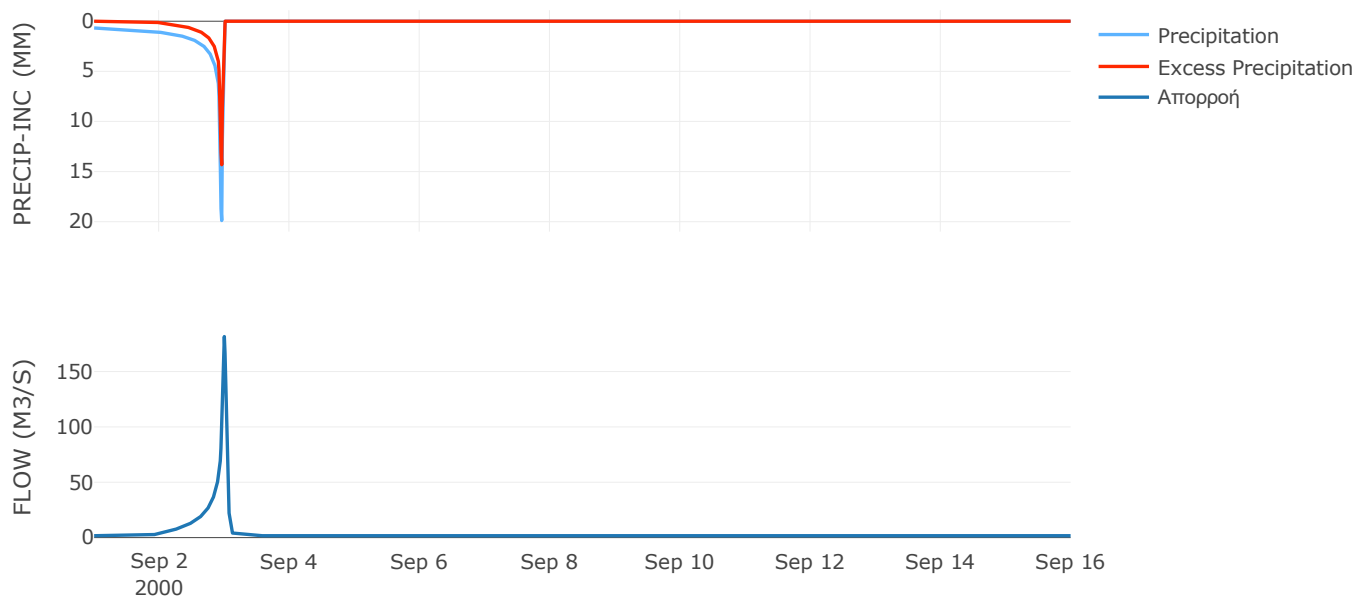
Μέθοδος
Μετασχηματισμού: SCS

Χρόνος Υστέρησης	50.69
------------------	-------

Αποτελέσματα:
EL0512FR1004

Παροχή αιχμής (M3/S)	181.62
Χρονική στιγμή αιχμής	02Sep2000, 24:00
Όγκος (MM)	282.7
Όγκος βροχόπτωσης (M3)	6.21E6
Όγκος απωλειών (M3)	3.6E6
Ενεργός Όγκος (M3)	2.61E6
Όγκος άμεσης απορροής (M3)	2.61E6
Όγκος βασικής απορροής (M3)	2.21E6

Βροχόπτωση και Απορροή



Υπολεκάνη: EL0512FR1005

Έκταση (KM2) : 3.17

Κατάντη : J4

Μέθοδος Απωλειών: SCS

Ποσοστό αδιαπέρατης επιφάνειας	0
Αριθμός Καμπύλης Απορροής-CN	43.1
Αρχικές Απώλειες	67.07

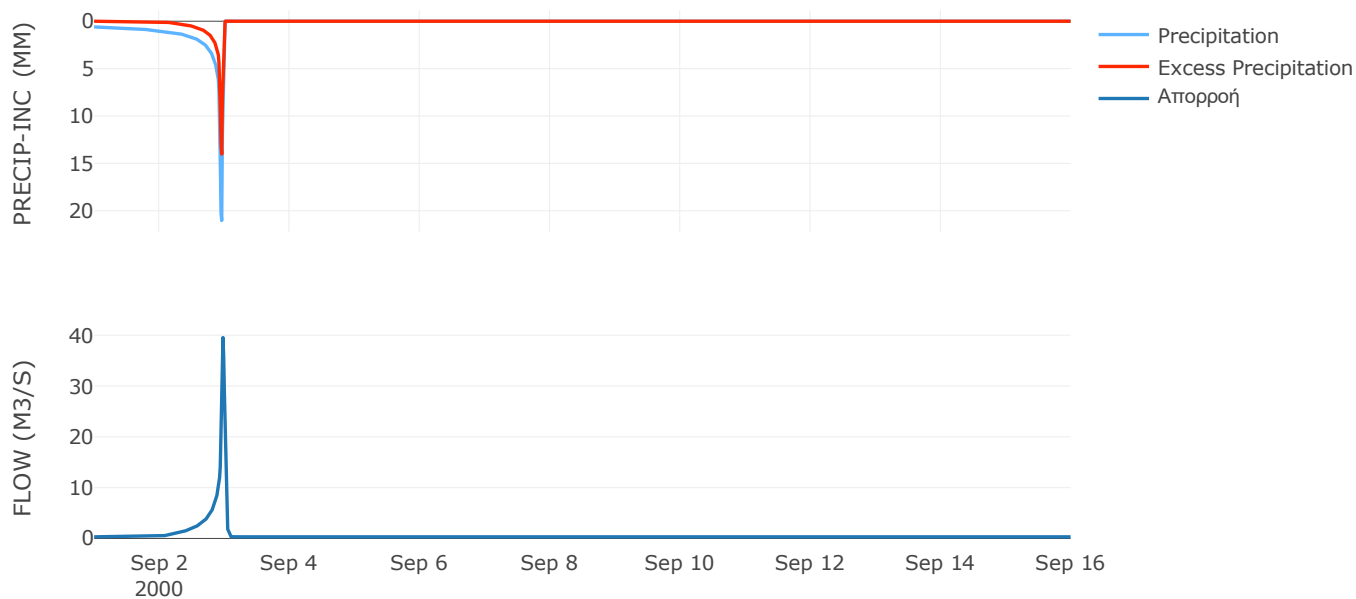
Μέθοδος
Μετασχηματισμού: SCS

Χρόνος Υστέρησης	27.04
------------------	-------

Αποτελέσματα:
EL0512FR1005

Παροχή αιχμής (M3/S)	39.54
Χρονική στιγμή αιχμής	02Sep2000, 23:30
Όγκος (MM)	259.34
Όγκος βροχόπτωσης (M3)	1.11E6
Όγκος απωλειών (M3)	7E5
Ενεργός Όγκος (M3)	4.11E5
Όγκος άμεσης απορροής (M3)	4.11E5
Όγκος βασικής απορροής (M3)	4.11E5

Βροχόπτωση και Απορροή



Υπολεκάνη: EL0512FR1006

Έκταση (KM2) : 18.76

Κατάντη : J5

Μέθοδος Απωλειών: SCS

Ποσοστό αδιαπέρατης επιφάνειας	0
Αριθμός Καμπύλης Απορροής-CN	45.67
Αρχικές Απώλειες	60.44

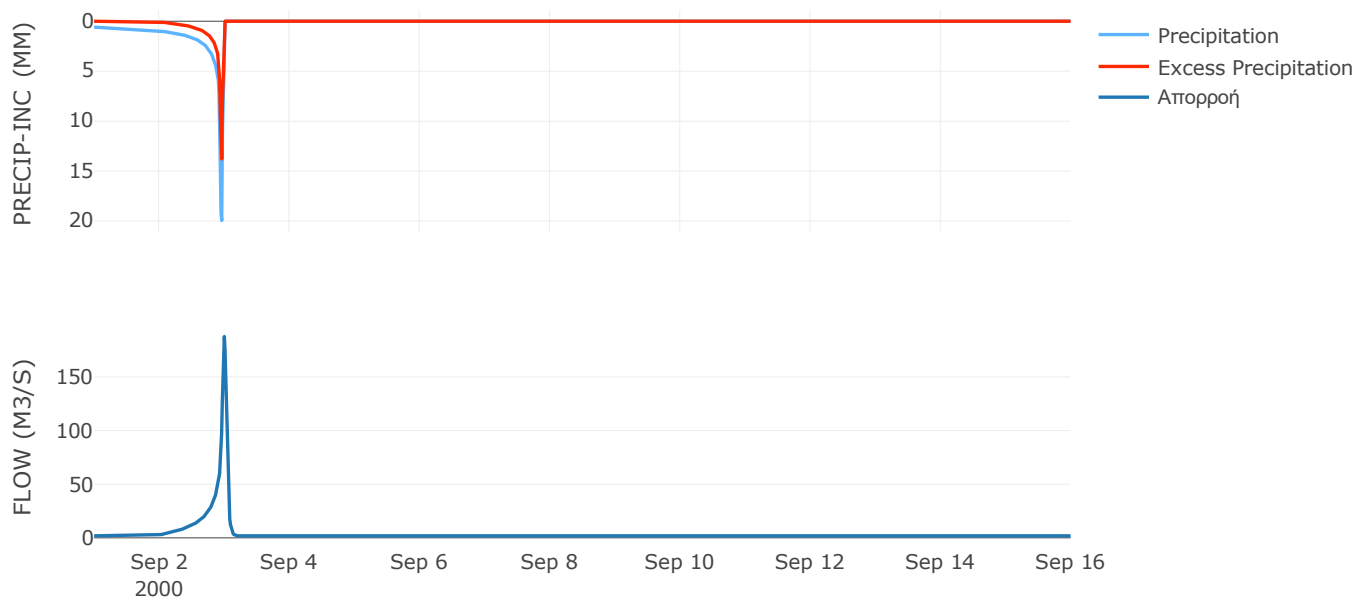
Μέθοδος
Μετασχηματισμού: SCS

Χρόνος Υστέρησης	52.97
------------------	-------

Αποτελέσματα:
EL0512FR1006

Παροχή αιχμής (M3/S)	187.58
Χρονική στιγμή αιχμής	02Sep2000, 24:00
Όγκος (MM)	262.4
Όγκος βροχόπτωσης (M3)	6.34E6
Όγκος απωλειών (M3)	3.85E6
Ενεργός Όγκος (M3)	2.49E6
Όγκος άμεσης απορροής (M3)	2.49E6
Όγκος βασικής απορροής (M3)	2.43E6

Βροχόπτωση και Απορροή



Υπολεκάνη: EL0512FR1007

Έκταση (KM2) : 22.72

Κατάντη : J5

Μέθοδος Απωλειών: SCS

Ποσοστό αδιαπέρατης επιφάνειας	0
Αριθμός Καμπύλης Απορροής-CN	46.5
Αρχικές Απώλειες	58.45

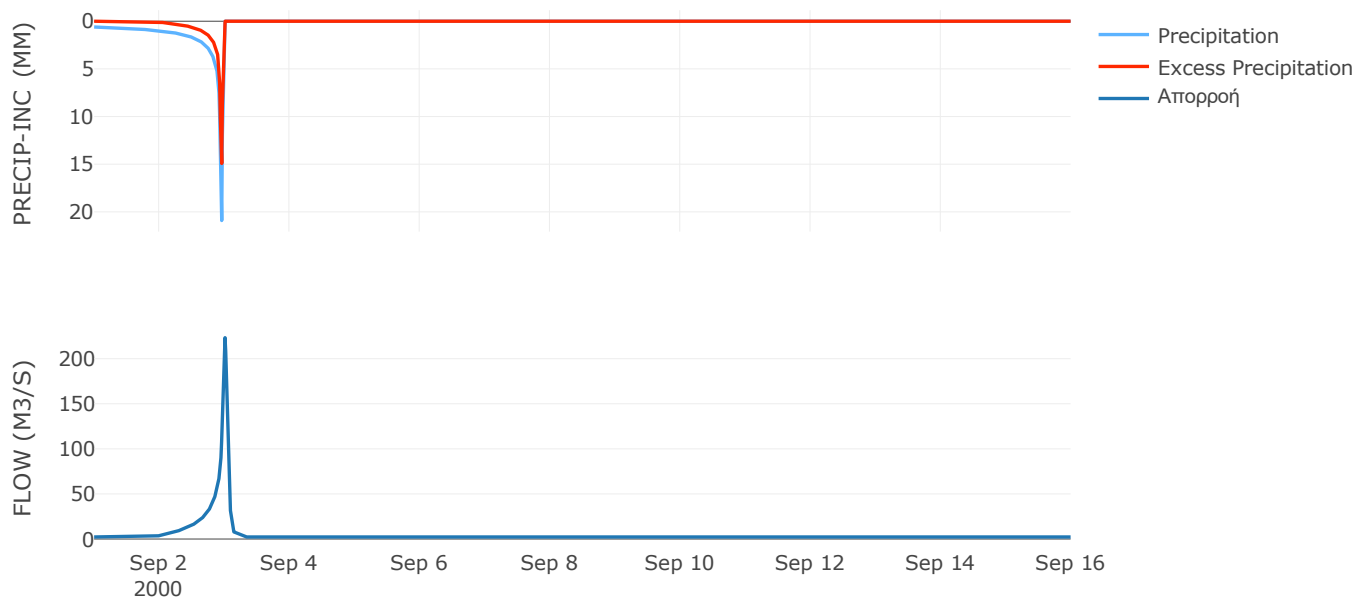
Μέθοδος
Μετασχηματισμού: SCS

Χρόνος Υστέρησης	67.16
------------------	-------

Αποτελέσματα:
EL0512FR1007

Παροχή αιχμής (M3/S)	223.32
Χρονική στιγμή αιχμής	03Sep2000, 00:15
Όγκος (MM)	275.28
Όγκος βροχόπτωσης (M3)	7.95E6
Όγκος απωλειών (M3)	4.64E6
Ενεργός Όγκος (M3)	3.31E6
Όγκος άμεσης απορροής (M3)	3.31E6
Όγκος βασικής απορροής (M3)	2.94E6

Βροχόπτωση και Απορροή



Υπολεκάνη: EL0512FR1008

Έκταση (KM2) : 12.83

Κατάντη : J6

Μέθοδος Απωλειών: SCS

Ποσοστό αδιαπέρατης επιφάνειας	0
Αριθμός Καμπύλης Απορροής-CN	50.95
Αρχικές Απώλειες	48.91

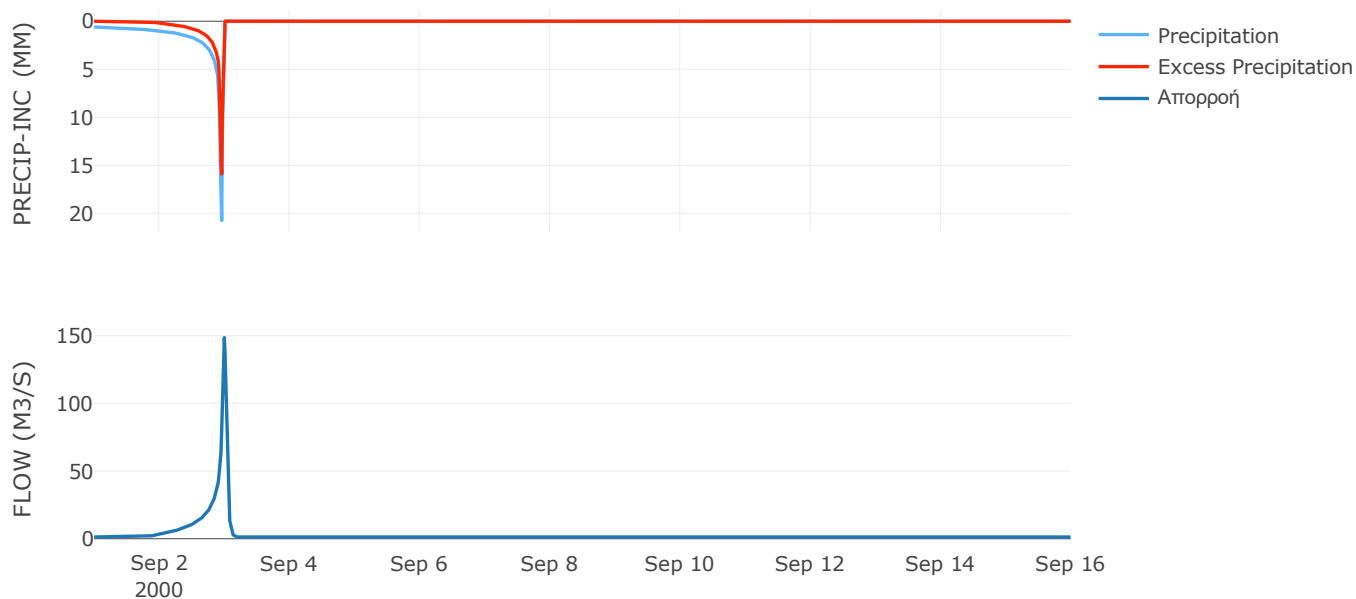
Μέθοδος
Μετασχηματισμού: SCS

Χρόνος Υστέρησης	52.35
------------------	-------

Αποτελέσματα:
EL0512FR1008

Παροχή αιχμής (M3/S)	148.54
Χρονική στιγμή αιχμής	02Sep2000, 24:00
Όγκος (MM)	293.26
Όγκος βροχόπτωσης (M3)	4.45E6
Όγκος απωλειών (M3)	2.35E6
Ενεργός Όγκος (M3)	2.1E6
Όγκος άμεσης απορροής (M3)	2.1E6
Όγκος βασικής απορροής (M3)	1.66E6

Βροχόπτωση και Απορροή



Υπολεκάνη: EL0512FR1009

Έκταση (KM2) : 9.15

Κατάντη : J7

Μέθοδος Απωλειών: SCS

Ποσοστό αδιαπέρατης επιφάνειας	0
Αριθμός Καμπύλης Απορροής-CN	51.17
Αρχικές Απώλειες	48.48

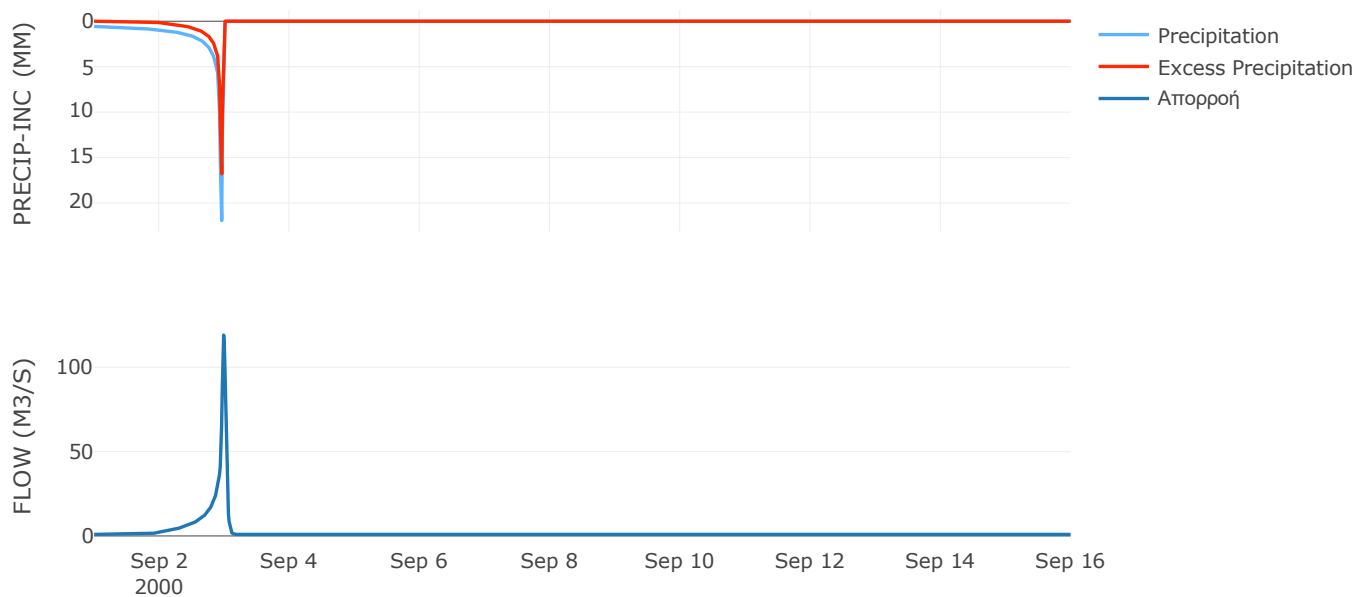
Μέθοδος
Μετασχηματισμού: SCS

Χρόνος Υστέρησης	43.61
------------------	-------

Αποτελέσματα:
EL0512FR1009

Παροχή αιχμής (M3/S)	119.09
Χρονική στιγμή αιχμής	02Sep2000, 23:45
Όγκος (MM)	293.63
Όγκος βροχόπτωσης (M3)	3.17E6
Όγκος απωλειών (M3)	1.67E6
Ενεργός Όγκος (M3)	1.5E6
Όγκος άμεσης απορροής (M3)	1.5E6
Όγκος βασικής απορροής (M3)	1.19E6

Βροχόπτωση και Απορροή



Υπολεκάνη: EL0512FR1010

Έκταση (KM2) : 37.24

Κατάντη : J7

Μέθοδος Απωλειών: SCS

Ποσοστό αδιαπέρατης επιφάνειας	0
Αριθμός Καμπύλης Απορροής-CN	58.79
Αρχικές Απώλειες	35.61

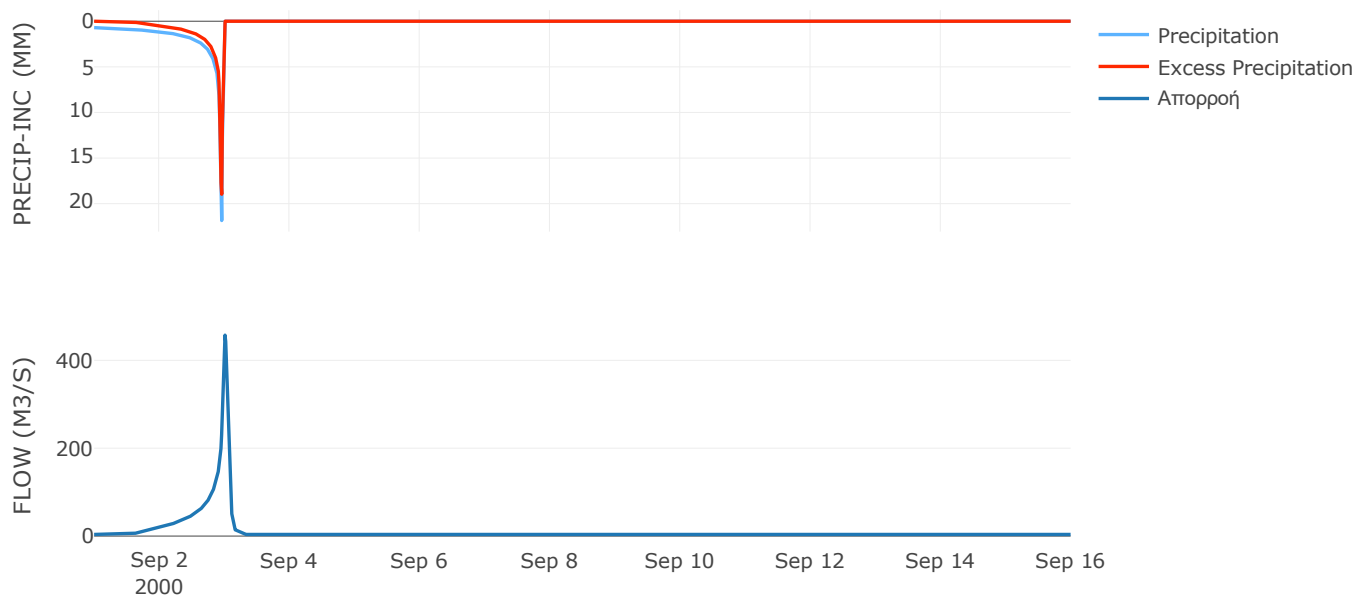
Μέθοδος
Μετασχηματισμού: SCS

Χρόνος Υστέρησης	75.38
------------------	-------

Αποτελέσματα:
EL0512FR1010

Παροχή αιχμής (M3/S)	457.4
Χρονική στιγμή αιχμής	03Sep2000, 00:15
Όγκος (MM)	363.9
Όγκος βροχόπτωσης (M3)	1.45E7
Όγκος απωλειών (M3)	5.73E6
Ενεργός Όγκος (M3)	8.73E6
Όγκος άμεσης απορροής (M3)	8.73E6
Όγκος βασικής απορροής (M3)	4.83E6

Βροχόπτωση και Απορροή



Υπολεκάνη: EL0512FR1011

Έκταση (KM2) : 16.64

Κατάντη : J8

Μέθοδος Απωλειών: SCS

Ποσοστό αδιαπέρατης επιφάνειας	0
Αριθμός Καμπύλης Απορροής-CN	44.96
Αρχικές Απώλειες	62.2

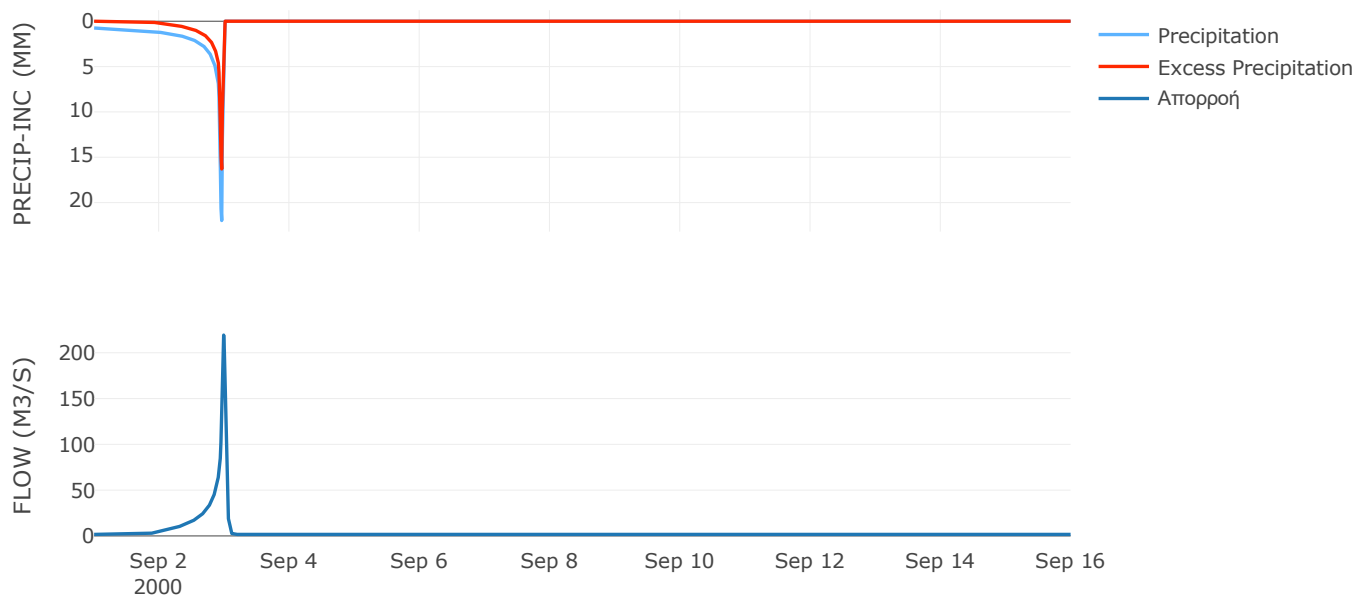
Μέθοδος
Μετασχηματισμού: SCS

Χρόνος Υστέρησης	39.35
------------------	-------

Αποτελέσματα:
EL0512FR1011

Παροχή αιχμής (M3/S)	219.3
Χρονική στιγμή αιχμής	02Sep2000, 23:45
Όγκος (MM)	308.23
Όγκος βροχόπτωσης (M3)	6.72E6
Όγκος απωλειών (M3)	3.74E6
Ενεργός Όγκος (M3)	2.97E6
Όγκος άμεσης απορροής (M3)	2.97E6
Όγκος βασικής απορροής (M3)	2.16E6

Βροχόπτωση και Απορροή



Υπολεκάνη: EL0512FR1012

Έκταση (KM2) : 37.82

Κατάντη : J9

Μέθοδος Απωλειών: SCS

Ποσοστό αδιαπέρατης επιφάνειας	0
Αριθμός Καμπύλης Απορροής-CN	44.19
Αρχικές Απώλειες	64.15

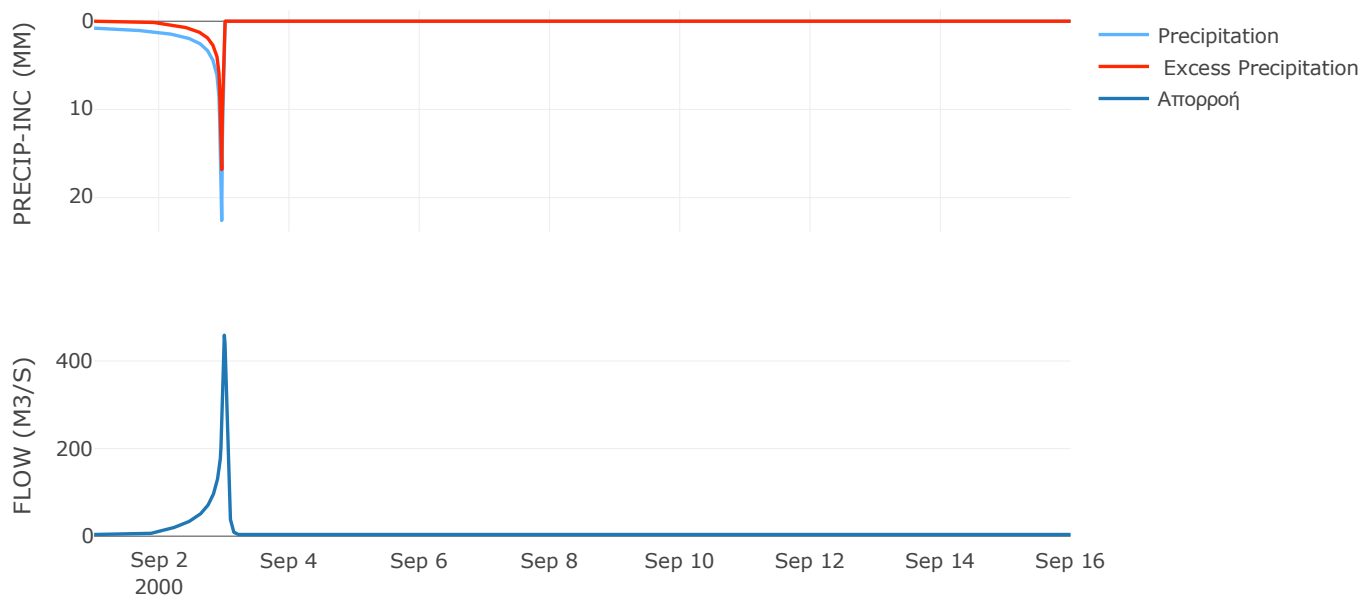
Μέθοδος
Μετασχηματισμού: SCS

Χρόνος Υστέρησης	56.99
------------------	-------

Αποτελέσματα:
EL0512FR1012

Παροχή αιχμής (M3/S)	459.03
Χρονική στιγμή αιχμής	02Sep2000, 24:00
Όγκος (MM)	316.68
Όγκος βροχόπτωσης (M3)	1.59E7
Όγκος απωλειών (M3)	8.81E6
Ενεργός Όγκος (M3)	7.08E6
Όγκος άμεσης απορροής (M3)	7.08E6
Όγκος βασικής απορροής (M3)	4.9E6

Βροχόπτωση και Απορροή



Υπολεκάνη: EL0512FR1013

Έκταση (KM2) : 42.56

Κατάντη : J10

Μέθοδος Απωλειών: SCS

Ποσοστό αδιαπέρατης επιφάνειας	0
Αριθμός Καμπύλης Απορροής-CN	49.87
Αρχικές Απώλειες	51.06

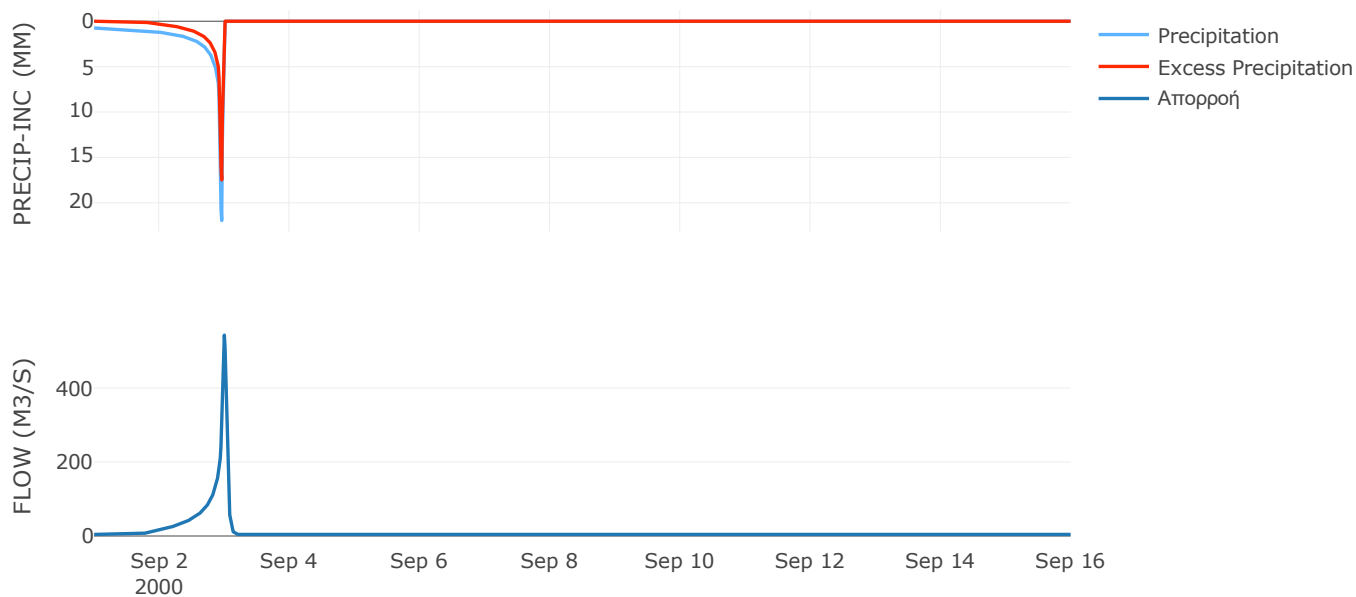
Μέθοδος
Μετασχηματισμού: SCS

Χρόνος Υστέρησης	55.14
------------------	-------

Αποτελέσματα:
EL0512FR1013

Παροχή αιχμής (M3/S)	543.18
Χρονική στιγμή αιχμής	02Sep2000, 24:00
Όγκος (MM)	332.6
Όγκος βροχόπτωσης (M3)	1.71E7
Όγκος απωλειών (M3)	8.46E6
Ενεργός Όγκος (M3)	8.64E6
Όγκος άμεσης απορροής (M3)	8.64E6
Όγκος βασικής απορροής (M3)	5.52E6

Βροχόπτωση και Απορροή



Υπολεκάνη: EL0512FR1014

Έκταση (KM2) : 20.41

Κατάντη : J25

Μέθοδος Απωλειών: SCS

Ποσοστό αδιαπέρατης επιφάνειας	0
Αριθμός Καμπύλης Απορροής-CN	48.5
Αρχικές Απώλειες	53.95

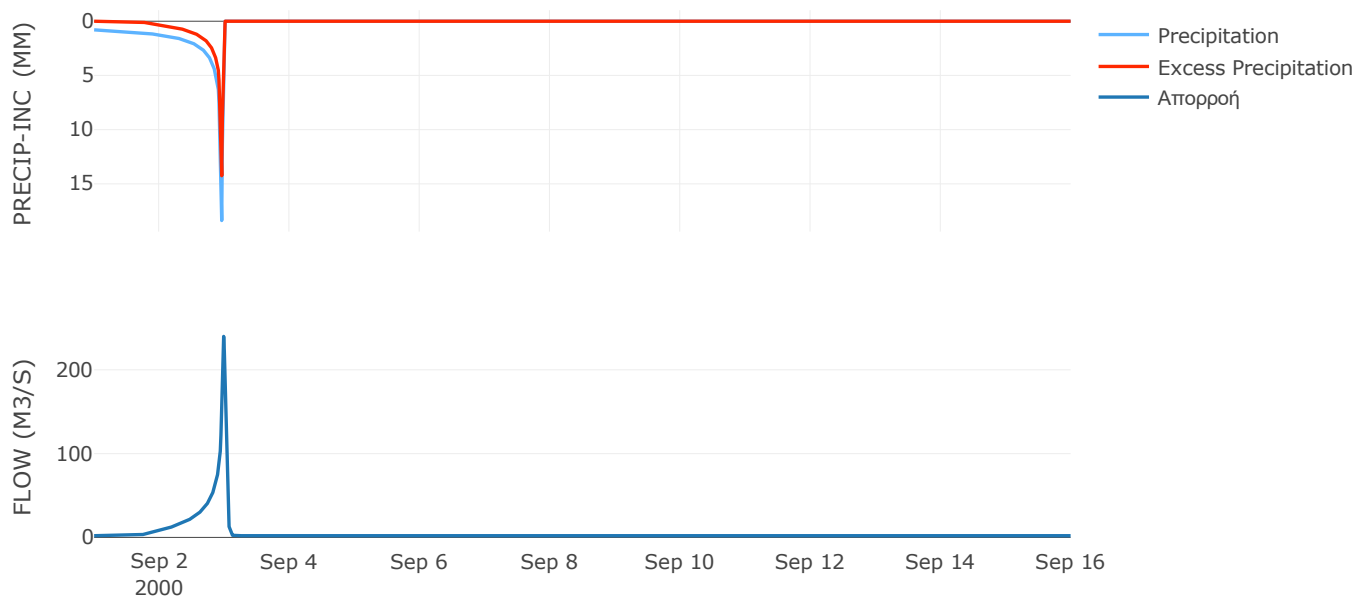
Μέθοδος
Μετασχηματισμού: SCS

Χρόνος Υστέρησης	38.83
------------------	-------

Αποτελέσματα:
EL0512FR1014

Παροχή αιχμής (M3/S)	239.88
Χρονική στιγμή αιχμής	02Sep2000, 23:45
Όγκος (MM)	315.21
Όγκος βροχόπτωσης (M3)	7.94E6
Όγκος απωλειών (M3)	4.15E6
Ενεργός Όγκος (M3)	3.79E6
Όγκος άμεσης απορροής (M3)	3.79E6
Όγκος βασικής απορροής (M3)	2.65E6

Βροχόπτωση και Απορροή



Υπολεκάνη: EL0512FR1015

Έκταση (KM2) : 55.38

Κατάντη : J26

Μέθοδος Απωλειών: SCS

Ποσοστό αδιαπέρατης επιφάνειας	0
Αριθμός Καμπύλης Απορροής-CN	48.04
Αρχικές Απώλειες	54.95

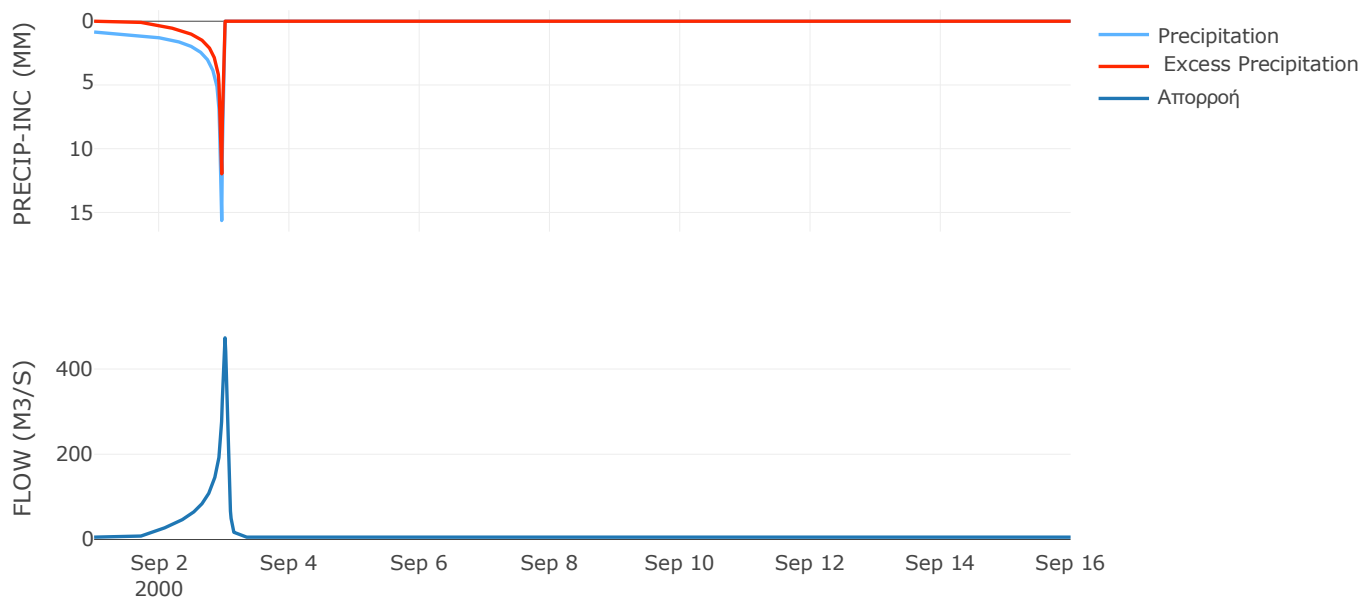
Μέθοδος
Μετασχηματισμού: SCS

Χρόνος Υστέρησης	66.21
------------------	-------

Αποτελέσματα:
EL0512FR1015

Παροχή αιχμής (M3/S)	473.19
Χρονική στιγμή αιχμής	03Sep2000, 00:15
Όγκος (MM)	305.57
Όγκος βροχόπτωσης (M3)	2.1E7
Όγκος απωλειών (M3)	1.13E7
Ενεργός Όγκος (M3)	9.75E6
Όγκος άμεσης απορροής (M3)	9.75E6
Όγκος βασικής απορροής (M3)	7.18E6

Βροχόπτωση και Απορροή



Υπολεκάνη: EL0512FR1016

Έκταση (KM2) : 87.24

Κατάντη : J26

Μέθοδος Απωλειών: SCS

Ποσοστό αδιαπέρατης επιφάνειας	0
Αριθμός Καμπύλης Απορροής-CN	53.27
Αρχικές Απώλειες	44.57

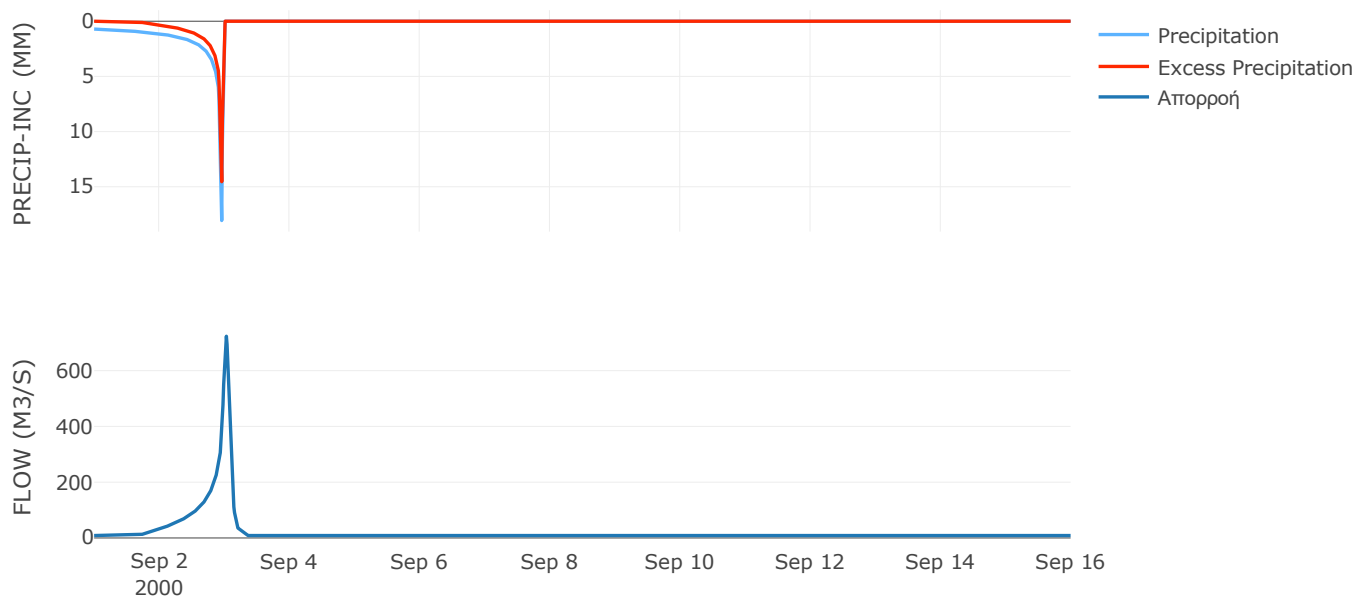
Μέθοδος
Μετασχηματισμού: SCS

Χρόνος Υστέρησης	103.15
------------------	--------

Αποτελέσματα:
EL0512FR1016

Παροχή αιχμής (M3/S)	723.51
Χρονική στιγμή αιχμής	03Sep2000, 00:45
Όγκος (MM)	315.4
Όγκος βροχόπτωσης (M3)	3.15E7
Όγκος απωλειών (M3)	1.53E7
Ενεργός Όγκος (M3)	1.62E7
Όγκος άμεσης απορροής (M3)	1.62E7
Όγκος βασικής απορροής (M3)	1.13E7

Βροχόπτωση και Απορροή



Υπολεκάνη: EL0512FR1017

Έκταση (KM2) : 29.09

Κατάντη : J27

Μέθοδος Απωλειών: SCS

Ποσοστό αδιαπέρατης επιφάνειας	0
Αριθμός Καμπύλης Απορροής-CN	45.45
Αρχικές Απώλειες	60.97

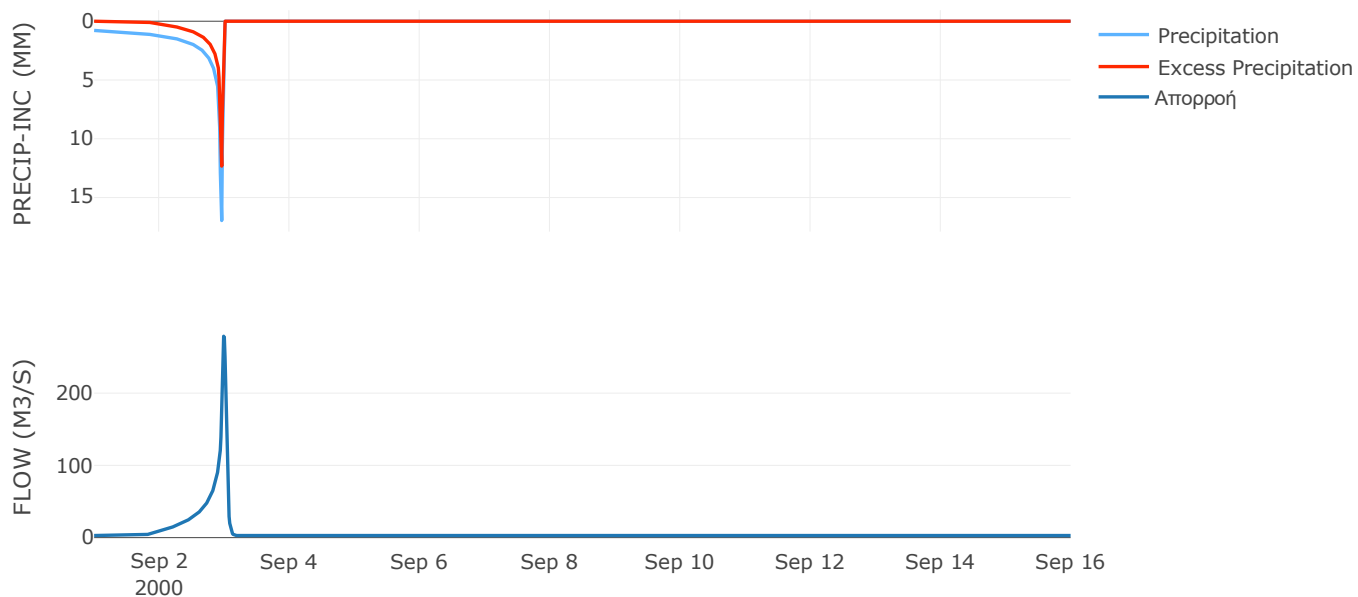
Μέθοδος
Μετασχηματισμού: SCS

Χρόνος Υστέρησης	47.67
------------------	-------

Αποτελέσματα:
EL0512FR1017

Παροχή αιχμής (M3/S)	278.77
Χρονική στιγμή αιχμής	02Sep2000, 23:45
Όγκος (MM)	287.47
Όγκος βροχόπτωσης (M3)	1.09E7
Όγκος απωλειών (M3)	6.26E6
Ενεργός Όγκος (M3)	4.59E6
Όγκος άμεσης απορροής (M3)	4.59E6
Όγκος βασικής απορροής (M3)	3.77E6

Βροχόπτωση και Απορροή



Υπολεκάνη: EL0512FR1018

Έκταση (KM2) : 36.97

Κατάντη : J24

Μέθοδος Απωλειών: SCS

Ποσοστό αδιαπέρατης επιφάνειας	0
Αριθμός Καμπύλης Απορροής-CN	52.18
Αρχικές Απώλειες	46.56

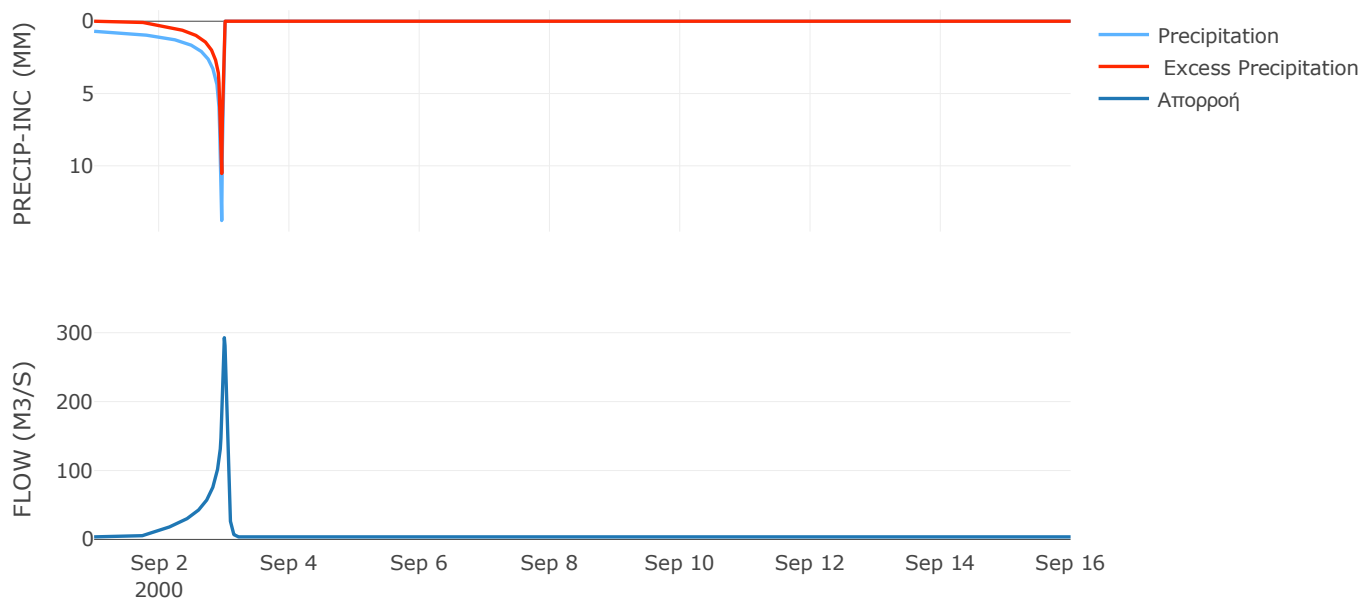
Μέθοδος
Μετασχηματισμού: SCS

Χρόνος Υστέρησης	57.15
------------------	-------

Αποτελέσματα:
EL0512FR1018

Παροχή αιχμής (M3/S)	292.76
Χρονική στιγμή αιχμής	02Sep2000, 24:00
Όγκος (MM)	278.04
Όγκος βροχόπτωσης (M3)	1.19E7
Όγκος απωλειών (M3)	6.38E6
Ενεργός Όγκος (M3)	5.49E6
Όγκος άμεσης απορροής (M3)	5.49E6
Όγκος βασικής απορροής (M3)	4.79E6

Βροχόπτωση και Απορροή



Υπολεκάνη: EL0512FR1019

Έκταση (KM2) : 88.25

Κατάντη : J24

Μέθοδος Απωλειών: SCS

Ποσοστό αδιαπέρατης επιφάνειας	0
Αριθμός Καμπύλης Απορροής-CN	50.78
Αρχικές Απώλειες	49.24

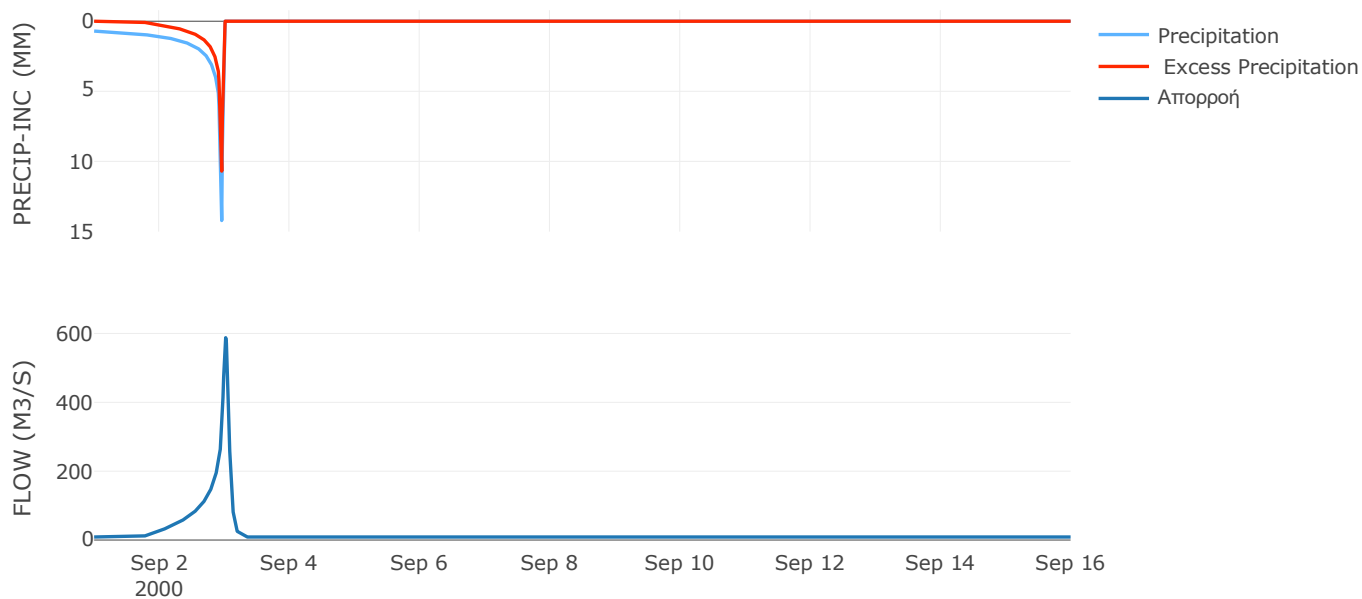
Μέθοδος
Μετασχηματισμού: SCS

Χρόνος Υστέρησης	92.42
------------------	-------

Αποτελέσματα:
EL0512FR1019

Παροχή αιχμής (M3/S)	587.8
Χρονική στιγμή αιχμής	03Sep2000, 00:30
Όγκος (MM)	275.96
Όγκος βροχόπτωσης (M3)	2.88E7
Όγκος απωλειών (M3)	1.58E7
Ενεργός Όγκος (M3)	1.29E7
Όγκος άμεσης απορροής (M3)	1.29E7
Όγκος βασικής απορροής (M3)	1.14E7

Βροχόπτωση και Απορροή



Υπολεκάνη: EL0512FR1020

Έκταση (KM2) : 29.81

Κατάντη : J23

Μέθοδος Απωλειών: SCS

Ποσοστό αδιαπέρατης επιφάνειας	0
Αριθμός Καμπύλης Απορροής-CN	49.24
Αρχικές Απώλειες	52.37

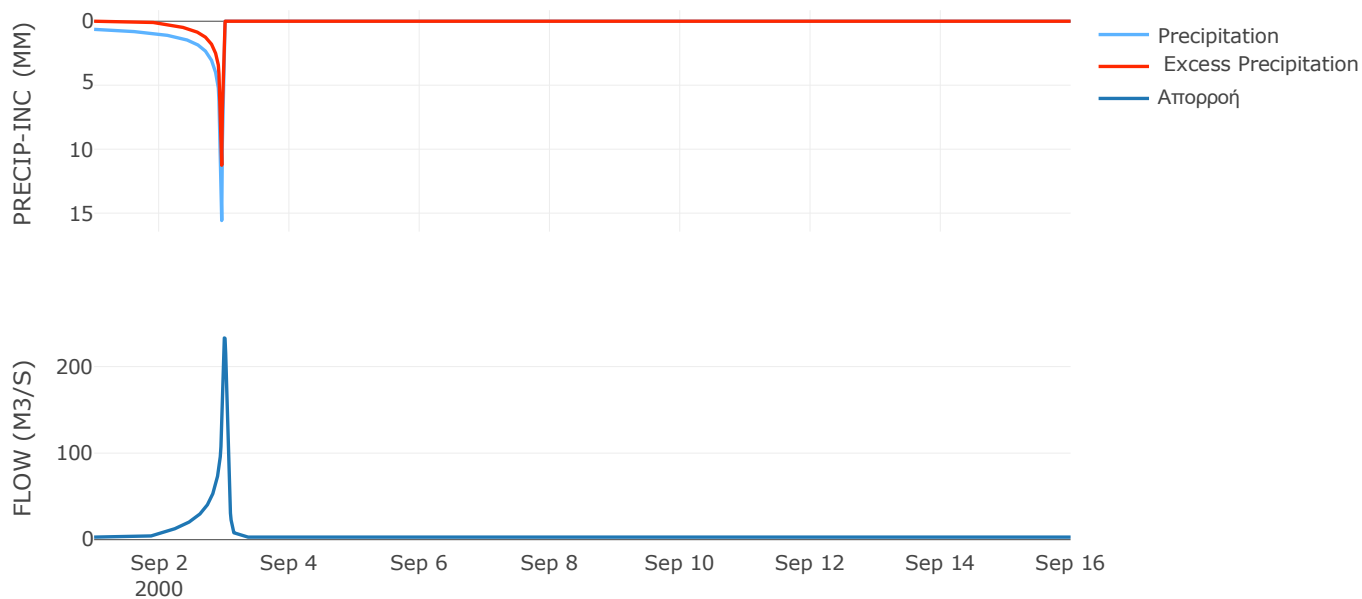
Μέθοδος
Μετασχηματισμού: SCS

Χρόνος Υστέρησης	64.79
------------------	-------

Αποτελέσματα:
EL0512FR1020

Παροχή αιχμής (M3/S)	233.11
Χρονική στιγμή αιχμής	02Sep2000, 24:00
Όγκος (MM)	263.23
Όγκος βροχόπτωσης (M3)	9.48E6
Όγκος απωλειών (M3)	5.49E6
Ενεργός Όγκος (M3)	3.98E6
Όγκος άμεσης απορροής (M3)	3.98E6
Όγκος βασικής απορροής (M3)	3.86E6

Βροχόπτωση και Απορροή



Υπολεκάνη: EL0512FR1021

Έκταση (KM2) : 1.65

Κατάντη : J23

Μέθοδος Απωλειών: SCS

Ποσοστό αδιαπέρατης επιφάνειας	0
Αριθμός Καμπύλης Απορροής-CN	32.43
Αρχικές Απώλειες	105.85

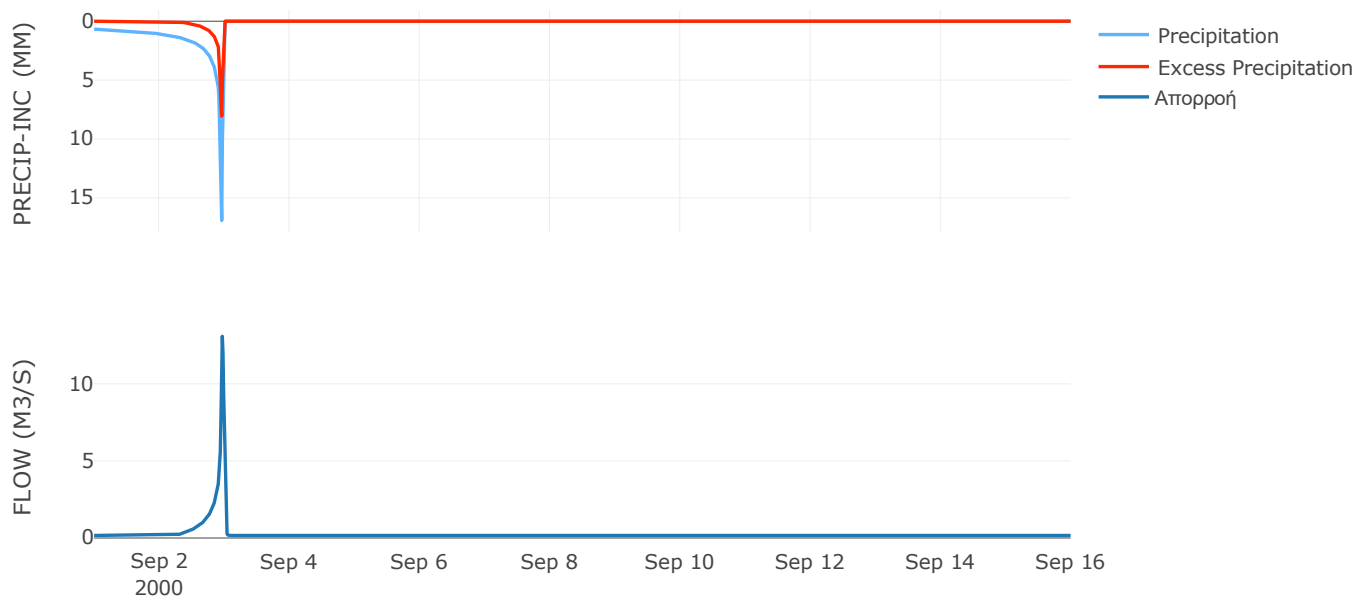
Μέθοδος
Μετασχηματισμού: SCS

Χρόνος Υστέρησης	13.96
------------------	-------

Αποτελέσματα:
EL0512FR1021

Παροχή αιχμής (M3/S)	13.08
Χρονική στιγμή αιχμής	02Sep2000, 23:15
Όγκος (MM)	201.52
Όγκος βροχόπτωσης (M3)	5.61E5
Όγκος απωλειών (M3)	4.42E5
Ενεργός Όγκος (M3)	1.19E5
Όγκος άμεσης απορροής (M3)	1.19E5
Όγκος βασικής απορροής (M3)	2.14E5

Βροχόπτωση και Απορροή



Υπολεκάνη: EL0512FR1024

Έκταση (KM2) : 104.31

Κατάντη : J13

Μέθοδος Απωλειών: SCS

Ποσοστό αδιαπέρατης επιφάνειας	0
Αριθμός Καμπύλης Απορροής-CN	56.86
Αρχικές Απώλειες	38.54

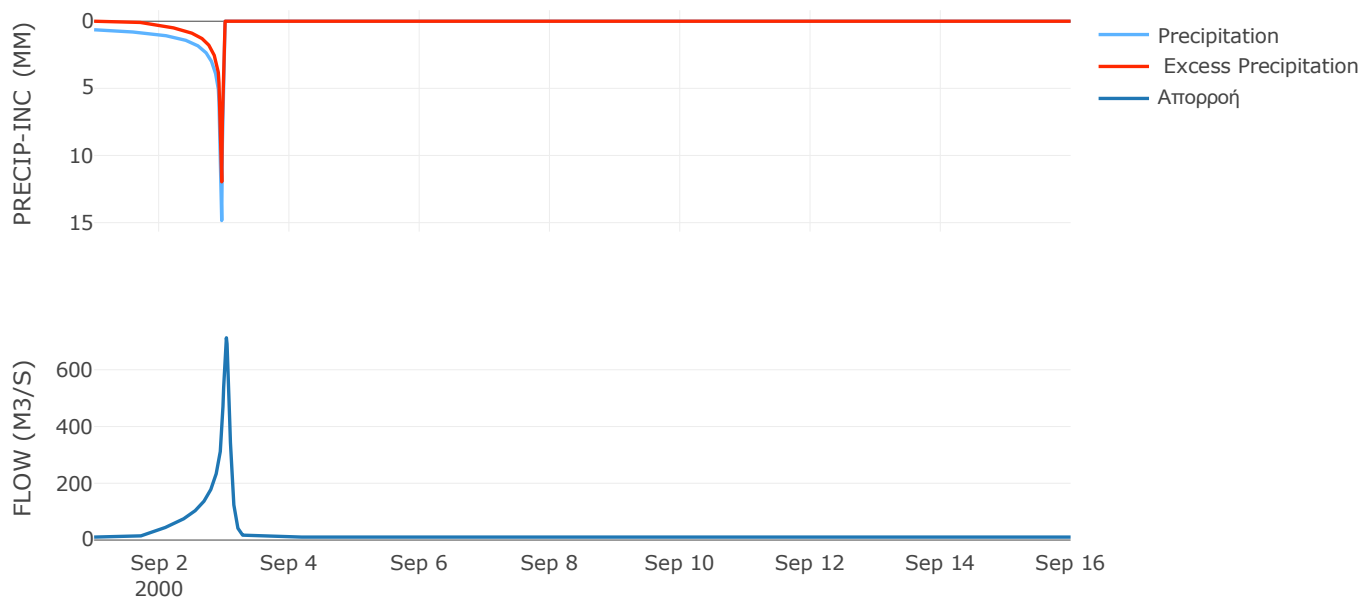
Μέθοδος
Μετασχηματισμού: SCS

Χρόνος Υστέρησης	106.94
------------------	--------

Αποτελέσματα:
EL0512FR1024

Παροχή αιχμής (M3/S)	712.62
Χρονική στιγμή αιχμής	03Sep2000, 00:45
Όγκος (MM)	290.12
Όγκος βροχόπτωσης (M3)	3.26E7
Όγκος απωλειών (M3)	1.58E7
Ενεργός Όγκος (M3)	1.67E7
Όγκος άμεσης απορροής (M3)	1.67E7
Όγκος βασικής απορροής (M3)	1.35E7

Βροχόπτωση και Απορροή



Υπολεκάνη: EL0512FR1025

Έκταση (KM2) : 99.97

Κατάντη : J13

Μέθοδος Απωλειών: SCS

Ποσοστό αδιαπέρατης επιφάνειας	0
Αριθμός Καμπύλης Απορροής-CN	54.53
Αρχικές Απώλειες	42.37

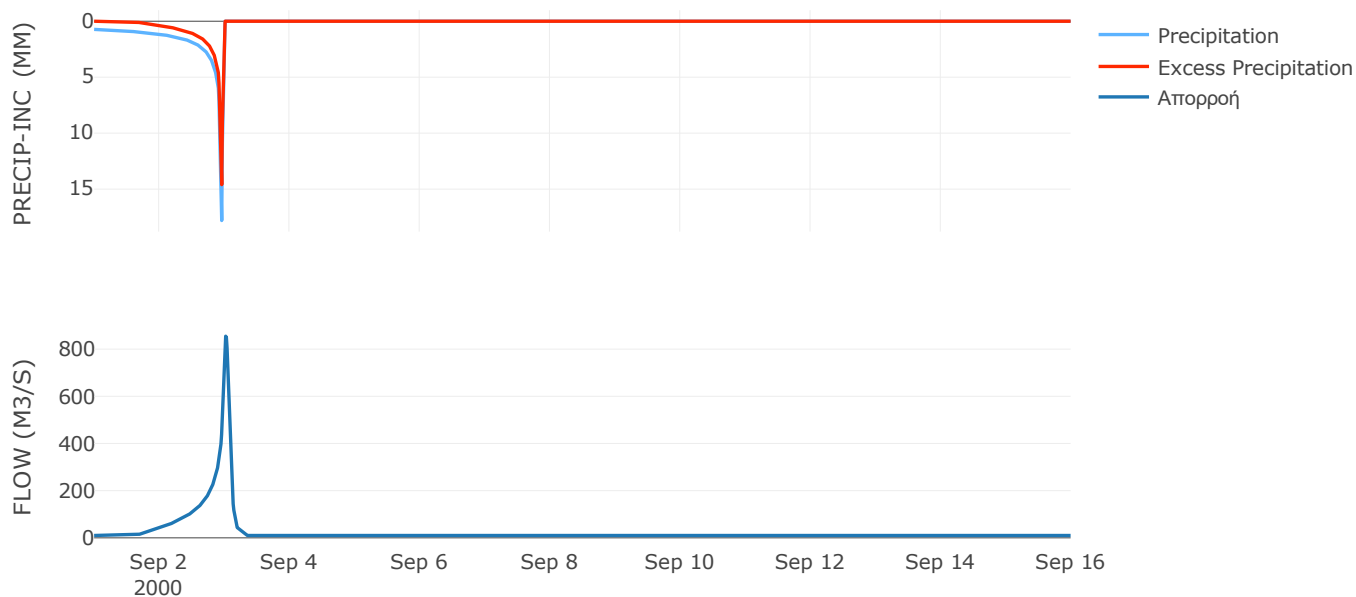
Μέθοδος
Μετασχηματισμού: SCS

Χρόνος Υστέρησης	99.39
------------------	-------

Αποτελέσματα:
EL0512FR1025

Παροχή αιχμής (M3/S)	854.77
Χρονική στιγμή αιχμής	03Sep2000, 00:30
Όγκος (MM)	323.76
Όγκος βροχόπτωσης (M3)	3.64E7
Όγκος απωλειών (M3)	1.7E7
Ενεργός Όγκος (M3)	1.94E7
Όγκος άμεσης απορροής (M3)	1.94E7
Όγκος βασικής απορροής (M3)	1.3E7

Βροχόπτωση και Απορροή



Υπολεκάνη: EL0512FR1026

Έκταση (KM2) : 78.82

Κατάντη : J12

Μέθοδος Απωλειών: SCS

Ποσοστό αδιαπέρατης επιφάνειας	0
Αριθμός Καμπύλης Απορροής-CN	43.41
Αρχικές Απώλειες	66.23

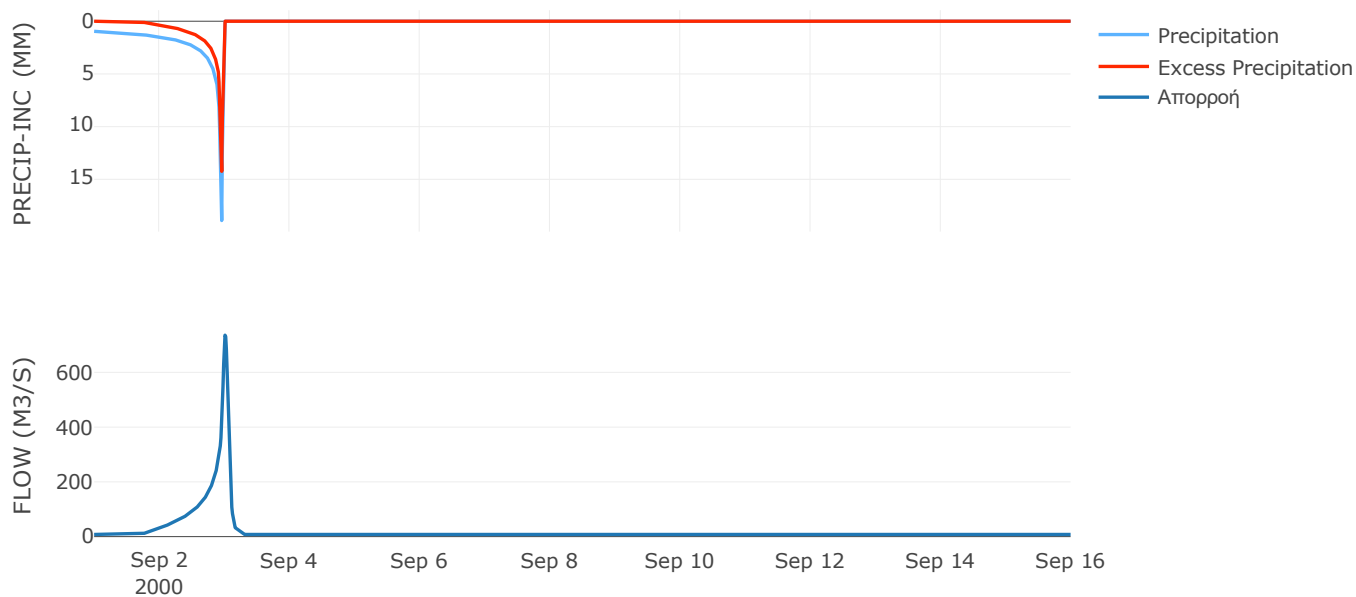
Μέθοδος
Μετασχηματισμού: SCS

Χρόνος Υστέρησης	81.13
------------------	-------

Αποτελέσματα:
EL0512FR1026

Παροχή αιχμής (M3/S)	735.85
Χρονική στιγμή αιχμής	03Sep2000, 00:15
Όγκος (MM)	327.56
Όγκος βροχόπτωσης (M3)	3.47E7
Όγκος απωλειών (M3)	1.91E7
Ενεργός Όγκος (M3)	1.56E7
Όγκος άμεσης απορροής (M3)	1.56E7
Όγκος βασικής απορροής (M3)	1.02E7

Βροχόπτωση και Απορροή



Υπολεκάνη: EL0512FR1027

Έκταση (KM2) : 79.87

Κατάντη : J31

Μέθοδος Απωλειών: SCS

Ποσοστό αδιαπέρατης επιφάνειας	0
Αριθμός Καμπύλης Απορροής-CN	44.14
Αρχικές Απώλειες	64.29

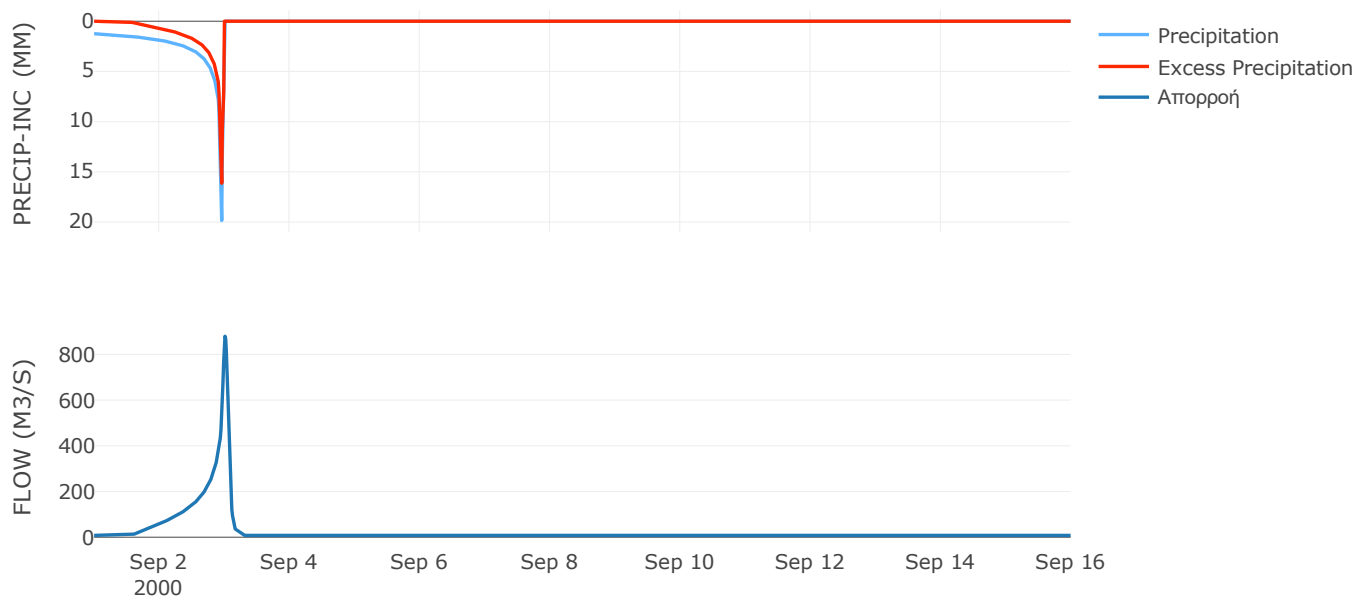
Μέθοδος
Μετασχηματισμού: SCS

Χρόνος Υστέρησης	80.13
------------------	-------

Αποτελέσματα:
EL0512FR1027

Παροχή αιχμής (M3/S)	879.53
Χρονική στιγμή αιχμής	03Sep2000, 00:15
Όγκος (MM)	403.27
Όγκος βροχόπτωσης (M3)	4.22E7
Όγκος απωλειών (M3)	2.03E7
Ενεργός Όγκος (M3)	2.19E7
Όγκος άμεσης απορροής (M3)	2.19E7
Όγκος βασικής απορροής (M3)	1.04E7

Βροχόπτωση και Απορροή



Υπολεκάνη: EL0512FR1028

Έκταση (KM2) : 92.8

Κατάντη : J31

Μέθοδος Απωλειών: SCS

Ποσοστό αδιαπέρατης επιφάνειας	0
Αριθμός Καμπύλης Απορροής-CN	53.3
Αρχικές Απώλειες	44.51

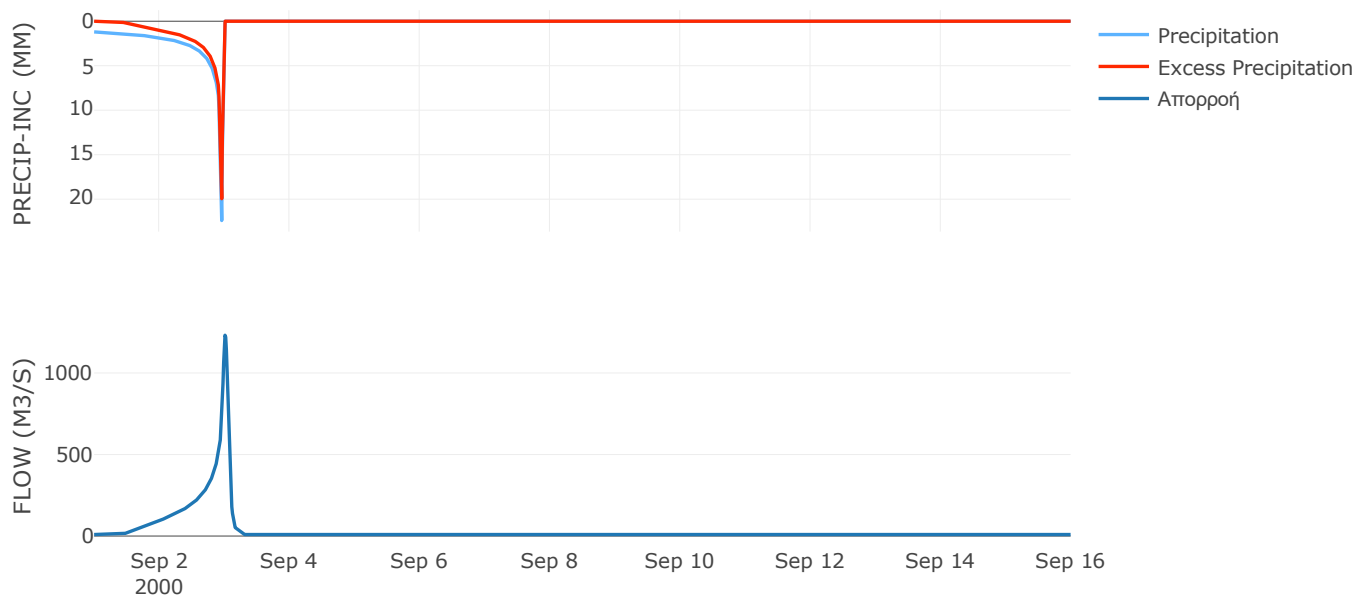
Μέθοδος
Μετασχηματισμού: SCS

Χρόνος Υστέρησης	81.75
------------------	-------

Αποτελέσματα:
EL0512FR1028

Παροχή αιχμής (M3/S)	1231.53
Χρονική στιγμή αιχμής	03Sep2000, 00:15
Όγκος (MM)	471.58
Όγκος βροχόπτωσης (M3)	5.01E7
Όγκος απωλειών (M3)	1.84E7
Ενεργός Όγκος (M3)	3.17E7
Όγκος άμεσης απορροής (M3)	3.17E7
Όγκος βασικής απορροής (M3)	1.2E7

Βροχόπτωση και Απορροή



Υπολεκάνη: EL0512FR1029

Έκταση (KM2) : 88.68

Κατάντη : J22

Μέθοδος Απωλειών: SCS

Ποσοστό αδιαπέρατης επιφάνειας	0
Αριθμός Καμπύλης Απορροής-CN	46.38
Αρχικές Απώλειες	58.73

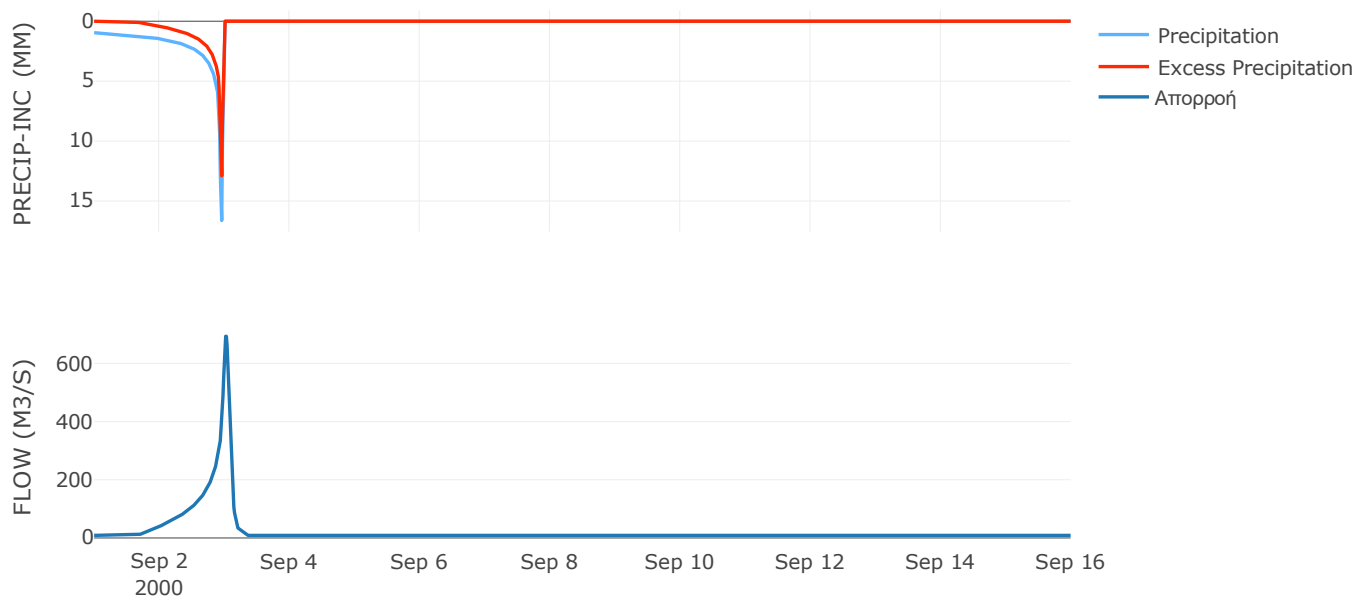
Μέθοδος
Μετασχηματισμού: SCS

Χρόνος Υστέρησης	102.59
------------------	--------

Αποτελέσματα:
EL0512FR1029

Παροχή αιχμής (M3/S)	693.3
Χρονική στιγμή αιχμής	03Sep2000, 00:30
Όγκος (MM)	328.13
Όγκος βροχόπτωσης (M3)	3.72E7
Όγκος απωλειών (M3)	1.96E7
Ενεργός Όγκος (M3)	1.76E7
Όγκος άμεσης απορροής (M3)	1.76E7
Όγκος βασικής απορροής (M3)	1.15E7

Βροχόπτωση και Απορροή



Υπολεκάνη: EL0512FR1030

Έκταση (KM2) : 54.36

Κατάντη : J22

Μέθοδος Απωλειών: SCS

Ποσοστό αδιαπέρατης επιφάνειας	0
Αριθμός Καμπύλης Απορροής-CN	32.5
Αρχικές Απώλειες	105.49

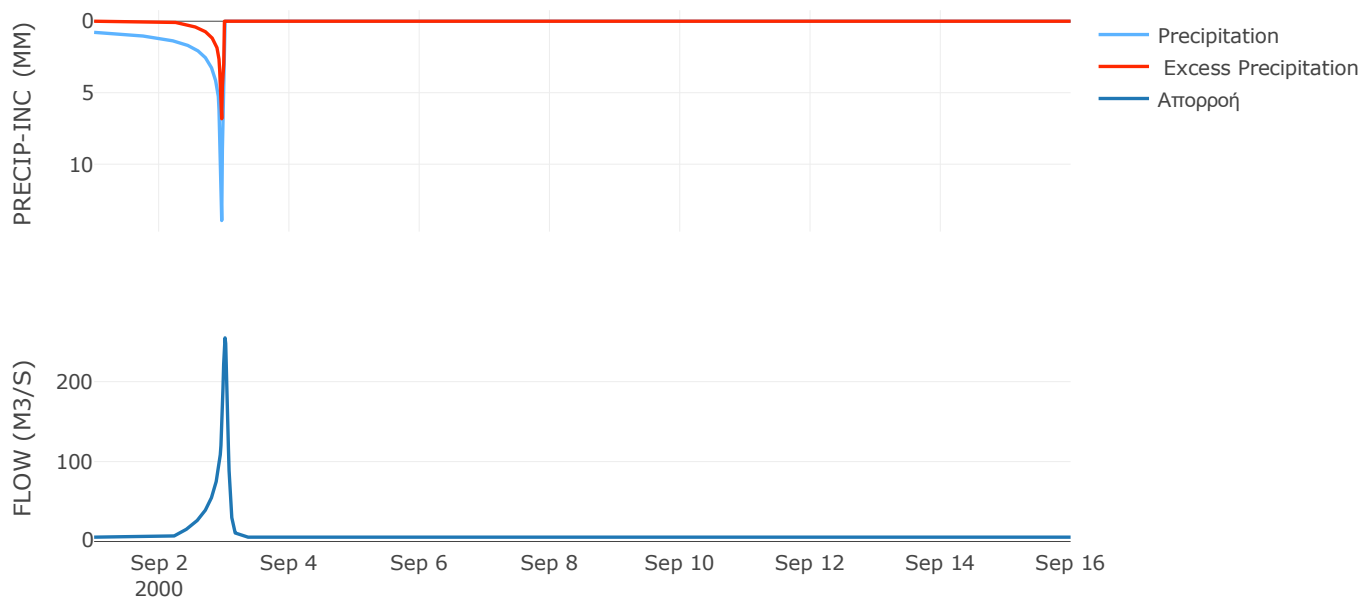
Μέθοδος
Μετασχηματισμού: SCS

Χρόνος Υστέρησης	72.97
------------------	-------

Αποτελέσματα:
EL0512FR1030

Παροχή αιχμής (M3/S)	254.81
Χρονική στιγμή αιχμής	03Sep2000, 00:15
Όγκος (MM)	204.23
Όγκος βροχόπτωσης (M3)	1.87E7
Όγκος απωλειών (M3)	1.47E7
Ενεργός Όγκος (M3)	4.06E6
Όγκος άμεσης απορροής (M3)	4.06E6
Όγκος βασικής απορροής (M3)	7.05E6

Βροχόπτωση και Απορροή



Υπολεκάνη: EL0512FR1031

Έκταση (KM2) : 44.83

Κατάντη : J14

Μέθοδος Απωλειών: SCS

Ποσοστό αδιαπέρατης επιφάνειας	0
Αριθμός Καμπύλης Απορροής-CN	41.18
Αρχικές Απώλειες	72.56

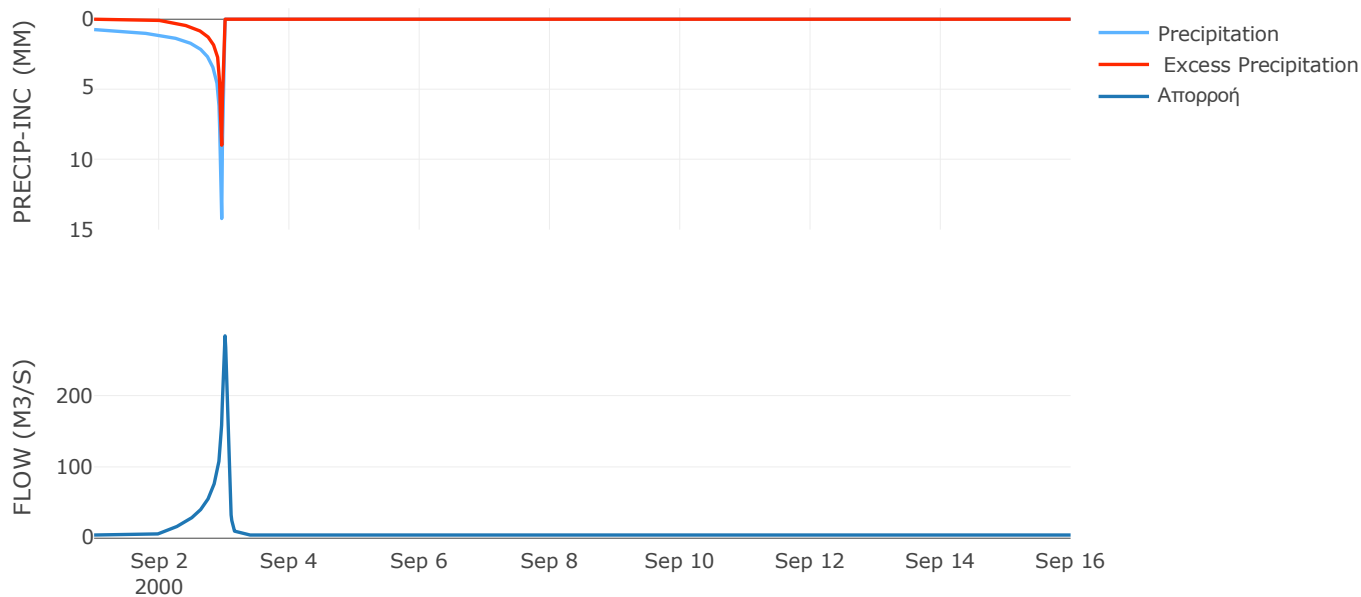
Μέθοδος
Μετασχηματισμού: SCS

Χρόνος Υστέρησης	67.54
------------------	-------

Αποτελέσματα:
EL0512FR1031

Παροχή αιχμής (M3/S)	283.77
Χρονική στιγμή αιχμής	03Sep2000, 00:15
Όγκος (MM)	240.79
Όγκος βροχόπτωσης (M3)	1.51E7
Όγκος απωλειών (M3)	1.01E7
Ενεργός Όγκος (M3)	4.98E6
Όγκος άμεσης απορροής (M3)	4.98E6
Όγκος βασικής απορροής (M3)	5.81E6

Βροχόπτωση και Απορροή



Υπολεκάνη: EL0512FR1032

Έκταση (KM2) : 62.74

Κατάντη : J14

Μέθοδος Απωλειών: SCS

Ποσοστό αδιαπέρατης επιφάνειας	0
Αριθμός Καμπύλης Απορροής-CN	43.05
Αρχικές Απώλειες	67.22

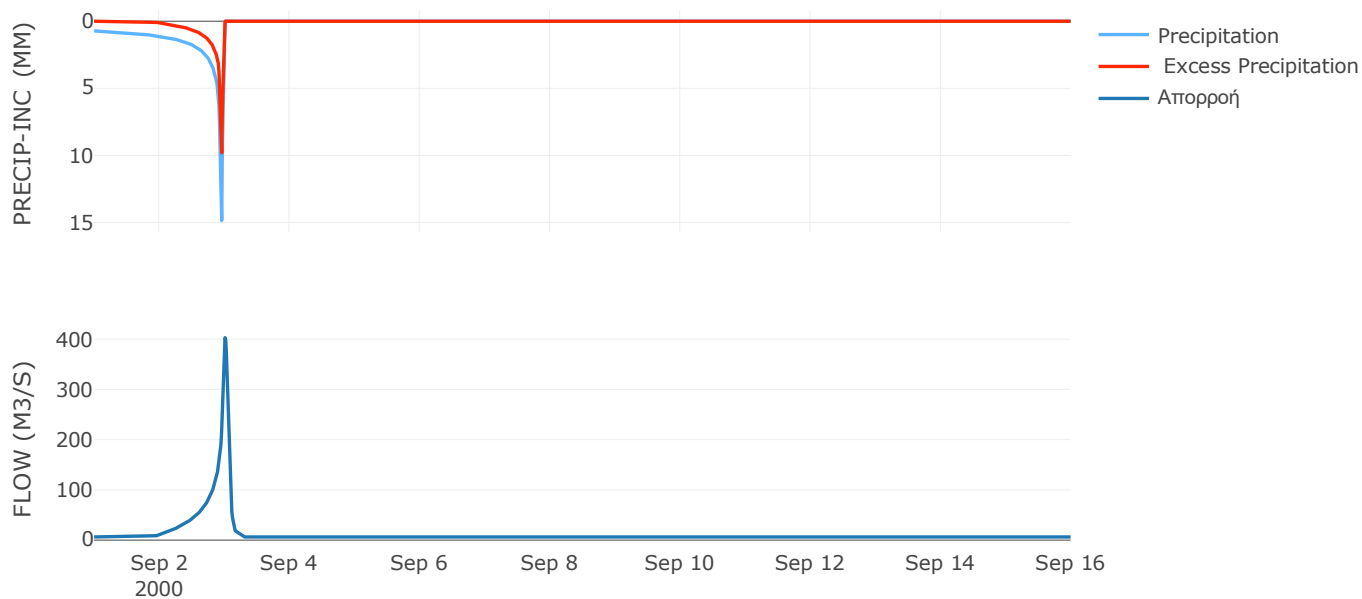
Μέθοδος
Μετασχηματισμού: SCS

Χρόνος Υστέρησης	79.49
------------------	-------

Αποτελέσματα:
EL0512FR1032

Παροχή αιχμής (M3/S)	403.04
Χρονική στιγμή αιχμής	03Sep2000, 00:15
Όγκος (MM)	249.68
Όγκος βροχόπτωσης (M3)	2.11E7
Όγκος απωλειών (M3)	1.36E7
Ενεργός Όγκος (M3)	7.53E6
Όγκος άμεσης απορροής (M3)	7.53E6
Όγκος βασικής απορροής (M3)	8.13E6

Βροχόπτωση και Απορροή



Υπολεκάνη: EL0512FR1033

Έκταση (KM2) : 25.85

Κατάντη : J30

Μέθοδος Απωλειών: SCS

Ποσοστό αδιαπέρατης επιφάνειας	0
Αριθμός Καμπύλης Απορροής-CN	41.29
Αρχικές Απώλειες	72.22

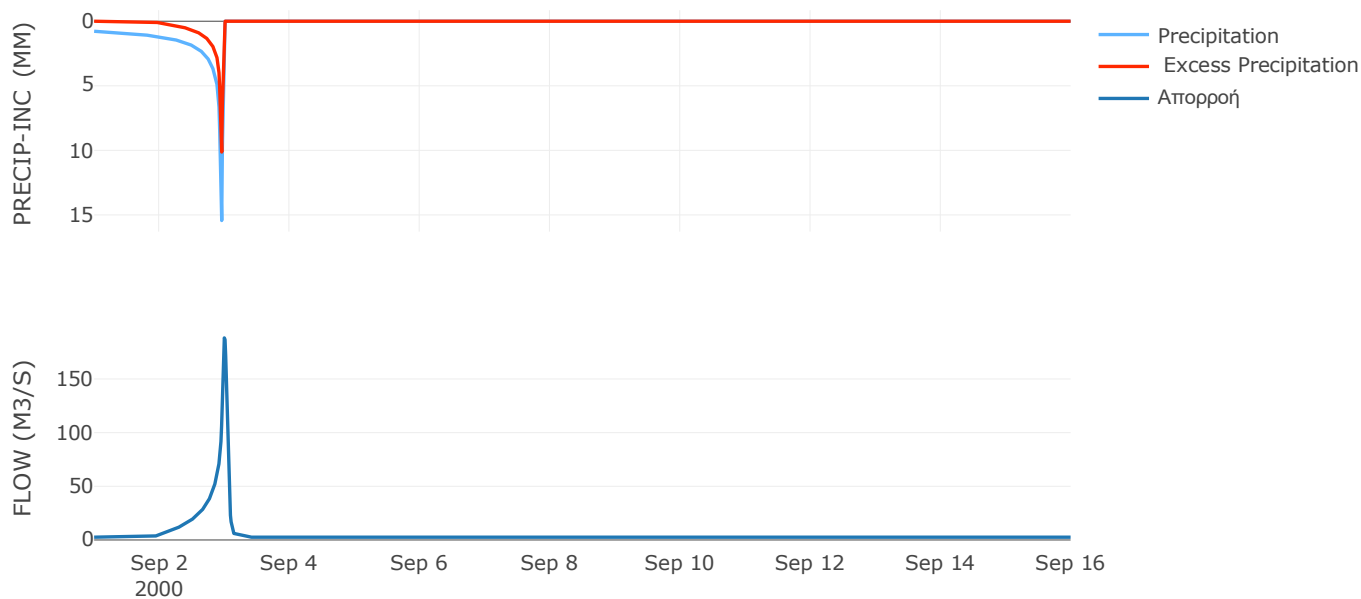
Μέθοδος
Μετασχηματισμού: SCS

Χρόνος Υστέρησης	62.74
------------------	-------

Αποτελέσματα:
EL0512FR1033

Παροχή αιχμής (M3/S)	188.28
Χρονική στιγμή αιχμής	02Sep2000, 24:00
Όγκος (MM)	255.94
Όγκος βροχόπτωσης (M3)	9.26E6
Όγκος απωλειών (M3)	5.99E6
Ενεργός Όγκος (M3)	3.27E6
Όγκος άμεσης απορροής (M3)	3.27E6
Όγκος βασικής απορροής (M3)	3.35E6

Βροχόπτωση και Απορροή



Υπολεκάνη: EL0512FR1034

Έκταση (KM2) : 4.71

Κατάντη : J20

Μέθοδος Απωλειών: SCS

Ποσοστό αδιαπέρατης επιφάνειας	0
Αριθμός Καμπύλης Απορροής-CN	47.27
Αρχικές Απώλειες	56.68

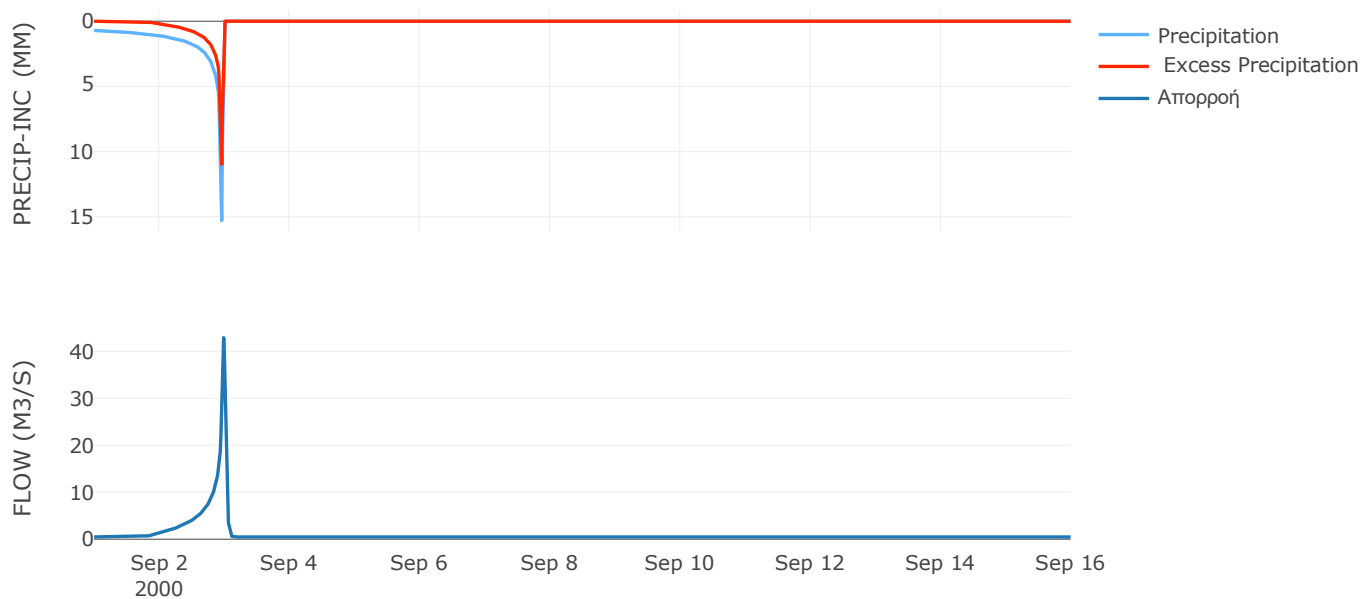
Μέθοδος
Μετασχηματισμού: SCS

Χρόνος Υστέρησης	37.63
------------------	-------

Αποτελέσματα:
EL0512FR1034

Παροχή αιχμής (M3/S)	42.89
Χρονική στιγμή αιχμής	02Sep2000, 23:45
Όγκος (MM)	268.25
Όγκος βροχόπτωσης (M3)	1.58E6
Όγκος απωλειών (M3)	9.29E5
Ενεργός Όγκος (M3)	6.52E5
Όγκος άμεσης απορροής (M3)	6.52E5
Όγκος βασικής απορροής (M3)	6.1E5

Βροχόπτωση και Απορροή



Υπολεκάνη: EL0512FR1035

Έκταση (KM2) : 3.15

Κατάντη : J16

Μέθοδος Απωλειών: SCS

Ποσοστό αδιαπέρατης επιφάνειας	0
Αριθμός Καμπύλης Απορροής-CN	52.2
Αρχικές Απώλειες	46.52

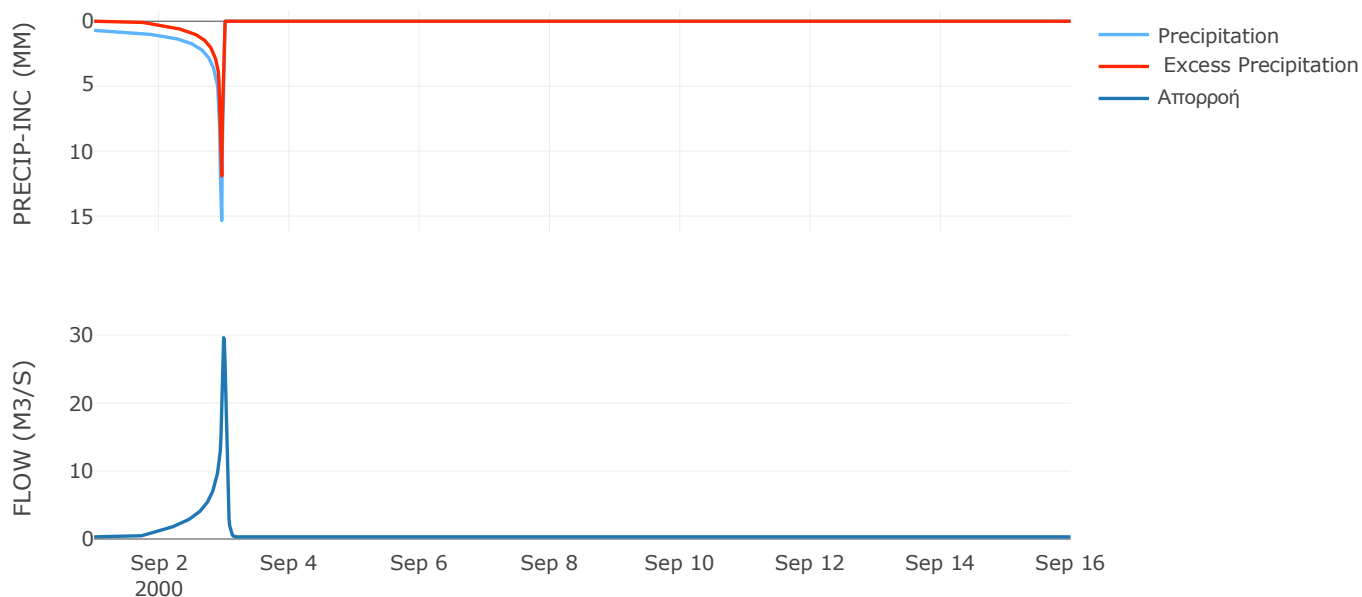
Μέθοδος
Μετασχηματισμού: SCS

Χρόνος Υστέρησης	46.27
------------------	-------

Αποτελέσματα:
EL0512FR1035

Παροχή αιχμής (M3/S)	29.6
Χρονική στιγμή αιχμής	02Sep2000, 23:45
Όγκος (MM)	290.09
Όγκος βροχόπτωσης (M3)	1.06E6
Όγκος απωλειών (M3)	5.52E5
Ενεργός Όγκος (M3)	5.05E5
Όγκος άμεσης απορροής (M3)	5.05E5
Όγκος βασικής απορροής (M3)	4.08E5

Βροχόπτωση και Απορροή



Υπολεκάνη: EL0512FR1036

Έκταση (KM2) : 1.14

Κατάντη : J16

Μέθοδος Απωλειών: SCS

Ποσοστό αδιαπέρατης επιφάνειας	0
Αριθμός Καμπύλης Απορροής-CN	61.73
Αρχικές Απώλειες	31.5

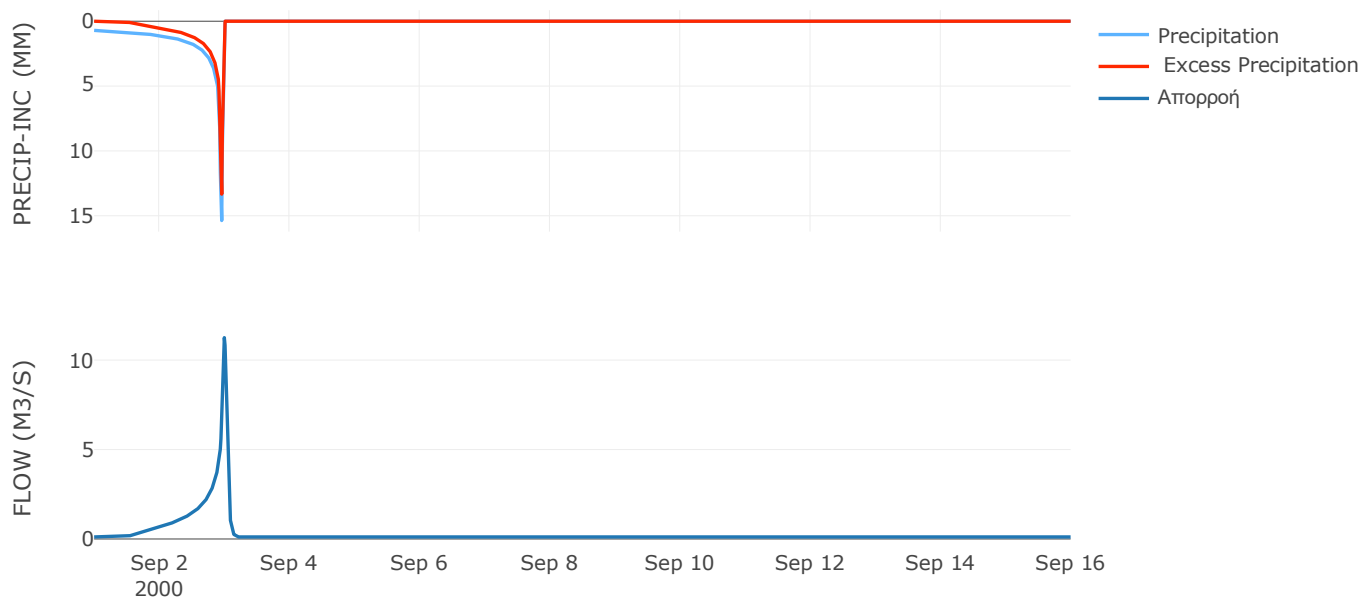
Μέθοδος
Μετασχηματισμού: SCS

Χρόνος Υστέρησης	58.43
------------------	-------

Αποτελέσματα:
EL0512FR1036

Παροχή αιχμής (M3/S)	11.25
Χρονική στιγμή αιχμής	02Sep2000, 24:00
Όγκος (MM)	331.28
Όγκος βροχόπτωσης (M3)	3.83E5
Όγκος απωλειών (M3)	1.54E5
Ενεργός Όγκος (M3)	2.29E5
Όγκος άμεσης απορροής (M3)	2.29E5
Όγκος βασικής απορροής (M3)	1.47E5

Βροχόπτωση και Απορροή



Υπολεκάνη: EL0512FR1037

Έκταση (KM2) : 1.46

Κατάντη : J17

Μέθοδος Απωλειών: SCS

Ποσοστό αδιαπέρατης επιφάνειας	0
Αριθμός Καμπύλης Απορροής-CN	62.05
Αρχικές Απώλειες	31.08

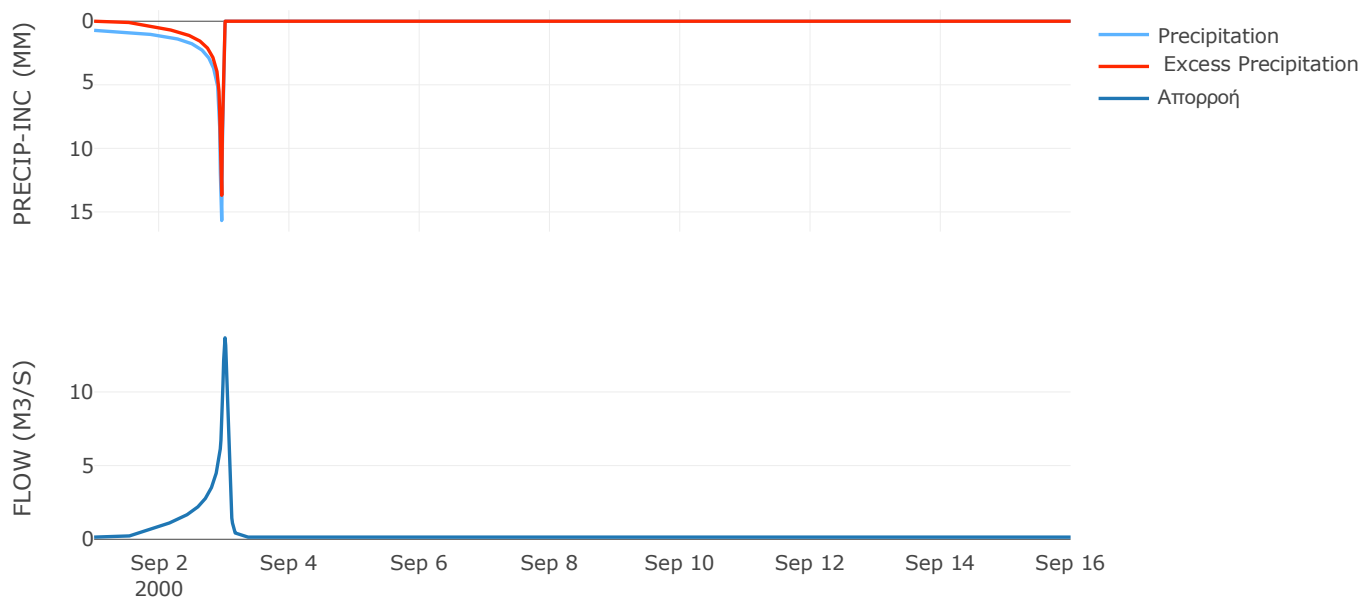
Μέθοδος
Μετασχηματισμού: SCS

Χρόνος Υστέρησης	73.44
------------------	-------

Αποτελέσματα:
EL0512FR1037

Παροχή αιχμής (M3/S)	13.67
Χρονική στιγμή αιχμής	03Sep2000, 00:15
Όγκος (MM)	338.3
Όγκος βροχόπτωσης (M3)	5.02E5
Όγκος απωλειών (M3)	1.97E5
Ενεργός Όγκος (M3)	3.05E5
Όγκος άμεσης απορροής (M3)	3.05E5
Όγκος βασικής απορροής (M3)	1.89E5

Βροχόπτωση και Απορροή



Υπολεκάνη: EL0512FR1038

Έκταση (KM2) : 10.02

Κατάντη : J17

Μέθοδος Απωλειών: SCS

Ποσοστό αδιαπέρατης επιφάνειας	0
Αριθμός Καμπύλης Απορροής-CN	52.93
Αρχικές Απώλειες	45.17

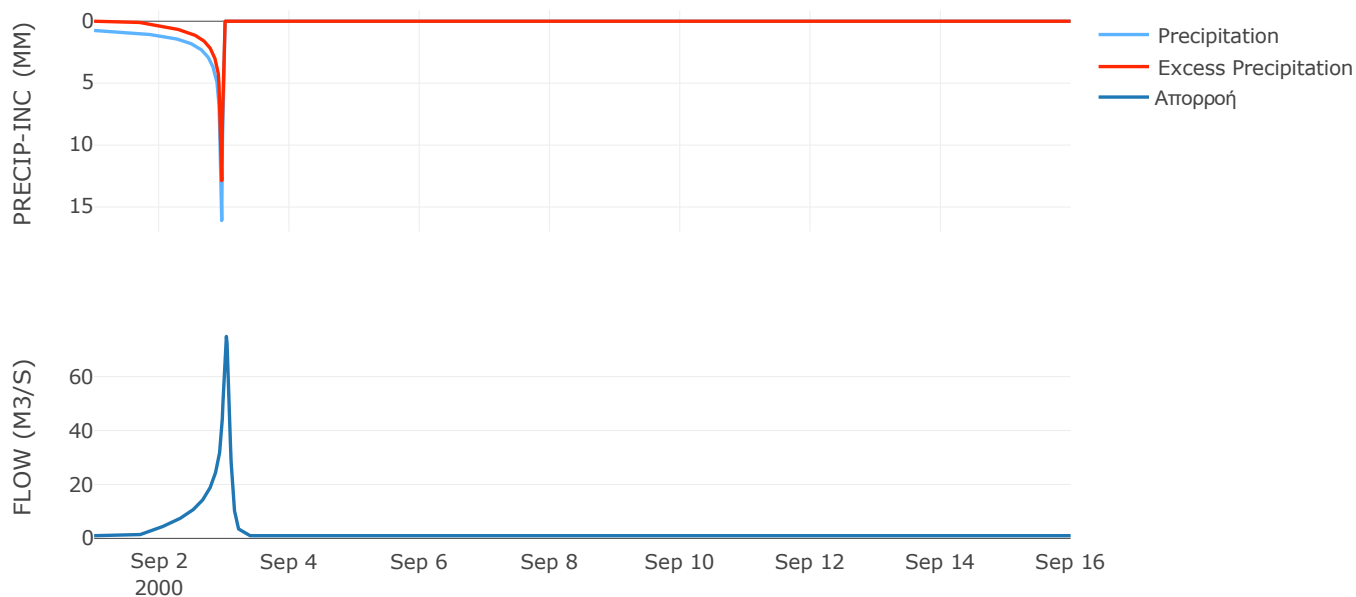
Μέθοδος
Μετασχηματισμού: SCS

Χρόνος Υστέρησης	105.48
------------------	--------

Αποτελέσματα:
EL0512FR1038

Παροχή αιχμής (M3/S)	74.9
Χρονική στιγμή αιχμής	03Sep2000, 00:45
Όγκος (MM)	309.36
Όγκος βροχόπτωσης (M3)	3.56E6
Όγκος απωλειών (M3)	1.76E6
Ενεργός Όγκος (M3)	1.8E6
Όγκος άμεσης απορροής (M3)	1.8E6
Όγκος βασικής απορροής (M3)	1.3E6

Βροχόπτωση και Απορροή



Υπολεκάνη: EL0512FR1039

Έκταση (KM2) : 30.28

Κατάντη : J15

Μέθοδος Απωλειών: SCS

Ποσοστό αδιαπέρατης επιφάνειας	0
Αριθμός Καμπύλης Απορροής-CN	45.8
Αρχικές Απώλειες	60.13

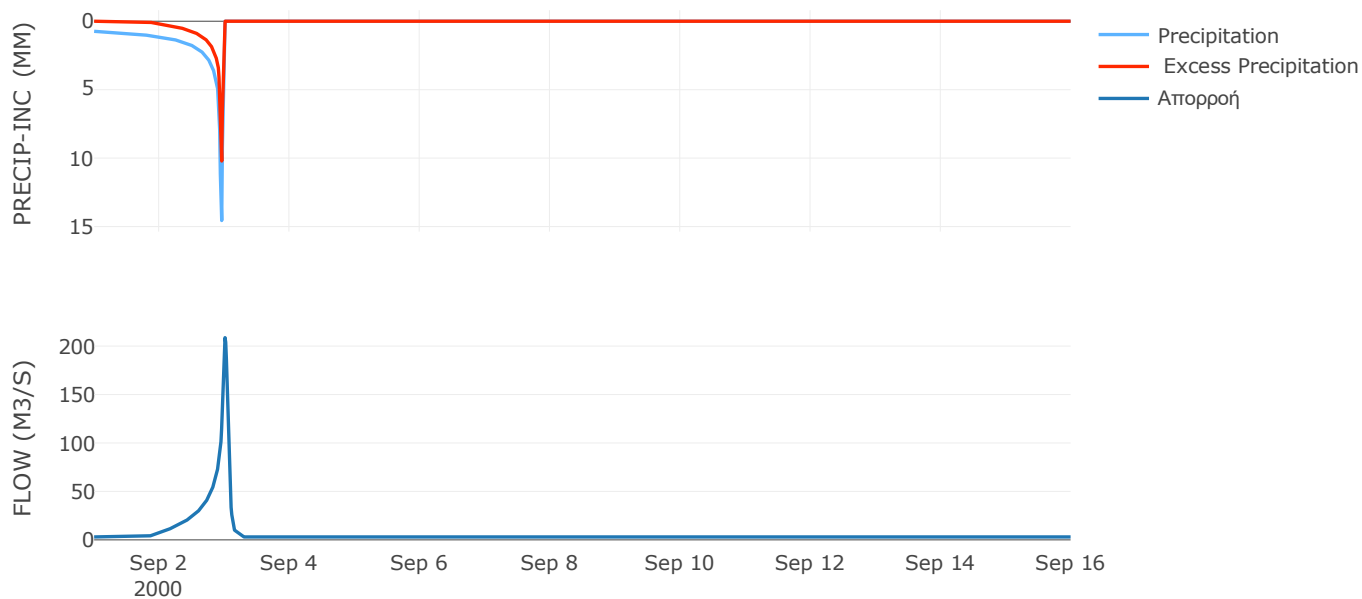
Μέθοδος
Μετασχηματισμού: SCS

Χρόνος Υστέρησης	76.19
------------------	-------

Αποτελέσματα:
EL0512FR1039

Παροχή αιχμής (M3/S)	208.71
Χρονική στιγμή αιχμής	03Sep2000, 00:15
Όγκος (MM)	263.75
Όγκος βροχόπτωσης (M3)	1.03E7
Όγκος απωλειών (M3)	6.2E6
Ενεργός Όγκος (M3)	4.06E6
Όγκος άμεσης απορροής (M3)	4.06E6
Όγκος βασικής απορροής (M3)	3.92E6

Βροχόπτωση και Απορροή



Υπολεκάνη: EL0512FR1040

Έκταση (KM2) : 14.45

Κατάντη : J16

Μέθοδος Απωλειών: SCS

Ποσοστό αδιαπέρατης επιφάνειας	0
Αριθμός Καμπύλης Απορροής-CN	42.81
Αρχικές Απώλειες	67.87

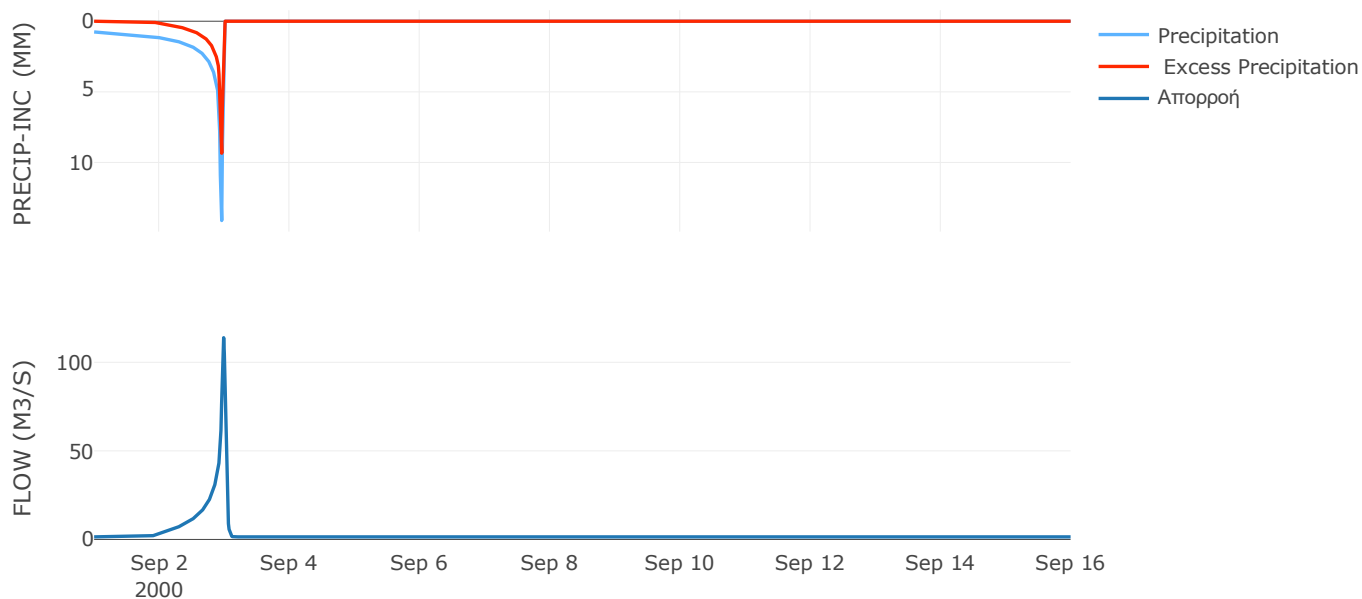
Μέθοδος
Μετασχηματισμού: SCS

Χρόνος Υστέρησης	36.6
------------------	------

Αποτελέσματα:
EL0512FR1040

Παροχή αιχμής (M3/S)	113.87
Χρονική στιγμή αιχμής	02Sep2000, 23:45
Όγκος (MM)	251.52
Όγκος βροχόπτωσης (M3)	4.93E6
Όγκος απωλειών (M3)	3.17E6
Ενεργός Όγκος (M3)	1.76E6
Όγκος άμεσης απορροής (M3)	1.76E6
Όγκος βασικής απορροής (M3)	1.87E6

Βροχόπτωση και Απορροή



Υπολεκάνη: EL0512FR1041

Έκταση (KM2) : 37.27

Κατάντη : J29

Μέθοδος Απωλειών: SCS

Ποσοστό αδιαπέρατης επιφάνειας	0
Αριθμός Καμπύλης Απορροής-CN	42.85
Αρχικές Απώλειες	67.74

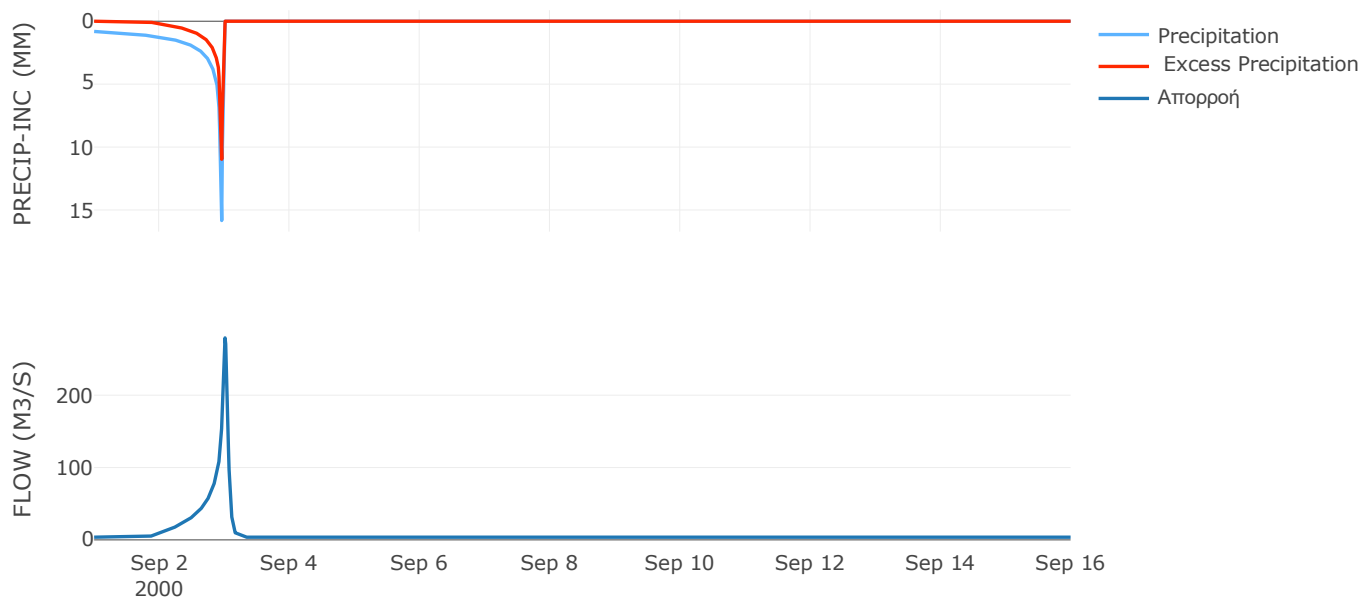
Μέθοδος
Μετασχηματισμού: SCS

Χρόνος Υστέρησης	74.12
------------------	-------

Αποτελέσματα:
EL0512FR1041

Παροχή αιχμής (M3/S)	279.14
Χρονική στιγμή αιχμής	03Sep2000, 00:15
Όγκος (MM)	273.51
Όγκος βροχόπτωσης (M3)	1.39E7
Όγκος απωλειών (M3)	8.5E6
Ενεργός Όγκος (M3)	5.36E6
Όγκος άμεσης απορροής (M3)	5.36E6
Όγκος βασικής απορροής (M3)	4.83E6

Βροχόπτωση και Απορροή



Υπολεκάνη: EL0512FR1042

Έκταση (KM2) : 72.53

Κατάντη : J20

Μέθοδος Απωλειών: SCS

Ποσοστό αδιαπέρατης επιφάνειας	0
Αριθμός Καμπύλης Απορροής-CN	38.35
Αρχικές Απώλειες	81.67

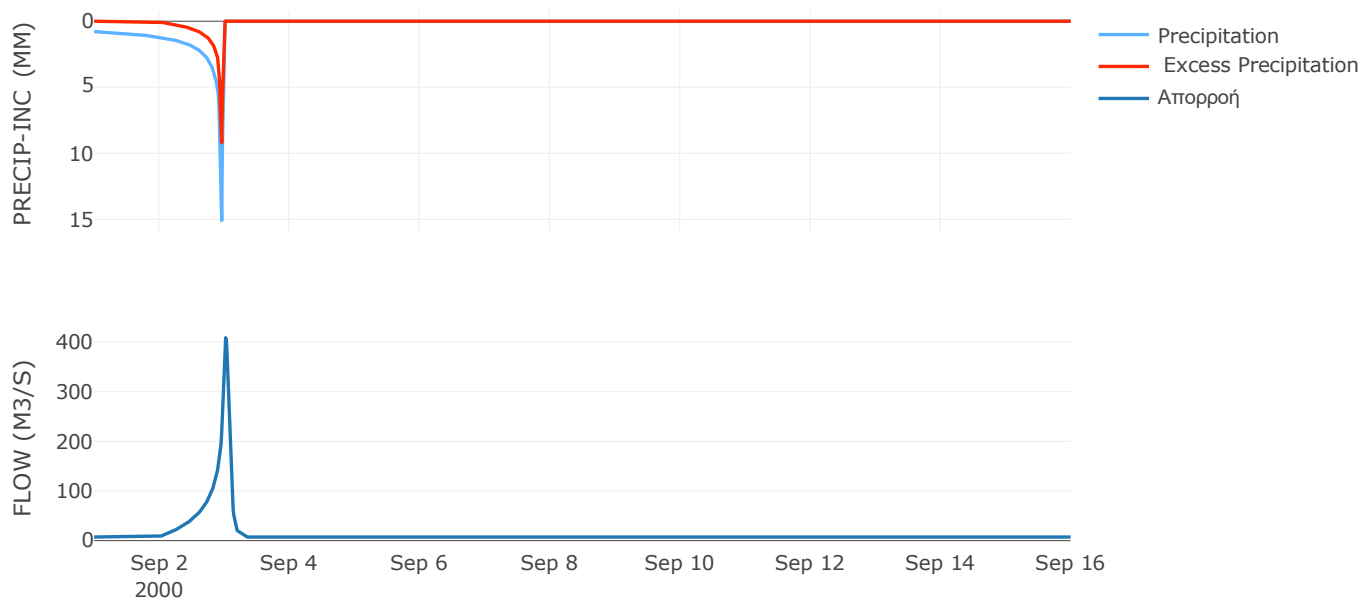
Μέθοδος
Μετασχηματισμού: SCS

Χρόνος Υστέρησης	94.67
------------------	-------

Αποτελέσματα:
EL0512FR1042

Παροχή αιχμής (M3/S)	408.62
Χρονική στιγμή αιχμής	03Sep2000, 00:30
Όγκος (MM)	240.39
Όγκος βροχόπτωσης (M3)	2.59E7
Όγκος απωλειών (M3)	1.78E7
Ενεργός Όγκος (M3)	8.04E6
Όγκος άμεσης απορροής (M3)	8.04E6
Όγκος βασικής απορροής (M3)	9.4E6

Βροχόπτωση και Απορροή



Υπολεκάνη: EL0512FR1043

Έκταση (KM2) : 13.21

Κατάντη : J21

Μέθοδος Απωλειών: SCS

Ποσοστό αδιαπέρατης επιφάνειας	0
Αριθμός Καμπύλης Απορροής-CN	33.59
Αρχικές Απώλειες	100.45

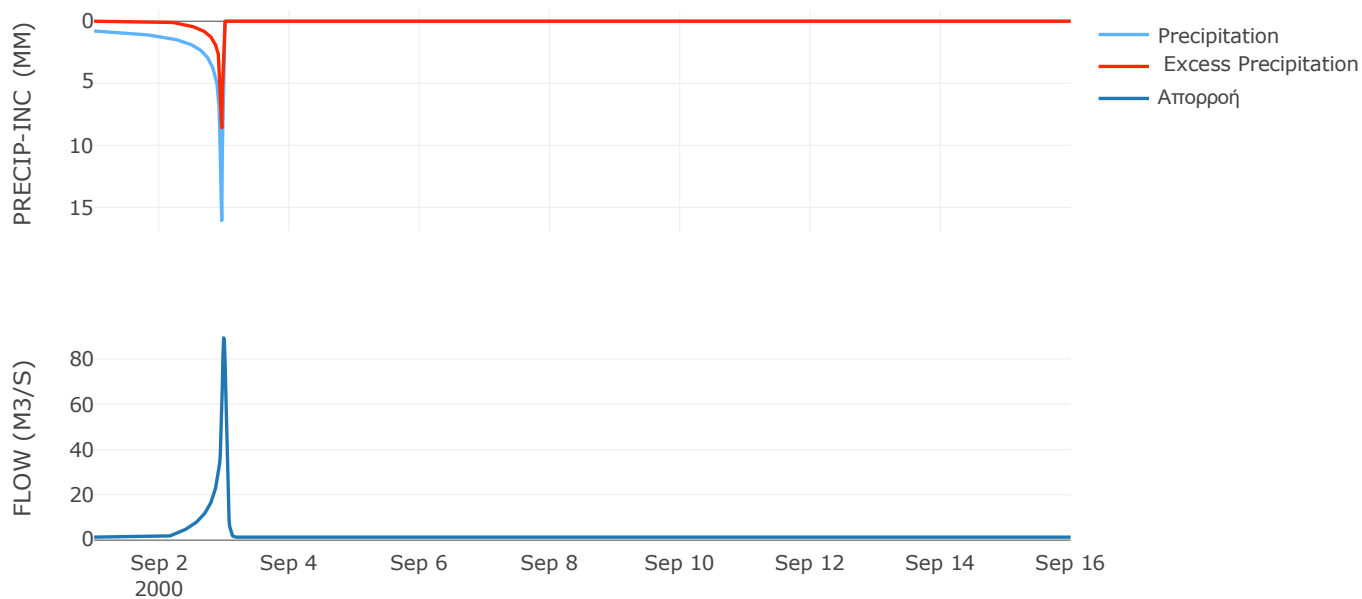
Μέθοδος
Μετασχηματισμού: SCS

Χρόνος Υστέρησης	45.37
------------------	-------

Αποτελέσματα:
EL0512FR1043

Παροχή αιχμής (M3/S)	89.32
Χρονική στιγμή αιχμής	02Sep2000, 23:45
Όγκος (MM)	221.88
Όγκος βροχόπτωσης (M3)	4.84E6
Όγκος απωλειών (M3)	3.63E6
Ενεργός Όγκος (M3)	1.22E6
Όγκος άμεσης απορροής (M3)	1.22E6
Όγκος βασικής απορροής (M3)	1.71E6

Βροχόπτωση και Απορροή



Υπολεκάνη: EL0512FR1044

Έκταση (KM2) : 23.96

Κατάντη : J19

Μέθοδος Απωλειών: SCS

Ποσοστό αδιαπέρατης επιφάνειας	0
Αριθμός Καμπύλης Απορροής-CN	34.47
Αρχικές Απώλειες	96.58

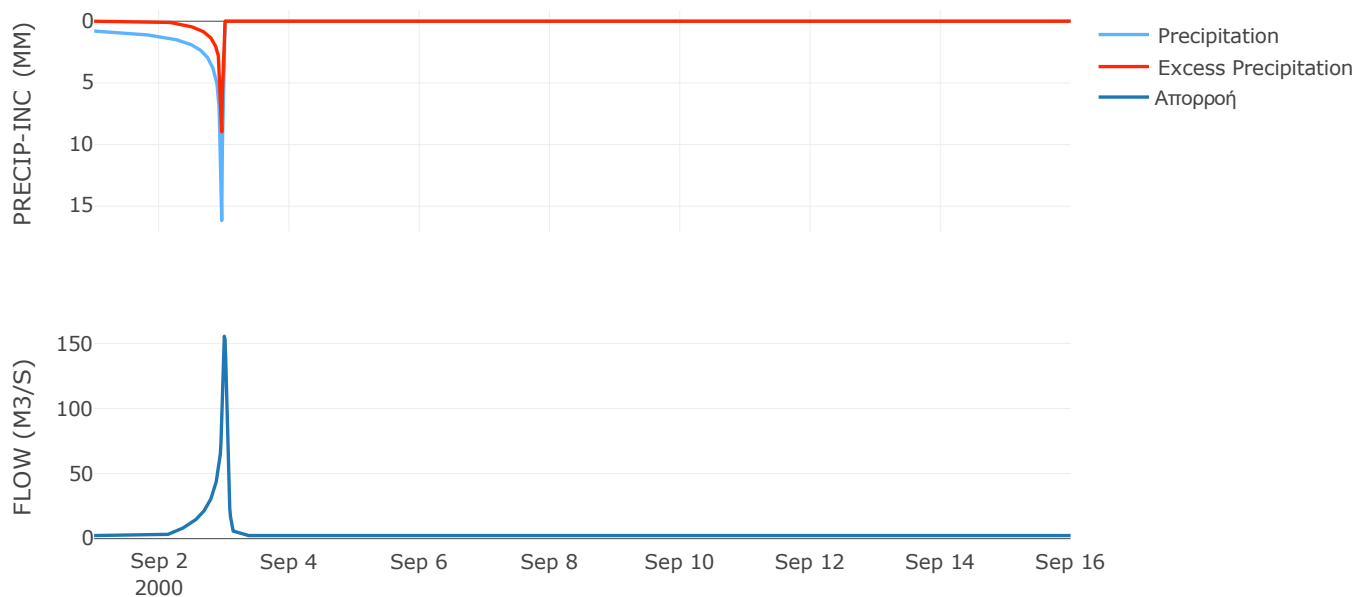
Μέθοδος
Μετασχηματισμού: SCS

Χρόνος Υστέρησης	60.27
------------------	-------

Αποτελέσματα:
EL0512FR1044

Παροχή αιχμής (M3/S)	155.52
Χρονική στιγμή αιχμής	02Sep2000, 24:00
Όγκος (MM)	228.24
Όγκος βροχόπτωσης (M3)	8.86E6
Όγκος απωλειών (M3)	6.49E6
Ενεργός Όγκος (M3)	2.36E6
Όγκος άμεσης απορροής (M3)	2.36E6
Όγκος βασικής απορροής (M3)	3.1E6

Βροχόπτωση και Απορροή



Υπολεκάνη: EL0512FR1045

Έκταση (KM2) : 15.22

Κατάντη : J18

Μέθοδος Απωλειών: SCS

Ποσοστό αδιαπέρατης επιφάνειας	0
Αριθμός Καμπύλης Απορροής-CN	31.51
Αρχικές Απώλειες	110.42

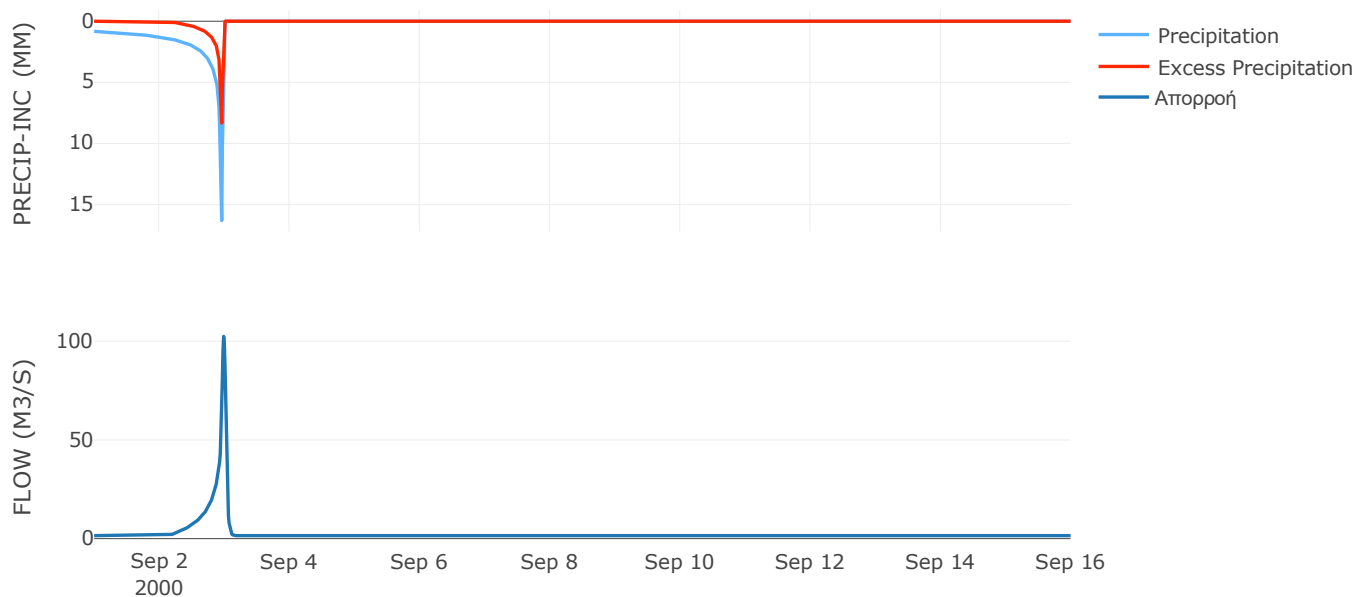
Μέθοδος
Μετασχηματισμού: SCS

Χρόνος Υστέρησης	41.91
------------------	-------

Αποτελέσματα:
EL0512FR1045

Παροχή αιχμής (M3/S)	102.51
Χρονική στιγμή αιχμής	02Sep2000, 23:45
Όγκος (MM)	218.38
Όγκος βροχόπτωσης (M3)	5.79E6
Όγκος απωλειών (M3)	4.44E6
Ενεργός Όγκος (M3)	1.35E6
Όγκος άμεσης απορροής (M3)	1.35E6
Όγκος βασικής απορροής (M3)	1.97E6

Βροχόπτωση και Απορροή



Υπολεκάνη: EL0512FR1046

Έκταση (KM2) : 123.67

Κατάντη : J19

Μέθοδος Απωλειών: SCS

Ποσοστό αδιαπέρατης επιφάνειας	0
Αριθμός Καμπύλης Απορροής-CN	40.12
Αρχικές Απώλειες	75.8

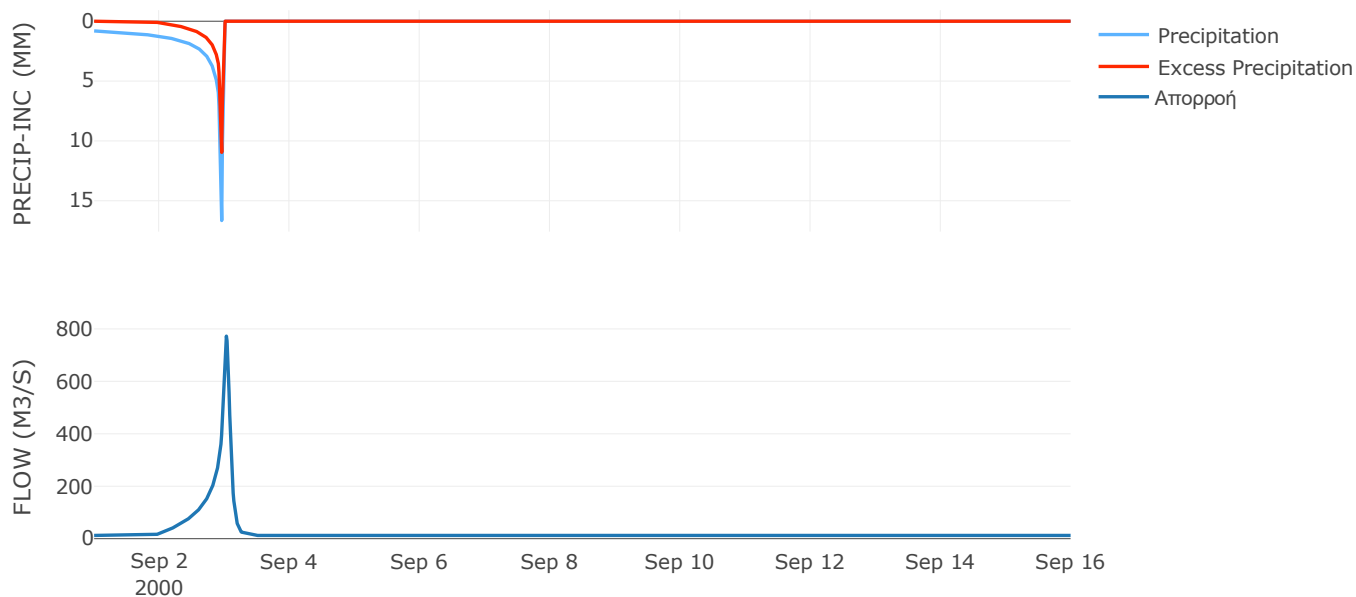
Μέθοδος
Μετασχηματισμού: SCS

Χρόνος Υστέρησης	108.82
------------------	--------

Αποτελέσματα:
EL0512FR1046

Παροχή αιχμής (M3/S)	772.42
Χρονική στιγμή αιχμής	03Sep2000, 00:45
Όγκος (MM)	263.8
Όγκος βροχόπτωσης (M3)	4.68E7
Όγκος απωλειών (M3)	3.02E7
Ενεργός Όγκος (M3)	1.66E7
Όγκος άμεσης απορροής (M3)	1.66E7
Όγκος βασικής απορροής (M3)	1.6E7

Βροχόπτωση και Απορροή



Υπολεκάνη: EL0512FR1047

Έκταση (KM2) : 46.41

Κατάντη : J11

Μέθοδος Απωλειών: SCS

Ποσοστό αδιαπέρατης επιφάνειας	0
Αριθμός Καμπύλης Απορροής-CN	36.7
Αρχικές Απώλειες	87.62

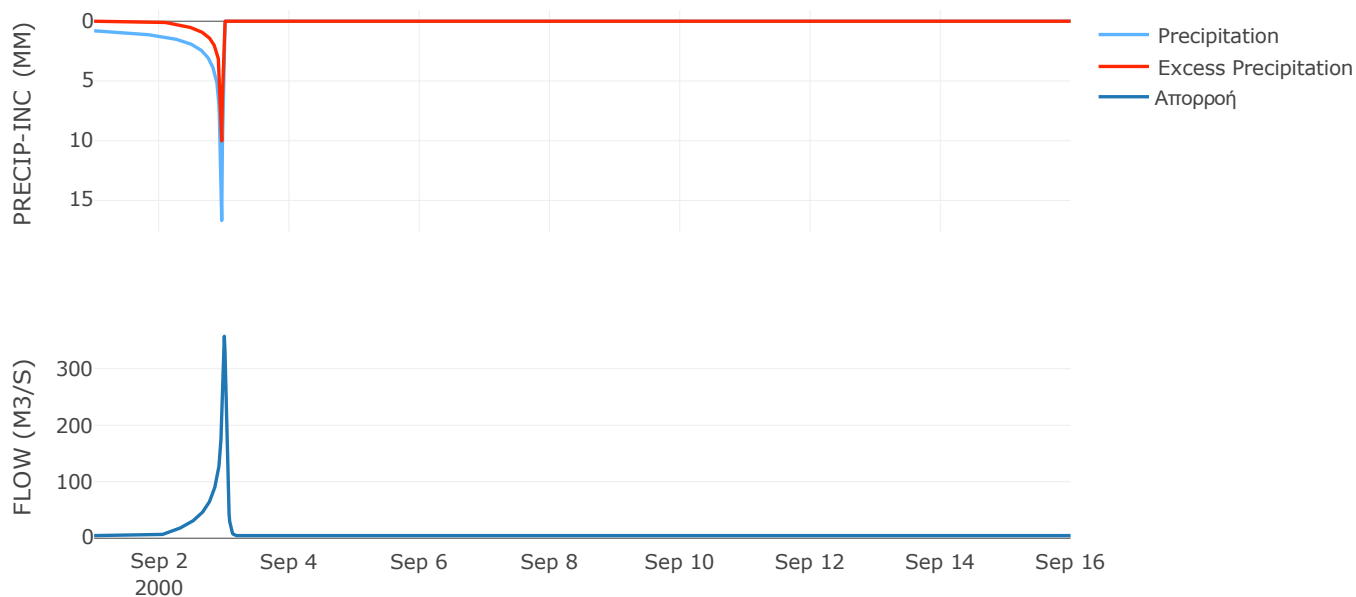
Μέθοδος
Μετασχηματισμού: SCS

Χρόνος Υστέρησης	49.15
------------------	-------

Αποτελέσματα:
EL0512FR1047

Παροχή αιχμής (M3/S)	357.37
Χρονική στιγμή αιχμής	02Sep2000, 24:00
Όγκος (MM)	243.97
Όγκος βροχόπτωσης (M3)	1.74E7
Όγκος απωλειών (M3)	1.21E7
Ενεργός Όγκος (M3)	5.31E6
Όγκος άμεσης απορροής (M3)	5.31E6
Όγκος βασικής απορροής (M3)	6.01E6

Βροχόπτωση και Απορροή



Υπολεκάνη: EL0512FR1048

Έκταση (KM2) : 6.43

Κατάντη : J14

Μέθοδος Απωλειών: SCS

Ποσοστό αδιαπέρατης επιφάνειας	0
Αριθμός Καμπύλης Απορροής-CN	43.71
Αρχικές Απώλειες	65.43

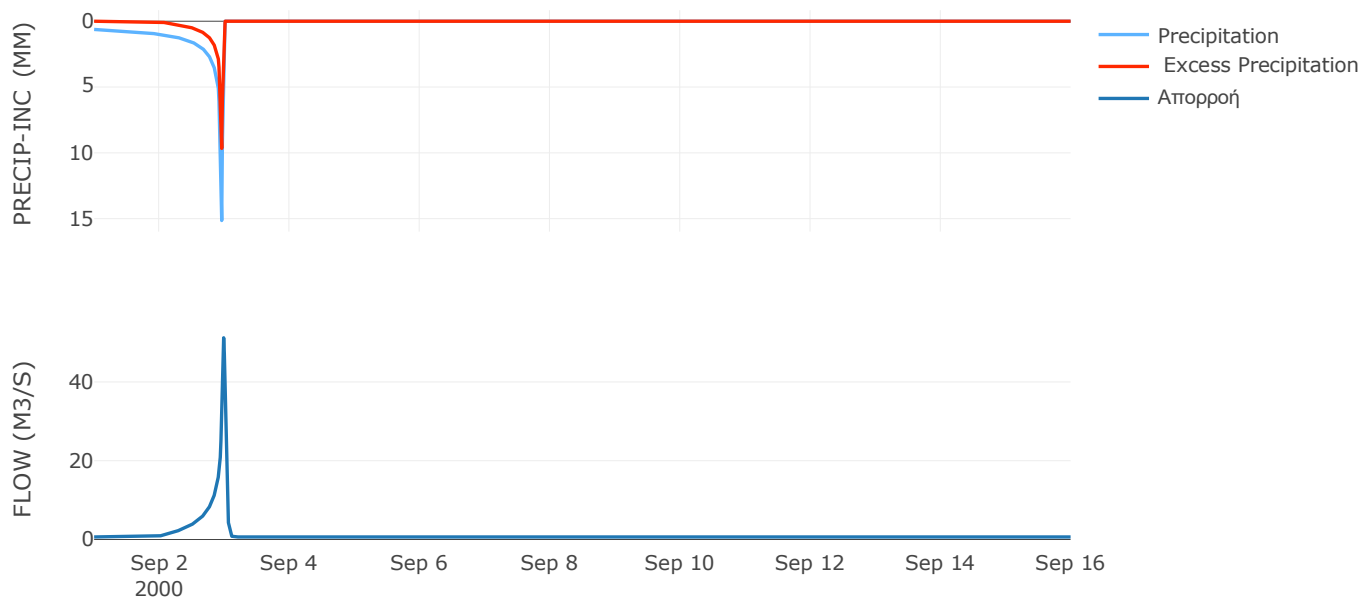
Μέθοδος
Μετασχηματισμού: SCS

Χρόνος Υστέρησης	37.8
------------------	------

Αποτελέσματα:
EL0512FR1048

Παροχή αιχμής (M3/S)	51.21
Χρονική στιγμή αιχμής	02Sep2000, 23:45
Όγκος (MM)	235.14
Όγκος βροχόπτωσης (M3)	2E6
Όγκος απωλειών (M3)	1.32E6
Ενεργός Όγκος (M3)	6.79E5
Όγκος άμεσης απορροής (M3)	6.79E5
Όγκος βασικής απορροής (M3)	8.34E5

Βροχόπτωση και Απορροή



Υπολεκάνη: EL0512FR1049

Έκταση (KM2) : 4.8

Κατάντη : J12

Μέθοδος Απωλειών: SCS

Ποσοστό αδιαπέρατης επιφάνειας	0
Αριθμός Καμπύλης Απορροής-CN	60.9
Αρχικές Απώλειες	32.62

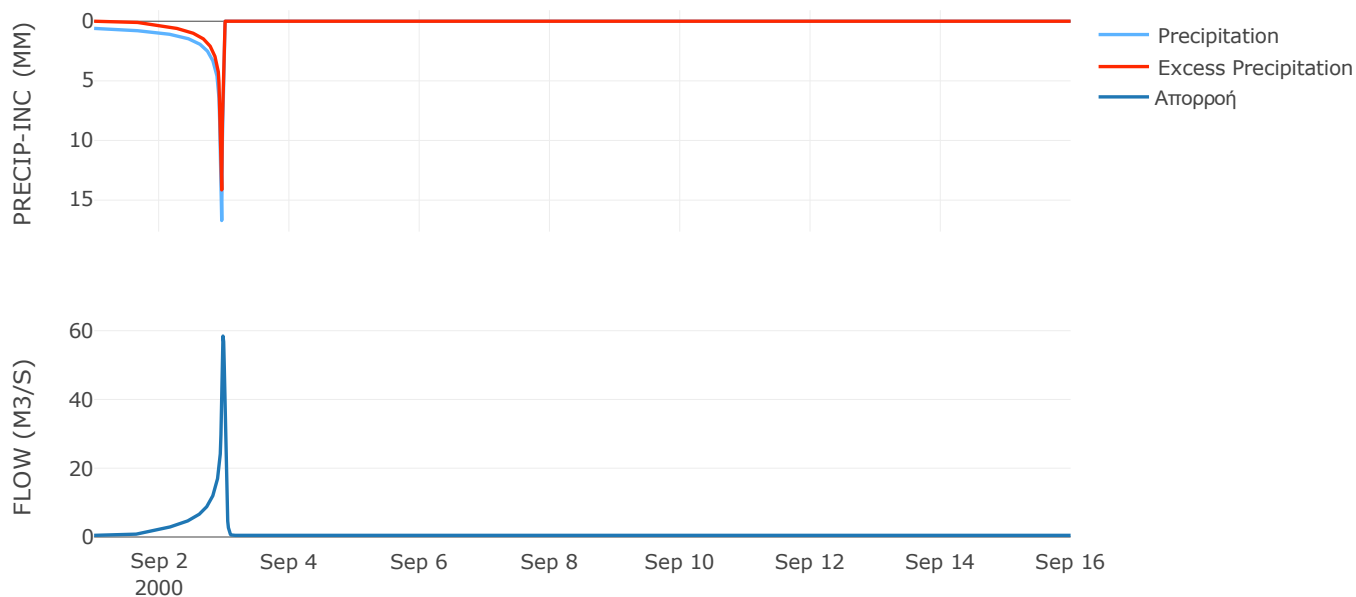
Μέθοδος
Μετασχηματισμού: SCS

Χρόνος Υστέρησης	32.19
------------------	-------

Αποτελέσματα:
EL0512FR1049

Παροχή αιχμής (M3/S)	58.44
Χρονική στιγμή αιχμής	02Sep2000, 23:30
Όγκος (MM)	310.37
Όγκος βροχόπτωσης (M3)	1.52E6
Όγκος απωλειών (M3)	6.55E5
Ενεργός Όγκος (M3)	8.68E5
Όγκος άμεσης απορροής (M3)	8.68E5
Όγκος βασικής απορροής (M3)	6.23E5

Βροχόπτωση και Απορροή



Υπολεκάνη: EL0512FR1050

Έκταση (KM2) : 8.16

Κατάντη : J8

Μέθοδος Απωλειών: SCS

Ποσοστό αδιαπέρατης επιφάνειας	0
Αριθμός Καμπύλης Απορροής-CN	32.84
Αρχικές Απώλειες	103.9

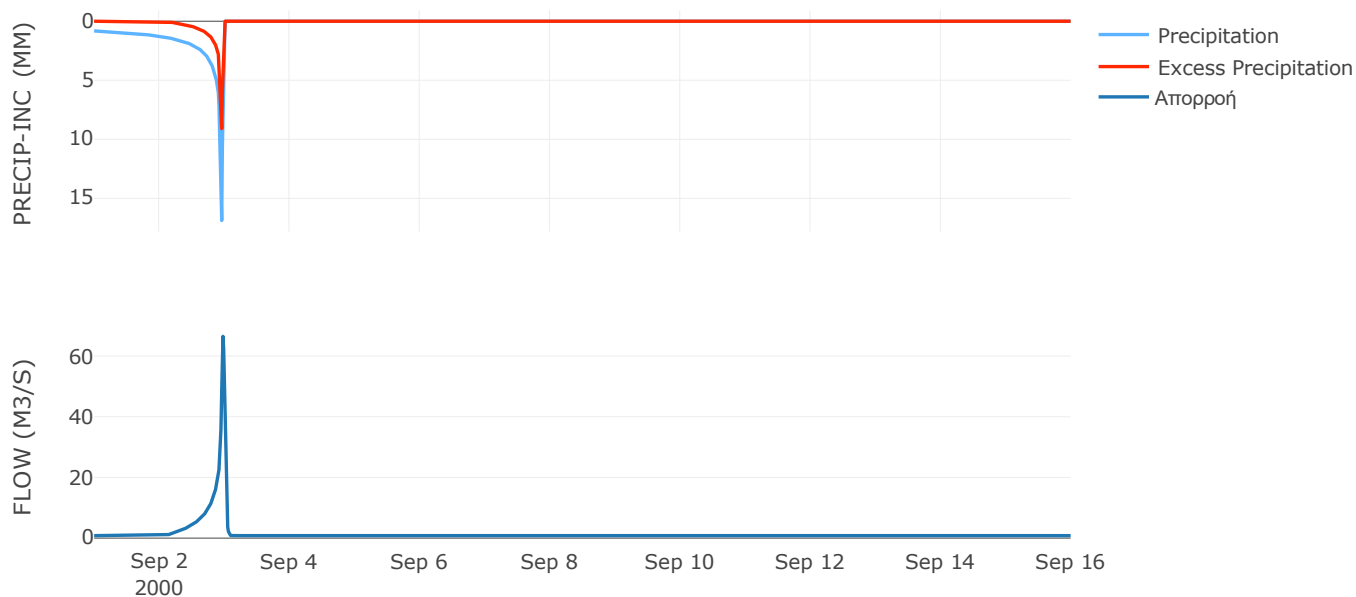
Μέθοδος
Μετασχηματισμού: SCS

Χρόνος Υστέρησης	27.03
------------------	-------

Αποτελέσματα:
EL0512FR1050

Παροχή αιχμής (M3/S)	66.51
Χρονική στιγμή αιχμής	02Sep2000, 23:30
Όγκος (MM)	227.01
Όγκος βροχόπτωσης (M3)	3.12E6
Όγκος απωλειών (M3)	2.33E6
Ενεργός Όγκος (M3)	7.95E5
Όγκος άμεσης απορροής (M3)	7.95E5
Όγκος βασικής απορροής (M3)	1.06E6

Βροχόπτωση και Απορροή



Υπολεκάνη: EL0512FR1051

Έκταση (KM2) : 3.84

Κατάντη : J3

Μέθοδος Απωλειών: SCS

Ποσοστό αδιαπέρατης επιφάνειας	0
Αριθμός Καμπύλης Απορροής-CN	61
Αρχικές Απώλειες	32.48

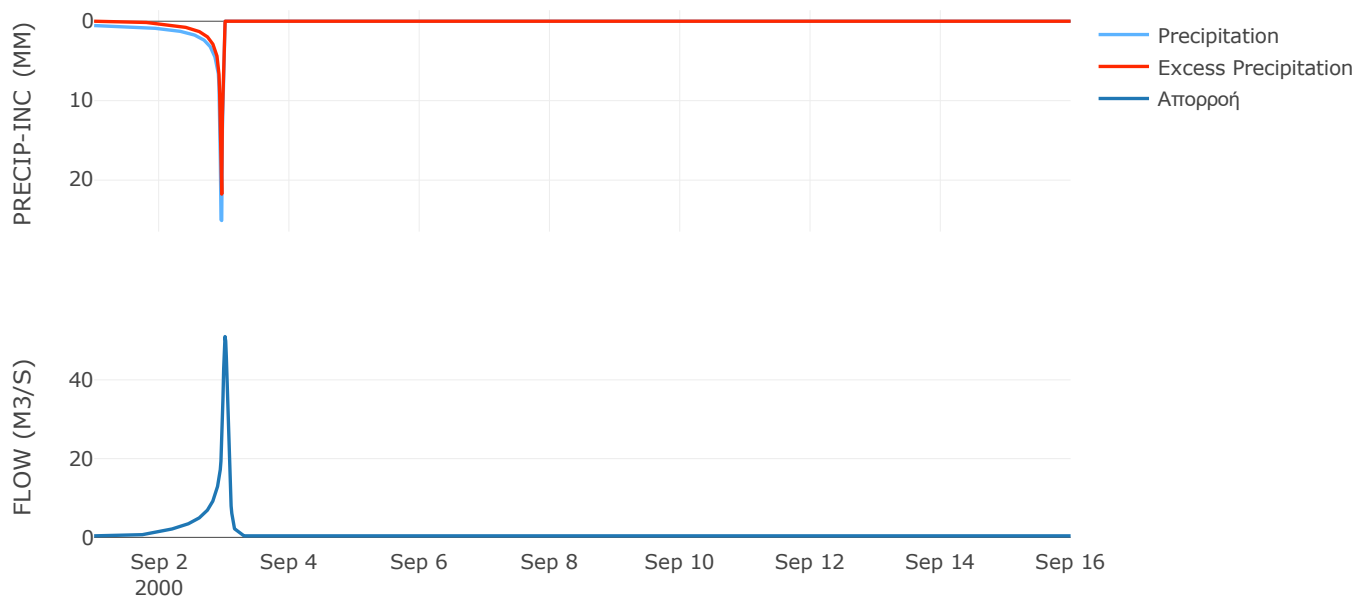
Μέθοδος
Μετασχηματισμού: SCS

Χρόνος Υστέρησης	77.64
------------------	-------

Αποτελέσματα:
EL0512FR1051

Παροχή αιχμής (M3/S)	51
Χρονική στιγμή αιχμής	03Sep2000, 00:15
Όγκος (MM)	347.94
Όγκος βροχόπτωσης (M3)	1.38E6
Όγκος απωλειών (M3)	5.41E5
Ενεργός Όγκος (M3)	8.38E5
Όγκος άμεσης απορροής (M3)	8.38E5
Όγκος βασικής απορροής (M3)	4.97E5

Βροχόπτωση και Απορροή



9.2 Δεδομένα και υδρογραφήματα σχεδιασμού Κλάδων υδρογραφικού δικτύου

Κλάδος: R21

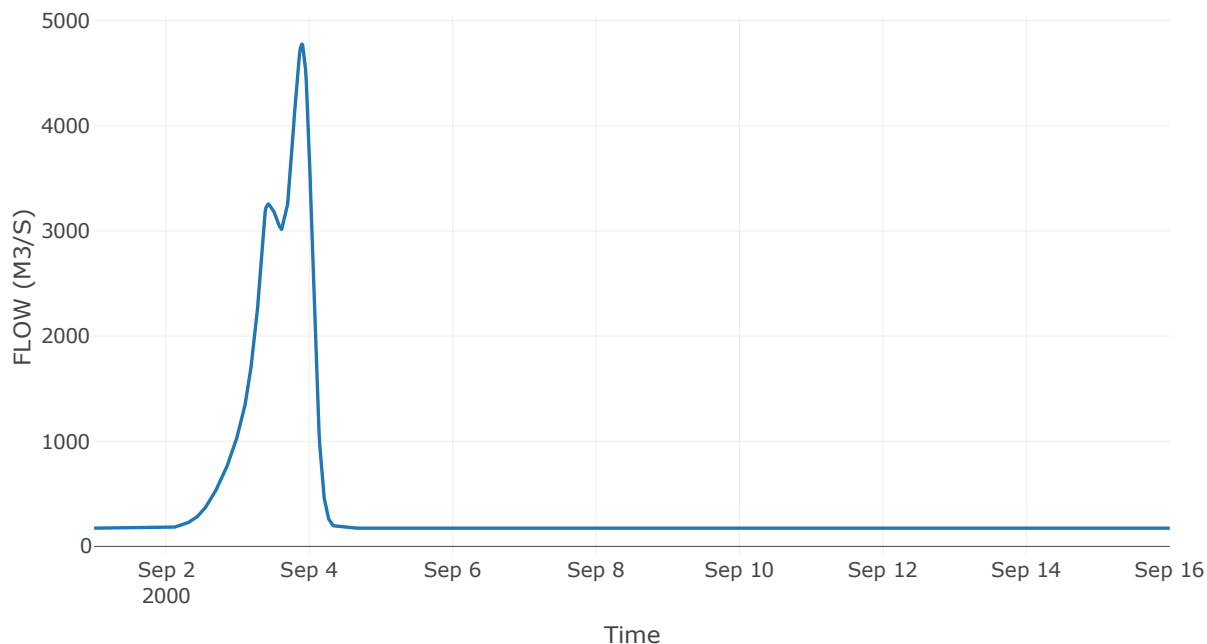
Κατάντη : J1

Μέθοδος Διόδευσης	Muskingum
Αρχική Μεταβλητή	Combined Inflow
Χρόνος Ροής K	4.9
Συντελεστής βάρους x	0.2
Πλήθος Υποκλάδων	23

Αποτελέσματα: R21

Παροχή Αιχμής (M3/S)	4776.19
Χρονική στιγμή αιχμής	03Sep2000, 21:30
Όγκος (MM)	299.53
Παροχή Αιχμής Εισόδου (M3/S)	4871.53
Όγκος Εισροής (M3)	5.19E8

Απορροή



Κλάδος: R32

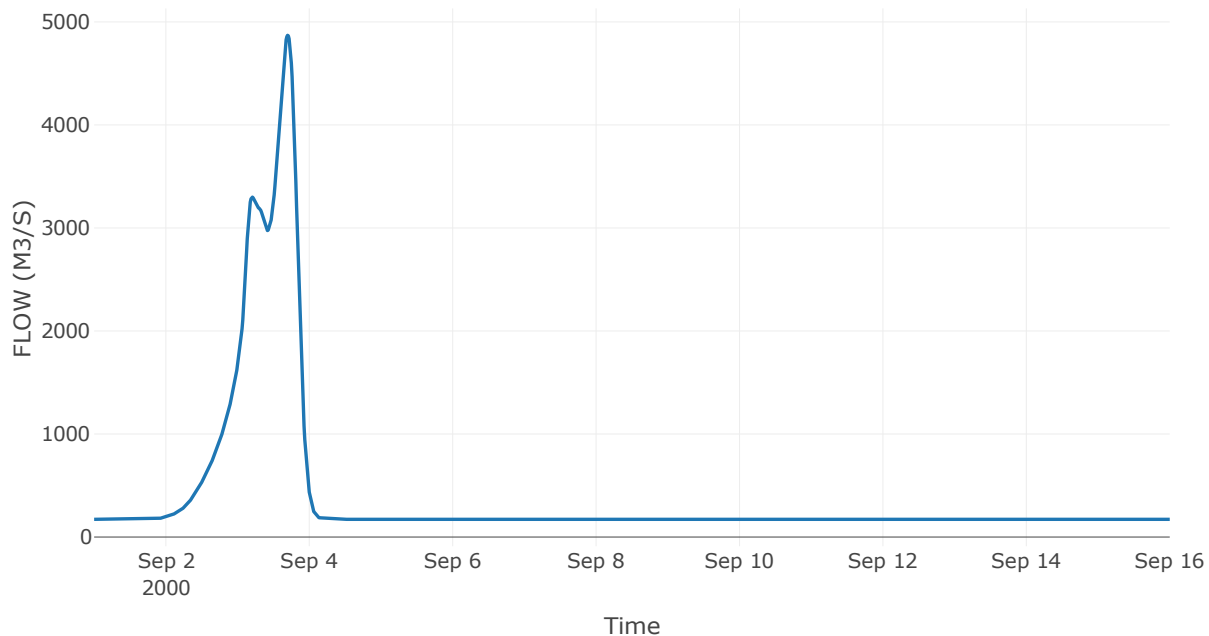
Κατάντη : J2

Μέθοδος Διόδευσης	Muskingum
Αρχική Μεταβλητή	Combined Inflow
Χρόνος Ροής K	2.97
Συντελεστής βάρους x	0.2
Πλήθος Υποκλάδων	14

Αποτελέσματα: R32

Παροχή Αιχμής (M3/S)	4870.19
Χρονική στιγμή αιχμής	03Sep2000, 16:45
Όγκος (MM)	299.52
Παροχή Αιχμής Εισόδου (M3/S)	4929.81
Όγκος Εισροής (M3)	5.15E8

Απορροή



Κλάδος: R43

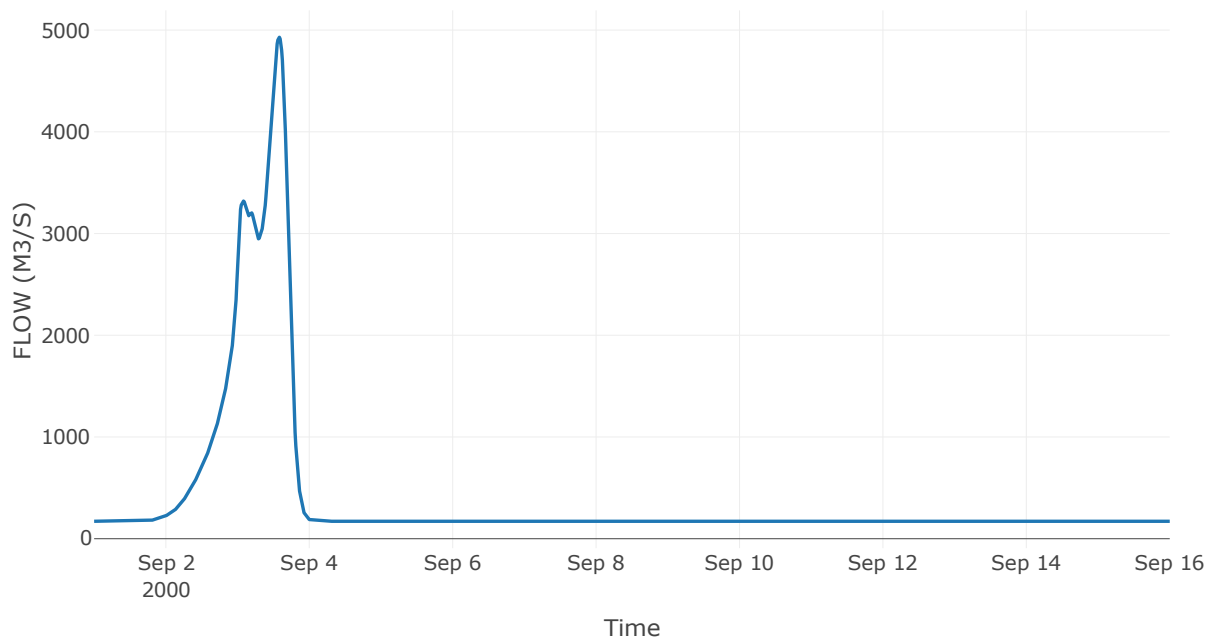
Κατάντη : J3

Μέθοδος Διόδευσης	Muskingum
Αρχική Μεταβλητή	Combined Inflow
Χρόνος Ροής K	0.52
Συντελεστής βάρους x	0.2
Πλήθος Υποκλάδων	2

Αποτελέσματα: R43

Παροχή Αιχμής (M3/S)	4929.43
Χρονική στιγμή αιχμής	03Sep2000, 14:00
Όγκος (MM)	299.41
Παροχή Αιχμής Εισόδου (M3/S)	4942.33
Όγκος Εισροής (M3)	5.14E8

Απορροή



Κλάδος: R54

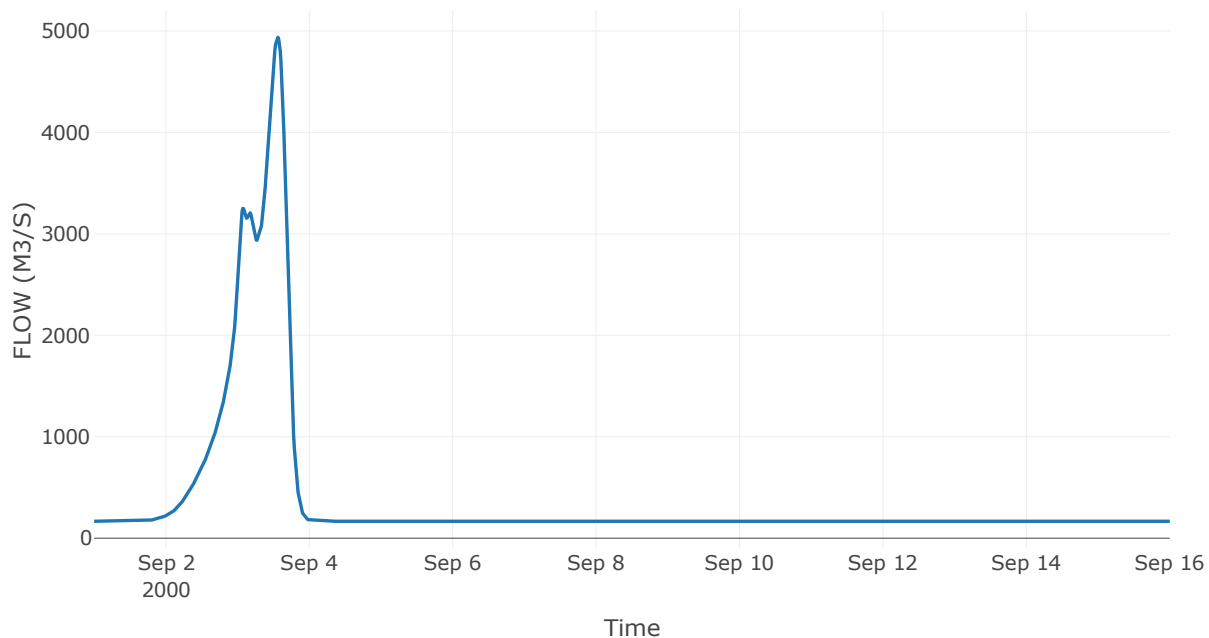
Κατάντη : J4

Μέθοδος Διόδευσης	Muskingum
Αρχική Μεταβλητή	Combined Inflow
Χρόνος Ροής K	0.19
Συντελεστής βάρους x	0.2
Πλήθος Υποκλάδων	1

Αποτελέσματα: R54

Παροχή Αιχμής (M3/S)	4937.39
Χρονική στιγμή αιχμής	03Sep2000, 13:30
Όγκος (MM)	299.87
Παροχή Αιχμής Εισόδου (M3/S)	4941.62
Όγκος Εισροής (M3)	5E8

Απορροή



Κλάδος: R65

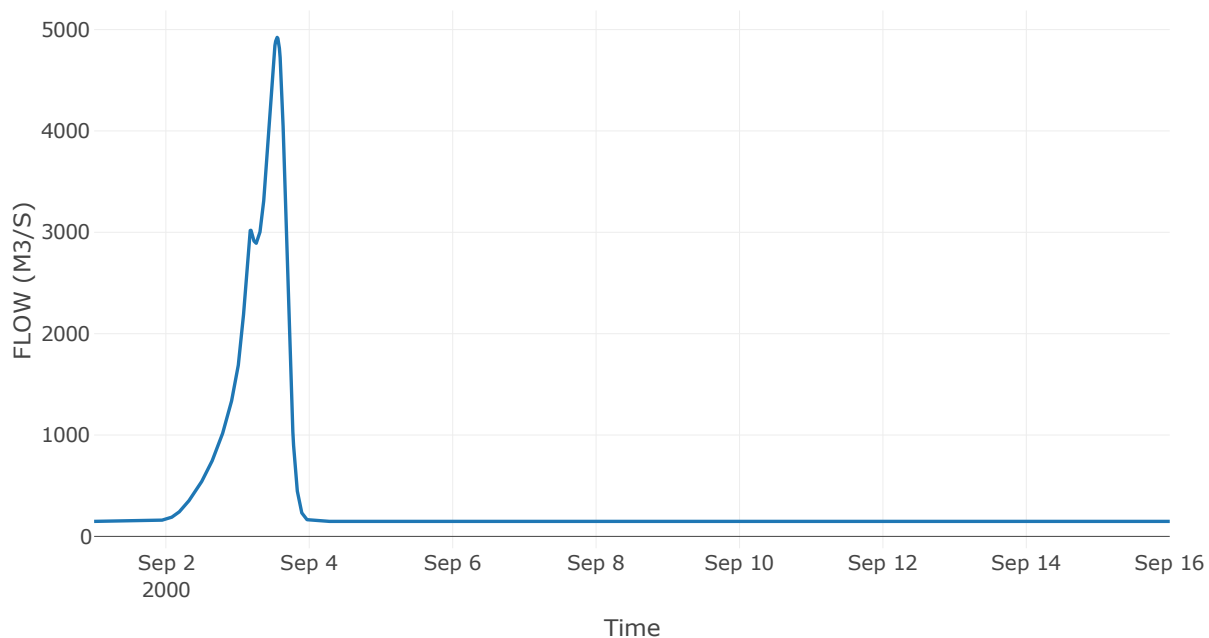
Κατάντη : J5

Μέθοδος Διόδευσης	Muskingum
Αρχική Μεταβλητή	Combined Inflow
Χρόνος Ροής K	1.93
Συντελεστής βάρους x	0.2
Πλήθος Υποκλάδων	9

Αποτελέσματα: R65

Παροχή Αιχμής (M3/S)	4923.21
Χρονική στιγμή αιχμής	03Sep2000, 13:15
Όγκος (MM)	299.59
Παροχή Αιχμής Εισόδου (M3/S)	4962.78
Όγκος Εισροής (M3)	4.44E8

Απορροή



Κλάδος: R76

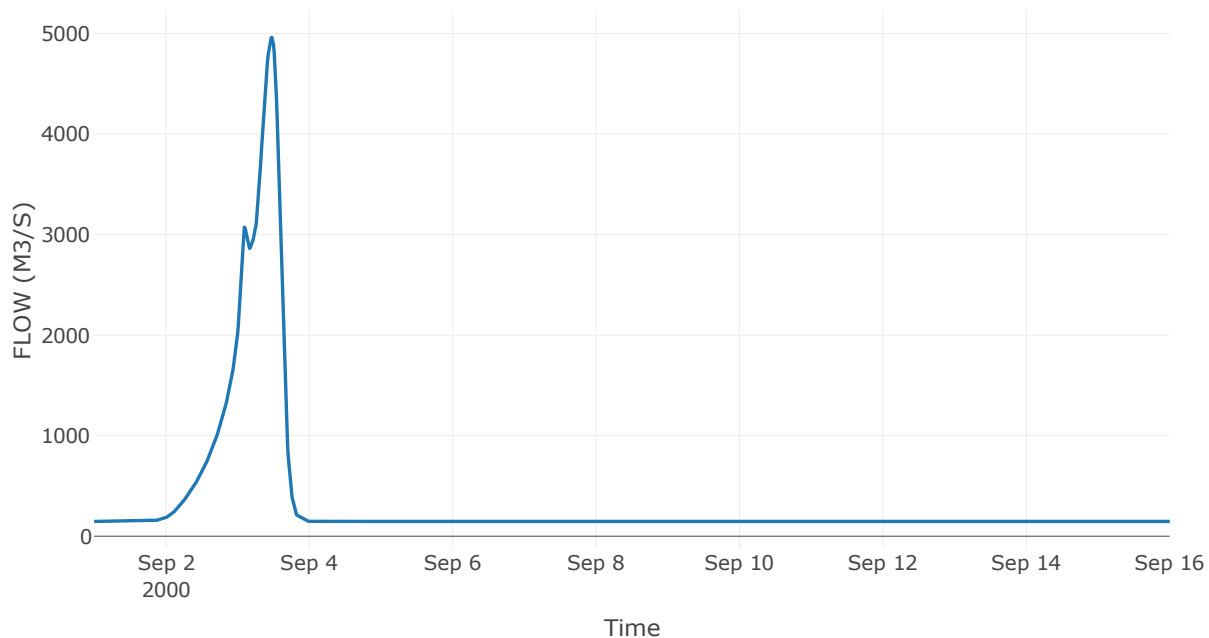
Κατάντη : J6

Μέθοδος Διόδευσης	Muskingum
Αρχική Μεταβλητή	Combined Inflow
Χρόνος Ροής K	1.66
Συντελεστής βάρους x	0.2
Πλήθος Υποκλάδων	8

Αποτελέσματα: R76

Παροχή Αιχμής (M3/S)	4961.49
Χρονική στιγμή αιχμής	03Sep2000, 11:30
Όγκος (MM)	299.65
Παροχή Αιχμής Εισόδου (M3/S)	4996.74
Όγκος Εισροής (M3)	4.4E8

Απορροή



Κλάδος: R87

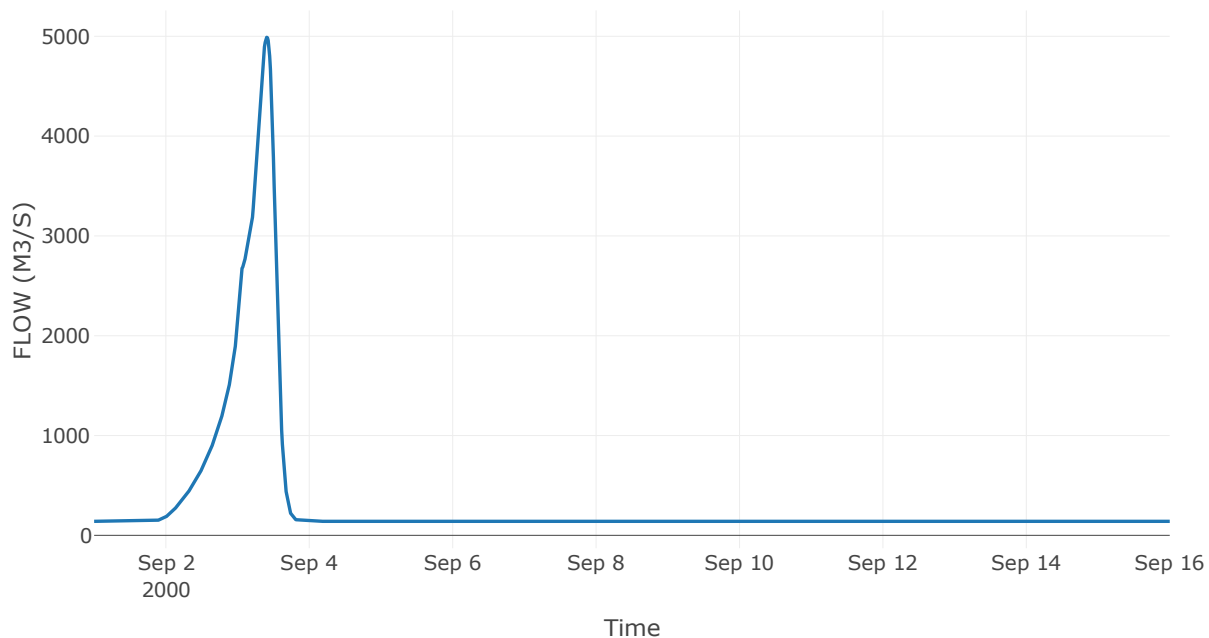
Κατάντη : J7

Μέθοδος Διόδευσης	Muskingum
Αρχική Μεταβλητή	Combined Inflow
Χρόνος Ροής K	0.89
Συντελεστής βάρους x	0.2
Πλήθος Υποκλάδων	4

Αποτελέσματα: R87

Παροχή Αιχμής (M3/S)	4990.06
Χρονική στιγμή αιχμής	03Sep2000, 09:45
Όγκος (MM)	297.76
Παροχή Αιχμής Εισόδου (M3/S)	5011.75
Όγκος Εισροής (M3)	4.18E8

Απορροή



Κλάδος: R98

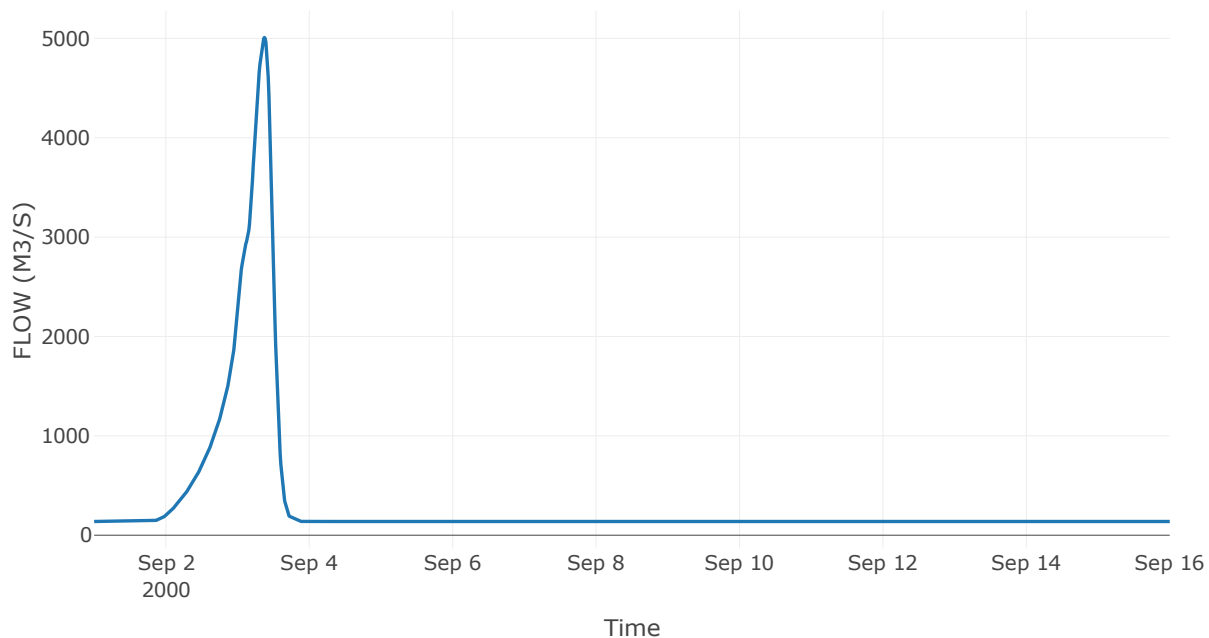
Κατάντη : J8

Μέθοδος Διόδευσης	Muskingum
Αρχική Μεταβλητή	Combined Inflow
Χρόνος Ροής K	0.37
Συντελεστής βάρους x	0.2
Πλήθος Υποκλάδων	2

Αποτελέσματα: R98

Παροχή Αιχμής (M3/S)	5009.27
Χρονική στιγμή αιχμής	03Sep2000, 09:00
Όγκος (MM)	298.05
Παροχή Αιχμής Εισόδου (M3/S)	5015.01
Όγκος Εισροής (M3)	4.11E8

Απορροή



Κλάδος: R109

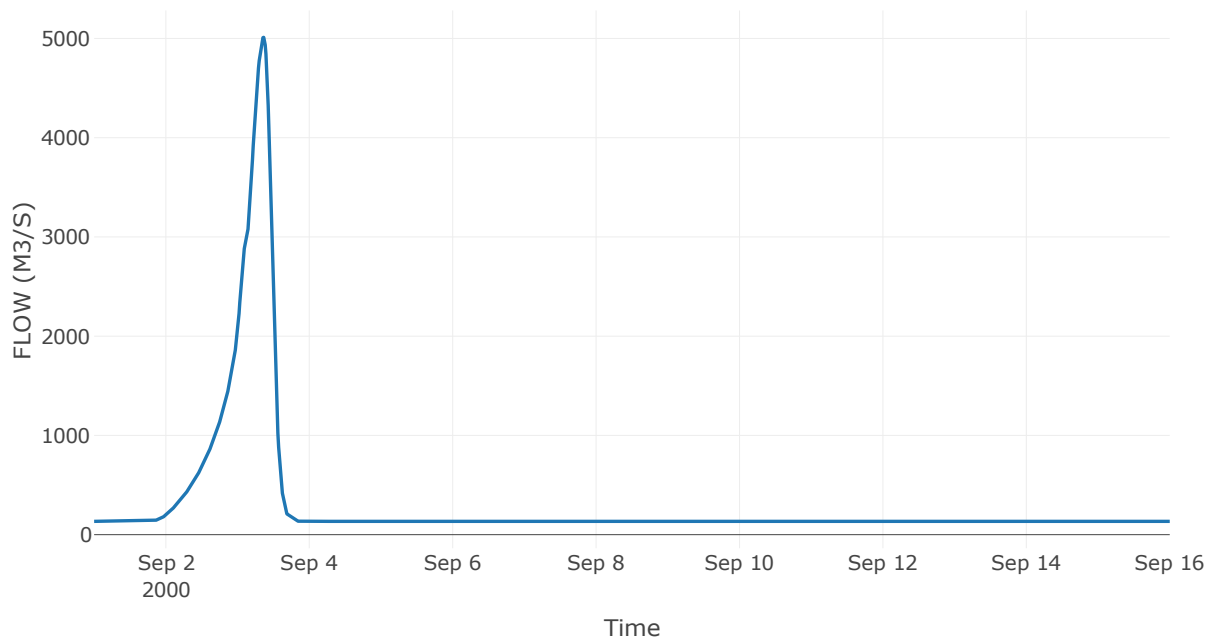
Κατάντη : J9

Μέθοδος Διόδευσης	Muskingum
Αρχική Μεταβλητή	Combined Inflow
Χρόνος Ροής K	1.66
Συντελεστής βάρους x	0.2
Πλήθος Υποκλάδων	8

Αποτελέσματα: R109

Παροχή Αιχμής (M3/S)	5011.22
Χρονική στιγμή αιχμής	03Sep2000, 08:45
Όγκος (MM)	297.52
Παροχή Αιχμής Εισόδου (M3/S)	5048.27
Όγκος Εισροής (M3)	3.99E8

Απορροή



Κλάδος: R1110

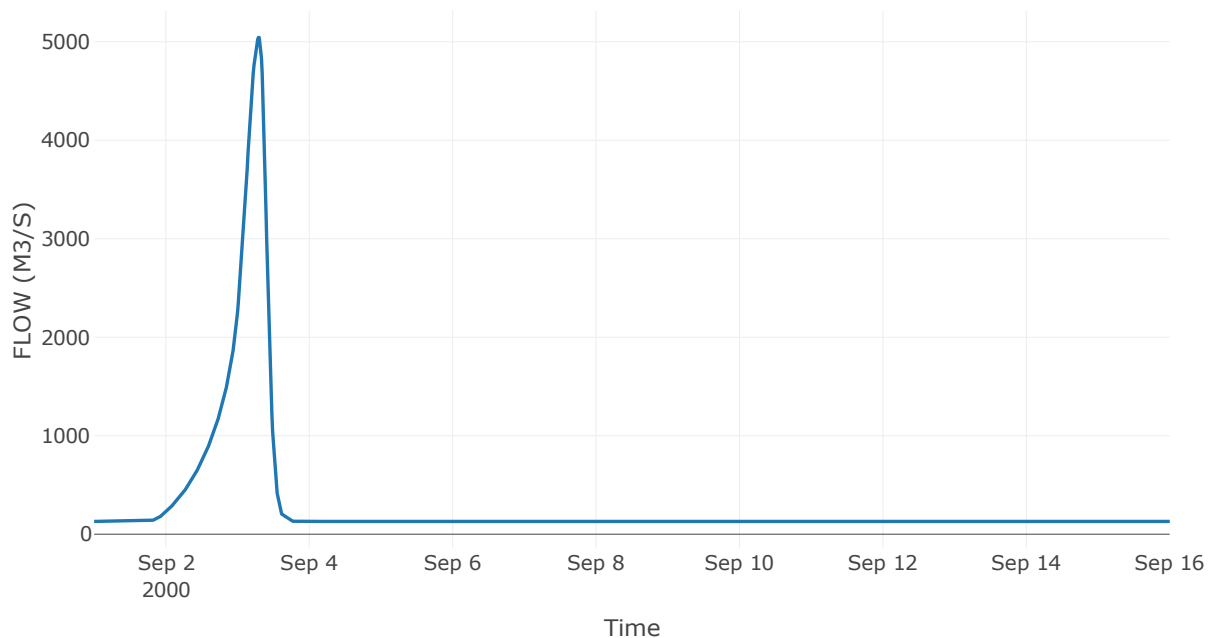
Κατάντη : J10

Μέθοδος Διόδευσης	Muskingum
Αρχική Μεταβλητή	Combined Inflow
Χρόνος Ροής K	1.34
Συντελεστής βάρους x	0.2
Πλήθος Υποκλάδων	6

Αποτελέσματα: R1110

Παροχή Αιχμής (M3/S)	5044.02
Χρονική στιγμή αιχμής	03Sep2000, 07:00
Όγκος (MM)	296.37
Παροχή Αιχμής Εισόδου (M3/S)	5079.35
Όγκος Εισροής (M3)	3.85E8

Απορροή



Κλάδος: R1223

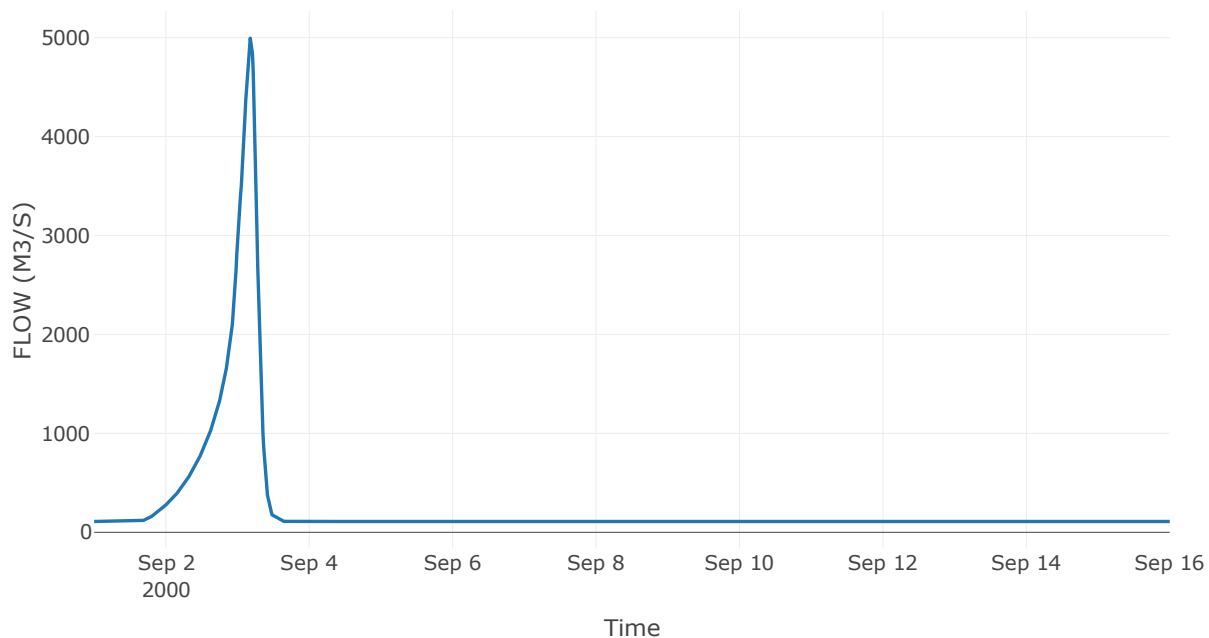
Κατάντη : J23

Μέθοδος Διόδευσης	Muskingum
Αρχική Μεταβλητή	Combined Inflow
Χρόνος Ροής K	0.12
Συντελεστής βάρους x	0.2
Πλήθος Υποκλάδων	1

Αποτελέσματα: R1223

Παροχή Αιχμής (M3/S)	5002.39
Χρονική στιγμή αιχμής	03Sep2000, 04:30
Όγκος (MM)	301.9
Παροχή Αιχμής Εισόδου (M3/S)	5008.32
Όγκος Εισροής (M3)	3.3E8

Απορροή



Κλάδος: R1312

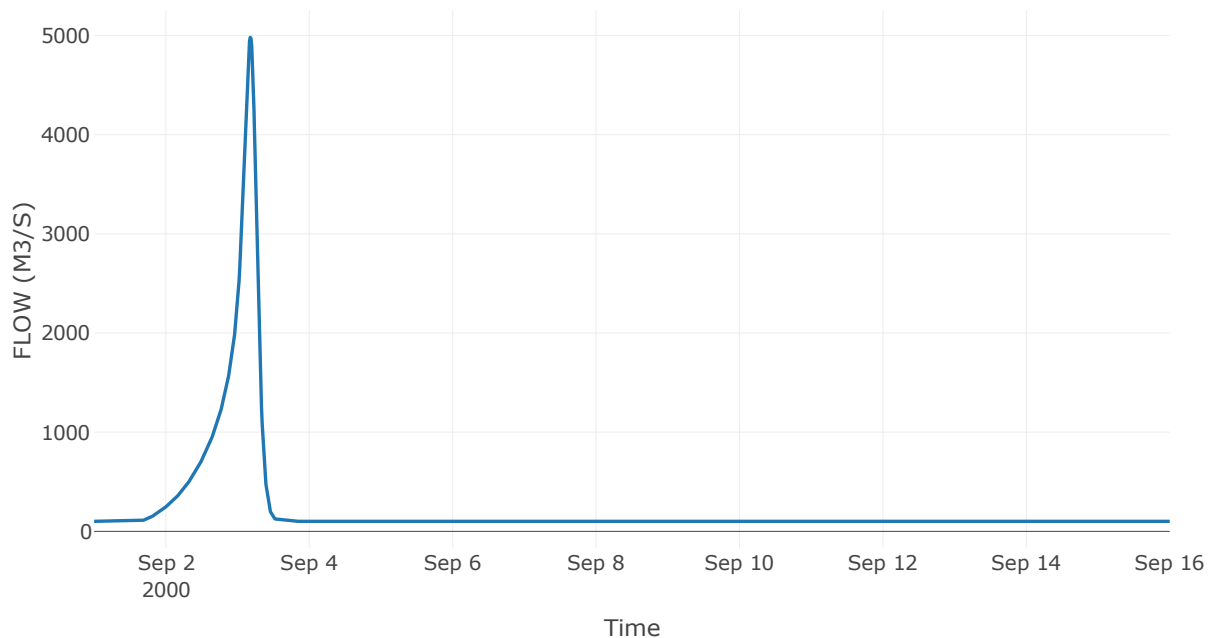
Κατάντη : J12

Μέθοδος Διόδευσης	Muskingum
Αρχική Μεταβλητή	Combined Inflow
Χρόνος Ροής K	1.84
Συντελεστής βάρους x	0.2
Πλήθος Υποκλάδων	9

Αποτελέσματα: R1312

Παροχή Αιχμής (M3/S)	4981.16
Χρονική στιγμή αιχμής	03Sep2000, 04:15
Όγκος (MM)	299.86
Παροχή Αιχμής Εισόδου (M3/S)	5087.78
Όγκος Εισροής (M3)	3.03E8

Απορροή



Κλάδος: R1413

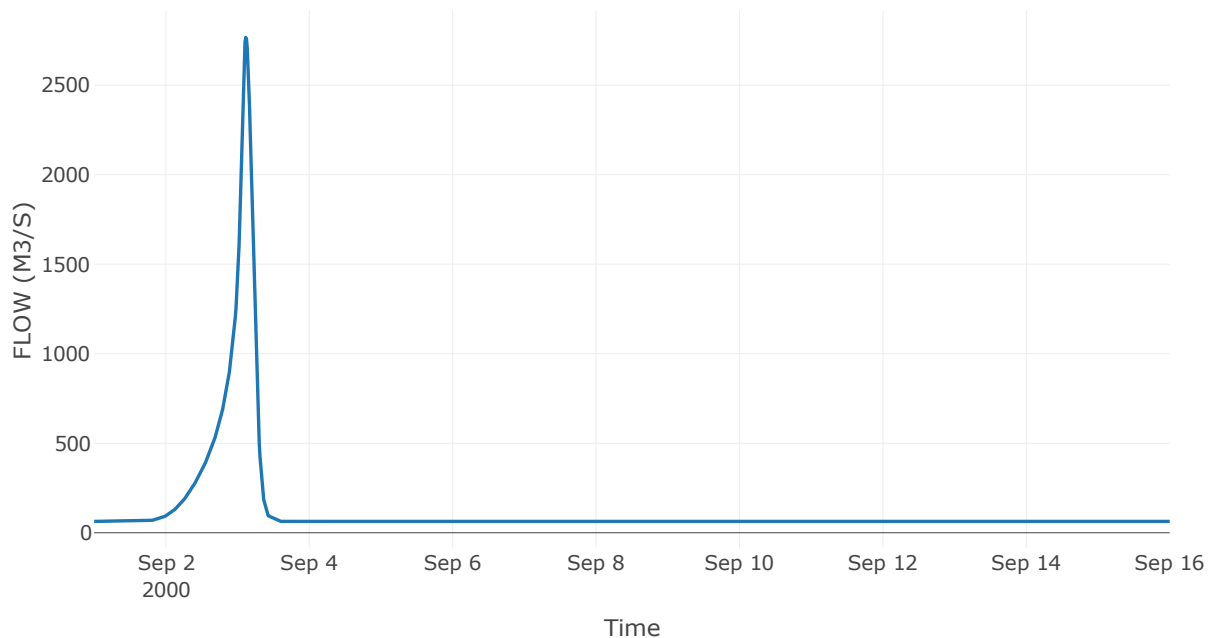
Κατάντη : J13

Μέθοδος Διόδευσης	Muskingum
Αρχική Μεταβλητή	Combined Inflow
Χρόνος Ροής K	1.6
Συντελεστής βάρους x	0.2
Πλήθος Υποκλάδων	8

Αποτελέσματα: R1413

Παροχή Αιχμής (M3/S)	2766.76
Χρονική στιγμή αιχμής	03Sep2000, 02:45
Όγκος (MM)	259.53
Παροχή Αιχμής Εισόδου (M3/S)	2824.77
Όγκος Εισροής (M3)	1.65E8

Απορροή



Κλάδος: R1514

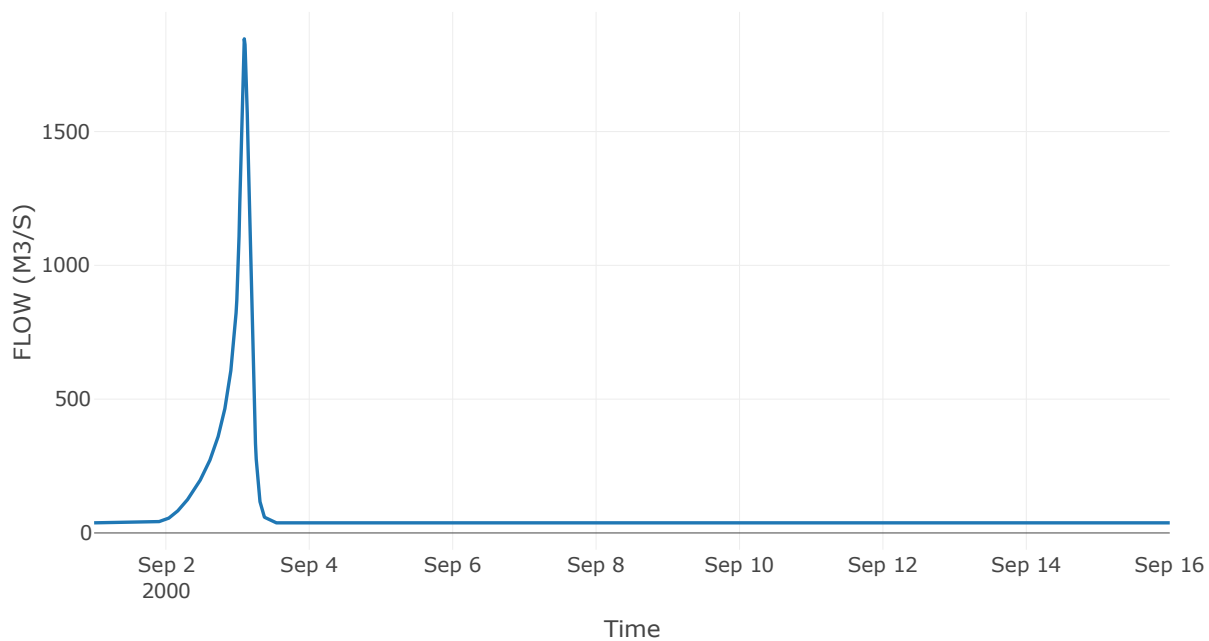
Κατάντη : J14

Μέθοδος Διόδευσης	Χρόνος
Αρχική Μεταβλητή	Combined Inflow
Χρόνος Υστέρησης	60.66

Αποτελέσματα: R1514

Παροχή Αιχμής (M3/S)	1846.6
Χρονική στιγμή αιχμής	03Sep2000, 02:15
Όγκος (MM)	255.66
Παροχή Αιχμής Εισόδου (M3/S)	1846.6
Όγκος Εισροής (M3)	9.64E7

Απορροή



Κλάδος: R1615

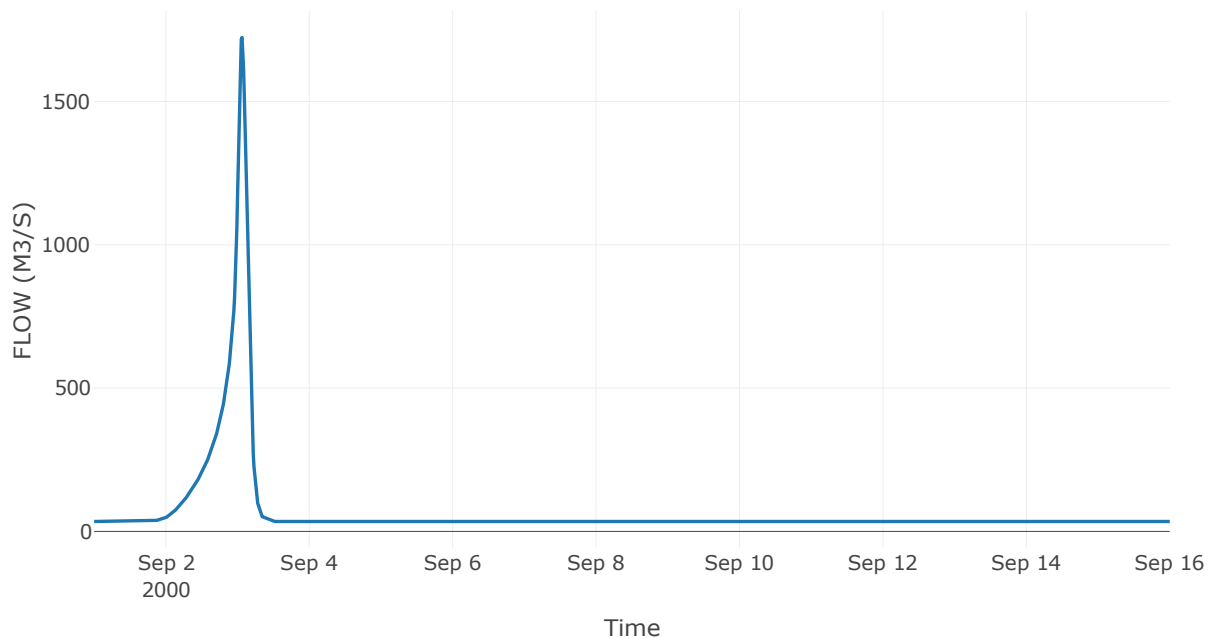
Κατάντη : J15

Μέθοδος Διόδευσης	Muskingum
Αρχική Μεταβλητή	Combined Inflow
Χρόνος Ροής Κ	0.55
Συντελεστής βάρους x	0.2
Πλήθος Υποκλάδων	3

Αποτελέσματα: R1615

Παροχή Αιχμής (M3/S)	1723.4
Χρονική στιγμή αιχμής	03Sep2000, 01:30
Όγκος (MM)	254.95
Παροχή Αιχμής Εισόδου (M3/S)	1744
Όγκος Εισροής (M3)	8.84E7

Απορροή



Κλάδος: R1716

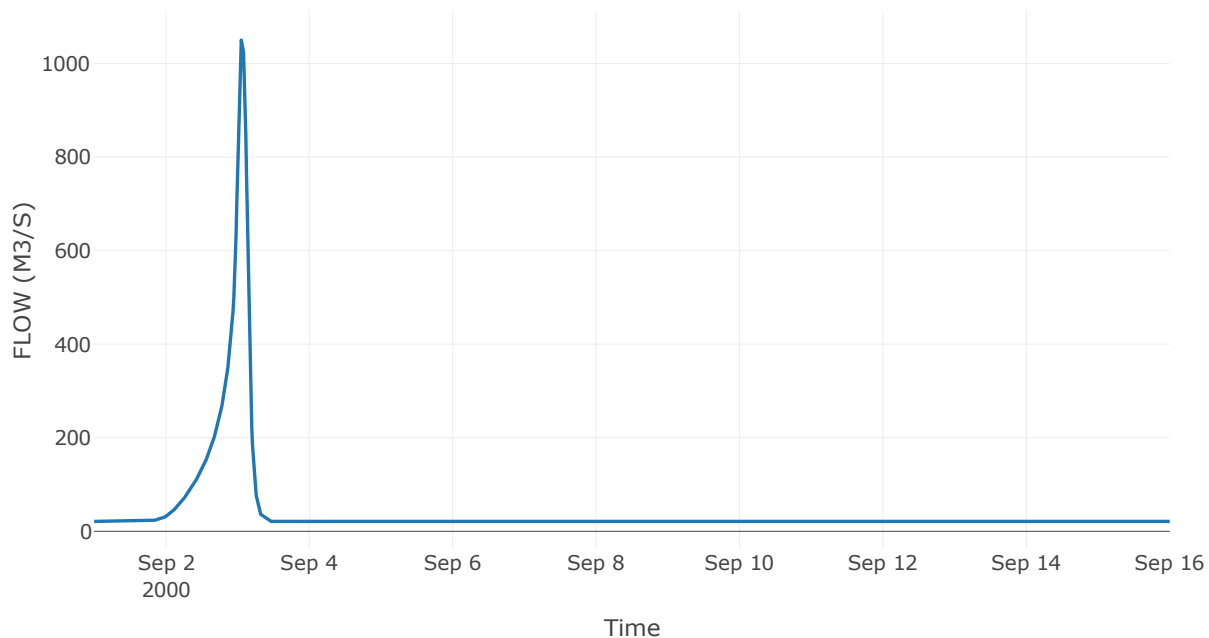
Κατάντη : J16

Μέθοδος Διόδευσης	Muskingum
Αρχική Μεταβλητή	Combined Inflow
Χρόνος Ροής K	0.16
Συντελεστής βάρους x	0.2
Πλήθος Υποκλάδων	1

Αποτελέσματα: R1716

Παροχή Αιχμής (M3/S)	1055.93
Χρονική στιγμή αιχμής	03Sep2000, 01:30
Όγκος (MM)	260.89
Παροχή Αιχμής Εισόδου (M3/S)	1057.07
Όγκος Εισροής (M3)	5.52E7

Απορροή



Κλάδος: R1817

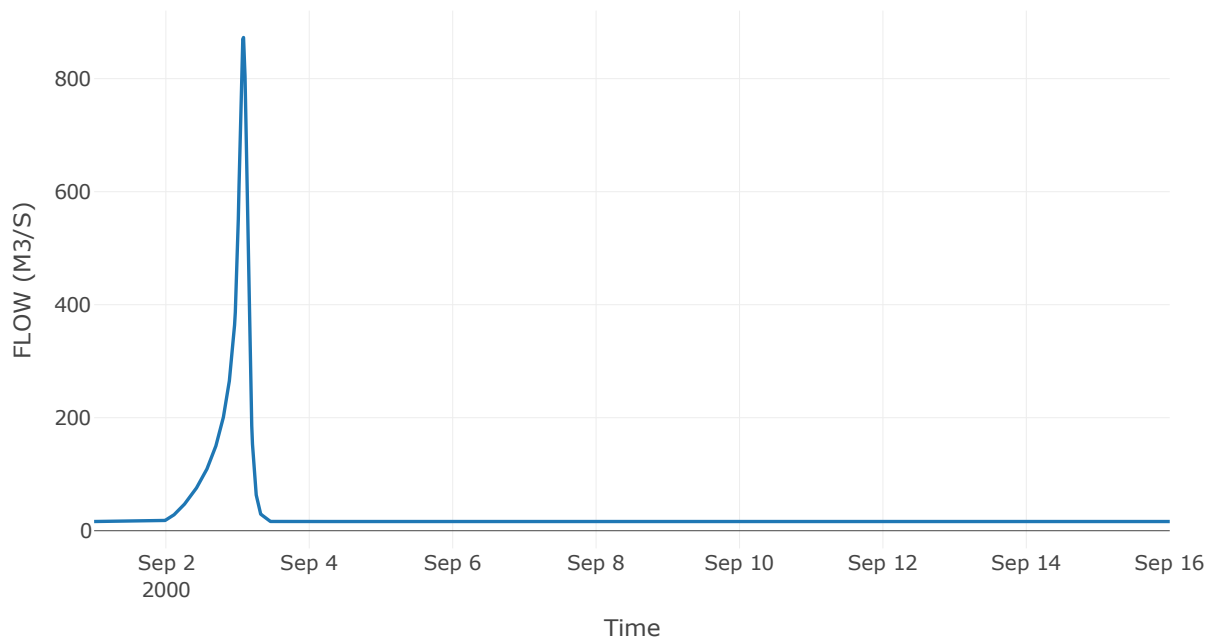
Κατάντη : J17

Μέθοδος Διόδευσης	Muskingum
Αρχική Μεταβλητή	Combined Inflow
Χρόνος Ροής K	0.77
Συντελεστής βάρους x	0.2
Πλήθος Υποκλάδων	4

Αποτελέσματα: R1817

Παροχή Αιχμής (M3/S)	872.85
Χρονική στιγμή αιχμής	03Sep2000, 02:00
Όγκος (MM)	254.32
Παροχή Αιχμής Εισόδου (M3/S)	891.37
Όγκος Εισροής (M3)	4.14E7

Απορροή



Κλάδος: R1918

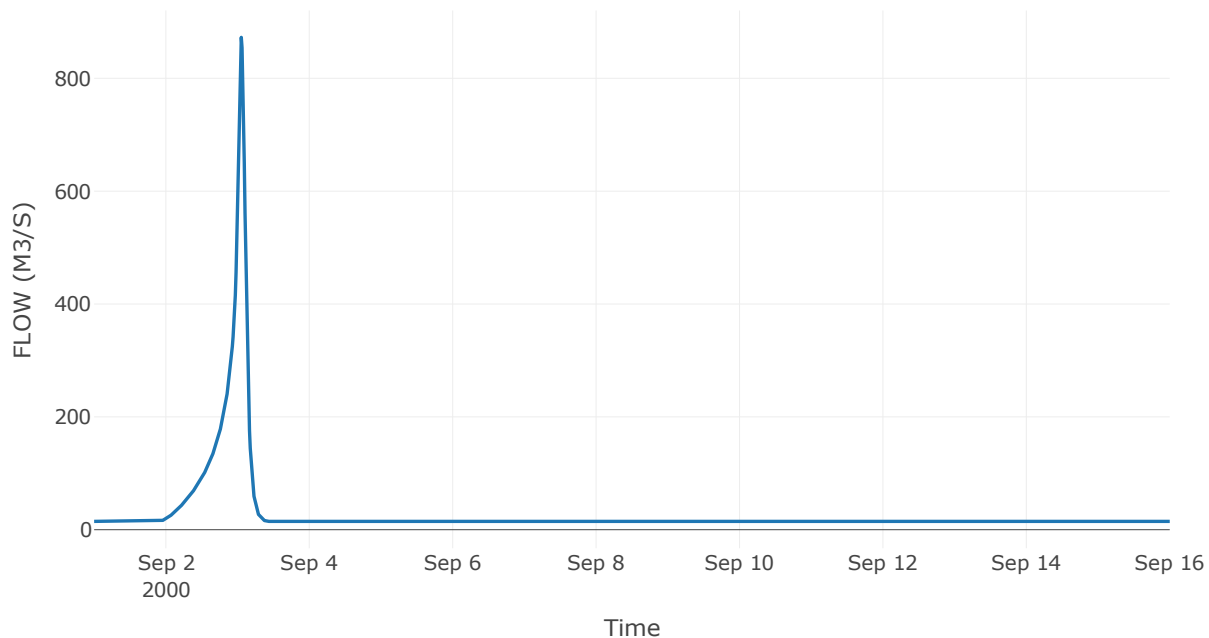
Κατάντη : J18

Μέθοδος Διόδευσης	Muskingum
Αρχική Μεταβλητή	Combined Inflow
Χρόνος Ροής K	0.68
Συντελεστής βάρους x	0.2
Πλήθος Υποκλάδων	3

Αποτελέσματα: R1918

Παροχή Αιχμής (M3/S)	872.62
Χρονική στιγμή αιχμής	03Sep2000, 01:15
Όγκος (MM)	258.03
Παροχή Αιχμής Εισόδου (M3/S)	897.62
Όγκος Εισροής (M3)	3.81E7

Απορροή



Κλάδος: R2016

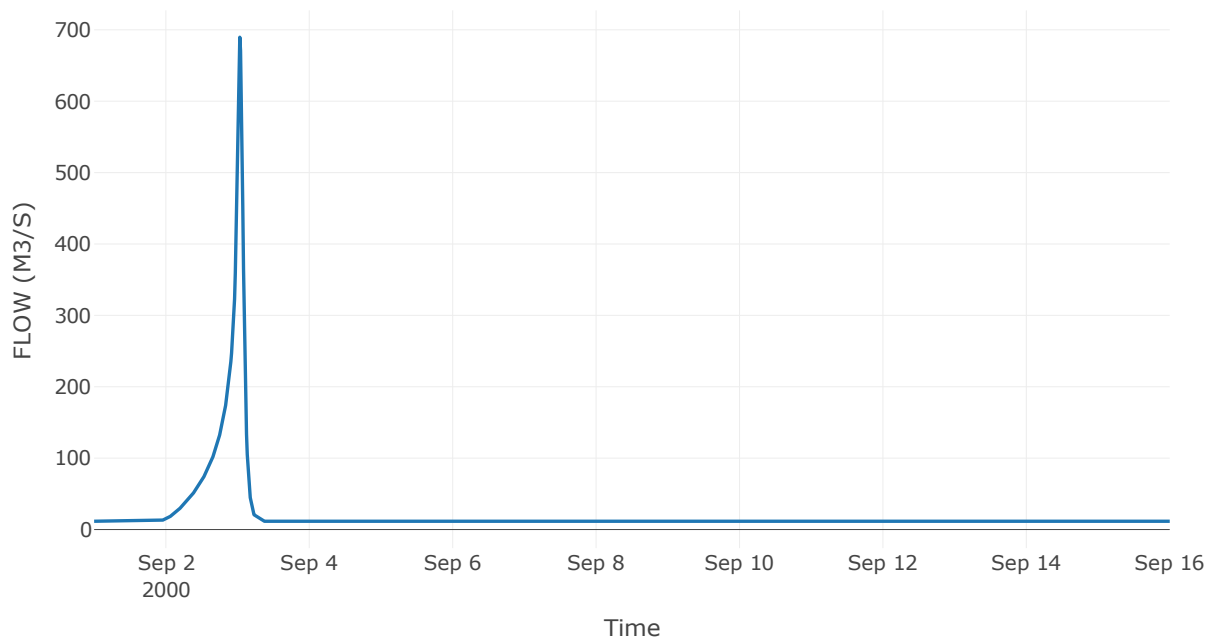
Κατάντη : J16

Μέθοδος Διόδευσης	Muskingum
Αρχική Μεταβλητή	Combined Inflow
Χρόνος Ροής Κ	0.34
Συντελεστής βάρους α	0.2
Πλήθος Υποκλάδων	2

Αποτελέσματα: R2016

Παροχή Αιχμής (M3/S)	689.63
Χρονική στιγμή αιχμής	03Sep2000, 00:45
Όγκος (MM)	242.87
Παροχή Αιχμής Εισόδου (M3/S)	697.91
Όγκος Εισροής (M3)	2.82E7

Απορροή



Κλάδος: R2120

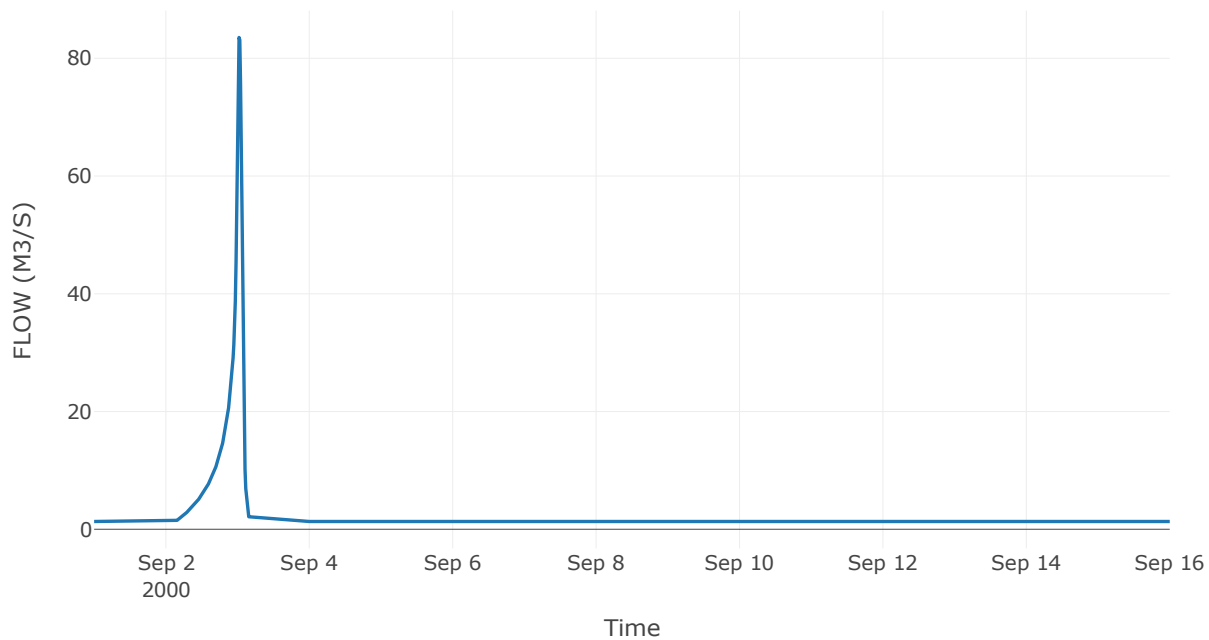
Κατάντη : J20

Μέθοδος Διόδευσης	Muskingum
Αρχική Μεταβλητή	Combined Inflow
Χρόνος Ροής K	0.77
Συντελεστής βάρους x	0.2
Πλήθος Υποκλάδων	4

Αποτελέσματα: R2120

Παροχή Αιχμής (M3/S)	83.54
Χρονική στιγμή αιχμής	03Sep2000, 00:30
Όγκος (MM)	221.88
Παροχή Αιχμής Εισόδου (M3/S)	89.32
Όγκος Εισροής (M3)	2.93E6

Απορροή



Κλάδος: R2214

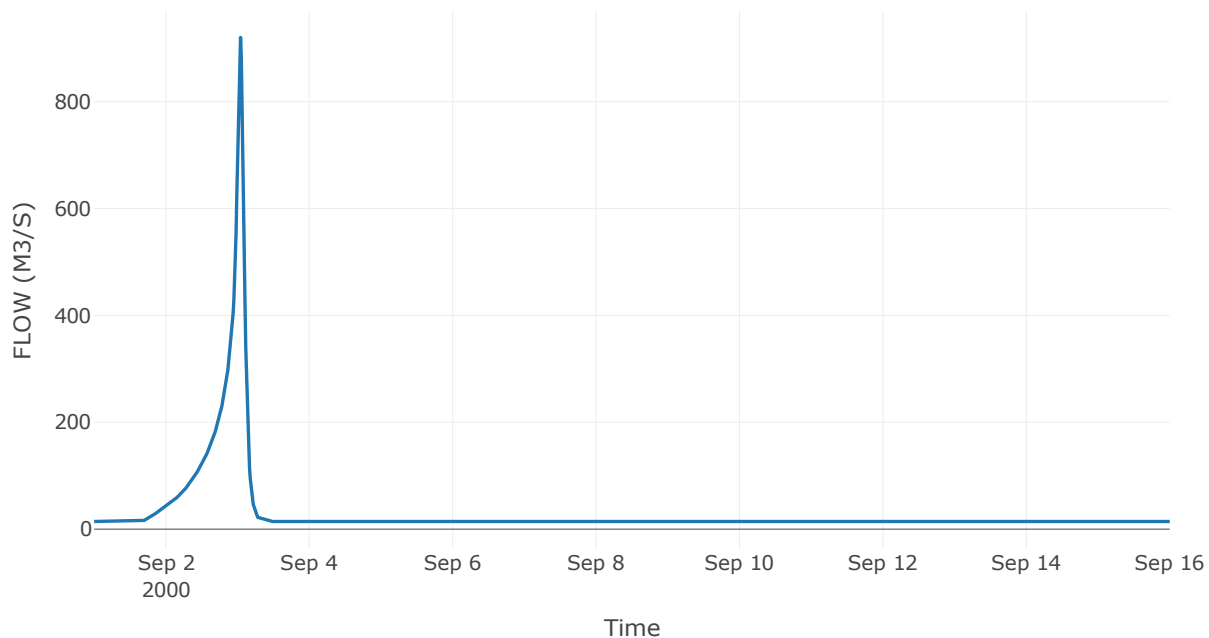
Κατάντη : J14

Μέθοδος Διόδευσης	Muskingum
Αρχική Μεταβλητή	Combined Inflow
Χρόνος Ροής K	0.42
Συντελεστής βάρους x	0.2
Πλήθος Υποκλάδων	2

Αποτελέσματα: R2214

Παροχή Αιχμής (M3/S)	920.21
Χρονική στιγμή αιχμής	03Sep2000, 01:00
Όγκος (MM)	281.04
Παροχή Αιχμής Εισόδου (M3/S)	941.08
Όγκος Εισροής (M3)	4.02E7

Απορροή



Κλάδος: R2311

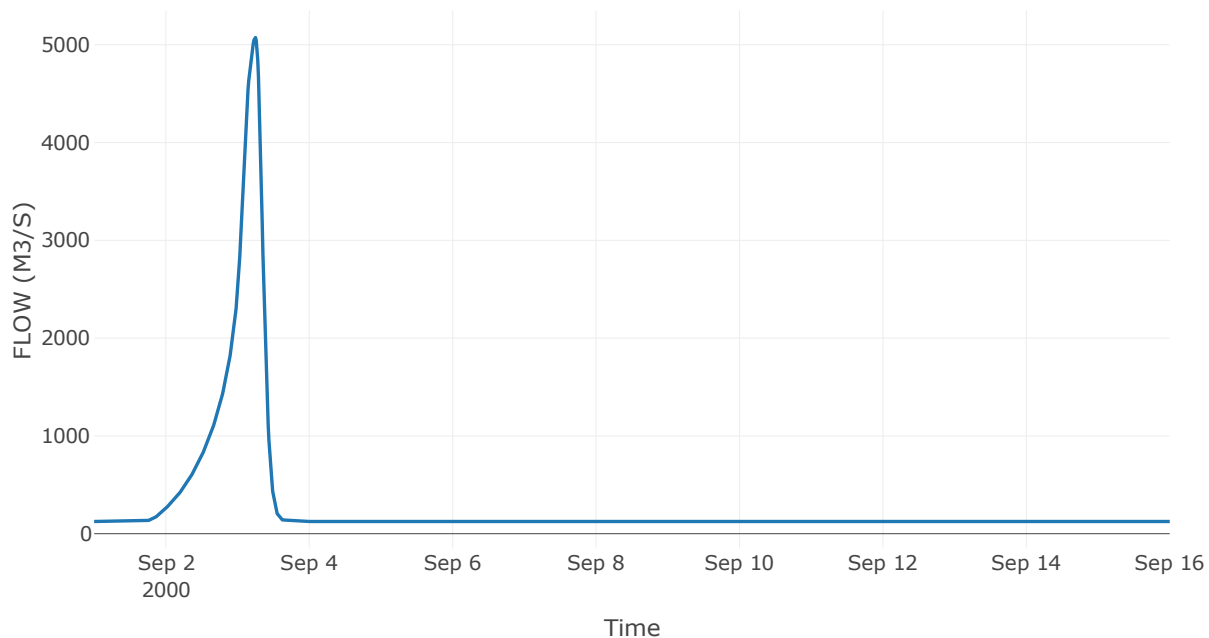
Κατάντη : J11

Μέθοδος Διόδευσης	Muskingum
Αρχική Μεταβλητή	Combined Inflow
Χρόνος Ροής Κ	1.83
Συντελεστής βάρους x	0.2
Πλήθος Υποκλάδων	9

Αποτελέσματα: R2311

Παροχή Αιχμής (M3/S)	5074.71
Χρονική στιγμή αιχμής	03Sep2000, 06:00
Όγκος (MM)	298.32
Παροχή Αιχμής Εισόδου (M3/S)	5130.48
Όγκος Εισροής (M3)	3.73E8

Απορροή



Κλάδος: R2423

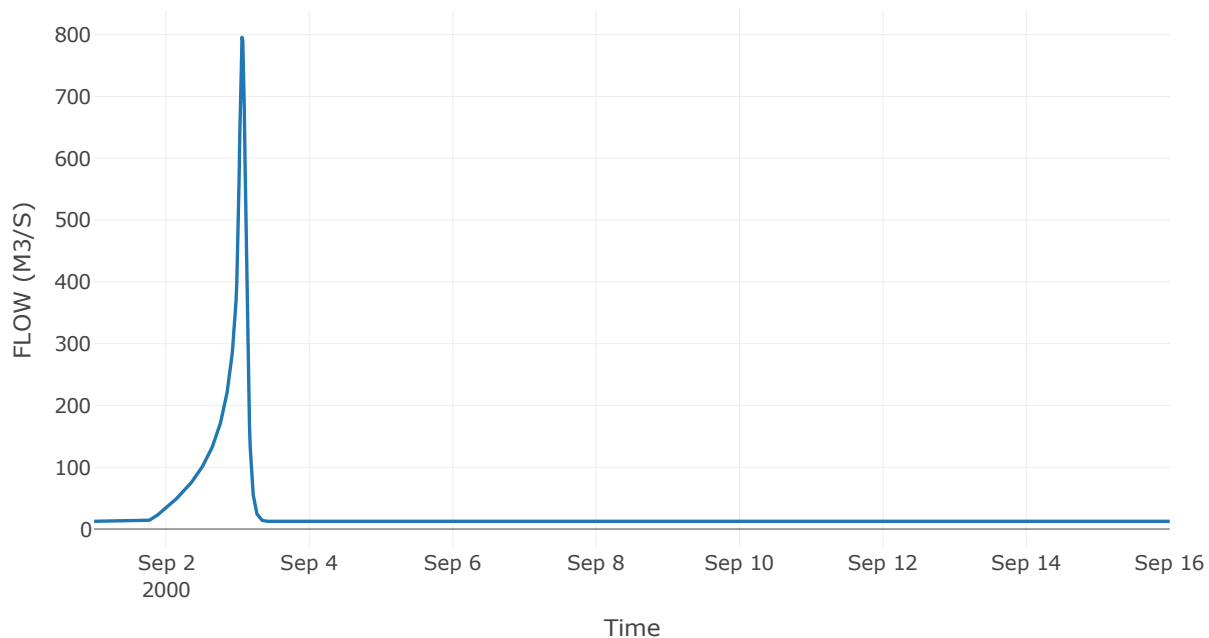
Κατάντη : J23

Μέθοδος Διόδευσης	Muskingum
Αρχική Μεταβλητή	Combined Inflow
Χρόνος Ροής Κ	1.32
Συντελεστής βάρους α	0.2
Πλήθος Υποκλάδων	6

Αποτελέσματα: R2423

Παροχή Αιχμής (M3/S)	795.77
Χρονική στιγμή αιχμής	03Sep2000, 01:30
Όγκος (MM)	276.57
Παροχή Αιχμής Εισόδου (M3/S)	854.71
Όγκος Εισροής (M3)	3.46E7

Απορροή



Κλάδος: R257

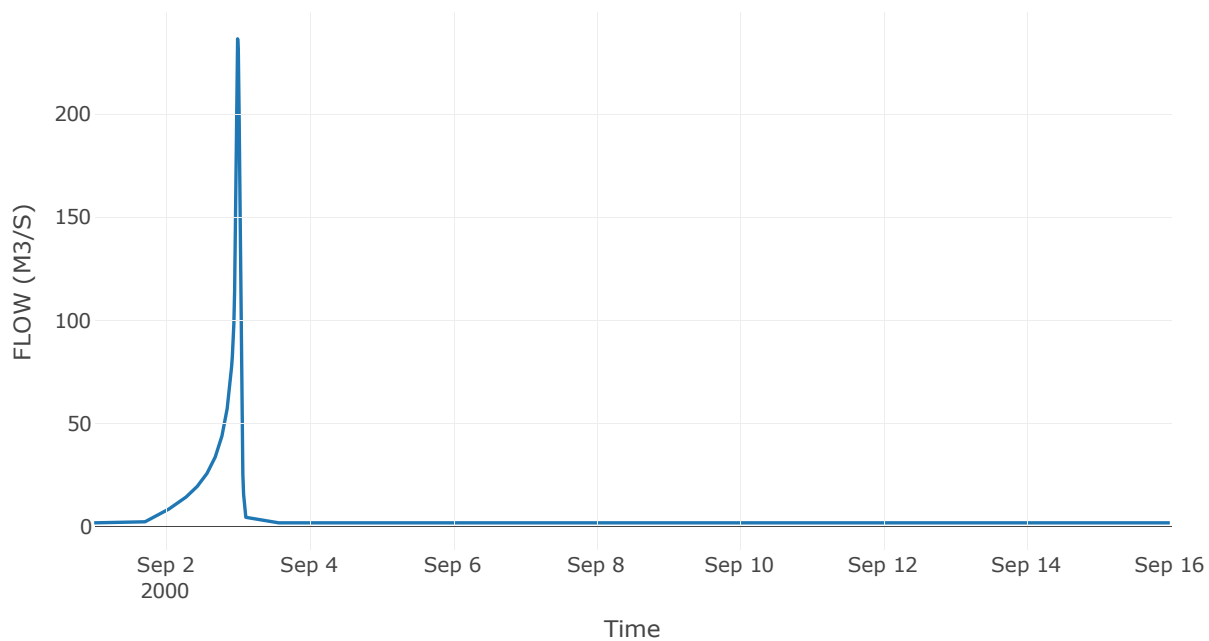
Κατάντη : J7

Μέθοδος Διόδευσης	Χρόνος
Αρχική Μεταβλητή	Combined Inflow
Χρόνος Υστέρησης	21.95

Αποτελέσματα: R257

Παροχή Αιχμής (M3/S)	236.3
Χρονική στιγμή αιχμής	02Sep2000, 24:00
Όγκος (MM)	315.21
Παροχή Αιχμής Εισόδου (M3/S)	239.88
Όγκος Εισροής (M3)	6.43E6

Απορροή



Κλάδος: R265

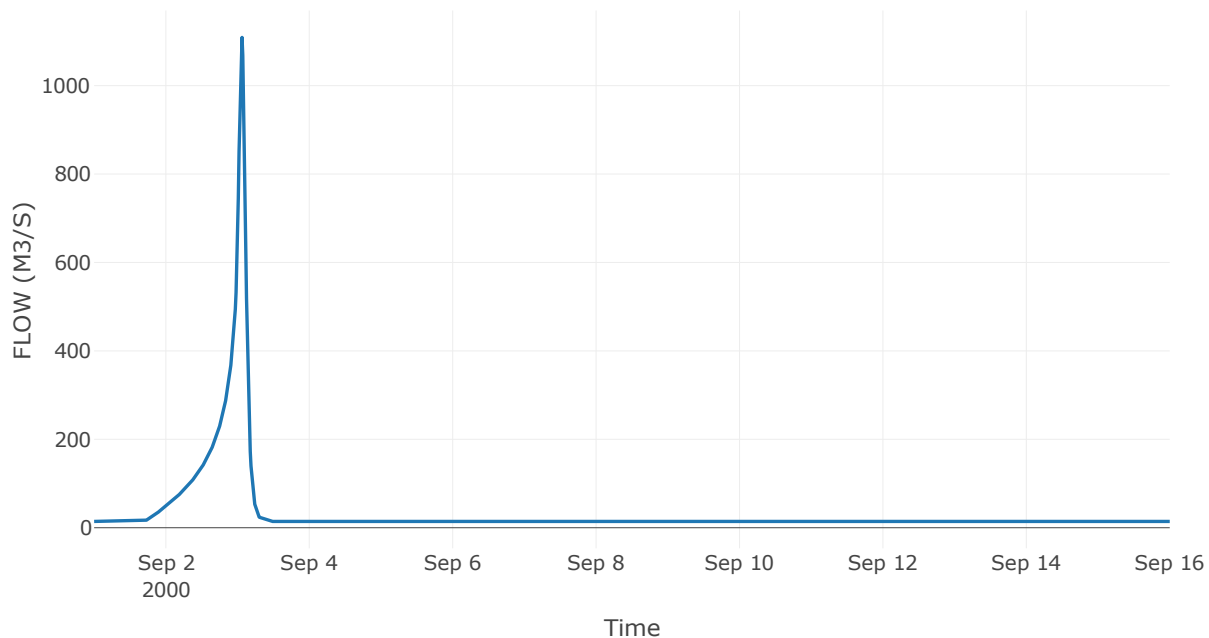
Κατάντη : J5

Μέθοδος Διόδευσης	Muskingum
Αρχική Μεταβλητή	Combined Inflow
Χρόνος Ροής K	1.04
Συντελεστής βάρους x	0.2
Πλήθος Υποκλάδων	5

Αποτελέσματα: R265

Παροχή Αιχμής (M3/S)	1109.06
Χρονική στιγμή αιχμής	03Sep2000, 01:30
Όγκος (MM)	311.58
Παροχή Αιχμής Εισόδου (M3/S)	1162.33
Όγκος Εισροής (M3)	4.44E7

Απορροή



Κλάδος: R274

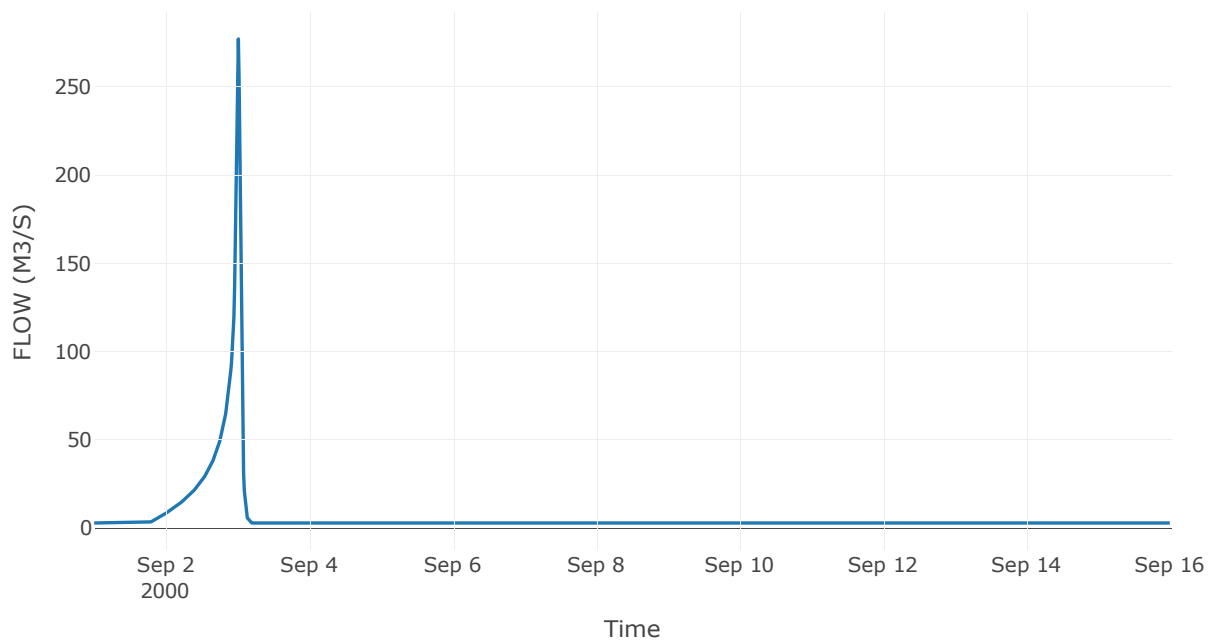
Κατάντη : J4

Μέθοδος Διόδευσης	Χρόνος
Αρχική Μεταβλητή	Combined Inflow
Χρόνος Υστέρησης	17.26

Αποτελέσματα: R274

Παροχή Αιχμής (M3/S)	277.09
Χρονική στιγμή αιχμής	03Sep2000, 00:15
Όγκος (MM)	287.47
Παροχή Αιχμής Εισόδου (M3/S)	278.77
Όγκος Εισροής (M3)	8.36E6

Απορροή



Κλάδος: R2917

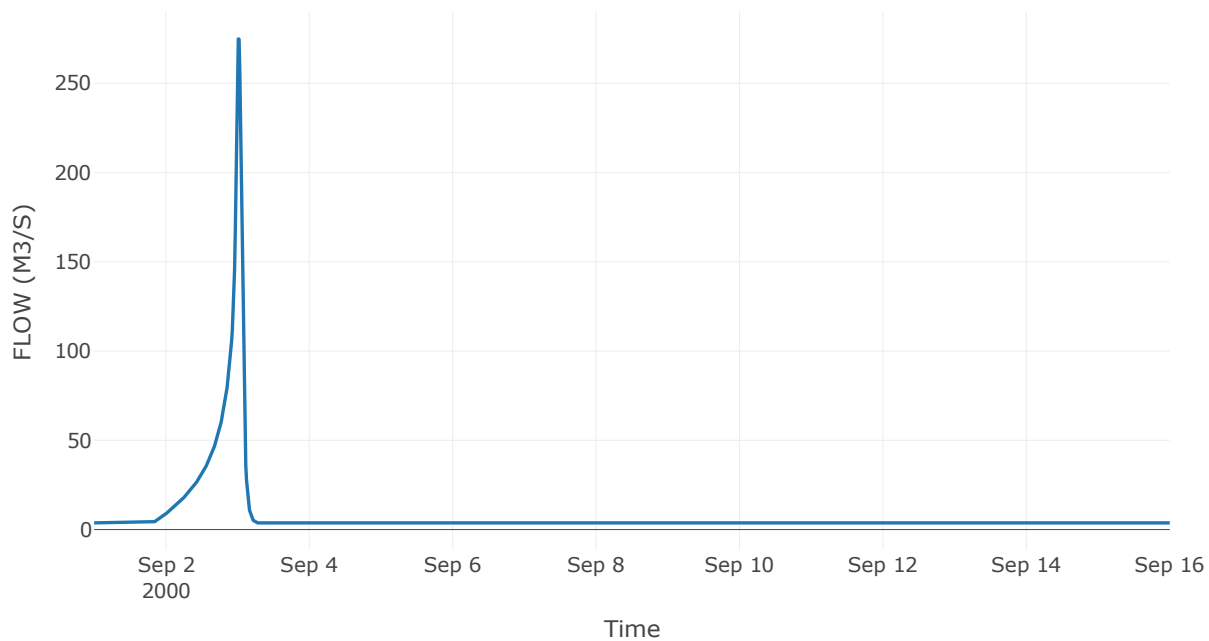
Κατάντη : J17

Μέθοδος Διόδευσης	Χρόνος
Αρχική Μεταβλητή	Combined Inflow
Χρόνος Υστέρησης	7.66

Αποτελέσματα: R2917

Παροχή Αιχμής (M3/S)	274.85
Χρονική στιγμή αιχμής	03Sep2000, 00:15
Όγκος (MM)	273.51
Παροχή Αιχμής Εισόδου (M3/S)	279.14
Όγκος Εισροής (M3)	1.02E7

Απορροή



Κλάδος: R3020

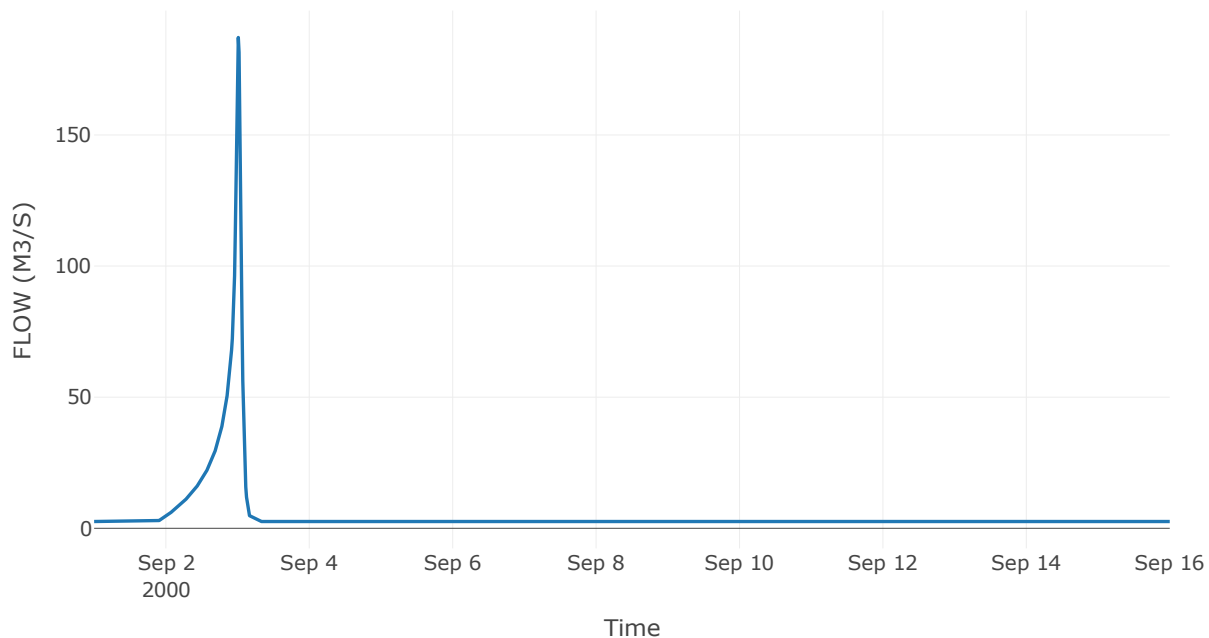
Κατάντη : J20

Μέθοδος Διόδευσης	Muskingum
Αρχική Μεταβλητή	Combined Inflow
Χρόνος Ροής K	0.18
Συντελεστής βάρους x	0.2
Πλήθος Υποκλάδων	1

Αποτελέσματα: R3020

Παροχή Αιχμής (M3/S)	187.16
Χρονική στιγμή αιχμής	03Sep2000, 00:15
Όγκος (MM)	255.94
Παροχή Αιχμής Εισόδου (M3/S)	188.28
Όγκος Εισροής (M3)	6.62E6

Απορροή



Κλάδος: R3113

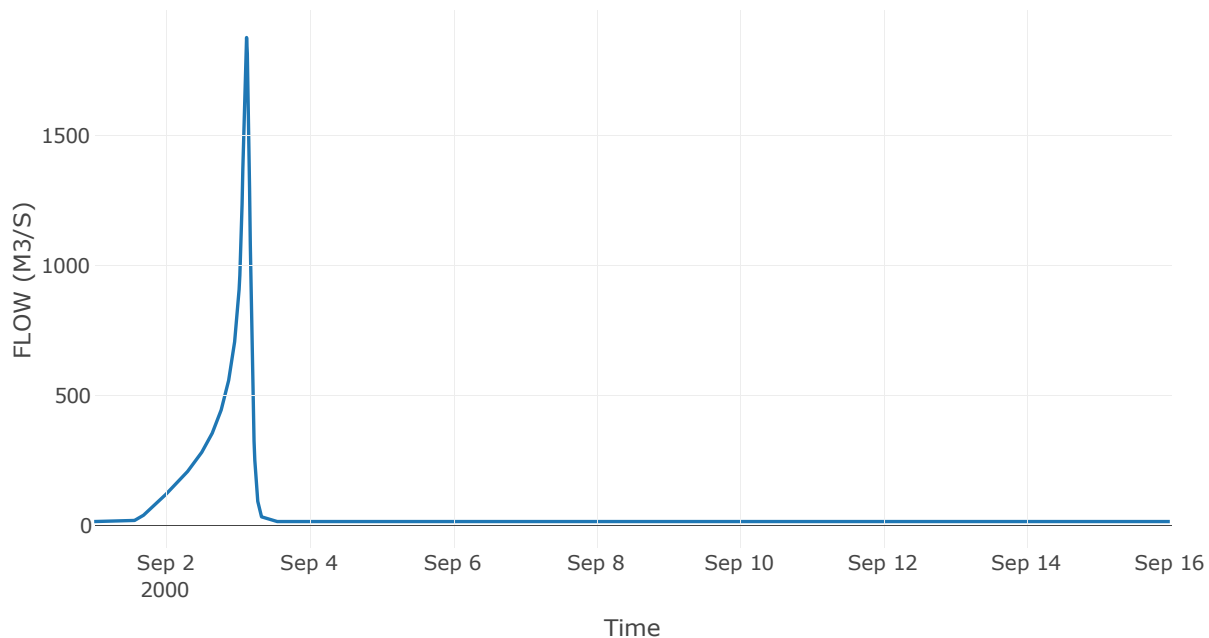
Κατάντη : J13

Μέθοδος Διόδευσης	Muskingum
Αρχική Μεταβλητή	Combined Inflow
Χρόνος Ροής Κ	2.64
Συντελεστής βάρους α	0.2
Πλήθος Υποκλάδων	13

Αποτελέσματα: R3113

Παροχή Αιχμής (M3/S)	1875.53
Χρονική στιγμή αιχμής	03Sep2000, 03:00
Όγκος (MM)	439.98
Παροχή Αιχμής Εισόδου (M3/S)	2111.06
Όγκος Εισροής (M3)	7.6E7

Απορροή



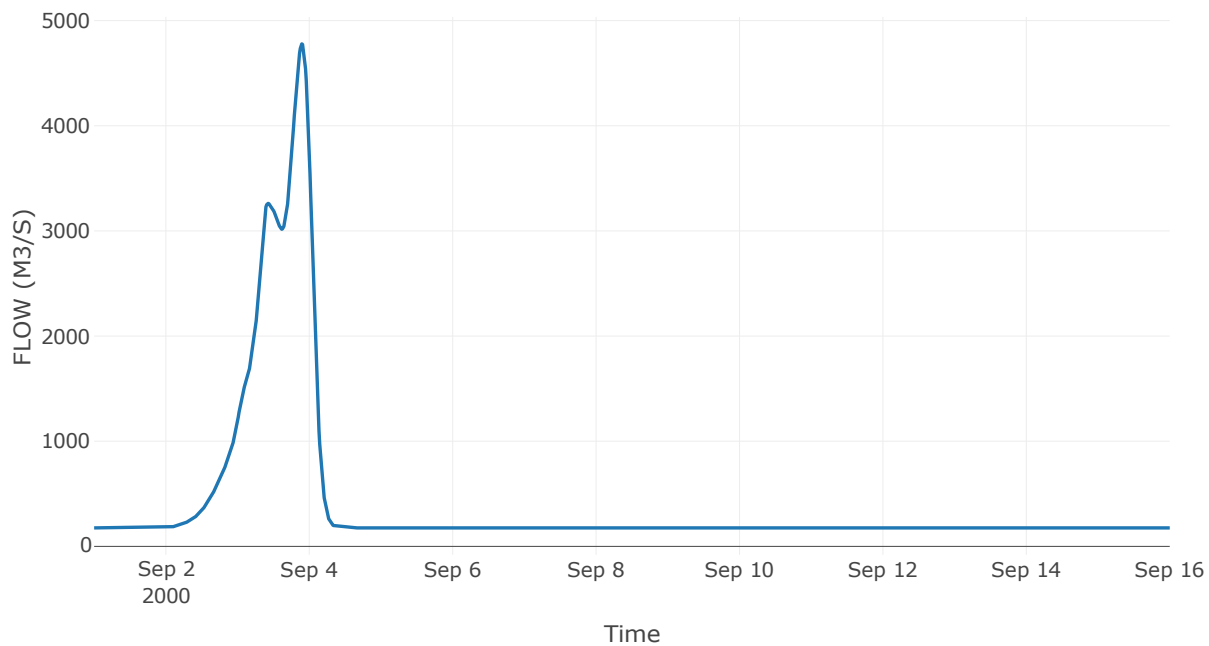
9.3 Δεδομένα και υδρογραφήματα σχεδιασμού Κόμβων υδρογραφικού δικτύου

Κόμβος εξόδου: J1

Αποτελέσματα: J1

Παροχή Αιχμής (M3/S)	4778.7
Χρονική στιγμή αιχμής	03Sep2000, 21:30
Όγκος (MM)	299.96

Απορροή



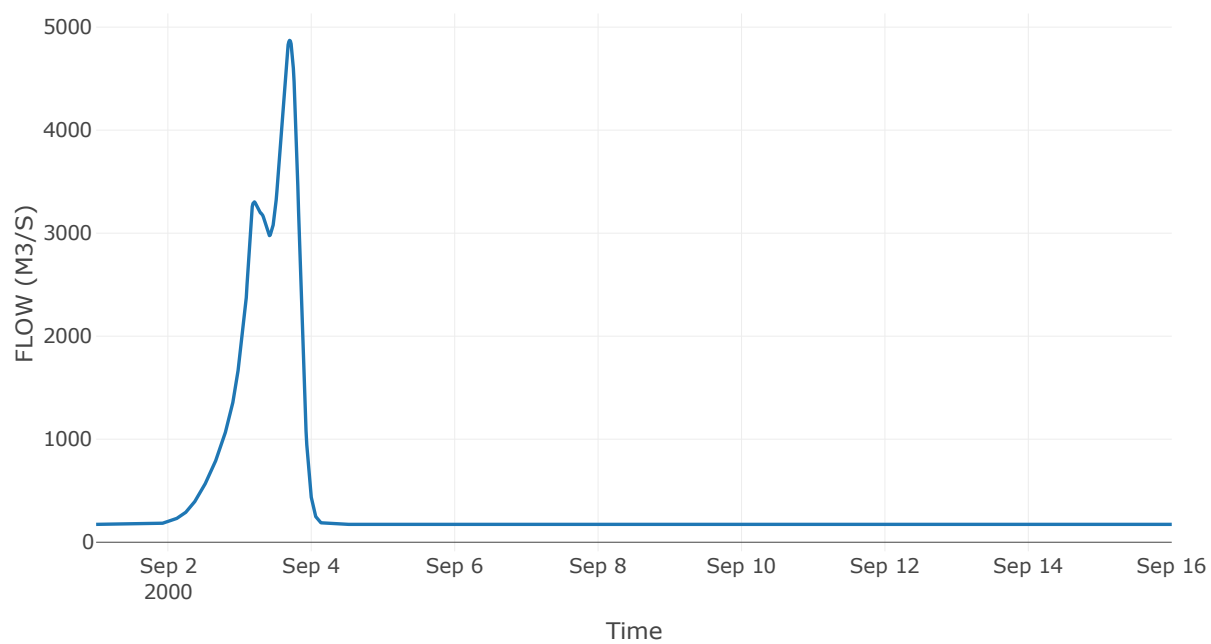
Κόμβος: J2

Κατάντη : R21

Αποτελέσματα: J2

Παροχή Αιχμής (M3/S)	4871.53
Χρονική στιγμή αιχμής	03Sep2000, 16:45
Όγκος (MM)	299.53

Απορροή



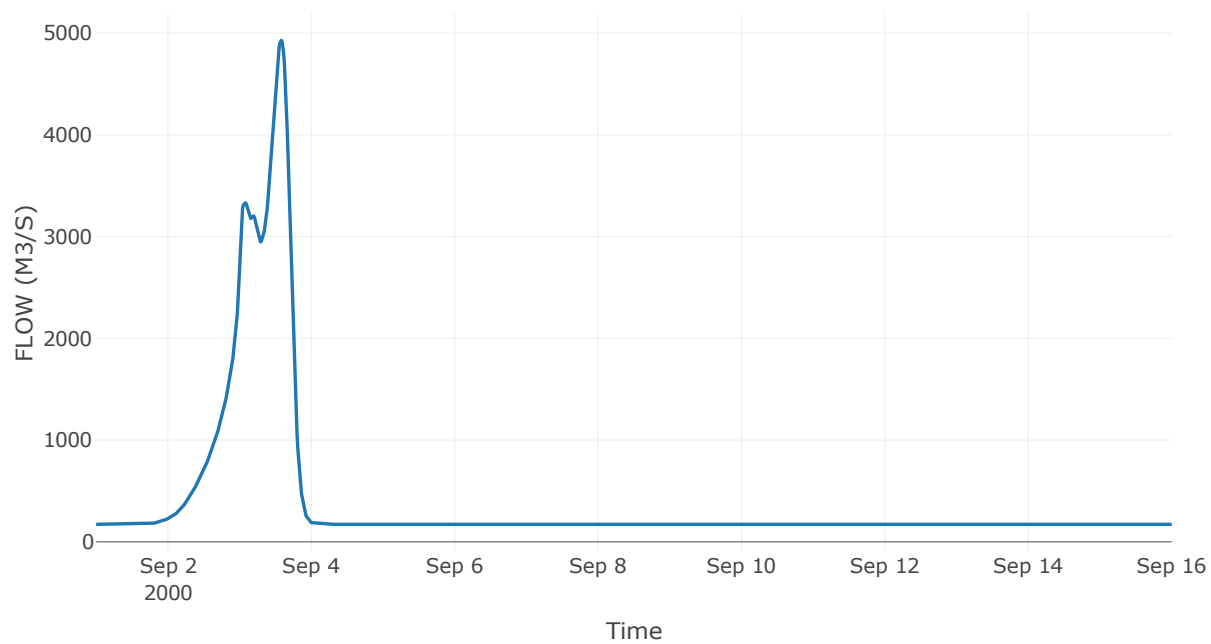
Κόμβος: J3

Κατάντη : R32

Αποτελέσματα: J3

Παροχή Αιχμής (M3/S)	4929.81
Χρονική στιγμή αιχμής	03Sep2000, 14:00
Όγκος (MM)	299.52

Απορροή



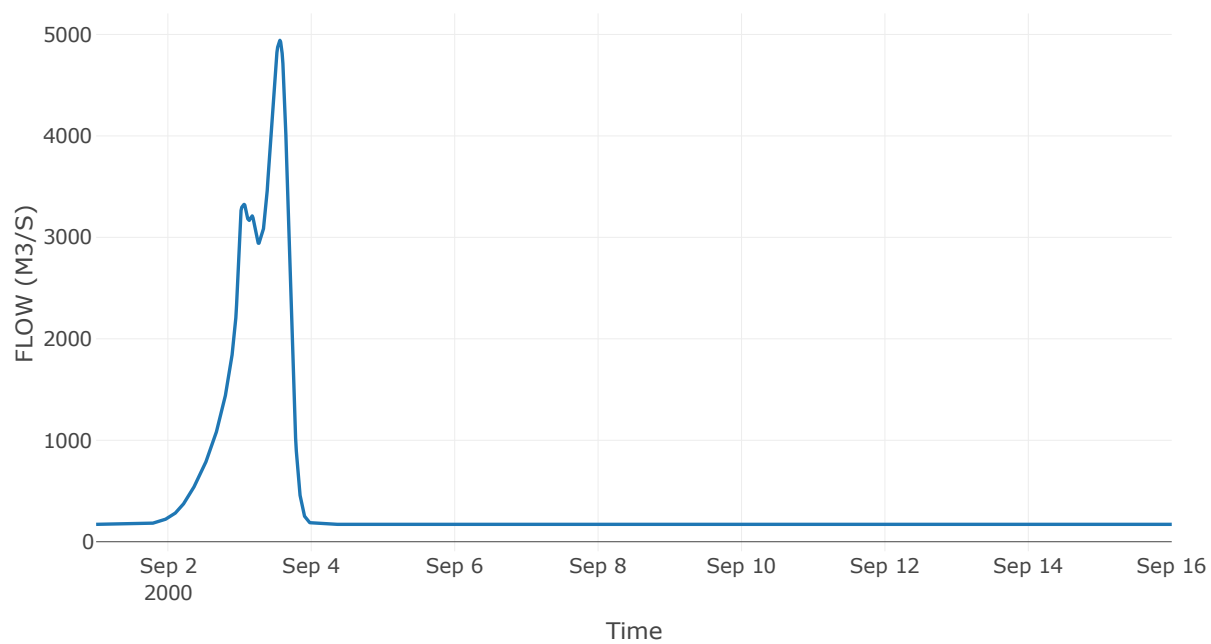
Κόμβος: J4

Κατάντη : R43

Αποτελέσματα: J4

Παροχή Αιχμής (M3/S)	4942.33
Χρονική στιγμή αιχμής	03Sep2000, 13:30
Όγκος (MM)	299.41

Απορροή



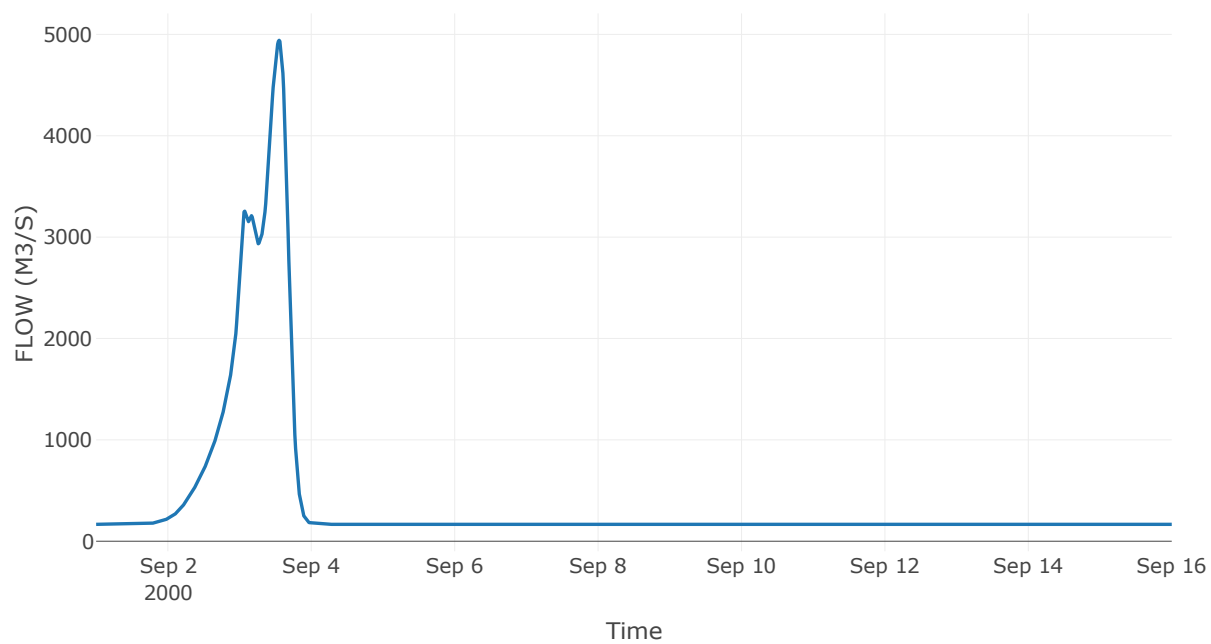
Κόμβος: J5

Κατάντη : R54

Αποτελέσματα: J5

Παροχή Αιχμής (M3/S)	4941.62
Χρονική στιγμή αιχμής	03Sep2000, 13:15
Όγκος (MM)	299.87

Απορροή



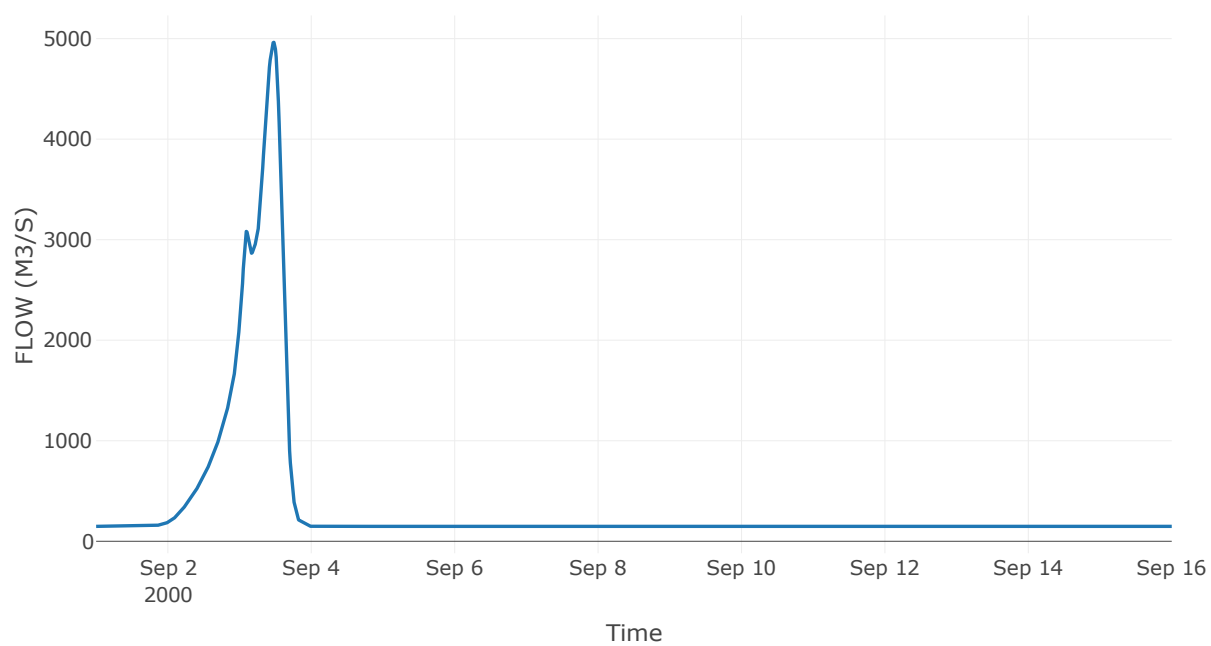
Κόμβος: J6

Κατάντη : R65

Αποτελέσματα: J6

Παροχή Αιχμής (M3/S)	4962.78
Χρονική στιγμή αιχμής	03Sep2000, 11:30
Όγκος (MM)	299.59

Απορροή



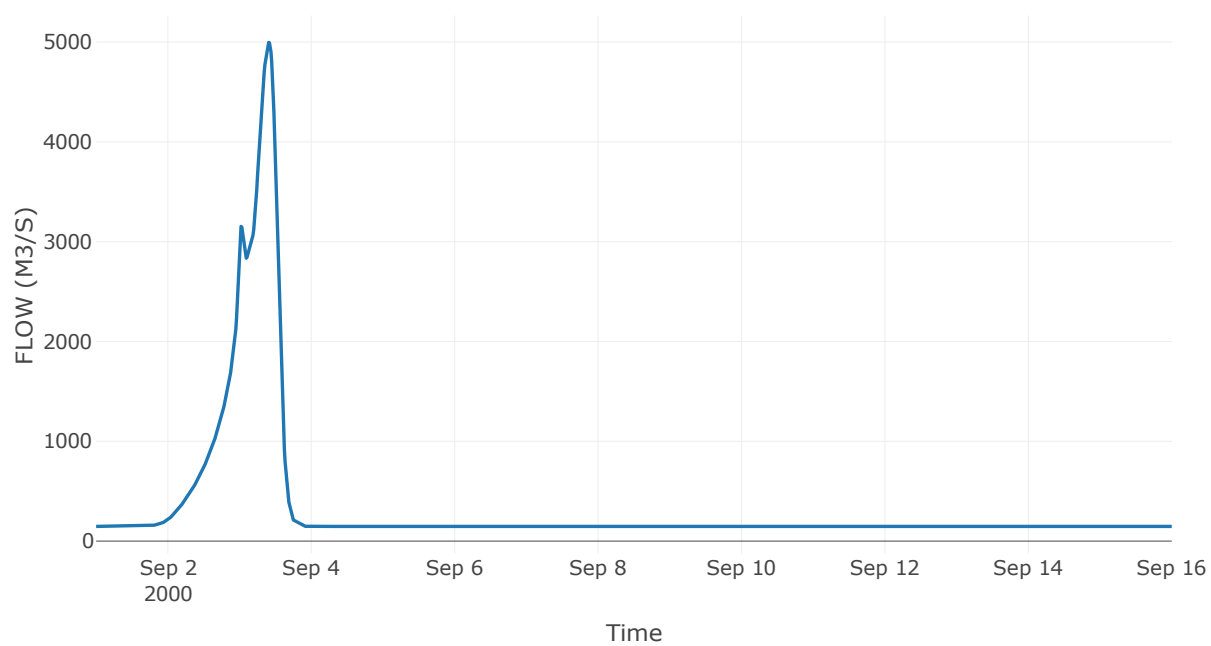
Κόμβος: J7

Κατάντη : R76

Αποτελέσματα: J7

Παροχή Αιχμής (M3/S)	4996.74
Χρονική στιγμή αιχμής	03Sep2000, 09:45
Όγκος (MM)	299.65

Απορροή



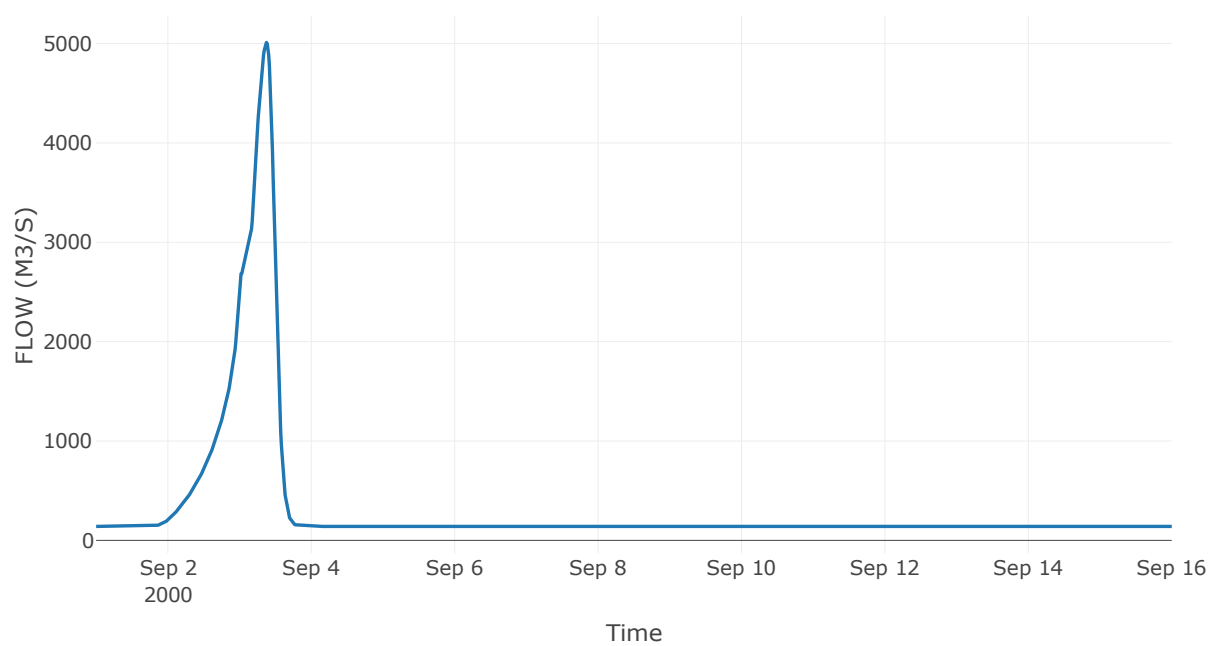
Κόμβος: J8

Κατάντη : R87

Αποτελέσματα: J8

Παροχή Αιχμής (M3/S)	5011.75
Χρονική στιγμή αιχμής	03Sep2000, 09:00
Όγκος (MM)	297.76

Απορροή



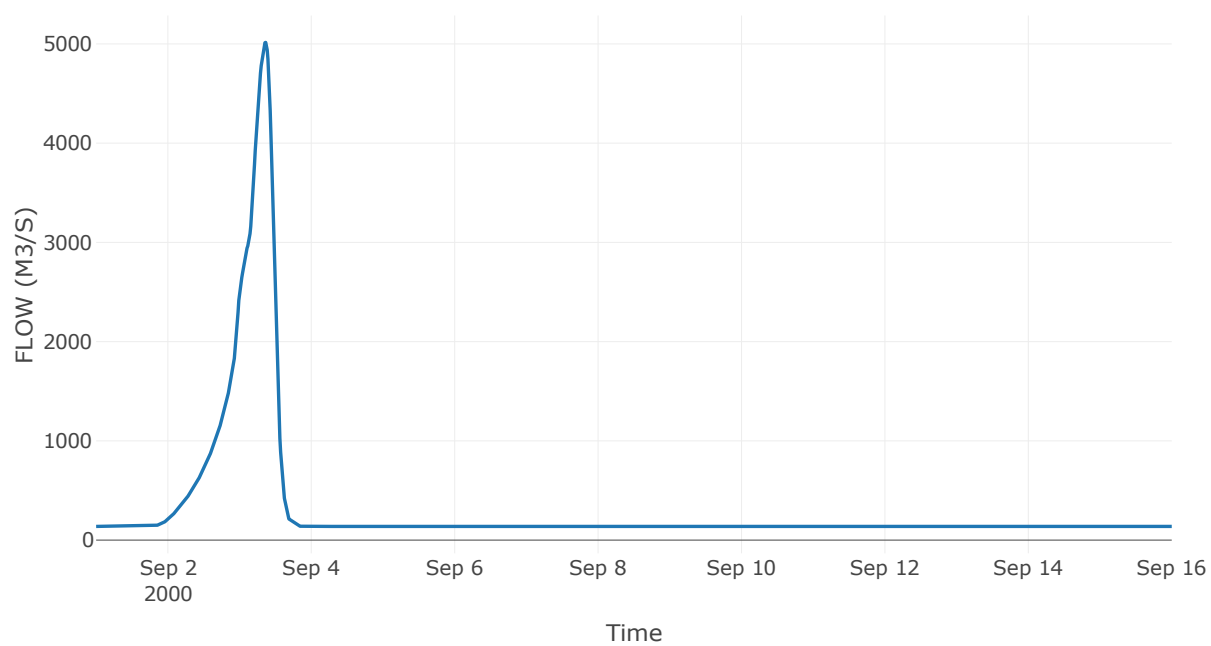
Κόμβος: J9

Κατάντη : R98

Αποτελέσματα: J9

Παροχή Αιχμής (M3/S)	5015.01
Χρονική στιγμή αιχμής	03Sep2000, 08:45
Όγκος (MM)	298.05

Απορροή



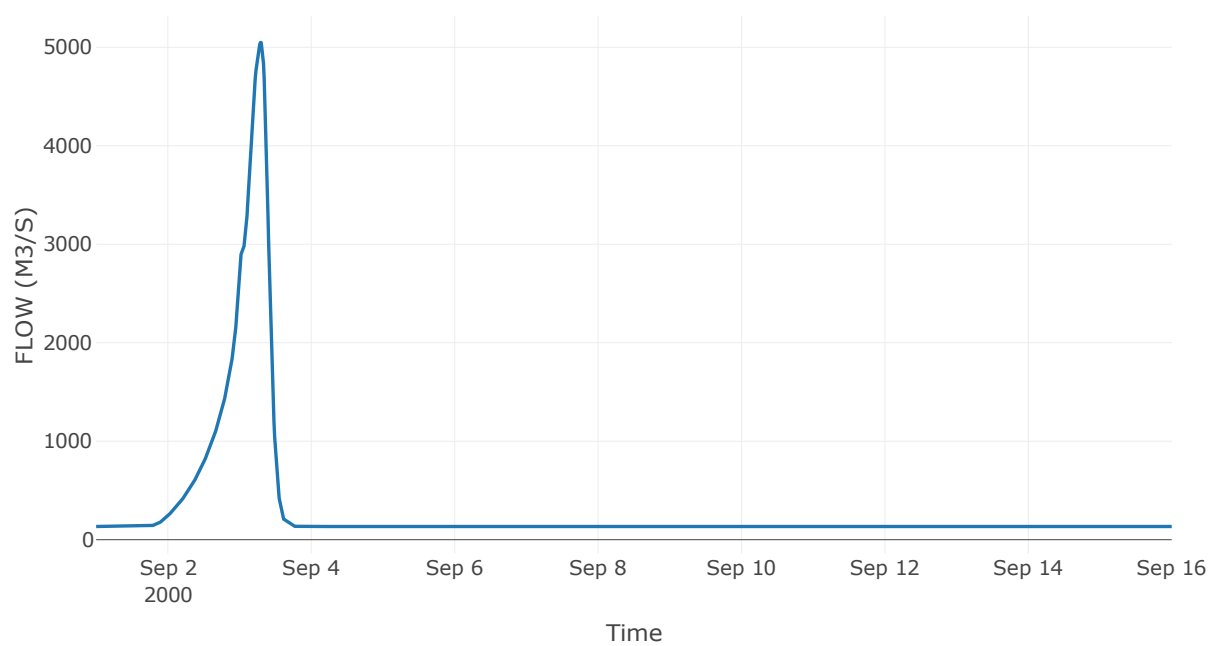
Κόμβος: J10

Κατάντη : R109

Αποτελέσματα: J10

Παροχή Αιχμής (M3/S)	5048.27
Χρονική στιγμή αιχμής	03Sep2000, 07:00
Όγκος (MM)	297.52

Απορροή



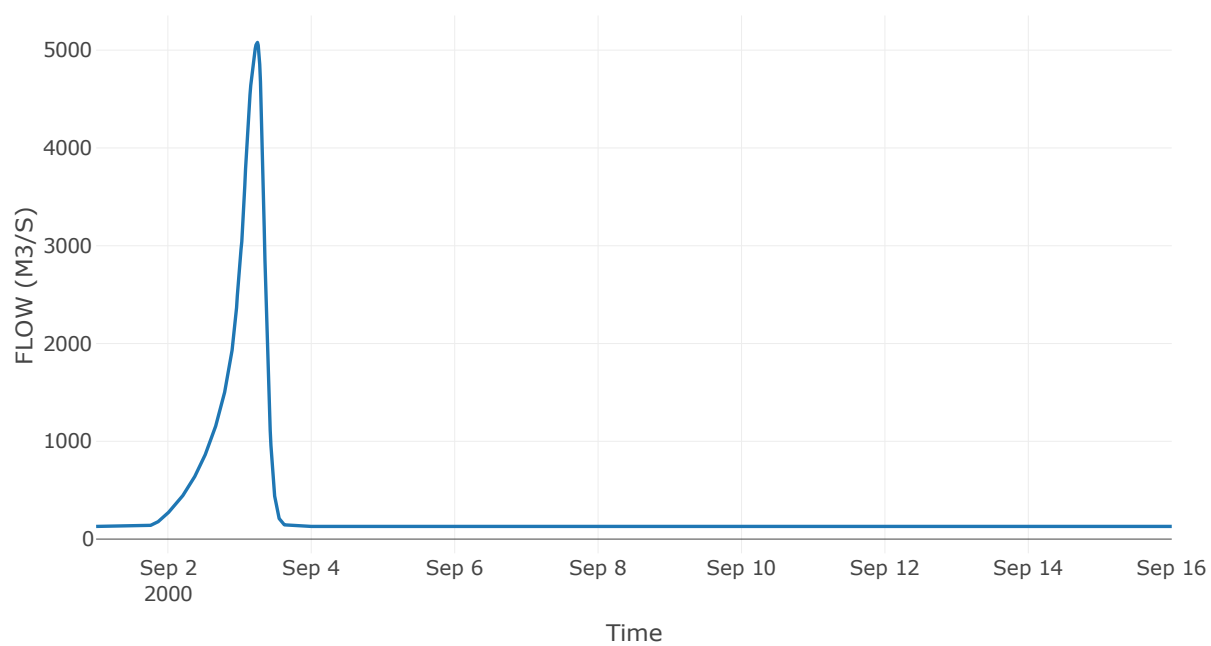
Κόμβος: J11

Κατάντη : R1110

Αποτελέσματα: J11

Παροχή Αιχμής (M3/S)	5079.35
Χρονική στιγμή αιχμής	03Sep2000, 06:00
Όγκος (MM)	296.37

Απορροή



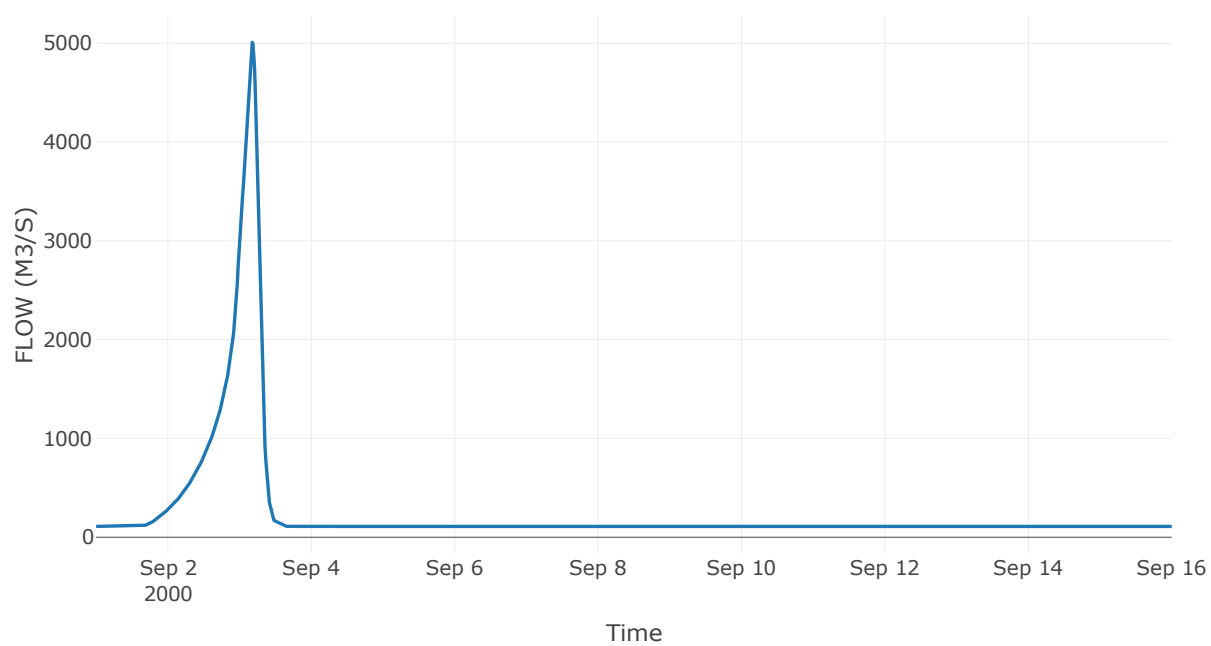
Κόμβος: J12

Κατάντη : R1223

Αποτελέσματα: J12

Παροχή Αιχμής (M3/S)	5008.32
Χρονική στιγμή αιχμής	03Sep2000, 04:15
Όγκος (MM)	301.9

Απορροή



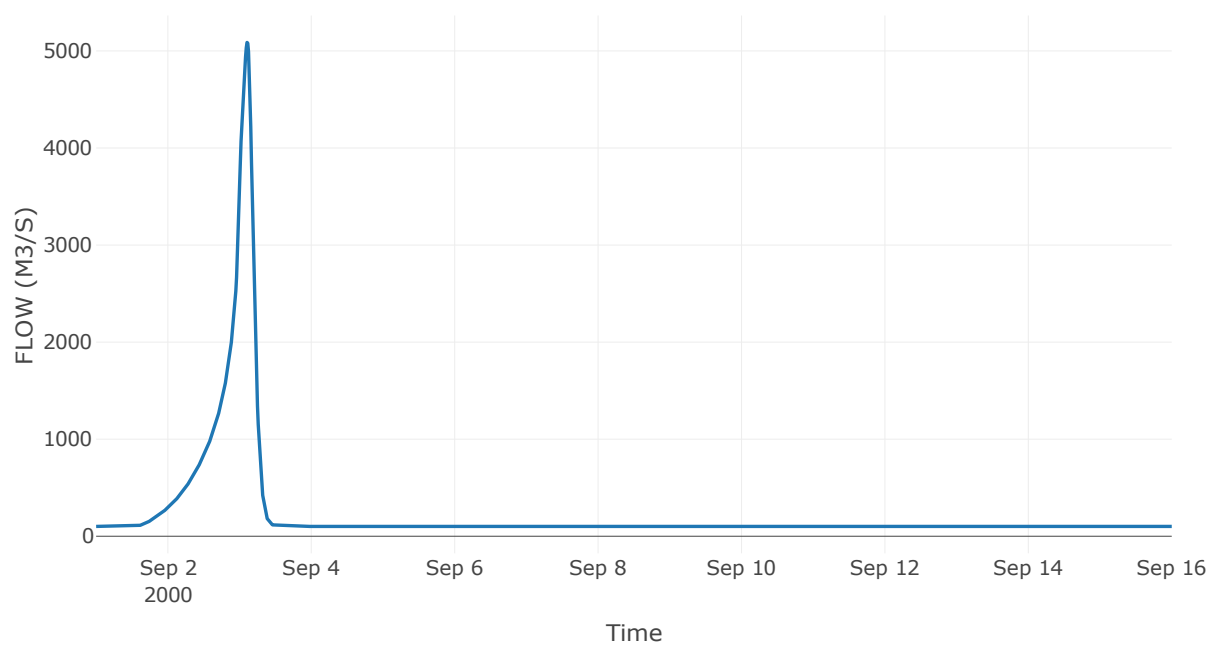
Κόμβος: J13

Κατάντη : R1312

Αποτελέσματα: J13

Παροχή Αιχμής (M3/S)	5087.78
Χρονική στιγμή αιχμής	03Sep2000, 02:30
Όγκος (MM)	299.86

Απορροή



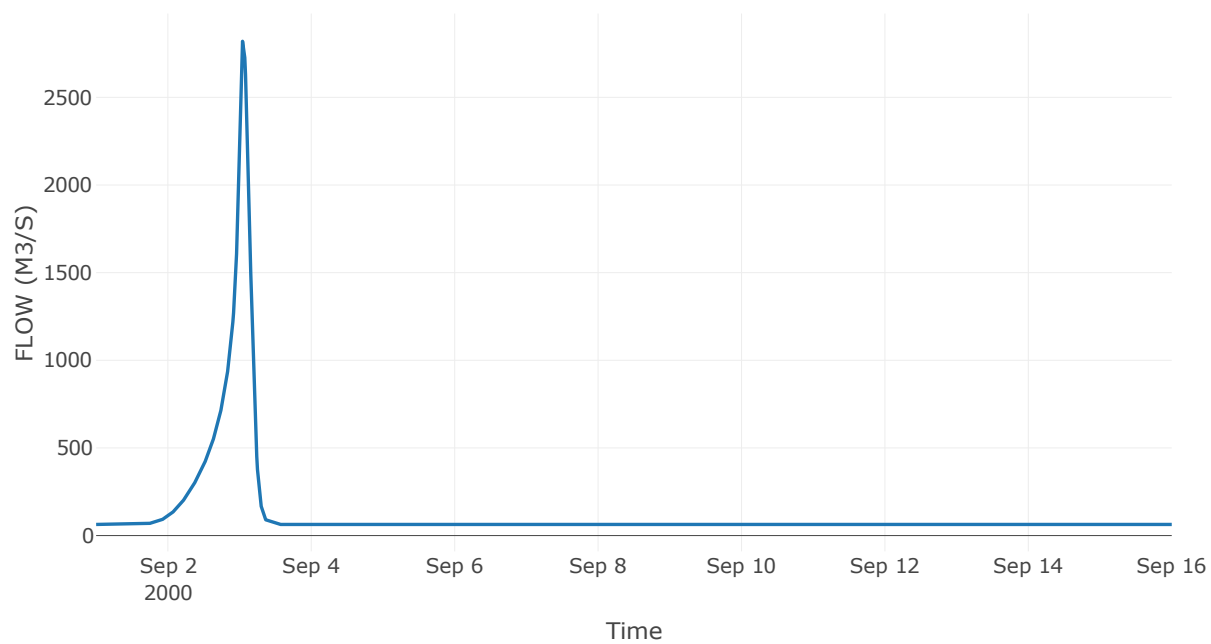
Κόμβος: J14

Κατάντη : R1413

Αποτελέσματα: J14

Παροχή Αιχμής (M3/S)	2824.77
Χρονική στιγμή αιχμής	03Sep2000, 01:15
Όγκος (MM)	259.53

Απορροή



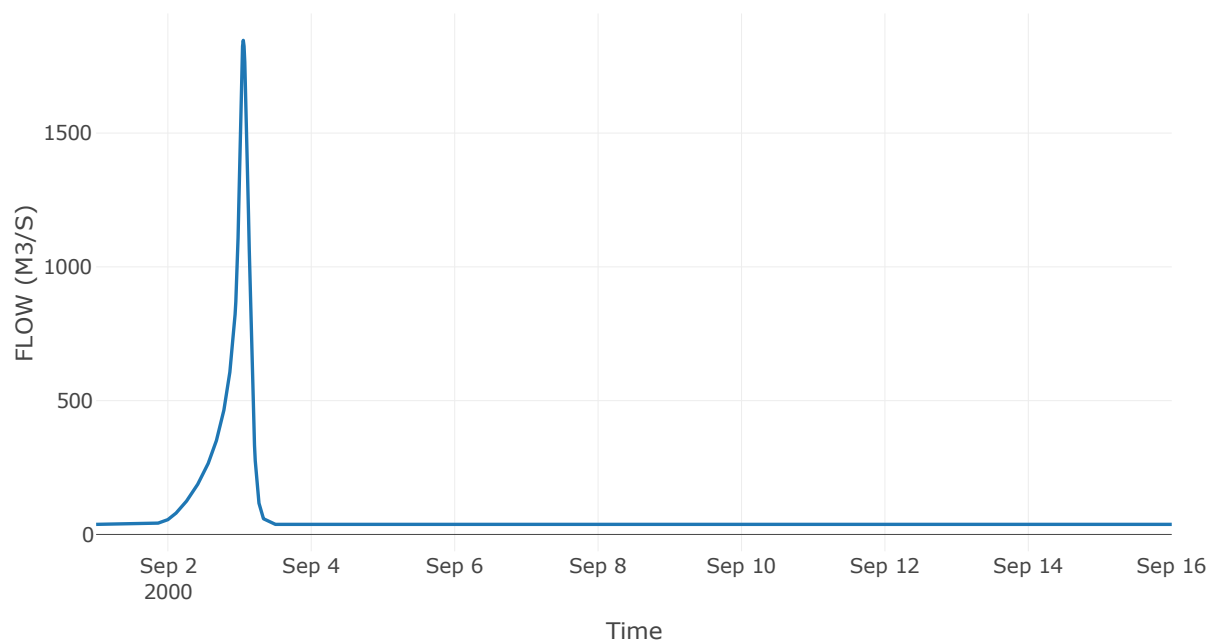
Κόμβος: J15

Κατάντη : R1514

Αποτελέσματα: J15

Παροχή Αιχμής (M3/S)	1846.6
Χρονική στιγμή αιχμής	03Sep2000, 01:15
Όγκος (MM)	255.66

Απορροή



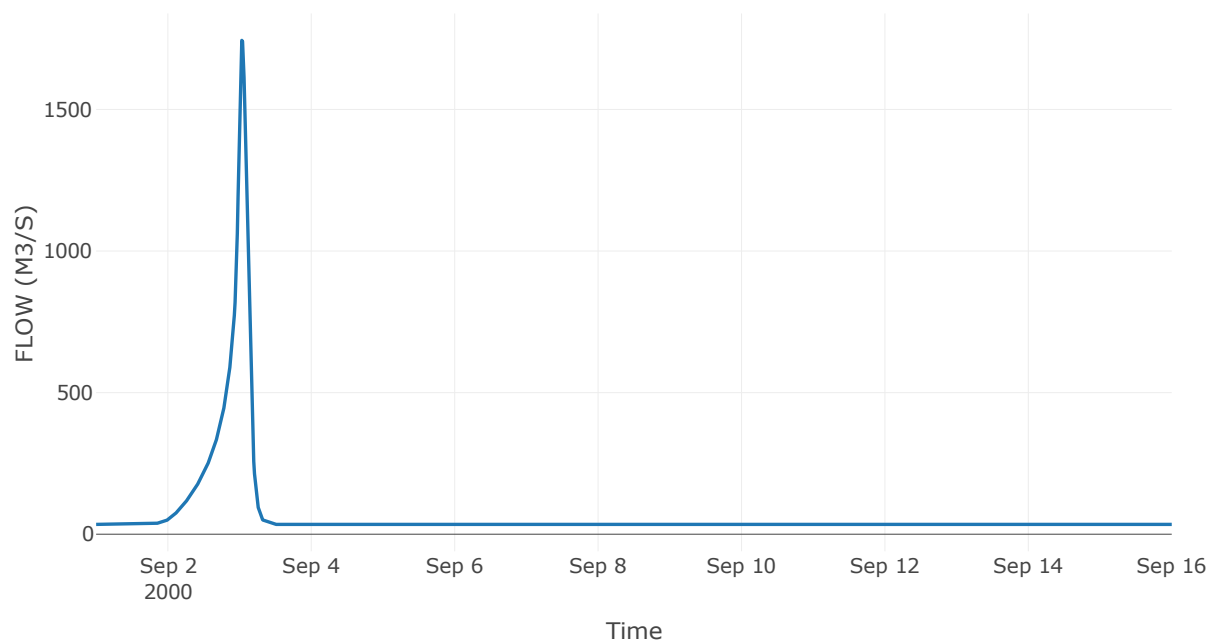
Κόμβος: J16

Κατάντη : R1615

Αποτελέσματα: J16

Παροχή Αιχμής (M3/S)	1744
Χρονική στιγμή αιχμής	03Sep2000, 00:45
Όγκος (MM)	254.95

Απορροή



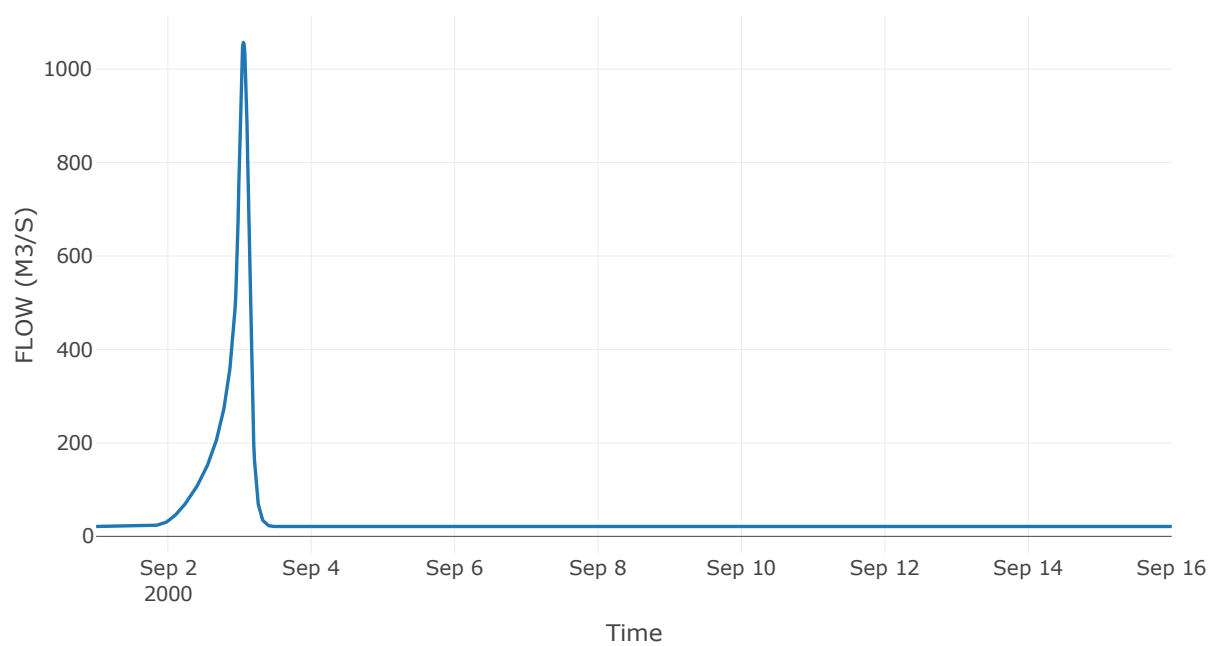
Κόμβος: J17

Κατάντη : R1716

Αποτελέσματα: J17

Παροχή Αιχμής (M3/S)	1057.07
Χρονική στιγμή αιχμής	03Sep2000, 01:15
Όγκος (MM)	260.89

Απορροή



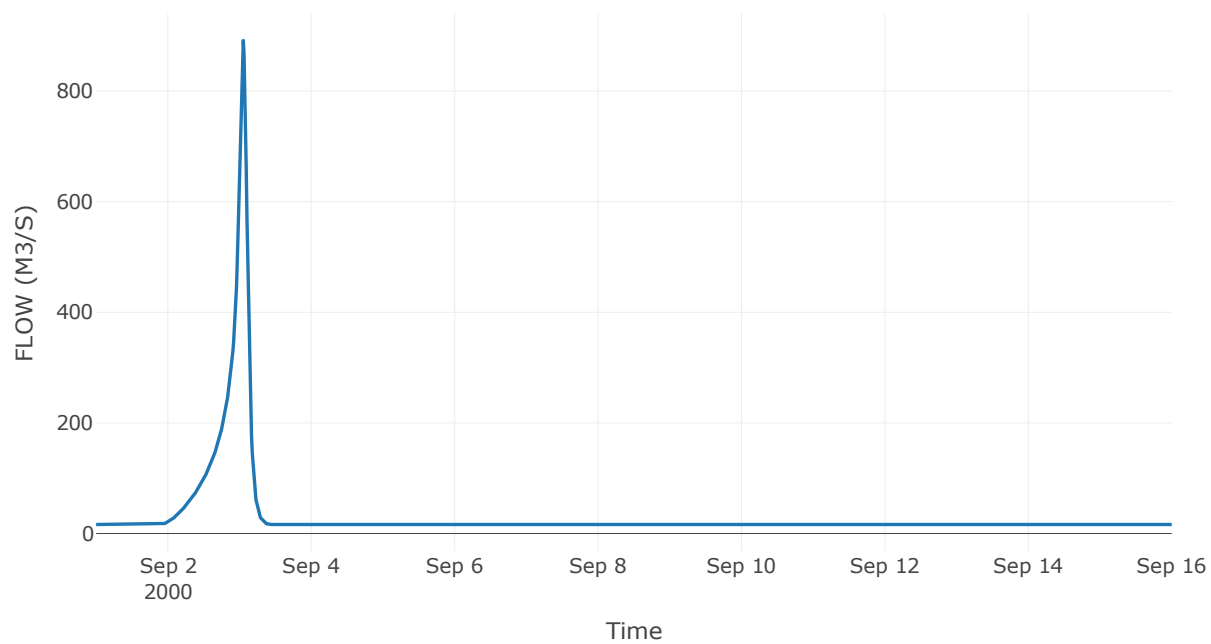
Κόμβος: J18

Κατάντη : R1817

Αποτελέσματα: J18

Παροχή Αιχμής (M3/S)	891.37
Χρονική στιγμή αιχμής	03Sep2000, 01:15
Όγκος (MM)	254.32

Απορροή



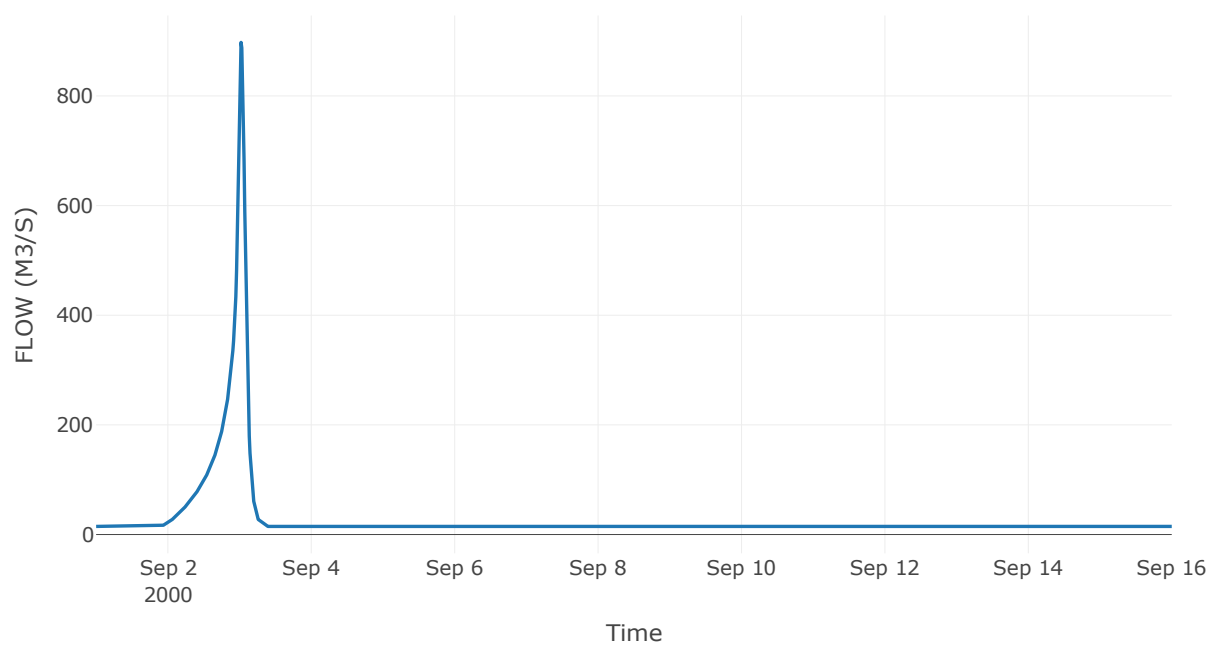
Κόμβος: J19

Κατάντη : R1918

Αποτελέσματα: J19

Παροχή Αιχμής (M3/S)	897.62
Χρονική στιγμή αιχμής	03Sep2000, 00:30
Όγκος (MM)	258.03

Απορροή



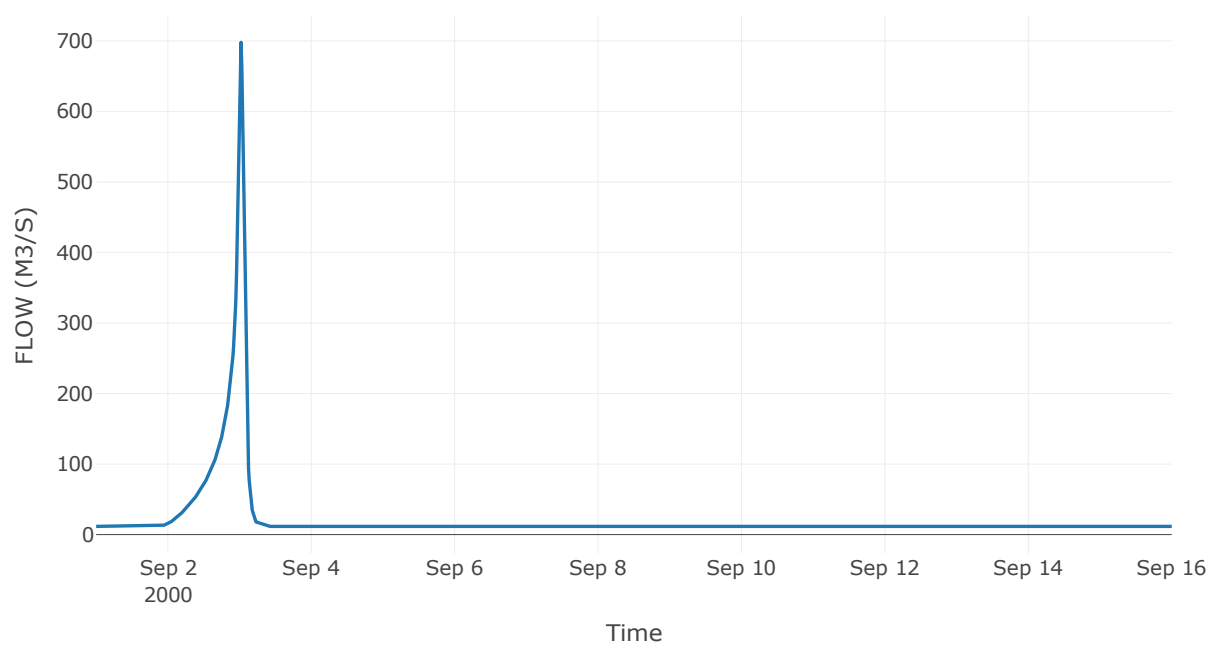
Κόμβος: J20

Κατάντη : R2016

Αποτελέσματα: J20

Παροχή Αιχμής (M3/S)	697.91
Χρονική στιγμή αιχμής	03Sep2000, 00:30
Όγκος (MM)	242.87

Απορροή



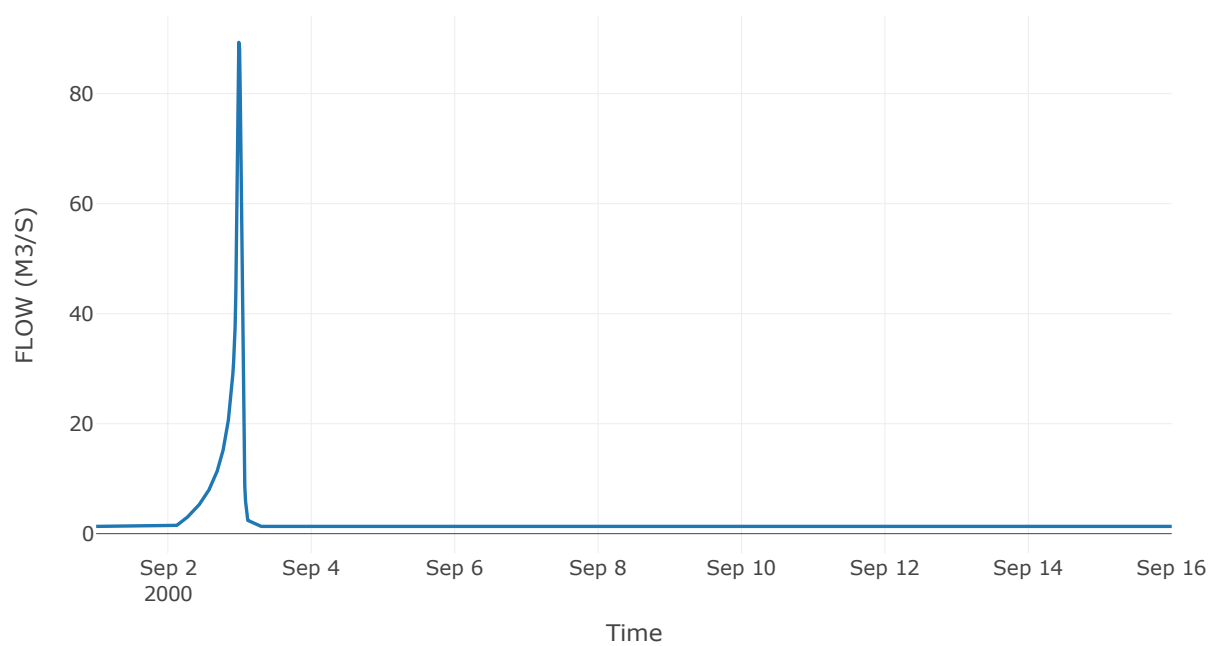
Κόμβος: J21

Κατάντη : R2120

Αποτελέσματα: J21

Παροχή Αιχμής (M3/S)	89.32
Χρονική στιγμή αιχμής	02Sep2000, 23:45
Όγκος (MM)	221.88

Απορροή



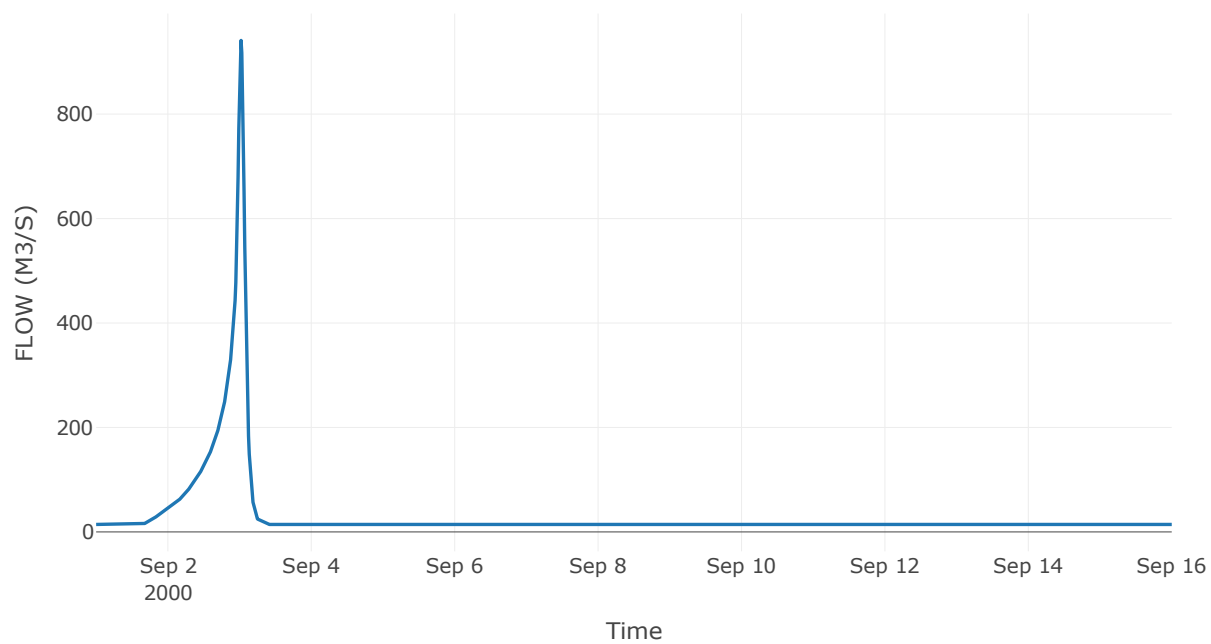
Κόμβος: J22

Κατάντη : R2214

Αποτελέσματα: J22

Παροχή Αιχμής (M3/S)	941.08
Χρονική στιγμή αιχμής	03Sep2000, 00:30
Όγκος (MM)	281.04

Απορροή



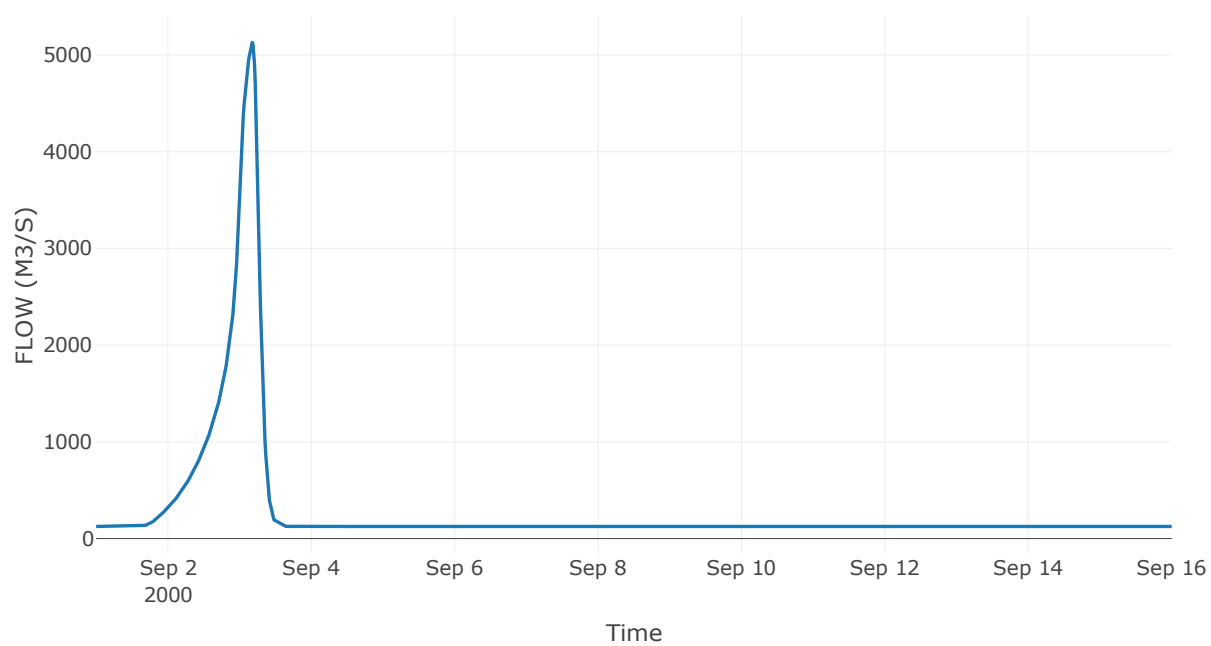
Κόμβος: J23

Κατάντη : R2311

Αποτελέσματα: J23

Παροχή Αιχμής (M3/S)	5130.48
Χρονική στιγμή αιχμής	03Sep2000, 04:15
Όγκος (MM)	298.32

Απορροή



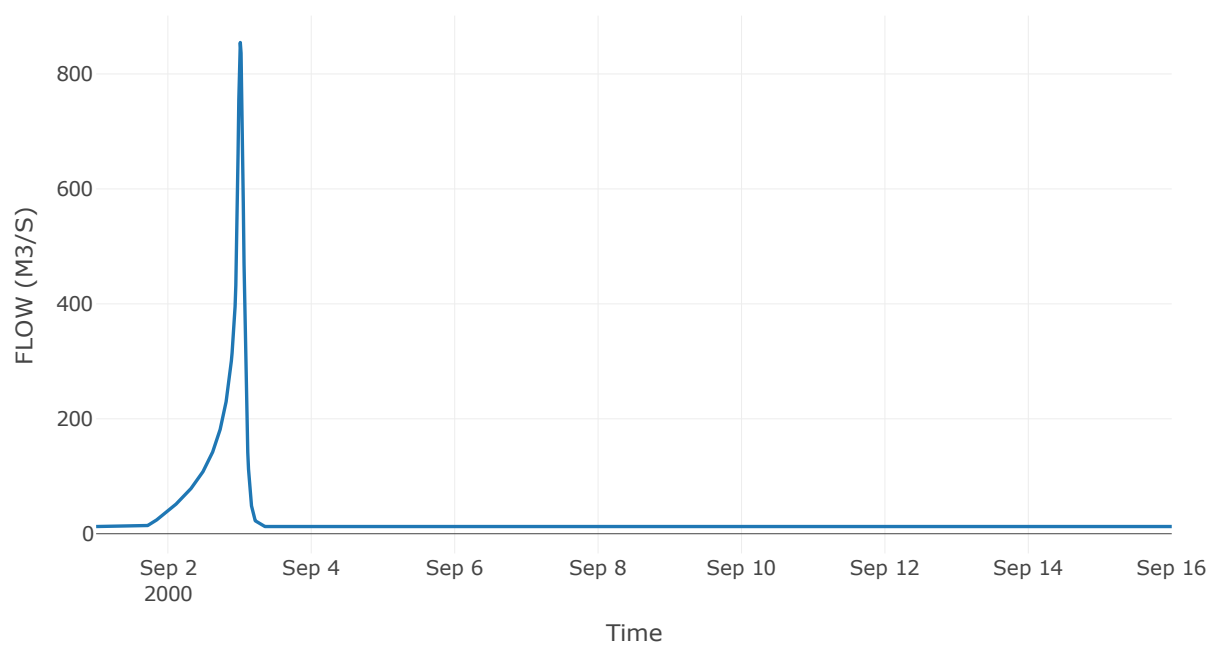
Κόμβος: J24

Κατάντη : R2423

Αποτελέσματα: J24

Παροχή Αιχμής (M3/S)	854.71
Χρονική στιγμή αιχμής	03Sep2000, 00:15
Όγκος (MM)	276.57

Απορροή



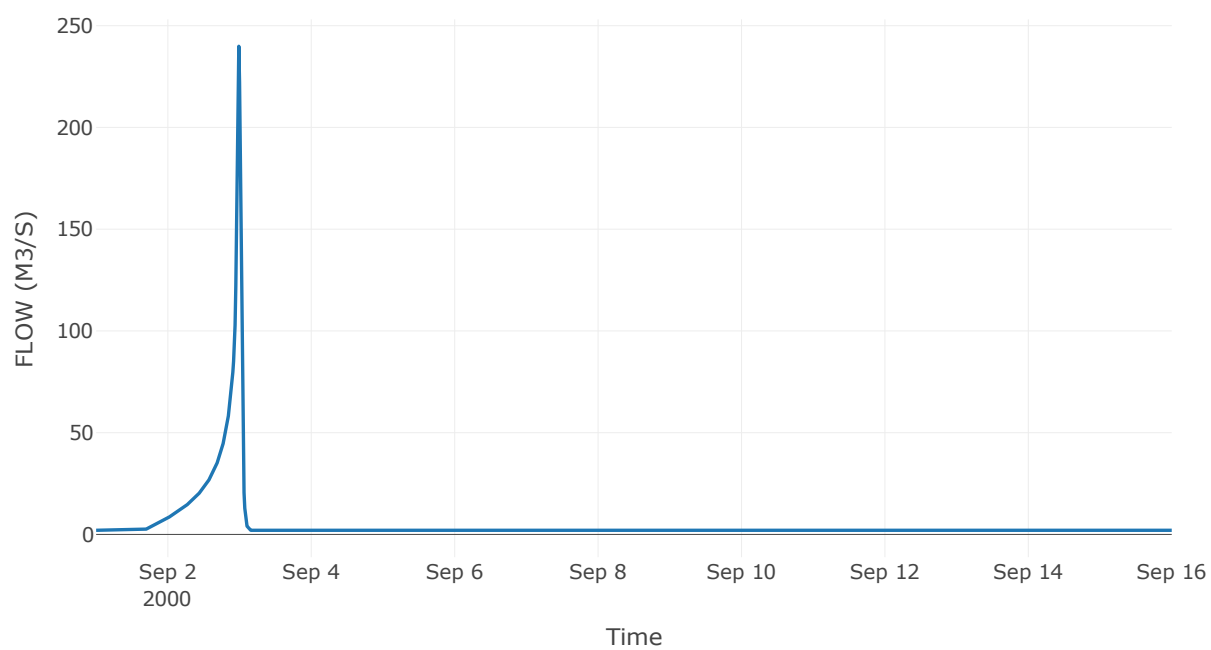
Κόμβος: J25

Κατάντη : R257

Αποτελέσματα: J25

Παροχή Αιχμής (M3/S)	239.88
Χρονική στιγμή αιχμής	02Sep2000, 23:45
Όγκος (MM)	315.21

Απορροή



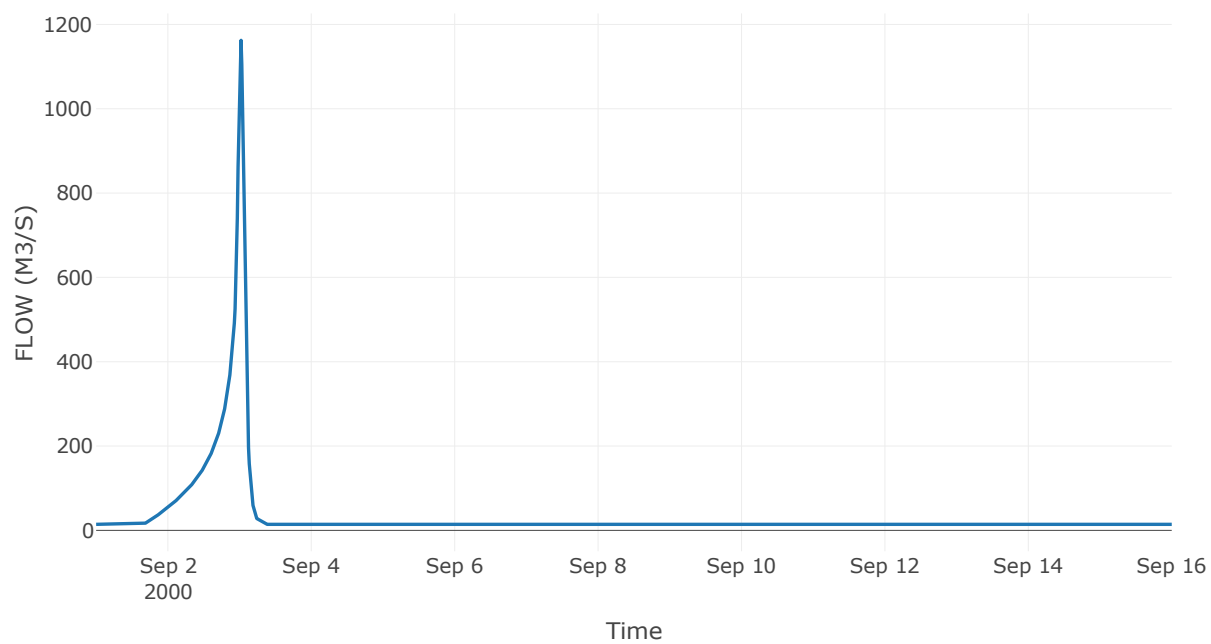
Κόμβος: J26

Κατάντη : R265

Αποτελέσματα: J26

Παροχή Αιχμής (M3/S)	1162.33
Χρονική στιγμή αιχμής	03Sep2000, 00:30
Όγκος (MM)	311.58

Απορροή



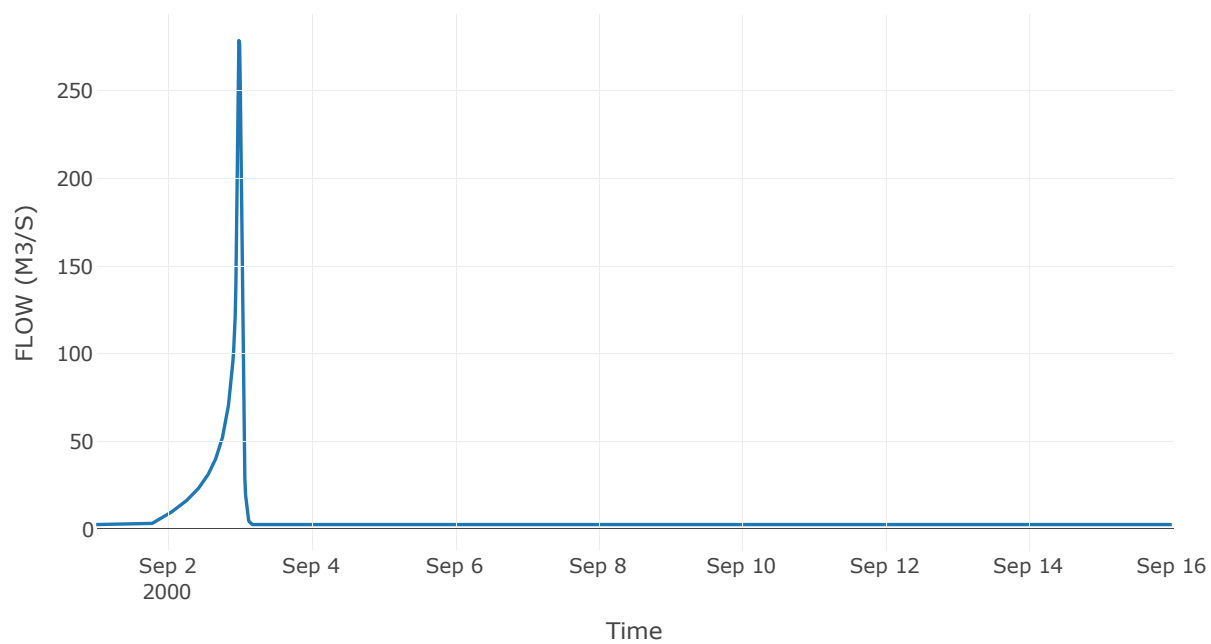
Κόμβος: J27

Κατάντη : R274

Αποτελέσματα: J27

Παροχή Αιχμής (M3/S)	278.77
Χρονική στιγμή αιχμής	02Sep2000, 23:45
Όγκος (MM)	287.47

Απορροή

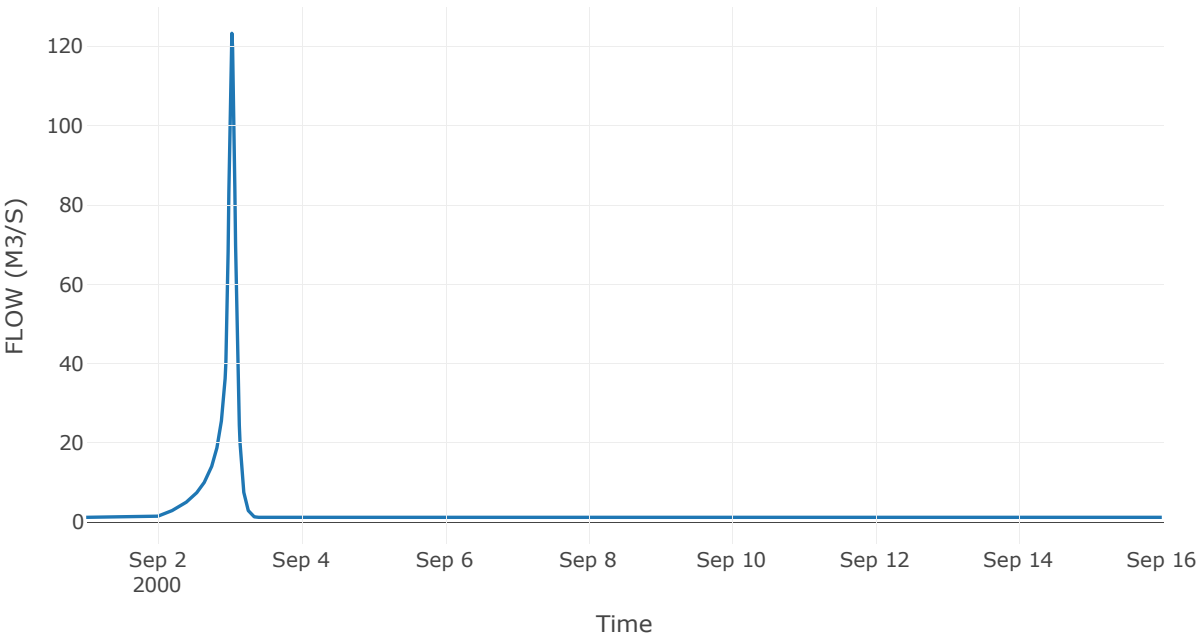


Κόμβος εξόδου: J28

Αποτελέσματ
α: J28

Παροχή αιχμής (M3/S)	123.29
Χρονική στιγμή αιχμής	03Sep2000, 00:45
Όγκος (MM)	298.25

Απορροή



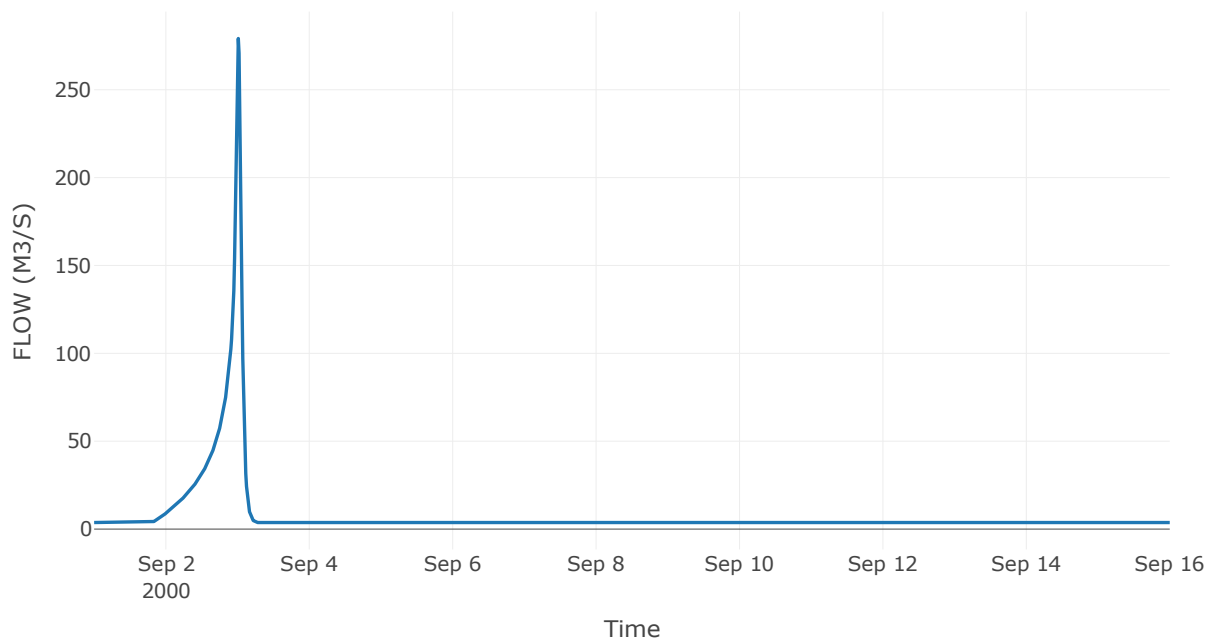
Κόμβος: J29

Κατάντη : R2917

Αποτελέσματα: J29

Παροχή Αιχμής (M3/S)	279.14
Χρονική στιγμή αιχμής	03Sep2000, 00:15
Όγκος (MM)	273.51

Απορροή



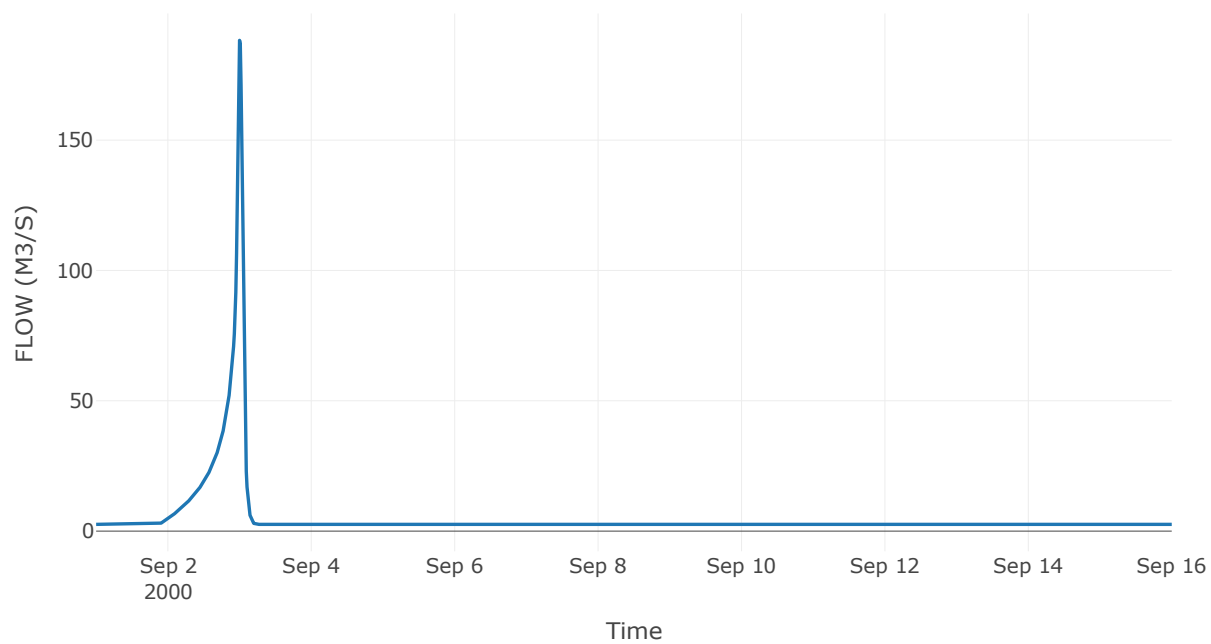
Κόμβος: J30

Κατάντη : R3020

Αποτελέσματα: J30

Παροχή Αιχμής (M3/S)	188.28
Χρονική στιγμή αιχμής	02Sep2000, 24:00
Όγκος (MM)	255.94

Απορροή



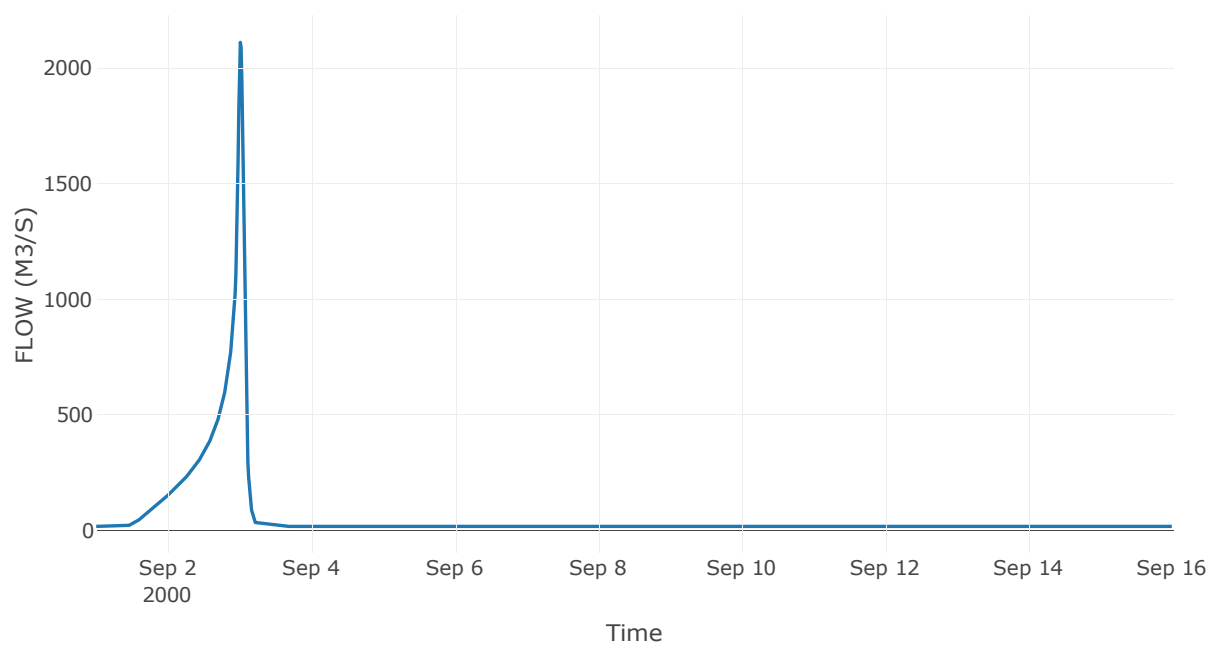
Κόμβος: J31

Κατάντη : R3113

Αποτελέσματα: J31

Παροχή Αιχμής (M3/S)	2111.06
Χρονική στιγμή αιχμής	03Sep2000, 00:15
Όγκος (MM)	439.98

Απορροή



10 Δεδομένα εισόδου και αποτελέσματα υδρολογικού σεναρίου T=1000U

10.1 Αποτελέσματα, υετογραφήματα και υδρογραφήματα σχεδιασμού υπολεκανών

Υπολεκάνη: EL0512FR1001

Έκταση (KM2) : 25.06

Κατάντη : J1

Μέθοδος Απωλειών: SCS

Ποσοστό αδιαπέρατης επιφάνειας	0
Αριθμός Καμπύλης Απορροής-CN	88.08
Αρχικές Απώλειες	6.87

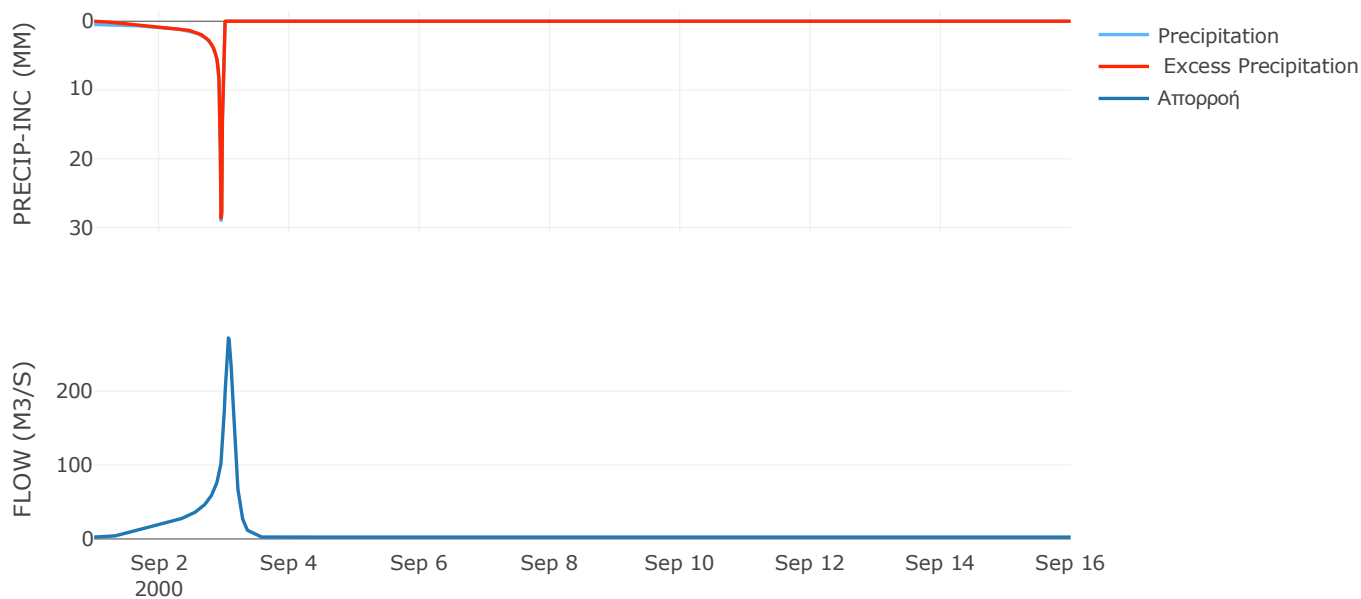
Μέθοδος
Μετασχηματισμού: SCS

Χρόνος Υστέρησης	168.91
------------------	--------

Αποτελέσματα:
EL0512FR1001

Παροχή αιχμής (M3/S)	271.96
Χρονική στιγμή αιχμής	03Sep2000, 01:30
Όγκος (MM)	447.66
Όγκος βροχόπτωσης (M3)	8.93E6
Όγκος απωλειών (M3)	9.56E5
Ενεργός Όγκος (M3)	7.97E6
Όγκος άμεσης απορροής (M3)	7.97E6
Όγκος βασικής απορροής (M3)	3.25E6

Βροχόπτωση και Απορροή



Υπολεκάνη: EL0512FR1002

Έκταση (KM2) : 13.38

Κατάντη : J2

Μέθοδος Απωλειών: SCS

Ποσοστό αδιαπέρατης επιφάνειας	0
Αριθμός Καμπύλης Απορροής-CN	84.81
Αρχικές Απώλειες	9.1

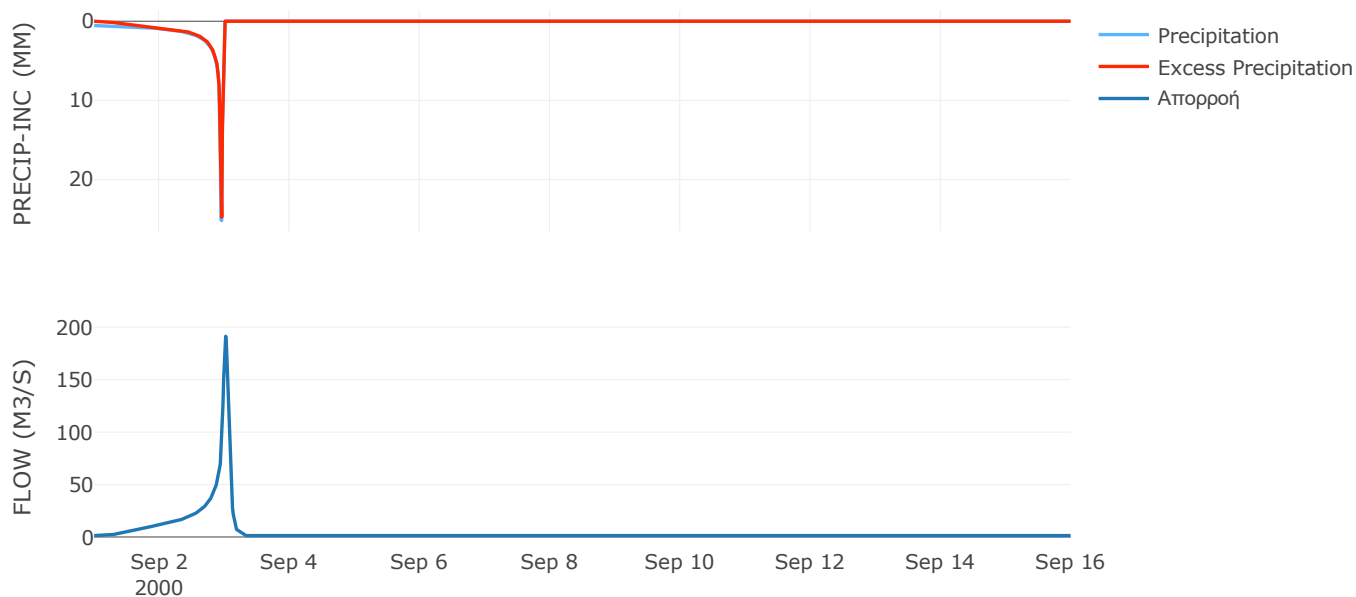
Μέθοδος
Μετασχηματισμού: SCS

Χρόνος Υστέρησης	89.9
------------------	------

Αποτελέσματα:
EL0512FR1002

Παροχή αιχμής (M3/S)	191.3
Χρονική στιγμή αιχμής	03Sep2000, 00:30
Όγκος (MM)	439.17
Όγκος βροχόπτωσης (M3)	4.8E6
Όγκος απωλειών (M3)	6.6E5
Ενεργός Όγκος (M3)	4.14E6
Όγκος άμεσης απορροής (M3)	4.14E6
Όγκος βασικής απορροής (M3)	1.73E6

Βροχόπτωση και Απορροή



Υπολεκάνη: EL0512FR1003

Έκταση (KM2) : 11.79

Κατάντη : J28

Μέθοδος Απωλειών: SCS

Ποσοστό αδιαπέρατης επιφάνειας	0
Αριθμός Καμπύλης Απορροής-CN	84.45
Αρχικές Απώλειες	9.35

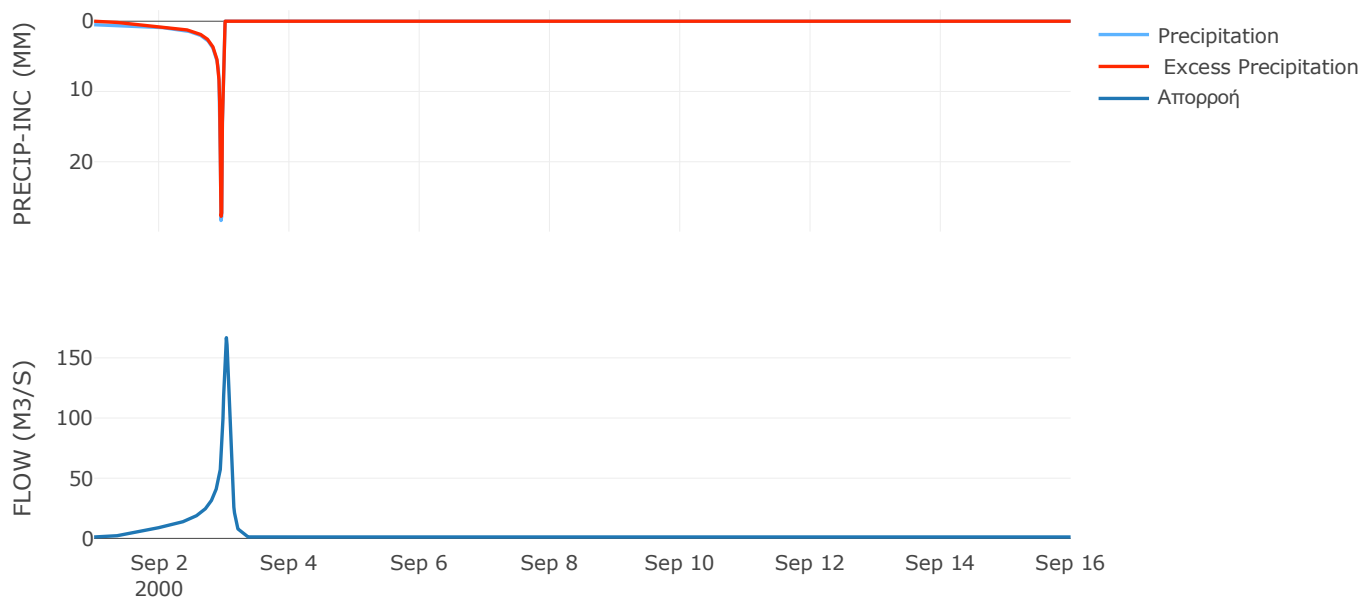
Μέθοδος
Μετασχηματισμού: SCS

Χρόνος Υστέρησης	105.36
------------------	--------

Αποτελέσματα:
EL0512FR1003

Παροχή αιχμής (M3/S)	166.75
Χρονική στιγμή αιχμής	03Sep2000, 00:45
Όγκος (MM)	438.83
Όγκος βροχόπτωσης (M3)	4.24E6
Όγκος απωλειών (M3)	5.97E5
Ενεργός Όγκος (M3)	3.65E6
Όγκος άμεσης απορροής (M3)	3.65E6
Όγκος βασικής απορροής (M3)	1.53E6

Βροχόπτωση και Απορροή



Υπολεκάνη: EL0512FR1004

Έκταση (KM2) : 17.07

Κατάνη : J4

Μέθοδος Απωλειών: SCS

Ποσοστό αδιαπέρατης επιφάνειας	0
Αριθμός Καμπύλης Απορροής-CN	82.25
Αρχικές Απώλειες	10.96

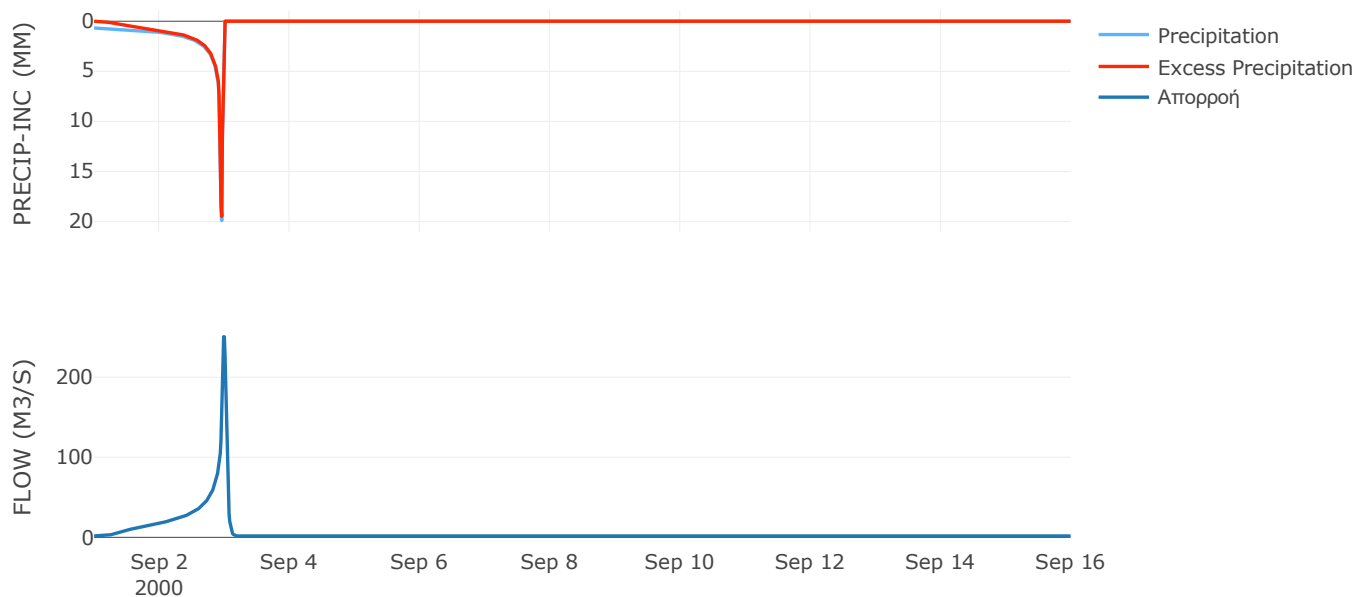
Μέθοδος
Μετασχηματισμού: SCS

Χρόνος Υστέρησης	50.69
------------------	-------

Αποτελέσματα:
EL0512FR1004

Παροχή αιχμής (M3/S)	250.6
Χρονική στιγμή αιχμής	02Sep2000, 23:45
Όγκος (MM)	435.38
Όγκος βροχόπτωσης (M3)	6.21E6
Όγκος απωλειών (M3)	9.97E5
Ενεργός Όγκος (M3)	5.22E6
Όγκος άμεσης απορροής (M3)	5.22E6
Όγκος βασικής απορροής (M3)	2.21E6

Βροχόπτωση και Απορροή



Υπολεκάνη: EL0512FR1005

Έκταση (KM2) : 3.17

Κατάντη : J4

Μέθοδος Απωλειών: SCS

Ποσοστό αδιαπέρατης επιφάνειας	0
Αριθμός Καμπύλης Απορροής-CN	80.58
Αρχικές Απώλειες	12.25

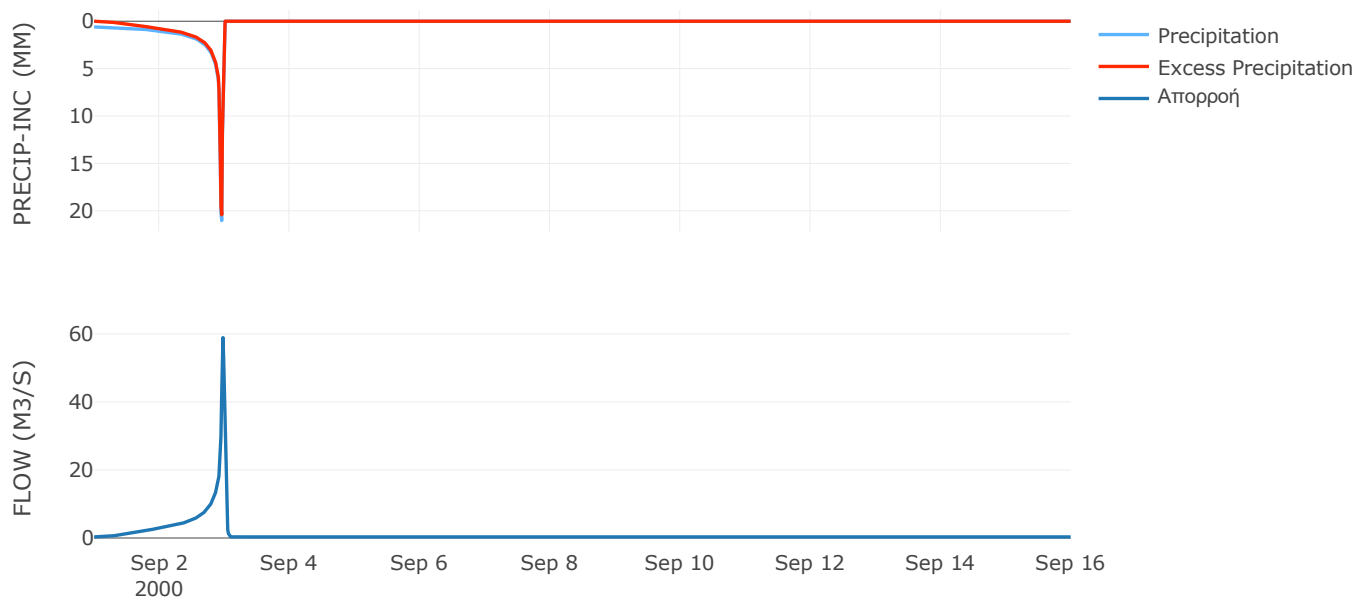
Μέθοδος
Μετασχηματισμού: SCS

Χρόνος Υστέρησης	27.04
------------------	-------

Αποτελέσματα:
EL0512FR1005

Παροχή αιχμής (M3/S)	58.9
Χρονική στιγμή αιχμής	02Sep2000, 23:30
Όγκος (MM)	415.88
Όγκος βροχόπτωσης (M3)	1.11E6
Όγκος απωλειών (M3)	2.03E5
Ενεργός Όγκος (M3)	9.08E5
Όγκος άμεσης απορροής (M3)	9.08E5
Όγκος βασικής απορροής (M3)	4.11E5

Βροχόπτωση και Απορροή



Υπολεκάνη: EL0512FR1006

Έκταση (KM2) : 18.76

Κατάντη : J5

Μέθοδος Απωλειών: SCS

Ποσοστό αδιαπέρατης επιφάνειας	0
Αριθμός Καμπύλης Απορροής-CN	82.15
Αρχικές Απώλειες	11.04

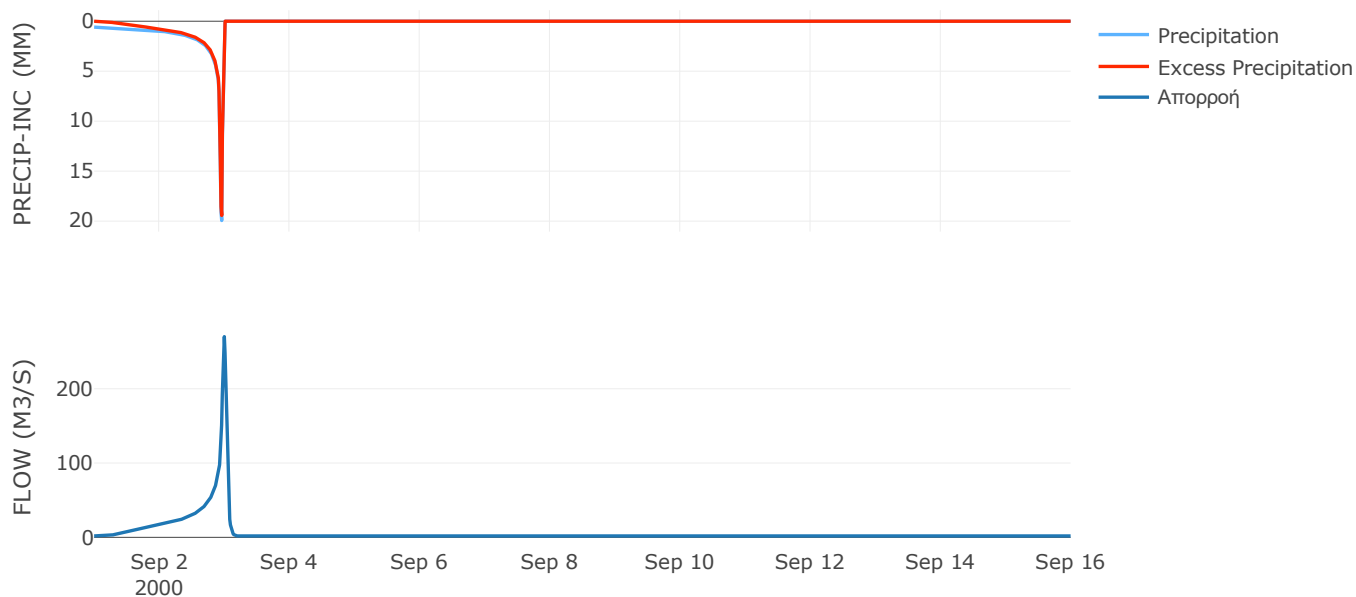
Μέθοδος
Μετασχηματισμού: SCS

Χρόνος Υστέρησης	52.97
------------------	-------

Αποτελέσματα:
EL0512FR1006

Παροχή αιχμής (M3/S)	270.15
Χρονική στιγμή αιχμής	02Sep2000, 24:00
Όγκος (MM)	409.24
Όγκος βροχόπτωσης (M3)	6.34E6
Όγκος απωλειών (M3)	1.09E6
Ενεργός Όγκος (M3)	5.25E6
Όγκος άμεσης απορροής (M3)	5.25E6
Όγκος βασικής απορροής (M3)	2.43E6

Βροχόπτωση και Απορροή



Υπολεκάνη: EL0512FR1007

Έκταση (KM2) : 22.72

Κατάντη : J5

Μέθοδος Απωλειών: SCS

Ποσοστό αδιαπέρατης επιφάνειας	0
Αριθμός Καμπύλης Απορροής-CN	82.64
Αρχικές Απώλειες	10.67

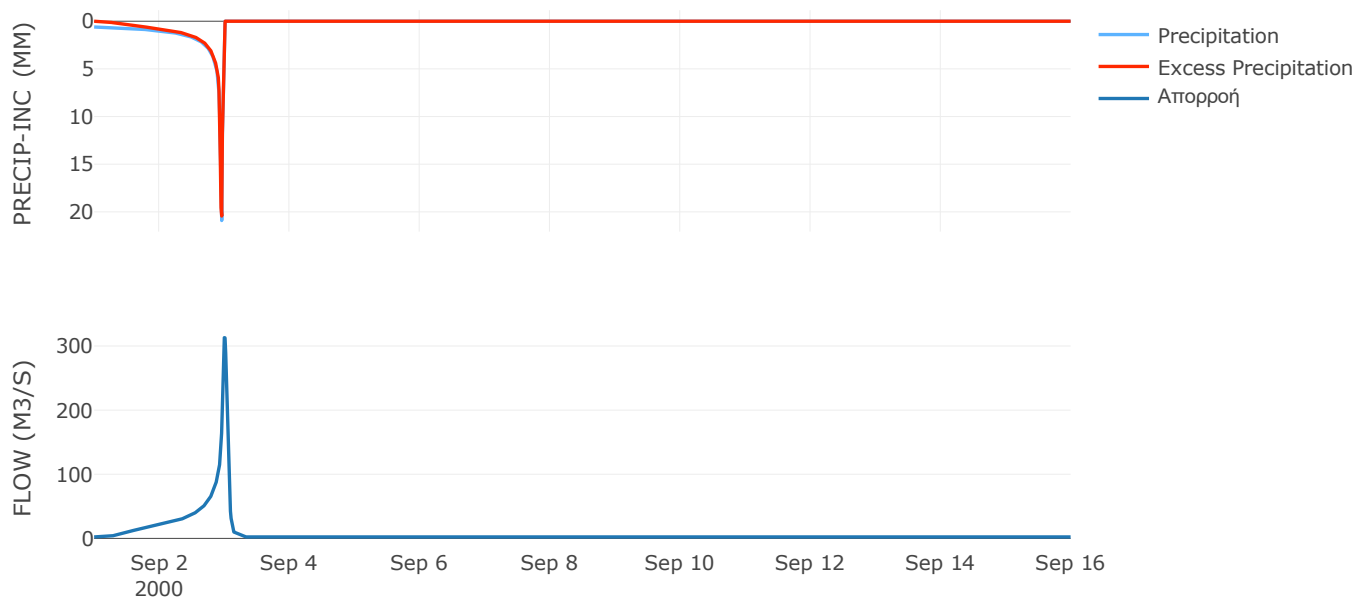
Μέθοδος
Μετασχηματισμού: SCS

Χρόνος Υστέρησης	67.16
------------------	-------

Αποτελέσματα:
EL0512FR1007

Παροχή αιχμής (M3/S)	313.04
Χρονική στιγμή αιχμής	02Sep2000, 24:00
Όγκος (MM)	422.91
Όγκος βροχόπτωσης (M3)	7.95E6
Όγκος απωλειών (M3)	1.29E6
Ενεργός Όγκος (M3)	6.66E6
Όγκος άμεσης απορροής (M3)	6.66E6
Όγκος βασικής απορροής (M3)	2.94E6

Βροχόπτωση και Απορροή



Υπολεκάνη: EL0512FR1008

Έκταση (KM2) : 12.83

Κατάντη : J6

Μέθοδος Απωλειών: SCS

Ποσοστό αδιαπέρατης επιφάνειας	0
Αριθμός Καμπύλης Απορροής-CN	85.05
Αρχικές Απώλειες	8.93

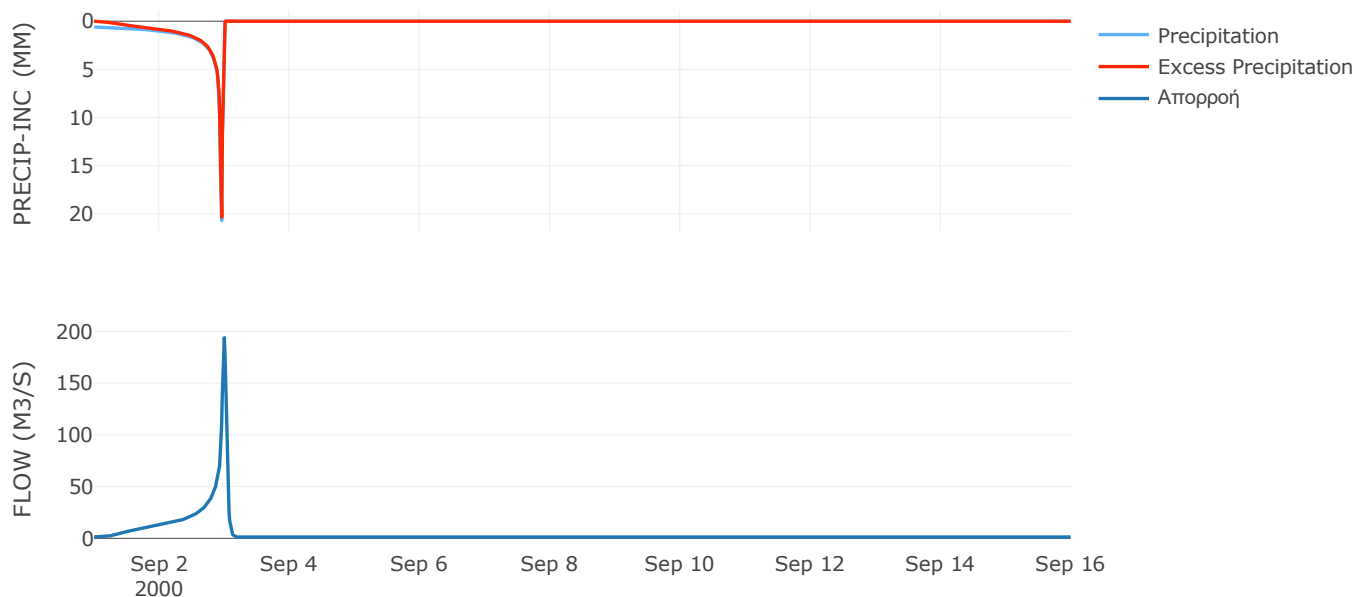
Μέθοδος
Μετασχηματισμού: SCS

Χρόνος Υστέρησης	52.35
------------------	-------

Αποτελέσματα:
EL0512FR1008

Παροχή αιχμής (M3/S)	193.87
Χρονική στιγμή αιχμής	02Sep2000, 24:00
Όγκος (MM)	428.11
Όγκος βροχόπτωσης (M3)	4.45E6
Όγκος απωλειών (M3)	6.21E5
Ενεργός Όγκος (M3)	3.83E6
Όγκος άμεσης απορροής (M3)	3.83E6
Όγκος βασικής απορροής (M3)	1.66E6

Βροχόπτωση και Απορροή



Υπολεκάνη: EL0512FR1009

Έκταση (KM2) : 9.15

Κατάντη : J7

Μέθοδος Απωλειών: SCS

Ποσοστό αδιαπέρατης επιφάνειας	0
Αριθμός Καμπύλης Απορροής-CN	85.16
Αρχικές Απώλειες	8.85

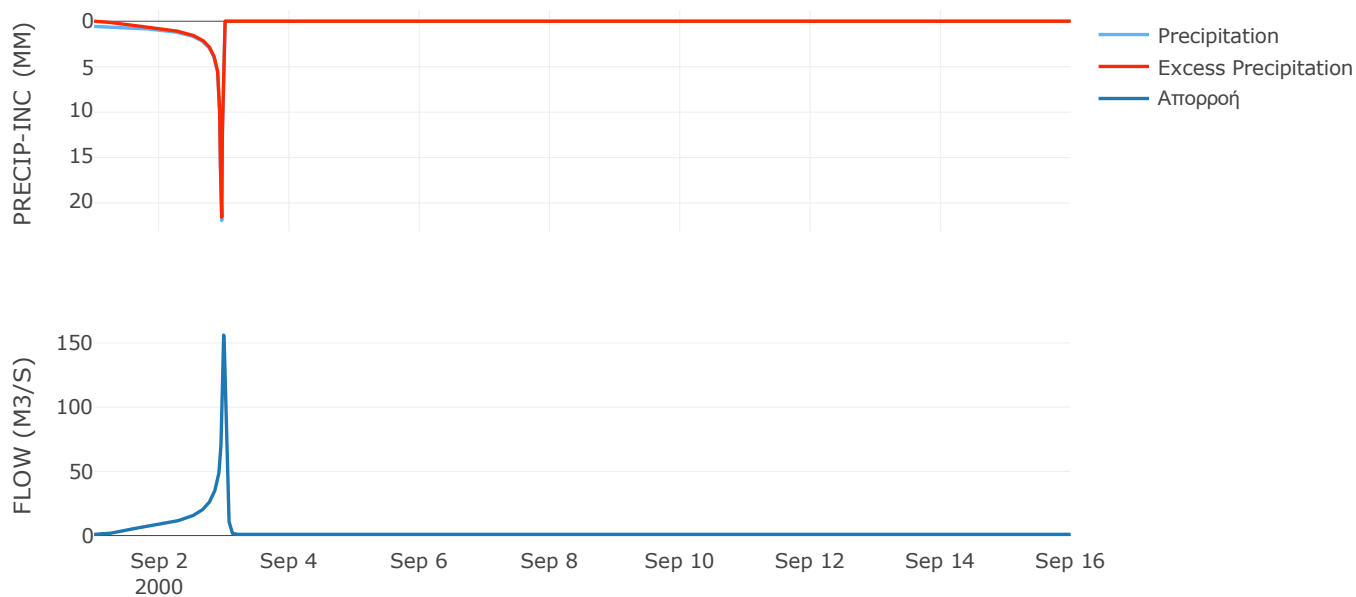
Μέθοδος
Μετασχηματισμού: SCS

Χρόνος Υστέρησης	43.61
------------------	-------

Αποτελέσματα:
EL0512FR1009

Παροχή αιχμής (M3/S)	156.14
Χρονική στιγμή αιχμής	02Sep2000, 23:45
Όγκος (MM)	427.73
Όγκος βροχόπτωσης (M3)	3.17E6
Όγκος απωλειών (M3)	4.39E5
Ενεργός Όγκος (M3)	2.73E6
Όγκος άμεσης απορροής (M3)	2.73E6
Όγκος βασικής απορροής (M3)	1.19E6

Βροχόπτωση και Απορροή



Υπολεκάνη: EL0512FR1010

Έκταση (KM2) : 37.24

Κατάντη : J7

Μέθοδος Απωλειών: SCS

Ποσοστό αδιαπέρατης επιφάνειας	0
Αριθμός Καμπύλης Απορροής-CN	88.65
Αρχικές Απώλειες	6.5

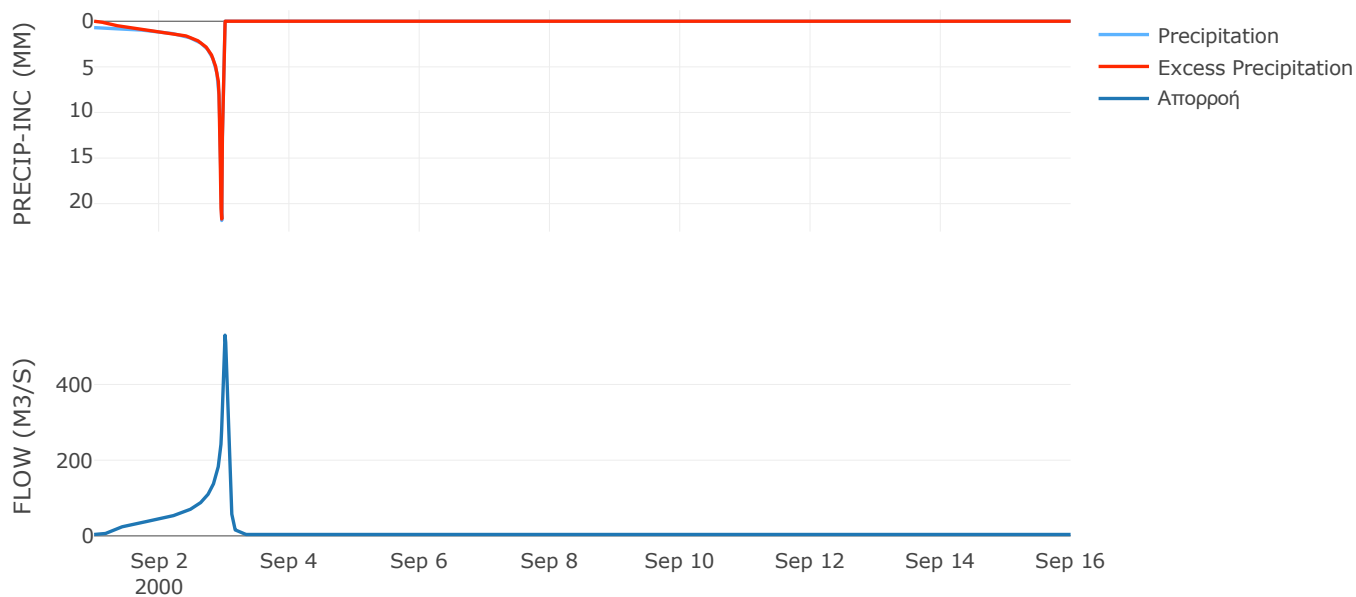
Μέθοδος
Μετασχηματισμού: SCS

Χρόνος Υστέρησης	75.38
------------------	-------

Αποτελέσματα:
EL0512FR1010

Παροχή αιχμής (M3/S)	530.27
Χρονική στιγμή αιχμής	03Sep2000, 00:15
Όγκος (MM)	481.35
Όγκος βροχόπτωσης (M3)	1.45E7
Όγκος απωλειών (M3)	1.36E6
Ενεργός Όγκος (M3)	1.31E7
Όγκος άμεσης απορροής (M3)	1.31E7
Όγκος βασικής απορροής (M3)	4.83E6

Βροχόπτωση και Απορροή



Υπολεκάνη: EL0512FR1011

Έκταση (KM2) : 16.64

Κατάντη : J8

Μέθοδος Απωλειών: SCS

Ποσοστό αδιαπέρατης επιφάνειας	0
Αριθμός Καμπύλης Απορροής-CN	81.73
Αρχικές Απώλειες	11.36

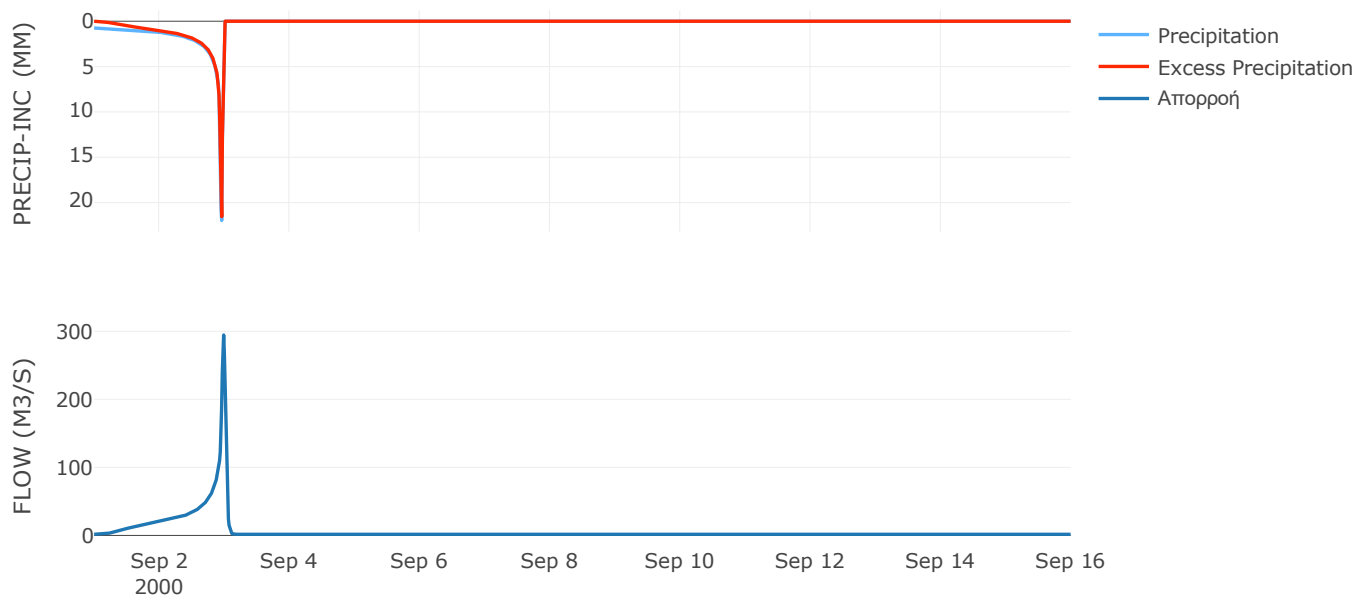
Μέθοδος
Μετασχηματισμού: SCS

Χρόνος Υστέρησης	39.35
------------------	-------

Αποτελέσματα:
EL0512FR1011

Παροχή αιχμής (M3/S)	294.48
Χρονική στιγμή αιχμής	02Sep2000, 23:45
Όγκος (MM)	472.19
Όγκος βροχόπτωσης (M3)	6.72E6
Όγκος απωλειών (M3)	1.01E6
Ενεργός Όγκος (M3)	5.7E6
Όγκος άμεσης απορροής (M3)	5.7E6
Όγκος βασικής απορροής (M3)	2.16E6

Βροχόπτωση και Απορροή



Υπολεκάνη: EL0512FR1012

Έκταση (KM2) : 37.82

Κατάντη : J9

Μέθοδος Απωλειών: SCS

Ποσοστό αδιαπέρατης επιφάνειας	0
Αριθμός Καμπύλης Απορροής-CN	81.26
Αρχικές Απώλειες	11.71

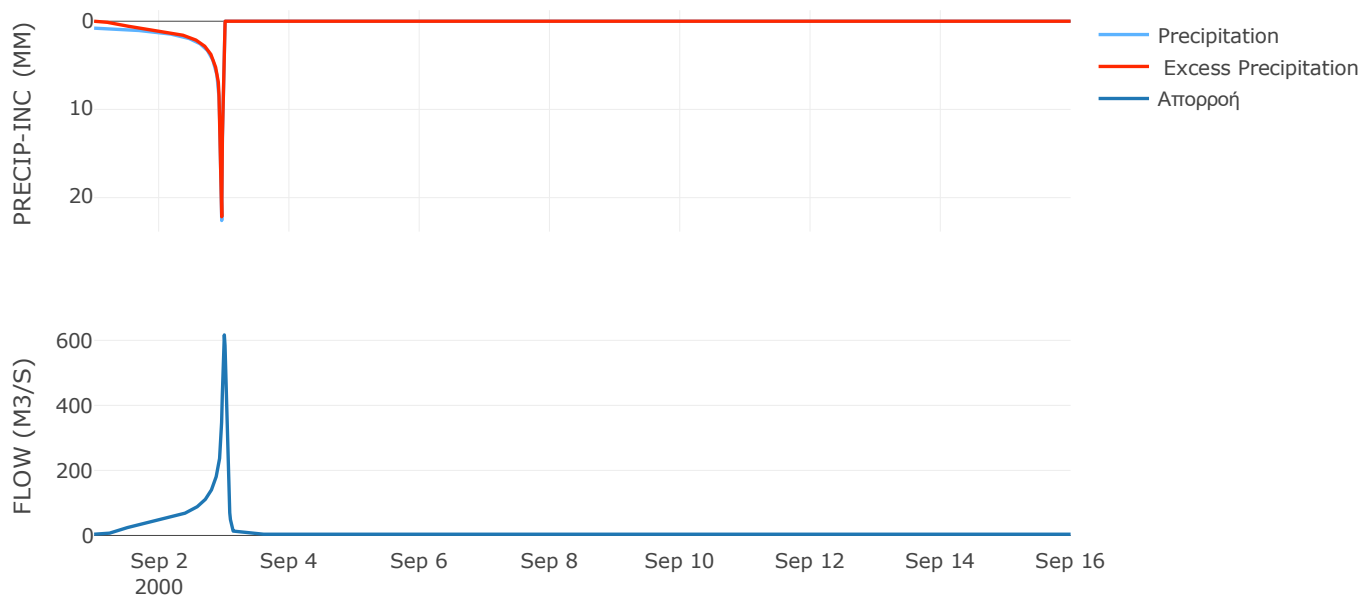
Μέθοδος
Μετασχηματισμού: SCS

Χρόνος Υστέρησης	56.99
------------------	-------

Αποτελέσματα:
EL0512FR1012

Παροχή αιχμής (M3/S)	616.7
Χρονική στιγμή αιχμής	02Sep2000, 24:00
Όγκος (MM)	486.58
Όγκος βροχόπτωσης (M3)	1.59E7
Όγκος απωλειών (M3)	2.38E6
Ενεργός Όγκος (M3)	1.35E7
Όγκος άμεσης απορροής (M3)	1.35E7
Όγκος βασικής απορροής (M3)	4.9E6

Βροχόπτωση και Απορροή



Υπολεκάνη: EL0512FR1013

Έκταση (KM2) : 42.56

Κατάντη : J10

Μέθοδος Απωλειών: SCS

Ποσοστό αδιαπέρατης επιφάνειας	0
Αριθμός Καμπύλης Απορροής-CN	84.49
Αρχικές Απώλειες	9.32

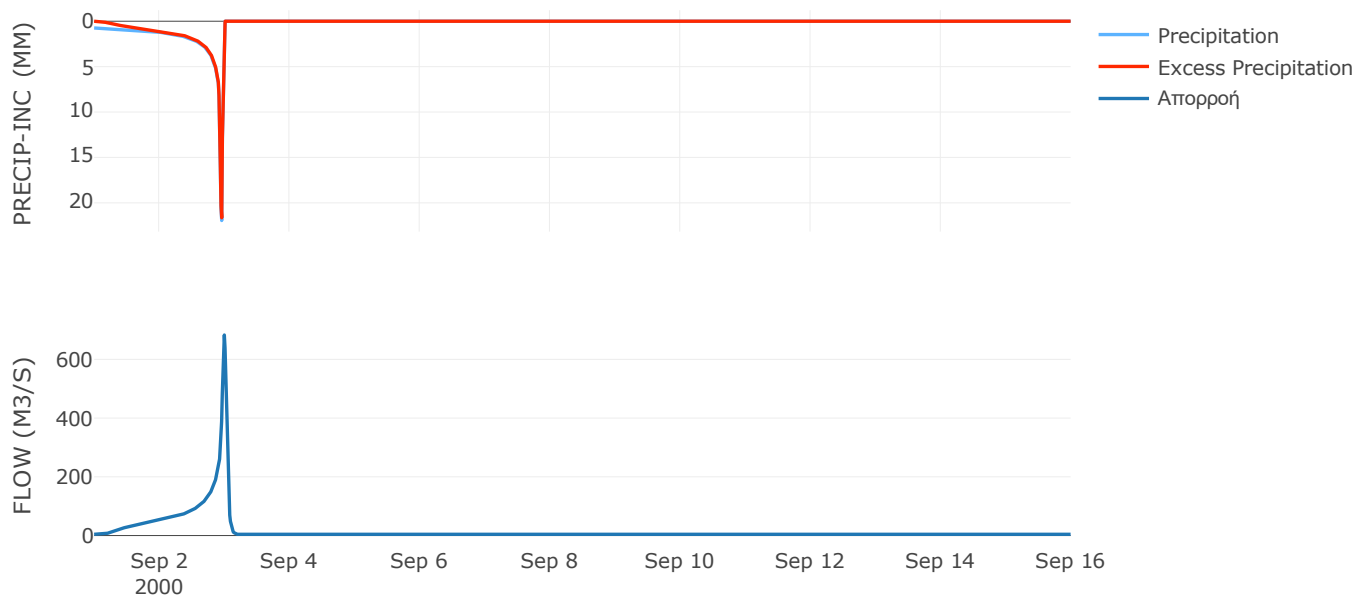
Μέθοδος
Μετασχηματισμού: SCS

Χρόνος Υστέρησης	55.14
------------------	-------

Αποτελέσματα:
EL0512FR1013

Παροχή αιχμής (M3/S)	683.05
Χρονική στιγμή αιχμής	02Sep2000, 24:00
Όγκος (MM)	480.43
Όγκος βροχόπτωσης (M3)	1.71E7
Όγκος απωλειών (M3)	2.17E6
Ενεργός Όγκος (M3)	1.49E7
Όγκος άμεσης απορροής (M3)	1.49E7
Όγκος βασικής απορροής (M3)	5.52E6

Βροχόπτωση και Απορροή



Υπολεκάνη: EL0512FR1014

Έκταση (KM2) : 20.41

Κατάντη : J25

Μέθοδος Απωλειών: SCS

Ποσοστό αδιαπέρατης επιφάνειας	0
Αριθμός Καμπύλης Απορροής-CN	83.76
Αρχικές Απώλειες	9.85

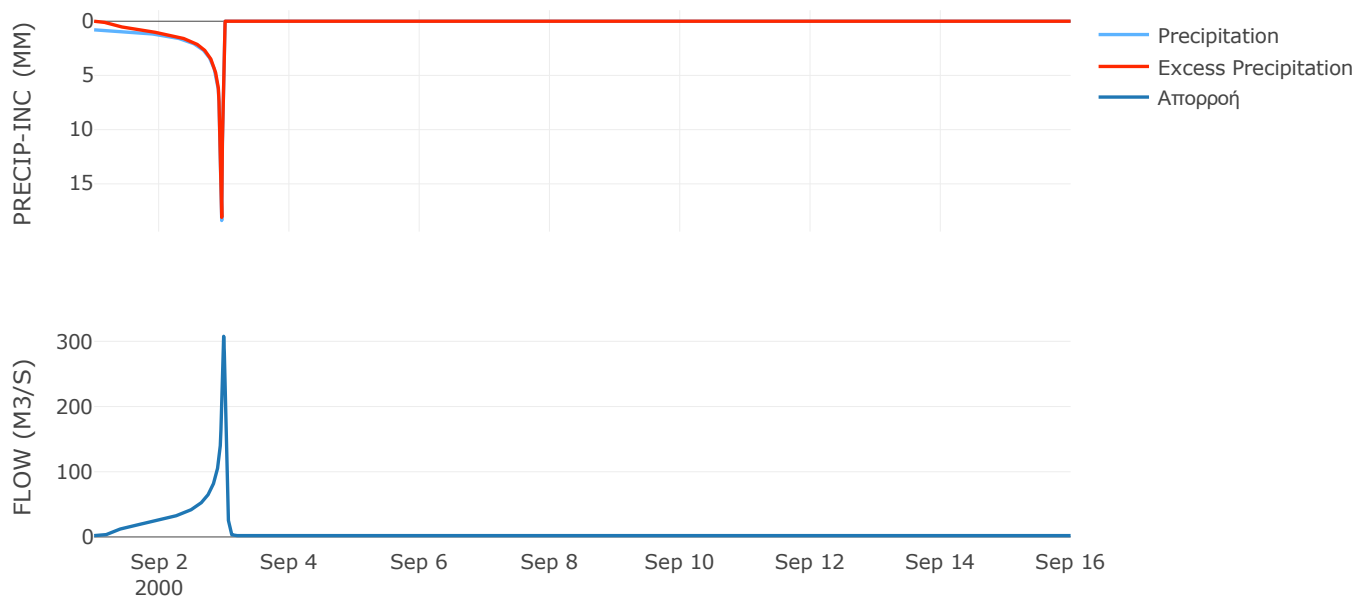
Μέθοδος
Μετασχηματισμού: SCS

Χρόνος Υστέρησης	38.83
------------------	-------

Αποτελέσματα:
EL0512FR1014

Παροχή αιχμής (M3/S)	307.71
Χρονική στιγμή αιχμής	02Sep2000, 23:45
Όγκος (MM)	465.15
Όγκος βροχόπτωσης (M3)	7.94E6
Όγκος απωλειών (M3)	1.09E6
Ενεργός Όγκος (M3)	6.85E6
Όγκος άμεσης απορροής (M3)	6.85E6
Όγκος βασικής απορροής (M3)	2.65E6

Βροχόπτωση και Απορροή



Υπολεκάνη: EL0512FR1015

Έκταση (KM2) : 55.38

Κατάντη : J26

Μέθοδος Απωλειών: SCS

Ποσοστό αδιαπέρατης επιφάνειας	0
Αριθμός Καμπύλης Απορροής-CN	83.5
Αρχικές Απώλειες	10.04

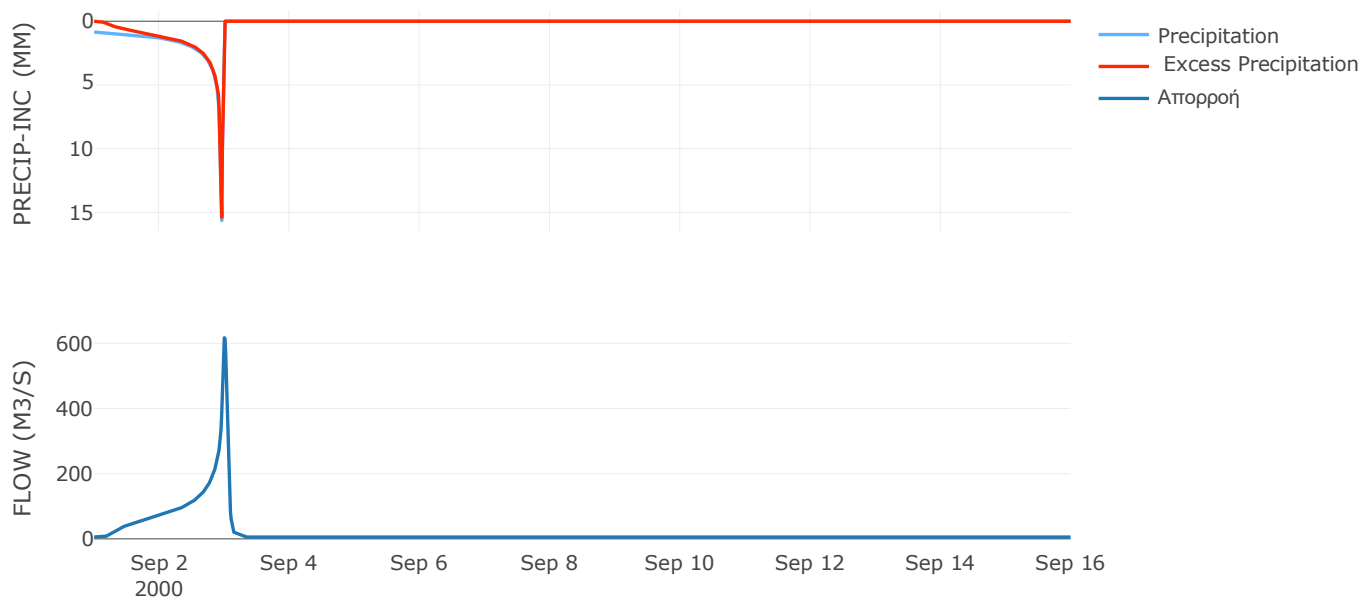
Μέθοδος
Μετασχηματισμού: SCS

Χρόνος Υστέρησης	66.21
------------------	-------

Αποτελέσματα:
EL0512FR1015

Παροχή αιχμής (M3/S)	617.04
Χρονική στιγμή αιχμής	02Sep2000, 24:00
Όγκος (MM)	455.16
Όγκος βροχόπτωσης (M3)	2.1E7
Όγκος απωλειών (M3)	3E6
Ενεργός Όγκος (M3)	1.8E7
Όγκος άμεσης απορροής (M3)	1.8E7
Όγκος βασικής απορροής (M3)	7.18E6

Βροχόπτωση και Απορροή



Υπολεκάνη: EL0512FR1016

Έκταση (KM2) : 87.24

Κατάντη : J26

Μέθοδος Απωλειών: SCS

Ποσοστό αδιαπέρατης επιφάνειας	0
Αριθμός Καμπύλης Απορροής-CN	86.19
Αρχικές Απώλειες	8.14

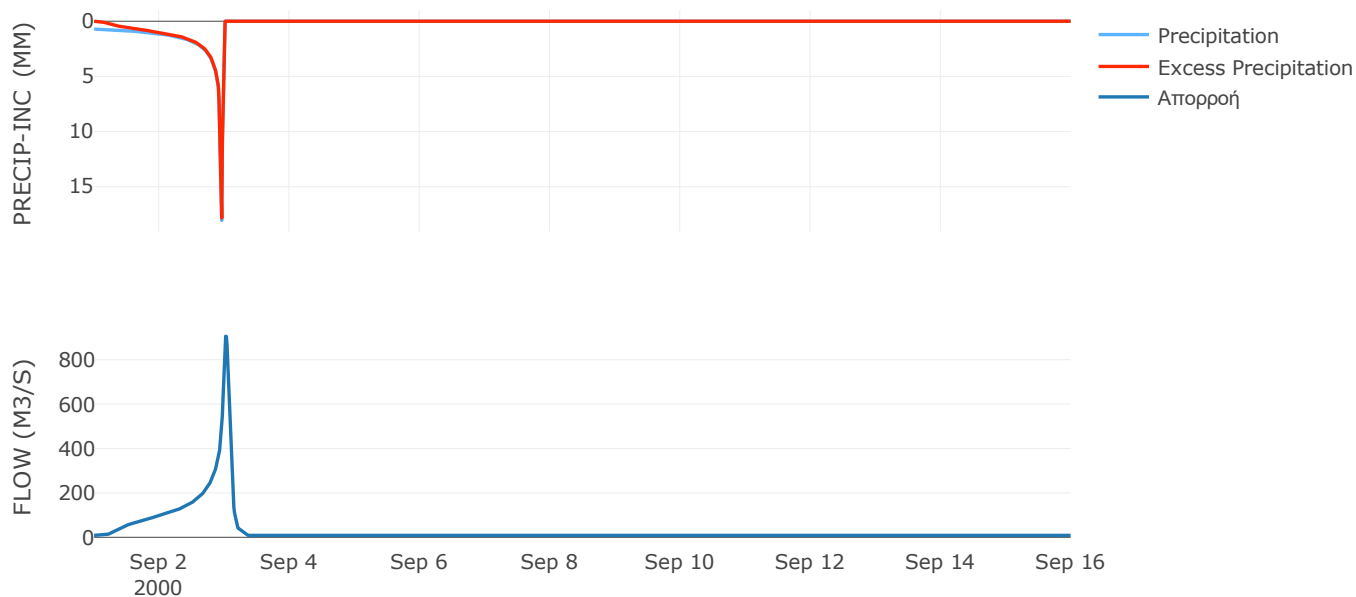
Μέθοδος
Μετασχηματισμού: SCS

Χρόνος Υστέρησης	103.15
------------------	--------

Αποτελέσματα:
EL0512FR1016

Παροχή αιχμής (M3/S)	905.79
Χρονική στιγμή αιχμής	03Sep2000, 00:30
Όγκος (MM)	446.13
Όγκος βροχόπτωσης (M3)	3.15E7
Όγκος απωλειών (M3)	3.89E6
Ενεργός Όγκος (M3)	2.76E7
Όγκος άμεσης απορροής (M3)	2.76E7
Όγκος βασικής απορροής (M3)	1.13E7

Βροχόπτωση και Απορροή



Υπολεκάνη: EL0512FR1017

Έκταση (KM2) : 29.09

Κατάντη : J27

Μέθοδος Απωλειών: SCS

Ποσοστό αδιαπέρατης επιφάνειας	0
Αριθμός Καμπύλης Απορροής-CN	82.02
Αρχικές Απώλειες	11.13

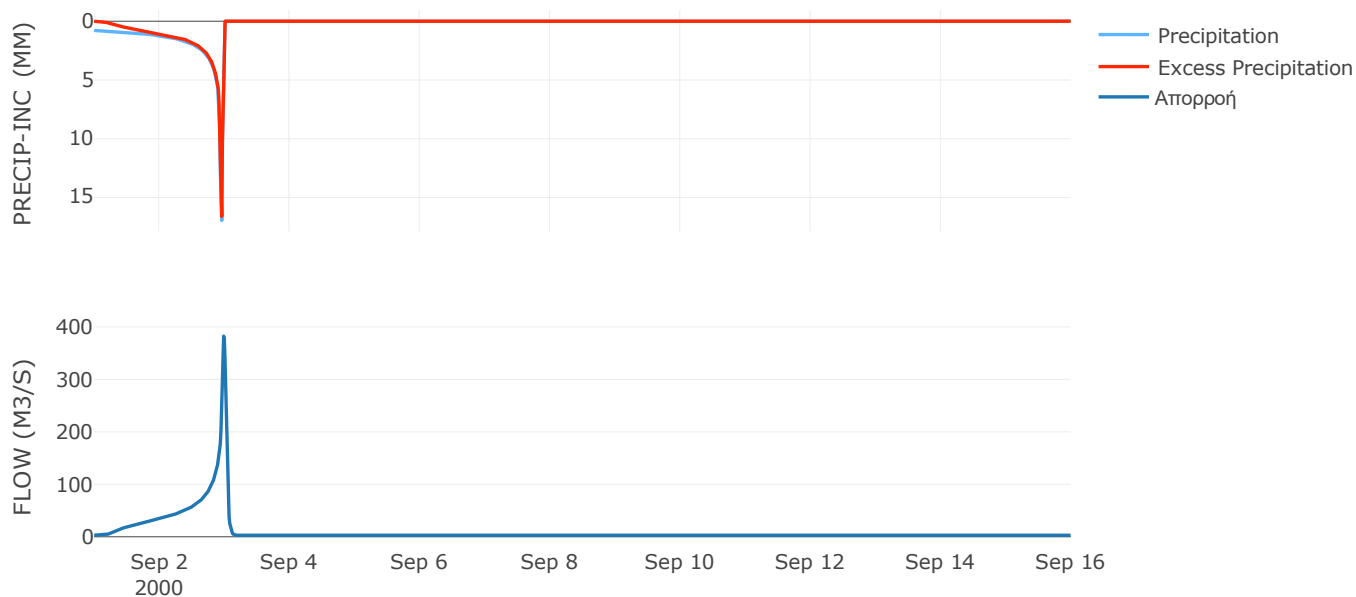
Μέθοδος
Μετασχηματισμού: SCS

Χρόνος Υστέρησης	47.67
------------------	-------

Αποτελέσματα:
EL0512FR1017

Παροχή αιχμής (M3/S)	382.54
Χρονική στιγμή αιχμής	02Sep2000, 23:45
Όγκος (MM)	443.27
Όγκος βροχόπτωσης (M3)	1.09E7
Όγκος απωλειών (M3)	1.73E6
Ενεργός Όγκος (M3)	9.12E6
Όγκος άμεσης απορροής (M3)	9.12E6
Όγκος βασικής απορροής (M3)	3.77E6

Βροχόπτωση και Απορροή



Υπολεκάνη: EL0512FR1018

Έκταση (KM2) : 36.97

Κατάντη : J24

Μέθοδος Απωλειών: SCS

Ποσοστό αδιαπέρατης επιφάνειας	0
Αριθμός Καμπύλης Απορροής-CN	85.66
Αρχικές Απώλειες	8.5

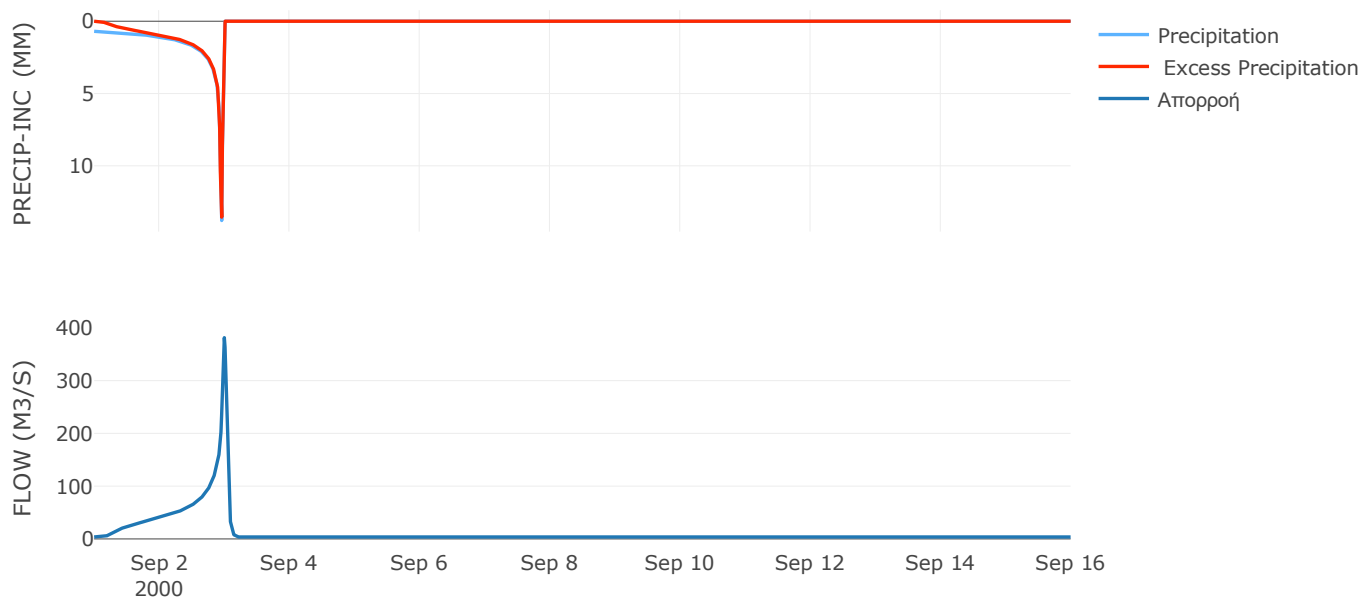
Μέθοδος
Μετασχηματισμού: SCS

Χρόνος Υστέρησης	57.15
------------------	-------

Αποτελέσματα:
EL0512FR1018

Παροχή αιχμής (M3/S)	381.37
Χρονική στιγμή αιχμής	02Sep2000, 24:00
Όγκος (MM)	404.63
Όγκος βροχόπτωσης (M3)	1.19E7
Όγκος απωλειών (M3)	1.7E6
Ενεργός Όγκος (M3)	1.02E7
Όγκος άμεσης απορροής (M3)	1.02E7
Όγκος βασικής απορροής (M3)	4.79E6

Βροχόπτωση και Απορροή



Υπολεκάνη: EL0512FR1019

Έκταση (KM2) : 88.25

Κατάντη : J24

Μέθοδος Απωλειών: SCS

Ποσοστό αδιαπέρατης επιφάνειας	0
Αριθμός Καμπύλης Απορροής-CN	84.96
Αρχικές Απώλειες	8.99

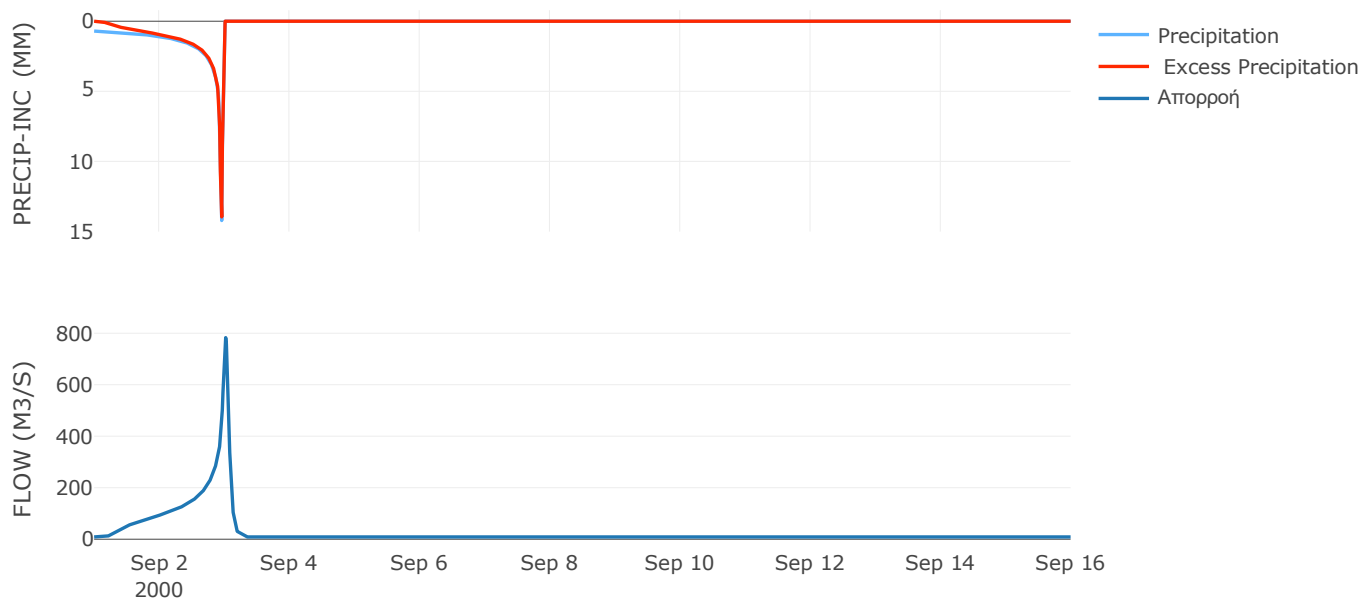
Μέθοδος
Μετασχηματισμού: SCS

Χρόνος Υστέρησης	92.42
------------------	-------

Αποτελέσματα:
EL0512FR1019

Παροχή αιχμής (M3/S)	782.92
Χρονική στιγμή αιχμής	03Sep2000, 00:30
Όγκος (MM)	407.1
Όγκος βροχόπτωσης (M3)	2.88E7
Όγκος απωλειών (M3)	4.27E6
Ενεργός Όγκος (M3)	2.45E7
Όγκος άμεσης απορροής (M3)	2.45E7
Όγκος βασικής απορροής (M3)	1.14E7

Βροχόπτωση και Απορροή



Υπολεκάνη: EL0512FR1020

Έκταση (KM2) : 29.81

Κατάντη : J23

Μέθοδος Απωλειών: SCS

Ποσοστό αδιαπέρατης επιφάνειας	0
Αριθμός Καμπύλης Απορροής-CN	84.16
Αρχικές Απώλειες	9.56

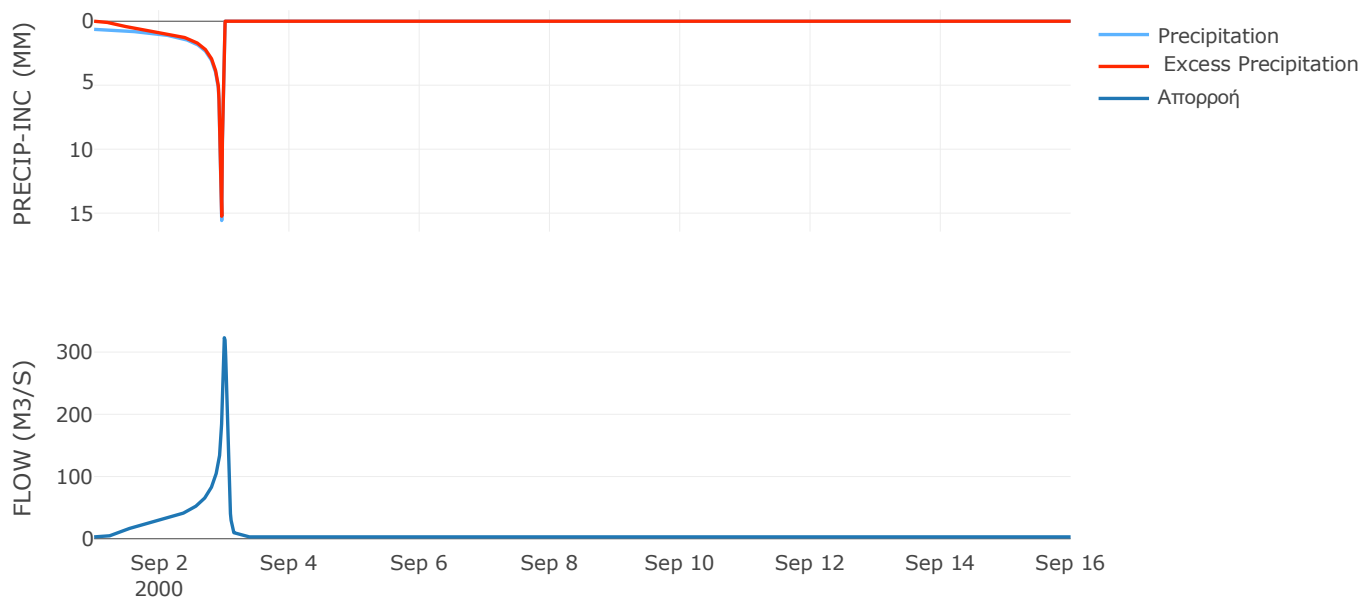
Μέθοδος
Μετασχηματισμού: SCS

Χρόνος Υστέρησης	64.79
------------------	-------

Αποτελέσματα:
EL0512FR1020

Παροχή αιχμής (M3/S)	323.09
Χρονική στιγμή αιχμής	02Sep2000, 24:00
Όγκος (MM)	396.47
Όγκος βροχόπτωσης (M3)	9.48E6
Όγκος απωλειών (M3)	1.52E6
Ενεργός Όγκος (M3)	7.96E6
Όγκος άμεσης απορροής (M3)	7.96E6
Όγκος βασικής απορροής (M3)	3.86E6

Βροχόπτωση και Απορροή



Υπολεκάνη: EL0512FR1021

Έκταση (KM2) : 1.65

Κατάντη : J23

Μέθοδος Απωλειών: SCS

Ποσοστό αδιαπέρατης επιφάνειας	0
Αριθμός Καμπύλης Απορροής-CN	72.44
Αρχικές Απώλειες	19.33

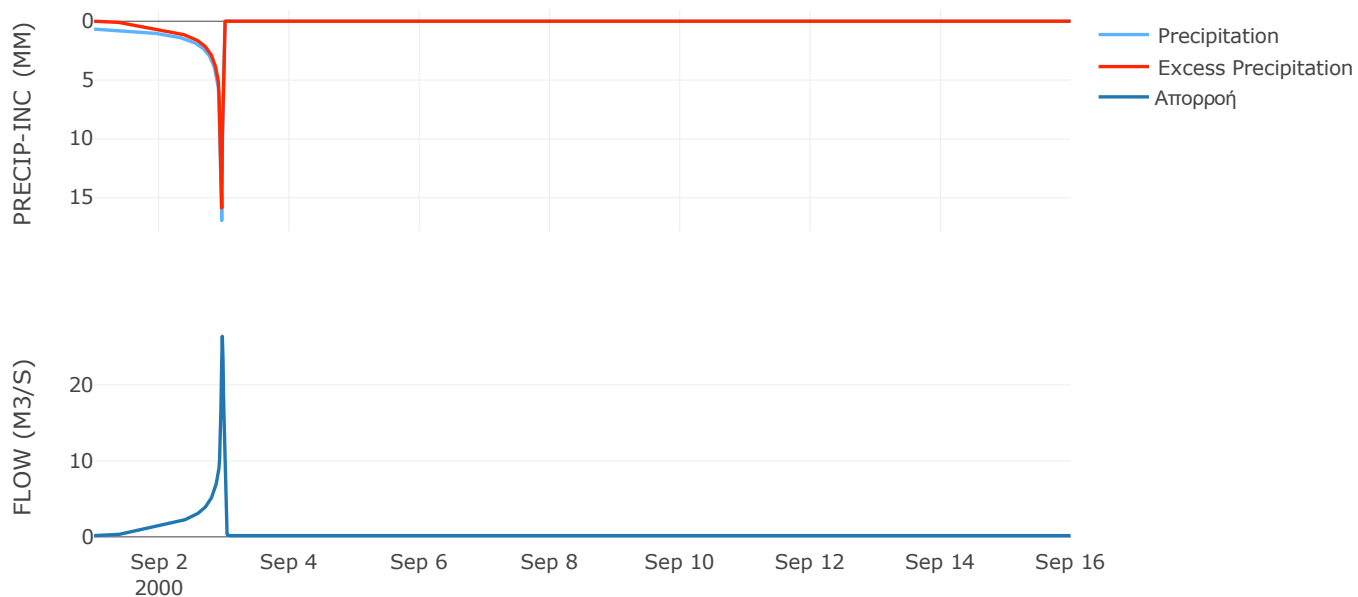
Μέθοδος
Μετασχηματισμού: SCS

Χρόνος Υστέρησης	13.96
------------------	-------

Αποτελέσματα:
EL0512FR1021

Παροχή αιχμής (M3/S)	26.4
Χρονική στιγμή αιχμής	02Sep2000, 23:15
Όγκος (MM)	376.19
Όγκος βροχόπτωσης (M3)	5.61E5
Όγκος απωλειών (M3)	1.54E5
Ενεργός Όγκος (M3)	4.06E5
Όγκος άμεσης απορροής (M3)	4.06E5
Όγκος βασικής απορροής (M3)	2.14E5

Βροχόπτωση και Απορροή



Υπολεκάνη: EL0512FR1024

Έκταση (KM2) : 104.31

Κατάντη : J13

Μέθοδος Απωλειών: SCS

Ποσοστό αδιαπέρατης επιφάνειας	0
Αριθμός Καμπύλης Απορροής-CN	87.83
Αρχικές Απώλειες	7.04

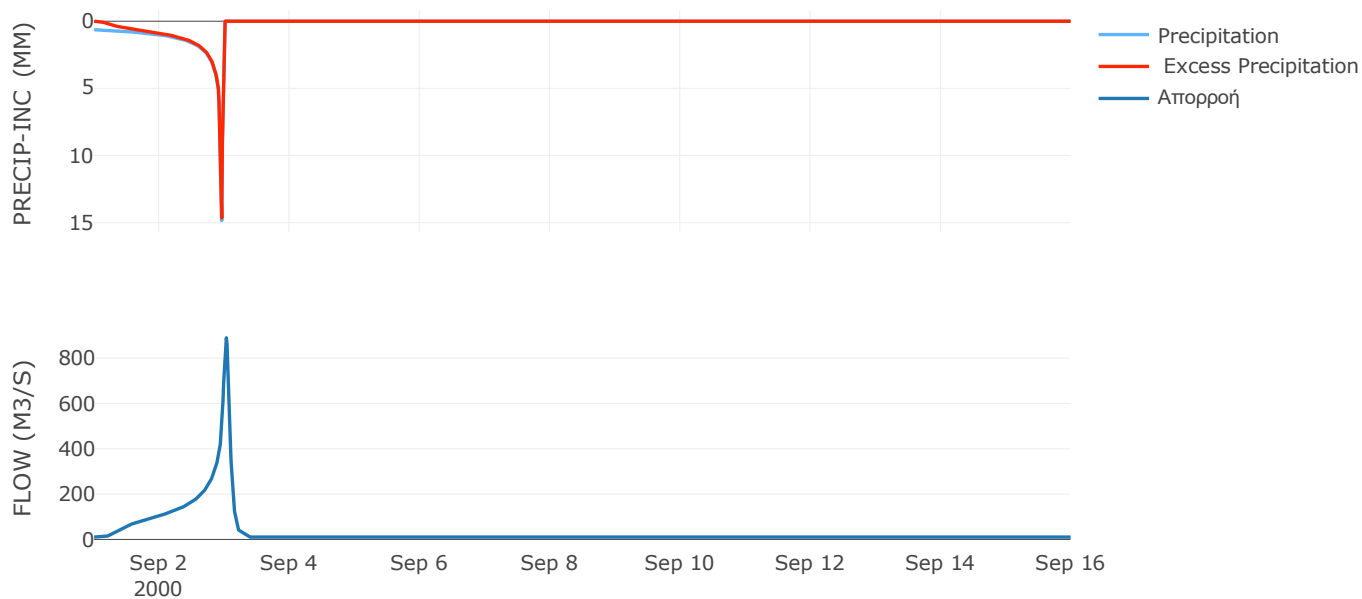
Μέθοδος
Μετασχηματισμού: SCS

Χρόνος Υστέρησης	106.94
------------------	--------

Αποτελέσματα:
EL0512FR1024

Παροχή αιχμής (M3/S)	890
Χρονική στιγμή αιχμής	03Sep2000, 00:45
Όγκος (MM)	403.15
Όγκος βροχόπτωσης (M3)	3.26E7
Όγκος απωλειών (M3)	4.03E6
Ενεργός Όγκος (M3)	2.85E7
Όγκος άμεσης απορροής (M3)	2.85E7
Όγκος βασικής απορροής (M3)	1.35E7

Βροχόπτωση και Απορροή



Υπολεκάνη: EL0512FR1025

Έκταση (KM2) : 99.97

Κατάντη : J13

Μέθοδος Απωλειών: SCS

Ποσοστό αδιαπέρατης επιφάνειας	0
Αριθμός Καμπύλης Απορροής-CN	86.78
Αρχικές Απώλειες	7.74

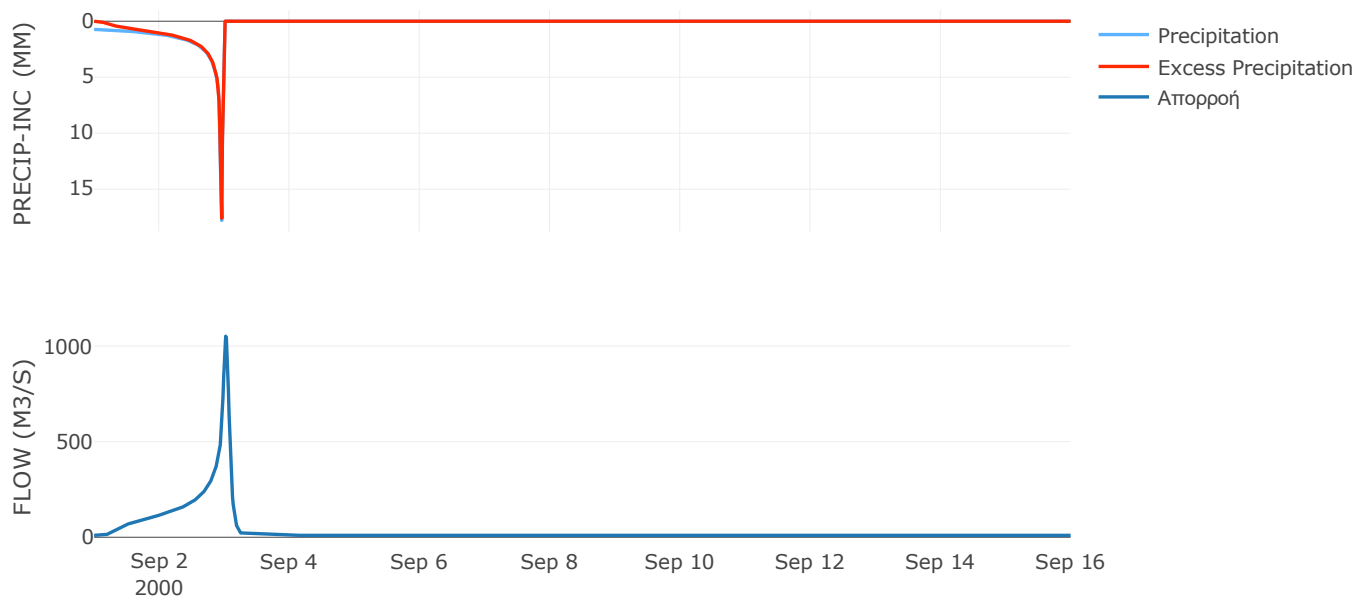
Μέθοδος
Μετασχηματισμού: SCS

Χρόνος Υστέρησης	99.39
------------------	-------

Αποτελέσματα:
EL0512FR1025

Παροχή αιχμής (M3/S)	1052.03
Χρονική στιγμή αιχμής	03Sep2000, 00:30
Όγκος (MM)	451.25
Όγκος βροχόπτωσης (M3)	3.64E7
Όγκος απωλειών (M3)	4.26E6
Ενεργός Όγκος (M3)	3.22E7
Όγκος άμεσης απορροής (M3)	3.22E7
Όγκος βασικής απορροής (M3)	1.3E7

Βροχόπτωση και Απορροή



Υπολεκάνη: EL0512FR1026

Έκταση (KM2) : 78.82

Κατάντη : J12

Μέθοδος Απωλειών: SCS

Ποσοστό αδιαπέρατης επιφάνειας	0
Αριθμός Καμπύλης Απορροής-CN	80.77
Αρχικές Απώλειες	12.1

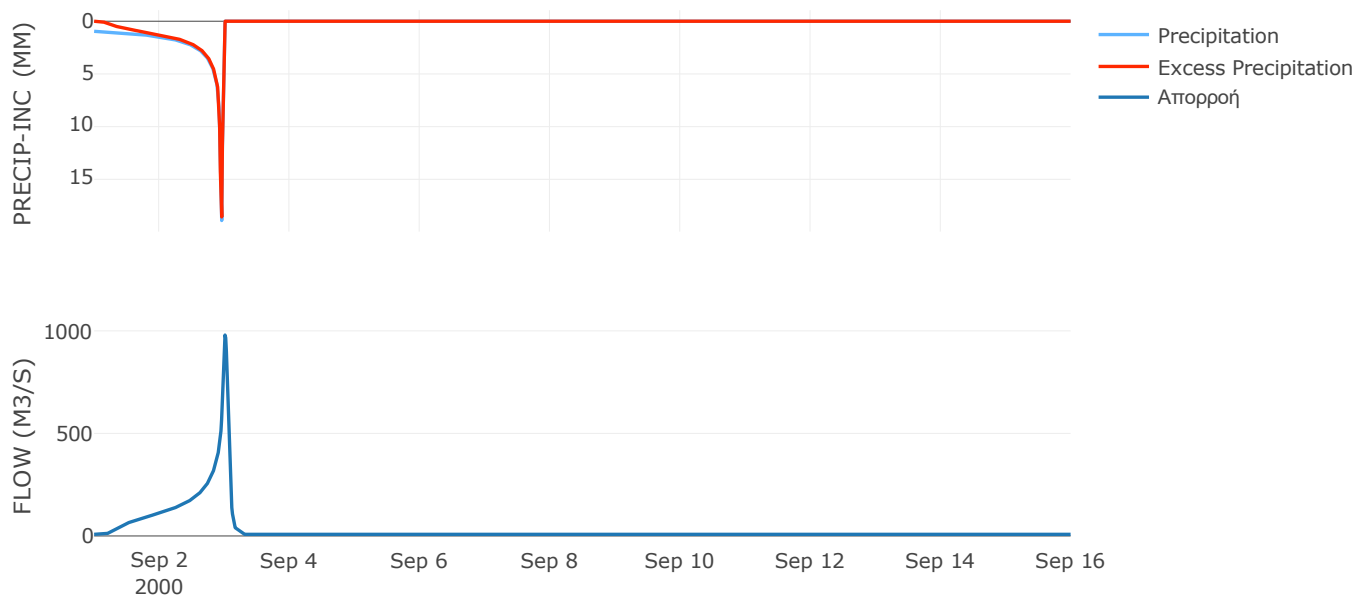
Μέθοδος
Μετασχηματισμού: SCS

Χρόνος Υστέρησης	81.13
------------------	-------

Αποτελέσματα:
EL0512FR1026

Παροχή αιχμής (M3/S)	979.66
Χρονική στιγμή αιχμής	03Sep2000, 00:15
Όγκος (MM)	504.24
Όγκος βροχόπτωσης (M3)	3.47E7
Όγκος απωλειών (M3)	5.13E6
Ενεργός Όγκος (M3)	2.95E7
Όγκος άμεσης απορροής (M3)	2.95E7
Όγκος βασικής απορροής (M3)	1.02E7

Βροχόπτωση και Απορροή



Υπολεκάνη: EL0512FR1027

Έκταση (KM2) : 79.87

Κατάντη : J31

Μέθοδος Απωλειών: SCS

Ποσοστό αδιαπέρατης επιφάνειας	0
Αριθμός Καμπύλης Απορροής-CN	81.23
Αρχικές Απώλειες	11.74

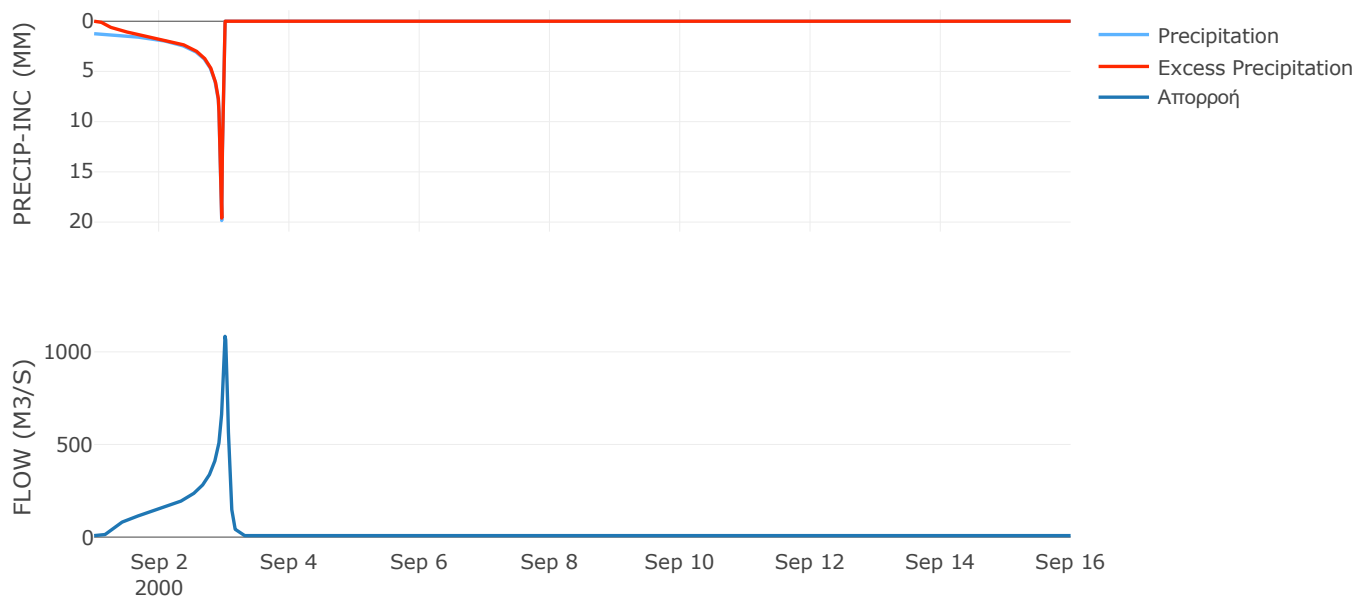
Μέθοδος
Μετασχηματισμού: SCS

Χρόνος Υστέρησης	80.13
------------------	-------

Αποτελέσματα:
EL0512FR1027

Παροχή αιχμής (M3/S)	1084
Χρονική στιγμή αιχμής	03Sep2000, 00:15
Όγκος (MM)	592.92
Όγκος βροχόπτωσης (M3)	4.22E7
Όγκος απωλειών (M3)	5.15E6
Ενεργός Όγκος (M3)	3.7E7
Όγκος άμεσης απορροής (M3)	3.7E7
Όγκος βασικής απορροής (M3)	1.04E7

Βροχόπτωση και Απορροή



Υπολεκάνη: EL0512FR1028

Έκταση (KM2) : 92.8

Κατάντη : J31

Μέθοδος Απωλειών: SCS

Ποσοστό αδιαπέρατης επιφάνειας	0
Αριθμός Καμπύλης Απορροής-CN	86.21
Αρχικές Απώλειες	8.13

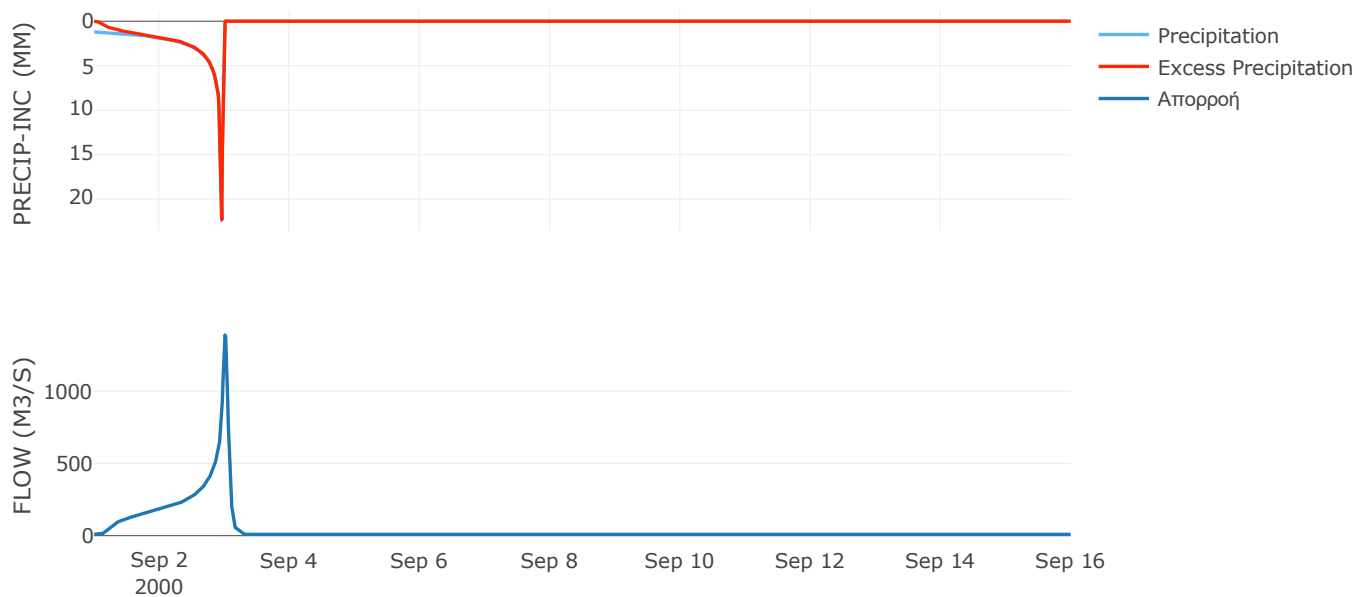
Μέθοδος
Μετασχηματισμού: SCS

Χρόνος Υστέρησης	81.75
------------------	-------

Αποτελέσματα:
EL0512FR1028

Παροχή αιχμής (M3/S)	1389.14
Χρονική στιγμή αιχμής	03Sep2000, 00:15
Όγκος (MM)	623.79
Όγκος βροχόπτωσης (M3)	5.01E7
Όγκος απωλειών (M3)	4.26E6
Ενεργός Όγκος (M3)	4.59E7
Όγκος άμεσης απορροής (M3)	4.59E7
Όγκος βασικής απορροής (M3)	1.2E7

Βροχόπτωση και Απορροή



Υπολεκάνη: EL0512FR1029

Έκταση (KM2) : 88.68

Κατάντη : J22

Μέθοδος Απωλειών: SCS

Ποσοστό αδιαπέρατης επιφάνειας	0
Αριθμός Καμπύλης Απορροής-CN	82.57
Αρχικές Απώλειες	10.73

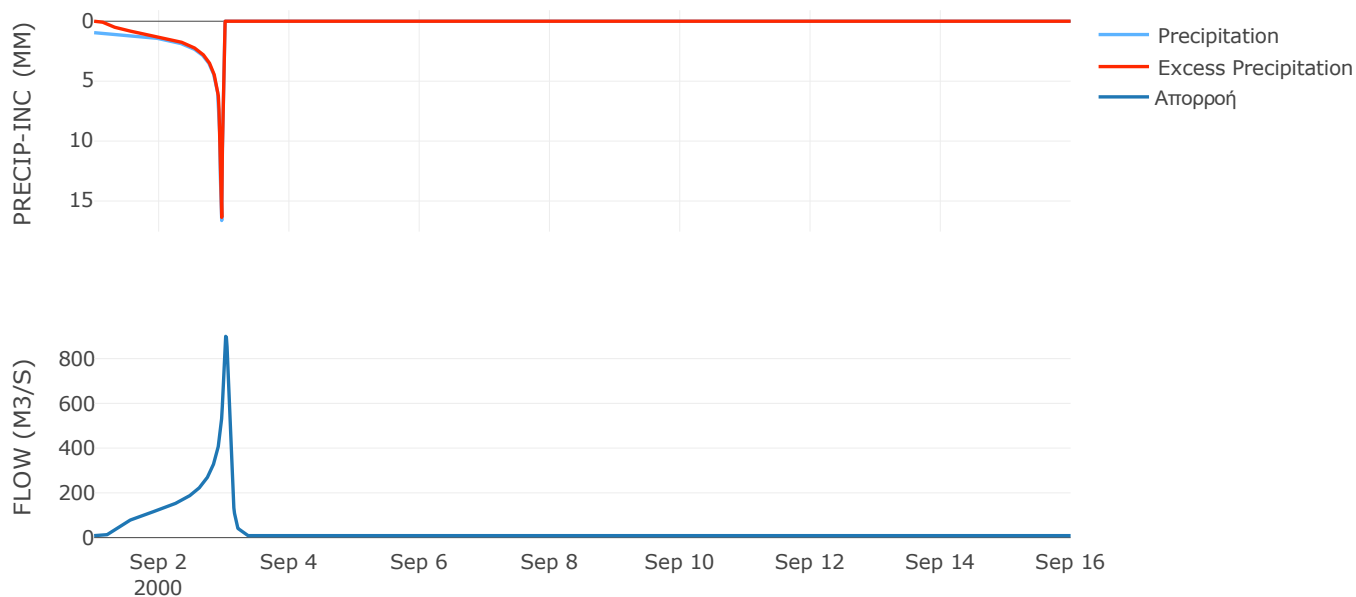
Μέθοδος
Μετασχηματισμού: SCS

Χρόνος Υστέρησης	102.59
------------------	--------

Αποτελέσματα:
EL0512FR1029

Παροχή αιχμής (M3/S)	899.61
Χρονική στιγμή αιχμής	03Sep2000, 00:30
Όγκος (MM)	490.55
Όγκος βροχόπτωσης (M3)	3.72E7
Όγκος απωλειών (M3)	5.16E6
Ενεργός Όγκος (M3)	3.2E7
Όγκος άμεσης απορροής (M3)	3.2E7
Όγκος βασικής απορροής (M3)	1.15E7

Βροχόπτωση και Απορροή



Υπολεκάνη: EL0512FR1030

Έκταση (KM2) : 54.36

Κατάντη : J22

Μέθοδος Απωλειών: SCS

Ποσοστό αδιαπέρατης επιφάνειας	0
Αριθμός Καμπύλης Απορροής-CN	72.51
Αρχικές Απώλειες	19.26

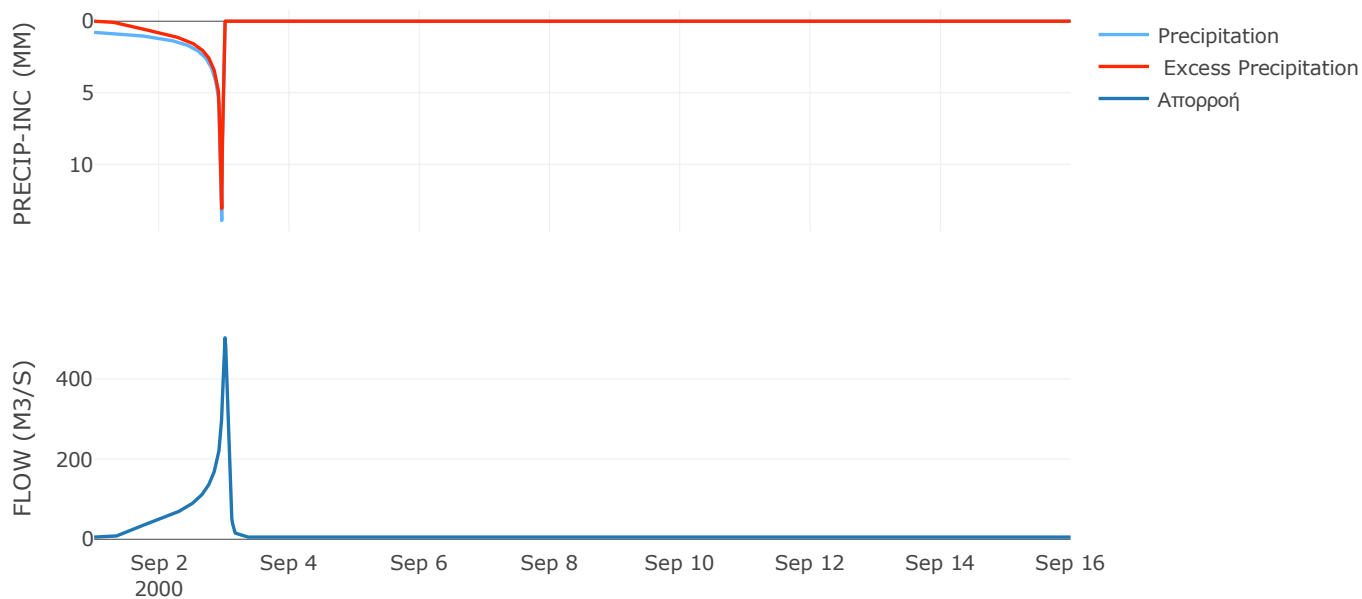
Μέθοδος
Μετασχηματισμού: SCS

Χρόνος Υστέρησης	72.97
------------------	-------

Αποτελέσματα:
EL0512FR1030

Παροχή αιχμής (M3/S)	502.56
Χρονική στιγμή αιχμής	03Sep2000, 00:15
Όγκος (MM)	380.7
Όγκος βροχόπτωσης (M3)	1.87E7
Όγκος απωλειών (M3)	5.09E6
Ενεργός Όγκος (M3)	1.37E7
Όγκος άμεσης απορροής (M3)	1.37E7
Όγκος βασικής απορροής (M3)	7.05E6

Βροχόπτωση και Απορροή



Υπολεκάνη: EL0512FR1031

Έκταση (KM2) : 44.83

Κατάντη : J14

Μέθοδος Απωλειών: SCS

Ποσοστό αδιαπέρατης επιφάνειας	0
Αριθμός Καμπύλης Απορροής-CN	79.31
Αρχικές Απώλειες	13.25

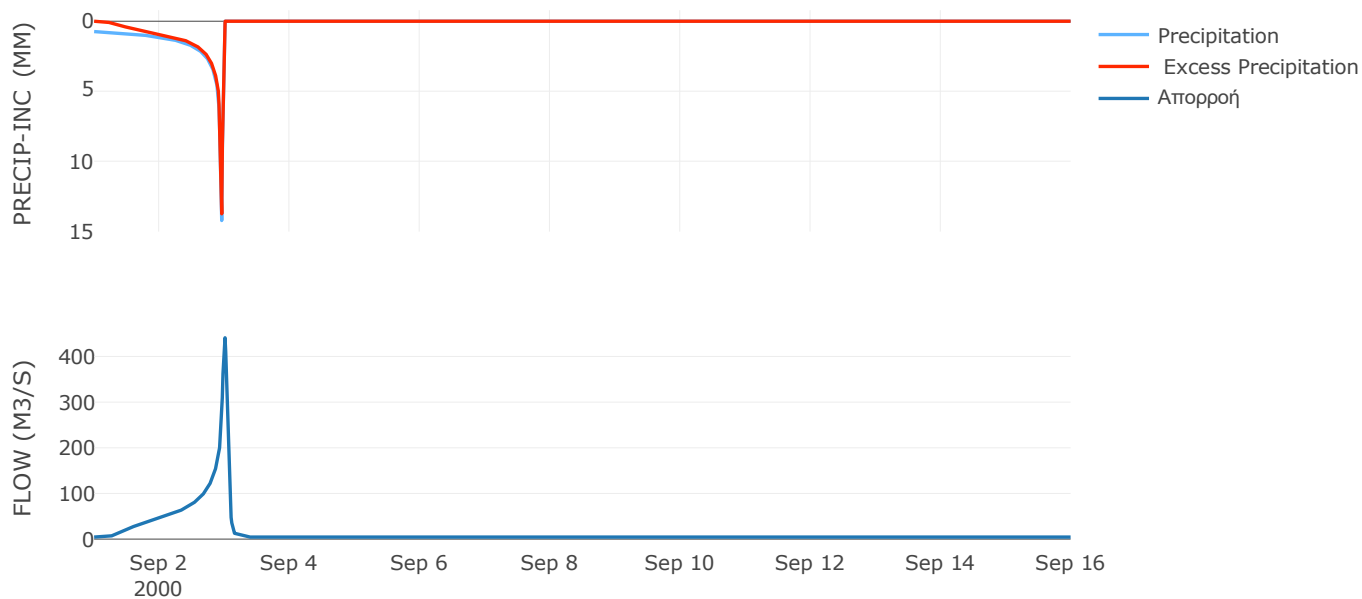
Μέθοδος
Μετασχηματισμού: SCS

Χρόνος Υστέρησης	67.54
------------------	-------

Αποτελέσματα:
EL0512FR1031

Παροχή αιχμής (M3/S)	440.97
Χρονική στιγμή αιχμής	03Sep2000, 00:15
Όγκος (MM)	397.93
Όγκος βροχόπτωσης (M3)	1.51E7
Όγκος απωλειών (M3)	3.06E6
Ενεργός Όγκος (M3)	1.2E7
Όγκος άμεσης απορροής (M3)	1.2E7
Όγκος βασικής απορροής (M3)	5.81E6

Βροχόπτωση και Απορροή



Υπολεκάνη: EL0512FR1032

Έκταση (KM2) : 62.74

Κατάντη : J14

Μέθοδος Απωλειών: SCS

Ποσοστό αδιαπέρατης επιφάνειας	0
Αριθμός Καμπύλης Απορροής-CN	80.54
Αρχικές Απώλειες	12.27

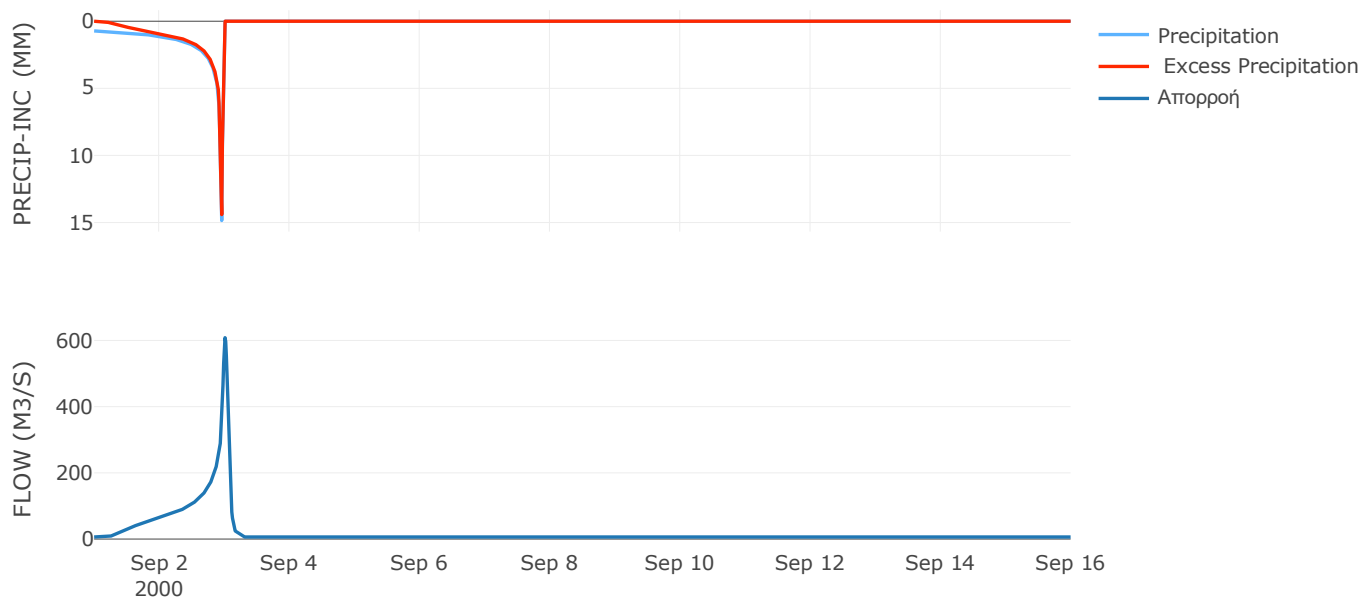
Μέθοδος
Μετασχηματισμού: SCS

Χρόνος Υστέρησης	79.49
------------------	-------

Αποτελέσματα:
EL0512FR1032

Παροχή αιχμής (M3/S)	608.41
Χρονική στιγμή αιχμής	03Sep2000, 00:15
Όγκος (MM)	402.64
Όγκος βροχόπτωσης (M3)	2.11E7
Όγκος απωλειών (M3)	4.01E6
Ενεργός Όγκος (M3)	1.71E7
Όγκος άμεσης απορροής (M3)	1.71E7
Όγκος βασικής απορροής (M3)	8.13E6

Βροχόπτωση και Απορροή



Υπολεκάνη: EL0512FR1033

Έκταση (KM2) : 25.85

Κατάντη : J30

Μέθοδος Απωλειών: SCS

Ποσοστό αδιαπέρατης επιφάνειας	0
Αριθμός Καμπύλης Απορροής-CN	79.39
Αρχικές Απώλειες	13.19

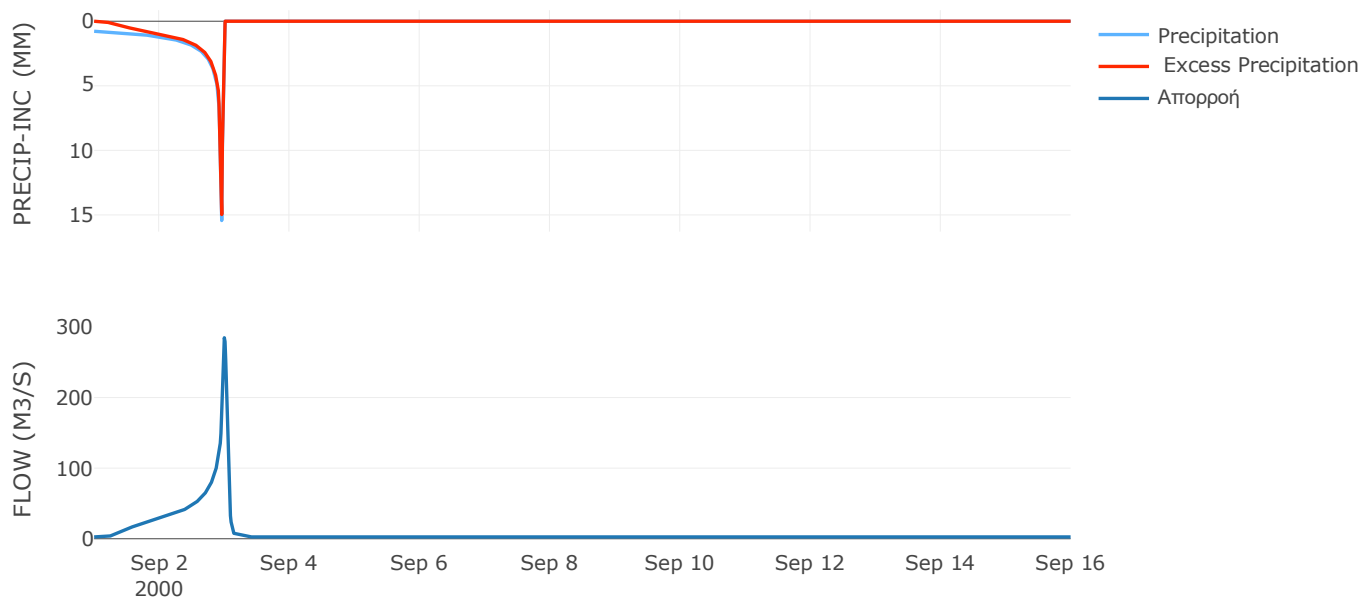
Μέθοδος
Μετασχηματισμού: SCS

Χρόνος Υστέρησης	62.74
------------------	-------

Αποτελέσματα:
EL0512FR1033

Παροχή αιχμής (M3/S)	284.58
Χρονική στιγμή αιχμής	02Sep2000, 24:00
Όγκος (MM)	419.18
Όγκος βροχόπτωσης (M3)	9.26E6
Όγκος απωλειών (M3)	1.77E6
Ενεργός Όγκος (M3)	7.49E6
Όγκος άμεσης απορροής (M3)	7.49E6
Όγκος βασικής απορροής (M3)	3.35E6

Βροχόπτωση και Απορροή



Υπολεκάνη: EL0512FR1034

Έκταση (KM2) : 4.71

Κατάντη : J20

Μέθοδος Απωλειών: SCS

Ποσοστό αδιαπέρατης επιφάνειας	0
Αριθμός Καμπύλης Απορροής-CN	83.07
Αρχικές Απώλειες	10.35

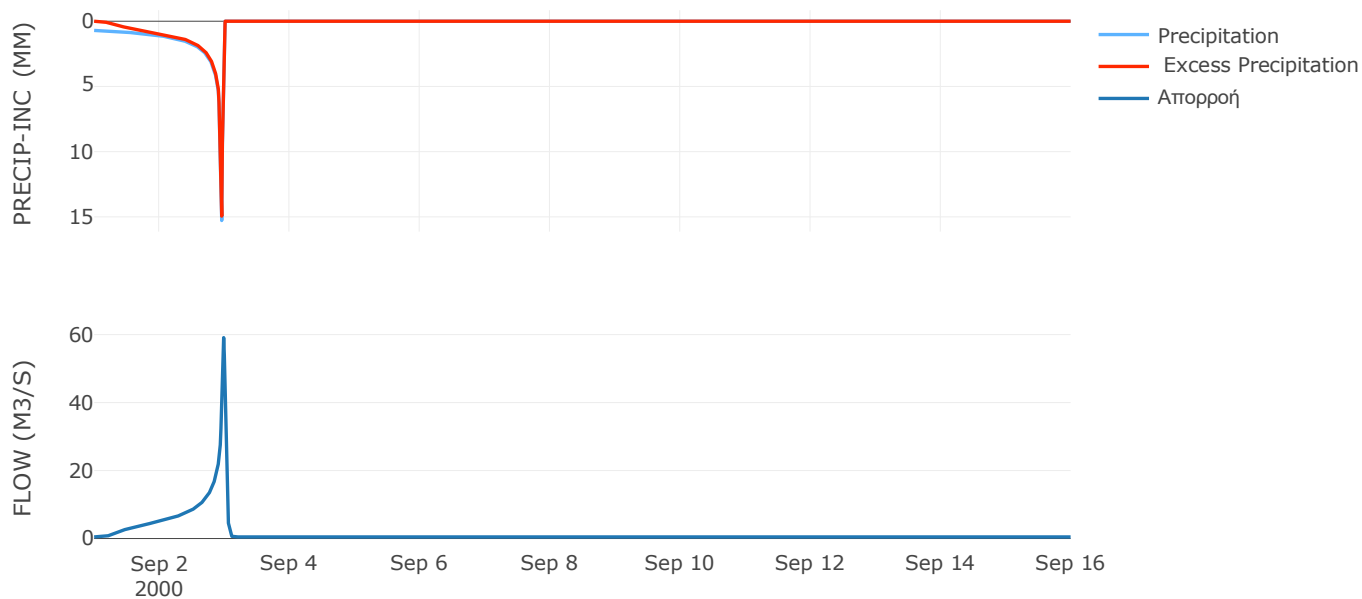
Μέθοδος
Μετασχηματισμού: SCS

Χρόνος Υστέρησης	37.63
------------------	-------

Αποτελέσματα:
EL0512FR1034

Παροχή αιχμής (M3/S)	59.11
Χρονική στιγμή αιχμής	02Sep2000, 23:45
Όγκος (MM)	410.6
Όγκος βροχόπτωσης (M3)	1.58E6
Όγκος απωλειών (M3)	2.59E5
Ενεργός Όγκος (M3)	1.32E6
Όγκος άμεσης απορροής (M3)	1.32E6
Όγκος βασικής απορροής (M3)	6.1E5

Βροχόπτωση και Απορροή



Υπολεκάνη: EL0512FR1035

Έκταση (KM2) : 3.15

Κατάντη : J16

Μέθοδος Απωλειών: SCS

Ποσοστό αδιαπέρατης επιφάνειας	0
Αριθμός Καμπύλης Απορροής-CN	85.67
Αρχικές Απώλειες	8.49

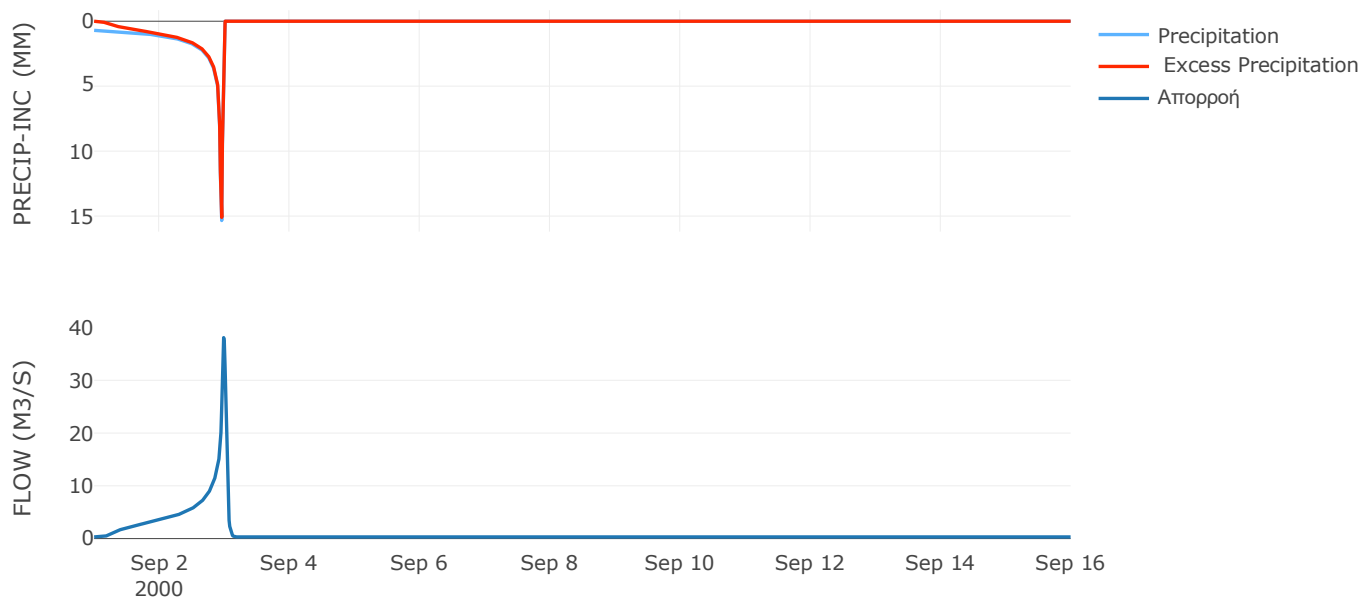
Μέθοδος
Μετασχηματισμού: SCS

Χρόνος Υστέρησης	46.27
------------------	-------

Αποτελέσματα:
EL0512FR1035

Παροχή αιχμής (M3/S)	38.09
Χρονική στιγμή αιχμής	02Sep2000, 23:45
Όγκος (MM)	419.48
Όγκος βροχόπτωσης (M3)	1.06E6
Όγκος απωλειών (M3)	1.45E5
Ενεργός Όγκος (M3)	9.12E5
Όγκος άμεσης απορροής (M3)	9.12E5
Όγκος βασικής απορροής (M3)	4.08E5

Βροχόπτωση και Απορροή



Υπολεκάνη: EL0512FR1036

Έκταση (KM2) : 1.14

Κατάντη : J16

Μέθοδος Απωλειών: SCS

Ποσοστό αδιαπέρατης επιφάνειας	0
Αριθμός Καμπύλης Απορροής-CN	89.83
Αρχικές Απώλειες	5.75

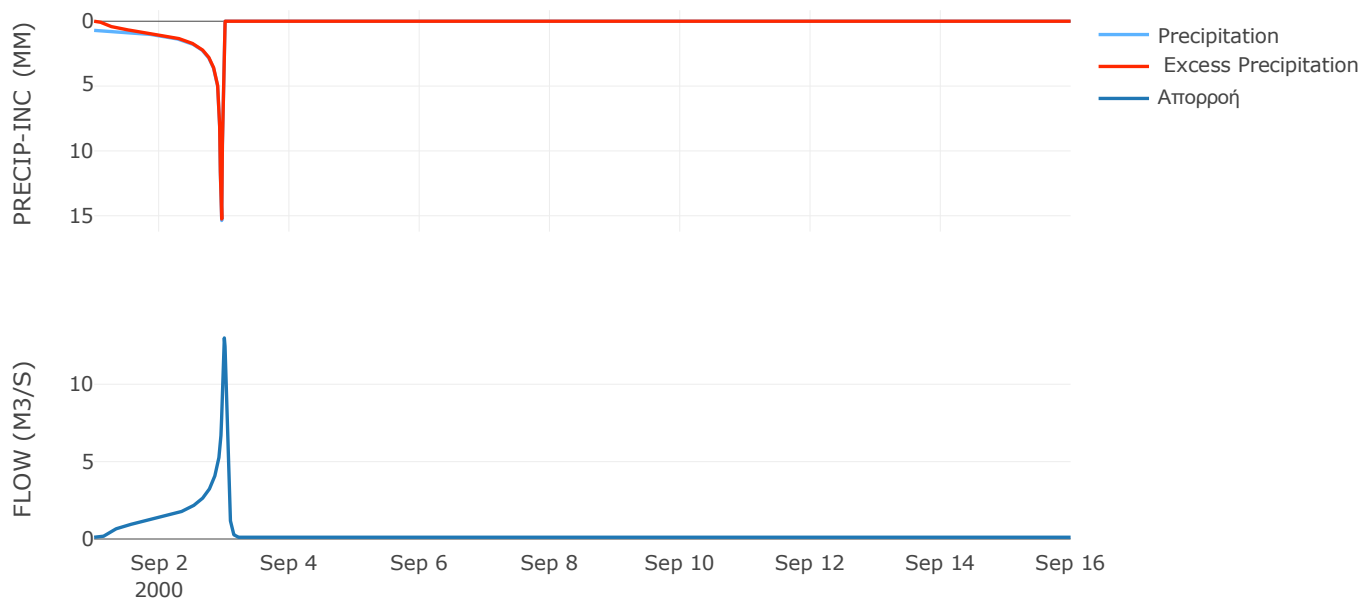
Μέθοδος
Μετασχηματισμού: SCS

Χρόνος Υστέρησης	58.43
------------------	-------

Αποτελέσματα:
EL0512FR1036

Παροχή αιχμής (M3/S)	12.99
Χρονική στιγμή αιχμής	02Sep2000, 24:00
Όγκος (MM)	434.49
Όγκος βροχόπτωσης (M3)	3.83E5
Όγκος απωλειών (M3)	36593.41
Ενεργός Όγκος (M3)	3.46E5
Όγκος άμεσης απορροής (M3)	3.46E5
Όγκος βασικής απορροής (M3)	1.47E5

Βροχόπτωση και Απορροή



Υπολεκάνη: EL0512FR1037

Έκταση (KM2) : 1.46

Κατάληξη : J17

Μέθοδος Απωλειών: SCS

Ποσοστό αδιαπέρατης επιφάνειας	0
Αριθμός Καμπύλης Απορροής-CN	89.95
Αρχικές Απώλειες	5.67

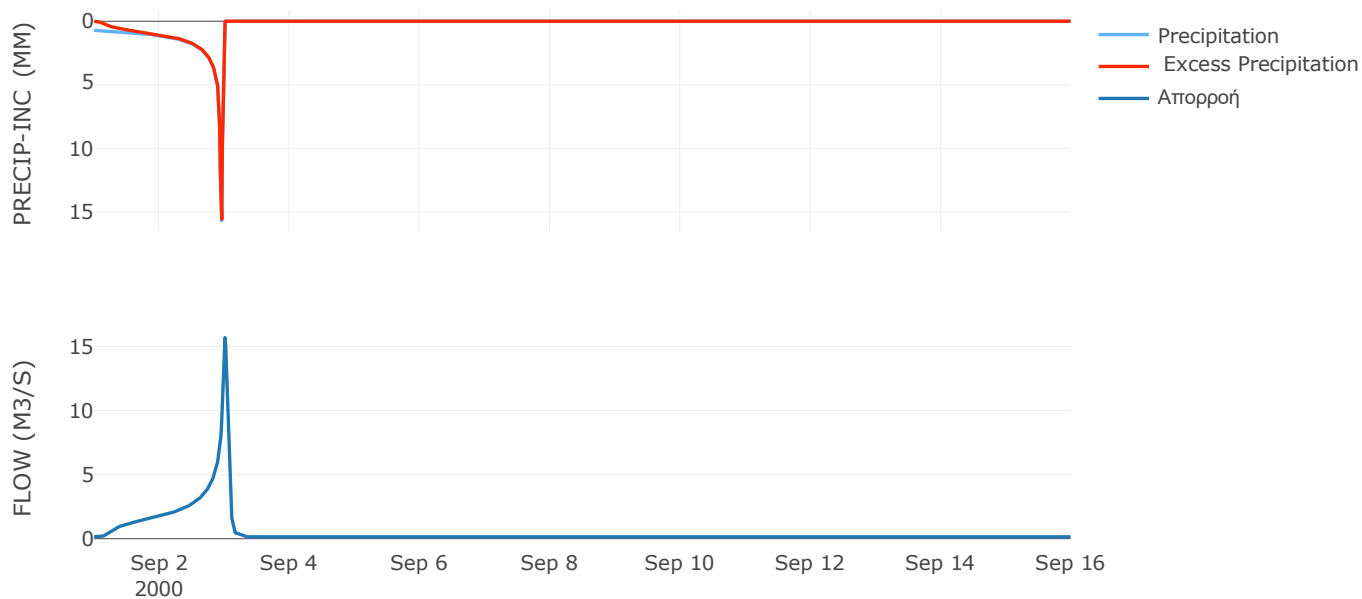
Μέθοδος
Μετασχηματισμού: SCS

Χρόνος Υστέρησης	73.44
------------------	-------

Αποτελέσματα:
EL0512FR1037

Παροχή αιχμής (M3/S)	15.69
Χρονική στιγμή αιχμής	03Sep2000, 00:15
Όγκος (MM)	441.31
Όγκος βροχόπτωσης (M3)	5.02E5
Όγκος απωλειών (M3)	46502.07
Ενεργός Όγκος (M3)	4.55E5
Όγκος άμεσης απορροής (M3)	4.55E5
Όγκος βασικής απορροής (M3)	1.89E5

Βροχόπτωση και Απορροή



Υπολεκάνη: EL0512FR1038

Έκταση (KM2) : 10.02

Κατάνη : J17

Μέθοδος Απωλειών: SCS

Ποσοστό αδιαπέρατης επιφάνειας	0
Αριθμός Καμπύλης Απορροής-CN	86.03
Αρχικές Απώλειες	8.25

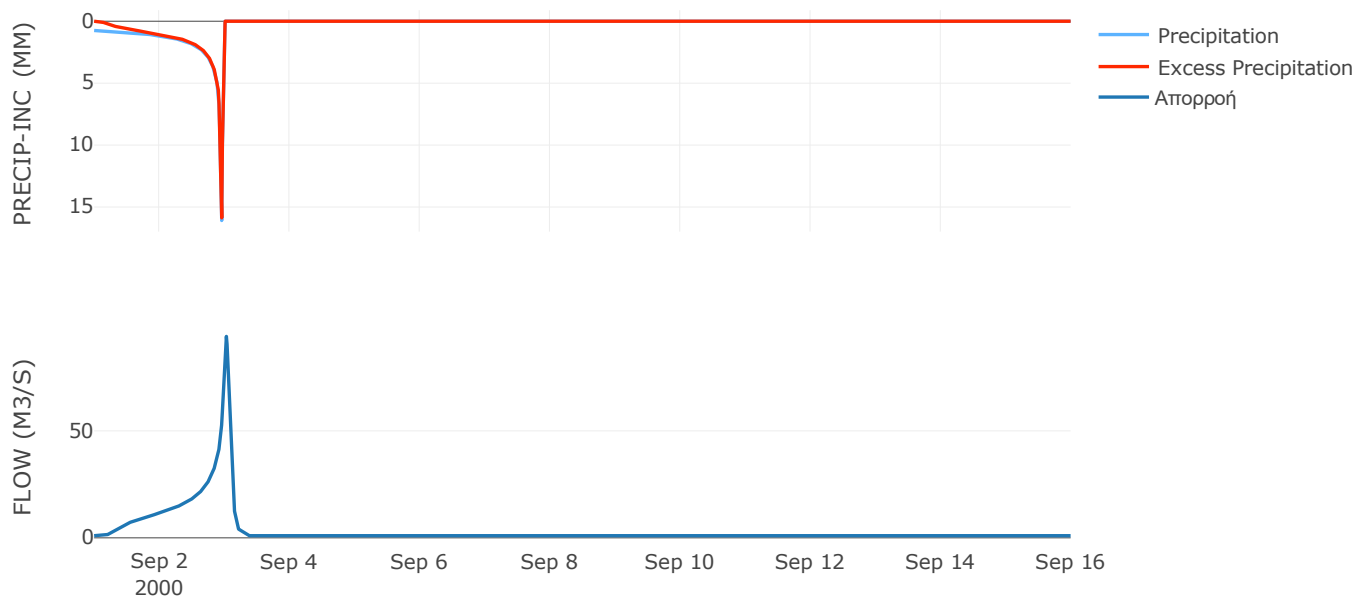
Μέθοδος
Μετασχηματισμού: SCS

Χρόνος Υστέρησης	105.48
------------------	--------

Αποτελέσματα:
EL0512FR1038

Παροχή αιχμής (M3/S)	94.15
Χρονική στιγμή αιχμής	03Sep2000, 00:45
Όγκος (MM)	440.16
Όγκος βροχόπτωσης (M3)	3.56E6
Όγκος απωλειών (M3)	4.52E5
Ενεργός Όγκος (M3)	3.11E6
Όγκος άμεσης απορροής (M3)	3.11E6
Όγκος βασικής απορροής (M3)	1.3E6

Βροχόπτωση και Απορροή



Υπολεκάνη: EL0512FR1039

Έκταση (KM2) : 30.28

Κατάντη : J15

Μέθοδος Απωλειών: SCS

Ποσοστό αδιαπέρατης επιφάνειας	0
Αριθμός Καμπύλης Απορροής-CN	82.23
Αρχικές Απώλειες	10.98

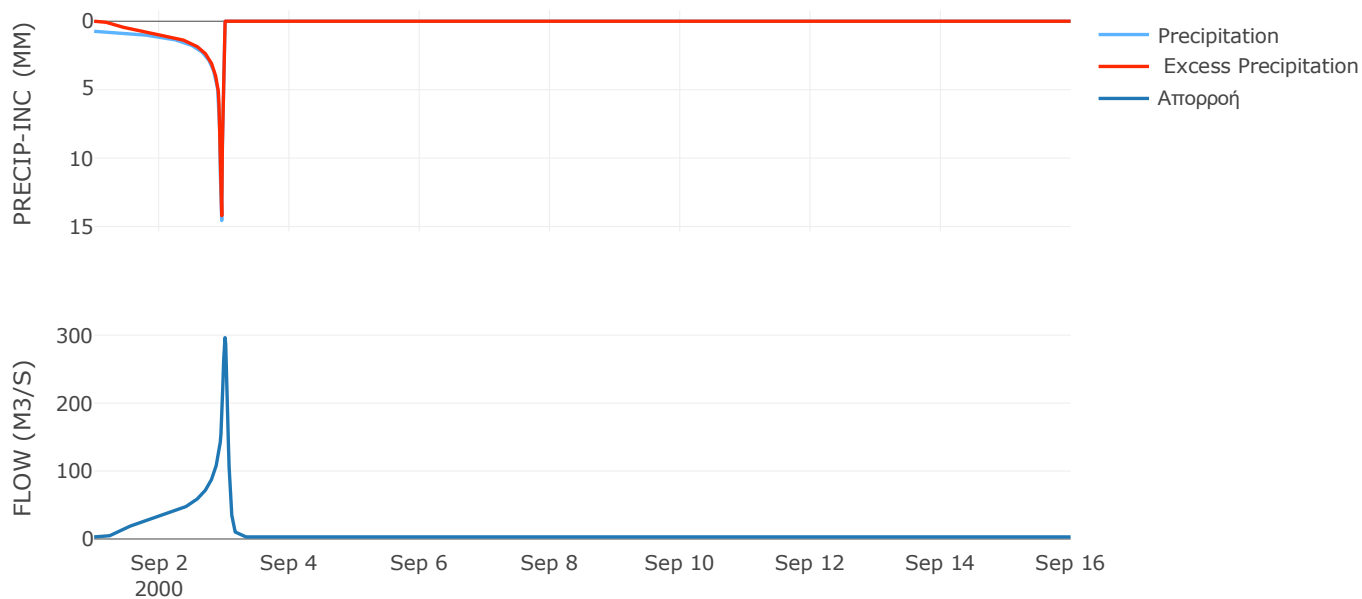
Μέθοδος
Μετασχηματισμού: SCS

Χρόνος Υστέρησης	76.19
------------------	-------

Αποτελέσματα:
EL0512FR1039

Παροχή αιχμής (M3/S)	296.33
Χρονική στιγμή αιχμής	03Sep2000, 00:15
Όγκος (MM)	410.53
Όγκος βροχόπτωσης (M3)	1.03E7
Όγκος απωλειών (M3)	1.76E6
Ενεργός Όγκος (M3)	8.51E6
Όγκος άμεσης απορροής (M3)	8.51E6
Όγκος βασικής απορροής (M3)	3.92E6

Βροχόπτωση και Απορροή



Υπολεκάνη: EL0512FR1040

Έκταση (KM2) : 14.45

Κατάντη : J16

Μέθοδος Απωλειών: SCS

Ποσοστό αδιαπέρατης επιφάνειας	0
Αριθμός Καμπύλης Απορροής-CN	80.39
Αρχικές Απώλειες	12.39

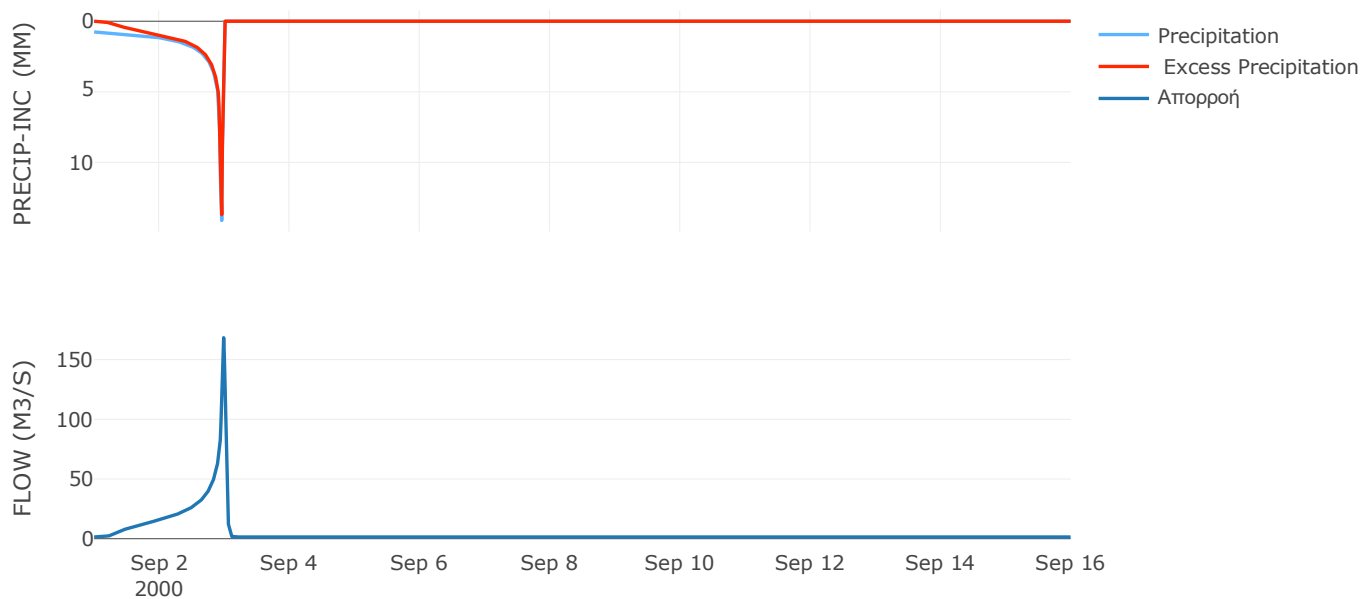
Μέθοδος
Μετασχηματισμού: SCS

Χρόνος Υστέρησης	36.6
------------------	------

Αποτελέσματα:
EL0512FR1040

Παροχή αιχμής (M3/S)	168.36
Χρονική στιγμή αιχμής	02Sep2000, 23:45
Όγκος (MM)	406.23
Όγκος βροχόπτωσης (M3)	4.93E6
Όγκος απωλειών (M3)	9.32E5
Ενεργός Όγκος (M3)	4E6
Όγκος άμεσης απορροής (M3)	4E6
Όγκος βασικής απορροής (M3)	1.87E6

Βροχόπτωση και Απορροή



Υπολεκάνη: EL0512FR1041

Έκταση (KM2) : 37.27

Κατάντη : J29

Μέθοδος Απωλειών: SCS

Ποσοστό αδιαπέρατης επιφάνειας	0
Αριθμός Καμπύλης Απορροής-CN	80.42
Αρχικές Απώλειες	12.37

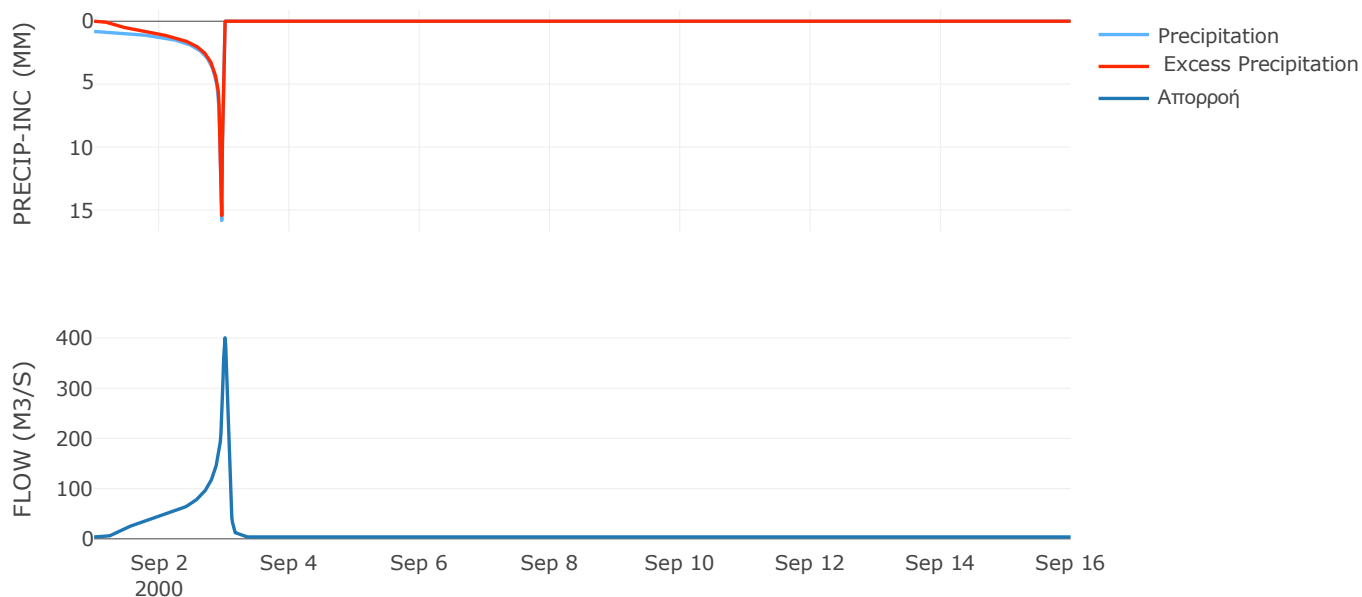
Μέθοδος
Μετασχηματισμού: SCS

Χρόνος Υστέρησης	74.12
------------------	-------

Αποτελέσματα:
EL0512FR1041

Παροχή αιχμής (M3/S)	400.56
Χρονική στιγμή αιχμής	03Sep2000, 00:15
Όγκος (MM)	436.36
Όγκος βροχόπτωσης (M3)	1.39E7
Όγκος απωλειών (M3)	2.43E6
Ενεργός Όγκος (M3)	1.14E7
Όγκος άμεσης απορροής (M3)	1.14E7
Όγκος βασικής απορροής (M3)	4.83E6

Βροχόπτωση και Απορροή



Υπολεκάνη: EL0512FR1042

Έκταση (KM2) : 72.53

Κατάντη : J20

Μέθοδος Απωλειών: SCS

Ποσοστό αδιαπέρατης επιφάνειας	0
Αριθμός Καμπύλης Απορροής-CN	77.31
Αρχικές Απώλειες	14.91

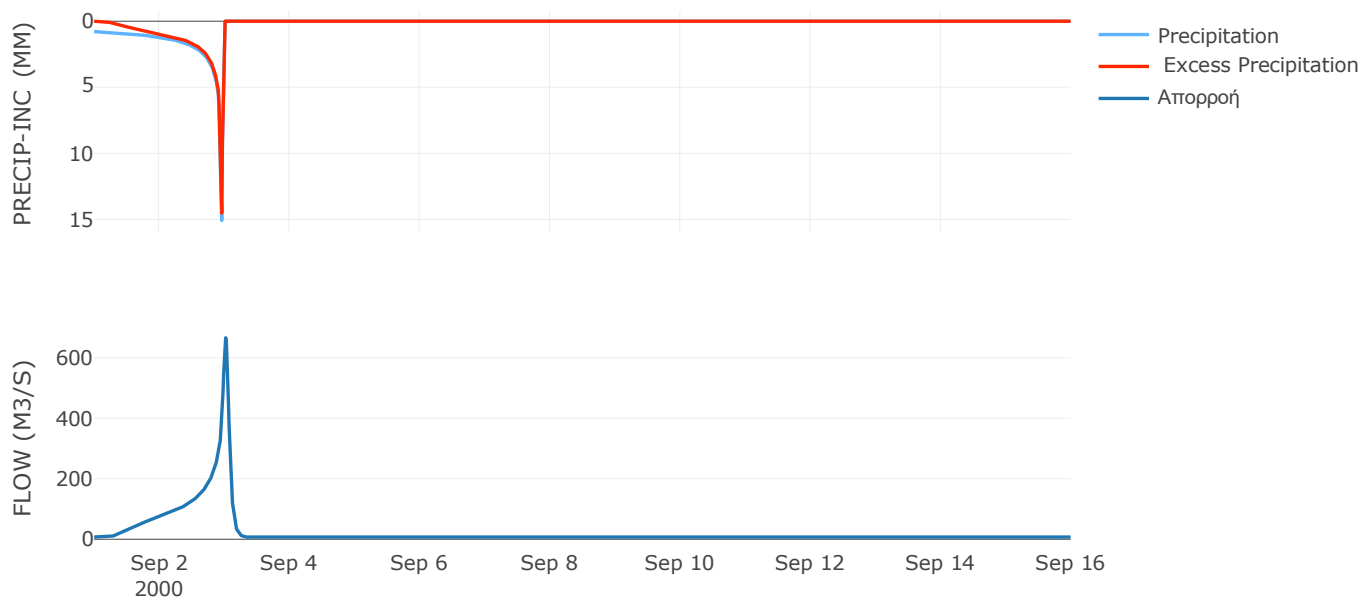
Μέθοδος
Μετασχηματισμού: SCS

Χρόνος Υστέρησης	94.67
------------------	-------

Αποτελέσματα:
EL0512FR1042

Παροχή αιχμής (M3/S)	666.03
Χρονική στιγμή αιχμής	03Sep2000, 00:30
Όγκος (MM)	410.33
Όγκος βροχόπτωσης (M3)	2.59E7
Όγκος απωλειών (M3)	5.52E6
Ενεργός Όγκος (M3)	2.04E7
Όγκος άμεσης απορροής (M3)	2.04E7
Όγκος βασικής απορροής (M3)	9.4E6

Βροχόπτωση και Απορροή



Υπολεκάνη: EL0512FR1043

Έκταση (KM2) : 13.21

Κατάντη : J21

Μέθοδος Απωλειών: SCS

Ποσοστό αδιαπέρατης επιφάνειας	0
Αριθμός Καμπύλης Απορροής-CN	73.47
Αρχικές Απώλειες	18.34

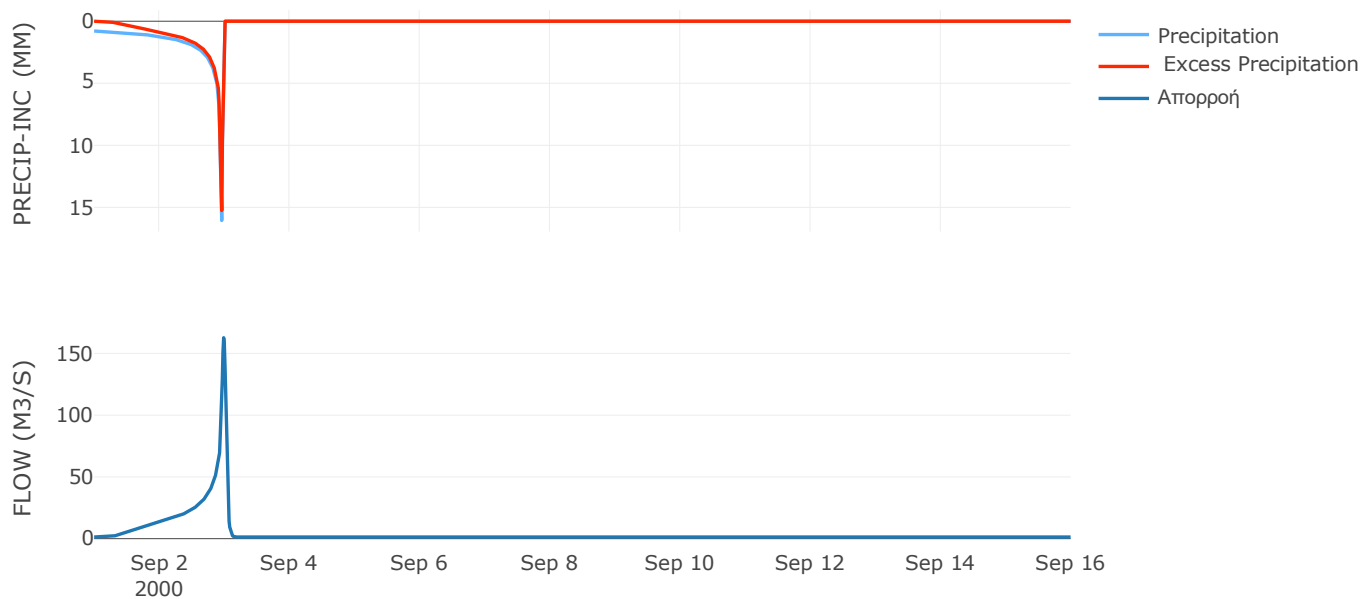
Μέθοδος
Μετασχηματισμού: SCS

Χρόνος Υστέρησης	45.37
------------------	-------

Αποτελέσματα:
EL0512FR1043

Παροχή αιχμής (M3/S)	162.71
Χρονική στιγμή αιχμής	02Sep2000, 23:45
Όγκος (MM)	405.41
Όγκος βροχόπτωσης (M3)	4.84E6
Όγκος απωλειών (M3)	1.2E6
Ενεργός Όγκος (M3)	3.64E6
Όγκος άμεσης απορροής (M3)	3.64E6
Όγκος βασικής απορροής (M3)	1.71E6

Βροχόπτωση και Απορροή



Υπολεκάνη: EL0512FR1044

Έκταση (KM2) : 23.96

Κατάντη : J19

Μέθοδος Απωλειών: SCS

Ποσοστό αδιαπέρατης επιφάνειας	0
Αριθμός Καμπύλης Απορροής-CN	74.23
Αρχικές Απώλειες	17.64

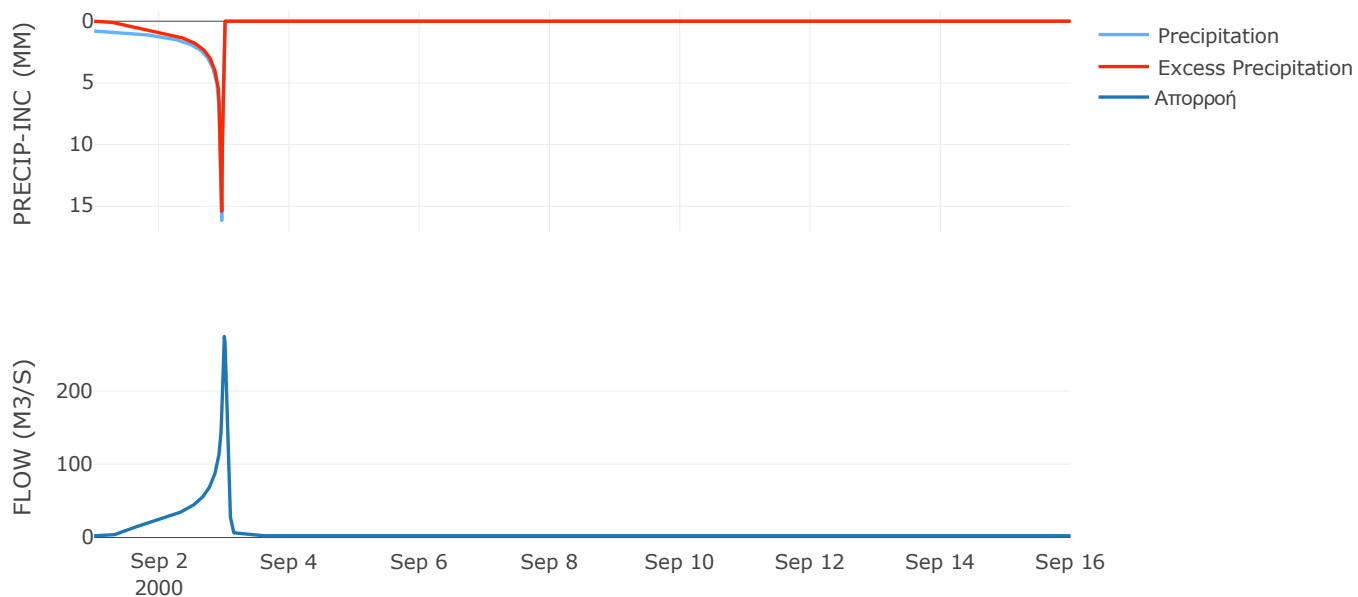
Μέθοδος
Μετασχηματισμού: SCS

Χρόνος Υστέρησης	60.27
------------------	-------

Αποτελέσματα:
EL0512FR1044

Παροχή αιχμής (M3/S)	274.46
Χρονική στιγμή αιχμής	02Sep2000, 24:00
Όγκος (MM)	411.11
Όγκος βροχόπτωσης (M3)	8.86E6
Όγκος απωλειών (M3)	2.11E6
Ενεργός Όγκος (M3)	6.74E6
Όγκος άμεσης απορροής (M3)	6.74E6
Όγκος βασικής απορροής (M3)	3.1E6

Βροχόπτωση και Απορροή



Υπολεκάνη: EL0512FR1045

Έκταση (KM2) : 15.22

Κατάντη : J18

Μέθοδος Απωλειών: SCS

Ποσοστό αδιαπέρατης επιφάνειας	0
Αριθμός Καμπύλης Απορροής-CN	71.59
Αρχικές Απώλειες	20.16

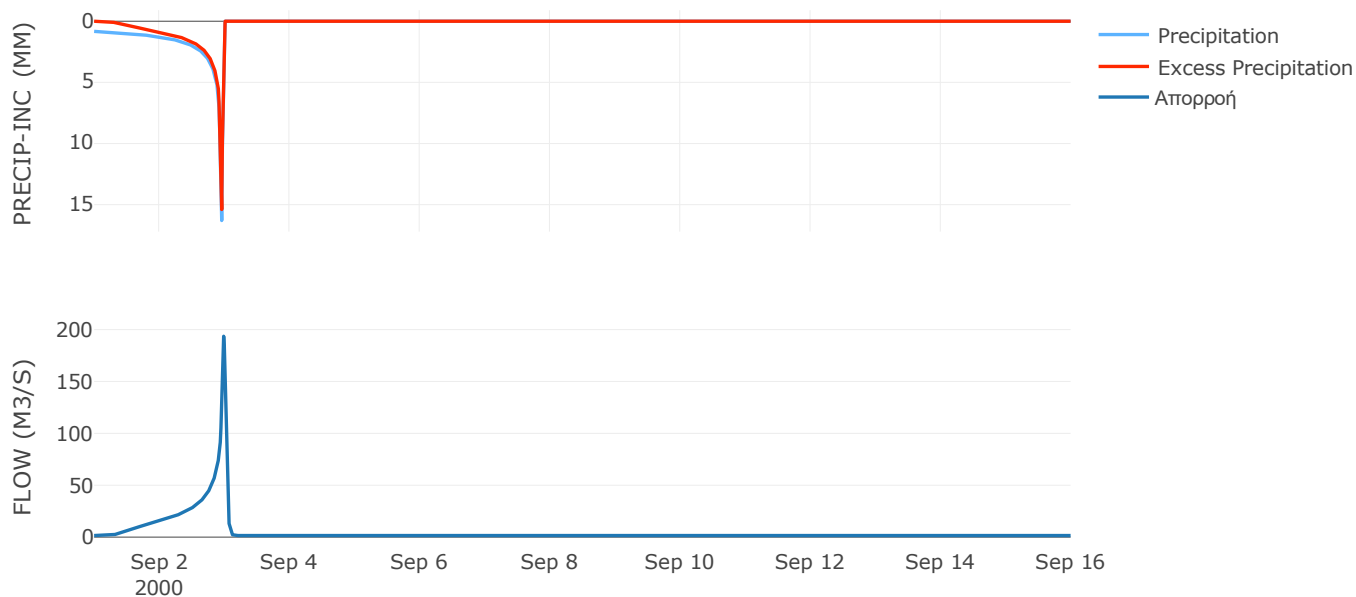
Μέθοδος
Μετασχηματισμού: SCS

Χρόνος Υστέρησης	41.91
------------------	-------

Αποτελέσματα:
EL0512FR1045

Παροχή αιχμής (M3/S)	193.63
Χρονική στιγμή αιχμής	02Sep2000, 23:45
Όγκος (MM)	411.27
Όγκος βροχόπτωσης (M3)	5.79E6
Όγκος απωλειών (M3)	1.51E6
Ενεργός Όγκος (M3)	4.29E6
Όγκος άμεσης απορροής (M3)	4.29E6
Όγκος βασικής απορροής (M3)	1.97E6

Βροχόπτωση και Απορροή



Υπολεκάνη: EL0512FR1046

Έκταση (KM2) : 123.67

Κατάντη : J19

Μέθοδος Απωλειών: SCS

Ποσοστό αδιαπέρατης επιφάνειας	0
Αριθμός Καμπύλης Απορροής-CN	78.59
Αρχικές Απώλειες	13.84

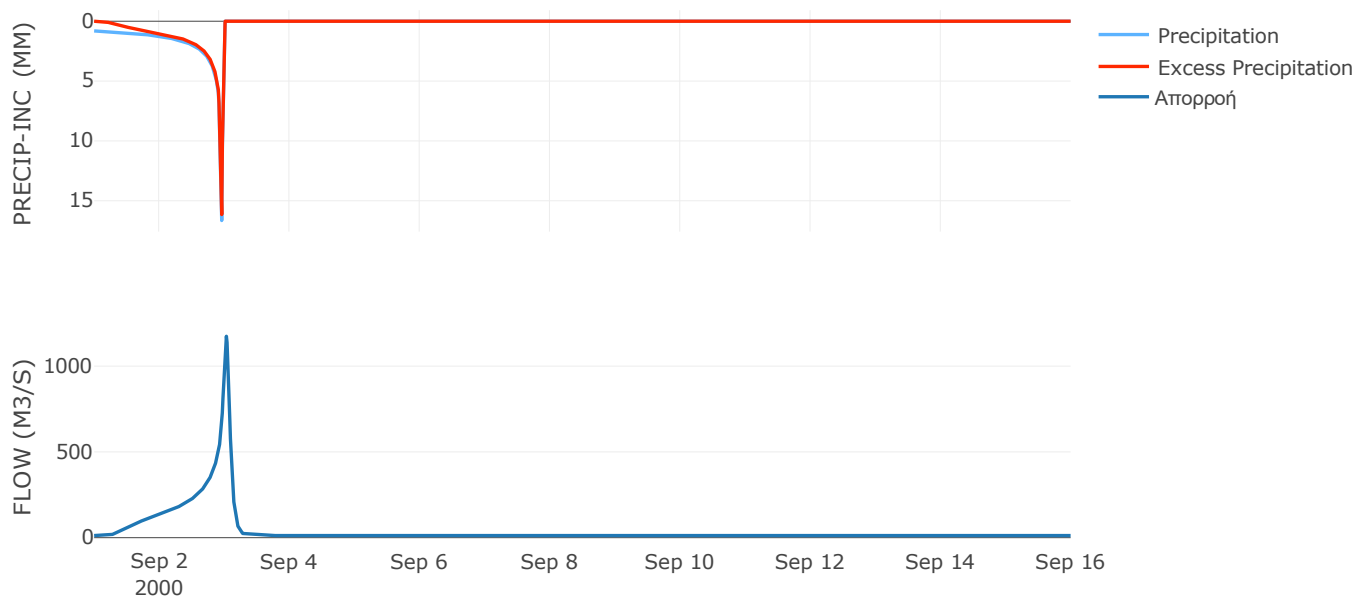
Μέθοδος
Μετασχηματισμού: SCS

Χρόνος Υστέρησης	108.82
------------------	--------

Αποτελέσματα:
EL0512FR1046

Παροχή αιχμής (M3/S)	1174.1
Χρονική στιγμή αιχμής	03Sep2000, 00:45
Όγκος (MM)	435.8
Όγκος βροχόπτωσης (M3)	4.68E7
Όγκος απωλειών (M3)	8.91E6
Ενεργός Όγκος (M3)	3.79E7
Όγκος άμεσης απορροής (M3)	3.79E7
Όγκος βασικής απορροής (M3)	1.6E7

Βροχόπτωση και Απορροή



Υπολεκάνη: EL0512FR1047

Έκταση (KM2) : 46.41

Κατάνη : J11

Μέθοδος Απωλειών: SCS

Ποσοστό αδιαπέρατης επιφάνειας	0
Αριθμός Καμπύλης Απορροής-CN	76.05
Αρχικές Απώλειες	16

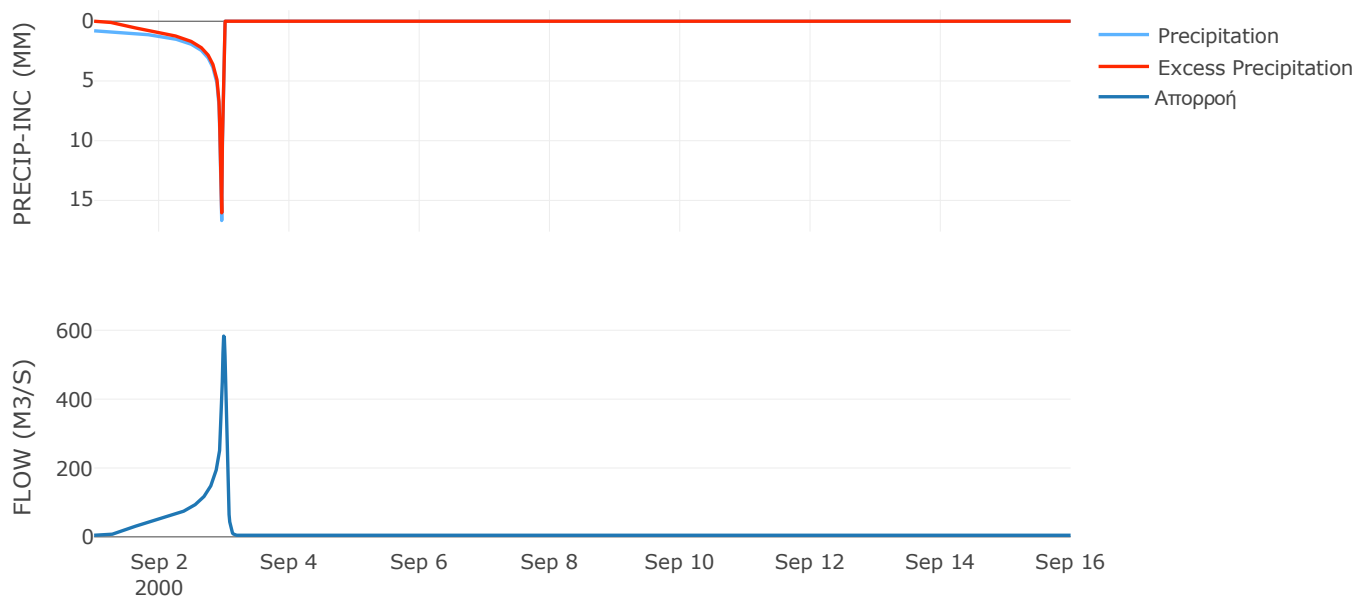
Μέθοδος
Μετασχηματισμού: SCS

Χρόνος Υστέρησης	49.15
------------------	-------

Αποτελέσματα:
EL0512FR1047

Παροχή αιχμής (M3/S)	583.11
Χρονική στιγμή αιχμής	02Sep2000, 23:45
Όγκος (MM)	423.98
Όγκος βροχόπτωσης (M3)	1.74E7
Όγκος απωλειών (M3)	3.78E6
Ενεργός Όγκος (M3)	1.37E7
Όγκος άμεσης απορροής (M3)	1.37E7
Όγκος βασικής απορροής (M3)	6.01E6

Βροχόπτωση και Απορροή



Υπολεκάνη: EL0512FR1048

Έκταση (KM2) : 6.43

Κατάντη : J14

Μέθοδος Απωλειών: SCS

Ποσοστό αδιαπέρατης επιφάνειας	0
Αριθμός Καμπύλης Απορροής-CN	80.96
Αρχικές Απώλειες	11.95

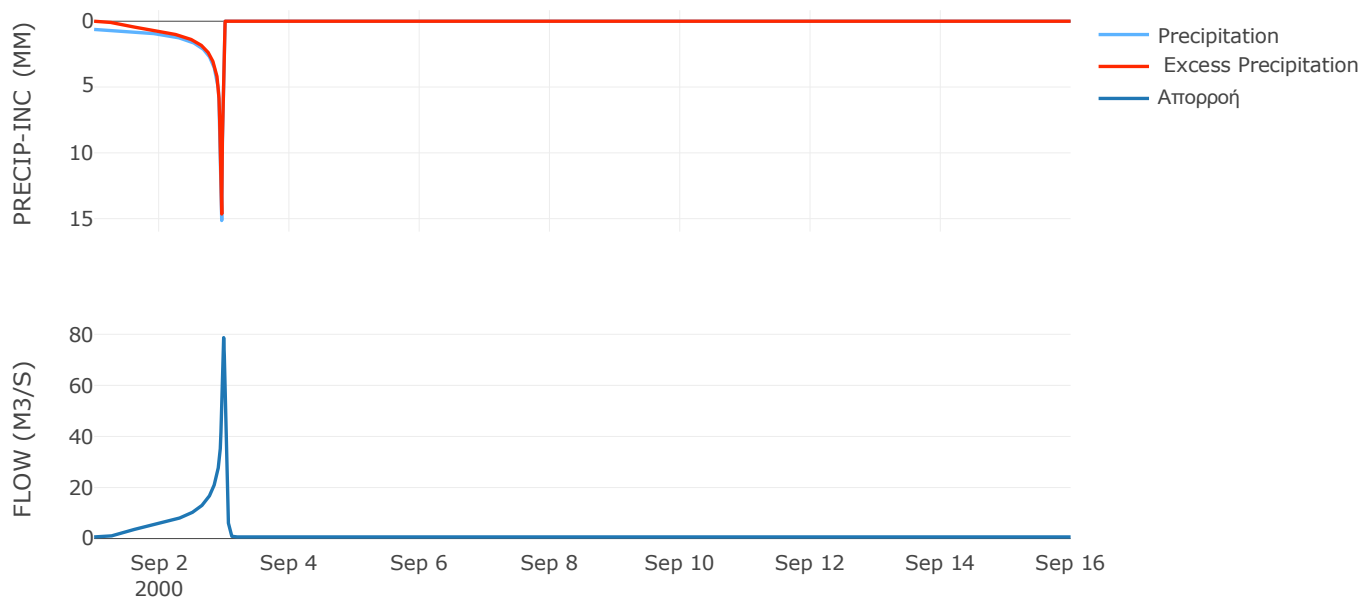
Μέθοδος
Μετασχηματισμού: SCS

Χρόνος Υστέρησης	37.8
------------------	------

Αποτελέσματα:
EL0512FR1048

Παροχή αιχμής (M3/S)	78.71
Χρονική στιγμή αιχμής	02Sep2000, 23:45
Όγκος (MM)	379.22
Όγκος βροχόπτωσης (M3)	2E6
Όγκος απωλειών (M3)	3.97E5
Ενεργός Όγκος (M3)	1.61E6
Όγκος άμεσης απορροής (M3)	1.61E6
Όγκος βασικής απορροής (M3)	8.34E5

Βροχόπτωση και Απορροή



Υπολεκάνη: EL0512FR1049

Έκταση (KM2) : 4.8

Κατάντη : J12

Μέθοδος Απωλειών: SCS

Ποσοστό αδιαπέρατης επιφάνειας	0
Αριθμός Καμπύλης Απορροής-CN	89.51
Αρχικές Απώλειες	5.96

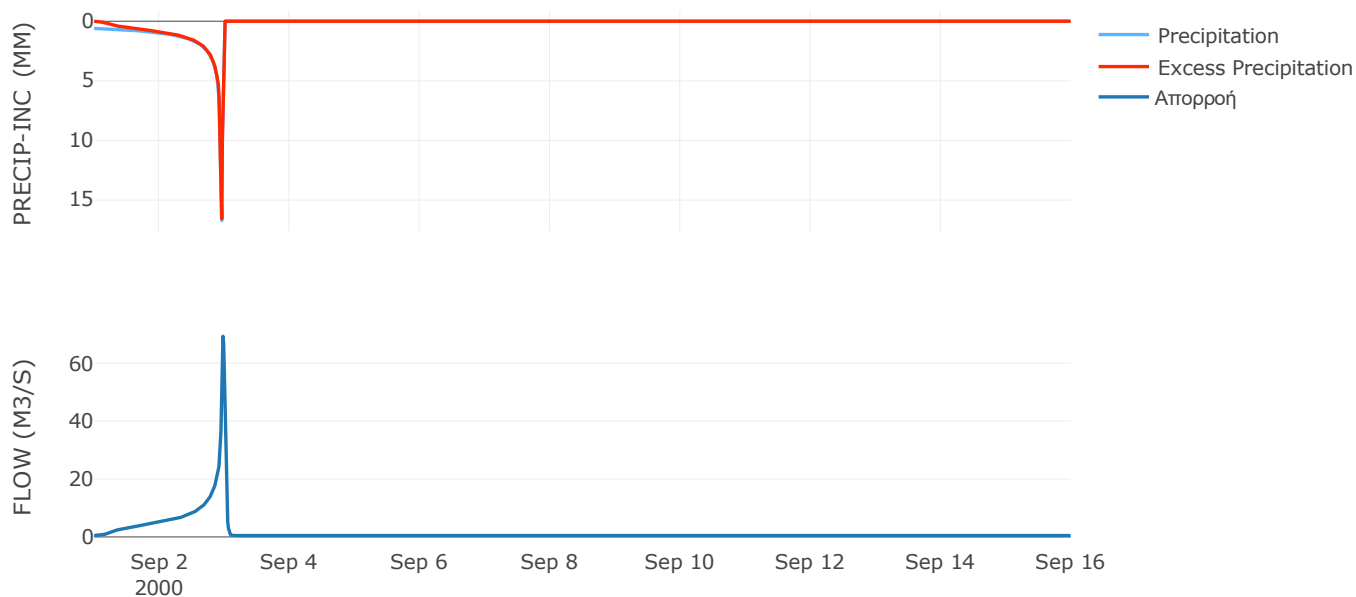
Μέθοδος
Μετασχηματισμού: SCS

Χρόνος Υστέρησης	32.19
------------------	-------

Αποτελέσματα:
EL0512FR1049

Παροχή αιχμής (M3/S)	69.28
Χρονική στιγμή αιχμής	02Sep2000, 23:30
Όγκος (MM)	413.51
Όγκος βροχόπτωσης (M3)	1.52E6
Όγκος απωλειών (M3)	1.59E5
Ενεργός Όγκος (M3)	1.36E6
Όγκος άμεσης απορροής (M3)	1.36E6
Όγκος βασικής απορροής (M3)	6.23E5

Βροχόπτωση και Απορροή



Υπολεκάνη: EL0512FR1050

Έκταση (KM2) : 8.16

Κατάντη : J8

Μέθοδος Απωλειών: SCS

Ποσοστό αδιαπέρατης επιφάνειας	0
Αριθμός Καμπύλης Απορροής-CN	72.81
Αρχικές Απώλειες	18.97

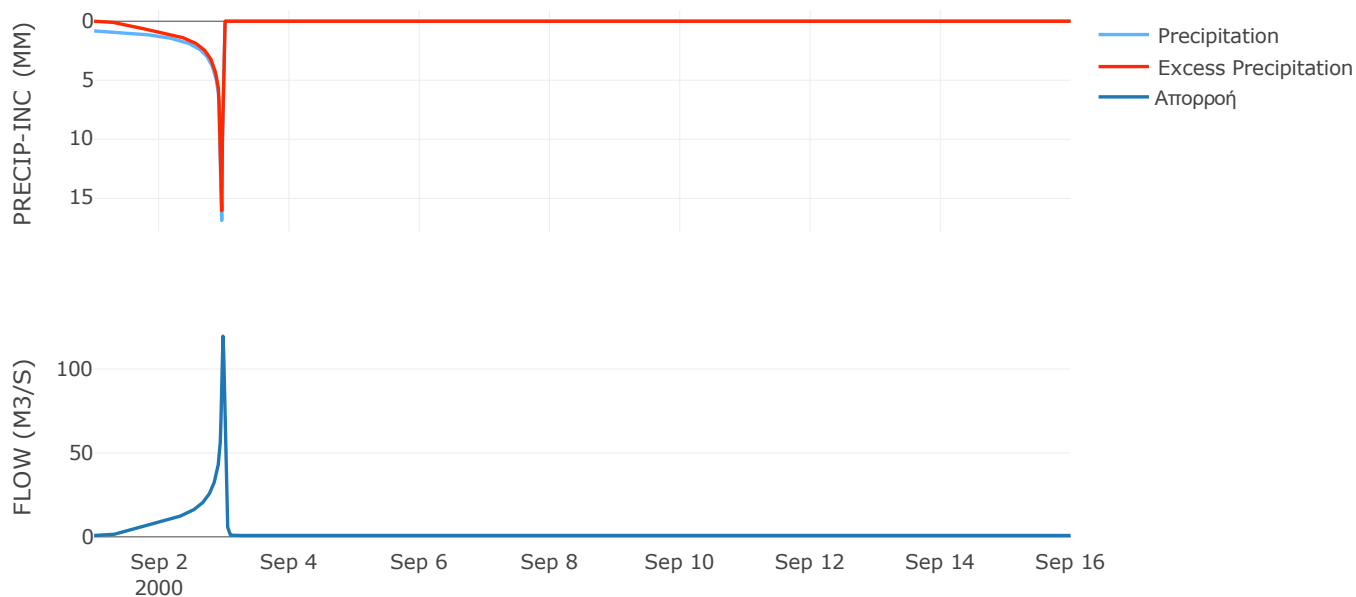
Μέθοδος
Μετασχηματισμού: SCS

Χρόνος Υστέρησης	27.03
------------------	-------

Αποτελέσματα:
EL0512FR1050

Παροχή αιχμής (M3/S)	119.57
Χρονική στιγμή αιχμής	02Sep2000, 23:30
Όγκος (MM)	418.15
Όγκος βροχόπτωσης (M3)	3.12E6
Όγκος απωλειών (M3)	7.69E5
Ενεργός Όγκος (M3)	2.35E6
Όγκος άμεσης απορροής (M3)	2.35E6
Όγκος βασικής απορροής (M3)	1.06E6

Βροχόπτωση και Απορροή



Υπολεκάνη: EL0512FR1051

Έκταση (KM2) : 3.84

Κατάντη : J3

Μέθοδος Απωλειών: SCS

Ποσοστό αδιαπέρατης επιφάνειας	0
Αριθμός Καμπύλης Απορροής-CN	89.54
Αρχικές Απώλειες	5.93

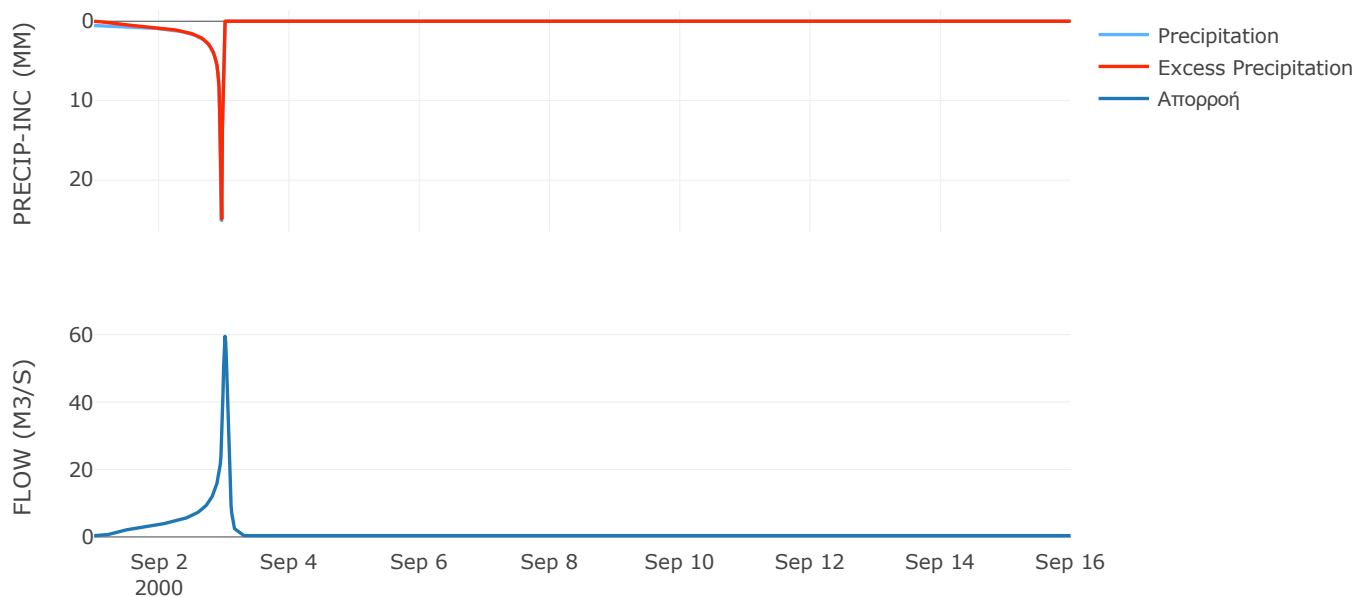
Μέθοδος
Μετασχηματισμού: SCS

Χρόνος Υστέρησης	77.64
------------------	-------

Αποτελέσματα:
EL0512FR1051

Παροχή αιχμής (M3/S)	59.49
Χρονική στιγμή αιχμής	03Sep2000, 00:15
Όγκος (MM)	455.63
Όγκος βροχόπτωσης (M3)	1.38E6
Όγκος απωλειών (M3)	1.28E5
Ενεργός Όγκος (M3)	1.25E6
Όγκος άμεσης απορροής (M3)	1.25E6
Όγκος βασικής απορροής (M3)	4.97E5

Βροχόπτωση και Απορροή



10.2 Δεδομένα και υδρογραφήματα σχεδιασμού Κλάδων υδρογραφικού δικτύου

Κλάδος: R21

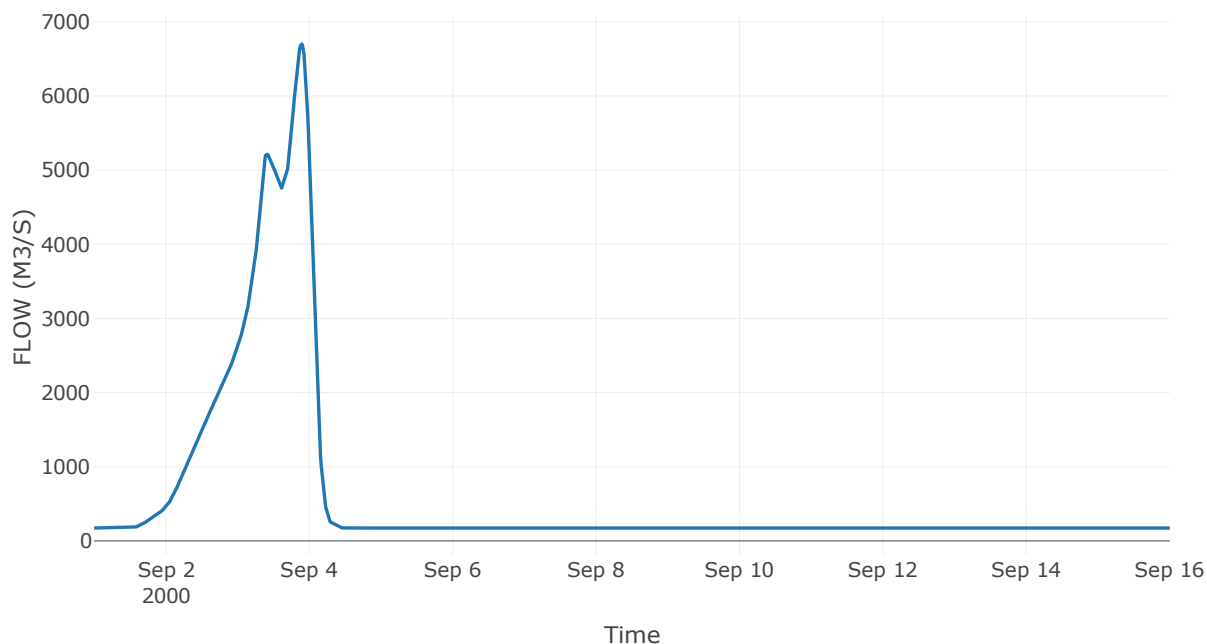
Κατάντη : J1

Μέθοδος Διόδευσης	Muskingum
Αρχική Μεταβλητή	Combined Inflow
Χρόνος Ροής K	4.9
Συντελεστής βάρους x	0.2
Πλήθος Υποκλάδων	23

Αποτελέσματα: R21

Παροχή Αιχμής (M3/S)	6700.09
Χρονική στιγμή αιχμής	03Sep2000, 21:30
Όγκος (MM)	452.28
Παροχή Αιχμής Εισόδου (M3/S)	6816.58
Όγκος Εισροής (M3)	7.84E8

Απορροή



Κλάδος: R32

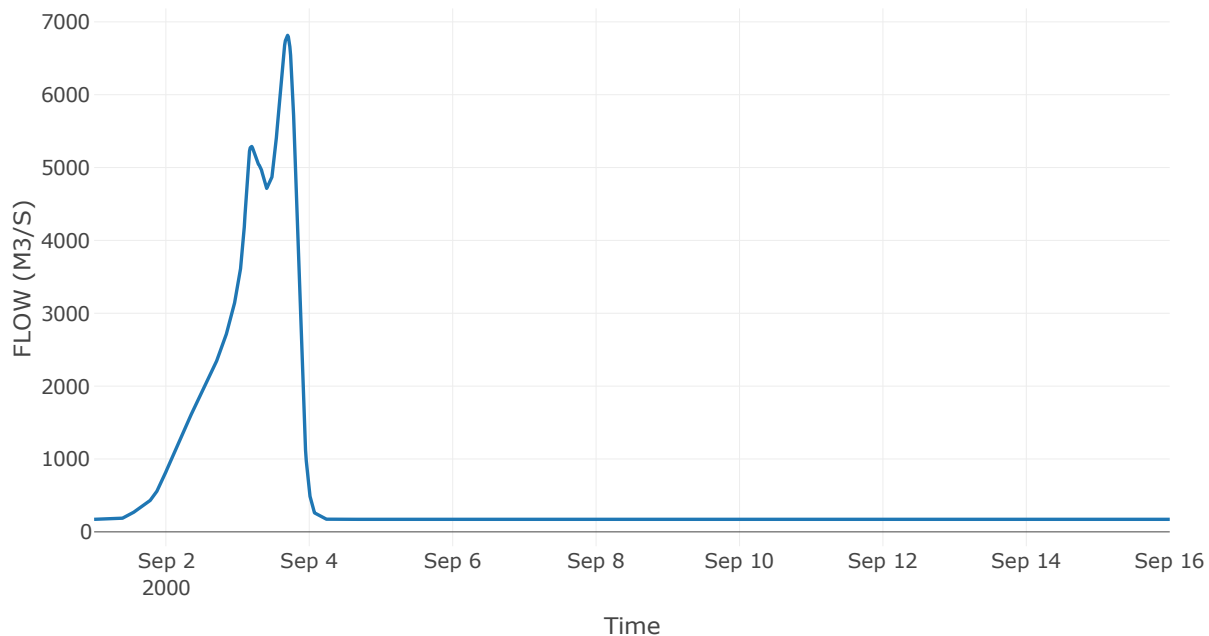
Κατάντη : J2

Μέθοδος Διόδευσης	Muskingum
Αρχική Μεταβλητή	Combined Inflow
Χρόνος Ροής K	2.97
Συντελεστής βάρους x	0.2
Πλήθος Υποκλάδων	14

Αποτελέσματα: R32

Παροχή Αιχμής (M3/S)	6815.24
Χρονική στιγμή αιχμής	03Sep2000, 16:45
Όγκος (MM)	452.38
Παροχή Αιχμής Εισόδου (M3/S)	6889.95
Όγκος Εισροής (M3)	7.78E8

Απορροή



Κλάδος: R43

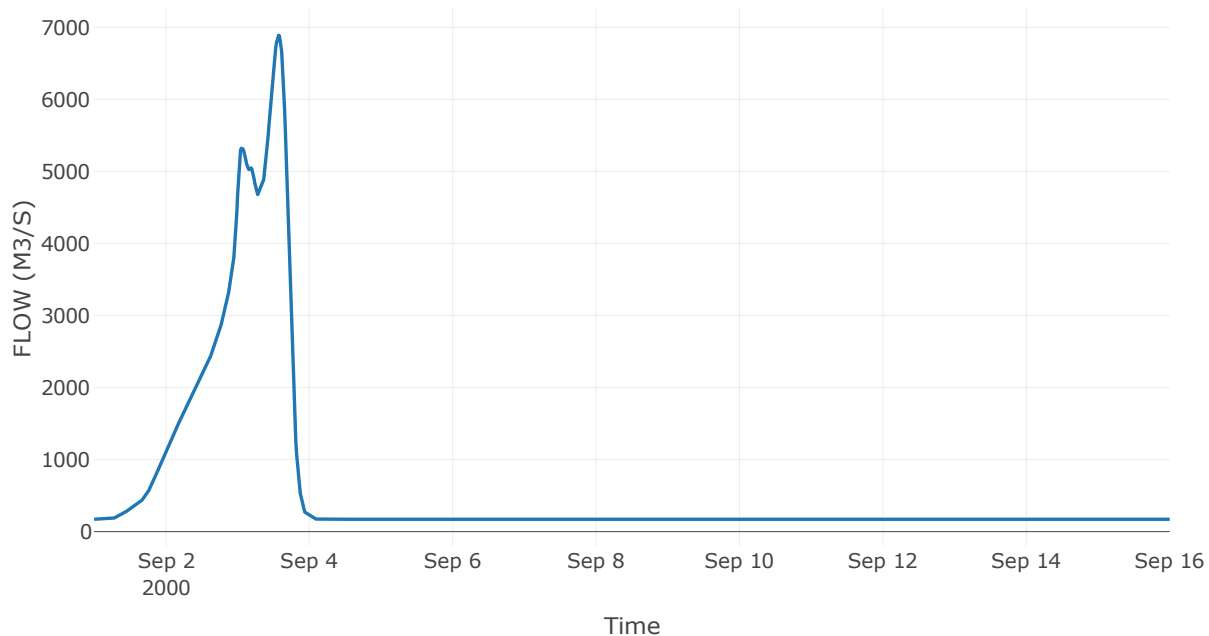
Κατάντη : J3

Μέθοδος Διόδευσης	Muskingum
Αρχική Μεταβλητή	Combined Inflow
Χρόνος Ροής K	0.52
Συντελεστής βάρους x	0.2
Πλήθος Υποκλάδων	2

Αποτελέσματα: R43

Παροχή Αιχμής (M3/S)	6889.57
Χρονική στιγμή αιχμής	03Sep2000, 13:45
Όγκος (MM)	452.37
Παροχή Αιχμής Εισόδου (M3/S)	6905.04
Όγκος Εισροής (M3)	7.76E8

Απορροή



Κλάδος: R54

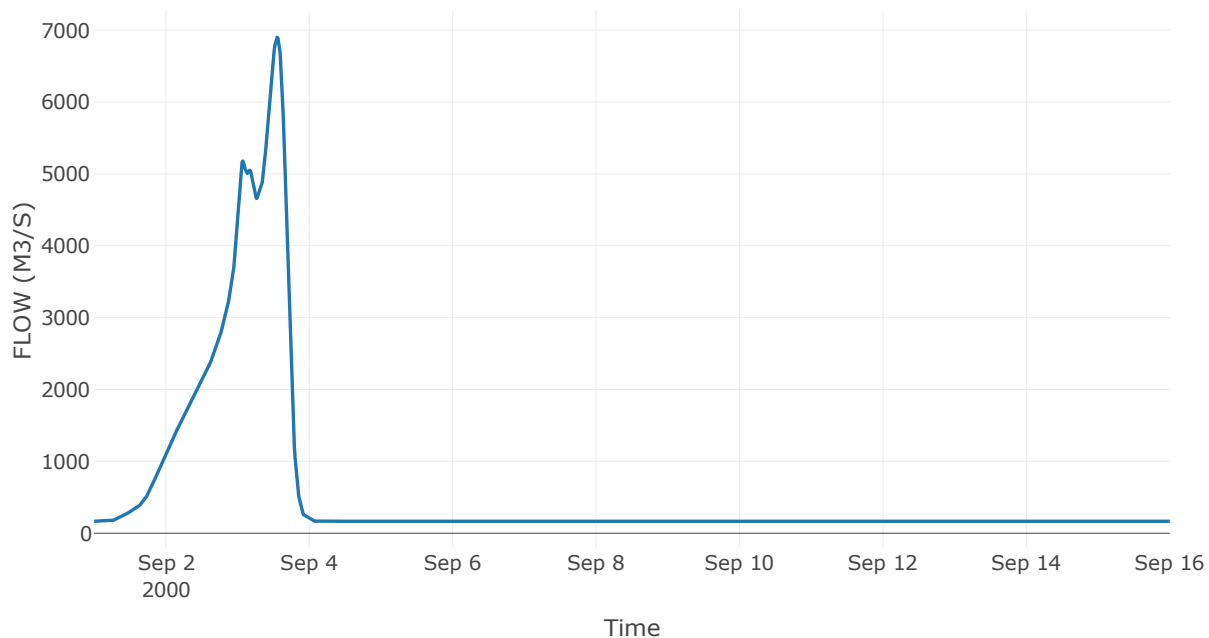
Κατάντη : J4

Μέθοδος Διόδευσης	Muskingum
Αρχική Μεταβλητή	Combined Inflow
Χρόνος Ροής K	0.19
Συντελεστής βάρους x	0.2
Πλήθος Υποκλάδων	1

Αποτελέσματα: R54

Παροχή Αιχμής (M3/S)	6900.11
Χρονική στιγμή αιχμής	03Sep2000, 13:15
Όγκος (MM)	452.77
Παροχή Αιχμής Εισόδου (M3/S)	6901.93
Όγκος Εισροής (M3)	7.55E8

Απορροή



Κλάδος: R65

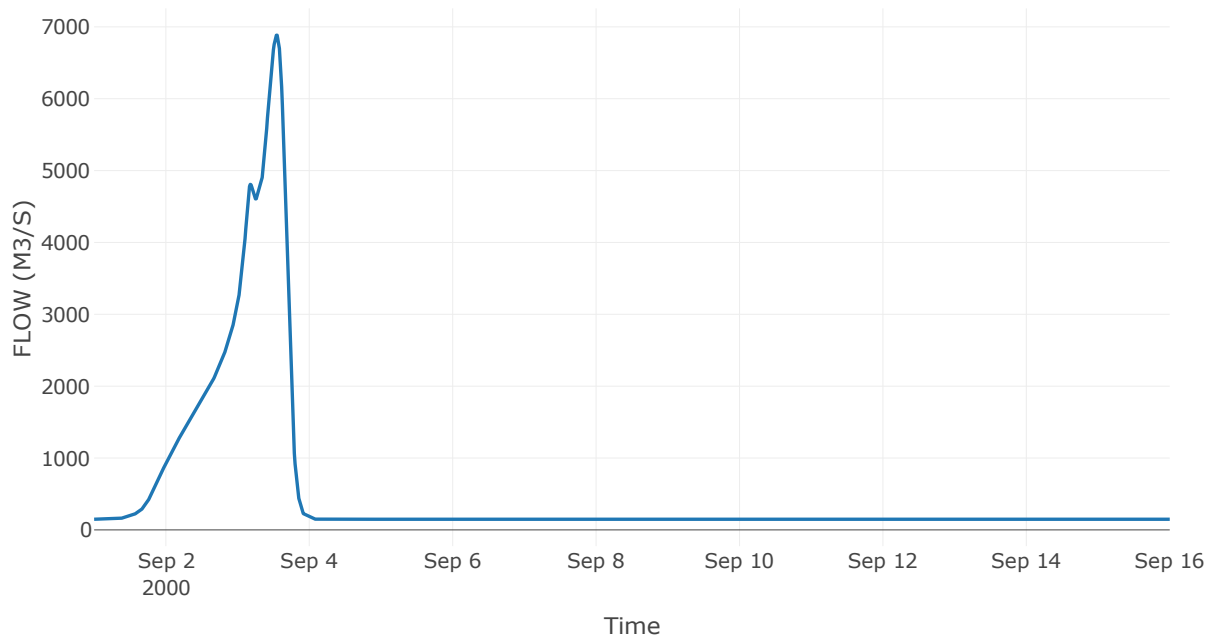
Κατάντη : J5

Μέθοδος Διόδευσης	Muskingum
Αρχική Μεταβλητή	Combined Inflow
Χρόνος Ροής K	1.93
Συντελεστής βάρους x	0.2
Πλήθος Υποκλάδων	9

Αποτελέσματα: R65

Παροχή Αιχμής (M3/S)	6883.52
Χρονική στιγμή αιχμής	03Sep2000, 13:00
Όγκος (MM)	454.08
Παροχή Αιχμής Εισόδου (M3/S)	6936.7
Όγκος Εισροής (M3)	6.73E8

Απορροή



Κλάδος: R76

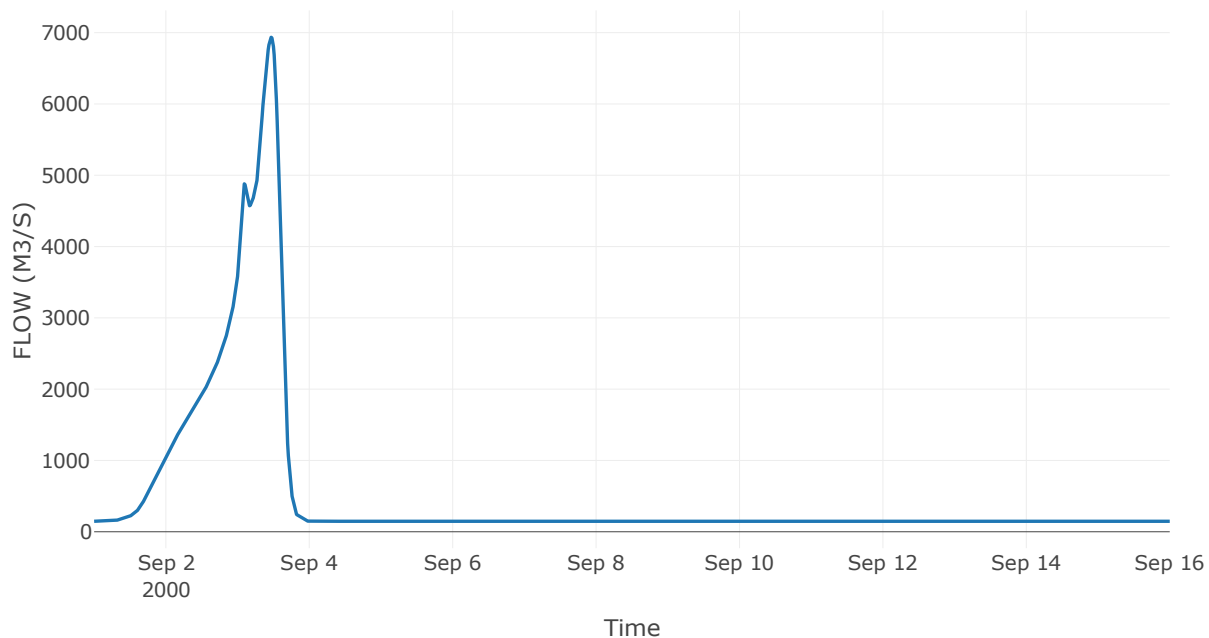
Κατάντη : J6

Μέθοδος Διόδευσης	Muskingum
Αρχική Μεταβλητή	Combined Inflow
Χρόνος Ροής K	1.66
Συντελεστής βάρους x	0.2
Πλήθος Υποκλάδων	8

Αποτελέσματα: R76

Παροχή Αιχμής (M3/S)	6935.42
Χρονική στιγμή αιχμής	03Sep2000, 11:15
Όγκος (MM)	454.31
Παροχή Αιχμής Εισόδου (M3/S)	6978.53
Όγκος Εισροής (M3)	6.68E8

Απορροή



Κλάδος: R87

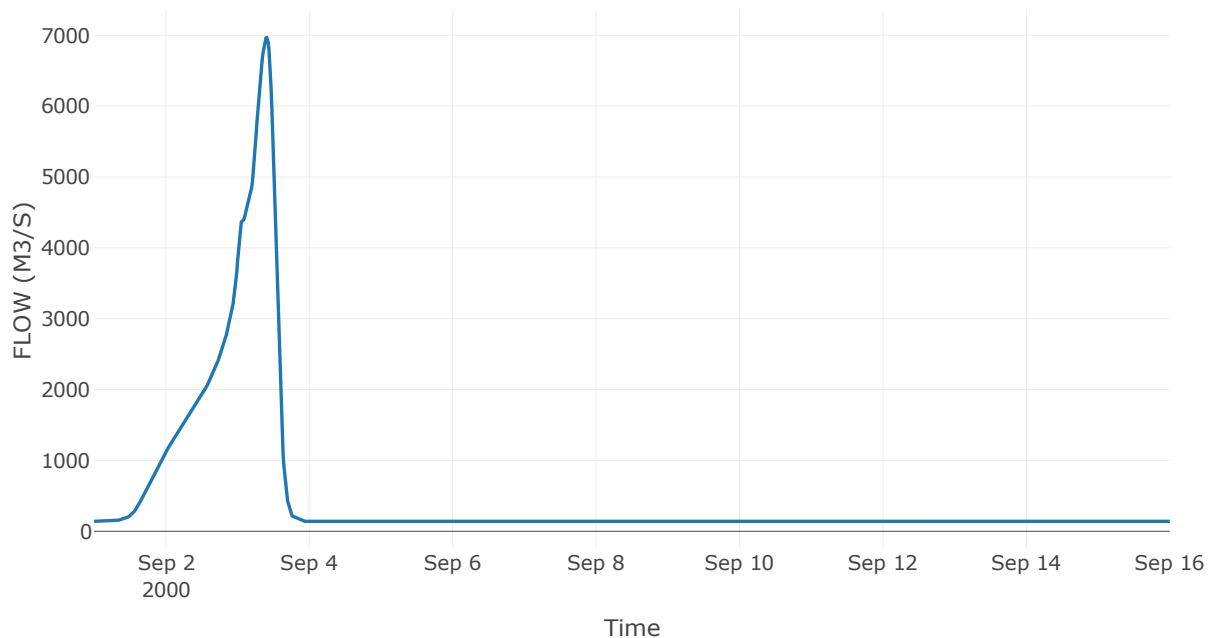
Κατάντη : J7

Μέθοδος Διόδευσης	Muskingum
Αρχική Μεταβλητή	Combined Inflow
Χρόνος Ροής K	0.89
Συντελεστής βάρους x	0.2
Πλήθος Υποκλάδων	4

Αποτελέσματα: R87

Παροχή Αιχμής (M3/S)	6971.85
Χρονική στιγμή αιχμής	03Sep2000, 09:45
Όγκος (MM)	453.61
Παροχή Αιχμής Εισόδου (M3/S)	6993.97
Όγκος Εισροής (M3)	6.36E8

Απορροή



Κλάδος: R98

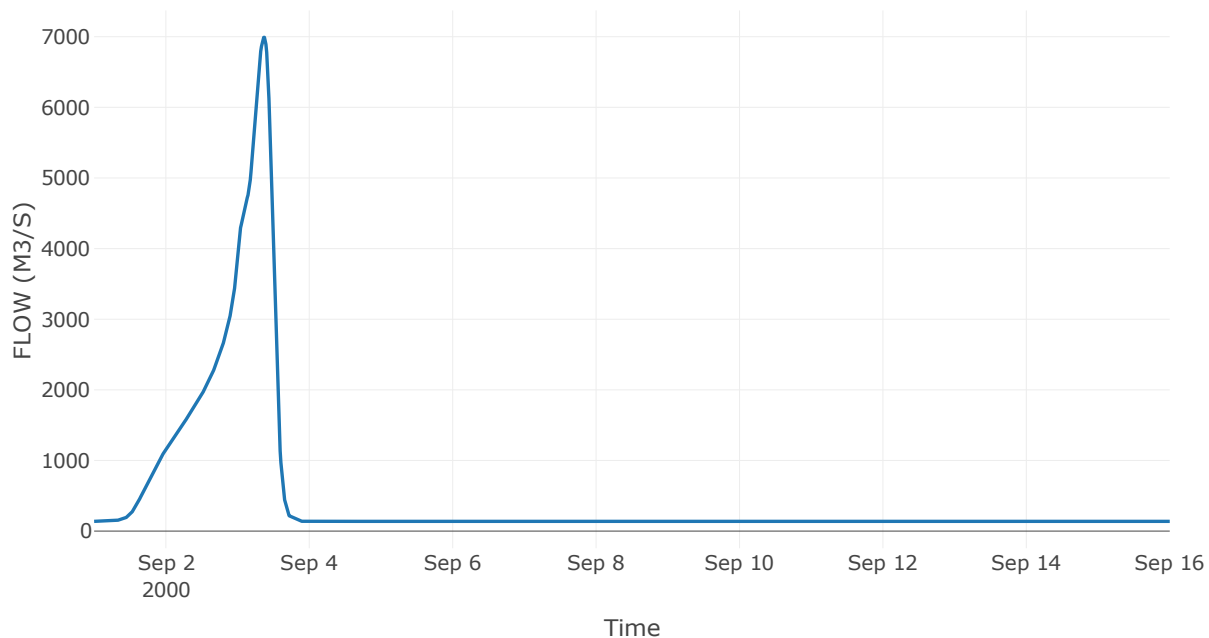
Κατάντη : J8

Μέθοδος Διόδευσης	Muskingum
Αρχική Μεταβλητή	Combined Inflow
Χρόνος Ροής K	0.37
Συντελεστής βάρους x	0.2
Πλήθος Υποκλάδων	2

Αποτελέσματα: R98

Παροχή Αιχμής (M3/S)	6991.48
Χρονική στιγμή αιχμής	03Sep2000, 09:00
Όγκος (MM)	453.59
Παροχή Αιχμής Εισόδου (M3/S)	7003.25
Όγκος Εισροής (M3)	6.25E8

Απορροή



Κλάδος: R109

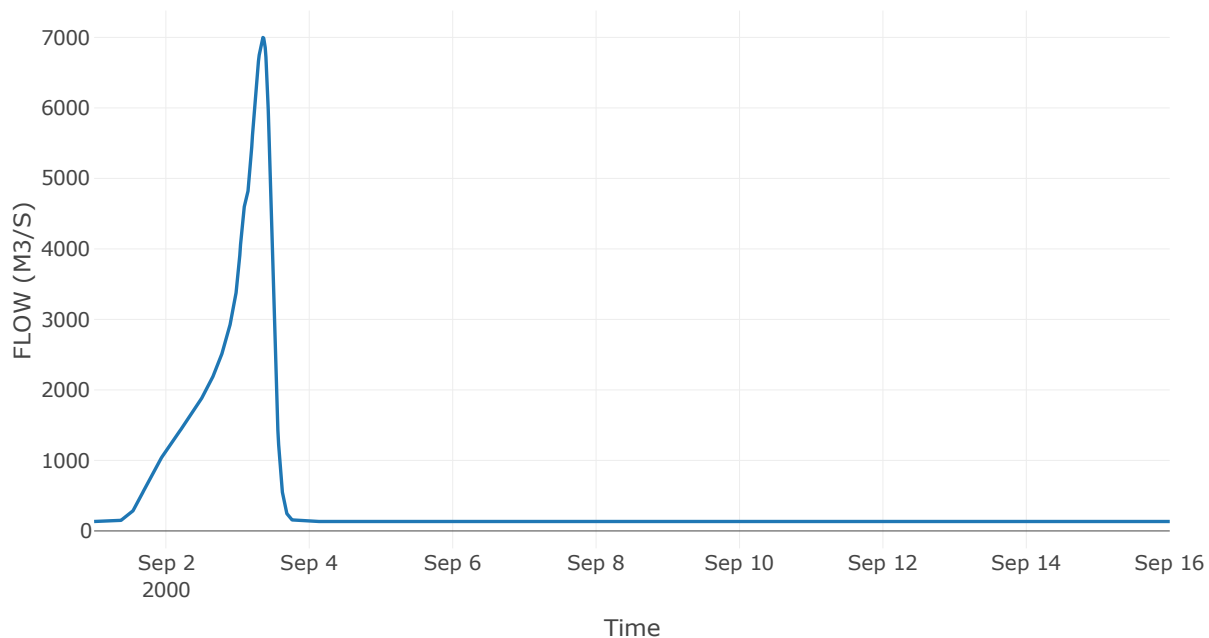
Κατάντη : J9

Μέθοδος Διόδευσης	Muskingum
Αρχική Μεταβλητή	Combined Inflow
Χρόνος Ροής K	1.66
Συντελεστής βάρους x	0.2
Πλήθος Υποκλάδων	8

Αποτελέσματα: R109

Παροχή Αιχμής (M3/S)	6999.47
Χρονική στιγμή αιχμής	03Sep2000, 08:30
Όγκος (MM)	452.66
Παροχή Αιχμής Εισόδου (M3/S)	7046.22
Όγκος Εισροής (M3)	6.07E8

Απορροή



Κλάδος: R1110

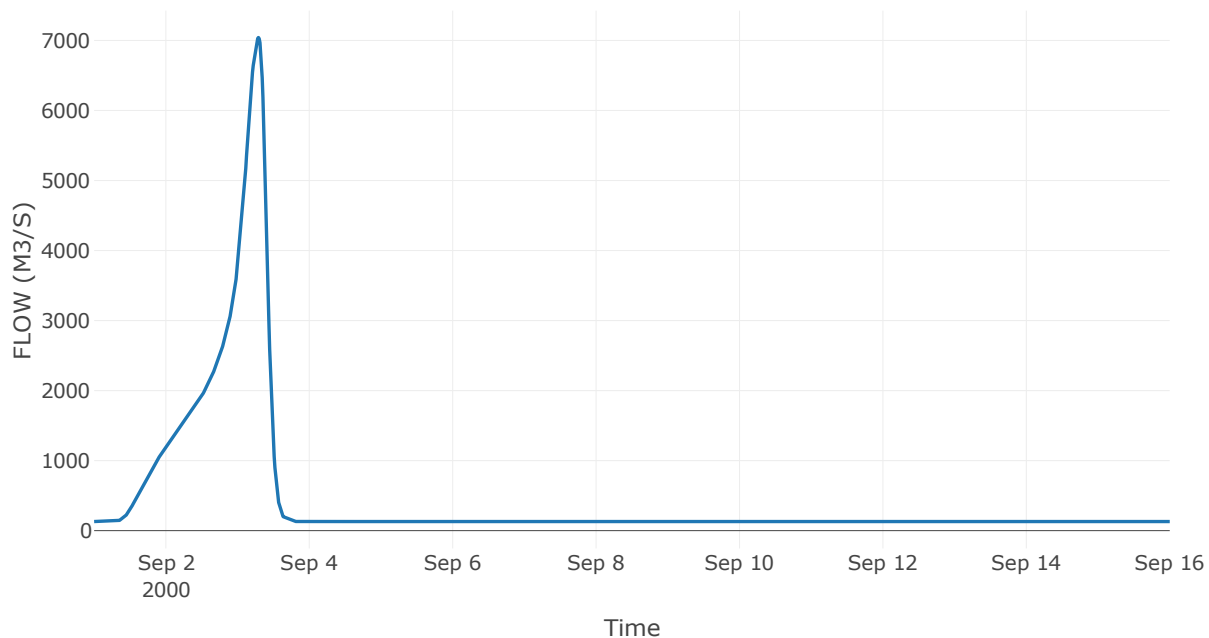
Κατάντη : J10

Μέθοδος Διόδευσης	Muskingum
Αρχική Μεταβλητή	Combined Inflow
Χρόνος Ροής Κ	1.34
Συντελεστής βάρους α	0.2
Πλήθος Υποκλάδων	6

Αποτελέσματα: R1110

Παροχή Αιχμής (M3/S)	7041.96
Χρονική στιγμή αιχμής	03Sep2000, 07:00
Όγκος (MM)	451.75
Παροχή Αιχμής Εισόδου (M3/S)	7084.04
Όγκος Εισροής (M3)	5.86E8

Απορροή



Κλάδος: R1223

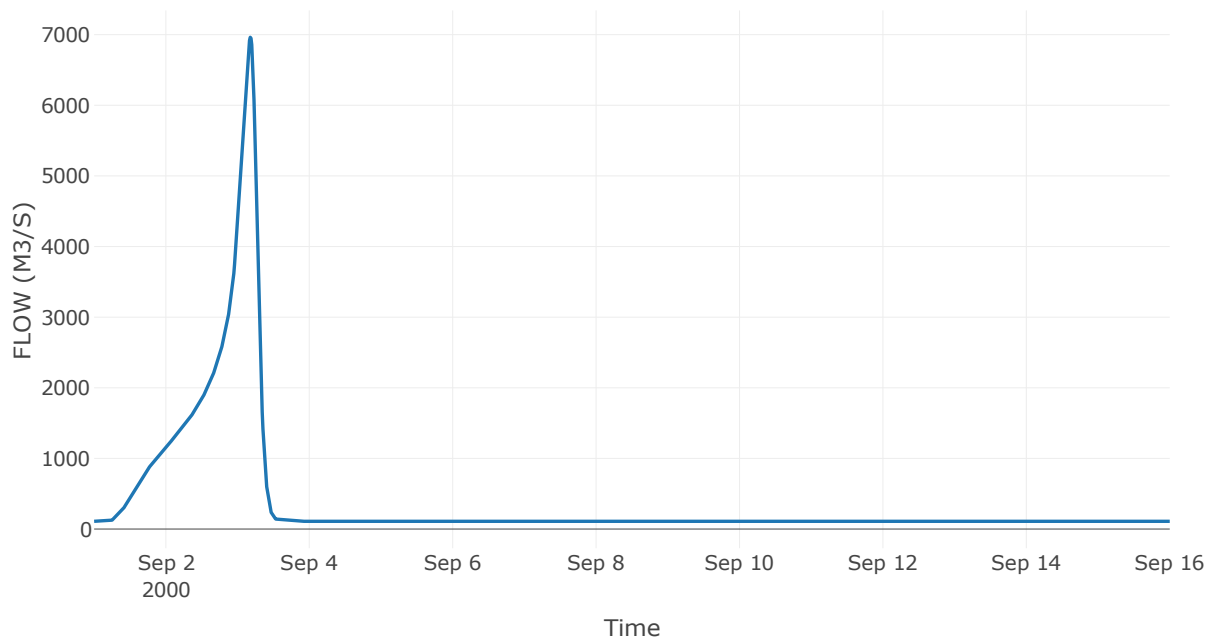
Κατάντη : J23

Μέθοδος Διόδευσης	Muskingum
Αρχική Μεταβλητή	Combined Inflow
Χρόνος Ροής Κ	0.12
Συντελεστής βάρους x	0.2
Πλήθος Υποκλάδων	1

Αποτελέσματα: R1223

Παροχή Αιχμής (M3/S)	6962.55
Χρονική στιγμή αιχμής	03Sep2000, 04:15
Όγκος (MM)	459.74
Παροχή Αιχμής Εισόδου (M3/S)	6969.08
Όγκος Εισροής (M3)	5.03E8

Απορροή



Κλάδος: R1312

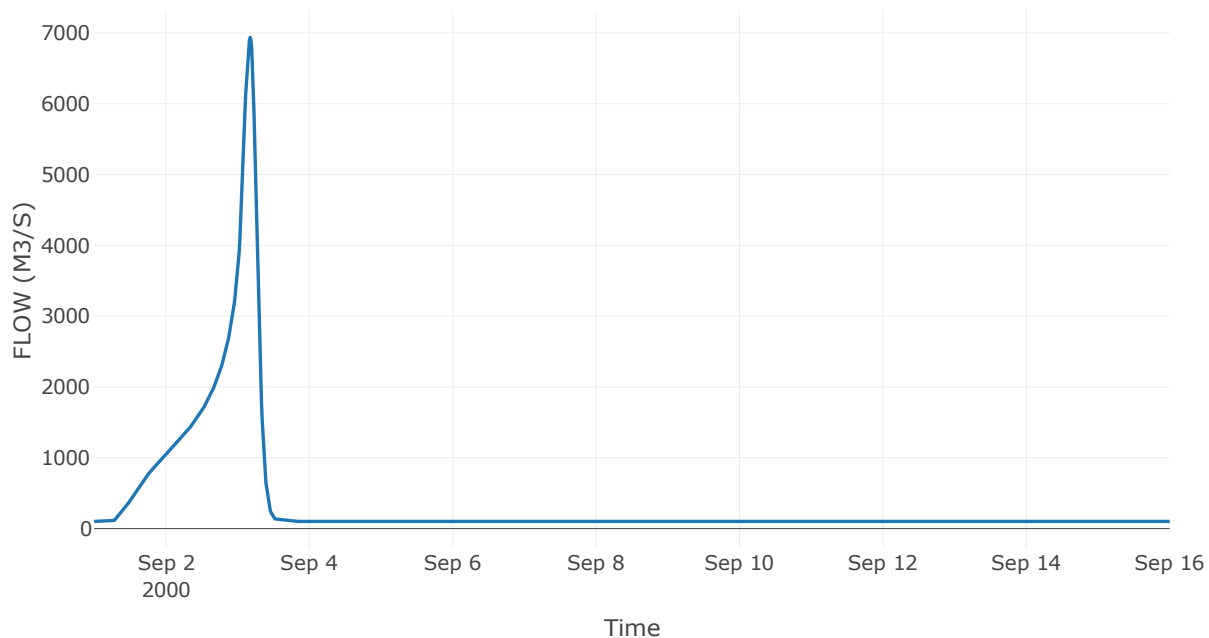
Κατάντη : J12

Μέθοδος Διόδευσης	Muskingum
Αρχική Μεταβλητή	Combined Inflow
Χρόνος Ροής K	1.84
Συντελεστής βάρους x	0.2
Πλήθος Υποκλάδων	9

Αποτελέσματα: R1312

Παροχή Αιχμής (M3/S)	6936.19
Χρονική στιγμή αιχμής	03Sep2000, 04:15
Όγκος (MM)	456.49
Παροχή Αιχμής Εισόδου (M3/S)	7068.38
Όγκος Εισροής (M3)	4.61E8

Απορροή



Κλάδος: R1413

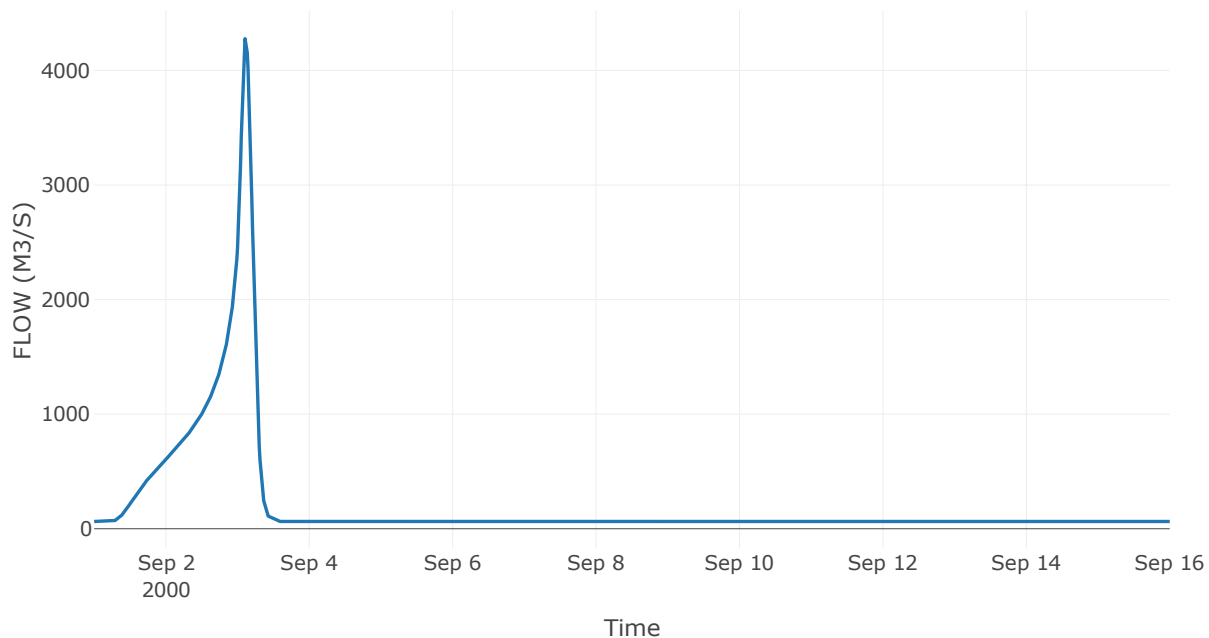
Κατάντη : J13

Μέθοδος Διόδευσης	Muskingum
Αρχική Μεταβλητή	Combined Inflow
Χρόνος Ροής K	1.6
Συντελεστής βάρους x	0.2
Πλήθος Υποκλάδων	8

Αποτελέσματα: R1413

Παροχή Αιχμής (M3/S)	4287.81
Χρονική στιγμή αιχμής	03Sep2000, 02:45
Όγκος (MM)	424.41
Παροχή Αιχμής Εισόδου (M3/S)	4378.37
Όγκος Εισροής (M3)	2.69E8

Απορροή



Κλάδος: R1514

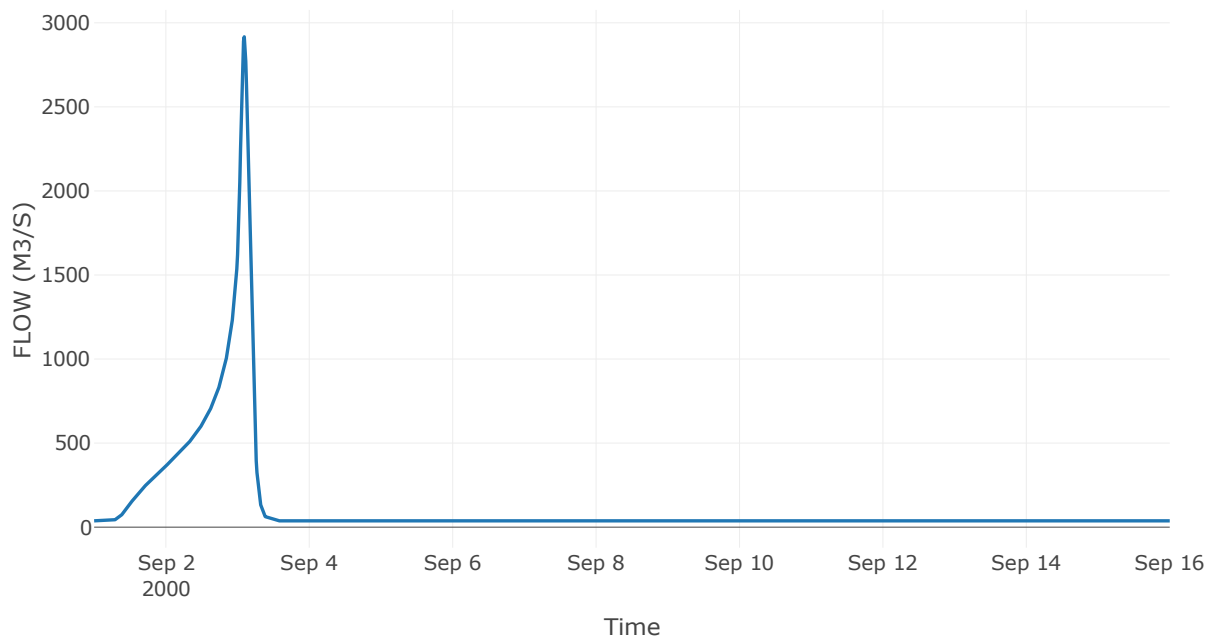
Κατάντη : J14

Μέθοδος Διόδευσης	Χρόνος
Αρχική Μεταβλητή	Combined Inflow
Χρόνος Υστέρησης	60.66

Αποτελέσματα: R1514

Παροχή Αιχμής (M3/S)	2916.77
Χρονική στιγμή αιχμής	03Sep2000, 02:15
Όγκος (MM)	422.71
Παροχή Αιχμής Εισόδου (M3/S)	2916.77
Όγκος Εισροής (M3)	1.59E8

Απορροή



Κλάδος: R1615

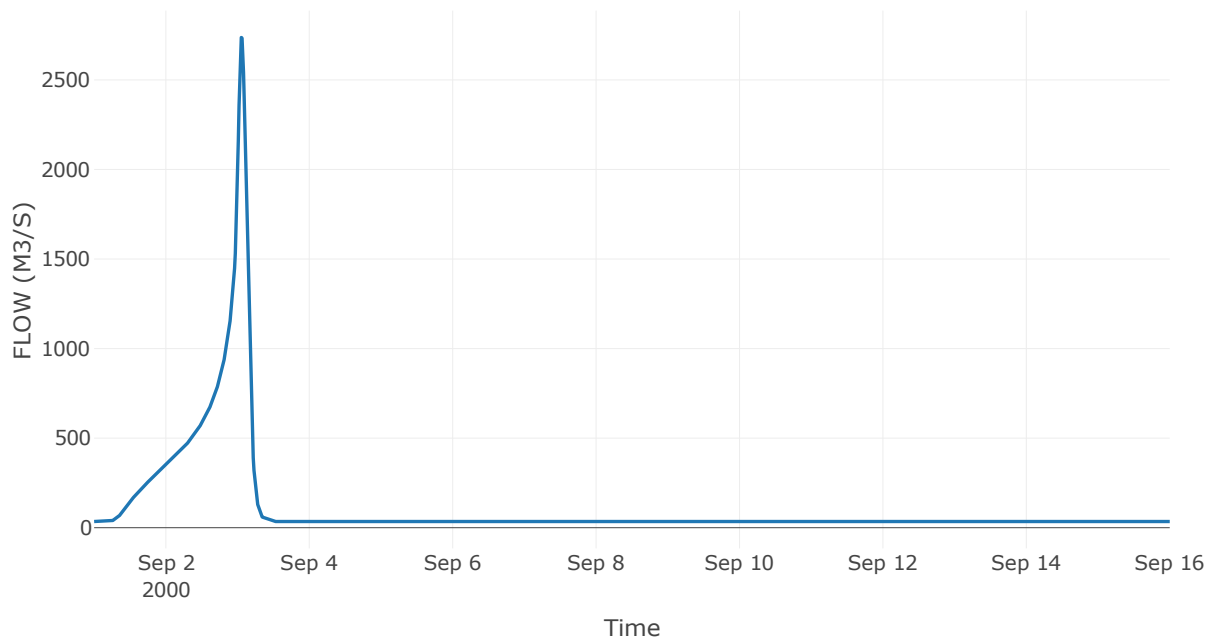
Κατάντη : J15

Μέθοδος Διόδευσης	Muskingum
Αρχική Μεταβλητή	Combined Inflow
Χρόνος Ροής K	0.55
Συντελεστής βάρους x	0.2
Πλήθος Υποκλάδων	3

Αποτελέσματα: R1615

Παροχή Αιχμής (M3/S)	2736.78
Χρονική στιγμή αιχμής	03Sep2000, 01:15
Όγκος (MM)	423.77
Παροχή Αιχμής Εισόδου (M3/S)	2777
Όγκος Εισροής (M3)	1.47E8

Απορροή



Κλάδος: R1716

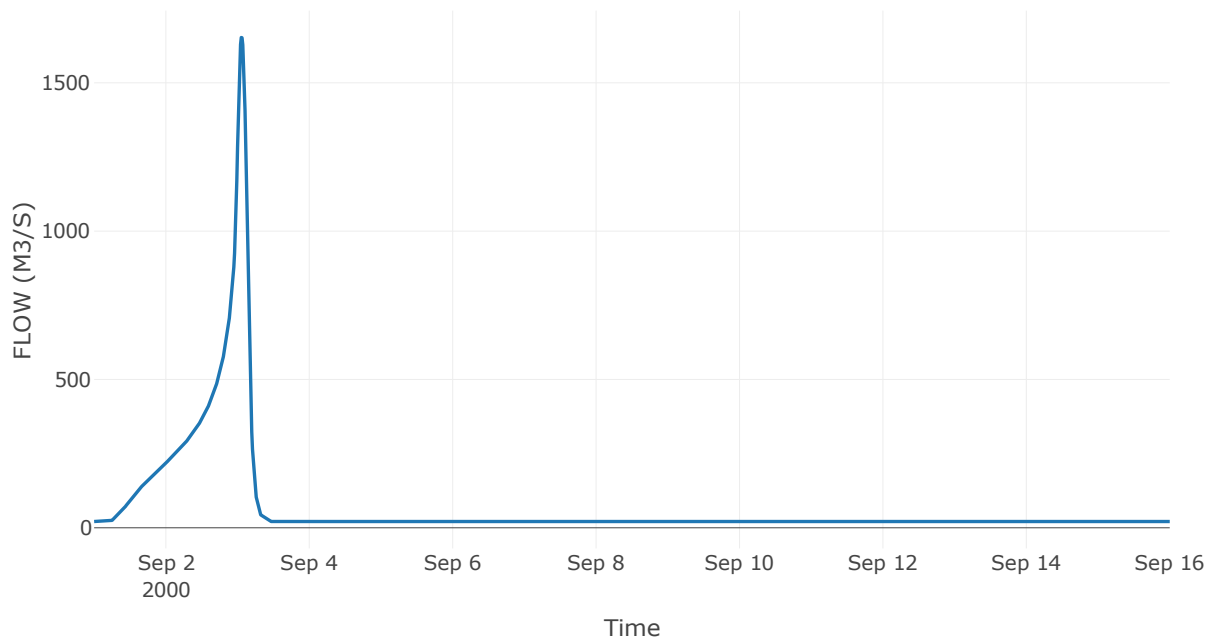
Κατάντη : J16

Μέθοδος Διόδευσης	Muskingum
Αρχική Μεταβλητή	Combined Inflow
Χρόνος Ροής K	0.16
Συντελεστής βάρους x	0.2
Πλήθος Υποκλάδων	1

Αποτελέσματα: R1716

Παροχή Αιχμής (M3/S)	1652.79
Χρονική στιγμή αιχμής	03Sep2000, 01:15
Όγκος (MM)	431.58
Παροχή Αιχμής Εισόδου (M3/S)	1657.45
Όγκος Εισροής (M3)	9.13E7

Απορροή



Κλάδος: R1817

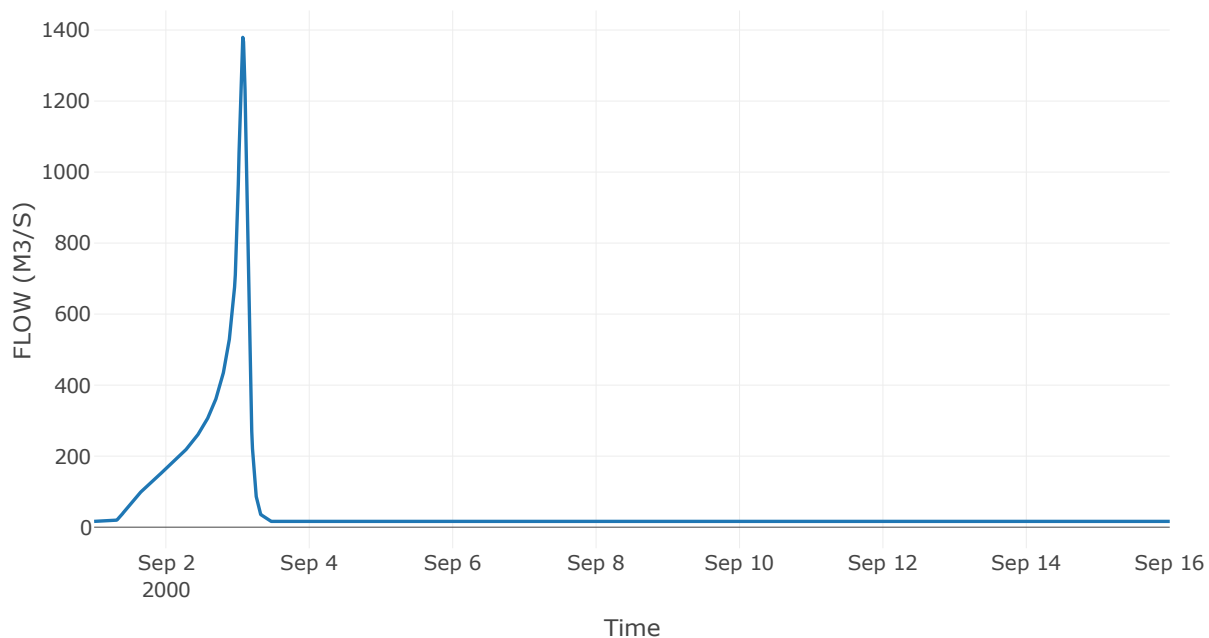
Κατάντη : J17

Μέθοδος Διόδευσης	Muskingum
Αρχική Μεταβλητή	Combined Inflow
Χρόνος Ροής Κ	0.77
Συντελεστής βάρους α	0.2
Πλήθος Υποκλάδων	4

Αποτελέσματα: R1817

Παροχή Αιχμής (M3/S)	1379.39
Χρονική στιγμή αιχμής	03Sep2000, 01:45
Όγκος (MM)	429.87
Παροχή Αιχμής Εισόδου (M3/S)	1406.17
Όγκος Εισροής (M3)	7E7

Απορροή



Κλάδος: R1918

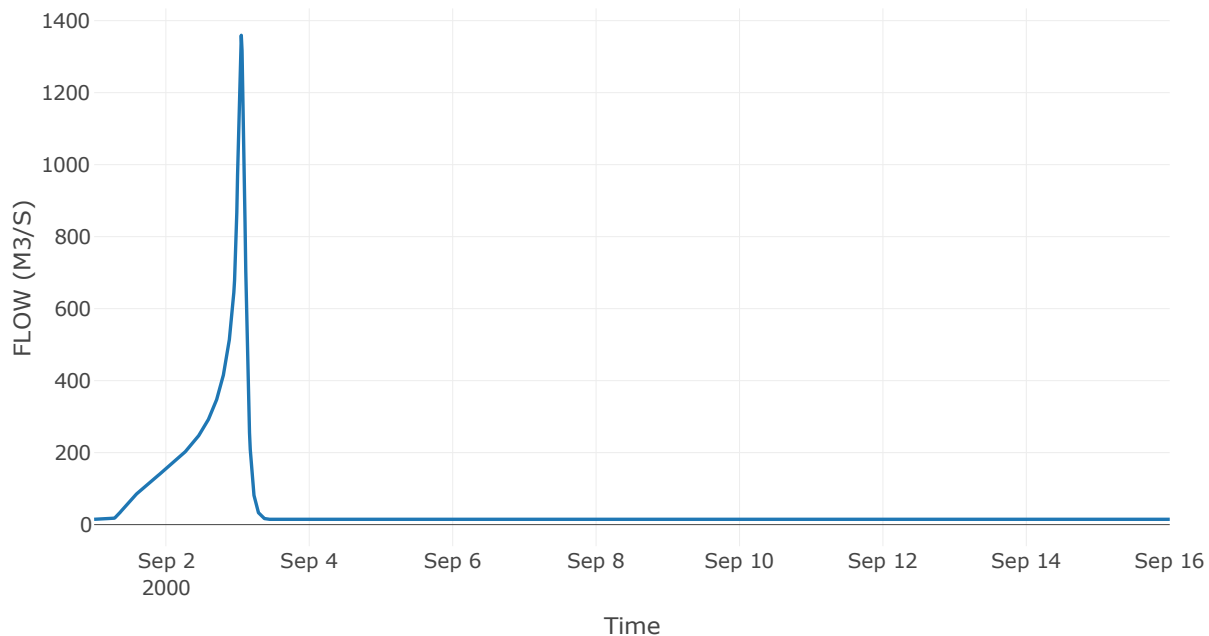
Κατάντη : J18

Μέθοδος Διόδευσης	Muskingum
Αρχική Μεταβλητή	Combined Inflow
Χρόνος Ροής Κ	0.68
Συντελεστής βάρους α	0.2
Πλήθος Υποκλάδων	3

Αποτελέσματα: R1918

Παροχή Αιχμής (M3/S)	1359.39
Χρονική στιγμή αιχμής	03Sep2000, 01:15
Όγκος (MM)	431.79
Παροχή Αιχμής Εισόδου (M3/S)	1402.04
Όγκος Εισροής (M3)	6.37E7

Απορροή



Κλάδος: R2016

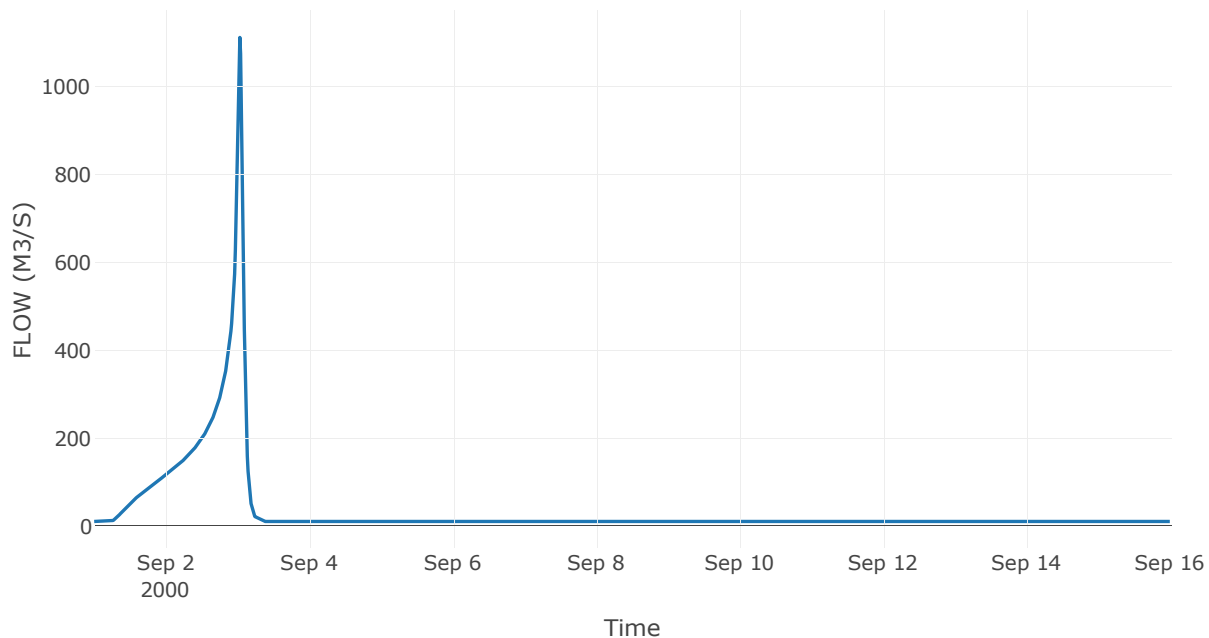
Κατάντη : J16

Μέθοδος Διόδευσης	Muskingum
Αρχική Μεταβλητή	Combined Inflow
Χρόνος Ροής Κ	0.34
Συντελεστής βάρους α	0.2
Πλήθος Υποκλάδων	2

Αποτελέσματα: R2016

Παροχή Αιχμής (M3/S)	1111.74
Χρονική στιγμή αιχμής	03Sep2000, 00:45
Όγκος (MM)	411.75
Παροχή Αιχμής Εισόδου (M3/S)	1121.78
Όγκος Εισροής (M3)	4.79E7

Απορροή



Κλάδος: R2120

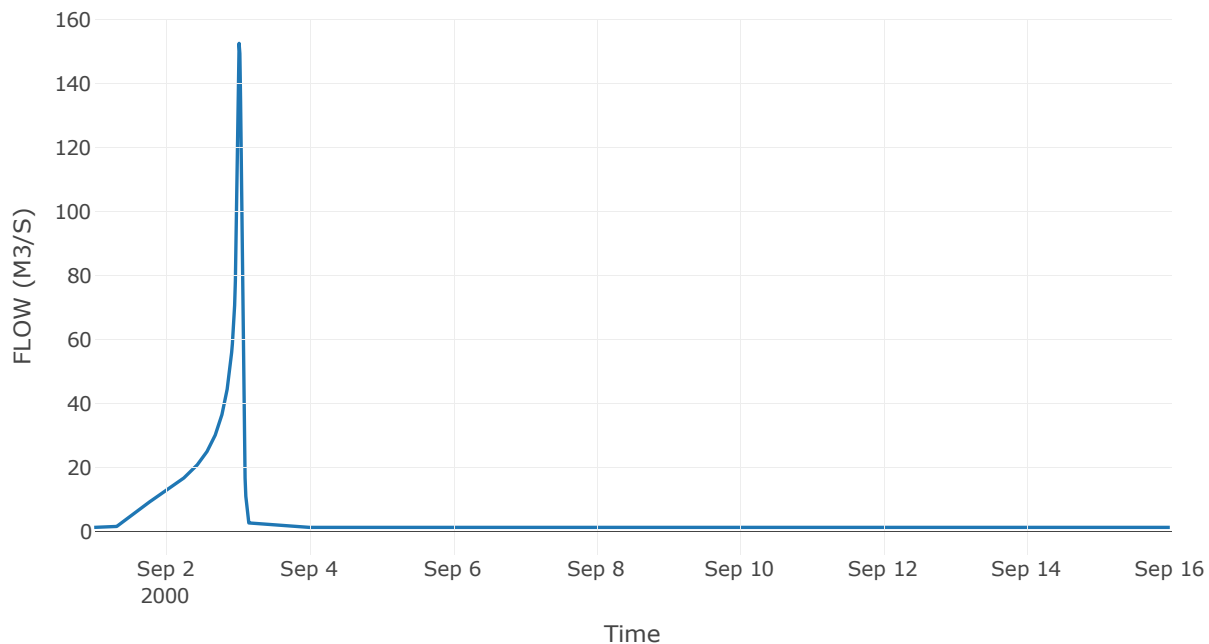
Κατάντη : J20

Μέθοδ	Muskingum
Αρχική Μεταβλητή	Combined Inflow
Χρόνος Ροής	0.77
Συντελεστής βάρους x	0.2
Πλήθος $_$	4

Αποτελέσματα: R2120

Παροχή Αιχμής (M3/S)	152.45
Χρονική στιγμή αιχμής	03Sep2000, 00:30
Όγκος (MM)	405.41
Παροχή Αιχμής Εισόδου (M3/S)	162.71
Όγκος Εισροής	5.36E6

Απορροή



Κλάδος: R2214

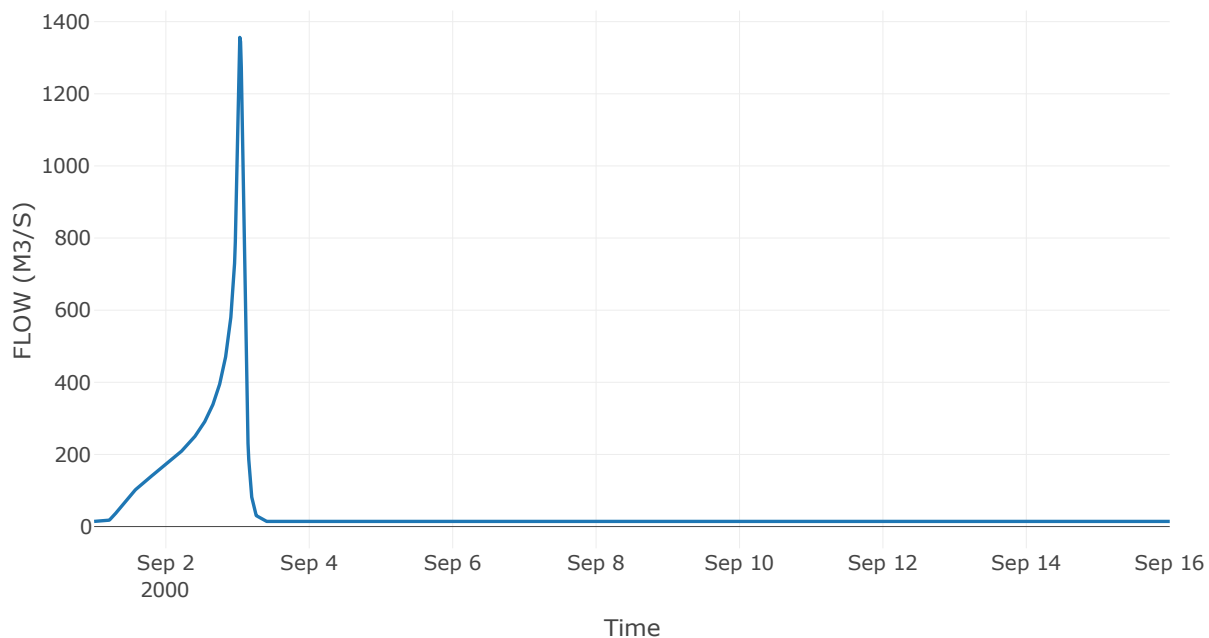
Κατάντη : J14

Μέθοδος Διόδευσης	Muskingum
Αρχική Μεταβλητή	Combined Inflow
Χρόνος Ροής K	0.42
Συντελεστής βάρους x	0.2
Πλήθος Υποκλάδων	2

Αποτελέσματα: R2214

Παροχή Αιχμής (M3/S)	1356.35
Χρονική στιγμή αιχμής	03Sep2000, 00:45
Όγκος (MM)	448.8
Παροχή Αιχμής Εισόδου (M3/S)	1381.59
Όγκος Εισροής (M3)	6.42E7

Απορροή



Κλάδος: R2311

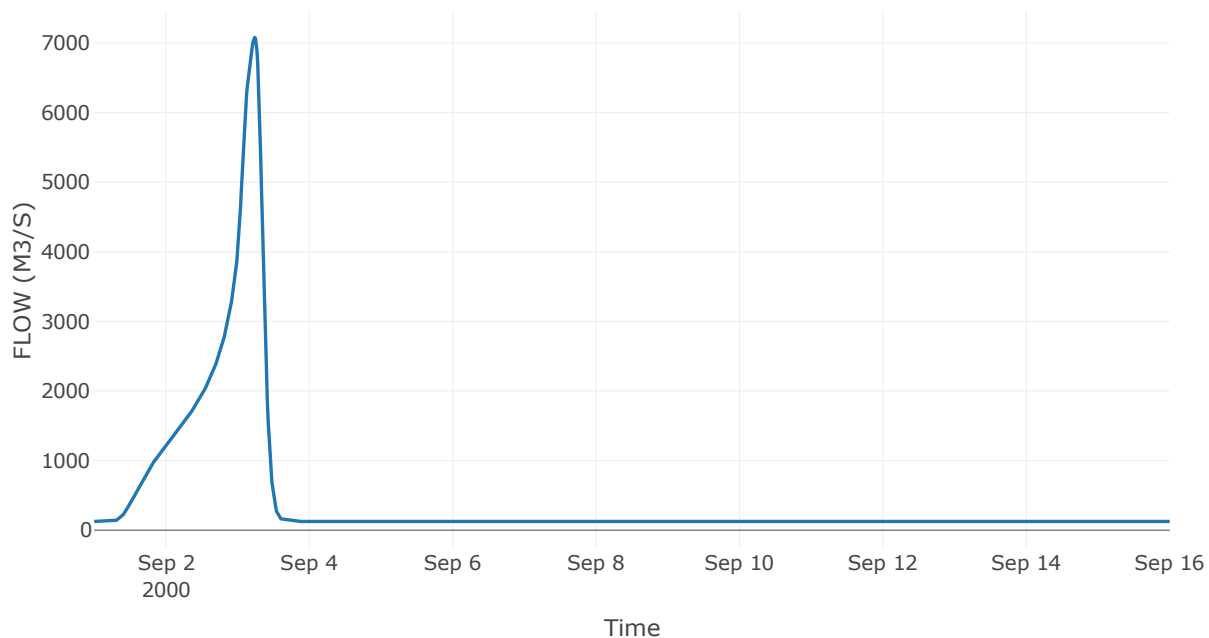
Κατάντη : J11

Μέθοδος Διόδευσης	Muskingum
Αρχική Μεταβλητή	Combined Inflow
Χρόνος Ροής K	1.83
Συντελεστής βάρους x	0.2
Πλήθος Υποκλάδων	9

Αποτελέσματα: R2311

Παροχή Αιχμής (M3/S)	7079.4
Χρονική στιγμή αιχμής	03Sep2000, 05:45
Όγκος (MM)	452.78
Παροχή Αιχμής Εισόδου (M3/S)	7136.43
Όγκος Εισροής (M3)	5.67E8

Απορροή



Κλάδος: R2423

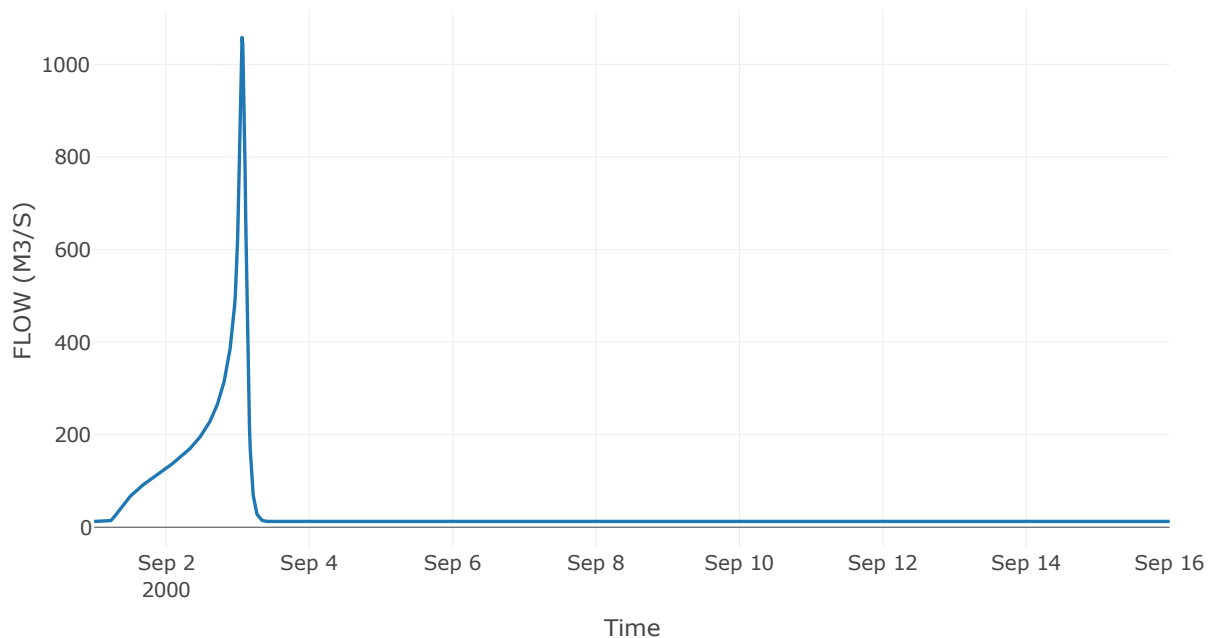
Κατάντη : J23

Μέθοδος Διόδευσης	Muskingum
Αρχική Μεταβλητή	Combined Inflow
Χρόνος Ροής K	1.32
Συντελεστής βάρους x	0.2
Πλήθος Υποκλάδων	6

Αποτελέσματα: R2423

Παροχή Αιχμής (M3/S)	1058.37
Χρονική στιγμή αιχμής	03Sep2000, 01:30
Όγκος (MM)	406.37
Παροχή Αιχμής Εισόδου (M3/S)	1132.93
Όγκος Εισροής (M3)	5.09E7

Απορροή



Κλάδος: R257

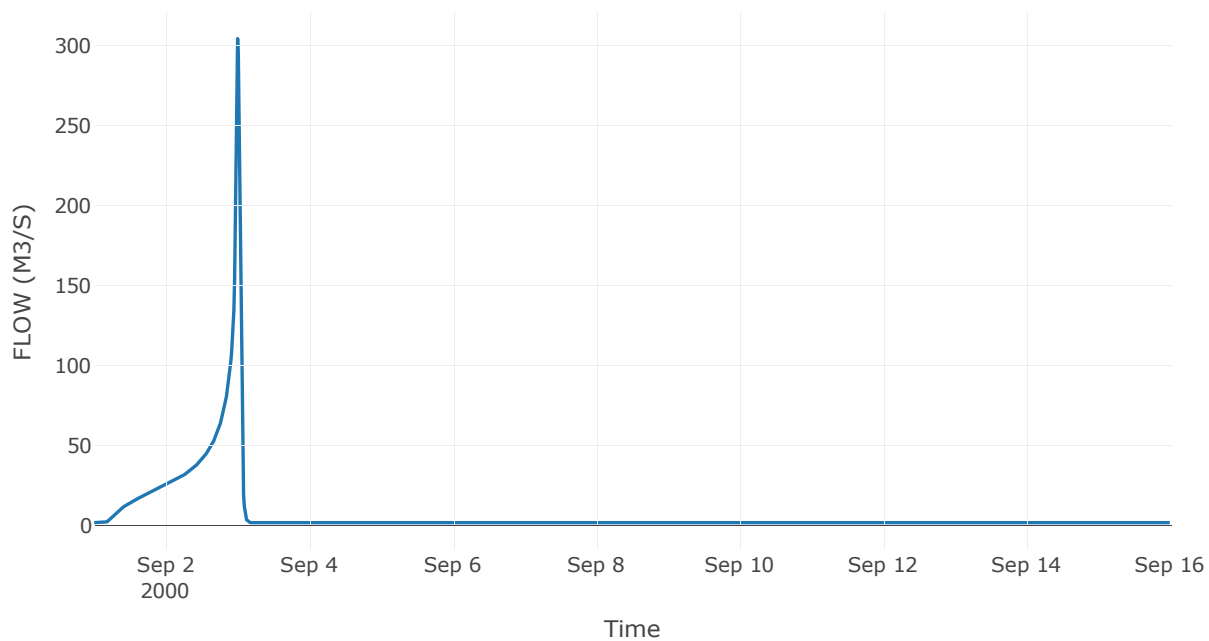
Κατάντη : J7

Μέθοδος Διόδευσης	Χρόνος
Αρχική Μεταβλητή	Combined Inflow
Χρόνος Υστέρησης	21.95

Αποτελέσματα: R257

Παροχή Αιχμής (M3/S)	304.35
Χρονική στιγμή αιχμής	02Sep2000, 24:00
Όγκος (MM)	465.15
Παροχή Αιχμής Εισόδου (M3/S)	307.71
Όγκος Εισροής (M3)	9.49E6

Απορροή



Κλάδος: R265

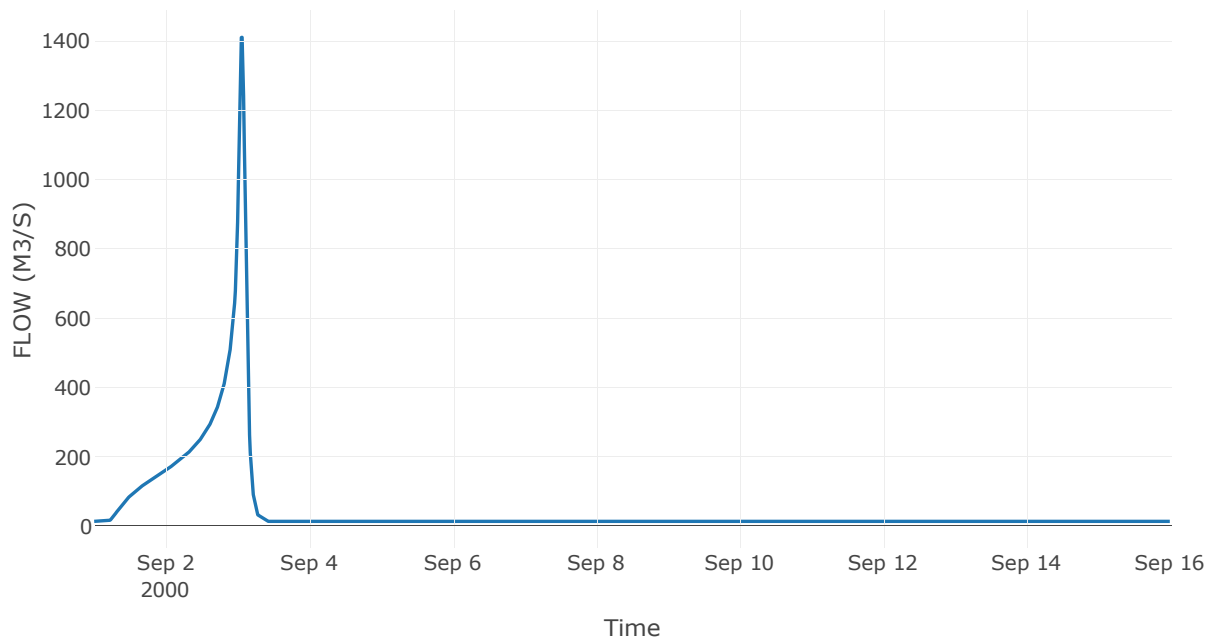
Κατάντη : J5

Μέθοδος Διόδευσης	Muskingum
Αρχική Μεταβλητή	Combined Inflow
Χρόνος Ροής Κ	1.04
Συντελεστής βάρους α	0.2
Πλήθος Υποκλάδων	5

Αποτελέσματα: R265

Παροχή Αιχμής (M3/S)	1410.59
Χρονική στιγμή αιχμής	03Sep2000, 01:30
Όγκος (MM)	449.64
Παροχή Αιχμής Εισόδου (M3/S)	1482.57
Όγκος Εισροής (M3)	6.41E7

Απορροή



Κλάδος: R274

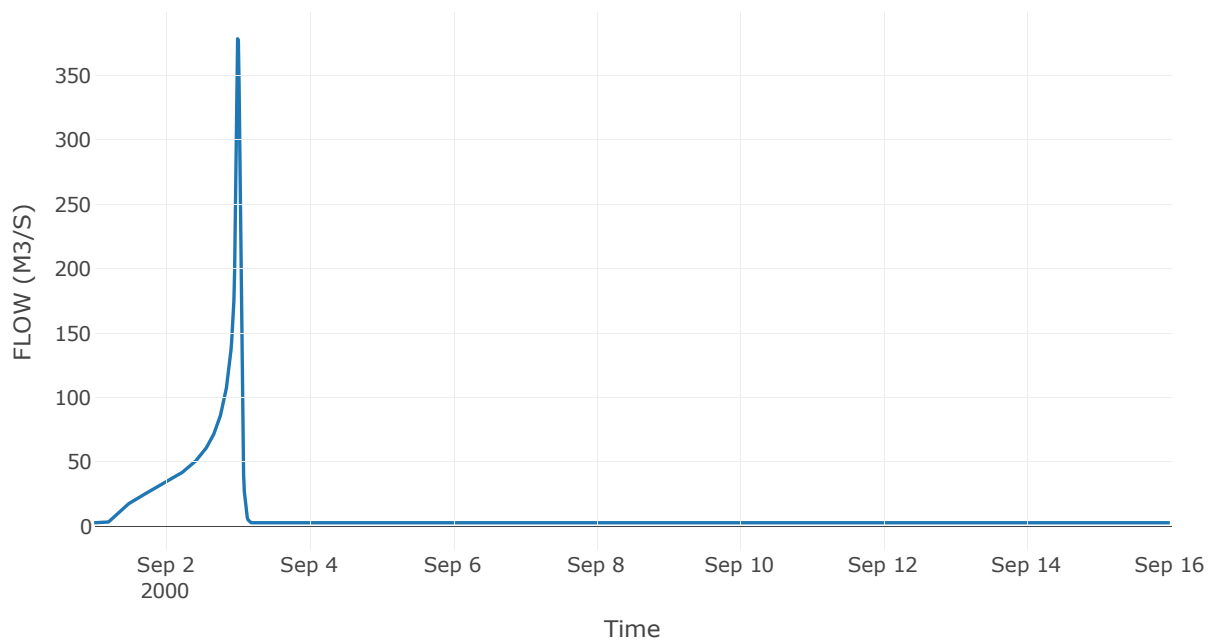
Κατάντη : J4

Μέθοδος Διόδευσης	Χρόνος
Αρχική Μεταβλητή	Combined Inflow
Χρόνος Υστέρησης	17.26

Αποτελέσματα: R274

Παροχή Αιχμής (M3/S)	378.43
Χρονική στιγμή αιχμής	02Sep2000, 24:00
Όγκος (MM)	443.27
Παροχή Αιχμής Εισόδου (M3/S)	382.54
Όγκος Εισροής (M3)	1.29E7

Απορροή



Κλάδος: R2917

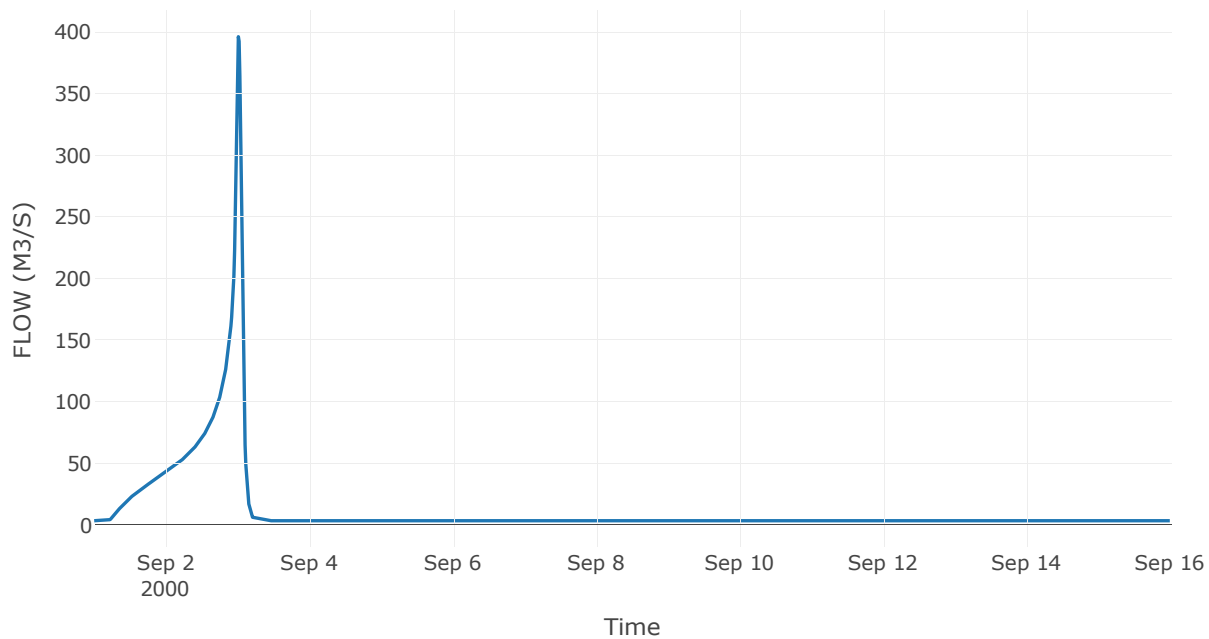
Κατάντη : J17

Μέθοδος Διόδευσης	Χρόνος
Αρχική Μεταβλητή	Combined Inflow
Χρόνος Υστέρησης	7.66

Αποτελέσματα: R2917

Παροχή Αιχμής (M3/S)	396.18
Χρονική στιγμή αιχμής	03Sep2000, 00:15
Όγκος (MM)	436.36
Παροχή Αιχμής Εισόδου (M3/S)	400.56
Όγκος Εισροής (M3)	1.63E7

Απορροή



Κλάδος: R3020

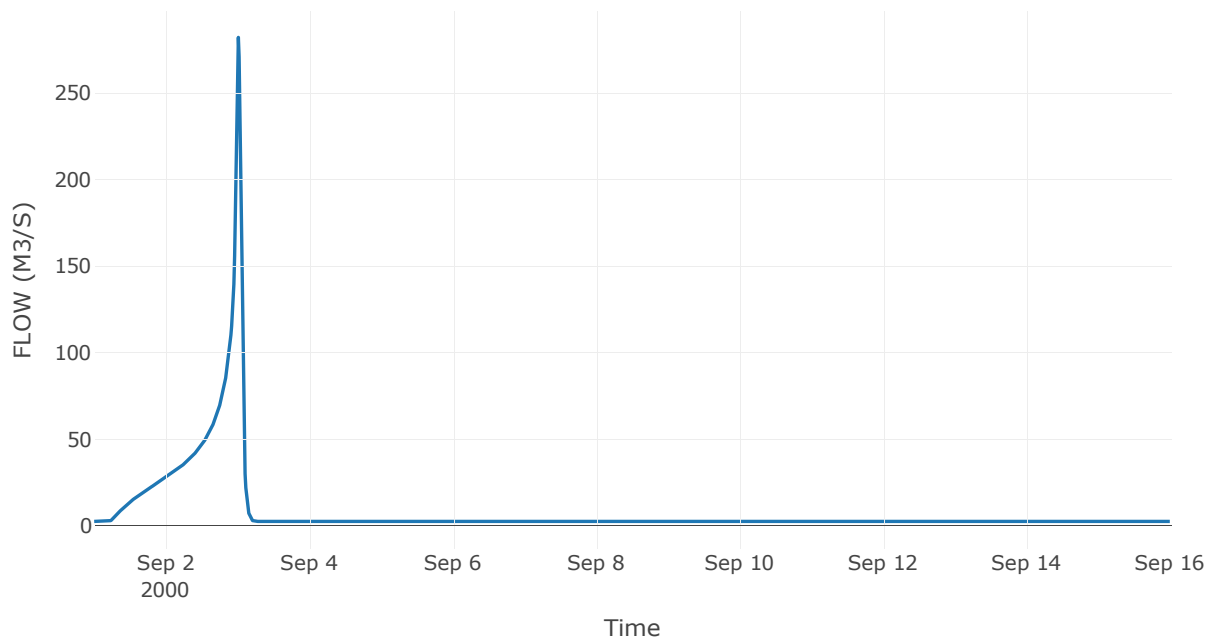
Κατάντη : J20

Μέθοδος Διόδευσης	Muskingum
Αρχική Μεταβλητή	Combined Inflow
Χρόνος Ροής K	0.18
Συντελεστής βάρους x	0.2
Πλήθος Υποκλάδων	1

Αποτελέσματα: R3020

Παροχή Αιχμής (M3/S)	282.02
Χρονική στιγμή αιχμής	03Sep2000, 00:15
Όγκος (MM)	419.18
Παροχή Αιχμής Εισόδου (M3/S)	284.58
Όγκος Εισροής (M3)	1.08E7

Απορροή



Κλάδος: R3113

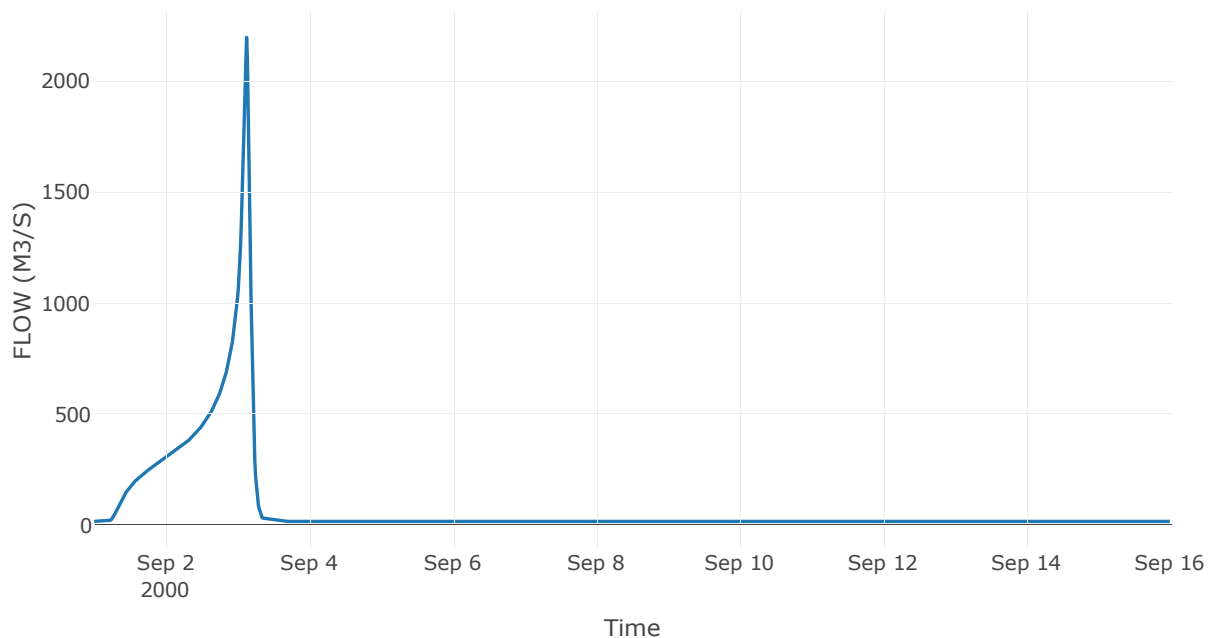
Κατάντη : J13

Μέθοδος Διόδευσης	Muskingum
Αρχική Μεταβλητή	Combined Inflow
Χρόνος Ροής K	2.64
Συντελεστής βάρους x	0.2
Πλήθος Υποκλάδων	13

Αποτελέσματα: R3113

Παροχή Αιχμής (M3/S)	2197.16
Χρονική στιγμή αιχμής	03Sep2000, 03:00
Όγκος (MM)	609.51
Παροχή Αιχμής Εισόδου (M3/S)	2473.14
Όγκος Εισροής (M3)	1.05E8

Απορροή



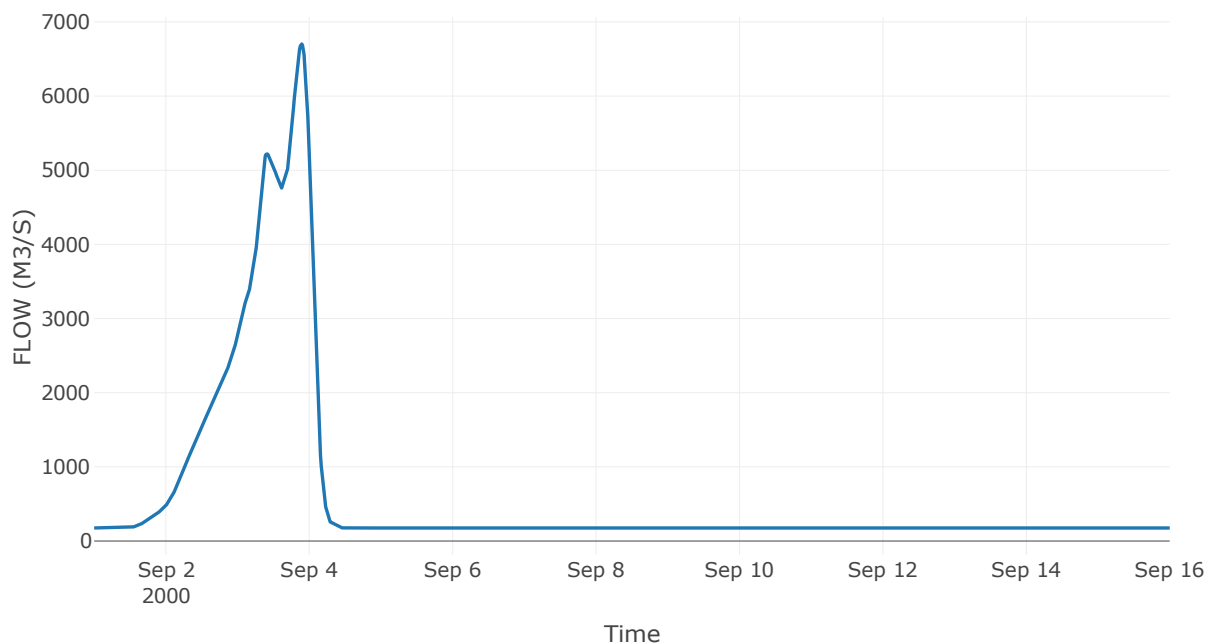
10.3 Δεδομένα και υδρογραφήματα σχεδιασμού Κόμβων υδρογραφικού δικτύου

Κόμβος εξόδου: J1

Αποτελέσματα: J1

Παροχή Αιχμής (M3/S)	6702.59
Χρονική στιγμή αιχμής	03Sep2000, 21:30
Όγκος (MM)	452.21

Απορροή



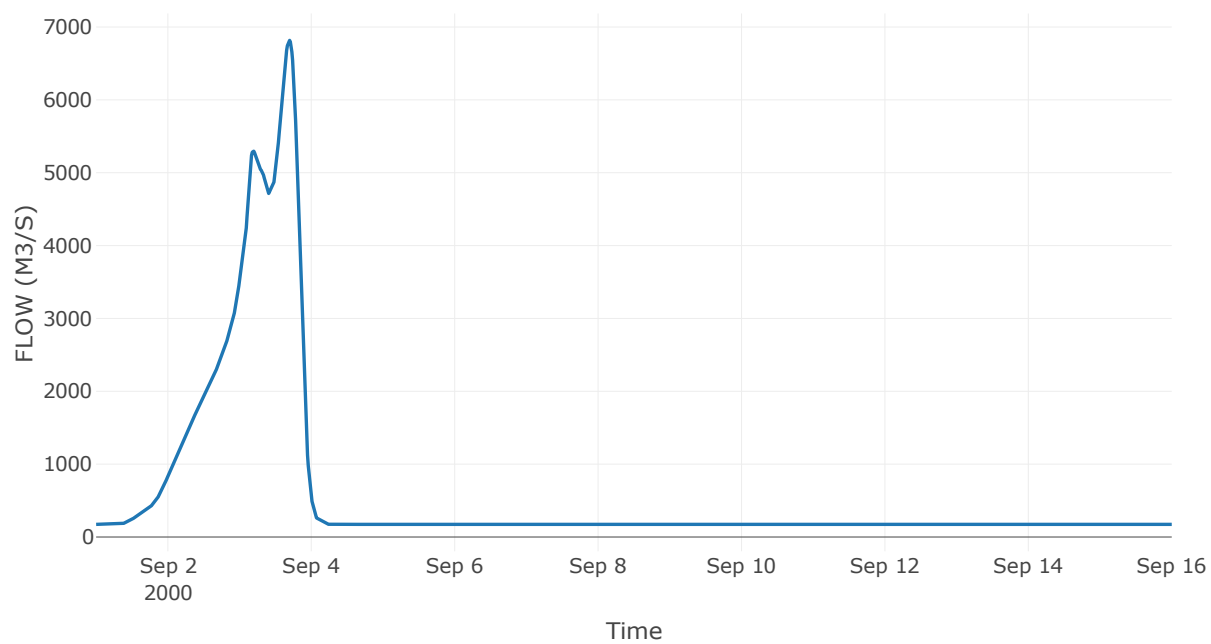
Κόμβος: J2

Κατάντη : R21

Αποτελέσματα: J2

Παροχή Αιχμής (M3/S)	6816.58
Χρονική στιγμή αιχμής	03Sep2000, 16:45
Όγκος (MM)	452.28

Απορροή



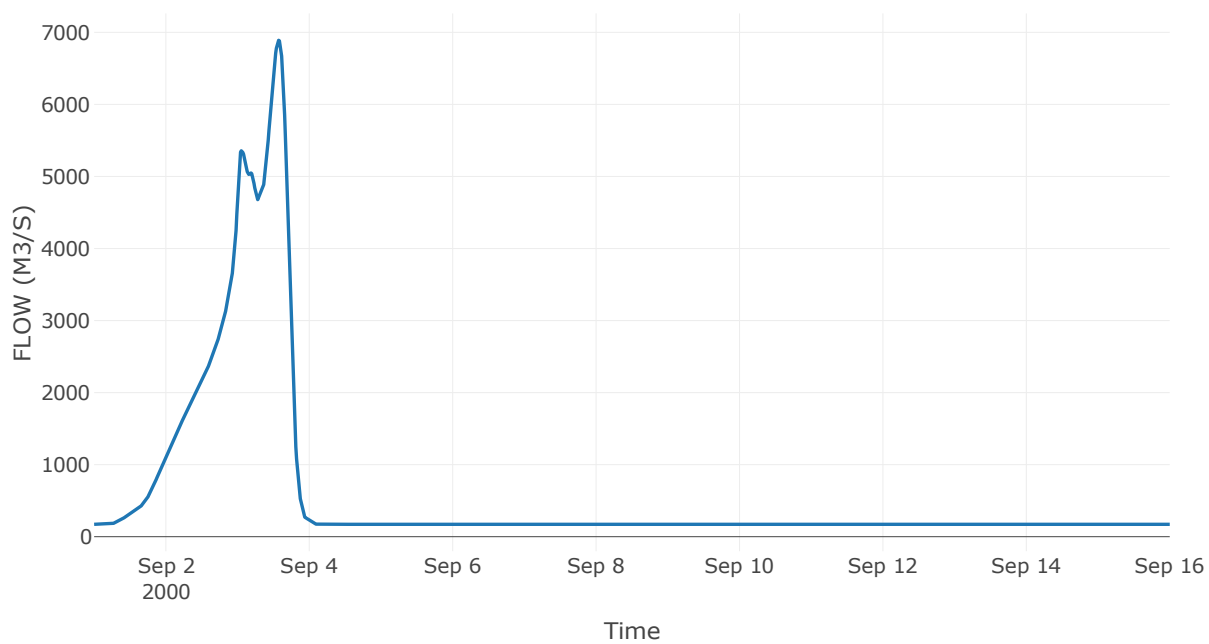
Κόμβος: J3

Κατάντη : R32

Αποτελέσματα: J3

Παροχή Αιχμής (M3/S)	6889.95
Χρονική στιγμή αιχμής	03Sep2000, 13:45
Όγκος (MM)	452.38

Απορροή



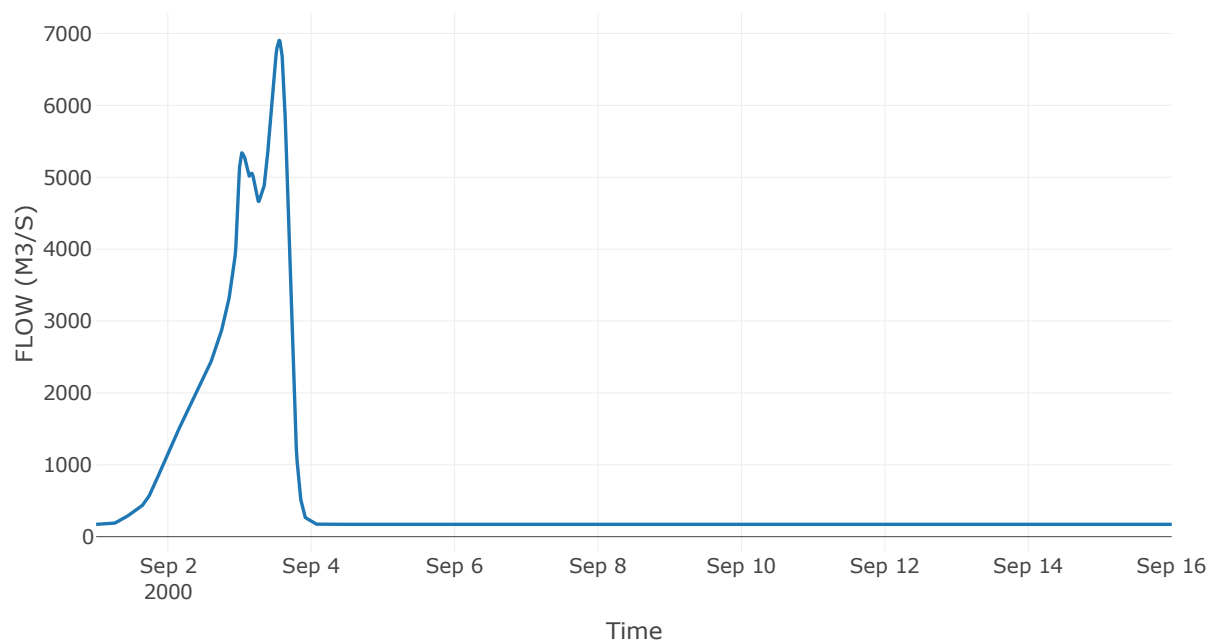
Κόμβος: J4

Κατάντη : R43

Αποτελέσματα: J4

Παροχή Αιχμής (M3/S)	6905.04
Χρονική στιγμή αιχμής	03Sep2000, 13:15
Όγκος (MM)	452.37

Απορροή



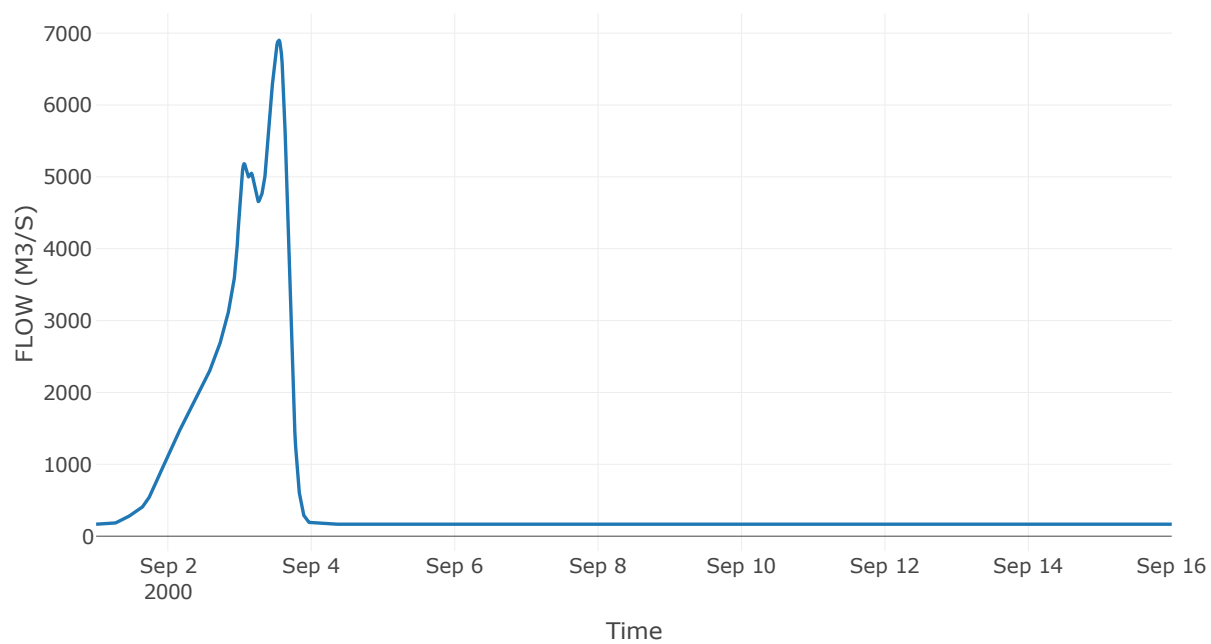
Κόμβος: J5

Κατάντη : R54

Αποτελέσματα: J5

Παροχή Αιχμής (M3/S)	6901.93
Χρονική στιγμή αιχμής	03Sep2000, 13:00
Όγκος (MM)	452.77

Απορροή



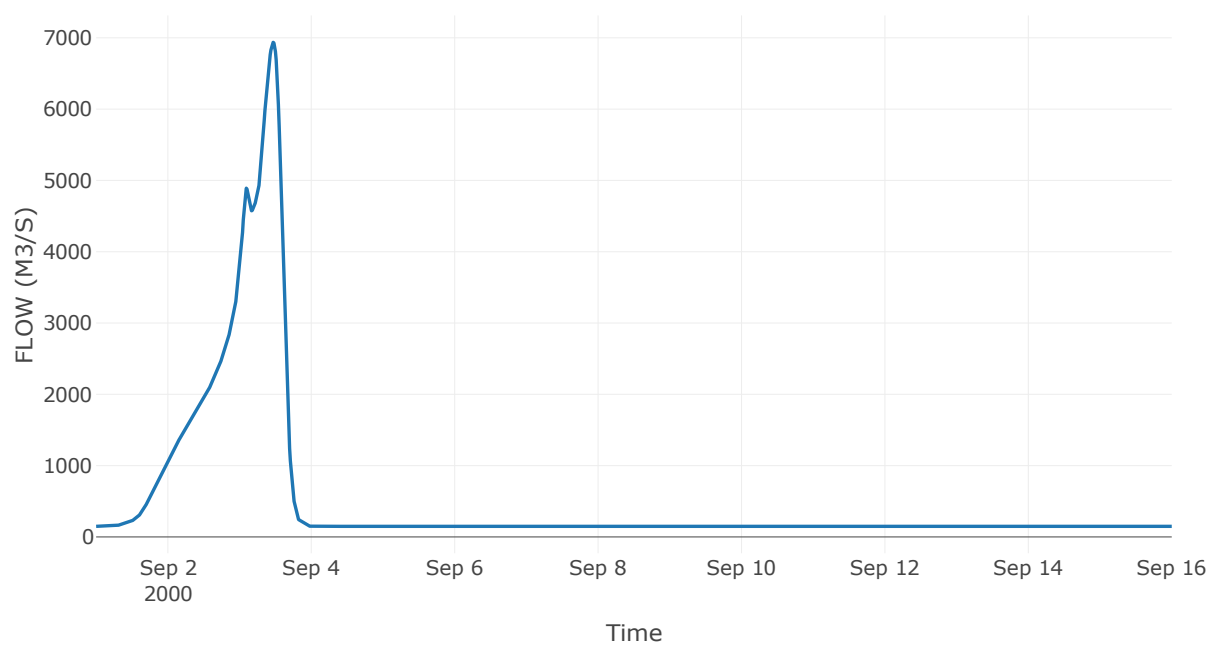
Κόμβος: J6

Κατάντη : R65

Αποτελέσματα: J6

Παροχή Αιχμής (M3/S)	6936.7
Χρονική στιγμή αιχμής	03Sep2000, 11:15
Όγκος (MM)	454.08

Απορροή



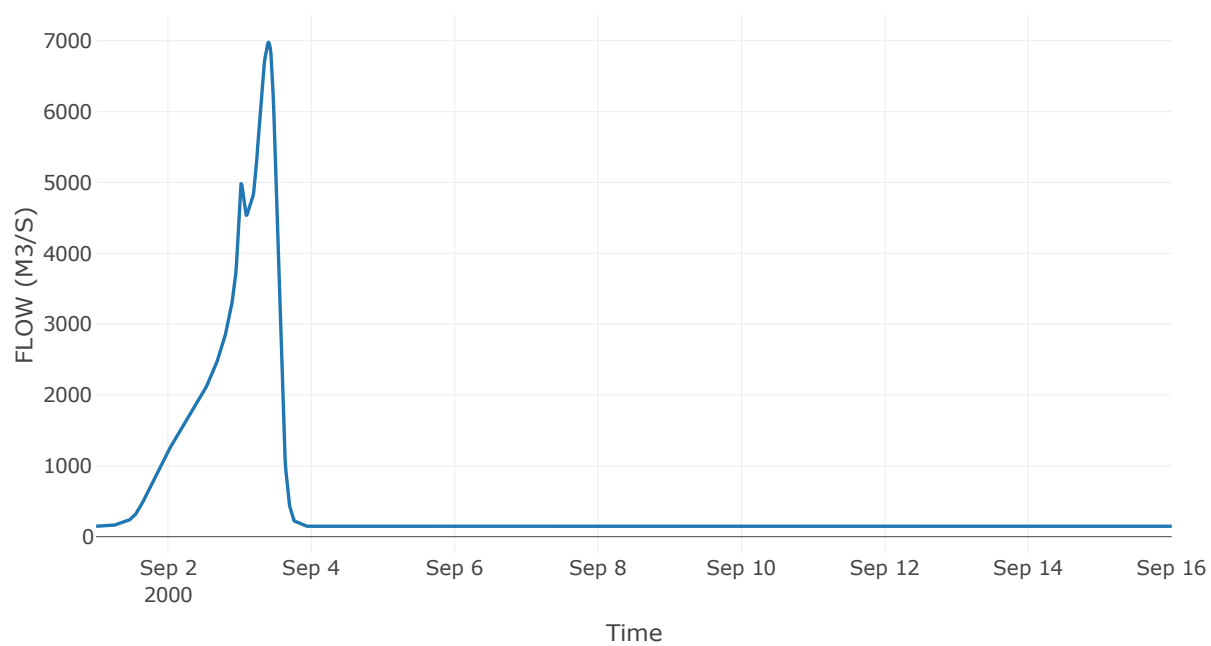
Κόμβος: J7

Κατάντη : R76

Αποτελέσματα: J7

Παροχή Αιχμής (M3/S)	6978.53
Χρονική στιγμή αιχμής	03Sep2000, 09:45
Όγκος (MM)	454.31

Απορροή



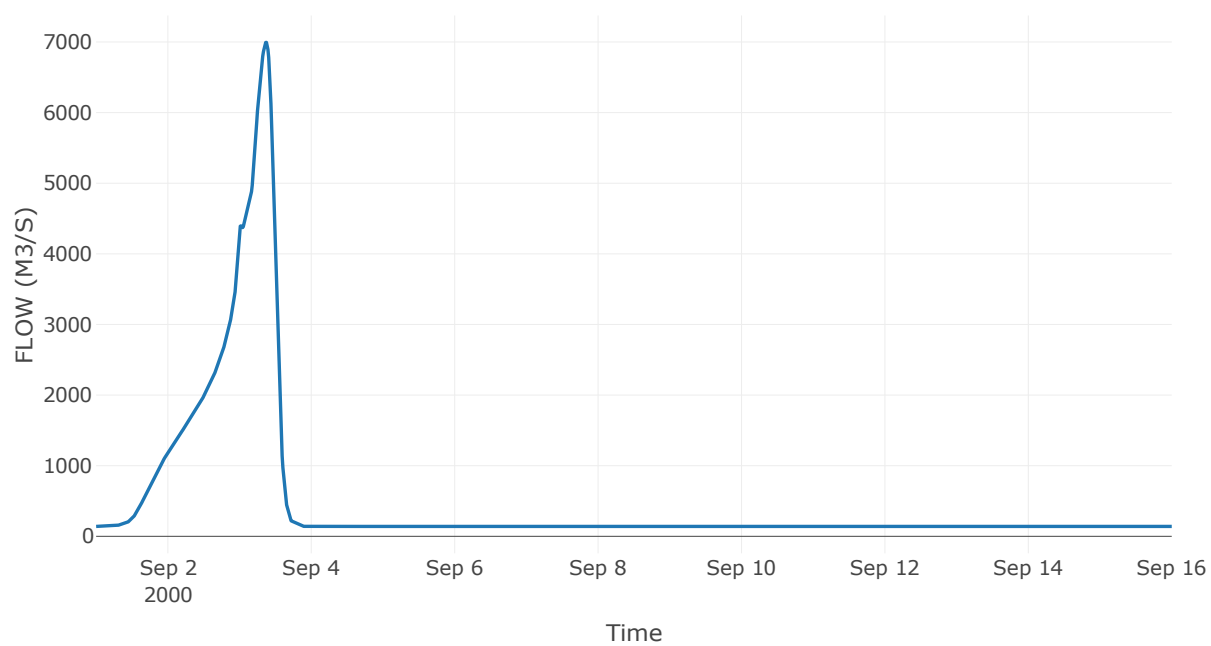
Κόμβος: J8

Κατάντη : R87

Αποτελέσματα: J8

Παροχή Αιχμής (M3/S)	6993.97
Χρονική στιγμή αιχμής	03Sep2000, 09:00
Όγκος (MM)	453.61

Απορροή



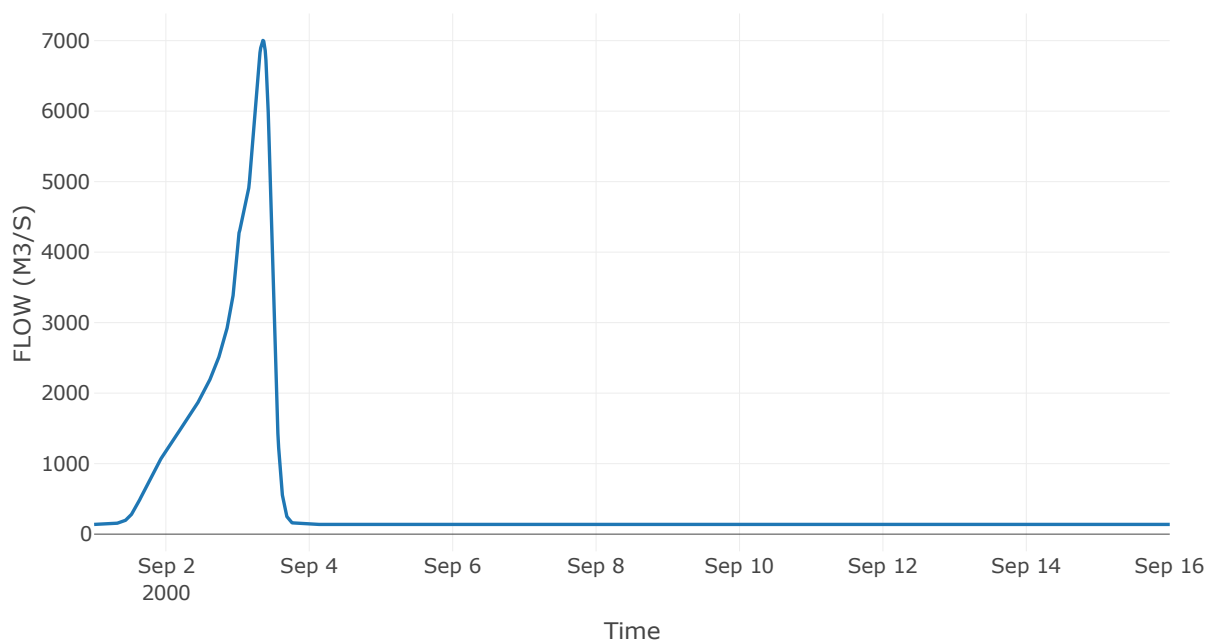
Κόμβος: J9

Κατάντη : R98

Αποτελέσματα: J9

Παροχή Αιχμής (M3/S)	7003.25
Χρονική στιγμή αιχμής	03Sep2000, 08:30
Όγκος (MM)	453.59

Απορροή



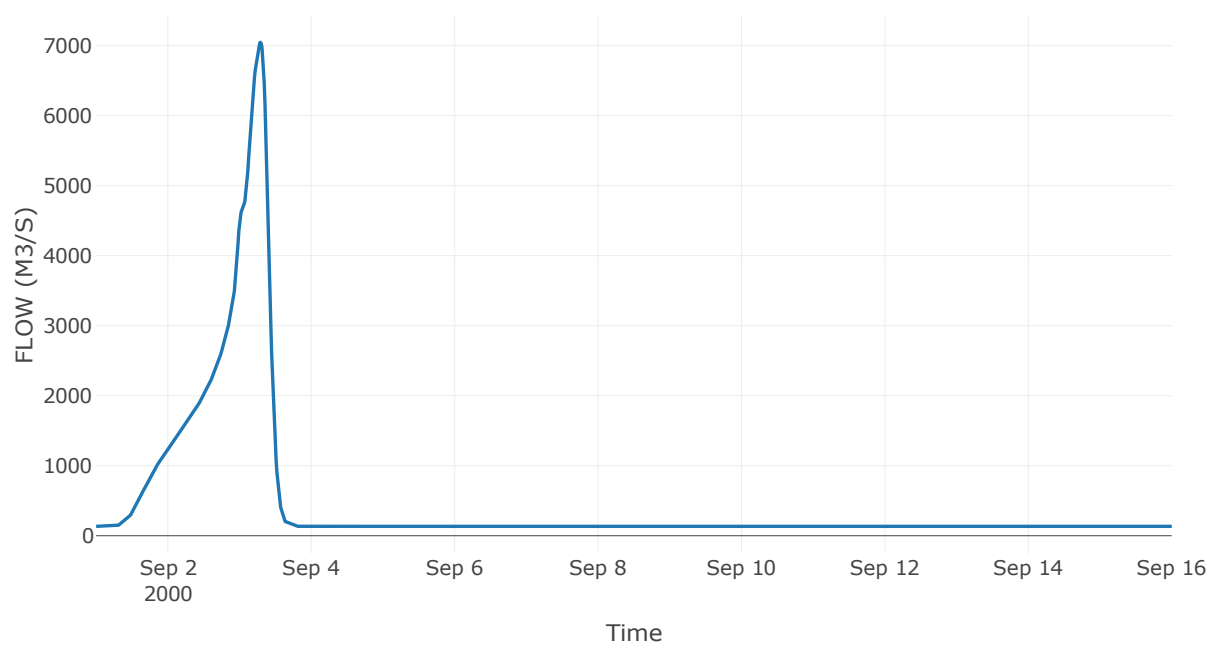
Κόμβος: J10

Κατάντη : R109

Αποτελέσματα: J10

Παροχή Αιχμής (M3/S)	7046.22
Χρονική στιγμή αιχμής	03Sep2000, 07:00
Όγκος (MM)	452.66

Απορροή



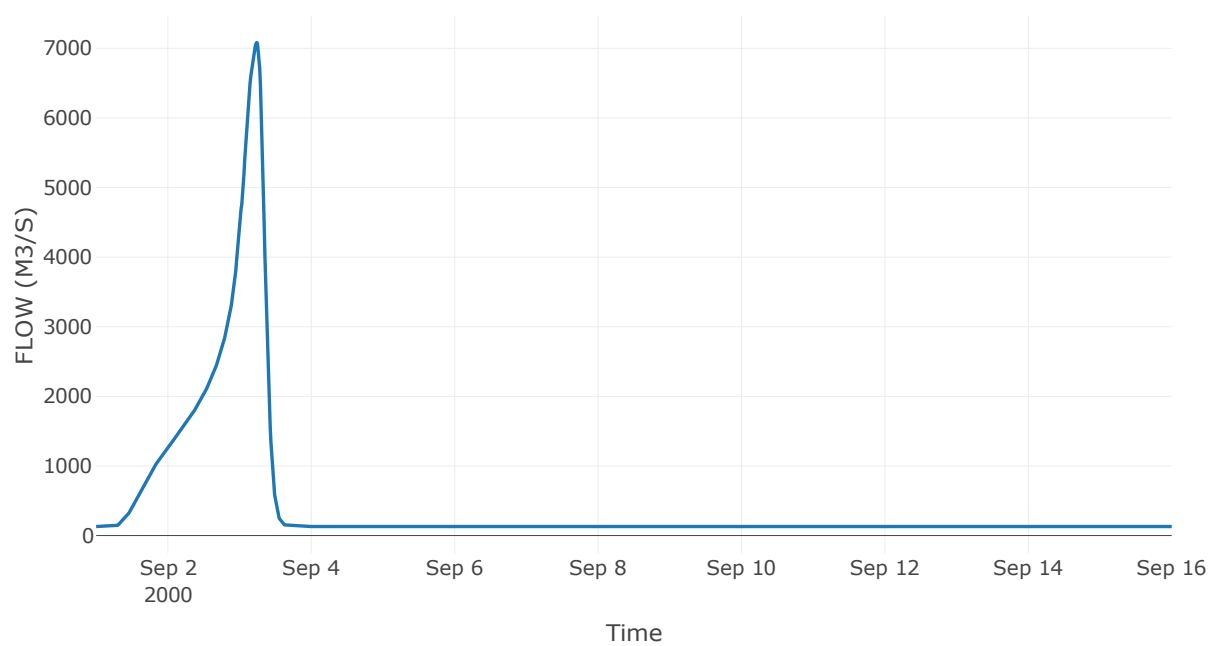
Κόμβος: J11

Κατάντη : R1110

Αποτελέσματα: J11

Παροχή Αιχμής (M3/S)	7084.04
Χρονική στιγμή αιχμής	03Sep2000, 05:45
Όγκος (MM)	451.75

Απορροή



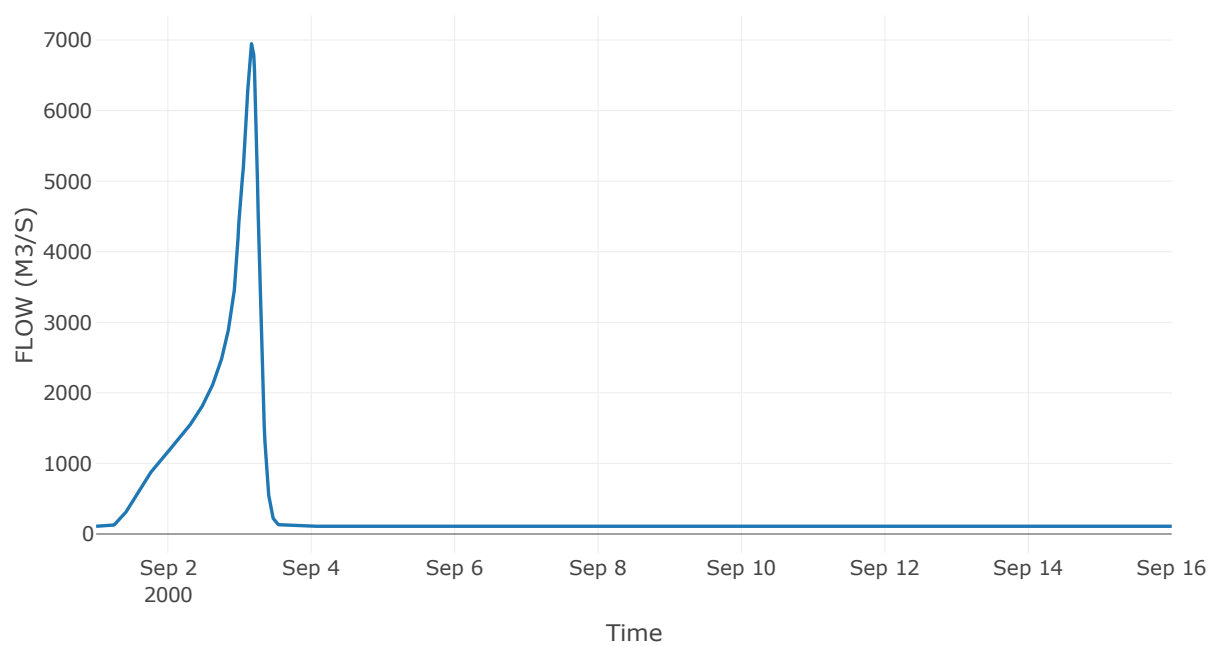
Κόμβος: J12

Κατάντη : R1223

Αποτελέσματα: J12

Παροχή Αιχμής (M3/S)	6969.08
Χρονική στιγμή αιχμής	03Sep2000, 04:15
Όγκος (MM)	459.74

Απορροή



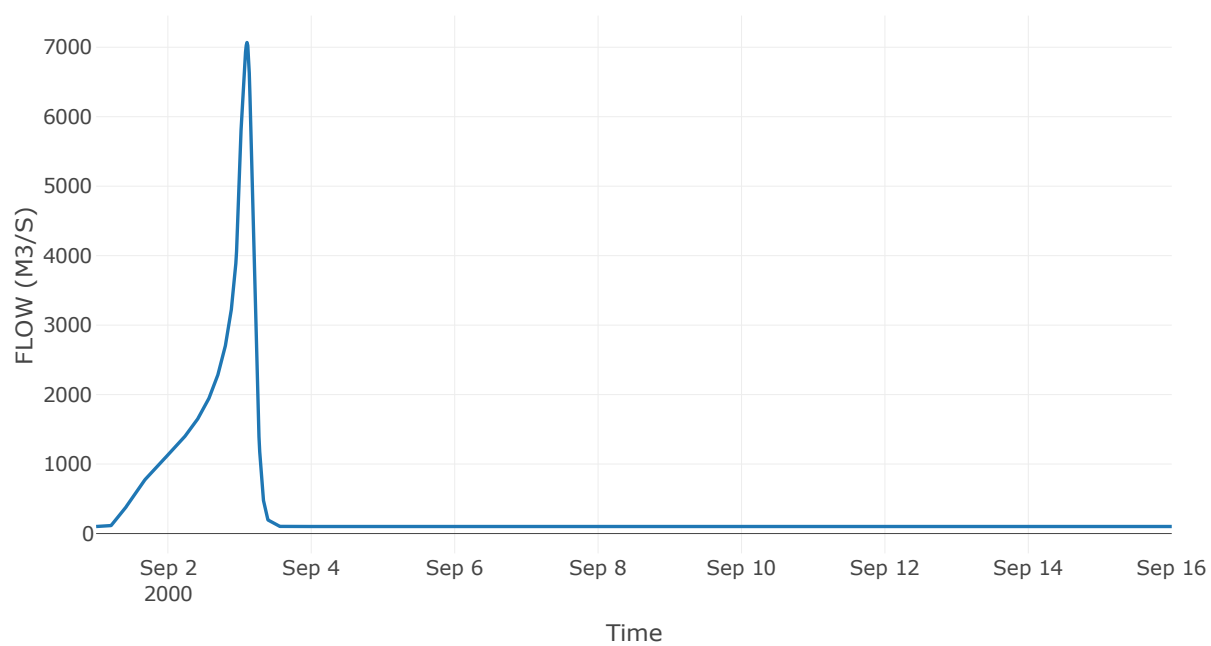
Κόμβος: J13

Κατάντη : R1312

Αποτελέσματα: J13

Παροχή Αιχμής (M3/S)	7068.38
Χρονική στιγμή αιχμής	03Sep2000, 02:30
Όγκος (MM)	456.49

Απορροή



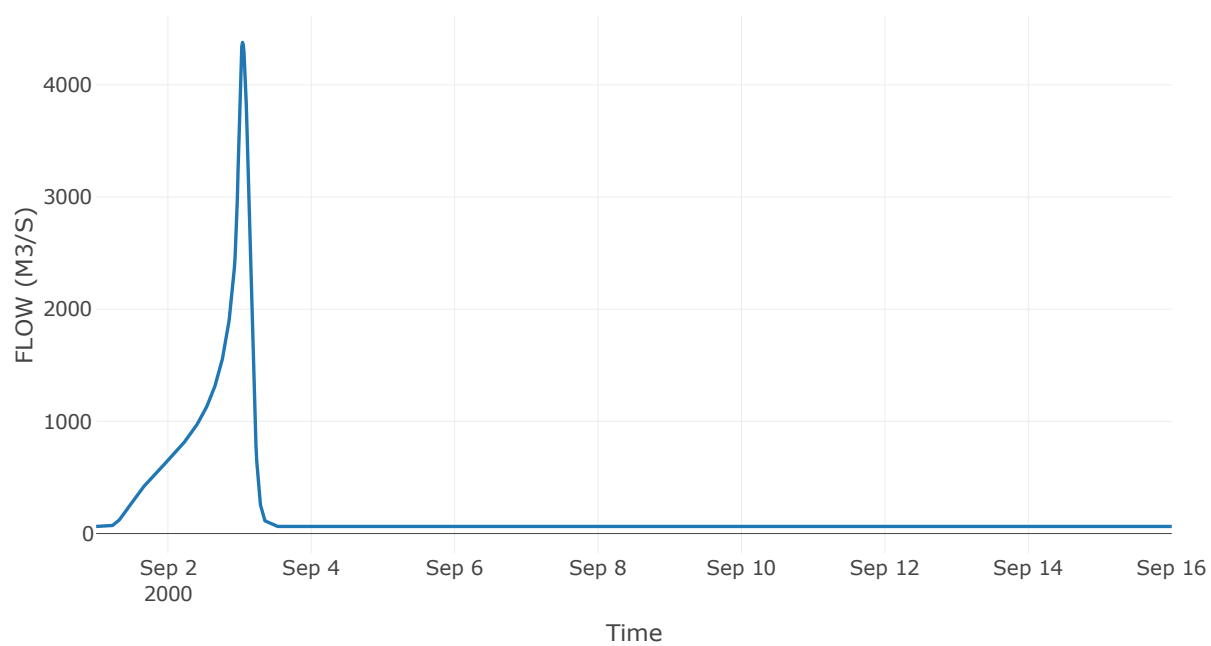
Κόμβος: J14

Κατάντη : R1413

Αποτελέσματα: J14

Παροχή Αιχμής (M3/S)	4378.37
Χρονική στιγμή αιχμής	03Sep2000, 01:00
Όγκος (MM)	424.41

Απορροή



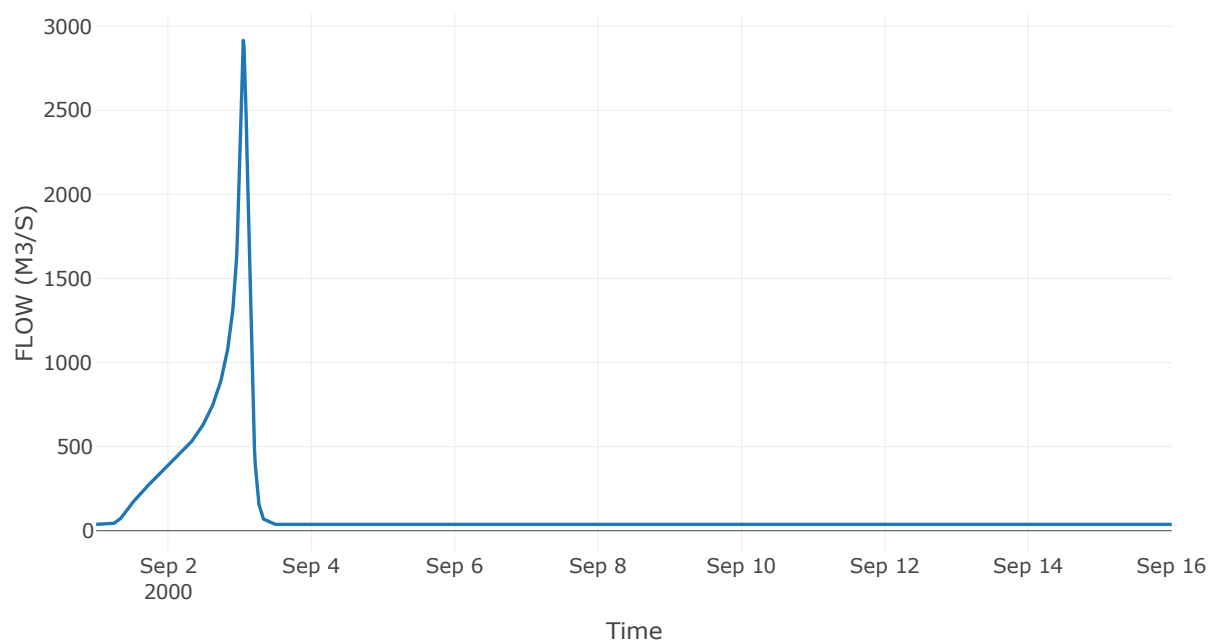
Κόμβος: J15

Κατάντη : R1514

Αποτελέσματα: J15

Παροχή Αιχμής (M3/S)	2916.77
Χρονική στιγμή αιχμής	03Sep2000, 01:15
Όγκος (MM)	422.71

Απορροή



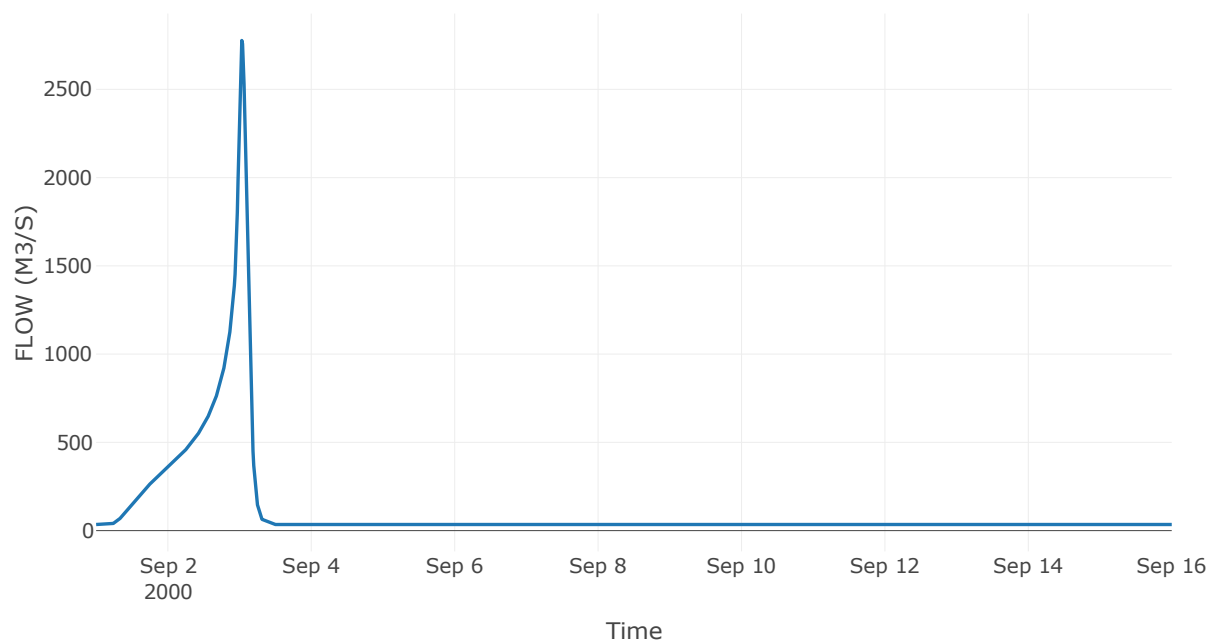
Κόμβος: J16

Κατάντη : R1615

Αποτελέσματα: J16

Παροχή Αιχμής (M3/S)	2777
Χρονική στιγμή αιχμής	03Sep2000, 00:45
Όγκος (MM)	423.77

Απορροή



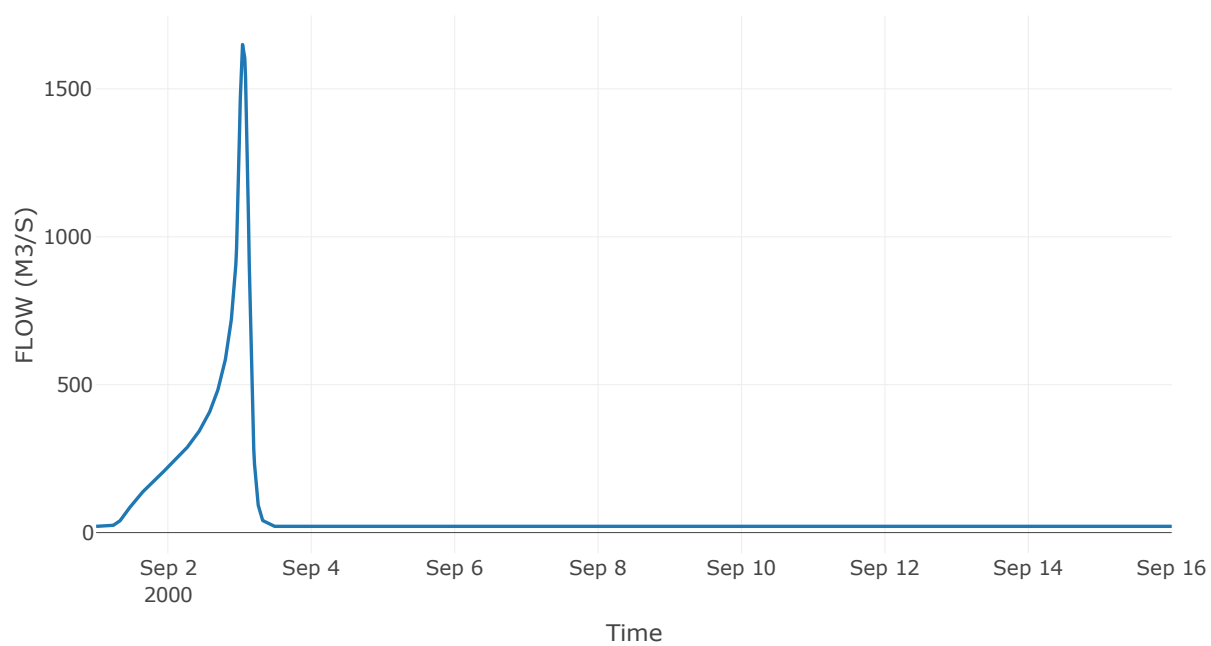
Κόμβος: J17

Κατάντη : R1716

Αποτελέσματα: J17

Παροχή Αιχμής (M3/S)	1657.45
Χρονική στιγμή αιχμής	03Sep2000, 01:15
Όγκος (MM)	431.58

Απορροή



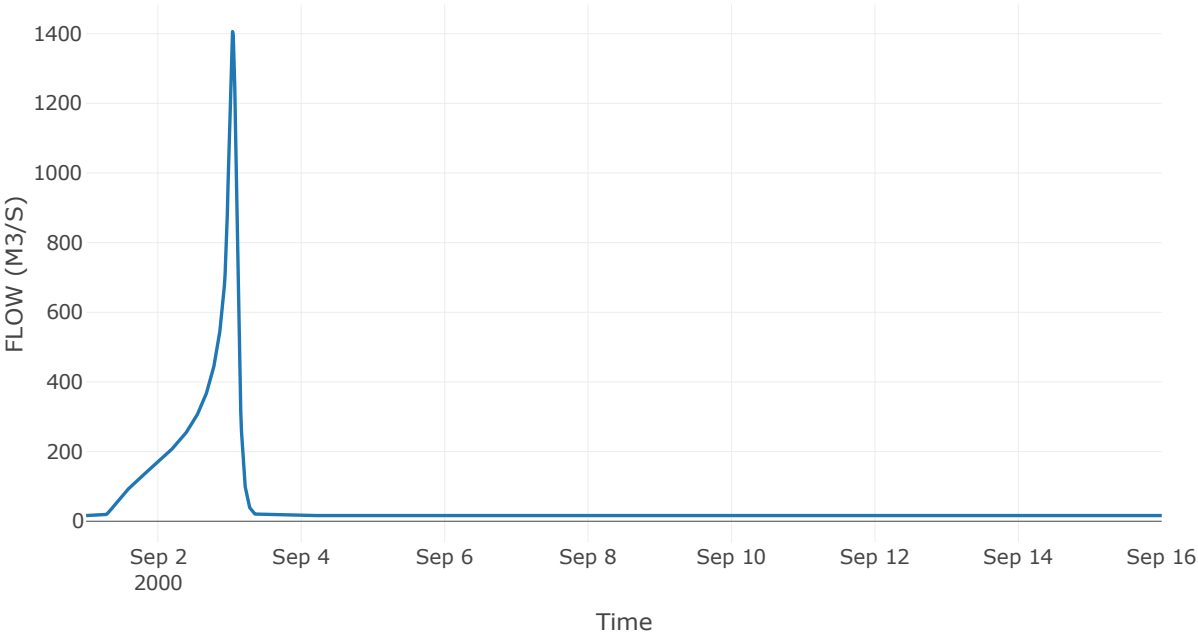
Κόμβος: J18

Κατάντη : R1817

Αποτελέσματα: J18

Παροχή Αιχμής (M3/S)	1406.17
Χρονική στιγμή αιχμής	03Sep2000, 01:00
Όγκος (MM)	429.87

Απορροή



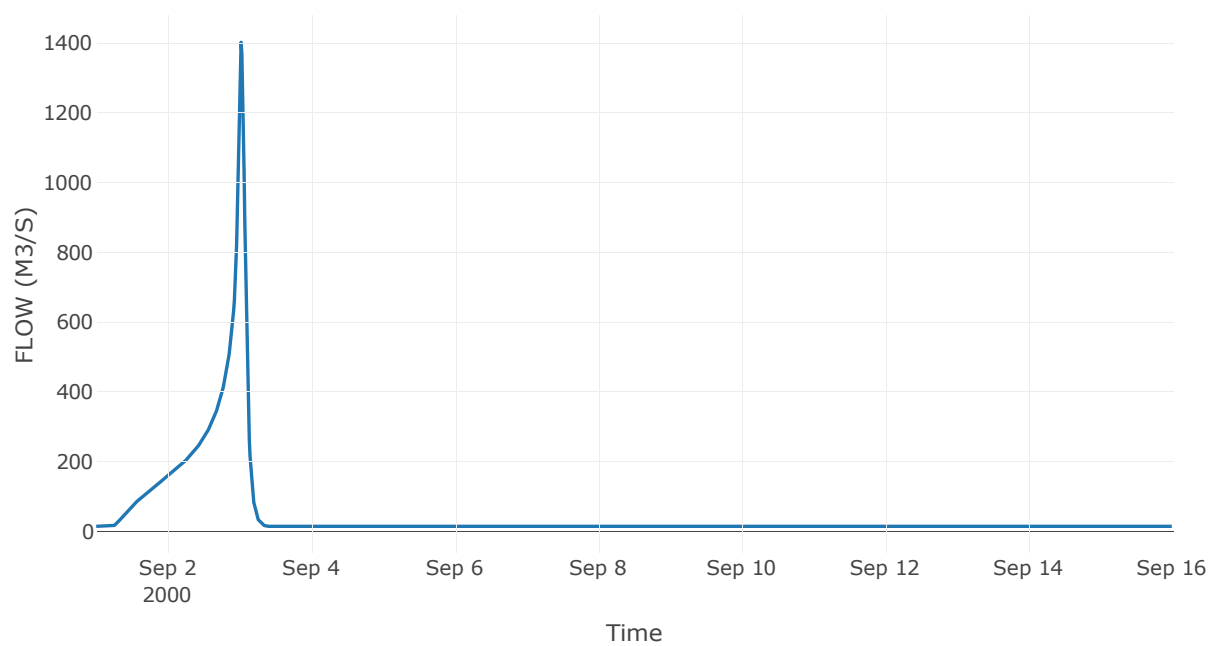
Κόμβος: J19

Κατάντη : R1918

Αποτελέσματα: J19

Παροχή Αιχμής (M3/S)	1402.04
Χρονική στιγμή αιχμής	03Sep2000, 00:30
Όγκος (MM)	431.79

Απορροή



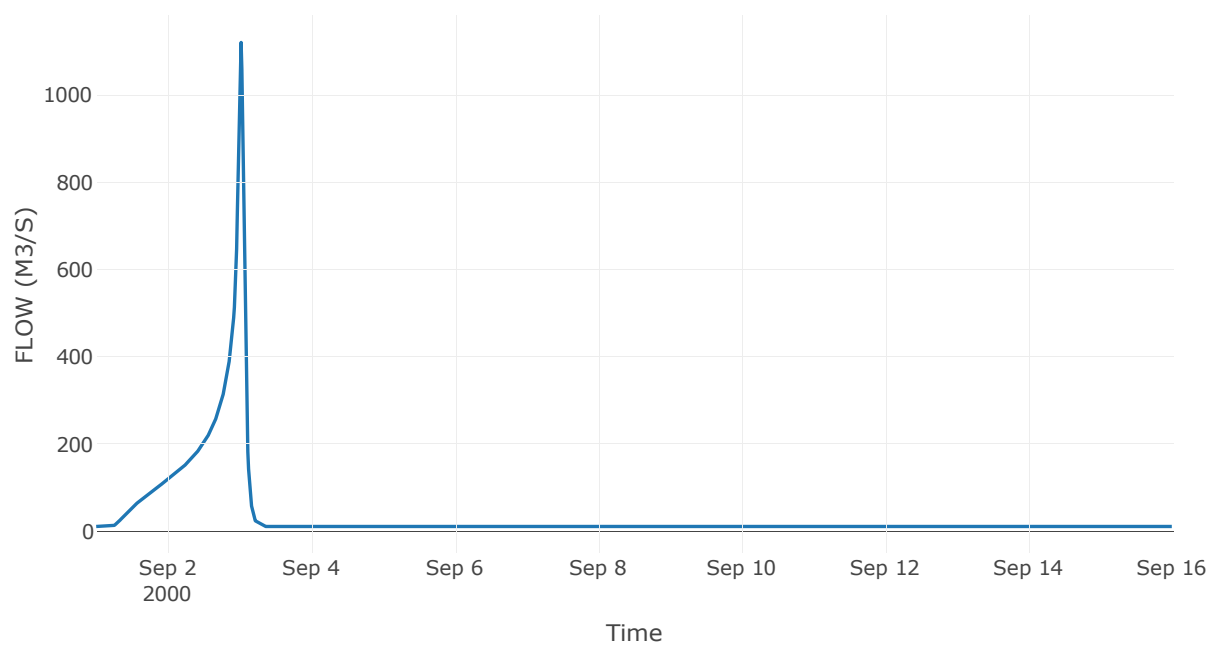
Κόμβος: J20

Κατάντη : R2016

Αποτελέσματα: J20

Παροχή Αιχμής (M3/S)	1121.78
Χρονική στιγμή αιχμής	03Sep2000, 00:30
Όγκος (MM)	411.75

Απορροή



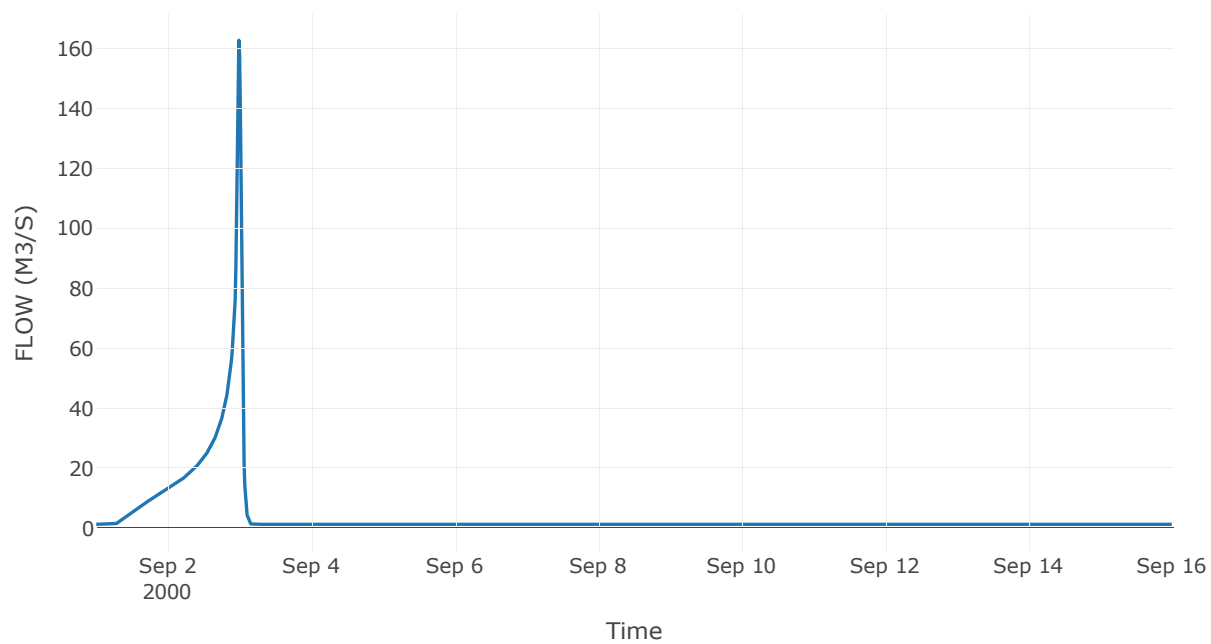
Κόμβος: J21

Κατάντη : R2120

Αποτελέσματα: J21

Παροχή Αιχμής (M3/S)	162.71
Χρονική στιγμή αιχμής	02Sep2000, 23:45
Όγκος (MM)	405.41

Απορροή



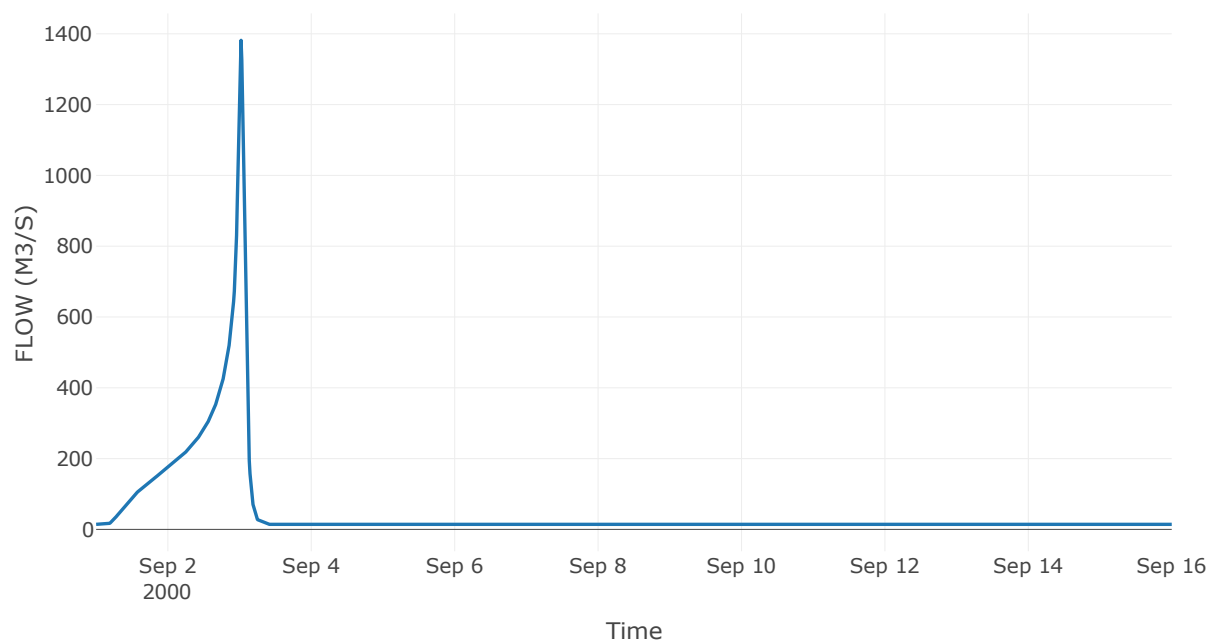
Κόμβος: J22

Κατάντη : R2214

Αποτελέσματα: J22

Παροχή Αιχμής (M3/S)	1381.59
Χρονική στιγμή αιχμής	03Sep2000, 00:30
Όγκος (MM)	448.8

Απορροή



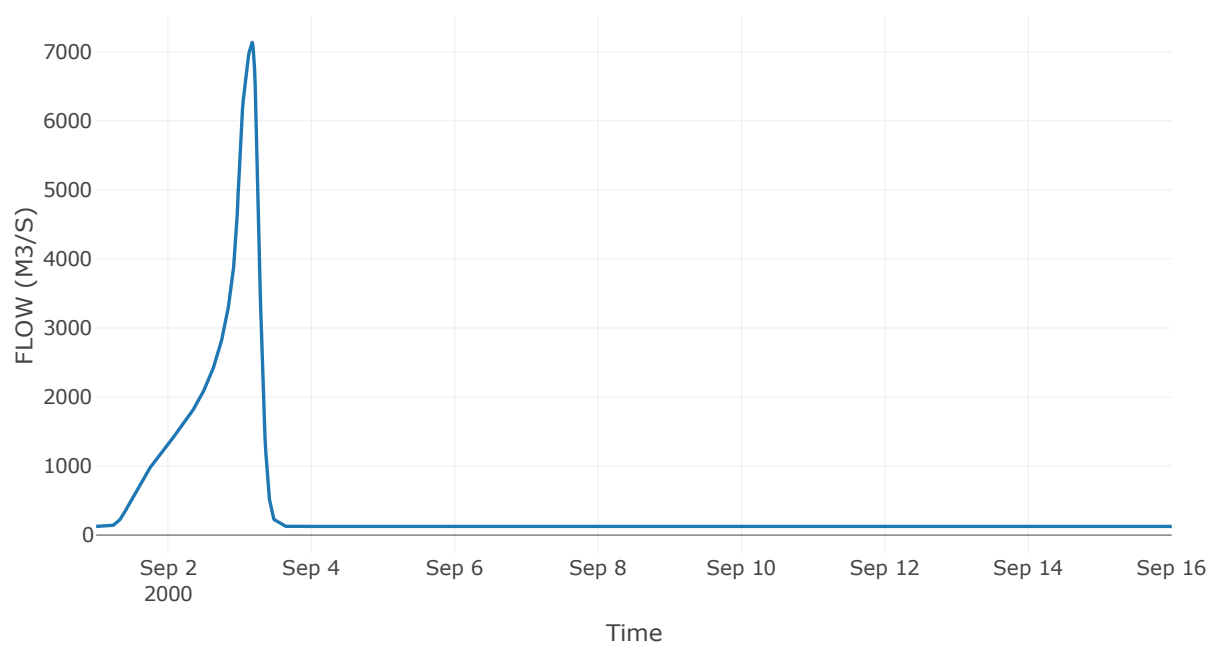
Κόμβος: J23

Κατάντη : R2311

Αποτελέσματα: J23

Παροχή Αιχμής (M3/S)	7136.43
Χρονική στιγμή αιχμής	03Sep2000, 04:00
Όγκος (MM)	452.78

Απορροή



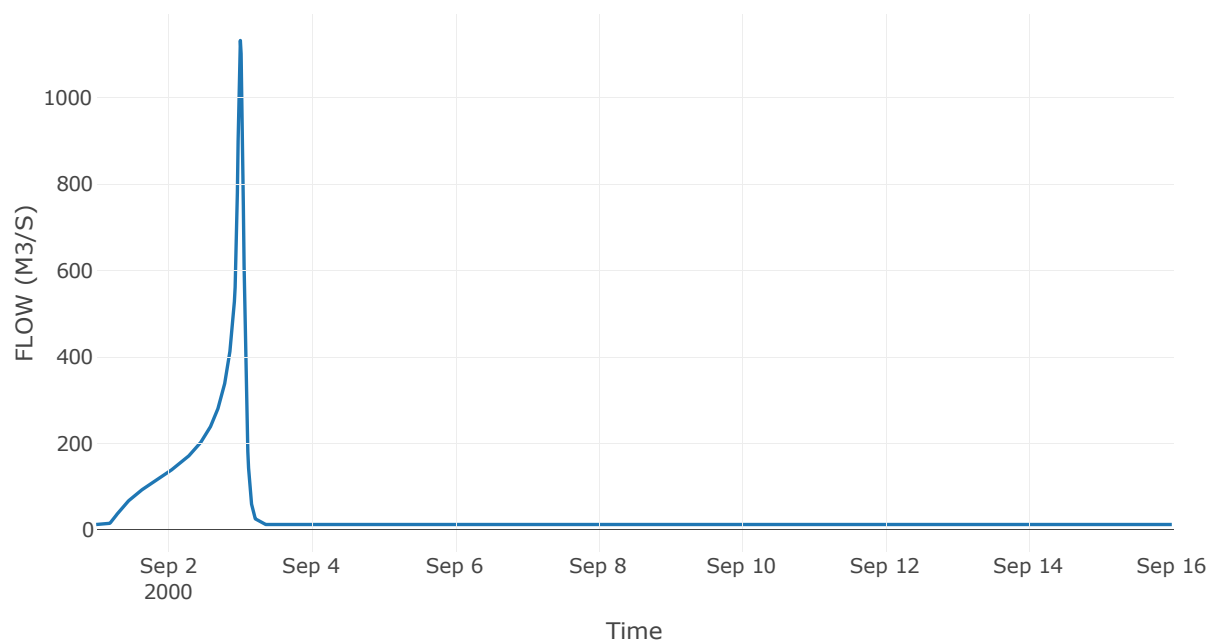
Κόμβος: J24

Κατάντη : R2423

Αποτελέσματα: J24

Παροχή Αιχμής (M3/S)	1132.93
Χρονική στιγμή αιχμής	03Sep2000, 00:15
Όγκος (MM)	406.37

Απορροή



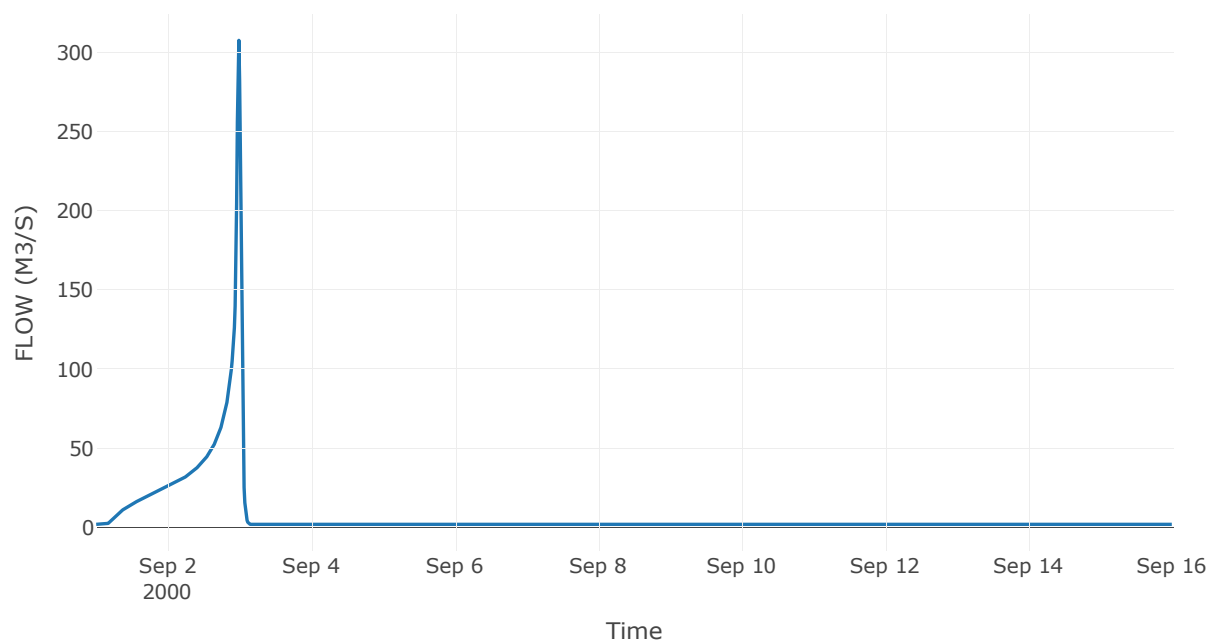
Κόμβος: J25

Κατάντη : R257

Αποτελέσματα: J25

Παροχή Αιχμής (M3/S)	307.71
Χρονική στιγμή αιχμής	02Sep2000, 23:45
Όγκος (MM)	465.15

Απορροή



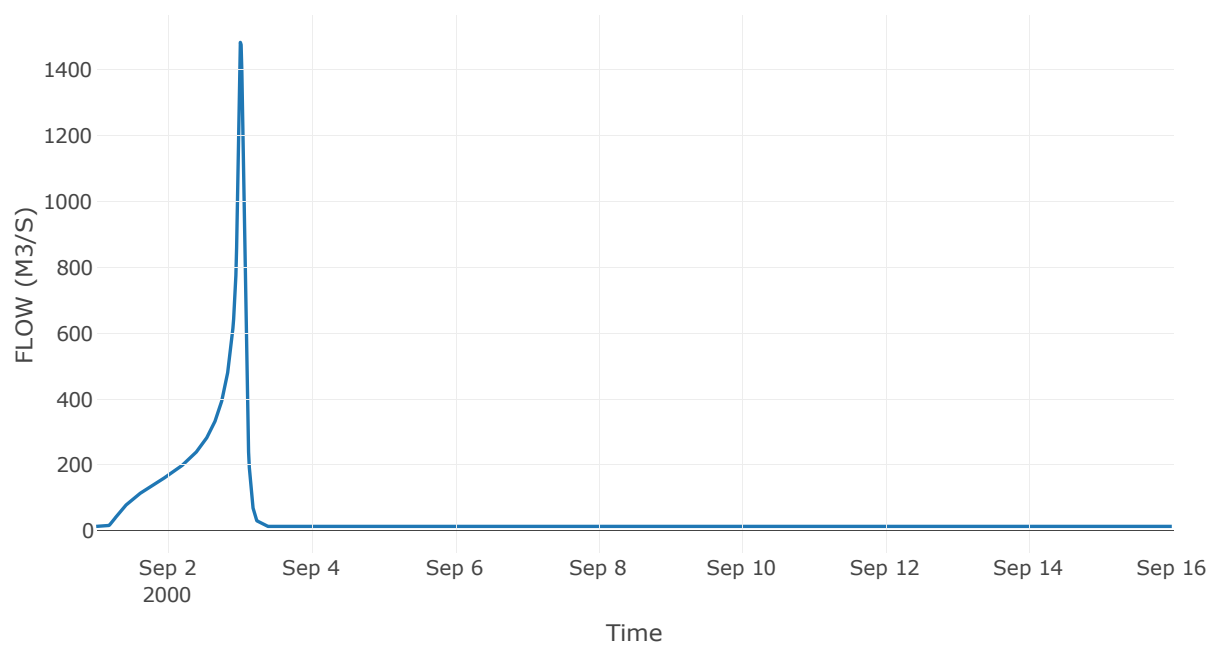
Κόμβος: J26

Κατάντη : R265

Αποτελέσματα: J26

Παροχή Αιχμής (M3/S)	1482.57
Χρονική στιγμή αιχμής	03Sep2000, 00:15
Όγκος (MM)	449.64

Απορροή



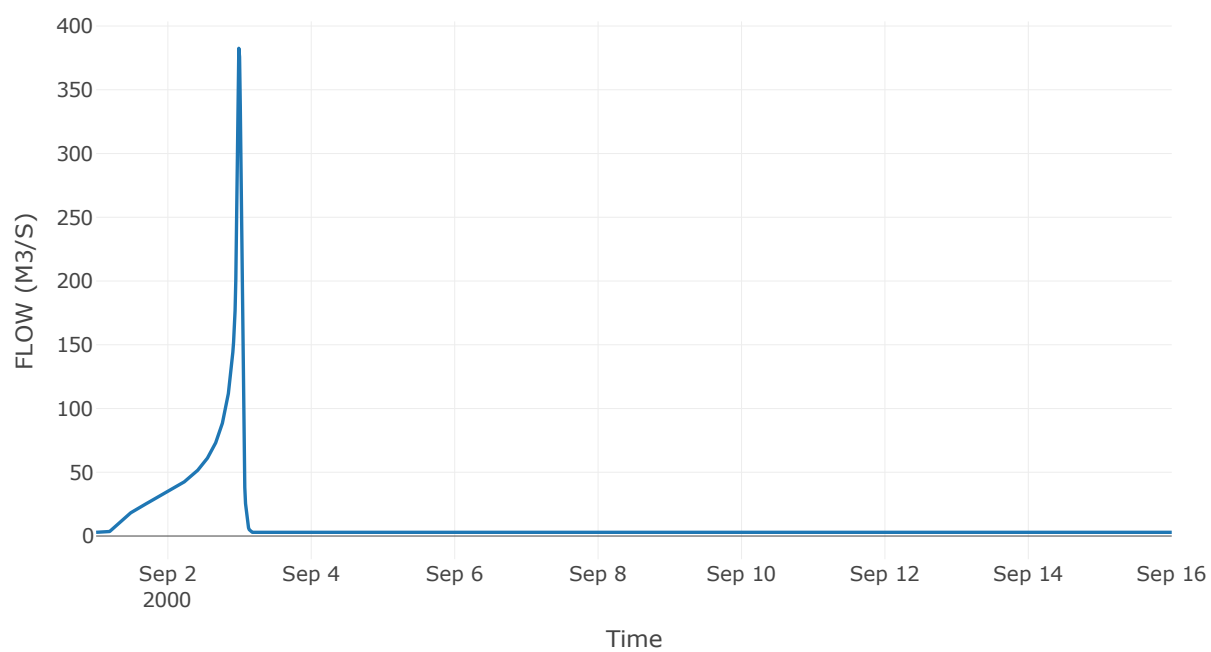
Κόμβος: J27

Κατάντη : R274

Αποτελέσματα: J27

Παροχή Αιχμής (M3/S)	382.54
Χρονική στιγμή αιχμής	02Sep2000, 23:45
Όγκος (MM)	443.27

Απορροή

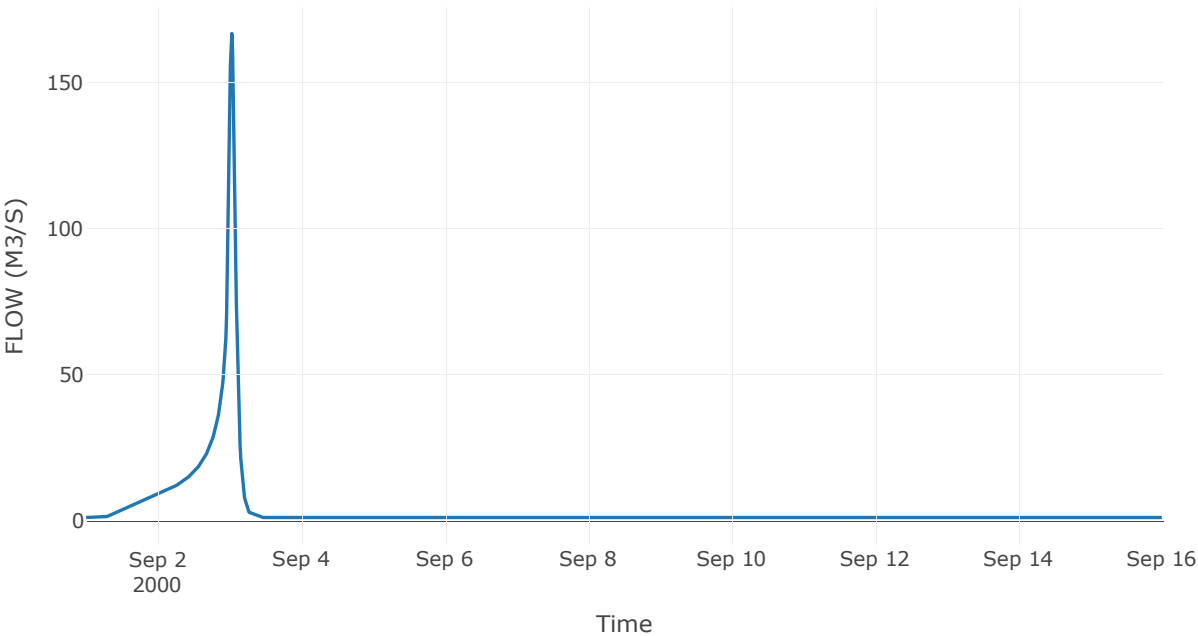


Κόμβος εξόδου: J28

Αποτελέσματ
α: J28

Παροχή αιχμής (M3/S)	166.75
Χρονική στιγμή αιχμής	03Sep2000, 00:45
Όγκος (MM)	438.83

Απορροή



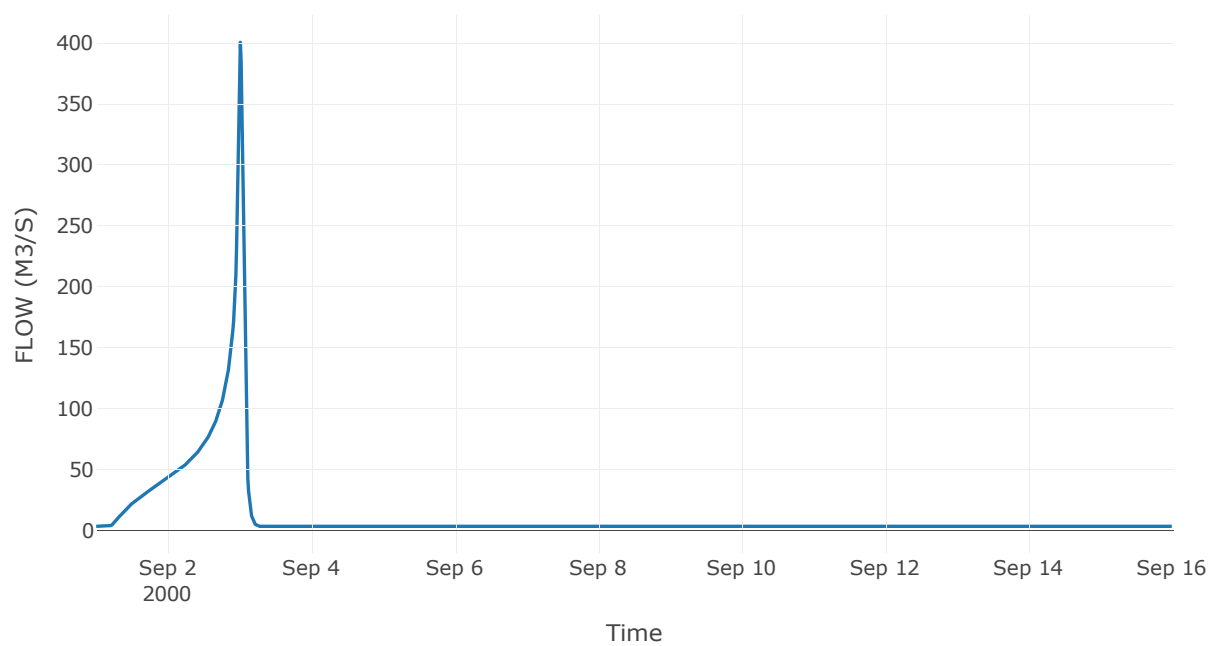
Κόμβος: J29

Κατάντη : R2917

Αποτελέσματα: J29

Παροχή Αιχμής (M3/S)	400.56
Χρονική στιγμή αιχμής	03Sep2000, 00:15
Όγκος (MM)	436.36

Απορροή



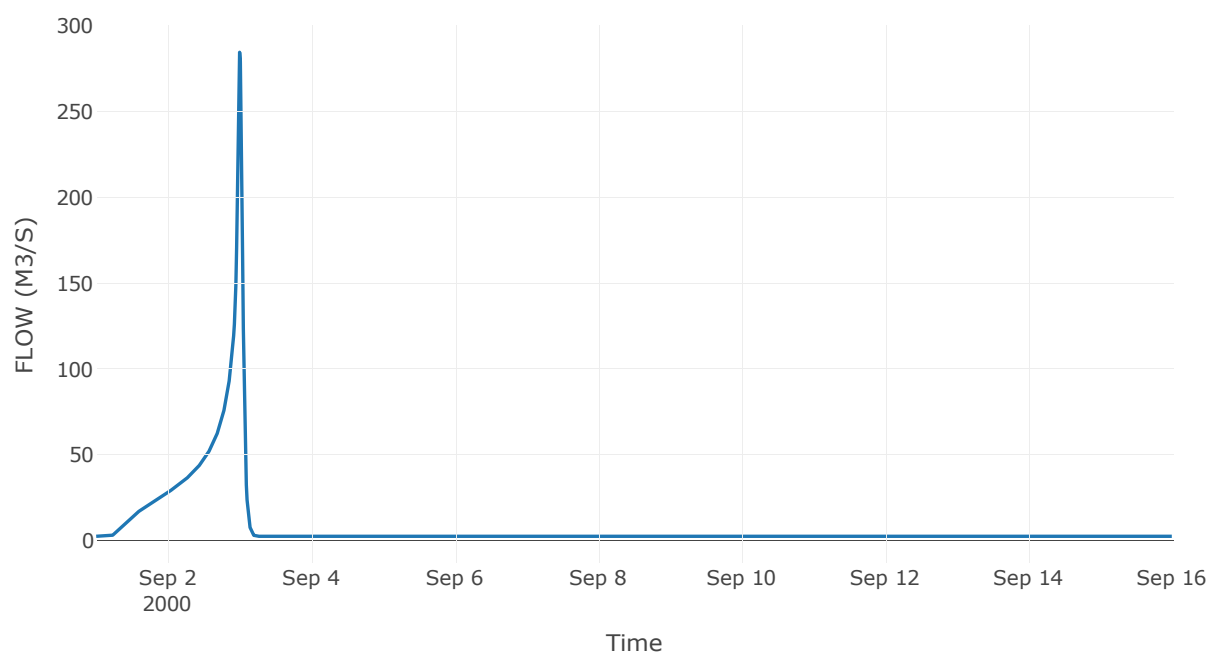
Κόμβος: J30

Κατάντη : R3020

Αποτελέσματα: J30

Παροχή Αιχμής (M3/S)	284.58
Χρονική στιγμή αιχμής	02Sep2000, 24:00
Όγκος (MM)	419.18

Απορροή



Κόμβος: J31

Κατάντη : R3113

Αποτελέσματα: J31

Παροχή Αιχμής (M3/S)	2473.14
Χρονική στιγμή αιχμής	03Sep2000, 00:15
Όγκος (MM)	609.51

Απορροή

